



QC
815
.H255





UNTERSUCHUNGEN
ÜBER DEN
MAGNETISMUS DER ERDE

VON
CHRISTOPHER HANSTEEN,
PROFESSOR DER ANGEWANDTEN MATHEMATIK AN DER
NORWEGISCHEN UNIVERSITÄT.

ÜBERSETZT

VON
P. TRESCHOW HANSON,
KÖNIGL. SCHW. DEPARTEMENTSVOLLMATHISCHEN
UND LANDCADETEN-LEHRER.

ERSTER THEIL.

Die mechanischen Erscheinungen des Magnetismus.

Mit 5 Kupfertafeln und einem Atlas von 7 Karten.

CHRISTIANIA, GEDRUCKT BEY JACOB LEHMANN UND CHR. GRÖNTHAL.

1841.

Vierter Verkauf.

Verkauft bey der Christianischen Buchhandlung, Christiania beyrn 1. 1841.



UNTERSUCHUNGEN
ÜBER DEN
MAGNETISMUS DER ERDE

VON
CHRISTOPHER HANSTEEN,
PROFESSOR DER ANGEWANDTEN MATHEMATIK AN DER
NORWEGISCHEN UNIVERSITÄT.

~~~~~  
**ÜBERSETZT**  
**VON**  
**P. TRESCHOW HANSON,**  
KÖNIGL. NORW. DEPARTEMENTS-VOLLMÄCHTIGTEN  
UND LANDCADETTE-LEHRER.

~~~~~  
ERSTER THEIL.
Die mechanischen Erscheinungen des Magneten.
Mit 5 Kupfertafeln und einem Atlasse von 7 Karten.

~~~~~  
**CHRISTIANIA, GEDRUCKT BEY JACOB LEHMANN UND CHR. GRÖNDAHL.**  
1819.

~~~~~  
Wird verkauft
Kopenhagen in der Gyldendalschen Buchhandlung, Christiania beym Verfasser.

AN
SEINE MAJESTÄT
CARL JOHAN
KÖNIG VON NORWEGEN UND SCHWEDEN.

Dr. F. v. S.
Haller
11. 19. 43
48367

Sire,

Erst neulich hat die Vorsehung Norwegen in seinem eigenen Schoosse eine Universität geschenkt, und dadurch die Söhne des Landes aufgefordert, thätigen Antheil zu nehmen an dem grossen Geschäfte der Verbreitung der Cultur und der Erweiterung der Wissenschaften. Allein, wie eine zarte Pflanze in einem harten Boden, bedarf diese neue Anstalt einer mehr als gewöhnlichen Wartung. Gegenwärtige Untersuchung an das Licht zu stellen, deren glückliche Beendigung im Verlaufe der Zeit Ergebnisse zu verheissen scheint, gleich wichtig für den praktischen Seemann wie für den theoretischen Naturforscher, war mir blofs durch Ew. Majestät gnädige und königliche Unterstützung möglich.

Die Theilnahme an den Wissenschaften, welche Ew. Majestät bey dieser und mehreren Gelegenheiten an den Tag gelegt haben, kann unserer Universität nicht anders als erfreulich und erspriesslich seyn. Durch Ew. Majestät kräftiges Mitwirken wird dieselbe bald Festigkeit und Stärke gewinnen, und so werkhätiger der Erreichung ihres grossen Zieles entgegenstreben können.

Sire,
Ew. Königlichen Majestät

unterthänigster
CHRISTOPHER HANSTEEN.

V o r r e d e.

Zu Anfange des Jahres 1807 gab ein Zufall den ersten Anlaß zu gegenwärtiger Untersuchung. Bey Betrachtung des von der kosmographischen Gesellschaft in Upsala ausgefertigten zweyfüßigen Erdglobus bemerkte ich an dessen Südpole eine länglichte elliptische Figur, als *regio polaris magnetica* bezeichnet, und auf der Inschrift der Kugel stand angeführt, diese magnetische Polarregion sey von Wilcke in Gemäfsheit der Beobachtungen der Capitaine Cook und Fourneaux entdeckt worden. Der eine Brennpunkt gedachter Ellipse (bezeichnet *regio fortior*) fällt mit dem späterhin von mir gefundenen stärkern Magnetpole bey Van Diemens Land, ihr anderer aber (*regio debilior*) mit meinem schwächern am Feuerlande zusammen. Dies däuchte mir eben so merkwürdig als neu. Zwar hatte ich mir die Erde als einen Magneten gedacht, der als solcher auch seine magnetischen Polarregionen haben müßte, daß aber jemand versucht hätte, die Lage der letztern zu bestimmen, war mir unbekannt; denn Halleys Angaben waren mir immer als die abentheuerlichste Hypothese vorgestellt worden.

Aus Cooks magnetischen Beobachtungen bey Umsegelung des Südpoles ergab sich mir bald die Richtigkeit jener südlichen Polarregion des Wilcke. Nun erwachte der Wunsch, einen Schritt weiter zu thun,

VIII

und auch die nördliche magnetische Polarregion ausfündig zu machen. Allein der Nordpol der Erde leidet keine solche Umschiffung wie ihr Südpol; dort sind der zugänglichen Punkte nur wenige, wie bey Grönland, Spitzbergen, der Hudsonsbay, der Behringsstraße: Orte, welche obwohl besucht, doch von verschiedenen Seefahrern und zu verschiedenen Zeiten besucht worden sind, so daß die zweckdienlichen Beobachtungen hier an gar verschiedenen Stellen zu suchen sind. Deshalb durchsuchte ich alle Seereisen, die nur die königliche Bibliothek zu Kopenhagen enthält, und andre Werke, welche magnetische Beobachtungen versprachen, und war endlich so glücklich, auf einige Beobachtungen in der Hudsonsbay zu stoßen, mittelst deren die Lage des Nordamerikanischen Magnetpunktes bestimmt wurde. Nun galt es bloß, den andern Brennpunkt der nördlichen Polarregion auszumitteln; denn daß es einen solchen irgendwo in Sibirien oder im Eismeere nördlich von jenem gäbe, zeigte schon die Analogie der südlichen Kugel, wie auch der Umstand, daß die Abweichung am weißen Meere verschwindet, wodurch man zu dem Schlusse verleitet wird, daß irgendwo gen Osten eine Kraft liegen müsse, welche an diesem Orte die Magnetnadel gegen den Meridian bringt. Das Sibirische Eismeer aber ist unfahrbar, und Sibirien selbst wird nur selten von Gelehrten, noch seltener von Mathematikverständigen bereist; auch geben Gmelin und Pallas keine Ausbeute dieser Art. Endlich stieß ich nach zweyjährigem vergeblichen Suchen in Bodes astronomischem Jahrbuche für 1809 auf Etatsrath Schuberts Beobachtungen auf einer Reise in Sibirien im Jahre 1805, und etwas später auf ähnliche in den Jahren 1768 und 1769 auf Anlaß des Vorüberganges der Venus vor der Sonne an verschiedenen Orten in Sibirien angestellte Beobachtungen. Mittelst derselben ward die Lage des Sibirischen Magnetpunktes bestimmt. Da ich sofort bemerkte, daß die beiden stärkern Magnetpunkte einander fast diametral entgegengesetzt

wären, und daß ungefähr das Nämliche mit den beiden schwächern der Fall sey, und da sich mir nach und nach die verschiedene Bewegung dieser vier Magnetpunkte ergab, so ward ich nach einigem Sträuben genöthigt, Wilckes Vorstellung von zween zusammenhängenden magnetischen Polarregionen aufzugeben, inmassen Alles sich eben so leicht durch zween von einander gesonderte magnetische Linien oder Axen erklären liefs.

Indem ich in der Folge die Lage dieser vier Magnetpunkte mit den Halleyschen Angaben verglich, zeigte sich mir, daß die Verschiedenheiten nicht groß wären, und daß er nur in der Bestimmung des Sibirischen Nordpoles, wie in der Hypothese von der Bewegung der Axen sich geirret habe, wie ihm denn auch sowohl zu jenem als diesem hinlängliche Data mangelten. Halley hat also zuerst das Wahre gefunden, und hat dessen so viel gefunden, als seine Zeit gestattete. Ein ganzes Jahrhundert sorgfältiger Beobachtungen mit verbesserten Instrumenten und Methoden ist seitdem dazugekommen, und hohe Zeit ist es, daß man diesen Stoff zur Aufführung eines vollständigeren und festeren Gebäudes benutzt. Daß dieses nicht bereits geschehen ist, läßt sich wohl nicht anders als aus der abschreckenden Schwierigkeit erklären, aus so verschiedenen Schriften Beobachtungen zu sammeln. Deswegen glaube ich eine nützliche Arbeit gethan zu haben, daß ich im angefügten Anhang den Mathematikern das an einem Orte überliefere, was ich mit großer Mühe an verschiedenen gesammelt habe. Durch Zutritt zu reicheren Büchersammlungen und den Archiven der größern seefahrenden Nationen könnte vermuthlich sowohl aus gedruckten als ungedruckten Hilfsquellen diese Sammlung einen beträchtlichen Zuwachs erhalten. Einige Physiker sagen, die Zeit sey noch nicht da, weil die ältern Beobachtungen ganz unzuverlässig und die neuern nicht genau genug wären. Diese Behauptung ist aber ungegründet. Wohl lassen

I n h a l t

des ersten Theiles.

	Seite
Einleitung	1
<u>Des magnetischen Studiums langsames Fortschreiten</u>	1
<u>Wie weit in der Vorzeit zurück wir magnetische Beobachtungen erwarten dürfen</u>	4
<u>Nothwendige Kritik bey den ältesten Beobachtungen</u>	5
<u>Quellen, woraus die im gegenwärtigen Werke benutzten Beobachtungen geholt</u>	7
1stes Hauptstück. Von den Halleyschen Linien und deren Bewegung vom	
<u>Jahre 1600 bis 1800</u>	15
<u>Auszug aus Kirchers Buche vom Magneten</u>	15
<u>Auszug aus Purchas his Pillgrims</u>	19
<u>Bewegung der Abweichungslinien</u>	32
2tes Hauptstück. Von den Neigungslinien und der magnetischen Kraft	38
<u>Betrachtungen über die Neigungsnadel</u>	38
<u>Beobachtungen von Hudson und Baffin</u>	43
<u>Neigungskarte von Wilcke</u>	45
<u>Interpolationsmethode, um den magnetischen Nulpunkt zu finden</u>	47
<u>Lage einer Anzahl Punkte in der Linie ohne Neigung</u>	60
<u>Die Veränderung der Neigung auf verschiedenen Punkten der Erdoberfläche</u>	63
<u>Die magnetische Kraft in verschiedenen Breiten, beobachtet von Humboldt und</u>	
<u>Dentrecasteaux</u>	67
<u>Die Kraft ist auf allen Punkten einer und derselben Neigungslinie nicht einerlei</u>	71

	Seite
3tes Hauptstück. <i>Bestimmung der Zahl, der Lage und des periodischen Umlaufes der Magnetpole um die Erdpole</i>	78
Alle drei magnetischen Erscheinungen können uns zur Kenntniß der Lage der Magnetpole leiten	78
Lage des Neu-Holländischen Südpoles im J. 1773	82
Lage des Amerikanischen Südpoles im J. 1774	85
Desselben Lage im J. 1670	84
Lage des Neu-Holländischen Südpoles im J. 1649	86
Lage des Amerikanischen Nordpales im J. 1769	89
Desselben Lage im J. 1750	90
Lage des Sibirischen Nordpales in den Jahren 1805 und 1770	95
Bewegung der Magnetpole	97
Erklärung der 3 Magneterscheinungen aus diesen 4 Magnetpolen und aus deren Bewegung	98
Die große Magnetenperiode	104
4tes Hauptstück. <i>Ueber die Berechnung der Halleyschen Linien nach der ersten unvollkommenen Theorie Eulers</i>	106
5tes Hauptstück. <i>Mathematische Theorie des Magneten</i>	119
Eines lineären Magneten Wirkung auf ein magnetisches Theilchen in desselben verlängerter Axe	121
Versuche, wodurch das erste Elementargesetz entdeckt wird	127
Eines lineären Magneten Wirkung auf ein magnetisches Theilchen in dessen Aequator	141
Zwoyer lineärer Magneten gegenseitige Anziehung oder Abstossung	149
Versuche	161
Zweytes Elementargesetz	165
Die Lage, worin eine unendlich kleine Magnetnadel in der Wirkungssphäre eines lineären Magneten in Ruhe ist	167
Die Formeln der vorigen Aufgabe in Reihen aufgelöst	178
Differential-Ausdrücke für der Reihen veränderten Werth, wenn der Abstand vom Mittelpunkte des Magneten verändert wird	195
Isogonische Linien	197
Construction der magnetischen Curve	202

Der magnetischen Ruhelinie Neigung gegen die Oberfläche einer Sphäre, in deren Mittelpunkte sich ein unendlich kleiner Magnet befindet	205
Gleichung für die magnetische Curve, wenn der Magnet unendlich klein ist	207
Differentialformeln für der Ruhelinie veränderte Lage an verschiedenen Stellen um einen unendlich kleinen Magneten	210
Der Ruhelinie Neigung gegen die Peripherie eines Kreises, wenn sich außerhalb des Mittelpunktes derselben ein unendlich kleiner Magnet befindet	212
Diejenigen Punkte im Umkreise eines Kreises zu finden, in welchen die Ruhe- linie senkrecht auf den Umkreis ist, und diejenigen, in welchen sie ihn be- rühren	215
Wenn diejenigen Punkte, in welchen die Ruhelinie senkrecht auf und diejeni- gen, in welchen sie den Umkreis berührt, gegeben sind, des Magneten Excen- tricität und den excentrischen Winkel zu finden	219
Isoklinische Linien	223
Formeln für die magnetische Intensität	227
Die Intensität, ausgedrückt durch Reihen	232
Isodynamische Linien	242
Befindet sich im Mittelpunkte einer Kugel eine unendlich kleine Magnetaxe, so ist auf jedem Punkte der Oberfläche der Kugel der mit der Berührungsfläche parallele Theil der magnetischen Kraft proportionirt mit dem Sinus des mag- netischen Polarabstandes des Punktes	243
Die magnetische Intensität im Umkreise eines Cirkels, wenn der unendlich kleine Magnet excentrisch liegt	246
Versuche mit zween zusammengebundenen Magneten und einer Magnetnadel	251
Der Kräfte Vertheilung in Magneten von beträchtlicher Länge	257
Der Kräfte Vertheilung in Magneten von drey Ausdehnungen; drittes Elementar- gesetz	258
Wirkung eines parallelogrammatischen Magneten auf ein magnetisches Theilchen in dessen verlängerter Axe	262
Dessen Wirkung auf ein Theilchen in seinem Aequator	266
Die Wirkung eines cylindrischen Magneten auf ein Theilchen in dessen verlän- gerter Axe	269
Dessen Wirkung auf ein Theilchen in seinem Aequator	272
Kurze Geschichte der Theorie der Mechanik des Magneten. Der Alten Kennt- niß von demselben	278

	Seite
<i>Gilbert, Kircher, Descartes's Wirbel</i>	279
Versuche über die Stärke der Anziehung in verschiedenen Abständen von <i>Hawkesbee, Brook Taylor</i> und <i>Musschenbroeck</i>	279
Untersuchungen über die beste Verfertigungsart künstlicher Magneten von <i>Knight, Canton, Mitchel, Aepinus</i>	282
<i>Van Swindens</i> culminirender Punkt und <i>Brugmanns</i> Indifferenzpunkt	282
Der Grundstein der Theorie von <i>Tob. Mayer</i> gelegt	283
Des <i>Aepinus</i> Einwendungen gegen <i>Mayer</i>	285
Beantwortung derselben	288
<i>Lambert</i> setzt die Untersuchung weiter fort	294
<i>Coulombs</i> Versuche	305
6tes Hauptstück. <i>Anwendung der Theorie des Magneten auf die Theorie der magnetischen Abweichung, Neigung und Kraft an einem gegebenen Orte, dessen geographische Lage bekannt ist</i>	
Erklärung einiger Kunstwörter	311
Wenn eines Ortes geographische Lage gegeben ist, dessen Lage gegen die Magnetaxen zu finden	315
Wenn eines Ortes magnetische Lage bekannt ist, die schiefe Neigung zu finden	323
Die wahre oder senkrechte Neigung und die Abweichung zu finden	324
Wenn eine Magnetnadel von zween Kräften getrieben wird, welche einen Winkel mit einander bilden, die GröÙe der mittleren Kraft und ihre Richtung zu finden	326
Wenn die Erde zween Magnetaxen hat, deren Kraftverhältniß bekannt ist, an einem gegebenen Orte die Abweichung, Neigung und Intensität zu berechnen	327
Wenn die Lage und GröÙe der Magnetaxen bekannt und die Abweichung der Magnetnadel an einem gegebenen Orte beobachtet ist, das Verhältniß zwischen den absoluten Kräften beider Magnetaxen zu finden	333
Dasselbe Kraftverhältniß aus einer beobachteten Neigung zu finden	334
Die Länge der Magnetaxen zu bestimmen	337
7tes Hauptstück. <i>Genauere Bestimmung der Lage der Magnetaxen, ihrer GröÙe und des Verhältnisses ihrer absoluten Kräfte</i>	
Die in Hauptst. 5 gefundenen vier Convergenzpunkte sind nicht die Magnetpole selbst	342
Die Magnetaxen lassen sich vorläufig als unendlich klein betrachten	346

Wenn die magnetischen Mittelpunkte der Axen in der Mitte der Magnetsehn liegen, so muß es in der Linie ohne Neigung immer zwei einander diametral entgegengesetzte Punkte geben, von welcher GröÙe auch die Dimensionen, Kraftverhältnisse und Excentricitäten der Axen seyn mögen. Daraus abgeleitete Methode, ihre Lage zu Berichtigen	348
Wenn nur Eine Magnetaxe wäre, würden die Convergenzpunkte mit denjenigen Punkten zusammenfallen, wo die Neigung $= 90^\circ$ ist	350
Eine andere Methode die Elemente zu berichtigen	352
Der Magnetaxen Länge zwischen $\frac{1}{2}$ und $\frac{1}{4}$ des Erddurchmessers gefunden	357
Tafel enthaltend Sammlung magnetischer Beobachtungen rings um beide Pole und den Aequator	364
Tafeln zur Erleichterung der Berechnung des Winkels ω	366
Vergleichung zwischen der Theorie und den Beobachtungen	371
Berechnung der drei magnetischen Erscheinungen in Mexiko als Beispiel des Ge- brauches der Formeln	379
Die sphäroidische Gestalt der Erde muß bey einer genaueren Theorie in Betracht gezogen werden	388
Biots und Gay-Lussacs Oscillationsversuche in großen Höhen über der Erdober- fläche	391
Die Magnetaxen können nicht linear seyn	392
Versuche zur Berechnung der Abweichung und Neigung in Paris für das Jahr 1600	395
Die Richtigkeit der Halleyschen Idee von 4 Magnetpolen ist bewiesen; <i>Eulers</i> und Anderer Gegenbehauptung gründet sich auf Unkunde des magnetischen Zustandes der Erde	396
8tes Hauptstück. <i>Von den täglichen Bewegungen der Magnetnadel</i>	403
Die tägliche Bewegung von <i>Graham</i> in London entdeckt	405
Bestätigt durch des <i>Celsius</i> Beobachtungen in Upsala	406
<i>Horters</i> Beobachtungen ebendasselbst	408
Verbindung mit dem Nordlichte, und andre Bemerkungen	410
<i>Wargentins</i> Beobachtungen in Stockholm	417
<i>Cantons</i> Beobachtungen in London	422
<i>Wilckes</i> Beobachtungen in Stockholm	423
Die Verbindung mit dem Nordlichte bestätigt	435
<i>Cassini</i> entdeckt der Nadel Rückwärtsschreiten um die Frühlingsnachtgleiche	438
<i>Gilpins</i> Beobachtungen in London	447

	Seite
<i>Humboldt</i> bemerkt in Berlin, daß das Nordlicht die Intensität vermindert . . .	459
Beobachtungen auf Island von <i>Löwenörn</i>	461
— — in Grönland von <i>Ginge</i>	463
— — in Nordamerika von <i>Williams</i>	465
— — auf Sumatra und St. Helena von <i>Macdonald</i>	465
— — in Lappland von <i>Hellant</i>	467
— — an der Nordwestküste von Amerika	468
Versuch zur Erklärung der Schwingungen aus einer kleinen Veränderung in dem Kraftverhältnisse der Magnetaxen	479
Die Vermuthung, daß Sonne und Mond magnetische Kräfte haben, scheint durch Prof. <i>Hellers</i> Beobachtungen in Fulda bestätigt zu werden	477
Mathematische Folgerungen aus dieser Hypothese	483
Der Sonne magnetische Kräfte können durch Vertheilung in der Erde einen schwachen magnetischen Gegensatz erregen, der vermöge der täglichen Axendrehung der Erde seine Lage änderte und dadurch eine tägliche Oscillation der Magnetnadel hervorbrächte	488
Der Sonne magnetische Kräfte können auch unmittelbar auf die Nadel wirken und dadurch die tägliche Schwingung verursachen	490
Etliche Fragen betreffend die Ursache der Größe und Bewegung der Magnetaxen imgleichen den innern Bau der Erde	498

Anhang enthaltend Beobachtungen über die Abweichung und Neigung 503

I. Tafel <i>Abweichung</i>	I
II. Tafel <i>Neigung</i>	33
III. Tafel <i>Abweichung und Neigung</i>	41
I. <i>Edward Wright</i> , England nach den Azorischen Inseln 1589, A.	41
II. <i>H. Middleton</i> , England nach dem rothen Meere 1610, A.	42
III. <i>N. Daunton</i> , England nach Indien 1610, A.	42
IV. <i>A. Hippon</i> , England nach Coromandel 1611, A.	42
V. <i>J. Saris</i> , England nach dem rothen Meere 1611, A.	42
VI. <i>Castleton</i> , nach Priaman 1612, A.	43
VII. <i>E. Marlowe</i> , nach Ostindien 1612, A.	43
VIII. <i>A. Tasman</i> , Batavia nach Van Diemens Land 1642, A.	43

	Seite
IX. <i>Halley's Table of variations</i>	43
X. <i>Leydecker, nach Java 1675, A.</i>	44
XI. <i>Rogers von Cap S. Lucas nach der Insel Guam 1709, A.</i>	45
XII. <i>Cornwall, im Aethiopischen Meere 1721, A.</i>	45
XIII. <i>Th. Mathews, nach Ostindien 1721, A.</i>	46
XIV. <i>Th. Mathews, nach Westindien 1725, A.</i>	61
XV. <i>Gray, Madera nach Westindien 1725, A.</i>	54
XVI. <i>Geddes England nach Lissabon 1730, A.</i>	54
XVII. <i>Bulter, Mittelmeer 1733, A.</i>	54
XVIII. <i>Middleton, England nach d. Hudsonsbay 1730, A.</i>	55
XIX. <i>Middleton, England nach d. Hudsonsbay 1731, A.</i>	56
XX. <i>Harrie nach Jamaika 1732, A.</i>	57
XXI. <i>Hoxton, London nach Maryland 1732, A.</i>	57
XXII. <i>Halley, Java Head nach S. Helena 1731 und 1752, A.</i>	58
XXIII. <i>Anson, 1740 — 1744, A.</i>	58
XXIV. <i>de la Caille, Frankreich nach dem Cap 1750 — 1754, A.</i>	59
XXV. <i>de la Caille, 1750 — 1754, N.</i>	60
XXVI. <i>Ross, England nach Westindien 1760 — 1762, A.</i>	61
XXVII. <i>Byron, um die Welt 1764 — 1766, A.</i>	62
XXVIII. <i>Wallis, um die Welt 1766 — 1768, A.</i>	63
XXIX. <i>Carteret, um die Welt 1766 — 1769, A.</i>	64
XXX. <i>Ekeberg, Götheborg nach Canton 1766 — 1767, A. u. N.</i>	66
XXXI. <i>Ekeberg, nach und von Canton 1770 — 1771, A. u. N.</i>	67
XXXII. <i>Ekeberg, nach und von Canton 1774 — 1775, A. u. N.</i>	69
XXXIII. <i>Cook, 1768 — 1771, A. u. N.</i>	71
XXXIV. <i>Wales u. Bayley, 1772 — 1775, A. u. N.</i>	74
XXXV. <i>Cook, 1776 — 1780, A. u. N.</i>	83
XXXVI. <i>Le Gentil, Bourbon nach Manilla 1766, N.</i>	87
XXXVII. <i>Le Gentil, Manilla nach Madras 1768, N.</i>	88
XXXVIII. <i>Le Gentil, Pondichery nach Isle de France, N.</i>	88
XXXIX. <i>Le Gentil, im Atlantischen Meere 1771, N.</i>	89
XL. <i>Crenne, Borda & Pingré, 1771 — 1772, A.</i>	89
XLI. <i>Phipps, England nach Spitzbergen 1773, A. u. N.</i>	90
XLII. <i>Hutchins, England nach d. Hudsonsbay 1774, A. u. N.</i>	91
XLIII. <i>Abercrombie, nach Ostindien 1775, A. u. N.</i>	91

	Seite
<u>XLIV.</u> <i>Panton</i> , England nach dem rothen Meere 1776, A. u. N.	93
<u>XLV.</u> <i>Pickersgill</i> , England nach d. Davisstraße, A. u. N.	94
<u>XLVI.</u> <i>Löwenörn</i> , Kopenhagen nach Westindien 1782 — 1783, A. u. N.	95
<u>XLVII.</u> <i>Löwenörn</i> , Kopenhagen nach Island 1786, A. und N.	96
<u>XLVIII.</u> <i>Löwenörn</i> , Kopenhagen nach Gibraltar 1791, A.	97
<u>XLIX.</u> <i>Corduba</i> , Cadix nach d. Magellansstraße 1785 — 1786, A.	98
<i>L. Corduba</i> , Cadix nach d. Magellansstraße 1788 — 1789, A.	98
<i>LI.</i> <i>Dixon</i> , um die Welt 1785 — 1788, A.	99
<i>LII.</i> <i>Porplock</i> , um die Welt 1785 — 1788, A.	99
<i>LIII.</i> <i>Lodberg</i> , Kopenhagen nach Ostindien 1783 — 1785	101
<i>LIV.</i> <i>Kaas</i> , Kopenhagen nach S. Thomas 1784, A.	102
<i>LV.</i> <i>La Perouse</i> , um die Welt 1785 — 1788, A. u. N.	103
<i>LVI.</i> <i>Stockfleth</i> , in der Ostsee 1784, A.	111
<i>LVII.</i> <i>Hunter</i> , England nach Botanybay 1787 — 1789, A.	112
<i>LVIII.</i> <i>Billings</i> , Rußland u. Eismeer 1787 — 1791, A.	113
<i>LIX.</i> <i>Phillips</i> , nach d. Botanybay 1787 u. 1788, A.	114
<i>LX.</i> <i>Bligh</i> , um die Welt 1788, A.	115
<i>LXI.</i> <i>Meares</i> , China nach d. Nordwestküste v. Amerika 1788, A.	115
<i>LXII.</i> <i>Marchand</i> , um die Welt 1790 — 1792, A.	116
<i>LXIII.</i> <i>Dentrecasteaux</i> , 1791 — 1792, A. u. N.	119
<i>LXIV.</i> <i>Vancouver</i> , um die Welt 1791 — 1795, A. u. N.	123
<i>LXV.</i> <i>Colnet</i> , England nach dem Südmeere 1793, A. u. N.	124
<i>LXVI.</i> <i>Broughton</i> , um die Welt 1793 — 1798, A.	125
<i>LXVII.</i> <i>Grant</i> , nach Neu-Süd-Wales 1800 — 1802, A.	125
<i>LXVIII.</i> <i>Home Popham</i> , Madeira nach d. Cap d. guten Hoffn., 1800 — 1801, A.	126
<i>LXIX.</i> <i>Krusenstern</i> , um die Welt 1803 — 1805, A. u. N.	126
<i>LXX.</i> <i>Albrechtsen</i> , Kopenhagen nach Canton 1798 — 1800, A.	130
<i>LXXI.</i> <i>Tranberg</i> , nach und von Canton 1802 — 1803, A.	132
<i>LXXII.</i> <i>Ørgaard</i> , nach und von Canton 1804 — 1805, A.	133
<i>LXXIII.</i> <i>Trock</i> , nach und von Canton 1804 — 1806, A.	135
<i>LXXIV.</i> <i>Thomsen</i> , Kopenhagen nach Westindien 1816 — 1817, A.	136
<i>LXXV.</i> <i>Mountaine</i> und <i>Dodson</i> , 1700 — 1756, A.	137
<u>Anmerkungen zur ersten Tafel</u>	140
<u>Anmerkungen zur zweyten Tafel</u>	147

Berichtigungen und Zusätze.

Seite 3, Anmerk. Zeile 1 Landnamabok lies Landnamabok.

Zur Anmerkung hinzugefügt: In der Sturlunga Saga IV. 17 wird auch des leidarstein oder solarstein erwähnt.

S. 4 Z. 6 Robert Normann l. Burrows.

- 6 - 20 hinzugefügt: Siehe Kircheri Magnes p. 432 pars 6ta de Nautica magnetica.

- 7 - 20 statt 1736 l. 1737.

- 7 - 25 statt 1752 l. 1692.

- 8 - 15 statt 1735 l. 1733.

- 10 - 19 1785 y. 1786 l. 1785 y 1786.

- 12 - 24 repertorium l. repertorium.

- 15 Anmerk. von l. vor.

- 20 Z. 3 Den 1 Juni, geankert u. s. w. Statt der folgenden 8 Zeilen lies: D. 1 Juni vor Anker an der N. W. Seite der Insel Resolution, Länge von London $66^{\circ} 35'$, Abw. $25^{\circ} 6'$ w. Den 2 bis 9 Juni vor Anker bey Salvage Islands, Br. $62^{\circ} 30'$ n., L. 72° w. London, Abw. $27^{\circ} 30'$ w. Den 16 Juni vor Anker bey einer Insel in nördlicher Breite $63^{\circ} 26'$, Länge $72^{\circ} 25'$ w. London, Abw. $27^{\circ} 46'$. Diese Beobachtung ward an einer Landspitze gemacht, welche sie broken Point nannten. Den 22 Juni wurde die Abweichung so genau als möglich beobachtet, um dadurch zu bestimmen, wann der Mond culminirte. Dadurch ward des Ortes Länge gefunden $\equiv 74^{\circ} 5'$ w. London; die Abweichung war $\equiv 28^{\circ} 30'$ w. Dieses geschah nahe der Mühlen-Insel (Mill-Island). — Diese Beobachtung und Weise der Längenbestimmung ist merkwürdig, und zeigt, daß Baffin sich mehr auf die Sternkunde verstand als viele Seemänner der gegenwärtigen Zeit.

- . - 21 statt 56° N. l. 56° W.

- 21 - 6 merchant l. merchants.

8. 22 Z. 13 Verändderung l. Veränderung.
- 23 - 14 40° l. 44°.
 - 24 - 17 die Abweichung l. die östliche Abweichung.
 - 28 - 23 berechnen läßt, hinzugefügt: sie war also = 0° 12' w.
 - 36 - 17 war sie l. war die Abweichung.
 - 42 - 21 Die hier erwähnte Einwendung gegen eine cylindrische Axe ist von Cavallo aufgestellt (siehe Gehlers phys. Wörterb. Th. 3 S. 348, Neigung der Magnetnadel); sie hält aber nicht die Probe. Es ist leicht einzusehen, daß jedes Theilchen der Nadel von den magnetischen Kräften der Erde in einer Richtung getrieben wird, die mit der mittleren Richtung dieser Kräfte parallel ist. Jedes Theilchen der Nadel strebt also, sich gegen eine Linie zu bewegen, welche durch die Axe der Nadel geht und mit jener mittleren Richtung der Kräfte parallel ist. Die Nadel wird demnach die wahre Neigung angeben, müße sie in dem magnetischen Mittelpunkte unterstützt seyn oder nicht, falls auch die eine Hälfte bedeutend länger wäre als die andere, wofern nur der Schwerpunkt in die Mittellinie der Umdrehungsaxe fällt. Mithin giebt auch jede horizontale Magnetnadel den wahren magnetischen Meridian an, wäre sie auch in ihrem einen Endpunkte aufgehängt. Van Swinden behauptet freilich das Gegentheil, diese Behauptung läßt sich aber kaum vertheidigen. Die Neigungsnadel als einen Wagebalken zu betrachten (worauf Cavallo seine Schlussreihe stützt) ist unrichtig.
 - 56 No. 18. Die Längen der in dieser Tafel eingetragenen Le Gentilschen Beobachtungsorte, wie sie sich aus der auf der Karte abgesetzten Route finden, sind im Anhang 3te Tafel XXXVII. S. 88 angeführt.
 - 88 No. 21. Die Länge dieser Orte siehe Anhang Tafel 3 XXXVI. S. 87.
 - 59 - 22. Obgleich die Lage der Linie ohne Neigung in diesem Striche von der Länge 120° bis 213° ö. Gr. nicht ganz zuverlässig ist, so vermüthe ich doch kaum, daß die Unrichtigkeit 1 oder 1½ Grad übersteigen kann, da die Lage der Linien für 20° und 30° südlicher Neigung hier durch Cooks und Vancouvers viele und gut mit einander übereinstimmende Beobachtungen auf den Freundschafts- und Gesellschafts-Inseln genau bestimmt ist, und man nicht wohl die Linie ohne Neigung verrücken kann, ohne zugleich jenen Linien eine andere Lage zu geben. Inzwischen finde ich im *Traité de Physique* par Biot T. III. p. 131 folgende Bemerkungen, welche mit dem obigen zu streiten scheinen. Nachdem er gezeigt hat, daß 7 Punkte in der Linie ohne Neigung, bestimmt durch Beobachtungen von La Perouse, Cook, La Caille und Humboldt (die Unrichtigkeit der einen dieser Beobachtungen des La Perouse ist S. 51 gezeigt) ungefähr in einem großen Kreise liegen, der den Aequator in der Länge 115° 34' w. Paris unter einem Winkel von 12° 5' schneidet; sagt er: "Telle a été en effet jusqu'ici l'opinion générale. Mais chose étonnante! ces éléments sont totalement en défaut dans toute la partie de la mer du Sud située au-delà du nœud occidental, entre 115 et 270° de longitude, ce qui comprend presque un hémisphère entier de mer. En effet, en discutant des observations faites avec le plus grand soin par William Bayly et Cook, sur deux bâtimens différens qui naviguaient de concert dans la mer du Sud en

1777, je trouve qu'ils ont l'un et l'autre rencontré l'équateur magnétique à $158^{\circ} 50' 9''$ de longitude occidentale, et à $8^{\circ} 13' 40''$ de latitude australe; tandis qu'en prolongeant le grand cercle que nos premières observations nous avaient donné, cet équateur aurait dû alors se trouver à une latitude boréale de $8^{\circ} 36' 30''$. Ceci nous montre donc que l'équateur magnétique, après avoir rencontré l'équateur terrestre vers 115° de longitude occidentale, redescend dans la partie australe du globe; et comme les observations de Bayly, confirmées en cela par celles de Dalrymple, montrent de nouveau la ligne sans inclinaison vers 7° de latitude boréale dans les mers de la Chine, à 256° de longitude occidentale, il en faut conclure qu'entre cette longitude et celle de $158^{\circ} 30'$, déterminée par l'observation de Cook, l'équateur magnétique et l'équateur terrestre ont au moins encore une intersection, indépendamment du nœud oriental situé dans les mers de l'Inde vers 295° de longitude et dépendant de la partie circulaire. Il y aura donc en tout au moins trois nœuds, et peut-être quatre, si l'équateur magnétique, près de son nœud occidental, s'élève un peu vers le nord avant de redescendre dans le sud vers l'archipel des îles de la Société." In der hier angegebenen Länge von $158^{\circ} 50'$ w. Paris oder $203^{\circ} 30'$ ö. Gr. fand ich keine Beobachtungen von Cook im Jahre 1777, sondern dagegen d. 1 Jan. 1778 an der Westseite der Christmas Insel Breite $1^{\circ} 59'$ n., Länge $202^{\circ} 30'$ ö. Gr., Abweichung $6^{\circ} 22\frac{1}{2}'$ ö., Neigung $11^{\circ} 54'$ s. (siehe Anhang Taf. 3 S. 83). Mittelst der S. 47 angeführten Interpolationsmethode finde ich hieraus die Breite des Nulpunktes $= 1^{\circ} 59' + 5^{\circ} 57' = 7^{\circ} 56'$ nördlich, welches mit Biots berechneter Breite des Nulpunktes in dieser Länge ($8^{\circ} 36' 30''$) beynahe übereinstimmt. Ich glaube, Biot hat hier durch einen Fehlgriff die Neigung auf der Christmas-Insel $= 11^{\circ} 54'$ nördlich statt südlich angenommen, und alsdann wird des Nulpunktes Breite $= 1^{\circ} 59' - 5^{\circ} 57' = 3^{\circ} 58'$ südlich, ungefähr so, wie Biot denselben annimmt. Meine Meinung von dieser Cookischen Beobachtung auf der Christmas-Insel ist, daß die südliche Neigung daselbst nicht über 6° ist. Daß die Neigung daselbst nicht nördlich seyn, d. h. daß die Linie ohne Neigung an diesem Orte nicht südlich vom Aequator liegen könne, zeigen unter andern auch Krusensterns gut übereinstimmende Beobachtungen nahe an diesem Orte im May 1804 (siehe S. 54), welche in der Länge $146\frac{1}{2}$ w. oder $213\frac{1}{2}$ ö. Gr. den Nulpunkt in der Breite $3^{\circ} 28'$ nördlich setzen. Ich sehe es für völlig ausgemacht an, daß die Linie ohne Neigung nur in zweien Punkten den Aequator schneidet, und daß sie nirgends durch einen großen Kreis darzustellen sey. Einigen Zweifel möchten freilich die Beobachtungen bey den Sandwichs-Inseln erregen (siehe hievon Anmerk. 8 zur 2ten Tafel im Anhang); diese Zweifel werden aber wohl bald durch Freycinets Beobachtungen gehoben werden. Aus dieser falschen oder falsch verstandenen Beobachtung zieht übrigens Biot den richtigen Schluß, daß es, außer der magnetischen Hauptaxe noch eine andere excentrische und weit schwächere Magnetaxe geben müsse, die im Südmeere diese Anomalien erzeugt.

S. 60 letzte Z. statt Le Gentil $77^{\circ} 0'$ O., $10^{\circ} 15'$ N. l. Abercrombie $80^{\circ} 20'$ O., $10^{\circ} 35'$ N.

- 61 Durch eine unrichtige Reduction vom Pariser auf den Greenwicher Meridian sind Le Gen-

als Beobachtungen unten unrichtigen Längen angeführt. Dieser obere Theil der Tafel muß deswegen folgender Maßen berichtigt werden:

Beobachter.	Länge Greenw.	Breite des Nul- punktes.	Beobachter.	Länge Greenw.	Breite des Nul- punktes.
Im Indischen Meere vom Cap Guardafui bis zur Sandastraße					
Abercrombie . .	80° 42' 6.	11° 5' n.	Le Gentil . . .	85° 50' 6.	10° 42' n.
Le Gentil . . .	81 35	10 15	Abercrombie . .	85 58	10 10
	83 20	10 29	Le Gentil . . .	86 27	9 34
	84 20	10 42	Abercrombie . .	86 49	9 18
Abercrombie . .	84 55	9 14		88 50	9 24
	85 15	9 27	Le Gentil . . .	93 58	9 5
Le Gentil . . .	85 17	8 51		95 10	8 57
	85 50	9 14		96 50	8 32

S. 61 statt Collnet 3° 37' N. l. 3° 37' S.

- - statt La Perouse 1° 1' l. 1° 1' N.

Mit Zuziehung der dritten Tafel im Anhang läßt sich die Anzahl dieser Bestimmungen sehr vergrößern.

S. 72 Anmerk. statt werden l. werden.

- 79 vorletzte Z. No. XII l. Tab. IV.

- 95 Z. 1 859,6 l. 859,6.

- 98 - 9 diese l. dieser.

- 103 - 9 für heilig gehalten l. verherrlicht.

- 104 - 6 in welcher sie l. in welcher die Magnetpole.

- - - 19 nur l. mir.

- 123 vorletzte Z. gleiche, ungleiche l. gerade, ungerade.

- 124 Z. 2 statt $(a + v)^t$ l. $(a + x)^t$.

- 130 - 11 statt $\sin v$ l. $\sin w$.

- 150 letzte Z. mx^r l. mrx^r .

- 163 Siebenter Versuch; Anziehung im Abstände 2,1 statt 17,30 l. 70,30.

- 182 Z. 3 statt $\frac{3}{3\rho^3}$ l. $\frac{3}{4\rho^3}$.

- - Tafel I. Z. 4 statt 9.45939 l. 9.49539.

- 194 Z. 7 statt 5.6... $(n + 2)$ l. 5.6... $(n + 4)$.

- - - 8 statt $(2m + 3)$ l. $(2m + 2)$.

- 195 Reihe E erste Z. statt 1.789.. l. 1.889..; st. 2.426.. l. 2.526..; st. 2.970.. l. 3.070..; st. 3.447.. l. 3.547..

- 197 Z. 2 statt 416 l. 517; st. 609 l. 753; st. 719 l. 887; st. 728 l. 896.

- 199 Werth von u für $\omega = 70^\circ$, $\rho = 1\frac{1}{2}$, statt 8,3 l. 3,8.

- 200 Anmerk. statt $n =$ l. $u =$

S. 205 Z. 15 Da ich jedoch die Frage, ob bey dem zweyten Elementargesetz $r = 1$ oder $= 2$ angenommen werden solle, nicht für ganz abgemacht halten darf, als bis ich einige neue Versuche ausgeführt habe, und da ferner die Berechnung der beobachteten Abweichungen und Neigungen eher das Erstere als das Letztere zu erheischen scheint, so habe ich in Fig. 26 bis Pl. II. in verjüngtem Mafsstabe die nach der ersten Hypothese berechneten und construirten Curven hinzugefügt. Auf jeden Fall bedarf es vielleicht keiner andern Versuche, um diese Frage zu entscheiden, als der Neigungs-, Abweichungs- und Intensitäts-Beobachtungen auf der Erde selbst; diejenige Hypothese, welche diese am besten darstellt, ist die richtige. Das Einzige, was man dann durch den Versuch aufzuklären wünschen möchte, wäre, ob die Vertheilung der Kräfte in den von Menschenhänden gefertigten Magneten nach denselben Gesetzen geschieht, wie in den Erdmagneten.

- 207 - 20 statt AgB l. AGB.
- 208 - 4 von unten $\sqrt{\frac{1}{2}}$ l. $\sqrt{\frac{1}{3}}$.
- 214 - 17 die letzte Formel für $\tan i$ ist unrichtig und geht weg.
- 216 - 2 von unten (Fig. 30) l. (Fig. 31).
- 217 - 6 von unten: der Magnetrudel l. des Magneten.
- 232 - 2 von unten, statt $C. \cos 3u$ l. $C. \cos 4u$.
- 237 - 7 von unten: im vorigen §. l. in den vorigen §§.
- 242 Tabelle statt ω l. u .
- 254 Z. 7 von unten: achte l. neunte.
- 255 - 12 achten l. neunten.
- 256 - 15 achten l. neunten.
- 256 Anmerk. Z. 1 neunte l. zehnte.
- 257 Z. 3 $\frac{m}{M}F + \frac{m'}{M}F$ l. $\frac{m}{M}F - \frac{m'}{M}F$.
- 280 - 22 dadurch l. noch.
- 282 letzte Z. von Swinden l. van Swinden.
- 293 Z. 17 werden l. werden.
- 307 - 8 aller dieser Durchschnittsmomente l. aller Momente dieser Durchschnitte.
- 319 Statt des im 3ten Zusatze Angeführten, was größtentheils unrichtig ist, werde eingerückt:

Zusatz 3. Ist $\gamma = 0^\circ$, d. h. liegen beide Magnetpole in einem und demselben Meridiane, so ist nach 1) $\cos 2a = \cos a \cdot \cos b - \sin a \cdot \sin b = \cos(a + b)$, also $2a = a + b$, oder $a = \frac{a + b}{2}$. Nach 3) ist $\cos d = \frac{\cos b - \cos a}{2 \cdot \sin a}$; und da $\cos b - \cos a = 2 \cdot \sin\left(\frac{a + b}{2}\right) \cdot \sin\left(\frac{a - b}{2}\right)$, $\sin a = \sin\left(\frac{a + b}{2}\right)$, so wird $\cos d = \sin\left(\frac{a - b}{2}\right)$, also $d = 90^\circ - \left(\frac{a - b}{2}\right)$. Nach 4) wird $\tan n = \tan m = 0$,

d

also $m = n = 0^\circ$. Nach 5) ist $\cos e = \frac{\cos b + \cos a}{2 \cdot \cos a}$, und da $\cos b + \cos a = 2 \cos\left(\frac{a+b}{2}\right) \cdot \cos\left(\frac{a-b}{2}\right)$, wird $\cos e = \cos\left(\frac{a-b}{2}\right)$, also $e = a - b$. Nach 6) ist $\cos \psi = -\cot e \cdot \cot d = -1$, wenn obige Werthe für e und d eingesetzt werden; also $\psi = 180^\circ$. Nach 7) ist endlich $\cos \delta = \frac{\cos d}{\sin e} = 1$, also $\delta = 0^\circ$.

Zusatz 4. Ist die geographische Länge des Südpoles A größer als die Länge des Nordpols B, so muß in der Formel 1) gesetzt werden $-\gamma$ statt γ . Da aber $\cos \gamma = \cos(-\gamma)$, so wird die Formel $\cos 2a$ in 1) unverändert, folglich auch die Werthe von d und e in 3) und 5). Dagegen wird in 4) $\tan n = -\frac{\sin a \cdot \sin \gamma}{\sin b + \sin a \cdot \cos \gamma}$, $\tan m = -\frac{\sin b \cdot \sin \gamma}{\sin a + \sin b \cdot \cos \gamma}$; n und m sind folglich negativ, d. h. m fällt zur Rechten, n zur Linken, und die Länge von F wird gleich der Länge von B plus n , oder gleich der Länge von A minus m . Ferner wird nach 6) $\cos \psi = -\cot e \cdot \cot d$; also $\psi > 180^\circ$. Endlich wird nach 7) $\cos \delta = \frac{\cos d}{\sin e}$. Hier kann bloß der negative Werth von δ gebraucht werden, da nach Zusatz 3 $\delta = 0^\circ$, wenn $\gamma = 0^\circ$. Wenn γ negativ ist, braucht man also bloß m , n und δ negative Werthe zu geben und ψ in den dritten Quadranten zu nehmen.

5. 323 Z. 5 statt (1) l. (§. 18, 1).

- 327 - 17 statt getrieben l. gedreht.

- 342 In der Ueberschrift statt Magnetpole l. Magnetaxen.

- 348 Z. 18 Der Magnetaxen... l. Es mögen also der Magnetaxen Dimensionen, Kraftverhältniß und Excentricität von jeder beliebigen GröÙe seyn, so muß...

- 356 In der Tafel... Elemente II. statt $a\ 5^\circ\ 24\frac{1}{2}'$ l. $3^\circ\ 24\frac{1}{2}'$.

- 360 letzte Z. mit den ersten l. mit der ersten.

- 365 No. 55. Nulpunkt Peru Länge $300^\circ\ 27'$ l. $299^\circ\ 56'$.

- - No. 56. Lima Länge $301^\circ\ 15'$ l. $300^\circ\ 27'$.

- 366 Seitenzahl in einigen Exemplaren statt 566 l. 366.

- 367 Tafel in einigen Exemplaren Z. 6, p 2,11 l. 3,11.

- 374 Tafel No. III. In der Hamburger Börsenhallenliste No. 1972 wird aus London d. 15 Sept. 1818 gemeldet, daß sich die Schiffe Isabella und Alexander d. 28 Juli in $75^\circ\ 30'$ n. Br. und $60^\circ\ 30'$ w. Länge von London befanden, d. h. $317^\circ\ 10'$ ö. Länge v. Ferro, und allda die Abweichung 89° w. und die Neigung $84^\circ\ 30'$ hatten. Diese Stelle ist also nicht weit von Cap Diggs, und man sieht, daß die berechnete Abweichung und Neigung nur sehr wenig von denjenigen abweichen, die Capt. Ross durch Beobachtung

gen gefunden. Hiebey muß doch bemerkt werden, daß die bey der Berechnung zum Grunde gelegten Elemente eigentlich für das Jahr 1775 bestimmt sind.

S. 376 Tafel No. III. Der horizontale Theil der magnetischen Kraft ist hier ungefähr $\frac{1}{2}$ der Kraft in Humboldts Nulpunkte in Peru, und Humboldts Nadel würde bey Cap Diggs in einer horizontalen Ebene in 10' nur 96 Schwingungen machen. Wo der horizontale Theil der Magnetkraft so gering ist, da würde selbst die geringste störende Kraft die Nadel merklich vom wahren magnetischen Meridiane abdrehen. Diese Erscheinung zeigte sich auch auf der Englischen Nordpol-Expedition; denn nach der Börsenhallenliste No. 1984 ward an dieser Stelle die Abweichung auf dem Eise $\frac{1}{2}$ $88^{\circ} 13'$, aber am Bord $\frac{1}{2}$ 96° gefunden, also ein Unterschied von 7° . Erstere ist natürlicher Weise die richtigste. Folgendes ist die Ursache dieses Unterschiedes. Alles feste eiserne Geräth im Schiffe nimmt durch die Einwirkung der magnetischen Kräfte der Erde nach und nach eine feste Polarität an. Die Wirkung aller dieser verschiedenen Anziehungen und Zurrückstossungen auf die Nadel kann auf eine gewisse Mittelrichtung hingeführt werden, die sich als des Schiffes magnetische Axe betrachten läßt. Wenn diese magnetische Axe des Schiffes im magnetischen Meridiane liegt, so zeigt der Compaß den wahren magnetischen Norden; macht sie einen rechten Winkel mit demselben, so weicht der Schiffscompaß meist von dem wahren Stande ab. Die Engländer messen die Entdeckung dieser Erscheinung dem Capt. Flinders bey, welcher auf dem Schiffe the Investigator in den Jahren 1801-1803 eine Entdeckungsreise machte; allein dieser Unterschied zwischen der Weisung der Nadel, wenn das Schiff in verschiedenen Cursen liegt, ward schon von Capt. Cook auf seiner zweyten Entdeckungsreise bemerkt, und in Wales und Bayley astronomical observations &c. wird gewöhnlich die Abweichung unter verschiedenen Stellungen des Schiffes beobachtet, um die Gröfse dieser Störung zu entdecken. Dieser Sache ist gleichfalls von Comm. Stockfleth in einem Schreiben vom 3 Oct. 1784 an die Dänische Gesellschaft der Wissenschaften gedacht (siehe Nye Saml. af Vidensk. Selsk. Skr. D. 3 S. 110), und von Löwenörn (ebendasselbst, S. 117) erklärt. Daß die Wirkung dieser die Nadel störenden Kräfte durch die sogenannten isolirenden Compaßdosen von weichem Eisen vernichtet werde, scheint mir ganz unglaublich. Wären diese fähig, alle magnetischen Einwirkungen auf die Nadel auszuschließen, so müßten sie auch die Einwirkung der Erdmagneten auf dieselbe aufheben, und selbige also gleichgültig gegen jede Richtung machen. Können sie aber letzteres nicht leisten, so vermögen sie auch nicht die Wirkung jener störenden Ursachen aufzuheben.

- 387 unterste Z. Aus dem Atlasse zu Humboldts Reise sehe ich, daß er im Dec. 1803 die Abweichung in Mexico $\frac{1}{2}$ $8^{\circ} 8'$ gefunden hat.
- 392 Z. 6 von unten: Gehalt l. Gestalt.
- 403 - 11 $10\frac{1}{2}$ Grad l. $10\frac{1}{2}$ östlich, siehe Acta Erudit. Lips. 1730 pag. 514.
- 491 - 12 von unten: Nordpole der Erde l. Nordpole der Nadel.
- 497 - 12 Endpunkt l. Endpunkte.

Berichtigungen und Zusätze zum Anhang.

Erste Tafel.

Dänemark, Norwegen und Schweden.

S. 1 Bergen, G. Bohr fand in 1817 die Abweichung $\equiv 24^{\circ} 18'$; die Abweichung 1792 ist ohne Zweifel viel zu groß.

- - Zwischen Christiansund und Christiansund streiche weg 12,7.

- - Christiania, Hansteen, 22 Mai 1818, Abweichung $19^{\circ} 59'$.

Dazu kommen noch folgende Abweichungen, beobachtet von Niels Marelius längs der Reichsgränze zwischen Norwegen und Schweden:

	Abw.	Breite.
1753 Hähn und Böhn	13° 0' w.	59° 34' n.
1754 Högsäter und Emterud	14 0	59 54
1755 Kaikelans und Midskogstorpen	13 0	60 32
1756 Lördalen (ein Hof in Norwegen)	12 0	61 23
29 Juli 1757 Herjehågnan (Berg)	11 30	61 43
9 Aug. 1758 Norra Enbogen	10 30	63 13
11 - 12 Aug. 1759 Goudalen	12 0	64 0
12 Sept. 1759 Årevattnet	12 30	64 4
13 Sept. 1759 Skaal (ein Hof in Norwegen)	12 45	64 9
4 - 5 Aug. 1760 Qvedlie (in Norwegen)	12 45	64 32
Sept. 1760 Auf dem Bergrücken Grunthjeldet bloß	10 30	
25 Juli 1761 Murritaskytiski	10 45	65 20
Sept. 1761 Uhne Capel	10 45	66 4
19 - 22 Aug. 1762 Piescajaure	10 45	67 1
Juli 1763 Märkasdalen	9 0	
26 - 27 Aug. 1764 Kilpisjaure	9 15	69 3
2 Juli 1765 Enontekis (Pfarrhof)	7 20	68 28 $\frac{1}{2}$
4 Juli 1765 Kuttane (bey Gewitter)	9 0	68 23
5 - 6 Juli 1765 Kuttane (gutes Wetter)	7 0	
13 Juli 1765 Salvastopel (Gewitter)	9 0	68 40 $\frac{1}{2}$
19 Aug. 1765 Katsebeljaure	7 0	68 34
4 Sept. 1765 Autia Sudpach	7 0	68 43
Ferner Abweichungsbeobachtungen in Seeland von Bugge:		
21 Aug. 1764 Tinghöi bey Mörköie	15 20	55 44
18 Aug. 1765 Roeskilde Domkirche	15 30	55 38 $\frac{1}{2}$
27 Juli 1766 Fredriksborg (auf der Schanze)	15 52	55 56
14 Aug. 1767 Bringstrup bey Ringsted	16 2 $\frac{1}{2}$	55 27
6 Sept. 1768 Vranesbanke bey Taarnbye	16 5	55 23

	Abw.	Breite.
30 May 1769 Birkenshöi bey Rörvig	16 4' w.	55 58' n.
17 Juli 1770 Hashöi bey Slotsbierrebye	16 6	55 22
25 Juli 1771 Kongsbjerg auf Möen	16 10½	54 58

Das Russische Reich.

- S. 6 Charcow, Huth, 1809, Abweichung = 5° 4' w.
 - 8 Serednoi Kovima, Billings, 28 May 1787, Abw. 9° 10' ö., Br. 67° 10' n., L. Gr. 157° 10' ö.
 Wirchni Kovinskoi, Billings, 24 May 1787, Abw. 7° 33' ö., Br. 65° 28' n., L. Gr. 153° 24' ö.

Deutschland, Preussen, die Niederlande und die Schweiz.

- 9 Carlsruhe, Böckmann, 1810, Abw. 18° 10' w.
 - - Danzig. Die Beobachtung 1628 ist von Kruger, die 2 folgenden von Hevel.
 - - Freyberg. Abweichungen, beobachtet von Oelschläger:

26 Jan. 1815 Abw. 18° 35'	27 April 1816 Abw. 18° 30'
21 März 1815 — 18 26	2 Oct. 1816 — 18 19
25 Jan. 1816 — 18 26	14 März 1817 — 17 58
6 April 1816 — 18 19	

 - - Göttingen, Tob. Mayer, 4 Juli 1788, Abw. 19° 59' w.
 - - Nürnberg, Hartmann, 1536, Abw. = 10° 30' ö.
 - 10 La Rochette, Beaufoy, 1787, Abw. 19° 7' w., Br. 47° 0', L. 7° 10' ö. Gr.
 - - Wien, 1696, Abw. 11° 34' w.
 - - Wittenberg, Langguth, 5 Jan. 1803, Abw. 17° 0' w.
 - - Zürich. Abweichungen, beobachtet von Feer:

16 Juni 1812 Abw. 20° 46'	20 Jan. 1817 Abw. 19° 20'
6 März 1816 — 19 40	20 Febr. 1817 — 19 15

Portugal, Spanien und Italien.

- 17 Aranjuez, Breite 40° 2', Länge Ferro 14° 3¼.
 Cap S. Vincent, Breite 37° 1¼, Länge 350° 58' ö. Gr.
 Cap de Gat . — 36 44 — 357 47 —
 Cap S. Marys — 36 55½ — 352 7 —
 - 18 Madrid, Länge 13° 57½ Ferro.

Ungarn und die Europäische Türkei.

- - Baya, 1696, Abw. 10° 19' w., Br. 46° 10', Länge 37° 35' F.
 - - Erlau (Atria), 1696, Abw. 9° 30' w., Br. 47° 54', L. 38° 2¼ F.
 - - Ofen (Buda), 1696, Abw. 10° 0' w.
 - 19 Segedin, 1696, Abw. 10° 0' w., Br. 46° 16', L. 37° 58' F.

Asien und benachbarte Inseln.

- - Anjenga, Panton, 28 Oct. 1776, Abw. 1° 12½ w., Br. 8° 41' n., L. 76° 54' ö. Gr.
 - 21 Louveau, Tachart, 1682, Abw. 0° 30'.
 Madras, 1680, Abw. 8° 10', also jährl. Abnahme = 5,5.

- Mangulor, Breite 12° 52', Länge Gr. 75° 51'.
 Morha, Länge 61° 50' Ferro, 44° 10' Gr.
 21 Nangasaki, Krusenstern, Oct. 1804, Abw. 1° 46' w., Br. 32° 44', Länge 230° 13' Gr.
 - - Palacate, Breite 13° 25', Länge 80° 21'.
 22 S. Paul Insel, Dentrecasteaux, 29 März 1792, Abw. 17° 30' w., Br. 37° 56' s., L. 75° 2' 6. Paris.
 - - Tellichery, Br. 11° 45', Länge 75° 30' 6. Gr.

Africa und die benachbarten Inseln.

- 23 In der Ueberschrift: Asien l. Africa.
 - - Grand Canaria, Länge 1° 31' 4 Ferro.
 - - Sta. Cruz, Dentrecasteaux, 13 Oct. 1791, Abw. 18° 9'.
 - - Anjouan, 1675, Abw. 19° 30', Br. 12° 15' s., Länge 44° 0' 6. Gr.
 24 Diego, Roiz, 1676, Abw. 20° 30'.
 - - Tafel Bay statt 1799, Abw. 11° 0' l. 1699, Abw. 11° 0'.

America und benachbarte Inseln.

- 26 Acapulco, Länge 277° 54' Ferro, 260° 14' Gr. nach Humboldt.
 - - Albany Fort, 1668, Abw. 19° 15' nach Halley. Die Abweichung hat also hier zwischen 1668 und 1730 zu- und von 1730 bis unsre Zeit abgenommen.
 - - Beverley, Breite 42° 35' 4, Länge 289° 7' 4 Gr.
 27 Boston, Länge 288° 55' Gr.
 - - Cambridge, Länge 288° 52' 4 Gr.
 - - Cayenne, Fresneau, 1733, Abw. 1° 40' 6.
 Condamine, 1744, — 4 30
 Dessingy, 1762, — 4 30
 1767, — 3 30
 1777, — 2 12
 1788, — 2 5
 1789, — 2 5
 28 Fernando Nazonha, Baron, 1733, Abw. 2° 0' 6., Br. 3° 47' s.
 Ekeberg, 1754, — 0 45
 - - Mexico, Humboldt, Dec. 1803, Abw. 8° 8', jährl. Abnahme 4', 7.
 29 Norriton, Länge 284° 37' Gr.
 - - Port des Français, La Perouse, Juli 1786, Abw. 26° 36' 6., Br. 58° 43', L. 139° 55' w. Paris.
 - - Pr. Wales Fort, Länge 265° 45' Gr.
 - - New York, Länge 286° 0' Gr.

Australien.

- 30 S. Christina, Marchand, 18 Juni 1791, Abw. 3° 23' 6.
 - 32 Onchow, Cook, 18 Jan. 1778, Abw. 9° 52' 6.
 - - Pilstart, Cook, 8 Oct. 1773, Abw. 9° 51' 6.

Zweyte Tafel.

- 33 Acapulco, Humboldt, März 1803, Neig. 38° 53', Br. 16° 50' 1, Länge 260° 14' Gr.
 - - Agulhas Vorgeb., Ekeberg, 22 Juni 1770, Neig. 45° 0' s., Br. 35° 40' s., L. 39° 23' Ferro.
 34 Bourbon, S. Paul, Le Gentil statt 1766 l. 1761.
 35 Simons Bay, Ekeberg, 20-22 Juni 1770, Neig. 44° 25' s.
 3 May 1774, — 44 29
 36 Lucepara, Ekeberg, 4 Jan. 1771. Neigung 23° 37' s., Breite 3° 30' s., Länge 123° 15' Ferro.
 39 Svinörs Hafen, Länge 22° 50' Ferro, 6° 18' Gr.
 - - Upsal, Celsius, 19 Aug. 1743, Neig. 74° 51'.
 20 Sept. 1743, — 75 5

Dritte Tafel.

- 83 Zweyte Columnne in der Ueberschrift statt 1779 l. 1775.
 - - statt März 17 l. May 17.
 - 87 erste Columnne statt Hapae Insel l. Hapae Inseln.
 - 93 zweyte Columnne, Abweichung in Anjenga statt 11° 2' 1. 12 12' 4.
 - 113 Serednoi Kovima, Länge statt 57° 10' l. 157° 10'.



Einleitung.

Es hat kein Theil der Naturlehre, der Untersuchungen verschiedener großen Männer ungeachtet, im letztverflossenen Jahrhunderte geringere Fortschritte gemacht, als die Lehre von dem Magneten und seinen Wirkungsgesetzen, sowie vom Magnetismus der Erde. *P. Jacquier* und *La Sueur**) glaubten durch Versuche ausgemittelt zu haben, die Anziehungskraft des Magneten verhalte sich umgekehrt, wie die Cubi des Abstandes vom angezogenen Punkte. Derselben Meinung ist *Musschenbroek*; andere geben andere Gesetze für die Anziehung an; einige behaupten endlich, die Anziehungskraft befinde sich mit keiner Potenz des Abstandes in Proportion.

Was insonderheit den Magnetismus der Erde betrifft, so nahm *Halley* an, daß die Erde 4 Magnetpole habe, aus welchen er auch die Abweichungsphänomene überaus gut erklärte; aber er setzte keine mathematische Theorie fest, nach welcher sich letztere berechnen ließen. Der große *Euler* behauptete, die magnetischen Phänomene der Erde könnten aus zwey Polen erklärt werden, entwickelte eine tief eingreifende Theorie, mußte aber nach den schwierigsten mathematischen Untersuchungen eingestehen, es gebe Umstände, welche die Unzulänglichkeit jener Erklärungsart darthäten. Dasselbe ge-

*) S. Comment. ad Newton. Princip. philosoph. Tom. III. pag. 40-43.

steht *Churchman* in der zweyten Ausgabe seines *New Atlas of the magnetic variation*.

Bauend auf die Aussage *Eulers*, und abgeschreckt durch die Schwierigkeiten*), welche er vorfand, hat man die Sache auf sich beruhen lassen. Wo ein so großer Mann vergeblich gearbeitet, da glaubte jeder seine Mühe verschwendet. Indessen haben doch die täglichen Oscillationen der Magnetnadel, verschiedene Umstände bey ihrer Abweichung und der Veränderung dieser gar manchen in seinem Glauben wankend gemacht.

Nicht mit Unrecht sagt daher ein gewisser Schriftsteller**), in der *Lehre vom Magnetismus* sehe es noch, wie im *Ptolomäischen Weltsysteme* aus. Die magnetischen Strömungen (*tourbillons*), die Kanäle und Ventile des Eisens, wodurch jene strömen sollen, und *Halleys* terrella, wohl verdient dies einen Platz neben den vorgeblichen Epicykloiden und Schraubengangslinien der Planeten. Aber die Astronomie nach dem Ptolomäischen Systeme stand auf einer weit höheren Stufe als unsre heutige Kenntniß des Magneten. — Die meisten Phänomene in der Natur vollenden einen gewissen Kreislauf; nach einer gewissen Reihe von Veränderungen kommen die nämlichen wieder, und folgen nun in derselben Ordnung auf einander, wie das erste Mal. Haben wir nun wiederholt Gelegenheit gehabt, diesen Kreislauf vor unsern Augen sich vollenden zu sehen, dann schliessen wir aus Gründen der Wahrscheinlichkeit, ohne jedoch der Erscheinungen Ursache zu kennen, daß sie stets dieselbe Ordnung beobachten werden. Ueberschauen wir hingegen nur einen Theil der ganzen Kette von Veränderungen, so treibt alsbald die Wißbegier mit ungeduldiger Eile hin zur Erforschung der Ursache der Erscheinungen, um daraus das übrige zu errathen und so den ganzen Kreis auszufüllen.

Beobachtungen von Jahrtausenden hatten unsre Vorfahren die scheinbaren Bewegungen der Planeten kennen gelehrt, und sie, unbekannt zwar mit ihrer

*) In seinen *corrections necessaires &c.* Mem. de Berlin Tom. XXII ann. 1766, sagt Euler: Je ne donne ces recherches, que comme un essai, pour pénétrer tant soit peu dans la véritable théorie de la déclinaison magnétique, qui est sans doute une des plus épineuses matières, qu'on ait traité jusqu'ici.

**) Schummel in seiner *Weltstatistik*. Einleitung.

wahren Ursache, konnten die Standpunkte derselben doch mit ziemlicher Genauigkeit für künftige Zeiten voraussagen. Die magnetischen Phänomene dagegen, eine künstlichere Beobachtung erfordernd, sind bey weitem nicht so lange bemerkt worden. Erst gegen das Ende des 12ten Jahrhunderts*) scheinen die Europäer auf die *Polarität* des Magneten aufmerksam geworden zu seyn, gegen das Ende des 15ten auf seine *Abweichung* vom Meridiane (*Declination*), gegen das Ende des 16ten auf seine *Neigung* unter dem Horizonte (*Inclination*), und bald darnach auf die *Veränderung der Abweichung*. Die *täglichen*, ja *stündlichen Bewegungen* der Magnetnadel nebst ihrer *Unruhe* während des *Nordlichtes* waren dem Beobachtungsgeiste der ersten Hälfte des letztverflossenen Jahrhunderts aufbehalten, sowie endlich die Kenntniß der *Verschiedenheit der magnetischen Kräfte* auf *verschiedenen Punkten der Erde* und der *Einfluß des Nordlichtes* auf dieselben dem Anfang des 19ten.

Am Schlusse des 16ten Jahrhunderts war in ganz Europa und dem größten Theile des Atlantischen Meeres die Abweichung *östlich*. Hierauf nahm dieselbe schnell ab, und bald nach der Mitte des 17ten Jahrhunderts wies die Magnetnadel in Europa gerade nach Norden. Seitdem blieb sie bey, westwärts zu gehen, so daß sie gegenwärtig im südlichen Europa mit dem Meridian einen Winkel gegen Westen von mehr als 20° macht. In den beiden

*) Doch erzählt Are Frode, Verfasser des Landnamabok von Island oder der Erzählung der Entdeckung Islands (Part. 1. Cap. II. pag. 7), daß Floke Vilgerdason, der dritte Entdecker dieser Insel, ein berühmter Viking oder Seeräuber, etwa im Jahre 868 von Rogaland in Norwegen ausging, um Gardarsholm (Island) zu suchen. Er nahm drey Raben mit sich, die zu Wegweisern dienen sollten. Und um sie zu diesem Gebrauche einzuweihen, veranstaltete er im Sinörsund, wo das Schiff segelfertig lag, ein großes Opfer; denn damals hatten die Seefahrer keinen Leidstein (Magneten) in den nördlichen Ländern (Pviat þa höfdo hafsiglingarmenn enger Leidarstein i þan þima á nordorlöndum). Leid bedeutet Weltgegend (weßhalb der Polarstern auch auf Isländisch Leidstjerna hieß), also Leidarstein, ein wegweisender Stein. Are Frode ist nach dem Zeugnisse Snorro Sturlesons im Jahre 1068 geboren, folglich ist sein Buch vermuthlich am Schlusse des 11ten Jahrhunderts geschrieben. Damals ist also schon die Polarität des Magneten in Norwegen bekannt gewesen. Es läßt sich inzwischen aus dem Ausdrücke abnehmen, als hätten sie noch nicht den Kompaß gekannt, sondern bloß den natürlichen Magnetstein in einem Faden aufgehängt.

letzten Decennien hat sie beinahe stille gestanden, ja scheint in Dänemark sogar sich langsam nach Osten zurückzuwenden. Ob die Magnetnadel in der Folge wirklich nach Osten, oder nach diesem Stillstande wiederum weiter westwärts rücken werde, oder ob sie vor dem Ende des 16ten Jahrhunderts weiter ostwärts gestanden oder nicht, das ist uns unbekannt.

Darf man annehmen, die von *Robert Norman* in der Nähe Londons 1580 beobachtete östliche Abweichung von $11^{\circ} 15'$ sey ein Maximum der östlichen Abweichung, und die 1805 von *Gilpin* eben daselbst gefundene westliche Abweichung von $24^{\circ} 8'$ gleichfalls ein Maximum (so dafs hierauf die Nadel sich wieder zurück nach Osten wendete oder der Mittagslinie näherte), so sahen wir in einem Zeitraume von 225 Jahren die Magnetnadel einen Winkel von $55^{\circ} 23'$ gegen Westen durchwandern, und kennen wenigstens von den geringeren Veränderungen, welche gesamt den ganzen Kreis derselben bilden würden, eine vollständige Periode. Ob sich aber der Kreis mit einem gleich großen Rückgange schliessen, oder ob noch mehrere Bewegungen vor und rückwärts erfolgen werden, läßt sich hieraus mit ganz und gar keiner Wahrscheinlichkeit errathen. Inzwischen bleibt der gegenwärtige Zeitpunkt (falls die Magnetnadel künftig wirklich zurück nach Osten rückete), *die erste uns mit Gewifsheit bekannte Epoche* in den magnetischen Erscheinungen, und verdient unsre ganze Aufmerksamkeit.

Die durch ihren Entdeckungsgeist so rühmlich sich auszeichnende letzte Hälfte des 18ten Jahrhunderts hat uns auch von magnetischen Beobachtungen (deren unsre Vorgänger ermangelten), eine so reiche Sammlung gewährt, dafs eine glückliche Benutzung dieser Schätze zu schönen Hoffnungen berechtigt. Aber, bevor wir weiter schreiten, scheint es nicht zwecklos, auszumachen, wie weit in der Vergangenheit zurück wir wohl magnetische Beobachtungen zu erwarten haben.

Vor dem 15ten Jahrhundert war die Seefahrt der Europäer auf die Küsten der Nord- und Ostsee, des mittelländischen und Spanischen Meeres eingeschränkt. Auf dergleichen Reisen, wo man nur selten das Land aus dem Gesichte verlor, bedienten sich zwar die Seefahrer des Kompasses, brauchten aber in ihrem Course eines so geringen Versehens, wie etwa von einem Dutzend

Graden, nicht zu achten; verleitete doch ihre unbeholfene Nautik zu Fehlern von weit größerer Bedeutung. Eine schärfere Untersuchung der Direction der Magnetnadel blieb deswegen, als eine Sache ohne sonderlichen praktischen Nutzen, der Neugier der Gelehrten anheimgestellt, ja ward Anfangs selbst von ihnen, nicht als Folge eines allgemeinen oder kosmischen Grundes, sondern eines Fehlers in der Construction und Streichung der Nadel betrachtet. Letzteres war wohl auch Ursache, warum die Gelehrten, wenn sie dergleichen Beobachtungen auch zufällig machten, solche doch aufzuzeichnen unterließen.

Die großen Entdeckungen der Portugiesen und Spanier zu Ende des 15ten und Anfange des 16ten Jahrhunderts unter *Columbus*, *Gama* und *Magelhaens* munterten die Engländer und Holländer zum Aufsuchen eines neuen Weges nach Ostindien, und zwar im Nordwesten und Nordosten auf. Da diese Versuche nach 40jährigen Anstrengungen kein glücklicher Erfolg krönte, beschloßen die Engländer, den Portugiesen um das Cap zu folgen, und im Jahre 1600 ward die Ostindische Compagnie errichtet. Auch die Holländer fingen an, Ostindien zu besuchen. Auf solchen weiten Moerfahrten konnte man (selbst zu Längenbestimmungen) der Magnetnadel nicht entrathen, und in diesem 17ten Jahrhundert wurde eine Menge Abweichungsbeobachtungen gesammelt, die durch ihre Regelmäßigkeit und Beständigkeit *Gilbert* nebst dessen Zeitgenossen nöthigten, eine kosmische Ursache dieser Erscheinung anzunehmen. Von jenem Schatze ist aber, da die meisten ältern Sammler von Reisebeschreibungen nautische Beobachtungen gern ausließen, oder doch nicht mit der gehörigen Genauigkeit mittheilten, wenig, und noch weniger in einem brauchbaren Zustande, auf uns gekommen. Doch stößt man, zumal bey den Englischen Sammlern, wie *Hacluyt*, *Purchas* und andern, auf verschiedene belehrende Beobachtungen. Vielleicht können wir aber die Hoffnung hegen, daß sich noch in den Portugiesischen, Spanischen, Englischen und Holländischen Archiven einige der ursprünglichen Journale auffinden lassen.

Zwar haben uns Schriftsteller aus dem Anfange des 17ten Jahrhunderts, wie *Gilbert*, *Kircher* und andere, die vom Magnetismus der Erde handeln, eine Sammlung von Beobachtungen aufbewahrt, von denen die meisten, allem Vermuthen nach, älter sind als 1600; allein in ihrem Wahne, als sey die Ab-

Von einer früheren Zeit, als ungefähr 1600, etwas vollständiges zu sammeln, ist mir nicht möglich gewesen.

Was die Art des Findens der Abweichungs- und Neigungslinien betrifft, so habe ich platte Karten von der Gröfse entworfen, dafs 90° des Aequators 12 Dänische (Rheinländische) Decimalzolle ausmachen, und die ganze Erdoberfläche vom Aequator bis 70° nördlicher und südlicher Breite auf 8 Bogen gewöhnliches Papier gehet. Auf diesen Karten finden sich die beobachteten Abweichungen und Neigungen, an den gehörigen Orten nach der geographischen Länge und Breite des Beobachtungsortes aufgetragen; demnächst sind die magnetischen krummen Linien durch diejenigen Punkte gezogen, wo sich eine gleich grofse magnetische Abweichung oder Neigung auswies.

Die Quellen der zu den Karten nothwendigen Beobachtungen sind folgende:

A. Bey der Abweichungskarte für das Jahr 1600 sehe man:

- 1) *Purchas his pilleggrims or Hachluitus posthumus.*
- 2) *Edward Wright, certain errors in navigation detected and corrected.*
- 3) *Athanasii Kircheri Magnes, sive opus de arte magnetica.*

Zu den Karten für 1700, 1710, 1720, 1730, 1744, 1756 ist eine Tabelle der Abweichung von *William Mountaine* und *James Dodson* in den *Philos. Transact.* Y. 1756 p. 329 fast ausschliesslich gebraucht. Diese Tabelle giebt von 5 zu 5 Graden der Breite und Länge die Abweichung für das Atlantische und Indische Meer, und soll das Resultat von mehr als 50,000 Beobachtungen seyn.

B. Bey der Karte für 1700 kann nachgesehen werden:

Halley table of variations of the magnetical needle in Phil. Trans. Y. 1752.

C. Bey der Karte für 1710 sind folgende Beobachtungen benutzt:

The variation of the magnetical Compaſs observed by Capt. *Woods Rogers*, Comm. of the ship *Duke*, in his passage from Cape St. Lucar in California to the isle of Guam one of the Ladrões. Comm. by Dr. *Edm. Halley.* *Phil. Trans. Y. 1721 p. 173.*

D. Bey der Karte für 1720 sehe man:

- a) *Observations upon the Variation of the Needle made in the Baltic*

Dieser Reisebeschreibung ist nämlich eine Karte des Südmeeres beigefügt, auf welcher Lord *Anson* die Abweichungsbeobachtungen, welche er selbst gemacht, so wie die, welche er aus den Journalen des eroberten Spanischen Schiffes ausgezogen, aufgetragen hat. Durch diese Beobachtungen geleitet, habe ich die Halleyschen Linien im Südmeere auf dieser Karte gezogen.

G. Bey der Karte von 1756 sehe man:

- a) A letter from Mr. *Will. Mountaine*, containing some observations on the variation of the magnetical Needle, made on board the *Montagu Man of War*, in the years 1760, 1761, 1762 by Mr. *David Ross*, Surgeon. Phil. Trans. Vol. LVI. for the year 1766 pag. 216.
- b) Observations de la declinaison de l'Aiguille aimantée par Mr. l'Abbé *de la Caille*. Mem. de Paris An. 1754.
- c) Voyage fait par ordre du Roi en 1750 & 1751 dans l'Amerique septentrionale &c. par Mr. *de Chabert*.

H. Die Karte für 1770 ist nach folgenden Beobachtungen construirt worden:

- a) An account of the voyages undertaken by the order of his present Majesty, for making discoveries in the southern Hemisphere, and successively performed by Commod. *Byron*, Capt. *Carteret*, Capt. *Wallis* and Capt. *Cook* &c. by *John Hawkesworth*, 3 Vol.
- b) Variation of the Compass in the Endeavour Bark in a voyage round the world by *James Cook*. Phil. Trans. An. 1771 pag. 422.
- c) Magnetnålens Inclination och Declination på en Siöresa til och ifrån Canton 1766-1767 af *C. G. Ekeberg*. Sv. Vet. Acad. Handl. A. 1768.
- d) Observationer gjorde med Inclinations-Compassen på en Siöresa ifrån Göttheborg til Canton i China och darifrån tillbaka åren 1770 och 1771 af *C. G. Ekeberg*. Ibid. An. 1772.
- e) Observationer gjorde med Inclinations-Compassen, under en Siöresa til och från Canton af *C. G. Ekeberg* 1774-1775. Ibid. 1775 S. 306.
- f) *Thomas Hutchins* experiments on the dipping needle made by desire of the royal Society. Phil. Trans. Y. 1775 p. 129.
- g) Journal of a voyage to the east Indies in the ship *Grenwille*, Capt. *Burn*.

- 6) Sauers account of a voyage of discovery in the northern parts of Russia and the Icy Sea, performed by Capt. *Billings* 1787-1791.
 - 7) Voyages made in the years 1788 and 1789 from China to the N. W. Coast of America by *John Meares*, Esq.
 - 8) Voyage de *La Perouse* en 1785-1788.
 9. Voyage à la recherche de la *Perouse* 1791-1794, unter Commando des Capt. *d'Entrecasteaux*, herausgegeben von *Citoyen Labillardiere*.
 - 10) Voyage de *Dentrecasteaux*, redigée par *Rossel*.
 - 11) Voyage round the world in the years 1791-1795 by Capt. *Vancouver*.
 - 12) Voyage autour du Monde pendant les années 1790-1792, par *Etienne Marchand*, sur le Vaisseau *le Solide*.
 - 15) The voyage of Governor *Phillip* to Botany-Bay &c. to which are added the Journals of Lieuts. *Shortland*, *Watts*, *Ball* and Capt. *Marshall* 1787-1788.
 - 14) A voyage to the South Sea, undertaken by Command of his Majesty for the purpose of conveying the breadfruit tree to the West-Indies, in his Mts. Ship the *Bounty* by Ltn. *Will. Bligh* 1788.
 - 15) A voyage to the South-Atlantic, and round Cape Horn into the pacific Ocean, for the purpose of extending the Spermaceti-Whale-Fisheries 1793 by Capt. *James Collnet* in the Ship *Rattler*.
 - 16) Journal, gehalten auf dem Fregatschiffe *Gen. Maj. Schimmelmann* von Kopenhagen nach St. Thomas in Westindien von Lieut. *H. Kaas* 1784.
 - 17) Journal, gehalten auf dem Schiffe *Gen. Maj. Schimmelmann*, Capt. *H. B. Trille*, von St. Thomas nach Kopenhagen 1782.
 - 18) Journal, gehalten auf dem Schiffe *St. Thomas*, Capt. *U. Lodberg*, von Kopenhagen nach Tranquebar und Bengalen 1785-1785.
 - 19) Journal, gehalten auf dem Compagnieschiffe *Charlotte Amalia* von Kopenhagen nach China 1787-1789.
- K. Die Karte für 1800.
- 1) A voyage of discovery to the north pacific Ocean &c., performed in his Mts. Sloop *Providence* in the years 1795-1798 by *Will. Robert Broughton*.

- 2) A voyage of discovery in the *Lady Nelson* in the years 1800, 1801 and 1802 to New S. Wales by *James Grant*.
- 3) Reise um die Welt in den Jahren 1803-1806 von *A. J. v. Krusenstern*. Petersburg 1810.
- 4) Journal, gehalten auf dem Fregatschiffe *die Speculation* von Kopenhagen nach Batavia und zurück von Capt. *Bönsöe* 1798-1800.
- 5) Journal auf einer Reise nach Ostindien auf dem Briggschiffe *Kjöbenhavn*, Capt. *Bönsöe* 1803-1804.
- 6) Journal, gehalten auf dem Schiffe *Forcetagedet*, Capt. *Bönsöe*, auf einer Reise nach Ostindien 1805-1806.
- 7) Journal, gehalten auf dem Schiffe *Kronprindsen* auf einer Reise nach und von Canton in China von Capt. *Albr. Tranberg* 1802-1803.
- 8) Journal, gehalten auf dem Schiffe *Kongen af Danmark* auf der Reise nach und von Canton vom zweiten Steuermann *Albrechtsen* 1798-1800.
- 9) Journal, gehalten auf dem Schiffe *Kronprindsen* auf der Reise nach und von Canton von Capt. *Sv. Oergaard* 1804-1805.
- 10) Journal, gehalten auf dem Schiffe *Danmark*, Capt. *Tranberg*, auf einer Reise nach China 1800-1801, vom Obersteuermann *Hallensen*.
- 11) Journal, gehalten auf dem Schiffe *Norge* auf der Reise nach und von Canton, von Capt. *H. G. Trock* 1804-1806.

Außer den hier angeführten, habe ich eine große Menge einzelner Beobachtungen benutzt, befindlich in *Gilberts Annalen* und den Sammlungen der Gesellschaften der Wissenschaften. Letztere findet man in *Reuss repertorium commentationum a societate litterar. editarum*, Tom. IV., Physica, unter dem Artikel: *Magnes citirt*.

- L. Zu der *Neigungskarte* sind, außer den obenangeführten Beobachtungen von *La Perouse*, *Cook*, *Lövenörn*, *Phipps*, *Ekeberg*, *Abercrombie*, *Panton*, *Pickersgill*, *Hutchins*, *Vancouver*, *Dentrecasteaux* u. s. w. folgende benutzt:
- 1) Beobachtungen über die Stärke und Neigung der magnetischen Kräfte, angestellt in Frankreich, der Schweiz, Italien und Deutschland von *Humboldt* und *Gay-Lussac*. *Greens Ann. der Physik* Jahrg. 1808, 5 St. XXVIII B. 3 St.

- 2) Ueber die Variationen des Magnetismus der Erde in verschiedenen Breiten von den *H. H. von Humboldt* und *Biot*. Ann. der Phys. Jahrg. 1805, 7tes St.
- 3) Voyage dans les Mers de l'Inde, à l'occasion du Passage de Venus s. l. disque du Soleil le 6 Juin 1761 & le 3 Juin 1769 par Mr. *Gentil* de l'Ac. R. d. Sc.
- 4) Beobachtungen von *Abbé de la Caille* in den Jahren 1750-1754; Mem. de Paris An. 1754.
- 5) Eine Menge einzelner Beobachtungen in den Schriften der Societäten der Wissenschaften in Amerika, in London, Paris, Berlin, Stockholm, Kopenhagen; in *Gilberts Annalen*, in *Bodes* astr. Jahrbuch u. s. w.

Alle diese Beobachtungen sind in den Tabellen I., II., III. des Anhangs eingeführt.

Die bekanntesten magnetischen Erscheinungen bestehen in einer Anziehungs- und Abstosungskraft, wie in einer aus diesen Kräften folgenden bestimmten Richtung der magnetischen Körper, wenn sie sich selber überlassen sind und sich im Wirkungskreise andrer gleichartiger befinden. Ob die magnetischen Kräfte, ausser dafs sie sich solchergestalt als bewegende Kräfte zeigen, noch, gleichwie die elektrischen, chemische Wirkungen hervorbringen können, ist bisher wenigstens durch Versuche nicht bestimmt ausgemacht worden. Es scheint mir nicht glaublich, dafs irgend eine Kraft als blofs *mechanische* oder *bewegende* Kraft wirkt, ohne zugleich gröfsere oder kleinere Veränderungen im Innern der Materie hervorzubringen. Dafs Druck, Stofs, Zusammendrückung und Ausdehnung, ja selbst blofse Berührung solche innere Veränderungen hervorrufen, ist satksam bekannt; vielleicht dafs sich gar die allgemeine Anziehung nicht blofs darauf beschränkt, Bewegung zu erzeugen, sondern zugleich von andern dynamischen Wirkungen begleitet wird. Anlangend die magnetischen Kräfte, so soll in der Folge dargethan werden, dafs das Polarlicht von denselben durch die Vereinigung der entgegengesetzten Kräfte auf die nämliche Art erzeugt werde, wie ein ganz ähnliches Lichtphänomen durch die Verbindung der entgegengesetzten elektrischen Kräfte hervorgebracht wird. Von gegenwärtiger Untersuchung handelt demnach der erste Theil von

den *mechanischen*, der zweyte von den *Licht-Erscheinungen* der Erdmagneten. Da die mittlere Richtung der magnetischen Kräfte der Erde an den meisten Orten der letztern einen Winkel mit der Erdoberfläche macht, so können wir theils die Gröſſe dieses Winkels (die *Neigung*), theils denjenigen Winkel betrachten, welchen eine Vertikalfläche durch jene mittlere Richtung der Kräfte mit der Mittagsfläche des Ortes macht (die *Abweichung*). Die magnetische *Abweichung*, *Neigung* und *Kraft* werden also im ersten Theile die 3 Hauptgegenstände unsrer Untersuchung.

Um mit desto größerer Sicherheit zu Werke zu gehen, wird es nöthig seyn, uns, soweit es die Beobachtungen erlauben, zuerst mit den Verhältnissen dieser 3 Erscheinungen über der ganzen Erde und in verschiedenen Zeitpunkten bekannt zu machen. Das ganze Abweichungssystem wird am besten mittelst der sogenannten *Halleyschen Abweichungslinien*, gleichwie das Neigungssystem aus den *Wilckischen**) *Neigungslinien* überschaut. Für ein ähnliches System der *isodynamischen Linien* hat Hr. v. *Humboldt* zuerst die ersten Elemente geliefert, welche jedoch schon sehr belehrend sind. Die beiden ersten Hauptstücke werden uns deshalb mit Hülfe der Abweichungs- und Neigungskarten dasjenige kennen lehren, was die Erfahrung von diesen Erscheinungen darbietet, und die folgenden eine Theorie aufzustellen versuchen, nach welcher sich dieselben berechnen lassen.

*) Wilcke war meines Wissens der erste, welcher eine Neigungskarte entwarf, in Sv. Vet. Ak. Handl. 1768, p. 193 befindlich. Diese, bis jetzt vermuthlich die einzige originale, sieht man copirt in Le Monnier *Lois du Magnetisme*. Gleichfalls sollen die Neigungslinien auf zwey Karten von Professor Funck gezogen zeyn, überschrieben: die nördliche und südliche Erdoberfläche, auf die Ebene des Aequators projecirt. Leipzig 1781. Obwohl ich sie nicht gesehen, vermuthe ich doch, daß es die Linien Wilckes sind.

Erstes Hauptstück.

Von den Halleyschen Linien und deren Bewegung vom Jahre 1600 bis 1800.

A. Von der Abweichungskarte für 1600.

Da die Materialien dieser Karte schlecht und meines Erachtens nicht zuvor bearbeitet sind, sehe ich mich genöthigt, weitläufiger zu seyn, als ich es gern wäre, um darzuthun, daß die Abweichungslinien nicht nach bloßen Vermuthungen gezogen sind, sondern auf zureichende Beobachtungen sich gründen, und, obwohl nicht die Genauigkeit der Linien auf den übrigen Karten, doch eine für unsern Zweck hinlängliche Zuverlässigkeit haben. Bey letztern wird eine kurze Hinweisung auf die Quellen für jeden, der zum Selbstprüfen aufgelegt seyn möchte, befriedigend seyn.

Zur Erlangung einer ungefähren Uebersicht des Abweichungssystems in dieser Periode, und um zugleich die Gedanken der damaligen Gelehrten darüber zu vernehmen, mögen zuerst einige Stellen aus *Kirchers* Buche de Magnete hier stehen.

In des fünften Theiles zweitem Buche: de Geographia magnetica, pag. 375*) führt er die Worte eines berühmten Mathematikers über diesen Gegenstand folgender Mafsen an:

Non est hac declinatio commentum ad tegendos Nautarum errores, ut Petrus de Medina voluit, neque accidit, quod vis longo usu detrita sit, ut

*) Der Vf. hat die zweyte Ausgabe von 1643 von Augen gehabt.

sensit Nonius, neque ordinata est deviatio, ut experientia non crassa Nautarum sed doctiorum testatur. In Azoribus omnino non deflectit. Si Orientem ab his insulis navigaris, cuspis borea in Ortum vergit, si in occasum ad occasum; Antwerpiæ ad Ortum 9°, Londini 11°; in America sub latitudine 35° 36' ad occasum 11°, prope promontorium Brasilæ, C. de Frio in Ortum 12° excurrit; intra fauces orientiores freti Magellanici 5° aut 6°. Si a C. Frio ad ortum Africam versus navigaris, augetur deflectio ad 17° & 18°, quod ut conjectura assequi possumus, contingit non porcul a Meridiano, qui per Azores transit: inde minuitur ad 6° & 10°, quod accidit prope insulam S. Helenæ: inde ferunt minui usque ad C. bonæ Spei, ubi volunt prope flumen, quod ab ea causa Lusitani C. de las Aguglias vocarunt, in Meridiano jacere &c.

Seite 376 erwähnt er einer Mecographia gallica, worin zwey magnetische Pole als Ursache der Abweichung angenommen werden, welche Meinung er widerlegen zu können glaubt, und daher das Buch *innumeris plena erroribus* nennt.

Seite 377 führt er aus Stevini Limenheuretica folgendes an: *In Corvo insula magneticus index verum Septentrionem indicat, sed quo quis inde magis versus Orientem proficiscitur, eo magis videbit Chalybem ανατολιν*) donec usque ad unum milliare versus Orientem a Plimmutho, ubi variatio, ad summum perveniens, est 13° 24'. Ab hinc rursus incipit decrescere ανατολισμος usque ad Helmsjudam**) (qui locus non procul a Nortcapo Finmarchiæ dissidet), ubi iterum Septentrio vere designatur. Longitudo a Corvo Helmsjudam ad 60m. gradum. In Plimmutho vero, cujus longitudo 30 graduum, maximam esse χαλβοκλισιν. Sed ista licet his in locis aliqua ex parte vera sit, nequaquam tamen in Corvi***) insulæ Meridiano aliis in locis variatio est 13° 24', nec in aliis Helmsjudæ Meridiani partibus verum polum indicat. Nam in Meridiano transeunte per Plimmuthum in latitudine 60° variatio major est Euroborea, in*

*) Unter χαλβοκλισις versteht K. die Abweichung von der Mittagslinie; ist sie westlich, so nennt er sie δυσιςμος, östlich, ανατολισμος.

**) Die Insel Hjelmsøe.

***) Dies ist ein Druckfehler, und soll heißen: in Plimmuthi Meridiano.

latitud. 40° multo minor, in latitud. 20° exigua admodum. In Corvi Meridiano, etiamsi juxta insulam nulla sit variatio, in latitudine tamen 55° variatio est in Zephyroboream circiter $\frac{1}{2}$ Rhombi; in latitudine 20° versus Eurum versorium inclinat $\frac{1}{4}$ Rhombi.)*

Auf derselben Seite führt er die Gedanken des *Adrian Metius* über diese Sache mit folgenden Worten an: *Porro A. Metius per observationes Naucletorum competit in circuitu terrestris globi 8 diversas declinationes. Nam sub meridiano, ait, qui transit Corvo & Flores, a quo hodie longitudinum initium faciunt, Magnes indicat Septentrionem; ab eodem versus ortum etiam magis et magis in ortum declinat, donec perveniatur ad Pleimuthen in Anglia portum, cujus loci longitudo est 30°, ubi Magnes versus ortum declinat 13° 20'. Ab hoc loco declinatio ejus rursum diminuitur, atque deflectit pedetentim in Septen-*

*) K. fügt hinzu: ita igitur non convenienter per circulos majores et Meridianos termini variationis constituentur, cum nullam in declinando legem servet magnes, sed erraticè nunc huc, nunc illuc divagatur, decrescendo nunc in longitudinem nunc in latitudinem, nunc multum, nunc parum, prout loci conditio tulerit. Etsi multi mordicus defendant hanc proportionalem declinationem, velintque esse occultam quandam declinationum omnium correspondentiam, quam si quis noverit, facile in longitudinum orbis notitiam eum pervenire posse autumant.

Hieraus ersieht man, daß, sowie die Neuern das Problem der Länge mit Zuziehung des Himmels gelöst haben, man damals bedacht war, selbiges mit derjenigen der Erde und ihrer magnetischen Phänomene zu lösen. Dieselbe Idee hat *Euler* in seinen Briefen an eine deutsche Prinzessin von neuem angeregt. Daß man eine glückliche Anwendung davon gemacht, erhellt aus unzähligen Stellen bey *Purchas*. Bey dieser Gelegenheit kann ich nicht umhin, folgende Stelle aus dem *Kircher* anzuziehen, woraus sich ergibt, zu welchen Hoffnungen eine auf diese Weise vollzogene Lösung des Problems damals verleitet habe, imgleichen, mit welchem Unrechte man dem *Halley* das Auffinden der Abweichungslinien zuschreibe. Er erzählt nämlich p. 443 in der *nautica magnetica*, ein gewisser *Pater Chr. Burrus* habe geglaubt, eine Weise der Längenbestimmung zur See erfunden zu haben, und dafür vom Könige Spaniens eine Belohnung von 50,000 Dukaten verlangt. Seine Methode wird so beschrieben: *observavit is in prima in Indiam navigatione singulari diligentia in singulis locis et sub diversis Meridianis variationes magneticas, collegitque partim per se ipsum, partim per alios, qui hoc iter tentarant, non spernendam declinationum multitudinem; deinde observatos declinationis gradus diligenter annotabat in mappa geographica, hunc in finem confecta, et per singulos homonymos gradus trahebat lineas, quas ipse vocabat tractus chalybocliticos, atque harum linearum in mappa designatarum ope dicebat, scire se posse infallibiliter, ubinam locorum, et quantum a quolibet loco, habita declinatione, distaret &c.*

Zembla hin, wo sie vermuthlich ihren höchsten Punkt erreicht hatte, stieg sie bis über 30°.

Im südlichen Atlantischen Meere war überall die Abweichung östlich, am größten im Meridian der Azoren. Nach Amerika hin auf der einen, nach Afrika auf der andern Seite nahm sie ab, war am Eingange der Magellanischen Strasse etwa 6° östlich, und näherte sich am Vorgebirge der guten Hoffnung 0°. Am Cap de las Aguglias war die Nadel rechtweisend, zeigte weiter ostwärts westlich, und erreichte im Meridian des Persischen Meerbusens ihre größte Abweichung; aber gegen die Sunda-Inseln hin nahm letztere dergestalt ab, daß die Nadel in der Nähe von Makao rechtweisend war. Im ganzen Indischen Meere ergab sich also die Abweichung als westlich.

Zu desto genauerer Bestimmung der Lage der Abweichungslinien führen wir einige Stellen aus *Purchas his Pillgrims* an.

Im dritten Theile findet sich eine Reise folgendes Titels:

The voyage of Master John Knight for the discovery of a N. W. passage &c. begun the 18th. of April 1606.

Knight führt neben dem Breitengrade des Beobachtungsortes verschiedene Abweichungen an, welche aber bey fehlender Längenbestimmung unbrauchbar für uns sind. Endlich heist es unterm 19 Juny: wir sahen in 56° 48' N. Br. Amerikanisches Land, und fanden die Abweichung 25° W.

In demselben Theile steht:

The 4th. Voyage of James Hall to Greenland, wherein he was set forth by English Adventurers Anno 1612 &c. Written by W. Baffin.

Hier ist angegeben: Cockins Ford, 65° 20' N. B., 60° 30' W. L. von London, Abweichung 23° 58' W.; Ramel Ford, 67° N. B., Abweichung 24° 16' W. — Den 17 Aug. Burnils Cape 58° 50' N. Br., Abweichung 13° 22' W. — Auf der Rückreise führt er eine Menge Beobachtungen an, die aber aus eben gedachtem Grunde unbrauchbar sind. Den 6 Sept., 60° 10' N. Br., Abweichung 6° O., Wasser 68 Faden tief. Den 8ten sahen sie die Orknoys.

Ferner stehet hier:

A true relation of such things, as happened in the fourth voyage for the discovery of a N. W. passage, performed in the year 1615, written by W. Baffin.

Man kam an den Fluß Rogavaya Balsha, wo die Russen ein Garodok hatten. Den 30 Dec. 1614 fand man die Breite $65^{\circ} 48'$, und die Abweichung 20° westlich.

Divers voyages and Northern Discoveries of that worthy irrecoverable Discoverer Mr. Henry Hudson. His Discovery towards the North Pole, set forth at the charge of certain worshipfull merchant of London in May 1607. Written partly by John Playse, one of the company and partly by H. Hudson. (III. Part p. 567).

Den 26 May Morgens (sagt Hudson), sahen wir die Shettländischen Inseln, und waren Mittags 6 Leagues westlich von ihnen, in $60^{\circ} 12'$ N. Br. Den 30 May waren wir in $61^{\circ} 11'$ N. Br. Heute fand ich die Nadel (die Neigungsnadel), 79° unterm Horizonte geneigt. Nachher ging die Fahrt nordwärts, zwischen Spitzbergen und Grönland, bey beständig westlicher Abweichung, da man Nachts die Sonne im nördlichen Meridian, nach dem Kompass über einen Strich gegen Osten sah.

Second voyage of Mr. H. Hudson for finding a passage to the East-Indies by the North-East. Written by himself. (III. Part p. 574).

Purchas hat hier das Journal des Steuermanns Robert Ivot leider wiederum ausgelassen. Es findet sich folgende Bemerkung: *The courses observed in this Journal were by a compasse, that the Needle and the North of the Flye were directly one on another.*)*

Sie segelten längs der Küste Norwegens. Unterm 20 May 1608 bemerkt Hudson: Mittags ward die Breite durch Observation $64^{\circ} 52'$ gefunden; die Neigungsnadel neigte sich zugleich 81° unter dem Horizont; wir hatten stille (smooth) See, meine Beobachtung war also gut. Die beyden folgenden Tage steuerten sie N. N. O.; den 22sten Nachmittags, sagt Hudson, rechneten wir uns in 67° N. Br.; die See war stille, die Nadel neigte sich 82° . — Den 26sten war die Breite $69^{\circ} 40'$; die See stille, die Neigung nahe an der Norwegischen Küste 84° . Den 3 Juny nahe am Nordcap**); die Abweichung 11° W., die

*) Die hier angeführten Abweichungen sind also wahre Abweichungen. S. Einleitung pag. 6 u.

**) Kircher, Stevin und Metius sagen, die Nadel zeige bey Hjelsøe und am Nordcap den wahren Norden an; dies gründet sich vermuthlich auf ältern Beobachtungen, als 1600; woraus zu erschen, daß die Nadel sich hier gegen Westen bewegt habe.

Neigung $84\frac{1}{2}^{\circ}$, die See stille. — Den 7 Juny war die Neigung 86° , die N. Br. $74^{\circ} 25'$. Vom 7ten bis zum 17ten war der Cours östlich, meist zugleich etwas nördlich; die Abweichung blieb ungefähr eben so stark wie am Nordcap, denn unterm 17ten wird angemerkt: in $74^{\circ} 54'$ N. Br. stand uns die Sonne am niedrigsten (im nördlichen Meridian), etwas östlich vom Striche Nord gen Osten nach dem Komasse (on the North and by East easterly part of the compasse); also war die Abweichung etwas über einen Strich oder 11° östlich. Den 18ten segelten sie N. O. g. O. und hatten die Sonne im nördlichen Meridian N. g. O. $\frac{1}{2}$ Strich gegen Ost in $75^{\circ} 24'$ N. Br.; die Abweichung war also $1\frac{1}{2}$ Strich westlich oder ungefähr 17° . Den 19ten fanden sie bey stiller See in $75^{\circ} 22'$ N. Br. die Neigung $89\frac{1}{2}^{\circ}$, die Abweichung wie am 18ten. — Unterm 21sten merkt Purchas in margine an: *Ivets Noten sprechen von einer plötzlichen Verändderung in der Abweichung von Nord gegen Ost, indem sie nun einen Strich gefunden wurde, kurz zuvor aber zwey Striche gewesen war.* Dies, zusammengehalten mit der starken Neigung von $89\frac{1}{2}^{\circ}$ am 19ten, verdient Aufmerksamkeit. Am 22sten fanden sie bey stiller See in $74^{\circ} 35'$ N. Br. die Neigung 85° , und die Sonne in dem nördlichen Meridian $1\frac{1}{2}$ Strich gegen Ost nach dem Komasse. Am 23sten war die Breite $74^{\circ} 18'$, und die Sonne im Meridiane 2 Striche gegen Ost; am 25sten waren sie in $72^{\circ} 52'$ N. Br. nahe bey Nova Zembla, und hatten die Sonne im südlichen Meridian im Striche S. W. g. S.; also 5 Striche westliche Abweichung ($53^{\circ} 45'$)*). Den 27sten waren sie am Lande von Nova Zembla, fanden durch genaue Beobachtung die Breite $72^{\circ} 12'$ (bey Swarte-Cliff), und hatten die Sonne im nördl. Meridian N. N. O. $\frac{1}{2}$ Str. g. O.; also war die Abweichung $2\frac{1}{2}$ Str. oder $28^{\circ} 8'$ W. — Am 29sten, als sie die Rückreise antraten, hatten sie bey stiller See 84° Neigung. Nachher war die Abweichung wieder in der Abnahme, hielt sich inzwischen lange auf $1\frac{1}{2}$ Str., wie auf der Hinreise. Am 15ten July sahen sie in $70^{\circ} 42'$ N. Br. die Sonne im südlichen Meridiane $\frac{1}{4}$ Str. gegen West. Den 17ten Vormittags bekamen sie Wardöehuus zu Gesichte; die Abweichung muß also in der Nähe dieses Orts ungefähr $8\frac{1}{2}^{\circ}$ gewesen seyn.

*) Welches mit der Beobachtung des Wilh. Barents auf der Wilhelms Insel gut übereinstimmt; siehe oben pag. 18.

Den 30sten, sagt H., hatten wir die Sonne im Meridiane gerade im Süd (*we had the Sun upon the Meridian due South*); die Breite war hier $68^{\circ} 46'$, Lofoden lag östlich vor uns; hier war also die Abweichung $= 0^{\circ}$.

3d. *Voyage of Mr. H. Hudson. written by Rob. Ivett of Limehouse. (III. Part p. 581).*

Am 5 May 1609 waren sie am Nordcap in $71^{\circ} 46'$ N. Br. und fanden die Abweichung 6° W.; am 23ten bey Lofoden die Abweichung $= 0^{\circ}$; am 25ten 15 Leagues westlich von Lofoden, gleichfalls 0° Abweichung. Sie segelten darauf südwestwärts nach den Färöern, von da weiter südwestlich auf die Buß-Insel zu (1578 von *Martin Frobisher* entdeckt), in deren Nähe sie sich am 5 Juny unter $58^{\circ} 48'$ N. Br. rechneten. Am vorigen Tage war die Abweichung wieder $= 0^{\circ}$. Darauf steuerten sie auf die Bank von New-Foundland zu. Die Abweichung nahm zu, war aber westlich. Vom 2ten bis 10 July hielten sie sich bey der Bank auf, und fanden die Abweichung bey etwa 40° N. Br. von 15° bis 17° ; den 20ten ward am Ende der Bank die Abweichung 17° W. gefunden. Vom 18ten bis 25ten lagen sie, $44^{\circ} 10'$ N. Br., in einem Flusse (Penobscot in Main?) vor Anker, Abweichung am 25sten $= 10^{\circ}$ W. — Darauf segelten sie längs dem Lande südwärts, die Abweichung nahm so ab, daß sie den 29sten, in $42^{\circ} 56'$ N. Br., $5\frac{1}{2}^{\circ}$ W., und den 2 Aug., in $41^{\circ} 56'$ N. Br., 0° gefunden ward (*at sunsetting we observed the variation of the compass, and found, that it was come to its true place*).

Sowohl diese beiden, als die folgenden auf letzterer Reise angestellten Beobachtungen stimmen mit allen andern keineswegs überein. *Hudson* sagt selbst, das Land habe hier auf den Kompaß gewirkt. Wir lassen deshalb das übrige aus.

Journal of a voyage made to Greenland with 6 English ships and a Pinasse in the year 1613. Written by Will. Baffin. (III. Part. p. 716).

Am 23 May, $65^{\circ} 45'$ N. Br., ward mit einem in London 54° neigenden Instrument die Neigungsnadel $63^{\circ} 30'$ unter dem Horizonte geneigt gefunden. Am 14 Juny im Hornsunde bey Spitzbergen, $76^{\circ} 55'$ Br., ergab sich, wenn man das Instrument gegen Norden wandte, die Neigung der Nadel unter dem Horizonte $67^{\circ} 30'$, allein, südwärts gekehrt, 80° . Die Abweichung, heist

waren sie bey Lindesnäs, die Abweichung $7^{\circ} 10'$ O. vom wahren Norden findend. Am 15 May ergab sich zwischen den Inseln Foote, Faire und Svinburne-Head (Shettländische Inseln) nach einer genauen Beobachtung, daß die Nadel $60^{\circ} 10'$ (soll wohl heißen $6^{\circ} 10'$) vom wahren Norden abweiche; die Breite war $60^{\circ} 10'$. — Den 30 May bey Cap Christian auf der Küste von Grönland die Abweichung $12^{\circ} 15'$ W.

The second voyage of Mr. James Hall forth of Denmark into Greenland in the year 1606.

In der Nähe Amerikas nahm die westliche Abweichung zu, und fand sich am 10 July im Angesichte des Landes in $60^{\circ} 16'$ N. Br. 24° W. vom wahren Norden. Den 14 July richteten sie den Cours gen Nordost, über die Davis-Straße nach Grönlands Westküste zu segelnd, auf welcher Fahrt die Abweichung etwas abnahm, sich jedoch zwischen 23° und 24° hielt. Den 1 Sept. verließen sie die Insel Frost an der Westküste Grönlands, segelten S. O. g. S. und fanden in 58° Breite die Abweichung $10^{\circ} 50'$ W. — Die folgenden Tage ging der Cours gen Ost, wobey die Abweichung beständig abnahm. Am 10ten ward sie in $59^{\circ} 10'$ N. Br. $1^{\circ} 4'$ O. gefunden. Den 18ten bekamen sie die Färöer zu Gesichte.

Aus dem Angeführten lassen sich folgende Schlüsse ziehen:*)

- a) Die Linie ohne Abweichung, welche im Jahre 1600 die Azorische Insel Flores durchschnitt, ist (wie man aus Hudsons Beobachtungen auf seiner zweyten Reise den 30 July 1608 bey Lofoden, und auf seiner dritten den 3 Juny 1609 in der Nähe der Buß-Insel**) ersieht), von da gen Nord, in der Nähe der Ostküste Islands etwas westlich, und darauf durch die Insel Lofoden bey Norwegen gegangen. Nördlich von letzterer fand man die Abweichung westlich, südlich bey der Insel Röst $4^{\circ} 8'$ östlich. Hierauf muß sie sich in Lappland gen Süd gewendet haben, denn längs der Nordküste Norwegens, vom Nordcap bis Wardöehuus, war dieselbe ungefähr 6° westlich.

*) Siehe die Karte für 1600.

**) Breite $57\frac{1}{2}^{\circ}$ N., Länge 27° W. von Greenwich.

- b) Die Linie von 10° westlicher Abweichung ging etwas östlich von der Südspitze Grönlands, denn bey Cap Christian an der Grönländischen Küste fand *J. Hall* den 30 May 1605 die Abweichung $12^{\circ} 15'$ W.; bey der Bären-Insel (Bear Island oder Cherrie Island) in $74\frac{1}{2}^{\circ}$ N. Br. und ungefähr 15° O. L. v. Lond. *Wilhelm Berentz* den 9 Juny 1596 die Abweichung 13° W.; und *Jonas Poole* ebendasselbst, den 8 May 1610, $13^{\circ} 30'$. Also hat sich die Linie von 10° W. Abw. hier nach Ost gewendet, und ist etwas südlich von letztgedachter Insel gegangen. Weiter gen Ost muß sie sich südwärts gewendet und das weisse Meer durchschnitten haben; denn auf der Rückreise von der zweyten Reise fand *Hudson* den 15 July 1608 in der Nähe von Wardöehaus die Abweichung $\frac{3}{4}$ Strich oder etwa 9° W.
- c) Je weiter in die Hudsons-Straße hinein, desto mehr nahm die westliche Abweichung zu. Auf der Amerikanischen Seite, bey den Buttons-Inseln, fand *Baffin* dieselbe, den 31 May 1615, 24° W.; auf der Grönländischen Seite im Cockins Fjord ($65^{\circ} 20'$ N. Br., $60^{\circ} 30'$ W. L. v. Lond.), $= 23^{\circ} 58'$. Eine Abweichungslinie von 20° ging also nothwendig durch Labrador, etwas südlich von den Buttons-Inseln, nordöstlich durch die Davis-Straße, etwas nördlich von Godthaab gegen die Ostküste Grönlands hin. Hierauf muß sie sich gen Ost gewendet und Spitzbergen durchschnitten haben; denn im Jahre 1610 fand *Poole* bey Spitzbergen, $78^{\circ} 27'$ N. Br., die Abweichung $22\frac{1}{2}^{\circ}$ W., und in der Kreuz-Rheede (Cross-Road) an der nord-westlichen Küste, $79^{\circ} 15'$ N. Br., $18\frac{1}{4}^{\circ}$ W. — Endlich zeigte sie sich dem *Fotherbye* am 18 Juny 1614 auf Spitzbergen, im Magdalenen-Sund und zwar im Dreyeinigkeitshafen, $79^{\circ} 30'$ N. Br., $= 25^{\circ}$ W.; diese Linie hat demnach Spitzbergen ungefähr in 78° Br. durchschnitten. Weiter östlich muß sie sich gen Süd gewendet haben; denn *Hudson* fand an der Küste von Nova Zembla die Abweichung über 2 Striche ($22\frac{1}{2}^{\circ}$), *J. Logan* in Petschora, den 16 Febr. 1611, 2 Str. oder $22^{\circ} 30'$ W., und *W. Gourdon* in Pustozerskoi, $65^{\circ} 48'$ N. Br., den 30 Dec. 1614, $= 20^{\circ}$ W.; letztere beide Ortschaften liegen aber ungefähr $69\frac{1}{2}^{\circ}$ O. vom Meridian von Ferro, oder 52° O. von Greenwich am Auslaufe des Flusses Peczora. Weiter nordöstlich, längs der Küste von Nova Zembla, nahm die westliche Abweichung

dergestalt zu, daß der Holländer *W. Berentz* dieselbe den 3 July 1594 bey der *Wilhelms-Insel* über 30° fand. Auch in der *Baffinsbay* nahm sie, je weiter man nordwestwärts kam, zu, und dem *Baffin* zeigte sich, (wie oben angeführt), in *Thom. Smiths Sund* die Nadel als 56° W. abweichend.

- d) Nahe bey England ist die östliche Abweichung auf dem höchsten Punkte gewesen; denn an der Küste Norwegens, $67^{\circ} 5'$ N. Br., fand sie *Baffin*, den 25 July 1613, $5^{\circ} 3'$, und *Hall* bey den Shetländischen Inseln $6^{\circ} 10'$. Bey London bemerkte sie *Burrows*, den 16 Oct. 1580, $11^{\circ} 15' 0''$, und *Gunter* ebendasselbst, im Jahre 1622, $5^{\circ} 56' 30''$. Im Jahre 1600 ist sie also etwa 9° gewesen. Bey *Lindesnäs* fand *Hall* sie den 6 May 1606, $7^{\circ} 10'$. In Kopenhagen war sie im Jahre 1649, $1^{\circ} 30'$ O., und bey der jährlichen Abnahme läßt sie sich für 1600 zwischen 5° und 6° anschlagen. Im letzten Viertel des 16ten Jahrhunderts war sie sowohl in Irland als England sogar über 10° , wie aus verschiedenen ältern Angaben beym *Kircher* hervorgeht, wo sie in Plymouth auf $15^{\circ} 24'$ angegeben wird. Solches scheint ein Maximum östlicher Abweichung an letzterem Orte gewesen zu seyn; denn 1600 hatte sie schon merklich abgenommen.

Zur Bestimmung des Laufes der Abweichungen im südlichen Theile des Atlantischen, wie auch im Indischen Meere, mögen folgende Anführungen dienen:

William Cornelisen Schouten aus Horn fand den 3 Nov. 1615 bey der Insel *Martin* Was 20° S. Br., Abweichung 12° O. Den 21 desselben Monats war in $38^{\circ} 25'$ S. Br. die Abweichung 17° O. Am 31 Jan. 1616 passirte er Cap Horn. Den 1 Febr. segelte er N. W. und W. N. W., den 2ten südwärts, und fand in $57^{\circ} 58'$ S. Br. die Abweichung 12° O. Den 4ten zeigte sich die Breite $56^{\circ} 43'$ S. und die Abweichung 11° ; am 12ten lag die *Magelhaens-Straße* gerade im Osten. Demnach war zu Anfange des Jahres 1616 in der Nähe des Feuerlandes, etwas südwestlich vom Cap Horn, die Abweichung 11 bis 12° O.

Am 3 März verließ er die Insel *Juan Fernandes* in $35^{\circ} 40'$ S. Br., richtete seinen Cours N. W. b. W. und passirte bey nordwestlichem Cours den

Wendekreis des Steinbockes. Hierauf, und zwar bis zum 15ten, war der Cours N. N. W., alsdann kam *Schouten* in 18° Br., und veränderte ihn auf West. Am 3 April, als am Ostertage, zeigte sich in $15^{\circ} 12'$ S. Br. die Abweichung 0° . Am 10 April gelangte er an die Hundsinsel (*Dogs Island*), etwa 137° W. von Greenwich in $15\frac{1}{2}^{\circ}$ S. Br. Vom 3 bis 10 April, d. h. sieben Tage lang, war der Cours gerade westlich gewesen. Setzt man nun seine Fahrt zu 1° täglich, so ist es einleuchtend, daß im Jahre 1616 die Abweichung in der Südsee in 15° S. Br. und 150° W. L. von Greenwich $= 0^{\circ}$ war.

Capitain *John Davis*, damals Lothse auf einem Holländischen Schiffe, fand im Canal Maldivia in $14^{\circ} 15'$ N. Br. die Abweichung 17° W.

Capitain *James Lancaster*, der die erste Reise auf Kosten der Ostindischen Gesellschaft im Jahre 1600 machte, fand am 26 Nov. 1601 bey der Insel St. Laurence (Madagaskar), etwas östlich vom Cap San Sebastian, die Abweichung 16° W., und in der Augustins-Bay $15^{\circ} 30'$ und $15^{\circ} 26'$ W.: Beobachtungen, welche er selbst als gut ausgiebt.

David Middleton fand auf seiner Reise nach Bantam und den Molukken im Schiffe *Consent* den 27 August 1607 in $24^{\circ} 40'$ S. Br., Angesichts von Madagaskar, welches in N. W. lag, die Abweichung $16^{\circ} 23'$, und bey der Insel Inganna (in der Nähe der Sunda-Straße) selbige $4^{\circ} 15'$ W.

William Keeling bemerkte auf seiner Reise nach Bantam am Cap las Agulhas den 22 Dec. 1609 eine geringe Abweichung. Er beobachtete nämlich den Sonnenuntergang in $35^{\circ} 26'$ S. B. und fand ihren Azimuth $28\frac{1}{2}^{\circ}$ Süd vor West, wornach sich die Abweichung berechnen läßt. Bey Sierra Leona in $8^{\circ} 56'$ N. Br. fand er die Abweichung $1^{\circ} 50'$ O.

Im dritten Theile des *Purchas* steht eine Abhandlung von *Davis* folgenden Titels:

A Ruler or briefe Direction for readie Sailing into the East India digested into a plain method by Master John Davis of Limehouse upon experience of his five Voyages thither and home again.

Diese Reisen sind zwischen 1601 und 1611 vorgenommen. Die Abhandlung enthält manche gute Beobachtungen, die meistens in der alphabeti-

schen Tabelle*) eingerückt sind. Ueberdies finden sich darin noch folgende Bemerkungen:

Sal, eine Insel des grünen Vorgebirges, liegt unter $10^{\circ} 30'$ N. Br., $12^{\circ} 12'$ W. von Lizard. Die Abweichung daselbst zeigt sich $5^{\circ} 30'$ O. Auf halbem Wege zwischen dem Meridian des Cap Verde und letzterer Insel im 9° N. Br. ist die Abweichung $2^{\circ} 15'$ O., und je näher dem Lande, desto geringer.

Unterm Aequator im 10° der Länge von Lizard ist die Abweichung $6^{\circ} 10'$ O., im 14° der Länge $6^{\circ} 45'$. In 20° S. Br. zeigt sie sich 15° O. und weiter westwärts 14° , wobey der Verfasser bemerkt, daß ihre Abnahme und Zunahme sich nicht nach der Länge richtet (*it keeps no method in Easting or Westing*).

Zwischen der Saldanha-Bay am Cap der guten Hoffnung und der Brasilischen Küste ist die Abweichung 20° ; mehr oder weniger, je nachdem man weiter südlich oder nördlich geht. Die größte Abweichung zeigte sich in $35^{\circ} 30'$ S. Br., und $7^{\circ} 30'$ W. von Lizard, oder $35^{\circ} 30'$ W. vom Cap der guten Hoffnung, nämlich 21° gegen Ost.

Im 25° S. Br., Angesichts von Madagascar, ist die Abweichung $16^{\circ} 0'$ W. Läuft man nordwärts längs dem Lande nach dem St. Augustins Flusse hin, so findet man in $25^{\circ} 50'$ S. Br. die Abweichung 15° . Auf der Ostseite Madagascars ist im Parallelzirkel 11° S., und zwar bey der Insel Roquepiz, die größte Abweichung $25^{\circ} 40'$ W. Südlich von derselben ist im Parallelzirkel 27° oder 28° S. Br. die größte Abweichung $26^{\circ} 0'$ W., und im Parallelzirkel 30° S. ist das Maximum $27^{\circ} 20'$.

Im *Purchas* treffen wir ebenfalls auf folgende Reise:

Extracts of the Journal of Capt. Nicholas Daunton, who was employed chief Commander in the second Voyage set forth for the joined Stockes in the East Indies &c.

Mittwochs den 15 Juny 1614 ankerte er auf der Saldania - Rheede. Den 29ten schickte er *George Daunton* ans Land, um sowohl dieses Ortes Breite als Abweichung zu beobachten; und dieses nun, wie er sagt, "in Betracht

*) Siehe Anhang Tab. I.

des großen Unterschiedes in der Abweichung, wahrgenommen zwischen unsrer vorigen Reise im Schiffe *Pfefferkorn* 1610 (von welcher wir im Anhang die Beobachtungen angeführt haben), und der gegenwärtigen". Die Breite ward $34^{\circ} 0'$ und die Abweichung $1^{\circ} 45' W.$ durch einen Azimuth gefunden, wogegen meist alle früheren sie östlich fanden.*) Dieselbe Bemerkung liest man in *Thomas Roes* Aufzeichnungen auf seiner Reise im Jahre 1614, daß er nämlich zweifelhaft sey, ob in der Saldania-Bay die Abweichung sich östlich oder westlich ausweise; doch glaubt er, sie sey $0^{\circ} 30' W.$

Capitain *Colthurst* beobachtete auf seiner Reise nach Bantam im Schiffe *die Himmelfahrt*, 1604-1605, bey einigen versunkenen Felsen im Indischen Meere in $31^{\circ} 48' S. Br.$ die Abweichung $21^{\circ} W.$, und bey St. Helena in $16^{\circ} 0' S. Br.$ $7^{\circ} 45' O.$

Mit Hülfe dieser und einiger andern Beobachtungen, welche, etwa vom Jahre 1600, im Anhang Tab. I. und Tab. III. stehen, bestimmen wir nun den Gang der Linien im Atlantischen und Indischen Meere etwas genauer. Wir fangen mit der für die Azoren gefundenen Linie ohne Abweichung an.

In der Tabelle der Abweichungen, befindlich in der zweyten Ausgabe der Schrift *Eduard Wrights: Certain errors in Navigation &c.*, welche auch in *Kirchers Magnes* abgedruckt steht, ist für die Westindischen Inseln *Trinidad*, *Marguerite*, *St. Croix* und andere die Abweichung zu 0° angesetzt. Dies, zusammengehalten mit der oben angeführten Beobachtung *Schoutens* in der Südsee, hat mich veranlaßt, diese Linie durch die Insel *Trinidad* bey Amerika, durch den nördlichsten Theil Südamerikas und ein Stück in die Südsee hinaus fortzusetzen, wo sie sich vermuthlich wieder nordwärts gewendet hat. In der Einbiegung, welche diese Linie macht, also in ganz Nordamerika und einem Theile des nördlichen stillen Meeres, scheint eine westliche Abweichung statt gefunden zu haben; denn in obgedachter Tabelle bey *Wright* finden sich folgende Angaben:

Am Cap la Vela in $11^{\circ} 50' N. Br.$ und etwa 72° Länge westlich von Greenwich, $7^{\circ} W.$ Abweichung, und bey der Stadt am Rio de Hacha in 11°

*) Es ist also deutlich, daß Daunton schon die Veränderung der Abweichung wahrnahm.

20' N. Br., welche ungefähr $\frac{1}{2}$ Grad westlicher liegt, $7^{\circ} 36'$ W. Abweichung; am Cap St. Antonio auf der Westseite Cubas in $22^{\circ} 0'$ N. Br. $13^{\circ} 0'$ W. Abweichung. Nördlich vom Cap Florida in $28^{\circ} 0'$ Br. $13^{\circ} 0'$ W. Abweichung; u. s. w.

Am östlichen Eingange in die Magelhaens-Straße wird bey *Kircher* (im Appendix zur 2ten Ausgabe) die Abweichung auf $5\frac{1}{2}^{\circ}$ O., und in der Straße selbst auf 5° angesetzt. Als Beobachter führt er *Davis* an, vermuthlich eben denjenigen, welcher mit *Thomas Candish* oder *Cavendish* im Jahre 1586 reiste; von welcher Zeit bis zum Jahre 1600 die östliche Abweichung in der Straße merklich zugenommen haben muß, wie denn solches auch aus den Beobachtungen *Schoutens* im Jahre 1615, welcher an der Westseite der Straße eine östliche Abweichung von 11° - 12° fand, sichtlich ist. Aus diesem Grunde ist die Linie von 10° durch das Feuerland gezogen.

Der andere Ast der Linie ohne Abweichung, welcher Norwegen bey *Lofoden* durchschnitt, muß fast mitten durch das Mittelmeer gegangen seyn; denn in Rom giebt nach eigenen Beobachtungen *Kircher* die Abweichung auf $2^{\circ} 45'$ O. an. Weiter ostwärts, sagt er, ist dieselbe noch geringer, und endlich bey Constantinopel*), auf Morea und Candia 0° ; aber noch weiter östlich zeigt sich die Abweichung westlich, so daß *Joh. Gravius*, ein Engländer, sie in Alexandrien im December 1638 $5^{\circ} 45'$ W. fand. Man sieht leicht, daß die Linie von hier durch das Cap de las Aguglias fortgesetzt werden müsse.

Der Lauf der übrigen Linien läßt sich aus den angeführten Beobachtungen leicht beweisen.**)

Hier nur noch einige Beobachtungen aus der *Wrightischen* Tabelle, um den Lauf der zweyten Linie ohne Abweichung zu bestimmen:

Bey Priaman auf der Westseite Sumatras, $0^{\circ} 22'$ S. Br. war die Abweichung $5^{\circ} 40'$ W., bey Bantam auf Java $5^{\circ} 0'$ und $4^{\circ} 30'$ W., bey Madura ebendasselbst in $6^{\circ} 50'$ S. Br. $2^{\circ} 30'$ W., an der Nordostspitze der Insel Bali in $8^{\circ} 30'$ S. Br. $3^{\circ} 0'$ O., bey Banda in $4^{\circ} 50'$ S. Br. $4^{\circ} 45'$ O.

*) Die Nadel ist *axelos*.

**) Anhang Tab. III. die 6 ersten Nummern.

Nun fand *John Saris* in der Nähe von Hainan die Abweichung $= 0^{\circ} 50' W.$, und *Kircher* setzt sie bey Makao oder Pedra Blanca auf 0° . Von hier ist also die Linie ohne Abweichung südlich durch Borneo und etwas östlich von der Ostspitze Javas, wo sie $2^{\circ} 50' W.$ war, zu ziehen.

Bey der östlichsten der Molukken bemerkte *Saris* die Abweichung $5^{\circ} 20' O.$, südöstlich von Likeo ebenfalls fast $5^{\circ} O.$, endlich zufolge einer genauen Beobachtung auf der Insel Firando bey Japan $2^{\circ} 50' O.$ Dies, verbunden mit der Wrightischen Angabe der Abweichung auf der Insel Banda auf $4^{\circ} 45' O.$, begründet die Lage der Linie von $5^{\circ} O.$ Abweichung im Chinesischen Meere.

Die übrigen Abweichungskarten sind nach den in der Einleitung angeführten Beobachtungen construiert. Hier sind die Hülfsmittel so zahlreich und gut, daß, da die Prüfung derselben mit Hülfe der Tabelle No. III. niemanden schwer fällt, ich es für überflüssig gehalten habe, etwas zum Beweise ihrer Genauigkeit anzuführen. Insonderheit kann ich die drey letztern, nämlich für 1770, 1787 und 1800, als sehr genau auszeichnen. Sie können mit vielem Nutzen zu Längenbestimmungen an Orten gebraucht werden, wo der Lauf der Abweichungslinien sich der Richtung Ost-West nicht allzu sehr nähert, oder, parallel mit dem Aequator (wie im Indischen Meere) läuft; denn hier kann man, ohne Veränderung der Abweichung, seine Länge bedeutend verändern.

B. Von der Bewegung der Abweichungslinien.

Vergleicht man die Karte für 1600 mit der Karte für 1700, so ergibt sich, wenigstens nördlich vom Aequator, nicht die mindeste Aehnlichkeit; und schwer ist es zu begreifen, wie das eine System von Linien in das andere übergegangen seyn könne. Wie sehr bedauere ich, daß ich keine Data habe erhalten können, um eine Karte für irgend einen Zeitpunkt zwischen den Jahren 1600 und 1700 zu construiren. Es wäre anziehend gewesen, die gradweise Bewegung der Linien zu verfolgen; aber diese Epoche von hundert Jahren ist zu lang und die Veränderung der Abweichung um das Jahr 1600 zu groß, um, wenigstens ohne Schwierigkeit, den Bewegungen der Linien nachgehen zu können. Inzwischen bin ich versichert, durch genaue Erwägung

und Vergleichung mit den neuern Karten der Wahrheit ziemlich nahe gekommen zu seyn.

Die erste Linie ohne Abweichung im Jahre 1600 besteht aus zween Aesten, einem östlichen und einem westlichen. Beide bilden in der Mitte (in 20° und 30° N. Br.), wo sie sich am nächsten sind, eine Einbiegung. Sie fällt füglich in folgende vier Theile: den *nordöstlichen* Zweig, von Lappland bis mitten in Afrika hinein, zum 20° N. Br.; den *südöstlichen* Zweig, von diesem Punkt südwärts durch das Cap de las Aguglias; den *nordwestlichen* Zweig von Lappland bis 30° N. Br.; und den *südwestlichen* Zweig von hier durch das nördliche Südamerika bis an die Südsee.

Das System der östlichen Abweichung, eingeschlossen zwischen den beiden nördlichen Zweigen, hat sich in der Folge nordostwärts in das nördliche Asien hinein bewegt, wo man es auf den Karten für 1770 und 1787 wiederfinden wird. Die westlichen Abweichungslinien bey Island und Grönland haben sich nach Südost hinabgezogen und in Europa und den angränzenden Meeren die Stelle des erstern eingenommen.

Das System der östlichen Abweichung hingegen, eingeschlossen zwischen den beiden südlichen Zweigen, hat sich südwestwärts nach der Südspitze Amerikas hinbewegt. Nachgefolgt sind die westlichen Abweichungslinien im Indischen Meere und haben sich gleichfalls südwestlich gegen das Vorgebirge der guten Hoffnung geschoben.

Während sich diese beiden Liniensysteme von einander entfernten, näherten sich die Buchten der Linien ohne Abweichung einander immer mehr und mehr, und scheinen sich um die Mitte des 17ten Jahrhunderts nahe am grünen Vorgebirge in Afrika erreicht zu haben. Dadurch erfolgte die Vereinigung der beiden südlichen Zweige, und so entstand *Halleys* Linie ohne Abweichung im Atlantischen Meere. Auch die beiden nördlichen Zweige vereinigten sich und bildeten eine in sich selbst zurücklaufende krumme Linie, die noch das in Sibirien sich findende kleine System östlicher Abweichung einschließt. Zugleich traten die westlichen Abweichungslinien im nordwestlichen Atlantischen Meere mit den westlichen Abweichungslinien in Afrika und dem Indi-

Ferner verdient bemerkt zu werden, daß sich *sämmtliche Linien in der nördlichen Halbkugel ostwärts, in der südlichen westwärts bewegen.*

Trägt man die Abweichungslinien für 1756 auf die Karte für 1700, und ziehet Linien durch die Punkte, wo sich die gleichbenannten Linien schneiden, so bekommt man wiederum Linien, in denen die Abweichung von 1700 bis 1756 unverändert gewesen ist.*) Es fällt in die Augen, daß die Linie bey Amerika nicht sonderlich von derjenigen verschieden ist, in welcher die Abweichung von 1600 bis 1700 unverändert war. Im Indischen Meere bildet, wie der Augenschein lehrt, diese Linie, worin die Abweichung von 1700 bis 1756 beständig verharrete, eine ziemlich regelmässige Krümmung, indem sie von dem Arabischen Meerbusen durch Madagascar bis etwa 45° S. Br., hierauf nördlich, und durch die Sunda-Straße nach China läuft. An allen innerhalb der Biegung dieser krummen Linie liegenden Orten nahm die westliche Abweichung ab, an allen außerhalb derselben liegenden hingegen zu.

Was die Abweichungskarte für 1770 anlangt, so findet sich für dasselbe Jahr eine Karte von Lambert**) in Bodes astronomischem Jahrbuche für 1779. Diese ist theils unvollständig, theils hin und wieder offenbar unrichtig. So ist z. B. die Linie ohne Abweichung im weißen Meere mit der Linie ohne Abweichung bey den Sunda-Inseln in Verbindung gesetzt; auch glaubte Lambert, im ganzen östlichen Asien sey die Abweichung östlich. Dies ist unrichtig; denn Johannes Islenieff***) fand am $\frac{1}{14}$ Oct. 1768 die Abweichung in Jakutzk 5° 15' W., und im folgenden Jahre den $\frac{11}{12}$ Juny 5° 0' W. Lambert hat sich zu diesem Irrthume wahrscheinlich von Wolfg. Ludw. Kraft verleiten lassen, welcher in seiner *Expositio declinationis magneticæ in variis Imperii Russici regionibus observatae****)* von dieser Beobachtung des J. Islenieff sagt: in observatione Jakutiensi errorem calami irrepsisse puto, eamque orientalem esse

*) Da die Abweichungslinien bey Amerika auf der Karte für 1756 fehlen, so sind hier die Linien von 1770 gebraucht worden. Die punktirte Linie bezeichnet also hier den Strich, wo die Abweichung zwischen 1700 und 1770 unverändert gewesen ist.

**) Eine Copie dieser Karte sieht man in Gehler's physik. Wörterbuche, 1. Theil.

***) Nov. Comm. Petrop. Tom. XIV. pars 2, pag. 268.

****) Ibid. T. XVII. H. p. 52. M. pag. 695.

suspicio; id quod lineas magneticas earumque ductus intuenti statim patebit. Dieser Aeußerung wegen hat nun *Lambert* die Linie für 5° östlicher Abweichung durch Japan und Jakutzk gezogen. Mit welchem Unrechte indessen solches geschehen sey, ist durch die Beobachtungen des Etatsrathes *Schubert* vom Jahre 1805 in Sibirien satksam dargethan; denn letzterer fand östlich von Tobolsk die östliche Abweichung wieder abnehmend und bey Irkutsk $= 0^{\circ} 32' \text{ O.}$ Noch mehr erhellet dies aus *Comm. Billings* Beobachtungen, welchem sich 1789 die Abweichung in Jakutzk $2^{\circ} 0' \text{ W.}$ zeigte. Um hierin Rath zu schaffen, liefs *Le Monnier* in seinen *Loix du Magnetisme* gedachte Abweichungslinie sich bey Neuhoolland in zween Zweige theilen, von denen der eine fast so, wie *Lamberts* Linie ohne Abweichung, der andere dicht bey Kanton vorbehey, durch das Japanische Meer, nordwärts und somit in das Eismeer läuft. Aus den in der Tabelle No. I. angeführten Abweichungen in Sibirien lassen sich beide Vermuthungen leicht widerlegen.

Aus *Krusensterns* und *Broughtons* Beobachtungen ergibt sich, daß diese westliche Abweichung im nordöstlichen Asien weiter ostwärts gerückt ist. So war sie im Jahre 1800 auf der Insel Japan, im Meerbusen von Korea, auf der Insel Jesso und im westlichen Theile des Ochotzkischen Meeres, wie auch die Karte für 1800 ausweist, westlich.

In der Südsee sind die Linien für die östliche Abweichung unregelmäßiger, als die westlichen Abweichungslinien auf unserer Seite der Erdkugel. Ferner zeigt sich die östliche Abweichung in der Südsee nicht so groß, als die westliche Abweichung auf der östlichen Halbkugel; denn die Abweichungslinien, welche sich kreuzen (*Euler* nennt sie Linien der zweyten Ordnung) gehören in der Südsee einer östlichen Abweichung von 10° bis 11° , hingegen die sich kreuzenden Linien in Afrika einer westlichen Abweichung von beynahe 18° an. So ist auch die größte östliche Abweichung unter dem Aequator in der Südsee, im Meridian des 175sten Grades östlich von Greenwich, $= 11^{\circ}$. Die größte westliche Abweichung unterm Aequator zeigte sich 1787 in $15^{\circ} \text{ O. L. v. Greenwich}$, nahe bey Guinea gegen 19° ; im Jahre 1800 hat sie an demselben Orte sogar 20° überschritten. Endlich ist es eine Eigenheit des Abweichungssystems in der Südsee, daß die östliche Abweichung von der Westküste Süd-

amerikas an bis zum Meridian 120° W. von Greenwich, wo sie etwas geringer als 2° O. ist, abnimmt; nachher bis zum Meridian von Neuseeland, 175° O. von Greenwich, zunimmt; wenn man sich aber Neuholland nähert, wieder abnimmt. Auf der Karte für 1787 sieht man an dieser Stelle eine mit 2° O. bezeichnete Linie, welche sich zu Anfange des verwichenen Jahrhunderts weiter nördlich nach Kalifornien erstreckt hat; denn *Anson* fand die Abweichung in Acapulco, wo sie nun über 7° O. ist, im Jahre 1744 $= 5^{\circ}$ O. Dasselbe zeigen *Roger Woodens* Beobachtungen im Jahre 1709.*) In diesem Striche, jedoch südlich vom Aequator, war es auch, wo *Schouten* 1616 die Abweichung $= 0^{\circ}$ bemerkte.***) Hier ist vermuthlich in einer früheren Periode eine geringe westliche Abweichung gewesen, welche aber nachgerade verschwunden ist. Dies vermuthete auch *Halley* aus der Abnahme der östlichen Abweichung westlich vom Feuerlande. Zu seiner Zeit war sie aber gewiss schon verschwunden.

Schließlich muß ich bemerken, daß sich die Abweichung in der Südsee nur sehr langsam verändert. Diese jährliche Veränderung der Abweichung ersieht man aus der Tabelle I. im Anhang unter der Rubrik: *Jährliche Veränderung*.

*) Gemelli Carreri fand im Jahre 1693 am Cap Mendocino die Abweichung 2° O.

**) Siehe oben S. 28.

vollkommen; sie ist für jede Lage gleichgültig, und wird vor der Magnetisirung in jeder Lage ruhen; aber nach derselben werden die magnetischen Kräfte der Erde das Einzige seyn, was sie bewegt, und ihre Lage wird demnach die wahre magnetische Neigung angeben. Fallen dagegen beide Axen nicht zusammen, so sind drey Fälle möglich:

- 1) Lieget die Umdrehungsaxe in der Queraxe AB, aber z. B. näher bey A; so wird die Nadel, ehe sie magnetisirt wird, nur in *einer* Lage ruhen können, nämlich der *horizontalen*, wenn die Seite B abwärts gekehrt ist.
- 2) Lieget die Umdrehungsaxe in der Längenaxe MN, aber z. B. näher bey N.; dann wird auch die unmagnetische Nadel nur in *einer* Lage ruhen können, nämlich der *vertikalen*, wenn das Ende M abwärts gekehrt ist.
- 3) Lieget die Umdrehungsaxe außerhalb der beiden benannten Axen; dann wird die Nadel, ehe sie magnetisirt wird, nur in einer schiefen Lage ruhen, wenn eine Vertikallinie von der Umdrehungsaxe gleichfalls durch den Schwerpunkt geht. MCN (Fig. 2) sey die Längenaxe, AB die Queraxe, C der Schwerpunkt, die Linie Cc die Entfernung zwischen dem Perpendikel im Schwerpunkte C und der Umdrehungsaxe c; cV sey eine Vertikallinie. Man nenne die Linie Cc die *Schwerelinie* der Nadel, den Winkel CcV, den sie mit der Vertikallinie bildet, den *Schwerewinkel*; man wird dann sehen, daß die unmagnetische Nadel von ihrer eigenen Schwere mit einer Kraft bewegt werden wird, die ihrer Masse, wie der Länge der Schwerelinie, und dem Sinus des Schwerewinkels proportionirt ist. Setzt man die Masse $\equiv p$, die Schwerelinie $\equiv d$, den Schwerewinkel $\equiv v$, so ist die Kraft, welche die Nadel bewegt, $\equiv pd \cdot \sin v$. Diese Kraft wird $\equiv 0$, wenn $v = 0^\circ$ und $v = 180^\circ$ ist.

Zieht man die Linie hr horizontal, also lothrecht auf cV, so drückt der Winkel Chr die Neigung der Nadel aus. Wird sie $\equiv i$ gesetzt, und der Winkel MCc, den die Linie cC, welche die Umdrehungsaxe mit dem Perpendikel im Schwerpunkte vereinigt, mit der Nadel bildet, $\equiv m$, so ist der Winkel CcV $\equiv 180^\circ - MCc - chC \equiv 180^\circ - m - (90^\circ + i)$, oder $v \equiv 90^\circ - m + i$, und $\sin v \equiv \cos(m + i)$; also die Kraft, welche die Nadel zu bewegen strebt, $\equiv pd \cdot \cos(m + i)$. Diese Kraft wird $\equiv 0$, wenn

sehen Richtung treibt $\equiv \text{pd} \cdot \cos (m + i)$. Wendet man die Pole um, und die Seite A aufwärts, so verwandelt sich m in $180^\circ - m$, und der Ausdruck $\text{pd} \cdot \cos (m - i)$ dadurch in $-\text{pd} \cdot \cos (m + i)$; wendet man dagegen die Seite B herauf, so wird der Winkel $\angle \text{CM} \equiv -(180^\circ - m)$, und die Kraft, welche die Nadel aus der magnetischen Direktion zu bewegen strebt $\equiv -\text{pd} \cdot \cos (m - i)$. Macht man also mit einer solchen Nadel vier Versuche auf folgende Art:

1. Versuch:	die Seite A	aufwärts	gewendet	}	mit unveränderten Polen,
2.	—	:	— B — —		
3.	—	:	— A — —	}	mit veränderten Polen,
4.	—	:	— B — —		

so war im 1. Vers. die Kraft, welche die Nadel aus der magnetischen

	Richtung	trieb	\equiv	$\text{pd} \cdot \cos (m - i)$
2.	—	—	\equiv	$\text{pd} \cdot \cos (m + i)$
3.	—	—	\equiv	$-\text{pd} \cdot \cos (m + i)$
4.	—	—	\equiv	$-\text{pd} \cdot \cos (m - i)$

Man ersieht hieraus, daß die Kraft, welche die Nadel aus der wahren magnetischen Richtung treibt, im vierten Versuche eben so groß ist, als im ersten, allein in entgegengesetzter Richtung wirkt. Sind also die magnetischen Kräfte der Nadel, nach Umwendung der Pole, eben so groß, als vorher, so sollte eine Mittelzahl zwischen der im ersten und vierten Versuche gefundenen Neigung, die wahre magnetische Neigung angeben, so wie eine Mittelzahl zwischen dem zweyten und dritten Versuche. Man kann daher mit einer fehlerhaften Nadel (wenn der Fehler nicht zu groß ist) durch diese vier Umwendungen die wahre Neigung ziemlich genau finden; wobey zur Probe dienen kann, daß die Mittelzahl zwischen dem ersten und vierten Versuche dasselbe Resultat geben muß, wie die Mittelzahl zwischen dem zweyten und dritten.

Diese Fehler in der Abwägung der Nadel lassen sich also, sowohl vor als nach der Magnetisirung der Nadel, leicht entdecken, und hoffentlich wird

kein Künstler ein Instrument liefern, und kein Naturkundiger brauchen, ohne es zuvor auf die vier beschriebenen Arten probirt zu haben.

Schwieriger ist ein anderer Fehler bey diesem Instrumente, weil er sich nicht entdecken läßt. In allen Lagen, die vertikale ausgenommen, krümmt die Nadel sich durch ihre eigene Schwere, wodurch die Längenaxe eine Art krumme Linie ausmacht, welche den Namen der *Elastischen Kurve* führt. MCN (Fig. 3) sey die krumme Längenaxe, C der Schwerpunkt der ungebeugten Nadel, AB die Queeraxe. Durch die Krümmung sinkt der Schwerpunkt unter den Unterstützungspunkt in C, und da man annehmen darf, daß beide Enden sich gleich stark krümmen, so muß er an einem Orte der Queeraxe unter C, z. B. in c fallen. Man könnte leicht beweisen, daß die Entfernung Cc mit dem Cosinus der Neigung proportionirt sey. Eine in jeder Rücksicht vollkommen abgewogene Nadel, welche diesen Fehler hat, wird also bey den vier gedachten Umwendungen eine und dieselbe, aber immer eine geringere, als die wahre magnetische Neigung ergeben. Eine Nadel, die letzteren in bedeutendem Grade hat, wird vor der Magnetisirung nicht anders, als in der horizontalen und vertikalen Lage ruhen.*)

Endlich liegt in der Friction ein Hinderniß. Man hat dies zu heben gesucht, indem man die ziemlich dicke Axe auf ein Paar glatten Glaszylindern rollen ließ, wodurch die reibende Friction in die weit geringere rollende verwandelt wird. Aber auch hiebey giebt es folgende Schwierigkeit: MN (Fig. 4) sey die Längenaxe der Nadel, ED die Umdrehungsaxe, IIL die Fläche, auf der die Axe rollt, D der Berührungspunkt. Nun muß die Nadel für einen gebrochenen Hebel MDN angesehen werden, wo der Arm ND immer größer wird als der Arm MD, ausgenommen, wenn die Nadel horizontal steht. Folglich wird die Neigung immer geringer, als die wahre magnetische seyn.

Das einzige richtige Princip für die Unterstützung der Nadel ist, daß sie sich auf einer scharfen Kante bewegt, die mit dem Perpendikel durch den Schwerpunkt zusammenfällt. Hiedurch fällt sowohl die Friction als die ver-

*) Ich habe eine Nadel gehabt, die bey den vier Umwendungen dasselbe zeigte, aber augenscheinlich 5 bis 6 Grade zu wenig Neigung ergab; sie war ungeteilt 2 Fufs lang und etwas über 3 Decim. Linien breit.

änderlichen Entfernungen der Endpunkte vom Unterstützungspunkte weg. — Dieses führt uns jedoch zu weit von unserm Ziele ab.

Zu oberwähnten Schwierigkeiten kommt noch die Bewegung des Schiffes auf der See, welcher sich jedoch durch eine bequeme Aufhänge-Anstalt*), wie durch Aufhängen des Instruments an der gehörigen Stelle im Schiffe abhelfen laßt.

Die ältesten Seebeobachtungen dieser Art sind sicher die im ersten Hauptstücke angeführten von *Heinrich Hudson*, angestellt auf seinen drey Reisen zur Entdeckung eines Weges nach Ostindien im Nordosten oder Nordwesten. Diese Beobachtungen finden sich auf der Neigungskarte No. IX., betitelt: *Neigungskarte für das Jahr 1600*. Die regelmäßige Zunahme der Neigung gegen Norden scheint die Güte dieser Beobachtungen zu verbürgen. Ueberdies bemerkt *Hudson* bey jeder, daß es stille (*smooth*) See war, und fügt d. 20 May 1608 hinzu: *"weßhalb meine Beobachtung gut ist"*.**) Verdächtig ist bloß die Beobachtung vom 21 Juny 1608, wo er nämlich in $75^{\circ} 22'$ N. Br. bey stiller See die Neigung $89\frac{1}{2}^{\circ}$ fand. Zwar befanden sich die Schiffenden damals in der Nähe eines der Magnetpole der Erde, worauf auch die vom *Steuermann Robert Ivet* bemerkte plötzliche Veränderung von einem ganzen Striche in der Abweichung hinzudeuten scheint, aber unferri fand *Hudson* am 7 Juny in $74^{\circ} 25'$ N. Br. die Neigung 86° , da doch in großen magnetischen Breiten die Neigung sich sehr langsam verändert.***)

W. Baffin fand den 23 May 1615 in $65^{\circ} 45'$ N. Br. mit einem Instrumente, welches in London 54° zeigte, die Neigung $65^{\circ} 30'$. Nun muß, wie nachher wird gezeigt werden, die Neigung in London damals über 75° betragen haben; demnach war dieses Instrument schlecht abgewogen, und hatte in Lon-

*) Siehe *Ekebergs* Beschreibung seiner Methode in den Abhandl. der Schw. Akad. der Wissenschaften. A. 1772 S. 287.

**) *Hudson* war der Cook seiner Zeit: beide zeichneten Kraft, Muth und Feuer, glückliche und wichtige Entdeckungen, wissenschaftlicher Geist, und ein unglückliches Ende aus.

**) Wohl möglich, daß *Purchas*, welcher, wie sich überall zeigt, mit nautischen Beobachtungen es eben nicht so genau nimmt, $89\frac{1}{2}$ statt $86\frac{1}{2}$ schrieb, oder auch, daß die Ziffer 6 durch Schuld des Setzers verkehrt zu stehen kam.

don eine ungefähr 21° geringere Neigung als die wahre. Fast in derselben Breite hatte *Hudson* 82° Neigung, welches einen Unterschied von etwa 19° ergibt. Nun bemerkte *Baffin* im Hornsunde auf Spitzbergen eine nördliche Breite von $76^{\circ} 55'$, und die Neigung, wenn man das Instrument gen Nord wendete, $67^{\circ} 30'$, aber südwärts gekehrt, 80° . Der Fehler des Instruments war also wie in dem dritten hier angegebenen Falle (S. 40 No. c.). Und da die Neigung des erstern etwa 20° weniger, als die wahre beträgt, so habe ich bey Spitzbergen, statt $67\frac{1}{2}$, $87\frac{1}{2}$ gesetzt. — Endlich fand Capt. *George Weymouth* den 27 July 1602 in der Frobishers-Straße in $61^{\circ} 40'$ N. Br. die Neigung $83\frac{1}{2}^{\circ}$.

Nach diesen Beobachtungen sind für die Neigungen 85° , 80° und 75° die drey Wilckischen Neigungslinien gezogen. Eine gar merkwürdige Krümmung bilden diese Linien zwischen Grönland und Spitzbergen. Wir finden dieselbe auf der neuesten Karte in Sibirien wieder.

Daß die letzte gedachter Linien, für die Neigung 75° , etwas nördlich von London gezogen ist, wo doch *Norman* die Neigung nur $71^{\circ} 50'$ fand, beruht auf folgenden Gründen. Nach den Londonschen Beobachtungen läßt es, als habe die Neigung seit der Zeit *Normans* bis um 1700 Anfangs zu-, in der Folge abgenommen; nach den Pariser Beobachtungen hingegen scheint sie beständig abgenommen zu haben. Nachstehende zwey Tabellen erläutern dieses:

London.			Paris.		
Beobachter.	Jahr.	Neigung.	Beobachter.	Jahr.	Neigung.
<i>Normann</i> . . .	1576	$71^{\circ} 50'$			
<i>Gilbert</i>	1600	72 0			
<i>Ridley</i>	1613	72 30			
<i>Bond</i>	1676	73 30	<i>Richer</i>	1671	$75^{\circ} 0'$
<i>Whiston</i>	1720	73 45 } $74^{\circ} 27\frac{1}{2}'$	<i>La Caille</i> . . .	1754	72 15
		75 10 }	<i>Le Monnier</i> . .	1776	72 25
<i>Graham</i>	1723	74 0 } 74 35	<i>Cassini</i>	1791	70 52
		75 10 }	<i>Bouvard</i>	1798	70 10
<i>Cavendish</i> . . .	1775	72 30	<i>Humboldt</i> . . .	1798	69 26
<i>Gilpin</i>	1805	70 21	<i>Humboldt</i> . . .	1806	69 12

Richers und *Bonds* Beobachtungen sind fast gleichzeitig, und da London eine größere magnetische Breite hat, als Paris (ich beziehe mich auf das folgende), so muß auch die Neigung daselbst größer seyn. Demnach betrug zu *Bonds* Zeiten die Neigung in London wenigstens 75° , ja im Jahre 1600 vermuthlich noch mehr. Der Fehler in den Londoner Beobachtungen läßt sich aus obberegten, besonders den beiden letztern Gründen (S. 42) füglich erklären, da sie alle ein zu geringes Resultat ergeben.

In der punktirten Linie auf der Karte ist von 1600 bis 1700 die Neigung fast immer beständig gewesen; nördlich von derselben hat sie ab-, südlich zugenommen.

Die Neigungskarte für 1700 ist mit wenigen Veränderungen dieselbe, welche *Wilcke* construiert und in *Sw. Vetensk. Akad. Handl.* vom Jahre 1768 pag. 193 bekannt gemacht hat. Da sie in ihrer Art die erste ist, so müssen mit demselben Rechte, wie die Abweichungslinien nach *Halley*, die Neigungslinien nach *Wilcke* benannt werden. Die Beobachtungen, deren letzterer sich bediente, sind diejenigen von *Cunningham*, angestellt auf einer Reise nach China im Jahre 1700; von *Feuillée* auf einer Reise nach Peru um das Cap Horn 1710; von *La Caille* auf den Reisen um das Vorgebirge der guten Hoffnung nach Isle de France 1751 und 1754; endlich von Capt. *Ekeberg* auf einer Reise nach und von China 1766 und 1767. Die Linien in Südamerika sind einzig nach *Feuillée*s, wie es scheint, sehr guten Beobachtungen gezogen. Im südlichen Theile des Atlantischen Meeres weichen *Cunningham*s Beobachtungen von denjenigen des *Feuillée* zu sehr ab, um richtig zu seyn. Nach dem Cap der guten Hoffnung hin stimmen sie dagegen mit *La Caille*s überein. Deshalb sind im südlichen Atlantischen Meere die Linien auf der Westseite oder an der Küste von Südamerika nach den Beobachtungen des *Feuillée*, auf der Ostseite nahe bey Afrika aber nach *La Caille*s und *Ekeberg*s gezogen. Dieses gehet wohl an, da sich an diesen Orten die Neigung nicht sonderlich verändert zu haben scheint. Weit bedeutender scheinen die Veränderungen im Indischen Meere gegen Neuholland hin gewesen zu seyn, und *Ekeberg*s Beobachtungen auf dieser seiner ersten Reise sind minder zuverlässig, als die späteren. *Wilcke* wollte sich sowohl nach *Cunningham* als *Ekeberg* richten;

dadurch wurden seine Linien höchst unregelmäßig. Deswegen nahm ich mir die Freiheit, *Wilkes* drey letzte Linien im Indischen Meere, nämlich für 55° , 60° und 65° südlicher Neigung, zu verändern, indem ich sie, ohne Rücksicht auf *Ekeberg*, nach *Cunninghams* Beobachtungen zog. Auf diese Weise erhielten die Linien einen gewissen Parallelismus, für welchen die Wahrscheinlichkeit spricht.

Aus dieser Karte ist es sichtlich, daß die Neigung $= 0^\circ$ ist, d. h. daß die Neigungsnadel horizontal in einer Linie steht, welche, an der Brasilischen Küste etwa in 12° S. Br. anfangend, den Meridian von Ferro etwa in 14° S. Br., wo sie ihre größte südliche Breite erhalten zu haben scheint, durchschneidet, dann in Afrika etwas über den 50° der östlichen Länge von Ferro hinaus durch den Aequator, hierauf durch die Indische Halbinsel und Siam geht, und in der Länge von Japan ihre größte nördliche Breite erreicht zu haben scheint. Hier liegt sie ungefähr $19\frac{1}{2}^\circ$ nördlich vom Aequator. Sie ist also kein größter Kreis, welcher Umstand allein eine unüberwindliche Schwierigkeit für jeden ist, welcher der Erde nur Eine Magnetaxe einräumt.

Ferner ist zu ersehen, daß die Neigungslinien in der Nähe dieser Linie ohne Neigung oder des sogenannten magnetischen Aequators am dichtesten liegen, so daß, wenn die Zunahme der Neigung 20° ist, die geographische Breite nur um 10° wächst. Zwischen den Neigungslinien von 70° und 75° hingegen findet fast eine Entfernung von 10° von Süd gen Nord statt; hier wächst also die Neigung nur halb so schnell als die Breite, doppelt so schnell aber in der Nähe des magnetischen Aequators.

Endlich muß bemerkt werden, daß die südlichen Neigungslinien eine doppelte Krümmung gen Nord, ein Mal nämlich bey Südamerika, das andere Mal bey Neuholland, haben: ein Umstand, welcher, wenn man nur Eine Magnetaxe in der Erde annimmt, eben so unerklärlich ist. Dessen ungeachtet sagt *Wilke*, "die Neigungslinien zeigen nicht die mindeste Spur von mehr als Einem Magnetcpole in der südlichen Kugel"; aber er vermuthet, diese Krümmung stehe entweder mit den andern bey Neuholland in Verbindung, oder sey vielleicht dieselbe, welche sich seit 1710 durch das Südmeer westwärts

nach Neuholland bewegte. In der Folge wird die Unzulässigkeit dieser Meinungen dargethan werden.

Wir kommen nun auf die neueste Neigungskarte, welche ungefähr auf den Zeitraum zwischen 1775 und 1787 passet, weil die wichtigsten dieser Karte zur Grundlage dienenden Beobachtungen diejenigen des Cook auf seiner zweyten und dritten Reise, wie auch des *La Perouse* sind. Aber aufer diesen ist keine derjenigen Beobachtungen unbenutzt geblieben, welche später als 1770 sind (siehe Tabelle III. im Anhange); doch, wo es nöthig schien, mit einer kleinen Abrechnung für die jährliche Veränderung. — Zuvörderst bestimmen wir die Lage der Linie ohne Neigung oder des magnetischen Aequators, wobey uns erlaubt seyn möge, etwas umständlicher zu seyn, da so viel daran liegt, zu wissen, ob sie einen größten Kreis ausmache oder nicht.

Oben wurde bemerkt, daß in der Nähe des magnetischen Aequators die Neigung doppelt so schnell zunehme wie die Breite*), daß also die Breitenänderung hier halb so groß sey wie die Veränderung der Neigung. Ist also an einem gewissen Orte, dessen nördliche Breite $= b$ ist, eine geringe Neigung $= n$ beobachtet, so muß in diesem Meridiane der magnetische Nulpunkt, oder der Punkt, wo die Neigung verschwindet, in der Breite $b - \frac{1}{2} n$ gefunden werden. So fand Capt. *Ekeberg* auf seiner Reise nach China 1770 den 21 Apr. $12^{\circ} 21'$ S. Br., $9^{\circ} 48'$ W. L. von Teneriffa, die Neigung $1^{\circ} 45'$ N. Hier ist also

die Breite	$b =$	$12^{\circ} 21'$
halbe Neigung $\frac{1}{2} n$	$= \frac{1^{\circ} 45'}{2} = \frac{105'}{2} = +$	$52\frac{1}{2}'$
Des Nulpunktes südliche Breite $= -b - \frac{1}{2} n = -15^{\circ} 13\frac{1}{2}'$		

So fand er auch den 23 Apr. in $15^{\circ} 55'$ S. Br. und $10^{\circ} 10'$ W. L. Teneriffa die Neigung $5^{\circ} 30'$ S.; hier ist also		
Breite	$b =$	$15^{\circ} 55'$
halbe Neigung $\frac{n}{2}$	$= \frac{5^{\circ} 30'}{2} =$	$2^{\circ} 45'$
Des Nulpunktes südliche Breite $= -13^{\circ} 10'$		

*) Der theoretische Beweis für die Richtigkeit dieses Satzes wird weiter unten in der Theorie des Magneten vorkommen.

Durch solche Interpolationen ist die Lage des Nulpunktes aus folgenden Beobachtungen bestimmt:

- 1) Capt. Ekebergs Beobachtungen auf seiner zweyten Reise nach China 1770.

1770.	Breite südlich.	Länge.		Neigung.	Breite des Nulpunktes.
		Teneriffa.	Greenwich.		
Apr. 21	11° 10'	9° 34' W.	26° 6' W.	5° 0' N.	15° 40' S.
—	12 21	9 48	26 20	1 45 —	13 15½
22	13 19	9 54	26 26	0 0 —	13 19
—	14 0	10 11	26 43	0 30 S.	13 45
—	14 35	10 10	26 42	2 0	13 35
23	15 55	10 10	26 42	5 30	13 10
Mittel aus allen =					13° 27' S.

Also ist im Meridiane 26° 24' W. Greenwich die Neigung = 0 in einer südlichen Breite 13° 27'.

- 2) Capt. Ekebergs Beobachtungen auf der Rückreise 1771.

1771.	Breite südlich.	Länge.		Neigung.	Breite des Nulpunktes.
		Teneriffa.	Greenwich.		
März 25	12° 9'	6° 0' O.	10° 32' W.	1° 45' N.	13° 51½ S.
26	10 20	4 38 —	11 54 —	5 17½ —	12 59 —
27	8 40	3 0 —	13 32 —	9 37½ —	13 29 —
Mittel aus allen					13° 20' S.

3) Auf der folgenden Reise 1774 fand *Ekeberg* nachstehende Neigungen:

1774.	Breite südlich.	Länge westl.		Neigung.			Breite des Nulpunktes.	
		Tenor.	Greenw.	Nadel A.	Nadel B.	Mittel.		
März	23	nördlich						
		12° 2'	4° 0'	20° 31'	3° 56' $\frac{1}{4}$	3° 52'	3° 54'	13° 59' S.
		12 19	4 19	20 50	2 52 $\frac{1}{2}$	2 45	2 49	13 45
	24	13 2	4 30	21 1	1 57 $\frac{1}{3}$	2 14	2 6	14 5
		südlich						
		13 4	4 37	21 8	0 3 $\frac{1}{2}$	0 7	0 5	13 2
	13 57	4 41	21 12	0 37 $\frac{1}{3}$	0 51	0 44	13 35	
Mittel aus allen							13° 41' S.	

Daher kann man mit voller Sicherheit annehmen, daß die Neigung in S. Br. 13° 41' und W. L. 20° 51' von Gr. 0° war.

4) Auf der Rückreise 1775 fand man folgende Neigungen:

1775.	Breite südl.	Länge.		Neigung.			Breite des Nul- punktes.
		Ö.Ten.	W. Gr.	Nadel A.	Nadel B.	Mittel.	
Apr. 9	12° 32'	7° 20'	9° 11'	3° 30' S.	3° 11' $\frac{1}{2}$ S.	3° 21' S.	10° 50'
	10 11 42	6 10	10 21	0 12 $\frac{1}{2}$ N.	0 5 N.	0 9 N.	11 46
Mittel aus allen							11° 18' S.

Also ist die Neigung = 0° in S. Br. 11° 18' und W. L. Greenwich etwa 9° 46'.

5) Endlich fand Capt. *King* bey *Cooks* dritter Reise auf dem Rückwege den 31 May 1780 in S. Br. 12° 48' und W. L. Gr. 15° 40', die Neigung = 0°.

6) Mit diesen stimmen folgende überein:

Capt. Burnet Abercrombie fand*)

1775	Breite südlich.	Länge westl. Greenw.	Neigung.	Breite des Nulpunktes.
July 11	12° 24'	25° 45'	1° 4 N.	13° 9' S.
12	11 6	26 28	2 2 S.	12 59
Mittel aus beiden				13° 4' S.

Also ist die Neigung $= 0^\circ$ in S. Br. $13^\circ 4'$ und W. L. von Greenw. ungefähr $26^\circ 6'$.

7) *Le Gentil* fand 1771 am Bord der *Astrée* die S. Br. $10^\circ 2'$, die Länge W. von Paris $10^\circ 32'$ d. h. die W. L. von Greenw. $8^\circ 12'$, die Neigung $0^\circ 15' S.$, und nachdem die Pole der Nadel umgewendet waren, $1^\circ 15' N.$; also die mittlere Neigung $0^\circ 30' N.$ Durch obige Methode findet man also die Neigung $= 0^\circ$ in einer S. Br. $10^\circ 17'$ und W. L. von Greenw. $8^\circ 12'$.

Dagegen sind die Beobachtungen in den folgenden zwey Nummern verdächtig:

8) *Ekeberg* fand auf seiner ersten Reise 1767 den 19 May in S. Br. $15^\circ 35'$, O. Länge von Teneriffa $8^\circ 10'$ d. h. W. L. von Greenwich $8^\circ 21'$, die Neigung $0^\circ 50' S.$ und den 20 May in S. Br. $12^\circ 29'$, O. L. von Tener. $7^\circ 8'$ d. h. W. L. von Greenw. $7^\circ 26'$, die Neigung $1^\circ 0' N.$ Diese beiden würden im Mittel den Nulpunkt in S. Br. $13^\circ 4'$ und W. L. von Gr. $7^\circ 54'$ ergeben. Aber dies ist nach obigen Beobachtungen (No. 4) an diesem Orte fast 2° zu südlich.

*) Die hier angegebne Neigung ist, wo mir recht, in Achtelgraden angegeben, so daß 1.4 Grad einerley mit $1^\circ 30'$ und 2.2 Grad mit $2^\circ 15'$ sind.

9) *La Perouse* machte folgende Beobachtungen:

1785.	Breite südlich.	Länge.		Neigung.	Südl. Br. des Nul- punktes.
		W. Paris.	W. Grw.		
Oct. 7	9° 29'	24° 54'	22° 34'	3° 30' N.	11° 14'
8	10 46	23 39	23 5	0 0 —	10 46
9	12 14	25 56	23 36	0 13 S.	12 8
10	13 23	26 18	23 58	0 30 —	13 8
11	14 29	25 23	24 20	2 30 —	13 14
		26 40			
		25 47			

Dafs bey dieser Beobachtung am 8 Oct., wo *La Perouse* die Neigung $= 0^\circ$ fand, ein Fehler statt finden müsse, erhellet klärlich daraus, dafs am folgenden Tage, da die Breite um $1\frac{1}{2}$ Grad zugenommen hatte, die Neigung nur $13'$ südlich, und den 10ten, wo die Breite $2\frac{1}{2}$ Grad gröfser war als am 8ten, die Neigung noch nicht mehr als $\frac{1}{2}$ Grad südlich geworden war. Die Lage des Nulpunktes, die durch Beobachtungen am 10ten und 11ten gefunden ist, stimmt dagegen mit *Ekebergs* Beobachtungen in der Nähe dieses Ortes besser überein.*)

Die Unrichtigkeit dieser Beobachtung *Lamanons* (des Mathematikers der *La Perousen* folgte) ist deshalb hier so ausführlich gezeigt worden,

*) Hieraus ersieht man, wie wenig sich auf eine einzelne Neigungsbeobachtung, selbst wenn das Instrument zu den bessern gehörte und in der Hand des aufmerksamsten Physikers war, bauen lasse. Eine einzelne Beobachtung dieser Art giebt, wie ein einzelner Zeuge, nur halben Beweis. Nur dann ist eine Beobachtung der Neigung zuverlässig, wenn andere ihr vorhergehen oder folgen, so dafs die Continuität in der Reihe ihre Richtigkeit zeigen kann. Noch sicherer wird sie, wenn ein anderer Beobachter mit einem andern Instrumente sie bestätigt; denn dann müfste es ein besonderer Zufall seyn, wodurch bey den vielen mit diesem Instrumente verbundenen Unsicherheiten beide Beobachtungen, wofern man die Wahrheit nicht gefunden, übereinstimmten.

weil *Humboldt* und *Biot* sie für so genau gehalten haben, daß sie durch die Annahme, die *Linie ohne Neigung sey ein größter Kreis*, und durch Vergleichung dieser Beobachtung mit einer von *Humboldt* in Südamerika, darauf eine Theorie für das ganze Neigungssystem bauen zu können glaubten. (Annal. der Phys. Jahrg. 1805, 7 St.).

- 10) In Amerika fand *Humboldt* die Neigungsnadel in $7^{\circ} 1' \text{ S. Br.}$ und $80^{\circ} 41' \text{ W. L.}$ von Paris, d. h. in $78^{\circ} 21' \text{ W. L.}$ Greenw. horizontal. Hier nähert sich also die Linie ohne Neigung dem Aequator. Er fand auch an folgenden vier Orten in Südamerika, die fast unter demselben Meridian liegen, nachstehende Neigungen:

Beobachtungs- Ort.	Breite südlich.	Länge.		Neigung.	Südl. Br. des Nul- punktes.
		W. Paris.	W. Grw.		
Tompenda . . .	$5^{\circ} 31' 4''$	$80^{\circ} 27'$	$78^{\circ} 7'$	$3^{\circ} 11' \text{ N.}$	$7^{\circ} 6' \text{ S.}$
Loxa	4 0 0	81 12	78 52	5 24 —	6 42 —
Cuença	2 54 9	80 45	78 25	8 45 —	7 16 —
Lima	12 2 31	79 55	77 15	9 59 S.	7 5 —
Mittel aus allen					$7^{\circ} 1\frac{1}{4} \text{ S.}$

Die Mittelzahl aus allen giebt, wie man sieht, den Nulpunkt in dieser Länge in der Breite $7^{\circ} 1' \text{ S.}$ eben so, wie sie von *Humboldt* angegeben wird. *H.* hat also entweder dieselbe Interpolationsmethode, wie ich, gebraucht, und seine Angabe der Neigung 0° ist nicht durch unmittelbare Beobachtung gefunden; oder, wenn sie das Resultat einer unmittelbaren Beobachtung an Ort und Stelle ist, so beweiset sie eben so sehr die große Vollkommenheit seines Instruments, als die Richtigkeit der Interpolationsmethode.

Also den Nulpunkt in $0^{\circ} 58'$ N. Br. und ungefähr 117° W. L. von Greenw. — Auch hier zeigt die geringe Uebereinstimmung der Resultate, dafs das Neigungsinstrument des *La Perouse* nicht zu den besten gehörte.

14) Endlich trifft man bey *Krusenstern* auf folgende Beobachtungen:

1804	Breite.	Länge westl. von Greenw.	Neigung	Nördl. Br. des Nul- punktes.
May 24	$0^{\circ} 56' S.$	$146^{\circ} 16'$	$8^{\circ} 30' S.$	$3^{\circ} 19'$
25	0 0	146 31	6 15 —	3 7 $\frac{1}{2}$
26	1 12 N.	146 46	5 30 —	3 57
Mittel				$3^{\circ} 28' N.$

Also Nulpunkt in $3^{\circ} 28'$ N. Br., und $146^{\circ} 31'$ W. L. von Greenwich.

15) Wir wenden uns indessen wieder gen Ost und untersuchen den Gang dieser Linie im Indischen Meere. Dort erboten sich uns folgende Beobachtungen von Capt. *John Alex. Pantou*:

1776.	N. Breite.	Länge östlich Greenw.	Neigung.	N. Breite des Nul- punkts.
Oct. 30	$9^{\circ} 58' N.$	$75^{\circ} 4'$	$2^{\circ} . 5 S.$	$11^{\circ} 17'$
31	9 54	74 24	3 . 0	11 24
Nov. 1	9 51	73 55	2 . 6	11 19
2	9 59	72 30	2 . 4	11 14
3	9 58	71 18	3 . 6	11 30
4	9 49	70 26	4 . 1	11 53
5	9 53	69 11	3 . 7	11 49
6	9 55	67 35	3 . 7	11 51
7	10 43	65 30	2 . 3	11 54
8	11 57	63 22	0 . 3	12 8
9	12 45	60 34	2 . 1 N.	11 41
10	12 59	57 21	3 . 1	11 25
11	13 29	55 12	4 . 1	11 25
12	15 16	52 55	4 . 5	10 57

Diese vortrefflichen Beobachtungen wurden mit einer Nadel angestellt, die, Herrn *Cavendish* zugehörend, von *Sisson* verfertigt war. Jede Neigung ist eine Mittelzahl von 2, wobey der Index sich ein Mal gen Ost, das andere Mal gen West wendete. Ueberdies wurden die Pole der Nadel zu zweyen Maleh auf der Reise umgewendet. Endlich sind die mittleren Neigungen verbessert worden, weil sich am 12 July bey Umwendung der Pole zeigte, daß das bemerkte Ende der Nadel $\frac{1}{8}$ Grad tiefer stand, als das andere. Die Neigungen sind in Graden und Achtelsgraden angegeben, so daß z. B. $2^{\circ}.5$ heisset $2^{\circ}\frac{5}{8} = 2^{\circ} + 5 \times 7\frac{1}{2}' = 2^{\circ} 57\frac{1}{2}'$ u. s. w.

- 16) Mit derselben Nadel und auf dieselbe Art wurden von Capt. *Burnet Abercrombie* folgende Beobachtungen angestellt.

Den 29 Nov. 1775 fand er in der Nähe von Ceylon in N. Br. $9^{\circ} 28'$, O. L. von Greenw. $85^{\circ} 10'$, folgende Neigungen: $1^{\circ}.5$ S.; $1^{\circ}.3$ S.; $1^{\circ}.1$ S.; $0^{\circ}.7$ S.; $0^{\circ}.5$ N.; $0^{\circ}.4$ N. Man ersieht, daß, so wie A. nordwärts segelte, die Neigung allmählich abnahm und zwischen der vierten und fünften Beobachtung 0° wurde. Schade, daß er die Breite, worin jede derselben gemacht worden, nicht angeführt hat. Die angegebene ist vermuthlich diejenige am Mittage. Nimmt man die Mittelzahl zwischen der ersteren und letzteren als die Neigung zu der Zeit an, da das Schiff die angegebene Breite und Länge hatte, so erhält man $\frac{2}{12}$ Grad südliche Neigung, welches den Nulpunkt in $9^{\circ} 45'$ N. Br. und $85^{\circ} 10'$ O. Länge von Greenw. setzt. — Ferner gewährt eben derselbe folgende Beobachtungen:

1775.	Breite.	Länge östlich Greenw.	Neigung.	N. Breite des Nul- punktes.
Nov. 30	$10^{\circ} 55'$ N.	$84^{\circ} 55'$	$3^{\circ}.3$ N.	$9^{\circ} 14'$
Dec. 1	11 1	85 15	3 . 1	9 27
2	10 59	85 58	1 . 5	10 10
3	10 33	86 49	2 . 4	9 18
4	11 13	87 2	4 . 6	8 51
9	13 39	80 42	5 . 1	11 5

Endlich findet man in gedachtem Meere 1776 den 10 Sept. auf der Rheede von Madras N. Br. $13^{\circ} 7'$, die Länge des Forts St. George $80^{\circ} 20'$, die Neigung in der Cajüte $5^{\circ} . 3$ und denselben Tag im Hause der Compagnie $4^{\circ} . 7$. Den 28sten zeigte sie sich eben daselbst $= 5^{\circ}$ und am 3 Oct. gleichfalls $= 5^{\circ}$. Also ist nach einer Mittelzahl die Neigung in Madras $= 5^{\circ} 4'$, welches den Nulpunkt in $10^{\circ} 35'$ N. Br. und $80^{\circ} 20'$ O. Länge von Greenw. ergiebt.

- 17) Im Meere zwischen Madras und der Halbinsel Sumatra bietet *Le Gentil* folgende z. Bestimmung der Lage der Linie ohne Neigung tauglichen Beobachtungen dar: *Observations de l'Inclinaison de l'Aiguille aimantée faites a bord du vaisseau le Dauphin en 1770, allant de Pondichery à l'Isle de France.*

Nördliche Breite.	Länge.		Neigung.			N. Breite des Nul- punktes.
	Ö. Paris.	Ö. Grw.	Die Lilie gen Nord.	Die Lilie gen Süd.	Mittel.	
$10^{\circ} 40'$	$82^{\circ} 57'$	$85^{\circ} 17'$	$3^{\circ} 0' N.$	$4^{\circ} 15' N.$	$3^{\circ} 38' N.$	$8^{\circ} 51'$
9 38	83 30	85 50	0 0	1 37	0 48	9 14
8 8	84 7	86 27	3 20 S.	2 15 S.	2 52 S.	9 34

- 18) Ferner *Observations faites a bord du vaisseau Portugais le S. Antoine en 1768 allant de Manille à Madras par le detroit de Malacca.*

Nördl. Breite.	Neigung.			N. Br. d. Nul- punktes.	Die Lage des Beobach- tungsorts.
	Die Lilie gen Nord.	Die Lilie gen Süd.	Mittel.		
$6^{\circ} 51'$	$4^{\circ} 0' S.$	$2^{\circ} 45' S.$	$3^{\circ} 22' S.$	$8^{\circ} 32'$	40 Ls. v. Malacca u. 40 L. v. pointe Achem.
7 31	3 30	2 15	2 52	8 57	50 — — — 40 — —
7 45	3 15	2 7	2 41	9 5	Bey den Nikobar - Inseln.
8 9	3 0	2 0	2 30	9 24	
8 50	3 0	2 0	2 30	10 15	
10 7	2 0	0 21	1 10	10 42	
10 7	1 7	0 21	0 44	10 29	15 Lienes von Ceylon und 30 Ls. von der Küste Tanjaour.
10 39	0 8 N.	1 30 N.	0 49 N.	10 15	25 Lienes von Negapatnam.

- 19) Im Meere zwischen Malacca und Manilla finden wir folgende Beobachtungen von Capt. *Ekeberg*:

1770.	Nördl. Breite.	Oestl. Länge.		Neigung.			N. Br. des Nulpk.
		Tener.	Greenw.	Instrument recht.	Instrument umgek.	Mittel.	
Aug. 26	8° 53'	125° 27'	108° 56'	3° 30' S.	3° 15' S.	3° 22½' S.	10° 54'
27	10 15	126 33	110 2	1 15 N.	1 0 N.	1 7½' N.	9 41
Dec. 26	8 54	125 0	108 29	1 5 S.	1 30 S.	1 18 S.	9 55
1774				Nadel A.	Nadel B.		
July 28	7 42	124 15	107 44	2° 15' S.	1° 49' S.	2 2 S.	8 49
29	9 24	125 15	108 44	0 5 —	0 2½ —	0 4 —	9 26
—	10 0	125 51	109 20	0 52½ N.	0 52½ N.	0 52½ N.	9 34
30	11 27	126 40	110 9	4 37½ —	4 37½ —	9 8
Mittel aus allen							9° 32'

Man ersieht hieraus, daß zwischen 109° und 110° O. L. von Greenwich die Linie ohne Neigung ungefähr 9½° nördlich vom Aequator liegt. Die abweichendsten Resultate geben die Beobachtungen am 26 Aug. 1770 und 28 July 1774. Die Mittelzahl von allen giebt 9° 32', bey Hintansetzung der beiden gedachten aber wird sie = 9° 28'.

Die so genaue Uebereinstimmung zwischen diesen Resultaten verleitet mich, in die Beobachtungen der folgenden zwey Nummern einiges Mistrauen zu setzen:

- 20) Auf *Cooks* dritter Reise fand Capt. *King* im Juny 1780 auf der Insel Pulo Condore die N. Br. 8° 40', die O. Länge von Greenwich 106° 18' 46"; die Neigung 2° 1' nördlich. Demnach mußte der Nulpunkt in 7° 40' N. Br. fallen. Aber hier hat sich vermuthlich ein Fehler eingeschlichen. Alle vorhergehenden in der Tabelle angeführten Neigungen waren nämlich nördlich, weswegen die Rubrik, welche die Neigungsbeobachtungen enthält, immer *North. Dip* zur Ueberschrift gehabt hat. Da nun die folgenden südlich sind, so konnte es sich leicht treffen, daß man die Ueber-

schrift der Rubrik zu verändern vergafs. Nimmt man nun an, daß die Neigung bey Pulo Condore $2^{\circ} 1'$ S. war, so ergibt sich daraus, was *Ekebergs* Beobachtungen den 27 Aug. 1770 fast in derselben Länge ergaben, der Nulpunkt in dieser Länge ($106^{\circ} 19'$ O. v. Greenw.) in $9^{\circ} 41'$ N. Br.

- 21) *Le Gentil* hat unter folgendem Titel einige Beobachtungen angeführt: *Observations sur le bon Conseille, Vaisseau de Guerre en 1766 allant à Manille par les Isles de la Sonde.*

Nördl. Breite.	Neigung.			N. Breite des Nul- punktes.
	Die Lillie gen Nord.	Die Lillie gen Süd.	Mittel.	
$5^{\circ} 30'$	$4^{\circ} 30' \text{ S.}$	$4^{\circ} 45' \text{ S.}$	$4^{\circ} 57' \frac{1}{2} \text{ S.}$	$7^{\circ} 49'$
6 55	3 45	2 0	2 52	8 1
6 45	4 0	2 15	3 8	8 19
7 0	3 45	1 45	2 45	9 45
7 21	0 30	1 15	0 52	7 47
8 22	1 30 N.	1 30 N.	1 30 N.	8 7
9 45	2 30	5 15	2 52	8 19
11 32	5 0	8 30	6 36	8 14

Diese Beobachtungen sind zwischen den Meridianen 108° - 112° O. Länge von Greenw. angestellt. In Manilla fand *Le Gentil* die Neigung $11^{\circ} 4'$ N. und $12^{\circ} 18'$ N., im Mittel $11^{\circ} 41'$, welches den Nulpunkt in diesem Meridian ($120^{\circ} 51'$ O. Greenw.) in $8^{\circ} 44'$ N. Br. setzt.

Die Beobachtungen in der Tabello rücken die Linie ohne Neigung an dieser Stelle ungefähr in 8° N. Br., welches mit *Cooks* Beobachtung bey Pulo Condore, wenn diese anders richtig ist, übereinstimmt. Zu entscheiden, welche Parthey Recht habe, getraue ich mir nicht, da sich auf beiden Seiten Beobachter von Gewicht befinden. Inzwischen scheinen *Ekebergs* Beobachtungen mit dem Laufe der übrigen Neigungslinien sowohl nördlich als südlich am besten übereinzustimmen. Ueberdies gewinnt man Zutrauen zu denselben, wenn man *Wilkes* Bemerkungen

über sie lieset. Er sagt nämlich: "das Instrument, dessen man sich bediente, ist dasselbe, welches Hr. *Ekeberg* auf der vorigen Reise 1770 und 1771 gebraucht hat, beschrieben in den Abhandl. der Akad. für 1772 Seite 292. Außerdem hatte man zwey neue Nadeln mitgenommen, eine, wie die vorige, mit Balanceschrauben, und eine nach Hr. *Bernoullis* Einrichtung mit einem Aequationszeiger. (Siehe Abhandl. der Akad. 1768 S. 200). Die vierte Columnne zeigt die Neigung mit der alten Nadel, die fünfte dieselbe, mit der neuen No. 1 gefunden."

Ekeberg durchschnitt den magnetischen Aequator an dieser Stelle zu vier Malen, und drey Mal hatte er Gelegenheit, Beobachtungen in dessen Nähe anzustellen; er besaß drey verschiedene Nadeln von verschiedener Construction, welche, wie aus seinem Berichte hervorgeht, mit der größten Genauigkeit gebraucht wurden. *Le Gentils* Nadel hingegen gab immer verschiedene Resultate bey der Umwendung, und war also nicht gut äquilibrirt. Endlich hatte *Cooks* Nadel, als man die Beobachtung zu Pulo Condore anstellte, schon eine Reise um die Erde gemacht, und Feuchtigkeit nebst den abwechselndsten Temperaturen ausgehalten.

- 22) Von den Philippinischen Inseln bis zum 147° W. oder 213° O. Länge von Greenw., wo *Krusenstern* die Linie ohne Neigung durchschnitt, haben wir keine genügende Beobachtungen in der Nähe der letztern. Also herrscht von 120° bis 213° (ungefähr 90° der Länge) noch einige Unge-
wifsheit. Zwar segelte *La Perouse*, als er am Ende des Jahrs 1787 aus der nördlichen Halbkugel nach Botanybay fuhr, mitten durch die Südsee, den Aequator ungefähr in 187° O. Länge von Greenw. durchschneidend, aber das Neigungsinstrument war durch fast täglichen Gebrauch unzuverlässig geworden. Die südlichen Neigungen sind ungefähr um 5° zu geringe, wie man aus den letzten zwischen Neuholland und Neuseeland deutlich abnehmen kann, wo auf *Cooks* beiden letzten Reisen die Neigung auf das genaueste bestimmt worden war. Vergrößert man also die letzten beobachteten südlichen Neigungen vom 14. Nov. 1787 bis zu Ende des Jahrs um 5° , so stimmen sie recht gut zu dem ganzen übrigen System. Am 17 Nov. 1787 finden wir in $3^{\circ} 39' 50''$ N. Br. und $173^{\circ} 9' 4''$

W. Länge von Paris (d. h. $172^{\circ} 49'$ W. von Greenw.) die Neigung $4^{\circ} 30'$ nördlich. Ziehet man davon 5° ab, so erhält man die vermuthete Neigung $= 0^{\circ} 30'$ südlich, und also den Nulpunkt hier in $3^{\circ} 55'$ N. Br. So zeigt sich denn auch am 25 Nov. desselben Jahres in $3^{\circ} 47'$ S. Br. und $174^{\circ} 25' 46''$ W. L. Paris, d. h. $172^{\circ} 6'$ W. L. v. Greenw., die Neigung $6^{\circ} 0'$ S. Füget man 5° hinzu, so wird die vermuthete wahre Neigung $11^{\circ} 0'$, welches eine nördliche Breite des Nulpunktes von 2° bis 3° giebt.

Zu bequemerer Uebersicht der hier angegebenen Punkte, wo die Neigung 0° ist, sind sie in folgender Tabelle gesammelt worden:

Beobachter.	Länge Greenw.	Breite des Nul- punktes.	Beobachter.	Länge Greenw.	Breite des Nul- punktes.
Im Atlantischen Meere zwischen Afrika und Amerika					
Ekeberg . .	$26^{\circ} 43' \text{ W.}$	$13^{\circ} 45' \text{ S.}$	Ekeberg . .	$21^{\circ} 8' \text{ W.}$	$13^{\circ} 2' \text{ S.}$
	26 42	13 35		21 1	14 5
Abercrombie	26 42	13 10		20 50	13 43
	26 28	12 59		20 31	13 59
Ekeberg . .	26 26	13 19	King	15 40	12 48
	26 20	13 13		15 32	13 29
	26 6	13 40		11 54	12 50
Abercrombie	25 43	13 9	Ekeberg . .	10 32	13 21 $\frac{1}{2}$
La Perouse	24 20	13 14		10 21	11 46
	23 58	13 8		10 5	11 17
Ekeberg . .	21 15	13 23		9 11	10 50
	21 12	13 35	Le Gentil .	8 12	10 17
Im Indischen Meere vom Cap Guardafui bis zur Sundastraße					
	$52^{\circ} 55' \text{ O.}$	$10^{\circ} 57' \text{ N.}$		$70^{\circ} 26' \text{ O.}$	$11^{\circ} 53' \text{ N.}$
	55 12	11 27		71 18	11 30
	57 21	11 25		72 30	11 14
Panton . . .	60 34	11 41	Panton . . .	73 35	11 19
	63 22	12 8		74 24	11 24
	65 30	11 54		75 4	11 17
	67 35	11 51		76 54	10 52
	69 11	11 49	Le Gentil .	77 0	10 15

Beobachter.	Länge Greenw.	Breite des Nul- punktes.	Beobachter.	Länge Greenw.	Breite des Nul- punktes.
Im Indischen Meere vom Cap Guardafui bis zur Sundastraße					
<i>Le Gentil</i> .	78° 40' O.	10° 29' N.	<i>Le Gentil</i> .	85° 17' O.	8° 51' N.
	79 40	10 42		85 50	9 14
<i>Abercrombie</i>	80 20	10 35	<i>Abercrombie</i>	85 58	10 10
	80 42	11 5	<i>Le Gentil</i> .	86 27	9 34
<i>Le Gentil</i> .	81 10	10 15	<i>Abercrombie</i>	86 49	9 18
	84 11	9 24		89 20	9 5
<i>Abercrombie</i>	84 55	9 14	<i>Le Gentil</i> .	95 15	8 57
	85 15	9 27		96 55	8 32
Von der Sundastraße bis zu den Philippinen					
<i>Ekeberg</i> . .	106° 2' O.	9° 41' N.	<i>Ekeberg</i> . .	108° 56' O.	10° 34' N.
	107 44	8 49		109 20	9 34
	108 29	9 33		110 9	9 8
	108 44	9 26	<i>Le Gentil</i> .	120 51	8 44
In Amerika Humboldt . .					
				78° 21' W.	7 1' S.
Im Südmeere					
<i>Collnet</i> . . .	89° 38' W.	3° 37' N.	<i>Krusenstern</i>	146° 16' W.	3° 19' N.
<i>Vancouver</i> .	92 0	2 19		146 31	3 7½
<i>La Perouse</i> .	117 0	1 1		146 46	3 57

Hieraus ersieht man, daß die größte südliche Breite der Linie ohne Neigung ungefähr $13\frac{1}{2}$ Grad betrage, und zwischen den 20° und 26° W. L. von Greenwich falle. Sowohl östlich als westlich von da nähert sie sich dem Aequator, welchen sie in Afrika ungefähr im 25° O. L. von Greenw. und im Südmeere in 110° W. L. von Greenw. zu durchschneiden scheint*). Diese zwey Knoten liegen also nur 135° aus einander; die *Linie ohne Neigung* ist also kein größter Kreis. Ferner bemerke man, daß sie in Afrika den Aequator unter einem Winkel von ungefähr $21\frac{1}{2}^{\circ}$ und im Südmeere von ungefähr $7\frac{1}{2}^{\circ}$ durchschneidet.

*) Siehe die Neigungskarte für 1780.

Im Indischen Meere steigt sie vom Cap Guardafui nordwärts, bis sie seine größte nördliche Breite von ungefähr $11\frac{1}{2}^{\circ}$ zwischen der Länge 63° und 67° O. von Greenw. erreicht; darauf senkt sie sich wieder langsam gen Süd bis Malacca, woselbst ihre nördliche Breite ungefähr 9° ausmacht. Von Malacca bis zu den Philippinen steigt sie nach *Ekebergs* Beobachtungen wieder ungefähr $\frac{1}{2}$ Grad nordwärts, und sinkt darauf langsam nach Süden, bis sie in oben-angeführter Länge den Aequator durchschneidet.

Die größte südliche Breite betrug $13\frac{1}{4}$ Grad, die größte nördliche nur $11\frac{1}{2}$, jene ungefähr in 23° W. Länge von Greenwich, diese etwa in 65° O. Länge. Letztere beide Punkte liegen also nur 88° aus einander: ein neuer Beweis, daß sie keineswegs einen größten Kreis bildet.

Es wäre von Wichtigkeit, die Richtung der übrigen Neigungs- und Abweichungslinien eben so ausführlich zu beweisen, um diesen Karten diejenige Zuverlässigkeit*) zu ertheilen, welche, wenn sie zur Grundlage einer künftigen theoretischen Untersuchung des Erdmagnetismus dienen sollten, erforderlich seyn möchte. Aber es würde zu weitläufig und ermüdend seyn. Es genüge also die Versicherung, daß in Rücksicht der übrigen Linien sowohl bey den Abweichungs- als Neigungskarten, dieselbe Genauigkeit beobachtet worden sey. Uebrigens verweise ich auf die im Anhange mitfolgenden Tabellen. Nur sey noch folgendes betreffend *Humboldts* Beobachtungen in Europa in den Jahren 1805 und 1806, bemerkt.

*) Das bisher in die Genauigkeit dieser Art Karten gesetzte Mißtrauen gründet sich wohl auf die große Unvollkommenheit der bisherigen. Nimmt man Halleys Abweichungskarte vom Jahre 1700 aus, so sind alle übrigen, welche ich zu untersuchen Gelegenheit hatte, mehr oder minder unrichtig. Churchmans Abweichungskarte in der zweyten Ausgabe seines magnetischen Atlas gehört zu den bessern, wie man aus Vergleichung derselben mit der Abweichungskarte für 1787 ersehen kann. Er bediente sich vermuthlich der meisten und besten neuern Seebeobachtungen, kannte aber die Abweichungen in Sibirien nicht; denn im östlichen Asien sind seine Karten ganz unrichtig. Samuel Dahnns nach einer sogenannten Theorie gearbeiteter Atlas ist sehr fehlerhaft; insonderheit sind die Linien am südlichen Afrika ganz verunglückt. Lambert besaß nicht Seebeobachtungen genug, und hat, wie Churchman, im östlichen Asien bedeutende Fehler gemacht, wozu beide die vorausgesetzte Hypothese von einer magnetischen Axe verleitete. Wilckes Neigungskarte ist besser als sich von so wenigen, so wenig genauen und zu so verschiedenen Zeiten angestellten Beobachtungen erwarten ließe.

Zu Anfange dieses Hauptstückes wurde erwähnt, die Neigung in Europa nehme ab, wie denn solches aus den ältern, sowohl Londoner als Pariser Beobachtungen, verglichen mit den neueren, hervorgeht. Denn daß die ältesten Londoner von *Norman* bis auf *Bond* inclusive unrichtig sind, darin stimmen die Meisten überein: (siehe *Gilpins* Bemerkungen über die Abweichung und Neigung, angestellt in den Zimmern der königl. Gesellschaft der Wissenschaften von 1786 - 1806. *Philos. Trans. of the Roy. Soc. of London* for 1806, P. II. pag. 385-420, und ein Auszug derselben in *Gilberts* Annalen d. Physik, Jahrgang 1808, 8tes Stück). Nimmt man nun die Neigung in *London* zu *Grahams* Zeit 1723 nach einer Mittelzahl als $74^{\circ} 35'$ an, und vergleicht sie mit der von Hr. *Cavendish* im Jahre 1775 gefundenen von $72^{\circ} 30'$, so weiset dies für 52 Jahre eine Abnahme von $2^{\circ} 5'$, d. i. $2',4$ jährlich aus. Ferner ergibt sich aus Vergleichung letzterer Beobachtung mit der von *Gilpin* 1805 gefundenen Neigung von $70^{\circ} 21'$, für eine Zeit von 30 Jahren (1775-1805) eine Abnahme von $2^{\circ} 9'$, d. i. $4',3$ jährlich. Für das letztverwichene Jahrzehend setzt *Gilpin* die mittlere jährliche Abnahme zu $1',4$.

Richers Beobachtung in *Paris* 1671 (Neigung $75^{\circ} 0'$), verglichen mit der von *La Caille* 1754 (Neigung $72^{\circ} 15'$), ergibt für 83 Jahre eine Abnahme von $2^{\circ} 45'$, d. i. $1',96$ jährlich. Diejenige von *La Caille*, verglichen mit der Beobachtung *Humboldts* 1806 (Neigung $69^{\circ} 12'$), ergibt für 52 Jahre eine Abnahme von $3^{\circ} 3'$, d. i. $3',52$ jährlich. *Humboldts* Beobachtung 1806 (Neigung $69^{\circ} 12'$), verglichen mit seiner Beobachtung 1798 (Neigung $69^{\circ} 26'$), ergibt für 8 Jahre eine Abnahme von $14'$, d. i. $1',75$ jährlich.

Die Londoner und Pariser Beobachtungen stimmen also darin überein, daß in der ersten Hälfte des verflossenen 18ten Jahrhunderts die Neigung ungefähr um $2'$, in dessen letzter Hälfte ungefähr um $4'$ und zu Anfange des gegenwärtigen 19ten Jahrhunderts ungefähr um $1\frac{1}{2}'$ alljährlich abnahm.

Ferner findet man für *Berlin*

1755 — $71^{\circ} 45'$

1761 — $72^{\circ} 0'$

1769 — $72^{\circ} 45'$ Euler

1806 — $69^{\circ} 53'$ Humboldt.

Von 1769 bis 1806 oder in 37 Jahren nahm also die Neigung um $2^{\circ} 52'$, d. i. um $4',65$ alljährlich ab.

In Petersburg	1755	—	$73^{\circ} 30'$	Euler (Sohn)
	1769	—	$75 \quad 35$	Mallet
	1778	—	$72 \quad 36$	Kraft*)

Von 1769 bis 1778 — 9 Jahre — $0^{\circ} 59'$, d. i. $6\frac{2}{3}$ jährlich.

Zwar bemerkt Kraft, die Neigung habe wieder zugenommen, und giebt sie im Jahre 1802 zu $76^{\circ} 42'$ an; aber ein Blick auf die Neigungskarte nebst weiter unten zu erklärenden theoretischen Gründen macht diese Beobachtung sehr verdächtig.

In Rom	1640	—	$65^{\circ} 40'$	Kircher
	1806	—	$61 \quad 57$	Humboldt

166 Jahre — $3^{\circ} 45'$, d. i. $1',3$ jährlich.

Endlich in Kopenhagen	1775	—	$71^{\circ} 45'$	Lous
	1791	—	$71 \quad 20 \frac{1}{3}$	Bugge
	1815	—	$71 \quad 26$	Wleugel

Von 1775 bis 1791 — 18 Jahre — $0^{\circ} 24'\frac{7}{12}$, d. i. $1',36$ jährlich.

Da nun die neueste Neigungskarte ungefähr auf das Jahr 1780 passen soll (welches Jahr in die Mitte der ältesten und neuesten Beobachtungen fällt, nach denen die Karte construirt ist) und Humboldts Beobachtungen in Europa in den Jahren 1805 und 1806 gemacht sind, so muß man nothwendig die jährliche Abnahme in Betracht ziehen. Nun ergeben die angeführten Beobachtungen fast einstimmig für das letzte Viertel des verflossenen Jahrhunderts eine jährliche Abnahme von $4'$; man kann also in diesen 25 Jahren die Abnahme auf $4' \times 25 = 100' = 1^{\circ} 40'$ rechnen. Wenn man demnach Humboldts Beobachtungen um $1\frac{2}{3}$ Grad vermehrte, würden sie ungefähr zu der Karte passen.

Vergleichen man nun Wilckes Karte mit derjenigen für 1780, so sieht man, daß die Linie ohne Neigung im Chinesischen Meere, wo sie nach Cunningshams Beobachtungen gezogen ist, ungefähr in $19\frac{1}{2}$ Grad N. Br. liegt. Auf

*) Acta Acad. Petrop. An. 1778, Pars II.

der neuesten Karte liegt sie, wie oben gezeigt, in $9\frac{1}{2}^{\circ}$ N. Br. Diese Linie hat sich also in 80 Jahren 10° südlich gezogen, d. h. die nördliche Neigung hat an dieser Stelle um 20° zugenommen; denn in $19\frac{1}{2}^{\circ}$ N. Br. lag 1780 eine Linie von 20° N. Neigung. Die südlichen Neigungen haben ungefähr um eben so viel abgenommen.

Eine gleiche Veränderung findet man bey Südamerika von *Feuillées* bis *La Perouse's* Zeit: die Neigungslinien nämlich sind bedeutend nach Süden vorgerückt. *Cook* beobachtete auf seiner ersten Reise in der Good Success Bay in Le Maires Strafe den 24 Januar 1769 die Neigung $= 63^{\circ} 0'$, und in der Nähe fand *Feuillée* dieselbe $70^{\circ} 0'$. Eine ähnliche Abnahme von ungefähr 5° wird sich bey Vergleichung der übrigen Beobachtungen des *Feuillée* längs der Westküste Südamerikas mit den eben daselbst angestellten neuern des *La Perouse* und *Vancouver's* zeigen. *Feuillée* fand im Jahre 1710 die Neigung in Lima $= 18^{\circ} 30'$ S. und *Humboldt* im Jahre 1799 $= 9^{\circ} 59'$, d. i. in 89 Jahren eine Abnahme von $8^{\circ} 31'$ oder $5\frac{1}{7}$ jährlich. *Bouguer* beobachtete 1742 im Novbr. die Neigung in Quito $= 10^{\circ} 0'$ N., *Humboldt* eben daselbst 1799 $= 13^{\circ} 22'$ N.; also in 57 Jahren eine Zunahme von $3^{\circ} 22'$; d. i. $5\frac{1}{5}$ jährlich. In Südamerika nimmt dem zufolge die südliche Neigung ab, die nördliche zu.

Eine eben so merkliche Veränderung zeigt sich endlich am Nordcap und bey Nova-Zembla von *Hudson's* bis auf unsere Zeit. Dort wie hier fand jener die Neigung fast 85° . Am Nordcap fand *Bayley* sie im Jahre 1769 $= 79^{\circ}$, und in Nova-Zembla kann sie nach der Karte nicht mehr als 76° – 77° betragen.

Mit wenigen Worten also: die nördliche Neigung nimmt in Nordamerika zu, in Europa ab, allein im östlichen Asien und bey Japan wieder zu; die südliche Neigung nimmt bey Südamerika ab, ist um das Vorgebirge der guten Hoffnung beständig, und nimmt bey den Sundainseln und Neuholland ab.

Wir gehen nun zu dem dritten magnetischen Phänomen, nämlich den magnetischen Kräften über.

Graham, als er seine Beobachtungen über die Neigung in London anstellte, fand sie im April 1723 mit einer Nadel von $12''$,1 Länge $= 74^{\circ} 30'$; die Nadel machte in 350 Terzen 50 Schwingungen: darnach berechnete er

nun, daß die magnetische Kraft in London $\frac{1}{393}$ der Schwere betrage. Eine solche Vergleichung zwischen der magnetischen Kraft und der Schwere ist freilich, da beide nach so verschiedenen Gesetzen wirken, etwas mislich. Richtiger wäre es wohl, die magnetische Kraft mit sich selber zu vergleichen, um auszumitteln, ob sie an verschiedenen Orten der Erde verschieden sey.

Mallet *) fand am 19 April und 18 May 1769 mit einer 6 Zoll langen, in Paris verfertigten Nadel die Abweichung in Ponoï $1^{\circ} 10' O.$ Er erzählt, daß er in drey Monaten weder in der Abweichung noch in der Intensität eine Veränderung gefunden habe. Er ließ nämlich die Nadel in einem Bogen von $10^{\circ} - 12^{\circ}$ (auf jeder Seite des magnetischen Meridians) oscilliren. Zu den vier ersten Oscillationen gebrauchte die Nadel, gerade wie zu Petersburg im Aug., 14 Sekunden. Die Neigung zeigte sich am 18 und 19 März 1769 im Mittel von zwey verschiedenen Nadeln $76^{\circ} 30'$; zu Petersburg betrug sie dasselbe Jahr $73^{\circ} 30'$. Aber weiter unten soll dargethan werden, daß die horizontale oder Abweichungsnadel nicht mit der ganzen magnetischen Kraft, sondern nur mit einem Theile derselben schwinde, der mit dem Cosinus der Neigung proportionirt ist. Je größer also die Neigung wird, desto geringer ist derjenige Theil der magnetischen Kraft, welcher auf die horizontale Nadel wirkt. Man könnte hieraus also folgern, die magnetische Kraft in Petersburg verhalte sich zu der magnetischen Kraft in Ponoï, wie der Cosinus von $76^{\circ} 30'$ zu dem Cos. von $73^{\circ} 30'$, wofern die Anzahl der Oscillationen nicht zu klein wäre, um ein einiger Maßen genaues Resultat erwarten zu dürfen.

Coulomb **) beweist, daß die Schwingungen der Neigungsnadel sich nach dem Pendulgesetze richten, und die magnetischen Kräfte sich daher, wie das Quadrat der Anzahl der Schwingungen in gleich großen Zeiten verhalten. Dem zufolge wäre es die sicherste Methode zur Entdeckung der Veränderung der magnetischen Kräfte, wenn man eine und dieselbe Neigungsnadel an verschiedenen Orten in gleich viel Zeiteinheiten schwingen liesse. *Lamanon* hat, wie man sieht, eine Menge dergleichen Beobachtungen angestellt (er erwähnt

*) Nov. Comment. Petrop. Tom. XIV., pars 2da. An. 1769 pag. 33; de ac. magn. decl. Ponoï ann. 1769 obs.

**) *Öfversigt* neues Journal der Physik B. II. S. 299.

ihrer, wo mir recht, in einem Briefe aus der Insel St. Catharina, der sich in *La Perousens* Werke befindet); aber seine so wichtigen Beobachtungen gingen mit den übrigen Resultaten dieser weitläufigen Reise verloren.

Der erste und einzige, von dem man meines Wissens eine ganze Reihe solcher Beobachtungen besitzt, ist Hr. v. *Humboldt*. In einem Briefe an *La Lande**), datirt Caraccas den 14 Dec. 1799, stehen folgende Beobachtungen:

Beobachtungsort, Jahr 8.	Breite nördl.	Länge Ferro.	Neigung in alten Graden.	Schwin- gungen in 10 Mi- nuten.
		östlich.		
Paris	48° 50' $\frac{1}{4}$	20° 0'	69° 28'	245
Nimes	43 50 $\frac{1}{4}$	21 59	65 23	240
Montpellier	43 36 $\frac{1}{2}$	21 32 $\frac{1}{2}$	65 53	245
Marseille	42 17 $\frac{3}{8}$	23 3 $\frac{1}{2}$	65 10	240
Perpignan	42 41 $\frac{1}{2}$	20 33 $\frac{1}{2}$	65 18	248 ?
Barcellona	41 23 $\frac{1}{8}$	19 52	64 37	245
Madrid	40 25 $\frac{1}{10}$	13 58	67 41	240
Valenzia	39 29	17 29	63 38	235
Medina del Campo	66 9	240
Guadarama	66 9	240
Ferrol	45 29	9 24 $\frac{1}{2}$	68 32	237
	38 52 $\frac{1}{4}$	3 40	67 40	242
	37 14 $\frac{1}{8}$	3 30	67 30	242
	32 16	2 52 $\frac{1}{2}$	64 21	240
		westlich.		
Auf dem Atlantischen Meere	25 15	0 36	60 18	239
	21 36	5 39	57 49	237
	20 8	8 34	56 42	236
	14 20	28 3	52 55	239
	12 34	33 14	45 8	234
	10 46	41 24	41 46	229
	10 59 $\frac{1}{2}$	44 31 $\frac{1}{2}$	41 57	237
Cumana	10 27	46 31	39 47	229

*) Annalen der Physik, Jahrgang 1801, Stück III., 7 Band, 3 Stück.

Ferner findet man in den Annalen der Physik, Jahrg. 1805, St. 7, eine Abhandlung: Ueber die Variationen des Magnetismus der Erde in verschiedenen Breiten von H. H. v. Humboldt und Biot. Hier stoßen wir auf folgende Beobachtungen von Humboldt in Amerika:

Beobachtungsort.	Breite.	Länge Ferro.	Neigung in alten Graden.	Schwin- gungen in 10 Mi- nuten.
		westlich.		
Lima	12° 2 $\frac{1}{2}$ S.	59° 33'	9° 59' S.	219
Magnetisch. Aequator in Peru	7 1	60 4	0 0	211
Tompanda	5 31	60 27	3 11 N.	213
Loxa	4 0	61 12	5 24	212
Cuença	2 54 $\frac{1}{2}$	60 45	8 45	214
Quito	3 13 $\frac{1}{4}$	60 15	13 22	218
St. Antonio	0 0	60 12	14 25	220
St. Carlos del Rio Negro . .	1 52 N.	50 10	20 47	216
Popayan	2 24 $\frac{1}{2}$	58 45	20 53	223
Javita	2 49	50 30	24 19	218
Esmeralda	3 13 $\frac{1}{2}$	48 38	25 58	217
Sta. Fé de Bogota	4 36	56 37	24 16	226
Carichana	6 34	50 18	30 24	227
St. Thomas de la Guyana . .	8 8 $\frac{2}{3}$	46 26	35 6	222
Carthagenä	10 26	58 2	35 15	240
Mexico	19 26	81 22	42 10	242
		östlich.		
St. Cruz Teneriffa	28 28 $\frac{1}{2}$	1 23	62 25	238
Atlantisches Meer	38 52	3 40	68 11	242

Endlich enthält *Voyage de Dentrecasteaux redigée par Rossel, Tome II.*, folgende Beobachtungen von *Bertrand* und *Pierson*:

Beobachtungsort.	Breite.	Länge Paris.	Abwei- chung.	Neigung.	Länge einer Oscillation
Brest 20 Sept. 1791	71° 30' N.	2'',0200 A
S. Croix Tener. 21 Oct.	62 25	2'',0810 A
Port du Nord V. Diem.
Land 11 May 1792	43° 32' $\frac{1}{2}$ S.	144° 36' $\frac{1}{2}$	8° 1' $\frac{1}{2}$ O.	70 50 S.	1'',8690 A
Amboina 9 Oct . . .	3 41 $\frac{1}{2}$	125 47	20 37	2'',4030 A
Port d. Sud V. D. Land
7 Febr. 1793	43 54 $\frac{1}{2}$	144 36 $\frac{1}{2}$	2 52	72 22	1'',8498 A
Ibid.	70 48	1'',8170 B
Surrobaya auf Java
9 May 1794	7 14 $\frac{1}{2}$	110 19	25 40	2'',4290 A
Ibid.	25 40	2'',4850 B

Die B bezeichneten Beobachtungen sind mit einer andern Neigungsnadel gemacht.

Um diese Beobachtungen mit den oben angeführten Humboldtschen in Verbindung setzen zu können, ziehen wir folgende Schlüsse: *de Rossels* Nadel brauchte zu einer Schwingung auf St. Croix in Teneriffa 2'',081, machte also 288 Schwingungen in 10 Minuten. Allein hier machte *Humboldts* Nadel 238 Schwingungen in derselben Zeit; berechnet man also, wie viele Schwingungen *de Rossels* Nadel an jedem der angeführten Orte in 10 Minuten oder 600 Sekunden machte, und multiplicirt ihre Anzahl mit $\frac{238}{288} = \frac{119}{144}$, so erhält man die Anzahl der Schwingungen, welche *Humboldts* Nadel an dieser Stelle in 10 Minuten gemacht haben würde, woraus sich wieder auf das Verhältniß zwischen den Intensitäten schliessen läßt. Oder, da die Anzahl der Schwingungen mit derselben Nadel und in derselben Zeit im umgekehrten Verhältnisse mit der zu jeder einzelnen Schwingung gebrauchten Zeit steht, so kann

man auch so schliessen; die Länge einer Schwingung von *de Rossels* Nadel am Orte *L* verhält sich zu der Länge einer Schwingung derselben Nadel auf St. Croix, wie die Anzahl der Schwingungen von *Humboldts* Nadel auf St. Croix in 10 Minuten (238) zu der Anzahl der Schwingungen von *Humboldts* Nadel am Orte *L* in 10 Minuten; also

$2'',0200 : 2'',081 = 238 : 245,1$	Schwing. von <i>Humboldts</i> Nadel in Brest				
$1'',8690 : 2'',081 = 238 : 265$	—	—	—	—	Port du Nord
$2'',4030 : — = — : 206$	—	—	—	—	Amboina
$1'',8498 : — = — : 268$	—	—	—	—	Port du Sud
$2'',4290 : — = — : 204$	—	—	—	—	Surrobaya.

Man ersieht hieraus, daß *Humboldts* Nadel in Brest ungefähr 245 Schwingungen in 10 Minuten gemacht haben würde, also wie in Paris, welches auch bey der geringen Entfernung beider Orte wahrscheinlich ist. Ferner ersieht man, daß *Humboldts* Nadel in Amboina 206 Schwingungen und in Surrobaya auf Java 204 Schwingungen in 10 Minuten, also vermuthlich noch einige Schwingungen weniger unter dem magnetischen Aequator in der Nähe der Philippinen gemacht haben würde, da sie doch unter dem magnetischen Aequator in Peru 211 Schwingungen machte. Dies leitet zu dem Schlusse, daß zwar die Schwingungen der Nadel langsamer werden, wenn man sich dem magnetischen Aequator nähert; daß aber die Länge des Ortes ebenfalls auf die Anzahl der Schwingungen Einfluß habe. Endlich ersieht man, daß *Humboldts* Nadel in Port du Nord auf Van Diemens Land 265 Schwingungen, und in Port du Sud ebendaselbst 268 Schwingungen in 10 Minuten gemacht haben würde, da sie doch blos 245 Schwingungen in Paris machte, wo die Neigung doch fast eben so groß wie in Port du Nord auf V. D. Land ist; hieraus folgt ebenfalls, daß die Anzahl der Schwingungen mit der Neigung zunehme, obzwar unter allen Meridianen nicht gleich viel.

Nimmt man nun die Quadrate der Schwingungszahlen in 10 Minuten, so werden diese mit den magnetischen Kräften proportionirt. Bey dieser Vergleichung wollen wir mit *Humboldt* die Kraft unter dem magnetischen Aequa-

alle Gestein hat in einer Länge, und die Kraft wächst regelmäßig mit der Neigung. Ebenfalls gilt von Kamerschild, St. Thomas, Gomara u. s. w. 1) Wenn 4 Orte dieselbe Neigung haben, so ist (von Amerika ausgehend) die Kraft im westlichen am stärksten, und nimmt gegen Osten sehr bedeutend ab. Z. B. St. Carlos und Popocateca, Sta. Fé verglichen mit Ixtela und Kamerschild, St. Thomas mit Cortegaron. Die magnetische Kraft in Mexico ist fast eben so groß wie in Paris, noch doch etwas an beiden Orten ein Unterschied über 27° in der Neigung nicht; in Neuenburg in Nordamerika ist die Neigung ungefähr so groß als in Paris²⁾, aber die magnetische Kraft noch fast zwei Mal so groß wie in Mexico, aber noch weit größer als in Paris, der Längensunterschied zwischen Neuenburg und Paris ist aber fast 92° . 3) Die zweyte Regel kann vielleicht bestimmter so ausgesprochen werden: in jeder Neigungsreihe, also auch im magnetischen Äquator, ist die Kraft am stärksten im westlichsten Theile von Amerika, und nimmt ab, wenn man sich Europa in der nördlichen und Afrika in der südlichen Regel nähert, bis zu ein gewisses Maximum erreicht, worauf sie wieder nach Ost, wenn man sich Nordland nähert, wieder zunimmt. Dieser Punkt des magnetischen Äquators, wo die magnetische Kraft ihr Minimum³⁾ hat, noch doch Nordland näher liegen, als Peru, da die Kraft in letzterem Lande größer ist, als im andern. 4) In einem und demselben Meridian scheint die Kraft (bey gleichem Zuwachse der Neigung) schnell der in Amerika und bey Nordland, als bey Afrika und Europa zuzunehmen. Z. B. die Intensität in Sumbaya verhält sich zu der Intensität in V. Diemen Land ungefähr wie 1 : 1,2, zu der geschwinden Zunahme der Intensität zwischen Peru und Mexico ist schon schon gesagt.

Es ist zu verwundern, daß Humboldt und Mail diese Gesetze nicht bemerkt haben. Er sagt, die Reihe der Intensitäten sey außerordentlich häufig, Landessysteme (Hauptberge, Inseln u. dgl.) besitzen aber desto vieles Eisen. Hier kann man doch Versicherungen nicht weichen, welche sich durch so vielerley Gesteine ausdrücken lassen, wie die angeführten, und so ist

¹⁾ Sie ist 27 27.

²⁾ Die Kraft eines Theiles Wasser ein Sechstel der Kraft im Schmelzen, zusammengepresst werden.

gemein ohne Ausnahme gelten. Zieht man aber nicht die Länge in Betracht, so muß man sich freilich wundern, daß die Kraft zwar im Ganzen nach den Polen hin zunimmt, aber daß von 2 Orten, die vom magnetischen Aequator gleich entfernt liegen, der eine weit stärkere magnetische Kräfte, als der andere besitzt, ja daß die Kräfte bisweilen abnehmen, wenn die magnetische Breite zunimmt, wie dies bey Carichana und St. Thomas, bey Carthagena und Cumana u. s. w. der Fall ist.

Hr. v. Humboldt machte später, vom 15 März 1805 bis 1 May 1806, eine Reise in Frankreich, der Schweiz und Italien, auf welcher er ähnliche Beobachtungen anstellte. Auf Veranlassung dieser Beobachtungen findet sich eine Abhandlung in den Annalen der Physik, Jahrg. 1808 St. 3. (XXVIII. B. 3 St.), unter dem Titel: *Beobachtungen über die Stärke und über die Neigung der magnetischen Kräfte, angestellt in Frankreich, der Schweiz, Italien und Deutschland von Humboldt und Gay-Lussac.*

H. fand die vorige Messungsart der magnetischen Kraft unbequem; auch kann die Neigungsnadel ihre Kraft verlieren, wodurch das Resultat unrichtig wird. Er bediente sich also diesmal einer horizontalen Nadel, die er auf beiden Seiten des magnetischen Meridians schwingen ließ. HOC (Fig. 5) sey die Fläche des magnetischen Meridians, OH eine horizontale Linie, OC eine vertikale, HOL die Neigung der Nadel $= I$. Ist die ganze Kraft, die nach der Direktion OL wirkt, $= F$, so ist der Theil derselben, der nach OH wirkt $= F \cdot \cos I$. Nun sey (N) die Anzahl der Schwingungen, welche die Nadel macht, wenn sie von der ganzen Kraft gegen die Direktion OL getrieben wird, (n) die Anzahl der Schwingungen, welche sie in einer horizontalen Fläche auf beiden Seiten von OH macht; so verhalten sich die Kräfte wie die Quadrate der Anzahl der Schwingungen, also

$$F : F \cdot \cos I = N^2 : n^2, \text{ und } \sqrt{F} : \sqrt{F \cdot \cos I} = N : n;$$

folglich

$$N = \frac{n\sqrt{F}}{\sqrt{F \cdot \cos I}} = \frac{n}{\sqrt{\cos I}}.$$

Läßt man nun diese horizontale Nadel in einer gewissen Menge von Zeiteinheiten in Paris schwingen, so könnte man daraus berechnen, wie viele Oscil-

lationen dieselbe Nadel in derselben Zeit in der Lage der Neigungsnadel machen würde, und da eine Nadel, die in Paris 245 Schwingungen macht, in derselben Zeit 211 Schwingungen unter dem magnetischen Aequator in Peru macht, so läßt sich mit deren Hülfe die magnetische Kraft an jedem Orte mit der magnetischen Kraft unter dem Aequator in Peru vergleichen.

Durch diese Versuche fand Hr. v. Humboldt, daß der horizontale Theil der Kraft von Paris aus nach Süden zunimmt. Man könnte sich einen Punkt denken, von welchem sie wieder abzunehmen anfangte; allein dieser Punkt muß südlicher als Neapel liegen; denn bis nach Neapel nahm die Anzahl der horizontalen Schwingungen in derselben Zeit beständig zu, d. h. der horizontale Theil der Kraft vermehrte sich. Die ganze Kraft hingegen nahm, wie die folgende Tabelle ausweist, ab.

Ort.	Länge von Ferro.	Magnetische		Ort.	Länge von Ferro.	Magnetische	
		Neigung in alten Graden.	Kraft, wenn die Kraft unterm Aequat. = 1 ist.			Neigung in alten Graden.	Kraft, wenn die Kraft unterm Aequat. = 1 ist.
Berlin	31° 0' $\frac{1}{2}$	69° 55'	1.3703	Lans-le Bourg			
Göttingen . .	27 33	69 29	1.3485	am Fuße des			
Paris	20 0	69 12	1.3482	Cenis	66 9	1.3227	
Tübingen . .	26 43 $\frac{1}{4}$	68 4	1.3569	Hospiz auf d.			
Altorf		66 53	1.3228	Cenis	66 22	1.3441	
Ursern am St.				Turin	25° 20'	66 3	1.3564
Gothard . .		66 42	1.3069	Mailand . . .	26 51	65 40	1.3121
Hospiz auf d.				Florenz . . .	28 55	63 57	1.2782
St. Gothard .		66 22	1.5'38	Rom	30 7 $\frac{1}{2}$	61 57	1.2642
Airolo an dess.				Neapel	31 56	61 55	1.2745
südl. Abh. .		65 55	1.3090	Portici am Ve-			
Como		66 12	1.3104	suv	60 50	1.2883	
Lyon	22 29	66 14	1.3534	Crater des Ve-			
St. Michel . .		66 12	1.3488	sus	62 0	1.1933	

Hier scheint die magnetische Kraft nicht weiter gen Osten abzunehmen, sondern eher zu wachsen. Der Unterschied der Länge zwischen Paris und

Berlin beträgt 11° , und die Neigung ist nicht sehr verschieden, aber die magnetische Kraft in Berlin ist ungleich größer als in Paris. Dasselbe gilt von Paris und Göttingen. Neapel hat weniger Neigung als Rom, und doch größere magnetische Kraft; liegt aber fast 2° östlicher. Ist dieses richtig, so nimmt in derselben Neigungslinie die magnetische Kraft von Amerika aus ab, bis man in nördlichen Breiten ungefähr den *Meridian von Paris* erreicht; weiter östlich nimmt sie wieder zu; in der Nähe des Aequators scheint dieses Minimum etwas östlicher, nämlich nach der *Ostküste Afrikas* hin zu fallen.

In der zuerst angeführten Abhandlung von *Humboldt* und *Biot*: Ueber die Variationen des Magnetismus der Erde u. s. w. bestimmt *Biot* die Lage des magnetischen Aequators in der Voraussetzung, es sey ein größter Kreis, aus *Humboldts* Beobachtungen der Neigung $= 0$ in Amerika, in $7^\circ 1'$ S. Br. und $80^\circ 41'$ W. L. von Paris, verglichen mit *La Perousens* Beobachtung der Neigung $= 0$ in $10^\circ 57'$ S. Br. und $25^\circ 25'$ W. L. Paris, und findet, er mache einen Winkel mit der Fläche des Erdäquators $= 10^\circ 58' 56''$, und sein westlicher Knoten liege unter $120^\circ 2' 5''$ W. Länge von Paris, nicht weit von den Gallipagos Inseln; der östliche in $59^\circ 57' 55''$ O. Länge von Paris; also im Indischen Meere. Hierauf sucht er eine Formel für die magnetische Neigung*), wenn die Kraft der ganzen Axe in zwey Punkten gesammelt gedacht wird, und berechnet mit Hülfe derselben die Neigung an den Orten, wo sie von *Humboldt* durch Beobachtung gefunden ist. Nun ist aber im Vorhergehenden bewiesen, die von *Lamanon* angestellte Beobachtung von 0° Neigung an der Küste von Südamerika sey sowohl nach dem einstimmigen Zeugnisse der Beobachtungen aller anderen Seefahrer, als nach seinen eigenen vor- und nachherigen, welche den Nulpunkt in eine größere südliche Breite setzen, falsch. Die dadurch gefundene Lage des magnetischen Aequators ist also unrichtig. Aber, dies bey Seite, so sieht man leichtlich ein, daß eine

*) Setzt man den Winkel, welchen die magnetische Richtung (die Neigungsnael) mit der Axe des Erdmagneten macht $= \beta$, und das Complement der magnetischen Polhöhe $= u$, so findet

er $\tan \beta = \frac{\sin 2u}{\cos 2u + \frac{1}{2}}$ eine Formel, welche ich auf einem ganz andern Wege gefunden habe; siehe Hauptstück 5.

Hypothesen, welche den magnetischen Aequator für einen geraden Kreis, und die Magnetaxis für einen Durchmesser in der Erde, oder wenigstens für einen Theil derselben annehmen, niemals die doppelte Erklärung der Neigungslinien und der Linie einer Neigung, welche wir aus dem obigen kennen gelernt haben, enthalten können. Denn es muß die Formel, wenn die magnetische Erde derselbe ist, für alle Längen derselben Resultat geben, und alle Neigungslinien müssen kleine Circel werden, parallel mit dem geraden Kreis, den magnetischen Aequator.

Es ist so wenig Mühe sich von dem Gange, eine in der Lage der Magnetaxis eine starke Excentricität vorzunehmen, die einen bestimmten verschiedenen Intensität in denselben Neigungslinien erklären. Dies geschieht A. selbst so, und sagt, seine Formel gebe den Zuwachs der magnetischen Kraft etwas zu klein, und in geraden Kreisen zu groß. Er geht daher seine Hypothesen für keine wichtige Theorie vor, sondern betrachtet sie nur als eine mathematische Denkhypothese, und sagt neugierig die Abweichung und die Intensität: "Was die Abweichung und Intensität betrifft, so gestehen wir vorerwähnten, daß wir von dem Gange und dem Umrufen schließend Dinge nicht wissen. Sollte ein Physiker so glücklich seyn, da auf ein einziges Princip zurückzuführen, welches zugleich die Variationen der Inclination erklären, so würde das certainly eine der schönsten Entdeckungen seyn, die je gemacht wurden." "Denn zunächst schwierig Vermuthung dürfte jedoch, von dem Effect versucht zu werden, mehr Beobachtungen, und von allen Dingen mehr genaue Beobachtungen erhalten, als wir bisher besitzen" u. s. w.

Mit Recht konnte Plücker im Jahre 1843 von Nordbrak über die mangelnden Beobachtungen schreiben: "Man will wohl das nicht kennen, daß es Haring, Drake oder Storer für uns spräche, heute von Jüngern und der nächsten, und nicht nur besser gegeben, nicht Haring, sondern alle Magnetstationen sollten mit kleinen von Untersuchungen" *). Denn aber, die kleinen Resultate durch die nachfolgenden späteren Reisen im Stillen, besonders von Carl, Fanningham,

*) Aber wenn wir die Zeit kennen, so war die Haring, welche die neuen entdeckt, war in den verschiedenen, mit verschiedenen kleinen gegeben, nicht Haring gegeben, nicht die Magnetstationen von Resultaten gewonnen und erhalten.

La Perouse und *Krusentern*, abgeholfen worden, da die für die Theorie besonders wichtigen Sibirischen Beobachtungen von 1769 und *Schuberts* von 1805 dazu gekommen sind, jetzt, da es von 70° nördlicher bis 70° südlicher Breite fast keine Fläche von 10° in die Breite und in die Länge giebt, worauf nicht magnetische Beobachtungen angestellt wären, ist es unbillig, über die *geringe Zahl* von Beobachtungen zu klagen, wenn man sich nur der mühsamen Arbeit unterziehen will, dieselben zu sammeln; auch sind sie *genau genug*, wofern man sie nur mit der gehörigen Vorsicht und Kritik benutzt. Eine trockene Erklärung, oder Darstellung der Ursachen der bisher vorgelegten Phänomene ist (wie ich in der Folge zu beweisen hoffe) nicht so schwierig aufzufinden. Was aber eine vollständige Magnetentheorie betrifft, so bin ich mit *Euler* und *Biot* einig, daß dies eine dornenvolle Materie ist, welche vielleicht kaum die ersten zwey oder drey Decennien mit den angestrengtesten Kräften zu verarbeiten vermögen.

Nach Darlegung der Erfahrungsdata in diesem und dem vorhergehenden Hauptstücke, gehen wir nun zur Untersuchung der Zahl, Lage und Bewegung der Magnetpole der Erde über, wovon das folgende Hauptstück handeln wird.

Drittes Hauptstück.

Bestimmung der Zahl, der Lage und des periodischen Umlaufes der Magnetpole um die Erdpole.

Jedes der drey in den vorigen Hauptstücken aufgeführten magnetischen Phänomene, Abweichung, Neigung und Intensität, kann auf die Vermuthung der Nähe eines Magnetpoles führen; nämlich:

- a) *Eine starke Convergenz der Lage der Magnetenadel und schnelle Veränderung der Abweichung bey geringer Veränderung der Länge.* Also große westliche und östliche Abweichungen neben einander, und auf der Abweichungskarte dichtes Zusammendrängen der Abweichungslinien läßt einen Magnetpol vermuthen.
- b) *Zunahme der Neigung.* Zeigt sich also in derselben Breite oder demselben geographischen Parallelkreise, daß die Neigung zunimmt, so ist dies eine Anzeige, daß man sich einem Magnetpol nähert. Folglich müssen sich an dieser Stelle die Neigungslinien vom Pol entfernen, und dem Aequator nähern, d. h. eine Biegung bilden, deren Höhlung dem Pol, und deren erhöhte Seite dem Aequator zugekehrt ist.
- c) *Zunahme der magnetischen Kräfte in demselben geographischen Parallelkreise.*

Betrachtet man die Abweichungskarte für 1770, so zeigt sich an der Hudsonsbay eine starke westliche Abweichung, welche vom Südende der Bay bis zum Anfange der Strafe in einem etwas über 10° betragenden Abstände von Süd nach Nord von 10° bis 45° zunimmt. An der Westseite Amerikas findet man eine fast eben so starke östliche Abweichung in der Nähe der Beringsstrafe. Dies gewährt also die Vermuthung eines Magnetpoles in der Nähe der Hudsonsbay.

Unterhalb Neuhollands trifft man wieder eine ähnliche Lage der Abweichungslinien, und eine eben so starke westliche Abweichung; hier ist also auch ein Magnetpol anzunehmen.

In der Nähe des Feuerlandes haben die Abweichungslinien wieder eine ähnliche Form; hier ist, etwas östlich von demselben, ein Maximum östlicher Abweichung, und wiewohl man auf der entgegengesetzten Seite im Südmeere keine westliche Abweichung findet, so siehet man doch, daß die östliche Abweichung bis zu einem gewissen Minimum von ungefähr 2° ab, und nachher gegen Neuzeeland wieder zunimmt.

In Sibirien bemerkt man, daß die östliche Abweichung zuerst steigt, hierauf abnimmt und westlich wird, darauf bey Kamtschatka wieder östlich wird; die Form der östlichen Abweichungslinien gleicht der Form der Linien an den drey angeführten Stellen. Diese Anomalien in Sibirien und bey dem Feuerlande scheinen auf eine schwächere perturbirende Kraft hinzudeuten.

Ziehen wir die Neigungskarte zu Rathe, so sehen wir auf der Karte für 1780 eine der obenangeführten Biegungen oder Krümmungen gegen den Aequator bey allen Neigungslinien in Nordamerika nach der Hudsonsbay hin; und in demselben Parallelcirkel steht die Neigung da am höchsten. Eine gleiche Biegung und ein Maximum der südlichen Neigung treffen wir bey Neuhollland. Eben das findet etwas westlich vom Feuerlande und in Sibirien statt; doch ist die Krümmung hier geringer, als an den zwey obenangeführten Orten.

Endlich ward im vorigen Hauptstücke bewiesen, daß die magnetische Kraft von Amerika nach Europa zu abnimmt, wo sie ihr Minimum erreicht zu haben scheint, und daß sie weiter ostwärts wieder zuzunehmen anfängt; ferner, daß die Zunahme der Intensität von Surrobaya bis zur Spitze von Van Diemens Land, so wie von dem magnetischen Aequator in Peru bis nach Mexiko größer ist, als die Zunahme zwischen zwey Orten, von denen der eine in Amerika und der andere in Europa liegt.

Da also alle drey magnetischen Phänomene hierin übereinstimmen, so hat man gegründete Ursache, an folgenden vier Punkten der Erde einen Magnetpol zu vermuthen: 1) in der Nähe der Hudsonsbay, 2) südlich vom Van Diemens Lande, 3) im sibirischen Eismeere, 4) im Südmeere unweit des Feuerlandes.

Die Karte No. XII. stellt zwey Segmente der nördlichen und südlichen Erdkugel vom 40° der Breite bis zu den Polen dar. Auf dem südlichen Seg-

wurde auf mehrere Abweichungsbeobachtungen ausgeführt, welche die Capitaine Cook und Porrmann bei ihrer Entdeckung des Südpols in den Jahren 1771 und 1774 gemacht haben. Auf dem nördlichen Segment findet man ähnliche Beobachtungen von Capt. Cook, Capt. Phipps, Command. Laperouse, Baron Schöberr, Comm. Billings und andern, die zwischen den Jahren 1774 und 1804. Die auf der Karte angegebenen Punkte bezeichnen die Stellung der Compassnadel, der vom Pole abgehenden Endpunkt des Meridian die Richtung der Beobachtungsart, und der Winkel, welchen der Meridian mit einer durch den Südpol und jenen Endpunkt gezogenen geraden Linie macht, giebt die magnetische Abweichung oder Declination an.

Auf dem nördlichen Segment wird man eine starke Convergenz zwischen diesen magnetischen Declinationen von Meridian 20° oder 30° O. von Greenwich bis zum 150° O. Greenw. finden, und aus der Verlängerung der Merid. ergibt es sich, daß die Abstände zwischen 150° und 120° Länge O. von Greenw. und in einem Abstände von 30° - 20° von dem Pole zusammenzufallen. Folgt man dagegen auf der einen Seite nördlicher als der Meridian 150° von Greenw., oder nähert man sich auf der andern Seite dem Meridian 20° , oder geht man noch weiter, so sieht man, daß diese Convergenz nullt, ja daß sie sich an einigen Stellen sogar in eine Divergenz verwandelt, und die verlängerten magnetischen Linien sich irgendwo mehr in einem bestimmten Punkte schneiden. Zwischen 20° und 30° Länge nördlicher vom Equator und zwar, aber noch einem ganz andern Punkte, der ungefähr in 120° Länge und in einem Abstände von 20° vom Südpole liegt.

Da diese Punkte die eigentlichen Magnetpole waren, können wir nach nicht bestimmen, sondern wir wollen sie vorläufig aus die magnetischen Convergenzpunkte setzen, und den unter dem Namen Land mit d. den andern im Himmelskugeln mit α bezeichnen. Zu genauer Bestimmung der Lage dieses Punktes, kann man sich folgender Methode bedienen. F (Fig. 42) möge der Südpol sein, PM und PL zwei Meridiane durch die beiden Punkte M und L; EM ein Bogen eines größten Kreises, welcher einen Winkel EMF mit dem Meridian PM bildet, der gleich der Abweichung in M ist; eben so möge der Winkel LMF gleich der Abweichung in L sein. Der Punkt B, wo

diese beiden größten Kreise sich schneiden, ist also der magnetische Convergenzpunkt. Ist nun die geogr. Länge und Breite der beiden Punkte M und L bekannt, so ist $\angle MPL =$ dem Längenunterschiede, PM und $PL =$ den Complementen der geogr. Breite der Punkte. Vermittelt dieser drey bekannten Data kann man im Dreiecke PML den Bogen ML und die Winkel PML und PLM berechnen. Im Dreiecke BML ist $\angle BML = PML - BMP$ und $BLM = PLM + BLP$, und daraus sucht man entweder den Bogen LB oder MB. Endlich sind im Dreiecke LBP die Bogen BL und PL sowie der $\angle BLP$ (Abweichung in L) bekannt, und daraus findet man BP, welches der Abstand des magnetischen Punktes vom Pol ist, und $\angle BPL$, welcher des Punktes Meridianunterschied von L ist.

Folgende Beobachtungen sind geeignet, diese Lage des Punktes A zu bestimmen:

Zeit.	Breite südl.	Länge Greenw. östlich.	Abwei- chung westl.	Z°	Zeit.	Breite südl.	Länge Greenw. östlich.	Abwei- chung westl.	Z°
<i>Cook.</i> 1773.					<i>Cook.</i> 1777.				
Febr. 15	57° 5'	80° 10'	38° 9'	1	Januar 8	47° 37'	99° 21'	25° 29'	15
17	57 54	83 23	40 40	2	9	47 56	102 36	24 7	16
18	58 3	84 44	38 49	3	10	48 20	106 14	23 57	17
19	58 49	91 2	41 51	4	14	47 19	115 28	17 34	18
20	58 46	91 58	10 31	5					
21	59 19	93 55	40 59	6	<i>Fourneaux.</i> 1773.				
25	60 50	96 10	43 7	7	Febr. 18	52° 52'	91° 48'	31° 30'	19
—	60 58	97 26	41 4	8	20	52 20	99 23	30 11	20
März 3	60 12	110 52	39 15	9	21	52 8	100 6	29 11	21
6	59 56	119 7	52 11	10	23	52 16	105 14	25 1	22
7-8	59 44	121 19	28 44	11	24	52 2	107 27	22 22	23
10	57 22	130 2	12 56	12	25	51 32	111 16	20 52	24
11	58 55	131 38	9 30	13	—	51 21	113 5	23 27	25
13	58 44	133 50	9 6	14	27	50 34	118 51	15 37	26
					28	49 30	124 17	11 18	27

Nach diesen Beobachtungen findet man die Lage des Punktes *A* folgender Maßen:

Aus No.	Abstand vom Pol.	Länge östlich Greenw.	Aus No.	Abstand vom Pol.	Länge östlich Greenw.
9 und 11	20° 26'	138° 7'	21 und 27	19° 55'	136° 25'
5 — 11	19 46	140 0	9 — 10	20 27	138 29
9 — 27	20 58	135 12	15 — 18	19 39	138 11
9 — 26	21 30	132 47	26 — 27	18 12	138 36
20 — 27	19 47	136 31	10 — 26	21 48	134 21

Die Mittelzahl aller dieser Bestimmungen giebt für den Convergenzpunkt *A*:

$$\text{Abstand vom Pol} = 20^{\circ} 14\frac{1}{2}'$$

$$\text{Länge östl. Greenw.} = 136^{\circ} 53\frac{1}{2}'$$

Läfst man aber die Resultate von No. 5 und 11, sowie von No. 26 und 27 aus, als die, welche am meisten abweichen (das eine in Bezug auf die Länge, das andere in Rücksicht des Abstandes vom Pol)*), so ist

$$\text{Abstand vom Pol} = 20^{\circ} 33\frac{1}{2}'$$

$$\text{Länge östl. Greenw.} = 136^{\circ} 15\frac{1}{2}'$$

*) Wohl sehe ich ein, daß sich gegründete Einwendungen gegen diese Art die Mittelzahl zu nehmen, machen lassen. Auch ist es möglich, daß in einer oder der andern der oben angeführten Bestimmungen ein kleiner Fehler von einigen Minuten seyn kann; denn als ich vor etwa zehn Jahren die Lage dieser Convergenzpunkte bestimmte, war ich noch Neuling in der Mathematik. Da indessen diese Convergenzpunkte nicht die eigentlichen Magnetpole sind (wie man aus dem siebenten Hauptstücke erschen wird), und ein kleiner Fehler in ihrer Lage keinen sonderlichen Einfluß auf die folgenden Bestimmungen hat, so habe ich mich nicht der Mühe unterziehen wollen, dieses ganze Hauptstück umzuarbeiten. Dies bitte ich den Leser beym Durchlesen desselben zu berücksichtigen.

Zur Bestimmung des Punktes *a* dienen folgende Beobachtungen:

1774	Breite südl.	Länge östlich Greenw.	Abwei- chung östlich.	N ^o	1774	Breite südl.	Länge östlich Greenw.	Abwei- chung östlich.	N ^o
<i>Cook.</i>					Decbr. 17	53° 15'	284° 12'	20° 52'	39
					18	54 44	286 59	20 29	40
Jan. 28	69° 37'	252° 6'	22° 41'	28	19	55 32	289 20	22 19	41
29	70 20	253 5	24 39	29	29	55 20	295 55	23 52	42
Febr. 3	66 16	258 45	23 18	30	31	54 41	295 46	25 28	43
—	65 48	260 24	24 6	31					
5	63 58	260 8	19 5	32	<i>Fourneauz.</i>				
Dec. 13	53 24	270 30	13 23	33	Januar 25	59° 19'	252° 54'	11° 4'	44
—	53 25	272 28	13 48	34	24	59 37	256 2	12 59	45
14	53 26	273 48	15 23	35	28	61 47	271 50	22 59	46
15	53 30	277 30	17 38	36	29	61 53	276 45	24 1	47
16	53 25	280 58	18 20	37	30	61 30	281 57	25 13	48
—	53 25	282 46	18 33	38	31	61 20	288 10	26 6	49

Nach diesen Beobachtungen ergeben sich folgende Resultate zur Bestimmung der Lage des Punktes *a*:

Aus No.	Abstand vom Pol.	Länge östlich Greenwich.
29 und 47	12° 36'	237° 8'
29 — 48	12 44	237 59
29 — 46	13 15	239 18
47 — 49	12 46	235 53
28 — 48	12 47	236 12
45 — 42	14 19	242 35
33 — 42	14 48	247 21
Mittel	12° 50'	237° 14'

Ein Mittel aus allen giebt den Abstand vom Pol um $15^{\circ} 12'$ die mittlere Länge um $102^{\circ} 42'$; da aber die Best. von dem Resultat so genau übereinstimmen, so kann man die zwei Resultate verwenden, und die Mittelzahl an ihren Platz setzen für den Punkt α :

Abstand vom Pol um $15^{\circ} 42\frac{1}{2}'$. Länge um $102^{\circ} 12'$.

Läßt man auch die dritte Resultate als dazugehörige an, welches sowohl in Hinsicht der Länge als auch des Abstandes vom Pole am meisten von den übrigen abweicht, so wird die Mittelzahl für α :

Abstand vom Pol um $15^{\circ} 42\frac{1}{2}'$. Länge um $102^{\circ} 12'$.

Frägt man, ob diese magnetischen Punkte ihre Lage verändern, so findet man, wenn man diese vorerwähnte Beobachtungsrichtungen liest, dies bejaht werden. In Haller's Table of variation of the magnet. north (Philos. Trans. vol. 142) findet man folgende:

Beobachtungen im Jahre 1750.	Rechts abst.	Länge		Abstand		No.
		westl. Läng.	östlich Läng.	östlich Läng.	östlich Läng.	
Stationierung des Paradoxa	12	50	25	100	100	1
Östlicher Einlauf d. Magnetnadeln	14	50	50	100	10	2
Westlicher Einlauf derselben	15	5	75	100	10	3
Mittel	10	5	75	100	10	4

Daraus ergiebt sich folgende Resultate für die Lage des Punktes α im Jahre 1750:

Aus. No.	Abstand vom Pol	Länge	
		Westl.	Östlich
1. westl. 5.	12	50	100
2. — 6.	14	50	100
Mittel	13	50	100

Nun hat bekanntlich *Halley* einen Magnetpol im Südmeere 20° W. von der Maghellanstraße und 16° vom Erdpole angenommen, welches gerade die Lage des hier bestimmten Punktes wäre. *Halley* bediente sich also der nämlichen drey Beobachtungen, um die Lage seines südamerikanischen Magnetpols zu bestimmen.

Im ersten Hauptstücke wurde gesagt, *Kircher* gebe die Abweichung am östlichen Eingange der Maghellanstraße auf $5\frac{1}{2}^{\circ}$ O. an; auch bemerkt er den Namen des Beobachters, *Davis*. Dies ist wahrscheinlich eben derjenige *Davis*, welcher den *Thom. Candish* 1586 auf seiner Reise um die Welt begleitete. Nehmen wir also an, daß die Abweichung im Jahre 1586 daselbst $5^{\circ} 30'$ O. war, wo sie 1670 = $17^{\circ} 0'$, so kann man darnach ungefähr die Lage des magnetischen Punktes α im Jahre 1586 auf 287° O. v. Greenw. bestimmen*). Hieraus ergeben sich folgende Resultate:

Jahr.	Abstand vom Pol.	Jährliche Veränder.	Länge östl. von Greenw.	Jährliche Veränder.	Mittelbewegung von 1586 b. 1774
1586	$287^{\circ} 0'$
1670	$15^{\circ} 53'$	$265 26$	$15' 40$
1774	$12 43$	$1' 28$	$236 43$	$16' 57$	$16' 05$

Man sieht also, daß sich dieser Punkt von Ost nach West mit einer Geschwindigkeit von jährlich $16'$ bewegt, und sich zugleich dem Erdpole nähert. Ist seine Bahn also eine geschlossene krumme Linie, so ist sie entweder kein Kreis, oder der Erdpol ist nicht der Mittelpunkt der Bewegung. Da die Bahn nicht concentrisch gegen den Erdpol ist, so sind die durchlaufenen Grade von verschiedener Größe. Die Bewegung des magnetischen Punktes in der Länge muß also da größer scheinen, wo die Bahn sich dem Pol am meisten nähert

*) Siehe Karte Tab. IV. die Polarprojection.

je nach einer stadiellen Bewegung immer gleich groß ist, und dies ist auch der Fall bei den vorhergehenden Resultaten.

Von 1726 bis 1774, also in 48 Jahren, hat dieser Punkt seine Länge um $30^{\circ} 17'$ von $1726'$ vergrößert; die Zeit, in welcher eine solche Rotation um den Erdpol vollendet wird, findet man also durch folgende Proportion:

$$30^{\circ} 17' : 48 \text{ Jahre} :: 360^{\circ} : x \text{ Jahre oder } x = 426 \frac{1}{2} \text{ Jahre.}$$

Aus der Größe der Bewegung zwischen den Jahren 1726 und 1830 ergibt sich die Umlaufzeit von 190 Jahren, und aus der Größe der Bewegung zwischen den Jahren 1830 und 1774 ist sie von 174 Jahren. Da nun diese sehr beträchtliche Divergenz nicht völlig aus Jahren ausstrichbar ist, so läßt sich, ohne mehr als 30 Jahre zu fehlen, annehmen, daß der Magnetpunkt in seinem Umlauf um den Erdpol 174 Jahre gebraucht. Da aber die Lage jener Punkte in den Jahren 1830 und 1774 am genauesten bestimmt wurde, so möchte ich eher glauben, die durch obige Umlaufzeit von 174 Jahren sich ergebende Wahrheit.

Um die Lage des Magnetpunktes *jet* im Jahre 1841 zu bestimmen, kann man sich folgender Beobachtungen des *Magnetischen Poles**) bedienen:

Ort.	Breite nördlich	Länge östlich	Abschw. lang.	Nr.
Greenw. 30	45° 40'	50° 45'	30° 17' W.	1
Wien 40	48 5	11 4 58	28 0	2
30	46 5	100 50	18 58	3
40	46 45	110 10	0 0	4
		O. Land		
Greenw. 37	45 10	107 0	5 0 O.	5
		Königrich Preussische Bey		
		von Danzigs Land		
3	45 57	105 40	5 0	6

*) Es ist merkwürdig bekanntlich in den Jahren 1830 und 31 eine Reihe von dem Land Preussens aus, und nördlich und östlich von diesem von Danzigs Land, Preussens und anderer Länder.

Indem man die von *Tasman* angegebenen Längen, z. B. in der Friedrich Heinrichs Bay, auf Van Diemens Land, und auf den Inseln Pilstart und Amsterdam mit neueren Bestimmungen vergleicht, bemerkt man, daß er von einem Meridiane an gerechnet hat, der ungefähr $21\frac{1}{4}^{\circ}$ W. von London liegt. Die Länge No. 4 den 22 Nov. ist von dem Londoner Meridian gerechnet, und so in *Halley's: Table of Variations &c.* angegeben. Die übrigen sind von obenerwähntem Meridiane angenommen. Durch Behandlung dieser Beobachtungen auf die gewöhnliche Art, findet man die Lage des Punktes *A* für das Jahr 1642 folgender Maßen:

Aus No.	Abstand vom Pol.	Länge	Aus No.	Abstand vom Pol.	Länge.
2 und 3	$16^{\circ} 48'$	$178^{\circ} 18'$	1 und 2	$18^{\circ} 11'$	$160^{\circ} 34'$
1 — 3	$18^{\circ} 59'$	$170^{\circ} 21'$	3 — 5	$21^{\circ} 41'$	$162^{\circ} 16'$

Also lag der Magnetpunkt *A* im Jahre 1642 in einer Länge von $167^{\circ} 52'$, nach dem Tasmanischen Meridiane gerechnet, das ist $= 146^{\circ} 37'$ O. von London, oder $= 146^{\circ} 29'$ O. von Greenwich, und in $18^{\circ} 55'$ Abstand vom Pole.

Folgende Tabelle enthält eine vergleichende Uebersicht des Punktes *A* in den Jahren 1642 und 1775.

Jahr.	Abstand vom Pol.	Jährliche Veränder.	Länge östlich Greenw.	Jährliche Veränder.
1642	$18^{\circ} 55'$	$0',75$	$146^{\circ} 29'$	$4',69$
1775	$20^{\circ} 33'$		$136^{\circ} 15'$	

Hieraus erhellt, daß der Punkt *A* sich auch nach Westen bewege, und zugleich vom Erdpol entferne; seine Umlaufzeit ist $= 4609$ Jahren. Wenn

auch dies Resultat eben nicht sehr genau ist, so bleibt doch so viel gewiß, daß der magnetische Punkt *A* sich sehr langsam bewegt, da die Abweichung in der Nähe von Van Diemens Land zu unserer Zeit kaum 4° - 5° von derjenigen zur Zeit *Tasmans* verschieden ist.

Halley nahm auch einen Magnetpol unter Neuholland an, und zwar in einem Abstände von 20° vom Erdpole und 120° O. von London; er hat diesen Magnetpol also um mehr als 20° zu weit westlich gelegt.

Im nördlichen Theil des Atlantischen Meeres wächst die westliche Abweichung je weiter man nach Nordwest kommt*), so daß sie in der Hudsonsstraße 43° - 44° , auf Godthaab in Grönland 51° - 53° ist; ja in der Baffinsbay fand *Baffin* dieselbe am Thom. Smiths Sunde 57° . Im südl. und westl. Theile der Hudsonsbay nimmt sie wieder ab, so daß sie beym Fort Albany 17° , beym Fort Prinz Wales aber nur 9° ist. An der Westseite Amerikas nimmt die östl. Abweichung zu, je weiter man gegen Nord kommt, so daß sie im Nootkasunde beynahe 20° und im nördlichsten Theile der Beringsstraße 35° - 37° östl. ist. Man sieht auf der Karte, daß die Abweichungslinien der Hudsonsbay und Straße mit denen des Nootkasundes in einem Punkte zusammenstoßen, der ungefähr 20° vom Erdpole und 260° östl. von Greenwich liegt. Im nördlichen Eismeere zwischen Grönland, Spitzbergen, dem Nordcap und Nova-Zembla hört diese Convergenz zwischen den magnetischen Direktionen auf, und im mittleren Theile Sibiriens fängt eine neue Convergenz nach einem andern Punkte an; die verlängerte Direktion der Magnetenadel in Barnaul (wo die Abweichung $1770 = 2^{\circ} 45'$ östl. war) wird durch diejenige von Jakutskoi (wo die Abweichung $1769 = 5^{\circ}$ westl.) in einem Punkte durchschnitten, welcher ungefähr 5° vom Erdpole und 100° O. von Greenw. liegt. Ferner convergiren die von Etatsrath *Schubert* 1805 gefundenen Deklinationen nämlich in Tara $6^{\circ} 6'$ östl., in Tobolsk $7^{\circ} 9'$ östl., und in Nizni Udinsk $2^{\circ} 40'$ östl. nach einem andern Punkte, welcher ungefähr gleichen Abstand vom Pole, aber 120° O. Länge von Greenw. hat. Den magnetischen Punkt in Amerika wollen wir *B*, und denjenigen im sibirischen Eismeere *b* nennen.

*) Siehe das nördliche Segment der Karte Tab. IV.

Zur näheren Bestimmung des Punktes *B* können folgende Beobachtungen dienen:

Beobachter.	Beobachtungsort.	Zeit.	Breite nördl.	Länge westl. Lond.	Abwei- chung westl.	No
<i>Hutchins.</i>	Hudsonsstraße . . .	1774 July 23	62° 3'	69° 0'	43° 0'	1
		— 27	62 23	71 30	42 50	2
		— 28	62 25	71 30	44 0	3
	Hudson-bay	Aug. 14	56 53	85 22	28 0	4
	Moose Fort	Sept. 8	51 20	82 30	17 0	5
	Albany Fort . . .	— 14	52 22	82 30	17 0	6
<i>W. Wales.</i>	Pr. v. Wales Fort	1769 — —	58 47 $\frac{1}{2}$	94 4	9 41	7

Von diesen Beobachtungen ist die siebente, sowohl der genauen Bestimmung des Beobachtungsortes, als der Genauigkeit der Beobachtung wegen, die beste; sie wurde nämlich vom Astronomen *Wales* mittelst einer genauen Mittagslinie und einer grossen Boussole gemacht, und ist das Mittel aus 21, an zwey verschiedenen Tagen angestellten Observationen. Sie ist nicht ganz gleichzeitig mit den andern, doch, da der Unterschied nur fünf Jahre beträgt, kann man sie mit den andern ohne merklichen Fehler als gleichzeitig annehmen.

Behandelt man nun diese Observationen auf die gewöhnliche Art, so bekommt man folgende Lage für den Punkt *B*:

Aus No.	Abstand vom Pol	Länge W. London.
2 und 7	19° 44'	99° 53'
1 — 7	19 42	99 54
1 — 5	19 52	101 24
3 — 4	19 23	105 50
Mittel	19° 55'	101° 45'

Die ganze Uebereinstimmung der drei anderen Resultate versetzt mich, die Richtigkeit der ersten Observation zu bezweifeln²⁾, wo die Abweichung gewiss zu groß ist. Ein Mittel aus den drei anderen gleiches dann für die Lage des Punktes B: Abstand vom Pol von $19^{\circ} 52'$, Länge W. London von $100^{\circ} 10'$ oder $102^{\circ} 17'$ O. Greenwich. Da immer die sichere Beobachtung von mehreren Gläsern vorliegt, so bin ich überzeugt, daß eine Mittelzahl der drei anderen Resultate der Wahrheit am nächsten kommt. Demnach war die Lage des magnetischen Punktes B im Jahr 1776 folgende: $19^{\circ} 45'$ Abstand vom Pol und $99^{\circ} 52'$ west. Länge von London; d. i. $102^{\circ} 10'$ Ost. von Greenwich.

Für Bestimmung der Lage dieses Punktes drei Jahr 1778 können folgende Beobachtungen vom Obr. Müllertzen dienen:

Jahr.	Recht. astronomisch.	Länge.	Länge M. Greenwich.	Abw. vom. westl.	No.
Aug. 28	$19^{\circ} 19'$	Abweichung vom Aequator $19^{\circ} 19'$ O.	$102^{\circ} 52'$	$15^{\circ} 27'$	1
Sept. 8	$19^{\circ} 15'$	$19^{\circ} 15'$ O.	$103^{\circ} 7'$	$14^{\circ} 28'$	2
5	$19^{\circ} 22'$	0	$103^{\circ} 21'$	$14^{\circ} 28'$	3
4	$19^{\circ} 45'$	0	$104^{\circ} 28'$	$13^{\circ} 28'$	4
3	$19^{\circ} 58'$	0	$104^{\circ} 30'$	0	5
2	$19^{\circ} 57'$	0	$105^{\circ} 18'$	$12^{\circ} 28'$	6
1	$19^{\circ} 45'$	0	—	$10^{\circ} 28'$	7
30	$19^{\circ} 15'$	0	$105^{\circ} 20'$	$10^{\circ} 28'$	8
29	$19^{\circ} 18'$	0	$105^{\circ} 10'$	$10^{\circ} 28'$	9
28	$19^{\circ} 15'$	0	$104^{\circ} 18'$	$10^{\circ} 28'$	10
27	$19^{\circ} 15'$	0	$103^{\circ} 38'$	$10^{\circ} 28'$	11
26	$19^{\circ} 15'$	0	$103^{\circ} 38'$	$10^{\circ} 28'$	12
	Vom Cap Hagen				
17	$19^{\circ} 22'$	1	$103^{\circ} 35'$	$10^{\circ} 28'$	13
16	$19^{\circ} 15'$	1	$103^{\circ} 34'$	$10^{\circ} 28'$	14
15	$19^{\circ} 15'$	1	$103^{\circ} 34'$	$10^{\circ} 28'$	15

²⁾ Die Beobachtung No. 1 stiftet mir Zweifel (Linn. Journ. 1776 pag. 185) folgenden Stellen entgegen: Abw. $104^{\circ} 45'$ W., L. $100^{\circ} 10'$ W., Abw. $104^{\circ} 45'$. Nach einem Vergleich mit der ersten gemachten Bemerkung, in welcher heißt: von Pörlins. Thaum. S. 176 kann sich dagegen die Reine $11^{\circ} 10'$ W., die Abweichung $11^{\circ} 10'$ W. vergleichen, welches ein sehr abweichendes Resultat gibt. Da ich gegenwärtig keine Gelegenheit finde, mehr von Nord. Island, kann ich nicht weiter entscheiden, wo der Fehler liegt.

Die Länge des Forts Albany ist $82^{\circ} 57'$ W. von Greenw.; auf der Dan-
villeschen Karte findet man zwey Inselgruppen, die eine unter dem Namen
les grands ours, die andere Namens *les petits ours*. Erstere liegt ungefähr
 $23'$ östl. vom Fort Albany, also $82^{\circ} 14'$ W. Länge von Greenw. Die Länge
des Cap Diggs ist $78^{\circ} 55'$ W. von Greenw. Mit Hülfe dieser Bestimmungen
sind die angegebenen Längen von Greenw. gefunden.

Aus diesen Beobachtungen, zieht man folgende Resultate:

Aus No.	Abstand vom Pol.	Länge westlich Greenwich
1 und 12	$19^{\circ} 50'$	$106^{\circ} 45'$
2 — 13	$18 \ 45$	$108 \ 56$
5 — 11	$19 \ 5$	$108 \ 36$
Mittel	$19^{\circ} 12\frac{1}{2}'$	$108^{\circ} 6'$

Vergleicht man nun diese Lage des Punktes B fürs Jahr 1730 mit der
vorhergefundnen fürs Jahr 1769, so bekommt man für denselben folgende
Bewegung:

Jahr.	Abstand vom Pol.	Länge östlich Greenwich.
1730	$19^{\circ} 12\frac{1}{2}'$	$251^{\circ} 54'$
1769	$19 \ 45$	$259 \ 58$
Jährl. Bew.	$0'.77$	$12'.41$

Dieser Magnetpunkt bewegt sich also nach Osten mit einer jährlichen
Geschwindigkeit von ungefähr $12\frac{1}{2}'$; er scheint sich zugleich vom Erdpole zu
entfernen.

*Middleton**) fand im Jahre 1725 die Abweichung im Fort Prinz Wales $= 21^\circ$ W.; 1738 $= 18^\circ$ W., und 1742 $= 17^\circ$ W. Nimmt man nun an, daß der magnetische Punkt *B* im Jahre 1725 den nämlichen Abstand vom Erdpole hatte, als 1730, nämlich $19^\circ 13'$, so läßt sich aus dem sphärischen Dreieck, dessen eine Seite das Complement der Breite des Forts, die andere der Abstand des Magnetpunktes vom Pole ist, und der dieser Seite gegenüberstehende Winkel gleich der Abweichung (21°) ist, die Länge des Magnetpunktes fürs Jahr 1725 westlich vom Fort finden:

$$\begin{array}{l} \text{der Winkel am Pole wird} = 14^\circ 41' \\ \text{Länge des Forts Prinz Wales} = 94 \quad 4 \text{ W. von London.} \end{array}$$

Also Länge des Punktes *B* im Jahre 1725 $= 108^\circ 45'$ W. von London.

Also lag hiernach der Punkt *B* im Jahre 1725 $= 108^\circ 45'$ W. von London, d. i. $108^\circ 53'$ W. von Greenw. oder $251^\circ 7'$ O. von Greenw., welches (verglichen mit der Länge des Punktes *B* im Jahre 1769) eine jährliche Bewegung von $12'.1$, also fast wie oben giebt.

Von 1730 bis 1769 oder in 39 Jahren hat sich der Punkt *B* $8^\circ 4'$ nach Ost bewegt, und man findet die ganze Umlaufszeit des Punktes *B* durch folgende Proportion: $8^\circ 4' : 360^\circ = 39 \text{ Jahre} : x \text{ Jahre}$, wo $x = 1740\frac{1}{2}$. Demnach hat der magnetische Punkt *B* eine Umlaufszeit von 1740 Jahren.

Da die jährliche Bewegung des Punktes *B* $= 12'.41$ ist, so ergiebt sich daraus, daß jener Punkt im Jahre 1700 in einem Meridiane lag, der $245^\circ 57'$ O. von Greenw. ist. *Halley* nahm einen Magnetpol an, der 15° vom Erdpole und in dem quer durch Californien gehenden Meridiane liegen sollte. Die Länge ist die nämliche, wie sie hier durch Interpolation für den Punkt *B* im Jahre 1700 gefunden ist; in Hinsicht der Breite hat er sich dagegen ungefähr um 4° geirrt.

*) Philos. Trans. Year 1742 pag. 169 & ibid. Year 1726 No. 393.

Endlich müssen wir noch die Lage des Punktes *b* in Sibirien bestimmen, und dazu können uns folgende Beobachtungen behülflich seyn:

Beobachtungsort.	Jahr.	Breite nördl.	Länge östlich Ferro.	Abwei- chung.	No.
Casan	1761	55° 48'	67° 1'	2° 25' W.	1
	1805	2 2½ O.	2
Katharinenburg	1761	56 51	78 2	0 50 —	3
	1805	5 27 —	4
Tobolsk	1761	58 12	85 46	3 46 —	5
	1805	7 9 —	6
Jakutskoi	1768	62 2	147 21	5 15 W.	7
	1769	5 0 —	8
	1788	2 0 —	9
Ustkamenogorskaio	1770	49 56	100 20	2 0 O.	10
Barnaul	1770	53 20	101 11	2 45 —	11
Perm	1805	58 1	74 6	1 10 —	12
Tara		56 55	91 45	6 6 —	13
Tomsk		56 30	107 50	5 37 —	14
Nizni Udinsk		54 55	116 42	2 40½ —	15
Irkutsk		52 17	121 51	0 52 —	16

Die Beobachtungen fürs Jahr 1805 sind vom Etatsrath *Schubert*, und finden sich in *Bodes* astronomischem Jahrbuche für 1809; die übrigen stehen in dem astron. Jahrb. für 1779.

Für 1805 zeigt sich folgende Lage des Punktes *b*:

Aus No.	Abstand vom Pol.	Länge von Ferro.
13 und 15	4° 27'	134° 7'
6 — 15	4 56	133 31
6 — 14	3 51	155 54
6 — 16	5 16	124 58
Mittel	4° 36'	137° 7½'

Ein Mittel aus allen giebt den Abstand vom Pole $= 4^{\circ} 36'$, die Länge von Ferro $137^{\circ} 7\frac{1}{2}'$; aber ein Mittel aus den beiden ersteren, am meisten übereinstimmenden giebt den Abstand vom Pole $= 4^{\circ} 38\frac{1}{2}'$, und die Länge von Ferro $= 133^{\circ} 49'$, d. i. von Greenw. $= 151^{\circ} 29'$.

Man sieht aus obiger Tabelle, daß sich die Abweichung von 1761 bis 1805 überall verändert hat; in Casan ist sie östlich geworden, statt daß sie vorher westlich war; die ganze Veränderung beträgt $4^{\circ} 27\frac{1}{2}'$, also jährlich $6',1$. In Katharinenburg beträgt die ganze Veränderung $4^{\circ} 37'$, also jährlich $6',5$; in Tobolsk $3^{\circ} 23'$, also jährlich $4',6$; in Jakutzkoi von 1768 bis 1788 die ganze Veränderung $5^{\circ} 15'$, also jährlich $9',7$. Durch Interpolation findet man nun, daß 1770 die Abweichung in Jakutzkoi $4^{\circ} 50'$ W., und in Tobolsk $4^{\circ} 27'$ O. war, da sie in Barnaul zur nämlichen Zeit $2^{\circ} 45'$ O. war. Darnach war die Lage des Punktes *b* im Jahre 1770 folgende:

Nach den Beobachtungen in	Abstand vom Pol.	Länge Ferro.
Tobolsk und Jakutzkoi	$4^{\circ} 4'$	$117^{\circ} 31'$
Barnaul — Jakutzkoi	$4 \quad 24$	$120 \quad 48$
Im Mittel	$4^{\circ} 17'$	$119^{\circ} 9\frac{1}{2}'$

Wir wollen diese verschiedenen Lagen des Punktes *b* zusammenstellen, um seine Bewegung desto deutlicher zu sehen.

Jahr.	Abstand vom Pol.	Länge Ferro.
1770	$4^{\circ} 17'$	$119^{\circ} 9\frac{1}{2}'$
1805	$4 \quad 38 \frac{1}{2}$	$133 \quad 49$
Jährl. Veränd.	$0',61$	$25',128$

Hiernach findet man die Umlaufszeit des Punktes $b = 859\frac{1}{2}$ Jahren oder in ganzen Zahlen $= 860$ Jahren.

Im Jahre 1594 fand *Wilhelm Barentz* die Abweichung bey der *Wilhelms Insel* $= 35^\circ$ W.; 1608 *Hudson* am Nordcap $= 11^\circ$ W., und 1611 *J. Logan* bey *Peczora* $22^\circ 30'$ W. Hieraus ist zu ersehen, daß der Punkt b im Jahre 1600 ungefähr zwischen 20° und 30° O. Länge von Greenwich gelegen habe. Nimmt man die Mittelzahl $= 25^\circ$ O. Länge von Greenwich, oder 45° O. von Ferro, fürs Jahr 1600 an, so giebt dies für den Punkt b eine Umlaufszeit von etwas mehr als 800 Jahren. Es ist also ziemlich gewiß, daß diese Revolution zwischen 800 und 900 Jahren falle.

Halley nahm einen Magnetpol 7° vom Erdpole und im Meridiane von Landsend in England d. i. etwa 7° W. von Greenw. an. Im Jahre 1600 mag wohl der Abstand des Punktes b vom Erdpole ungefähr so groß gewesen seyn, wie *Halley* angiebt, aber in Ansehung der Länge hat er sich sehr geirrt. Wahrscheinlich gelangte er auf folgende Art zu diesem Resultat. Bekanntlich sahe er seine magnetischen Pole in Nordamerika und unter Neuholland als unbeweglich an (eine Annahme, wozu ihn wohl die langsame Bewegung jener Punkte verleiten mochte); die beiden andern, glaubte er, bewegten sich von Ost nach West. Anlangend den magnetischen Punkt im Südmeere, südwestlich vom Feuerlande, ist dieses auch vollkommen richtig. In derselben Direction mußte sich, seiner Hypothese zufolge, der andere Punkt bewegen. Er nahm nämlich an, die Erde sey hohl, und die magnetischen Pole in Nordamerika und unter Neuholland befänden sich in der Schale, müßten also unbeweglich seyn. Ferner nahm er eine kleinere Kugel oder einen Kern (*terrella*), als schwebend im Mittelpunkte der Erde, oder concentrisch mit der innern Wölbung der Erdhülle, an. In diesem Kerne lagen nach ihm die beiden andern Pole (hier die magnetischen Punkte a und b). Der Stofs, welcher der Erde (der äußern Schale) ihre Achsenbewegung in 24 Stunden von West nach Ost gab, konnte dem Kerne nicht völlig dieselbe Geschwindigkeit mittheilen; dieser machte also keine volle Umdrehung in 24 Stunden: woraus folgte, daß die Achse der Magnetpole des Erdkernes jeden Tag die Oberfläche der Erde an verschiedenen Punkten treffen müsse, woraus denn eine scheinbare west-

liche Bewegung für beide bewegliche Punkte hervorgehe. Nun hat gewiß *Halley* (welcher unter den Gelehrten, die sich mit dem Erdmagnetismus befaßt haben, ~~Willest~~ vielleicht ausgenommen, einzig mit allen wichtigeren Beobachtungen bis auf seine Zeit vollkommen bekannt war), auch die Lage des Magnetpunktes *b* für das Jahr 1600 gekannt, nämlich etwa 7° vom Erdpole und 20° - 30° O. von Greenw. Die Lage dieses Punktes für seine Zeit oder um das Jahr 1700 zu bestimmen, war ihm aus Mangel an Beobachtungen unmöglich; aus seiner Hypothese und der von ihm angenommenen Umdrehungszeit des Erdkernes aber müßte folgen, Punkt *b* habe sich von 1600 bis 1700 nach dem Meridiane von Landsend bewegt. Ich bin überzeugt, daß es dem *Halley* viele Mühe gekostet hat, mit diesem Magnetpole aufs Reine zu kommen, da die von ihm angenommene Lage desselben mit den damals bekannten Abweichungen durchaus nicht übereinstimmt. Ja, nur aus Vorliebe für seine Hypothese hat er solchen beybehalten können; denn mit jenem Magnetpole mußte diese stehen oder fallen. Noch mehr streitet die von *Halley* angegebene Lage und Bewegung des gedachten Poles mit den beobachteten Abweichungen des 18ten Jahrhunderts. So wurden *Halleys* richtige Ideen zugleich mit den falschen verworfen. *Euler*, vom ganzen Abweichungssysteme nichts anders kennend, als *Mountaines* und *Dodsons* Tabellen, die sich nur über einen Theil des Atlantischen und Indischen Meeres erstrecken, sahe, daß die Annahme zweyer Magnetpole oder einer Magnetaxe hinlänglich zur Erklärung dieser Abweichungen sey, und seine große Autorität warf auf *Halley* noch mehr Schatten. Hätte *Euler* die Abweichungen im Südmeere und in Sibirien gekannt, würde er bald eingesehen haben, wie unzureichend eine Magnetaxe sey; doch alsdann hätte vielleicht die Welt seiner herrlichen Untersuchungen über diesen Gegenstand, welche für eine künftige Theorie von größter Wichtigkeit seyn werden, entbehren müssen. Eine einzige unrichtige Hypothese ist also Ursache, warum wir während eines ganzen Jahrhunderts in der Kunde des Erdmagnetismus nicht vorwärts geschritten sind.

Es ist klar, daß die Punkte *A* und *B* zu einer, die Punkte *a* und *b* hingegen zu einer zweyten magnetischen Axe gehören; von diesen beiden äußert

die erste AB die größte Wirkung, theils weil sie mit der Erdaxe einen größern Winkel macht, theils weil ihre absolute Kraft bedeutend stärker ist.

Aus dem Vorhergehenden folgt nun die Richtigkeit folgender Sätze:

- a) Beide Nordpole bewegen sich von West nach Ost.
- b) Beide Südpole bewegen sich von Ost nach West.
- c) In jeder Axe bewegt sich der Nordpol bedeutend schneller als der Südpol; so ist in der Axe AB die Umlaufszeit von $B = 1740$ Jahren, von A hingegen $= 4609$ Jahren; in der Axe ab ist die Umlaufszeit von $b = 860$ Jahren, von $a = 1304$ Jahren.
- d) Beide Endpunkte der Axe AB entfernen sich von den Erdpolen; beide Endpunkte der Axe ab scheinen sich von 1600 an genähert zu haben, aber der nördliche Punkt b scheint sich jetzt wieder zu entfernen. Ist die Bewegung also rotatorisch, so beschreiben die Pole entweder keine Kreise, oder wenigstens keine Kreise um die Erdpole. Aber diese Bestimmungen über den Abstand der Magnetpunkte von den Polen, sind, wie leicht zu ersehen, äußerst unzuverlässig.
- e) Die verlängerten Axen sind keine Erddiameter, sondern Chorden derselben. Sie könnten doch nur einen Augenblick Diameter seyn, wegen der entgegengesetzten Bewegung der entgegengesetzten Pole. Man kann sich in der Lage jeder Axe zwey Hauptmomente denken 1) wenn beide Pole in entgegengesetzte Meridiane kommen (d. h. wenn sie in Meridianen liegen, die 180° von einander entfernt sind); 2) wenn beide in einen und denselben Meridian kommen. Im ersteren Falle können die verlängerten Axen doch keine Diameter seyn, da die entgegengesetzten Pole einen verschiedenen Abstand von den Erdpolen haben*).
- f) Beide Nordpole liegen den Erdpolen näher, als die ihnen correspondirenden Südpole. Die Entfernung von a ist $= 12\frac{1}{2}^\circ$, die von b nur $4\frac{1}{2}^\circ$; von A $= 20\frac{1}{2}^\circ$, von B nur $19\frac{1}{4}^\circ$.

*) Diese Bewegungen kann man sich gar leicht verdeutlichen, wenn man die vier erwähnten Punkte auf einem Globus absetzt.

Was wohl ist die Ursache dieser sonderbaren und doch regelmäßigen Bewegung? Sollen wir dieselbe, wie *Halley*, innerhalb, oder vielmehr außerhalb der Erde suchen? Letzteres scheint mir am richtigsten. Die täglichen Oscillationen der Magnetnadel (nach den Beobachtungen *Humboldts* und Professor *Hellers**), gleich der Ebbe und Flut des Meeres, aus einer größern und einer kleineren bestehend, von welchen aber die größere sich hier unstreitig nach dem Stande der Sonne gegen den Horizont richtet, scheint auf die beiden nächsten Himmelskörper, *Sonne* und *Mond*, hinzuführen. Wirket sowohl jene als diese auf die Magnetnadel, so besitzen sie nothwendig magnetische Kräfte, also auch Magnetaxen. Dieser Magnetaxen verschiedene tägliche und jährliche Stellung gegen die Erdaxe könnte vielleicht eine solche Bewegung veranlassen; doch vergebens habe ich versucht, eine nähere Erklärung zu finden. Ich gestehe es, schwer ward mir die Entscheidung, ob ich über diesen so mislichen Gegenstand meine Gedanken mittheilen, oder die eben so interessante als wichtige Frage ganz unerörtert lassen sollte.

Für jetzt liegt es uns an, zu beweisen, daß sich alle bisher bekannte magnetischen Phänomene mit Hülfe jener vier Pole oder zweyer Magnetaxe vollkommen erklären lassen. Hier also

- a) *Die Abweichung.* Betrachtet man die Abweichungskarte für 1600, zeigt sich, daß der Punkt *b* damals 7° vom Erdpole und 20° - 30° W. v. Greenw., also nordöstlich von Spitzbergen lag, der Punkt *a* aber etw südwestlich vom Feuerlande (also war die Axe *ab* dem Atlantischen w näher als dem Südmeere), der Punkt *B* weit westlicher in Nordamer nach der Beringsstrasse hin, der Punkt *A* hingegen östlicher als je. Hieraus erhellet, warum damals die Axe *ab* die herrschende im Atlaschen, wie die Axe *AB* im Südmeere war. Die östliche Abweichung südlichen Theile des Atlantischen Meeres wurde vorzüglich durch schwächeren Südpol *a*, südwestlich vom Feuerlande, bewirkt; die v

*) Diese werden wir weiter unten erörtern, wenn ausführlich von den täglichen Oscillationen geredet wird.

liche Abweichung im Indischen Meere hingegen durch den stärkeren Südpol *A*, südlich von Van Diemens Land. Beym Cap de las Aguglias (Nadel-Vorgebirge) stand die Nadel, im Gleichgewichte zwischen beiden, in dem Meridiane, und war ohne Abweichung. Die westliche Abweichung in der Baffinsbucht wurde durch den stärkern Nordpol *B*, der im nordwestlichen Amerika lag, die östliche Abweichung in Europa und einem Theile des nördlichen Atlantischen Meeres, sowie die westliche Abweichung bey Nova-Zembla hingegen durch den schwächern Nordpol *b* unweit Spitzbergen verursacht. Weshalb die Nadel bey Spitzbergen keine östliche Abweichung zeigte, läßt sich erst, wann wir zur Theorie der Neigung kommen, vollkommen erklären. Wären beide Nordpole gleich stark, würde jene Abweichung auch erfolgt seyn.

Vor 1600 lag der Nordpol *b* noch weiter westlich nach der Ostküste Grönlands hin, weshalb zu vermuthen ist, daß das östliche Abweichungssystem, welches sich im Jahre 1600 über Europa erstreckte, damals weiter westwärts gelegen habe. Diese von der Bewegung der Pole vermuthete Veränderung der Abweichung scheint durch die Erfahrung folgender Maffen bestätigt zu seyn. Das Maximum der östlichen Abweichung in Paris scheint 1580 gewesen zu seyn; denn 1541 wird sie auf 7° - 8° angegeben, und 1550 fand *Orontius Finnäus* sie zwischen 8° und 9° ; 1580 war sie $= 11^{\circ} 30'$, endlich 1603 $= 8^{\circ} 45'$, seit welcher Zeit sie beständig abnahm. Es ist also zu vermuthen, daß die Abweichung in Paris um die Mitte des 15ten Jahrhunderts (1450) $= 0^{\circ}$ war, vor dieser Zeit aber westlich; damals (1450) ging der nordöstliche Theil der Linie ohne Abweichung durch Paris; nachher ward die Abweichung östlich und erhielt ihr Maximum um das Jahr 1580; endlich verschwand diese östliche Abweichung, weil sich der nordwestliche Theil der Linie ohne Abweichung im Jahre 1666 durch Paris zog u. s. w. Da sich der Nordpol *b* ostwärts bewegte, so folgte ihm das ganze östliche Abweichungssystem in Europa, welches man nun in Sibirien wieder findet; der Nordpol *B* näherte sich Europa auch langsam, und verursachte eine stärker werdende west-

Nördl. Abweichung, welche doch eine von dem stählischen Grade sehr abweichende wird. In den Nordamerikanischen Proben ist auch die nördliche Abweichung sehr wenig abweichend, denn der Pol β selbst ist, und, wie auch ein halbes Jahrhundert abläuft, auch sie von demselben Grade dort fastlich werden.

Da sich der Stäpel α allerdings im Südwesten fortbewegt, so auch von ihm die nördlichen Abweichungen im stählischen Atlantischen Meer folgen, und die westliche Abweichung im Indischen Meer gäh, wie sich der Pol α selbst und β selbst, immer weiter bewegen.

Die Bewegung des Chines. westlichen Abweichungssystems lag in Japan und im nordöstlichen Japan, welches schon im Jahr 1807^{*)} in den Stäpeln bei Japan und Korea geirrt war, selbst sich nach Osten von dem stählischen Fortschreiten des Poles β nach Osten.

Endlich selbst selbst die Abnahme der nördlichen Abweichung in auf 40° im stählischen Theile des stillen Meeres^{**)} ungefähr beyr. Mexiko 1807 W. von Green. Weiterhin sollte man eine neue westliche Abweichung vermuten, wie in Afrika, jedoch hier selbst man sich selbst dem Pol β , dessen Kraft überwiegend ist.

Speziellen Anmerkungen und Schluß für künftige Zeiten kann ich selbst selbst machen.

- 1) Die Neigung. Die stählische Neigung in Südamerika nimmt ab, weil β Pol α im Südwesten geht; die stählische Neigung in Europa ebenfalls, der Pol β selbst nach Süden selbst. Peter können wir auch die in 1 bestimmten Neigungen selbst, die selbst von Nordost und auf No. selbst selbst. In Europa wird die Neigung bald wieder zunehmen, sich der stählischen Nordpol β selbst selbst selbst selbst. Die stählische Neigung bei China nimmt zu, und die stählische in dieser Länge ab, wie der Annäherung des Poles β , selbst selbst selbst die Länge selbst 1

*) Jahr der Abweichungen des 1807.

**) Jahr der Abweichungen des 1797 und 1798.



gung im chinesischen Meere von der Zeit *Cunninghams* (im Jahre 1700) bis jetzt so bedeutend nach Süd gerückt.

- c) *Die Intensität.* Im folgenden soll bewiesen werden, daß beide Magnetaxen nicht den Mittelpunkt der Erde berühren, sondern näher nach der Oberfläche des Südmeeres hin, also entfernter von der Oberfläche der östlichen Hemisphäre liegen. Eine gerade Linie, die man vom Mittelpunkt der Erde senkrecht auf die stärkere Magnetaxe fället, wird die Oberfläche der Erde im Südmeere unweit des Aequators, und in einer Länge von 215° O. Ferro oder 197° O. Greenwich treffen. Dieser Punkt liegt also unter allen dem Mittelpunkte jener Axe am nächsten, und ein Punkt, 180° davon entfernt, also unter 17° O. Länge von Greenw. in der Nähe von Guinea, liegt unter allen am weitesten von jenem Mittelpunkte. Hier müßte also das Minimum der magnetischen Intensität seyn, wenn jene Axe die einzige wäre. Aber eine gerade Linie von dem Mittelpunkte der Erde auf die schwächere Magnetaxe senkrecht gefällt, trifft die Oberfläche des Südmeeres unter 235° O. Länge von Ferro oder 217° O. von Greenw. Dieser Punkt liegt also am nächsten beym Mittelpunkte dieser Axe, sowie ein Punkt, 180° von jenem, den größten Abstand von demselben hat. Dieser letztere Punkt, wo also die Intensität ihr Minimum erreichen würde, wenn nur diese Axe vorhanden wäre, liegt in der Nähe des Aequators 37° O. Länge von Greenw., d. i. nahe an der Ostküste Afrikas. Der Punkt im magnetischen Aequator, wo die Intensität ihr Minimum erreicht, muß demnach irgend wo in Afrika seyn, zwischen 17° und 37° O. L. v. Greenw.; durch diesen Punkt kann man sich eine krumme Linie denken, die, nordwärts nach Europa zu und südwärts durch Afrika verlängert, jede Neigungslinie in ihrem Punkte der *kleinsten Intensität* durchschneidet, gerade sowie wir es oben durch *Humboldts* Beobachtungen bestätigt gefunden haben. Diese Linie der *kleinsten Intensität* wird daher, weiter fortgesetzt, durch die beiden Punkte, wo die Neigung $= 90^{\circ}$ ist, gehen, und auf der andern Seite dieser Punkte sich in die Linie der *größten Intensität* verwandeln, welche endlich den Erdäquator

im Südmeere zwischen 215° und 255° O. Länge von Ferro durchschneiden muß.

Hr. *Burkhardt* hat versucht, ein Gesetz für die Declinationsveränderungen in Paris ausfindig zu machen, und zwar mit Hülfe der seit 1580 bis jetzt daselbst angestellten Beobachtungen*). Er findet die Periode der Abweichungen in Paris $= 860$ Jahren; das Maximum der westlichen Abweichung wird 1837 mit $24^{\circ} 26'$ seyn; darauf vermindert sich die Abweichung bis 1853 um $21'$, nimmt dann aber wieder bis 1878 um $6'$ zu. Nach diesem Gesetze war in Paris die Abweichung $= 0^{\circ}$ im Jahre 1233, und hatte ihr östliches Maximum 1448, nämlich $24^{\circ} 11'$. Wie viel Werth man einem aus Beobachtungen an einem einzigen Orte abstrahirten Gesetze beylegen könne, ist leicht zu erachten; betrachtet man die Bewegung des Magnetpunktes *b*, so scheint, wie oben gesagt, die Abweichung in Paris um 1448 eher $= 0^{\circ}$, hingegen im Jahre 1233 westlich gewesen zu seyn. Inzwischen ist es sonderbar genug, daß *Burkhardts* Magnetperiode mit der oben gefundenen Umlaufszeit des Magnetpunktes *b* von 860 Jahren genau zusammenfällt.

Die Umlaufszeit des Poles *b* war 860 Jahre, des Poles *a* $= 1304$ Jahren, des Poles *B* $= 1740$ Jahren, des Poles *A* $= 4609$ Jahren. Dividirt man diese Umlaufszeiten mit 432, so erhält man folgende Quotienten:

$$1,991 \quad - \quad 3,019 \quad - \quad 4,027 \quad - \quad 10,669$$

$$\text{oder } (2 - 0,009) - (3 + 0,019) - (4 + 0,027) - (10 + 0,669).$$

Es scheint also, als verhielten sich die Umlaufszeiten dieser Pole zu einander $= 2:3:4:10$, und nimmt man 432 als die magnetische Grundzahl an, so würden darnach die Umlaufszeiten folgende seyn 2×432 , 3×432 , 4×432 , 10×432 , oder 864, 1296, 1728, 4320, welche wenig von den vorher gefundenen abweichen, nämlich: 860, 1304, 1740, 4609.

Schubert erwähnt in seinen *Ansichten von der Nachtseite der Naturwissenschaft* gewisser heiliger Zahlen der Indier, Babylonier, Griechen und Aegypt-

*) Monatl. Correspondenz des Freiherrn von Zach, Bd. 3, pag. 162. Ich habe nicht Gelegenheit gehabt diese Untersuchung selbst zu lesen.

ter, welche von gewissen Verhältnissen oder Perioden in der Natur entlehnt seyn sollen; die wichtigste dieser Zahlen ist 432. Diese Zahlen legen die Brahmanen bey ihren astronomischen Berechnungen, z. B. bey Sonnenfinsternissen, zu Grunde. Ferner nehmen sie an, die Erde habe vier Perioden gehabt; die erste $= 432000$ Jahren; die zweyte $= 2 \times 432000 = 864000$ Jahren; die dritte $= 3 \times 432000 = 1296000$ Jahren; die vierte $= 4 \times 432000 = 1728000$ Jahren, so daß die Dauer der Welt, oder die Summe aller vier Perioden ist $= (1 + 2 + 3 + 4) \times 432000 = 10 \times 432000 = 4,320,000$ Jahren*). Bey den Griechen wurde die Zahl 432 im goldenen Cyklus für heilig gehalten; Schubert findet sie auch bey den Babyloniern und in der alten Aegyptischen Chronik wieder. Endlich ist der mittlere Abstand der Erde von der Sonne $= 216$ Sonnenradien, der mittlere Abstand des Mondes von der Erde $= 216$ Mondradien, also die Hälfte von jener Zahl 432**).

Schubert legt großes Gewicht darauf, daß die Burkhardtische Magnetperiode auch ein Vielfaches jener merkwürdigen Zahl ist; aber, was würde er erst gesagt haben, wenn er gewußt hätte, daß es sich eben so mit den Umlaufszeiten aller vier Magnetpole verhalte, und daß die drey letzten Weltalter der Indier gerade durch die Umlaufszeiten der drey Magnetpole ausgedrückt werden, sowie die ganze Dauer der Welt, oder die *Calpa* der Indier, durch die Umlaufszeit des vierten Poles (wenn man jede Periode mit 1000 dividirt).

*) Wir leben im vierten Weltalter — dem Alter des Elends — welches 3101 v. C. G. anfang, von welchem also jetzt (1812) 4913 Jahre verlaufen sind. Die Summe dieser vier Perioden oder die ganze Dauer der Welt nennen die Indier *Calpa*, und ihre Länge soll auf folgende Art bestimmt seyn: man berechnete, wie viele Jahre von der Zeit an verfließen, daß der Mond am 1 April mit seinem Apogeum und aufsteigenden Knoten in Conjunction mit der Sonne ist, bis dies am nämlichen Tage wieder der Fall ist; siehe Le Gentils und Sonnerats Reisen nach Indien, wie auch Asiatic. Researches, Tom. II.

**) Im Astr. Jahrb. 1817 pag. 253-54 zeigt Hr. Bode, daß die Zahl 1296000 die Secunden Anzahl im Kreise, die drey andern die Decimal Secunden Dauer von zwey, von einem und von einem halben Tage seyen, welches viele Wahrscheinlichkeit für sich zu haben scheint. Die einzige Einwendung, die sich dagegen machen ließe, ist: wozu brauchten die Indier eine so feine Eintheilung der Zeit und des Kreises, eine Feinheit, welche erst die neueste europäische Beobachtungskunst mit Sicherheit, obschon nicht ohne Anstrengung, erreicht?

Nimmt man nun die Umlaufszeiten der vier Magnetpole an wie folget:

$$B - 4 \times 432 = 1728$$

$$A - 10 \times 432 = 4320$$

$$b - 2 \times 432 = 864$$

$$a - 5 \times 432 = 1296$$

und suchet die *kleinste Periode*, welche sie alle einschließt, in welcher sie also alle eine gewisse Anzahl ganze Umläufe vollendet haben, so muß diese seyn $= 60 \times 432$ (da 60 die kleinste Zahl ist, die zusammengesetzt werden kann aus den einzelnen Factoren in 2, 3, 4, 10). Folglich ist *die große Magnetperiode* (in welcher der Pol B 15, der Pol A 6, der Pol b 30, und der Pol a 20 volle Umläufe gemacht hat) $= 60 \times 432 = 25920$ Jahren. Aus der Astronomie ist es bekannt, daß die Erdaxe einen Kreis um den Pol der Ekliptik beschreibt, daß sie in 72 Jahren einen Grad durchläuft, folglich den ganzen Kreis in 25920 Jahren; *die große Magnetperiode füllt also mit der Präcessionsperiode zusammen**).

Haben die Indier diese vier Magnetpole gekannt? oder ist eine Causal-Verbindung zwischen jenen astronomischen und diesen magnetischen Perioden vorhanden; oder ist die Uebereinstimmung nur Zufall? — Dem sey wie ihm wolle, so scheint nur das doch unwiderlegbar, daß die Grundkräfte der Natur gewisse Perioden haben, in welchen sie sich entwickeln, und daß diese durch gewisse Grundzahlen ausgedrückt werden können, welche man bey Beobachtung der, wenigstens dem Anscheine nach, heterogensten Naturphänomene wiederfindet.

*) Ungeachtet ich jetzt überzeugt bin, daß die in diesem Hauptstücke gefundenen Convergenzpunkte von den eigentlichen Magnetpolen verschieden sind (siehe Hauptstück 7), und daß also eine sorgfältigere Untersuchung die wahren Umlaufszeiten der Pole vielleicht etwas verschieden von den oben gefundenen Zahlen geben würde, so habe ich doch die hier gefundene Uebereinstimmung nicht verwerfen wollen. Da ich sie zum ersten Mal fand, überraschte sie mich und schien mir den Schlüssel zu dem ganzen Räthsel, nämlich zur Frage nach der Ursache der Bewegung der Magnetaxen, zu enthalten. Eine nähere Untersuchung wird bald die Richtigkeit oder Unrichtigkeit dieser Uebereinstimmung entdecken, und in letzterem Falle wird niemand bereitwilliger seyn sie zu verwerfen, als ich.

Viertes Hauptstück.

*Ueber die Berechnung der Halleyschen Linien nach der ersten
unvollkommenen Theorie Eulers.*

Wenn zwey vollkommen bewegliche Magnete auf einander wirken, so können sie nur dann in Ruhe seyn, wenn beide in einer und derselben Fläche liegen (man denke sich hier und im folgenden immer zwey Linear-Magnete). Derselbe Fall würde eintreten, wenn der eine Magnet beweglich, der andere unbeweglich wäre. Eine solche Fläche durch den unbeweglichen Magneten heiße ein *magnetischer Meridian*, und die Linie in demselben, in welcher sich der bewegliche Magnet in Ruhe befindet, die *Ruhelinie*.

Wird nun ein solcher um seinen Mittelpunkt sich bewogender Magnet noch von einer andern als der magnetischen Kraft afficirt, so muß er natürlich seine Ruhelinie verlassen; wirket aber diese Kraft in der Fläche des magnetischen Meridians, so wird die neue Ruhelinie (d. h. die Linie, in welcher der Magnet, von beiden Kräften afficirt, in Ruhe kömmt) noch in demselben Meridiane seyn; im entgegengesetzten Falle wird sie einen Winkel mit demselben machen. Der Satz: ein beweglicher Magnet, der sich in dem Wirkungskreise eines unbeweglichen befindet, könne nur dann in Ruhe seyn, wenn beide in einer Fläche liegen, ist also nicht allgemeingültig. Hierin irrte sich Euler in seiner ersten Theorie. *Mem. des Sciences à Berlin Tom. 15me, A. 1757.*

Ist BAab (Fig. 6) die Erde, die Magnetaxe AB ein Diameter derselben, so wird jede Fläche BLA durch diesen gelegt (also jeder Magnetmeridian), ein größter Kreis seyn, dessen Fläche bekanntlich mit der Oberfläche der Kugel einen rechten Winkel bildet. Ist dagegen die Magnetaxe ab eine Chorde der Erdkugel, so wird jeder magnetische Meridian bLa einen kleinen Kreis bilden, der einzige bBAa ausgenommen; folglich bilden in diesem Falle die magnetischen Meridiane keine rechten Winkel mit der Oberfläche der Erde.

NMS (Fig. 7) stelle den Horizont vor, NZS den geographischen Meridian durch C; N sey Norden, S Süden; PIQ sey eine durch den Punkt C und die

magnetische Axe gehende Ebene. Ist nun die Magnetaxe kein Erddiameter, so wird nach dem Obigen die Ebene PIQ nicht senkrecht auf dem Horizont SIN (da dieser eine Tangentfläche zur Erdoberfläche ist) stehen. Der Punkt C ist in dieser Figur also mit dem Punkte L in der vorhergehenden einerley, und die Ebene PIQ ist die Verlängerung der Ebene bLa. PIQ ist also ein magnetischer Meridian; in diesem sey CL die magnetische Ruhelinie, und ZLY ein Vertikalcirkel durch dieselbe, so wird der Bogen ML oder der Winkel MCL die magnetische Neigung seyn. Beschweret man das südliche Ende der Nadel mit einem hinreichenden Gewichte, so wird sie die Lage CM annehmen, da die Schwere lothrecht gegen den Horizont wirkt, und dies ist denn die horizontale Lage der Magnetnadel (der gewöhnlichen Compasnadel oder Declinationsnadel); da ferner die Linie SCN die Mittagslinie ist, so bezeichnet der Winkel NCM die magnetische Abweichung (Declination). In obervähn- ter Abhandlung nahm *Euler* an, CI sey die Lage der Declinationsnadel, und Winkel NCI die Abweichung selbst: weil er jenen Satz, dafs ein beweglicher Magnet in dem Wirkungskreise eines unbeweglichen nur dann in Ruhe seyn könne, wenn ersterer in der Ebene des magnetischen Meridians liege, für ganz allgemein gültig annahm. Im Dreieck IML ist $\sin IM = \frac{\tan LM}{\tan LIM}$; je gröfser also die Neigung LM und je kleiner $\angle LIM$ ist, desto gröfser wird der unter dieser Voraussetzung begangene Fehler. Ist dagegen die Magnetaxe ein Erddiameter, so steht der magnetische Meridian PIQ senkrecht auf der Erdoberfläche, also auf dem Horizonte SIN; dann fällt der magnetische Meridian mit dem Vertikalcirkel ZMY zusammen, und da alsdann die Schwere und Magnetkraft in einer und derselben Ebene wirken, so tritt die beschwerte Nadel nicht aus dem magnetischen Meridian. *Eulers* erste Theorie ist also nur richtig, wenn die Magnetaxe ein Erddiameter ist.

Euler untersucht die Halleyschen Linien unter folgenden Umständen:

- 1) Wenn die Magnetaxe ein Diameter ist; also, wenn die Pole in entgegengesetzten Meridianen (d. h. wenn ihr Längenunterschied 180° beträgt) und beide gleich weit von den Erdpolen liegen.

- 2) Wenn die Magnetpole in entgegengesetzten Meridianen, aber in verschiedenem Abstände von den Erdpolen liegen.
- 3) Wenn ein Magnetpol mit einem Erdpole zusammenfällt.
- 4) Wenn beide Magnetpole in einem und demselben Meridian liegen.
- 5) Wenn die Magnetpole in verschiedenen Meridianen und in verschiedenem Abstände von den Erdpolen liegen.

Diese fünf Annahmen enthalten alle möglichen Lagen der Magnetaxe. Wegen der vorher bewiesenen Bewegung der Pole können sie auch alle (die dritte vielleicht ausgenommen) eintreffen; hätte diese Theorie nicht obenerwähnten Fehler, und wäre nur *eine* Magnetaxe vorhanden, so hätte *Euler* das Problem der Halleyschen Linien und die Abweichungstheorie vollkommen erschöpft. Nun kann sie blos zur Ertheilung einer oberflächlichen Uebersicht über die Natur der Abweichungslinien und vorzüglich als Beweis für das Daseyn von vier Magnetpolen dienen: eine Behauptung, die ich für meine Pflicht halte durch so viele Gründe, als möglich, zu unterstützen, um dadurch vielleicht mehrere Mathematiker zu bewegen, mir bey dieser neuen und verwickelten Untersuchung hülffreiche Hand zu bieten. Mehrerer Kürze halben halten wir uns hier nur bey dem ersten und fünften der obenangeführten Sätze auf.

PApB (Fig. 8) sey ein größter Kreis auf der Erde, der durch die Erdaxe Pp und die Magnetaxe BA geht; *Euler* nennt ihn an dieser Stelle (denn im fünften Satze versteht er unter diesem Ausdrucke einen andern Kreis) den *ersten magnetischen Meridian*. Durch den Punkt L denke man sich einen größten Kreis PLp, welcher der geographische Meridian jenes Punktes ist; und den größten Kreis BLA, welches sein magnetischer Meridian ist. Der sphärische Winkel PLB wird in diesem Falle der Abweichungswinkel. Im sphärischen Dreieck BLP ist der Bogen BP = Winkel BCP, welches der Winkel ist, den die Magnetaxe mit der Erdaxe macht; man setze ihn = a . Der Bogen PL ist die Entfernung des Punktes L vom Erdpole, und das Complement zu seiner geographischen Breite; er sey = p . Den Winkel BPL findet man, wenn man $\angle QPL$ von 180° abzieht; aber QPL ist die Länge des Punk-

tes L vom ersten magnetischen Meridiane. Man setze $\angle BPL = q$. Aus diesen drey Datis kann man den Abweichungswinkel $BLP = \delta$ finden, nämlich

$$\operatorname{tang} \delta = \frac{\sin a \cdot \sin q}{\cos a \cdot \sin p - \sin a \cdot \cos p \cdot \cos q}.$$

Ist also die Magnetaxe ein Diameter, und ihr Winkel mit der Erdaxe, wie die geographische Länge ihrer Pole bekannt, so kann man die Abweichung für jeden Punkt, dessen geographische Länge und Breite gegeben ist, mit völliger Genauigkeit bestimmen*).

Aus diesem Ausdrücke für δ findet Euler ferner, daß dieser Winkel wächst, wenn man sich im nämlichen geographischen Meridiane PLp den Polen P p nähert; es muß demnach in jedem Meridian einen Punkt geben, wo δ ein Minimum erreicht. Dies ist nach ihm da, wo der Bogen BE (das Complement der magnetischen Breite) $= 90^\circ$ ist. Beschreibt man demnach einen größten Kreis ERQ so, daß er überall 90° von beiden Magnetpolen, also lothrecht auf der Magnetaxe AB steht, so wird der Winkel δ in jedem Meridian in dem Punkte sein Minimum erreichen, wo dieser von jenem größten Kreise ERQ durchschnitten wird. Diesen Kreis nennt er den *magnetischen Aequator*.

Im magnetischen Aequator wächst die Abweichung von den Punkten E und Q bis R, welcher 90° von beiden liegt; hier wird sie durch den Bogen BP $= a$ gemessen; also erreicht die Abweichung im magnetischen Aequator unter 90° magnetischer Länge sein Maximum, wo sie dann gleich dem Winkel ist, welchen die Magnetaxe mit der Erdaxe bildet.

Denkt man sich unendlich viele Ebenen durch die Magnetaxe gelegt, und sucht dann in jedem geographischen Meridiane die Punkte auf, wo diese Ebenen mit dem Meridiane Winkel von gegebener Größe bilden, verbindet man ferner diese Punkte durch Linien, so bekommt man die sogenannten *Halley'schen Abweichungslinien*.

*) Mechanisch könnte dies Problem leicht gelöst werden, wenn man einem Globen zwey bewegliche Meridiane gäbe, deren einer sich um die geographischen, der andre um die magnetischen Pole drehete. Dadurch, daß man beide nach dem Punkte L führte und den Winkel maß, den sie daselbst mit einander machen, fände man die Abweichung in L.

Für diese Linsen sucht Euler aus einer Gleichung, und zeigt, daß, wenn man diesen Winkel α von der Beschaffenheit weiß, daher $\alpha = \arctan a$, mag, man von $\cos \alpha = p$ mit $\frac{\sin \alpha \cdot \sin \varphi - \sin \alpha}{\sin \varphi}$ multipl. findet man von $\alpha = p \sin \alpha$, so ist $p \sin \alpha \leq \alpha$, so daß, wenn man $\angle \varphi$ (BPA) nach Belieben wählet, man immer zwei Winkel für den Bogen PL mit p findet; d. h. man findet in einem und demselben Meridian zwei Punkte, von der Winkel α (für Abweichung) gleich groß ist; von diesem Punkten liegt der eine nördlich, der andre südlich vom magnetischen Aequator.

Fig. 2 stellt ein solches Abweichungssystem vor, welches auf diese Art beschaffen ist. Hier sind P und p die Erdpole, A und B die Magnetpole, der Bogen BP mit α mit 90° . Im ersten Meridian BPAP ist die Abweichung α mit 0° ; dieser Meridian ist also zugleich die Halley'sche Linie für α mit 0° . Die übrigen Linsen gehen von geographischen Polen aus, und nähern sich, je näher sie dem magnetischen Aequator kommen, immer mehr und mehr von jedem ersten Meridian; nachher nähern sie sich wieder dem ersten Meridian, und schneiden denselben im entgegengesetzten Magnetpol unter einem Winkel von α . Für jeden Werth von α gibt es zwei solche Linsen. Je größer die Abweichung α ist, desto größer wird die Biegung, welche jene Linsen vom geogr. magnetischen Aequator machen. In der Halley'schen Linie für α mit 0° vereinigen sich beide Zweige in dem Durchschneidungspunkte des magnetischen Aequators mit dem Erdäquator, wo sie sich unter einem rechten Winkel schneiden. Die folgenden Halley'schen Linsen für α je α nähern sich dadurch von den übrigen, daß sie vom Erdpol ausgehen und in dem nächsten Magnetpol enden.

Euler ordnet deshalb die Halley'schen Linsen in drei Arten:

- a) Linsen der ersten Ordnung für $\alpha < \alpha$, welche von einem Magnetpol aus nach dem entgegengesetzten Erdpole gehen.
- b) Linsen der zweiten Ordnung für α mit α , deren zwei Zweige sich schneiden.
- c) Linsen der dritten Ordnung für $\alpha > \alpha$, welche vom ersten Magnetpole nach dem nächsten geographischen Pole gehen.

Wir gehen zu dem fünften Satze über, welcher das Problem enthält, wenn zwey Magnetpole in verschiedenen Meridianen und in verschiedenem Abstände von den Erdpolen liegen.

PBpa (Fig. 10) sey ein Meridian durch die Erdpole P und p und den nördlichen Magnetpol B; PAP sey ein anderer Meridian durch die Erdpole und den südlichen Magnetpol A; der Winkel BPA (welches der Längenunterschied zwischen den Magnetpolen ist) sey γ ; ferner sey der Abstand zwischen dem nördlichen Magnetpol und dem Erdpol oder PB $= a$; der Abstand des südlichen Magnetpoles vom Erdpol oder pA $= b$. Man beschreibe einen größten Kreis durch die beiden Magnetpole BAa, und setze AC $=$ BC $= c$; endlich beschreibe man einen größten Kreis durch den Pol P und den Mittelpunkt C des Bogens AB, und setze PC $= d$, und den Winkel PCB $= e$.

Nun findet Euler $\cos AB = \cos 2c = \sin a \cdot \sin b \cdot \cos \gamma - \cos a \cdot \cos b$;
 $\cos d = \frac{\cos a - \cos b}{2 \cdot \cos c}$; $\tan e = \frac{\sin a \cdot \sin b \cdot \sin \gamma}{(\cos a + \cos b) \cdot \cos c}$; ferner
 $\tan BPC = \frac{\sin b \cdot \sin \gamma}{\sin a + \sin b \cdot \cos \gamma}$, und $\tan APC = \frac{\sin a \cdot \sin \gamma}{\sin b + \sin a \cdot \cos \gamma}$.

Ist nun die Länge der Magnetpole B und A bekannt, und der Winkel BPC oder APC berechnet, so findet man daraus die Lage des Meridians PC, welchen Euler hier als den ersten Meridian betrachtet, von welchem er die magnetische Länge gegen Westen rechnet. Also versteht er hier unter q die Länge eines Ortes westlich vom Meridian PC, und unter p den Abstand desselben vom Pol.

Um aus diesen Elementen eine Gleichung für die Halleyschen Linien zu finden, sucht Euler noch zwey Winkel f und g von der Beschaffenheit, daß $\tan f = \tan e \cdot \cos c$, und $\tan g = \frac{\tan e}{\cos c}$.

Ferner sucht er zwey Winkel m und n , welche so beschaffen sind, daß $\tan m = \frac{\cos d \cdot \cos g \cdot \sin(f + \gamma)}{\cos c \cdot \cos f \cdot \cos(g + \gamma)}$ und $\tan n = \frac{\cos c \cdot \cos f \cdot \sin(g + \gamma)}{\cos d \cdot \cos g \cdot \cos(f + \gamma)}$;
 endlich findet er daraus die zwey Winkel r und s , näml. $\tan r = \frac{\tan d \cdot \sin m}{\sin(m - q)}$

und $\cos s = \frac{\sin r \cdot \sin (n - q)}{\tan g d \cdot \tan (f + \lambda) \cdot \cos n}$; und endlich $p = r \pm s$. Für die Linie ohne Abweichung, wo $\lambda = 0^\circ$, findet man $\tan g m = \frac{\cos d}{\cos c} \cdot \tan g f = \cos d \cdot \tan g e$, und $\tan g n = \frac{\tan g e}{\cos d}$.

Da p hier einen doppelten Werth hat, so sieht man, daß auch in diesem Falle in jedem Meridian zwey Punkte sind, wo die Abweichung λ gleiche GröÙe hat, und daß also jede Halleysche Linie jeden Meridian in zwey Punkten schneidet.

Wenden wir diesen Calcul auf die stärkere Magnetaxe AB an, so fanden wir im vorigen Hauptstücke, daß die Lage des Poles B im Jahre 1769 war: Abstand vom Erdpol $19^\circ 43'$, O. Länge von Greenw. $= 260^\circ 0\frac{1}{2}'$ oder $277^\circ 40\frac{1}{2}'$ O. von Ferro. Für 1775*) war die Lage des Poles A: Abstand vom Erdpol $= 20^\circ 15'$, O. Länge von Greenw. $= 136^\circ 53'$ oder $154^\circ 35'$ O. v. Ferro. Also ist BP (Fig. 10) $= a = 19^\circ 43'$; pA $= b = 20^\circ 15'$; BPA $= \gamma = 277^\circ 41' - 154^\circ 35' = 123^\circ 8'$.

Aus diesen drey ersten Eulerschen Elementen findet man die übrigen nach den obenangeführten Formeln; nämlich AB $= 2c = 161^\circ 16'$, also $c = 80^\circ 38'$, PC $= d = 89^\circ 26' 20''$, PCB $= e = 17^\circ 43' 30''$; BPC $= 62^\circ 55' 14''$, APC $= 60^\circ 12' 45''$, $f = 2^\circ 58' 38''$, $g = 63^\circ 0' 19''$.

Da nun die Länge des Poles B $= 277^\circ 40' 30''$ O. von Ferro, und der Winkel BPC $= 62^\circ 55' 14''$ ist, so wird darnach die Länge des Punktes C (des Punktes der Erdoberfläche, welcher dem Mittelpunkt der Magnetaxe am nächsten liegt, oder des Punktes, wo ein Perpendikel vom Mittelpunkte der Erde auf die Magnetaxe verlängert die Oberfläche der Erde trifft) $= 277^\circ 40' 30'' - 62^\circ 55' 14'' = 214^\circ 45' 16''$, oder $= 214^\circ 45'$, welches genau

*) Eigentlich sollte die Lage des Nordpoles B auch für dieses Jahr 1773 bestimmt seyn, welches mit Zuziehung der im vorigen Hauptstücke gefundenen jährlichen Bewegung leicht geschehen könnte; auch ist die hier angegebene Länge des Punktes B von der oben S. 90 angeführten um ein Paar Minuten verschieden. Da aber hier keine große Genauigkeit erforderlich ist, so habe ich die obige Lage beybehalten.

genug ist; er fällt also ungefähr in die Mitte des Südmeeres; und da $PC = d = 89^\circ 26' 10''$ ist, so wird die nördliche Breite des Punktes $C = 0^\circ 33' 50''$.

Nun rechnet Euler, wie gesagt, die magnetische Länge oder den Winkel q vom Meridian PC gegen Westen. Will man also die Durchschnittspunkte der Halleyschen Linien für jeden zehnten geographischen Meridian berechnen (wie sie gewöhnlich auf den Globuskarten aufgezogen sind), und wählt man eine Karte, wo der erste Meridian durch die Insel Ferro geht, so ist der nächste Meridian, welcher auf der Karte westlich von PC (in $214^\circ 45'$ Länge) liegt, derjenige, welcher 210° O. von Ferro, also $4^\circ 45'$ W. von PC geht. Man setze also nach und nach $q = 4^\circ 45'$; $q = 14^\circ 45'$; $q = 24^\circ 45'$ u. s. w., so werden die nach den Formeln gefundenen zwey Werthe von p die zwey Punkte seyn, wo die Abweichung γ die gegebene GröÙe im ersten, zweyten, dritten, u. s. w. Meridiane der Karte westlich von PC , oder vom Meridian $214^\circ 45'$ O. von Ferro hat.

Führt man die Rechnung durch Logarithmen aus, so hat man:

$$\log \tan m = 8.4546853 + \log \sin (f + \gamma) - \log \cos (g + \gamma)$$

$$\log \tan n = 11.5653147 + \log \sin (g + \gamma) - \log \cos (f + \gamma).$$

Diese Winkel m und n bleiben so lange für alle Werthe von q unverändert, als γ nur unverändert bleibt; man braucht sie also für jede Halleysche Linie nur einmal zu berechnen; die Winkel r und s müssen hingegen für jeden verschiedenen Werth von q berechnet werden.

Für die Linie ohne Abweichung findet man, wenn $\gamma = 0^\circ$, $m = 0^\circ 10' 47''$; $n = 88^\circ 14' 40''$, und daraus

$$\log \tan r = 9.50734 + \log \sin (m - q)$$

$$\log \cos s = 10.78869 + \log \sin (n - q) + \log \sin r.$$

Setzt man nun $q = 4^\circ 45'$, $14^\circ 45'$, $24^\circ 45'$ u. s. w., so werden die Werthe von s unmöglich, bis $q = 64^\circ 45'$ wird, d. h. bis zu dem Meridian, welcher $64^\circ 45'$ westlich vom Punkte C liegt, in einer Länge von $214^\circ 45' - 64^\circ 45' = 150^\circ$ O. von Ferro.

Als Beyspiel wollen wir die Werthe von p für diesen Meridian berechnen. Hier ist $m - q = -64^\circ 54'$; $n - q = 25^\circ 30'$.

P

$$\begin{aligned}
 & 9.50754 \\
 \log \sin (m - q) &= 9.95573 \\
 \log \tan r &= 9.55181 \dots r = 160^\circ 23' \\
 & 10.78869 \\
 \log \sin (n - q) &= 9.60070 \\
 \log \sin r &= 9.52598 \\
 \log \cos s &= 9.91557 \dots s = + 34^\circ 57' \\
 & \text{Also } p = \begin{cases} 195^\circ 0' \\ 125^\circ 46' \end{cases}
 \end{aligned}$$

Demnach ist im Meridian 150° O. von Ferro die Abweichung $= 0^\circ$ in einem Abstände von $125^\circ 46'$ und $195^\circ 0'$ vom Nordpol; der erste Punkt wird $54^\circ 14'$ südliche Breite haben, der zweyte fällt im entgegengesetzten Meridian 15° vom Südpol oder 165° vom Nordpol, d. i. im Meridian 30° W. v. Ferro und in 75° S. Breite.

Uebersteiget demnach der eine Werth von p 180° , so nimmt Euler dessen Complement zu 360° , setzt aber das negative Zeichen voran, welches bedeutet, daß dieser Punkt der Halleyschen Linie in den entgegengesetzten Meridian fällt; also im angeführten Beyspiele in den Meridian $150^\circ + 180^\circ = 330^\circ$ östlich oder 30° westlich von Ferro. Auf diese Art sind folgende Werthe für p berechnet:

O. Abstand d. Meridians von Ferro.	Magneti- sche Länge $= q$.	Die zwey Werthe von p .	
150°	$64^\circ 45'$	$+ 125^\circ 46'$	$- 165^\circ 0'$
145	69 45	$+ 110^\circ 21'$	$- 158^\circ 15'$
140	74 45	$+ 98^\circ 32'$	$- 135^\circ 26'$
135	79 45	$+ 88^\circ 16'$	$- 124^\circ 30'$
130	84 45	$+ 78^\circ 41'$	$- 114^\circ 31'$
125	89 45	$+ 69^\circ 19'$	$- 104^\circ 59'$
120	94 45	$+ 59^\circ 45'$	$- 95^\circ 31'$
115	99 45	$+ 49^\circ 34'$	$- 85^\circ 41'$
110	104 45	$+ 38^\circ 10'$	$- 74^\circ 56'$
105	109 45	$+ 24^\circ 23'$	$- 62^\circ 5'$
100	114 45	$+ 4^\circ 15'$	$- 43^\circ 13'$

Setzet man $q = 119^{\circ} 45'$, so wird der Werth von s unmöglich ein Beweis, daß der eine Zweig der Linie ohne Abweichung zwischen 150° und 100° O. von Ferro, der andere zwischen den entgegengesetzten Meridianen 260° und 330° O. von Ferro liege.

Setzet man nun $\gamma = 5^{\circ}, 10^{\circ}, 15^{\circ}$ u. s. w. für die östliche Abweichung, und $\gamma = -5^{\circ}, -10^{\circ}, -15^{\circ}$ u. s. w. für die westliche, und berechnet für alle Meridiane den Werth von p , so kann man mit Hülfe derselben die Halleyschen Linien ziehen, wie sie seyn würden, wenn nur eine Magnetaxe vorhanden wäre. Die Berechnungen der andern Halleyschen Linien wollen wir der Kürze wegen hier auslassen. Die Linien selbst sind auf den beiden Globuskarten Tab. V. gezeichnet.

Wenden wir diese Berechnungen auf die Magnetaxe ab an, so finden wir für das Jahr 1774, daß der Punkt a in einem Abstände von $12^{\circ} 45'$ vom Pole und in $254^{\circ} 23'$ Länge O. von Ferro lag; und b für das Jahr 1770 $4^{\circ} 17'$ vom Pol und $119^{\circ} 9\frac{1}{2}'$ Länge O. von Ferro. Mit Hülfe der im vorigen Hauptstück gefundenen Bewegung des Magnetpunktes b finden wir seine Lage für 1774 unter $121^{\circ} 53'$ O. von Ferro und in einem Abstände von $4^{\circ} 52'$ vom Pole*).

Hiernach findet man die vier Eulerschen Elemente wie folgt: $a = 4^{\circ} 52'$, $b = 12^{\circ} 45'$; $\gamma = 254^{\circ} 23' - 121^{\circ} 53' = 132^{\circ} 30'$. Aus diesen kann man nach oben angeführten Formeln folgende berechnen:

$$c = 84^{\circ} 52' 2\frac{1}{2}''; d = 85^{\circ} 7' 11''; e = 4^{\circ} 9' 29''; f = 0^{\circ} 22' 21'',$$

$$g = 39^{\circ} 5' 55''; BPC = 113^{\circ} 14' 6''; APC = 19^{\circ} 15' 53''.$$

Setzet man die Punkte a und b auf einem Globus an die rechten Stellen ab, so sieht man, daß bey dieser Axe der Nordpol b gegen Westen, der Südpol a aber gegen Osten liegt (dem vorigen Falle gerade entgegengesetzt). Also fällt die Länge von PC oder von dem ersten magnetischen Meridian, von welchem die magnetischen Längen oder Winkel q gerechnet werden, für diese Axe unter $121^{\circ} 53' + 113^{\circ} 14' = 235^{\circ} 7'$ Länge O. von Ferro. Will man

*) Eigentlich sollte nach den angeführten Bewegungen die Lage des Punktes b für 1774 folgende seyn: Abstand vom Pol $4^{\circ} 19'$, Länge von Ferro $120^{\circ} 49'$; die oben angeführten sind nach älteren Bestimmungen gefunden, weil aber hier eben nicht große Genauigkeit erforderlich ist, so lassen wir obige Data unverändert.

die Eulerschen Formeln anwenden, so muß man bey dieser Axe die magnetischen Längen oder Winkel q vom Meridiane PC gegen Osten rechnen, und $+$ für die westliche, $-$ hingegen für die östliche Abweichung brauchen.

Der nächste Meridian der Karte östlich von dem ersten magnetischen Meridian PC dieser Axe, ist der Meridian 240° O. von Ferro, und ihr Längenunterschied ist $240^{\circ} - 235^{\circ} 7' = 4^{\circ} 53'$; also setze man nach und nach $q = 4^{\circ} 53'$, $q = 14^{\circ} 53'$ u. s. w. um die zwey Werthe von p zu bekommen, welche genau die Durchschnittspunkte der Halleyschen Linien mit jedem zehnten Meridian O. von Ferro geben.

Die auf eben beschriebene Art berechneten Halleyschen Linien für die Axe ab sind auch auf den Tab. V., und zwar mit punktirten Linien angegeben.

Vergleicht man nun diese nach der Eulerschen Theorie bestimmten Abweichungslinien mit der Abweichungskarte für 1770, so sieht man, daß die Linien für die stärkere Axe AB in der Nähe der Hudsons Bucht und Straße, so wie im südlichen Indischen Meere zwischen Neuholland und dem Vorgebirge der guten Hoffnung am genauesten die Abweichungen für 1770 ausdrücken; jene Punkte sind aber in der Nähe der stärkeren Pole A und B. Ferner sieht man, daß die östliche Abweichung bey Südamerika größtentheils durch die punktirten Linien angegeben wird, so wie die punktirten Linien auch ungefähr die Abweichung in Sibirien ausdrücken. Hieraus erhellt, daß die Eulerschen Linien in der Nähe der vier Magnetpole, wo also die Kraft des nächsten Poles die herrschende ist, ziemlich genau mit der wirklichen durch Beobachtungen gefundenen Abweichung übereinstimmen. Je größer der Abstand von den Polen ist, desto größer wird der Unterschied. So findet man auf der östlichen Halbkugel eine Linie für 25° westlicher Abweichung für die Axe AB, welche durch das nördliche Spanien, das südliche Frankreich, Deutschland, Preussen, Finnland und das Russische Lappland geht. Aber in Spanien würde die Axe ab eine östliche Abweichung von ungefähr 6° - 7° geben, in Finnland von 10° , und in Lappland von 12° . Man kann also schließen, daß die wirkliche Abweichung in Spanien zwischen 25° westlich und 6° östlich, in Finnland zwischen 25° westlich und 10° östlich, in Lappland zwischen 25° west-

ich und 12° östlich fallen muß. Nun zeigt die Karte für 1770, daß die Abweichung in Spanien damals ungefähr 20° war, in Finnland 5° - 6° westlich und in Lappland 0° . Je weiter man also nordostwärts kömmt, desto größer wird die Differenz; da dann die Intensität und Wirkung des Sibirischen Poles *b* immer mehr zunimmt.

Auf der westlichen Halbkugel findet man für die Axe *ab* eine punktirte Linie, welche als *Linie ohne Abweichung* bezeichnet ist; sie geht vom Californischen Meere südwestlich, und durchschneidet den Meridian 260° O. von Ferro ungefähr unter 15 Graden südlicher Breite; dann wendet sie sich ganz südlich gegen den Pol *a*. An dieser Stelle zeigt die Abweichungskarte für 1770 eine östliche Abweichung von ungefähr 2° , welche Abweichung sich sogar auf den älteren Karten weiter gegen Norden, fast nach dem Californischen Meere hin erstreckt hat. Weiter gegen West würde die Abweichung westlich seyn, wenn die Axe *ab* allein wirkte; aber der stärkere Pol bey Van Diemens Land bekömmet hier das Uebergewicht.

Bey Neuseeland sollte die Abweichung wegen der Axe AB zwischen 20° und 25° östlich, wegen der Axe *ab* aber ungefähr 15° westlich seyn; die Karte für 1770 zeigt, daß sie zu der Zeit 15° östlich an jener Stelle war.

In der Beeringsstraße giebt die Axe AB auch eine etwas größere östliche Abweichung, als die Karte für 1770 zeigt; aber wegen der Axe *ab* sollte sie hier 10° - 15° westlich seyn. Ueberhaupt wird man sich bey näherer Untersuchung überzeugen, daß die durch Beobachtungen gefundene Abweichung an den mehrsten Stellen zwischen die Abweichungen fallen wird, welche beide Axen jede für sich geben. An den zwey Stellen, wo dies nicht statt findet, nämlich bey der Insel Java und in Amerika von Mexiko bis zur Erdzunge von Panama läßt sich diese Anomalie aus den vorhin gezeigten Unrichtigkeiten jener Theorie, wie auch daraus, daß, wie früher gesagt worden, die vier angeführten Punkte nicht die wirklichen Magnetpole sind, vollkommen erklären.

Da nun unter Voraussetzung zweyer Magnetaxen diese berechneten Curven theils die Halleyschen Linien den Beobachtungen gemäß selbst darstellen, theils wenigstens die Grenzen angeben, innerhalb welcher die Abweichungen wirklich fallen; da vier Magnetpole die Krümmungen der Neigungslinien ge-

118 Viertes Hauptstück. Eulersche Theorie d. Abweichungslinien.

nugsam erklären, da ferner sowohl die Veränderungen der Abweichungen als der Neigungen sich aus der oben gefundenen Bewegung der vier Pole vollkommen entwickeln lassen, und da endlich auch die Erscheinungen der Intensität auf eine doppelte Magnetaxe hinweisen: so ist meines Erachtens der Satz: *die Erde habe zwey Magnetaxen oder vier Magnetpole*, so streng bewiesen, als sich nur irgend ein physischer Satz beweisen läßt.

Wir gehen nun zur Theorie des Magneten über, welche der Theorie der Abweichung, Neigung und Intensität vorausgeschickt werden muß.

Fünftes Hauptstück.

Mathematische Theorie des Magneten, durch Versuche unterstützt.

§. 1. Wenn zwey magnetische Punkte sich anziehen oder abstossen, so befindet sich die Anziehungs- oder Abstossungskraft, d. i. die Grösse des Bestrebens sich einander zu nähern, oder zu fliehen, in einem, aus dem Produkte der absoluten magnetischen Kräfte beider Punkte, und aus einer gewissen Potenz des Abstandes zusammengesetzten Verhältnisse.

Wenn zwey unmagnetische Körper A und B, deren Massen M und N sind, und der Abstand $= D$, einander vermöge der einfachen Gravitation anziehen, so ist bekanntlich ihre absolute Kraft (*vis absoluta*) mit den Massen M und N proportionirt, da alle Materientheilchen (so weit bekannt) dieses Vermögen in gleich hohem Grade besitzen, und die absolute Kraft eines Körpers gleich ist der Totalsumme aller Kräfte seiner Theilchen. Die beschleunigende Kraft (*vis acceleratrix*) ist dann für Körper A proportionirt mit $\frac{M}{D^2}$, für B mit $\frac{N}{D^2}$.

Körper B wird sich also gegen A mit einer Beschleunigung bewegen wie $\frac{M}{D^2}$, und A gegen B mit einer Beschleunigung wie $\frac{N}{D^2}$; die ganze gegenseitige Beschleunigung wird seyn wie $\frac{M + N}{D^2}$.

Will man Körper B verhindern sich gegen A zu bewegen, so muß dazu eine Gegenkraft erfordert werden $= \frac{MN}{D^2}$,

da jedes der N Theilchen im Körper B von einer Kraft beschleunigt wird $= \frac{M}{D^2}$;

d. i. die bewegende Kraft (*vis motrix*) ist sowohl für A als für B $= \frac{MN}{D^2}$.

Liefse sich die Reaction aller N Punkte im Körper B in einem einzigen Punkte gesammelt denken, so würde dieser Punkt durch eine N mal größere Kraft als vorher beschleunigt werden, also die beschleunigende Kraft seyn $= \frac{MN}{D^2}$. Dächte man sich ebenfalls die Wirkung aller Theilchen im Körper A in einem einzigen Punkte gesammelt, so würde auch jener durch eine M mal größere Kraft als vorher bewegt werden; also würde die beschleunigende Kraft ebenfalls $= \frac{MN}{D^2}$, wie die bewegende. Bey Materien-Elementen ist also beschleunigende und bewegende Kraft eins.

Dächte man sich zwey Körper C und E , bestehend aus X und Y solcher Elemente, so würden ihre absoluten Kräfte seyn MX und NY , die beschleunigenden $\frac{MX}{D^2}$ und $\frac{NY}{D^2}$, die ganze gegenseitige Beschleunigung $= \frac{MX + NY}{D^2}$ und die bewegende Kraft $= \frac{MX NY}{D^2}$.

So verhält es sich mit den magnetischen Kräften; die absolute magnetische Kraft eines Körpers kann, ohne daß die Masse verändert wird, wachsen oder bis Nul abnehmen. Ferner nimmt bekannter Massen die magnetische Anziehung, wenn der Abstand wächst, ab; also muß die Potenz des Abstandes, mit welcher die Anziehungskraft proportionirt ist, *negativ* seyn. Man denke sich zwey magnetische Punkte a und b , deren absolute Kräfte m und n sind, und ihre Entfernung von einander $= d$, so wird die beschleunigend und bewegende Kraft seyn wie $mnd^{-t} = \frac{mn}{d^t}$, wenn t die Potenz des Abstandes ist, wornach sich die Wirkung der Kräfte richtet. Bestehen zwey magnetische Körper aus p und q solcher Theilchen, so werden ihre absoluten Kräfte seyn wie mp und nq , die beschleunigenden wie $\frac{mp}{d^t}$ und $\frac{nq}{d^t}$, und die bewegenden wie $\frac{mp nq}{d^t}$. Die Größen m und n wollen wir die *absoluten Intensitäten* nennen. Nimmt eine derselben oder nehmen beide ab, so müssen nothwe:

sowohl die beschleunigenden als bewegenden Kräfte abnehmen; wird eine von ihnen oder werden beide $= 0$, so verschwindet sowohl die beschleunigende als bewegende Kraft, und die Körper werden bloß vermöge der allgemeinen Gravitation bewegt.

§. 2. Problem. Wenn ein Linearmagnet auf einen magnetischen Punkt wirkt, der sich in seiner verlängerten Axe befindet, eine Formel zu finden, welche die Größe der Anziehungs- oder Abstofungskraft, womit er auf den magnetischen Punkt wirkt, ausdrückt.

AB (Fig. 11) sey der Magnet, C sein Mittelpunkt, D der angezogene Punkt. Nun ist es bekannt, daß der Mittelpunkt weder Anziehungs- noch Abstofungskraft zeigt (seine absolute Intensität ist $= 0$), aber daß die Intensität der übrigen Punkte um so größer wird, je näher man den Endpunkten A und B kommt. Welches Gesetz dieser Zuwachs der absoluten Intensitäten der Punkte befolge, ist noch nicht ausgemacht; es muß eine Funktion des Abstandes des Punktes von dem magnetischen Mittelpunkt C seyn. E sey ein Punkt zwischen dem Mittelpunkte C und dem Endpunkte A, dessen Abstand vom Mittelpunkte $CE = 1$, und dessen absolute Intensität $= m$. Nun könnte man sich vorstellen, daß die absolute Kraft der Punkte E und A sich verhielte, wie eine gewisse Potenz der Abstände CE und CA, oder wie $(CE)^r : (CA)^r$. Lambert*) nahm an, daß diese Kräfte sich wie die einfachen Entfernungen verhielten, und setzte also $r = 1$; Brugmanns und mehrere glauben, daß sie sich verhalten, wie die Quadrate des Abstandes, oder setzen $r = 2$. Wir lassen dies fürs Erste unbestimmt, und wollen das Problem allgemein lösen.

Wird $CA = x$ gesetzt, und ein unendlich kleiner Theil der magnetischen Halbaxe $= dx$, so ist $(CE)^r : (CA)^r$ oder $1 : x^r = m : mx^r$, also die absolute Intensität in A $= mx^r$, und die absolute Kraft des Theilchens dx in A $= mx^r dx$ (§. 1). Setzt man das Theilchen in D $= p$, dessen Intensität $= n$, so wird seine absolute Kraft $= np$, die Beschleunigung von D $= \frac{mnx^r dx}{DA^t}$, und die

*) Sur la courbure du courant magnetique. Mem. de Berlin, A. 1766, Tom. XXII.

bewegende Kraft $= \frac{mnp x^r dx}{DA^t}$. Setzt man den Abstand des Punktes D vom magnetischen Mittelpunkte, oder $DC = a$, so ist $DA = DC - AC = a - x$, und die Beschleunigung wird $= \frac{mnx^r dx}{(a-x)^t}$. Aber da dieser Ausdruck von allen Punkten in der halben Axe AC gilt, so kann man sich die gesammte Kraft aller Punkte in der Halbaxe AC als eine GröÙe denken, deren Differential $\frac{mnx^r dx}{(a-x)^t}$ ist. Setzt man die gesammte Kraft $= v$, so hat man $dv = \frac{mnx^r dx}{(a-x)^t}$.

Denkt man sich einen Punkt F in der andern Halbaxe BC, dessen Abstand vom Mittelpunkte $CF = 1$ und absolute Intensität $= m$ ist, und setzt $CB = x$, so ist gleichfalls die absolute Kraft des Punktes B $= mx^r dx$, und dessen Wirkung auf den Punkt D $= \frac{mnx^r dx}{DB^t}$; aber da $DB = DC + CB = a + x$, so erhält man die Wirkung des Punktes B $= \frac{mnx^r dx}{(a+x)^t}$. Setzt man die gesammte

Wirkung aller Punkte in der Halbaxe BC $= v'$, so hat man $dv' = \frac{mnx^r dx}{(a+x)^t}$.

Nun wirken A und B in entgegengesetzten Direktionen; wenn das eine abstößt, so zieht das andre an; also heben die Kräfte v und v' einander zum Theil auf. Wird die gesammte Kraft beider Halbaxen $= K$ gesetzt, so hat man

$$K = v - v' = \int \frac{mnx^r dx}{(a-x)^t} - \int \frac{mnx^r dx}{(a+x)^t}$$

§. 3. Die GröÙen r und t im vorigen §. müssen positive Zahlen, und größer als 0 seyn; denn wäre $r = 0$, so würde die Kraft des Punktes A $= mx^0 dx = m dx$ seyn, d. i. alle Punkte der Magnetaxe würden gleich große Kraft haben, welchem die Erfahrung widerspricht. Wäre $t = 0$, so würde die von der ganzen Axe auf den Punkt D geäußerte Anziehungskraft $= K = \int \frac{mnx^r dx}{(a-x)^0} - \int \frac{mnx^r dx}{(a+x)^0} = \int mn x^r dx - \int mn x^r dx = 0$ seyn, d. i. beide Halbaxen wirketen mit gleich großer Kraft, da der Abstand in der Wirkung

der Kräfte keine Veränderung machte, und sich also die Wirkungen der gleich großen entgegengesetzten Kräfte aufhoben.

Wenn ein Punkt nach allen Directionen hin wirkt, so scheint es, als müsse seine Wirkung im umgekehrten Verhältnisse der Quadrate des Abstandes stehen; denn denkt man sich den Punkt von verschiedenen concentrischen Kugelflächen umgeben, so muß die Intensität seiner Wirkung auf jeden einzelnen Punkt der Kugelfläche im umgekehrten Verhältnisse zu der Menge der Punkte stehen, da die ungetheilte Wirkung oder die absolute Kraft des Punktes sich selbst gleich und unveränderlich ist. Aber die Menge der Punkte in den verschiedenen Kugelflächen verhält sich wie die Quadrate der Radien dieser Kugelflächen. Es ist also wahrscheinlich, daß $t = 2$.

Welchen Werth r habe, ist schwieriger auszumitteln; dürfte man nach dem Zuwachse der Kraft vom Mittelpunkte nach den Polen der Galvanischen Säule schließen, so wäre $r = 1$. Direkte Versuche können hier nichts aufklären; denn wenn man dem Magneten in verschiedenen Entfernungen vom magnetischen Mittelpunkt Eisen nähert, so zieht nicht der Punkt allein, den man untersuchen will, sondern auch alle neben ihm liegenden, und die Anziehung wird ein Integrale des Elementargesetzes, welches man untersuchen wollte. Am sichersten bleibt es daher, r und t stufenweise verschiedenen Werth zu geben, und die Resultate der dadurch gefundenen Formeln mit der Erfahrung zu vergleichen.

Nun ist

$$\int \frac{mnx^r dx}{(a-x)^t} = mn \int \frac{x^r dx}{(a-x)^t};$$

und

$$\int \frac{x^r dx}{(a-x)^t} = (-1)^{r+1} \times \left\{ \frac{(a-x)^{r+1-t}}{r+1-t} - \frac{ra(a-x)^{r-t}}{1 \cdot r-t} + \frac{r(r-1)a^2(a-x)^{r-t-1}}{1 \cdot 2 \cdot r-t-1} - \frac{r(r-1)(r-2)a^3(a-x)^{r-t-2}}{1 \cdot 2 \cdot 3 \cdot r-t-2} + \&c. \right\}$$

Die Reihe bricht ab, wenn einer der Factoren $(r-2)$, $(r-3)$ u. s. w. $= 0$ wird; sie wird positiv, wenn $r+1$ eine gleiche, d. h. r eine ungleiche Zahl ist; im entgegengesetzten Falle wird sie negativ.

Gleichfalls findet sich

$$\int \frac{mnx^r dx}{(a+x)^t} = mn \int \frac{x^r dx}{(a+x)^t};$$

und

$$\begin{aligned} \int \frac{x^r dx}{(a+x)^t} &= \frac{(a+x)^{r+1-t}}{r+1-t} - \frac{ra}{1} \cdot \frac{(a+x)^{r-t}}{r-t} + \frac{r(r-1)a^2}{1 \cdot 2} \cdot \frac{(a+x)^{r-t-1}}{r-t-1} \\ &\quad - \frac{r(r-1)(r-2)a^3}{1 \cdot 2 \cdot 3} \cdot \frac{(a+x)^{r-t-2}}{r-t-2} + \&c. \end{aligned}$$

Setzt man z. B. $r = 2$, $t = 2$, so bekommt man:

$$\begin{aligned} \int \frac{x^2 dx}{(a-x)^2} &= - \left\{ \frac{(a-x)^1}{1} - \frac{2a}{1} \cdot \frac{(a-x)^0}{0} + \frac{2 \cdot 1 \cdot a^2}{1 \cdot 2} \cdot \frac{(a-x)^{-1}}{-1} \right\} \\ &= -a+x + 2a \log(a-x) + \frac{a^2}{a-x} + C. \end{aligned}$$

Ferner

$$\int \frac{x^2 dx}{(a+x)^2} = a+x - 2a \log(a+x) - \frac{a^2}{a+x} + c;$$

also ist

$$v = mn \left\{ -a+x + 2a \log(a-x) + \frac{a^2}{a-x} + C \right\}$$

und

$$v' = mn \left\{ a+x - 2a \log(a+x) - \frac{a^2}{a+x} + c \right\}.$$

Setzt man $x = 0$, so wird v und $v' = 0$, und man erhält $C - a + 2a \log a + a = 0$, und $c + a - 2a \log a - a = 0$, also $C = -2a \log a$, $c = 2a \log a$.

So hat man denn

$$v = mn \left\{ -a+x + 2a \log(a-x) + \frac{a^2}{a-x} - 2a \log a \right\}$$

und

$$v' = mn \left\{ a+x - 2a \log(a+x) - \frac{a^2}{a+x} + 2a \log a \right\};$$

aber

$$\begin{aligned} K = v - v' &= mn \left\{ -2a + 2a \log(a-x) + 2a \log(a+x) + \frac{a^2}{a-x} + \frac{a^2}{a+x} - 4a \log a \right\} \\ &= 2amn \left\{ \log(a^2 - x^2) + \frac{a^2}{a^2 - x^2} - 1 - 2 \log a \right\} \\ &= 2amn \left\{ \frac{x^2}{a^2 - x^2} - \log \left(\frac{a^2}{a^2 - x^2} \right) \right\}. \end{aligned}$$

Ist $r = 1$, so bricht die Reihe für das Integrale beym dritten Gliede ab, ist $r = 2$, so bricht sie beym vierten ab u. s. w. Ferner verdient bemerkt zu werden, daß, wenn einer der Exponenten $r - t$, $r - t - 1$, $r - t - 2$, u. s. w. $= 0$ wird, das Glied, wozu dieser Exponent gehört, eine logarithmische Funktion von $a - x$ oder $a + x$ wird, wie beym zweyten Gliede im obigen Exempel. Ist dagegen der Exponent im ersten Gliede der Reihe für das Integrale, oder $r + 1 - t$ eine negative Gröfse, so wird die Anziehungskraft oder K keine transcendente Funktion des Abstandes. Aber soll $r + 1 - t$ eine negative Gröfse seyn, so muß $t > r + 1$, z. B. wenn $t = 3$ und $r = 1$, oder $t = 4$ und $r = 2$ ist, u. s. w.

§. 4. Setzt man $t = 1$, und stufenweise $r = 1$, $r = 2$, $r = 3$, darauf $t = 2$, und $r = 1$, $r = 2$, $r = 3$, endlich $t = 3$, und $r = 1$, $r = 2$, $r = 3$, so findet man für K folgende neun Formeln:

$$t = 1.$$

$$\text{I. } r = 1. \quad K = mn \left\{ a \log \left(\frac{a+x}{a-x} \right) - 2x \right\}$$

$$\text{II. } r = 2. \quad K = mn \left\{ a^2 \log \left(\frac{a^2}{a^2 - x^2} \right) - x^2 \right\}$$

$$\text{III. } r = 3. \quad K = mn \left\{ a^3 \log \left(\frac{a+x}{a-x} \right) - 2a^2x - \frac{2}{3}x^3 \right\}$$

$$t = 2.$$

$$\text{IV. } r = 1. \quad K = mn \left\{ \frac{2ax}{a^2 - x^2} - \log \left(\frac{a+x}{a-x} \right) \right\}$$

$$\text{V. } r = 2. \quad K = mn \left\{ \frac{2ax^2}{a^2 - x^2} - 2a \log \left(\frac{a^2}{a^2 - x^2} \right) \right\}$$

$$\text{VI. } r = 3. \quad K = mn \left\{ 4ax + \frac{2a^3x}{a^2 - x^2} - 5a^2 \log \left(\frac{a+x}{a-x} \right) \right\}$$

$$t = 3.$$

$$\text{VII. } r = 1. \quad K = mn \times \frac{2x^3}{(a^2 - x^2)^2}$$

$$\text{VIII. } r = 2. \quad K = mn \left\{ \log \left(\frac{a^2}{a^2 - x^2} \right) - \frac{a^2x^2 - 3x^4}{(a^2 - x^2)^2} \right\}$$

$$\text{IX. } r = 3. \quad K = mn \left\{ 3a \log \left(\frac{a+x}{a-x} \right) - \frac{2x(4a^2 - x^2)}{a^2 - x^2} + \frac{2a^4x}{(a^2 - x^2)^2} \right\}$$

Die Anziehung K ist also gleich dem Produkte mn , multiplicirt mit einer Funktion des Abstandes a und der GröÙe der Magnetaxe x . Setzet man diese Funktion $= F$, so hat man $K = mn \cdot F$. Nimmt man die magnetische Halbaxe $x = 1$ an, und setzet in diesen neun Formeln $a = 2$, $a = 3$, $a = 4$ u. s. w., so bekommt man die Werthe von F , die sich in der folgenden Tabelle finden.

Formel.	$a = 11.$	$a = 10.$	$a = 9.$	$a = 7.$	$a = 5.$	$a = 4.$
I.	0,0055371	0,0067070	0,0082920	0,0137745	0,0273255	
II.	0,0040552	0,0050336	0,0062241	0,0103451	0,0205499	
III.	0,0033254	0,0040288	0,0049822	0,0082842	0,0164718	
IV.	0,0010118	0,0013495	0,0018564	0,0039846	0,0112015	0,0225077
V.	0,0007597	0,0010135	0,0013946	0,0029966	0,0084467	0,0170252
VI.	0,0006082	0,0008057	0,0011176	0,0024020	0,0067836	0,0137034
VII.	0,0001389	0,0002041	0,0003125	0,0008681	0,0034722	
VIII.	0,0001044	0,0001534	0,0002350	0,0006540	0,0026276	
IX.	0,0000834	0,0001229	0,0001884	0,0005221	0,0021155	

In dieser Tabelle bezeichnet a den Abstand des angezogenen Punktes vom Mittelpunkte der Magnetaxe, ausgedrückt in Halbaxen des Magneten, oder halben Magnetlängen; die Zahlen in der ersten horizontalen Reihe bezeichnen die Funktion F , berechnet nach der Formel I., in der zweyten Reihe dieselbe Funktion nach der Formel II. u. s. w. Diese Zahlen sollten noch multiplicirt werden mit dem Produkte mn der absoluten Kräfte des Magneten und des angezogenen Punktes, um die Anziehungskraft K auszudrücken; aber so lange man den nämlichen Magneten und den nämlichen angezogenen Punkt behält, bleibt mn eine beständige GröÙe, und kann $= 1$ gesetzt werden.

§. 5. Um zu entdecken, welche dieser neun Formeln die Veränderung der magnetischen Kräfte, oder richtiger der magnetischen Anziehung in verschiedenen Abständen am besten ausdrückte, wurden folgende Versuche angestellt:

Auf einem horizontalen Tische ward ein fein eingetheilter Compafs mit einer sehr lebendigen Nadel so gestellt, daß die Nadel genau auf 0° zeigte; darauf ward eine Linie senkrecht auf den magnetischen Meridian durch den Mittelpunkt der Nadel gezogen, und diese Linie in magnetische Halbaxen, und jede von diesen in zehn gleich groÙe Theile eingetheilt. Endlich ward ein künstlicher Magnet in diese Linie und zwar in verschiedenen Abständen von der Magnetnadel gelegt, und die GröÙe der Winkel aufgezeichnet, welche die Magnetnadel mit dem magnetischen Meridiane machte.

AB (Fig. 12) war ein hölzernes Lineal, 2 Ellen lang und etwas mehr als 2 Decimalzolle breit, durch dessen Mitte eine gerade Linie tr parallel mit den Seiten gezogen wurde; hierauf ward ein Compafs $monp$ gesetzt, dessen Boden eine viereckige Messingplatte $abcd$ war, die auf allen Seiten unter der cylindrischen Compafsdose hervorragte. Auf dieser Platte war eine Linie ef durch den Mittelpunkt der Nadel g und die Punkte 90° gezogen, und diese Linie war auf der Platte auÙerhalb der Dose gerade bis zu den Ecken e und f verlängert. Nun ward der Compafs so auf das Lineal gestellt, daß die Linie ef genau die mittelste Linie tr des Lineals deckte, und darauf das Lineal so lange auf dem Tische gedreht, bis die Nadel op genau die Linie mn , welche mit 0° bezeichnet und senkrecht auf ef war, im Compafse deckte. Der Compafs

war von Hr. *Drechsler* in Hannover verfertigt, der versilberte Limbus in ganzen Graden sehr sauber eingetheilt; die Nadel, deren Länge $24\frac{1}{15}$, Breite in der Mitte $\frac{3}{4}$ und Dicke $\frac{1}{4}$ Rheintl. Decimallinien betrug, war an beiden Enden überaus fein pyramidalisch zugespitzt, und kam nach einigen Oscillationen immer auf den nämlichen Punkt des Limbus aufs schärfste zurück. Beide Endpunkte der Nadel zeigten auf entgegengesetzten Seiten des Limbus genau den nämlichen Winkel, so daß keine merkliche Excentricität vorhanden war. Die Höhe des Limbus (also der Fläche, worin sich die Nadel bewegte) über der untersten Grundfläche des Bodens war ungefähr 4 Decimallinien. Um den Mittelpunkt der Nadel gerade über den Anfangspunkt g der Eintheilungen g , 1, 2, 3, 4 des Lineals zu bringen, ward die halbe Breite der Bodenfläche oder $\frac{1}{2}ab = \frac{1}{2}cd$ von g aus nach e und f getragen, und beide Seiten ac und bd des Bodens gerade durch diese Punkte gelegt. Ferner ward zum Versuche ein künstlicher Magnet OP gebraucht, dessen Länge $5'' 6''' 4$, die Breite $5''' 2$ und die Dicke ungefähr $1''' 2$ betrug. Dieser Magnet ward auf die in magnetische Halbaxen $g - 1$, $1 - 2$, $2 - 3$ u. s. w. eingetheilte Linie gr an hoher Kante*) gelegt, erst mit dem Nordpole P , und nachher mit dem Südpole O voran, und darauf ward die Abweichung der Magnetnadel $mgo =$ aufgezeichnet.

Erster Versuch mit dem Magneten B:

Abstand $gC = a$	12.8	11.0	10.0	9.0	8.0	8.2	7.8	7.4	7.0	6.6	6.2
Winkel } $mgo = w$	N. P.	$0^{\circ} \frac{1}{2}$	$1^{\circ} +$	$1^{\circ} \frac{1}{2} -$	2°	$2^{\circ} \frac{1}{2}$	$2^{\circ} \frac{1}{2}$	$3^{\circ} +$	$3^{\circ} \frac{1}{2}$	$4^{\circ} \frac{1}{2}$	$5^{\circ} +$
	S. P.	$0^{\circ} \frac{1}{2}$	$1^{\circ} +$	$1^{\circ} \frac{1}{2} -$	2°	$2^{\circ} \frac{1}{2}$	$2^{\circ} \frac{1}{2}$	$3^{\circ} +$	$3^{\circ} \frac{1}{2}$	$4^{\circ} \frac{1}{2}$	$5^{\circ} +$
	Mittel	$0^{\circ} 40'$	$1^{\circ} 6'$	$1^{\circ} 24'$	$2^{\circ} 0'$	$2^{\circ} 15'$	$2^{\circ} 39'$	$3^{\circ} 6'$	$3^{\circ} 37'$	$4^{\circ} 15'$	$5^{\circ} 6'$
Abstand $gC = a$	5.8	5.4	5.0	4.8	4.6	4.4	4.2	4.0	3.8	3.6	
Winkel } $mgo = w$	N. P.	$7^{\circ} \frac{1}{2}$	$9^{\circ} \frac{1}{2}$	$11^{\circ} \frac{1}{2}$	$13^{\circ} \frac{1}{2}$	$15^{\circ} \frac{1}{2}$	$17^{\circ} \frac{1}{2}$	20°	$23^{\circ} \frac{1}{2}$	$26^{\circ} \frac{1}{2}$	$31^{\circ} \frac{1}{2}$
	S. P.	$7^{\circ} \frac{1}{2}$	$9^{\circ} \frac{1}{2}$	12	$13^{\circ} \frac{1}{2}$	$15^{\circ} \frac{1}{2}$	$17^{\circ} \frac{1}{2}$	$20^{\circ} \frac{1}{2}$	$23^{\circ} \frac{1}{2}$	$27^{\circ} \frac{1}{2}$	$31^{\circ} \frac{1}{2}$
	Mittel	$7^{\circ} 38'$	$9^{\circ} 20'$	$11^{\circ} 52'$	$13^{\circ} 33'$	$15^{\circ} 20'$	$17^{\circ} 30'$	$20^{\circ} 8'$	$23^{\circ} 20'$	$26^{\circ} 56'$	31°

Die erste horizontale Reihe ist der Abstand zwischen dem Mittelpunkte der Nadel und dem des Magneten, in Halbaxen des Magneten und Zehnth

*) Um die Mittellinie oder Axe des Magneten ungefähr in die verlängerte Fläche des Nadel zu bringen.

derselben ausgemessen; die zweyte Reihe ist die Abweichung der Nadel von dem magnetischen Meridiane, wenn der Nordpol des Magneten; die dritte, wenn sein Südpol der Nadel zugekehrt war; die vierte Reihe ist die Mittelzahl beider. Die Brüche der Grade wurden nach dem Augenmaasse vermittelt einer Loupe geschätzt. Das Zeichen (+) oder (—) bedeutet, daß der Winkel ein wenig über oder ein wenig unter dem angegebenen war, aber so wenig, daß das Auge die GröÙe davon nicht beurtheilen konnte; ich habe es für $\frac{1}{10}$ Grad oder 6' gerechnet; jedoch scheint die Berechnung dieser Versuche in §. 6 zu zeigen, daß diese Schätzung ein Paar Minuten zu groß war.

Zweyter Versuch mit dem Magneten A, der die nämlichen Ausdehnungen hatte, aber etwas schwächer (war*):

Abstand $gC = a$		12.8	11.0	10.0	9.0	8.0	8.2	7.8	7.4	7.0	6.6
Winkel $mgc = w$	N. P.	$0^{\circ}\frac{1}{2}$	$1^{\circ} -$	$1^{\circ}\frac{1}{2}$	$1^{\circ}\frac{1}{2}$	$2^{\circ} -$	$2^{\circ}\frac{1}{2}$	$2^{\circ}\frac{1}{2}$	$3^{\circ} -$	$3^{\circ}\frac{1}{2}$	$4^{\circ}\frac{1}{2}$
	S. P.	$0^{\circ}\frac{1}{2}$	$0^{\circ}\frac{1}{2}$	$1^{\circ}\frac{1}{2}$	$1^{\circ}\frac{1}{2} +$	$1^{\circ}\frac{1}{2}$	$2^{\circ}\frac{1}{2}$	$2^{\circ}\frac{1}{2}$	3	$3^{\circ}\frac{1}{2} +$	$4^{\circ}\frac{1}{2}$
	Mittel	$0^{\circ} 35'$	$0^{\circ} 53'$	$1^{\circ} 11'$	$1^{\circ} 38'$	$1^{\circ} 52'$	$2^{\circ} 7'$	$2^{\circ} 30'$	$2^{\circ} 57'$	$3^{\circ} 33'$	$4^{\circ} 9'$
Abstand $gC = a$		6.2	5.8	5.4	5.0	4.8	4.6	4.4	4.2	4.0	3.8
Winkel $mgc = w$	N. P.	5°	$6^{\circ} +$	$7^{\circ}\frac{1}{2}$	$9^{\circ}\frac{1}{2}$	$10^{\circ}\frac{1}{2}$	$12^{\circ}\frac{1}{2}$	$14^{\circ}\frac{1}{2}$	$16^{\circ}\frac{1}{2}$	$19^{\circ} -$	22°
	S. P.	5	$6^{\circ}\frac{1}{2}$	$7^{\circ}\frac{1}{2}$	$9^{\circ}\frac{1}{2}$	$11^{\circ}\frac{1}{2}$	$12^{\circ}\frac{1}{2}$	$14^{\circ}\frac{1}{2}$	$16^{\circ}\frac{1}{2}$	$19^{\circ}\frac{1}{2}$	$22^{\circ}\frac{1}{2}$
	Mittel	$5^{\circ} 0'$	$6^{\circ} 7'$	$7^{\circ} 42'$	$9^{\circ} 42'$	$11^{\circ} 4'$	$12^{\circ} 31'$	$14^{\circ} 20'$	$16^{\circ} 26'$	$19^{\circ} 4'$	$22^{\circ} 15'$

*) Ich finde in meinen Aufzeichnungen über diese Versuche bey beiden angemerkt, "daß die Nadel nach dem Versuche genau wieder nach 0° zurückging", und erinnere dabey, daß, als ich das erste Mal den Versuch mit dem Magneten B, wobey der Nordpol der Nadel zugekehrt war, gemacht hatte, und der Magnet darauf weggenommen wurde, die Nadel nicht länger auf 0° zeigte, sondern beynahe 1° davon abwich. Dies ließ mich glauben, daß das Lineal während der Arbeit verrückt worden; ich befestigte es daher auf dem Tische, und machte den Versuch von neuem mit dem Südpole voran. Als aber der Versuch zu Ende war, und der Magnet weggenommen wurde, war der Erfolg der nämliche, wie zuvor, nur daß die Nadel jetzt nach der andern Seite von 0° hin abwich. Dies geschah regelmäßig mehrere Male nach einander. Ich vermuthete daher, daß dies von einer Verrückung in der Axe oder den Krümmungen der Nadel durch die ungleiche und schiefe Einwirkung des nächsten Poles des Magneten kommen mußte. Ich nahm daher die Nadel heraus, bestrich sie mit beiden Magneten, und drehte nachher unter dem Versuche abwechselnd den Nordpol und den Südpol voran, um die Nadel nicht so lange der Wirkung des einen Poles allein auszusetzen; und der Erfolg war der obervährte.

Aus diesen Abweichungen der Nadel läßt sich die GröÙe der Wirkung des Magneten auf folgende Art herleiten:

In Fig. 13 sey MN der magnetische Meridian, *ab* eine Magnetnadel, welche einen Winkel mit demselben macht, nämlich $Mcb = w$. Die magnetische Kraft der Erde wirkt auf alle Punkte in der Nadel parallel mit dem magnetischen Meridiane MN; aber da diese Wirkung unter einem schiefen Winkel geschieht, so folgt, daß nur der auf die Nadel senkrechte Theil der Kraft ihre Umdrehung oder Bewegung nach der Linie MN zu bewirkt. Wird nun die magnetische Kraft der Erde $= M$ und die eigenthümliche Kraft der Nadel $= n$ gesetzt, so wird sie gegen MN durch eine Kraft getrieben, deren Moment $= Mnl \cdot \sin v$ ist, wenn *l* eine gewisse Linie bedeutet, deren Länge durch die Länge der Nadel bestimmt ist.

Ferner sey cB eine auf dem magnetischen Meridiane senkrechte Linie, und in derselben liege der lineare Magnet AB. Wenn nun die Anziehung des Magneten AB auf alle Punkte der Nadel *ab* in Direktionen wirkte, welche parallel mit der Linie cB wären, so würde die Kraft, mit welcher der Magnet strebt, die Nadel gegen die Linie cB hinzudrehen, mit dem Sinus des Winkels bcB proportionirt seyn; aber dieses ist nur beinahe richtig, wenn der Abstand cC verglichen mit der GröÙe der Nadel sehr groß ist. Für große Entfernungen kann man also, wenn $K = mnF$ die beschleunigende Kraft des Magneten i (§. 4), die Wirkung des Magneten auf die Nadel $= Kl \cdot \sin bcB = mnlF \cdot \sin bcB = mnlF \cdot \cos Mcb = mnlF \cdot \cos w$ setzen. Aber soll die Nadel im Gleichwichte zwischen der Kraft *K* und der Kraft *M* seyn, so muß $Mnl \cdot \sin w = mnlF \cdot \cos w$ seyn, oder $M \tan w = m \cdot F$; d. i. $\tan w = \frac{m \cdot F}{M}$ *). At

da *m*, welches die eigenthümliche Kraft des Magneten ausdrückt, und welches die magnetische Kraft der Erde ist, beständige GröÙen sind, so sieht man hieraus, daß die Tangenten des Winkels *w* mit der Funktion *F* proportionirt seyn müssen, d. i. wenn man die Tangenten zu den beym ersten

*) Da *n*, oder der Ausdruck für die absolute Kraft der Nadel, auf beiden Seiten vorkommt, fällt es weg, woraus man sieht, daß es gleichgültig ist, und sich einerley Resultat ergibt, ob man eine stärkere oder schwächere Nadel zum Versuche gebraucht.

zweyten Versuche gefundenen Winkeln in den Abständen 11, 10, 9 u. s. w. sucht, so soll das Verhältniß zwischen diesen Tangenten das nämliche seyn, wie zwischen den Werthen von F in der Tabelle in §. 4, sobald eine der neun Formeln den rechten Werth der Größen r und t in der Differentialformel §. 2 enthält. Am leichtesten geschieht die Vergleichung, wenn man, statt der Tangenten der Winkel w , ihre Logarithmen und ebenfalls die Logarithmen der Zahlen in §. 4, oder der Werthe von F nimmt, wie folgende Tabellen zeigen.

Ab- stand a .	Winkel w .		log. vulg. tang w .		Diff. log. vulg. tang. w .		
	Magnet A.	Magnet B.	Magnet A.	Magnet B.	Magnet A.	Magnet B.	Mittel aus A und B.
11	0° 55'	1° 6'	8.18804	8.28332			
10	1 11	1 24	8.31505	8.38809	0.12701	0.10477	0.11589
9	1 58	2 0	8.45507	8.54508	0.26703	0.25976	0.26339
7	3 33	4 15	8.79266	8.87106	0.60462	0.58774	0.59618
5	9 44	11 52	9.23283	9.32248	1.04479	1.03916	1.04197
4	19 14	23 20	9.55861	9.63484	1.55057	1.53152	1.55104

Ab- stand a .	Logarithm. vulg. F .			Different. log. vulg. F .		
	I.	II.	III.	I.	II.	III.
11	7.74528	7.60801	7.52184			
10	7.82652	7.70188	7.60517	0.08324	0.09387	0.08333
9	7.91866	7.79408	7.69742	0.17538	0.18607	0.17558
7	8.15906	8.01475	7.91825	0.39578	0.40672	0.39641
5	8.45056	8.31281	8.21674	0.69328	0.70480	0.69490

Ab- stand a .	Logarithm. vulg. F .			Different. log. vulg. F .		
	IV.	V.	VI.	IV.	V.	VI.
11	7.00509	6.88062	6.78405			
10	7.13017	7.00582	6.90617	0.12508	0.12520	0.12212
9	7.26867	7.14445	7.04805	0.26358	0.26385	0.26400
7	7.60038	7.47663	7.38057	0.59529	0.59601	0.59652
5	8.04930	7.92669	7.83146	1.04421	1.04607	1.04741
4	8.55233	8.23108	8.13682	1.34724	1.35046	1.35277

Ab- stand	Logarithm. vulg. B.			Differenz log. vulg. B.		
	10.	100.	1000.	10.	100.	1000.
1.	0.00000	0.00000	0.00000	0.00000	0.00000	0.00000
2.	0.00007	0.00020	0.00069	0.00007	0.00013	0.00042
3.	0.00015	0.00047	0.00150	0.00008	0.00034	0.00111
4.	0.00024	0.00076	0.00259	0.00009	0.00058	0.00193
5.	0.00033	0.00105	0.00358	0.00010	0.00087	0.00285

In der ersten Tabelle enthält die erste verticallinie den Abstand der Miltelpunkte des Magnetes von dem der Nadel, die beiden folgenden die Abweichungen der Nadel zum magnetischen Meridian für beide Magnete, die beiden folgenden die Logarithmen der Tangenten dieser Winkel, die den $\log. 10$ bis $\log. 1000$ die beiden folgenden enthalten die Differenzen zwischen den Logarithmen der ersten und zweiten Tangente, zwischen dem ersten und dritten, des ersten und zweiten Tangente u. s. w. Diese Zahlen sind die die Logarithmen der Quotienten aller Tangenten, bilden sich für every Tangente des Winkels α für den Abstand a zu $a + 10$, und die diesen Logarithmen entsprechenden Zahlen zeigen, wie viele Male die Tangente von a in jedem Abstände größer ist, als die Tangente von a in dem Abstände a ist u. s. w. wenn der Magnet A . Da also die magnetische Wirkung K mit einem Tangente von α proportional ist, so zeigen die diese Differenzen der Logarithmen entsprechenden Zahlen auch, wie viele Male die magnetische Ausdehnungskraft K in jedem Abstände größer ist, als in dem ersten Abstände a ist u. s. w. So sieht sich für den Magnet A im Abstände 4: daß $\log. \text{vulg. tang } \alpha = \log. \text{ tang } 10^\circ = \log. \text{ tang } 10^\circ 55' = 1.55052$, und für den Magnet B im nämlichen Abstände $\log. \text{ tang } 10^\circ 55' - \log. \text{ tang } 10^\circ = 1.55051$. Die diesen Logarithmen entsprechenden Zahlen sind 35.17 und 35.26, also ist die magnetische Ausdehnung in dem Abstände 4 magnetischer Maßmaße 35.17 mal, 35.26 ungefähr mal so groß, als in dem Abstände von 10 magnetischen Maßen u. s. w.

In der drei folgenden Tabellen zeigt die erste Column den Abstand

die drey folgenden die Logarithmen*) der in §. 4 berechneten Werthe von F für alle neun Formeln an; die drey letzten weisen den Unterschied zwischen dem ersten und allen folgenden Logarithmen. Die Formel, bey welcher diese Logarithmendifferenzen den Differenzen der Logarithmen für die Tangente von w gleich sind, muß diejenige seyn, welche die wahren Wirkungsgesetze des Magneten ausdrückt. Man sieht, daß die Differenzen bey den drey ersten Formeln zu klein, bey den drey letzten zu groß sind; bey den drey mittleren stimmen sie zum Verwundern genau mit den Differenzen der Logarithmen der Tangenten überein. So ist in der 4ten, 5ten und 6ten Formel $\text{diff. log } F$ für den Abstand 4 = 1.34724, 1.35046 und 1.35257, und die entsprechenden Zahlen 22,245, 22,411 und 22,530. Aber oben ward gefunden, daß die Magnetkraft im Abstände 4 22,417 Mal größer war, als im Abstände 11. Man sieht also, daß diese drey Formeln für den Abstand 4 eine 22 Mal größere Kraft geben, als für den Abstand 11; aber daß die Formel 4 ein etwas zu kleines, die Formel 6 ein etwas zu großes Resultat ausweist, wenn man auf die Decimaltheile sieht. Die Formel 5 stimmt mit dem Resultate des Magneten A bis zu den Hunderttheilen überein. Um die Uebereinstimmung dieser drey Formeln (IV., V. und VI.) mit den Gesetzen des Magneten noch deutlicher zu zeigen, habe ich die zu den Logarithmendifferenzen in der ersten und dritten Tabelle gehörigen Zahlen in folgender Tabelle aufgeführt, welche den Zuwachs der magnetischen Intensität nach dem Versuche und nach den Formeln zeigt (die Intensität in dem Abstände 11 als Einheit angenommen).

Ab- stand a .	Zuwachs der Intensität.					
	Nach Beobachtung.			Nach Berechnung.		
	Magnet A.	Magnet B.	Mittel.	Formel IV.	Formel V.	Formel VI.
11	1.000	1.000	1.000	1.000	1.000	1.000
10	1.940	1.273	1.506	1.334	1.334	1.325
9	1.849	1.819	1.834	1.835	1.836	1.836
7	4.024	3.870	3.947	3.938	3.945	3.949
5	11.086	10.944	11.015	11.072	11.119	11.154
4	22.417	22.466	22.441	22.245	22.411	22.530

*) Der Logarithmus von 1 ist hier = 10 anstatt = 0 angenommen, um den negativen Kennziffern zu entgehen; also sollte eigentlich hinter jedem Logarithmus stehen - 10.

§. 6. Um zu erfahren, in wie weit die Länge der Nadel Einfluss auf den Winkel w habe, nahm ich eine Uhrfeder von der Länge eines Decimalzollens, feilte sie spitz an beiden Enden, schlug mit einer Stahlspitze eine Vertiefung in ihre Mitte, und krümmte sie ein wenig, so daß ihr Schwerpunkt unter die Vertiefung fiel. Darauf leimte ich an das andere Ende des erwähnten Lineals eine Papierscheibe, theilte diese in 360° , und errichtete in ihrer Mitte eine feine Spitze, worauf die Uhrfeder, welche magnetisirt war, gelegt wurde.

Die Versuche in §. 5 wurden nun mit diesem Apparat und dem Magneten B wiederholt.

Dritter Versuch.

Abst. $gC = a$	7.0	6.6	6.2	5.8	5.4	5.0	4.0	4.2	3.8	3.6	3.4
Winkel $\left. \begin{array}{l} \text{N. P.} \\ \text{S. P.} \\ \text{Mitt.} \end{array} \right\} \begin{array}{l} \text{ingo} = w \end{array}$	4° 15'	5° 30'	6° 22'	7° 50'	9° 37'	12° 3'	15° 23'	20° 6'	27° 7'	31° 22'	36° 22'
	4 8	4 53	5 45	7 38	9 0	11 0	15 8	19 38	27 15	30 55	36 8
	4° 11'	5° 11'	6° 3'	7° 34'	9° 18'	11° 31'	15° 15'	19° 52'	27° 11'	31° 7'	36° 15'
Abst. $gC = a$	3.2	3.0	2.8	2.6	2.4	2.2	2.0	1.8	1.6	1.4	
Winkel $\left. \begin{array}{l} \text{N. P.} \\ \text{S. P.} \\ \text{Mitt.} \end{array} \right\} \begin{array}{l} \text{ingo} = w \end{array}$	42° 7'	48° 53'	55° 52'	62° 55'	69° 26'	75° 56'	81° 3'	84° 30'	88° 7'	89° 45'	
	42 8	48 23	55 30	62 38	69 41	75 41	80° 41'	85 0	88 0	90 15	
	42° 7'	48° 37'	55° 41'	62° 45'	69° 33'	75° 48'	80° 52'	84° 45'	88° 3'	90° 0	

Die nördliche Spitze der Nadel gab beständig den Winkel w um $1\frac{1}{2}^\circ$ bis 2° größer an, als die südliche; der Mittelpunkt muß also etwas außerhalb der geraden Linie gelegen haben, welche die Endpunkte verbindet. Die hier angeführten Winkel sind die Mittelzahl zwischen beiden Ablesungen.

Vergleichen man nun diese Werthe des Winkels w mit den Werthen im ersten Versuche §. 5, so sieht man, daß die Differenzen nicht größer sind, als daß sie sich vollkommen aus Fehlern in der Ablesung beim dritten Versuche erklären lassen. Wenn der Abstand nicht kleiner wird als 4, so scheint also die Länge der Nadel keinen merklichen Einfluss auf den Winkel w zu haben.

Um die durch beide Nadeln gefundene Größe des Winkels w auch in kleineren Abständen vom Magneten vergleichen zu können, ward der Compas wie in §. 5 auf das Lineal gesetzt, wie auch der Magnet B auf die Linie tr

mit dem Nordpole P gegen den Mittelpunkt g der Nadel gelegt, und folgende Winkel beobachtet.

Vierter Versuch.

a =	4.0	3.8	3.6	3.4	3.2	3.0	2.8	2.6	2.4	2.2	2.0
mgo = w	22° 7'	26° 1'	31° 1'	36° 1'	43° 0'	50° 1'	58° 1'	66° 1'	73° 1'	80° 0'	85° 0'
	22° 53'	26° 30'	31° 15'	36° 45'	43° 06'	50° 50'	58° 50'	66° 15'	73° 45'	80° 00'	85° 00'

Hier sieht man, daß vom Abstände 3 bis zum Abstände 2 die größere Nadel beständig den Winkel w größer angab, als die kleinere, so daß der Unterschied an letzterer Stelle über 4° ist.

Berechnet man nun die Funktion F nach den Formeln IV., V. und VI., so findet man

	nach Formel	IV.	V.	VI.
für $a = 3.0$, $F =$	0,056853	0,043302	0,035026	
für $a = 2.0$, $F =$	0,234721	0,182605	0,149986	

Behandelt man nun die Winkel im dritten Versuche auf dieselbe Weise, wie in §. 5, so erhält man folgende Resultate*):

Ab- stand a .	Magnet B.			log. vulg. F .			Diff. log. vulg. F .		
	Wink. kel w .	log. tang. w .	diff. log. tang. w .	IV.	V.	VI.	IV.	V.	VI.
11	1° 6'	8.28332	0.00000	7.00509	6.88062	6.78405	0.00000	0.00000	0.00000
3	48 37	10.05497	1.77165	8.75475	8.63651	8.54439	1.74966	1.75589	1.76034
2	80 52	10.70379	2.51047	9.37055	9.26151	9.17505	2.36546	2.58089	2.59100

Hieraus ersieht man, daß $\log \frac{\tan 48^\circ 37'}{\tan 1^\circ 6'} = 10.05497 - 8.28332 = 1.77165$; also $\frac{\tan 48^\circ 37'}{\tan 1^\circ 6'} = 59.109$, d. i. die magnetische Anziehung ist in dem Abstände von drey Halbaxen des Magneten 59 Mal größer, als in dem Abstände 11; aber die Formel IV. giebt 56,191, die Formel V. 57,002, und

*) Winkel w für $a = 11$ ist hier aus dem ersten Versuche entlehnt.

die Formel VI. 57,589. Auf dieselbe Weise findet man, daß im Abstände 2 die Kraft 323,94 Mal größer sey als im Abstände 11; aber Formel IV. giebt 231,99, Formel V. 240,58 und Formel VI. 246,04. Hier geben alle drey Formeln ein zu kleines Resultat; aber hieraus läßt sich wohl nichts anders schliessen, als daß der Abstand a hier zu geringe sey, um die Wirkung des Magneten so ansehen zu können, als geschähe sie auf alle Punkte der Nadel unter gleichen Winkeln und mit gleicher Intensität.

§. 7. Die Resultate dieser Versuche sind demnach: daß, wenn man in der Differenzialformel $K = mn \left(\int \frac{x^r dx}{(a-x)^t} - \int \frac{x^r dx}{(a+x)^t} \right)$ (§. 2) $t = 1$, oder $t = 3$ setzt, die durch den ersten Ausdruck gefundenen Formeln ein zu langsames, hingegen die durch den letzten gefundenen ein zu schnelles Zunehmen der magnetischen Anziehung geben. Setzt man aber $t = 2$, so drücken die durch diesen Werth von t gefundenen Formeln sehr genau den Zuwachs der Magnetkraft in verschiedenen Abständen aus. Es ist also bewiesen, daß die Anziehungskraft, mit welcher zwey magnetische Punkte auf einander wirken, in umgekehrtem Verhältnisse der Quadraten des Abstandes steht, welches das erste Elementargesetz für die magnetische Wirkung ist.

Was das zweyte Elementargesetz betrifft, oder die Zunahme der Kraft in der Magnetaxe vom magnetischen Mittelpunkte nach beiden Polen zu, oder den Werth von r , so scheint es, als ob $r = 2$ den Zuwachs der magnetischen Wirkung am genauesten ausdrückte, oder, daß die Kraft in der Axe nach den Quadraten der Abstände vom Mittelpunkte zunähme; d. i. Jedes Punktes absolute Intensität ist proportionirt mit dem Quadrate seines Abstandes vom magnetischen Mittelpunkte.

§. 8. In §. 5 ward gezeigt, daß, bezeichnet M die magnetische Kraft der Erde, womit sie eine horizontale Nadel gegen den magnetischen Meridian drehet; w den Winkel, um welchen diese Nadel von dem magnetischen Meridiane durch Einwirkung eines Magneten abweicht, der in eine durch den Mittelpunkt der Nadel auf den magnetischen Meridian perpendicular gezogene Linie gelegt wird; m die absolute Kraft des Magneten (die Kraft des Punktes in der Axe, dessen Abstand vom magnetischen Mittelpunkte $= 1$); und

die Funktion, womit m multiplicirt werden mußte, um die gesammte Wirkung des Magneten zu geben: alsdann $M \cdot \tan w = m \cdot F$; also $\frac{M}{m} = \frac{F}{\tan w}$ sey.

Da aber M und m unveränderliche Größen sind, so muß F dividirt mit $\tan w$ einen beständigen Quotienten $= \frac{M}{m}$ für alle Abstände geben. Folgende Ta-

belle enthält eine solche Vergleichung zwischen $\tan w$ und der Funktion F , nach der 4ten und 5ten Formel berechnet.

Abstand a .	Winkel w .		Formel IV.						Formel V.					
	Magnet.		log F .	$\frac{M}{m} = \frac{F}{\tan w}$		Winkel w berechnet.		log F .	$\frac{M}{m} = \frac{F}{\tan w}$		Winkel w berechnet.		log F .	log F .
	A.	B.		A.	B.	A.	B.		A.	B.	A.	B.		
12.8	0° 35'	0° 40'	6.80414	0.062565	0.054745	0° 34'	0° 41'	6.68063	0.047079	0.041193	0° 34'	0° 41'	6.68063	0.047079
11.0	0 53	1 6	7.00505	0.065617	0.052691	0 53	1 5	6.87821	0.048997	0.039345	0 53	1 5	6.87821	0.048997
10.0	1 11	1 24	7.13014	0.065327	0.055215	1 11	1 27	7.00288	0.048734	0.041190	1 10	1 26	7.00288	0.048734
9.0	1 38	2 0	7.28669	0.065106	0.053163	1 37	1 59	7.14635	0.049111	0.040103	1 38	2 0	7.14635	0.049111
8.6	1° 52'	2° 15'	7.33854	0.065379	0.054333	1° 52'	2° 17'	7.20368	0.049043	0.040682	1° 52'	2° 17'	7.20368	0.049043
8.2	2 7	2 39	7.39132	0.066620	0.053198	2 9	2 38	7.26773	0.050119	0.040033	2 9	2 38	7.26773	0.050119
7.8	2 30	3 6	7.45726	0.065640	0.052918	2 30	3 4	7.33403	0.049424	0.039845	2 31	3 4	7.33403	0.049424
7.4	3 57	3 37	7.52637	0.065282	0.053225	2 56	3 36	7.40350	0.049139	0.040063	2 57	3 36	7.40350	0.049139
7.0	3° 33'	4° 15'	7.60037	0.064226	0.053618	3° 29'	4° 15'	7.47674	0.048315	0.040335	3° 29'	4° 16'	7.47674	0.048315
6.6	4 9	5 6	7.67832	0.065721	0.053430	4 10	5 5	7.55503	0.049472	0.040230	4 11	5 6	7.55503	0.049472
6.2	5 0	6 11	7.76148	0.065997	0.053246	5 2	6 9	7.63827	0.049696	0.040131	5 3	6 10	7.63827	0.049696
5.8	6 7	7 38	7.85036	0.066117	0.052868	6 10	7 32	7.72937	0.050041	0.040013	6 14	7 35	7.72937	0.050041
5.4	7° 42'	9° 20'	7.94592	0.065303	0.053721	7° 40'	9° 22'	7.82338	0.049248	0.040514	7° 43'	9° 24'	7.82338	0.049248
5.0	9 43	11 52	8.04928	0.065332	0.053312	9 43	11 49	7.92665	0.049411	0.040195	9 45	11 52	7.92665	0.049411
4.8	11 4	13 33	8.10430	0.065985	0.052755	10 59	13 21	7.98213	0.049067	0.039821	11 3	13 25	7.98213	0.049067
4.6	12 31	15 20	8.16186	0.065389	0.052941	12 30	15 10	8.03985	0.049374	0.039975	12 34	15 15	8.03985	0.049374
4.4	14° 20'	17° 30'	8.22217	0.065276	0.052900	14° 17'	17° 18'	8.10045	0.049321	0.039970	14° 23'	17° 34'	8.10045	0.049321
4.2	16 26	20 8	8.28556	0.065435	0.052646	16 25	19 49	8.16411	0.049472	0.039803	16 32	19 56	8.16411	0.049472
4.0	19 4	23 20	8.35232	0.065121	0.052177	18 57	23 48	8.23106	0.049255	0.039466	19 6	23 56	8.23106	0.049255
3.8	22 15	26 56	8.42291	0.064725	0.052130	22 0	26 19	8.30222	0.049031	0.039473	22 11	26 30	8.30222	0.049031
3.6		31° 31'	8.49777		0.051309	25° 38'	30° 26'	8.37756		0.038901	25° 53'	30° 40'	8.37756	
3.4		36 15	8.57753		0.051557	27 45	35 13	8.45789		0.038434	30 27	35 30	8.45789	
3.2		43 7	8.66289		0.050896	32 38	40 40	8.54389		0.037848	35 26	41 1	8.54389	
3.0		48 37	8.75475		0.050094	38 21	46 43	8.63651		0.038311	41 23	47 6	8.63651	

Die drey ersten vertikalen Columnen in dieser Tabelle enthalten die in dem ersten und zweyten Versuche (§ 5) gefundenen Winkel w^*) mit dem Ab-

^{*)} Doch sind die drey letzten Winkel w für $a = 3.4$, 3.2 und 3.0 aus dem dritten Versuche in §. 6 genommen.

Abstände des Mittelpunktes des Magneten vom Mittelpunkte der Nadel; die nächste enthält den Logarithmus der Funktion, nach der 4ten Formel berechnet, (doch muß von der Kennziffer jedes Logarithmus 10 abgezogen werden). Die Zahlen in den beiden folgenden Columnen sind gefunden, indem F mit $\tan w$ dividirt ist, z. B. im Abstände 7 ist:

$$\begin{aligned}\log. \text{ vulg. } F &= 7.60037 - 10 \\ \log. \text{ vulg. } \tan. 4^\circ 15' &= 8.87106 - 10 \\ \hline \log \frac{F}{\tan w} &= 8.72931 - 10.\end{aligned}$$

Die zu diesem Logarithmus gehörige Zahl ist 0,053618, welche in der mit B bezeichneten Columnne für den Abstand $a = 7$ gefunden wird. Man sieht, daß diese Quotienten ziemlich übereinstimmend sind, und daß sie erst in kleinen Abständen anfangen je kleiner und kleiner zu werden. Nimmt man eine Mittelzahl der 14 ersten bis zum Abstand $a = 5.0$, in der zweyten

mit B bezeichneten Columnne, so bekommt man $\frac{M}{m} = \frac{F}{\tan w} = 0,05355$ für

den Magneten B. Nimmt man gleichfalls eine Mittelzahl der 15 ersten (die erste für den Abstand $a = 12.8$ ausgenommen, wo der Winkel w beyr Versuch etwas zu groß genommen ist), in der ersten mit A bezeichneten Co-

lumne, so erhält man für den Magneten A; $\frac{M}{m'} = \frac{F}{\tan w'} = 0,06555$. Nu-

ist $\tan w = F: \frac{M}{m} = \frac{F}{0,05355} = F \times 18,674$ für den Magneten B; u

$\tan w' = F: \frac{M}{m'} = \frac{F}{0,06555} = F \times 13,915$ für den Magneten A. N

kann also, wenn der Werth $\frac{M}{m}$ durch Versuche gefunden ist, den Winke in jedem beliebigen Abstände berechnen, wenn man nur im Voraus den W von F für denselben Abstand berechnet; z. B. für $a = 11$.

Magnet A.		Magnet B.	
$\log F = 7.00505 - 10$		$\log F = 7.00505 - 10$	
$\log \frac{m'}{M} = \log 13.913 = 1.14343$		$\log \frac{m}{M} = \log 18.674 = 1.27124$	
$\log. \tan w' = 8.14848 - 10$		$\log. \tan w = 8.27629 - 10.$	

In dem Abstände $a = 11$ ergibt sich also für den Magneten A, $w' = 0^\circ 53' 3''$, und für den Magneten B, $w = 1^\circ 4' 56''$, fast ganz wie der Versuch sie gegeben hat. Die zwey folgenden Columnen in der Tabelle enthalten die auf diese Weise berechneten Winkel w und w' für beide Magneten.

Die fünf folgenden Columnen enthalten das nämliche wie die vorhergehenden, nur dafs hier alles nach der Formel V. berechnet ist. Die Mittelzahl der 16 ersten Quotienten $F : \tan w$ für den Magneten A wird hier $= 0,049142$; derselben für den Magneten B $= 0,040229$. Auch hier scheint die Formel V. den Winkel w etwas genauer zu geben; zumal in den geringeren Abständen, wo die Formel IV. ihn etwas zu klein giebt. Die grofse Gleichförmigkeit in den Quotienten $F : \tan w$ und die vollkommene Uebereinstimmung zwischen den *a priori* berechneten und den durch Versuche gefundenen Winkeln w (die in geringern Abständen ausgenommen) scheinen demnach unwidersprechlich zu beweisen, dafs eine dieser Formeln wirklich das Gesetz für die magnetische Anziehungskraft ausdrückt, wobey die Wahrscheinlichkeit wieder für die Formel V. ist.

1. Zusatz. Ist $\tan w = \frac{m}{M} \cdot F$ für den Magneten B, und $\tan w' = \frac{m'}{M} \cdot F$ für den Magneten A (wo w und w' die Winkel bedeuten, um welche die Nadel vom Meridian abweicht, wenn der Abstand des Mittelpunktes beider Magneten vom Mittelpunkte der Nadel $= a$ war), so ist $\tan w : \tan w' = \frac{m}{M} \cdot F : \frac{m'}{M} \cdot F = m : m'$, oder $\frac{\tan w}{\tan w'} = \frac{m}{m'}$. Auf diese Weise kann man also das Verhältnifs zwischen den absoluten Kräften zweyer Magneten bestimmen, z. B. für $a = 6.6$ war $w = 5^\circ 6'$ (für B) und $w' = 4^\circ 9'$ (für A); also $\log. \frac{\tan w}{\tan w'} = 8.95060 - 8.86069 = 0,08991 = \log \frac{m}{m'}$; folglich $\frac{m}{m'}$

$\approx 1,23$, d. i. die Kraft des Magneten B verhält sich zur Kraft des Magneten A $\approx 1:1,23$. Genauer wird man dies Verhältniß bestimmen können, wenn man die Winkel w und w' in mehreren Abständen a beobachtet, und eine Mittelzahl aus allen Verhältnißzahlen $\frac{m}{m'}$ nimmt. So fand man oben $\tan w = F \times 18,674$ (für den Magneten B) und $\tan w' = F \times 15,913$ (für den Magneten A); also $\frac{\tan w}{\tan w'} = \frac{18,674}{15,913} = 1,2241$, welches genauer ist.

2. Zusatz. An verschiedenen Orten der Erde ist die Magnetkraft M verschieden, ja vermuthlich gar an einer und derselben Stelle zu verschiedenen Zeiten verschieden. Hat man nun an einem gewissen Orte L , wo die Intensität des Erdmagnetismus $\approx M$ ist, den Abweichungswinkel w in dem Abstände a beobachtet; und man beobachtet darnach an einem andern Orte L' , wo die magnetische Kraft $\approx M'$ ist, in dem nämlichen Abstände a den Abweichungswinkel der Nadel $\approx w'$ (mit dem nämlichen Magneten), so ist $M \cdot \tan w = m \cdot F$ und $M' \cdot \tan w' = m \cdot F$. Da aber der Abstand a und der Magnet an beiden Stellen die nämlichen sind, so ist $M \cdot \tan w = M' \cdot \tan w'$, d. h. $M:M' = \tan w':\tan w$. Auf diese Weise kann man also das Verhältniß zwischen den magnetischen Intensitäten M und M' zweyer Orte L und L' finden.

Um diese Veränderungen in der Magnetkraft der Erde in verschiedenen Breiten zu bestimmen, haben *Humboldt* und *Gay-Lussac**) sich einer horizontalen Magnetnadel bedient, welche sie in einer gewissen Anzahl Sekunden schwingen ließen, und haben geschlossen, daß die Magnetkraft mit dem Quadrate der Anzahl der Schwingungen proportionirt sey. Aber außer, daß eine Magnetnadel ihre Kraft leichter verliert, als ein künstlicher Magnet, der eine größere Masse hat und dem man eine größere Härtung geben kann, so hat diese Methode noch folgende Schwierigkeiten. Soll das Resultat genau seyn, so muß man die Nadel viele Schwingungen machen, und sie also Anfangs in

*) Siehe Beobachtungen über die Stärke und Neigung der magnetischen Kräfte u. s. w. von Humboldt und Gay-Lussac. Ann. der Physik, Jahrg. 1808, St. 3.

großen Bogen schwingen lassen; aber dann sind die Schwingungen nicht isochronisch; der Widerstand der Luft und die Friction verzögern die Schwingungen; die Nadel schwingt nicht in einer Ebene, wie der Pendul, sondern ihre Endpunkte beschreiben Linien von doppelter Krümmung (*à double courbure*), und die Oscillation kann also nicht mit aller Strenge auf die Pendelschwingung zurückgeführt werden; endlich muß man zu diesem Versuche auch eine Sekunden-Uhr bey der Hand haben. Zu der hier angeführten Methode hingegen wird nur ein gewöhnlicher Compas und ein guter Magnet erfordert (auf die Stärke der Nadel kommt es bey dieser Methode nicht an nach §. 5), und da man den Versuch in mehreren verschiedenen Abständen vom Magneten vornehmen kann, so giebt die herausgekommene Mittelzahl ein sehr zuverlässiges Resultat.

§. 9. Problem. Die Größe der Wirkung eines Linearmagneten auf einen magnetischen Punkt zu bestimmen, welcher sich in einer durch dessen Mittelpunkt gezogenen Perpendikulärlinie oder in seinem Aequator befindet.

AB (Fig. 14) sey der Magnet, C dessen Mittelpunkt, DC senkrecht auf AB durch den Punkt C, D der magnetische Punkt. Da $AD = DB$, so wirken die Punkte A und B mit gleicher Stärke auf D, wenn ihre absoluten Kräfte gleich groß gesetzt werden. B zieht den Punkt D nach der Linie BD an, und A stößt ihn nach der Direktion DH mit einer gleich großen Kraft ab, der Punkt D wird sich also (im ersten Augenblicke der Bewegung) in einer Linie DG bewegen, welche den Winkel HDB halbt, also parallel mit dem Magneten AB (da $HDB = A + B = 2B$, also $\frac{1}{2}HDB$ oder $GDB = B$). Die Kraft, womit der Punkt B den Punkt D nach DG zu bewegen strebt, ist also gleich der ganzen Kraft nach DB, multiplicirt mit dem Cosinus des Winkels GDB.

Nun setze man $CB = CA = x$, $DC = a$, Winkel $BDC = s$; die absolute Kraft eines Punktes in der Axe, dessen Abstand von C $= 1$, sey $= m$, und die des Punktes D $= n$: so ist die absolute Kraft des Punktes B $= mx^r dx$ (nach §. 2), und also die Wirkung des Punktes B auf den Punkt D nach DB $= \frac{mnx^r dx}{DB^2}$ (nach §. 7), und die Wirkung nach DG $= \frac{mnx^r dx}{DB^2} \times \cos GDB$.

Aber $BD^2 = DC^2 + CB^2 = x^2 + a^2$, $\cos GDB = \sin BDC = \sin s$; also die Wirkung des Punktes B nach DG $= \frac{mnx^r dx \cdot \sin s}{a^2 + x^2}$. Nun ist die Wirkung des Punktes A gerade eben so groß; setzt man also die gesammte Wirkung aller Punkte in der Axe $= K'$, so hat man

$$K' = 2mn \cdot \int \frac{x^r dx \cdot \sin s}{a^2 + x^2}.$$

Die Linie DB ist $= DC \times \sec. BDC = a \cdot \sec. s$; ferner ist $BC = x = a \cdot \tan s$; folglich $dx = a \cdot d \tan s$, folglich

$$K' = 2mn \int \frac{a^{r+1} (\tan s)^r \cdot d \tan s \cdot \sin s}{a^2 \cdot \sec^2 s} = 2mn a^{r-1} \int \frac{(\tan s)^r \cdot d \tan s \cdot \sin s}{\sec^2 s}.$$

Aber da $d \tan s = ds \cdot \sec^2 s$, so verwandelt sich dieser Ausdruck in folgenden:

$$\begin{aligned} 2mn a^{r-1} \int (\tan s)^r \cdot ds \cdot \sin s &= 2mn a^{r-1} \int \frac{(\sin s)^{r+1} \cdot ds}{(\cos s)^r} \\ &= 2mn a^{r-1} \int \frac{(\sin s)^{r+1} \cdot d \sin s}{(\cos s)^{r+1}}. \end{aligned}$$

Setzet man $\sin s = z$, also $(\cos s)^{r+1} = \sqrt{(1-z^2)^{r+1}}$; so hat man

$$K' = 2mn a^{r-1} \cdot \int \frac{z^{r+1} \cdot dz}{\sqrt{(1-z^2)^{r+1}}}.$$

Für $r = 1$ hat man dann $K' = 2mn \int \frac{z^2 \cdot dz}{\sqrt{(1-z^2)^2}} = 2mn \int \frac{z^2 dz}{1-z^2}$.

Nun ist $\int \frac{z^2 dz}{1-z^2} = -z + \frac{1}{2} \log \left(\frac{1+z}{1-z} \right) = -\sin s + \frac{1}{2} \log \left(\frac{1+\sin s}{1-\sin s} \right)$, also

$$\begin{aligned} (*) K' &= mn \left\{ \log \left(\frac{1+\sin s}{1-\sin s} \right) - 2 \cdot \sin s \right\} = mn \left\{ \log \tan^2 (45^\circ + \frac{1}{2}s) - 2 \sin s \right\} \\ &= 2mn \left\{ \log. \tan (45^\circ + \frac{1}{2}s) - \sin s \right\}. \end{aligned}$$

Für $r = 2$ ist $K' = 2mna \int \frac{z^3 dz}{\sqrt{(1-z^2)^3}}$; aber $\int \frac{z^3 \cdot dz}{\sqrt{(1-z^2)^3}} = \sqrt{1-z^2}$

$$+ \frac{1}{\sqrt{1-z^2}} = \cos s + \frac{1}{\cos s} + C, \text{ und folglich } K' = 2amn \left\{ \cos s + \frac{1}{\cos s} + C \right\}.$$

Setzt man $BC = x = 0$, so wird auch $K' = 0$, und der Winkel $BDC = s$ verschwindet, folglich $\cos s = 1$; also hat man $0 = 2amn \{1 + 1 + C\}$, d. i. $C = -2$, und

$$(\beta) \quad K' = 2amn \left\{ \cos s + \frac{1}{\cos s} - 2 \right\} = 2amn \{ \cos s + \sec s - 2 \}.$$

Für $r = 3$ ist $K' = 2mn a^2 \int \frac{z^4 dz}{\sqrt{(1-z^2)^4}} = 2a^2 mn \int \frac{z^4 dz}{(1-z^2)^2}$; Aber
 $\int \frac{z^4 dz}{(1-z^2)^2} = \frac{-z^3}{1-z^2} + \frac{3z}{1-z^2} - \frac{3z}{2(1-z^2)} - \frac{1}{4} \log \left(\frac{1+z}{1-z} \right)$, also
 $K' = 2a^2 mn \left\{ \frac{3z}{2(1-z^2)} - \frac{z^3}{1-z^2} - \frac{1}{4} \log \left(\frac{1+z}{1-z} \right) \right\}$, und wenn man die
 Werthe für z einsetzt, erhält man nach einigen Reductionen

$$(\gamma) \quad K' = mn a^2 \left\{ 2 \sin s + \frac{\sin s}{\cos^2 s} - 3 \log \tan \left(45^\circ + \frac{1}{2}s \right) \right\}.$$

§. 10. Um den Gebrauch der Formeln IV., V. und VI. in §. 4, (welche wir künftig mit a , b und c bezeichnen wollen), wie auch der Formeln α , β und γ in §. 7 zu erleichtern, wollen wir sie in unendlichen Reihen ausdrücken, wovon ein Paar Glieder in großen Abständen eine hinlängliche Genauigkeit geben.

Nun ist in der verlängerten Magnetaxe nach §. 7 (pag. 136) die Kraft

$$K = mn \left\{ \int \frac{x^r dx}{(a-x)^2} - \int \frac{x^r dx}{(a+x)^2} \right\} = mn \int x^r dx \{ (a-x)^{-2} - (a+x)^{-2} \}.$$

Aber

$$(a-x)^{-2} = \frac{1}{a^2} + \frac{2x}{a^3} + \frac{3x^2}{a^4} + \frac{4x^3}{a^5} + \frac{5x^4}{a^6} + \frac{6x^5}{a^7} + \frac{7x^6}{a^8} + \frac{8x^7}{a^9} + \dots$$

$$(a+x)^{-2} = \frac{1}{a^2} - \frac{2x}{a^3} + \frac{3x^2}{a^4} - \frac{4x^3}{a^5} + \frac{5x^4}{a^6} - \frac{6x^5}{a^7} + \frac{7x^6}{a^8} - \frac{8x^7}{a^9} + \dots$$

$$\begin{aligned} (a-x)^{-2} - (a+x)^{-2} &= 2 \left\{ \frac{2x}{a^3} + \frac{4x^3}{a^5} + \frac{6x^5}{a^7} + \frac{8x^7}{a^9} + \frac{10x^9}{a^{11}} + \frac{12x^{11}}{a^{13}} + \dots \right\} \\ &= 4 \left\{ \frac{x}{a^3} + \frac{2x^3}{a^5} + \frac{3x^5}{a^7} + \frac{4x^7}{a^9} + \frac{5x^9}{a^{11}} + \frac{6x^{11}}{a^{13}} + \dots \right\} \end{aligned}$$

Multiplieirt man diese Reihe durch $mnx^r dx$, und nimmt das Integrale, so erhält man:

$$(A) \quad K \equiv 4mn \left\{ \frac{1}{r+2} \cdot \frac{x^{r+2}}{a^3} + \frac{2}{r+4} \cdot \frac{x^{r+4}}{a^5} + \frac{5}{r+6} \cdot \frac{x^{r+6}}{a^7} + \dots \right\}$$

In der Perpendikulärlinie durch den Mittelpunkt oder in dem magnetischen Aequator ist (nach §. 9) $K' = 2mn \cdot \int \frac{x^r \cdot dx \cdot \sin s}{a^2 + x^2}$; aber $\sin s = \frac{BC}{BD} = \frac{x}{\sqrt{a^2 + x^2}}$; also ist

$$K' \equiv 2mn \cdot \int \frac{x^{r+1} \cdot dx}{(a^2 + x^2)^{\frac{3}{2}}}$$

Nun ist

$$(a^2 + x^2)^{-\frac{3}{2}} = \frac{1}{a^3} - \frac{3}{1 \cdot 2^1} \cdot \frac{x^2}{a^5} + \frac{3 \cdot 5}{1 \cdot 2 \cdot 2^2} \cdot \frac{x^4}{a^7} - \frac{3 \cdot 5 \cdot 7}{1 \cdot 2 \cdot 3 \cdot 2^3} \cdot \frac{x^6}{a^9} + \dots$$

also

$$\frac{x^{r+1} dx}{(a^2 + x^2)^{\frac{3}{2}}} = dx \left\{ \frac{x^{r+1}}{a^3} - \frac{3}{1 \cdot 2^1} \cdot \frac{x^{r+3}}{a^5} + \frac{3 \cdot 5}{1 \cdot 2 \cdot 2^2} \cdot \frac{x^{r+5}}{a^7} - \frac{3 \cdot 5 \cdot 7}{1 \cdot 2 \cdot 3 \cdot 2^3} \cdot \frac{x^{r+7}}{a^9} + \dots \right\};$$

das Integral dieser Reihe, mit $2mn$ multiplicirt, ist also

$$(B) \quad K' = 2mn \left\{ \frac{1}{r+2} \cdot \frac{x^{r+2}}{a^3} - \frac{1 \cdot 3}{1 \cdot 2^1 (r+4)} \cdot \frac{x^{r+4}}{a^5} + \frac{1 \cdot 3 \cdot 5}{1 \cdot 2 \cdot 2^2 (r+6)} \cdot \frac{x^{r+6}}{a^7} - \dots \right\}$$

Diese zwey Reihen (A) und (B) drücken ganz allgemein die magnetische Wirkung in der verlängerten Axe und im magnetischen Aequator aus, wenn die Intensitäten der Punkte in der Magnetaxe sich verhalten, wie die r ten Potenzen der Entfernungen vom Mittelpunkte. Weil der Werth von r das einzige noch zweifelhafte Gesetz der magnetischen Wirkungen ist, so müssen alle die Folgerungen, welche man aus diesen allgemeinen Reihen ableiten kann, für alle Werthe von r gelten, und also wahr seyn. Man sieht, daß, wenn der Abstand a in Vergleich mit x (der Halbaxe des Magneten) sehr groß ist, alle übrigen Glieder dieser Reihen gegen das erste verschwinden. In der Reihe (A) erhält man dann $K = \frac{4mn}{r+2} \cdot \frac{x^{r+2}}{a^3}$, und in (B) $K' = \frac{2mn}{r+2} \cdot \frac{x^{r+2}}{a^3}$.

Hieraus folgt 1) daß, wenn die Entfernung a vom Mittelpunkte des Magneten

Zusatz. In *Gehlers physik. Wörterbuche* wird unter dem Artikel *Magnet* erzählt, daß P. P. *Jacquier* und *Le Sueur* die GröÙe der Anziehung zwischen einem Magneten und einer Magnetnadel untersuchten, und zu finden glaubten, daß sie sich umgekehrt wie die Cubi der Entfernungen verhielte, welches die Versuche Mehrerer bestätigt zu haben scheinen. Man sieht hier die Theorie dieses für groÙe Entfernungen bekräftigen. Soll sich nun die Anziehungskraft umgekehrt wie die Cubi der Entfernungen verhalten, so müssen die mit der Anziehungskraft proportionirten Tangenten der Winkel w (in den Versuchen 1 — 2) sich ebenfalls umgekehrt wie die Cubi der Entfernungen verhalten, welches auch der Fall ist. Im ersten Versuche sind z. B. in den Entfernungen 11, 10 und 9 die Winkel $w = 1^\circ 6', 1^\circ 24', 2^\circ 0'$; aber $\text{tang } 1^\circ 6' : \text{tang } 1^\circ 24' : \text{tang } 2^\circ 0' = 0,01920 : 0,02444 : 0,03492 = 1 : 1,2728 : 1,8187$. Aber $9^3 : 10^3 : 11^3 = 729 : 1000 : 1331 = 1 : 1,3718 : 1,8259$, ungefähr wie die drey zugehörigen Tangenten von w .

§. 11. Was den Gebrauch der Formeln und Reihen in §. 10 betrifft, so sieht man, daß die letzten nur bey groÙen Entfernungen bequem sind; in kleinen Abständen bedient man sich leichter der Formeln.

1 Ex. Die magnetische Wirkung in der verlängerten Axe und in der auf derselben errichteten Perpendikulärlinie durch den Mittelpunkt, für den Abstand $a = 2x$ nach den Formeln b und β zu berechnen.

In der Formel b ist $K = mn \left\{ \frac{2ax^2}{a^2 - x^2} - 2a \log \left(\frac{a^2}{a^2 - x^2} \right) \right\}$; setzt man

$$x = 1, a = 2, \text{ so ist } \frac{a^2}{a^2 - x^2} = \frac{4}{3}, \frac{2ax^2}{a^2 - x^2} = \frac{4}{3}$$

$$\text{Nun ist } \log. \text{ nat. } 4 = 1.3862944$$

$$\log. \text{ nat. } 3 = 1.0986123$$

$$\text{Also } \log. \text{ nat. } \left(\frac{a^2}{a^2 - x^2} \right) = 0.2876821$$

$$\text{multipl. mit } 2a = - - - 4$$

$$= 1.1507284$$

$$\frac{2ax^2}{a^2 - x^2} = \frac{4}{3} = + 1.3333335$$

$$\text{Also ist } K = mn \times 0.1826049$$

In der Formel β ist $K' = 2amn (\cos s + \sec s - 2)$. Setzet man $x = 1$, $a = 2$, so findet sich $s = 26^\circ 55' 54'', 2$.

$$\text{Nun ist } \cos s = 0.8944272$$

$$\sec s = 1.1180339$$

$$+ 2.0124611$$

$$- 2$$

$$0.0124611$$

$$\text{Multipl. durch } 2a = 4$$

$$\text{Also } K' = mn \times 0.0498444$$

2 Ex. Die nämliche Wirkung K und K' für den Abstand $a = 10x$ nach den Reihen b und β zu berechnen.

In der Reihe b hat man $K = mn \left\{ \frac{x^4}{a^3} + \frac{4x^6}{5a^5} + \frac{5x^8}{2a^7} + \right\}$; setzet man $x = 1$ und $a = 10$, so erhält man

$$K = mn \left(\frac{1}{1000} + \frac{4}{100000} + \frac{5}{20000000} \right) = mn (0,001 + 0,00001355 + 0,00000015) = mn \times 0,00101348.$$

In der Reihe β hat man $K' = mn \left\{ \frac{x^4}{2a^3} - \frac{x^6}{2a^5} + \frac{15x^8}{32a^7} - \right\}$; setzet man auch hier $x = 1$, $a = 10$, so erhält man

$$K' = mn \left(\frac{1}{2000} - \frac{1}{200000} + \frac{15}{120000000} \right) = mn (0,0005 - 0,000005 + 0,00000005) = mn \times 0,00049505.$$

Auf diese Weise sind die Zahlen in der folgenden Tabelle berechnet.

Ab- stand a .	Intensität in der verl. Axe.			Intensit. im magn. Aequat.		
	a .	b .	c .	α .	β .	γ .
1	unendl.	unendl.	unendl.	0,3485340	0,2426408	0,1804166
2	0,2347211	0,1826049	0,1499868	0,0679961	0,0498444	0,0390232
3	0,0568528	0,0433018	0,0350261	0,0224448	0,0166530	0,0132417
4	0,0225076	0,0170252	0,0137034	0,0098625	0,0073557	0,0058627
5	0,0112017	0,0084467	0,0067846	0,0051477	0,0038464	0,0030635
6	0,0063849	0,0048048	0,0038555	0,0029110	0,0022523	0,0017986
7	0,0039846	0,0029966	0,0024020	0,0019047	0,0014286	0,0011413
8	0,0026541	0,0019920	0,0015980	0,0012840	0,0009616	0,0007683
9	0,0018564	0,0013946	0,0011170	0,0009057	0,0006784	0,0005423
10	0,0013495	0,0010134	0,0008057	0,0006607	0,0004950	0,0003986
11	0,0010118	0,0007597	0,0006082	0,0005009	0,0003756	0,0003005
12	0,0007780	0,0005841	0,0004676	0,0003858	0,0002894	0,0002310

§. 12. Um zu untersuchen, ob die magnetische Intensität im Äquator des Magneten mit den nach den Formeln und Rechen v. β und γ berechneten Zahlen Übereinstimmung, wird folgender Versuch angestellt.

Flacher Versuch.

Der Compass wird auf das Liniel gestellt, wie im ersten und zweiten Versuche, aber das Liniel wird so geführt, daß die Magnetnadel die Linie er (Fig. 12) durch des Liniels Mitte drückt, so daß also das Liniel nun in dem magnetischen Meridiane lag (in dem vorhergehenden Versuche machte es einen rechten Winkel mit demselben). In die Linie MN (Fig. 12) der magnetischen Meridiane, oder die Linie er des Liniels, so rühret die Magnetnadel an, bevor der Magnet auf das Liniel gelegt wird, in der Linie MN . Nun wird der Magnet OP mit seinem Mittelpunkte C auf die Linie MN gelegt, so daß er damit rechten Winkel bildet, und nun wird die Nadel von der Linie MN ab, und bildet damit einen Winkel eMN mit e . In jedem Abstände wird der Magnet von sich dem Nordpole und die also, dann auf die andere Seite der Linie MN gelegt, weil von dem Winkel e , aus welcher die Magnetnadel in diesen beiden entgegengesetzten Richtungen des Magneten von dem Meridiane abwich, eine Mittelzahl genommen, welche in der folgenden Tabelle enthalten ist. Es ist leicht einzusehen, daß, wenn der Magnet OP allein auf die Nadel gewirkt hätte, als in der Linie ef , welche senkrecht auf MN , und also parallel mit dem Magneten OP ist, gestanden haben würde. Aber der Magnetismus der Nadel wirkte auf die Nadel nach der Richtung MS mit einer Kraft von $M. n.$ sin eMN mit $M. n.$ sin e ; der Magnet OP dagegen wirkte in gegen die Linie ef mit einer Kraft mit $m. n. P.$ sin eMN mit $m. n. P.$ sin e . (Wenn m und n die Kraft des Magneten und der Nadel bedeuten, und P die Funktion, wodurch sie multiplicirt werden muß, um die Auslenkung E im magnetischen Äquator zu geben; und da die Nadel zwischen beiden Richtungen in Ruhe war, so ist $M. n.$ sin e mit $m. n. P.$ sin e , oder $M \sin e$ mit $m. P.$ und $\frac{M}{m}$ mit $\frac{P}{\sin e}$. Folgende Tabelle, welche eben so eingerichtet ist, wie die Tabelle in §. 2 (nur daß hier nur der Magnet β gebraucht, hingegen der

Werth von F' sowohl für $r = 1$, als $r = 2$ und $r = 3$ nach den Formeln α , β und γ berechnet ist) enthält eine ähnliche Vergleichung zwischen F' und den Tangenten von w .

Ab- stand a .	Win- kel w .	Logarithm. vulgar. F' .			$\frac{M}{m} = \frac{F'}{\tan w}$		
		α .	β .	γ .	α .	β .	γ .
10	0° 42'	0,82000-4	0,69450-4	0,60054-4	0,054076	0,040505	0,032624
9	0 59	0,95698-4	0,83149-4	0,73424-4	0,052767	0,039525	0,031525
8	1 17½	0,10857-3	0,98299-4	0,88553-4	0,059357	0,044452	0,035517
7	2 5	0,27983-3	0,15491-3	0,05740-3	0,052361	0,039272	0,031374
6	3 12½	0,47871-3	0,35263-3	0,25493-3	0,053716	0,040181	0,032086
5	5 35	0,71161-3	0,58505-3	0,48622-3	0,052658	0,039346	0,031338
4	10 44	0,99399-3	0,86662-3	0,76810-3	0,052031	0,038806	0,030930
3	23 30	0,55111-2	0,22149-2	0,12194-2	0,051619	0,038300	0,030454
2	47 48	0,83248-2	0,69762-2	0,59152-2	0,061654	0,045196	0,035384
1	70 54	0,54224-1	0,38496-1	0,25628-1	0,120690	0,084022	0,062476

Man ersieht aus dieser Tabelle, daß die Funktion F' , dividirt mit der Tangente von w , einen beständigen Quotienten giebt, eben so, wie bey der vorigen Vergleichung in §. 8 (ausgenommen in dem Abstände 8, wo der Winkel $w = 1^\circ 17\frac{1}{2}'$ zu klein seyn muß, und in den beiden letzten, wo der Abstand a zu geringe, und der Magnet zu nahe bey der Nadel ist). So sieht

man auch, daß im Mittel (wenn $r = 1$) $\frac{M}{m} = 0,053---$, und (wenn $r = 2$)

$\frac{M}{m} = 0,040---$, wie in §. 8 für den Magneten B, gefunden wird; aber es ist

bey diesem Versuch eben so wenig möglich zu bestimmen, welche der Formeln die rechte ist. Wir werden also genöthigt, Versuche einer andern Art zu Rathe zu ziehen, wie in den folgenden §§. geschehen wird.

§. 13. Problem. Wenn zwey lineäre Magneten eine solche Lage haben, daß ihre Axen in einer und derselben geraden Linie liegen, ihre Anziehungs- oder Abstofsungs-Kraft gegen einander zu bestimmen.

AB und ab (Fig. 16) seyen Magneten, deren Axen in der geraden Linie

Ab liegen; C und c seyen ihre Mittelpunkte, A und b, sowie B und a die freundschaftlichen Pole. Die Entfernung der Mittelpunkte Cc sey $= a$, die absolute Kraft des Magneten AB (des Punktes in der Axe, dessen Abstand vom Mittelpunkte $= 1$ ist) sey $= m$, des Magneten ab $= n$.

Setzet man nun CE $= x$, ce $= y$, so wird die absolute Kraft des Punktes E $= mx^r dx$, des Punktes e $= ny^r dy$; aber die Wirkung dieser beiden Punkte auf einander ist das Produkt ihrer absoluten Kräfte, dividirt mit dem Quadrate ihrer Entfernung (§. 1, 2 und 7); also $= \frac{mnx^r y^r dx dy}{Ee^2}$. Nun ist

Ee $= Cc - ce - CE = a - y - x$, also wird dieses Produkt $= \frac{mnx^r \cdot y^r \cdot dx \cdot dy}{(a - x - y)^2}$.

Setzet man nun die ganze vereinte Kraft aller Punkte der Halbaxe CB auf allen Punkten der Halbaxe ac $= v$, so hat man

$$d^2 v = \frac{mnx^r y^r dx dy}{(a - x - y)^2}.$$

Auf gleiche Weise findet man die Wirkung des Punktes E auf einen Punkt f in der andern Halbaxe von ab $= \frac{mnx^r y^r dx dy}{Ef^2}$; aber Ef $= Cc - CE + cf = a - x + y$. Wird nun die Wirkung aller Punkte in der Halbaxe CB auf alle Punkte in der Halbaxe cb $= v'$ genannt, so hat man

$$d^2 v' = \frac{mnx^r y^r dx dy}{(a - x + y)^2}.$$

Ferner findet sich die Wirkung des Punktes F auf den Punkt e $= \frac{mnx^r y^r dx dy}{Fe^2}$; und wenn die ganze Wirkung der Halbaxen AC und ac auf einander $= v''$ gesetzt wird, so ist

$$d^2 v'' = \frac{mnx^r y^r dx dy}{(a + x - y)^2}.$$

Setzet man endlich die ganze Wirkung der Halbaxen Ac und bc auf einander $= v'''$, so ist

$$d^2 v''' = \frac{mnx^r y^r dx dy}{Ff^2} = \frac{mx^r y^r dx dy}{(a + x + y)^2}.$$

Um bey der Differenzialgleichung zwey veränderliche Gröſſen zu vermeiden, setze man $y = bx$ (wo b den Verhältniſſexponenten $\frac{ac}{CB} = \frac{y}{x}$ bedeutet), so wird $dy = bdx$, $y^r = b^r x^r$; also

$$d^2v = \frac{mnb^{r+1}x^{2r}dx^2}{[a - (1+b)x]^2} = \frac{mnb^{r+1}x^{2r}dx^2}{(a - cx)^2},$$

wenn man $1 + b = c$ setzt. Ferner hat man, wenn $1 - b = e$:

$$d^2v' = \frac{mnb^{r+1}x^{2r}dx^2}{[a - (1-b)x]^2} = \frac{mnb^{r+1}x^{2r}dx^2}{(a - ex)^2},$$

$$d^2v'' = \frac{mnb^{r+1}x^{2r}dx^2}{[a + (1-b)x]^2} = \frac{mnb^{r+1}x^{2r}dx^2}{(a + ex)^2},$$

$$d^2v''' = \frac{mnb^{r+1}x^{2r}dx^2}{[a + (1+b)x]^2} = \frac{mnb^{r+1}x^{2r}dx^2}{(a + cx)^2}.$$

Man sieht leichtlich ein, daſs, wenn B und a freundschaftliche Pole, A und b gleichfalls befreundet ſind, B und b , a und A hingegen feindlich; in dieſem Falle wird v und v''' eine anziehende, v' und v'' hingegen eine abstoſſende Kraft. Wird also die vereinte Wirkung aller 4 Halbaxen $= \mathfrak{R}$ geſetzt, ſo iſt

$$\mathfrak{R} = v + v''' - v' - v'' \\ = mnb^{r+1} \left\{ \iint \frac{x^{2r}dx^2}{(a-cx)^2} + \iint \frac{x^{2r}dx^2}{(a+cx)^2} - \iint \frac{x^{2r}dx^2}{(a-ex)^2} - \iint \frac{x^{2r}dx^2}{(a+ex)^2} \right\}$$

Nun iſt

$$\int \frac{x^{2r}dx^2}{(a \pm cx)^2} = \pm \frac{dx}{c^{2r+1}} \left\{ \frac{(a \pm cx)^{2r-1}}{2r-1} - \frac{2r \cdot a (a \pm cx)^{2r-2}}{1 \cdot 2r-2} + \frac{2r(2r-1)a^2 (a \pm cx)^{2r-3}}{1 \cdot 2 \cdot 2r-3} \right. \\ \left. - \frac{2r(2r-1)(2r-2)a^3 (a \pm cx)^{2r-4}}{1 \cdot 2 \cdot 3 \cdot 2r-4} + \dots \right\} + C.$$

1) Setzet man nun $r = 1$, ſo hat man

$$\int \frac{x^2dx^2}{(a-cx)^2} = - \frac{dx}{c^3} \left\{ a - cx - 2a \log(a - cx) - \frac{a^2}{a - cx} \right\} + C,$$

$$\text{wo } C = \frac{-2a \cdot \log a \cdot dx}{c^3};$$

also

$$\begin{aligned} dv &= -\frac{mnb^2}{c^3} \left\{ a - cx - 2a \log(a - cx) - \frac{a^2}{a - cx} + 2a \log a \right\} dx \\ &= \frac{mnb^2}{c^3} \left\{ cx + 2a \log(a - cx) + \frac{a^2}{a - cx} - a - 2a \log a \right\} dx. \end{aligned}$$

Das Integral hiervon wird $= v$; also

$$v = \frac{mnb^2}{c^3} \left\{ \frac{cx^2}{2} - \frac{2a}{c}(a - cx)[\log(a - cx) - 1] - \frac{a^2}{c} \log(a - cx) - ax - 2ax \log a \right\} + C',$$

wo $C' = \frac{b^2}{c^3} \left\{ \frac{3a^2}{c} \log a - \frac{2a^2}{c} \right\}$ gefunden wird; und nach einigen Reductionen findet man

$$v = \frac{mnb^2}{c^3} \left\{ \frac{cx^2}{2} - 3ax + \left(2ax - \frac{3a^2}{c} \right) \log \left(\frac{a - cx}{a} \right) \right\}$$

Auf gleiche Weise findet man

$$v' = \frac{mnb^2}{e^3} \left\{ \frac{ex^2}{2} - 3ax + \left(2ax - \frac{3a^2}{e} \right) \log \left(\frac{a - ex}{a} \right) \right\},$$

$$v'' = \frac{mnb^2}{e^3} \left\{ \frac{ex^2}{2} + 3ax + \left(2ax + \frac{3a^2}{e} \right) \log \left(\frac{a}{a + ex} \right) \right\},$$

$$v''' = \frac{mnb^2}{c^3} \left\{ \frac{cx^2}{2} + 3ax + \left(2ax + \frac{3a^2}{c} \right) \log \left(\frac{a}{a + cx} \right) \right\}.$$

Nun ist $\mathfrak{R} = v + v''' - v' - v''$

$$\begin{aligned} (A) &= \frac{mnb^2}{c^3} \left\{ cx^2 - 2ax \log \left(\frac{a + cx}{a - cx} \right) + \frac{3a^2}{c} \log \left(\frac{a^2}{a^2 - c^2 x^2} \right) \right\} \\ &\quad - \frac{mnb^2}{e^3} \left\{ ex^2 - 2ax \log \left(\frac{a + ex}{a - ex} \right) + \frac{3a^2}{e} \log \left(\frac{a^2}{a^2 - e^2 x^2} \right) \right\} \\ &= \frac{mnb^2}{(1+b)^3} \left\{ (1+b)x^2 - 2ax \log \left(\frac{a + (1+b)x}{a - (1+b)x} \right) + \frac{3a^2}{1+b} \log \left(\frac{a^2}{a^2 - (1+b)^2 x^2} \right) \right\} \\ &\quad - \frac{mnb^2}{(1-b)^3} \left\{ (1-b)x^2 - 2ax \log \left(\frac{a + (1-b)x}{a - (1-b)x} \right) + \frac{3a^2}{1-b} \log \left(\frac{a^2}{a^2 - (1-b)^2 x^2} \right) \right\}. \end{aligned}$$

Sind beide Magneten von gleicher Größe, so wird $b = 1$, und also

$$c = 1 + b = 2, \quad e = 1 - b = 0; \text{ aber dann wird } \frac{mnb^2}{e^3} = \frac{mnb^2}{0} = \infty;$$

die Formel kann also in diesem Falle nicht gebraucht werden; aber setzt man diese Werthe in die Differentialformeln, so erhält man $d^2v' = d^2v'' = \frac{mnx^2 dx^2}{a^2}$;

also $v' = v'' = \frac{mnx^4}{12a^2}$, und $v' + v'' = \frac{mnx^4}{6a^2}$. Also ist

$$(A') \quad \mathcal{R} = \frac{mn}{8} \left\{ 2x^2 + \frac{5a^2}{2} \log \left(\frac{a^2}{a^2 - 4x^2} \right) - 2ax \log \left(\frac{a+2x}{a-2x} \right) - \frac{4x^4}{5a^2} \right\}$$

$$= mn \left\{ \frac{x^2}{4} + \frac{5a^2}{16} \log \left(\frac{a^2}{a^2 - 4x^2} \right) - \frac{ax}{4} \log \left(\frac{a+2x}{a-2x} \right) - \frac{x^4}{6a^2} \right\}$$

2) Setzet man $r = 2$, so wird

$$dv = -\frac{mnb^3}{c^5} \left\{ \frac{(a-cx)^3}{3} - 2a(a-cx)^2 + 6a^2(a-cx) - 4a^3 \log(a-cx) + \frac{a^4}{a-cx} \right\} dx + C.$$

Für $x = 0$ findet man $C = \frac{mnb^3}{c^5} \left\{ \frac{10a^3}{3} - 4a^3 \log a \right\}$; also

$$dv = \frac{mnb^3 dx}{c^5} \left\{ \frac{(a-cx)^3}{3} + 2a(a-cx)^2 - 6a^2(a-cx) + 4a^3 \log(a-cx) - \frac{a^4}{a-cx} + \frac{10a^3}{3} - 4a^3 \log a \right\}.$$

Integriert man diesen Ausdruck, so erhält man die Kraft v . Nun ist

$$-\frac{1}{3} \int (a-cx)^3 dx = -\frac{1}{3} a^3 x + \frac{1}{2} a^2 cx^2 - \frac{1}{3} ac^2 x^3 + \frac{1}{12} c^3 x^4$$

$$\int (a-cx)^2 dx = a^2 x - acx^2 + \frac{1}{3} c^2 x^3, \text{ und } \int (a-cx) dx = ax - \frac{1}{2} cx^2$$

$$\int \log(a-cx) dx = -\frac{1}{c} (a-cx) [\log(a-cx) - 1], \text{ und } \int \frac{dx}{a-cx} = -\log \left(\frac{a-cx}{c} \right);$$

also wird

$$v = \frac{mnb^3}{c^5} \left\{ \frac{4a^4}{c} - \left(\frac{5a^4}{c} - 4a^3 x \right) \log(a-cx) - 4a^3 x \log a - 5a^3 x + \frac{1}{2} a^2 cx^2 + \frac{1}{3} ac^2 x^3 + \frac{1}{12} c^3 x^4 \right\} + C',$$

wo $C' = \frac{mnb^3}{c^5} \left\{ \frac{5a^4}{c} \log a - \frac{4a^4}{c} \right\}$; folglich

$$v = \frac{mnb^3}{c^5} \left\{ \frac{1}{12} c^3 x^4 + \frac{1}{3} ac^2 x^3 + \frac{1}{2} a^2 cx^2 - 5a^3 x + \left(\frac{5a^4}{c} - 4a^3 x \right) \log \left(\frac{a}{a-cx} \right) \right\}$$

Auf gleiche Weise findet man

$$\begin{aligned} v' &= \frac{mnb^3}{e^3} \left\{ \frac{1}{12} e^3 x^4 + \frac{1}{3} a e^2 x^3 + \frac{1}{2} a^2 e x^2 - 5a^3 x + \left(\frac{5a^4}{e} - 4a^3 x \right) \log \left(\frac{a}{a - ex} \right) \right\} \\ v'' &= \frac{mnb^3}{e^3} \left\{ \frac{1}{12} e^3 x^4 - \frac{1}{3} a e^2 x^3 + \frac{1}{2} a^2 e x^2 + 5a^3 x + \left(\frac{5a^4}{e} - 4a^3 x \right) \log \left(\frac{a}{a + ex} \right) \right\} \\ v''' &= \frac{mnb^3}{c^3} \left\{ \frac{1}{12} c^3 x^4 - \frac{1}{3} a c^2 x^3 + \frac{1}{2} a^2 c x^2 + 5a^3 x + \left(\frac{5a^4}{c} + 4a^3 x \right) \log \left(\frac{a}{a + cx} \right) \right\}. \end{aligned}$$

Da nun $\mathcal{R} = v + v''' - v' - v''$, so hat man

$$\begin{aligned} \text{(B)} \quad \mathcal{R} &= \frac{mnb^3}{c^3} \left\{ \frac{1}{6} c^3 x^4 + 3a^2 c x^2 + \frac{5a^4}{c} \log \left(\frac{a^2}{a^2 - c^2 x^2} \right) - 4a^3 x \log \left(\frac{a + cx}{a - cx} \right) \right\} \\ &\quad - \frac{mnb^3}{e^3} \left\{ \frac{1}{6} e^3 x^4 + 3a^2 e x^2 + \frac{5a^4}{e} \log \left(\frac{a^2}{a^2 - e^2 x^2} \right) - 4a^3 x \log \left(\frac{a + ex}{a - ex} \right) \right\}. \end{aligned}$$

Setzet man beide Axen von gleicher Größe, so wird $b = 1$, $c = 1$
 $+ b = 2$, $e = 1 - b = 0$, und man findet $d^2 v' = d^2 v'' = \frac{mnx^4 dx^2}{a^2}$,

also $v' = v'' = \frac{mnx^6}{30a^2}$ und $v' + v'' = \frac{mnx^6}{15a^2}$, folglich

$$\text{(B')} \quad \mathcal{R} = mn \left\{ \frac{1}{12} a^2 x^2 + \frac{1}{24} x^4 - \frac{1}{12} \frac{x^6}{a^2} + \frac{5a^4}{64} \log \left(\frac{a^2}{a^2 - 4x^2} \right) - \frac{a^3 x}{8} \log \left(\frac{a + 2x}{a - 2x} \right) \right\}.$$

§. 14. Ehe wir weiter gehen, wollen wir die beiden im vorhergehenden §. gefundenen Formeln durch unendliche Reihen ausdrücken.

In §. 13 fand man

$$\mathcal{R} = mnb^{2+1} \times \iint x^{2r} dx^2 \left\{ (a - cx)^{-2} + (a + cx)^{-2} - (a - ex)^{-2} - (a + ex)^{-2} \right\}.$$

Nun ist

$$(a - cx)^{-2} = \frac{1}{a^2} + 2 \cdot \frac{cx}{a^3} + 3 \cdot \frac{c^2 x^2}{a^4} + 4 \cdot \frac{c^3 x^3}{a^5} + 5 \cdot \frac{c^4 x^4}{a^6} +$$

$$(a + cx)^{-2} = \frac{1}{a^2} - 2 \cdot \frac{cx}{a^3} + 3 \cdot \frac{c^2 x^2}{a^4} - 4 \cdot \frac{c^3 x^3}{a^5} + 5 \cdot \frac{c^4 x^4}{a^6} +$$

$$(a - cx)^{-2} + (a + cx)^{-2} = 2 \left\{ \frac{1}{a^2} + 3 \cdot \frac{c^2 x^2}{a^4} + 5 \cdot \frac{c^4 x^4}{a^6} + 7 \cdot \frac{c^6 x^6}{a^8} + \right\}$$

Multiplirt man diese letzte Reihe mit $x^{2r}dx^2$, so erhält man nach der ersten Integration

$$2 \left\{ \frac{1}{2r+1} \cdot \frac{x^{2r+1}}{a^2} + \frac{3}{2r+3} \cdot \frac{c^2 x^{2r+3}}{a^4} + \frac{5}{2r+5} \cdot \frac{c^4 x^{2r+5}}{a^6} + \right\} dx,$$

und nach der zweyten

$$2 \left\{ \frac{1}{(2r+1)(2r+2)} \cdot \frac{x^{2r+2}}{a^2} + \frac{3}{(2r+3)(2r+4)} \cdot \frac{c^2 x^{2r+4}}{a^4} + \frac{5}{(2r+5)(2r+6)} \cdot \frac{c^4 x^{2r+6}}{a^6} + \right\}$$

Auf gleiche Weise erhält man

$$\iint x^{2r} dx^2 \{ (a - ex)^{-2} + (a + ex)^{-2} \} =$$

$$2 \left\{ \frac{1}{(2r+1)(2r+2)} \cdot \frac{x^{2r+2}}{a^2} + \frac{3}{(2r+3)(2r+4)} \cdot \frac{e^2 x^{2r+4}}{a^4} + \frac{5}{(2r+5)(2r+6)} \cdot \frac{e^4 x^{2r+6}}{a^6} + \right\}$$

Zieht man die letzte Reihe von der vorhergehenden ab, so heben die ersten gleichgroßen Glieder einander auf, und man findet

$$(\mathfrak{E}) \mathfrak{K} = 2mnbr^{r+1} \left\{ \frac{3}{(2r+3)(2r+4)} \cdot \frac{(c^2 - e^2)x^{2r+4}}{a^4} + \frac{5}{(2r+5)(2r+6)} \cdot \frac{(c^4 - e^4)x^{2r+6}}{a^6} \right. \\ \left. + \frac{7}{(2r+7)(2r+8)} \cdot \frac{(c^6 - e^6)x^{2r+8}}{a^8} + \right\}$$

Ist der Abstand a sehr groß in Vergleich mit x , oder der magnetischen Halbaxe, so verschwinden alle Glieder dieser Reihe gegen das erste, und man erhält dann

$$\mathfrak{K} = \frac{6mnbr^{r+1}}{(2r+3)(2r+4)} \times \frac{(c^2 - e^2)x^{2r+4}}{a^4}; \text{ oder da } c^2 - e^2 = (1+b)^2 \\ - (1-b)^2 = 4b, \mathfrak{K} = \frac{24mnbr^{r+2}x^{2r+4}}{(2r+3)(2r+4) \cdot a^4}, \text{ d. i. die Wirkung zweyer Mag-}$$

neten auf einander verhält sich umgekehrt wie die vierte Potenz der Entfernung der Mittelpunkte.

In §. 10 ward bewiesen, daß in großen Entfernungen die *Wirkung eines Linearmagneten auf einen Punkt oder auf eine kleine Magnetnadel sich umgekehrt wie die dritte Potenz der Entfernung verhalte*. Aus dem Obigen hingegen sieht man, daß die *Wirkung zweyer Magneten auf einander sich umgekehrt wie die vierte Potenz der Entfernung verhält*. Dieses mag Veranlassung zu der Verwirrung und Uneinigkeit gegeben haben, welche zwischen den experimentirenden Physikern geherrscht hat, indem einige die dritte, andre die

vierte Potenz des Abstandes als die rechte Funktion für die Magnetkraft ausgegeben haben, je nachdem sie Versuche mit einem Magneten und einer Magnetnadel, oder mit zwey Magneten gemacht haben.

Sind die Magneten gleich groß, so wird $b = 1$, $c = 2$, $e = 0$, und die Reihe verwandelt sich in folgende:

$$(E') \quad \mathfrak{K} = 2mn \left\{ \frac{3 \cdot 2^2}{(2r+3)(2r+4)} \cdot \frac{x^{2r+4}}{a^4} + \frac{5 \cdot 2^4}{(2r+5)(2r+6)} \cdot \frac{x^{2r+6}}{a^6} + \frac{7 \cdot 2^6}{(2r+7)(2r+8)} \cdot \frac{x^{2r+8}}{a^8} + \dots \right\}$$

Die allgemeine Reihe (E) für ungleiche Magneten erhält folgende Werthe

$$(A) \quad \mathfrak{K} = 2mnb^2 \left\{ \frac{3}{5 \cdot 6} \cdot \frac{(c^2 - e^2)x^6}{a^4} + \frac{5}{7 \cdot 8} \cdot \frac{(c^4 - e^4)x^8}{a^6} + \frac{7}{9 \cdot 10} \cdot \frac{(c^6 - e^6)x^{10}}{a^8} + \dots \right\}$$

$$(B) \quad \mathfrak{K} = 2mnb^3 \left\{ \frac{3}{7 \cdot 8} \cdot \frac{(c^2 - e^2)x^8}{a^4} + \frac{5}{9 \cdot 10} \cdot \frac{(c^4 - e^4)x^{10}}{a^6} + \frac{7}{11 \cdot 12} \cdot \frac{(c^6 - e^6)x^{12}}{a^8} + \dots \right\}$$

Die Reihe (E') für gleichgroße Magneten erhält folgende Werthe

$$(A') \quad \mathfrak{K} = 2mn \left\{ \frac{3 \cdot 2^2}{5 \cdot 6} \cdot \frac{x^6}{a^4} + \frac{5 \cdot 2^4}{7 \cdot 8} \cdot \frac{x^8}{a^6} + \frac{7 \cdot 2^6}{9 \cdot 10} \cdot \frac{x^{10}}{a^8} + \dots \right\}$$

$$(B') \quad \mathfrak{K} = 2mn \left\{ \frac{5 \cdot 2^2}{7 \cdot 8} \cdot \frac{x^8}{a^4} + \frac{5 \cdot 2^4}{9 \cdot 10} \cdot \frac{x^{10}}{a^6} + \frac{7 \cdot 2^6}{11 \cdot 12} \cdot \frac{x^{12}}{a^8} + \dots \right\}$$

Zusatz. Berühren sich beide Magneten, so wird die Entfernung der Mittelpunkte $a = 2x$ (wenn beide Magneten gleich groß sind); die Reihe (E') verwandelt sich dann in folgende:

$$\begin{aligned} \mathfrak{K} &= 2mn \left\{ \frac{3}{(2r+3)(2r+4)} \cdot \frac{x^{2r}}{2^2} + \frac{5}{(2r+5)(2r+6)} \cdot \frac{x^{2r}}{2^2} + \frac{7}{(2r+7)(2r+8)} \cdot \frac{x^{2r}}{2^2} + \dots \right\} \\ &= \frac{mnx^{2r}}{2} \left\{ \frac{3}{(2r+3)(2r+4)} + \frac{5}{(2r+5)(2r+6)} + \frac{7}{(2r+7)(2r+8)} + \dots \right\} \end{aligned}$$

oder

$$\mathfrak{R} = \frac{mnx^2}{2} \left\{ \frac{3}{5 \cdot 6} + \frac{5}{7 \cdot 8} + \frac{7}{9 \cdot 10} + \dots \right\}$$

$$\mathfrak{R} = \frac{mnx^2}{2} \left\{ \frac{3}{7 \cdot 8} + \frac{5}{9 \cdot 10} + \frac{7}{11 \cdot 12} + \dots \right\}$$

§. 15. Will man aus den in den vorigen §§. gefundenen Formeln und Reihen A' und B' die Größe von \mathfrak{R} berechnen, so bedient man sich in kleinen Entfernungen am leichtesten der Formeln, in großen hingegen der Reihen.

1 Ex. Wenn $x = 1$ und $a = 3$, den Werth von \mathfrak{R} für zwey gleich-große Magneten zu berechnen.

In der Formel A' (S. 153) hat man

$$\frac{a^2}{a^2 - 4x^2} = \frac{3^2}{3^2 - 4} = \frac{9}{5}; \quad \frac{a + 2x}{a - 2x} = \frac{3 + 2}{3 - 2} = 5.$$

$$\text{Nun ist } \log. \text{ nat. } 9 = 2.1972244$$

$$\log. \text{ nat. } 5 = 1.6094379$$

$$\log. \text{ nat. } \frac{9}{5} = 0.5877865$$

$$\text{multipl. mit } \frac{3a^2}{16} = \frac{27}{16}$$

$$\frac{3a^2}{16} \log \left(\frac{a^2}{a^2 - 4x^2} \right) = 0.9918897$$

$$\frac{x^2}{4} = \frac{1}{4} = 0.25$$

$$\frac{x^2}{4} + \frac{3a^2}{16} \log \left(\frac{a^2}{a^2 - 4x^2} \right) = + 1.2418897$$

$$8528104 = \log. \text{ nat. } 5 = 1.6094379$$

$$\text{multipl. mit } \frac{ax}{4} = \frac{3}{4}$$

$$\frac{ax}{4} \log \left(\frac{a + 2x}{a - 2x} \right) = 1.2070784$$

$$-\frac{x^6}{15a^2} - \frac{a^1 x}{8} \log \left(\frac{a+2x}{a-2x} \right) = -5.4592602$$

$$+ 5.4487550$$

$$\mathcal{R} = mn \times 0.0094928.$$

Also ist nach der Formel B', wo $r = 2$, $\mathcal{R} = mn \times 0.0094928$.

2 Ex. Für zwey gleichgroße Magneten die Wirkung \mathcal{R} in dem Abstände $a = 10$ zu berechnen.

Die Reihe A' für gleichgroße Magneten (§. 14) giebt

$$\mathcal{R} = mn \left\{ \frac{4x^6}{5a^7} + \frac{5.4x^8}{7a^6} + \frac{7.64x^{10}}{5.9a^5} + \dots \right\}$$

und wenn $x = 1$, $a = 10$, wird

$$\mathcal{R} = mn (0.00008 + 0.0000029 + 0.0000000) = mn \times 0.0000829.$$

Die Reihe B' ebendasselbst (wo $r = 2$) giebt

$$\mathcal{R} = mn \left\{ \frac{3x^8}{7a^4} + \frac{16x^{10}}{9a^6} + \frac{7.52x^{12}}{3.11a^8} + \dots \right\}$$

und wenn $x = 1$, $a = 10$, wird

$$\mathcal{R} = mn (0.0000008 + 0.0000000) = mn \times 0.0000008.$$

Man sieht hieraus, daß die Anziehung zwischen zwey Magneten gleich ist dem Produkte ihrer absoluten Kräfte (m und n), multiplicirt mit einer logarithmischen Funktion der Entfernung (a) ihrer Mittelpunkte, und der Magnetlänge (x). Man setze diese Funktion $= \mathfrak{F}$, so hat man $\mathcal{R} = mn \cdot \mathfrak{F}$.

§. 16. Ueber die Anziehung zwischen zwey Magneten wurde folgender Versuch angestellt:

Sechster Versuch.

ABC (Fig. 17) stelle ein Stativ vor, woran die Wage MN (eine kleine Englische Goldwage) aufgehängt wurde. Mit dem Fulse war die Holzplatte GH zusammengefügt, in deren Rand eine viereckige Oeffnung eingeschnitten war, worin ein viereckiger, überall gleich dicker, prismatischer Stab EF von 2 Ellen

Länge, enge auf und nieder geschoben werden konnte. Der Stab war von oben herab in halbe Magnetlängen der bey den vorigen Versuchen gebrauchten Magneten A und B, und jede dieser wieder in zehn kleinere Theile eingetheilt. Unter der Schale N ward der eine Magnet PO an einem Drathe aufgehängt, und in die Schale M ward ein Gegengewicht gelegt, so daß die Zunge der Wage ein genaues Gleichgewicht zeigte. Der Stab EF ward darauf so gestellt, daß das Ende O des Magneten gerade den Anfangspunkt der Eintheilungen deckte (ohne jedoch den Stab zu berühren). Endlich ward der andere Magnet so an dem Stabe EF befestigt, daß sein nächstes Ende eine der Eintheilungen des Stabes deckte. Hierdurch ward eigentlich der Abstand zwischen den nächsten Endpunkten der Magneten bestimmt, aber indem man hierzu zwey Magnethalbaxen addirte, ergab sich der Abstand der Mittelpunkte. In einem jeden Abstände wurden dem an dem Stabe befestigten Magneten zwey Stellungen gegeben, nämlich erst der freundschaftliche, dann der feindliche Pol gegen O gekehrt; im ersten Falle ward das Gleichgewicht wieder durch Zulegung eines Gegengewichtes in die Schale M, im letzten Falle durch Zulegung eines Gegengewichtes in die Schale N hergestellt. Um die Anziehung und Abstossung so genau als möglich auszumessen, nahm ich einen Goldzieher-Drath, und schnitt ihn ab, bis er genau ein Gran wog; dieser Drath ward wieder in zehn genau gleichlange Theile, und einige von diesen wieder in zwey Theile geschnitten. Auf diese Weise war ein Gran in zwanzig Theile getheilt, deren jeder einzelne der Wage merklichen Ausschlag gab, nachdem sie mit dem einen Magneten und dessen Gegengewichte beschwert war.

Abstand = a .	4. 0	3. 5	3. 0	2. 8	2. 6	2. 5	2. 4	2. 3	2. 2
Gegen- gewicht = p in Granen.	Anzieh.	0,15 +	0,20	0,50 -	0,85	1,50	1,95	2,70	4,55
	Abstofs.	0,15	0,30	0,55	0,85 +	1,50	2,05	2,60	7,10
	Mittel	0,15	0,25	0,52	0,85	1,50	2,00	2,65	7,10

Folgende Tabelle enthält die Mittelzahlen der Gegengewichte mit den darüber angestellten Berechnungen.

Abstand der Mittelp. = a .	Anzie- hung = p in Gra- nen.	Formel A', für $r = 1$.				Formel B', für $r = 2$.			
		Funktion \mathfrak{F} .	$mn = \frac{p}{\mathfrak{F}}$	Berechn. $p = mn \cdot \mathfrak{F}$.	Diffe- renz.	Funktion \mathfrak{F} .	$mn = \frac{p}{\mathfrak{F}}$	Berechn. $p = mn \cdot \mathfrak{F}$.	Diffe- renz.
4.0	0.15	0.0040112	37.396	0.1389	-0.01	0.0022464	66.773	0.1527	0.00
3.5	0.25	0.0075059	33.291	0.2600	+0.01	0.0037487	66.690	0.2548	0.00
3.0	0.53	0.0162935	31.988	0.5628	+0.04	0.0094915	54.786	0.6451	+0.13
2.8	0.85	0.0237468	35.795	0.8210	-0.13	0.0140832	60.358	0.9571	+0.11
2.6	1.50	0.0367892	40.773	1.2737	-0.23	0.0223793	67.027	1.6870	+0.19
2.5	2.00	0.0473166	42.366	1.6344	-0.37	0.0292517	68.373	1.9880	-0.01
2.4	2.65	0.0627998	42.167	2.1742	-0.48	0.0396651	66.810	2.6995	+0.05
2.3	4.55	0.0870380	52.276	3.0133	-1.54	0.0566652	80.318	3.8501	-0.70
2.2	7.10	0.1303335	54.601	4.5120	-2.59	0.0881778	80.520	5.9928	-1.11
2.1		0.2293183		7.9413		0.2262623		15.3770	

Die beiden ersten Columnen enthalten den Abstand der Mittelpunkte und das Gegengewicht p in Granen; die nächste Columnne enthält den Werth der Funktion \mathfrak{F} , berechnet nach der Formel und Reihe A'. Da $\mathfrak{K} = mn \cdot \mathfrak{F}$, und mn eine beständige GröÙe ist, so muß \mathfrak{K} mit \mathfrak{F} proportionirt seyn, d. h. in demselben Verhältnisse zunehmen. Aber \mathfrak{K} wird hier durch das Gegengewicht p ausgemessen, also ist $p = mn \cdot \mathfrak{F}$, und $mn = \frac{p}{\mathfrak{F}}$, d. h. $\frac{p}{\mathfrak{F}}$ muß einen beständigen Quotienten geben. Diesen Quotienten enthält die vierte Columnne. Eine Mittelzahl der 4 ersten Quotienten ist 34.62; wird nun $mn = 34.62$ gesetzt, so hat man $p = mn \cdot \mathfrak{F} = \mathfrak{F} \times 34.62$. Man kann also auf diese Weise das Gegengewicht p in Granen für jede Entfernung a der Mittelpunkte berechnen, indem man den Werth von \mathfrak{F} für die nämliche Entfernung mit 34.62 multiplicirt. Die auf diese Weise berechneten Gewichte p sind in der fünften, und die Differenz zwischen den durch Berechnung und den durch Beobachtung gefundenen Werthen von p in der sechsten Columnne enthalten. Die folgenden 4 Columnen enthalten dasselbe, wie die 4 nächstvorhergehenden, aber nach der Formel B' berechnet. Hier wird eine Mittelzahl aller Werthe von $\frac{p}{\mathfrak{F}} = 67.962$, welches für die Berechnung von p zum Grunde gelegt ist.

Man sieht, daß, wenn $r = 1$ ist, der berechnete Werth von p schon im Abstände 2.8 zu klein wird, und beständig kleiner wird, als der durch Versuche gefundene, so daß im Abstände 2.2 der Unterschied sogar über $2\frac{1}{2}$ Gran beträgt. Ist dagegen $r = 2$, so sind die berechneten Werthe von p bald größer bald kleiner, als die durch Versuch gefundenen, nach dem Grade von Genauigkeit, den Versuche dieser Art geben können, bis zum Abstände 2.3, wo auch diese etwas zu klein werden, doch im Abstände 2.2 nicht mehr als $1\frac{1}{10}$ Gran. Dies kann daher kommen, weil in kleinen Abständen die Magnetkraft sehr schnell zunimmt; nun ist es schwierig in geringen Entfernungen den Abstand a genau zu bestimmen; denn sowie die Wage nur im mindesten aus dem Gleichgewichte kommt, sinkt der Endpunkt des aufgehängten Magneten unter den Anfangspunkt der Eintheilung an der Stange EF, und der Abstand a wird kleiner, als er seyn sollte. Da nun kleinen Veränderungen in der Entfernung bedeutende Veränderungen in der Kraft entsprechen, so kann sich leicht ein Fehler einschleichen, was auch Ursache war, warum ich den Versuch nicht bis zu einem kleineren Abstände, als 2.2 fortsetzen konnte.

Uebrigens nimmt § nach der Formel B' in kleinen Abständen weit schneller zu, als nach der Formel A', so daß in dem Abstände 2.1 die Formel A' $p = 7\frac{2}{10}$ Gran giebt, welches angenscheinlich zu wenig ist, die Formel B' dagegen $p = 15\frac{2}{7}$ Gran, welches recht wohl übereinstimmt mit der durch den Versuch gefundenen Reihe von Gegengewichten in den nächstvorhergehenden Abständen (2, $2\frac{1}{10}$, $4\frac{1}{2}$, $7\frac{1}{10}$, $15\frac{2}{7}$).

§. 17. Vorstehender Versuch, wie auch die Versuche in §. 5, wurden mit einem Paar äußerst schwacher künstlichen Magneten, dem Hrn. Etatsrath Bugge zugehörig, angestellt. Mit stärkeren Magneten würden die Versuche in §. 5 noch besser gelungen seyn, da der Winkel w in solchem Falle, selbst bey größerem Abstände von der Nadel, als der zwölffachen magnetischen Halbaxe, merklich geworden seyn würde. Inzwischen wird man hoffentlich dessen ungeachtet das Resultat nicht zweifelhaft finden. Den letzt aufgeführten sechsten Versuch hingegen wünschte ich mit einem Paar stärkerer Magneten wiederholen zu können, da die mit dem Magneten und dessen Gegengewichte beschwerete Wage bey weitem keinen so leichten Ausschlag gewährt,

als die höchst bewegliche Nadel in §. 5. Mit einem Paar anderer Magneten (Hrn. Prof. Ørsted zugehörig), welche kleiner*), aber weit stärker waren, als die vorigen, ward der nämliche Versuch wiederholt.

Siebenter Versuch.

Abstand = a.	5.0	4.5	4.0	3.5	3.0	2.8	2.7	2.6	2.5	2.4	2.3	2.2	2.1
Anziehung.													
Gegengewicht = p in Gran.	0.200	0.350	0.500										
	0.200	0.350	0.560	1.300	2.710	3.050	4.900						
	0.250	0.350	0.550	1.060	2.600	3.950	5.000	7.00					
	0.200	0.300	0.800	1.000	2.400	3.730	4.700	6.350	8.20	11.7	17.4	31.30	70.30
Mittel	0.212	0.337	0.602	1.120	2.570	3.877	4.867	6.665	8.20	11.7	17.4	31.30	70.30
Abstoß.													
Gegengewicht = p in Gran.	0.300	0.300	0.700										
	0.300	0.450	0.650	1.100	2.750	3.920							
	0.250	0.300	0.450	1.150	2.650	3.700	4.550	5.700	7.60	10.7	15.0	22.80	37.80
Mittel	0.267	0.350	0.600	1.125	2.700	3.810	4.550	5.700	7.60	10.7	15.0	22.80	37.80
Mittel aus allen	0.236	0.343	0.601	1.122	2.622	3.844	4.788	6.343	7.90	11.2	16.2	27.05	54.05

Folgende Tafel, welche die nämliche Einrichtung hat, wie die oben S. 161 angeführte, enthält die Berechnungen und Resultate dieses Versuchs.

Abstand der Mittelp. = a.	Anziehung = p in Granen.	Formel A', für r = 1.				Formel B', für r = 1.			
		Funktion $\frac{p}{a^2}$	$mn - \frac{p}{a^2}$	Berechn. $p = mn \frac{a^2}{a^2}$	Differenz.	Funktion $\frac{p}{a^2}$	$mn - \frac{p}{a^2}$	Berechn. $p = mn \frac{a^2}{a^2}$	Differenz.
5.0	0.236	0.0014926	157.92	0.236	+ 0.000	0.0008505	277.13	0.235	-0.001
4.5	0.343	0.0023663	144.87	0.374	+ 0.031	0.0013011	263.47	0.359	+0.016
4.0	0.601	0.0040112	149.93	0.633	+ 0.032	0.0022464	267.71	0.620	+0.019
3.5	1.122	0.0075059	149.48	1.185	+ 0.063	0.0037487	290.30	1.034	+0.088
3.0	2.622	0.0162935	160.93	2.573	- 0.049	0.0094915	276.25	2.619	-0.003
2.8	3.844	0.0237468	161.87	3.750	- 0.094	0.0140832	277.95	3.885	+0.041
2.7	4.788	0.0292847	163.48	4.624	- 0.164	0.0175621	272.60	4.845	+0.057
2.6	6.343	0.0367892	172.43	5.809	- 0.534	0.0223793	283.45	6.174	-0.169
2.5	7.900	0.0473166	160.19	7.471	- 0.429	0.0292517	270.07	8.070	+0.170
2.4	11.200	0.0627998	178.35	9.916	- 1.284	0.0396651	282.36	10.943	-0.257
2.3	16.200	0.0870380	186.12	13.743	- 2.457	0.0566652	285.96	15.633	-0.567
2.2	27.050	0.1303335	207.55	20.579	- 6.471	0.0881778	306.77	24.337	-2.713
2.1	54.050	0.2293183	235.70	36.209	-17.841	0.2262623	238.89	62.421	+8.371

*) Die Länge dieser künstlichen Magneten war ungefähr 1 Zoll kleiner, als die Länge der vorhergehenden, und die übrigen Dimensionen nach Proportion. Auf einer andern Seite des

samkeit, und in geringen Entfernungen wird die Anziehung größer, als sie eigentlich seyn sollte.

Man sieht also, daß die Größen m , welches die absolute Kraft des Magneten bezeichnet, und r , welches das Gesetz bestimmt, wornach die Kräfte der Elemente vom magnetischen Mittelpunkte nach den Polen zu wachsen, nicht im strengsten Verstande beständige Größen sind. Am deutlichsten sieht man dies bey dem unmagnetischen Eisen, wo also $m = 0$, die Anziehung eines Magneten auf dasselbe also auch nach den obenstehenden Formeln $= 0$ seyn sollte, sowie auf jede andere unmagnetische Materie, z. B. Holz, Stein u. s. w. Gleichwohl wird nach und nach, wie das weiche Eisen dem Magneten genähert wird, das Gleichgewicht zwischen dessen magnetischen Kräften mehr und mehr aufgehoben, d. h. die Größe m wächst von 0 an, bis sie bey der Berührung den nämlichen Werth, wie im Magneten selbst, erhält. Die Anziehung des weichen Eisens durch den Magneten kann also auf keine Weise nach den obenstehenden Formeln bestimmt werden. Man könnte sich ein höheres Gesetz denken, welches zugleich die Veränderungen der Größen m und r , und die daraus fließenden verschiedenen Anziehungen und Abstossungen bestimmte. Man mußte dann suchen m und r als Funktionen des Abstandes a auszudrücken; wie verwickelt dieses Gesetz werden würde, sieht jeder. In großen Entfernungen ist inzwischen diese Veränderung in den Kräften und ihre Vertheilung ganz unmerklich, und nur bedeutend in kleinen Abständen, die sich der Berührung nähern. Die bisher gefundenen Formeln sind also unter dieser Einschränkung vollkommen brauchbar.

Zusatz. Oben ward bewiesen, daß in großen Entfernungen die Anziehungen bey gleichgroßen Magneten sich umgekehrt verhalten, wie die vierten Potenzen der Entfernungen; also müssen auch die Gegengewichte p sich umgekehrt verhalten wie die vierten Potenzen der Entfernungen. So sind z. B. in den Entfernungen 5,0 — 4,5 — 4,0 die Gegengewichte $p = 0,236 — 0,343 — 0,601$, welche sich wie 1 : 1,45 : 2,55 verhalten; aber $(4,0)^4 : (4,5)^4 : (5,0)^4 = 256 : 410 : 625 = 1 : 1,60 : 2,44$ ungefähr wie die zugehörigen Werthe von p .

§. 18. Durch diesen Versuch ist es also mehr als wahrscheinlich gemacht, daß r nicht kleiner seyn kann als 2. Dies wird noch mehr bekräftigt durch

$$dv' = \frac{mnx^r dx \cdot \sin \text{NBQ}}{\text{BN}^2} = \frac{mnx^r dx \cdot \sin(\nu + \omega)}{\text{BN}^2}.$$

Aber nun ist $\text{PM} = \text{BP} \tan \mu$, d. i. $a - x = b \tan \mu$, also $x = a - b \tan \mu$ und $dx = -b \cdot d \tan \mu = -b d\mu \cdot \sec^2 \mu$; ferner ist $\text{BM} = \text{BP} \cdot \sec \mu = b \sec \mu$. Setzt man diese Werthe im Ausdrucke für dv , so hat man

$$dv = -\frac{mn}{b} (a - b \tan \mu)^r \cdot \sin(\mu + \omega) \cdot d\mu.$$

Auf gleiche Weise findet man $\text{PN} = \text{BP} \tan \nu$, d. i. $a + x = b \tan \nu$, also $x = b \tan \nu - a$, und $dx = b \cdot d\nu \cdot \sec^2 \nu$; ferner $\text{BN} = \text{BP} \cdot \sec \nu = b \sec \nu$. Setzt man diese Werthe im Ausdrucke für dv' , so bekommt man

$$dv' = \frac{mn}{b} (b \tan \nu - a)^r \cdot \sin(\nu + \omega) \cdot d\nu.$$

I. Ist $r = 1^*)$, so wird

$$\begin{aligned} dv &= mn \left(\tan \mu - \frac{a}{b} \right) \cdot \sin(\mu + \omega) d\mu \\ &= mn \left\{ \frac{\sin^2 \mu}{\cos \mu} \cos \omega + \left(\sin \omega - \frac{a}{b} \cos \omega \right) \sin \mu - \frac{a}{b} \sin \omega \cdot \cos \mu \right\} d\mu. \end{aligned}$$

Das Integrale davon wird $= v$

$$= mn \left\{ \cos \omega \left[\frac{1}{2} \log \left(\frac{1 + \sin \mu}{1 - \sin \mu} \right) - \sin \mu \right] - \left(\sin \omega - \frac{a}{b} \cos \omega \right) \cos \mu - \frac{a}{b} \sin \omega \sin \mu \right\} + C.$$

Auf gleiche Weise findet man

$$dv' = mn \left(\tan \nu - \frac{a}{b} \right) \sin(\nu + \omega) d\nu,$$

und also

$$v' = mn \left\{ \cos \omega \left[\frac{1}{2} \log \left(\frac{1 + \sin \nu}{1 - \sin \nu} \right) - \sin \nu \right] - \left(\sin \omega - \frac{a}{b} \cos \omega \right) \cos \nu - \frac{a}{b} \sin \omega \sin \nu \right\} + C'.$$

Aber wenn die Nadel im Gleichgewichte ist, so muß v und v' gleich groß seyn, oder $v' - v = 0$; dividirt man also auf beiden Seiten mit mn , bekommt man

$$0 = \left\{ \frac{a}{b} (\cos \nu - \cos \mu) + \sin \mu - \sin \nu + \frac{1}{2} \log \frac{1 + \sin \nu}{1 - \sin \nu} - \frac{1}{2} \log \frac{1 + \sin \mu}{1 - \sin \mu} \right\} \cos \omega$$

*) Für $r = 1$, hat Herr Lambert dieses Problem gelöst in seiner Untersuchung: Sur la courbure du courant magnetique. Mem. d. Sc. à Berlin An. 1766. Tom. XXII.

II. Ist $r = 2$, so wird

$$dv = -\frac{mn}{b} (a - b \cdot \tan \mu)^2 \cdot \sin(\mu + \omega) d\mu,$$

$$dv' = \frac{mn}{b} (b \cdot \tan \nu - a)^2 \cdot \sin(\nu + \omega) d\nu.$$

Quadrirt man nun $a - b \cdot \tan \mu$, und löset $\sin(\omega + \mu)$ in seine Theile auf, so erhält man

$$dv = -mn \left\{ b \cos \omega \cdot \frac{\sin^3 \mu}{\cos^2 \mu} - (2a \cos \omega - b \sin \omega) \frac{\sin^2 \mu}{\cos \mu} + \left(\frac{a^2}{b} \cos \omega - 2a \sin \omega \right) \sin \mu + \frac{a^2}{b} \sin \omega \cdot \cos \mu \right\} d\mu,$$

also

$$\begin{aligned} v &= -mn \left\{ b \cos \omega (\sec \mu + \cos \mu) - (2a \cos \omega - b \sin \omega) \left(\log \frac{1 + \sin \mu}{\cos \mu} - \sin \mu \right) - \left(\frac{a^2}{b} \cos \omega - 2a \sin \omega \right) \cos \mu + \frac{a^2}{b} \sin \omega \cdot \sin \mu + C \right\}, \\ &= -mn \left\{ b (\sec \mu + \cos \mu) - 2a \left(\log \frac{1 + \sin \mu}{\cos \mu} - \sin \mu \right) - \frac{a^2}{b} \cos \mu \right\} \cos \omega \\ &\quad - mn \left\{ b \left(\log \frac{1 + \sin \mu}{\cos \mu} - \sin \mu \right) + 2a \cos \mu + \frac{a^2}{b} \sin \mu \right\} \sin \omega - mnC, \\ &= -mnR \cdot \cos \omega - mnS \cdot \sin \omega - mnC. \end{aligned}$$

Da $(b \tan \nu - a)^2 = (a - b \tan \nu)^2$, so findet man auf gleiche Weise

$$\begin{aligned} v' &= mn \left\{ b (\sec \nu + \cos \nu) - 2a \left(\log \frac{1 + \sin \nu}{\cos \nu} - \sin \nu \right) - \frac{a^2}{b} \cos \nu \right\} \cos \omega \\ &\quad + mn \left\{ b \left(\log \frac{1 + \sin \nu}{\cos \nu} - \sin \nu \right) + 2a \cos \nu + \frac{a^2}{b} \sin \nu \right\} \sin \omega + mnC', \\ &= mnT \cdot \cos \omega + mnU \cdot \sin \omega + mnC'. \end{aligned}$$

Im Gleichgewichte ist $v = v'$, oder $v - v' = 0$

$$= -mn(R + T) \cos \omega - mn(S + U) \sin \omega - mn(C + C').$$

Aber wenn man $x = 0$ setzt, so wird v und $v' = 0$, und $\mu = \nu = x$; also $C = C'$, und $-mn(C + C') = -2mnC$

$$\begin{aligned}
&= mn \left\{ 2b (\sec x + \cos x) - 4a \left(\log \frac{1 + \sin x}{\cos x} - \sin x \right) - \frac{2a^2}{b} \cos x \right\} \cos \omega \\
&+ mn \left\{ 2b \left(\log \frac{1 + \sin x}{\cos x} - \sin x \right) + 4a \cos x + \frac{2a^2}{b} \sin x \right\} \sin \omega \\
&= mnX \cdot \cos \omega + mnY \cdot \sin \omega.
\end{aligned}$$

Man hat also

$$0 = mn(X - R - T) \cos \omega + mn(Y - S - U) \sin \omega,$$

oder wenn man mit $mn \sin \omega$ dividirt

$$0 = (X - R - T) \cot \omega + Y - S - U, \text{ und } \cot \omega = \frac{Y - S - U}{R + T - X}.$$

$$\text{Nun ist } \frac{1 + \sin \mu}{\cos \mu} = \left(\frac{1 + \sin \mu}{1 - \sin \mu} \right)^{\frac{1}{2}} = \tan(45^\circ + \tfrac{1}{2}\mu) = \tan \tfrac{1}{2}BMC = \tan \tfrac{1}{2}t;$$

$$\text{ebenfals ist } \frac{1 + \sin \nu}{\cos \nu} = \tan(45^\circ + \tfrac{1}{2}\nu) = \cot(45^\circ - \tfrac{1}{2}\nu) = \cot \tfrac{1}{2}BNC$$

$$= \cot \tfrac{1}{2}\nu; \text{ endlich ist } \frac{1 + \sin x}{\cos x} = \cot(45^\circ - \tfrac{1}{2}x) = \cot \tfrac{1}{2}u. \text{ Dividirt man}$$

nun Zähler und Nenner mit a , und setzt obige Werthe ein, zugleich $\tan x$

$$\text{für } \frac{a}{b}, \cot x \text{ für } \frac{b}{a}, \text{ so erhält man den Zähler } = \frac{Y - S - U}{a}$$

$$\begin{aligned}
&= \cot x \log \left(\frac{\cot^2(\frac{1}{2}u)}{\tan \frac{1}{2}t \cdot \cot \frac{1}{2}\nu} \right) + \cot x (\sin \mu + \sin \nu) + 2 \sec x - 2(\cos \mu + \cos \nu) \\
&\quad - \tan x (\sin \mu + \sin \nu);
\end{aligned}$$

$$\text{und den Nenner } = \frac{R + T - X}{a}$$

$$\begin{aligned}
&= \cot x (\sec \mu + \sec \nu + \cos \mu + \cos \nu) + 2 \log \left(\frac{\cot^2(\frac{1}{2}u)}{\tan \frac{1}{2}t \cdot \cot \frac{1}{2}\nu} \right) + 2(\sin \mu + \sin \nu) \\
&\quad - \tan x (\cos \mu + \cos \nu) - 4 \operatorname{cosec} x.
\end{aligned}$$

Multiplicirt man ferner Zähler und Nenner mit $\sin x$, so wird der Zähler

$$= \mathfrak{Z} = \frac{(Y - S - U) \cdot \sin x}{a}$$

$$\begin{aligned}
&= \cos x \log \left(\frac{\cot^2(\frac{1}{2}u)}{\tan \frac{1}{2}t \cdot \cot \frac{1}{2}\nu} \right) + \sin(\nu - x) - \sin(x - \mu) \\
&\quad - \tan x [\cos(x - \mu) + \cos(\nu - x)] + 2 \tan x,
\end{aligned}$$

$$\begin{aligned} \text{und der Nenner} = \mathfrak{N} &= \frac{(R + T - X) \cdot \sin x}{a} \\ &= \cos x (\sec \mu + \sec \nu) + \cos(x - \mu) + \cos(\nu - x) - \operatorname{tg} x [\sin(x - \mu) - \sin(\nu - x)] \\ &\quad + 2 \sin x \log \left(\frac{\cot^2(\frac{1}{2}u)}{\operatorname{tg} \frac{1}{2}t \cdot \cot \frac{1}{2}v} \right) - 4; \end{aligned}$$

$$\text{also } (\gamma) \cot \omega = \frac{3}{\mathfrak{N}}$$

$$\begin{aligned} &\frac{\sin u \cdot \log \frac{\cot^2(\frac{1}{2}u)}{\operatorname{tg} \frac{1}{2}t \cdot \cot \frac{1}{2}v} + \cot u (2 - \cos r - \cos s) + \sin s - \sin r}{2 \cos u \cdot \log \frac{\cot^2(\frac{1}{2}u)}{\operatorname{tg} \frac{1}{2}t \cdot \cot \frac{1}{2}v} - \cot u (\sin r - \sin s) + \sin u (\operatorname{cosec} t + \operatorname{cosec} v) + \cos r + \cos s - 4} \\ &= \frac{\sin u \cdot \log \frac{\cot^2(\frac{1}{2}u)}{\operatorname{tg} \frac{1}{2}t \cdot \cot \frac{1}{2}v} + \cot u (2 - \cos r - \cos s) + \sin s - \sin r}{2 \cos u \cdot \log \frac{\cot^2(\frac{1}{2}u)}{\operatorname{tg} \frac{1}{2}t \cdot \cot \frac{1}{2}v} - \cot u (\sin r - \sin s) + \sin u (\operatorname{cosec} t + \operatorname{cosec} v) + \cos r + \cos s - 4} \end{aligned}$$

oder wenn man Zähler und Nenner mit $\sin u$ multipliciret

$$(\delta) \cot \omega = \frac{3'}{\mathfrak{N}'}$$

$$\begin{aligned} &\frac{2 \cos u + \sin^2 u \log \frac{\cot^2(\frac{1}{2}u)}{\operatorname{tg} \frac{1}{2}t \cdot \cot \frac{1}{2}v} - \cos(u - r) - \cos(u + s)}{\sin^2 u (\operatorname{cosec} t + \operatorname{cosec} v) + \sin 2u \log \frac{\cot^2(\frac{1}{2}u)}{\operatorname{tg} \frac{1}{2}t \cdot \cot \frac{1}{2}v} + \sin(u + s) - \sin(r - u) - 4 \sin u} \\ &= \frac{2 \cos u + \sin^2 u \log \frac{\cot^2(\frac{1}{2}u)}{\operatorname{tg} \frac{1}{2}t \cdot \cot \frac{1}{2}v} - \cos(u - r) - \cos(u + s)}{\sin^2 u (\operatorname{cosec} t + \operatorname{cosec} v) + \sin 2u \log \frac{\cot^2(\frac{1}{2}u)}{\operatorname{tg} \frac{1}{2}t \cdot \cot \frac{1}{2}v} + \sin(u + s) - \sin(r - u) - 4 \sin u} \end{aligned}$$

§. 20. Da die in dem vorhergehenden §. gefundenen Formeln für $\cot \omega$ ziemlich beschwerlich für den Calcul sind, wollen wir sie in Reihen auflösen. Oben wurde gezeigt, daß

$$dv = \frac{mnx^r dx \cdot \sin(\mu + \omega)}{BM^2} = \frac{mnx^r dx (\sin \mu \cdot \cos \omega + \cos \mu \cdot \sin \omega)}{BM^2},$$

und

$$dv' = \frac{mnx^r dx \cdot \sin(\nu + \omega)}{BN^2} = \frac{mnx^r dx (\sin \nu \cdot \cos \omega + \cos \nu \cdot \sin \omega)}{BN^2}.$$

Setzt man $CM = CN = x$, $CB = \rho$, $BCM = u$, so ist im Dreiecke BCM, $BM^2 = CB^2 + CM^2 - 2BC \cdot CM \cdot \cos BCM = \rho^2 + x^2 - 2\rho x \cdot \cos u$, und im Dreiecke BCN, $BN^2 = BC^2 + CN^2 - 2BC \cdot CN \cdot \cos BCN = \rho^2 + x^2 + 2\rho x \cdot \cos u$. Ferner ist

$$\sin \mu = \frac{MP}{BM} = \frac{CP - CM}{BM} = \frac{\rho \cos u - x}{BM};$$

$$\sin \nu = \sin \text{NBP} = \frac{\text{NP}}{\text{NB}} = \frac{\text{NC} + \text{CP}}{\text{NB}} = \frac{x + \rho \cos u}{\text{NB}},$$

$$\cos \mu = \frac{\text{BP}}{\text{BM}} = \frac{\rho \sin u}{\text{BM}}; \quad \cos \nu = \frac{\text{BP}}{\text{BN}} = \frac{\rho \sin u}{\text{BN}}.$$

Also ist

$$dv = \frac{mnx^r dx \cos \omega (\rho \cos u - x)}{(\rho^2 + x^2 - 2\rho x \cos u)^{\frac{3}{2}}} + \frac{mnx^r dx \sin \omega \cdot \rho \sin u}{(\rho^2 + x^2 - 2\rho x \cos u)^{\frac{3}{2}}}$$

$$dv' = \frac{mnx^r dx \cos \omega (\rho \cos u + x)}{(\rho^2 + x^2 + 2\rho x \cos u)^{\frac{3}{2}}} + \frac{mnx^r dx \sin \omega \cdot \rho \sin u}{(\rho^2 + x^2 + 2\rho x \cos u)^{\frac{3}{2}}}$$

Setzt man $\rho^2 + x^2 = P$, $2\rho x \cos u = Q$, so ist

$$dv = mn(P - Q)^{-\frac{3}{2}} \cdot (x^r \rho \cos \omega \cos u - x^{r+1} \cos \omega + x^r \rho \sin \omega \sin u) dx$$

$$dv' = mn(P + Q)^{-\frac{3}{2}} \cdot (x^r \rho \cos \omega \cos u + x^{r+1} \cos \omega + x^r \rho \sin \omega \sin u) dx.$$

Aber wenn die unendlich kleine Magnetnadel in Ruhe ist, wird $v - v' = 0$; also hat man

$$0 = \int x^r dx \cdot \rho \cos \omega \cos u [(P - Q)^{-\frac{3}{2}} - (P + Q)^{-\frac{3}{2}}]$$

$$- \int x^{r+1} dx \cdot \cos \omega [(P - Q)^{-\frac{3}{2}} + (P + Q)^{-\frac{3}{2}}] Q$$

$$+ \int x^r dx \cdot \rho \sin \omega \sin u [(P - Q)^{-\frac{3}{2}} - (P + Q)^{-\frac{3}{2}}],$$

oder, wenn man $(P - Q)^{-\frac{3}{2}} + (P + Q)^{-\frac{3}{2}} = S$, $(P - Q)^{-\frac{3}{2}} - (P + Q)^{-\frac{3}{2}} = D$ setzt,

$$\rho \sin \omega \sin u \cdot \int x^r dx \cdot D = \cos \omega \cdot \int x^{r+1} dx \cdot S - \rho \cos \omega \cos u \cdot \int x^r dx \cdot D.$$

Nach der binomischen Formel ist

$$(P - Q)^{-\frac{3}{2}} = P^{-\frac{3}{2}} + \frac{3}{1 \cdot 2} P^{-\frac{5}{2}} Q + \frac{3 \cdot 5}{1 \cdot 2 \cdot 2^2} P^{-\frac{7}{2}} Q^2 + \frac{3 \cdot 5 \cdot 7}{1 \cdot 2 \cdot 3 \cdot 2^3} P^{-\frac{9}{2}} Q^3 + \dots$$

$$(P + Q)^{-\frac{3}{2}} = P^{-\frac{3}{2}} - \frac{3}{1 \cdot 2} P^{-\frac{5}{2}} Q + \frac{3 \cdot 5}{1 \cdot 2 \cdot 2^2} P^{-\frac{7}{2}} Q^2 - \frac{3 \cdot 5 \cdot 7}{1 \cdot 2 \cdot 3 \cdot 2^3} P^{-\frac{9}{2}} Q^3 + \dots$$

$$D = 2 \left\{ \frac{3}{1 \cdot 2} P^{-\frac{5}{2}} Q + \frac{3 \cdot 5 \cdot 7}{1 \cdot 2 \cdot 3 \cdot 2^3} P^{-\frac{9}{2}} Q^3 + \frac{3 \cdot 5 \dots 11}{1 \cdot 2 \dots 5 \cdot 2^5} P^{-\frac{13}{2}} Q^5 + \dots \right\}$$

$$S = 2 \left\{ P^{-\frac{3}{2}} + \frac{3 \cdot 5}{1 \cdot 2 \cdot 2^2} P^{-\frac{7}{2}} Q^2 + \frac{3 \cdot 5 \dots 9}{1 \cdot 2 \dots 4 \cdot 2^4} P^{-\frac{11}{2}} Q^4 + \dots \right\}$$

Die Reihe D soll hierauf mit $\rho x^r dx$ multiplicirt werden; aber da $P = \rho^2 + x^2$,

so kann man jedes ihrer Glieder wieder in eine unendliche Reihe auflösen. Nun ist

$$(\rho^2 + x^2)^{-\frac{n}{2}} = \frac{1}{\rho^n} - \frac{n}{1 \cdot 2^1} \cdot \frac{x^2}{\rho^{n+2}} + \frac{n(n+2)}{1 \cdot 2 \cdot 2^2} \cdot \frac{x^4}{\rho^{n+4}} - \frac{n(n+2)(n+4)}{1 \cdot 2 \cdot 3 \cdot 2^3} \cdot \frac{x^6}{\rho^{n+6}} +$$

Setzt man in dieser Reihe nach und nach $n = 5, n = 9, n = 13$ u. s. w., so erhält man $P^{-\frac{1}{2}}, P^{-\frac{3}{2}}, P^{-\frac{5}{2}}$. Werden diese Reihen mit den gehörigen Coefficienten $3Q, \frac{3 \cdot 5 \cdot 7}{1 \cdot 2 \cdot 3 \cdot 2^3} Q^3, \frac{3 \cdot 5 \dots 11}{1 \cdot 2 \dots 5 \cdot 2^4} Q^5$ (wo $Q = 2\rho x \cos u$) und mit $\rho x^r dx$ multiplicirt, so wird

$$\begin{aligned} \rho x^r dx [(P - Q)^{-\frac{1}{2}} - (P + Q)^{-\frac{1}{2}}] &= \rho D x^r dx \\ (A) &= \frac{3}{1} \cdot \frac{x^{r+1}}{\rho^3} - \frac{3 \cdot 5}{1 \cdot 2^1} \cdot \frac{x^{r+3}}{\rho^5} + \frac{3 \cdot 5 \cdot 7}{1 \cdot 2 \cdot 2^2} \cdot \frac{x^{r+5}}{\rho^7} - \frac{3 \cdot 5 \cdot 7 \cdot 9}{1 \cdot 2 \cdot 3 \cdot 2^3} \cdot \frac{x^{r+7}}{\rho^9} + \dots \\ &\quad + \frac{5 \cdot 7}{1} \cdot \frac{x^{r+3}}{\rho^5} - \frac{5 \cdot 7 \cdot 9}{1 \cdot 2^1} \cdot \frac{x^{r+5}}{\rho^7} + \frac{5 \cdot 7 \cdot 9 \cdot 11}{1 \cdot 2 \cdot 2^2} \cdot \frac{x^{r+7}}{\rho^9} - \dots \\ &\quad + \frac{7 \cdot 9 \cdot 11}{1} \cdot \frac{x^{r+5}}{\rho^7} - \frac{7 \cdot 9 \cdot 11 \cdot 13}{1 \cdot 2^1} \cdot \frac{x^{r+7}}{\rho^9} + \dots \\ &\quad + \frac{9 \cdot 11 \cdot 13}{1} \cdot \frac{x^{r+7}}{\rho^9} - \dots \end{aligned}$$

Auf nämliche Weise löse man die Glieder in der Reihe S in unendliche Reihen auf, und multiplicire sie mit $x^{r+1} dx$, so wird

$$\begin{aligned} x^{r+1} dx [(P - Q)^{-\frac{1}{2}} + (P + Q)^{-\frac{1}{2}}] &= S x^{r+1} dx \\ (B) &= \frac{1}{1} \cdot \frac{x^{r+1}}{\rho^3} - \frac{1 \cdot 3}{1 \cdot 2^1} \cdot \frac{x^{r+3}}{\rho^5} + \frac{1 \cdot 3 \cdot 5}{1 \cdot 2 \cdot 2^2} \cdot \frac{x^{r+5}}{\rho^7} - \frac{1 \cdot 3 \cdot 5 \cdot 7}{1 \cdot 2 \cdot 3 \cdot 2^3} \cdot \frac{x^{r+7}}{\rho^9} + \dots \\ &\quad + \frac{3 \cdot 5}{1} \cdot \frac{x^{r+3}}{\rho^5} - \frac{3 \cdot 5 \cdot 7}{1 \cdot 2^1} \cdot \frac{x^{r+5}}{\rho^7} + \frac{3 \cdot 5 \cdot 7 \cdot 9}{1 \cdot 2 \cdot 2^2} \cdot \frac{x^{r+7}}{\rho^9} - \dots \\ &\quad + \frac{5 \cdot 7 \cdot 9}{1} \cdot \frac{x^{r+5}}{\rho^7} - \frac{5 \cdot 7 \cdot 9 \cdot 11}{1 \cdot 2^1} \cdot \frac{x^{r+7}}{\rho^9} + \dots \\ &\quad + \frac{7 \cdot 9 \cdot 11}{1} \cdot \frac{x^{r+7}}{\rho^9} - \dots \end{aligned}$$

Das Integrale von A wird $= \rho \int x^r dx \cdot D =$

$$\begin{aligned}
& + \frac{5}{r+2} \frac{x^{r+3}}{\rho^3} - \frac{5 \cdot 5}{1 \cdot 2^1(r+4)} \frac{x^{r+4}}{\rho^5} + \frac{5 \cdot 5 \cdot 7}{1 \cdot 2 \cdot 2^2(r+6)} \frac{x^{r+6}}{\rho^7} - \frac{5 \cdot 5 \cdot 7 \cdot 9}{1 \cdot 2 \cdot 3 \cdot 2^3(r+8)} \frac{x^{r+8}}{\rho^9} \left\} 2 \cos u \right. \\
& + \frac{5 \cdot 7}{r+4} - \frac{5 \cdot 7 \cdot 9}{1 \cdot 2^1(r+6)} + \frac{5 \cdot 7 \cdot 9 \cdot 11}{1 \cdot 2 \cdot 2^2(r+8)} \left\} \frac{2}{2} \cos^3 u \right. \\
& + \frac{7 \cdot 9 \cdot 11}{r+6} - \frac{7 \cdot 9 \cdot 11 \cdot 13}{1 \cdot 2^1(r+8)} \left\} \frac{2}{2 \cdot 4} \cos^5 u \right. \\
& + \frac{9 \cdot 11 \cdot 13 \cdot 15}{r+8} \left\} \frac{2}{2 \cdot 4 \cdot 6} \cos^7 u \right.
\end{aligned}$$

Das Integrale von B wird $= \int x^{r+1} dx \cdot S =$

$$\begin{aligned}
& + \frac{1}{r+2} \frac{x^{r+3}}{\rho^3} - \frac{1 \cdot 5}{1 \cdot 2^1(r+4)} \frac{x^{r+4}}{\rho^5} + \frac{1 \cdot 5 \cdot 5}{1 \cdot 2 \cdot 2^2(r+6)} \frac{x^{r+6}}{\rho^7} - \frac{1 \cdot 5 \cdot 5 \cdot 7}{1 \cdot 2 \cdot 3 \cdot 2^3(r+8)} \frac{x^{r+8}}{\rho^9} \left\} 2 \right. \\
& + \frac{5 \cdot 5}{r+4} - \frac{5 \cdot 5 \cdot 7}{1 \cdot 2^1(r+6)} + \frac{5 \cdot 5 \cdot 7 \cdot 9}{1 \cdot 2 \cdot 2^2(r+8)} \left\} \frac{2}{2} \cos^2 u \right. \\
& + \frac{5 \cdot 7 \cdot 9}{r+6} - \frac{5 \cdot 7 \cdot 9 \cdot 11}{1 \cdot 2^1(r+8)} \left\} \frac{2}{2 \cdot 4} \cos^4 u \right. \\
& + \frac{7 \cdot 9 \cdot 11 \cdot 13}{r+8} \left\} \frac{2}{2 \cdot 4 \cdot 6} \cos^6 u \right.
\end{aligned}$$

Multiplicirt man das Integrale von A mit $\sin \omega \cdot \sin u$, und setzt $\frac{1}{2} \sin 2u$ für $\sin u \cdot \cos u$, so bekommt man $\rho \cdot \sin \omega \cdot \sin u \cdot \int x^r dx \cdot D =$

$$\begin{aligned}
& + \alpha = \frac{3}{r+2} \frac{x^{r+3}}{\rho^3} - \frac{5 \cdot 5}{1 \cdot 2^1(r+4)} \frac{x^{r+4}}{\rho^5} + \frac{5 \cdot 5 \cdot 7}{1 \cdot 2 \cdot 2^2(r+6)} \frac{x^{r+6}}{\rho^7} - \frac{5 \cdot 5 \cdot 7 \cdot 9}{1 \cdot 2 \cdot 3 \cdot 2^3(r+8)} \frac{x^{r+8}}{\rho^9} \left\} \right. \\
& + \beta = \frac{5 \cdot 7}{r+4} - \frac{5 \cdot 7 \cdot 9}{1 \cdot 2^1(r+6)} + \frac{5 \cdot 7 \cdot 9 \cdot 11}{1 \cdot 2 \cdot 2^2(r+8)} \left\} \frac{1}{2} \cos^2 u \right. \\
& + \gamma = \frac{7 \cdot 9 \cdot 11}{r+6} - \frac{7 \cdot 9 \cdot 11 \cdot 13}{1 \cdot 2^1(r+8)} \left\} \frac{1}{2 \cdot 4} \cos^4 u \right. \\
& + \delta = \frac{9 \cdot 11 \cdot 13 \cdot 15}{r+8} \left\} \frac{1}{2 \cdot 4 \cdot 6} \cos^6 u \right.
\end{aligned}$$

Multiplicirt man das Integrale von B mit $\cos \omega$ und das Integrale von A mit $\cos \omega \cdot \cos u$, und zieht letzteres vom ersteren ab, so bekommt man $\cos \omega \cdot \int x^{r+1} dx \cdot S - \rho \cos \omega \cdot \cos u \cdot \int x^r dx \cdot D =$

$$\begin{aligned}
 +a &= \frac{1}{r+2} - \frac{1 \cdot 3}{2(r+4)} \frac{x^2}{\rho^2} + \frac{1 \cdot 3 \cdot 5}{1 \cdot 2 \cdot 2^2(r+6)} \frac{x^4}{\rho^4} - \frac{1 \cdot 3 \cdot 5 \cdot 7}{1 \cdot 2 \cdot 2^2 \cdot 2^3(r+8)} \frac{x^6}{\rho^6} + \dots \\
 +b &= -\frac{3 \cdot 4}{r+2} + \frac{1 \cdot 3 \cdot 5 \cdot 4}{1 \cdot 2^2(r+4)} - \frac{3 \cdot 5 \cdot 7 \cdot 6}{1 \cdot 2 \cdot 2^2(r+6)} + \frac{3 \cdot 5 \cdot 7 \cdot 9 \cdot 8}{1 \cdot 2 \cdot 2^2 \cdot 2^3(r+8)} - \dots \\
 +c &= \frac{5 \cdot 7 \cdot 4}{r+4} - \frac{5 \cdot 7 \cdot 9 \cdot 6}{1 \cdot 2^2(r+6)} + \frac{5 \cdot 7 \cdot 11 \cdot 8}{1 \cdot 2 \cdot 2^2(r+8)} - \dots \\
 +d &= \frac{7 \cdot 9 \cdot 11 \cdot 6}{r+6} - \frac{7 \cdot 9 \cdot 13 \cdot 8}{1 \cdot 2^2(r+8)} + \dots \\
 +e &= \frac{9 \cdot 11 \cdot 13 \cdot 8}{r+8} - \dots
 \end{aligned}$$

Benennt man nun die Summe dieser Reihen mit den Buchstaben $\alpha, \beta, \gamma, a, b, c, \dots$, so ist

$$[a + \beta \cos^2 u + \gamma \cos^4 u + \delta \cos^6 u + \dots] \sin 2u \sin \omega = [a + b \cos^2 u + c \cos^4 u + \dots] \cos u$$

und

$$\cot \omega = \frac{[a + \beta \cos^2 u + \gamma \cos^4 u + \delta \cos^6 u + \dots] \sin 2u}{[a + b \cos^2 u + c \cos^4 u + d \cos^6 u + \dots]}$$

Zusatz 1. Die vorstehenden Reihen können dividirt werden mit $\frac{x^{r+2}}{\rho^2}$, und man erhält

$$\begin{aligned}
 a &= \frac{3}{r+2} - \frac{1 \cdot 3}{2(r+4)} \frac{x^2}{\rho^2} + \frac{1 \cdot 3 \cdot 5}{1 \cdot 2 \cdot 2^2(r+6)} \frac{x^4}{\rho^4} - \frac{1 \cdot 3 \cdot 5 \cdot 7}{1 \cdot 2 \cdot 2^2 \cdot 2^3(r+8)} \frac{x^6}{\rho^6} + \dots \\
 \beta &= -\frac{3 \cdot 4}{r+2} + \frac{1 \cdot 3 \cdot 5 \cdot 4}{1 \cdot 2^2(r+4)} - \frac{3 \cdot 5 \cdot 7 \cdot 6}{1 \cdot 2 \cdot 2^2(r+6)} + \frac{3 \cdot 5 \cdot 7 \cdot 9 \cdot 8}{1 \cdot 2 \cdot 2^2 \cdot 2^3(r+8)} - \dots \\
 \gamma &= \frac{5 \cdot 7 \cdot 4}{r+4} - \frac{5 \cdot 7 \cdot 9 \cdot 6}{1 \cdot 2^2(r+6)} + \frac{5 \cdot 7 \cdot 11 \cdot 8}{1 \cdot 2 \cdot 2^2(r+8)} - \dots \\
 \delta &= \frac{7 \cdot 9 \cdot 11 \cdot 6}{r+6} - \frac{7 \cdot 9 \cdot 13 \cdot 8}{1 \cdot 2^2(r+8)} + \dots
 \end{aligned}$$

Ist nun $\frac{x}{\rho} = \frac{MC}{BC}$ ein sehr kleiner Bruch, d. h. ist der Nadel Abstand BC vom Mittelpunkte des Magneten sehr groß im Vergleiche mit der halben Magnetaxe CM, so können die Glieder der Reihen, welche mit $\left(\frac{x}{\rho}\right)^2$ und den höheren Potenzen dieses Bruches multiplicirt sind unberücksichtigt bleiben. Man bekommt alsdann

$$\frac{3}{r+2} \cdot \sin 2u \cdot \sin \omega = \left(\frac{2}{r+2} - \frac{6}{r+2} \cos^2 u \right) \cos \omega,$$

oder durch Multiplication mit $r+2$

$$3 \cdot \sin 2u \cdot \sin \omega = (2 - 6 \cos^2 u) \cos \omega,$$

folglich

$$\cot \omega = \frac{3 \cdot \sin 2u}{2 - 6 \cos^2 u} = - \frac{\sin 2u}{2 \cos^2 u - \frac{2}{3}} = \frac{-\sin 2u}{\cos 2u + \frac{1}{3}},$$

welches die obenangeführte von Humboldt und Biot angegebene Formel ist. Hieraus ergibt sich, dass in grossen Abständen die Vertheilung der magnetischen Kräfte in der Magnetaxe oder das zweyte magnetische Elementargesetz, welches durch den Werth von r bestimmt wird, keinen merklichen Einfluss auf den Winkel ω habe.

Zusatz 2. Setzt man $r = 1$, so bekommt man

$$a = \frac{1}{1} \cdot \frac{x^3}{\varrho^3} - \frac{5}{2} \cdot \frac{x^5}{\varrho^5} + \frac{15}{8} \cdot \frac{x^7}{\varrho^7} - \frac{35}{16} \cdot \frac{x^9}{\varrho^9} + \dots$$

$$\beta = \quad + \frac{7}{2} \cdot \quad - \frac{45}{4} \cdot \quad + \frac{385}{16} \cdot \quad - \dots$$

$$\gamma = \quad \quad + \frac{99}{8} \cdot \quad - \frac{1001}{16} \cdot \quad + \dots$$

$$\delta = \quad \quad \quad + \frac{715}{16} \cdot \quad - \dots$$

$$a = \frac{2}{5} \cdot \frac{x^3}{\varrho^3} - \frac{5}{5} \cdot \frac{x^5}{\varrho^5} + \frac{15}{28} \cdot \frac{x^7}{\varrho^7} - \frac{35}{72} \cdot \frac{x^9}{\varrho^9} + \dots$$

$$b = -2 \cdot \quad + 6 \cdot \quad - \frac{45}{4} \cdot \quad + \frac{35}{2} \cdot \quad - \dots$$

$$c = \quad - 7 \cdot \quad + \frac{135}{4} \cdot \quad - \frac{385}{4} \cdot \quad + \dots$$

$$d = \quad \quad - \frac{99}{4} \cdot \quad + \frac{1001}{6} \cdot \quad - \dots$$

$$e = \quad \quad \quad - \frac{715}{8} \cdot \quad + \dots$$

Z

Setzt man $r = 2$, so wird

$$\alpha = \frac{5}{4} \cdot \frac{x^4}{\rho^1} - \frac{5}{4} \cdot \frac{x^6}{\rho^5} + \frac{105}{64} \cdot \frac{x^8}{\rho^7} - \frac{63}{32} \cdot \frac{x^{10}}{\rho^9} + \frac{1155}{512} \cdot \frac{x^{12}}{\rho^{11}} -$$

$$\beta = \quad + \frac{35}{12} \cdot \quad - \frac{315}{32} \cdot \quad + \frac{693}{32} \cdot \quad - \frac{5005}{128} \cdot \quad +$$

$$\gamma = \quad \quad + \frac{693}{64} \cdot \quad - \frac{9009}{160} \cdot \quad + \frac{45045}{256} \cdot \quad -$$

$$\delta = \quad \quad \quad + \frac{1287}{32} \cdot \quad - \frac{56465}{128} \cdot \quad +$$

$$\epsilon = \quad \quad \quad \quad + \frac{230945}{1536} \cdot \quad -$$

$$a = \frac{1}{2} \cdot \frac{x^4}{\rho^1} - \frac{1}{2} \cdot \frac{x^6}{\rho^5} + \frac{15}{32} \cdot \frac{x^8}{\rho^7} - \frac{7}{16} \cdot \frac{x^{10}}{\rho^9} + \frac{105}{256} \cdot \frac{x^{12}}{\rho^{11}} -$$

$$b = -\frac{5}{2} \cdot \quad + \frac{5}{1} \cdot \quad - \frac{315}{32} \cdot \quad + \frac{63}{4} \cdot \quad - \frac{5775}{256} \cdot \quad +$$

$$c = \quad - \frac{55}{6} \cdot \quad + \frac{945}{32} \cdot \quad - \frac{693}{8} \cdot \quad + \frac{25025}{128} \cdot \quad -$$

$$d = \quad \quad - \frac{693}{32} \cdot \quad + \frac{3003}{20} \cdot \quad - \frac{75075}{128} \cdot \quad +$$

$$e = \quad \quad \quad - \frac{1287}{16} \cdot \quad + \frac{182325}{256} \cdot \quad -$$

$$f = \quad \quad \quad \quad - \frac{230945}{768} \cdot \quad +$$

u. s. w.

§. 21. Um die Rechnung noch mehr zu erleichtern, drücken wir diese Formel durch Cosinus der Vielfachen des Winkels u aus, anstatt durch Potenzen vom Cosinus des einfachen Winkels.

Nun ist

$$\begin{aligned} \cos^n u = \frac{1}{2^n} \left\{ \cos nu + n \cdot \cos (n-2)u + \frac{n(n-1)}{1 \cdot 2} \cdot \cos (n-4)u + \dots \right. \\ \left. + \frac{n(n-1) \dots (n-m+1)}{1 \cdot 2 \dots m} \cos (n-2m)u \right\} \end{aligned}$$

wo die Reihe abbricht, wenn $n - m + 1 = 0$, das ist $m = n + 1$ wird, oder, weil n hier eine gerade Zahl ist:

$$\cos^n u = \frac{1}{2^{n-1}} \left\{ \cos nu + \frac{n}{1} \cos (n-2)u + \frac{n(n-1)}{1 \cdot 2} \cos (n-4)u + \dots \right. \\ \left. + \frac{n(n-1) \dots (\frac{1}{2}n + 2)}{1 \cdot 2 \dots (\frac{1}{2}n - 1)} \cos 2u \right\} + \frac{n(n-1)(n-2) \dots (\frac{1}{2}n + 1)}{1 \cdot 2 \cdot 3 \dots \frac{1}{2}n \cdot 2^n}.$$

Also ist

$$\cos^2 u = \frac{1}{2} + \frac{1}{2} \cos 2u$$

$$\cos^4 u = \frac{3}{8} + \frac{1}{2} \cos 2u + \frac{1}{8} \cos 4u$$

$$\cos^6 u = \frac{5}{16} + \frac{3}{8} \cos 2u + \frac{3}{16} \cos 4u + \frac{1}{32} \cos 6u$$

$$\cos^8 u = \frac{35}{256} + \frac{7}{64} \cos 2u + \frac{7}{128} \cos 4u + \frac{7}{256} \cos 6u + \frac{1}{512} \cos 8u$$

$$\cos^{10} u = \frac{63}{512} + \frac{15}{256} \cos 2u + \frac{15}{2048} \cos 4u + \frac{15}{16384} \cos 6u + \frac{15}{131072} \cos 8u + \frac{1}{262144} \cos 10u$$

$$\cos^{12} u = \frac{527}{16384} + \frac{9}{1024} \cos 2u + \frac{9}{16384} \cos 4u + \frac{9}{131072} \cos 6u + \frac{9}{1048576} \cos 8u + \frac{9}{8388608} \cos 10u + \frac{1}{16777216} \cos 12u.$$

Substituirt man diese Werthe der Potenzen von $\cos u$ in den Reihen der Zähler, so bekommt man

$$a = a$$

$$\beta \cos^2 u = \frac{1}{2}\beta + \frac{1}{2}\beta \cos 2u$$

$$\gamma \cos^4 u = \frac{3}{8}\gamma + \frac{1}{2}\gamma \cos 2u + \frac{1}{8}\gamma \cos 4u$$

$$\delta \cos^6 u = \frac{5}{16}\delta + \frac{3}{8}\delta \cos 2u + \frac{3}{16}\delta \cos 4u + \frac{1}{32}\delta \cos 6u$$

$$\epsilon \cos^8 u = \frac{35}{256}\epsilon + \frac{7}{64}\epsilon \cos 2u + \frac{7}{128}\epsilon \cos 4u + \frac{7}{256}\epsilon \cos 6u + \frac{1}{512}\epsilon \cos 8u$$

$$- - - = - - - - - - - - - - - - -$$

$$\text{oder } A + B \cos 2u + C \cos 4u + D \cos 6u + E \cos 8u + \dots$$

$$= a + \beta \cos^2 u + \gamma \cos^4 u + \delta \cos^6 u + \epsilon \cos^8 u + \dots,$$

wenn man die Summe der ersten vertikalen Reihe $= A$, die Summe der zweyten $= B$, der dritten $= C$ u. s. w. setzt.

Setzt man auf gleiche Weise im Nenner $a + \frac{1}{2}b + \frac{1}{8}c + \frac{1}{16}d + \dots = \mathfrak{A}$; $\frac{1}{2}b + \frac{1}{2}c + \frac{1}{12}d + \dots = \mathfrak{B}$; $\frac{1}{8}c + \frac{1}{16}d + \dots = \mathfrak{C}$; $\frac{1}{12}d + \dots = \mathfrak{D}$, u. s. w., so bekommt man

$$a + b \cos^2 u + c \cos^4 u + d \cos^6 u + \dots = \mathfrak{A} + \mathfrak{B} \cos 2u + \mathfrak{C} \cos 4u + \mathfrak{D} \cos 6u.$$

So findet man

$$\begin{aligned}
 A &= \frac{3}{r+2} \cdot \frac{x^{r+2}}{\rho^1} + \frac{5}{4(r+4)} \cdot \frac{x^{r+4}}{\rho^1} + \frac{399}{64(r+6)} \cdot \frac{x^{r+6}}{\rho^7} + \frac{801}{256(r+8)} \cdot \frac{x^{r+8}}{\rho^9} + \frac{152515}{16384(r+10)} \cdot \frac{x^{r+10}}{\rho^{11}} + \frac{338637}{65536(r+12)} \\
 B &= + \frac{35}{4(r+4)} \cdot \frac{x^{r+4}}{\rho^1} + \frac{63}{16(r+6)} \cdot \frac{x^{r+6}}{\rho^7} + \frac{7821}{512(r+8)} \cdot \frac{x^{r+8}}{\rho^9} + \frac{16445}{2048(r+10)} \cdot \frac{x^{r+10}}{\rho^{11}} + \frac{1403805}{65536(r+12)} \\
 C &= + \frac{693}{64(r+6)} \cdot \frac{x^{r+6}}{\rho^7} + \frac{1287}{256(r+8)} \cdot \frac{x^{r+8}}{\rho^9} + \frac{72215}{4096(r+10)} \cdot \frac{x^{r+10}}{\rho^{11}} + \frac{155805}{16384(r+12)} \\
 D &= + \frac{6435}{512(r+8)} \cdot \frac{x^{r+8}}{\rho^9} + \frac{12155}{2048(r+10)} \cdot \frac{x^{r+10}}{\rho^{11}} + \frac{2582385}{131072(r+12)} \\
 E &= + \frac{230945}{16384(r+10)} \cdot \frac{x^{r+10}}{\rho^{11}} + \frac{440895}{65536(r+12)} \\
 F &= + \frac{2028117}{131072(r+12)}
 \end{aligned}$$

$$\begin{aligned}
 \mathfrak{A} &= -\frac{1}{r+2} \cdot \frac{x^{r+2}}{\rho^1} - \frac{9}{8(r+4)} \cdot \frac{x^{r+4}}{\rho^1} - \frac{75}{64(r+6)} \cdot \frac{x^{r+6}}{\rho^7} - \frac{1225}{1024(r+8)} \cdot \frac{x^{r+8}}{\rho^9} - \frac{19845}{16384(r+10)} \cdot \frac{x^{r+10}}{\rho^{11}} - \frac{160083}{131072(r+12)} \\
 \mathfrak{B} &= -\frac{3}{r+2} \cdot \frac{x^{r+2}}{\rho^1} - \frac{5}{2(r+4)} \cdot \frac{x^{r+4}}{\rho^1} - \frac{315}{128(r+6)} \cdot \frac{x^{r+6}}{\rho^7} - \frac{315}{128(r+8)} \cdot \frac{x^{r+8}}{\rho^9} - \frac{40425}{16384(r+10)} \cdot \frac{x^{r+10}}{\rho^{11}} - \frac{81081}{32768(r+12)} \\
 \mathfrak{C} &= -\frac{35}{8(r+4)} \cdot \frac{x^{r+4}}{\rho^1} - \frac{189}{64(r+6)} \cdot \frac{x^{r+6}}{\rho^7} - \frac{693}{256(r+8)} \cdot \frac{x^{r+8}}{\rho^9} - \frac{10725}{4096(r+10)} \cdot \frac{x^{r+10}}{\rho^{11}} - \frac{675675}{262144(r+12)} \\
 \mathfrak{D} &= -\frac{693}{128(r+6)} \cdot \frac{x^{r+6}}{\rho^7} - \frac{429}{128(r+8)} \cdot \frac{x^{r+8}}{\rho^9} - \frac{96525}{32768(r+10)} \cdot \frac{x^{r+10}}{\rho^{11}} - \frac{182325}{65536(r+12)} \\
 \mathfrak{E} &= -\frac{6435}{1024(r+8)} \cdot \frac{x^{r+8}}{\rho^9} - \frac{60775}{16384(r+10)} \cdot \frac{x^{r+10}}{\rho^{11}} - \frac{415701}{131072(r+12)} \\
 \mathfrak{F} &= -\frac{230945}{32768(r+10)} \cdot \frac{x^{r+10}}{\rho^{11}} - \frac{264537}{65536(r+12)} \\
 \mathfrak{G} &= -\frac{2028117}{262144(r+12)}
 \end{aligned}$$

Setzt man hierin $r = 2$ und $x = 1$, so findet man

$$A = \frac{3}{4\rho^3} + \frac{5}{24\rho^5} + \frac{599}{512\rho^7} + \frac{801}{2560\rho^9} + \frac{152515}{196608\rho^{11}} + \frac{558637}{917504\rho^{13}} +$$

$$B = + \frac{35}{24\rho^5} + \frac{63}{128\rho^7} + \frac{7821}{5120\rho^9} + \frac{16445}{24576\rho^{11}} + \frac{1403805}{917504\rho^{13}} +$$

$$C = + \frac{695}{512\rho^7} + \frac{1287}{2560\rho^9} + \frac{72215}{49152\rho^{11}} + \frac{155805}{229367\rho^{13}} +$$

$$D = + \frac{1287}{1024\rho^9} + \frac{12155}{24576\rho^{11}} + \frac{2582385}{1835008\rho^{13}} +$$

$$E = + \frac{230945}{196608\rho^{11}} + \frac{62985}{131072\rho^{13}} +$$

$$F = + \frac{289731}{262144\rho^{13}} +$$

$$\mathfrak{A} = - \frac{1}{4\rho^3} - \frac{5}{16\rho^5} - \frac{75}{512\rho^7} - \frac{245}{2048\rho^9} - \frac{6615}{65536\rho^{11}} - \frac{22869}{262144\rho^{13}} -$$

$$\mathfrak{B} = - \frac{3}{4\rho^3} - \frac{5}{12\rho^5} - \frac{315}{1024\rho^7} - \frac{63}{256\rho^9} - \frac{13475}{65536\rho^{11}} - \frac{11583}{65536\rho^{13}} -$$

$$\mathfrak{C} = - \frac{35}{48\rho^5} - \frac{189}{512\rho^7} - \frac{695}{2560\rho^9} - \frac{3575}{16384\rho^{11}} - \frac{96525}{524288\rho^{13}} -$$

$$\mathfrak{D} = - \frac{695}{1024\rho^7} - \frac{429}{1280\rho^9} - \frac{32175}{131072\rho^{11}} - \frac{182325}{917504\rho^{13}} -$$

$$\mathfrak{E} = - \frac{1287}{2048\rho^9} - \frac{60775}{196608\rho^{11}} - \frac{415701}{1835008\rho^{13}} -$$

$$\mathfrak{F} = - \frac{230945}{393216\rho^{11}} - \frac{37791}{131072\rho^{13}} -$$

$$\mathfrak{G} = - \frac{289731}{524288\rho^{13}} -$$

Nach diesen Reihen ist

$$\cot \omega = \frac{(A + B \cos 2u + C \cos 4u + D \cos 6u + \dots) \sin 2u}{\mathfrak{A} + \mathfrak{B} \cos 2u + \mathfrak{C} \cos 4u + \mathfrak{D} \cos 6u + \dots}$$

II. Ist $r = 2$, so wird

$$dv = -\frac{mn}{b} (a - b \cdot \tan \mu)^2 \cdot \sin(\mu + \omega) d\mu,$$

$$dv' = \frac{mn}{b} (b \cdot \tan \nu - a)^2 \cdot \sin(\nu + \omega) d\nu.$$

Quadrirt man nun $a - b \cdot \tan \mu$, und löset $\sin(\omega + \mu)$ in seine Theile auf, so erhält man

$$dv = -mn \left\{ b \cos \omega \cdot \frac{\sin^2 \mu}{\cos^2 \mu} - (2a \cos \omega - b \sin \omega) \frac{\sin^2 \mu}{\cos \mu} + \left(\frac{a^2}{b} \cos \omega - 2a \sin \omega \right) \sin \mu + \frac{a^2}{b} \sin \omega \cdot \cos \mu \right\} d\mu,$$

also

$$\begin{aligned} v &= -mn \left\{ b \cos \omega (\sec \mu + \cos \mu) - (2a \cos \omega - b \sin \omega) \left(\log \frac{1 + \sin \mu}{\cos \mu} - \sin \mu \right) - \left(\frac{a^2}{b} \cos \omega - 2a \sin \omega \right) \cos \mu + \frac{a^2}{b} \sin \omega \cdot \sin \mu + C \right\}, \\ &= -mn \left\{ b (\sec \mu + \cos \mu) - 2a \left(\log \frac{1 + \sin \mu}{\cos \mu} - \sin \mu \right) - \frac{a^2}{b} \cos \mu \right\} \cos \omega \\ &\quad - mn \left\{ b \left(\log \frac{1 + \sin \mu}{\cos \mu} - \sin \mu \right) + 2a \cos \mu + \frac{a^2}{b} \sin \mu \right\} \sin \omega - mnC, \\ &= -mnR \cdot \cos \omega - mnS \cdot \sin \omega - mnC. \end{aligned}$$

Da $(b \tan \nu - a)^2 = (a - b \tan \nu)^2$, so findet man auf gleiche Weise

$$\begin{aligned} v' &= mn \left\{ b (\sec \nu + \cos \nu) - 2a \left(\log \frac{1 + \sin \nu}{\cos \nu} - \sin \nu \right) - \frac{a^2}{b} \cos \nu \right\} \cos \omega \\ &\quad + mn \left\{ b \left(\log \frac{1 + \sin \nu}{\cos \nu} - \sin \nu \right) + 2a \cos \nu + \frac{a^2}{b} \sin \nu \right\} \sin \omega + mnC', \\ &= mnT \cdot \cos \omega + mnU \cdot \sin \omega + mnC'. \end{aligned}$$

Im Gleichgewichte ist $v = v'$, oder $v - v' = 0$

$$= -mn(R + T) \cos \omega - mn(S + U) \sin \omega - mn(C + C').$$

Aber wenn man $x = 0$ setzt, so wird v und $v' = 0$, und $\mu = \nu = x$; also $C = C'$, und $-mn(C + C') = -2mnC$

$$\begin{aligned}
&= mn \left\{ 2b (\sec \kappa + \cos \kappa) - 4a \left(\log \frac{1 + \sin \kappa}{\cos \kappa} - \sin \kappa \right) - \frac{2a^2}{b} \cos \kappa \right\} \cos \omega \\
&+ mn \left\{ 2b \left(\log \frac{1 + \sin \kappa}{\cos \kappa} - \sin \kappa \right) + 4a \cos \kappa + \frac{2a^2}{b} \sin \kappa \right\} \sin \omega \\
&= mnX \cdot \cos \omega + mnY \cdot \sin \omega.
\end{aligned}$$

Man hat also

$$0 = mn(X - R - T) \cos \omega + mn(Y - S - U) \sin \omega,$$

oder wenn man mit $mn \sin \omega$ dividirt

$$0 = (X - R - T) \cot \omega + Y - S - U, \text{ und } \cot \omega = \frac{Y - S - U}{R + T - X}$$

$$\text{Nun ist } \frac{1 + \sin \mu}{\cos \mu} = \left(\frac{1 + \sin \mu}{1 - \sin \mu} \right)^{\frac{1}{2}} = \tan(45^\circ + \tfrac{1}{2}\mu) = \tan \tfrac{1}{2}BMC = \tan \tfrac{1}{2}t;$$

$$\text{ebenfals ist } \frac{1 + \sin \nu}{\cos \nu} = \tan(45^\circ + \tfrac{1}{2}\nu) = \cot(45^\circ - \tfrac{1}{2}\nu) = \cot \tfrac{1}{2}BNC$$

$$= \cot \tfrac{1}{2}\nu; \text{ endlich ist } \frac{1 + \sin \kappa}{\cos \kappa} = \cot(45^\circ - \tfrac{1}{2}\kappa) = \cot \tfrac{1}{2}u. \text{ Dividirt man}$$

nun Zähler und Nenner mit a , und setzt obige Werthe ein, zugleich $\tan \kappa$

$$\text{für } \frac{a}{b}, \cot \kappa \text{ für } \frac{b}{a}, \text{ so erhält man den Zähler } = \frac{Y - S - U}{a}$$

$$\begin{aligned}
&= \cot \kappa \log \left(\frac{\cot^2(\frac{1}{2}u)}{\tan \frac{1}{2}t \cdot \cot \frac{1}{2}\nu} \right) + \cot \kappa (\sin \mu + \sin \nu) + 2 \sec \kappa - 2 (\cos \mu + \cos \nu) \\
&\quad - \tan \kappa (\sin \mu + \sin \nu);
\end{aligned}$$

$$\text{und den Nenner } = \frac{R + T - X}{a}$$

$$\begin{aligned}
&= \cot \kappa (\sec \mu + \sec \nu + \cos \mu + \cos \nu) + 2 \log \left(\frac{\cot^2(\frac{1}{2}u)}{\tan \frac{1}{2}t \cdot \cot \frac{1}{2}\nu} \right) + 2 (\sin \mu + \sin \nu) \\
&\quad - \tan \kappa (\cos \mu + \cos \nu) - 4 \operatorname{cosec} \kappa.
\end{aligned}$$

Multiplcirt man ferner Zähler und Nenner mit $\sin \kappa$, so wird der Zähler

$$= \mathfrak{Z} = \frac{(Y - S - U) \cdot \sin \kappa}{a}$$

$$\begin{aligned}
&= \cos \kappa \log \left(\frac{\cot^2(\frac{1}{2}u)}{\tan \frac{1}{2}t \cdot \cot \frac{1}{2}\nu} \right) + \sin(\nu - \kappa) - \sin(\kappa - \mu) \\
&\quad - \tan \kappa [\cos(\kappa - \mu) + \cos(\nu - \kappa)] + 2 \tan \kappa,
\end{aligned}$$

und der Nenner $= \mathfrak{N} = \frac{(R + T - X) \cdot \sin x}{a}$

$$= \cos x (\sec \mu + \sec \nu) + \cos(x - \mu) + \cos(\nu - x) - \operatorname{tg} x [\sin(\mu - \nu) - \sin(\nu - x)] \\ + 2 \sin x \log \left(\frac{\cot^2(\frac{1}{2}u)}{\operatorname{tg} \frac{1}{2}t \cdot \cot \frac{1}{2}v} \right) - 4;$$

also (7) $\cot \omega = \frac{3}{\mathfrak{N}}$

$$= \frac{\sin u \cdot \log \frac{\cot^2(\frac{1}{2}u)}{\operatorname{tg} \frac{1}{2}t \cdot \cot \frac{1}{2}v} + \cot u (2 - \cos r - \cos s) + \sin s - \sin r}{2 \cos u \cdot \log \frac{\cot^2(\frac{1}{2}u)}{\operatorname{tg} \frac{1}{2}t \cdot \cot \frac{1}{2}v} - \cot u (\sin r - \sin s) + \sin u (\operatorname{cosec} t + \operatorname{cosec} v) + \cos r + \cos s - 4}$$

oder wenn man Zähler und Nenner mit $\sin u$ multiplicirt

(8) $\cot \omega = \frac{3'}{\mathfrak{N}'}$

$$= \frac{2 \cos u + \sin^2 u \log \frac{\cot^2(\frac{1}{2}u)}{\operatorname{tg} \frac{1}{2}t \cdot \cot \frac{1}{2}v} - \cos(u - r) - \cos(u + s)}{\sin^2 u (\operatorname{cosec} t + \operatorname{cosec} v) + \sin 2u \cdot \log \frac{\cot^2(\frac{1}{2}u)}{\operatorname{tg} \frac{1}{2}t \cdot \cot \frac{1}{2}v} + \sin(u + s) - \sin(r - u) - 4 \sin u}$$

§. 20. Da die in dem vorhergehenden §. gefundenen Formeln für $\cot \omega$ ziemlich beschwerlich für den Calcul sind, wollen wir sie in Reihen auflösen. Oben wurde gezeigt, daß

$$dv = \frac{mnx^r dx \cdot \sin(\mu + \omega)}{BM^2} = \frac{mnx^r dx (\sin \mu \cdot \cos \omega + \cos \mu \cdot \sin \omega)}{BM^2},$$

und

$$dv' = \frac{mnx^r dx \cdot \sin(\nu + \omega)}{BN^2} = \frac{mnx^r dx (\sin \nu \cdot \cos \omega + \cos \nu \cdot \sin \omega)}{BN^2}.$$

Setzt man $CM = CN = x$, $CB = \rho$, $BCM = u$, so ist im Dreiecke BCM, $BM^2 = CB^2 + CM^2 - 2BC \cdot CM \cdot \cos BCM = \rho^2 + x^2 - 2\rho x \cdot \cos u$, und im Dreiecke BCN, $BN^2 = BC^2 + CN^2 - 2BC \cdot CN \cdot \cos BCN = \rho^2 + x^2 + 2\rho x \cdot \cos u$. Ferner ist

$$\sin \mu = \frac{MP}{BM} = \frac{CP - CM}{BM} = \frac{\rho \cos u - x}{BM};$$

$$\sin v = \sin NBP = \frac{NP}{NB} = \frac{NC + CP}{NB} = \frac{x + \rho \cos u}{NB},$$

$$\cos \mu = \frac{BP}{BM} = \frac{\rho \sin u}{BM}; \quad \cos v = \frac{BP}{BN} = \frac{\rho \sin u}{BN}.$$

Also ist

$$dv = \frac{mnx^r dx \cos \omega (\rho \cos u - x)}{(\rho^2 + x^2 - 2\rho x \cos u)^{\frac{3}{2}}} + \frac{mnx^r dx \sin \omega \cdot \rho \sin u}{(\rho^2 + x^2 - 2\rho x \cos u)^{\frac{3}{2}}}$$

$$dv' = \frac{mnx^r dx \cos \omega (\rho \cos u + x)}{(\rho^2 + x^2 + 2\rho x \cos u)^{\frac{3}{2}}} + \frac{mnx^r dx \sin \omega \cdot \rho \sin u}{(\rho^2 + x^2 + 2\rho x \cos u)^{\frac{3}{2}}}$$

Setzt man $\rho^2 + x^2 = P$, $2\rho x \cos u = Q$, so ist

$$dv = mn(P - Q)^{-\frac{3}{2}} \cdot (x^r \rho \cos \omega \cos u - x^{r+1} \cos \omega + x^r \rho \sin \omega \sin u) dx$$

$$dv' = mn(P + Q)^{-\frac{3}{2}} \cdot (x^r \rho \cos \omega \cos u + x^{r+1} \cos \omega + x^r \rho \sin \omega \sin u) dx.$$

Aber wenn die unendlich kleine Magnetnadel in Ruhe ist, wird $v - v' = 0$; also hat man

$$0 = \int x^r dx \cdot \rho \cos \omega \cos u [(P - Q)^{-\frac{3}{2}} - (P + Q)^{-\frac{3}{2}}]$$

$$- \int x^{r+1} dx \cdot \cos \omega [(P - Q)^{-\frac{3}{2}} + (P + Q)^{-\frac{3}{2}}] Q$$

$$+ \int x^r dx \cdot \rho \sin \omega \sin u [(P - Q)^{-\frac{3}{2}} - (P + Q)^{-\frac{3}{2}}],$$

oder, wenn man $(P - Q)^{-\frac{3}{2}} + (P + Q)^{-\frac{3}{2}} = S$, $(P - Q)^{-\frac{3}{2}} - (P + Q)^{-\frac{3}{2}} = D$ setzt,

$$\rho \sin \omega \sin u \cdot \int x^r dx \cdot D = \cos \omega \cdot \int x^{r+1} dx \cdot S - \rho \cos \omega \cos u \cdot \int x^r dx \cdot D.$$

Nach der binomischen Formel ist

$$(P - Q)^{-\frac{3}{2}} = P^{-\frac{3}{2}} + \frac{3}{1 \cdot 2} P^{-\frac{5}{2}} Q + \frac{3 \cdot 5}{1 \cdot 2 \cdot 2^2} P^{-\frac{7}{2}} Q^2 + \frac{3 \cdot 5 \cdot 7}{1 \cdot 2 \cdot 3 \cdot 2^3} P^{-\frac{9}{2}} Q^3 + \dots$$

$$(P + Q)^{-\frac{3}{2}} = P^{-\frac{3}{2}} - \frac{3}{1 \cdot 2} P^{-\frac{5}{2}} Q + \frac{3 \cdot 5}{1 \cdot 2 \cdot 2^2} P^{-\frac{7}{2}} Q^2 - \frac{3 \cdot 5 \cdot 7}{1 \cdot 2 \cdot 3 \cdot 2^3} P^{-\frac{9}{2}} Q^3 + \dots$$

$$D = 2 \left\{ \frac{3}{1 \cdot 2} P^{-\frac{5}{2}} Q + \frac{3 \cdot 5 \cdot 7}{1 \cdot 2 \cdot 3 \cdot 2^3} P^{-\frac{9}{2}} Q^3 + \frac{3 \cdot 5 \dots 11}{1 \cdot 2 \dots 5 \cdot 2^5} P^{-\frac{13}{2}} Q^5 + \dots \right\}$$

$$S = 2 \left\{ P^{-\frac{3}{2}} + \frac{3 \cdot 5}{1 \cdot 2 \cdot 2^2} P^{-\frac{7}{2}} Q^2 + \frac{3 \cdot 5 \dots 9}{1 \cdot 2 \dots 4 \cdot 2^4} P^{-\frac{11}{2}} Q^4 + \dots \right\}$$

Die Reihe D soll hierauf mit $\rho x^r dx$ multiplicirt werden; aber da $P = \rho^2 + x^2$,

so kann man jedes ihrer Glieder wieder in eine unendliche Reihe auflösen. Nun ist

$$(e^2 + x^2)^{-\frac{n}{2}} = \frac{1}{e^n} - \frac{n}{1 \cdot 2^1} \cdot \frac{x^2}{e^{n+2}} + \frac{n(n+2)}{1 \cdot 2 \cdot 2^2} \cdot \frac{x^4}{e^{n+4}} - \frac{n(n+2)(n+4)}{1 \cdot 2 \cdot 3 \cdot 2^3} \cdot \frac{x^6}{e^{n+6}} +$$

Setzt man in dieser Reihe nach und nach $n = 5, n = 9, n = 13$ u. s. w., so erhält man $P^{-\frac{1}{2}}, P^{-\frac{3}{2}}, P^{-\frac{5}{2}}$. Werden diese Reihen mit den gehörigen Coefficienten $5Q, \frac{3 \cdot 5 \cdot 7}{1 \cdot 2 \cdot 3 \cdot 2^2} Q^3, \frac{3 \cdot 5 \dots 11}{1 \cdot 2 \dots 5 \cdot 2^4} Q^5$ (wo $Q = 2ex \cos u$) und mit $e x^r dx$ multiplicirt, so wird

$$\begin{aligned} e x^r dx [(P - Q)^{-\frac{1}{2}} - (P + Q)^{-\frac{1}{2}}] &= e D x^r dx \\ (A) &= \frac{5}{1} \cdot \frac{x^{r+1}}{e^3} - \frac{3 \cdot 5}{1 \cdot 2^1} \cdot \frac{x^{r+3}}{e^5} + \frac{3 \cdot 5 \cdot 7}{1 \cdot 2 \cdot 2^2} \cdot \frac{x^{r+5}}{e^7} - \frac{3 \cdot 5 \cdot 7 \cdot 9}{1 \cdot 2 \cdot 3 \cdot 2^3} \cdot \frac{x^{r+7}}{e^9} + \left\{ \frac{2dx}{1} \cdot \cos u \right. \\ &\quad + \frac{5 \cdot 7}{1} \cdot \left\{ - \frac{5 \cdot 7 \cdot 9}{1 \cdot 2^1} \cdot \left\{ + \frac{5 \cdot 7 \cdot 9 \cdot 11}{1 \cdot 2 \cdot 2^2} \cdot \left\{ - \frac{2dx}{2} \cdot \cos^3 u \right. \right. \right. \\ &\quad \left. \left. + \frac{7 \cdot 9 \cdot 11}{1} \cdot \left\{ - \frac{7 \cdot 9 \cdot 15}{1 \cdot 2^1} \cdot \left\{ + \frac{2dx}{2 \cdot 4} \cdot \cos^5 u \right. \right. \right. \right. \\ &\quad \left. \left. \left. + \frac{9 \cdot 11 \cdot 15}{1} \cdot \left\{ - \frac{2dx}{2 \cdot 4 \cdot 6} \cdot \cos^7 u \right. \right. \right. \right. \end{aligned}$$

Auf nämliche Weise löse man die Glieder in der Reihe S in unendliche Reihen auf, und multiplicire sie mit $x^{r+1} dx$, so wird

$$\begin{aligned} x^{r+1} dx [(P - Q)^{-\frac{1}{2}} + (P + Q)^{-\frac{1}{2}}] &= S x^{r+1} dx \\ (B) &= \frac{1}{1} \cdot \frac{x^{r+1}}{e^3} - \frac{1 \cdot 3}{1 \cdot 2^1} \cdot \frac{x^{r+3}}{e^5} + \frac{1 \cdot 3 \cdot 5}{1 \cdot 2 \cdot 2^2} \cdot \frac{x^{r+5}}{e^7} - \frac{1 \cdot 3 \cdot 5 \cdot 7}{1 \cdot 2 \cdot 3 \cdot 2^3} \cdot \frac{x^{r+7}}{e^9} + \left\{ \frac{2dx}{1} \cdot \cos^3 u \right. \\ &\quad + \frac{3 \cdot 5}{1} \cdot \left\{ - \frac{3 \cdot 5 \cdot 7}{1 \cdot 2^1} \cdot \left\{ + \frac{3 \cdot 5 \cdot 7 \cdot 9}{1 \cdot 2 \cdot 2^2} \cdot \left\{ - \frac{2dx}{2} \cdot \cos^5 u \right. \right. \right. \\ &\quad \left. \left. + \frac{5 \cdot 7 \cdot 9}{1} \cdot \left\{ - \frac{5 \cdot 7 \cdot 9 \cdot 11}{1 \cdot 2^1} \cdot \left\{ + \frac{2dx}{2} \cdot \cos^7 u \right. \right. \right. \right. \\ &\quad \left. \left. \left. + \frac{7 \cdot 9 \cdot 15}{1} \cdot \left\{ - \frac{2dx}{2 \cdot 4 \cdot 6} \cdot \cos^9 u \right. \right. \right. \right. \end{aligned}$$

Das Integrale von A wird $= e \int x^r dx \cdot D =$

$$\begin{aligned}
 +a &= \frac{1}{r+2} + \frac{1 \cdot 3}{1 \cdot 2^1(r+4)} + \frac{1 \cdot 3 \cdot 5}{1 \cdot 2 \cdot 2^2(r+6)} + \frac{1 \cdot 3 \cdot 5 \cdot 7}{1 \cdot 2 \cdot 2^3(r+8)} + \dots \\
 +b &= \frac{3 \cdot 4}{r+2} + \frac{1 \cdot 3 \cdot 5 \cdot 4}{1 \cdot 2^1(r+4)} + \frac{3 \cdot 5 \cdot 7 \cdot 6}{1 \cdot 2 \cdot 2^2(r+6)} + \frac{3 \cdot 5 \cdot 7 \cdot 9 \cdot 8}{1 \cdot 2 \cdot 2^3(r+8)} + \dots \\
 +c &= \frac{5 \cdot 7 \cdot 4}{r+4} + \frac{5 \cdot 7 \cdot 9 \cdot 6}{1 \cdot 2^1(r+6)} + \frac{5 \cdot 7 \cdot 9 \cdot 11 \cdot 8}{1 \cdot 2 \cdot 2^2(r+8)} + \dots \\
 +d &= \frac{7 \cdot 9 \cdot 11 \cdot 6}{r+6} + \frac{7 \cdot 9 \cdot 11 \cdot 13 \cdot 8}{1 \cdot 2^1(r+8)} + \dots \\
 +e &= \frac{9 \cdot 11 \cdot 13 \cdot 15 \cdot 8}{r+8} + \dots
 \end{aligned}$$

Benennt man nun die Summe dieser Reihen mit den Buchstaben $\alpha, \beta, \gamma, a, b, c, \dots$, so ist

$$[a + \beta \cos^2 u + \gamma \cos^4 u + \dots] \sin 2u \sin \omega = [a + b \cos^2 u + c \cos^4 u + \dots] \cos \omega$$

und

$$\cot \omega = \frac{[a + \beta \cos^2 u + \gamma \cos^4 u + \dots] \sin 2u}{[a + b \cos^2 u + c \cos^4 u + \dots]}$$

Zusatz 1. Die vorstehenden Reihen können dividirt werden mit $\frac{x^{r+2}}{\rho^3}$, und man erhält

$$\begin{aligned}
 a &= \frac{3}{r+2} + \frac{3 \cdot 5}{2(r+4)} \frac{x^2}{\rho^2} + \dots \\
 \beta &= \frac{5 \cdot 7}{2(r+4)} \frac{x^2}{\rho^2} + \dots \\
 \gamma &= \frac{5 \cdot 7 \cdot 9}{(r+4)} \frac{x^2}{\rho^2} + \dots
 \end{aligned}$$

Ist nun $\frac{x}{\rho} = \frac{MC}{BC}$ ein sehr kleiner Bruch, d. h. ist der Nadel Abstand BC vom Mittelpunkte des Magneten sehr groß im Vergleiche mit der halben

Magnetaxe CM, so können die Glieder der Reihen, welche mit $\left(\frac{x}{\rho}\right)^2$ und den höheren Potenzen dieses Bruches multiplicirt sind, unberücksichtigt bleiben. Man bekommt alsdann

$$\frac{3}{r+2} \cdot \sin 2u \cdot \sin \omega = \left(\frac{2}{r+2} - \frac{6}{r+2} \cos^2 u \right) \cos \omega,$$

oder durch Multiplication mit $r+2$

$$3 \cdot \sin 2u \cdot \sin \omega = (2 - 6 \cos^2 u) \cos \omega,$$

folglich

$$\cot \omega = \frac{3 \cdot \sin 2u}{2 - 6 \cos^2 u} = - \frac{\sin 2u}{2 \cos^2 u - \frac{2}{3}} = \frac{-\sin 2u}{\cos 2u + \frac{1}{3}},$$

welches die obenangeführte von Humboldt und Biot angegebene Formel ist. Hieraus ergiebt sich, dass in großen Abständen die Vertheilung der magnetischen Kräfte in der Magnetaxe oder das zweyte magnetische Elementargesetz, welches durch den Werth von r bestimmt wird, keinen merklichen Einfluss auf den Winkel ω habe.

Zusatz 2. Setzt man $r = 1$, so bekommt man

$$a = \frac{1}{1} \cdot \frac{x^3}{\rho^3} - \frac{5}{2} \cdot \frac{x^5}{\rho^5} + \frac{15}{8} \cdot \frac{x^7}{\rho^7} - \frac{35}{16} \cdot \frac{x^9}{\rho^9} + \dots$$

$$b = \quad + \frac{7}{2} \cdot \quad - \frac{45}{4} \cdot \quad + \frac{385}{16} \cdot \quad - \dots$$

$$c = \quad \quad + \frac{99}{8} \cdot \quad - \frac{1001}{16} \cdot \quad + \dots$$

$$d = \quad \quad \quad + \frac{715}{16} \cdot \quad - \dots$$

$$a = \quad \frac{2}{3} \cdot \frac{x^3}{\rho^3} - \frac{5}{5} \cdot \frac{x^5}{\rho^5} + \frac{15}{28} \cdot \frac{x^7}{\rho^7} - \frac{35}{72} \cdot \frac{x^9}{\rho^9} + \dots$$

$$b = -2 \cdot \quad + 6 \cdot \quad - \frac{45}{4} \cdot \quad + \frac{35}{2} \cdot \quad - \dots$$

$$c = \quad - 7 \cdot \quad + \frac{135}{4} \cdot \quad - \frac{385}{4} \cdot \quad + \dots$$

$$d = \quad \quad - \frac{99}{4} \cdot \quad + \frac{1001}{6} \cdot \quad - \dots$$

$$e = \quad \quad \quad - \frac{715}{8} \cdot \quad + \dots$$

Setzt man $r = 2$, so wird

$$\alpha = \frac{3}{4} \cdot \frac{x^4}{\rho^3} - \frac{5}{4} \cdot \frac{x^6}{\rho^5} + \frac{105}{64} \cdot \frac{x^8}{\rho^7} - \frac{63}{32} \cdot \frac{x^{10}}{\rho^9} + \frac{1155}{512} \cdot \frac{x^{12}}{\rho^{11}} -$$

$$\beta = \quad + \frac{55}{12} \cdot \quad - \frac{315}{32} \cdot \quad + \frac{693}{32} \cdot \quad - \frac{5005}{128} \cdot \quad +$$

$$\gamma = \quad \quad + \frac{693}{64} \cdot \quad - \frac{9009}{160} \cdot \quad + \frac{45045}{256} \cdot \quad -$$

$$\delta = \quad \quad \quad + \frac{1287}{32} \cdot \quad - \frac{56465}{128} \cdot \quad +$$

$$\epsilon = \quad \quad \quad \quad + \frac{230945}{1536} \cdot \quad -$$

$$a = \frac{1}{2} \cdot \frac{x^4}{\rho^3} - \frac{1}{2} \cdot \frac{x^6}{\rho^5} + \frac{15}{32} \cdot \frac{x^8}{\rho^7} - \frac{7}{16} \cdot \frac{x^{10}}{\rho^9} + \frac{105}{256} \cdot \frac{x^{12}}{\rho^{11}} -$$

$$b = -\frac{3}{2} \cdot \quad + \frac{5}{1} \cdot \quad - \frac{315}{32} \cdot \quad + \frac{63}{4} \cdot \quad - \frac{5775}{256} \cdot \quad +$$

$$c = \quad - \frac{55}{6} \cdot \quad + \frac{945}{32} \cdot \quad - \frac{693}{8} \cdot \quad + \frac{25025}{128} \cdot \quad -$$

$$d = \quad \quad - \frac{693}{32} \cdot \quad + \frac{3003}{20} \cdot \quad - \frac{75075}{128} \cdot \quad +$$

$$e = \quad \quad \quad - \frac{1287}{16} \cdot \quad + \frac{182325}{256} \cdot \quad -$$

$$f = \quad \quad \quad \quad - \frac{250915}{768} \cdot \quad +$$

u. s. w.

§. 21. Um die Rechnung noch mehr zu erleichtern, drücken wir diese Formel durch Cosinus der Vielfachen des Winkels u aus, anstatt durch Potenzen vom Cosinus des einfachen Winkels.

Nun ist

$$\cos^n u = \frac{1}{2^n} \left\{ \cos nu + n \cdot \cos (n-2)u + \frac{n(n-1)}{1 \cdot 2} \cdot \cos (n-4)u + \dots \right. \\ \left. + \frac{n(n-1) \dots (n-m+1)}{1 \cdot 2 \dots m} \cos (n-2m)u \right\},$$

wo die Reihe abbricht, wenn $n - m + 1 = 0$, das ist $m = n + 1$ wird, oder, weil n hier eine gerade Zahl ist:

$$\cos^n u = \frac{1}{2^{n-1}} \left\{ \cos nu + \frac{n}{1} \cos (n-2)u + \frac{n(n-1)}{1 \cdot 2} \cos (n-4)u + \dots \right. \\ \left. + \frac{n(n-1) \dots (\frac{1}{2}n+2)}{1 \cdot 2 \dots (\frac{1}{2}n-1)} \cos 2u \right\} + \frac{n(n-1)(n-2) \dots (\frac{1}{2}n+1)}{1 \cdot 2 \cdot 3 \dots \frac{1}{2}n \cdot 2^n}.$$

Also ist

$$\cos^2 u = \frac{1}{2} + \frac{1}{2} \cos 2u$$

$$\cos^4 u = \frac{1}{8} + \frac{1}{2} - + \frac{1}{8} \cos 4u$$

$$\cos^6 u = \frac{1}{16} + \frac{1}{4} - + \frac{1}{8} - + \frac{1}{16} \cos 6u$$

$$\cos^8 u = \frac{1}{128} + \frac{1}{16} - + \frac{1}{32} - + \frac{1}{16} - + \frac{1}{128} \cos 8u$$

$$\cos^{10} u = \frac{1}{512} + \frac{1}{64} - + \frac{1}{128} - + \frac{1}{64} - + \frac{1}{128} - + \frac{1}{512} \cos 10u$$

$$\cos^{12} u = \frac{1}{16384} + \frac{1}{2048} - + \frac{1}{262144} - + \frac{1}{16384} - + \frac{1}{16384} - + \frac{1}{16384} - + \frac{1}{16384} \cos 12u.$$

Substituirt man diese Werthe der Potenzen von $\cos u$ in den Reihen der Zähler, so bekommt man

$$a =$$

$$a$$

$$\beta \cos^2 u = \frac{1}{2}\beta + \frac{1}{2}\beta \cos 2u$$

$$\gamma \cos^4 u = \frac{3}{8}\gamma + \frac{1}{2}\gamma - + \frac{1}{8}\gamma \cos 4u$$

$$\delta \cos^6 u = \frac{1}{16}\delta + \frac{1}{4}\delta - + \frac{1}{8}\delta - + \frac{1}{16}\delta \cos 6u$$

$$\epsilon \cos^8 u = \frac{1}{128}\epsilon + \frac{1}{16}\epsilon - + \frac{1}{32}\epsilon - + \frac{1}{16}\epsilon - + \frac{1}{128}\epsilon \cos 8u$$

$$- - - - -$$

$$\text{oder } A + B \cos 2u + C \cos 4u + D \cos 6u + E \cos 8u + \dots$$

$$= a + \beta \cos^2 u + \gamma \cos^4 u + \delta \cos^6 u + \epsilon \cos^8 u + \dots,$$

wenn man die Summe der ersten vertikalen Reihe $= A$, die Summe der zweyten $= B$, der dritten $= C$ u. s. w. setzt.

Setzt man auf gleiche Weise im Nenner $a + \frac{1}{2}b + \frac{1}{4}c + \frac{1}{8}d + \dots = \mathfrak{A}$; $\frac{1}{2}b + \frac{1}{4}c + \frac{1}{8}d + \dots = \mathfrak{B}$; $\frac{1}{4}c + \frac{1}{8}d + \dots = \mathfrak{C}$; $\frac{1}{8}d + \dots = \mathfrak{D}$, u. s. w., so bekommt man

$$a + b \cos^2 u + c \cos^4 u + d \cos^6 u + \dots = \mathfrak{A} + \mathfrak{B} \cos 2u + \mathfrak{C} \cos 4u + \mathfrak{D} \cos 6u.$$

So findet man

$$\begin{aligned}
 A &= \frac{3}{r+2} \cdot \frac{x^{r+2}}{\rho^1} + \frac{5}{4(r+4)} \cdot \frac{x^{r+4}}{\rho^1} + \frac{399}{64(r+6)} \cdot \frac{x^{r+6}}{\rho^7} + \frac{801}{256(r+8)} \cdot \frac{x^{r+8}}{\rho^9} + \frac{152515}{16384(r+10)} \cdot \frac{x^{r+10}}{\rho^{11}} + \frac{338637}{65536(r+12)} \cdot \frac{x^{r+12}}{\rho^{13}} \\
 B &= + \frac{35}{4(r+4)} \cdot \frac{x^{r+4}}{\rho^1} + \frac{63}{16(r+6)} \cdot \frac{x^{r+6}}{\rho^7} + \frac{7821}{512(r+8)} \cdot \frac{x^{r+8}}{\rho^9} + \frac{16445}{2048(r+10)} \cdot \frac{x^{r+10}}{\rho^{11}} + \frac{1403805}{65536(r+12)} \cdot \frac{x^{r+12}}{\rho^{13}} \\
 C &= + \frac{693}{64(r+6)} \cdot \frac{x^{r+6}}{\rho^7} + \frac{1287}{256(r+8)} \cdot \frac{x^{r+8}}{\rho^9} + \frac{72215}{4096(r+10)} \cdot \frac{x^{r+10}}{\rho^{11}} + \frac{155805}{16384(r+12)} \cdot \frac{x^{r+12}}{\rho^{13}} \\
 D &= + \frac{6435}{512(r+8)} \cdot \frac{x^{r+8}}{\rho^9} + \frac{12155}{2048(r+10)} \cdot \frac{x^{r+10}}{\rho^{11}} + \frac{2582385}{131072(r+12)} \cdot \frac{x^{r+12}}{\rho^{13}} \\
 E &= + \frac{230945}{16384(r+10)} \cdot \frac{x^{r+10}}{\rho^{11}} + \frac{440895}{65536(r+12)} \cdot \frac{x^{r+12}}{\rho^{13}} \\
 F &= + \frac{2028117}{131072(r+12)} \cdot \frac{x^{r+12}}{\rho^{13}}
 \end{aligned}$$

$$\begin{aligned}
 \mathfrak{A} &= -\frac{1}{r+2} \cdot \frac{x^{r+2}}{\rho^1} - \frac{9}{8(r+4)} \cdot \frac{x^{r+4}}{\rho^1} - \frac{75}{64(r+6)} \cdot \frac{x^{r+6}}{\rho^7} - \frac{1225}{1024(r+8)} \cdot \frac{x^{r+8}}{\rho^9} - \frac{19845}{16384(r+10)} \cdot \frac{x^{r+10}}{\rho^{11}} - \frac{160083}{131072(r+12)} \cdot \frac{x^{r+12}}{\rho^{13}} \\
 \mathfrak{B} &= -\frac{3}{r+2} \cdot \frac{x^{r+2}}{\rho^1} - \frac{5}{2(r+4)} \cdot \frac{x^{r+4}}{\rho^1} - \frac{315}{128(r+6)} \cdot \frac{x^{r+6}}{\rho^7} - \frac{315}{128(r+8)} \cdot \frac{x^{r+8}}{\rho^9} - \frac{40425}{16384(r+10)} \cdot \frac{x^{r+10}}{\rho^{11}} - \frac{81081}{32768(r+12)} \cdot \frac{x^{r+12}}{\rho^{13}} \\
 \mathfrak{C} &= -\frac{35}{8(r+4)} \cdot \frac{x^{r+4}}{\rho^1} - \frac{189}{64(r+6)} \cdot \frac{x^{r+6}}{\rho^7} - \frac{693}{256(r+8)} \cdot \frac{x^{r+8}}{\rho^9} - \frac{10725}{4096(r+10)} \cdot \frac{x^{r+10}}{\rho^{11}} - \frac{675675}{262144(r+12)} \cdot \frac{x^{r+12}}{\rho^{13}} \\
 \mathfrak{D} &= -\frac{693}{128(r+6)} \cdot \frac{x^{r+6}}{\rho^7} - \frac{429}{128(r+8)} \cdot \frac{x^{r+8}}{\rho^9} - \frac{96525}{32768(r+10)} \cdot \frac{x^{r+10}}{\rho^{11}} - \frac{182325}{65536(r+12)} \cdot \frac{x^{r+12}}{\rho^{13}} \\
 \mathfrak{E} &= -\frac{6435}{1024(r+8)} \cdot \frac{x^{r+8}}{\rho^9} - \frac{60775}{16384(r+10)} \cdot \frac{x^{r+10}}{\rho^{11}} - \frac{415701}{131072(r+12)} \cdot \frac{x^{r+12}}{\rho^{13}} \\
 \mathfrak{F} &= -\frac{230945}{32768(r+10)} \cdot \frac{x^{r+10}}{\rho^{11}} - \frac{264537}{65536(r+12)} \cdot \frac{x^{r+12}}{\rho^{13}} \\
 \mathfrak{G} &= -\frac{2028117}{262144(r+12)} \cdot \frac{x^{r+12}}{\rho^{13}}
 \end{aligned}$$

Setzt man hierin $r = 2$ und $x = 1$, so findet man

$$A = \frac{5}{4\rho^3} + \frac{5}{24\rho^5} + \frac{599}{512\rho^7} + \frac{801}{2560\rho^9} + \frac{152515}{196608\rho^{11}} + \frac{338637}{917504\rho^{13}} +$$

$$B = + \frac{35}{24\rho^5} + \frac{63}{128\rho^7} + \frac{7821}{5120\rho^9} + \frac{16445}{24576\rho^{11}} + \frac{1403805}{917504\rho^{13}} +$$

$$C = + \frac{695}{512\rho^7} + \frac{1287}{2560\rho^9} + \frac{72215}{49152\rho^{11}} + \frac{155805}{229367\rho^{13}} +$$

$$D = + \frac{1287}{1024\rho^9} + \frac{12155}{24576\rho^{11}} + \frac{2582385}{1835008\rho^{13}} +$$

$$E = + \frac{230945}{196608\rho^{11}} + \frac{62985}{131072\rho^{13}} +$$

$$F = + \frac{289731}{262144\rho^{13}} +$$

$$\mathfrak{A} = - \frac{1}{4\rho^3} - \frac{5}{16\rho^5} - \frac{75}{512\rho^7} - \frac{245}{2048\rho^9} - \frac{6615}{65536\rho^{11}} - \frac{22869}{262144\rho^{13}} -$$

$$\mathfrak{B} = - \frac{3}{4\rho^3} - \frac{5}{12\rho^5} - \frac{315}{1024\rho^7} - \frac{63}{256\rho^9} - \frac{13475}{65536\rho^{11}} - \frac{11583}{65536\rho^{13}} -$$

$$\mathfrak{C} = - \frac{55}{48\rho^5} - \frac{189}{512\rho^7} - \frac{695}{2560\rho^9} - \frac{3575}{16384\rho^{11}} - \frac{96525}{524288\rho^{13}} -$$

$$\mathfrak{D} = - \frac{695}{1024\rho^7} - \frac{429}{1280\rho^9} - \frac{32175}{131072\rho^{11}} - \frac{182325}{917504\rho^{13}} -$$

$$\mathfrak{E} = - \frac{1287}{2048\rho^9} - \frac{60775}{196608\rho^{11}} - \frac{415701}{1835008\rho^{13}} -$$

$$\mathfrak{F} = - \frac{230945}{393216\rho^{11}} - \frac{37791}{131072\rho^{13}} -$$

$$\mathfrak{G} = - \frac{289731}{524288\rho^{13}} -$$

Nach diesen Reihen ist

$$\cot \omega = \frac{(A + B \cos 2u + C \cos 4u + D \cos 6u + \dots) \sin 2u}{\mathfrak{A} + \mathfrak{B} \cos 2u + \mathfrak{C} \cos 4u + \mathfrak{D} \cos 6u + \dots}$$

Zusatz. In großen Entfernungen bekommt man auch hier $A = -\frac{5}{4\rho^3}$,
 $B = 0$, $\mathcal{A} = -\frac{1}{4\rho^3}$, $\mathcal{B} = -\frac{3}{4\rho^3}$, $\mathcal{C} = 0$, also

$$\cot \omega = \frac{\frac{3}{4\rho^3} \sin 2u}{-\frac{1}{4\rho^3} - \frac{3}{4\rho^3} \cos 2u} = \frac{-\sin 2u}{\frac{1}{3} + \cos 2u},$$

wie vorher.

I. Beständige Logarithmen für die Berechnung des Winkels ω .							
Beständige Factoren des Zählers.	Logarith- men.	Poten- zen von ρ .		Beständige Factoren des Nenners.	Logarith- men.	Poten- zen von ρ .	
$\frac{1}{4}$	9.8750613	— 3	$\cos \omega$	$\frac{1}{4}$	9.3979400	— 3	$\cos \omega$
$\frac{1}{16}$	9.3187588	— 5		$\frac{1}{16}$	9.2730013	— 5	
$\frac{1}{64}$	9.8917029	— 7		$\frac{1}{64}$	9.1657913	— 7	
$\frac{1}{256}$	9.4593925	— 9		$\frac{1}{256}$	9.0778361	— 9	
$\frac{1}{1024}$	9.8897014	— 11		$\frac{1}{1024}$	9.0040499	— 11	
$\frac{1}{4096}$	9.5671264	— 13		$\frac{1}{4096}$	8.9407073	— 13	
$\frac{1}{16}$	0.1638568	— 5	$\cos 2\omega$	$\frac{1}{16}$	9.8750613	— 3	$\cos 2\omega$
$\frac{1}{64}$	9.6921305	— 7		$\frac{1}{64}$	9.6197888	— 5	
$\frac{1}{256}$	0.1839923	— 9		$\frac{1}{256}$	9.4880106	— 7	
$\frac{1}{1024}$	9.8255227	— 11		$\frac{1}{1024}$	9.3911005	— 9	
$\frac{1}{4096}$	0.1846988	— 13		$\frac{1}{4096}$	9.3130489	— 11	
$\frac{1}{16}$	0.1314632	— 7	$\cos 4\omega$	$\frac{1}{16}$	9.2473412	— 13	$\cos 4\omega$
$\frac{1}{64}$	9.7013385	— 9		$\frac{1}{64}$	0.8628268	— 5	
$\frac{1}{256}$	0.1670862	— 11		$\frac{1}{256}$	9.5671918	— 7	
$\frac{1}{1024}$	9.8320336	— 13		$\frac{1}{1024}$	9.4324932	— 9	
$\frac{1}{4096}$	0.0992785	— 9		$\frac{1}{4096}$	9.3388561	— 11	
$\frac{1}{16}$	9.6942438	— 11	$\cos 6\omega$	$\frac{1}{16}$	9.2650699	— 13	
$\frac{1}{64}$	0.1483829	— 13		$\frac{1}{64}$	9.8304332	— 7	$\cos 6\omega$
$\frac{1}{256}$	0.0699075	— 11	$\cos 8\omega$	$\frac{1}{256}$	9.5252473	— 9	
$\frac{1}{1024}$	9.6818763	— 13		$\frac{1}{1024}$	9.3900087	— 11	
$\frac{1}{4096}$	0.0434551	— 13	$\cos 10\omega$	$\frac{1}{4096}$	9.2982382	— 13	
				$\frac{1}{16}$	9.7982485	— 9	$\cos 8\omega$
				$\frac{1}{64}$	9.4901238	— 11	
				$\frac{1}{256}$	9.3551430	— 13	
				$\frac{1}{1024}$	9.7688784	— 11	
				$\frac{1}{4096}$	9.4598785	— 13	
				$\frac{1}{16}$	9.7424251	— 13	$\cos 12\omega$

II. Summe der Reihen für verschiedene Werthe von ρ .

$\rho =$	2	2,5	3	4	5	6	7	8	9	10	
	0,	0,0	0,0	0,0	0,00	0,00	0,00	0,00	0,00	0,000	
A =	10738	51527	29012	119711	60768	35018	21999	14716	10325	75216	
B =	5292	16178	6308	14602	4738	1895	874	448	248	1464	$\cos 2u$
C =	1236	2416	653	849	176	49	17	6	3	14	$\cos 4u$
D =	287	360	67	49	6	1	0	0	0	0	$\cos 6u$
E =	63	52	7	3	0	0	0	0	0	0	$\cos 8u$
F =	13	7	0	0	0	0	0	0	0	0	$\cos 10u$
A =	03855	18196	10104	040988	20619	11820	07402	04941	03461	25188	
B =	10969	52845	29647	121454	61374	35269	22118	14776	10359	75420	$\cos 2u$
C =	2633	8153	3184	7357	2382	951	438	224	124	733	$\cos 4u$
D =	609	1208	328	426	88	19	6	2	1	5	$\cos 6u$
E =	140	179	34	25	3	1	0	0	0	0	$\cos 8u$
F =	32	41	3	1	0	0	0	0	0	0	$\cos 10u$
G =	7	4	0	0	0	0	0	0	0	0	$\cos 12u$

III. Logarithmen der obenstehenden Summen.

$\rho =$	2	2,5	3	4	5	6	7	8	9	10	
B	8.72362	8.20917	7.79989	7.16441	6.67560	6.27761	5.94151	5.65128	5.39445	5.16554	$\cos 2u$
C	8.09202	7.38310	6.81491	5.92891	5.24551	4.69020	4.23045	3.77815	3.47712	3.14613	$\cos 4u$
D	7.45788	6.55630	5.82607	4.69020	3.77815	3.00000	$\cos 6u$
E	6.79934	5.71600	4.84510	3.47712	$\cos 8u$
F	6.11394	4.84510	$\cos 10u$
B	9.04017	8.72300	8.47198	8.08441	7.78798	7.54739	7.34475	7.16956	7.01532	6.87749	$\cos 2u$
C	8.42045	7.91132	7.50297	6.86670	6.37694	5.97818	5.64147	5.35025	5.09342	4.86510	$\cos 4u$
D	7.78462	7.03207	6.51587	5.62941	4.94448	4.27875	3.77815	3.47712	3.00000	2.69897	$\cos 6u$
E	7.14613	6.25285	5.53148	4.39794	3.47712	3.00000	$\cos 8u$
F	6.50515	5.61278	4.47712	3.00000	$\cos 10u$
G	5.84510	4.60206	$\cos 12u$

§. 22. ACB (Fig. 19) sey ein linearer Magnet, C sein Mittelpunkt; man denke sich verschiedene concentrische Kreise AGB, DFE u. s. w. um seinen Mittelpunkt. Will man nun die Lage der magnetischen Ruhelinie oder den Winkel ω im Punkte F berechnen, so ziehe man die Linien FC, FB und FA. Nun sey die halbe Magnetaxe $AC = 1$, der gegebene Radius $FC = \rho$, der Winkel $FCD = u$. Aus diesen drey Stücken können im Dreyeck CFA die zwey Winkel $CFA = r$ und $FAC = t$ gefunden werden;

und auf gleiche Weise findet man im Dreyeck FCB den Winkel CFB $= s$,
 und FBC $= v$; nämlich $\text{tang } r = \frac{\sin u}{\rho - \cos u}$; $\text{tang } t = \frac{\rho \cdot \sin u}{1 - \rho \cdot \cos u}$;
 $\text{tang } s = \frac{\sin u}{\rho + \cos u}$; $\text{tang } v = \frac{\rho \cdot \sin u}{1 + \rho \cdot \cos u}$. Mit Hülfe dieser vier Winkel
 kann man den Winkel ω nach den Formeln in §. 19, I. und II. und in
 größeren Abständen nach den Reihen in §. 20 und 21 finden, welches durch
 folgende Beispiele erläutert werden wird.

Erstes Beispiel. Den Winkel ω zu berechnen, wenn $\rho = 1$ und $u = 30^\circ$,
 nach der Formel β in §. 19 I. (wo $r = 1$).

Da CF = CA = 1, so ist $r = t = \frac{180^\circ - u}{2} = 75^\circ$. $s = v = \frac{1}{2}u = 50^\circ$,

also $\frac{s+r}{2} = 45^\circ$, $\frac{r-s}{2} = 30^\circ$, $\frac{1}{2}t = 37^\circ 30'$. $\frac{1}{2}v = 7^\circ 30'$.

$$\log \sin \left(\frac{r+s}{2} \right) = 9.8494850 - 10$$

$$- \sin \left(\frac{r-s}{2} \right) = 9.6989700 - 10$$

$$\log Z' = 0.5484550 - 1$$

$$\log. \text{vulg.} \cot \frac{1}{2}t = 10.1150195 - 10$$

$$- \cot \frac{1}{2}v = 10.8805709 - 10$$

$$B = 0.9955904$$

$$\log B = 0.9980807 - 1$$

$$\log 2.3025851 = \log M = 0.3622157$$

$$\log \sin u = 0.6989700 - 1$$

$$\log \frac{1}{2} = 0.6989700 - 1$$

$$\log C = 0.7582364 - 1 \quad C = 0.5731080$$

$$\log \sin \left(\frac{r+s}{2} \right) = 9.8494850 - 10$$

$$\log \cos \left(\frac{r-s}{2} \right) = 9.9375306 - 10$$

$$\log D = 0.7870156 - 1 \quad D = 0.6125724$$

$$C = 0.5731080$$

$$C - D = N' = -0.0392644$$

$$\log Z' = 9.5484550$$

$$- \log N' = 8.5939989$$

$$- \log \cot \omega = 10.9544561 = \log \cot - 6^\circ 29' 14''.$$

Zweytes Beispiel. Den Winkel ω zu berechnen, wenn $\rho = 1$, $u = 30^\circ$ nach der Formel δ in §. 19. II. (wo $r = 2$).

Will man nach der Formel δ rechnen, so ist $u - r = -45^\circ$, $u + s = +45^\circ$,

$$\frac{1}{2}v = 7^\circ 30', \quad \frac{1}{2}t = 57^\circ 30', \quad \text{und} \quad \log \frac{\cot^2 \frac{1}{2}u}{\tan \frac{1}{2}t \cdot \cot \frac{1}{2}v} = 2 \log \cot \frac{1}{2}u + \log \cot \frac{1}{2}t$$

$$+ \log \tan \frac{1}{2}v.$$

$$2 \log \cot \frac{1}{2}u = 1.1438950$$

$$\log \cot \frac{1}{2}t = 0.1150195$$

$$\log \tan \frac{1}{2}v = 0.1194291 - 1$$

$$A = 0.3783456$$

$$\log A = 0.5778864 - 1$$

$$2 \log \sin u = 0.3979400 - 1$$

$$\log M = 0.5622157$$

$$\log B = 0.5389421 - 1 \quad B = 0.2177921$$

$$2 \cos u = 1.7320508$$

$$+ 1.9498429$$

$$\cos(u - r) = 0.7071068$$

$$\cos(u + s) = 0.7071068$$

$$- 1.4142136$$

$$B' = 0.5356293$$

$A =$

$$\begin{array}{rcl}
 \log A & = & 0.5778864 - 1 \\
 \log \sin 2u & = & 0.9575306 - 1 \\
 \log M & = & 0.5622157 \\
 \text{cosec } v & = & 5.8637033 \\
 \text{cosec } t & = & 1.0352762 \\
 \hline
 \text{cosec } v + \text{cosec } t & = & 4.8989795 \quad \log = 0.6901056 \\
 2 \log \sin u & = & 0.3979400 - 1 \\
 \hline
 \log F & = & 0.0880456 \quad \dots \quad F = 1.2247448 \\
 \sin(u + s) & = & 0.7071068 \\
 & + & 2.6863055 \\
 \sin(r - u) & = & 0.7071068 \\
 4 \sin u & = & 2.0000000 \\
 & - & 2.7071068 \\
 \hline
 N' & = & -0.0208015 \\
 \log 3' & = & 9.7288645 \\
 \log N' & = & 8.3180905 \\
 \hline
 - \cot \omega & = & 11.4107738 = \cot - 2^\circ 15' 26''.
 \end{array}$$

Aus diesen beiden Beispielen ist zu ersehen, daß in der ersten Hypothese, wo $r = 1$ angenommen ward, der negative Werth des Winkels ω größer, der positive kleiner wird, als in der zweyten Hypothese, wo $r = 2$.

Drittes Beispiel. Den Winkel ω zu berechnen, wenn $\rho = 4$, $u = 60^\circ$, nach der Formel γ in §. 19. II.

Hier findet man $r = 13^\circ 53' 52'',38$, $s = 10^\circ 53' 36'',2$, $v = 49^\circ 6' 25'',8$, $t = 106^\circ 6' 7'',62$; also $\frac{1}{2}t = 53^\circ 3' 3'',81$, $\frac{1}{2}v = 24^\circ 33' 11'',9$.

$$\begin{array}{rcl}
 2 \log \cot \frac{1}{2}u & = & 0.4771212 \\
 \log \cot \frac{1}{2}t & = & 9.8763089 \\
 \log \tan \frac{1}{2}v & = & 9.6597739 \\
 \hline
 A & = & 0.0132040 \\
 \log A & = & 8.1207055 \\
 \log M & = & 0.5622157 \\
 \hline
 \log AM & = & 8.4829212
 \end{array}$$

$$\begin{array}{rcl} \cos s & = & 0.9819805 \\ \cos r & = & 0.9707254 \\ \hline & = & 1.9527059 \\ & & 2.0000000 \\ \hline 0.0472941 & . & . & . & \log & = & 8.6748069 \end{array}$$

$$\log AM = 8.4829212$$

$$\log \sin u = 9.9375306$$

$$\log B = 8.4204318 \quad . \quad . \quad . \quad B = 0.0265301$$

$$\log \cot u = 9.7614394$$

$$8.4362463 \quad . \quad . \quad . \quad . \quad 0.0273055$$

$$\sin s = 0.1889821$$

$$0.2426175$$

$$\sin r = 0.2401922$$

$$\beta = 0.0024253$$

$$\log AM = 8.4829212$$

$$\log 2 \cos u = 0.0000000$$

$$\log C = 8.4829212 \quad . \quad . \quad . \quad C = + 0.0304033$$

$$\log \sin u = 9.9375306$$

$$\log \sin t = 9.9826189$$

$$9.9549117 \quad . \quad . \quad . \quad + 0.9013878$$

$$\log \sin u = 9.9375306$$

$$\log \sin v = 9.8784810$$

$$0.0590496 \quad . \quad . \quad . \quad + 1.1456437$$

$$224 \quad . \quad . \quad . \quad \cos r + \cos s = + 1.9527059$$

$$+ 4.0301407$$

$$\log (\sin r - \sin s) = 8.7093557$$

$$\log \cot u = 9.7614394$$

$$8.4707951 \quad . \quad . \quad . \quad - 0.0295662$$

$$4.0000000$$

$$4.0295662$$

$$N = + 0.0005745$$

$$\log \beta = 7.5847655$$

$$\log N = 6.7592900$$

$$\log \cot w = 10.6254755 = \cot + 13^\circ 19' 35''.$$

A a 2

Viertes Beispiel. Den Winkel ω zu berechnen, wenn $\rho = 4$, $u = 60^\circ$; nach den Reihen in §. 21.

Hier ist $2u = 120^\circ$; $4u = 240^\circ$; $6u = 0^\circ$; $8u = 120^\circ$; $10u = 240^\circ$; $12u = 0^\circ$; und

$A =$	0.01197114	$\mathfrak{A} =$	— 0.00409878
$B =$	146020	$\mathfrak{B} =$	— 1214542
$C =$	8489	$\mathfrak{C} =$	— 73569
$D =$	493	$\mathfrak{D} =$	— 4265
$E =$	29	$\mathfrak{E} =$	— 247
$F =$	2	$\mathfrak{F} =$	— 14
		$\mathfrak{G} =$	— 1

$$A = + 0.01197114$$

$$\log B = 7.1644123$$

$$\log \cos 2u = 9.6989700$$

$$\log B \cos 2u = 6.8633823 \quad \dots \quad - 0.00073010$$

$$\log C = 5.9288565$$

$$\log \cos 4u = 9.6989700$$

$$\log C \cos 4u = 5.6278265 \quad \dots \quad 42445$$

$$\log D = 4.6928469$$

$$\log \cos 6u = 0.0000000$$

$$\log D \cos 6u = 4.6928469 \quad \dots \quad 493$$

$$\log E = 5.4623980$$

$$\log \cos 8u = 9.6989700$$

$$\log E \cos 8u = 3.1613680 \quad \dots \quad 145$$

$$\log F = 2.3010300$$

$$\log \cos 10u = 9.6989700$$

$$\log F \cos 10u = 2.0000000 \quad \dots \quad 1$$

$$+ 0.01197607 \quad - 0.00077270$$

$$- 0.00077270$$

$$Z = + 0.01120337$$

$$\mathfrak{A} = -0.00409878$$

$$\log \mathfrak{B} = 8.0844126$$

$$\log \cos 2u = 9.6989700$$

$$\log \mathfrak{B} \cos 2u = 7.7833826 \quad + 0.00607271$$

$$\log \mathfrak{C} = 6.8666949$$

$$\log \cos 4u = 9.6989700$$

$$\log \mathfrak{C} \cos 4u = 6.5656649 \quad 367846$$

$$\log \mathfrak{D} = 5.6299190$$

$$\log \cos 6u = 0.0000000$$

$$\log \mathfrak{D} \cos 6u = 5.6299190 \quad 4265$$

$$\log \mathfrak{E} = 4.5926970$$

$$\log \cos 8u = 9.6989700$$

$$\log \mathfrak{E} \cos 8u = 4.0916670 \quad 125.5$$

$$\log \mathfrak{F} = 3.1461280$$

$$\log \cos 10u = 9.6989700$$

$$\log \mathfrak{F} \cos 10u = 2.8450980 \quad 7$$

$$\log \mathfrak{G} = 2.0000000$$

$$\log \cos 12u = 0.0000000$$

$$\log \mathfrak{G} \cos 12u = 2.0000000 \quad 1$$

$$- 0.00414144 \quad + 0.00644186$$

$$+ 0.00644186$$

$$N = + 0.00230042$$

$$\log Z = 8.0493480$$

$$\log \sin 2u = 9.9375306$$

$$7.9868792$$

$$\log N = 7.5618072$$

$$\log \cot \omega = 10.6250720 = \cot + 15^\circ 20' 18''.$$

Aus dem dritten und vierten Beispiele ist sichtlich, daß, wenn der Magnetradius $\rho = 4$ ist, oder noch größer, alsdann die Reihen in §. 21 sowohl

bequemer als sicherer zur Berechnung des Winkels ω sind, falls man nicht etwa die trigonometrischen Linien mit mehr als 7 Decimalen ausdrücken wollte.

Fünftes Beispiel. Den Winkel ω zu berechnen, wenn $\rho = 2$, und $u = 40^\circ$, nach der Formel γ §. 19.

Hier ist $s = 13^\circ 4' 56'',96$; $r = 27^\circ 50' 56'',68$; $t = 112^\circ 29' 5'',32$; $v = 26^\circ 55' 3'',04$; $\frac{1}{2}t = 56^\circ 14' 31'',66$; $\frac{1}{2}v = 13^\circ 27' 31'',52$.

$$2 \log \cot \frac{1}{2}u = 0.8778682$$

$$\log \cot \frac{1}{2}t = 9.8250218$$

$$\log \tan \frac{1}{2}v = 9.3789745$$

$$A = 0.0818645$$

$$0.08 = 0.1842068$$

$$.1 = 23026$$

$$.8 = 18421$$

$$.6 = 1382$$

$$.4 = 92$$

$$.5 = 12$$

$$A \cdot M = 0.1885001$$

$$\cos s = 0.9740452 \quad \log AM = 9.2753116$$

$$\cos r = 0.8868811 \quad \log \sin u = 9.8080675$$

$$1.8609263$$

$$9.0833791 \quad + 0.1211655$$

$$2.0000000$$

$$0.1390737 \quad \log = 9.1432451$$

$$\log \cot u = 10.0761865$$

$$9.2194316$$

$$+ 0.1657417$$

$$+ \sin s = + 0.2263537$$

$$+ 0.5132609$$

$$- \sin r = - 0.4619923$$

$$B = + 0.0512686$$

$$\log AM = 9.2753116$$

$$\log 2 \cos u = 0.1852840$$

$$9.4605956$$

$$+ 0.2887989$$

$$\begin{array}{rcl}
 \operatorname{cosec} r & = & 1.0822690 \\
 \operatorname{cosec} v & = & 2.2089331 \\
 \hline
 3.2912021 & . . . \log & = 0.5173546 \\
 & \log \sin u & = 9.8080675 \\
 & \hline
 & 0.3254221 & + 2.1155444 \\
 \sin r & = & 0.4619923 \\
 \sin s & = & 0.2263537 \\
 \sin r - \sin s & = & 0.2356386 \quad . . \log = 9.3722464 \\
 & \log \cot u & = 10.0761865 \\
 & \hline
 & 9.4484329 & - 0.2808231 \\
 & & - 4.0000000 \\
 & & \hline
 & & - 4.2808231 \\
 & & \hline
 & & N = - 0.0155535 \\
 \\
 \log \beta & = & 8.7098514 \\
 - \log N & = & 8.1918282 \\
 \hline
 - \log \cot \omega & = & 10.5180232 = \log \cot - 16^\circ 52' 35''.
 \end{array}$$

Sechstes Beispiel. ω zu berechnen, wenn $q = 2$, $u = 40^\circ$ nach den Reihen §. 21 I., II., III.

Hier ist $2u = 80^\circ$; $4u = 160^\circ$; $6u = 240^\circ$; $8u = 320^\circ$; $10u = 40^\circ$; $12u = 120^\circ$.

$$\begin{array}{rcl}
 & & A = 0.107380 \\
 \log 0.052916 & = & \log B = 8.72359 \\
 & \log \cos 2u & = 9.23967 \\
 & \hline
 & 7.96326 & 9189 \\
 \log 0.012356 & = & \log C = 8.09188 \\
 & \log \cos 4u & = 9.97298 \\
 & \hline
 & 8.06486 & - 0.011611 \\
 \log 0.002868 & = & \log D = 7.45758 \\
 & \log \cos 6u & = 9.69897 \\
 & \hline
 & 7.15655 & 1454 \\
 & & + 0.116569 - 0.013045
 \end{array}$$

$$\begin{array}{rcl} \log 0.0006322 = & \log E = 6.8007 & + 0.116569 - 0.013045 \\ & \log \cos 8u = 9.8842 & \\ & \hline & 6.6849 & 484 \end{array}$$

$$\begin{array}{rcl} \log 0.0001301 = & \log F = 6.114 & \\ & \log \cos 10u = 9.884 & \\ & \hline & 5.998 & 100 \\ & & + 0.117153 - 0.013045 \\ & & \hline & Z = + 0.104108 & \\ & & \hline & \mathfrak{A} = - 0.038547 & \end{array}$$

$$\begin{array}{rcl} \log 0.109687 = & \log \mathfrak{B} = 9.04015 & \\ & \log \cos 2u = 9.23967 & \\ & \hline & 8.27982 & 19047 \end{array}$$

$$\begin{array}{rcl} \log 0.026327 = & \log \mathfrak{C} = 8.42040 & \\ & \log \cos 4u = 9.97298 & \\ & \hline & 8.39338 & + 0.024739 \end{array}$$

$$\begin{array}{rcl} \log 0.006086 = & \log \mathfrak{D} = 7.78433 & \\ & \log \cos 6u = 9.69897 & \\ & \hline & 7.48330 & 3045 \end{array}$$

$$\begin{array}{rcl} \log 0.001405 = & \log \mathfrak{E} = 7.1477 & \\ & \log \cos 8u = 9.8842 & \\ & \hline & 7.0319 & 1076 \end{array}$$

$$\begin{array}{rcl} \log 0.000322 = & \log \mathfrak{F} = 6.508 & \\ & \log \cos 10u = 9.884 & \\ & \hline & 6.592 & 247 \end{array}$$

$$\begin{array}{rcl} \log 0.000067 = & \log \mathfrak{G} = 5.845 & \\ & \log \cos 12u = 9.698 & \\ & \hline & 5.543 & 33 \\ & & - 0.058917 + 0.027815 \\ & & \hline & N = - 0.031112 & \end{array}$$

$$\begin{aligned}
 \log Z &= 9.01748 \\
 \log \sin 2u &= 9.99335 \\
 \hline
 &9.01083 \\
 - \log N &= 8.49279 \\
 \hline
 \log \cot \omega &= 10.51804 = \log \cot - 16^\circ 52' 32'', \text{ wie oben.}
 \end{aligned}$$

Das fünfte und sechste Beispiel zeigt, daß für $\rho = a$ die Reihen in §. 21 noch stark genug convergirend sind, um den Winkel ω bis auf ein paar Sekunden genau zu geben, welches zu gegenwärtigem Zwecke mehr als hinreichend ist. In geringeren Abständen vom Mittelpunkte des Magneten müßte man entweder mehrere Glieder der Reihen berechnen, oder sich der Formeln in §. 19 bedienen.

§. 25. Es ist sichtlich, daß, solange Radius ρ (Fig. 19) unverändert bleibt, auch die Größen $A, B, C, \mathfrak{A}, \mathfrak{B}, \mathfrak{C}$ u. s. w. den nämlichen Werth behalten. Untersucht man daher die magnetische Direction in einer Kugelfläche um den magnetischen Mittelpunkt, so braucht man diese Größen bloß ein Mal für alle zu berechnen. Ist ρ ziemlich groß und will man den Winkel ω nicht bis auf einzelne Sekunden bestimmen, so braucht man nur wenige Glieder der Reihen $A + B \cos 2u + \dots, \mathfrak{A} + \mathfrak{B} \cos 2u + \dots$ zu berechnen.

Liegt hingegen der Magnet außerhalb des Mittelpunktes der Kugel, so wird der Werth von ρ , also auch von den Reihen $A, B, C, \mathfrak{A}, \mathfrak{B}, \mathfrak{C}$ u. s. w. für verschiedene Punkte der Oberfläche der Kugel verschieden seyn. Deswegen wird es zweckdienlich seyn, die Veränderungen zu untersuchen, welche diese Reihen erleiden, wenn ρ einen kleinen Zuwachs $= e$ erhält. Nach dem Taylorschen Lehrsatz wird, wofern ρ den Zuwachs e erhält, der Zuwachs der Reihe A oder

$$\Delta A = \frac{dA}{1.d\rho} \cdot e + \frac{d^2 A}{1.2 d\rho^2} \cdot e^2 + \frac{d^3 A}{1.2.3 d\rho^3} \cdot e^3 + \dots + \frac{d^n A}{1.2 \dots n d\rho^n} \cdot e^n.$$

Man bezeichne die beständigen Coefficienten in der Reihe A mit $A_1, A_2, A_3 \dots A_n$, in der Reihe B mit $B_1, B_2, B_3 \dots B_m$ u. s. w., so wird

$$A = \frac{A_1}{\rho^3} + \frac{A_2}{\rho^5} + \frac{A_3}{\rho^7} + \frac{A_4}{\rho^9} + \dots + \frac{A_m}{\rho^{2m+1}}$$

$$B = \frac{B_1}{\rho^5} + \frac{B_2}{\rho^7} + \frac{B_3}{\rho^9} + \dots + \frac{B_m}{\rho^{2m+1}}$$

B b

Auf ähnliche Art könnte man die Coefficienten der übrigen Reihen bezeichnen, und man erhielte aldann

$$\begin{aligned} \Delta A = & - \left\{ \frac{3A_1}{\rho^4} + \frac{5A_2}{\rho^6} + \frac{7A_3}{\rho^8} + \dots + \frac{(2m+1)A_m}{\rho^{2m+2}} \right\} \frac{e}{1} \\ & + \left\{ \frac{3.4A_1}{\rho^5} + \frac{5.6A_2}{\rho^7} + \frac{7.8A_3}{\rho^9} + \dots + \frac{(2m+1)(2m+2)A_m}{\rho^{2m+3}} \right\} \frac{e^2}{1.2} \\ & - \left\{ \frac{3.4.5A_1}{\rho^6} + \frac{5.6.7A_2}{\rho^8} + \frac{7.8.9A_3}{\rho^{10}} + \dots + \frac{(2m+1)(2m+2)(2m+3)A_m}{\rho^{2m+4}} \right\} \frac{e^3}{1.2.3} \end{aligned}$$

Das n te Glied dieser Reihe wird

$$\frac{d^n A}{1.2 \dots n d\rho^n} = + \left\{ \frac{3.4 \dots (n+2)A_1}{\rho^{n+3}} + \frac{5.6 \dots (n+2)A_2}{\rho^{n+5}} + \dots + \frac{(2m+1)(2m+3) \dots (2m+n)A_m}{\rho^{2m+n+1}} \right\} \frac{e^n}{1.2 \dots n}$$

wo das Zeichen $-$ gilt, wenn n eine ungerade, $+$ wenn es eine gerade Zahl ist.

Sowird auch

$$\begin{aligned} \Delta B = & - \left\{ \frac{5B_1}{\rho^6} + \frac{7B_2}{\rho^8} + \frac{9B_3}{\rho^{10}} + \dots + \frac{(2m+1)B_m}{\rho^{2m+2}} \right\} \frac{e}{1} \\ & + \left\{ \frac{5.6B_1}{\rho^7} + \frac{7.8B_2}{\rho^9} + \frac{9.10B_3}{\rho^{11}} + \dots + \frac{(2m+1)(2m+2)B_m}{\rho^{2m+3}} \right\} \frac{e^2}{1.2} \end{aligned}$$

— u. s. w.

Die Logarithmen zu den beständigen Coefficienten in diesen Reihen nämlich zu $\frac{3A_1}{1}$, $\frac{3.4A_1}{1.2}$, $\frac{3.4.5A_1}{1.2.3}$ u. s. w. sind in folgender Tafel enthalten, wo R im Allgemeinen eine der Reihen A , B , C , \mathcal{A} , \mathcal{B} , \mathcal{C} u. s. w. bezeichnet.

Reihe.	e dR $1.d\rho$	Potenz von ρ	e^2 d^2R $1.2.d\rho^2$	Potenz von ρ	e^3 d^3R $1.2.3.d\rho^3$	Potenz von ρ	e^4 d^4R $1.2.3.4.d\rho^4$	Potenz von ρ	e^5 d^5R $1.2 \dots 5.d\rho^5$	Potenz von ρ
A.	0.3521826	— 4	0.6532126	— 5	0.8730613	— 6	1.0511526	— 7	1.1972806	— 8
	0.0177288	— 6	0.4948501	— 7	0.8628208	— 8	1.1638568	— 9	1.4191293	— 10
	0.7368009	— 8	1.3388609	— 9	1.8159832	— 10	2.2139222	— 11	2.5563448	— 12
	0.4496350	— 10	1.1486050	— 11	1.7128764	— 12	2.1899977	— 13	2.6049710	— 14
	0.9310941	— 12	1.7092434	— 13	2.3460675	— 14	2.8901355	— 15	3.3672568	— 16
	0.6810698	— 14	1.5261678	— 15	2.2251378	— 16	2.8271978	— 17	3.3586767	— 18

Reihe	e dR $1.d_0$	Potenz. $1.d_0$	e^2 d^2R $1.2.d_0^2$	Potenz. $1.2.d_0^2$	e^3 d^3R $1.2.3.d_0^3$	Potenz. $1.2.3.d_0^3$	e^4 d^4R $1.2.3.4.d_0^4$	Potenz. $1.2.3.4.d_0^4$	e^5 d^5R $1.2...5.d_0^5$	Potenz. $1.2...5.d_0^5$
B.	0.8628268	6	1.3397481	7	1.7079248	8	2.0089548	9	2.2643273	10
	0.5372285	8	1.1392885	9	1.6164098	10	2.0143498	11	2.3567725	12
	1.1382348	10	1.8372048	11	2.4014762	12	2.8785975	13	3.2935708	14
	0.8669154	13	1.6450667	13	2.2818888	14	2.8259568	15	3.3030781	16
	1.2986421	14	2.1437402	15	2.8427102	16	3.4447702	17	3.9762491	18
C.	0.9765612	8	1.5786212	9	2.0557425	10	2.4536825	11	2.7961052	12
	0.6555810	10	1.3545510	11	1.9188224	12	2.3959437	13	2.8109170	14
	1.2084789	12	1.9806302	13	2.6234523	14	3.1675203	15	3.6446416	16
	0.9459770	14	1.7910750	15	2.4900450	16	3.0921050	17	3.6235839	18
D.	1.0535210	10	1.7524910	11	2.3167624	12	2.7938837	13	3.2088570	14
	0.7356365	12	1.5137878	13	2.1506099	14	2.6946779	15	3.1717992	16
	1.2623263	14	2.1074243	15	2.8063943	16	3.4084543	17	3.9399332	18
E.	1.1113002	12	1.7894515	13	2.4262736	14	2.9703416	15	3.4474629	16
	0.7958197	14	1.6409177	15	2.3398877	16	2.9419477	17	3.4734266	18
F.	1.1573985	14	2.0024965	15	2.7014665	16	3.3035265	17	3.8350054	18
H.	9.8750613	4	0.1760913	5	0.3979400	6	0.5740313	7	0.7201593	8
	9.9719713	6	0.4490926	7	0.8170693	8	1.1180993	9	1.3733718	10
	0.0108893	8	0.6129493	9	1.0900706	10	1.4880106	11	1.8304333	12
	0.0320786	10	0.310486	11	1.2953200	12	1.7724413	13	2.1874147	14
	0.0454426	12	0.8235939	13	1.4604160	14	2.0044840	15	2.4816053	16
	0.0546507	14	0.8997487	15	1.5987187	16	2.2007787	17	2.7322576	18
	0.3521826	4	0.6532126	5	0.8750613	6	1.0511526	7	1.1972806	8
B.	0.3187588	6	0.7958801	7	1.1638568	8	1.4648868	9	1.7201593	10
	0.3331086	8	0.9351686	9	1.4122899	10	1.8102299	11	2.1526526	12
	0.3453430	10	1.0443130	11	1.6085844	12	2.0857057	13	2.5006791	14
	0.3544416	12	1.1325929	13	1.7694150	14	2.3134830	15	2.7906043	16
	0.3612846	14	1.2063826	15	1.9053526	16	2.5074126	17	2.9388915	18
	0.5617968	6	1.0389181	7	1.4068948	8	1.7079248	9	1.9631974	10
C.	0.4122898	8	1.0143498	9	1.4914711	10	1.8894111	11	2.2318338	12
	0.3867357	10	1.0857057	11	1.6499771	12	2.1270984	13	2.5420719	14
	0.3802488	12	1.1584001	13	1.7952222	14	2.3392902	15	2.8164115	16
	0.3790133	14	1.2241113	15	1.9230813	16	2.5251413	17	3.0566202	18
D.	0.6755312	8	1.2775912	9	1.7547125	10	2.1526525	11	2.4950752	12
	0.4794898	10	1.1784598	11	1.7427312	12	2.2198525	13	2.6348260	14
	0.4314014	12	1.2095527	13	1.8463748	14	2.3904428	15	2.8675641	16
	0.4121816	14	1.2572796	15	1.9562496	16	2.5583096	17	3.0897885	18
E.	0.7524910	10	1.4514610	11	2.0157324	12	2.4928537	13	2.9078271	14
	0.5315165	12	1.3095678	13	1.9464899	14	2.4905579	15	2.9676792	16
	0.4690864	14	1.3141844	15	2.0131544	16	2.6152144	17	3.1466933	18
F.	0.8102711	12	1.5884244	13	2.2252445	14	2.7693125	15	3.2464338	16
	0.5738219	14	1.4189199	15	2.1178899	16	2.7199499	17	3.0514288	18
G.	0.8563685	14	1.7214665	15	2.4004365	16	3.0024065	17	3.5339754	18

Um den Gebrauch vorstehender Tabelle zu erläutern, wollen wir ΔA berechnen, d. i. den Zuwachs, welchen die Reihe A erhält, wenn $\rho = 3$, $\epsilon = \frac{1}{15}$.

$\log \rho^{-4} = 8.0915148$	0.3521826	$\log \rho^{-5} = 7.6143935$	0.6532126
$8.3436974 \dots 0.0277778$		$8.2676061 \dots 0.0185485$	
$\log \rho^{-6} = 7.1372722$	0.0177288	$\log \rho^{-7} = 6.6601509$	0.4948501
$7.1550010 \dots 14289$		$7.1550010 \dots 14289$	
$\log \rho^{-8} = 6.1830296$	0.7368009	$\log \rho^{-9} = 5.7059083$	1.3388609
$6.9198305 \dots 8314$		$7.0417692 \dots 11086$	
$\log \rho^{-10} = 5.2287870$	0.4496350	$\log \rho^{-11} = 4.7516657$	1.1486050
$5.6784220 \dots 477$		$5.9002707 \dots 795$	
$\log \rho^{-12} = 4.2745444$	0.9310941	$\log \rho^{-13} = 3.7974231$	1.7092454
$5.2050385 \dots 160$		$5.5066685 \dots 321$	
$\log \rho^{-14} = 3.3203018$	0.6810698	$\log \rho^{-15} = 2.8431805$	1.5261678
$4.0013716 \dots 10$		$4.3693483 \dots 23$	
	0.0301028		0.0211699

Also ist $\frac{dA}{1.d\rho} = 0.0301028$, $\frac{d^2A}{1.2d\rho^2} = 0.0211699$; auf dieselbe Art findet sich

$$\frac{d^3A}{1.2.3d\rho^3} = 0.0126554, \quad \frac{d^4A}{1.2.3.4d\rho^4} = 0.0069651, \quad \frac{d^5A}{1.2.3.4.5d\rho^5} = 0.0036668.$$

Führt man eine ähnliche Berechnung für die folgenden Reihen aus, so findet sich

$$\Delta A = -\epsilon.0.0301028 + \epsilon^2.0.0211699 - \epsilon^3.0.0126554 + \epsilon^4.0.0069651 - \epsilon^5.0.0036668$$

$$\Delta B = -\epsilon.0.0107782 + \epsilon^2.0.0111279 - \epsilon^3.0.0090101 + \epsilon^4.0.0063124 - \epsilon^5.0.0040219$$

$$\Delta C = -\epsilon.0.0015529 + \epsilon^2.0.0021182 - \epsilon^3.0.0021765 + \epsilon^4.0.0018727 - \epsilon^5.0.0014254$$

$$\Delta D = -e \cdot 0.0002056 + e^2 \cdot 0.0003487 - e^3 \cdot 0.0004347 + e^4 \cdot 0.0004445 - e^5 \cdot 0.0003952$$

$$\Delta E = -e \cdot 0.0000256 + e^2 \cdot 0.0000416 - e^3 \cdot 0.0000609 + e^4 \cdot 0.0000719 - e^5 \cdot 0.0000728$$

$$\Delta F = -e \cdot 0.0000030 + e^2 \cdot 0.0000070 - e^3 \cdot 0.0000117 + e^4 \cdot 0.0000156 - e^5 \cdot 0.0000177$$

$$\Delta X = -e \cdot 0.0107221 + e^2 \cdot 0.0077024 - e^3 \cdot 0.0046821 + e^4 \cdot 0.0026004 - e^5 \cdot 0.0013683$$

$$\Delta Y = -e \cdot 0.0310060 + e^2 \cdot 0.0218860 - e^3 \cdot 0.0130389 + e^4 \cdot 0.0070837 - e^5 \cdot 0.0036405$$

$$\Delta Z = -e \cdot 0.0054413 + e^2 \cdot 0.0056052 - e^3 \cdot 0.0045139 + e^4 \cdot 0.0031327 - e^5 \cdot 0.0019678$$

$$\Delta D = -e \cdot 0.0007787 + e^2 \cdot 0.0010593 - e^3 \cdot 0.0010836 + e^4 \cdot 0.0009263 - e^5 \cdot 0.0006988$$

$$\Delta E = -e \cdot 0.0001028 + e^2 \cdot 0.0001739 - e^3 \cdot 0.0002160 + e^4 \cdot 0.0002199 - e^5 \cdot 0.0001943$$

$$\Delta F = -e \cdot 0.0000129 + e^2 \cdot 0.0000261 - e^3 \cdot 0.0000382 + e^4 \cdot 0.0000450 - e^5 \cdot 0.0000456$$

$$\Delta G = -e \cdot 0.0000015 + e^2 \cdot 0.0000035 - e^3 \cdot 0.0000058 + e^4 \cdot 0.0000078 - e^5 \cdot 0.0000088$$

Setzt man in diesen Reihen $e = \pm \frac{1}{10}$, so findet man:

$$\Delta A = \mp 0.00301028 + 0.00021170 \mp 0.00001266 + 0.00000070 \mp 0.00000004$$

$$\Delta B = \mp 0.00107782 + 0.00011128 \mp 0.00000901 + 0.00000063 \mp 0.00000004$$

$$\text{d. i. } \Delta A = \mp 0.00302298 + 0.00021239 = \begin{cases} - 0.00281059 \\ + 0.00323537 \end{cases}$$

$$\Delta B = \mp 0.00108687 + 0.00011191 = \begin{cases} - 0.00097497 \\ + 0.00119878 \end{cases}$$

$$\text{Nun ist für } \rho = 5, A = 0.02901196 \quad B = 0.00630875$$

$$\Delta A = \begin{cases} - 0.00281059 \\ + 0.00323537 \end{cases} \quad \Delta B = \begin{cases} - 0.00097497 \\ + 0.00119878 \end{cases}$$

$$\text{Also ist für } \rho = \begin{Bmatrix} 5.1 \\ 2.9 \end{Bmatrix}, A = \begin{cases} 0.02620137 \\ 0.03224735 \end{cases} \quad B = \begin{cases} 0.00533379 \\ 0.00750753 \end{cases}$$

Setzt man in die Reihen A und B §. 21 $\rho = 5.1$, so findet sich $A = 0.02620137$,
 $B = 0.00533381$, wie oben.

§. 24. Nachstehende Tabelle enthält die Werthe des Winkels ω , berechnet nach der Formel γ §. 19 (wo $r = 2$), für verschiedene Werthe von ρ und u *):

*) Wenn der Winkel $\omega = PBQ$ negativ wird, so gibt das zu erkennen, daß die magnetische Direction BQ auf die andere Seite des Perpendikels BP falle, d. i. zwischen ihm und dem Mittelpunkte des Magneten.

φ	Winkel ω .										
	1° .	5° .	10° .	20° .	30° .	40° .	50° .	60° .	70° .	80° .	90° .
2	.	$-80^\circ 21'$	$-70^\circ 38'$	$-52^\circ 12'$	$-34^\circ 22'$	$-16^\circ 53'$	$0^\circ 57'$	$+19^\circ 55'$	$+40^\circ 59'$	$+64^\circ 30'$	$+90^\circ 0'$
$1\frac{1}{2}$.	$-77^\circ 32'$	$-65^\circ 35'$	$-44^\circ 15'$	$-25^\circ 50'$	$-8^\circ 55'$	$+7^\circ 53'$	$+25^\circ 39'$	$+45^\circ 5'$	$+66^\circ 46'$	$+90^\circ 0'$
$1\frac{1}{2}$.	$-72^\circ 11'$	$-56^\circ 57'$	$-34^\circ 17'$	$-16^\circ 57'$	$-1^\circ 31'$	$+13^\circ 53'$	$+30^\circ 24'$	$+48^\circ 28'$	$+68^\circ 34'$	$+90^\circ 0'$
$1\frac{1}{2}$.	$-63^\circ 32'$	$-46^\circ 28'$	$-25^\circ 45'$	$-10^\circ 29'$	$+2^\circ 27'$	$+20^\circ 20'$	$+38^\circ 27'$	$+59^\circ 57'$	$+69^\circ 42'$	$+90^\circ 0'$
1	$-41^\circ 38'$	$-33^\circ 52'$	$-25^\circ 10'$	$-14^\circ 3'$	$-2^\circ 13'$	$+9^\circ 55'$	$+22^\circ 52'$	$+37^\circ 13'$	$+53^\circ 17'$	$+70^\circ 3'$	$+90^\circ 0'$
2	$+2^\circ 44'$	$+0^\circ 55'$	$-3^\circ 58'$	$+0^\circ 18'$	$+8^\circ 30'$	$+17^\circ 21'$	$+28^\circ 42'$	$+41^\circ 40'$	$+56^\circ 23'$	$+72^\circ 41'$	$+90^\circ 0'$
2	$+5^\circ 9'$	$+10^\circ 55'$	$+11^\circ 23'$	$+13^\circ 9'$	$+16^\circ 8'$	$+21^\circ 58'$	$+35^\circ 28'$	$+47^\circ 0'$	$+59^\circ 59'$	$+74^\circ 34'$	$+90^\circ 0'$
2	$+6^\circ 33'$	$+16^\circ 34'$	$+21^\circ 12'$	$+24^\circ 53'$	$+29^\circ 4'$	$+35^\circ 13'$	$+42^\circ 56'$	$+52^\circ 51'$	$+64^\circ 9'$	$+76^\circ 43'$	$+90^\circ 0'$
2	$+7^\circ 40'$	$+21^\circ 21'$	$+28^\circ 45'$	$+35^\circ 15'$	$+39^\circ 43'$	$+44^\circ 57'$	$+51^\circ 38'$	$+59^\circ 33'$	$+68^\circ 51'$	$+79^\circ 18'$	$+90^\circ 0'$
2	.	$+26^\circ 11'$	$+36^\circ 17'$	$+45^\circ 17'$	$+50^\circ 24'$	$+55^\circ 5'$	$+60^\circ 33'$	$+65^\circ 50'$	$+73^\circ 51'$	$+81^\circ 48'$	$+90^\circ 0'$

Erwägt man die Werthe des Winkels ω in vorstehender Tabelle, so erhellt, daß, wenn der Winkel u unverändert ist, d. h. in einer und derselben geraden Linie von des Magneten Mittelpunkte, die negativen Werthe, wenn φ wächst, größer, die positiven kleiner werden. So ist, wenn $u = 10^\circ$ für die Werthe von $\varphi = 1\frac{1}{2}$, $1\frac{1}{2}$, 2 , $\omega = -56^\circ 57'$, $-65^\circ 35'$, $-70^\circ 38'$, und wenn $u = 80^\circ$ für die nämlichen Werthe von φ , $\omega = +68^\circ 34'$, $+66^\circ 46'$, $+64^\circ 30'$. Man könnte fragen: welchen Werth soll man nach und nach u geben, damit der Winkel ω für verschiedene Werthe von φ dieselbe GröÙe behalte. Um diese Frage zu beantworten, müßte man zuvor folgende Aufgabe auflösen: wenn φ und ω gegeben sind, u zu finden. Eine directe Auflösung würde schwierig seyn; wir begnügen uns daher damit, diese Werthe von u durch Interpolation der obenstehenden Tabelle zu finden. So ist für $\varphi = 1\frac{1}{2}$, wenn $u = 0^\circ$, $\omega = -90^\circ$, und wenn $u = 5^\circ$, $\omega = -77^\circ 52'$; also wenn u um 5° zunimmt, so nimmt der negative Werth von ω um $90^\circ - 77^\circ 52' = 12^\circ 28'$ ab. Sucht man nun den Werth von u , welcher zu $\omega = -80^\circ$ gehört, so erhält man folgende Proportion $12^\circ 28' : 10^\circ :: 5^\circ : x = 4^\circ$; wenn also ω um 10° abnimmt, so nimmt u um 4° zu, d. h. $\omega = -80^\circ$, wenn $u = 4^\circ$. Auf diese Weise sind die Werthe von u in folgender Tabelle gefunden, welche in ganzen und zehntel Graden ausgedrückt sind.

φ	Werthe von u																		
$\frac{1}{2}$	-90°	-80°	-70°	-60°	-50°	-40°	-30°	-20°	-10°	0°	$+10^\circ$	$+20^\circ$	$+30^\circ$	$+40^\circ$	$+50^\circ$	$+60^\circ$	$+70^\circ$	$+80^\circ$	$+90^\circ$
1	0.0	5.2	10.2	15.8	21.9	26.9	32.5	38.2	43.9	49.5	54.8	60.0	64.8	69.9	73.8	77.1	82.2	86.1	90.0
2	0.0	4.0	8.3	12.6	17.3	22.3	27.7	33.4	39.1	45.3	51.2	55.8	62.2	67.4	71.9	76.9	81.4	85.7	90.0
3	0.0	2.8	5.7	9.0	13.1	17.5	22.5	28.3	34.5	41.0	47.5	53.7	59.8	65.3	70.7	75.7	80.7	85.3	90.0
4	0.0	1.9	3.8	6.1	9.0	13.1	18.0	23.8	30.4	38.1	44.2	49.8	57.4	64.1	70.2	75.2	80.1	85.1	90.0
5	0.0	1.4	2.8	4.6	7.0	10.1	14.0	18.8	24.5	31.8	40.1	47.8	55.0	61.7	68.0	74.0	80.0	85.0	90.0
6	0.0	1.1	2.2	3.6	5.5	8.0	11.0	15.8	21.5	28.8	37.1	45.8	54.0	61.7	68.0	74.0	80.0	85.0	90.0
7	0.0	0.9	1.8	3.0	4.6	6.8	9.6	13.4	18.1	24.4	32.1	40.8	49.0	56.7	64.0	71.0	78.0	84.0	90.0
8	0.0	0.7	1.4	2.4	3.8	5.6	8.0	10.8	14.6	19.8	26.8	34.8	43.0	51.0	58.0	65.0	72.0	79.0	85.0
9	0.0	0.6	1.2	2.1	3.4	5.0	7.2	9.8	13.0	17.8	24.0	31.0	39.0	47.0	54.0	61.0	68.0	75.0	81.0
10	0.0	0.5	1.0	1.8	3.0	4.4	6.4	8.8	11.8	16.0	21.0	27.0	34.0	42.0	50.0	57.0	64.0	71.0	77.0
11	0.0	0.4	0.8	1.5	2.6	3.8	5.6	7.6	10.4	14.0	18.8	24.8	31.8	39.8	47.8	55.8	63.8	71.8	78.8
12	0.0	0.3	0.7	1.3	2.3	3.4	5.0	6.8	9.4	12.8	17.2	22.8	29.8	37.8	45.8	53.8	61.8	69.8	76.8
13	0.0	0.3	0.6	1.1	2.0	3.0	4.4	6.0	8.4	11.6	15.6	20.4	26.4	33.4	41.4	49.4	57.4	65.4	73.4
14	0.0	0.2	0.5	1.0	1.8	2.7	4.0	5.6	7.8	10.8	14.8	19.6	25.6	32.6	40.6	48.6	56.6	64.6	72.6
15	0.0	0.2	0.4	0.8	1.5	2.3	3.4	4.8	6.6	9.4	13.0	17.4	23.4	30.4	38.4	46.4	54.4	62.4	70.4
16	0.0	0.2	0.4	0.7	1.3	2.1	3.2	4.4	6.0	8.4	11.4	15.4	20.4	26.4	33.4	41.4	49.4	57.4	65.4
17	0.0	0.2	0.3	0.6	1.1	1.8	2.7	3.8	5.2	7.4	10.4	14.4	19.4	25.4	32.4	40.4	48.4	56.4	64.4
18	0.0	0.2	0.3	0.5	1.0	1.6	2.5	3.6	5.0	7.0	9.8	13.6	18.6	24.6	31.6	39.6	47.6	55.6	63.6
19	0.0	0.2	0.3	0.5	0.9	1.5	2.3	3.3	4.6	6.4	9.0	12.6	17.0	22.6	29.0	36.0	44.0	52.0	60.0
20	0.0	0.2	0.3	0.4	0.8	1.3	2.1	3.0	4.2	5.8	8.2	11.0	14.2	18.2	23.0	28.2	34.2	41.2	48.2
21	0.0	0.2	0.3	0.4	0.7	1.2	2.0	2.9	4.0	5.4	7.6	10.2	13.2	17.2	22.0	27.2	33.2	40.2	47.2
22	0.0	0.2	0.3	0.4	0.7	1.1	1.9	2.8	3.8	5.2	7.4	10.0	13.0	17.0	21.8	26.8	32.8	39.8	46.8
23	0.0	0.2	0.3	0.4	0.6	1.1	1.8	2.7	3.7	5.0	7.2	9.8	12.8	16.8	21.6	26.6	32.6	39.6	46.6
24	0.0	0.2	0.3	0.4	0.6	1.0	1.7	2.6	3.6	4.9	7.0	9.6	12.6	16.6	21.4	26.4	32.4	39.4	46.4
25	0.0	0.2	0.3	0.4	0.6	1.0	1.7	2.6	3.6	4.9	7.0	9.6	12.6	16.6	21.4	26.4	32.4	39.4	46.4
26	0.0	0.2	0.3	0.4	0.6	1.0	1.7	2.6	3.6	4.9	7.0	9.6	12.6	16.6	21.4	26.4	32.4	39.4	46.4
27	0.0	0.2	0.3	0.4	0.6	1.0	1.7	2.6	3.6	4.9	7.0	9.6	12.6	16.6	21.4	26.4	32.4	39.4	46.4
28	0.0	0.2	0.3	0.4	0.6	1.0	1.7	2.6	3.6	4.9	7.0	9.6	12.6	16.6	21.4	26.4	32.4	39.4	46.4
29	0.0	0.2	0.3	0.4	0.6	1.0	1.7	2.6	3.6	4.9	7.0	9.6	12.6	16.6	21.4	26.4	32.4	39.4	46.4
30	0.0	0.2	0.3	0.4	0.6	1.0	1.7	2.6	3.6	4.9	7.0	9.6	12.6	16.6	21.4	26.4	32.4	39.4	46.4

AC (Fig. 20) sey die halbe Magnetaxe, C ihr Mittelpunkt, A ihr Pol; man theile die Halbaxe in 8 gleichgrosse Theile, trage sie auf die verlängerte Axe AD, errichte CE lothrecht auf AG und beschreibe von C als Mittelpunkte concentrische Kreisbogen durch die oberwähnten Theilungspunkte. In diesen Bogen bemerke man die Punkte, wo der Winkel ω nach vorstehender Tabelle eine gewisse Grösse hat, z. B. alle Werthe von u , für welche ω ist $= + 80^\circ$. So setze man im äussersten Kreise (wo $\rho = 1\frac{1}{2} = \frac{13}{8}$) einen Punkt bey $u = 86^\circ, 1$; im nächsten (wo $\rho = 1\frac{1}{2} = \frac{13}{8}$) einen Punkt bey $u = 85^\circ, 7$ u. s. w. und verbinde alle diese Punkte durch krumme Linien; diese krummen Linien nennen wir die *isogonischen Linien*, weil die magnetische Direction in ihnen einen *beständigen* Winkel mit dem Perpendikel auf der Magnetaxe bildet. Bey Betrachtung der Figur ersieht man: 1) daß das Perpendikel CE durch des Magneten Mittelpunkt die *isogonische Linie* sey für $\omega = + 90^\circ$, und die verlängerte Axe DA die *isogonische Linie* für $\omega = - 90^\circ$; daß alle isogonische Linien für negative Werthe von ω und die Linie für $\omega = 0^\circ$ im Magnetpole A zusammenlaufen; die isogonischen Linien dagegen für die positiven Werthe von ω sich im Mittelpunkte G des Magneten vereinigen*).

Die Tabelle zeigt, daß sie sich sämtlich mehr und mehr von der verlängerten Axe AD entfernen und dem Perpendikel EC nähern, je größer die

*) Auch ist leichtlich abzunehmen, daß sie keine Hyperbeln sind, welches Prof. Steinhäuser in seiner Comment. de magnetismo telluris Sect. I. §. 19 pag. 39 behauptet.

Entfernung ρ von des Magneten Mittelpunkte wird. So ist (Fig. 26) der Bogen $Xa = 2\frac{1}{18}$, der Bogen $XIib = 4$ und der Bogen $XVIc = 5\frac{1}{18}$ Graden. Wofern sie demnach nicht sämtlich nachgerade mit dem Perpendikel EC zusammen fallen sollen, so muß es für jede isogonische Linie eine gerade Linie durch des Magneten Mittelpunkt geben, welchem sie sich ohne Ende nähert, d. h. eine *Asymptote*. In §. 20 Zusatz ward gefunden, daß, wenn ρ unendlich

groß wäre, so würde $\cot \omega = \frac{-\sin 2u}{\cos 2u + \frac{1}{3}}$; hieraus läßt sich der Winkel u auf

folgende Weise finden: $\frac{1}{3} \cot \omega + \cot \omega \cdot \cos 2u = -\sin 2u$, also $\sin 2u + \cot \omega \cdot \cos 2u = -\frac{1}{3} \cot \omega$. Durch Multiplication der Gleichung mit $\sin \omega$ findet sich $\sin 2u \cdot \sin \omega + \cos \omega \cdot \cos 2u = -\frac{1}{3} \cos \omega$, d. i. $\cos (2u - \omega) = -\frac{1}{3} \cos \omega$.

Setzt man $2u - \omega = m$, so ist $\cos m = -\frac{1}{3} \cos \omega$, und $m + \omega = 2u$,

folglich $u = \frac{m + \omega}{2}$. Ist z. B. $\omega = \pm 80^\circ$, so ist $-\frac{1}{3} \cos \omega = \cos m$

$= -0.0578827 = \cos 93^\circ 19' 6''$; also $\frac{m + \omega}{2} = \frac{93^\circ 19' 6'' \pm 80^\circ}{2}$, d. i.

für $\omega = +80^\circ$, $u = \frac{173^\circ 19' 6''}{2} = 86^\circ 39' 53''$, und für $\omega = -80^\circ$,

$u = \frac{13^\circ 19' 6''}{2} = 6^\circ 39' 53''$ (*). Die dermaßen berechneten Werthe von u

für $\rho = \infty$, zugleich mit den nämlichen Werthen von u für $\rho = 4$ (wenn die halbe Magnetaxe $= 1$ gesetzt wird), findet man in folgender Tabelle.

ρ	Werthe von u						
$\omega =$	-90°	-60°	-30°	0°	$+30^\circ$	$+60^\circ$	$+90^\circ$
∞	0°	$19^\circ 48'$	$58^\circ 23'$	$54^\circ 44'$	$68^\circ 23'$	$79^\circ 48'$	$90^\circ 0'$
4	0	18 48	56 56	53 26	67 31	79 23	90 0

*) Für $\omega = 0$, findet man $\cos m = \cos 2u = -\frac{1}{3}$, also $2u = 109^\circ 28' 16''.38$, und $u = 54^\circ 44' 8''.19$.

In Fig. 21 sey AG die halbe Magnetaxe, O ihr Mittelpunkt, A ihr Pol, CD sey $\perp 4AO$ und CE lothrecht auf DC . Man construirt auf dieselbe Art wie in Fig. 20 die isogonischen Linien für $\omega = -60^\circ$, $\omega = -30^\circ$, $\omega = 0^\circ$ u. s. w., und führe sie fort mit Hülfe der vorstehenden Tabelle bis $\rho = 4$; setzt man nun die Winkel $aGD = 19^\circ 48'$, $bCD = 38^\circ 25'$, $cGD = 54^\circ 44'$ u. s. w. nach der vorigen Tabelle, so sind die Linien aC , bC , cC u. s. w. Asymptoten der isogonischen Linien.

§. 25. Man errichte ein Perpendikel Hv_{11} auf einem der Theilungspunkte in der Axe AC (Fig. 20). Diese Linie schneidet die isogonische Linie für $\omega = 0^\circ$ in zwey Punkten H und h ; aber in letzterer Linie ist die magnetische Direction überall lothrecht gegen die Axe AC (da $\omega = 0^\circ$). Also drückt die Linie Hv_{11} die magnetische Direction in den Punkten H und h aus. Man ziehe eine Linie Lv_{11} , welche einen Winkel $Lv_{11}H = 10^\circ$ mit der lothrechten Linie Hv_{11} bildet; diese Linie schneidet die isogonische Linie für $\omega = -10^\circ$ in zwey Punkten L und l . Fallet man ein Perpendikel vom Punkte L auf die Axe AC , so bildet die Linie Lv_{11} einen Winkel $= -10^\circ$ mit diesem Perpendikel (falls man nämlich, wie mit dem Winkel ω , den Winkel für negativ rechnet, wenn die Linie zwischen den Perpendikel und den Mittelpunkt fällt). Also drückt die Linie Lv_{11} die magnetische Direction in den Punkten L und l aus. Auf gleiche Weise ist es deutlich, daß, wofern die Linie Nv_{11} einen Winkel von 20° mit dem Perpendikel Hv_{11} bildet, so drückt sie die magnetische Direction in den zwey Punkten N und n aus, in welchen sie die isogonische Linie für $\omega = -20^\circ$ schneidet. Ferner ziehe man eine Linie Mv_{11} , welche einen Winkel $= 10^\circ$ auf der entgegengesetzten Seite des Perpendikels Hv_{11} bildet (also $= +10^\circ$); diese schneidet die isogonische Linie für $\omega = +10^\circ$ im Punkte M , wo sie die magnetische Direction ausdrückt. Dieses setze man fort auf beiden Seiten, indem man nämlich Linien zieht, welche mit dem Perpendikel Hv_{11} Winkel bilden $= \pm 20^\circ$, $\pm 30^\circ$, $\pm 40^\circ$ u. s. w. Die Punkte, worin alle diese Linien die entsprechenden isogonischen Linien schneiden, fallen in einer krummen Linie $CMNhnv_{11}$, deren einer Endpunkt im Mittelpunkt C des Magneten und der andere im Punkte v_{11} ist, und welche die Beschaffenheit hat, daß in ihr die magnetischen

Directionen überall gegen den Punkt VII convergiren. Dadurch daß man ähnliche Winkel an den übrigen Punkten VI, V, IV u. s. w. der Magnetaxe trüge, oder, welches einerley ist, dadurch daß man Linien parallel mit LVII, HVII, MVII u. s. w. durch obige Punkte zöge, könnte man andre krumme Linien bekommen, in welchen die magnetischen Directionen gegen die Punkte VI, V, IV u. s. w. convergirten. Diese Linien, welche eine Art Trajectorien sind, sieht man in Fig. 22, wo jede Linie mit einer Zahl bezeichnet ist, welche ausweist, nach welchem Punkte zu in der Magnetaxe die magnetischen Directionen in derselben convergiren.

Zusatz. Die Winkel HVII M, HVII L u. s. w. trägt man mit Hülfe der eingetheilten Quadranten DE (Fig. 20) leicht auf. Es ist unnöthig die Linie HVII, MVII u. s. w. zu ziehen, nur muß man ihre Durchschnittspunkte P M u. s. w. mit den entsprechenden isogonischen Linien bemerken. Wenn eines Dreieckes eine Seite einmal in die Direction MVII gelegt ist, so drückt sie die magnetische Direction in der ganzen isogonischen Linie für $\omega = +1$ aus;—man führe sie also parallel mit sich selbst bis zum Punkte VII in der Magnetaxe, und bezeichne den Punkt, wo sie die krumme Linie schneidet mit der Zahl VIII; führe sie ferner parallel mit sich selber zum Punkte IX der verlängerten Axey und bezeichne den Punkt, wo sie die krumme Linie schneidet, mit der Zahl IX, u. s. w. Man theile eben so die übrigen isogonischen Linien ein und verbinde die mit derselben Zahl bezeichneten Punkte mit krummen Linien, so hat man die Linien in Fig. 22.

§. 26. Aufgabe. Die magnetische krumme Linie (*curva magnetica*) zu construiren.

ABC (Fig. 23) sey ein linearer Magnet; Cc ein Perpendikel durch Mittelpunkt C; acb sey ein unendlich kleiner Magnet, dessen Mittelpunkt in den Perpendikel Cc fällt. Sind die Pole A und B gleich stark, so wird Magnet acb parallel seyn mit ACB. Man stelle sich vor, daß der Mittelpunkt c des Magneten acb ein unendlich kleines Stück nach der Direction rücke, so daß der Mittelpunkt c nach a käme, so wird der unendlich kleine Magnet nun nicht länger in einer Linie in Ruhe seyn wollen, welche ist mit AB (da der Mittelpunkt c näher am Pole B als am Pole A ist

dem wird eine geneigte Lage annehmen, welche einen unendlich kleinen Winkel dae mit seiner vorigen Lage ca macht. Ferner stelle man sich vor, der Mittelpunkt rücke ein unendlich kleines Stück nach seiner jetzigen Direction ae von a nach e , so wird der unendlich kleine Magnet eine neue Lage feg annehmen, welche mit seiner vorigen Lage einen Winkel fea macht. Der nämliche Fall wird eintreten, wenn man den Mittelpunkt von e nach g rücken liesse. Der krummlinigte Weg $caeg$, welchen inzwischen der Mittelpunkt durchlaufen hat, ist die *magnetische Curve*.

Dadurch, daß man die Gleichungen für $\cot \omega$ in §. 19, 20 integrierte, könnte man eine Gleichung für diese Curve bekommen; aber die transcendenten Größen, welche sie enthalten, machen sie für die Behandlung allzu schwierig. Herr *Lambert* hat eine Weise angegeben, sie mit Hülfe der im vorigen §. gefundenen krummen Linien aus ihren Tangenten zusammenzusetzen*), welche wir hier auseinandersetzen wollen.

Man ziehe eine Linie ab (Fig. 24), welche einen willkürlichen Winkel mab mit der geraden Linie sm bildet; ziehe darauf durch den Punkt b eine Linie bc , welche einen Winkel $nbc = mab$ mit der Linie ab bildet, und setze $bc = ab$; ziehe ferner eine Linie cd , welche einen Winkel $ocd = nbc = mab$ mit der Linie bc bildet, und setze $cd = bc = ab$ u. s. w., so werden die Mittelpunkte s, t, u, v von diesen gleichgroßen Linien in einen Kreisbogen fallen; denn der Kreis ändert in gleich großer Entfernung gleich viel seine Direction, d. i. hat überall gleich große Krümmung. Ist ACB (Fig. 25) eine krumme Linie, AT eine Tangente zum Punkte A , BT eine Tangente zum Punkte B , so wird BT größer seyn als AT , wofern die Krümmung der Linie größer ist in A als in B . Je näher man B bey A nimmt, desto geringer wird (zufolge der *lex continuitatis*) der Unterschied zwischen der Krümmung auf beiden Seiten und folglich auch der Unterschied der Tangenten; und nimmt man B unendlich nahe bey A , so wird der Unterschied der Krümmung und der Tangenten unendlich klein seyn. AT und BT müssen dann wie die Tangenten eines Kreises angesehen werden, welcher die

*) Siehe Mem. de l'Acad. d. sc. à Berlin, Ann. 1766, Tom. XXII.

nämliche Krümmung hat, wie die krumme Linie im Punkte A (der Krümmungs-Kreis). Kennt man also das Gesetz für die Tangenten einer krummen Linie, so kann man ohne bedeutenden Fehler die krumme Linie aus *gleich-großen* Tangenten zusammensetzen, wenn diese nicht zu groß genommen werden.

Man ziehe durch den Punkt VII in der Magnetaxe eine gerade Linie VII Na, welche die Curve VII (Fig. 20) im Punkte N schneidet, wo sie also (nach § 25) mit der magnetischen Direction zusammenfällt; durch den Punkt VIII in der Magnetaxe und den Punkt α , welcher ungefähr mitten zwischen den Curven VII und VIII liegt, ziehe man eine andre gerade Linie VIII $\alpha\gamma$, welche die Curve VIII im Punkte β schneidet, wo sie demnach mit der magnetischen Direction zusammenfällt; ferner ziehe man durch den Punkt IX in der verlängerten Axe und den Punkt γ , welcher ungefähr mitten zwischen den Curven VIII und IX liegt, eine gerade Linie IX $\gamma\epsilon$, welche die Curve IX im Punkte δ schneidet, wo sie die magnetische Direction ausdrückt u. s. w. Die Linien Na, $\alpha\gamma$, $\gamma\epsilon$ sind also Tangenten zu der magnetischen Curve, und die Punkte N, β , δ liegen in der krummen Linie selbst. In je mehr Theile daher die Magnetaxe AC getheilt ist, desto dichter fallen die krummen Linien in §. 25, und desto kürzer werden die Tangenten $\alpha\gamma$, $\gamma\epsilon$ (Fig. 20); aber dadurch fallen sie auch mehr zusammen mit der magnetischen Curve. Auf diese Weise sind die krummen Linien in Fig. 22 construirt.

Deutlicher sieht man diese Linien in der 26sten Figur, wo die trajectorischen Hülfslinien ausgelassen sind; hier stellt AB die ganze Magnetaxe, C ihren Mittelpunkt vor, worin das Perpendikel EC errichtet ist. Bey Betrachtung dieser Figur ist einleuchtend: 1) aus jedem Punkte in der Magnetaxe AB entspringt eine krumme Linie, welche wieder auf der entgegengesetzten Seite des Mittelpunkts C in gleicher Entfernung von demselben in die Axe einläuft; Perpendikel EC theilt sie alle in zwey congruente Zweige; 2) die, welche in der Nähe des Mittelpunkts entspringen, haben die größte Krümmung; die, welche in der Nähe der Pole A und B entspringen, nähern sich mehr der geraden Linie. Aus den Endpunkten A und B selbst entspringen die magnetischen Linien AD, BF, welche mit der verlängerten Axe zusammenfallen und

einen unendlich großen Krümmungsradius haben; 3) jede magnetische Linie (wenigstens die in der Nähe der Pole) hat einen Wendepunkt (*punctum reflexus*), wofin die Krümmung sich nach der entgegengesetzten Seite verändert; 4) die Linien, welche nahe bey den Polen entspringen, haben zwey Punkte, in welchen sie lothrecht gegen die Axe AB stehen (oder in welchen die Tangente lothrecht auf AB ist). Die Linie POA, welche die isogonische Linie für $\omega = 0^\circ$ ist, schneidet diese Curven nahe am Pole in zwey Punkten, in welchen die Tangente also lothrecht auf AB steht. Der eine von diesen Punkten, z. B. O, ist zugleich derjenige, worin die Curve ihre größte Entfernung vom Perpendikel EC hat, oder, wenn EC für die Abscidelinie gerechnet wird, worin die Ordinate ihr Maximum hat.

Ähnliche Linien wurden vermittelst der Formel für $\cot \omega$ in §. 19 No. I. α (wo $r = 1$) construirt, welche blos darin von den krummen Linien in Fig. 26 verschieden waren, daß die Queraxe EC in jenen etwas größer als in diesen war; diese sind, um Weitläufigkeit zu vermeiden, ausgelassen.

Legt man einen künstlichen Magneten unter eine ebene, doch nicht allzu glatt geschliffene Messingplatte, oder unter ein Stück Papier, und streuet Eisenfeilspähne auf die Fläche, so ordnen sich, wenn man kleine Schläge auf die Ecke thut, die Feilspähne in eine Art krumme Linien, welche große Aehnlichkeit mit den hier *a priori* gefundenen haben. Am besten geschieht diese Vergleichung, wenn man im voraus auf dem Papiere oder der Platte die Curven in Fig. 26 so construirt, daß AB gleich der Länge des Magneten gesetzt wird, dessen man sich zum Versuche bedienen will, und man den Magneten so darauf legt, daß er genau von der Linie AB gedeckt wird. Je geringer des Magneten Breite und Dicke im Vergleiche mit seiner Länge ist, desto größer wird die Uebereinstimmung werden. Sind dagegen die Curven nach §. 19 I. α construirt, so werden die Queraxen höher als bey den Feilspähnelinien. Dieses beweist ebenfalls, daß die bisher angenommene Hypothese $r = 2$ der Wahrheit am nächsten komme.

§. 27. Problem: Wenn ein unendlich kleiner Magnet sich in eines Kreises Mittelpunkte befindet, den Winkel zu finden, welchen die magnetische Direction in einem gegebenen Punkte der Peripherie mit der Tangente derselben macht.

Der Kreis sey ANQS (Fig. 27), im Mittelpunkte C sey ein Magnet, welcher unendlich klein ist im Vergleiche mit dem Diameter NS; NS sey die nach beiden Seiten hin verlängerte Magnetaxe, AQ ein Perpendikel auf NS, also der magnetische Aequator, der Winkel LCN $= u$. Ist LM lothrecht auf der verlängerten Axe NS und LT eine Tangente in dem Punkte L, so ist der Winkel TLM $=$ LCN $= u$; ist nun Ly die magnetische Direction im Punkte L, so ist der Winkel MLy $= \omega$ (§. 19), also der Winkel TLy $= i =$ TLM $-$ MLy $= u - \omega$; d. i. $\omega = u - i$. Wenn die Magnetaxe unendlich klein ist, so ist nach §. 20 Zusatz 1, $\cot \omega = \frac{3 \sin 2u}{2 - 3 \cos^2 u} = \frac{3 \sin u \cos u}{1 - 3 \cos^2 u}$; aber

$$\cot \omega = \cot(u - i) = \frac{1 + \operatorname{tg} u \operatorname{tg} i}{\operatorname{tg} u - \operatorname{tg} i}, \text{ also ist } (1 - 3 \cos^2 u) (1 + \operatorname{tg} u \operatorname{tg} i) \\ = 3 \sin u \cos u (\operatorname{tg} u - \operatorname{tg} i); \text{ hieraus findet sich } [(1 - 3 \cos^2 u) \operatorname{tg} u \\ + 3 \sin u \cos u] \operatorname{tg} i = 3 \sin u \cos u \operatorname{tg} u - 1 + 3 \cos^2 u, \text{ d. i. } \operatorname{tg} u \operatorname{tg} i \\ = 2, \text{ und } \operatorname{tg} i = \frac{2}{\operatorname{tg} u} = 2 \cot u.$$

Setzt man ACL $= \beta$, so ist $\operatorname{tg} i = 2 \operatorname{tg} \beta$; für $\beta = 0^\circ$ wird also $i = 0^\circ$, d. i. im Punkte A ist die Ruhelinie Tangente des Kreises. Von A nach N wächst i mit β und wird im Punkte A $= 90^\circ = \beta$, im Punkte Q $= 180^\circ$, im Punkte S $= 270^\circ$ und im Punkte A wieder $= 360^\circ$ oder $= 0^\circ$. Setzt man aber im Punkte P den kleinsten Winkel der Ruhelinie mit der Tangente oder gPa $= 180^\circ -$ tPa $= i$, so nimmt der Winkel i ab von N nach Q und wird in Q $= 0^\circ$ für $\beta = 180^\circ$. Im Punkte O, wo β negativ ist, wird i auch negativ, und in S $= -90^\circ$, für $\beta = -90^\circ$; von S nach Q nimmt dieser negative Werth von i ab und wird in Q $= 0^\circ$ für $\beta = -180^\circ$.

Die Punkte A und Q, wo $i = 0^\circ$, und die Punkte N und S, wo $i = 90^\circ$, sind einander also diametral entgegengesetzt und theilen die Peripherie in vier gleichgroße Quadranten.

Ist ANQS der Durchschnitt einer Kugel, in deren Centrum O ein unendlich kleiner Magnet sich befindet, so wird der Winkel TLy die magnetische Neigung, und also ist die Tangente der Neigung doppelt so groß, als die Tangente der magnetischen Breite ACL. Ist ACL $= 0$, so ist $\operatorname{tg} i = 2 \operatorname{tg} ACL = 0$;

d. i. im magnetischen Aequator A ist die Neigung $\equiv 0^\circ$; ist $ACL \equiv 90^\circ$, so ist $\tan i \equiv 2 \infty$, also $i \equiv 90^\circ$, d. i. im Pole N ist die Neigung $\equiv 90^\circ$; ist $ACL \equiv 45^\circ$, so ist $\tan i \equiv 2 \tan ACL \equiv 2$, also $i \equiv 63^\circ 26'$, u. s. w.*).

Zusatz. Wenn die Erde also blos eine Magnetaxe in ihrem Mittelpunkte hätte, so könnte man durch zwey beobachtete Neigungen ihre Lage bestimmen. L und M (Fig. 8) seyen zwey Orte, in welchen die Neigung bekannt wäre; P sey der Erde Pol, B des Magneten Pol; BL sey $\equiv U$, BM $\equiv u$, die Neigung in L $\equiv I$, die Neigung in M $\equiv i$. Da die geographische Lage der Orte M und L bekannt ist, so hat man im ΔLPM den Bogen LP, den Bogen MP und den Winkel LPM; hieraus sucht man den Bogen ML und den Winkel PLM. Im Orte L ist $\cot I \equiv 2 \cot U$, also $\frac{1}{2} \cot I \equiv \cot U \equiv \cot BL$; im Orte M findet man auf gleiche Weise $\frac{1}{2} \cot i \equiv \cot u \equiv \cot BM$; da überdies der Bogen ML bekannt ist, so wird im ΔBLM der Winkel BLM gesucht. Im ΔBLP sind nun der Bogen BL und PL bekannt, so auch der Winkel BLP $\equiv BLM - PLM$; hieraus wird der Bogen BP und der Winkel BPL gesucht, wodurch die Lage des Punktes B bestimmt ist.

§. 28. Wenn der Magnet unendlich klein ist, eine Gleichung für die magnetische Curve zu finden.

C (Fig. 28) sey des Magneten Mittelpunkt, CA die verlängerte Axe, DC der magnetische Aequator, CEMm die magnetische Curve; der Quadrant AgB sey beschrieben mit einem Radius AC $\equiv 1$; der Bogen AG sey $\equiv u$, MC $\equiv y$. Man ziehe die Linie Cm unendlich nahe bey CM und beschreibe vom Mittelpunkte C aus den Bögen HMh mit einem Radius CM $\equiv y$, so ist $mh \equiv dy$, $Gi \equiv du$, und $CG:CM \equiv Gi:Mh$, d. i. $1:y \equiv du:Mh \equiv ydu$. Nun ist $\tan HME \equiv \tan mMh \equiv \frac{mh}{Mh} \equiv \frac{dy}{ydu}$; aber nach §. 27 ist $\tan HME \equiv \tan i \equiv 2 \cot ACG \equiv 2 \cot u$, also ist $\frac{dy}{ydu} \equiv 2 \cot u$, und $\frac{dy}{y} \equiv 2 \cot u du \equiv \frac{2 \cos u du}{\sin u}$.

*) Diese unmittelbare Formel für die Neigung ist überaus einfach; es ist sonderbar, daß Biot sie nicht gefunden hat, da sie doch unmittelbar aus seiner Formel folgte.

$= \frac{2 \cdot d \sin u}{\sin u}$. Hieraus findet sich $\log y = \log c + 2 \log \sin u$, d. i. $y = c \cdot \sin^2 u$;

welches die gesuchte Gleichung für die magnetische Curve ist.

Für $u = 90^\circ$ wird $y = c$, d. i. die größte Ordinate findet man $= c$ für $u = 90^\circ$ oder im magnetischen Aequator; für $u = 60^\circ$ wird $y = \frac{1}{4}c$; für $u = 45^\circ$, $y = \frac{1}{2}c$; für $u = 30^\circ$, $y = \frac{1}{4}c$; für $u = 0^\circ$, $y = 0$. Will man nun die magnetische Curve construiren, so ziehe man die gerade Linie CA (Fig. 29) und setze sie $= c$, errichte den Perpendikel CP, welcher die verlängerte Magnetaxe vorstellt, beschreibe um das Centrum C einen Quadranten AP, und theile diesen in gleich große Bogen ein, z. B. von 10° zu 10° und ziehe Radien durch alle Theilungspunkte; schneide darauf vom Radius C 80° ab das Stück Cm $= c \cdot \sin^2 80^\circ$; vom Radius C 70° das Stück Cn $= c \cdot \sin^2 70^\circ$ u. s. w. und verbinde die Punkte Amnp durch eine krumme Linie, so ist dies die magnetische Curve.

Fället man BF lothrecht auf CA, und setzet BF $= z$, CF $= x$, so ist BF $= BC \cdot \sin BCF$; d. i. $z = y \cdot \cos u = c \cdot \sin^2 u \cdot \cos u = \frac{1}{2}c \cdot \sin u \cdot \sin 2u$; FC $= BC \times \cos BCF$; d. i. $x = y \sin u = c \cdot \sin^3 u$. Nun wird BF ein Maximum, wenn $dz = 0$, d. i. $0 = 2c \sin u \cos^2 u - c \sin^3 u$; also $2 \cos u = \sin^2 u$, und $\tan u = \sqrt{2} = \tan 54^\circ 44' 8'', 19$. In §. 24 wurde gezeigt, daß für eine unendlich kleine Magnetaxe der Winkel $\omega = 0^\circ$ wird, wo $u = 54^\circ 44' 8'', 19$, d. i. für diesen Werth wird die magnetische Directrix (welche immer als Tangente zur magnetischen Curve gedacht werden kann) lothrecht gegen die verlängerte Magnetaxe CP, also parallel mit dem magnetischen Aequator CA, welches vollkommen mit dem vorigen übereinstimmt. Ist nun BCP $= a = 54^\circ 44' 8'', 19$, so ist BC $= y = c \cdot \sin^2 a$, BF $= c \cdot \sin^2 a \cdot \cos a$, CF $= x = c \cdot \sin^3 a$. Aber da $\tan a = \sqrt{2}$, so ist $\frac{\tan a}{\sqrt{1 + \tan^2 a}} = \frac{\sqrt{2}}{\sqrt{3}} = \sqrt{\frac{2}{3}}$, $\cos a = \frac{1}{\sqrt{1 + \tan^2 a}} = \frac{1}{\sqrt{3}}$, also BC $= \frac{2}{3}c$, BF $= c \times \frac{2}{3} \times \sqrt{\frac{2}{3}} = c \cdot \sqrt{\frac{4}{9}} = c \times 0.5849$, CF $= c \times 0.5443$; folglich ist AF $= CA - CF = c(1 - 0.5443) = c \times 0.4557$, die größte Ordinate BF liegt also näher bey dem Scheitelpunkte der C als bey dem Mittelpunkte des Magneten C.

Giebt man nachgerade c andre Werthe, so kann man um den magnetischen Mittelpunkt O unzählige Curven beschreiben; diese werden alle einander ähnlich; die geraden Linien Cm , Cn , Co werden hier isogonische Linien; die Linie BC , welche einen Winkel $BCP = 54^\circ 44' 8'', 19$ mit der verlängerten Axe CP bildet, durchschneidet in ihnen die Punkte B , B' u. s. w., wodurch die größte Abscisse BF , $B'F$ u. s. w. geht. Je größer die Entfernung ρ im Verhältnisse zur Magnetaxe wird, desto mehr nähern sich die krummen Linien in §. 26 (Fig. 26) der Aehnlichkeit mit den hier beschriebenen, sowie die isogonischen Linien sich der geraden Linie nähern.

Zusatz 1. Die Curve hat vier congruente Zweige CBA , CEQ , CGA und CDQ (Fig. 29), welche von den vier rechten Winkeln eingeschlossen werden, die von der nach beiden Seiten verlängerten Magnetaxe Pp und dem magnetischen Aequator AQ gebildet werden. Denn die Gleichung $y = c \sin^2 u$ giebt die nämlichen Werthe, wenn man statt $+u$ setzt $-u$, $180^\circ - u$ und $180^\circ + u$. Die Linien BD und EG , welche die Winkel $BCP = ECP = 54^\circ 44' 8'', 19$ mit der verlängerten Axe bildet (also den Winkel $ECQ = 55^\circ 15' 51'', 81$ und den Winkel $ECD = 70^\circ 31' 43'', 62$) schneidet die Punkte B , G , E , D für die größten Ordinaten $BF = GF$ u. s. w. ab.

Zusatz 2. Will man eine Tangente nach einem Punkte M in der magnetischen Curve ziehen, so falle man von M die Linie MO perpendicular auf den magnetischen Aequator CQ und verlängere dieselbe so, daß $NO = 2MO$, verbinde alsdann den Punkt N mit des Magneten Mittelpunkte durch die Linie NC , und mache den Winkel $TMR = NCP$, so ist TM eine Tangente zur magnetischen Curve im Punkte M . Denn in §. 27 wurde gezeigt, daß, wenn γL (Fig. 27) die magnetische Direction war, und der Winkel, welchen sie mit der Tangente macht, oder $TL\gamma = i$, so war $\tan i = 2 \cot u$; also wird der Winkel γLC , welchen sie mit dem Radius macht, $= 90^\circ - i$. Setzt man nun in Fig. 29 $MCP = u$, so ist $MCQ = 90^\circ - u$ und $MO = \cot u$ (für CO als $\sin u$ tot); folglich $NO = 2 \cot u$ (nach der Construction) $= \tan i$. Also ist $NCO = i$, und $NCP = 90^\circ - i$; setzt man nun $TMR = NCP$, so muß TM die magnetische Direction im Punkte M seyn, also die Tangente zur Curve.

Mathematische Tabellen von J. A. M. de Moivre, (Paris 1722)

Zusatz 3. Da $FBC = BCP = a$ ($54^\circ 44'$), und $\tan a = 1/2$, so verhält sich $BF^2 : FC^2 : BC^2 = 1 : \tan^2 a : \sec^2 a = 1 : \tan^2 a : (1 + \tan^2 a) = 1 : 2 : 3$.

Zusatz 4. Da $BF^2 : FC^2 = 1 : 2$, so ist $FC^2 = 2BF^2$, also $2BF : FC = FC : BF$ oder $BG : FC = FC : BF$, d. i. die Entfernung der größten Ordinate von C ist eine mittlere Proportionalgröße zwischen der größten Ordinate und ihrem Doppelten. Eben so ist $\frac{1}{2}FC^2 = BF^2$, also $FC : BF = BF : \frac{1}{2}FC$ d. i. die größte Ordinate ist eine mittlere Proportionalgröße zwischen ihrer Entfernung vom magnetischen Mittelpunkt und der halben Entfernung. Ist von den vier Größen AC, BC, CF, BF eine gegeben, so können die anderen leicht durch Construction gefunden werden.

§. 29. Problem. Für einen unendlich kleinen Magneten die Zunahme des Winkels ω zu finden, wenn der Winkel u zu oder abnimmt.

$$\begin{aligned} \text{Nach §. 20 ist } \cot \omega &= -\frac{\sin 2u}{\frac{1}{3} + \cos 2u}, \text{ also } d \cot \omega = -\frac{d}{\sin} \\ &= -\frac{(\frac{1}{3} + \cos 2u) \cdot 2 \cos 2u du + 2 \sin^2 2u du}{(\cos 2u + \frac{1}{3})^2} = -\frac{2du(\cos^2 2u + \sin^2 2u + \frac{1}{3} \cos 2u)}{(\cos 2u + \frac{1}{3})^2} \\ &= -\frac{2du(1 + \frac{1}{3} \cos 2u)}{(\cos 2u + \frac{1}{3})^2}; \text{ also ist } d\omega = \frac{2du(1 + \frac{1}{3} \cos 2u) \cdot \sin^2 \omega}{(\cos 2u + \frac{1}{3})^2} \\ \sin^2 \omega &= \frac{1}{1 + \cot^2 \omega} = \frac{9(\cos 2u + \frac{1}{3})^2}{10 + 6 \cos 2u}; \text{ also } d\omega = \frac{18du(1 + \frac{1}{3} \cos 2u)}{10 + 6 \cos 2u} \\ &= \frac{(9 + 3 \cos 2u)du}{5 + 3 \cos 2u} = \left(1 + \frac{4}{5 + 3 \cos 2u}\right) du. \end{aligned}$$

Für $u = 0^\circ$ wird $d\omega = \frac{1}{2}du$; für $u = 90^\circ$ wird $d\omega = 3du$, d. i. am magnetischen Aequator verändert ω sich drey Mal so schnell, als die magnetische Breite; nahe am magnetischen Pole dagegen nur $1\frac{1}{2}$ Mal so.

Zusatz. Suchet man die Stelle, wo $d\omega = 2du$, so hat man $2 = \frac{9 + 3 \cos 2u}{5 + 3 \cos 2u}$ d. i. $10 + 6 \cos 2u = 9 + 3 \cos 2u$, folglich $3 \cos 2u = -1$, oder $\cos 2u = -\frac{1}{3}$. In diesem Punkte war $\omega = 0^\circ$ (§. 24) und die Ordinate magnetischen Curve ein Maximum (§. 28).

§. 30. Für einen unendlich kleinen Magneten den Zuwachs des ω (§. 27) zu finden, wenn u zu oder abnimmt.

In §. 27 ward gezeigt, daß $\tan i = 2 \cot u = 2 \tan \beta$ (wenn Winkel $ACL = 90^\circ - u = \beta$); also $d \tan i = 2 d \tan \beta$, d. i. $di \cdot \sec^2 i = 2 d\beta \cdot \sec^2 \beta$.

Hieraus findet sich $di = \frac{2 d\beta \cdot \sec^2 \beta}{\sec^2 i}$; aber nun ist $\sec^2 i = 1 + \tan^2 i = 1 + 4 \tan^2 \beta$, also $di = \frac{2 \sec^2 \beta}{1 + 4 \tan^2 \beta} \cdot d\beta = \frac{2 d\beta}{\cos^2 \beta + 4 \sin^2 \beta} = \frac{2 du}{1 + 3 \sin^2 \beta} = -\frac{2 du}{1 + 3 \cos^2 u}$, oder $\frac{di}{d\beta} = \frac{2}{1 + 3 \sin^2 \beta}$.

Für $\beta = 0^\circ$ findet sich also $di = 2 d\beta$, für $\beta = 30^\circ$ $di = \frac{4}{3} d\beta$, für $\beta = 45^\circ$ $di = \frac{2}{3} d\beta$, für $\beta = 60^\circ$ $di = \frac{2}{3} d\beta$, endlich für $\beta = 90^\circ$ $di = \frac{1}{3} d\beta$. Ist ANQS der Durchschnitt einer Kugel, in dessen Mittelpunkt der unendlich kleine Magnet sich befindet, so ist der Winkel i die magnetische Neigung. Hieraus folgt denn, daß, in der Nähe des magnetischen Aequators die Neigung doppelt so schnell wächst wie die magnetische Breite, in der Nähe des Poles nur halb so schnell; eine Regel, welche schon im zweyten Hauptstücke *a posteriori* gefunden und mit vielem Vortheile bey der Construction der Neigungskarte benutzt wurde.

Da $di = \frac{2 \sec^2 \beta d\beta}{\sec^2 i}$, und $\sec^2 \beta = 1 + \tan^2 \beta = 1 + \frac{1}{4} \tan^2 i$, so ist $\frac{di}{d\beta} = \frac{2(1 + \frac{1}{4} \tan^2 i)}{\sec^2 i} = \frac{1}{2}(4 \cos^2 i + \sin^2 i) = \frac{1}{2} \cos^2 i + \frac{1}{4} = \frac{1}{4} + \frac{1}{4} \cos 2i$.

Hieraus kann das Verhältniß zwischen di und $d\beta$ gefunden werden, wenn die Neigung i gegeben ist, wie folgende Tabelle ausweist, welche mit Nutzen bey der Construction der Neigungskarte gebraucht werden kann.

$i =$	0°	10°	20°	30°	40°	50°	60°	70°	80°	90°
$\frac{di}{d\beta} =$	2.000	1.955	1.824	1.625	1.380	1.120	0.875	0.675	0.545	0.500

Soll di gleich seyn $d\beta$, oder $\frac{di}{d\beta} = 1$, so bekommt man $1 = \frac{1}{4} + \frac{1}{4} \cos 2i$, also $\cos 2i = -\frac{1}{3}$, folglich $i = 54^\circ 44' 8'', 19$, d. i. der Zuwachs der Nei-

gung ist gleich der Breitenänderung an den Orten der Kugel, wo die Neigung $= 54^\circ 44'$ ist, welches man auch bey der Neigungskarte bestätigt finden wird.

Zusatz.¹ Da $i = u - \omega$ (§. 27), so ist $di = du - d\omega$; nun ist, wenn $u = 90^\circ$, $d\omega = 3du$ (§. 29), also $di = du - 3du = -2du = 2d\beta$ (denn $\beta = 90^\circ - u$, also $d\beta = -du$); und wenn $u = 0^\circ$, $d\omega = \frac{1}{2}du$, also $di = du - \frac{1}{2}du = -\frac{1}{2}du = \frac{1}{2}d\beta$, wie oben.

§. 31. Problem. Wenn ein unendlich kleiner Magnet außerhalb des Mittelpunktes eines Kreises liegt, den Winkel i zu finden, welchen die magnetische Ruhelinie in einem gegebenen Punkte der Peripherie mit der Tangente des Punktes macht.

I. In dem Kreise ANQS (Fig. 50) sey C des Kreises und c des Magneten Mittelpunkt; ncs sey die verlängerte Magnetaxe, NCS ein mit derselben paralleler Diameter, as sey lothrecht auf ns durch des Magneten Mittelpunkt c , AQ ein damit paralleler Diameter. Man ziehe den Diameter BD durch die Mittelpunkte des Kreises und des Magneten C und c , und setze die Excentricität $Cc = e$, den excentrischen Winkel $ACB = \epsilon$, den Bogen $Nn = Ss = a$, den Bogen $Aa = Q\beta = b$, $Lc = \rho$; so ist, wenn des Kreises Radius $CN = 1$, $CE = e \cdot \cos \epsilon = \sin a$; $Ec = e \cdot \sin \epsilon = \sin b$. Suchet man nun den Winkel $NLy = i$ im Punkte L, so ziehe man die Linien LC und Lc , falle LF lothrecht auf NS und setze den Winkel $LCN = v$, $Lcn = u$. Nun ist

$$\sin u = \frac{Lf}{Lc} = \frac{LF - EC}{Lc} = \frac{\sin v - e \cdot \cos \epsilon}{\rho}; \quad \cos u = \frac{fc}{Lc} = \frac{FC + Ec}{Lc}$$

$$= \frac{\cos v + e \cdot \sin \epsilon}{\rho}. \quad \text{Aber } \cot \omega = \frac{3 \cdot \sin u \cdot \cos u}{1 + 3 \cos^2 u} \text{ (§. 20); also } 3 \sin u \cdot \cos u$$

$$= \frac{3(\sin v - e \cdot \cos \epsilon)(\cos v + e \cdot \sin \epsilon)}{\rho^2}; \quad 1 + 3 \cos^2 u = \frac{\rho^2 - 3(\cos v + e \sin \epsilon)^2}{\rho^2},$$

folglich $\cot \omega = \frac{3(\sin v - e \cos \epsilon)(\cos v + e \sin \epsilon)}{\rho^2 - 3(\cos v + e \sin \epsilon)^2}$. Ist Ly die magnetische Ruhelinie im Punkte L, so ist Winkel $\gamma Lf = \omega$, Winkel $NLF = NCL = v$, also $NLy = i = NLF - \gamma Lf = v - \omega$, und $\omega = v - i$; folglich $\cot \omega$

$$= \cot(v - i) = \frac{1 + \tan v \cdot \tan i}{\tan v - \tan i} = \frac{3(\sin v - e \cos e)(\cos v + e \sin e)^2}{\rho^2 - 3(\cos v + e \sin e)^2};$$

woraus endlich

$$\tan i = \frac{3(\sin v - e \cos e)(\cos v + e \sin e) \tan v - \rho^2 + 3(\cos v + e \sin e)^2}{[\rho^2 - 3(\cos v + e \sin e)^2] \tan v + 3(\sin v - e \cos e)(\cos v + e \sin e)}.$$

Aus dem Dreiecke LCc findet sich $Lc^2 = LC^2 + Cc^2 - 2LC \cdot Cc \cdot \cos LCc$; aber $LCc = LCA + ACB = 90^\circ - \text{ne} + e = 90^\circ - (v - e)$; folglich ist $\cos LCc = \sin(v - e)$ und $\rho^2 = 1 + e^2 - 2e \sin(v - e)$. Setzet man diesen Werth von ρ^2 in den vorigen Ausdruck, so erhält man nach einigen Reductionen

$$\tan i = \frac{2 - e^2 + e(4 \sin e \cos v + 3e \sin^2 e - \cos e \sin v) + 3e \sin e (\sin v - e \cos e) \tan v}{(1 + e^2 - 2e \cos e \sin v - 3e^2 \sin^2 e) \tan v - 3e \cos e (\cos v + e \sin e) - e \sin e \sin v},$$

oder wenn Zähler und Nenner multiplicirt werden mit $\cos v$

$$\tan i = \frac{[2 - e^2 + 3e^2 \sin^2 e + e \sin(e - v)] \cos v + 3e \sin e (1 - e \cos e \sin v)}{(1 + e^2 - 3e^2 \sin^2 e) \sin v - e \cos e (2 + 3e \sin e \cos v) - e \cos(e - v) \cos v}.$$

Setzet man hier $v = 0^\circ$, so hat man

$$\tan i = - \frac{2 - e^2 + 3e^2 \sin^2 e + 4e \sin e}{3e \cos e (1 + e \sin e)};$$

also ist im Punkte N der Winkel $i > +90^\circ$.

Setzet man $v = 180^\circ$, so findet sich

$$\tan i = \frac{2 - e^2 + 3e^2 \sin^2 e - 4e \sin e}{3e \cos e (1 - e \sin e)};$$

aber da i hier nothwendig negativ seyn muß, so giebt der positive Werth von $\tan i$ zu erkennen, daß im Punkte S ist $i > -90^\circ$. In den Punkten n und s fällt die Ruhelinie mit der Linie ns zusammen (denn in n ist $u = 0^\circ$, in s ist $u = 180^\circ$), also ist ebenfalls im Punkte n Winkel $i = NnE > +90^\circ$ und im Punkte s der Winkel $i = SsE > -90^\circ$. Hieraus folgt, daß eines Ortes im Bogen An es einen Punkt r geben müsse, wo $i = +90^\circ$, und im Bogen As einen Punkt r' , wo $i = -90^\circ$, d. i., daß im Bogen nAs 2 Punkte r und r' seyn müssen, wo die Ruhelinie lothrecht gegen die Peripherie ist.

$$\text{Setzet man } v = +90^\circ, \text{ so findet sich } \tan i = \frac{3e \sin e (1 - e \cos^2 e)}{1 + e^2 - 3e^2 \sin^2 e - 2e \cos e}.$$

im Punkte A ist also i noch positiv. Setzet man endlich $v = -90^\circ$, so wird $\tan i = -\frac{3e \sin e (1 + e \cos e)}{1 + e^2 - 3e^2 \sin^2 e + 2e \cos e}$; also ist im Punkte Q Winkel $i > +90^\circ$, aber doch $i < +180^\circ$. Hieraus folgt, daß eines Ortes im Bogen As es einen Punkt geben müsse, wo $i = 0^\circ$, und im Bogen Qs einen Punkt h , wo $i = +180^\circ$, d. i. daß im Bogen AsQ zwey Punkte h und h' sich finden, wo die Ruhelinie parallel mit der Peripherie ist.

Setzet man z. B. $e = \frac{1}{2} = 0,2$, $e = 45^\circ$, so wird $CE = cE = e \cos e = e \sin e = 0,1414$, also der Bogen $Nn = a = Aa = b = 8^\circ 8'$. Man findet dann im Punkte N, $i = +100^\circ 36'$ (oder wenn man den kleinsten Winkel der Ruhelinie mit der Peripherie $= i$ setzet, $i = +79^\circ 24'$); im Punkte S, $i = -104^\circ 4'$ ($-75^\circ 56'$); in den Punkten n und s , $i = \pm 98^\circ 8'$ ($\pm 81^\circ 52'$); im Punkte A $i = +27^\circ 55'$, in Q $i = +159^\circ 1'$ ($+20^\circ 59'$).

II. Setzet man den excentrischen Winkel $ACB = e = 0^\circ$, so wird $EC = \sin a = e \cos e = e$, $Ec = \sin b = e \sin e = 0$; folglich fallen der Diameter BD und die Chorde $\alpha\beta$ mit dem Diameter AQ zusammen, und der Punkt c in E (Fig. 31). Man bekommt dann

$$\tan i = \frac{(2 - e^2 - e \sin v) \cos v}{(1 + e^2) \sin v - e(2 + \cos^2 v)} = \frac{(2 - e^2) \cos v - \frac{1}{2}e \cdot \sin 2v}{(1 + e^2) \sin v - e(2 + \frac{1}{2} \cos v + \frac{1}{2} \cos 2v)}.$$

Setzet man in dieser Formel $180^\circ - v$ statt v , so giebt sie denselben Werth für $\tan i$, aber mit entgegengesetzten Zeichen, d. i. in gleichem Abstände auf beiden Seiten des Punktes A hat Winkel i dieselbe Gröfse, aber entgegengesetzte Zeichen. Ist $v = \pm 90^\circ$, so wird $\tan i = 0$, d. i. in den Punkten A und Q ist die Ruhelinie parallel mit der Peripherie; ist $v = 0^\circ$ oder $v = 180^\circ$, so wird $\tan i = \pm \frac{2 - e^2}{3e}$; also ist in den Punkten N und S Winkel $i > \pm 90^\circ$.

Ist z. B. hier $e = \frac{1}{2}$, wie oben, so findet sich Bogen $Nn = Ss = 11^\circ 52'$, und in den Punkten N und S $i = \pm 107^\circ 1'$ ($\pm 72^\circ 59'$).

III. Ist der excentrische Winkel $ACB = e = 90^\circ$ (Fig. 30), so wird $EC = \sin a = e \cos e = 0$, $Ec = \sin b = e \cdot \sin e = e$; also fallen Diameter BD und Chorde ns mit Diameter NS zusammen und Punkt c in G (Fig. 32).

Man erhält alsdann

$$\operatorname{tang} i = \frac{[2(1 + e^2) + e \cos v] \cos v + 5e}{(1 - 2e^2 + e \cos v) \sin v} = \frac{\frac{7}{2}e + 2(1 + e^2) \cos v + \frac{1}{2}e \cos 2v}{(1 - 2e^2) \sin v - \frac{1}{2}e \sin 2v}.$$

Diese Formel giebt denselben Werth für $\operatorname{tang} i$, man setze in derselben $+v$ oder $-v$, aber mit entgegengesetzten Zeichen. Denket man sich also bey Winkel i den kleinsten Winkel, welchen die Ruhelinie mit der Peripherie bildet, so ist in gleichem Abstand auf beiden Seiten des Punktes N Winkel i von derselben Gröfse. Ist hier $v = 0^\circ$ oder $v = 180^\circ$, so wird $\operatorname{tang} i = \pm \infty$, also in den Punkten N und S Winkel $i = \pm 90^\circ$; ist $v = \pm 90^\circ$, so wird

$$\operatorname{tang} i = \pm \frac{5e}{1 - 2e^2}; \text{ also ist im Punkte A der Winkel } i \text{ positiv und gröfser}$$

als 0° , im Punkte Q positiv und kleiner als 180° . Ist z. B. $e = \frac{1}{2}$, so wird im Punkte A $i = 53^\circ 7'$, im Punkte Q $i = 180^\circ - 53^\circ 7' = 146^\circ 53'$.

Setzet man die Excentricität $e = 0$, so wird Winkel $v = u$; aber alsdann reduciren sich die Formeln I., II. und III. zu $\operatorname{tang} i = 2 \cot v = 2 \cot u$, wie in §. 27.

§. 52. Problem. Wenn die Excentricität e und der excentrische Winkel e gegeben sind (Fig. 30), die zwey Punkte r und r' , wo die Ruhelinie senkrecht auf der Peripherie ist, und die zwey Punkte h und h' , wo sie dieselbe berührt, zu finden.

I. Soll $i = \pm 90^\circ$ seyn, so muß der Nenner im Ausdrücke für $\operatorname{tang} i$ (§. 51) verschwinden, also setze man

$$(A) \quad 0 = (1 + e^2 - 5e^2 \sin^2 e) \sin v - e \cos e (2 + 5e \sin e \cos v) - e \cos(e - v) \cos v.$$

Soll $i = 0$ oder $i = 180^\circ$ seyn, so muß der Zähler in demselben Ausdrücke verschwinden, welches giebt

$$(B) \quad 0 = [2 - e^2 + 5e^2 \sin^2 e + e \sin(e - v)] \cos v + 5e \sin e (1 - e \cos e \sin v).$$

Diese Gleichungen lassen sich nicht leicht allgemein auflösen; suchet man $\cos v$ in der ersten und $\sin v$ in der zweyten zu eliminiren, so siehet man, daß sie vom vierten Grade sind. Giebt man hingegen e und e bestimmte Werthe, so lassen sich durch Versuche leicht die Werthe von v finden, welche beiden Gleichungen Genüge leisten.

Setzet man z. B. $e = \frac{1}{5} = 0,2$, $\varepsilon = 45^\circ$, so erhält man aus A

$$0 = 0,98 \sin v - 0,06 \cos v - 0,2 \cos(45^\circ - v) \cos v = 0,2828.$$

Diese Gleichung wird $= 0$, wenn $v = 30^\circ 45'$, und $v = 162^\circ 11'$ ist, also ist Bogen Nr $= 30^\circ 45'$ und Bogen Nr' $= 162^\circ 11'$, d. i. Bogen Sr' $= 180^\circ - 162^\circ 11' = 17^\circ 49'$.

Setzet man dieselben Werthe in die Gleichung B hinein, so erhält man

$$0 = [2,02 + 0,2 \sin(45^\circ - v)] \cos v - 0,6 \sin v + 0,42426.$$

Diese Gleichung wird $= 0$, wenn $v = +101^\circ 22'$, und wenn $v = -103^\circ 8'$; also ist Bogen Nh $= 101^\circ 22'$, d. i. Ah $= Nh - NA = 101^\circ 22' - 90^\circ = 11^\circ 22'$ und Nh' $= 103^\circ 8'$, d. i. Qh' $= 15^\circ 8'$.

Man sieht also, daß die Punkte r und r' in verschiedenem Abstände von Diameter NS liegen, wie auch die Punkte h und h' von Diameter AQ, und daß die vier Bogen, wovon diese vier Punkte die Peripherie theilen, *nicht Quadranten* sind.

II. Ist $\varepsilon = 0^\circ$, so bekommt man

a) aus A, $0 = (1 + e^2) \sin v - e(2 + \cos^2 v) = (1 + e^2) \sin v - 2e - e \cos^2 v.$

Substituirt man $1 - \sin^2 v$ für $\cos^2 v$, und ordnet die Gleichung, so bekommt man

$$0 = e \sin^2 v + (1 + e^2) \sin v - 3e,$$

oder, wenn man die ganze Gleichung mit e dividirt

$$\sin^2 v + \left(\frac{1 + e^2}{e} \right) \sin v = 3.$$

Hieraus wird gefunden

$$\sin v = \frac{-1 - e^2 + \sqrt{1 + 14e^2 + e^4}}{2e}.$$

Aber da $\sin v = \sin(180^\circ - v)$, so sind es zwey Bogen Nr $= v$ und Nr' $= 180^\circ - v$ (Fig. 30), welche der Gleichung Genüge leisten. Bogen Nr ist also in diesem Falle gleich Sr'.

b) Ist $\varepsilon = 90^\circ$, so bekommt man

*) Der negative Werth von $\sqrt{1 + 14e^2 + e^4}$ giebt $\sin v > 1$, also eine unmögliche Wurzel; der positive Werth allein thut also dieser Gleichung Genüge.

$2 = e^2 - e$, oder $e = \frac{1}{2} + \sqrt{\frac{3}{4}} = 2$, so wird $\sin v = -1$, und die Punkte h und h' fallen mit dem Punkte Q zusammen.

III. Ist $\varepsilon = 90^\circ$, so bekommt man

$$a) \text{ aus A, } 0 = (1 - 2e^2 - e \cos v) \sin v$$

Diese Gleichung wird $= 0$ 1) wenn $\sin v = 0$, also $v = 0^\circ$ oder $v = 180^\circ$, d. i. in den Punkten N und S (Fig. 32), die einander diametral entgegengesetzt sind, wird die Ruhelinie senkrecht gegen die Peripherie. 2) Wenn

$\cos v = \frac{1 - 2e^2}{e}$. Soll dieser Werth von $\cos v$ möglich seyn, so muß er

zwischen $+1$ und -1 fallen; setzt man $\frac{1 - 2e^2}{e} = \pm 1$, so hat man

$1 - 2e^2 = \pm e$, oder $e^2 \pm \frac{1}{2}e = \frac{1}{2}$; hieraus findet sich $e = \mp \frac{1}{4} \pm \sqrt{\frac{9}{16}}$ $= \mp \frac{1}{4} \pm \frac{3}{4}$. Dieses giebt folgende vier Werthe von e , als Gränzen, wozwischen der Mittelpunkt c fallen muß, wenn $\cos v$ möglich werden soll, nämlich $+\frac{1}{2}$ und $+1$, $-\frac{1}{2}$ und -1 .

Giebt man also nach und nach e alle möglichen Werthe zwischen $\pm \frac{1}{2}$ und ± 1 , so bekommt $\cos v$ alle möglichen Werthe zwischen $+1$ und -1 , also v alle möglichen Werthe zwischen 0° und 180° . Aber da jeder Cosinus sowohl einem negativen als einem gleich großen positiven Bogen zugehört, so sind, wenn des Magneten Mittelpunkt c in die äußerste Hälfte EN oder ES der Radien CN , CS fällt, außer den Punkten N und S noch zwey andre Punkte r und r' auf beiden Seiten des Punktes N und in gleichem Abstände von demselben, wo die Ruhelinie senkrecht wird. Je mehr e den Werth $\frac{1}{2}$ übersteigt, desto mehr entfernen sich diese Punkte vom Punkte N . Sollten sie in A und Q fallen, so müßte $v = 90^\circ$ seyn, also

$\cos v = \frac{1 - 2e^2}{e} = 0$, d. i. $1 = 2e^2$ oder $e = \sqrt{\frac{1}{2}}$. Ist $e > \sqrt{\frac{1}{2}}$, so wird

$\cos v$ negativ, d. i. v wird dann $> 90^\circ$, und die Punkte r und r' fallen unter den Diameter AQ .

b) aus B, $0 = [2(1 + e^2) + e \cos v] \cos v + 3e$, welche geordnet giebt $0 = e \cos^2 v + 2(1 + e^2) \cos v + 3e$, und, wenn man mit e dividirt, $\cos^2 v + \frac{2(1 + e^2)}{e} \cos v = -3$. Löset man diese Gleichung auf, so findet

sich $\cos v = \frac{-1 - e^2 + \sqrt{1 - e^2 + e^4}}{e}$; aber da $\cos v = \cos(-v)$, so sind es zwey Bogen $NAh = v$ und $NQh' = v'$, welche der Gleichung Genüge leisten. Es sind also in diesem Falle zwey Punkte h und h' unter der Chorde $a\beta$, wo die Ruhelinie parallel mit der Peripherie ist.

Ist $Aa = b$, so ist $Cc = e = \sin b$; ist nun die Excentricität e , und also auch der Bogen b , sehr klein, so hat man $\cos v = \frac{-1 - \sin^2 b + \sqrt{1 - \sin^2 b + \sin^2 b}}{\sin b}$
 $= \frac{-1 - b^2 + \sqrt{1 - b^2}}{b} = \frac{-1 - b^2 + 1 - \frac{1}{2}b^2}{b} = -\frac{1}{2}b$. Aber da

$NAh = v$, so ist $Ah = v - 90^\circ$, und $\sin Ah = \sin(v - 90^\circ) = -\cos v$; man bekommt also $\sin Ah = \frac{1}{2}b$, oder $Ah = \frac{1}{2}b = \frac{1}{2}Aa$. Wenn also in diesem Falle die Excentricität sehr klein ist, so ist der Abstand der zwey Punkte h und h' , wo die Ruhelinie parallel mit der Peripherie ist, vom magnetischen Aequator, oder die Bogen Ah und Qh' gleich $\frac{1}{2}$ Mal die Excentricität.

§. 33. Problem. Wenn die Punkte r und r' (Fig. 30), wo die Ruhelinie senkrecht gegen die Peripherie ist, gegeben sind, nebst den Punkten h und h' , wo sie parallel mit derselben ist, die Excentricität e und den excentrischen Winkel ε zu finden.

Setzet man die Bogen $rh = \alpha$, $r'h = \beta$, $r'h' = \gamma$, $rh' = \delta$, so ist $\alpha + \beta + \gamma + \delta = 360^\circ$. Ist nun $\alpha = \beta = \gamma = \delta = 90^\circ$, so muß e seyn $= 0$ nach §. 27 (Fig. 27). Ist $\alpha = \beta$, $\gamma = \delta$, so ist $\alpha + \delta = \beta + \gamma = 180^\circ$; also sind die Punkte h und h' einander diametral entgegengesetzt, und folglich $\varepsilon = 0^\circ$ nach §. 31 II. (Fig. 31). Ist $\alpha = \delta$, $\beta = \gamma$, so ist $\alpha + \beta = \gamma + \delta = 180^\circ$, folglich $\varepsilon = 90^\circ$ nach §. 31 III. (Fig. 32). Dadurch kann man schon eine vorläufige Kenntniss der Gröfse von e und dem Winkel ε erlangen.

I. Aus §. 32 I. (A) hat man für die Punkte r und r' folgende Gleichung:

$0 = (1 + e^2 - 3e^2 \sin^2 \varepsilon) \sin v - 3e^2 \sin \varepsilon \cos \varepsilon \cos v - e \cos \varepsilon \cos^2 v - e \cos \varepsilon \sin v \cos v - 2e \cos \varepsilon$.
 Diese Gleichung wird $= 0$, wenn v gleich wird dem Bogen Nr (Fig. 30) und zugleich wenn $v = Nhr' = Nr + rh + hr'$; folglich fährt obige Gleichung fort richtig zu seyn, wenn man statt v setzt $v + \alpha + \beta$.

So hat man auch in §. 32 I. (B) für die Punkte h und h' folgende Gleichung:

$$0 = (2 - e^2 + 3e^2 \sin^2 \varepsilon) \cos v' - e \cos \varepsilon \sin v' \cos v' + e \sin \varepsilon \cos^2 v' - 3e^2 \sin \varepsilon \cos \varepsilon \sin v' + 3e \sin \varepsilon.$$

Diese Gleichung wird $= 0$, wenn v' gesetzt wird $= Nr h$, und wenn $v' = Nr h r' h'$; aber $Nr h = Nr + rh = v + \alpha$, $Nr h r' h' = v + \alpha + \beta + \gamma$. Werden diese zwey Werthe eingesetzt für v' in obiger Gleichung, so erhält man auch hier zwey Gleichungen, welche, eben so wie die oben gefundenen, die unbekannten Größen e , ε und v nebst den bekannten α , β , γ enthalten. Mit Hülfe dieser vier Gleichungen müssen sich die Größen e , ε und v finden lassen; aber der Calcul wird gar zu schwierig; wir wenden uns daher zu dem Falle, wenn $\alpha = \beta$.

II. Ist also $\alpha = \beta$ (Fig. 51), so ist, wie oben gezeigt, $\varepsilon = 0^\circ$, und man hat aus §. 32 II. (a) folgende Gleichung:

$$0 = e \sin^2 v + (1 + e^2) \sin v - 3e.$$

Diese Gleichung muß fortfahren richtig zu seyn, wenn man statt $Nr = v$ setzt $Nr' = Nr + rA + Ar' = v + \alpha + \beta = v + 2\alpha$. Man hat dann, wenn dieser Werth für v gesetzt wird,

$$0 = e \sin^2(v + 2\alpha) + (1 + e^2) \sin(v + 2\alpha) - 3e,$$

und durch Verbindung beider

$$e \sin^2 v + (1 + e^2) \sin v = e \sin^2(v + 2\alpha) + (1 + e^2) \sin(v + 2\alpha).$$

Soll diese Gleichung für alle Werthe von e richtig seyn, so muß $\sin v = \sin(v + 2\alpha)$, d. i. $180^\circ - v = v + 2\alpha$, folglich $2v = 180^\circ - 2\alpha$, und $v = 90^\circ - \alpha$. Da nun Bogen $Nr = v$ bekannt ist, so kann e gefunden werden aus der Gleichung $0 = e \sin^2 v + (1 + e^2) \sin v - 3e$. Wird diese geordnet, so erhält man $e^2 \sin v - (3 - \sin^2 v) e = -\sin v$, und durch Dividiren mit $\sin v$

$$e^2 - \frac{3 - \sin^2 v}{\sin v} e = -1.$$

Hieraus findet sich

$$e = \frac{3 - \sin^2 v \pm \sqrt{(3 - \sin^2 v)^2 - 4 \sin^2 v}}{2 \sin v} = \frac{3 - \sin^2 v \pm \sqrt{9 - 10 \sin^2 v + \sin^4 v}}{2 \sin v}.$$

Da in diesem Falle $e = Cc = \sin Nn = \sin a$, so hat man auch

$$\sin a = \frac{3 - \sin^2 v \pm \sqrt{9 - 10 \sin^2 v + \sin^4 v}}{2 \sin v}.$$

Wird $v = 10^\circ$ gesetzt, so findet man $a = 3^\circ 21' 10''$; setzt man $v = 15^\circ$, so findet sich $a = 5^\circ 4' 40''$; setzt man $v = 20^\circ$, so findet man $a = 6^\circ 52'$ u. s. w. Ist v sehr klein, so kann man setzen v für $\sin v$, und $\sin^4 v$ außer

Betracht lassen. Man hat dann $a = e = \frac{3 - v^2 \pm \sqrt{9 - 10v^2}}{2v} = \frac{3 - v^2 - (3 - \frac{4}{3}v^2)}{2v}$
 $= \frac{\frac{2}{3}v^2}{2v} = \frac{1}{3}v$; d. i. Bogen Nn ist gleich $\frac{1}{3}$ von Bogen Nr .

Zusatz 1. Ist der Kreis $ANQS$ (Fig. 31) der Durchschnitt einer Kugel, außerhalb deren Mittelpunktes ein unendlich kleiner Magnet sich in c befindet, so daß Schnitt $ANQS$ sowohl durch die Mittelpunkte des Magneten als der Kugel c und C geht, und Bogen $rA = r'A$, d. i. der Abstand der zwey Punkte, wo die Neigung ist $= 90^\circ$ vom magnetischen Aequator, ist bekannt, so kann daraus des Magneten Excentricität $Nn = Ss = a$ gefunden werden; denn dann ist $Nn = \frac{1}{3}Nr = \frac{1}{3}(90^\circ - Ar) = 30^\circ - \frac{1}{3}Ar$.

Zusatz 2. Euler nimmt in seinen *corrections necessaires* u. s. w.*) an, daß Winkel γLC (Fig. 27), welchen die Ruhelinie mit Radius LC bildet, gleich ist Winkel LCN , welchen Radius LC mit Magnetaxe CN bildet. Hieraus findet er für den excentrischen Magneten (Fig. 31), daß $Nn = \frac{1}{2}Nr$; dieses ist aber unrichtig. Denn ist Winkel $\gamma LC = LCN$ (Fig. 27), so wird $TL\gamma = LCA$, d. i. $i = \beta$, oder die Neigung wird gleich der magnetischen Breite, wenn der Magnet im Mittelpunkte der Kugel liegt; folglich $\tan i = \tan \beta$; wohl ist dies richtig in den Punkten A, N, Q, S , wo $\beta = 0^\circ, 90^\circ, 180^\circ, 270^\circ$, aber falsch in allen andern Punkten; denn oben ist bewiesen, daß in diesem Falle wird $\tan i = 2 \tan \beta$. Da nach Eulers Hypothese $i = \beta$, so folget hieraus $di = d\beta$; aber oben ist aus der magnetischen Theorie bewiesen und durch die Neigungskarte bestätigt, daß, wenn $\beta = 0^\circ$, ist $di = 2d\beta$,

*) Mem. des Sc. & Berlin. Année 1766, Tom. XII.

und wenn $\beta = 90^\circ$, $di = \frac{1}{2}d\beta$. Eulers Hypothese streitet also sowohl mit der Erfahrung als der wahren Magnetentheorie.

III. Ist $\alpha = \delta$, $\beta = \gamma$ (Fig. 32), so ist, wie oben gezeigt, $\epsilon = 90^\circ$, und man hat aus §. 32 III. (b)

$$2e^2 \cos v + e(\cos^2 v + 3) = -2 \cos v.$$

Dividirt man die Gleichung mit $2 \cos v$, so wird

$$e^2 + \frac{\cos^2 v + 3}{2 \cos v} = -1,$$

d. i.

$$e = \frac{-3 - \cos^2 v \pm \sqrt{9 - 10 \cos^2 v + \cos^4 v}}{4 \cos v}.$$

Ist Bogen NAh nur wenig über 90° , d. i. ist Bogen Ah sehr klein, so ist auch $\cos v$ sehr klein, und man kann im vorigen Ausdrucke $\cos^4 v$ außer Betracht lassen.

Man hat denn $\sqrt{9 - 10 \cos^2 v} = 3 - \frac{1}{3} \cos^2 v$, also $e = \frac{-3 - \cos^2 v + 3 - \frac{1}{3} \cos^2 v}{4 \cos v}$

$= -\frac{2}{3} \cos v$. Aber nun ist $Cc = e = \sin Aa = \sin b$, und $\cos v = \cos(90^\circ + Ah) = -\sin Ah$; setzet man diese Werthe ein, so erhält man $\sin b = \frac{2}{3} \sin Ah$, oder $Aa = b = \frac{2}{3} Ah$.

§. 34. Problem. Wenn die Punkte A und Q (Fig. 31), in welchen die Ruhelinie mit der Peripherie parallel ist, einander diametral entgegengesetzt sind, und die Neigung an einem gewissen Orte r gegeben ist $= i$, nebst der Entfernung dieses Ortes Ar von einem der obenerwähnten Punkte, die Excentricität der Axe oder den Bogen Nn zu finden.

Da die Punkte A und Q, wo die Ruhelinie parallel mit der Peripherie ist, einander diametral entgegengesetzt sind, so ist der excentrische Winkel $\alpha = 0$ (§. 32 II. b). Man setze $Nr = 90^\circ - Ar = v$, so hat man aus §. 31 II.

$$\tan i = \frac{(2 - e^2 - e \sin v) \cos v}{(1 + e^2) \sin v - e(2 + \cos^2 v)}.$$

Hieraus findet sich

$$e^2 + \frac{\sin v \cos v - \tan i (2 + \cos v)}{\tan i \sin v + \cos v} e = \frac{2 \cos v - \tan i \sin v}{\tan i \sin v + \cos v},$$

also

$$e = \frac{\operatorname{tg} i (2 + \cos^2 v) - \sin v \cos v}{\operatorname{tg} i \sin v + \cos v} \pm \sqrt{\left\{ \frac{\operatorname{tg} i (2 + \cos^2 v) - \sin v \cos v}{2(\operatorname{tg} i \sin v + \cos v)} \right\}^2 + \frac{2 \cos v - \operatorname{tg} i \sin v}{\operatorname{tg} i \sin v + \cos v}}$$

und nach einigen Reductionen

$$e = \sin Nn = \frac{5 \sin i - \sin(i + 2v) \pm \cos v \sqrt{2[17 - \cos 2(v - i)]}}{4 \cos(v - i)}$$

War z. B. $i = 20^\circ$, $v = 80^\circ$, so findet sich $Nn = 17^\circ 18'$; war $i = 10^\circ$ und $v = 80^\circ$, so findet sich $Nn = -12^\circ 27'$, d. i. die Excentricität ist negativ; welches zu erkennen giebt, daß der Mittelpunkt des Magneten auf der andern Seite des Mittelpunktes des Kreises oder zwischen C und Q liege.

Wird in dieser Formel gesetzt $\operatorname{tang} i = 2 \cotang v$, so findet sich $\sin Nn = 0$, oder die Excentricität $e = 0$, welches vollkommen mit §. 27 übereinstimmt. Setzt man $i = 90^\circ$, so bekommt man

$$e = \frac{5 + \cos 2v \pm \cos v \sqrt{2(17 + \cos 2v)}}{4 \sin v}$$

welches dieselbe Formel ist, wie die in §. 33 II. gefundene, nur auf andere Weise ausgedrückt.

§. 35. Wenn ein beweglicher Magnet in der Wirkungssphäre eines unbeweglichen in Ruhe ist, so muß die Ruhelinie des erstern in eine Ebene fallen, welche durch dessen Mittelpunkt und die Axe des letztern geht (§. 19), oder mit andern Worten: beide Magneten müssen, wenn der bewegliche in Ruhe gekommen ist, in einer und derselben Ebene liegen. Mit allen andern Ebenen, welche nicht durch die Axe des unbeweglichen Magneten gehen, muß also die Ruhelinie einen Winkel machen.

AC (Fig. 33) sey die halbe Magnetaxe, C deren Mittelpunkt, GHFM sey eine Ebene, welche mit der Magnetaxe AC parallel ist, CM ein Perpendikel von des Magneten Mittelpunkte auf die Ebene GF. Man lege eine Ebene DGMC durch die Magnetaxe AC und den Perpendikel CM, so wird diese Ebene CG senkrecht gegen die Ebene GF stehen, und diese in einer Linie GM schneiden, welche parallel ist mit der Magnetaxe AC. Will man nun die magnetische Richtung in einem Punkte P der Ebene GF untersuchen, so lege man eine Ebene KNCD durch die Magnetaxe AC und den Punkt P;

diese wird die Ebene GF in einer Linie KN schneiden, die parallel ist mit AC und GM. In der Ebene GF falle man PO perpendicular auf GM, und in der Ebene DN die Linie PQ perpendicular auf DC, und lege durch diese zwey Linien eine Ebene OPQ, welche dann senkrecht auf die drey Ebenen GF, GC und DN wird. Also wird Winkel OPQ der Neigungswinkel der Ebenen GF und DN. PI sey die magnetische Richtung im Punkte P; diese muß, nach dem vorigen, nothwendig in die Ebene DN fallen, welche durch die Magnetaxe AC geht. Fället man aus einem willkürlichen Punkt I der magnetischen Ruhelinie IT senkrecht gegen die Ebene GF, und ziehet die Linie PT, so ist PT die auf die Ebene GF projecirte magnetische Richtung, Winkel TPI der Ruhelinie Neigung gegen die Ebene GF.

Ist Linie PC und Winkel PCA bekannt, so läßt sich daraus Winkel IPQ berechnen (§. 19), und wenn CM, MO und OP zugleich bekannt sind, kann man daraus Winkel TPI und TPO folgender Maffen finden:

$$\begin{array}{lll} \text{Man setze } MO = a & CP = \varrho & TPO = o \\ OP = b & IPQ = \omega & OPQ = h \\ MC = d & TPI = i & PCQ = u \end{array}$$

$$\text{so ist } PQ = \sqrt{OP^2 + OQ^2} = \sqrt{b^2 + d^2}; \quad PC = \sqrt{PQ^2 + CQ^2} = \sqrt{a^2 + b^2 + d^2} \\ = \varrho; \quad \text{tang } OPQ = \frac{OQ}{OP} = \frac{d}{b} = \text{tang } h; \quad \text{tg } PCQ = \frac{PQ}{CQ} = \frac{\sqrt{a^2 + d^2}}{a} = \text{tg } u.$$

Da nun die Länge der Halbaxe des Magneten AC bekannt ist, nebst Linie PC = ϱ und Winkel PCQ = u , so läßt sich nach §. 22 die Größe der vier Winkel r , s , t und v finden und daraus nach §. 19 Winkel IPQ = ω berechnen.

Man denke sich eine Sphäre um Punkt P, welche die drey Ebenen KPO, OPQ und KPQ (Fig. 34) in den Kreisbogen KO, OQ und KQ durchschneidet, so bilden diese drey Bogen ein sphärisches Dreieck KOQ, rechtwinklig bey O, in welchem die Bogen KO = KQ = 90° , der sphärische Winkel OKQ = Bogen OQ = OPQ = h . Ist PI die magnetische Ruhelinie, und man leget durch PI eine Ebene TPI senkrecht gegen Ebene KPO, so ist Linie TP die magnetische Richtung auf Ebene KPO projecirt; also ist IPQ = ω ; TPI = i , und TPO = o ; im sphärischen Dreieck KTI ist

$$KT = KPT = KPO - TPO = 90^\circ - \omega$$

$$KI = KPI = KPQ - IPQ = 90^\circ - \omega$$

$$TI = TPI = i; \quad KTI = 90^\circ.$$

Hieraus findet sich

$$\text{I.) } \sin TI = \sin K \cdot \sin KI; \text{ d. i. } \sin i = \sin h \cdot \cos \omega$$

$$\text{II.) } \operatorname{tg} KT = \cos K \cdot \operatorname{tg} KI; \text{ d. i. } \cot \omega = \cos h \cdot \cot \omega.$$

A) 1) Nimmt man Punkt P in Linie MN, so wird $a = 0$, also $\operatorname{tang} u = \frac{\sqrt{a^2 + d^2}}{a} = \infty$, d. i. $u = 90^\circ$, also $\omega = + 90^\circ$ (§. 19 und 24), folglich

$\sin i = \cos \omega \cdot \sin h = 0$, d. i. $i = 0$. Hieraus ersieht man, daß in der Linie MN die magnetische Ruhelinie in der Ebene GF liegt. 2) Nimmt man

Punkt P in der Linie MG, so wird $b = 0$, also $\operatorname{tang} h = \frac{d}{b} = \infty$, d. i.

$h = 90^\circ$, also $\sin i = \sin h \cdot \cos \omega = \cos \omega$, d. i. $i = 90^\circ - \omega$; in der Linie

MG ist also der Neigungswinkel i das Complement zu Winkel ω . Ist die punktirte Linie ARS die isogonische Linie für $\omega = 0^\circ$ (§. 24), so wird im

Punkte S $\omega = 0^\circ$, also $i = 90^\circ$, d. i. in diesem Punkte ist die magnetische Richtung senkrecht gegen Ebene GF. Ein ähnlicher Punkt findet sich in der

verlängerten Linie GM zur rechten Seite von Punkt M über dem zweyten Pole des Magneten, und diese zwey Punkte sind die einzigen, in welchen die magnetische Richtung senkrecht gegen Ebene GF ist. 3) Außerhalb des

Punktes S ist also Winkel $i < 90^\circ$; man könnte sich eine krumme Linie um den Punkt S von der Beschaffenheit denken, daß Winkel i in derselben eine und dieselbe Gröfse hätte, z. B. 80° ; man könnte sich ferner eine andere ausen um diese denken, in welcher Winkel i wäre $= 70^\circ$ u. s. w. Diese

trajectorischen Linien, in welchen die Neigung der magnetischen Ruhelinie gegen eine Ebene beständig ist, wollen wir die *isoklinischen Linien* nennen.

Fig. 35 zeigt ein solches System isoklinischer Linien, worin AB den unter der Ebene liegenden Magneten vorstellt, C dessen Mittelpunkt, CN ein Perpendikel auf die mit dem Magneten in der Ebene GN parallele Linie GC (Linie MN Fig. 33). In Linie CN ist Neigungswinkel $i = 0^\circ$ (No. 1); in den übrigen Linien weisen die beygeschriebenen Zahlen die Gröfse des Neigungswin-

kels i aus; in den Punkten S und V ist $i = 90^\circ$. Des Magneten senkrechter Abstand von der Ebene GN, oder $CM = d$ ist hier gesetzt $= \frac{1}{4}AC$. Man sieht leicht, daß, wenn Abstand d sich verändert, diese Linien ein verändertes Aussehen bekommen; wenn $d = 0$, verschwinden sie alle; denn in diesem Falle wird $\tan h = \frac{d}{b} = 0$, d. i. $h = 0$, also $\sin i = \sin h \cdot \cos \omega = 0$, d. i. die magnetische Ruhelinie fällt überall mit der Ebene zusammen.

B) Aus Formel II., $\cot o = \cot \omega \cdot \cos h$ sieht man 1) daß in Linie MN, wo $\omega = +90^\circ$, wird $\cot o = 0$, d. i. Winkel $TPO = o = 90^\circ$; in der Linie MN ist also die auf der Ebene GF projecirte magnetische Richtung parallel mit der Magnetaxe. 2) In Linie GM, wo $h = 90^\circ$, wird ebenfalls $\cot o = 0$, also $o = \pm 90^\circ$; nämlich $o = +90^\circ$ zwischen den Punkten M und S, und $o = -90^\circ$ außerhalb des Punktes S. In dieser Linie ist also die auf der Ebene GF projecirte Ruhelinie ebenfalls parallel mit der Magnetaxe AC. 3) In jedem andern Punkte P außerhalb dieser Linien MF und MG wird die auf Ebene GF projecirte Ruhelinie PT einen Winkel $TPO = o$ bilden, welcher kleiner ist als $\pm 90^\circ$, und also nicht parallel seyn mit GM. Man könnte sich ein System von Linien denken, in welchen Winkel TPO beständig wäre; diese Art *isogonische Linien* würden mit den Linien in Fig. 20 Aehnlichkeit haben, außer daß sie alle im Punkte S zusammenlaufen würden, wo die magnetische Richtung lothrecht gegen die Ebene ist. In der 55ten Fig. stellen die punktirten Linien ein solches System isogonischer Linien dar, in welchem die beygeschriebenen Zahlen die Größe des Winkels o andeuten.

Zusatz 1. Durch eine leichte Construction und Rechnung kann man vermittelst der Linien in Fig. 20 die hier beschriebenen isogonischen und isoklinischen Linien construiren.

Zusatz 2. Ist die Fläche GF (Fig. 33) ein Stück einer Kugelfläche, und die Linien GM, KN, III Bogen größter Kreise, die sich alle in einer gemeinschaftlichen Axe (wie die Mittagskreise auf dem Globus) schneiden, so könnte man auf dieser Kugelfläche auch isogonische und isoklinische Linien sich denken. Die *isogonischen Linien* auf einer solchen Kugelfläche würden dann

nichts anders, als die Halleyschen Abweichungslinien, und die isoklinischen Linien auf derselben würden Wilckes Neigungslinien.

Zusatz 3. Man könnte sich ferner isogonische und isoklinische Linien in einer Ebene oder in einer Kugelfläche denken, unter welcher zwey oder mehrere Magneten lägen. Aber da die magnetischen Richtungen hier von beider Magnetaxen vereinigten Kräften bestimmt werden, welche mit verschiedener Intensität in verschiedenen Abständen wirken, so wird es nothwendig, eine allgemeine Formel für die magnetische Intensität zu suchen. Im obigen sind (§. 2 und §. 9) solche Formeln für zwey specielle Fälle gefunden, nämlich wenn der angezogene Punkt in der verlängerten Axe und wenn er in einem Perpendikel durch des Magneten Mittelpunkt läge.

§. 56. Problem. Wenn sich ein magnetischer Punkt an irgend einem Orte in der Wirkungssphäre eines lineären Magneten befindet, zu bestimmen (A) die Richtung, unter welcher sich der Punkt im ersten Augenblicke bewegen wird, und (B) die Gröfse der auf denselben wirkenden Kraft (die Gröfse der magnetischen Intensität).

A) NCM (Fig. 18) sey der lineäre Magnet; in B sey eine magnetische Partikel, welche von der Halbaxe CM angezogen und von der Halbaxe CN abgestoßen wird. Punkt M zieht die Partikel B nach der Richtung BM an; Punkt N stößt dieselbe nach der Richtung BN ab; ist BQ die Richtung, in welcher die Partikel, getrieben von beiden Kräften, im ersten Augenblicke sich bewegen wird, so lassen sich die Kräfte BM und BN in zwey Theile zerlegen, deren einer senkrecht gegen BQ, der andre damit parallel ist. Die senkrechten Theile dieser Kräfte müssen dann einander entgegengesetzt und gleich groß seyn, folglich einander aufheben; die mit BQ parallelen Kräfte hingegen werden die Partikel nach der Richtung BQ in Bewegung setzen. Es sey, wie in §. 19

$$\begin{array}{lll} BD = PC = a & MBP = \mu & CBP = 90^\circ - \mu = x \\ DC = BP = b & NBP = \nu & PBQ = \omega \\ CM = CN = x & BCP = u & CB = \rho \end{array}$$

Ferner seyen die absoluten Kräfte der Punkte M und N $= m$, und des Punktes B $= n$; ist die Kraft, womit Halbaxe CM senkrecht gegen BQ wirkt,

$= v$, und diejenige, womit Halbaxe CN senkrecht gegen BQ wirkt, $= v'$, so wird auf dieselbe Weise wie in §. 19

$$dv = \frac{mnx^r dx \cdot \sin MBQ}{MB^2} = \frac{mnx^r dx \cdot \sin(\mu + \omega)}{BM^2}$$

und

$$dv' = \frac{mnx^r dx \cdot \sin LBQ}{NB^2} = \frac{mnx^r dx \cdot \sin(\nu + \omega)}{BN^2}$$

Integrirt man diese Gleichungen, setzt $v' - v = 0$, und sucht den Winkel PBQ $= \omega$, so wird man denselben Werth für $\cot \omega$ erhalten, wie in §§. 19, 20, 21. Hieraus ist zu ersehen, daß, wenn eine magnetische Partikel in der Wirkungssphäre eines Magneten ist, sie sich in einer Richtung BQ bewegen wird, welche mit der Ruhelinie eines unendlich kleinen Magneten an demselben Orte zusammenfällt; aber da diese an jedem Orte Tangente zu der magnetischen Curve ist (§. 26), so wird eine solche magnetische Partikel die magnetische Curve durchlaufen. Eine magnetische Partikel, welche abgestoßen wird von der Halbaxe AC (Fig. 26) und sich in einem Punkte G zwischen A und C in der Halbaxe AC befindet, wird also die magnetische Curve GHI durchlaufen, und ihre Bahn in einem Punkte I der Halbaxe CB endigen, welcher dieselbe Entfernung vom Mittelpunkte C hat, wie der Punkt G. Eine magnetische Partikel, welche sich gerade im Endpunkte oder im Pole A befindet, wird also eine unendlich gerade Linie nach der Richtung AD durchlaufen.

B) Der auf BQ *senkrechte* Theil der Wirkungen beider Halbaxen ist $= v' - v = V$; wird der mit BQ *parallele* Theil der Wirkung der Halbaxe CM $= k$, der Halbaxe CN $= k'$ gesetzt, und $k + k' = K$, so erhält man K, indem man im Ausdrücke für $v' - v = V$ $\omega \pm 90^\circ$ statt ω setzt. Nun haben wir gefunden in §. 19 I. II.

I. Wenn $r = 1$ ist, $v' - v = V = mn(P \cos \omega + Q \cdot \sin \omega)$; setzt man hier $\omega = 90^\circ$ statt ω , so erhält man

$$\begin{aligned} K &= mn(P \sin \omega + Q \cdot \cos \omega) \\ &= mn[\operatorname{tg} \mu (\cos \nu - \cos \mu) + \sin \mu - \sin \nu + \log(\cot \tfrac{1}{2} \text{BNC} \cdot \cot \tfrac{1}{2} \text{BMC})] \cdot \sin \omega \\ &\quad + mn[\operatorname{tg} \mu (\sin \nu - \sin \mu) + \cos \nu - \cos \mu] \cdot \cos \omega \\ &= mn[\sin \mu \cdot \log(\cot \tfrac{1}{2} \nu \cdot \cot \tfrac{1}{2} \mu) - \sin \nu - \sin \mu] \operatorname{cosec} \mu \cdot \sin \omega \end{aligned}$$

$$+ mn (\cos s - \cos r) \operatorname{cosec} u \cdot \cos \omega$$

$$= mn \operatorname{cosec} u (N \cdot \sin \omega + Z \cdot \cos \omega) = 2mn \operatorname{cosec} u (N' \cdot \sin \omega + Z' \cdot \cos \omega)^*),$$

wenn Z und N Zähler und Nenner in der Formel (a), Z' und N' Zähler und Nenner in der Formel (β) §. 19 I. bezeichnet.

II. Wenn $r = 2$ ist, $v - v' = V = mn (X - R - T) \cos \omega + mn (Y - S - U) \sin \omega$. Setzet man hier $\omega + 90^\circ$ statt ω , wird

$$K = mn (R + T - X) \sin \omega + mn (Y - S - U) \cdot \cos \omega.$$

Nun ist aber, wenn \mathfrak{Z} und \mathfrak{N} Zähler und Nenner in der Formel (γ) §. 19 II., \mathfrak{Z}' und \mathfrak{N}' in der Formel (δ) bezeichnen,

$$\mathfrak{Z} = \frac{(Y - S - U) \cdot \sin \kappa}{a}, \text{ folglich } Y - S - U = \frac{a\mathfrak{Z}}{\sin \kappa}$$

$$\mathfrak{N} = \frac{(R + T - X) \cdot \sin \kappa}{a}, \text{ folglich } R + T - X = \frac{a\mathfrak{N}}{\sin \kappa}.$$

Es ist ferner $a = BD = BC \cdot \sin BCD = \rho \cdot \sin \kappa$, folglich

$$K = mn\rho (\mathfrak{N} \cdot \sin \omega + \mathfrak{Z} \cdot \cos \omega) \text{ (Formel } \gamma)$$

$$= mn\rho (\mathfrak{N}' \cdot \sin \omega + \mathfrak{Z}' \cdot \cos \omega) \operatorname{cosec} u \text{ (Formel } \delta)^{**}).$$

III. Löset man Zähler und Nenner in der Formel für $\cot \omega$ in unendlichen Reihen auf, so haben wir gesehen (§§. 20, 21), daß

$$\begin{aligned} v - v' = V &= mn [\rho \sin \omega \sin u \cdot \int x^r dx \cdot D - (\cos \omega \cdot \int x^{r+1} dx \cdot S - \rho \cos \omega \cos u \cdot \int x^r dx \cdot D)] \\ &= mn (a + \beta \cos^2 u + \gamma \cos^4 u + \dots) \sin 2u \sin \omega - mn (a + b \cos^2 u + c \cos^4 u + \dots) \cos \omega \\ &= mn (A + B \cos 2u + C \cos 4u + \dots) \sin 2u \sin \omega - mn (\mathfrak{A} + \mathfrak{B} \cos 2u + \mathfrak{C} \cos 4u + \dots) \cos \omega \\ &= mn (Z \cdot \sin 2u \cdot \sin \omega - N \cdot \cos \omega), \end{aligned}$$

wenn Z die Summe der Reihen der Zähler, N die Summe der Reihen der Nenner bezeichnet. Setzet man $\omega + 90^\circ$ statt ω , so erhält man

$$K = mn (Z \cdot \sin 2u \cdot \cos \omega + N \cdot \sin \omega).$$

Zusatz 1. Setzet man den Winkel $BCP = u = 90^\circ$ (Fig. 18), so wird $r = s$, $t = v = 90^\circ - s$, $\omega = +90^\circ$. In I. ist $Z = \cos s - \cos r$, $N = \sin u \log \cot \frac{1}{2}v \cdot \cot \frac{1}{2}t - \sin r - \sin s$, folglich $Z = \cos s - \cos r = 0$;

*) Es ist nämlich $-Q = Z \cdot \cos \kappa = Z \cdot \sin u = Z \cdot \operatorname{cosec} u = 2Z' \operatorname{cosec} u$; ebenso wie $P = N \cdot \cos \kappa = N \cdot \operatorname{cosec} u = 2N' \operatorname{cosec} u$.

**) Weil $\mathfrak{Z}' = \mathfrak{Z} \cdot \sin u$, $\mathfrak{N}' = \mathfrak{N} \cdot \sin u$; folglich $\mathfrak{Z} = \mathfrak{Z}' \operatorname{cosec} u$, $\mathfrak{N} = \mathfrak{N}' \operatorname{cosec} u$.

$\sin r + \sin s = 2 \cdot \sin s$; $\cot \frac{1}{2}v \cdot \cot \frac{1}{2}t = \cot^2 \frac{1}{2}v = \cot^2(45^\circ - \frac{1}{2}s)$
 $= \tan^2(45^\circ - \frac{1}{2}s)$; also

$$\begin{aligned} K &= mn(Z \cdot \cos \omega + N \cdot \sin \omega) \operatorname{cosec} u \\ &= mn[\log \tan^2(45^\circ + \frac{1}{2}s) - 2 \sin s] \\ &= 2mn[\log \tan(45^\circ + \frac{1}{2}s) - \sin s], \end{aligned}$$

welches die nämliche Formel ist, die auf eine andere Weise in §. 9 gefunden ist (siehe die Formel α §. 9).

Zusatz 2. In II. ist

$$\begin{aligned} \mathfrak{B} &= \sin u \log \frac{\cot^2(\frac{1}{2}u)}{\operatorname{tg} \frac{1}{2}t \cdot \cot \frac{1}{2}v} + \cot u(2 - \cos r - \cos s) + \sin s - \sin r \\ \mathfrak{N} &= 2 \cos u \lg \frac{\cot^2(\frac{1}{2}u)}{\operatorname{tg} \frac{1}{2}t \cdot \cot \frac{1}{2}v} - \cot u(\sin r - \sin s) + \sin u(\operatorname{cosec} t + \operatorname{cosec} v) + \cos r + \cos s - 4. \end{aligned}$$

Für $u = 90^\circ$ wird $\cot \frac{1}{2}u = 1$; $\operatorname{tg} \frac{1}{2}t \cdot \cot \frac{1}{2}v = 1$ (weil $v = t$), also

$$\log \frac{\cot^2 \frac{1}{2}u}{\operatorname{tg} \frac{1}{2}t \cdot \cot \frac{1}{2}v} = 0; \cot u = 0; \sin s - \sin r = 0; \text{ folglich } \mathfrak{B} = 0,$$

$$\begin{aligned} \mathfrak{N} &= \operatorname{cosec} t + \operatorname{cosec} v + \cos r + \cos s - 4 = 2 \operatorname{cosec} v + 2 \cos s - 4 \\ &= 2 \sec s + 2 \cos s - 4. \text{ Aber wegen } K = mn\varphi(\mathfrak{N} \cdot \sin \omega + \mathfrak{B} \cdot \cos \omega) \text{ findet sich } \\ K &= 2mn\varphi(\sec s + \cos s - 2), \text{ wie in §. 9 Formel } \beta. \end{aligned}$$

Zusatz 3. Ist $u = 0^\circ$, wird $\omega = -90^\circ$, $r = s = v = 0^\circ$, $t = 180^\circ$, folglich

$$\text{in I., } K = -mn \operatorname{cosec} u [\sin u \log (\cot \frac{1}{2}v \cdot \cot \frac{1}{2}t) - \sin r - \sin s]$$

$$= mn \left(\frac{\sin s}{\sin u} + \frac{\sin r}{\sin u} - \log \frac{\cot \frac{1}{2}v}{\operatorname{tg} \frac{1}{2}t} \right)$$

$$\text{in II., } K = -mn\varphi \left\{ 2 \lg \frac{\cot^2(\frac{1}{2}u)}{\operatorname{tg} \frac{1}{2}t \cdot \cot \frac{1}{2}v} - \cot u(\sin r - \sin s) + \sin u(\operatorname{cosec} t + \operatorname{cosec} v) - 2 \right\}$$

$$= mn\varphi \left\{ 2 + \frac{\sin r}{\sin u} - \frac{\sin s}{\sin u} - \frac{\sin u}{\sin t} - \frac{\sin u}{\sin v} - 2 \log \frac{\cot^2(\frac{1}{2}u)}{\operatorname{tg} \frac{1}{2}t \cdot \cot \frac{1}{2}v} \right\}.$$

Aber diese Formeln geben nichts Brauchbares, weil $\cot \frac{1}{2}v = \operatorname{tg} \frac{1}{2}t = \cot \frac{1}{2}u = \infty$, $\sin r = \sin s = \sin t = \sin v = \sin u = 0$. Nun ist aber $\cot \frac{1}{2}v = \cot \frac{1}{2} \text{BNC}$

$$= \left(\frac{1 + \sin v}{1 - \sin v} \right)^{\frac{1}{2}} = \left(\frac{1 + \sin \text{NBP}}{1 - \sin \text{NBP}} \right)^{\frac{1}{2}}; \operatorname{tg} \frac{1}{2}t = \operatorname{tg} \frac{1}{2} \text{BMC} = \left(\frac{1 + \sin u}{1 - \sin u} \right)^{\frac{1}{2}}.$$

$$= \left(\frac{1 + \sin MBP}{1 - \sin MBP} \right)^{\frac{1}{2}} (\S. 19 \text{ I.}); \cot^2(\frac{1}{2}u) = \frac{1 + \sin x}{1 - \sin x} = \frac{1 + \sin CBP}{1 - \sin CBP} (\S. 19 \text{ II.}).$$

Ferner ist $\sin NBP = \frac{NP}{NB}$; $\sin MBP = \frac{MP}{MB}$; $\sin CBP = \frac{CP}{CB}$; folglich

$$\frac{1 + \sin NBP}{1 - \sin NBP} = \frac{NB + NP}{NB - NP} = \frac{(NB + NP)^2}{NB^2 - NP^2} = \frac{(NB + NP)^2}{BP^2} = \cot^2(\frac{1}{2}v);$$

$$\frac{1 + \sin MBP}{1 - \sin MBP} = \frac{MB + MP}{MB - MP} = \frac{(MB + MP)^2}{MB^2 - MP^2} = \frac{(MB + MP)^2}{BP^2} = \tan^2(\frac{1}{2}t); \quad \frac{1 + \sin CBP}{1 - \sin CBP}$$

$$= \frac{CB + CP}{CB - CP} = \frac{(CB + CP)^2}{CB^2 - CP^2} = \cot^2(\frac{1}{2}u). \quad \text{Ferner ist } \frac{\sin r}{\sin u} = \frac{CM}{BM}; \quad \frac{\sin s}{\sin u}$$

$$= \frac{CN}{BN}; \quad \frac{\sin u}{\sin t} = \frac{BM}{CB}; \quad \frac{\sin v}{\sin u} = \frac{BN}{CB}. \quad \text{Ist BP äusserst klein, so ist äusserst nahe}$$

$$NB = NP, \quad CB = CP, \quad MB = MP, \quad \text{folglich } \cot \frac{1}{2}v = \frac{2NP}{BP}; \quad \tan \frac{1}{2}t = \frac{2MP}{BP};$$

$$\cot^2(\frac{1}{2}u) = \frac{4CP^2}{BP^2}; \quad \frac{\sin r}{\sin u} = \frac{CM}{PM}; \quad \frac{\sin s}{\sin u} = \frac{CN}{PN}; \quad \frac{\sin u}{\sin t} = \frac{PM}{CP}; \quad \frac{\sin u}{\sin v} = \frac{PN}{CP}.$$

Setzt man diese Werthe in obestehenden Gleichungen ein, und bemerkt, dass $\rho = BC = PC$, so erhält man

$$\text{aus I., } K = mn \left(\frac{CN}{PN} + \frac{CM}{PM} - \log \frac{NP}{MP} \right)$$

$$\text{aus II., } K = mn \left(2CP + \frac{CP \cdot CM}{PM} - \frac{CP \cdot CN}{PN} - PM - PN - 2PC \log \frac{CP^2}{NP \cdot MP} \right)$$

$$= mn \left(\frac{CP \cdot CM}{PM} - \frac{CP \cdot CN}{PN} - 2PC \log \frac{CP^2}{NP \cdot MP} \right).$$

Setzt man hier $CM = CN = x$, $CP = a$, so wird $PM = a - x$, $PN = a + x$, folglich

$$\text{in I., } K = mn \left\{ \frac{x}{a+x} + \frac{x}{a-x} - \log \left(\frac{a+x}{a-x} \right) \right\} = mn \left\{ \frac{2ax}{a^2 - x^2} - \log \left(\frac{a+x}{a-x} \right) \right\}$$

$$\text{in II., } K = mn \left\{ \frac{ax}{a-x} - \frac{ax}{a+x} - 2a \log \frac{a^2}{(a^2 - x^2)} \right\} = mn \left\{ \frac{2ax^2}{a^2 - x^2} - 2a \log \left(\frac{a^2}{a^2 - x^2} \right) \right\};$$

welches einerley mit den Formeln a, b §. 10 ist.

Zusatz 4. Ist $u = 0^\circ$ oder $u = 90^\circ$, so wird $\sin zu = 0$, folglich

nach III. $K = mnN \cdot \sin \omega$. Im ersten Falle ist $\sin \omega = -1$, $\cos 2u = \cos 4u = \cos 6u = 1$, folglich $K = -mn(\mathcal{A} + \mathcal{B} + \mathcal{C} + \mathcal{D} + \dots)$; im letzten Falle ist $\sin \omega = +1$, $\cos 2u = \cos 6u = \cos 10u = -1$, $\cos 4u = \cos 8u = \cos 12u = +1$, folglich $K = mn(\mathcal{A} - \mathcal{B} + \mathcal{C} - \mathcal{D} + \dots)$. Aus §. 21 findet sich

$$\begin{aligned} \mathcal{A} + \mathcal{C} &= -\frac{1}{r+2} \cdot \frac{x^{r+2}}{\rho^1} - \frac{44}{8(r+4)} \cdot \frac{x^{r+4}}{\rho^1} - \frac{528}{128(r+6)} \cdot \frac{x^{r+6}}{\rho^7} - \frac{10432}{1024(r+8)} \cdot \frac{x^{r+8}}{\rho^9} \\ \mathcal{B} + \mathcal{D} &= -\frac{3}{r+2} \cdot \frac{x^{r+2}}{\rho^1} - \frac{20}{8(r+4)} \cdot \frac{x^{r+4}}{\rho^1} - \frac{1008}{128(r+6)} \cdot \frac{x^{r+6}}{\rho^7} - \frac{5952}{1024(r+8)} \cdot \frac{x^{r+8}}{\rho^9} \\ -(\mathcal{A} + \mathcal{B} + \mathcal{C} + \mathcal{D}) &= \frac{4}{r+2} \cdot \frac{x^{r+2}}{\rho^1} + \frac{64}{8(r+4)} \cdot \frac{x^{r+4}}{\rho^1} + \frac{1536}{128(r+6)} \cdot \frac{x^{r+6}}{\rho^7} + \frac{16384}{1024(r+8)} \cdot \frac{x^{r+8}}{\rho^9} + \\ \mathcal{A} - \mathcal{B} + \mathcal{C} - \mathcal{D} &= \frac{2}{r+2} \cdot \frac{x^{r+2}}{\rho^1} - \frac{24}{8(r+4)} \cdot \frac{x^{r+4}}{\rho^1} + \frac{480}{128(r+6)} \cdot \frac{x^{r+6}}{\rho^7} - \frac{4480}{1024(r+8)} \cdot \frac{x^{r+8}}{\rho^9} \end{aligned}$$

Diese zwey Reihen sind die nämlichen, wie die Reihen \mathcal{A} und \mathcal{B} §. 10.

§. 37. Will man unmittelbar die Intensität K berechnen, ohne zuvor den Winkel ω zu suchen, so muß man aus obigen Ausdrücken (§. 36, I., II.,

III.) $\sin \omega$ und $\cos \omega$ eliminiren. Nun ist in §. 19 I. $\cot \omega = \frac{Z}{N}$; ferner ist

$$\sin \omega = \frac{1}{\sqrt{1 + \cot^2 \omega}} = \frac{N}{\sqrt{N^2 + Z^2}}; \cos \omega = \frac{\cot \omega}{\sqrt{1 + \cot^2 \omega}} = \frac{Z}{\sqrt{N^2 + Z^2}},$$

also in §. 36 I.

$$K = mn \operatorname{cosec} u \left\{ \frac{N^2}{\sqrt{N^2 + Z^2}} + \frac{Z^2}{\sqrt{N^2 + Z^2}} \right\} = mn \operatorname{cosec} u \left(\frac{N^2 + Z^2}{\sqrt{N^2 + Z^2}} \right) = mn \operatorname{cosec} u \sqrt{N^2 + Z^2}.$$

Auf nämliche Weise findet man aus §. 36 II. $K = mn \rho \sqrt{N^2 + Z^2}$, und aus §. 36 III. $K = mn \sqrt{Z^2 \cdot \sin^2 2u + N^2}$. Es ist demnach K die Hypothenuse eines rechtwinklichten Dreiecks, in welchem der eine spitze Winkel gleich ω ist, die gegenüberstehende Cathete gleich N , und die zweyte Cathete gleich $Z \cdot \sin 2u$; oder K ist die aus zwey, einen rechten Winkel einschließenden, Seitenkräften N und $Z \cdot \sin 2u$ zusammengesetzte mittlere Kraft.

§. 38. Dieser Ausdruck $K = mn \sqrt{N^2 + Z^2 \cdot \sin^2 2u}$, wo $N = \mathcal{A} + \mathcal{B} \cos 2u + \mathcal{C} \cos 4u + \dots$ $Z = A + B \cos 2u + C \cos 3u + \dots$ (§. 21), läßt sich folgender Maßen in Reihen ausdrücken:

$= A^2$

$$\begin{aligned} & AB \cos 2u + 2AC \cos 4u + 2AD \cos 6u + 2AE \cos 8u + 2AF \cos 10u + 2AG \cos 12u \\ & B^2 \cos^2 2u + 2BC \cos 2u \cos 4u + 2BD \cos 2u \cos 6u + 2BE \cos 2u \cos 8u + 2BF \cos 2u \cos 10u + 2BG \cos 2u \cos 12u \\ & C^2 \cos^2 4u + 2CD \cos 4u \cos 6u + 2CE \cos 4u \cos 8u + 2CF \cos 4u \cos 10u \\ & D^2 \cos^2 6u + 2DE \cos 6u \cos 8u \end{aligned}$$

Setzet man in diesen Ausdruck $\frac{1}{2} \cos(m+n)u + \frac{1}{2} \cos(m-n)u$ statt $\cos mu \cdot \cos nu$, so erhält man

$$\begin{aligned} Z^2 = & A^2 + 2AB \cos 2u + 2AC \cos 4u + 2AD \cos 6u + 2AE \cos 8u + 2AF \cos 10u + 2AG \cos 12u \\ & + \frac{1}{2} B^2 + BC + \frac{1}{2} B^2 + BC + \frac{1}{2} C^2 + CD + \frac{1}{2} D^2 \\ & + \frac{1}{2} C^2 + CD + BD + BE + BD + BE + CE \\ & + \frac{1}{2} D^2 + DE + CE + CF + BE + BG + BE \\ = & a + b \cos 2u + c \cos 4u + d \cos 6u + e \cos 8u + f \cos 10u + g \cos 12u. \end{aligned}$$

Multiplirt man diese Reihe mit $\sin^2 2u = \frac{1}{2} - \frac{1}{2} \cos 4u$, so erhält man

$$\begin{aligned} Z^2 \sin^2 2u = & \frac{1}{2} a + \frac{1}{2} b \cos 2u + \frac{1}{2} c \cos 4u + \frac{1}{2} d \cos 6u + \frac{1}{2} e \cos 8u + \frac{1}{2} f \cos 10u + \frac{1}{2} g \cos 12u \\ & - \frac{1}{4} c - \frac{1}{4} b - \frac{1}{2} a - \frac{1}{4} b - \frac{1}{4} c - \frac{1}{2} d - \frac{1}{4} e \\ & - \frac{1}{4} d - \frac{1}{4} e - \frac{1}{4} f - \frac{1}{4} g. \end{aligned}$$

$$\begin{aligned} \text{Nun ist } \frac{1}{2} a - \frac{1}{4} c &= \frac{1}{2} A^2 + \frac{1}{2} B^2 + \frac{1}{4} C^2 + \frac{1}{4} D^2 - \frac{1}{2} AC - \frac{1}{4} BD - \frac{1}{4} CE \\ \frac{1}{4} b - \frac{1}{4} d &= \frac{1}{2} AB + \frac{1}{4} CD + \frac{1}{4} DE - \frac{1}{2} AD - \frac{1}{4} BE \\ \frac{1}{2} c - \frac{1}{4} a - \frac{1}{4} e &= AC + \frac{1}{4} BD + \frac{1}{2} CE - \frac{1}{2} A^2 - \frac{1}{4} C^2 - \frac{1}{4} D^2 - \frac{1}{2} AE \\ \frac{1}{2} d - \frac{1}{4} b - \frac{1}{4} f &= AD + \frac{1}{4} BC + \frac{1}{4} BE - \frac{1}{2} AB - \frac{1}{2} CD - \frac{1}{2} AF \\ \frac{1}{2} e - \frac{1}{4} c - \frac{1}{4} g &= AE + \frac{1}{4} C^2 + \frac{1}{4} BD - \frac{1}{2} AC - \frac{1}{2} B^2 \\ \frac{1}{2} f - \frac{1}{4} d &= AF + \frac{1}{2} CD + \frac{1}{4} BE - \frac{1}{2} AD - \frac{1}{4} BC \\ - \frac{1}{4} e &= -\frac{1}{2} AE - \frac{1}{2} C^2 - \frac{1}{4} BD. \end{aligned}$$

Auf ähnliche Weise findet man

$$\begin{aligned} N^2 = & A'^2 + 2A'B \cos 2u + 2A'C \cos 4u + 2A'D \cos 6u + 2A'E \cos 8u + 2A'F \cos 10u + 2A'G \cos 12u \\ & + \frac{1}{2} B'^2 + BC' + \frac{1}{2} B'^2 + BC' + \frac{1}{2} C'^2 + CD' + \frac{1}{2} D'^2 \\ & + \frac{1}{2} C'^2 + CD' + BD' + BE' + BD' + BE' + CE' \\ & + \frac{1}{2} D'^2 + DE' + CE' + CF' + BE' + BG' + BE' \\ = & a' + b' \cos 2u + c' \cos 4u + d' \cos 6u + e' \cos 8u + f' \cos 10u + g' \cos 12u. \end{aligned}$$

$$\begin{aligned} \text{Wird nun gesetzt } a' + \frac{1}{2} a - \frac{1}{4} c &= A; \quad b' + \frac{1}{4} b - \frac{1}{4} d = B; \\ c' + \frac{1}{2} c - \frac{1}{4} a - \frac{1}{4} e &= F; \quad d' + \frac{1}{2} d - \frac{1}{4} b - \frac{1}{4} f = A; \\ e' + \frac{1}{2} e - \frac{1}{4} c - \frac{1}{4} g &= E; \quad f' + \frac{1}{2} f - \frac{1}{4} d = Z; \\ g' - \frac{1}{4} e &= H; \end{aligned}$$

G g

so hat man

$$K = mn\sqrt{A + B \cos 2u + F \cos 4u + A \cos 6u + \dots}$$

Für $r = 2$, $x = 1$ erhält man auf diese Weise aus §. 21:

$$\begin{aligned} A &= \frac{5}{8\rho^6} + \frac{9}{16\rho^8} + \frac{4867}{4608\rho^{10}} + \frac{5865}{4096\rho^{12}} + \frac{346623}{262144\rho^{14}} + \frac{4719911}{3932160\rho^{16}} \\ B &= \frac{5}{8\rho^6} + \frac{19}{12\rho^8} + \frac{4443}{3072\rho^{10}} + \frac{5979}{2560\rho^{12}} + \frac{1662157}{786432\rho^{14}} + \frac{917419}{327680\rho^{16}} \\ F &= \frac{25}{48\rho^8} + \frac{7797}{4608\rho^{10}} + \frac{8169}{5120\rho^{12}} + \frac{2387777}{983040\rho^{14}} + \frac{73709775}{33030144\rho^{16}} \\ A &= \frac{5369}{9216\rho^{10}} + \frac{4397}{2560\rho^{12}} + \frac{4358007}{2621440\rho^{14}} + \frac{20506125}{8257536\rho^{16}} \\ E &= \frac{12447}{20480\rho^{12}} + \frac{1342799}{786432\rho^{14}} + \frac{6634529}{3932160\rho^{16}} \\ Z &= \frac{967813}{1572864\rho^{14}} + \frac{23137351}{13762560\rho^{16}} \\ H &= \frac{14481779}{23592960\rho^{16}} \end{aligned}$$

Zusatz 1. Setzet man hier $u = 0^\circ$, so wird $\cos 2u = \cos 4u = \cos 6u = \cos 8u = \&c. = 1$, also

$$K = mn\sqrt{A + B + F + A + E + \dots}$$

Werden solchergestalt alle obigen Reihen summiert, so erhält man

$$K^2 = m^2 n^2 \left(\frac{1}{\rho^6} + \frac{8}{3\rho^8} + \frac{43}{9\rho^{10}} + \frac{36}{5\rho^{12}} + \frac{197}{20\rho^{14}} + \frac{5992}{315\rho^{16}} \right),$$

einen Ausdruck für die Intensität in der verlängerten Magnetaxe. In §. 10 ward unter diesen Umständen gefunden

$$K = 4mn \left(\frac{1}{4\rho^3} + \frac{2}{6\rho^5} + \frac{3}{8\rho^7} + \frac{4}{10\rho^9} + \frac{5}{12\rho^{11}} + \frac{6}{14\rho^{13}} \right),$$

wenn man in der Formel (b) ρ statt a setzt. Wird diese Reihe quadriert, so erhält man

$$K^2 = 16m^2 n^2 \left(\frac{1}{16\rho^6} + \frac{1}{6\rho^8} + \frac{43}{144\rho^{10}} + \frac{27}{60\rho^{12}} + \frac{591}{960\rho^{14}} + \frac{499}{630\rho^{16}} \right),$$

welches, wenn die ganze Reihe mit 16 multiplicirt wird, denselben Werth

giebt, wie die vorstehende. Diese Probe kann also zur Berichtigung des Calculs dienen.

Zusatz 2. Setzet man $u = 90^\circ$, so wird $\cos 2u = \cos 6u = \cos 10u = -1$, $\cos 4u = \cos 8u = \cos 12u = +1$, also

$$K = mn \sqrt{A - B + F - I + E - Z + \dots}$$

Die Differenz zwischen den geraden und ungeraden Reihen A, B, F u. s. w. giebt also einen Ausdruck für die Intensität im magnetischen Aequator. Aber in diesem Falle haben wir in §. 10 Formel β gefunden

$$K' = 2mn \left(\frac{1}{4\rho^3} - \frac{1.3}{1.2^1.6\rho^5} + \frac{1.3.5}{1.2.2^2.8\rho^7} - \frac{1.3.5.7}{1.2.3.2^3.10\rho^9} + \dots \right).$$

Das doppelte Quadrat dieser Reihe muß also gleich seyn der Differenz zwischen den Summen der geraden und ungeraden Reihen A, B, F u. s. w., welches ebenfalls zur Berichtigung dienen kann.

§. 59. Multiplicirt man die Reihen in vorstehendem §. mit $16\rho^6$, so bekommt man

$$\begin{aligned} A' &= 10 + \frac{9}{\rho^2} + \frac{4867}{288\rho^4} + \frac{3865}{256\rho^6} + \frac{346623}{16384\rho^8} + \frac{4719911}{245760\rho^{10}} \\ B' &= 6 + \frac{76}{3\rho^2} + \frac{4445}{192\rho^4} + \frac{5979}{160\rho^6} + \frac{1662157}{49152\rho^8} + \frac{917419}{20480\rho^{10}} \\ F' &= \frac{25}{3\rho^2} + \frac{7797}{288\rho^4} + \frac{8169}{320\rho^6} + \frac{2587777}{61440\rho^8} + \frac{75709775}{2064584\rho^{10}} \\ A' &= \frac{5369}{576\rho^4} + \frac{4397}{160\rho^6} + \frac{4358007}{163840\rho^8} + \frac{20306125}{516096\rho^{10}} \\ E' &= \frac{12447}{1280\rho^6} + \frac{1342799}{49152\rho^8} + \frac{6634529}{245760\rho^{10}} \\ Z' &= \frac{967813}{98304\rho^8} + \frac{23137351}{860160\rho^{10}} \\ H' &= \frac{14481779}{1474560\rho^{10}} \end{aligned}$$

Hier ist

$$K = \frac{mn}{4\rho^3} \sqrt{A' + B' \cos 2u + F' \cos 4u + A' \cos 6u + E' \cos 8u}$$

Je größer die Entfernung ρ ist, desto mehr nähert sich der Werth vorstehender Reihen ihrem ersten Gliede; ist $\rho = 100$ oder darüber, kann man ohne merklichen Fehler setzen $A' = 10$, $B' = 6$. $I' = A' = E' \dots = 0$; also

$$K = \frac{mn}{4\rho^3} \sqrt{10 + 6 \cos 2u}.$$

Für $u = 0^\circ$ wird $\sqrt{10 + 6 \cos 2u} = \sqrt{10 + 6} = 4$, also $K = \frac{mn}{\rho^3}$;

— $u = 30^\circ$ — — — — — $= \sqrt{10 + 3} = \sqrt{13}$, — $K = \frac{mn}{4\rho^3} \sqrt{13}$;

— $u = 45^\circ$ — — — — — $= \sqrt{10 + 0} = \sqrt{10}$, — $K = \frac{mn}{4\rho^3} \sqrt{10}$;

— $u = 60^\circ$ — — — — — $= \sqrt{10 - 3} = \sqrt{7}$, — $K = \frac{mn}{4\rho^3} \sqrt{7}$;

— $u = 90^\circ$ — — — — — $= \sqrt{10 - 6} = 2$, — $K = \frac{mn}{2\rho^3}$;

Hieraus ist sichtlich, dass in grossen Entfernungen die Intensität K vom Magnetpole nach dem Aequator abnimmt, und dass sie an ersterer Stelle doppelt so gross ist, als an letzterer (welches bereits oben in §. 10 auf eine andere Weise gefunden ist).

1. Beständige Logarithmen zur Berechnung von K .							
Beständige Factoren.	Logarithmen.	Potenzen von ρ .		Beständige Factoren.	Logarithmen.	Potenzen von ρ .	
9	0.9542425	— 2	$\cos 0u$	5169	0.9694709	— 4	$\cos 6u$
4867	1.2278688	— 4		497	1.4390365	— 6	
188	1.1789095	— 6		166	1.4248680	— 8	
188	1.3254375	— 8		410227	1.5948967	— 10	
14023	1.2834226	— 10	$\cos 2u$	101846	0.9878547	— 6	$\cos 8u$
18114	1.4036923	— 2		12447	1.4264672	— 8	
471911	1.3645706	— 4		1366	1.4312989	— 10	
241766	1.5725086	— 6		49143	0.9932202	— 8	$\cos 10u$
76	1.5291308	— 8	$\cos 4u$	6814129	1.4297344	— 10	
4415	1.6512377	— 10		244740	0.9921595	— 10	
188	0.9208187	— 2		967813			
188	1.4325350	— 4		58764			
188	1.4070189	— 6		2111711			
4382277	1.5895426	— 8		860140			
21446	1.5527345	— 10		14381779			
2170977				1474560			

II. Summe der Reihen für verschiedene Werthe von ρ .

ρ	A'	B'	Γ'	Δ'	E'	Z'	H'
2	13.64361	14.54001	4.36097	1.15429	0.28259	0.06473	0.00959
3	11.23290	9.15780	1.30172	0.15750	0.01787	0.00195	0.00017
4	10.63254	7.68344	0.63345	0.04356	0.00281	0.00018	0.00001
5	10.38806	7.05282	0.37838	0.01674	0.00069	0.00003	0.00000
6	10.26337	6.72239	0.25294	0.00780	0.00022	0.00001	0.00000
7	10.19081	6.52696	0.18157	0.00412	0.00008	0.00000	0.00000
8	10.14482	6.40162	0.13692	0.00238	0.00004	0.00000	0.00000
9	10.11373	6.31636	0.10706	0.00147	0.00001	0.00000	0.00000
10	10.09170	6.25568	0.08607	0.00096	0.00001	0.00000	0.00000
	$\cos 0u$	$\cos 2u$	$\cos 4u$	$\cos 6u$	$\cos 8u$	$\cos 10u$	$\cos 12u$

III. Logarithmen der obigen Summen.

ρ	B'	Γ'	Δ'	E'	Z'	H'
2	1.1625647	0.639583	0.062315	9.45116	8.8111	7.962
3	0.9617912	0.114518	9.197281	8.25212	7.2900	6.230
4	0.8855557	9.801712	8.639088	7.44871	6.2553	5.000
5	0.8483628	9.577928	8.223755	6.83885	5.4771	. . .
6	0.8275238	9.403017	7.892095	6.34242	5.0000	. . .
7	0.8147110	9.259044	7.614897	5.90309
8	0.8062899	9.136467	7.376577	5.60206
9	0.8004668	9.029627	7.167317	5.00000
10	0.7962746	8.934852	6.982271	5.00000

§. 40. Die Anwendung der im vorigen §. dargelegten Methode wird durch folgende Beyspiele erläutert:

Erstes Beyspiel. Die Intensität K zu berechnen, wenn $r = 2$, $\rho = 1$, $u = 30^\circ$, nach der Formel $K = mn\rho \cdot \operatorname{cosec} u [N' \sin \omega + Z' \cos \omega]$ (§. 36 B. II.).

Im zweyten Beyspiele §. 22 fand sich für diesen Punkt $N' = -0.0208015$, $Z' = 0.5356293$; $\omega = -2^\circ 13' 26''$.

$$\begin{array}{r}
 - \log \mathfrak{N}' = 8.3180905 - 10 \\
 - \log \sin \omega = 8.5888814 - 10 \\
 \log \rho \operatorname{cosec} u = 0.3010300 \\
 \hline
 7.2080019 - 10 \dots 0.0016144 \\
 \\
 \log \mathfrak{Z}' = 9.7288643 - 10 \\
 \log \cos \omega = 9.9996728 - 10 \\
 \log \rho \operatorname{cosec} u = 0.3010300 \\
 \hline
 0.0295671 \dots \dots \dots 1.0704517 \\
 \text{Also } K = mn \times 1.0720661
 \end{array}$$

Zweytes Beyspiel. Die Intensität K zu berechnen, wenn $r = 2$, $\rho = 4$, $u = 60^\circ$.

Wird die Formel $K = mn\rho [\mathfrak{N} \cdot \sin \omega + \mathfrak{Z} \cdot \cos \omega]$ (§. 36 B. II.) angewandt, so ist nach §. 22 drittem Beyspiele $\mathfrak{N} = 0.0005745$, $\mathfrak{Z} = 0.0024253$, $\omega = +13^\circ 19' 35''$; also

$$\begin{array}{r}
 \log \mathfrak{N} = 6.7592900 - 10 \\
 \log \sin \omega = 9.3626670 - 10 \\
 \log \rho = 0.6020600 \\
 \hline
 6.7240170 - 10 \dots 0.00052968 \\
 \\
 \log \mathfrak{Z} = 7.5847655 - 10 \\
 \log \cos \omega = 9.9881453 - 10 \\
 \log \rho = 0.6020600 \\
 \hline
 7.9749708 - 10 \dots 0.00945997 \\
 \text{Folglich } K = mn \times 0.00996963
 \end{array}$$

Wird die Formel $K = mn [Z \cdot \sin 2u \cdot \cos \omega + N \cdot \sin \omega]$ (§. 36 B. III.) angewandt, so haben wir durch die Reihen in §. 21 (§. 22 Beysp. 4) gefunden $Z = +0.01120337$, $N = +0.00230042$, $\omega = +13^\circ 20' 18''$.

$$\begin{array}{r}
 \log Z \cdot \sin 2u = 7.9868792 - 10 \\
 \log \cos \omega = 9.9881239 - 10 \\
 \hline
 7.9750031 - 10 \dots 0.009440676
 \end{array}$$

$$0.009440676$$

$$\log N = 7.3618072 - 10$$

$$\log \sin \omega = 9.3630491 - 10$$

$$6.7248563 - 10 \dots 0.000530709$$

$$\text{Also } K = mn \times 0.009971385$$

beynahe wie oben; doch ist letzteres Resultat genauer, als das obenstehende.

Drittes Beyspiel. Die Intensität K im nämlichen Punkte nach den Reihen in §. 39 zu berechnen.

Da $u = 60^\circ$, so ist $2u = 120^\circ$, $4u = 240^\circ$, $6u = 0^\circ$, $8u = 120^\circ$, $10u = 240^\circ$, $12u = 0^\circ$.

Aus §. 39 II. III. wird gefunden:

$$A' = + 10.65254$$

$$\log B' = 0.8855557$$

$$\log \cos 2u = 9.6989700$$

$$0.5845257$$

$$- 3.84172$$

$$\log I' = 9.801712$$

$$\log \cos 4u = 9.698970$$

$$9.500682$$

$$0.316725$$

$$\log A' = 8.639068$$

$$\log \cos 6u = 0.000000$$

$$8.639088$$

$$0.04356$$

$$\log E' = 7.44871$$

$$\log \cos 8u = 9.69897$$

$$7.14768$$

$$0.001405$$

$$\log Z' = 6.2553$$

$$\log \cos 10u = 9.6990$$

$$5.9543$$

$$0.00009$$

$$- 4.15994$$

$$\log H' = 5.000$$

$$\log \cos 12u = 0.000$$

$$5.000$$

$$0.00001$$

$$+ 10.67611$$

$$\begin{array}{r}
 -\log \mathfrak{N}' = 8.5180905 - 10 \\
 -\log \sin \omega = 8.5888814 - 10 \\
 \log \rho \operatorname{cosec} u = 0.5010300 \\
 \hline
 7.2080019 - 10 \dots 0.0016144 \\
 \\
 \log \mathfrak{Z}' = 9.7288643 - 10 \\
 \log \cos \omega = 9.9996728 - 10 \\
 \log \rho \cdot \operatorname{cosec} u = 0.5010300 \\
 \hline
 0.0295671 \dots 1.0701317 \\
 \text{Also } K = mn \times 1.0720661
 \end{array}$$

Zweytes Beyspiel. Die Intensität K zu berechnen, wenn $r = 2$, $\rho = 4$, $u = 60^\circ$.

Wird die Formel $K = mn\rho [\mathfrak{N} \cdot \sin \omega + \mathfrak{Z} \cdot \cos \omega]$ (§. 36 B. II.) angewandt, so ist nach §. 22 drittem Beyspiele $\mathfrak{N} = 0.0005745$, $\mathfrak{Z} = 0.0024255$, $\omega = +13^\circ 19' 35''$; also

$$\begin{array}{r}
 \log \mathfrak{N} = 6.7592900 - 10 \\
 \log \sin \omega = 9.3626670 - 10 \\
 \log \rho = 0.6020600 \\
 \hline
 6.7240170 - 10 \dots 0.00052968 \\
 \\
 \log \mathfrak{Z} = 7.5847655 - 10 \\
 \log \cos \omega = 9.9881455 - 10 \\
 \log \rho = 0.6020600 \\
 \hline
 7.9749708 - 10 \dots 0.00943997 \\
 \text{Folglich } K = mn \times 0.00996963
 \end{array}$$

Wird die Formel $K = mn [Z \cdot \sin 2u \cdot \cos \omega + N \cdot \sin \omega]$ (§. 36 B. III.) angewandt, so haben wir durch die Reihen in §. 21 (§. 22 Beysp. 4) gefunden $Z = +0.01120337$, $N = +0.00230042$, $\omega = +13^\circ 20' 18''$.

$$\begin{array}{r}
 \log Z \cdot \sin 2u = 7.9868792 - 10 \\
 \log \cos \omega = 9.9881239 - 10 \\
 \hline
 7.9750031 - 10 \dots 0.009440676
 \end{array}$$

$$0.009440676$$

$$\log N = 7.5618072 - 10$$

$$\log \sin \omega = 9.5630491 - 10$$

$$6.7248563 - 10 \dots 0.000530709$$

$$\text{Also } K = mn \times 0.009971385$$

beynah wie oben; doch ist letzteres Resultat genauer, als das obenstehende.

Drittes Beyspiel. Die Intensität K im nämlichen Punkte nach den Reihen in §. 39 zu berechnen.

Da $u = 60^\circ$, so ist $2u = 120^\circ$, $4u = 240^\circ$, $6u = 0^\circ$, $8u = 120^\circ$, $10u = 240^\circ$, $12u = 0^\circ$.

Aus §. 39 II. III. wird gefunden:

$$N' = + 10.63254$$

$$\log B' = 0.8855557$$

$$\log \cos 2u = 9.6989700$$

$$0.5845257$$

$$- 3.84172$$

$$\log I' = 9.801712$$

$$\log \cos 4u = 9.698970$$

$$9.500682$$

$$0.316725$$

$$\log A' = 8.639088$$

$$\log \cos 6u = 0.000000$$

$$8.639088$$

$$0.04356$$

$$\log E' = 7.44871$$

$$\log \cos 8u = 9.69897$$

$$7.14768$$

$$0.001405$$

$$\log Z' = 6.2533$$

$$\log \cos 10u = 9.6990$$

$$5.9543$$

$$0.00009$$

$$- 4.15994$$

$$\log H' = 5.000$$

$$\log \cos 12u = 0.000$$

$$5.000$$

$$0.00001$$

$$+ 10.67611$$

$$\begin{array}{r}
 + 10.67611 \\
 - 4.15994 \\
 \hline
 + 6.51617 \quad . \quad . \quad \log = 0.8139924 \\
 \quad \quad \quad \frac{1}{2} \log = 0.4069962 \\
 \quad \quad \quad \log 4\rho^3 = 2.4082400
 \end{array}$$

$$\log 0.009971402 = 7.9987562 - 10$$

Also $K = mn \times 0.009971402$, welches noch genauer ist, als die im vorigen Beyspiele berechneten Werthe, da der Werth von ω daselbst bloß in ganzen Secunden bestimmt ist.

Viertes Beyspiel. Die Intensität K zu berechnen, wenn $\rho = 2$ und $u = 40^\circ$.

Wird die Formel $K = mn\rho [N \cdot \sin \omega + Z \cdot \cos \omega]$ angewandt, so hat man (§. 22 Beysp. 5) $Z = + 0.0512686$, $N = - 0.0155535$, $\omega = - 16^\circ 52' 35''$.

$$\begin{array}{r}
 \log Z = 8.7098514 \\
 \log \cos \omega = 9.9808817 \\
 \log 2 = 0.3010300 \\
 \hline
 8.9917631 \quad . \quad . \quad . \quad 0.09812124
 \end{array}$$

$$\begin{array}{r}
 \log N = 8.1918282 \\
 \log \sin \omega = 9.4628588 \\
 \log 2 = 0.3010300 \\
 \hline
 7.9557170 \quad . \quad . \quad . \quad 0.00903061
 \end{array}$$

$$\text{Also } K = mn \times 0.10715185$$

Wird die Formel $K = mn [Z \cdot \sin 2u \cdot \cos \omega + N \cdot \sin \omega]$ angewandt, so ist (nach §. 22 Beysp. 6) $Z = + 0.104108$, $N = - 0.031112$, $\omega = - 16^\circ 52' 32''$.

$$\begin{array}{r}
 \log Z \cdot \sin 2u = 9.01083 \\
 \log \cos \omega = 9.98088 \\
 \hline
 8.99171 \quad . \quad . \quad . \quad 0.098109
 \end{array}$$

$$\begin{array}{r}
 \log N = 8.49279 \\
 \log \sin \omega = 9.46284 \\
 \hline
 7.95563 \quad . \quad . \quad . \quad 0.009029 \\
 \text{Also } K = mn \times 0.107138
 \end{array}$$

Berechnet man diesen Werth nach den Reihen in § 39 II. III., so ist
 $2u = 80^\circ$, $4u = 160^\circ$, $6u = 240^\circ$, $8u = 320^\circ$, $10u = 40^\circ$, $12u = 120^\circ$.

$$\log A' = + 15.64361$$

$$\log B' = 1.1625647$$

$$\log \cos 2u = 9.2396702$$

$$0.4022349 \quad 2.52485$$

$$\log F' = 0.639583$$

$$\log \cos 4u = 9.972986$$

$$0.612569 \quad - 4.09797$$

$$\log A' = 0.062315$$

$$\log \cos 6u = 9.698970$$

$$9.761285 \quad 0.577145$$

$$\log E' = 9.45116$$

$$\log \cos 8u = 9.88425$$

$$9.34541 \quad 0.21648$$

$$\log Z' = 8.8111$$

$$\log \cos 10u = 9.8842$$

$$8.6955 \quad 0.04958$$

$$\log H' = 7.982$$

$$\log \cos 12u = 9.698$$

$$7.680 \quad 0.004795$$

$$+ 16.43452 \quad - 4.67991$$

$$- 4.67991$$

$$+ 11.75461 \quad \log = 1.0702085$$

$$\frac{1}{2} \log = 0.5351041$$

$$\log 40^\circ = 1.5051500$$

$$\log 0.1071406 = 9.0299341$$

Also ist $K = mn \times 0.1071406$.

Aus diesen Beyspielen erhellet, daß, wofern man zugleich den Winkel α berechnen soll, es am vortheilhaftesten ist, K aus dem Zähler und dem Nenner

H h

im Ausdrucke für $\cot \omega$ zu suchen; will man hingegen unmittelbar K suchen, so muß man sich der Reihen in §§. 58, 59 bedienen, welche, auch wenn ρ nicht größer ist als 2, den Werth K genau bis auf die fünfte Ziffer angeben. Ist ρ kleiner als 2, so sind die Reihen nicht länger hinlänglich convergirend, und man ist genöthigt, seine Zuflucht zu den genauen Formeln in §. 19 II. in Verbindung mit §. 56 II. zu nehmen.

§. 41. Folgende Tabelle enthält die auf diese Weise berechneten Intensitäten von 10° zu 10° in verschiedenen Kreisperipherien um des Magneten Mittelpunkt.

$\omega =$	0°	5°	10°	20°	30°	40°	50°	60°	70°	80°	90°
$\rho = 2$	0.183	0.180	0.175	0.155	0.131	0.107	0.087	0.071	0.059	0.052	0.050
$\rho = 1\frac{1}{2}$	0.637	0.619	0.574	0.448	0.353	0.249	0.190	0.149	0.122	0.107	0.102
$\rho = 1\frac{1}{4}$	1.890	1.751	1.451	0.911	0.591	0.408	0.297	0.228	0.185	0.161	0.154
$\rho = 1\frac{1}{8}$	3.513	3.992	2.699	1.353	0.800	0.539	0.390	0.285	0.228	0.202	0.192
$\rho = 1$	∞	12.242	5.226	1.974	1.072	0.681	0.477	0.360	0.291	0.242	0.243
$\rho = \frac{7}{8}$	∞	18.546	7.571	3.479	2.820	1.552	0.789	0.526	0.393	0.329	0.310
$\rho = \frac{6}{8}$	∞	17.047	7.873	3.155	1.923	1.082	0.758	0.576	0.472	0.415	0.399
$\rho = \frac{5}{8}$	∞	14.877	7.423	3.372	1.964	1.295	0.945	0.727	0.605	0.541	0.521
$\rho = \frac{4}{8}$	∞	12.371	6.552	3.339	2.126	1.496	1.155	0.909	0.777	0.715	0.683
$\rho = \frac{3}{8}$	∞	9.609	5.460	3.123	2.181	1.662	1.355	1.125	0.987	0.923	0.899
$\rho = \frac{2}{8}$	∞	1.183
$\rho = \frac{1}{8}$	∞	1.547
$\rho = 0$	2.000	2.000

Führet man um des Magneten Mittelpunkt concentrische Kreise mit den Radien $= 1, \frac{7}{8}, \frac{6}{8} \dots$ u. s. w. der halben Magnetaxe, und setzt bey den gehörigen Punkten in den Peripherien dieser Kreise obige Intensitäten ab, so läßt sich eine Art krumme Linie (Fig. 36) ziehen, welche die Punkte verbindet, in welchen die Intensität dieselbe Gröfse hat. Diese Linien, in welchen die magnetische Intensität dieselbe Gröfse hat, wollen wir *isodynamische Linien* nennen. Ist AB (Fig. 36) die Magnetaxe, C ihr Mittelpunkt, DC ein Perpendikel durch den Mittelpunkt, so sieht man: 1) daß jede Curve durch Perpendikel DC in zwey congruente Zweige getheilt wird; 2) daß der Punkt,

wo sie vom Perpendikel DC durchschnitten wird, zunächst am magnetischen Mittelpunkt C liegt, und der Punkt, wo sie von der verlängerten Axe durchschnitten wird, am weitesten von demselben liegt.

Wofern der Magnet außerhalb der Ebene läge, könnte man sich auch darin eine Art isodynamischer Linien denken, in welchen die magnetische Kraft dieselbe GröÙe hätte. Endlich könnte man sich isodynamische Linien auf einer Kugelfläche denken, unter welcher sich eine oder mehrere Magnetaxen befänden. Zu solchen isodynamischen Linien auf der Erde hat Hr. v. Humboldt die ersten Materialien geliefert; aber sie sind bey weitem nicht hinreichend. Es steht daher zu wünschen, daß man mehrere Beobachtungen über die magnetische Intensität an verschiedenen Orten der Erdoberfläche hätte. Man siehet leicht ein, daß, im Falle die Erde nur eine Magnetaxe hätte, deren Mittelpunkt mit derjenigen der Erde zusammenfiel, die Neigungslinien mit den isodynamischen Linien zusammenfallen würden; der magnetische Aequator würde diejenige Linie auf der Erde seyn, in welcher die Neigung $= 0^\circ$, und die Intensität ein Minimum wäre. Alle kleinen Kreise, parallel mit diesem, würden zugleich Neigungslinien und isodynamische Linien seyn, dergestalt daß zwey Orte, die gleiche Neigung hätten, auch gleiche Intensität haben müßten. Endlich würde im magnetischen Pole sowohl Neigung als Intensität ihr Maximum erreicht haben. Aus Humboldts Beobachtungen ist sichtlich, daß solches nicht Statt findet, woraus sich also bereits, wenn auch nicht auf mehrere Magnetaxen, doch auf die excentrische Lage der Magnetaxe schließen läßt.

§. 42. Da $K^2 = m^2 n^2 (A + B \cos 2u + C \cos 4u + \dots)$, so wird, wenn ρ beständig, u aber veränderlich ist

$$dK = - \frac{m^2 n^2 (B \sin 2u + 2C \sin 4u + 3A \sin 6u + \dots) du}{K}$$

Die Intensität nimmt also ab, wenn die magnetische Polarentfernung oder Winkel u wächst; sie wächst also mit der magnetischen Breite. Man sieht hieraus zugleich, daß, wenn $u = 0$, oder $u = 90^\circ$, $dK = 0$ wird; denn in beiden Fällen ist $\sin 2u = \sin 4u \dots = 0$. Es muß folglich ein Punkt seyn zwischen $u = 0^\circ$ und $u = 90^\circ$, wo dK ein Maximum ist. Dieser Punkt

wird gefunden, wenn man $ddK = 0$ setzt. Setzt man $B = \frac{3}{8\rho^6} + \frac{19}{12\rho^8}$,

$T = \frac{25}{48\rho^8}$, und setzt die Glieder, worin ρ^{10} und ρ^{12} vorkommen, außer

Betracht, so wird für diesen Punkt folgende Gleichung gefunden

$$0 = 81\rho^2 + 648 + (180\rho^2 + 1447)\cos 2u + (27\rho^2 + 1228)\cos 4u + 225\cos 6u.$$

Wird z. B. $\rho = 4$ gesetzt, so findet man durch mehrere Approximationen, daß diese Gleichung $= 0$ wird, wenn $u = 47^\circ 46\frac{1}{2}'$; setzt man $\rho = 10$, so wird auf nämliche Weise $u = 55^\circ 28'$ gefunden.

Ist ρ so groß, daß auch diejenigen Glieder der Reihen, worin ρ^8 vorkommt, als verschwindende Größen angesehen werden können, so hat man nach

$$\S. 59 \quad K = \frac{mn}{4\rho^3} \sqrt{10 + 6\cos 2u}. \quad \text{Man findet dann } dK = -mn \times \frac{3 \cdot \sin 2u \cdot du}{2\rho^3 (10 + 6\cos 2u)^{\frac{3}{2}}};$$

$$\text{aber } d \frac{\sin 2u}{(10 + 6\cos 2u)^{\frac{1}{2}}} = \frac{(10 + 6\cos 2u)^{\frac{1}{2}} \cdot d \sin 2u - \sin 2u \cdot d(10 + 6\cos 2u)^{\frac{1}{2}}}{10 + 6\cos 2u};$$

$$\text{also ist } 0 = 2\cos 2u(10 + 6\cos 2u)^{\frac{1}{2}} + \frac{6\sin^2 2u}{(10 + 6\cos 2u)^{\frac{1}{2}}} = (10 + 6\cos 2u)\cos 2u$$

$$+ 3\sin^2 2u = 10\cos 2u + 6\cos^2 2u + 3\sin^2 2u = 3\cos^2 2u + 10\cos 2u + 3.$$

Durch Dividiren dieser Gleichung mit 3 wird gefunden $\cos^2 2u + \frac{10}{3}\cos 2u = -1$, also $\cos 2u + \frac{1}{3} = \pm \frac{4}{3}$, d. i. $\cos 2u = \pm \frac{4}{3} - \frac{1}{3} = -\frac{1}{3}$ (die Wurzel -3 giebt einen unmöglichen Werth für $2u$). Folglich ist $2u = 109^\circ 28' 16'', 38$, und $u = 54^\circ 44' 8'', 19$; welches derselbe Punkt ist, wo $\omega = 0^\circ$ (§. 24).

Zusatz 1. Da in diesem Punkte $\cos 2u = -\frac{1}{3}$, so ist $\sin 2u = \sqrt{1 - \frac{1}{9}} = \sqrt{\frac{8}{9}} = \frac{1}{3}\sqrt{8}$; ferner ist hier $\sqrt{10 + 6\cos 2u} = \sqrt{10 - 2} = \sqrt{8}$; also

$$\text{ist } dK = -\frac{3mn}{2\rho^3} \frac{\sin 2u \cdot du}{(10 + 6\cos 2u)^{\frac{1}{2}}} = -\frac{mn}{2\rho^3} \frac{du\sqrt{8}}{\sqrt{8}} = -\frac{mn \, du}{2\rho^3}; \text{ d. i. der}$$

Zuwachs der Intensität ist hier gleich der Hälfte des Zuwachses der magnetischen Breite in Bogen (du), multiplicirt mit $-\frac{mn}{\rho^3}$. Die Intensität selbst ist

$$\text{an dieser Stelle} = \frac{mn}{4\rho^3} \sqrt{8} = \frac{mn}{2\rho^3} \sqrt{2} = \frac{mn}{\rho^3} \times 0.707107.$$

Zusatz 2. Man ersieht hieraus, daß der Punkt, worin die Intensität mit der größten Schnelligkeit wächst, in einen desto größeren Abstand vom Pole des Magneten fällt, je größer der Radius ρ der Sphäre wird, in welcher man die magnetischen Kräfte untersucht. Dessen größter Abstand vom Magnetpole ist $= 54^{\circ} 44' 8'',19$, wenn $\rho = \infty$, ist $\rho = 1$, d. i. in einer Sphäre, deren Radius gleich ist der halben Magnetaxe, fällt dieser Punkt mit dem Magnetpole selbst zusammen.

§. 43. Problem. Im Mittelpunkte C einer Sphäre $ANQS$ (Fig. 27) befindet sich ein Magnet von verschwindender GröÙe in Vergleich mit dem Radius der Sphäre CN ; seine Axe fällt mit der Linie NS zusammen. Man suchet die GröÙe desjenigen Theiles der magnetischen Kraft, welche im Punkte L parallel mit der Tangente LT wirkt.

$L\gamma$ sey die magnetische Ruhelinie, $LCN = u$, $\gamma LM = \omega$, $TL\gamma = i = u - \omega$ (§. 27), so ist die ganze Kraft, welche nach der Richtung $L\gamma$ wirkt, oder $K = \frac{mn}{4\rho^3} \sqrt{10 + 6 \cos 2u}$ (§. 39). Der mit der Tangente LT

parallele Theil der Kraft K oder $k = K \cos TL\gamma = K \cos(u - \omega) = K \cos i$. Aber $\tan i = 2 \cot u$ (§. 27) und $\cos i = \frac{1}{\sqrt{1 + \tan^2 i}} = \frac{1}{\sqrt{1 + 4 \cot^2 u}}$;

also $k = \frac{K}{\sqrt{1 + 4 \cot^2 u}} = \frac{mn \sqrt{10 + 6 \cos 2u}}{4\rho^3 \sqrt{1 + 4 \cot^2 u}} = \frac{mn}{4\rho^3} \sqrt{\frac{10 + 6 \cos 2u}{1 + 4 \cot^2 u}}$

Aber $10 + 6 \cos 2u = 4 + 12 \cos^2 u$; multiplicirt man Zähler und Nenner unter dem Wurzelzeichen mit $\sin^2 u$, so erhält man $\frac{10 + 6 \cos 2u}{1 + 4 \cot^2 u} = \frac{4 \sin^2 u (1 + 3 \cos^2 u)}{\sin^2 u + 4 \cos^2 u}$

$= \frac{4 \sin^2 u (1 + 3 \cos^2 u)}{1 + 3 \cos^2 u} = 4 \sin^2 u$; also ist $k = \frac{mn}{4\rho^3} \sqrt{4 \sin^2 u} = \frac{mn}{2\rho^3} \sin u$.

Der mit der Tangente parallele Theil der magnetischen Kraft ist also mit dem Sinus des magnetischen Polarabstandes proportionirt.

Ist $u = 0^{\circ}$, so ist $k = 0$, d. i. unter dem Magnetpole ist der mit der Tangente parallele Theil der Kraft $= 0$, und eine Nadel, welche an dieser Stelle die Sphäre berührt, ist gleichgültig gegen jede Lage. Ist $u = 90^{\circ}$, so

ist $k = \frac{mn}{2\rho^3} = K$ (§. 59), d. i. im magnetischen Aequator ist der mit der Tangente parallele Theil der Kraft gleich der ganzen magnetischen Kraft; ist $u = 30^\circ$, wird die Kraft halb so groß.

Humboldt *) bemerkt, daß die horizontale Kraft von Berlin aus wächst, wenn man sich dem magnetischen Aequator nähert. Man könnte sich einen Punkt denken, wo sie ihr Maximum erreicht hätte, aber dieses muß, sagt er, südlicher als Neapel seyn. Aus vorhinangeführter Theorie ersieht man, daß es, wofern der Erdmagnet sehr klein ist, kein solches Maximum giebt, sondern daß der horizontale Theil der Kraft vom Pole aus bis zum magnetischen Aequator im nämlichen Verhältnisse wächst, wie der Sinus des Abstandes des Ortes vom Magnetpole.

§. 44. Problem. Wenn ein unendlich kleiner Magnet ausserhalb des Mittelpunktes eines Kreises liegt, die GröÙe der magnetischen Kraft in einem gegebenen Punkte der Peripherie zu finden.

I. Es sey (Fig. 30) L der Punkt, C des Kreises, c des Magneten Mittelpunkt, ns die verlängerte Magnetaxe, der excentrische Winkel $ACB = \epsilon$, $Lcn = u$, $LCN = v$, die Halbaxe des Magneten $= 1$, der Radius des Kreises $CL = r$, die Excentricität $\frac{Cc}{LC} = e$, der Abstand des Punktes L vom Mittelpunkte des Magneten oder $Lc = \rho$; so ist, nach §. 51 I., $\rho^2 = r^2[1 + e^2 - 2e \sin(v - \epsilon)]$ und $\cos u = \frac{r(\cos v + e \sin \epsilon)}{\rho}$. Nun ist

$$K = \frac{mn}{4\rho^3} \sqrt{10 + 6 \cos 2u} \text{ (§. 59)} = \frac{mn}{4\rho^3} \sqrt{12 \cos^2 u + 4} = \frac{mn}{2\rho^3} \sqrt{3 \cos^2 u + 1}.$$

Setzet man obige Werthe für ρ und $\cos u$ ein, so bekommt man

$$\begin{aligned} K &= \frac{mn}{2\rho^3} \left\{ \frac{3r^2(\cos v + e \sin \epsilon)^2}{\rho^2} + 1 \right\}^{\frac{1}{2}} = \frac{mnr}{2\rho^4} \left\{ 3(\cos v + e \sin \epsilon)^2 + 1 + e^2 - 2e \sin(v - \epsilon) \right\}^{\frac{1}{2}} \\ &= \frac{mn}{2r^3} \frac{[3(\cos v + e \sin \epsilon)^2 + 1 + e^2 - 2e \sin(v - \epsilon)]^{\frac{1}{2}}}{[1 + e^2 - 2e \sin(v - \epsilon)]^{\frac{3}{2}}}. \end{aligned}$$

*) Beobachtungen über die Stärke und über die Neigung der magn. Kräfte u. s. w. von Humboldt und Gay-Lussac. Ann. der Ph. Jahrg. 1803, 3 St., XXVIII. B., 3 St.

Folglich wird die Intensität

$$\text{für } v = 0^\circ \text{ im Punkte } N = K = \frac{mn}{2r^3} \frac{[3(1 + e \sin \epsilon)^2 + 1 + e^2 + 2e \sin \epsilon]^{\frac{1}{2}}}{(1 + e^2 + 2e \sin \epsilon)^2}$$

$$\text{für } v = 180^\circ \text{ im Punkte } S = K = \frac{mn}{2r^3} \frac{[3(1 - e \sin \epsilon)^2 + 1 + e^2 - 2e \sin \epsilon]^{\frac{1}{2}}}{(1 + e^2 - 2e \sin \epsilon)^2}$$

$$\text{für } v = \pm 90^\circ \text{ in } A \text{ und } Q = K = \frac{mn}{2r^3} \frac{[3e^2 \sin^2 \epsilon + 1 + e^2 \mp 2e \cos \epsilon]^{\frac{1}{2}}}{(1 + e^2 \mp 2e \cos \epsilon)^2}$$

II. Setzet man $\epsilon = 0$, wie in Fig. 31, so wird

$$K = \frac{mn}{2r^3} \frac{(3 \cos^2 v + 1 + e^2 - 2e \sin v)^{\frac{1}{2}}}{(1 + e^2 - 2e \sin v)^2}$$

$$\text{Folglich, wenn } v = 0^\circ \text{ und } v = 180^\circ \text{ in } N \text{ und } S, K = \frac{mn(4 + e^2)^{\frac{1}{2}}}{2r^3(1 + e^2)^2};$$

$$\text{und wenn } v = \pm 90^\circ \text{ in } A \text{ und } Q, K = \frac{mn(1 + e^2 \mp 2e)^{\frac{1}{2}}}{2r^3(1 + e^2 \mp 2e)^2} = \frac{mn}{2r^3(1 \mp e)^3}.$$

Wären in einer Kugel die Intensitäten k und k' der Punkte A und Q bekannt, so könnte daraus die Excentricität e gefunden werden; denn

$$k = \frac{mn}{2r^3(1 - e)^3}, k' = \frac{mn}{2r^3(1 + e)^3}; \text{ also } k : k' = (1 + e)^3 : (1 - e)^3, \text{ folglich}$$

$k(1 - e)^3 = k'(1 + e)^3$, oder $0 = k' - k + 3(k' + k)e + 3(k' - k)e^2 + (k' + k)e^3$. Diese Gleichung, in welcher k' und k bekannt sind, würde den Werth von e geben, welches um so leichter anginge, falls e ein so kleiner Bruch wäre, daß e^3 , oder beides e^3 und e^2 außer Betracht gesetzt werden könnten.

III. Wird gesetzt $\epsilon = 90^\circ$, wie in Fig. 32, so wird

$$\begin{aligned} K &= \frac{mn}{2r^3} \frac{[3(\cos v + e)^2 + 1 + e^2 + 2e \cos v]^{\frac{1}{2}}}{(1 + e^2 + 2e \cos v)^2} \\ &= \frac{mn}{2r^3} \frac{(3 \cos^2 v + 8e \cos v + 4e^2 + 1)^{\frac{1}{2}}}{(1 + e^2 + 2e \cos v)^2} \end{aligned}$$

Man erhält folglich

$$\text{für } v = 0^\circ \text{ im Punkte } N, K = \frac{mn}{r^3} \frac{(1 + 2e + 4e^2)^{\frac{1}{2}}}{(1 + 2e + e^2)^2} = \frac{mn(1 + 2e + 4e^2)^{\frac{1}{2}}}{r^3(1 + e)^4}$$

für $v = 180^\circ$ im Punkte S, $K = \frac{mn(1 - 2e + 4e^2)^{\frac{1}{2}}}{r^3(1 - 2e + e^2)^2} = \frac{mn(1 - 2e + 4e^2)^{\frac{1}{2}}}{r^3(1 - e^2)^4}$

für $v = \pm 90^\circ$ in A und Q, $K = \frac{mn(4e^2 + 1)^{\frac{1}{2}}}{2r^3(1 + e^2)^2}$.

§. 45. Im Punkte N (Fig. 37) sey eine Magnetnadel ab ; MN sey der magnetische Meridian, in welchem also die Nadel, falls dieselbe bloß durch die magnetischen Kräfte der Erde getrieben würde, in Ruhe wäre. Leget man in den Punkt C den Mittelpunkt eines lineären Magneten AB, so wird die Nadel nicht länger im Meridiane, sondern in einer Linie ab , ruhen, welche mit derselben einen Winkel MNa bildet. Sind die Kraft des Magneten, sein Abstand NC und der Winkelabstand MNC vom Meridiane nebst dem Winkel NCB bekannt, welchen derselbe mit der beide Mittelpunkte verbindenden Linie NC bildet, so läßt sich der Winkel MNa nach der obigen Theorie berechnen.

Man verlängere die Magnetaxe AB, falle NG perpendicular auf AG; so wird die Nadel, wofern bloß der Magnet auf dieselbe wirkt, in einer Linie NE in Ruhe seyn, die einen Winkel ENG = ω mit dem Perpendikel NG (§. 19) bildete. Man setze NCB = u , CN = ρ , MNC = v , MNa = bND = x , MNE = a , der Erde magnetische Intensität = M , des Magneten = m ; so ist $M \cdot \sin x = mF \sin(a - x)$ (§. 5) = $mF(\sin a \cdot \cos x - \cos a \cdot \sin x)$, und folglich $\tan x = \frac{mF \cdot \sin a}{M + mF \cdot \cos a} = \frac{M \cdot \sin a}{\frac{M}{mF} + \cos a}$, oder $\cot x = \frac{M}{mF \sin a} + \cot a$.

Nun ist der Winkel $a = MNE = MNC + CNG + ENG = v + 90^\circ - u + \omega$; aus ρ und u wird ferner ω nach §. 21 und F nach §. 36 gefunden; also ist in obiger Gleichung alles bekannt, ausgenommen $\frac{M}{m}$; aber diese GröÙe wird auf dieselbe Art wie in §. 8 gefunden.

So ward in §. 8 (Seite 139) für den Magneten B gefunden (wenn $r = 2$) $\frac{M}{m} = 0.040229$. Wäre also z. B. $v = 60^\circ$, $u = 20^\circ$, $\rho = 6$, so ward hier:

aus gefunden $\omega = -58^\circ 56'$ (§. 21), $F = 0.0045500$ (§. 36 III.); folglich
 $a = \nu + \omega + 90^\circ = u = 60^\circ - 58^\circ 56' + 90^\circ = 20^\circ = 71^\circ 4'$.

Nun ist $\sin a$ und $\cos a$ zu berechnen, als die nachfolgenden

$$\log F = 7.65301$$

$$\log \sin a = 9.97584$$

7.65385	0.08	= u
$\log \frac{M}{m} = 8.60454$		
0.97069	9.34740	= v
$\cos a = 0.34503$		
$\sin a = 0.69045$		

Um auch auf diese Weise die obige Theorie zu prüfen, wurde folgender Versuch angestellt.

Achter Versuch.

Derselbe Compass, welcher bey den ersten und zweyten Versuche gebraucht worden, ward auf dieselbe Weise wie dort auf das Lineal gesetzt, und letzteres so lange gedreht, bis die Nadel auf 0° spielte; hierauf wurde längs dem Linealrande auf dem Tische die Linie MND gezogen, welche also der magnetische Meridian ist. Aus dem Punkte N wurde mittelst eines Radius NM, gleich 6 Halbboten des Magneten AC, der Kreisbogen MCF gezogen, und derselbe von 20° zu 20° eingetheilt, auch zu jedem der Theilungspunkte Radius NC gezogen. Auf einer Papierscheibe wurde mittelst eines Radius, gleich der Halbbeute des Magneten AC, der Kreis ABH beschrieben, welcher von 20° zu 20° eingetheilt ward. Des Kreises Mittelpunkt C wurde über die Theilungspunkte im Bogen MCF gelegt und dergestalt befestigt, daß die Linie HI ($0^\circ - 180^\circ$) den Radius NC deckte. Hierauf wurde der Compass über dem Punkte N dergestalt gesetzt, daß die Linie Nord-Süd die Linie MND deckte, und der Mittelpunkt der Nadel den Punkt N; endlich wurde der Magnet B (erster Versuch §. 5) auf die Papierscheibe in den Richtungen IH, $20 - 200$, $40 - 220$, BA u. s. w. gelegt, und die Abweichung der Nadel vom Meridiane oder der Winkel bND = x zusammen dem Bogen MC = ν und dem Bogen IB = u aufgezeichnet. Hierauf wurde mit den Werthen

$\frac{M}{m} = 0.040229$ die Größe von x nach obiger Formel berechnet. Sowohl die beobachteten als die berechneten Größen des Winkels x für $MC = v = 60^\circ$ sind in nachstehender Tabelle enthalten.

$u =$	0°	20°	40°	60°	80°	100°	120°	140°	160°
x	beobacht.	$5^\circ 26'$	$5^\circ 40'$	$5^\circ 20'$	$4^\circ 12'$	$2^\circ 36'$	$0^\circ 40'$	$-1^\circ 20'$	$-3^\circ 15'$
	berechn.	5 34	5 53	5 26	4 15	2 38	0 41	-1 26	-3 31
$u =$	180°	200°	220°	240°	260°	280°	300°	320°	340°
x	beobacht.	$-6^\circ 0'$	$-6^\circ 12'$	$-5^\circ 20'$	$-4^\circ 0'$	$-2^\circ 20'$	$-0^\circ 40'$	$1^\circ 6'$	$2^\circ 45'$
	berechn.	-6 16	-6 20	-5 33	-4 15	-2 32	-0 36	1 14	3 1

Man sieht, daß die Differenzen zwischen dem beobachteten und berechneten Werthe von x keinen $\frac{1}{2}$ Grad übersteigen, welches allenfalls Fehlern in der Beobachtung zugeschrieben werden könnte; aber da die berechneten Werthe überall zu groß sind, so könnte diesem durch Annahme eines etwas kleineren Werthes für den Quotienten $\frac{M}{m}$ *) abgeholfen werden. Da dieser

Magnet äußerst schwach war (siehe §. 17), so wurden die Winkel x nur sehr klein, und also der Versuch weniger entscheidend; darum führen wir nicht den übrigen Theil dieses Versuches an, worin v war $= 20^\circ, 40^\circ$ u. s. w. Doch zweifle ich nicht, daß derselbe, wenn man ihn mit einem starken Magneten in etwas geringerem Abstände von der Nadel **) wiederholte, sehr belehrend ausfallen müßte, da der Winkel x sowohl durch die Intensität F , als

*) Gegenwärtiger Versuch wurde den 12 Aug. 1811 angestellt; der erste Versuch, wodurch der Werth von $\frac{M}{m}$ ausgemittelt ward, ein halbes Jahr früher, d. h. zu Anfange des Jahres. Wohl möglich also, daß $\frac{M}{m}$ sich ein wenig verändert hatte; aber, ist $\frac{M}{m}$ kleiner geworden, so muß entweder M (der Magnetismus der Erde) kleiner, oder m (die Intensität des Magneten) größer geworden seyn. Letzteres ist nicht wahrscheinlich, und ersteres müßte, um angenommen zu werden, durch entscheidendere Versuche begründet werden.

**) Fünf halbe Magnetaxen sind der geringste Abstand, den der Magnet von der Nadel haben kann, wiew die Länge der letzteren keinen merklichen Einfluß auf den Winkel x haben soll.

durch den Winkel α bestimmt wird, und solches überdies die einzige Weise ist, um durch directe Versuche die Theorie des letztern zu prüfen. Bey so bewandten Umständen müßte man jeden Versuch in vier verschiedenen Punkten der Peripherie MCF wiederholen, nämlich indem man dem Bogen MC folgende vier Werthe ertheilte: v , $180^\circ - v$, $180^\circ + v$, $360^\circ - v$. Wofern beide Halbaxen des Magneten AC und EC dieselbe Intensität hätten, und die Linie Nord-Süd im Compasse genau die Linie MD deckete, so würden diese vier Versuche dieselben Werthe von x für gleiche Werthe von u geben; eine Mittelzahl aus dem ersten und vierten, oder dem zweyten und dritten Versuche würde die Unrichtigkeit aufheben, welche aus der ungleichen Intensität in beiden Halbaxen herrührte; und eine Mittelzahl aus dem ersten und zweyten, oder aus dem dritten und vierten diejenige, wozu die unrechte Lage des Instruments verleitete.

§. 46. In der obigen Theorie haben wir die Wirkungsgesetze eines lineären Magneten untersucht; aber die bey den Versuchen gebrauchten Magneten waren nichts weniger als lineäre. Unter der Gröfse m haben wir die Intensität derjenigen Punkte in der lineären Magnetaxe verstanden, deren Abstand vom Mittelpunkte war $= 1$; der durch die Versuche gefundene Werth von m muß also die Summe der Wirkungen aller Theilchen in einer Durchschnittsfläche des Magneten seyn, dessen Abstand von der Aequatorfläche ist $= 1$. Durch die Versuche haben wir uns also die Wirkung jedes auf die Magnetaxe lothrechten Durchschnittes, gesammelt im Mittelpunkte der Durchschnittsfläche, und also die Wirkung der ganzen Magnetaxe, gesammelt in einer diese Mittelpunkte verbindenden Linie, vorgestellt. In größeren Abständen scheint diese unrichtige Voraussetzung keine bedeutende Unrichtigkeit in den daraus abgeleiteten Folgerungen mit sich zu führen. Um sich jedoch desto sicherer davon zu überzeugen, ward folgender Versuch angestellt.

Neunter Versuch.

Beide Magneten A und B (Versuch 1 und 2 §. 5) wurden mit ihren gleichartigen Polen dergestalt zusammengebunden, daß beide gesammelt jetzt einen einzigen Magneten von doppelt so großer Dicke ausmachten. Darauf wurden die Versuche in §. 5 mit diesen beiden vereinigten Magneten wieder-

holt, und die Abweichung der Nadel vom Meridiano, oder der Winkel w so aufgezeichnet, wie folgende kleine Tafel ausweist.

Abst. gC	a	12.8	11.0	10.0	9.0	8.6	8.2	7.8	7.4	7.0	6.6	6.2	5.8	5.4	5.0
(N. P.)	1°	1° 37'	1° 33'	2° 0'	2° 0'	3° 1'	3° 1'	4° 1'	5° 0'	6° 0'	7° 0'	8° 0'	10° 0'	13° 0'	17° 0'
Winkel	S. P.	1	1	2	2	3	3	4	5	6	7	8	10	13	16
Winkel	Mitt.	0° 57'	1° 33'	2° 0'	2° 0'	3° 1'	3° 1'	4° 1'	5° 0'	6° 0'	7° 0'	8° 0'	10° 0'	13° 0'	16° 51'

Abst. gC	a	4.8	4.6	4.4	4.2	4.0	3.8	3.6	3.4	3.2	3.0	2.8	2.6	2.4
(N. P.)	10°	21° 0'	24° 0'	27° 0'	32° 0'	36° 0'	42° 0'	48° 0'	54° 0'	60° 0'	67° 0'	72° 0'	77° 0'	77° 0'
Winkel	S. P.	19	21	24	28	32	36	42	48	54	61	67	72	77
Winkel	Mitt.	19° 12'	21° 35'	24° 44'	27° 54'	32° 44'	36° 43'	42° 06'	48° 27'	54° 20'	60° 23'	67° 0'	72° 45'	77° 12'

Denket man sich nun die Kraft beider vereinigten Magnetaxen, gesammelt in einer Linie, bezeichnet man die Intensität des Punktes in dieser Linie, dessen Abstand vom Mittelpunkt als Einheit angenommen wird, mit μ , und

suchet die Größe von $\frac{\mu}{M} = \frac{\tan w}{F}$ auf dieselbe Weise, wie in §. 8 (nach Formel V. §. 4), so werden die in folgender Tafel enthaltenen Größen gefunden. Der berechnete Werth des Winkels w ist gefunden nach der Formel

$\tan w = \frac{\mu}{M} F$, worin $\frac{\mu}{M}$ durch die Mittelzahl aus den 16 ersten Quotienten gefunden ward = 35.506 (die 8 ersten geben 35.354, die 8 folgenden 35.678).

Abstand	Winkel w	$\log F$	$\tan w$	Winkel w	Differenz	Abstand	Winkel w	$\log F$	$\tan w$	Winkel w	Differenz
a			F	ber.		a			F	ber.	
12.8	0° 57'	6.68063	34.595	0° 59'	+0° 2'	4.8	19° 12'	7.98212	35.947	18° 49'	-0° 13'
11.0	1° 33'	6.87821	35.818	1° 32'	-0° 1'	4.6	21° 35'	8.03935	36.091	21° 16'	-0° 19'
10.0	2° 0'	7.00289	35.558	2° 3'	+0° 3'	4.4	24° 31'	8.10045	36.245	24° 6'	-0° 27'
9.0	2° 0'	7.14629	34.924	2° 31'	+0° 3'	4.2	27° 54'	8.16411	36.285	27° 23'	-0° 31'
8.6	3° 18'	7.20369	36.071	3° 15'	-0° 3'	4.0	32° 4'	8.23106	36.800	31° 10'	-0° 54'
8.2	3° 44'	7.26773	35.226	3° 46'	+0° 2'	3.8	36° 43'	8.30222	37.190	35° 27'	-1° 16'
7.8	4° 12'	7.33403	35.176	4° 13'	+0° 1'	3.6	42° 6'	8.37756	...	40° 15'	-1° 51'
7.4	5° 7'	7.40350	35.361	5° 8'	+0° 1'	3.4	47° 57'	8.45789	...	45° 33'	-2° 24'
7.0	6° 2'	7.47674	35.261	6° 4'	+0° 2'	3.2	54° 20'	8.54389	...	51° 10'	-3° 10'
6.6	7° 18'	7.55515	35.682	7° 16'	-0° 2'	3.0	62° 15'	8.63951	...	56° 58'	-3° 55'
6.2	8° 45'	7.63927	35.401	8° 48'	+0° 3'	2.8	67° 0'	8.73709	...	62° 43'	-4° 17'
5.7	10° 45'	7.72937	35.494	10° 47'	+0° 2'	2.6	72° 41'	8.84716	...	68° 11'	-4° 34'
5.4	13° 24'	7.82338	35.778	13° 18'	-0° 6'	2.4	77° 43'	8.96891	...	73° 10'	-4° 33'
5.0	16° 51'	7.92661	35.860	16° 52'	-0° 1'						

Aus diesem Versuche ersieht man 1) daß der Quotient $\tan w : F$ auch hier, gerade wie im ersten und zweyten Versuche, beständig ist, solange der Abstand nicht kleiner ist, als 5 von des Magneten Halbhaxen*); 2) daß die berechneten Winkel w bis auf diesen Abstand ganz und gar mit den beobachteten übereinstimmen, aber in geringeren Abständen zu klein werden, wie im ersten und zweyten Versuche; 3) daß folglich die Dicke des Magneten keinen merklichen Einfluß auf diesen Versuch gehabt habe; wie denn auch zu vermuthen stand.

Zu einer andern und wichtigeren Bemerkung giebt gegenwärtiger Versuch Anlaß. Durch ein Mittel aus den 16 ersten Quotienten $\tan w$ wird gefunden $\frac{\mu}{M} = 35,506$. In §. 5 ward gefunden für den Magneten B

$$\frac{M}{m} = 0,040229, \text{ für den Magneten A } \frac{M}{m'} = 0,049142, \text{ also } \frac{m}{M} = 24,858,$$

$$\frac{m'}{M} = 20,349^{**}); \text{ man möchte also erwarten, daß für die beiden gesammel-}$$

$$\text{ten Magneten die Intensität seyn würde} = \frac{m + m'}{M} = 24,858 + 20,349$$

$$= 45,207. \text{ Aber oben ward gefunden für die gesammelten Magneten } \frac{\mu}{M}$$

$$= 35,506; \text{ also sieht man, daß die Wirkung zweyer Magneten, die einander mit ihren gleichbenannten Polen berühren, kleiner ist, als die Summe beider Wirkungen der einzelnen Magneten.}$$

*) Bey einer größern Nadel müßte dieser Abstand natürlich größer werden. Da die Länge der bey diesen Versuchen gebrauchten Nadel war $= 24,8$, und des Magneten $= 56,4$ Linien (s. 6), also des letztern halbe Länge $= 28,2$, so wird dieser Abstand, wenn die Länge der Nadel als Einheit angenommen wird $= 5 \times \frac{28,2}{24,8} = 5,7$. Dieser Versuch darf also nicht weiter fortgesetzt werden, als bis der Abstand zwischen den Mittelpunkten des Magneten und der Nadel $5\frac{1}{2}$ bis 6 Mal die Länge der Nadel wird.

**) Bey diesem den 8 August 1811 angestellten Versuche finde ich angemerkt: "Jeder Magnet wurde für sich geprüft und befunden, dieselbe Abweichung (Winkel w) wie im Winter zu geben".

Versuche wurde jeder einzelne Magnet für sich auf das Lineal gelegt, und dadurch fand sich

in den Abständen	8	6	
Winkel w	$\begin{cases} 2^{\circ} 50' \\ 2 \quad 20 \end{cases}$	$\begin{cases} 6^{\circ} 50' \\ 5 \quad 56 \end{cases}$	$\begin{matrix} \text{Magnet B} \\ \text{Magnet A.} \end{matrix}$

Hieraus findet sich für den Magneten B $\frac{m}{M} = 24,951$ und $24,845$, im

Mittel $= 24,898$; für den Magneten A $\frac{m'}{M} = 20,407$ und $20,455$, im

Mittel $= 20,431$; also $\frac{m + m'}{M} = 45,329$, $\frac{m - m'}{M} = 4,467$. Aus dem er-

sten und zweyten Versuche fand sich $\frac{m}{M} = 24,858$, $\frac{m'}{M} = 20,349$; also

$\frac{m + m'}{M} = 45,207^*)$, $\frac{m - m'}{M} = 4,509$, etwa wie die obigen. Aus dem

letzten Werthe ist der Winkel W' in obiger Tabelle nach der Formel $\tan W' = F \times 4,509$ berechnet. Man sieht also, daß, wenn zwey gleich große Magneten dergestalt zusammengelegt werden, daß die freundschaftlichen Pole einander berühren, sie sehr nahe wie ein einzelner Magnet wirken, dessen Intensität gleich ist der Differenz zwischen beiden.

Zusatz. Werden die im ersten Versuche durch den Magneten B gefundenen Winkel mit w , die im zweyten Versuche durch den Magneten A gefundenen mit w' bezeichnet, die Winkel im zehnten Versuche, wo die gleichnamigen Pole beider Magneten zusammenlagen, mit W , und die Winkel im

*) Dieser, wie der neunte Versuch, wurde den 11 Aug. 1811 angestellt, und da aus den in den Abständen 8 und 6 gefundenen Winkeln w ein etwas größerer Werth der Größen $\frac{m}{M}$ und $\frac{m'}{M}$ gefunden wird, als aus Versuch 1 und 2, so scheint dies die Vermuthung in der Anmerkung S. 250 zu bestätigen, daß der Magnetismus (M) der Erde im August 1811 etwas schwächer war, als den Winter vorher. Die Anmerkung S. 263 bey Versuch 9, welche dagegen zu streiten scheint, kommt nicht in Betracht, weil die Größen, der gefundenen Winkel nicht aufgezichnet sind, und die Vergleichung also bloß oberflächlich gewesen ist.

eilften Versuche, wo die ungleichnamigen Pole zusammenlagen, mit W' , so ist sehr nahe nach Versuch 10 $\text{tang } W = \frac{m + m'}{M} \cdot F = \frac{m}{M} F + \frac{m'}{M} F$
 $= \text{tang } w + \text{tang } w'$, und nach Versuch 11 $\text{tang } W' = \frac{m - m'}{M} \cdot F = \frac{m}{M} F - \frac{m'}{M} F$
 $= \text{tang } w - \text{tang } w'$. Sind w und w' sehr kleine Winkel, so ist folglich sehr nahe $W = w + w'$, $W' = w - w'$. So fand sich

in den Abständen	6	7	8	9	
$w =$	6° 50'	4° 15'	2° 50'	2° 0'	Magnet B
$w' =$	5' 36	3 33	2 20	1 38	Magnet A
$w + w' =$	12° 26'	7° 48'	5° 10'	3° 38'	
$w - w' =$	1 14	0 42	0 30	0 22	

welches bis auf Weniges dieselben Gröſsen sind, die in den Versuchen 10 und 11 gefunden wurden.

§. 47. In der ganzen obigen Theorie ist vorausgesetzt, daß die Intensität jedes Theilchens in einem lineären Magneten durch mx^r vorgestellt werden könne, wo r angenommen ward entweder den Werth 2 oder 3 zu haben; d. i. daß die Intensität in der Axe durch die Ordinaten einer Apollonischen oder Cubischen Parabel vorgestellt werden könne. Aber erwäget man, daß jeder Magnet von etwas beträchtlicher Länge meist mehr als zwey Pole, also mehr Punkte habe, wo die Intensität ist $= 0$, so ersieht man, daß die Curve, deren Ordinaten die Intensitäten vorstellen sollen, von der Beschaffenheit seyn müsse, daß sie mehrere Male die Axe schneiden könne; welches die oben angeführten Parabeln nicht leisten.

Setzet man die Intensität eines Theilchens in der Axe $= i$, dessen Abstand vom Mittelpunkte $= x$, so könnte der Werth von i richtiger durch folgende Gleichung ausgedrückt werden

$$\begin{aligned} i &= \mu(ax^r + bx^{r+1} + cx^{r+2} + dx^{r+3} + \dots) \\ &= \mu x^r \left(1 + \frac{b}{a}x + \frac{c}{a}x^2 + \frac{d}{a}x^3 + \dots \right) \\ &= mx^r (1 + Ax + Bx^2 + Cx^3 + \dots), \end{aligned}$$

wo ein Theil der Coefficienten A , B , C u. s. w. negative Gröſsen seyn müssen.

Ist der Abstand x des Theilchens vom magnetischen Mittelpunkte sehr klein, so kann Ax und die folgenden Glieder in obiger Reihe ausser Betracht gelassen werden, und folglich kann man in Magneten, worin das Verhältniß zwischen der Länge und den übrigen Dimensionen nicht gar zu groß ist, ohne merklichen Fehler die Intensität $i = mx^r$ annehmen.

§. 48. In §. 45 wurde bemerkt, daß, wenn man sich einen prismatischen Magneten durchschnitten von einem ebenen senkrecht auf die Längensaxe geführten Schnitt denkt, die Intensität derjenigen Theilchen, die dem Umkreise dieses Schnittes nahe liegen, größer seyen, als die Intensität der mittelsten Theilchen. Von der Richtigkeit dieser Beobachtung kann man sich durch verschiedene bekannte Erfahrungen überzeugen, worunter folgende genannt zu werden verdienen. Wenn zwey prismatische Magneten von gleichen Dimensionen so schwach sind, daß sie, wenn die Endflächen sich vollkommen decken, einander kaum zu tragen vermögen, so geschieht dieses mit Leichtigkeit, sobald sich bloß die Seitenlinien der Endflächen berühren; und die Kraft, welche erfordert wird, um sie zu trennen, ist gewöhnlich am größten, wenn die kürzesten Seitenlinien in Berührung sind. Wird ein prismatischer Magnet vertikal unter einem horizontal liegenden Papiere dermaßen gehalten, daß die Endfläche des Magneten die unterste Fläche des Papiers berührt, und bestreuet man das Papier mit Eisenfeilspähnen, so sammeln sich diese in größter Menge über den Seitenlinien der Endfläche, und stellen deutlich die Figur der Endfläche dar. Leget man den Magneten horizontal unter das Papier, und bestreuet es mit Eisenfeilspähnen, so geben diese ebenfalls den Umriss der Seitenfläche an, indem sie sich da am stärksten anhäufen, und die zwischen den Seitenlinien eingeschlossene Fläche fast entblößt lassen.

Hier stößt also die Theorie auf die dritte Schwierigkeit, nämlich die Untersuchung des Gesetzes für die Vertheilung der Intensitäten in den auf der Axe lothrechten Durchschnittsflächen, welches das dritte magnetische Elementargesetz ist. Dieses Gesetz wird um so schwieriger auszumitteln, da es wahrscheinlich verschiedene Modificationen nach der verschiedenen Figur der Durchschnittsfläche erhält. Ist der Magnet cylindrisch, so ist glaublich, daß alle Theilchen in der Durchschnittsfläche, welche denselben Abstand vom

Mittelpunkte haben (d. i. von der Axe des Cylinders), dieselbe Intensität haben, so daß man sich jede Durchschnittsfläche denken kann als aus einer unendlichen Menge Kreistringe bestehend, mit vom Mittelpunkte gegen den äussersten Umkreis hin wachsenden Intensitäten. In prismatischen Magneten wird das Gesetz für diese Vertheilung der Kräfte vermuthlich verwickelter seyn. Es kommt mir am glaublichsten vor, daß sowohl dieses dritte Elementargesetz, wie das zweyte (§. 7), durch Theorie aus dem ersten müßte abgeleitet werden können, welches festsetzt, daß sich die Elementarwirkung umgekehrt wie die Quadrate der Abstände verhalte. Auf der andern Seite kommt es mir eben so gewiß vor, daß die vollständige Lösung dieses Problems eine der schwierigsten Aufgaben seyn würde, welche man der Analyse vorgelegt hat, ein Problem, eines *La Place* würdig.

In jedem prismatischen oder cylindrischen Magneten wird es eine Fläche geben, in welcher die Intensität ist $= 0$. Diese Fläche wollen wir seinen *Aequator**), und eine gerade Linie perpendicular auf die Aequatorialfläche durch ihren Mittelpunkt (wofern diese Fläche einen solchen Mittelpunkt hat), seine *Axe* nennen. In gleichem Abstande von der Aequatorialfläche wird also die Intensität am kleinsten in der Axe, am größten nahe an den Seitenflächen. Ist der Magnet cylindrisch, und die Intensität eines Theilchens in der Axe, dessen Abstand von der Aequatorialfläche ist $= 1$, wird gesetzt $= m$, so wird nach §. 47 die Intensität eines andern Theilchens in der Axe, deren Abstand vom Aequator ist $x = mx^2(1 + Ax + Bx^2 + Cx^3 + \dots)$. Die Intensität eines dritten Theilchens ausserhalb der Axe, dessen Abstand von der Axe ist y , aber dessen Abstand vom Aequator derselbe ist, wie des vorigen (x), muß nach dem Obigen eine Function sowohl von x als von y seyn; ist die Intensität $= i$, so könnte sie vielleicht durch folgende Gleichung ausgedrückt werden:

$$i = mx^2(1 + Ax + Bx^2 + Cx^3 + \dots)(1 + ay^2 + by^{2+1} + \dots).$$

Den Werth von s durch Versuche zu bestimmen, wird wahrscheinlich noch

*) Es ist wohl nicht nothwendig, daß diese Fläche immer eine Ebene seyn, auch nicht, daß sie lothrecht gegen die Seitenflächen des Prismas seyn müsse; inzwischen wollen wir dieses als das allgemeinste, das Entgegengesetzte als Ausnahme annehmen.

schwieriger seyn, als den Werth von r . Ist der Radius des Cylinders klein (in den meisten Fällen wird er um viele Male kleiner seyn als die Länge), so können alle folgenden Glieder der Reihe $1 + ay^2 + by^{2+1} + \dots$ in Vergleiche mit dem ersten ausser Betracht gelassen werden; und also kann, wenn die Länge des Magneten auch nicht zu groß ist, die Intensität jedes Theilchens einer Durchschnittsfläche, deren Abstand von der Aequatorialfläche ist $= x$, ohne merklichen Fehler ausgedrückt werden durch die Gleichung $i = mx^r$.

Aus den allgemeinen Reihen (S. 180) wird man auf dieselbe Weise wie in §§. 38, 39 folgenden Ausdruck für die Intensität in großen Abständen finden

$$K = \frac{mn}{(r+2)\rho^3} \sqrt{10 + 6 \cos 2u}.$$

Hieraus ist sichtlich: 1) daß, wenn ρ beständig ist, die Intensität sich verhalte wie der Werth von $\sqrt{10 + 6 \cos 2u}$, also doppelt so groß unter dem Pole sey (wo $u = 0^\circ$), als unter dem Aequator (wo $u = 90^\circ$); 2) daß, wenn u beständig ist, die Intensität sich umgekehrt verhalte, wie die Cuben des Abstandes. Der Werth von r hat also in großen Abständen keinen merklichen Einfluß auf die Veränderungen der Intensität. Ebenfalls haben wir in §. 20 Zusatz 1 gesehen, daß in großen Abständen für irgend einen Werth von r der Winkel ω durch folgende Formel gefunden werden kann

$$\cot \omega = \frac{-\sin 2u}{\frac{1}{r} + \cos 2u}.$$

In großen Abständen hat also das zweyte Elementargesetz keinen merklichen Einfluß weder auf die Intensität noch auf den Winkel ω . Das dritte Elementargesetz wird wahrscheinlich noch geringern Einfluß auf diese Größen haben, da die Dicke des Magneten gewöhnlich weit kleiner als dessen Länge, also y weit kleiner ist als x .

In geringeren Abständen dagegen werden diese beiden Elementargesetze merklichen Einfluß sowohl auf den Winkel ω als auf die Veränderungen der Intensität haben. So haben wir aus §. 22 Beysp. 1 und 2 gefunden (für $\rho = 1$, $u = 30^\circ$), wenn r war $= 1$, $\omega = -6^\circ 20'$, und wenn $r = 2$, $\omega = -2^\circ 13'$, also einen Unterschied von $4^\circ 7'$. Es findet sich ebenfalls aus der Reihe \mathcal{A} (§. 10)

die Intensität in der verlängerten Axe $\equiv K \equiv 4mn \left(\frac{1}{(r+2)a^3} + \frac{2}{(r+4)a^5} + \dots \right)$;
 aus der Reihe \mathfrak{B} ebendasselbst die Intensität im magnetischen Aequator
 $\equiv K' \equiv 2mn \left(\frac{1}{(r+2)a^3} - \frac{3}{2(r+4)a^5} + \dots \right)$; also verhält sich
 $K : K' = 2 \left(\frac{1}{(r+2)a^3} + \frac{2}{(r+4)a^5} \right) : \left(\frac{1}{(r+2)a^3} - \frac{3}{2(r+4)a^5} \right)$
 $\equiv 2 [2(r+4)a^2 + 4(r+2)] : [2(r+4)a^2 - 3(r+2)]$
 $\equiv 2 \left\{ 1 + \frac{7(r+2)}{2(r+4)a^2 - 3(r+2)} \right\} : 1 = 2 \left\{ 1 + \frac{7}{2 \left(\frac{r+4}{r+2} \right) a^2 - 3} \right\} : 1.$

Dieses Verhältniss ist allemal grösser als 2:1; je grösser der Abstand a , desto

kleiner wird der Bruch $\frac{7}{2 \left(\frac{r+4}{r+2} \right) a^2 - 3}$, und desto mehr nähert sich dieses

Verhältniss dem Verhältnisse 2:1, welches demnach als dessen äusserste Gränze angesehen werden kann, welchen Werth man auch r geben mag. Ist hingegen der Abstand a nur etwas grösser als die Einheit, so wird der Werth des obigen Bruches beträchtlich, und wächst zugleich mit r^*). In kleineren Abständen wächst also die Intensität vom Aequator nach dem Pole hin um so stärker, je grösseren Werth man r ertheilt.

In kleinen Abständen treten überdies folgende Schwierigkeiten ein. Hier ist es nämlich nicht länger erlaubt die Nadel als unendlich klein zu betrachten; die Formel für den Winkel ω erforderte also noch eine zweyte Integration, wodurch sie noch weit zusammengesetzter werden würde, als sie schon ist. Ferner erleidet die Intensität in zwey Magneten, die in kleinen Abständen auf einander wirken, bedeutende Veränderungen (siehe Versuch 7 und 8

*) Denn je grösser r ist, desto kleiner wird der Werth von $\frac{r+4}{r+2}$, desto grösser also der Bruch

$$\frac{7}{2 \left(\frac{r+4}{r+2} \right) a^2 - 3}$$

§§. 17 und 46), und eine Theorie, welche zugleich diese umfasste, überschritte vielleicht die gegenwärtigen Gränzen der Analyse. Glücklicher Weise bedarf es zu vorliegendem Zwecke keiner solchen Theorie; die Magnetaxen der Erde sind kleiner als die halbe Erdaxe, so daß für jeden Punkt auf der Erdoberfläche der Werth von ρ (der Abstand des Punktes vom Mittelpunkte des Magneten, ausgedrückt in Halbachsen des Magneten) allemal größer wird als 2.

§. 49. Aufgabe. Die Größe derjenigen Kraft zu finden, womit ein rechtwinklig prismatischer Magnet von unendlich kleiner Dicke auf ein magnetisches Theilchen wirkt, das sich in seiner verlängerten Axe befindet.

Das Rechteck GEKH (Fig. 58) sey ein Magnet, FI dessen Aequator, AB seine Axe (§. 46), D sey ein magnetisches Theilchen, das sich in der verlängerten Axe AD befindet, und das von der Hälfte FEKI angezogen, von der andern Hälfte FGHI abgestoßen wird. Setzet man den Abstand vom Mittelpunkte $DC = a$, die Halbachse $AC = BC = x$, die halbe Breite $AE = AK = y$, den Winkel $EDA = z$, den Winkel $GDB = z'$, den Winkel $FDC = z''$, so kann nach §. 48 die Intensität des Theilchens E gesetzt werden $= mx^r(1 + Ax + Bx^2 + \dots)(1 + ay^s + by^{s+1} + \dots)$; sind die Dimensionen AE und AC nicht beträchtlich groß, kann sie ohne merklichen Fehler angenommen werden $= mx^r$; d. h. man kann annehmen, daß alle Theilchen in der Linie AE dieselbe Intensität haben. Ist die Intensität des Theilchens D $= n$, so wird die Kraft, womit es von dem Theilchen E nach der Richtung DA angezogen wird $= \frac{mnx^r dx \cdot dy \cdot \cos z}{DE^2}$; aber da es vom Theilchen K mit eben so großer Kraft angezogen wird, so wird, wenn die Wirkung des halben Magnetaxen FEKI gesetzt wird $= v$, der Abstand $DC = a$,

$$ddv = \frac{2mnx^r dx \cdot dy \cdot \cos z}{DE^2} = \frac{2mnx^r dx \cdot dy \cdot \cos z}{(a-x)^2 \cdot \sec^2 z} = \frac{2mnx^r dx \cdot dy \cdot \cos^3 z}{(a-x)^2}.$$

Nun ist $AE = BG = DA \cdot \tan EDA = DB \cdot \tan GDB$, d. h. $y = (a-x) \cdot \tan z = (a+x) \cdot \tan z'$; also $dy = (a-x) \cdot d \tan z = \frac{(a-x) \cdot dz}{\cos^2 z} = \frac{(a+x) \cdot dz'}{\cos^2 z'}$.

Setzt man die Wirkung des andern halben Magneten $GFHI = v'$, so ist

$$ddv = \frac{2mnx^r dx \cdot \cos z \cdot dz}{a - x}, \quad ddv' = \frac{2mnx^r dx \cdot \cos z' \cdot dz'}{a + x},$$

und folglich

$$I. \quad dv = \frac{2mnx^r dx \cdot \sin z}{a - x}, \quad dv' = \frac{2mnx^r dx \cdot \sin z'}{a + x}.$$

Setzet man die halbe Breite des Magneten $AE = AK = c$, so ist $DA = AE \cdot \cot EDA$, $DB = GB \cdot \cot GDB$, d. i. $a - x = c \cdot \cot z$, $a + x = c \cdot \cot z'$; folglich $x = a - c \cdot \cot z = c \cdot \cot z' - a$, $dx = \frac{c \cdot dz}{\sin^2 z} = \frac{-c \cdot dz'}{\sin^2 z'}$.

Werden diese Werthe in obige Ausdrücke eingesetzt, so erhält man

$$dv = \frac{2mnc(a - c \cdot \cot z)^r \cdot dz \cdot \sin z}{c \cdot \cot z \cdot \sin^2 z} = \frac{2mn(a - c \cdot \cot z)^r \cdot dz}{\cos z},$$

$$dv' = - \frac{2mnc(c \cdot \cot z' - a)^r \cdot dz' \cdot \sin z'}{c \cdot \cot z' \cdot \sin^2 z'} = - \frac{2mn(c \cdot \cot z' - a)^r \cdot dz'}{\cos z'}.$$

Nimmt man an $r = 2$, so wird

$$dv = \frac{2mndz}{\cos z} (a^2 - 2ac \cdot \cot z + c^2 \cdot \cot^2 z) = 2mn \left(\frac{a^2 dz}{\cos z} - \frac{2acdz}{\sin z} + \frac{c^2 \cdot \cos z \cdot dz}{\sin^2 z} \right);$$

folglich

$$v = 2mn \left[a^2 \cdot \log \cdot \tan(45^\circ + \frac{1}{2}z) - 2ac \log \cdot \tan \frac{1}{2}z - c^2 \operatorname{cosec} z + C \right]$$

$$= 2mn \left\{ a^2 \log \frac{\tan(45^\circ + \frac{1}{2}z)}{\tan(45^\circ + \frac{1}{2}z'')} - 2ac \log \frac{\tan \frac{1}{2}z}{\tan \frac{1}{2}z''} + c^2 (\operatorname{cosec} z'' - \operatorname{cosec} z) \right\}.$$

Auf dieselbe Art findet sich

$$v' = 2mn \left[c^2 \cdot \operatorname{cosec} z' + 2ac \log \tan \frac{1}{2}z' - a^2 \log \cdot \tan(45^\circ + \frac{1}{2}z') + C' \right]$$

$$= 2mn \left\{ a^2 \cdot \log \frac{\tan(45^\circ + \frac{1}{2}z'')}{\tan(45^\circ + \frac{1}{2}z')} - 2ac \log \frac{\tan \frac{1}{2}z''}{\tan \frac{1}{2}z'} + c^2 (\operatorname{cosec} z' - \operatorname{cosec} z'') \right\}.$$

Setzt man die Wirkung des ganzen Magneten $= K$, so ist

$$K = v - v' = 2mn \left\{ a^2 \log \frac{\tan(45^\circ + \frac{1}{2}z) \cdot \tan(45^\circ + \frac{1}{2}z')}{\tan^2(45^\circ + \frac{1}{2}z'')} - 2ac \log \frac{\tan \frac{1}{2}z \cdot \tan \frac{1}{2}z'}{\tan^2 \frac{1}{2}z''} \right. \\ \left. + c^2 (2 \operatorname{cosec} z'' - \operatorname{cosec} z - \operatorname{cosec} z') \right\}.$$

II. Will man diesen Ausdruck in Reihen auflösen, so haben wir in I., wenn r gesetzt wird $= 2$,

$$dv = \frac{2mnx^2 dx \cdot \sin z}{a - x}, \quad dv' = \frac{2mnx^2 dx \cdot \sin z'}{a + x}.$$

Aber

$$\sin z = \frac{AE}{ED} = \frac{c}{[(a-x)^2 + c^2]^{\frac{1}{2}}} = c \left\{ \frac{1}{a-x} - \frac{1}{2} \cdot \frac{c^2}{(a-x)^3} + \frac{1 \cdot 3}{1 \cdot 2 \cdot 2^2} \cdot \frac{c^4}{(a-x)^5} - \dots \right\}$$

$$\sin z' = \frac{BG}{GD} = \frac{c}{[(a+x)^2 + c^2]^{\frac{1}{2}}} = c \left\{ \frac{1}{a+x} - \frac{1}{2} \cdot \frac{c^2}{(a+x)^3} + \frac{1 \cdot 3}{1 \cdot 2 \cdot 2^2} \cdot \frac{c^4}{(a+x)^5} - \dots \right\}$$

also

$$dv = \frac{2mnx^2 dx \cdot \sin z}{a - x} = 2mncx^2 dx \left\{ \frac{1}{(a-x)^2} - \frac{1}{2} \cdot \frac{c^2}{(a-x)^4} + \frac{1 \cdot 3}{1 \cdot 2 \cdot 2^2} \cdot \frac{c^4}{(a-x)^6} - \dots \right\}$$

$$dv' = \frac{2mnx^2 dx \cdot \sin z'}{a + x} = 2mncx^2 dx \left\{ \frac{1}{(a+x)^2} - \frac{1}{2} \cdot \frac{c^2}{(a+x)^4} + \frac{1 \cdot 3}{1 \cdot 2 \cdot 2^2} \cdot \frac{c^4}{(a+x)^6} - \dots \right\}$$

Nun ist

$$\int \frac{x^2 dx}{(a-x)^t} = -\frac{(a-x)^{3-t}}{3-t} + 2a \frac{(a-x)^{2-t}}{2-t} - a^2 \frac{(a-x)^{1-t}}{1-t}$$

$$\int \frac{x^2 dx}{(a+x)^t} = \frac{(a+x)^{3-t}}{3-t} - 2a \frac{(a+x)^{2-t}}{2-t} + a^2 \frac{(a+x)^{1-t}}{1-t}$$

Integriert man mit Hülfe dieser allgemeinen Formeln die Glieder in obigen zwey Reihen, so erhält man

$$v = 2mnc \left\{ \frac{a^2}{a-x} - 2a \log \frac{a}{a-x} - a + x \right\}$$

$$- mnc^3 \left\{ \frac{1}{a-x} - \frac{a}{(a-x)^2} + \frac{a^2}{3(a-x)^3} - \frac{1}{3a} \right\}$$

$$+ \frac{1}{4} mnc^5 \left\{ \frac{1}{5(a-x)^3} - \frac{a}{2(a-x)^4} + \frac{a^2}{5(a-x)^5} - \frac{1}{30a^3} \right\}$$

$$v' = 2mnc \left\{ a + x - 2a \log \frac{a+x}{a} - \frac{a^2}{a+x} \right\}$$

$$- mnc^3 \left\{ -\frac{1}{a+x} + \frac{a}{(a+x)^2} - \frac{a^2}{3(a+x)^3} + \frac{1}{5a} \right\}$$

$$+ \frac{1}{4} mnc^5 \left\{ -\frac{1}{3(a+x)^3} + \frac{a}{2(a+x)^4} - \frac{a^2}{5(a+x)^5} + \frac{1}{60a^3} \right\}$$

also

$$K = v - v' = 4mnac \left\{ \frac{x^2}{a^2 - x^2} - \log \frac{a^2}{a^2 - x^2} \right\} \\
- 2mnac^3 \left\{ \frac{a}{a^2 - x^2} - \frac{a^2 + x^2}{(a^2 - x^2)^2} + \frac{a^2(a^2 + 3x^2)}{3(a^2 - x^2)^3} - \frac{1}{3a^2} \right\} \\
+ \frac{1}{2}mnac^5 \left\{ \frac{a^2 + 3x^2}{3(a^2 - x^2)^3} - \frac{a^2 + 6a^2x^2 + x^4}{2(a^2 - x^2)^4} + \frac{a^2(a^2 + 10a^2x^2 + 5x^4)}{5(a^2 - x^2)^5} - \frac{1}{50a^2} \right\}$$

Der erste Theil dieses Ausdruckes ist nichts anders, als das Doppelte der Formel *b* (S. 145). Man sieht, daß, wenn die halbe Breite *c* des Magneten sehr klein ist im Vergleiche mit der halben Länge *x* und dem Abstände *a*, man ohne merklichen Fehler setzen könne

$$K = 4mnac \left\{ \frac{x^2}{a^2 - x^2} - \log \frac{a^2}{a^2 - x^2} \right\}$$

III. Ist der Abstand *a* sehr groß im Vergleiche mit der halben Magnetaxe *x*, so kann die Kraft *K* durch noch bequemere Reihen auf folgende Weise gefunden werden. Nach II. ist

$$K = v - v' = 2mn \int_{-x}^{+x} dx \left(\frac{\sin z}{a - x} - \frac{\sin z'}{a + x} \right) \\
= 2mnc \int_{-x}^{+x} dx \left\{ (a - x)^{-2} - (a + x)^{-2} - \frac{1}{2}c^2 [(a - x)^{-4} - (a + x)^{-4}] \right. \\
\left. + \frac{1 \cdot 3}{1 \cdot 2 \cdot 2^2} c^4 [(a - x)^{-6} - (a + x)^{-6}] - \dots \right\}$$

Das allgemeine Glied der eingeklammerten Reihe ist

$$\pm \frac{1 \cdot 3 \cdot 5 \dots (2t - 3)}{1 \cdot 2 \cdot 3 \dots (t - 1) \cdot 2^{t-1}} c^{2t-2} [(a - x)^{-2t} - (a + x)^{-2t}]$$

Nun ist

$$(a - x)^{-2t} = \frac{1}{a^{2t}} + \frac{2t}{1} \cdot \frac{x}{a^{2t+1}} + \frac{2t(2t+1)}{1 \cdot 2} \cdot \frac{x^2}{a^{2t+2}} + \frac{2t(2t+1)(2t+2)}{1 \cdot 2 \cdot 3} \cdot \frac{x^3}{a^{2t+3}} + \dots \\
(a + x)^{-2t} = \frac{1}{a^{2t}} - \frac{2t}{1} \cdot \frac{x}{a^{2t+1}} + \frac{2t(2t+1)}{1 \cdot 2} \cdot \frac{x^2}{a^{2t+2}} - \frac{2t(2t+1)(2t+2)}{1 \cdot 2 \cdot 3} \cdot \frac{x^3}{a^{2t+3}} + \dots \\
(a - x)^{-2t} - (a + x)^{-2t} = 4t \left\{ \frac{x}{a^{2t+1}} + \frac{(2t+1)(2t+2)}{1 \cdot 2 \cdot 3} \cdot \frac{x^3}{a^{2t+3}} + \frac{(2t+1)(2t+2) \dots (2t+4)}{1 \cdot 2 \cdot 3 \cdot 4 \cdot 5} \cdot \frac{x^5}{a^{2t+5}} \right\}$$

L I

Multipliziert man diese Reihe mit $x^r dx$, und integrirt, so erhält man

$$4^t \left\{ \frac{x^{r+2}}{(r+2)a^{2t+1}} + \frac{(2t+1)(2t+2)x^{r+4}}{1.2.3(r+4)a^{2t+3}} + \frac{(2t+1)(2t+2)\dots(2t+4).x^{r+6}}{1.2.3.4.5(r+6)a^{2t+5}} + \dots \right\}$$

Multipliziert man dieses Integral mit $\pm 2mnc \times \frac{1.3.5\dots(2t-3)}{1.2.3\dots(t-1).2^{t-1}} c^{2t-1}$, und

setzt nachgerade $t = 1, t = 2, t = 3$ u. s. w., so erhält man

$$\begin{aligned} K = & 8mnc \left\{ \frac{x^{r+2}}{(r+2)a^3} + \frac{3.4.x^{r+4}}{1.2.3(r+4)a^5} + \frac{3.4.5.6.x^{r+6}}{1.2\dots5(r+6)a^7} + \dots \right\} \\ & - 8mnc^3 \left\{ \frac{x^{r+2}}{(r+2)a^5} + \frac{5.6.x^{r+4}}{1.2.3(r+4)a^7} + \frac{5.6.7.8.x^{r+6}}{1.2\dots5(r+6)a^9} + \dots \right\} \\ & + 9mnc^5 \left\{ \frac{x^{r+2}}{(r+2)a^7} + \frac{7.8.x^{r+4}}{1.2.3(r+4)a^9} + \frac{7.8.9.10.x^{r+6}}{1.2\dots5(r+6)a^{11}} + \dots \right\}. \end{aligned}$$

Der erste Theil dieses Ausdruckes ist das Doppelte der Reihe \mathfrak{A} (S. 144).

Zusatz. Setzet man in Formel I. $a = x = CA$, also das Theilchen D in Berührung mit dem Magneten, so wird $z = 90^\circ$, also $\tan(45^\circ + \frac{1}{2}z) = \infty$, folglich K unendlich groß, gerade wie bey dem linearen Magneten.

§ 50. Aufgabe. Die Größe derjenigen Kraft zu finden, womit ein rechtwinkliger prismatischer Magnet von unendlich kleiner Dicke auf ein magnetisches Theilchen wirkt, das sich in seinem verlängerten Aequator befindet.

GEKH (Fig. 39) sey der Magnet, FI sein Aequator, AB seine Axe; in D sey ein magnetisches Theilchen, das vom Theilchen K nach der Richtung DK angezogen, und mit einer eben so großen Kraft vom Theilchen H nach der Richtung DM abgestossen wird. Von beiden Kräften getrieben, wird es sich also in der Linie DL bewegen, die den Winkel MDK halbirt, also mit GE und HK parallel ist.

I. Ist $DF = b$, $FI = EK = y$, $LDE = DEF = q'$, $LDK = DKF = q$; ist ferner diejenige Kraft, womit der halbe Magnet nach der Richtung DL wirkt, $= v$, so findet sich

$$ddv = \frac{mnx^r dx \cdot dy \cdot \cos q}{DK^2}.$$

Nun ist $DK = IK \cdot \sec DKI = x \cdot \sec q$; ferner $DI = IK \cdot \tan DEI$, d. i. $b + y = x \cdot \tan q$, also $dy = x \cdot d \tan q = x \cdot \sec^2 q \cdot dq$; setzt man die Wirkung des halben Magneten $GFIH = v'$, so wird $v + v' = 2v$. Setzet man diese Werthe in die obige Gleichung ein, so erhält man

$$ddK' = \frac{2mnx^r dx \cdot \cos q \cdot x \sec^2 q \cdot dq}{x^2 \cdot \sec^2 q} = 2mnx^{r-1} dx \cdot \cos q \cdot dq,$$

also

$$dK' = 2mnx^{r-1} dx \cdot \sin q + C = 2mnx^{r-1} dx (\sin q - \sin q').$$

Setzet man den Abstand des Theilchens vom Mittelpunkte des Magneten oder die Linie $DC = a$, die halbe Breite des Magneten $FC = IC = c$, so ist $FE = IK = DF \cdot \tan EDF = DI \cdot \tan KDI$, d. i. $x = (a' - c) \cot q'$ $= (a + c) \cot q$; hieraus findet sich $dx = -\frac{(a - c) \cdot dq'}{\sin^2 q'} = -\frac{(a + c) \cdot dq}{\sin^2 q}$

und $x^{r-1} dx = -\frac{(a - c)^r \cdot (\cot q')^{r-1} dq'}{\sin^2 q'} = -\frac{(a + c)^r \cdot (\cot q)^{r-1} dq}{\sin^2 q}$. Setzet

man diese Werthe in die Gleichung ein, so erhält man

$$dK' = -2mn \left\{ \frac{(a + c)^r \cdot (\cot q)^{r-1} \cdot dq}{\sin q} - \frac{(a - c)^r \cdot (\cot q')^{r-1} \cdot dq'}{\sin q'} \right\},$$

und wenn r angenommen wird $= 2$

$$dK' = -2mn \left\{ \frac{(a + c)^2 \cdot \cos q \cdot dq}{\sin^2 q} - \frac{(a - c)^2 \cdot \cos q' \cdot dq'}{\sin^2 q'} \right\},$$

folglich

$$\begin{aligned} K &= 2mn \left\{ \frac{(a + c)^2}{\sin q} - \frac{(a - c)^2}{\sin q'} + C' \right\} \\ &= 2mn [(a + c)^2 \cdot \operatorname{cosec} q - (a - c)^2 \cdot \operatorname{cosec} q' - (a + c)^2 + (a - c)^2] \\ &= 2mn [(a + c)^2 \cdot \operatorname{cosec} q - (a - c)^2 \cdot \operatorname{cosec} q' - 4ac]. \end{aligned}$$

II. Will man diese Formel in Reihen entwickeln, so ist nach I.

$$dK' = 2mnx^{r-1} dx (\sin q - \sin q').$$

Aber $\sin q = \frac{DI}{DK} = \frac{a + c}{[(a + c)^2 + x^2]^{\frac{1}{2}}}$, $\sin q' = \frac{a - c}{[(a - c)^2 + x^2]^{\frac{1}{2}}}$; also

$$\begin{aligned}\sin q &= (a+c) \left\{ \frac{1}{a+c} - \frac{1}{1.2^1} \frac{x^2}{(a+c)^3} + \frac{1.3}{1.2.2^2} \frac{x^4}{(a+c)^5} - \frac{1.3.5}{1.2.3.2^3} \frac{x^6}{(a+c)^7} + \right\} \\ \sin q' &= (a-c) \left\{ \frac{1}{a-c} - \frac{1}{1.2^1} \frac{x^2}{(a-c)^3} + \frac{1.3}{1.2.2^2} \frac{x^4}{(a-c)^5} - \frac{1.3.5}{1.2.3.2^3} \frac{x^6}{(a-c)^7} + \right\} \\ \sin q - \sin q' &= \frac{1.x^2}{1.2^1} [(a-c)^{-3} - (a+c)^{-3}] - \frac{1.3.x^4}{1.2.2^2} [(a-c)^{-5} - (a+c)^{-5}] \\ &\quad + \frac{1.3.5.x^6}{1.2.3.2^3} [(a-c)^{-7} - (a+c)^{-7}] - \\ &= \frac{1.x}{1.2^1} D_2 - \frac{1.3.x^3}{1.2.2^2} D_4 + \frac{1.3.5.x^5}{1.2.3.2^3} D_6 -\end{aligned}$$

wenn D_2, D_4, D_6 die eingeklammerten Größen bezeichnet. Multipliciret man diese Reihe mit $2mnx^{r+1}dx$, und integriret, so bekommt man

$$K' = 2mn \left(\frac{x^{r+2}}{1.2^1(r+2)} \cdot D_2 - \frac{1.3.x^{r+4}}{1.2.2^2(r+4)} \cdot D_4 + \frac{1.3.5.x^{r+6}}{1.2.3.2^3(r+6)} \cdot D_6 - \right).$$

Löset man die Größen D_2, D_4, D_6 in Reihen auf, bekommt man

$$\begin{aligned}D_2 &= 2 \left(\frac{2c}{a^3} + \frac{2.3.4.c^3}{1.2.3.a^5} + \frac{2.3...6.c^5}{1.2...3.a^7} + \right) \\ D_4 &= 2 \left(\frac{4c}{a^5} + \frac{4.5.6.c^3}{1.2.3.a^7} + \frac{4.5...8.c^5}{1.2...3.a^9} + \right) \\ D_6 &= 2 \left(\frac{6c}{a^7} + \frac{6.7.8.c^3}{1.2.3.a^9} + \frac{6.7...10.c^5}{1.2...3.a^{11}} + \right).\end{aligned}$$

Setzet man diese Werthe in obige Reihe und ordnet die Glieder nach den Potenzen von c , so erhält man

$$\begin{aligned}K' &= 4mnc \left(\frac{1.x^{r+2}}{(r+2)a^3} - \frac{1.3.x^{r+4}}{1.2^1(r+4)a^5} + \frac{1.3.5.x^{r+6}}{1.2.2^2(r+6)a^7} - \right) \\ &\quad + \frac{4mnc^3}{1.2.3} \left(\frac{1.3.4.x^{r+2}}{(r+2)a^5} - \frac{1.3.5.6.x^{r+4}}{1.2^1(r+4)a^7} + \frac{1.3.5.7.8.x^{r+6}}{1.2.2^2(r+6)a^9} - \right) \\ &\quad + \frac{4mnc^5}{1.2...5} \left(\frac{3.4.5.6.x^{r+2}}{(r+2)a^7} - \frac{3.5.6.7.8.x^{r+4}}{1.2^1(r+4)a^9} + \frac{3.5.7.8.9.10.x^{r+6}}{1.2.2^2(r+6)a^{11}} - \right).\end{aligned}$$

Die erste dieser Reihen, die multiplicirt ist mit c , ist das Doppelte der Reihe \mathfrak{B} (S. 144). Wird der hier gefundene Werth von K' verglichen mit dem Werthe von K im vorigen §., so ist sichtlich, daß in großen Abständen

bey dem rectangulären Magneten von zwey Dimensionen die Intensität am Pole doppelt so groß wird als am Aequator, gerade wie bey dem lineären Magneten.

Zusatz 1. In großen Abständen verhält sich also bey dem rectangulären Magneten die Totalwirkung umgekehrt wie die Cuben der Abstände, gerade wie bey dem lineären.

Zusatz 2. Eine Formel für den Winkel ω für einen solchen rectangulären Magneten ist von *Lambert* gefunden in *Mem. de l'academie des Sc. à Berlin A. 1766.*

§. 51. Aufgabe. Eine Formel für die Größe derjenigen Kraft zu finden, womit ein cylindrischer Magnet auf ein magnetisches Theilchen wirkt, das sich in seiner verlängerten Axe befindet.

I. EDGI (Fig. 40) sey der Magnet, BA seine Axe, der Kreis EH sein Aequator, P das magnetische Theilchen, dessen Abstand vom Mittelpunkte PC $= a$. In D sey ein Theilchen, dessen Abstand vom Aequator DE $= AC = x$, und dessen Abstand von der Axe DA $= y$. Die Intensität dieses Theilchens wird (nach §. 48) $= mn x^2$; setzt man den Winkel DPA $= s$, so wird dessen Wirkung auf das Theilchen P, nach der Richtung PA, $= \frac{mn x^2 dx \cdot dy \cdot \cos s}{PD^3}$,

und die Wirkung aller Theilchen in der Kreisperipherie DG $= \frac{2mn\pi y dy \cdot x^2 dx \cdot \cos s}{PD^3}$.

Nun ist PD $= AP \cdot \sec DPA = (a - x) \sec s$; setzt man die Wirkung des halben Magneten EDGH $= v$, so wird folglich

$$(A) \quad d dv = \frac{2mn\pi y dy \cdot x^2 dx \cdot \cos s}{(a - x)^2 \cdot \sec^2 s} = \frac{2mn\pi y dy \cdot x^2 dx \cdot \cos^3 s}{(a - x)^2}.$$

Ferner ist $y = (a - x) \tan s$, $dy = (a - x) \cdot d \tan s = \frac{(a - x) ds}{\cos^2 s}$,

$$y dy = \frac{(a - x)^2 \cdot \tan s \cdot ds}{\cos^2 s} = \frac{(a - x)^2 \cdot \sin s \cdot ds}{\cos^3 s}; \text{ also}$$

$$d dv = 2mn\pi x^2 dx \cdot \sin s \cdot ds,$$

$$(B) \quad dv = - 2mn\pi x^2 dx (\cos s + C) = 2mn\pi x^2 dx (1 - \cos s).$$

Nun ist $AP = AD \cdot \cot DPA$, d. i. wenn der Radius des Cylinders AD gesetzt wird $= c$, $a - x = c \cdot \cot s$, also $x = a - c \cdot \cot s$ und $dx = c \cdot ds \cdot \operatorname{cosec}^2 s$, folglich

$$(C) \quad dv = 2mn\pi(a - c \cdot \cot s)^r (1 - \cos s) \cdot \operatorname{cosec}^2 s \cdot ds.$$

Setzet man in dieser Gleichung $r = 2$, und integriret, so findet man

$$v = 2mn\pi \left[-a^2 \cot s + \frac{2}{3}ac \operatorname{cosec}^2 s - \frac{1}{3}c^2 \cot^3 s + a^2 \operatorname{cosec} s \right. \\ \left. + ac \left(\log \cot \frac{1}{2}s - \cot^2 s \cdot \cos s - \cos s \right) + c^2 \left(\frac{1}{3} \operatorname{cosec}^3 s - \operatorname{cosec} s \right) + C \right].$$

Für $x = 0$ verwandelt sich der Winkel DPA in EPC ; wird der letzte Winkel gesetzt $= s''$, so ist

$$v = 2mn\pi \left[a^2 (\cot s'' - \cot s) + \frac{2}{3}ac (\operatorname{cosec}^2 s - \operatorname{cosec}^2 s'') - \frac{1}{3}c^2 (\cot^3 s - \cot^3 s'') \right. \\ \left. + a^2 (\operatorname{cosec} s - \operatorname{cosec} s'') + ac \log \frac{\cot \frac{1}{2}s}{\cot \frac{1}{2}s''} - ac (\cot s \cdot \operatorname{cosec} s - \cot s'' \cdot \operatorname{cosec} s'') \right. \\ \left. + \frac{1}{3}c^2 (\operatorname{cosec}^3 s - \operatorname{cosec}^3 s'') - c^2 (\operatorname{cosec} s - \operatorname{cosec} s'') \right].$$

Setzet man die Wirkung der Halbaxe $FEH = v'$, und den Winkel $FPB = s'$, so findet sich auf dieselbe Weise

$$ddv' = 2mn\pi x^r dx \cdot \sin s' \cdot ds' \\ dv' = 2mn\pi x^r dx (1 - \cos s') \\ = -2mn\pi (c \cdot \cot s' - a)^2 (1 - \cos s') \cdot \operatorname{cosec}^2 s' \cdot ds'$$

$$v' = -2mn\pi \left[-a^2 \cot s' + \frac{2}{3}ac \cdot \operatorname{cosec}^2 s' - \frac{1}{3}c^2 \cot^3 s' + a^2 \operatorname{cosec} s' \right. \\ \left. + ac \left(\log \cot \frac{1}{2}s' - \cot^2 s' \cdot \cos s' - \cos s' \right) + c^2 \left(\frac{1}{3} \operatorname{cosec}^3 s' - \operatorname{cosec} s' \right) + C' \right];$$

also $K = v - v'$

$$= 2mn\pi \left[a^2 (2 \cot s'' - \cot s - \cot s') + a^2 (\operatorname{cosec} s + \operatorname{cosec} s' - 2 \operatorname{cosec} s'') \right. \\ \left. + \frac{2}{3}ac (\operatorname{cosec}^2 s + \operatorname{cosec}^2 s' - 2 \operatorname{cosec}^2 s'') + ac \log \frac{\cot \frac{1}{2}s \cdot \cot \frac{1}{2}s'}{\cot^2 \frac{1}{2}s''} \right. \\ \left. - ac (\cot s \cdot \operatorname{cosec} s + \cot s' \cdot \operatorname{cosec} s' - 2 \cot s'' \cdot \operatorname{cosec} s'') \right. \\ \left. + \frac{1}{3}c^2 (\operatorname{cosec}^3 s + \operatorname{cosec}^3 s' - 2 \operatorname{cosec}^3 s'') - c^2 (\operatorname{cosec} s + \operatorname{cosec} s' - 2 \operatorname{cosec} s'') \right]. \\ = 2mn\pi \left[(a^2 - c^2) (\operatorname{cosec} s + \operatorname{cosec} s' - 2 \operatorname{cosec} s'') + \frac{2}{3}ac (\operatorname{cosec}^2 s + \operatorname{cosec}^2 s' - 2 \operatorname{cosec}^2 s'') \right. \\ \left. + ac \left(\log \frac{\cot \frac{1}{2}s \cdot \cot \frac{1}{2}s'}{\cot^2 \frac{1}{2}s''} - \cot s \cdot \operatorname{cosec} s - \cot s' \cdot \operatorname{cosec} s' + 2 \cot s'' \cdot \operatorname{cosec} s'' \right) \right. \\ \left. + \frac{1}{3}c^2 (\operatorname{cosec}^3 s + \operatorname{cosec}^3 s' - 2 \operatorname{cosec}^3 s'') \right].$$

II. Will man diese Formel in Reihen aufgelöst haben, so ist (B)

$$dv = 2mn\pi x^r dx (1 - \cos s), \quad dv' = 2mn\pi x^r dx (1 - \cos s').$$

$$\begin{aligned}
& - \frac{1 \cdot 3}{1 \cdot 2 \cdot 2^1} amnc^4 \pi \left\{ \frac{2}{a^2 - x^2} - \frac{2(a^2 + x^2)}{(a^2 - x^2)^2} + \frac{2a^2(a^2 + 3x^2)}{3(a^2 - x^2)^3} - \frac{2}{3a^2} \right\} \\
& + \frac{1 \cdot 3 \cdot 5}{1 \cdot 2 \cdot 3 \cdot 2^2} amnc^6 \pi \left\{ \frac{2(a^2 + 3x^2)}{3(a^2 - x^2)^2} - \frac{a^4 + 6a^2x^2 + x^4}{(a^2 - x^2)^2} + \frac{a[(a+x)^5 + (a-x)^5]}{5(a^2 - x^2)^5} - \frac{1}{15a^4} \right\}
\end{aligned}$$

III. Für größere Abstände kann der Werth von K durch noch bequemere Reihen auf dieselbe Weise gefunden werden wie in §. 49 III. Setzet man nämlich in der daselbst gefundenen Reihe für $\int x^r dx [(a-x)^{-2t} - (a+x)^{-2t}]$, nachgerade $t = 1$, $t = 2$, $t = 3$, und multipliciret die gefundenen Werthe

mit $mn\pi c^2$, $-\frac{1 \cdot 3}{1 \cdot 2 \cdot 2^1} mn\pi c^4$, $\frac{1 \cdot 3 \cdot 5}{1 \cdot 2 \cdot 3 \cdot 2^2} mn\pi c^6$, so erhält man

$$\begin{aligned}
K &= 4mn\pi c^2 \left\{ \frac{x^{r+2}}{(r+2)a^3} + \frac{3 \cdot 4 \cdot x^{r+4}}{1 \cdot 2 \cdot 3(r+4)a^5} + \frac{3 \cdot 4 \cdot 5 \cdot 6 \cdot x^{r+6}}{1 \cdot 2 \cdot 3 \cdot 4 \cdot 5(r+6)a^7} + \dots \right\} \\
&- \frac{1 \cdot 3 \cdot 8}{1 \cdot 2 \cdot 2^1} mn\pi c^4 \left\{ \frac{x^{r+2}}{(r+2)a^5} + \frac{5 \cdot 6 \cdot x^{r+4}}{1 \cdot 2 \cdot 3(r+4)a^7} + \frac{5 \cdot 6 \cdot 7 \cdot 8 \cdot x^{r+6}}{1 \cdot 2 \cdot 3 \cdot 4 \cdot 5(r+6)a^9} + \dots \right\} \\
&+ \frac{1 \cdot 3 \cdot 5 \cdot 12}{1 \cdot 2 \cdot 3 \cdot 2^2} mn\pi c^6 \left\{ \frac{x^{r+2}}{(r+2)a^7} + \frac{7 \cdot 8 \cdot x^{r+4}}{1 \cdot 2 \cdot 3(r+4)a^9} + \frac{7 \cdot 8 \cdot 9 \cdot 10 \cdot x^{r+6}}{1 \cdot 2 \cdot 3 \cdot 4 \cdot 5(r+6)a^{11}} + \dots \right\}
\end{aligned}$$

Zusatz. Setzet man in I. CP oder $a = x$, so wird $DPA = s = 90^\circ$, folglich $\operatorname{cosec} s = \cot \frac{1}{2}s = 1$; diese Formel giebt also in der Berührung keinen unendlichen Werth für K .

§. 52. Eine Formel für diejenige Kraft zu suchen, womit ein cylindrischer Magnet auf ein magnetisches Theilchen wirkt, das sich in seinem verlängerten Aequator befindet.

I. LHKM (Fig. 41) sey der Magnet, BCA seine Axe, DCN sein Aequator; in P sey ein magnetisches Theilchen, das vom halben Magneten DHKN angezogen und vom andern halben Magneten LDNM abgestoßen wird; getrieben von diesen beiden gleichgroßen Kräften, wird es sich im ersten Augenblicke in der Richtung PI bewegen, welche mit der Axe AB des Cylinders parallel ist. Man verbinde den Punkt P mit dem Mittelpunkte C durch die Linie PC, lege eine Ebene durch PC und CA, so wird diese die Seitenflächen des Cylinders in den Linien LH und MK, und dessen Endflächen in den Linien HK und LM schneiden. In der Endfläche HQKR errichte man durch den Mittelpunkt A die Linie QR senkrecht auf HK, ziehe GS parallel mit QR,

ziehe in der Fläche PIAC die Linien PI und FE parallel mit AC (also senkrecht gegen AI), und setze $AF = CE = y$, $GF = FS = z$, $EF = PI = x$. Die Wirkung des Theilchens G nach der Richtung PI wird also seyn

$$= \frac{mnx^r dx \cdot dy \cdot dz \cdot \cos GPI}{PG^2}.$$

II. Da $\cos GPI = \frac{PI}{GP} = \frac{x}{GP}$, und $GP = (PF^2 + FG^2)^{\frac{1}{2}} = (A^2 + z^2)^{\frac{1}{2}}$, wenn PF gesetzt wird $= A$, so wird obiger Ausdruck, wenn diese Werthe eingesetzt werden, zu folgendem verändert

$$\frac{mnx^{r+1} dx \cdot dy \cdot dz}{PG^3} = \frac{mnx^{r+1} dx \cdot dy \cdot dz}{(A^2 + z^2)^{\frac{3}{2}}}.$$

III. Integrirete man diesen Ausdruck, und setze $y = AH = c$, d. i. gleich dem Radius des Cylinders, so bekäme man die Anziehung des Cylinderstückes TCDQAH; aber da die Wirkung der Cylinderstücke TCDQAH und DCVHAR gleich groß seyn muß, so wird die Wirkung des Halbcylinders TDVQHR gleich dem doppelten Integrale der obigen Gröfse. Da endlich die Abstofsung des Halbcylinders XLYTDV gleich ist der Anziehung des Halbcylinders TDVQHR, so wird, wenn die Wirkung des halben Magneten XLYQHR gesetzt wird $= v$,

$$d^3v = \frac{4mnx^{r+1} dx \cdot dy \cdot dz}{(A^2 + z^2)^{\frac{3}{2}}}.$$

IV. Auf dieselbe Weise würde man finden, wenn die Wirkung des halben Cylinders XYMQRK gesetzt wird $= v'$, $AF' = y$, $G'F' = z$, $PF' = A_1$,

$$d^3v' = \frac{4mnx^{r+1} dx \cdot dy \cdot dz}{(A_1^2 + z^2)^{\frac{3}{2}}}.$$

V. Nun ist

$$(A^2 + z^2)^{-\frac{3}{2}} = A^{-3} - \frac{3}{2}A^{-5}z^2 + \frac{3 \cdot 5}{1 \cdot 2 \cdot 2^2}A^{-7}z^4 - \frac{3 \cdot 5 \cdot 7}{1 \cdot 2 \cdot 3 \cdot 2^3}A^{-9}z^6 +$$

$$(A_1^2 + z^2)^{-\frac{3}{2}} = A_1^{-3} - \frac{3}{2}A_1^{-5}z^2 + \frac{3 \cdot 5}{1 \cdot 2 \cdot 2^2}A_1^{-7}z^4 - \frac{3 \cdot 5 \cdot 7}{1 \cdot 2 \cdot 3 \cdot 2^3}A_1^{-9}z^6 +$$

M m

Multipliziert man diese Reihen mit dx und integriert, so bekommt man

$$d^2x = \frac{1}{2} \cos x^{1/2} dx \cdot d^2 \left(x^{1/2} = \frac{1}{2} x^{-1/2} + \frac{3}{2 \cdot 5 \cdot 2^2} x^{3/2} - \frac{3 \cdot 5 \cdot 7}{2 \cdot 4 \cdot 5 \cdot 2^3} x^{5/2} \right)$$

$$d^2x = \frac{1}{2} \cos x^{1/2} dx \cdot d^2 \left(x^{1/2} = \frac{1}{2} x^{-1/2} + \frac{3}{2 \cdot 5 \cdot 2^2} x^{3/2} - \frac{3 \cdot 5 \cdot 7}{2 \cdot 4 \cdot 5 \cdot 2^3} x^{5/2} \right).$$

VI. Wird die Wirkung des ganzen Magnetes gesucht mit E_1 , so ist E^2 mit $x + x^3$ und

$$E^2 = \frac{1}{2} \cos x^{1/2} dx \cdot d^2 \left((x^{1/2} + x^{3/2}) = \frac{1}{2} x^{-1/2} + \frac{3}{2 \cdot 5 \cdot 2^2} x^{3/2} + \frac{3}{2 \cdot 5 \cdot 2^2} x^{3/2} + \frac{3 \cdot 5 \cdot 7}{2 \cdot 4 \cdot 5 \cdot 2^3} x^{5/2} - \frac{3 \cdot 5 \cdot 7}{2 \cdot 4 \cdot 5 \cdot 2^3} x^{5/2} \right).$$

VII. Nun ist E^2 mit E^2 mit $E^2 + E^2$ mit $(x + x^3) + (x^3 + x^5)$ mit $(E^2)^2$ mit $(E^2)^2 + E^2$ mit $(x + x^3) + (x^3 + x^5)$ also

$$E^2 = \frac{1}{2} \cos (x + x^3) = \frac{1}{2} x^{1/2} (x + x^3) + \frac{3 \cdot 5}{2 \cdot 5 \cdot 2^2} x^{3/2} (x + x^3) - \frac{3 \cdot 5 \cdot 7}{2 \cdot 4 \cdot 5 \cdot 2^3} x^{5/2} (x + x^3) +$$

$$E^2 = \frac{1}{2} \cos (x + x^3) = \frac{1}{2} x^{1/2} (x + x^3) + \frac{3 \cdot 5}{2 \cdot 5 \cdot 2^2} x^{3/2} (x + x^3) - \frac{3 \cdot 5 \cdot 7}{2 \cdot 4 \cdot 5 \cdot 2^3} x^{5/2} (x + x^3) +$$

Bezeichnet man $(x + x^3) + (x + x^3)^2$ mit E_1 , so wird

$$E^2 + E^2 = \frac{1}{2} x^{1/2} E_1 + \frac{3 \cdot 5}{2 \cdot 5 \cdot 2^2} x^{3/2} E_1 - \frac{3 \cdot 5 \cdot 7}{2 \cdot 4 \cdot 5 \cdot 2^3} x^{5/2} E_1 +$$

Auf ähnliche Weise würde man finden

$$E^2 + E^2 = \frac{1}{2} x^{1/2} E_1 + \frac{3 \cdot 5}{2 \cdot 5 \cdot 2^2} x^{3/2} E_1 -$$

$$E^2 + E^2 = \frac{1}{2} x^{1/2} E_1 -$$

$$E^2 + E^2 = \frac{1}{2} x^{1/2} E_1 -$$

VIII. Also ist

$$d^2 E^2 = \frac{1}{2} \cos x^{1/2} dx \cdot d^2 \left(E_1 = \frac{1}{2} x^{1/2} E_1 + \frac{3 \cdot 5}{2 \cdot 5 \cdot 2^2} x^{3/2} E_1 - \frac{3 \cdot 5 \cdot 7}{2 \cdot 4 \cdot 5 \cdot 2^3} x^{5/2} E_1 \right) +$$

$$= \frac{1}{2} \cos x^{1/2} dx \cdot d^2 \left(E_1 = \frac{1}{2} x^{1/2} E_1 + \frac{3 \cdot 5}{2 \cdot 5 \cdot 2^2} x^{3/2} E_1 - \right) +$$

$$+ \frac{3 \cdot 5}{2} \cos x^{1/2} dx \cdot d^2 \left(E_1 = \frac{1}{2} x^{1/2} E_1 + \right) +$$

$$- \frac{3 \cdot 5}{2} \cos x^{1/2} dx \cdot d^2 (E_1 = \dots) +$$

IX. Ferner ist

$$(a-y)^{-p} = \frac{1}{a^p} + \frac{py}{a^{p+1}} + \frac{p(p+1)y^2}{1.2a^{p+2}} + \frac{p(p+1)(p+2)y^3}{1.2.3a^{p+3}} + \frac{p(p+1)(p+3)y^4}{1.2.3.4a^{p+4}}$$

$$(a+y)^{-p} = \frac{1}{a^p} - \frac{py}{a^{p+1}} + \frac{p(p+1)y^2}{1.2a^{p+2}} - \frac{p(p+1)(p+2)y^3}{1.2.3a^{p+3}} + \frac{p(p+1)(p+3)y^4}{1.2.3.4a^{p+4}}$$

$$S_p = 2 \left(\frac{1}{a^p} + \frac{p(p+1)y^2}{1.2a^{p+2}} + \frac{p(p+1)(p+3)y^4}{1.2.3.4a^{p+4}} + \dots \right).$$

Setzet man in dieser Reihe nachgerade $p = 3, 5, 7, 9$, so erhält man die Werthe von S_3, S_5, S_7 u. s. w.

X. Nun ist $z = GF = G'F' = \sqrt{AG^2 - AF^2} = \sqrt{c^2 - y^2}$, also $z^t = (c^2 - y^2)^{\frac{t}{2}}$; und

$$\int z^t S_p dy = \frac{2}{a^p} \int (c^2 - y^2)^{\frac{t}{2}} dy + \frac{2p(p+1)}{1.2a^{p+2}} \int (c^2 - y^2)^{\frac{t}{2}} y^2 dy + \frac{2p(p+1)(p+3)}{1.2.3.4a^{p+4}} \int (c^2 - y^2)^{\frac{t}{2}} y^4 dy.$$

Die Glieder in der obigen Reihe haben also folgende Form

$$C. \int (c^2 - y^2)^{\frac{t}{2}} y^{2v} dy.$$

XI. Nun ist

$$\begin{aligned} \int (c^2 - y^2)^{\frac{t}{2}} y^{2v} dy &= - \frac{y^{2v-1} \sqrt{(c^2 - y^2)^{t+2}}}{(t+2v+1)} - \frac{(2v-1)c^2 y^{2v-3} \sqrt{(c^2 - y^2)^{t+2}}}{(t+2v+1)(t+2v-1)} - \dots \\ &- \frac{(2v-1)(2v-3)\dots 5.3 c^{2v-2} y \sqrt{(c^2 - y^2)^{t+2}}}{(t+2v+1)(t+2v-1)(t+2v-3)\dots(t+3)} \\ &+ \frac{(2v-1)(2v-3)\dots 5.3.1 c^{2v}}{(t+2v+1)(t+2v-1)(t+2v-3)\dots(t+5)} \int dy \sqrt{(c^2 - y^2)^t}. \end{aligned}$$

Ferner ist

$$\begin{aligned} \int dy \sqrt{(c^2 - y^2)^t} &= \frac{y \sqrt{(c^2 - y^2)^t}}{t+1} + \frac{tc^2 y \sqrt{(c^2 - y^2)^{t-2}}}{(t+1)(t-1)} + \frac{t(t-2)c^4 y \sqrt{(c^2 - y^2)^{t-4}}}{(t+1)(t-1)(t-3)} + \dots \\ &+ \frac{t(t-2)(t-4)\dots 7.5 c^{t-3} y \sqrt{(c^2 - y^2)^3}}{(t+1)(t-1)(t-3)\dots 6.4} + \frac{t(t-2)(t-4)\dots 7.5.3 c^{t-1}}{(t+1)(t-1)(t-3)\dots 6.4} \int dy \sqrt{(c^2 - y^2)}. \end{aligned}$$

Endlich ist

$$\int dy \sqrt{c^2 - y^2} = \frac{1}{2} y \sqrt{c^2 - y^2} + \frac{c^2}{a} \text{Arc} \left(\sin = \frac{y}{c} \right).$$

Setzet man in diesen Reihen $y = c$, so verschwinden alle Glieder bis auf das letzte; also wird der Werth des obigen Integrales, wenn $y = c$

$$\frac{(2\nu-1)(2\nu-3)\dots 5\cdot 3\cdot 1c^{2\nu}}{(t+2\nu+1)(t+2\nu-1)\dots(t+3)} \cdot \frac{t(t-2)(t-4)\dots 7\cdot 5\cdot 3c^{t-1}}{(t+1)(t-1)(t-3)\dots 6\cdot 4} \cdot \frac{c^2}{2} \operatorname{Arc}(\sin = 1)$$

$$= \frac{(2\nu-1)(2\nu-3)\dots 3\cdot 1 \cdot t(t-2)(t-4)\dots 5\cdot 3}{(t+2\nu+1)(t+2\nu-1)\dots(t+3)(t+1)(t-1)(t-3)\dots 6\cdot 4} \cdot \frac{c^{2\nu+t+1}\pi}{2}.$$

XII. Setzet man in IX. $p = 3, 5, 7, 9$ u. s. w., so bekommt man die Werthe von S_3, S_5, S_7 u. s. w.; nämlich

$$S_3 = 2\left(\frac{1}{a^3} + \frac{3\cdot 4}{1\cdot 2} \frac{y^2}{a^5} + \frac{3\cdot 4\cdot 5\cdot 6}{1\cdot 2\cdot 3\cdot 4} \frac{y^4}{a^7} + \frac{3\cdot 4\cdot 5\cdot 6\cdot 7\cdot 8}{1\cdot 2\cdot 3\cdot 4\cdot 5\cdot 6} \frac{y^6}{a^9} + \dots\right)$$

$$S_5 = 2\left(\frac{1}{a^5} + \frac{5\cdot 6}{1\cdot 2} \frac{y^2}{a^7} + \frac{5\cdot 6\cdot 7\cdot 8}{1\cdot 2\cdot 3\cdot 4} \frac{y^4}{a^9} + \dots\right)$$

$$S_7 = 2\left(\frac{1}{a^7} + \frac{7\cdot 8}{1\cdot 2} \frac{y^2}{a^9} + \dots\right)$$

$$S_9 = 2\left(\frac{1}{a^9} + \dots\right)$$

Multipliziert man diese Reihen mit z, z^3, z^5 u. s. w., und integrirt, so bekommt man

$$\begin{array}{l|l} \int z S_3 dy = \pi \left(\frac{c^2}{2a^3} + \frac{3c^4}{4a^5} + \frac{15c^6}{16a^7} + \dots \right) & \int z^3 S_3 dy = \pi \left(\frac{3c^4}{8a^5} + \frac{15c^6}{16a^7} + \dots \right) \\ \int z S_5 dy = \pi \left(\frac{c^2}{2a^5} + \frac{15c^4}{8a^7} + \frac{35c^6}{8a^9} + \dots \right) & \int z^3 S_5 dy = \pi \left(\frac{3c^4}{8a^7} + \frac{7c^6}{4a^9} + \dots \right) \\ \int z S_7 dy = \pi \left(\frac{c^2}{2a^7} + \frac{7c^4}{2a^9} + \dots \right) & \int z^3 S_7 dy = \pi \left(\frac{3c^4}{8a^9} + \dots \right) \\ \int z S_9 dy = \pi \left(\frac{c^2}{2a^9} + \dots \right) & \int z^5 S_7 dy = \frac{5\pi c^6}{16a^7}, \int z^5 S_9 dy = \frac{5\pi c^8}{16a^9}. \end{array}$$

XIII. Multipliziert man diese Integralen mit den gehörigen Coefficienten (VIII.), ordnet sie nach den Potenzen von c und x , summirt die gleichartigen, und integrirt von neuem mit Hinsicht auf x , so findet man

$$\begin{aligned} K' = 2mn\pi c^2 & \left(\frac{x^{r+2}}{(r+2)a^3} - \frac{3x^{r+4}}{2(r+4)a^5} + \frac{15x^{r+6}}{8(r+6)a^7} - \frac{35x^{r+8}}{16(r+8)a^9} + \dots \right) \\ & + 2mn\pi c^4 \left(\frac{9x^{r+2}}{8(r+2)a^5} - \frac{75x^{r+4}}{16(r+4)a^7} + \frac{735x^{r+6}}{64(r+6)a^9} - \dots \right) \\ & + 2mn\pi c^6 \left(\frac{75x^{r+2}}{64(r+2)a^7} - \frac{1015x^{r+4}}{128(r+4)a^9} + \dots \right). \end{aligned}$$

Zusatz. Bey dem cylindrischen Magneten verhält sich also die Totalwirkung in großen Abständen umgekehrt wie die Cuben der Abstände, gerade wie bey dem rectangulären und lineären Magneten.

§. 53. Vergleichen man die Reihen in §. 49 III. für einen rectangulären Magneten (einen vierseitigen prismatischen Magneten von unendlich geringer Dicke) mit den Reihen in §. 51 III. für einen cylindrischen Magneten, so ist sichtlich, daß diese Reihen, bis auf die Coefficienten, vollkommen einerlei sind. Der Coefficient der ersten Reihe in §. 49 ist $= 8mnc$, der ersten Reihe §. 51 $= 4mn\pi c^2$. Ist c sehr klein im Vergleiche mit der Länge x und dem Abstände a des Magneten, so können diejenigen Reihen, die mit höheren Potenzen von c multiplicirt worden, ausser Betracht gelassen werden; dann verhält sich also die Wirkung des rectangulären Magneten zur Wirkung des cylindrischen Magneten $= 8mnc : 4mn\pi c^2 = 2c : \pi c^2$, d. i. wie der Durchmesser in einem Kreise zur Oberfläche des Kreises; mit andern Worten: *wenn die Längen und Intensitäten*) gleich groß sind, verhalten sich die Wirkungen wie die Durchschnittsflächen, d. i. wie die Menge der Theilchen, oder wie der cubische Inhalt.*

Ferner sieht man, daß die erste Reihe in diesen beiden Formeln dieselbe ist, wie die Reihe A (§. 10) für einen lineären Magneten. In großen Abständen hat also die Figur der Endflächen des prismatischen Magneten keinen kenntlichen Einfluß auf die Anziehung oder Abstoßung, und man kann ihn ohne merklichen Fehler als linear betrachten.

Vergleichen man ebenfalls die Reihen in §. 50 II. mit den Reihen in §. 52, so erhellet, daß die erste Reihe an beiden Stellen einerlei, und vollkommen dieselbe sey, wie die Reihe B (§. 10); also ist sichtlich, daß in großen Abständen auch die Intensitäten im magnetischen Aequator sich bey prismatischen Magneten eben so wie bey dem lineären Magneten verhalten. Für prismatische oder cylindrische Magneten gilt also dieselbe Regel, wie für

*) In §. 46 S. 264 ward gezeigt, daß, wenn die Dimensionen der Durchschnittsflächen ungleich sind, auch die Intensitäten ungleich seyen, schwächer nämlich in der größeren Durchschnittsfläche als in der kleineren; also wird diese Voraussetzung selten eintreffen.

lineäre, daß die Totalwirkung vom Aequator nach den Polen zunimmt, und an letzterer Stelle doppelt so groß ist als an ersterer, wenn der Abstand des angezogenen Theilchens vom Mittelpunkte des Magneten an beiden Stellen derselbe ist.

Suchte man auf dieselbe Weise, wie in den vorigen §§., für einen cylindrischen Magneten, an welchem der Radius der Endflächen war $= c$, eine Formel für $\cot \omega$, so würden Zähler und Nenner in dieser Formel in Reihen aufgelöst werden können mit den Coefficienten c^2 , c^4 , c^6 u. s. w., aus welchen die Reihen mit dem Coefficienten c^2 vermuthlich dieselben werden würden, wie die Reihen A , B , C ... \mathfrak{A} , \mathfrak{B} , \mathfrak{C} ... §. 21. Wäre c klein und der Abstand ρ groß, so könnten alle übrigen Reihen ausser Betracht gelassen werden; die ganze obige Theorie für einen lineären Magneten kann also in großen Abständen, wenigstens als Approximation, auf prismatische Magneten von irgend einer Art angewandt werden.

Zusatz. Bezeichnet man die Reihen in §. 51 III. mit F , F' , F'' , die Reihen in §. 52 mit \mathfrak{F} , \mathfrak{F}' , \mathfrak{F}'' , so ist für den cylindrischen Magneten

$$\text{in der Axe } K = 4mn\pi c^2(F - \tfrac{1}{2}c^2F' + \tfrac{1}{8}c^4F'' -)$$

$$\text{im Aequator } K' = 2mn\pi c^2(\mathfrak{F} + c^2\mathfrak{F}' - c^4\mathfrak{F}'' +),$$

und für den lineären $K = 4mn.F$, $K' = 2mn.\mathfrak{F}$ (§. 10). Also verhält sich bey dem cylindrischen Magneten $K:K' = 2(F - \tfrac{1}{2}c^2F' + \tfrac{1}{8}c^4F''):(\mathfrak{F} + c^2\mathfrak{F}' + c^4\mathfrak{F}'')$; bey dem lineären $K:K' = 2F:\mathfrak{F}$; folglich nimmt die magnetische Wirkung vom Aequator nach dem Pole langsamer bey dem cylindrischen zu als bey dem lineären Magneten. Je kleiner c ist, desto mehr nähert sich das erste Verhältniß dem Verhältnisse $2F:\mathfrak{F}$, welches bey dem lineären statt findet.

§. 54 Die Eigenschaft des natürlichen Magneten, Eisen anzuziehen, ist im frühesten Alterthume bekannt gewesen, und wird von *Plato*, *Aristoteles* und *Plinius* erwähnt; *Lucrez* gedenket schon der Zurückstossung des Magneten: woraus erhellet, daß man auch die entgegengesetzten Wirkungen der verschiedenen Pole gekannt habe. Aber dabey blieb die Kenntniß des Magneten bey den Europäern länger als ein Jahrtausend stehen; denn die Polarität, oder die Eigenschaft desselben sich nach Norden zu wenden, wurde erst im eilften oder zwölften Jahrhunderte in Europa bekannt. Die Chinesen haben inzwischen, allem Vermuthen nach, diese Eigenschaft weit früher gekannt;

denn, daß sie den Gebrauch der Compasnnadel nicht von den Europäern erlernt haben, davon zeugt unter andern auch die eigenthümliche Construction ihrer Compasnnadel; und *Gama* fand bereits den Compas bey allen den Arabischen Seefahrenden üblich, mit denen er auf seiner ersten Reise zusammentraf.

§. 55. Zu Ende des sechzehnten Jahrhunderts verfaßte *Gilbert* sein Buch (*de magnete, magneticisque corporibus et de magno magnete tellure physiologia nova*. Lond. 1600), worin er annahm, die Erde sey ein großer kugelförmiger Magnet, und hieraus die Abweichung und Neigung des Magneten zu erklären suchte. Aber die Theorie der Mechanik des Magneten machte durch ihn keinen Fortschritt, und noch weniger durch *Kirchers ars magnetica*, welche, mit Ausnahme einiger Abweichungsbeobachtungen (entlehnt der Schrift des *Edward Wright: certain errors in navigation detected and corrected*, und *Stevini Limenheuretica*), fast nichts enthält als eine Menge abgeschmackter Märchen und unausführbarer Kunststücke*).

§. 56. Im siebzehnten Jahrhunderte gab sich *Descartes* Mühe, einen mechanischen Grund für die magnetischen Wirkungen ausfindig zu machen, und seine doppelten Wirbel wurden in der Folge von *Dalencé*, *du Fay*, *Euler* und *du Tour* vereinfacht, hierauf aber von *Johan* und *Daniel Bernoulli* wieder in der alten Form hervorgerufen. Auch diese Bemühungen krönte kein Erfolg; hätte man, wie *Newton*, die ersten Gründe in ihrer muthmaßlich undurchdringlichen Finsterniß ruhen, und allen an ihnen verschwendeten Scharfsinn an eine genauere Untersuchung der Wirkungsgesetze des Magneten verwandt, wahrscheinlich stände alsdann unsre Kenntniß des Magneten auf einer weit höhern Stufe.

§. 57. Endlich fingen *Hawksbee* (*philos. trans. Y. 1712*) und *Brook Taylor* (ebendasselbst *Y. 1721*) zu Anfange des achtzehnten Jahrhunderts an, das Gesetz für die Stärke der Anziehung in verschiedenen Abständen zu un-

*) So findet man hier z. B. die Abbildung eines Messers, das von einem Manne aus Unvorsichtigkeit verschluckt, aber durch Anwendung eines Pflasters aus Magnetenstaub ihm wieder aus dem Magen gezogen worden; imgleichen, wo ich nicht irre, die Abbildung des Sarges *Muhameds*, der in der Luft schwebend von zweyn Magneten getragen wird, u. desgl. m.

tersuchen; aber anlangend ihre sowohl als *Musschenbroeks* spätere Versuche, gilt folgende Bemerkung. Die Anziehung zweyer magnetischen Körper muß gleich seyn der Summe der Anziehungen und Abstosungen aller ihrer Theilchen; die Totalwirkung muß also eine Function sowohl der Dimensionen der Magneten als des Abstandes seyn, und folglich müssen Magneten von verschiedener Form nothwendig verschiedene Resultate geben. Die Antworten, die man durch die Versuche dem Magneten ablocken will, können vernünftiger Massen nichts anders betreffen, als Aufklärungen über die drey in der obigen Theorie aufgestellten Elementargesetze. Die *Form der Function* kann einzig die Theorie angeben; ohne Theorie weiß man nicht einmal recht, was unter Abstand der Magneten zu verstehen, ob derselbe von den Mittelpunkten, oder von den Endpunkten an zu rechnen sey. Die oberwähnten Experimentatoren hofften gleichwohl durch Versuche eine Function des Abstandes auszumitteln, welche die GröÙe der Totalwirkung auszudrücken vermöchte; es war also vorauszusehen, daß ihre Hoffnung getäuscht werden würde. Um sich hiervon noch deutlicher zu überzeugen, betrachte man die Formel für die Anziehung eines cylindrischen Magneten §. 51 I.; man sieht, daß diese Anziehung eine Function ist von des angezogenen Theilchens Abstände (a) vom Mittelpunkte des Magneten, vom Radius (c) des Cylinders und von den Winkeln s , s' und s'' . Daß die Form einer solchen Function sich nicht durch Versuche finden lasse, liegt am Tage; noch weniger die Function für die gegenseitige Anziehung zweyer Magneten, die dadurch weit verwickelter werden würde. Sind hingegen jene drey Elementargesetze bestimmt, oder hypothetisch angenommen, so ist es die Sache der Theorie, die Form der Function zu geben, und der Versuch soll bloß die *Richtigkeit der Elementargesetze* entscheiden. Die obige Theorie und unsre Versuche haben dargethan, daß sich die Elementarwirkung umgekehrt verhalte wie die Quadrate der Abstände, und daß die Totalwirkung eines cylindrischen, prismatischen oder lineären Magneten auf ein magnetisches Theilchen, unabhängig vom zweyten oder dritten Elementargesetze, in großen Abständen sich umgekehrt verhalte wie die Cuben des Abstandes des Theilchens vom Mittelpunkte des Magneten. Letzteres Gesetz hatten schon *P. P. Jacquier* und *Le Sueur* durch Versuche ausgemittelt,

und *Musschenbroek* ist geneigt, dasselbe anzunehmen; aber wie weit die Richtigkeit dieses Gesetzes sich erstrecke, ob es für alle Abstände und für Magneten von allen Dimensionen gelte, kann bloß die Theorie entscheiden. Das Resultat eines solchen Versuches ist nur ein einzelnes Beyspiel; die Elementargesetze hingegen sind fruchtbar und allgemeingültig; sind sie einmal richtig bestimmt, so kann die Theorie aus ihnen alle zur Mechanik des Magneten hingehörigen Aufgaben auflösen.

Was *Musschenbroeks* Versuche betrifft, so sind sie von *Lambert* (dessen Urtheil späterhin angeführt werden wird) so gut charakterisirt, daß wir dieselben hier mit Stillschweigen übergehen können. *Georg Wolffg. Krafft* erwähnt in seiner Abhandlung: *de viribus attractionis magneticæ experimenta* (*Comm. Acad. Sc. Petrop. Tom. XII. pag. 276*) eines *Musschenbroekischen* in dessen *Essai de physique* S. 280 angeführten Versuches, welcher ihn zu oberwähnter Untersuchung veranlassen habe. Durch diesen Versuch glaubt nämlich *Musschenbroek* gefunden zu haben, daß sich die Anziehung zwischen einem kugelförmigen Magneten und einer eben so großen eisernen Kugel umgekehrt verhalte, wie die vierte Potenz des zwischen beiden Kugeln eingeschlossenen Raumes. *Krafft* wiederholte diesen Versuch im Jahre 1740 sowohl mit gleich großen, als ungleich großen Kugeln, und fand, daß in erstem Falle die *Musschenbroekische* Regel bis auf die Berührung passe, wo sie die Anziehung ungefähr 60 Mal zu klein angab; daß hingegen, wenn die eiserne Kugel von anderer Größe war, als die Magnethkugel, diese Regel gar keine Anwendung leide. Von derselben können wir nun aus zwey Gründen keinen Gebrauch machen; theils folgt nämlich die Wirkung des Magneten auf Eisen ganz andern Gesetzen, als seine Wirkung auf einen andern Magneten; theils ist diese Regel nur für die Totalanziehung in einem einzelnen Falle gültig. Sie steht ganz isolirt da und läßt sich nicht auf Magneten von andern Formen anwendbar machen, wöfern man nicht etwa durch die Analyse dieser Regel die Elementargesetze auszumitteln vermöchte; aber dazu ist dieser Versuch nichts weniger als bequem.

§. 57. Um die Mitte des achtzehnten Jahrhunderts fing man an sich zu

N a

bemühen, die besten Methoden ausfindig zu machen, um einen hohen Grad von Magnetismus in künstlichen Magneten zu erregen, und in dieser Hinsicht haben sich *Du Hamel, Knight, Canton, Mitchell, Aspinus* und mehrere verdient gemacht. Man bemerkte, daß, wenn ein stählerner Stab mit stärkeren und stärkeren Magneten gestrichen wurde, derselbe nachgerade eine Kraft erreichte, welche durch kein Mittel höher zu treiben möglich war; und dadurch erhielt man den Begriff von *Sättigung*. Dies ist eine wichtige Entdeckung, die, wenn dereinst die Theorie des Magneten entwickelter da liegt, ein starkes Licht über das zweyte und dritte Elementargesetz, folglich über die ganze magnetische Mechanik verbreiten wird.

§. 58. Berühret man einen Stahldrath AB (Fig. 42) von bedeutender Länge im Punkte *a* mit dem Pole $-M$ eines Magneten, und nimmt darauf den Magneten weg, so wird man bemerken, daß der Punkt *a* den Magnetismus $+M$ besitzt. Dieses $+M$ wird gegen beide Seiten hin schwächer werden, und endlich in den Punkten *s* und *d* verschwinden, welche keine Spur von Magnetismus zeigen; weiter hin wird der Drath den entgegengesetzten Magnetismus, also $-M$ ergeben, welcher sein Höchstes in den Punkten *c* und *b* erreicht hat, und hierauf abnimmt, bis er in den Punkten *g* und *f* ganz verschwindet, um sich weiter hin wieder als $+M$ zu zeigen, u. s. w. Diese verschiedene Größe und Natur der Intensitäten kann bequem durch eine krumme Linie *meno* anschaulich gemacht werden, welche den Drath in den Punkten *gedf* schneidet, wo der Magnetismus ist $= 0$, und welche ihre größte positive Ordinate in *a* hat, wo $+M$ sein Maximum hat, und ihre größte negative Ordinate in *b* und *c*, wo $-M$ seinen größten Werth hat. Setzet man wieder des Magneten Pol $+M$ in *a*, und bewege ihn längs des Drathes gegen B hin, so wird sich das ganze System von Intensitäten in derselben Richtung bewegen, und die Punkte *f*, *o*, *d*, *n* der krummen Linie werden nachgerade zum Endpunkte B des Drathes kommen, welcher also allmählich den Magnetismus 0 , $-M$, 0 , $+M$ erhalten wird. Denjenigen Punkt des Drathes, in welchem der Pol des Magneten ist, wenn der Punkt *o* nach B gekommen, nennt *von Swinden* den *culminirenden Punkt*; und denjenigen Punkt, wo er

ist, wenn Punkt *d* nach *B* kommt, nennt *Brugmanns* den *Indifferenzpunkt* *). Die Lage dieser Punkte wurde nach der Dicke und Stählung des Drathes, wie nach der Stärke des Magneten, verschieden gefunden. Hat der Drath eine beträchtliche Länge, so erhellet aus dem Obigen, daß sich daselbst mehrere solche Indifferenz- und Culminations-Punkte finden werden. Die Untersuchung ihres wechselseitigen Abstandes**) wird natürlicher Weise über das zweyte Elementargesetz Licht verbreiten; aber solange unsre Kenntniß des Magneten auf keiner höheren Stufe steht als jetzt, werden diese Untersuchungen unbrauchbar seyn. Es ist fürs erste gerathener, das Intensitätsgesetz in Magneten von so geringer Länge genau zu untersuchen, daß man in der Intensitätsreihe

$$i = mx^r(1 + Ax + Bx^2 + \dots)$$

alle folgenden Glieder ausser Betracht lassen, und somit auf die einfachste Weise den Werth von *r* bestimmen kann. Ist erst dieser ausgemittelt, so lassen sich in der Folge die Coefficienten *A*, *B* u. s. w. für Magneten von größerer Länge immer bestimmen.

§. 59. Der große *Tobias Mayer*, der selten seinen Blick auf irgend einen Gegenstand warf, ohne etwas Neues zu entdecken, der ein eben so scharfes Auge für Theorie als für Praxis besaß***), war der Erste, welcher das Eis brach und den Grund zu einer mathematischen Theorie der magnetischen Anziehungs- und Abstofsungs-Gesetze legte. Im Jahre 1760 las er in der Göttinger Gesellschaft der Wissenschaften eine Abhandlung vor, welche theoretische und durch Versuche geprüfte Untersuchungen über den Magneten enthielt, mit Anwendung auf eine Theorie der Abweichung und Neigung der

*) Richtiger wäre es freilich gewesen, die Punkte *g*, *e*, *d*, *f* Indifferenzpunkte, und die Punkte *m*, *n*, *o* culminirende Punkte zu nennen.

**) Es ist glaublich, daß sie, gleichwie Wellen, die von einem Punkte ausgehen, in größeren und größeren Abständen immer näher auf einander folgen werden.

***) Die Belege zu diesen Behauptungen sind hinlänglich bekannt. Seine Mondstheorie, seine genauen Fixsternbestimmungen, seine Ideen zu einem Multiplicationskreise, seine Beobachtung des Uranus, seine geographischen Arbeiten sind bey allen Astronomen und Geographen in dankbarem Andenken.

Magnetnadel. Zwey Jahre später starb *Mayer*. Obgleich nun die Resultate dieser Untersuchungen äusserst vielversprechend zu seyn scheinen, so ist doch, der Aufforderung mehrerer Naturkundigen ungeachtet, diese Abhandlung nie ans Licht gekommen. Die einzigen mir vor Augen gekommenen Nachrichten von dieser Arbeit finden sich in *Gehlers physik. Wörterb.* (Artikel: Abweichung der Magnetnadel, 2 Th. S. 29-30) und *Nov. Comment. Ac. Sc. Petrop.* (Tom. XII. p. 327-328). An letztgedächtem Orte steht nämlich eine Abhandlung von *Aepinus*, betitelt: *Examen theoriae magneticae a celeberr. Tob. Mayo propositae*, worin *Aepinus* einige Einwendungen gegen *Mayers* Theorie macht. Ueber *Mayer* und seine Ideen läßt er sich folgender Mafsen aus:

Erat dum viueret ex numero eorum, qui in disquisitionibus ad philosophiam naturalem pertinentibus, laudatam modo viam secuti sunt, cuius illustre nomen ab interitu securum erit, nisi scientiarum memoria aliquando intereat, Celeberr. Tobias Mayerus, qui eodem circiter tempore ac ego, inquitendae theoriae phaenomenorum magneticorum, Newtoni vestigia calcans, operam dedit. Tradidit Illustri Societati Scientiarum Göttingensi, circa medium Anni 1760, commentationem, suas de hac re cogitationes explicantem, quae etsi typis nondum expressa sit, prostat tamen de contentis ipsius recensio in nouis litterariis Göttingensibus eiusdem anni, quae fidem plenam ea propter meretur, quod sub ipsis Mayeri oculis, tum adhuc uiuentis, impressa sit.

Obsenuauit Celeberr. Mayerus, similiter ac ego fecerâm, in Tentaminis Theoriae Electricitatis et Magnetismi locis diuersis, pro condenda theoria attractionum et repulsionum magneticarum tali, quae calculi legibus subiici, mathematicisque phaenomenorum istorum considerationibus locum praebere queat, praeprimis necesse esse, ut constet, quanam distantiarum functio sit ea, secundum quam particula quaedam infinite parua, magnetica vi imbuta, agat in aliam particulam itidem infinite paruam; sique deinde detur corpus quoddam magnetica vi praeditum, praeter ipsius figuram, inquiri adhuc debere in legem distributionis vis magneticae per uniuersum hoc corpus, siue quod ad idem recidit, in legem ex qua, quanta sit vis magneticae in quouis puncto, aut quauis particula infinite parua, intensitas, determinari potest. His enim factis, problemâ de inuestiganda vi, quacum agit corpus magneticum in distantia qua-

cunque in corpus aliud, eo redactum erit, ut nudae analyseos, calculique integralis ope, expediri queat.

Putat Celeberr. Mayerus utrumque se rite determinasse, atque functionem quidem attractionum et repulsionum magneticarum, a particula quadam infinite parua exsertarum sequi legem eam statuit, ut Sollicitationis intensitas in duplicata distantiarum ratione decrescat. Quoad legem vero intensitatis vis magneticæ, monet primum, se hic non considerare, nisi magnetes prismatica aut parallelipipeda figura praeditas, tum vero statuit, per magnetes huius figurae, ita diffusam esse vim magneticam, ut Intensitas in quouis puncto sit directe uti distantia ipsius a medio prismatis puncto, quod centri nomine ipsi venit.

Aepinus erklärt, er zweifle stark an der Richtigkeit dieser Gesetze, und erhebt alsdann folgende Einwendungen:

- 1) *Mayer* hatte angenommen, der Mittelpunkt der Kräfte (der magnetische Aequator) liege in gleichen Abständen von beiden Polen. *Aepinus* bemerkt, daß solches bey natürlichen Magneten selten oder nie statt finde, und bey künstlichen nur dann, wenn sie mittelst des sogenannten *Doppelstriches* magnetisirt worden. Er führt drey Reihen von Versuchen an, wodurch gezeigt wird: a) daß, wenn das eine Ende eines unmagnetischen Stahlstabes mit dem Pole eines Magneten berührt wird, der magnetische Mittelpunkt im Stahlstabe, nach Wegnehmung des Magneten, dem berührten Ende weit näher liegend befunden wird als dem andern; b) daß, wenn ein solcher Stahlstab mittelst des *einfachen Striches* magnetisirt wird, der magnetische Mittelpunkt auch immer dem einen Ende etwas näher liegt als dem andern; c) daß, wenn der Stahlstab durch Streichung mit beiden Polen eines sogenannten *Hufeisen-Magneten* magnetisirt wird, dasselbe statt findet, und falls der Stab lang ist, jener gewöhnlich mehr als zween Pole (*puncta consequentia*) erhält.
- 2) Auf welche Weise man auch Stahlstäbe von beträchtlicher Länge magnetisiren mag, so bekommen sie doch jederzeit mehr als zween Pole, und folglich mehrere magnetische Mittelpunkte (Indifferenzpunkte in eigentlichem Verstande); wäre der Stab unendlich lang, so würden unendlich

viele Pole und unendlich viele magnetische Mittelpunkte entstehen. Da nun die Ordinaten der Intensitäts-Scala (derjenigen Curve, deren Ordinaten die Größe der Intensität in jedem Punkte vorstellen) bey jedem magnetischen Mittelpunkte verschwinden müssen, so muß die zuvor gedachte Curve die Axe unendlich viele Male schneiden, folglich von der *transcendenten* Art seyn. *Mayer* hatte angenommen, daß die Intensität eines jeden Theilchens sich verhalte wie dessen Abstand vom Mittelpunkte, daß also die Intensitäts-Scala durch eine *gerade Linie* vorgestellt würde, welches mit der obigen Erfahrung streitet.

- 5) *Mayer* nimmt in Analogie mit der Gravitation an, daß die Elementarwirkung (die Anziehung oder Zurückstofsung zweyer unendlich kleinen Theilchen) sich umgekehrt verhalte wie die Quadrate der Abstände. *Aepinus* sagt, es sey nicht nothwendig, daß dieses Gesetz für alle Kräfte gültig sey, daß vielmehr die Erfahrung zeige, es gebe solche, auf welche es nicht passe, z. B. die Kräfte, wodurch Fluida in Haarröhrchen steigen, wodurch das Licht gebrochen wird, u. a. m. Ein bekannter Versuch zeigt deutlich, daß dieses Gesetz unmöglich für die magnetischen Wirkungen gelten könne. Wenn nämlich die gleichartigen Pole zweyer künstlichen Magneten einander genähert werden, so steigt die Zurückstofsung bis auf eine Zeit; aber nachgerade erreicht sie in einem gewissen Abstände ein Maximum, dergestalt, daß, wenn die Magneten einander noch näher kommen, die Zurückstofsung wieder schwächer wird, ja sich in Anziehung verwandelt. Dieses Experiment schlägt niemals fehl, sey es nun bey natürlichen oder künstlichen Magneten, wenn nur der eine Magnet beträchtlich schwächer, oder auch von weicherem Stahle ist als der andre. Letzterer Versuch kann nie mit der *Mayerschen* Theorie übereinstimmen, nach welcher die Zurückstofsung nothwendig mit dem verminderten Abstände zunehmen muß. *Mayer* glaubte, die Grundlage der Magnetentheorie bestehe blos in der Kenntniß der Function der Elementarwirkung und der Intensitäts-Scala. Aber hier tritt ein dritter Umstand ein, eben so wesentlich wie die zwey vorigen, und da *Mayer* denselben übersehen hat, so kann ihn der Calcul niemals zu Gesetzen geleitet haben, die zur

Erfahrung stimmen, räumete man auch ein, daß seine Hypothesen wahr wären; und hat jener ihn zu solchen geleitet, so ist das ein Zeichen, daß er, indem er die Grundsteine zu seiner Theorie legte, Fehler begangen habe, welche durch ein sonderbares Ungefähr diejenigen Fehler aufgehoben, welche ihren Ursprung in der Vernachlässigung eines wesentlichen Umstandes haben. Wenn nämlich ein Magnet auf einen unmagnetischen Eisendrath wirkt, so zieht er diesen nur aus dem Grunde an, weil der Eisendrath sich polarisirt, d. h. zu einem wirklichen Magneten wird. Aber welche Intensitäts-Scala soll man diesem Magneten beylegen? Nach *Mayers* Theorie soll die Intensität in jedem Punkte, dessen Abstand vom Mittelpunkte ist $= x$, proportionirt seyn mit x , also $i = \mu x$. Ist nun letzterer Intensitäts-Coefficient (μ) eine beständige oder eine veränderliche Gröfse? Ersteres streitet mit der Erfahrung; er ist also eine Function vom Abstände des Eisens vom Magneten. Wird er also nicht als solcher im Calcul eingeführt, und findet man gleichwohl Formeln, welche mit den Versuchen übereinstimmen, so kann daraus nichts anders geschlossen werden, als daß man in den übrigen Voraussetzungen so glücklich gefehlt habe, daß dem bedeutenden Fehler, welcher begangen worden, dadurch abgeholfen ist. Die Lage des magnetischen Mittelpunktes des Eisens ist auch Veränderungen unterworfen, und muß folglich auch als eine Function des Abstandes des Eisens vom Magneten ausgedrückt werden. Vernachlässiget man auch diesen äusserst wichtigen Umstand im Calcul, so müssen die Schlüsse mit der Erfahrung streiten, wofern man nicht auf eine andere Weise dermaßen gefehlt hat, daß die Fehler einander aufheben. — Was hier von der Wirkung des Magneten auf Eisen gesagt worden, gilt auch von dessen Wirkung auf einen andern Magneten, mögen sie nun die freundschaftlichen oder feindlichen Pole einander zukehren. Ihre gegenseitige Einwirkung auf einander erstreckt sich nicht blos darauf, einander anzuziehen oder zurückzustossen, sondern auch ihren beiderseitigen Zustand dermaßen zu verändern, daß die Lage des magnetischen Mittelpunktes und der Intensitäts-Coefficient, d. i. die ganze Intensitäts-Scala zugleich mit dem Abstände verändert wird. Nur auf diese Weise läßt sich erklären,

warum die Zurückstofsung zweyer Magneten von ungleicher Stärke in geringen Abständen verschwinde und nachher in Anziehung übergehe.

Diese Einwendungen treffen sowohl die in gegenwärtigem Hauptstücke aufgestellte, als auch *Mayers* Theorie; und sie könnten beym ersten Blicke gefährlich scheinen, da sie wirklich auf richtigen Thatsachen beruhen. Inzwischen hätte *Mayer* dieselben gewiß leicht beseitigen können, wofern sie bey seinen Lebzeiten gemacht worden wären. Um sowohl seine als meine eigene Theorie zu rechtfertigen, will ich sie daher ausführlich widerlegen.

- 1) Anlangend die erste derselben, daß der magnetische Mittelpunkt nicht allemal in gleichem Abstände von den Polen des Magneten gefunden werde, so gesteht *Aepinus* selbst, daß dies nur bey künstlichen Magneten statt finde, welche auf eine unvollkommene Weise magnetisirt werden, und daß *Mayers* Voraussetzung allemal eintreffe, wenn man sich des Doppelstriches bedient hat. Solange *Aepinus* also nicht beweist, daß *Mayers* Voraussetzung niemals statt finden könne, so kann er ihn nicht tadeln, eine Formel für einen möglichen Fall gesucht zu haben, zumal da dieser Fall immer eintritt, wenn man bey der Verfertigung des Magneten sich der vollkommensten Methoden bedient. *Mayer* wäre wahrscheinlich nie darauf gefallen, seine Formel auf unregelmäßige Magneten anwenden zu wollen; und sollte man ja genöthigt seyn, sich eines solchen unregelmäßigen Magneten zu bedienen, so könnte seine Theorie eben so leicht eine Formel für dessen Wirkung geben, wenn die Lage des magnetischen Mittelpunktes und die in beiden Halbaxen verschiedene Intensitäts-Scala gegeben wären.
- 2) Rücksichtlich der zweyten Einwendung, daß die Intensitäts-Scala eine transcendente, also keine gerade Linie sey nach *Mayers* Voraussetzung, so dünkt es mir gar nicht glaublich, daß dies seiner Aufmerksamkeit entgangen sey. Aber *Aepinus* kann nicht leugnen, daß die Intensität in jedem Theilchen in der Axe eine Function sey vom Abstände des Theilchens vom Mittelpunkte der Kräfte. Wird dieser Abstand gesetzt $= x$, so kann die Intensität jedes Theilchens auf die allgemeinste Weise so ausgedrückt werden: $i = \mu f(x)$, wo $f(x)$ die transcendente Function von x , welche

das wahre Intensitätsgesetz ausdrückt, und μ eine beständige Gröfse bezeichnet, die von der Härte des Stahls und der Gröfse und Stärke des zum Striche gebrauchten Magneten abhängig ist. Jede sowohl transcendente als algebraische Function, kann bekanntlich in einer Reihe von folgender Form entwickelt werden:

$$f(x) = ax + bx^2 + cx^3 + \dots + px^r + qx^{r+1};$$

also

$$i = \mu f(x) = \mu(ax + bx^2 + cx^3 + \dots + px^r + qx^{r+1}).$$

Es ist immer möglich, einen so kleinen Werth für x zu finden, durch welchen das erste Glied der Reihe bedeutend gröfser wird, als die Summe aller folgenden. In so geringem Abstände vom magnetischen Mittelpunkte nähert sich die krumme Linie (die Intensitäts-Curve) unendlich einer geraden Linie, welche eigentlich bloß die krumme Linie im Mittelpunkte selbst berührt, und mit der Axe einen Winkel macht, dessen Tangente

ist $= \frac{\mu a}{x}$. Nur für Magneten von so geringer Länge gelten die Mayer-

schen Formeln. Wohl möglich, daß der Coefficient a , oder beides a und b sind $= 0$; in ersterem Falle ist die Intensität nahe am Mittelpunkte proportionirt mit den Quadraten, in letzterem mit den Cuben der Abstände vom Mittelpunkte. Sind alle Coefficienten $a, b, c \dots$ gleich bis auf $p = 0$,

so wird $i = \mu(px^r + qx^{r+1} + tx^{r+2}) = \mu px^r \left(1 + \frac{q}{p}x + \frac{t}{p}x^2 + \dots\right)$

$= mx^r(1 + Ax + Bx^2 + \dots)$. Die Gröfse m wollen wir den *Intensitäts-Coefficienten*, r den *Intensitäts-Exponenten* nennen. Ersterer ist in verschiedenen Magneten verschieden; letzterer, wie auch die Coefficienten A, B, C u. s. w., müssen immer dieselben seyn, weil sie durch die Entwicklung derselben Function $f(x)$ hervorgekommen sind. Den Werth der letzteren zu finden, ist der Zweck des Experimentators, und nothwendig für die Theorie; aber Mayer ist nicht zu tadeln, daß er zuerst das erste und wichtigste Glied*) zu bestimmen suchte. Ist dies mit Gewifs-

*) Mit gleich großem Rechte könnte man den Halley tadeln, daß er seine 24 Cometenbahnen als Parabeln berechnete, wiewohl es höchst wahrscheinlich ist, daß sie sämmtlich Ellipsen

heit bestimmt, so kann man einen Schritt weiter zu Magneten von größerer Länge thun. Jede Approximation ist erlaubt, wenn sie nicht außerhalb gewisser Gränzen getrieben wird.

- 5) *Aepinus* hat darin Recht, daß, obschon es wahrscheinlich ist, daß die Wirkung aller Kräfte sich umgekehrt verhalte wie die Quadrate der Abstände, man doch bey einer unbekannten Kraft nicht unbedingt dieses Gesetz als gültig voraussetzen müsse, ohne sich durch Versuche von der Richtigkeit dieser Voraussetzung vergewissert zu haben. *Mayer* hatte es auch muthmaßlich nur als Hypothese vorausgesetzt, aber da seine auf dieser Hypothese gebauete Formel Resultate gab, welche mit der Erfahrung übereinstimmten, so nahm er es als wahr an. Der Streit rührt hier eigentlich von einer Unbestimmtheit in *Mayers* Ausdrücken her; sein erstes Elementargesetz hätte also ausgedrückt werden müssen: *die magnetische Elementarwirkung verhält sich geradezu wie die absoluten Intensitäten beider Theilchen und umgekehrt wie die Quadrate der Abstände* (siehe oben §. 1). Solange also die absoluten Intensitäten unverändert bleiben, verhält sich die Wirkung umgekehrt, wie die Quadrate der Abstände. Nimmt hingegen die Intensität bey dem einen oder bey beiden Theilchen ab, so sind es nicht mehr dieselben Kräfte, welche auf einander wirken, und die Anziehung oder die Abstofsung muß anders werden, als sie gewesen seyn würde, falls die absoluten Intensitäten unverändert geblieben wären*).

In jedem Eisen- oder Stahlstabe finden sich ursprünglich beide entge-

sind. Durch jene Voraussetzung verlängerte er ihre Perioden von einigen hundert oder tausend Jahren zu einer ganzen Ewigkeit; und doch ist es niemanden je eingefallen, ihm solches zum Vorwurfe zu machen.

- *) Bey der Gravitation verhält sich bekanntlich die Elementarwirkung umgekehrt, wie die Quadrate der Abstände; ist der anziehende Körper eine Kugel, so verhält sich die Totalwirkung auf die nämliche Weise. Dächte man sich ein Theilchen, das vermöge der Anziehung der Sonne in gerader Linie gegen den Mittelpunkt der Sonne fielen, und daß die Sonnenmasse mittlerweile beständig abnähme, so verhielte sich die Totalwirkung derselben auf das Theilchen nicht länger umgekehrt wie die Quadrate der Abstände; denn dieses Gesetz gilt nur für die einzelnen Elemente, oder für ihre Totalsumme. Was hier von der Veränderung der Masse, gilt bey den magnetischen Wirkungen von der Veränderung der Intensität.

gegengesetzte magnetische Kräfte in einer Art neutralem Zustande verbunden. Die zu ihrer Scheidung erforderliche Kraft scheint im Verhältnisse zur Starrheit der Materie zu stehen. So scheint bey dem weichen Eisen nicht mehr Kraft erforderlich zu seyn, als diejenige, welche zur Ueberwindung des Strebens beider Kräfte nach Vereinigung vonnöthen ist. Das Eisen selbst leistet keinen Widerstand gegen die Trennung; aber es verhindert auch nicht bedeutend die Vereinigung, dergestalt dafs, wenn die äussere Kraft zu wirken aufgehört hat, die entgegengesetzten Kräfte sich augenblicklich vereinigen und das Eisen sich, wie zuvor, als indifferent (unmagnetisch) zeigt. Die magnetischen Kräfte der Erde sind bekannter Mafsen hinreichend, um die Vereinigung der entgegengesetzten Kräfte in einem weichen Eisenstabe, welcher perpendicular gehalten wird, aufzuheben. Wird er umgekehret, so vertauscht er augenblicklich seine Pole; wird er darauf horizontal unter einem rechten Winkel mit dem magnetischen Meridiane gelegt, so zeigt er sich gleich wieder indifferent. Drehet man hingegen oder hämmert den Eisenstab so, dafs er einige Steifigkeit und Federkraft erhält, so wird mehr äussere Kraft zur Trennung der entgegengesetzten Kräfte erfordert; aber diese sind nun auch nicht länger im Stande, wenn die äussere Kraft aufgehört hat, durch eigenes Streben sich mit einander zu vereinigen; die erregte Differenz ist *bleibend* (permanent). Je stärker man den Stahl härtet, desto gröfser wird der Widerstand, welchen er gegen die Trennung und Vereinigung der Kräfte leistet, und könnte man ihm eine absolute (unendliche) Härte geben, so würde der Widerstand muthmafslich unendlich werden, d. i. der Stahl würde indifferent gegen die Wirkung der magnetischen Kräfte, und könnte nicht vom Magneten angezogen werden; aber wäre die magnetische Vertheilung einmal geschehen, so würde sie durch keine äussere Kraft aufgehoben werden können. Da nun eine solche Härte unerreichbar ist, so wollen wir betrachten, was bey einem Stahlstabe von gewöhnlicher Stählung vorgeht, wenn er in die Nähe eines Magneten gebracht wird. Wird der eine Pol eines Magneten gegen das eine Ende eines gehärteten Stahlstabes geführt, so wird er streben die vereinigten Kräfte im Stahlstabe zu trennen, die

ungleichartige an das nächste Ende des Stahlstabes zu ziehen und die gleichartige abzustossen*).^a Da aber der Stahl einigen Widerstand gegen die Trennung leistet, so erfolgt nicht eher eine wirkliche Trennung, als bis der Magnet dem Stahlstabe so nahe kommt, daß die Totalwirkung von jenem stärker ist, als der Widerstand des Stahles. Dann treten die entgegengesetzten Kräfte im Stahlstabe ausser Verbindung mit einander, und nehmen die entgegengesetzten Enden des Stahlstabes ein, und da der Widerstand des Stahles gröfser ist, als das gegenseitige Streben der Kräfte nach Vereinigung, so führt der Stab nach Wegnehmung des Magneten fort sich als Magnet zu zeigen. Wird hierauf des Magneten entgegengesetzter Pol in denselben Abstand gegen den Stahlstab geführt, so stöfst er den ihm gleichartigen Magnetismus vom nächsten Ende des Stabes ab, und zieht den ungleichartigen vom entferntesten Ende an, und da die Totalwirkung des Magneten gröfser ist als der Widerstand des Stahles, so tauschen die magnetischen Kräfte in den äussersten Enden des Stabes ihren Platz, d. h. der Stab vertauscht seine Pole. Hierauf gründet sich die Verfertigung künstlicher Magneten; denn Wirkung in Berührung und Wirkung auf Abstand sind nicht wesentlich verschieden; erstere wirkt nur stärker, weil der Abstand kleiner ist**). Solange also unter einem Versuche der wechselseitige Abstand zweyer Magneten so groß ist, daß ihre gegenseitige Totalwirkung auf einander den Widerstand des Stahles nicht überwinden kann, so bleibt die Intensitäts-Scala und die Lage des magnetischen Mittelpunktes unverändert. Im entgegengesetzten Falle vertauscht der schwächere oder weichere Magnet seine Pole, und die Zurückstofsung geht in Anziehung über, falls die gleichartigen Pole sich gegen einander kehren; oder der Intensitäts-Coefficient m im näheren Pole des schwächeren Magneten wächst, und der magnetische Mittelpunkt verändert seine Lage,

*) Wohl weiß ich, daß es keinen solchen Uebergang vom einen Ende des Stabes zum andern giebt, sondern daß die Differenzirung bloß elementar ist; es ist aber leicht, jene Vorstellungsart auf diese richtigere überzutragen.

**) In der Berührung sind es doch nur wenige Theilchen, die einander eigentlich berühren; die übrigen wirken auf Abstand.

wenn die ungleichartigen Pole sich gegen einander kehren. Inzwischen kann der Versuch immer so eingerichtet werden, daß er ausweist, wenn diese Wirkung einzutreten anfangt. So sieht man aus dem siebenten Versuche S. 163, daß vom Abstände 5 bis 2,8 die Anziehung und Abstossung gleich groß gefunden wurden (die kleinen Differenzen müssen unvermeidlichen Fehlern in den Abwägungen zugeschrieben werden, da die Abstossung bald größer, bald kleiner gefunden worden ist, als die Anziehung). Vom Abstände 2,7 bis auf 2,1 sind dagegen die Anziehungen beständig größer gefunden worden, als die Abstossungen, und das mit steigenden Differenzen; welches also einer Veränderung in der Intensitäts-Scala zugeschrieben werden muß. Aber wenn der Abstand der Mittelpunkte ist 2,7, so ist der Abstand der nächsten Pole 0,7 der halben Magnetenlänge, also bey diesem Versuche ungefähr $1\frac{1}{2}$ Zoll. Bey den schwächeren Magneten im sechsten Versuche war dieser Unterschied kaum merklich im Abstände 2,4 (wo also der Abstand der Pole ungefähr 1 Zoll war). Es liegt also am Tage, daß diese Veränderung zuerst in kleinen Abständen eintritt, und daß sie durch den Versuch selbst entdeckt werden kann*).

Aus dem Gesagten ergibt sich, daß die Einwendungen des *Aepinus*, die aus übertriebener Aengstlichkeit herrühren, nichts zu bedeuten haben. Die magnetischen Wirkungen sind so schwach, daß, wenn sie durch Wägungsversuche untersucht werden sollen, die Abstände sehr klein seyn müssen, falls jene auf diese Weise sollen gemessen werden können. Die Einwendungen des *Aepinus* gründen sich auf Versuchen in kleinen Abständen; aber unter diesen Umständen verändern die Magneten ihren Zustand**). *Mayers* Absehen

*) Beym ersten und zweyten Versuche S. 129 wurde eine ähnliche Veränderung entdeckt und berichtigt, indem während des Versuches die Lage des Magneten beständig verändert ward.

**) Auf dieselbe Weise läßt sich höchst wahrscheinlich der Streit über die Function für die Elementarwirkung der Electricität (ob sie nach *Coulomb* sich umgekehrt verhalte wie die Quadrate der Abstände, oder nach *Simon* und *Volta* umgekehrt wie die einfachen Abstände) erklären. Auch hier hat man die Totalwirkung mit der Elementarwirkung verwechselt, und nicht genugsam den veränderten Zustand der electrischen Körper in kleinen Abständen erwogen. In großen Abständen fand *Coulomb* bey der Torsionsballance das umgekehrte Verhältniß der Quadrate des Abstandes, in geringeren Abständen *Simon* bey einem andern Apparat das um

war, seine Theorie auf die magnetischen Erscheinungen der Erde anzuwenden; unsre Magnetnadeln kommen niemals den Magnetaxen der Erde so nahe, daß die Totalwirkung dieser genug Intensität erhielte, um den magnetischen Zustand gutgestählter Nadeln verändern zu können. Folglich ist nichts weder gegen seine Hypothesen noch seine Verfahrungsart einzuwenden; nur ist es wahrscheinlich, daß der Intensitätsexponent r nicht ist 1, wie Mayer annahm, sondern vielmehr 2 oder 3. Sollten die Einwendungen des Aepinus Schuld daran gewesen seyn, daß die erwähnte Mayersche Abhandlung nicht ans Licht gekommen ist (was ich nicht für unwahrscheinlich halte), so würde es mich freuen, wenn ich durch diese Widerlegung zur Wegräumung dieser Schwierigkeit beygetragen haben möchte!

§. 60. Sechs Jahre, nachdem Mayers Arbeit der Göttinger Gesellschaft der Wissenschaften vorgelegt worden war, machte Lambert in der *Histoire de l'Ac. Roy. des Sc. à Berlin Ann. 1766* zwey Abhandlungen unter nachstehender Ueberschrift bekannt: *Analyse de quelques experiences faites sur l'Aiman*, und *Sur la Courbure du Courant Magnetique*. Diese zwey Abhandlungen sind meines Erachtens Meisterstücke des Scharfsinnes sowohl hinsichtlich der Anordnung der Versuche als auch der daraus abgeleiteten Folgerungen, und verdienen aufmerksam von jedem durchgelesen zu werden, der die mathematische Theorie des Magneten studieren will; um so mehr, da sie meines Wissens die einzigen ans Licht gekommenen Untersuchungen über diesen schwierigen Gegenstand sind. Erwähnte Abhandlungen haben mir den Leitfaden in die Hand gegeben, dem ich in vorliegender Untersuchung gefolgt bin, und der, wie ich glaube, der einzige ist, welcher glücklich an das Ende dieses Labyrinthes zu führen vermag. Da Lamberts Einleitung zur ersten Abhandlung*)

gekehrte Verhältnisse der einfachen Abstände. Man nehme an, daß sich die Elementarwirkung umgekehrt verhalte wie die Abstände in der Potenz t , suche mittelst der Integralrechnung die Function für die Totalanziehung oder die Abstossung etlicher Körper von einer bestimmten Figur (z. B. ein paar Kugeln), untersuche sowohl die Anziehung als Abstossung dieser in so großen Abständen, daß ihr electricischer Zustand durch die gegenseitige Einwirkung keine Veränderung erleidet, so wird man muthmaßlich bey allen Versuchen ein und dasselbe Resultat für den Werth von t finden.

*) S. am angeführten Orte S. 22.

überaus belehrend ist, indem sie ein helles Licht über die Schwierigkeiten verbreitet, welche hier zu überwinden sind, so halte ich es für zweckdienlich, dieselbe hier einzuschalten.

Les Loix, suivant lesquelles la force magnétique varie, sont un de ces objets de la Physique, qui excitent la curiosité autant qu'ils éludent l'attente de celui qui entreprend de les examiner. On sait que la connoissance de ces loix seroit d'une grande utilité pour la navigation, & que la Physique en obtiendrait un lustre & même un accroissement très-considérable. Toutes ces raisons sont plus que suffisantes, & il n'en faudroit pas même autant, pour engager à faire sur cette matiere toutes les recherches qu'elle mérite. Aussi l'aiman n'a-t-il pas manqué d'attirer l'attention des plus grands Physiciens & même celle des Académies, qui sur ce sujet ont proposé plusieurs questions intéressantes, dont au moins quelques-unes ont été très-bien résolues. Je nommerai surtout aussi le célèbre Mr. Musschenbroek, qui s'est particulièrement appliqué à mettre, pour ainsi dire, l'aiman à toutes les épreuves, pour voir s'il y avoit moyen d'en connoître la nature & les loix, suivant lesquelles il attire & repousse. La Dissertation qu'il a publiée là-dessus, offre des phénomènes fort curieux & très-propres à engager à de nouvelles recherches. On en trouve de même dans l'ouvrage, que Mr. Brugmann vient de publier sur la force magnétique. On loue encore un ouvrage publié en 1759 à Brescia par Mr. Scarella. Et il seroit surtout à souhaiter, que la Société R. des Sciences de Göttingue fit publier les Mémoires qu'elle possède de feu Mr. Mayer, où il doit y avoir de fort belles expériences sur l'aiman & la boussole.

La grande difficulté qu'on rencontre dans ces sortes de recherches, c'est que quand on veut déterminer les loix fondamentales, qui en elles mêmes doivent être très-simples, il faut trouver moyen de simplifier les expériences à un tel point, qu'étant dégagées de toutes les circonstances étrangères & de tout mécanisme trop compliqué, elles ne présentent que l'effet tout pur de la loi qu'on veut découvrir. Mais cela présuppose, qu'on connoisse ces circonstances & ce mécanisme, & qu'on sache plus ou moins l'influence qu'elles peuvent avoir pour altérer le succès de l'expérience qu'on veut faire. L'aiman nous présente tous ces obstacles. L'un de ses poles attire tandis que l'autre repousse, & l'effet

qui en résulte est toujours mêlé. On peut augmenter le nombre des poles; mais on n'a point encore pu faire, qu'il n'y en ait qu'un seul. Ce seroit cependant là le moyen de connoître son effet pur ou dégagé de l'altération qui provient de l'action toute contraire de l'autre pole. Ensuite, ce n'est pas au pole seul que l'aiman attire, il attire plus ou moins en chaque point de sa surface, avec des forces fort inégales. De là vient que la direction moyenne & la force composée varient d'une façon extrêmement compliquée. Pour parvenir à trouver les premières Loix, il faudroit pouvoir faire l'expérience pour chaque point isolé. Mais l'expérience ne nous fait voir que la somme qui résulte de l'effet mêlé de tous les points.

A ces difficultés il s'en joint encore plusieurs autres. Car, pour déterminer par des expériences les forces de l'aiman, nous ne pouvons lui présenter que des matières ferrugineuses ou quelque autre aiman. Or, pour peu que l'expérience dure, le fer que nous approchons de l'aiman pour en être attiré, commence à participer lui-même de la force magnétique, & l'effet qui en résulte commence à en être plus ou moins altéré. Il en est de même si au lieu du fer nous nous servons d'un autre aiman. Ensuite, si les expériences qu'on fait demandent beaucoup de tems, on n'est plus assuré, si l'aiman qu'on emploie, conserve sa force invariablement pendant tout le tems que dure l'expérience. Car on sait que la force magnétique, de même que sa direction moyenne, varie d'un moment à l'autre.

Enfin, quoiqu'il soit indubitable que la force de l'aiman & ses variations dépendent de quelques loix générales, il n'est pas si facile de deviner d'avance, quelles sont ces loix. Si nous consultons là-dessus les expériences, elles s'accordent toutes à nous faire voir, que la force de l'aiman s'affoiblit à mesure que la distance augmente. Mais c'est peu de chose de ne savoir que cela. Il s'agit de connoître exactement le rapport qu'il y a entre la force & la distance. Il s'agit de plus de savoir, si ce rapport est le même, quelle que puisse être la position absolue & relative de l'aiman & de celle du fer, qu'on lui présente pour être attiré. On sait encore que la grandeur & la figure de l'aiman influent très considérablement à varier l'effet de sa force attractive, & que cette force augmente plusieurs fois dès que l'aiman est garni d'une armure.

Ces rapports, qu'il s'agit de trouver entre la masse, la figure, la distance & la force de l'aiman, ne sont pas les seuls qu'il faut chercher. Il reste ensuite encore à déterminer, quel peut être l'effet de l'obliquité d'incidence, puisque nous savons que toute action est plus foible à mesure qu'elle agit plus obliquement. Il est cependant fort à présumer, que l'action oblique de l'aiman sur le fer non aimanté diffère de beaucoup de celle qu'il exerce sur le fer aimanté. Le premier sera attiré en telle position qu'il se trouve. L'autre sera attiré fort différemment, & quelquefois même repoussé. De plus, si d'une aiguille non aimantée on vouloit faire une boussole, cette aiguille seroit indifférente pour une position quelconque, sans affecter même de vouloir se tourner vers le Nord. C'est tout autre chose quand elle est aimantée. Elle n'aura point de repos, à moins qu'elle ne se trouve dans la direction du méridien magnétique.

Ce phénomène nous fait voir qu'une aiguille aimantée, de même que toute matière ferrugineuse, peut toujours être considérée comme exposée à l'action d'un ou de plusieurs gros aimans, qui se trouvent dans les entrailles de la terre. C'est aussi la circonstance la plus simple, dans laquelle une aiguille aimantée puisse se trouver. Car dès qu'on en approche quelque autre aiman, ou quelque matière ferrugineuse, l'action devient composée, & nous jette dans l'embarras de déterminer ce qui est dû à chaque cause séparément.

Mais, en écartant de l'aiguille tout ce qui pourroit en altérer la position, elle ne nous offre que deux phénomènes. L'un c'est d'être en repos, quand elle se trouve dans son méridien magnétique; l'autre c'est de faire des oscillations, aussitôt qu'elle ne se trouve pas dans ce méridien. Ces oscillations nous font voir, que les forces qui agissent sur l'aiguille sont inégales de côté & d'autre, & qu'elles ne sont égales, que lorsque l'aiguille se trouve dans son méridien. Comme par-là elle peut être regardée comme un pendule composé, dont les oscillations sont circulaires, on pourra comparer la durée des oscillations avec l'arc que l'aiguille parcourt; & par-là on pourra parvenir à connoître quelque rapport entre la force moyenne & sa direction moyenne, entant que cette direction est plus ou moins oblique. On peut encore remarquer que ces oscillations ne se font exactement dans le plan horizontal, que là où l'inclinaison est nulle. Dans tout autre cas les arcs parcourus sont des courbes à double courbure. L'aiguille

d'inclinaison nous indique la raison de ce phénomène. Car elle s'incline le moins quand elle se trouve dans le méridien magnétique; elle baisse davantage à mesure qu'on la tourne vers l'Est ou l'Ouest de ce méridien, & elle devient verticale toutes les fois que sa déclinaison est de 90 degrés. Or l'aiguille de déclinaison n'est horizontale, que parce qu'on lui donne un contrepoids, qui suffit pour la tenir dans la position horizontale aussi longtems que sa force ne varie point, & qu'elle se trouve dans la direction de son méridien. Mais la force, qui sans ce contrepoids l'auroit déprimée, agit plus fortement aussitôt que l'aiguille ne se trouve plus dans la direction de son méridien. Comme donc par-là le contrepoids ne suffit plus, l'aiguille est plus ou moins déprimée. Je rapporte cette circonstance parce qu'il faut y avoir égard, quand on veut tirer quelque conclusion des oscillations de l'aiguille de déclinaison. Mr. Musschenbroek rapporte plusieurs expériences qu'il a faites sur les oscillations de l'aiguille & sur leur durée. Elles ressemblent à la plupart des autres expériences de ce célèbre Physicien, en ce qu'elles ne s'accordent gueres entr'elles, sans qu'on trouve alléguées les circonstances, qu'il faudroit savoir pour rendre raison de la diversité de l'effet. Aussi est-ce une affaire trop sujette à caution que de vouloir comparer la durée des oscillations avec la longueur des aiguilles. Car, avant que d'en venir là, il s'agit d'expliquer, ce que cela veut dire que deux aiguilles d'une longueur inégale, mais douées d'une force magnétique égale. Mais ce n'est pas là ce qu'il y a de plus simple, ni par où il faut commencer. D'abord il vaudra mieux comparer une aiguille à elle-même, en recherchant, si par des expériences bien exactes faites sur ses oscillations on peut parvenir à déterminer la loi de l'obliquité d'incidence. Les petites arcs ne suffisent pas, parce qu'on peut aisément démontrer que les petites oscillations seront à très peu près isochrones, quelle que puisse être cette loi. Car il faudra toujours regarder la force sollicitante comme une fonction du sinus d'incidence, de sorte que ce sinus étant $= x$, la force soit exprimée par la suite

$$ax + bx^2 + cx^3 + \text{Cc.}$$

laquelle se réduit au premier terme toutes les fois que l'oscillation peut être regardée comme infiniment petite.

Quoique les expériences à faire sur ces oscillations soient fort simples, &

qu'elles puissent servir à connoître les variations successives de la force magnétique, on voit pourtant par ce que je viens de dire, qu'il est difficile d'en rien déduire pour déterminer la loi de l'obliquité d'incidence. Car, les petits arcs ne suffisant pas pour ce sujet, il faudra en faire parcourir de plus grands à l'aiguille. Par-là on augmente la friction qu'elle souffre en se tournant sur la pointe qui lui sert de pivot ou d'appui; Et cette friction ne laisse pas de raccourcir les arcs, Et de changer la durée des oscillations.

Lambert beschreibt hierauf einige Versuche, die er mit einem kleinen, fast cubischen Magneten und einer Magnetnadel anstellte, und beweiset daraus, ohne etwas weiter als bekannt vorauszusetzen, als dafs die Wirkung des Magneten in gleichen Abständen gleich grofs ist, ganz befriedigend, dafs die Gröfse der Wirkung proportionirt ist mit dem Sinus des Einfallswinkels (que l'effet de l'obliquité d'incidence est proportionel au sinus d'incidence). Er fügt hinzu: *A proprement parler, on pouvoit d'abord douter, si cette obliquité entre en consideration, ou non? Et dans le premier cas il restoit encore indécis, si au lieu du sinus de l'angle d'incidence il ne falloit prendre le rapport du quarré de ce sinus, comme on le fait dans la théorie de la percussion des fluides? L'un Et l'autre de ces doutes disparoit après les expériences que je viens de rapporter, de façon que nous voyons qu'il faut établir le rapport simple Et direct des sinus d'incidence, Et que par-là même on ne sauroit considérer l'action de la matiere magnétique sur le même pied que l'on considere la percussion des fluides, mais qu'il faut plutôt la traiter sur le pied d'une simple pression. Observons encore que l'aiguille étant mobile sur son pivot comme sur un point d'appui, la force magnétique agit sur elle comme sur un levier. Et comme c'est sur ce pied qu'il faut considérer son état d'équilibre, on voit que le sinus de l'obliquité de l'action entre nécessairement dans le calcul. Ainsi, si cette action devoit être traitée sur le même pied que la percussion des fluides, il est clair qu'à ce rapport simple des sinus il faudroit encore joindre le quarré des sinus*).*

Hierauf demonstirt er, aber, wie mir scheint, minder genügend, aus

*) Aus dieser Darstellung ist zu sehen, dafs Lamberts ganze Demonstration abzweckt, etwanige Einwendungen von Seiten der Anhänger der Cartesianischen Wirbel abzuwehren.

demselben Versuche, *dass die Elementarwirkung sich umgekehrt verhalte wie die Quadrate der Abstände.*

In der zweyten Abhandlung untersucht *Lambert* die Eigenschaften der *magnetischen Curve*, welche er, muthmaßlich um den Anhängern der Wirbel zu gefallen, *courbes du courant magnétique**) nennt. Hierauf schreitet er zu einem Versuche, welcher im Wesentlichen dem achten Versuche (§. 45) gleicht, ausser dass er den Magneten AB (Fig. 37) um den Mittelpunkt P so lange drehet, bis der Winkel $bND(x) = 0^\circ$ wird, d. h. bis die Magnetnadel im magnetischen Meridiane MD**) ruhet, worauf er die GröÙe der Winkel MNC und NCB oder NCA für verschiedene Punkte der Peripherie MCF aufzeichnet, und denselben Versuch in verschiedenen Kreisperipherien um den Punkt N wiederholt. Durch die Anordnung dieses Versuches hat *Lambert* die Lage der Nadel gegen den Magneten gefunden, unabhängig von den magnetischen Kräften der Erde; denn die Einwirkung dieser auf die Nadel ist $= 0$, weil sie sich im magnetischen Meridiane in Ruhe befindet. Mit Hülfe der Winkel MNC und NCA construirt er hiernächst eine Art *trajectorischer* oder *isogonischer* Linien um den Magneten, welche nur darin den isogonischen Linien in Fig. 20 unähnlich sind, dass in *Lamberts* isogonischen Linien die Nadel einen beständigen Winkel mit der Linie CN (Fig. 37) macht, welche die Mittelpunkte des Magneten und der Nadel verbindet, in den Linien Fig. 20 hingegen die Nadel einen beständigen Winkel mit dem Perpendikel NG (Fig. 37) auf des Magneten Axe bildet***). Mittelt dieser Linien construirt *Lambert* eine andere Art trajectorischer Linien, welche gerade dieselben sind, wie die Linien Cvii, Cviii, Cix u. s. w. (Fig. 20 und 22 §. 25),

*) S'il y a un semblable courant, sagt er, la dénomination sera juste au pied de la lettre, & s'il n'y en a point, la nature algébrique de ces courbes n'en souffre aucun changement. Je pourrois ajouter: in verbis simus faciles. En effet ce n'est pas le nom, qui fait ici la difficulté. Quelque nom qu'on donne à ces courbes, il ne nous en fait pas connoître la nature & l'équation.

**) Im achten Versuche trifft dieses z. B. ein für MC $= 60^\circ$, wenn NCB $=$ u etwas über 100° (ungefähr 107°) ist, also NCA $= 75^\circ$.

***) Meine Linien sind weit einfacher und gewähren eine leichtere Construction der folgenden Trajectorien.

in welchen die Nadel beständig nach einem gewissen Punkte VII, VIII, IX u. s. w. in der Axe convergirt; und endlich werden mit Hülfe dieser die magnetischen Curven auf dieselbe Weise wie in §. 26 construirt.

Um diese durch die Erfahrung gefundenen krummen Linien mit der Theorie zu vergleichen, geht *Lambert* zum Suchen einer Gleichung für den Winkel ω (§. 19) über, und bemerkt desfalls (Seite 71), dafs, wenn man die Wirkung der Theilchen in des Magneten einer Halbaxe als positiv betrachtet, man die Wirkung der Theilchen in der andern als negativ betrachten müsse. Da nun der Uebergang vom Positiven zum Negativen durch 0 geschieht, so scheint zu folgen, dafs die Intensität jedes Theilchens abhängig sey von dessen Abstände vom Mittelpunkte, und dafs sie, wenn auch nicht mit dem einfachen Abstände, doch mit einer solchen Function proportionirt sey, welche positiv oder negativ wird, je nachdem man den Abstand vom Mittelpunkte nach dem einen oder dem andern Pole hin rechnet*), und welche 0 im Mittelpunkte selbst wird. Ferner ist die Lage der Nadel abhängig vom Sinus des Einfallswinkels, oder desjenigen Winkels, unter welchem jedes Theilchen des Magneten auf dieselbe wirkt, und endlich vom gegenseitigen Abstände der auf einander wirkenden Theilchen. Er fügt hinzu:

Si donc les circonstances qui peuvent modifier l'action de l'aiman sur l'aiguille, se réduisent à ces trois que je viens de rapporter, il s'en faut peu qu'elle ne se soumette entierement au calcul. Car, pour ce qui regarde l'obliquité de cette action, elle est en raison simple & directe du sinus. Et pour ce qui est des distances, l'effet de chaque particule de l'aiman sur chaque particule de l'aiguille est en raison de la force absolue de ces particules, & en raison ré-

*) Dem gemäß sollte der Intensitäts-Exponent r nicht können seyn $= 2$, sondern entweder 1 oder 3, und alle übrigen Exponenten in der Intensitätsreihe ungerade Zahlen. Wohl wahr, dafs die Intensitäts-Curve nur in letzterem Falle negative Ordinaten erhalten könne, wenn x einen negativen Werth bekommt; aber es dünkte mir nicht einleuchtend, dafs man mit Sicherheit die Anschauung geometrischer Raumverhältnisse auf physische Kräfte anwenden könne. Ich hoffte, die Versuche würden diese Sache mit Bestimmtheit entscheiden; und obgleich die bisher angestellten dieselbe noch nicht ganz ins Reine gebracht haben, so habe ich doch noch keinesweges die Hoffnung aufgegeben, durch andre Versuche auf eine überzeugende Weise den Werth von r zu bestimmen.

ciproque du carré de la distance. Car, outre que chaque force qui se répand en raison des surfaces, s'affoiblit dans le même rapport qu'elle se distribue, j'ai fait voir dans le Mémoire précédent, que la force magnétique en particulier s'assujettit également à cette loi. Il ne reste donc que la force absolue de chaque particule, qui croît à mesure que la particule est plus près des poles. Mais il faudroit mieux connoître le mécanisme des forces magnétiques, si l'on vouloit déterminer dans quel rapport elle varie à l'égard de sa position, ou de sa distance des poles, ou du milieu de l'aiman. Cependant, comme en admettant l'expérience, cette variation peut être regardée comme une fonction de la distance de chaque particule du milieu de l'aiman, & comme alors c'est la seule inconnue qui entre dans le calcul, elle pourra être déterminée de cette façon *a posteriori*. Ou bien en admettant en forme d'hypothese une loi quelconque, il y aura moyen de voir si elle satisfait aux expériences, ou non? Dans le premier cas, elle sera celle que la Nature observe; au cas contraire, il faudroit en chercher une autre.

Ce n'est donc pas là ce qui embarrasse. Mais la difficulté revient à la prolixité des formules qu'il faut calculer & comparer avec l'expérience. Car, l'aiman, aussi bien que l'aiguille, ayant trois dimensions, elles demandent six intégrations avant qu'on puisse parvenir à définir l'état d'équilibre, & ces intégrations étant faites, il en faut une septième pour en déduire l'équation pour la courbure du courant magnétique. Cependant, si l'aiguille est regardée comme infiniment petite, ces intégrations se réduisent à quatre; & elles se réduiront à trois, ou même à deux, si l'aiman n'a presque point d'épaisseur, ou si encore la largeur est peu considérable.

Er nimmt darauf an, die Intensität jedes Theilchens sey in einfachem und geradem Verhältnisse des Abstandes desselben vom Mittelpunkte des Magneten, die Nadel sey unendlich klein, und der Magnet sey parallelepipedalisch ohne merkliche Dicke, und sucht aus diesen Voraussetzungen eine Gleichung für den Winkel ω . Aber da diese Gleichung zu unbehandelbar scheint, um daraus eine Gleichung für die magnetische Curve abzuleiten, nimmt er den Magneten als lineär an, und findet dann die Formel α §. 19 I. Da die in dieser Gleichung vorkommenden transcendenten Größen sie auch

zu ungeschmeidig machen, um daraus eine Gleichung für die magnetische Curve abzuleiten, so findet er diese aus dem Winkel ω mittelst einer Construction, welche der oben beschriebenen gleicht. Bey einer Vergleichung der mittelst des Versuches und der nach der Theorie construirten Curven sieht man, daß die Unterschiede höchst unbedeutend sind.

§. 61. Nach dem *Lambert* kenne ich keinen, welcher sich vor *Coulomb* mit Untersuchung der Wirkungsgesetze des Magneten befaßt hätte. Durch ein neues von ihm selber erfundenes Instrument, die sogenannte *Drehungswage* (*balance de torsion*) bewies er (*Mem. de l'Ac.* 1785) I.) daß die Kraft der Drehung, welche nöthig ist, um eine Magnetenadel in irgend einer Distanz von ihrem Meridiane zu erhalten, sehr genau dem Sinus des Winkels, welchen die Richtung der Nadel mit diesem Meridiane macht, proportionirt ist, oder nach *Lamberts* Art sich auszudrücken, daß die Gröfse der Wirkung dem Sinus des Einfallswinkels proportionirt ist, welches letzterer schon auf eine andere Weise dargethan hatte.

Hierauf bewies er II.) daß sich die Elementarwirkung umgekehrt verhalte, wie die Quadrate des Abstandes (*Mem. de Paris* 1786). Dieses Gesetz ward durch folgende Versuche gefunden: Er magnetisirte zwey Stahldräthe von 24 Zoll Länge und 1 Linie Dicke, legte den einen horizontal in die Drehungswage, und stellte den andern vertikal in des ersteren magnetischen Meridian dergestalt, daß die gleichnamigen Pole, falls keine Abstofsung erfolgt war, einander in einem Abstände von 10-12 Linien von den Endpunkten beider berühren würden. Der horizontale Drath wurde 24° vom Meridiane weggestossen; dadurch, daß man dem Aufhängungsdrathe 3 Umdrehungen gab, brachte er diesen Repulsionswinkel auf 17° hinab, und durch 8 dem Drathe gegebene Umdrehungen auf 12° . Hieraus findet *Coulomb*, daß sich die Repulsion umgekehrt verhalte wie die Quadrate der Abstände.

Coulomb untersuchte hierauf III.) das Verhältniß der dirigirenden Kräfte, welche Magnetenadeln von verschiedenen Dimensionen, aber von einerley Natur, wenn sie bis zur Sättigung magnetisirt worden sind, zum magnetischen Meridiane zurückbringen. (Siehe *Greens* neues Journal der Physik, 2 Band S. 306). Er legte die zur Sättigung magnetisirte Nadel von Englischem Stahldrathe in

den Aufhängebügel der Drehungswage, drehte bey allen Versuchen den Aufhängungsdrath, bis die Richtung der Nadel einen Winkel von 30° mit dem magnetischen Meridiane machte, und beobachtete den Drehungswinkel. Hierauf schnitt er die Nadel nach und nach kürzer, magnetisirte sie jedes Mal zur Sättigung, und beobachtete für jedes Mal den Drehungswinkel, der sie bis 30° von ihrem Meridiane zurückhielt. Er fand, dafs, wenn die Nadel 12 Zoll lang war, der Drehungswinkel 11,5 Grad war, und dafs er für jeden Zoll, um welchen die Nadel kürzer, 1 Grad kleiner wurde; für die Längen 1, $\frac{1}{2}$ und $\frac{1}{4}$ Zoll fand er die Gröfse des Drehungswinkels 0,35, 0,07 und 0,02*) Grad, d. i. dafs für kleine Nadeln die Momente sich verhalten wie die Quadrate der Längen der Nadeln. Das Gewicht des hierzu gebrauchten Stahldrathes war 38 Gran der Fufs.

Bey einem andern Stahldrathe, dessen Gewicht 865 Gran war, bey 1 Fufs Länge und einem Durchschnitte von fast 2 Linien, fand er, dafs, wenn die Länge 18 Zoll war, es einer Drehung von 288° bedurfte, um ihn 30 Grade vom Meridiane zurückzuhalten; wie auch, dafs jede Verminderung von 1 Zoll in der Länge der Nadel eine Abnahme des Momentes der dirigirenden Kraft von $19\frac{1}{2}$ Grad verursachte. Von $4\frac{1}{2}$ Zoll bis $\frac{1}{2}$ Zoll Länge richteten sich auch hier die Momente der dirigirenden Kräfte sehr genau nach den Quadraten der Nadellängen.

IV. Endlich untersuchte *Coulomb* die Intensität in verschiedenen Punkten einer Magnetnadel auf folgende Weise: In einem ungesponnenen Seidenfaden *cc* (Fig. 43) hängte er horizontal eine kleine magnetisirte Stahlnadel *ab* von

*) Wie *Coulomb* diesen Drehungswinkel gefunden habe, ist schwer einzusehen. Er sagt: "Bey den Versuchen habe ich mich zur Aufhängung hauptsächlich des Kupferdrathes von No. 12 bedient, des feinsten, der im Handel zu haben ist; und dann eines noch weit feineren Silberdrathes, dessen Stärke der Drehung, bey gleicher Länge, nur $\frac{1}{15}$ von derjenigen des Kupferdrathes ist. Durch Division des durch die Erfahrung gefundenen Drehungswinkels durch 30, hat man die Resultate auf die Anzahl der Grade zurückgebracht, welche beobachtet worden wären, wenn man sich des Kupferdrathes von No. 12 bedient hätte." Man bekommt also die durch den Versuch gefundenen ursprünglichen Werthe des Drehungswinkels durch Multiplication der obigen Zahlen mit 30, welches für letzteren Winkel giebt $0,02 \times 30 = 0,6 = \frac{3}{5}$ Grad, eine Gröfse, welche sich kaum am Drehungs-Mikrometer ablesen läfst.

2 Linien Länge und $\frac{1}{4}$ Linie Durchmesser auf; unten daran befestigte er mit etwas Wachs unter einem rechten Winkel einen kleinen kupfernen Cylinder von 2 Linien im Durchmesser und 1 Zoll Länge. In einem Abstände von 2 Linien von der Spitze der Nadel stellte er vertikal einen zur Sättigung magnetisirten Stahldrath BA von 2 Linien Durchmesser und 27 Zoll Länge, liefs die Nadel vor verschiedenen Punkten M dieses Stahldrathes schwingen, und zeichnete die Anzahl der Schwingungen in 60'' auf. *Coulomb* nahm nun an, dafs die Intensität in den verschiedenen Punkten des Stahldrathes proportionirt war mit den Quadraten dieser Schwingungszahlen, und construirte darnach eine krumme Linie, welche die Intensitätsscala vorstellen sollte. Er fand, dafs die Intensität vom Pole nach dem Mittelpunkt hin stark abnahm, dergestalt, dafs sie in einem Abstände von $4\frac{1}{2}$ Zoll vom Endpunkte des Stahldrathes fast unmerklich war. Ferner fand er in einem Stahldrathe von demselben Durchmesser, aber 10 Zoll Länge, in den 3 ersten Zollen von den Endpunkten fast genau dieselbe Intensität, wie in den 3 ersten Zollen des 27 Zoll langen Stahldrathes, und endlich ebenfalls an den Enden eines 5 Zoll langen Stahldrathes von demselben Durchmesser bis zu 5 Linien von diesen Enden sehr genau denselben Grad der Thätigkeit wie in den zwey vorhergehenden. Hierdurch machte *Coulomb* die wichtige Entdeckung, dafs *bey Stahldräthen von einerley Durchmesser, welche dieselbe Härting haben und zur Sättigung magnetisirt sind, die Intensitäten in den Endflächen gleich grofs, wenn gleich die Längen verschieden sind.*

Unterdessen entdeckte *Coulomb*, dafs die durch diesen Versuch gefundene Intensitätsscala nicht die wahre seyn könnte, indem er erfuhr, dafs die kleine Nadel unter dem Versuche ihren magnetischen Zustand veränderte, ja sogar plötzlich ihre Pole umkehrte, wenn der Stahldrath vor dem andern Ende der Nadel in der Entfernung von ein paar Linien gehalten wurde. Er wählte deshalb zu diesem Versuche eine längere Nadel von 3 Linien Durchmesser und 6 Linien Länge, und stellte den Stahldrath in einem Abstände von 8 Linien vom nächsten Ende der Nadel. Die mittelst dieses Versuches gefundenen Schwingungen hat *Coulomb* nicht angeführt, sondern blos an der von ihm construirten Intensitätsscala die aus jenen durch Rechnung gefundenen Intensitäten

bemerkt. Die übrigen von *Coulomb* angestellten wichtigen Versuche über den Grad der Härtung, durch welchen der Stahl des größten Magnetismus empfänglich wird, über die beste Form der Nadel u. s. f. werden hier der Kürze halben mit Stillschweigen übergangen.

In Betreff dieser *Coulombschen* Untersuchungen erlaube ich mir folgende Bemerkungen. Im Allgemeinen wäre zu wünschen, daß man die *Coulombschen* Resultate durch einen andern Apparat bestätigt finden möchte, wodurch die magnetischen Kräfte mit einer weniger verborgenen Kraft (wie sich der geheime Oberbaurath *Simon**) ausdrückt), als der Drehung des Drathes verglichen würden. Da inzwischen das erste von *Coulomb* aufgestellte Gesetz vollkommen mit demjenigen übereinstimmt, was *Lambert* auf eine ganz andere Weise zuvor bewiesen hatte, so scheint von dieser Seite nichts eingewendet werden zu können.

Anlangend das zweyte Gesetz (die Function für die Elementarwirkung), so streitet die Anordnung des Versuches, wodurch es gefunden ist, ganz mit den von *Lambert* aufgestellten Grundsätzen, indem eine Total-Zurückstoßung als Elementarwirkung betrachtet ist. Zwar sucht *Coulomb* zu zeigen, daß diese Verfahrensart in diesem Falle keinen merklichen Fehler mit sich führen könne; aber solange man nicht durch eine strengere Untersuchung bewiesen hat, wie weit man auf diese Weise fehlen könne, und in welchen Abständen der Fehler sich zu zeigen anfangt, so scheint noch über diesem Versuche eine Dunkelheit zu ruhen, die man aufgehellet wünschen möchte. Die Art, wie dieses Gesetz oben in §§. 5, 6, 7 bewiesen worden, ist meines Verhoffens ganz und gar genügend.

Die dritte *Coulombsche* Untersuchung zeigte, daß das Drehungsmoment bey langen Nadeln von demselben Durchmesser in demselben Verhältnisse abnähme, wie die Nadeln kürzer würden, und daß bey kurzen Nadeln dieses Moment sich verhalte wie das Quadrat der Längen der Nadeln. Von dem ersten dieser Resultate können wir hier keinen Gebrauch machen, theils weil Magneten von so großer Länge ausserhalb der Grenzen der gegenwärtigen Unter-

*) Siehe *Gilberts Ann. d. Phys.* 28 B. S. 278.

suchung liegen, theils weil dieses Resultat erst einer analytischen Untersuchung unterworfen werden müßte, ehe man daraus etwas zur Aufklärung der Natur der Intensitätscurve ableiten könnte. Aus letzterem Resultate können wir hingegen folgende Schlüsse ziehen. Wenn die Nadel so kurz ist, daß man die Intensität in jedem Durchschnitte, dessen Abstand vom Mittelpunkte ist $= x$, durch die Formel $i = mx^r$ ausdrücken kann, so wird, wenn des Drathes halber Durchmesser ist $= c$, das Moment dieses Durchschnittes $= \pi c^2 m x^{r+1} dx$, und die Summe aller dieser Durchschnittemomente vom Mittelpunkte zum Abstände $x = \pi c^2 m \int x^{r+1} dx = \frac{\pi c^2 m}{r+2} \cdot x^{r+2}$. Wird die halbe Länge der Nadel gesetzt $= l$, so wird folglich das ganze Drehungsmoment der Nadel $= \frac{2\pi c^2 m}{r+2} \cdot l^{r+2}$. Auf dieselbe Weise findet man für eine andere Nadel von derselben Dicke, deren Länge ist $= L$ und die Intensität $= M$, das Moment $= \frac{2\pi c^2 M}{r+2} \cdot L^{r+2}$. Diese Momente verhalten sich nach *Coulombs* Versuchen wie die Quadrate der Längen der Nadeln, also

$$\frac{2\pi c^2 m}{r+2} \cdot l^{r+2} : \frac{2\pi c^2 M}{r+2} \cdot L^{r+2} = l^2 : L^2, \text{ d. i. } ml^r = ML^r.$$

Aber ml^r und ML^r drücken die Intensitäten in den Endflächen aus, also ist bey cylindrischen Magneten von verschiedener Länge aber einerley Dicke, welche zur Sättigung magnetisirt sind, die Intensitäten der Endflächen gleich groß. Dieses Gesetz, welches *Coulomb* durch directe Versuche (IV.) fand, enthält also den Grund des in No. III. gefundenen Resultates, daß bey kurzen Nadeln die Momente sich verhalten wie die Quadrate der Nadellängen. Da $ml^r = ML^r$, so ist $m : M = L^r : l^r$, d. i. bey Nadeln von einerley Durchmesser, welche zur Sättigung magnetisirt sind, und deren Länge nicht mehr ist als 20-30 Mal größer als der Diameter, verhalten sich die Intensitäten in gleichem Abstände von den Mittelpunkten umgekehrt wie die r ten Potenzen der Längen.

Das Gewicht des bey dem ersten Versuche gebrauchten Stahldrathes war 38 Gran der Fufs, des bey dem zweyten Versuche gebrauchten hingegen 865 Gran; also war das Verhältniß zwischen ihren Diametern oder Ra-

dien $= 1 : \sqrt[3]{\frac{1}{38}} = 1 : 4,77$. Nun fand *Coulomb* durch obervähnte zwey Versuche

für die Längen		3	1	$\frac{1}{2}$
die Momente in	{ Versuch 1.	2,30	0,35	0,07
	{ Versuch 2.	15,00	1,46	0,32.

Werden die Momente im zweyten Versuche mit den Momenten im ersten Versuche dividirt, so bekommt man die Quotienten 5,65, 4,17 und 4,57 oder im Mittel 4,79. *Bey kurzen cylindrischen Magneten von einerley Länge scheinen sich also die Momente wie die Diameter zu verhalten**). Wofern alle Theilchen der gleichliegenden Durchschnitte in beiden Dräthen einerley Intensität gehabt hätten, müßten sich die Momente wie die Menge der Theilchen verhalten, d. i. wie die Größe der Durchschnichtsflächen, folglich wie die Quadrate der Diameter. Die Intensität in einem dickeren Drathe muß also kleiner seyn als in einem dünneren, und es scheint glaublich, *dass die Intensität homologer Theilchen in kurzen cylindrischen Magneten von einerley Länge, aber verschiedenen Diametern sich umgekehrt verhalten wie die Diameter.*

Bey der vierten *Coulombschen* Untersuchung finde ich folgendes zu bemerken. Damit die über und unter dem Punkte M (Fig. 43) des Drathes AB liegenden Theilchen keinen merklichen Einfluß auf die Schwingungen der Nadel *ab* haben möchten, hängte *Coulomb* letztere dem Drathe AB so nahe, daß der Abstand aM nur 2 Linien war. Aber er fand, daß dadurch der magnetische Zustand der kleinen Nadel allmählich verändert wurde, je nachdem die folgenden Punkte des Stahldrathes AB größere oder kleinere Intensität hatten. Um dies zu vermeiden, wählte er eine Nadel von 6 Linien Länge, welche dergestalt aufgehängt ward, daß der Abstand ihres nächsten Endpunktes a vom Drathe M 8 Linien war. Aber wenn der Abstand so groß ist, wirken zugleich die über und unter der Nadel sich befindenden Theile MB und MA des Drathes BA dermaßen, daß die Schwingungen nicht länger als einzig vom Punkte M bewirkt angesehen werden können. Ueberdies treten hier-

*) Bey längeren Nadeln findet dieses Verhältniß nicht mehr Statt; so fand sich bey 12 Zoll Länge des dünneren Drathes Moment = 11,5, des dickeren = 172,0. Letzteres Moment ist etwa 15 Mal größer als erste¹⁴⁴.

bey folgende Schwierigkeiten ein: 1) Der Aufhängungsdrath cc wird nicht länger vertikal hangen, wenn die Nadel ab der Wirkung des Stahldrathes AB ausgesetzt wird; je größer die Intensität des Punktes M ist, desto kleiner wird der Abstand aM werden, und die Schwingungen der Nadel werden also in der Nähe der Pole B und A schneller werden, als sie werden würden, falls der Mittelpunkt der Nadel unveränderlich in c verbliebe. 2) Die Pendeltheorie setzt Kräfte voraus, welche in *parallelen Richtungen* wirken; dies findet hier nicht Statt. M (Fig. 44) sey der Durchschnitt des Stahldrathes AB (Fig. 43); ab sey die Nadel, deren Länge 6 Linien war, rm ihr magnetischer Meridian. Da der Abstand Mm in diesem Versuche war 8 Linien (also $Mc = 11$ Linien) und $ca = cb = 3$ Linien, so findet sich, wenn der Elongationswinkel Mca der Nadel z. B. gesetzt wird $= 40^\circ$, der Winkel $cMa = 12^\circ 30'$, der Winkel $bMc = 11^\circ 45'$; also wirkt M auf den Endpunkt a unter einem Winkel von $52^\circ 30'$, und auf den Endpunkt b unter einem Winkel von $28^\circ 15'$. 3) Die Pendeltheorie setzt voraus, daß die sollicitirende Kraft während der ganzen Schwingung auf jeden Punkt des schwingenden Körpers mit *unveränderter Intensität* wirkt. Dieses findet hier auch nicht Statt. Wenn der Endpunkt a der Nadel in m ist, so ist sein Abstand von M oder $Mm = 8$ Linien; wenn die Elongation ist $= 40^\circ$, wird der Abstand $Ma = 8,909$ Linien, und da die Wirkung sich umgekehrt verhält wie die Quadrate der Abstände, so verhält sich die Wirkung in m zur Wirkung in a wie $1 : 0,806$. Dasselbe gilt auch von allen andern Punkten der Nadel. Selbst die absolute Intensität des Endpunktes a muß während der Schwingung zugleich mit den veränderten Abständen wechseln (doch ist diese Veränderung wahrscheinlich höchst unbedeutend). Es kommt mir also vor, als könne man nicht mit Sicherheit die Pendeltheorie auf diese Versuche anwenden, und als bedürfe folglich die von *Coulomb* construirte Intensitätscurve einer genaueren Untersuchung. Schade ist es auch, daß *Coulomb* nur Magneten von einer so großen Länge untersucht hat, daß es in ihnen nicht länger angeht die Intensitätscurve durch die Gleichung $i = mx^r$ auszudrücken.

Möglich ist es, daß die hier an der Coulombschen Verfahrensart gerügten Unvollkommenheiten keine bedeutenden Folgen haben, oder daß sie sich

gegenseitig aufheben. Inzwischen scheint es mir, als dürfe man sich in den sogenannten exacten Wissenschaften nicht eher eine minder vollkommene Verfahrensart erlauben, als bis man strenge Rechenschaft geben kann, in wie weit sie zu Fehlern verleitet, und in welchem Grade sie für eine brauchbare Approximation angesehen werden kann. Um zur Hebung dieser Zweifel beizutragen, habe ich obige Bemerkungen niedergelegt, und schliesse dieselben damit, daß ich *mutatis mutandis* die Worte des *Aepinus* über *Mayer* in oberegtem *examen theoriae magneticae* auf den gegenwärtigen Fall anwende: *fateor me valde dubitare de veritate legum istarum a Celeberr. Mayo assumptarum, cumque uberior dubiorum meorum declaratio plurimum ad dilucidandam magnetis naturam facere posse videatur, tradere ipsam Academiae operae pretium duxi, quod quidem dum facio, detrudere meritis Illustris viri animus non est, neque aliter acturus sum cum ipso, quam ut mecum agant alii naturae scrutatores, expecto.*

Der durch so viele gelungenen Arbeiten in der Physik und Astronomie rühmlichst bekannte *Biot* hat in seinem *traité de Physique*, 3me Vol. aufs neue diese Coulombschen Versuche bearbeitet, und selbige unter einer strengeren mathematischen Form dargestellt.

Sechstes Hauptstück.

Anwendung der Theorie des Magneten auf die Theorie der magnetischen Abweichung und Neigung, wie auch der magnetischen Kräfte (Intensität) an einem gegebenen Orte der Erde, dessen geographische Lage bekannt ist.

§. 1. In jedem Magneten giebt es einen Punkt, wo die entgegengesetzten Kräfte gleich groß sind, und der folglich keinen Magnetismus (Anziehung oder Abstossung) zeigt. Wir wollen ihn den *Mittelpunkt der Kräfte* (*centrum virium*) nennen. Bequemer hiesse er der *Indifferenzpunkt*, wenn diese Benennung nicht schon eine andere Bedeutung hätte. Dieser Punkt liegt nicht immer in gleicher Entfernung von den Endpunkten des Magneten. Denjenigen Punkt in einem lineären Magneten, welcher ihn in 2 gleich große Theile theilt, wollen wir zum Unterschied von jenem des Magneten *mathematischen Mittelpunkt* (*centrum mathematicum*) nennen. Der Mittelpunkt der Kräfte theilt den Magneten in 2 *Halbaxen* (*semiaxes*), die also nicht nothwendig gleich groß sind. Ein körperlicher Magnet (mit 3 Dimensionen) wird durch eine Fläche in 2 Halbmagneten mit entgegengesetzten Kräften getheilt; diese Fläche wollen wir den *magnetischen Aequator* (*aequator magneticus*) nennen, wobey wir zugleich die Verlängerung dieser Fläche ins Unendliche verstehen wollen.

§. 2. Linie $\alpha\beta$ (Fig. 45) sey eine Magnetaxe in der Erde; verlängert man sie nach beiden Seiten, bis sie die Oberfläche der Erde in den Punkten B und A schneidet, so wollen wir Linie BA die *magnetische Sehne* (*chorda magnetica*), und ihre Endpunkte B und A *eingebildete Magnetspole* (*poli fictitii*) nennen. Es ist möglich, daß der Mittelpunkt dieser Sehne γ , der mathematische Mittelpunkt der Magnetaxe und der Mittelpunkt der Kräfte 3 verschiedene Punkte sind; inzwischen nehmen wir bis aufs weitere an, daß diese 3 Punkte in dem Mittelpunkte der Sehne γ zusammenfallen.

§. 3. Kreis EBFA sey ein größter Kreis durch der Erde Mittelpunkt C und die Magnetsehne AB. Eine Linie Cy in diesen Kreis von der Erde Mittelpunkt C bis zu der Magnetsehne Mittelpunkt γ , steht also lothrecht auf der Magnetsehne, und misst die Entfernung der Magnetsehne vom Mittelpunkte der Erde oder deren *Excentricität* (*excentricitas*) aus. Also wird die halbe Magnetsehne $A\gamma = \sqrt{AC^2 - \gamma C^2}$ und die ganze magnetische Sehne $AB = 2\sqrt{AC^2 - \gamma C^2}$ oder $AB^2 = EF^2 - 4\gamma C^2$.

§. 4. Der *magnetische Aequator* (*aequator terrae magneticus*) ist ein größter Kreis der Erde, perpendicular auf die Magnetsehne AB; er geht also sowohl durch den Mittelpunkt der Magnetsehne als der Erde (vorausgesetzt, daß die 3 Mittelpunkte zusammenfallen).

Linie *ab* sey ein Diameter der Erde parallel mit der Magnetsehne AB; sie steht also senkrecht auf dem magnetischen Aequator, und die Punkte *a* und *b* sind des *magnetischen Aequators Pole* (*poli aequatoris magnetici*). Wenn Magnetsehne AB nicht durch der Erde Mittelpunkt geht, so sind die eingebildeten Magnetpole A und B verschieden von den Polen des magnetischen Aequators *a* und *b*, und ihre Entfernung davon $Bb = Aa$ ist ein Bogen eines größten Kreises, dessen Sinus gleich ist der Excentricität Cy, wenn der Erdradius gesetzt wird $= 1$.

§. 5. Der Erde *magnetischer Diameter* (*diameter magneticus*) ist der Diameter EF, welcher durch den Mittelpunkt der Magnetsehne geht. Diese Linie liegt im magnetischen Aequator und bezeichnet da die Punkte E und F, welches feste Punkte sind. Punkt E ist von allen Punkten auf der Erdoberfläche derjenige, welcher die größte Entfernung vom Mittelpunkte der Magnetsehne hat, Punkt F derjenige, welchem die kleinste zukommt; man nenne ersteren des magnetischen Diameters *apocentrischen*, letzteren dessen *pericentrischen* Endpunkt (*punctum apocentricum et pericentricum*).

§. 6. Jeder ebene Durchschnitt der Erde, welcher zugleich durch die Magnetsehne geht, heiße ein *magnetischer Meridian* (*meridianus magneticus*). Jeder Ort hat seinen. Sie sind alle kleine Kreise, ausgenommen Meridian EBFA, welcher durch die Endpunkte des magnetischen Diameters geht; dieser heiße der *erste magnetische Meridian* (*meridianus magneticus primus*). AeB sey ein

magnetischer Meridian; er ist immer lothrecht auf den magnetischen Aequator, und wird von demselben in 2 gleich große Theile getheilt; e sey dessen Durchschnittspunkt mit dem magnetischen Aequator, Ee der Bogen des magnetischen Aequators, der zwischen demselben und dem ersten Meridiane liegt. Dessen Lage gegen denselben läßt sich bestimmen entweder $a)$ durch Winkel $E\gamma e$, welchen er mit dem ersten Meridian bildet, oder $b)$ durch den Bogen Ee , oder $c)$ durch den sphärischen Winkel $E Ae$. Wenn eines dieser 3 Dinge gegeben ist, so lassen sich die andern daraus berechnen.

Im ersten Meridiane finden sich sowohl die eingebildeten Magnetpole A und B , als die Pole des magnetischen Aequators b und a , und die Endpunkte des magnetischen Diameters E und F . Er ist nur bestimmt, wenn die verlängerte Magnetaxe eine Sehne ist; ist sie ein Diameter, so ist kein Meridian der erste. Er wird von den Polen in 2 ungleiche Theile AFB und AEB getheilt.

§. 7. Jeder ebene Durchschnitt durch des magnetischen Aequators Axe heiße ein *magnetischer Vertikalkreis* (*circulus verticalis magneticus*). Jeder Ort hat seinen; sie sind alle größte Kreise. Wenn die Magnetaxe keine Excentricität hat, werden die magnetischen Meridiane zugleich Vertikalkreise.

§. 8. Ein größter Kreis durch die Pole der Erde und des magnetischen Aequators heiße die *magnetische Polarcolure* (*colurus magneticus polaris*); ein größter Kreis durch beide Endpunkte des magnetischen Diameters heiße die *magnetische Diametralcolure* (*colurus magneticus diametralis*). Die Punkte B und A (Fig. 46) seyen Endpunkte der magnetischen Sehne, b und a des magnetischen Aequators Pole. Durch diese 4 Punkte werde der größte Kreis $bBAa$ gelegt, welcher der erste magnetische Meridian (§. 6, Fig. 45) wird; halbiret man den Bogen BA in F , so wird Punkt F der pericentrische Endpunkt des magnetischen Diameters. P und p seyen die Erdpole, so wird der größte Kreis $PNpM$, welcher durch die Pole der Erde P und p und durch die Pole des magnetischen Aequators a und b geht, die *Polarcolure*, und der größte Kreis PFp , welcher durch die Pole der Erde und den pericentrischen Endpunkt F des magnetischen Diameters (und folglich in der andern Hemisphäre auch durch den apocentrischen) geht, die *Diametralcolure*.

R r

§. 9. Der *Magnetradius* (*radius magneticus*) eines Ortes ist eine gerade Linie von dem Orte zum Mittelpunkte der magnetischen Sehne. Ist der Ort L (Fig. 45), so ist Linie Ly dessen Magnetradius:

§. 10. Die *wahre magnetische Breite* (*latitudo magnetica vera*) eines Ortes ist der Winkel, welchen der Magnetradius des Ortes mit dem magnetischen Aequator bildet. In Fig. 45 ist Lye die wahre magnetische Breite; ihr Complement ByL ist der *magnetische Polarabstand* (*distantia polaris magnetica vera*).

§. 11. Eines Ortes *wahre magnetische Länge* (*longitudo magnetica vera*) ist der Winkel Eye, welchen ein magnetischer Meridian BLe durch den Ort L mit dem ersten magnetischen Meridian BbE bildet.

§. 12. Man fälle Linie Cc (Fig. 45) senkrecht auf Meridian BLeA; diese Linie wird dann in den magnetischen Aequator fallen und da den Punkt c angeben, welcher der Mittelpunkt des Meridians BLeA wird. Diese Linie Cc, welche die Entfernung zwischen den Mittelpunkten der Erde und des Magnetmeridians ausdrückt, wollen wir die *Excentricität des Magnetmeridians* (*excentricitas meridiani magnetici*) nennen. Linie Lc wird Radius des Meridians BLcA.

§. 13. Eines Ortes *excentrische Magnetbreite* (*latitudo magnetica excentrica*) ist ein Bogen Le des magnetischen Meridians vom Orte L nach dem magnetischen Aequator, oder der Winkel Lce, welchen der Radius Lc des magnetischen Meridians nach dem Orte L mit dem magnetischen Aequator bildet. Sein Complement ist Bogen Ld oder Winkel Lcd, wenn cd senkrecht gegen ec ist.

§. 14. Die *scheinbare Magnetbreite* (*latitudo magnetica apparens*) ist ein Bogen LQ (Fig. 47) eines magnetischen Vertikalkreises vom Orte L nach dem magnetischen Aequator oder Winkel LCQ, welchen ein Erdradius nach dem Orte L mit dem magnetischen Aequator EQF bildet. In dieser Figur ist nämlich EBFA der erste magnetische Meridian, EF der magnetische Diameter, EQF der magnetische Aequator, BLA ein magnetischer Meridian durch den Ort L, welcher den magnetischen Aequator in der Linie ey schneidet; bLQ ein magnetischer Vertikalkreis durch den Ort L, welcher den magnetischen Aequator in der Linie CQ schneidet; diese 2 Kreisflächen schneiden einander

in Linie LR, welche parallel wird mit der Axe des magnetischen Aequators ab und mit der magnetischen Sehne AB, also senkrecht auf den magnetischen Aequator.

§. 15. Die *scheinbare Magnetlänge* (*longitudo magnetica apparens*) ist ein Bogen EQ des magnetischen Aequators von dem apocentrischen Endpunkte E des magnetischen Diameters nach dem Vertikalkreis des Orts bLQ; oder der sphärische Winkel EbL, welchen der magnetische Vertikalkreis des Orts bLQ mit dem ersten Meridian EBFA bildet; oder der geradlinigte Winkel ECQ, welcher von der Durchschnittslinie CQ des Aequators und des Vertikalkreises mit dem magnetischen Diameter EF gebildet wird.

§. 16. Problem. *Wenn die geographische Lage der (eingebildeten) magnetischen Pole gegeben ist, dann zu finden: 1) die Excentricität des magnetischen Mittelpunktes; 2) die Größe der magnetischen Sehne; 3) den Winkel des magnetischen Diameters mit dem Erdäquator; 4) die Lage der 2 Endpunkte desselben; 5) den Winkel des magnetischen Aequators mit dem Erdäquator; 6) den von den beiden Coluren eingeschlossenen Winkel; und 7) den Winkel, welchen der erste Magnetmeridian mit der Polarcolure bildet.*

PNpM (Fig. 46) sey die magnetische Polarcolure; in ihr liegen die Pole der Erde P und p und die Pole des magnetischen Aequators b und a. Die Punkte B und A seyen die eingebildeten Magnetpole, und bBAa ein größter Kreis durch dieselben, also der erste Magnetmeridian, in welchem zugleich die Pole b und a des magnetischen Aequators und die Endpunkte des magnetischen Diameters liegen. Man halbire den Bogen BA im Punkte F, so daß $BF = FA$, so wird Punkt F der pericentrische Endpunkt des magnetischen Diameters. Ein größter Kreis PFp durch die Pole P und p und den Punkt F wird also die Diametralcolure, und ein größter Kreis QFR durch den Punkt F senkrecht auf den Kreis bFa, also zugleich senkrecht auf die Magnetsehne BA und die Axe des magnetischen Aequators ba , wird der magnetische Aequator. Kreis MDN sey der Aequator der Erde; er wird vom magnetischen Aequator in einem Punkte E geschnitten, welcher 90° von den Punkten M und N liegt, und der sphärische Winkel NER, welchen die beiden Aequatorialflächen mit einander bilden, wird durch Bogen Pb gemessen, und ist gleich dem Winkel,

welchen die Axe ba des magnetischen Aequators mit der Erdaxe Pp bildet. Da beide Kreisflächen QER und NEM senkrecht gegen die Colure $PNpM$ sind, so ist Punkt E der Pol der Colure, und folglich $QE = ER = 90^\circ$. PBp und PAp seyen zwey geographische Meridiane durch die eingebildeten Magnetpole B und A (§. 2). Nun sey Bogen BP (das Complement der nördlichen Breite des Poles B) $= b$, Bogen Ap (das Complement der südlichen Breite des andern Poles) $= a$; beider Pole Längenunterschied, oder der sphärische Winkel $APB = \gamma$. Hieraus findet man:

1) $\cos AB = \sin a \cdot \sin b \cdot \cos \gamma - \cos a \cdot \cos b$. Da $AB = 2FB = 2(Fb - Bb) = 180^\circ - 2Bb$, so findet sich, wenn $Bb = Aa = a$ gesetzt wird, $\cos 2a = \cos a \cdot \cos b - \sin a \cdot \sin b \cdot \cos \gamma$. Aus dem Dreiecke $CA\gamma$ (Fig. 45) findet man die Excentricität $C\gamma = CA \cdot \cos AF = CA \cdot \sin Aa = r \cdot \sin a$, wenn Erdradius $CA = r$.

2) Aus demselben Dreiecke findet man die Magnetsehne $AB = 2A\gamma = 2AC \cdot \sin ACF = 2r \cdot \cos a$.

3) Setzet man Bogen $PF = d$ (Fig. 46), so findet man aus den Dreiecken APF und BPF

$$\cos BFP = \frac{\cos BP - \cos PF \cdot \cos BF}{\sin PF \cdot \sin BF} = \frac{\cos PF \cdot \cos AF - \cos PA}{\sin PF \cdot \sin AF},$$

oder

$$\frac{\cos b - \cos d \cdot \sin a}{\sin d \cdot \cos a} = \frac{\cos d \cdot \sin a + \cos a}{\sin d \cdot \cos a}.$$

Hieraus findet man $\cos d = \sin FD = \frac{\cos b - \cos a}{2 \cdot \sin a}$. Da der Meridian PFD senkrecht ist gegen Aequator MDN , so ist der Bogen FD das Maas des Winkels, welchen der magnetische Diameter mit dem Aequator der Erde macht.

4) Aus den Dreiecken BPF und APF findet sich ferner, wenn man setzt $APF = m$, $BPF = n$,

$$\sin PFB : \sin PB = \sin BPF : \sin FB$$

$$\sin PFA : \sin PA = \sin APF : \sin AF.$$

Da $\sin PFB = \sin PFA$, $\sin PA = \sin pA = \sin a$, $\sin APF = \sin(\gamma - n)$,

$\sin FB = \sin AF$, so findet sich $\sin PB \cdot \sin BPF = \sin PA \cdot \sin APF$, d. i. $\sin b \cdot \sin n = \sin a \cdot \sin(\gamma - n)$, also

$$\tan n = \frac{\sin a \cdot \sin \gamma}{\sin b + \sin a \cdot \cos \gamma}, \quad \tan m = \frac{\sin b \cdot \sin \gamma}{\sin a + \sin b \cdot \cos \gamma}$$

Leget man den Winkel m zur Länge des Punktes A hinzu, oder ziehet man den Winkel n von der Länge des Punktes B, so erhält man die Länge des pericentrischen Endpunktes F des magnetischen Diameters. Der apocentrische Endpunkt liegt 180° davon, und hat eine eben so große, aber entgegengesetzte Breite.

Ist $\cos b > \cos a$, d. i. $b < a$, so wird in der Formel (3) $\cos d$ positiv, also $d < 90^\circ$, und Punkt F fällt in die nördliche Halbkugel. Ist $\cos b = \cos a$, d. i. $b = a$, wird $\cos d = 0$, also $d = 90^\circ$; dann fallen die Punkte D, F und H mit dem Punkte E zusammen, welcher der Pol der Colure PNP_M ist, und folglich werden die Bogen $PF = pF = bF = aF = MH = HN = QF = FR = \&c. = 90^\circ$. Dann wird auch der erste Meridian bFa und die Diametralcolure PFp senkrecht gegen die Polarcolure PNP_M; ferner wird Winkel $m = n$; denn $\tan n = \frac{\sin \gamma}{1 + \cos \gamma} = \tan \frac{1}{2}\gamma = \tan m$; also $n = m = \frac{1}{2}\gamma$.

Ist endlich $\cos b < \cos a$, d. i. $b > a$, so wird $\cos d$ negativ, folglich fällt Punkt F in die südliche Halbkugel.

5) Da die Erdaxe Pp senkrecht ist gegen Aequator MEN, und des magnetischen Aequators Axe ba senkrecht gegen den magnetischen Aequator QER, so ist Winkel NER, welchen beide Aequatorialflächen mit einander bilden, gleich dem Winkel der beiden Axen, und letzterer wird gemessen durch Pb $= pa = e$. Aus den Dreiecken PFB und PbB findet man, weil $\cos PBF = -\cos PBb$,

$$\cos PBF = \frac{\cos PF - \cos PB \cdot \cos BF}{\sin PB \cdot \sin BF} = \frac{\cos PB \cdot \cos Bb - \cos Pb}{\sin PB \cdot \sin Bb},$$

oder

$$\frac{\cos d - \cos b \cdot \sin a}{\sin b \cdot \cos a} = \frac{\cos b \cdot \cos a - \cos e}{\sin b \cdot \sin a}.$$

Verbindet man diese Gleichungen, und setzt in erstere den oben (5) gefundenen Werth für $\cos d$ ein, so findet man

$$\cos \varepsilon = \frac{\cos b + \cos a}{2 \cdot \cos \alpha}.$$

6) Aus dem Dreiecke PFb, wo $Pb = \varepsilon$, $PF = d$, $bF = 90^\circ$, findet man

$$\cos FPb = \frac{\cos bF - \cos Pb \cdot \cos PF}{\sin Pb \cdot \sin PF} = -\cot Pb \cdot \cot PF.$$

Setzet man $FPb = \psi$, so wird $\cos \psi = -\cot \varepsilon \cdot \cot d$. Es ist folglich $\psi > 90^\circ$, wenn $d < 90^\circ$, d. i. wenn $b < a$ (4). Leget man ψ zu der Länge von F, so hat man die Länge des Nordpoles b des magnetischen Aequators.

7) Aus dem nämlichen Dreiecke wird gefunden $\cos PbF = \frac{\cos PF}{\sin Pb}$, oder

wenn man setzt $PbF = \delta$, $\cos \delta = \frac{\cos d}{\sin \varepsilon} = \frac{\cos b - \cos a}{2 \sin \alpha \cdot \sin \varepsilon}$. Der Winkel PbF,

welchen der erste Magnetmeridian mit der Polarcolure bildet, ist also spitzig, recht oder stumpf, je nachdem $a > b$, $a = b$, oder $a < b$.

Zusatz 1. Punkt H, in welchem der erste magnetische Meridian den Aequator der Erde schneidet, nebst Winkel bHN, unter welchem solches geschieht, wird gefunden aus dem Dreiecke bNH, worin Winkel bNH $= 90^\circ$, $bN = 90^\circ - \varepsilon$, $HbN = 180^\circ - \delta$; nämlich $\tan g HN = \tan g HbN \cdot \sin bN = -\tan g \delta \cdot \cos \varepsilon$, also $\tan g HM = \tan g \delta \cdot \cos \varepsilon = \cot HE$; $\cos bHN = \cos bN \cdot \sin HbN = \sin \varepsilon \cdot \sin \delta$.

Zusatz 2. Ist die Lage des magnetischen Aequators, die Gröfse der Excentricität, und der Winkel, welchen der erste magnetische Meridian mit der Polarcolure bildet, also $Pb = \varepsilon$, $Bb = \alpha$, $PbF = \delta$ gegeben, so findet man aus dem Dreiecke PbF, wo $bF = 90^\circ$,

$$\cot bPF = \frac{\cot bF \cdot \sin bP - \cos bP \cdot \cos PbF}{\sin PbF},$$

oder $\cot \psi = -\cos \varepsilon \cdot \cot \delta$, und aus dem nämlichen Dreiecke $\cos PF = \cos d = \sin \varepsilon \cdot \cos \delta$, wobey die Lage des magnetischen Diameters bestimmt ist. Aus dem Dreiecke BFb findet man

$$\cos PB = \cos Pb \cdot \cos Bb + \sin Pb \cdot \sin Bb \cdot \cos PbB,$$

$$\cot bPB = \frac{\cot Bb \cdot \sin Pb - \cos Pb \cdot \cos PbB}{\sin PbB},$$

$$\text{d. i. } \cos b = \cos \varepsilon \cdot \cos \alpha + \sin \varepsilon \cdot \sin \alpha \cdot \cos \delta, \quad \cot(\psi - n) = \frac{\cot \alpha \cdot \sin \varepsilon - \cos \varepsilon \cdot \cos \delta}{\sin \delta},$$

wobey die Lage des magnetischen Nordpols B bestimmt ist. Eben so konnte man aus dem Dreiecke PbA finden

$$\cos a = \cos Aa = -\cos Ab = \cos \varepsilon \cdot \cos \alpha - \sin \varepsilon \cdot \sin \alpha \cdot \cos \delta,$$

$$\cot(\psi + m) = \cot bPA = -\frac{\cot \alpha \cdot \sin \varepsilon + \cos \varepsilon \cdot \cos \delta}{\sin \delta}.$$

Zusatz 3. Ist die geographische Länge des Südpols A größer als die Länge des Nordpols B, so muß man in den obenstehenden Formeln — γ' statt γ setzen. Dadurch findet man

$$\tan n' = -\frac{\sin a' \cdot \sin \gamma'}{\sin b' + \sin a' \cdot \cos \gamma'}, \quad \tan m' = -\frac{\sin b' \cdot \sin \gamma'}{\sin a' + \sin b' \cdot \cos \gamma'} \quad (4);$$

n' und m' sind folglich negativ, d. i. m' fällt rechts, n' links, und die Länge von F wird gleich Länge von B *plus* n' , oder gleich Länge von A *minus* m' .

$$\text{Da } \cos \varepsilon' = \frac{\cos b' + \cos a'}{2 \cdot \cos \alpha'} \quad (5), \text{ so kann } \varepsilon' \text{ eben so wohl positiv als nega-}$$

tiv seyn. In diesem Falle muß man für ε' den negativen Werth nehmen.

Eben so findet man $\cos \psi' = -\cot(-\varepsilon') \cdot \cot d' \quad (6) = \cot \varepsilon' \cdot \cot d'$, folglich ψ' negativ, und größer oder kleiner als 90° nachdem $\cot \varepsilon' \cdot \cot d'$ positiv oder negativ wird. Folglich ist die Länge von b gleich Länge von F *minus* ψ' .

Endlich wird $\cos \delta' = -\frac{\cos d'}{\sin \varepsilon'} \quad (7)$, folglich δ' negativ. Wenn γ negativ ist, braucht man also bloß n , ε , ψ und δ negative Werthe zu geben.

§. 17. Problem. Wenn die geographische Lage der Magnetpole bekannt ist, die magnetische Lage (die scheinbare und wahre magnetische Breite und Länge) und den Magnetradius für einen Ort zu finden, dessen geographische Breite und Länge gegeben ist.

BA (Fig. 47) sey die Magnetsehne, EQF der magnetische Aequator, ba dessen Axe, L der Ort, P der Erdpol, PL des Ortes geographischer Meridian,

Pb ein Stück der Polarcolure, bLQ des Ortes magnetischer Vertikalkreis; PM sey der erste geographische Meridian, wovon die geographische Länge gerechnet wird (z. B. der Meridian durch Ferro). Winkel MPL = q wird also die geographische Länge des Ortes L, nach Osten gerechnet; Winkel MPb = ζ die geographische Länge des Nordpales b des magnetischen Aequators. In Dreieck PbL ist Pb = ϵ (der Abstand des Poles des magnetischen Aequators vom Pole der Erde, §. 16, 5); PL ist das Complement der geographischen Breite des Ortes; ist diese Breite = p , so ist PL = $90^\circ - p$; Winkel bPL = MPL — MPb = $q - \zeta$. Hieraus findet man

$$\text{I. } \cos bL = \sin LQ = \cos \epsilon \cdot \sin p + \sin \epsilon \cdot \cos p \cdot \cos(q - \zeta).$$

Aber LQ ist des Ortes *scheinbare Magnetbreite*; setzt man LQ = μ , so hat man

$$\sin \mu = \cos \epsilon \cdot \sin p + \sin \epsilon \cdot \cos p \cdot \cos(q - \zeta).$$

$$\text{II. } \tan PbL = \frac{\cos p \cdot \sin(q - \zeta)}{\sin p \cdot \sin \epsilon - \cos p \cdot \cos \epsilon \cdot \cos(q - \zeta)}.$$

Nun ist Winkel PbB = δ der Winkel, welchen die Polarcolure mit dem ersten magnetischen Meridian bildet (§. 16, 7); Winkel EbL = ν die *scheinbare Magnetlänge* des Ortes L (§. 15). Also ist Winkel PbL = $180^\circ - (\nu + \delta)$; folglich

$$\tan(\nu + \delta) = \frac{\cos p \cdot \sin(q - \zeta)}{\cos p \cdot \cos \epsilon \cdot \cos(q - \zeta) - \sin p \cdot \sin \epsilon} = \frac{\sin(q - \zeta)}{\cos \epsilon \cdot \cos(q - \zeta) - \tan p \cdot \sin \epsilon},$$

oder

$$\cotang(\nu + \delta) = \cos \epsilon \cdot \cot(q - \zeta) - \tan p \cdot \sin \epsilon \cdot \operatorname{cosec}(q - \zeta).$$

III. Setzet man den Radius der Erde LC = r , so ist $\gamma C = r \cdot \sin Bb = r \cdot \sin \alpha$; CR = $r \cdot \cos \mu$; Winkel $\gamma CR = 180^\circ - \nu$. Aus dem Dreiecke γCR findet man

$$\gamma R = \sqrt{\gamma C^2 + CR^2 - 2\gamma C \cdot CR \cdot \cos \gamma CR} = r \sqrt{\sin^2 \alpha + \cos^2 \mu + 2 \cdot \sin \alpha \cdot \cos \mu \cdot \cos \nu}.$$

Aus dem Dreiecke γLR findet sich

$$\begin{aligned} \gamma L &= \sqrt{\gamma R^2 + RL^2} = r \sqrt{\sin^2 \alpha + \cos^2 \mu + 2 \cdot \sin \alpha \cdot \cos \mu \cdot \cos \nu + \sin^2 \mu} \\ &= r \sqrt{1 + \sin^2 \alpha + 2 \cdot \sin \alpha \cdot \cos \mu \cdot \cos \nu} = rR, \end{aligned}$$

wenn die Wurzelgröße gesetzt wird = R . Linie γL ist der *Magnetradius* im Orte L; sein größter Werth ist im Punkte E, wo $\mu = \nu = 0$, also

$rR = r\sqrt{1 + \sin^2 \alpha + 2 \sin \alpha} = r(1 + \sin \alpha)$; sein geringster Werth im Punkte F, wo $\mu = 0$, $\nu = 180^\circ$, also $rR = r(1 - \sin \alpha)$. Wenn $\nu = 90^\circ$, d. i. in einem Vertikalkreise, welcher senkrecht auf dem ersten Meridiane steht, wird er $= r\sqrt{1 + \sin^2 \alpha} = \gamma b$, also von demselben Werthe im ganzen Vertikalkreise.

IV. Aus dem Dreiecke γLR findet man $\sin L\gamma R = \frac{LR}{L\gamma} = \frac{r \cdot \sin \mu}{rR} = \frac{\sin \mu}{R}$.

Winkel $L\gamma R$ ist die *wahre Magnetbreite*; Winkel $L\gamma B$ ist sein Complement zu 90° ; ist $L\gamma B = u$, so hat man $\cos u = \frac{\sin \mu}{R}$.

V. Setzet man die *wahre Magnetlänge* oder Winkel $E\gamma e = \varphi$, so findet man im Dreiecke $C\gamma R$

$$\tan \varphi = \frac{CR \cdot \sin \gamma CR}{\gamma C - CR \cdot \cos \gamma CR} = \frac{r \cdot \cos \mu \cdot \sin \nu}{r \cdot \sin \alpha + r \cdot \cos \mu \cdot \cos \nu} = \frac{\cos \mu \cdot \sin \nu}{\sin \alpha + \cos \mu \cdot \cos \nu},$$

oder

$$\cotang \varphi = \frac{\sin \alpha}{\cos \mu \cdot \sin \nu} + \cotang \nu.$$

Zusatz. Bey der Formel (II.) für $\tan(\nu + \delta)$ braucht man blos der Regel der Zeichen zu folgen; da $\tan(\nu + \delta) = \frac{\sin(\nu + \delta)}{\cos(\nu + \delta)}$, so giebt folgendes

Schema die Werthe von $\nu + \delta$ zu erkennen:

Zähler	Nenner	$\nu + \delta$
positiv	positiv	zwischen 0° und 90° (1ster Quadrant)
positiv	negativ	— 90 — 180 (2ter Quadrant)
negativ	negativ	— 180 — 270 (3ter Quadrant)
negativ	positiv	— 270 — 360 (4ter Quadrant).

§. 18. Problem. Wenn die *wahre Magnetlänge* oder der Winkel φ , welchen ein gegebener magnetischer Meridian mit dem ersten magnetischen Meridiane bildet, gegeben ist, zu finden: 1) den Winkel, welchen derselbe Meridian mit der Oberfläche der Erde oder dem Horizonte bildet; 2) die Grösse des Radius des Meridians; und 3) die Anzahl der Grade, welche er enthält.

1) In Fig. 45 fälle man Linie Cc vom Mittelpunkte der Erde C senkrecht

S s

auf den magnetischen Meridian BLeA, so wird c des Meridians Mittelpunkt. Man ziehe die Radien CL und cL, deren jener der Erde, dieser des Meridians Radius ist; nun ist die Fläche des Dreiecks CcL senkrecht auf Meridian BLA, also ist Winkel CLc die Neigung des Erdradius CL gegen den Magnetmeridian BLA, und da der Horizont in L senkrecht auf dem Erdradius LC steht, so ist Winkel CLc das Complement zur Neigung des Horizonts gegen den Meridian, d. i. Winkel LCc ist der gesuchte Winkel. Nun ist $Cc = Cy \cdot \sin Cy$

$$= r \cdot \sin \alpha \cdot \sin \varphi, \text{ und } \cos LCc = \frac{Cc}{CL} = \sin \alpha \cdot \sin \varphi = \cos \eta. \text{ Die Neigung}$$

ist also überall in demselben Magnetmeridian dieselbe. Wenn $\varphi = 0$, d. i. im ersten Meridian, wird sie $= 90^\circ$; ihren kleinsten Werth hat sie, wenn $\varphi = 90^\circ$, d. i. in einem Meridiane, welcher senkrecht auf dem ersten steht; hier ist $\eta = 90^\circ - \alpha = FCA$. Versteht man, wie hier in der Figur, unter η den Winkel, welchen die westliche Seite des Magnetmeridians mit dem Horizonte bildet, so wird $\eta > 90^\circ$, wenn φ negativ oder größer als 180° ist.

2) In Dreieck CcL ist $CcL = 90^\circ$, $LCc = \eta$, $LC = r$; setzt man den Radius des Magnetmeridians $Lc = R'$, so ist $Lc = LC \cdot \sin LCc$, d. i. $R' = r \cdot \sin \eta$. Ist $\varphi = 0^\circ$, wird $\eta = 90^\circ$ und $R' = r$, d. i. der erste Meridian schneidet die Erdoberfläche unter rechten Winkeln, und sein Radius ist gleich dem Erdradius. Ist $\varphi = 90^\circ$, so wird $\eta = 90^\circ - \alpha$, und $R' = r \cdot \cos \alpha = AC \cdot \cos ACa = Ay$, d. i. der kleinste von allen Magnetmeridianen ist derjenige, welcher senkrecht auf dem ersten steht; sein Radius wird gleich der halben Magnetsehne. Man kann auch Radius Lc folgender Maßen finden: $Cc = Cy \cdot \sin Cy = r \cdot \sin \alpha \cdot \sin \varphi$; aber $Lc = Ac = \sqrt{AC^2 - Cc^2}$, d. i. $R' = \sqrt{1 - \sin^2 \alpha \cdot \sin^2 \varphi}$.

$$3) \tan Acy = \frac{Ay}{Cy} = \frac{r \cdot \cos \alpha}{r \cdot \sin \alpha \cdot \cos \varphi} = \frac{\cot \alpha}{\cos \varphi}; \text{ dieses Winkels Comple-}$$

ment zu 180° oder Winkel Ace ist die Hälfte des Meridians AeB. Ist $\varphi = 0^\circ$, wird $\gamma CA = 90^\circ - \alpha$; ist $\varphi = 90^\circ$, wird $Acy = 90^\circ$ und der Meridian gerade ein halber Kreis.

§. 19. Problem. Wenn Winkel φ gegeben ist, die excentrische Magnetbreite oder den Winkel Lce (Fig. 47) zu finden.

Da das Dreieck LcR bey R rechtwinklig ist, so findet sich $\sin LcR = \frac{LR}{Lc} = \frac{r \cdot \sin \mu}{r \cdot \sin \eta} = \frac{\sin \mu}{\sin \eta}$. Setzet man seine Ergänzung zu 90° oder Winkel Lcd (Fig. 45) $= v$, so hat man $\cos v = \frac{\sin \mu}{\sin \eta}$. Ist $\varphi = 0^\circ$, so wird $\cos v = \sin \mu$, d. i. $v = 90^\circ - \mu$; also die excentrische Magnetbreite gleich der scheinbaren; ist $\varphi = 90^\circ$, wird $\cos v = \frac{\sin \mu}{\cos \alpha}$ (1).

§. 20. Problem. Wenn eines Ortes Magnetradius, die wahre und die excentrische Magnetbreite nebst der Gröfse der Magnetaxe bekannt sind, den Winkel zu finden, welchen die magnetische Ruhelinie mit der Tangente zum magnetischen Meridiane macht, oder die schiefe Neigung (*inclinatio obliqua*) zu finden.

Der Ort sey L (Fig. 45), BLeA dessen magnetischer Meridian, *ecy* die Durchschnittslinie des letztern mit dem magnetischen Aequator, *cd* ein Perpendikel auf *ey* durch den Mittelpunkt *c* des Meridians, so ist *Lye* die wahre, *Lce* die excentrische Magnetbreite, *LyB* des ersteren Complement $= u$, *Lcd* des letzteren Complement $= v$. Man fälle LM senkrecht auf *cd*, so ist Winkel MLd $= Lcd = v$. Ist *b'La'* die magnetische Ruhelinie im Orte L, *a'LM* $= \omega$ der Winkel, welchen sie mit diesem Perpendikel bildet, so kann ihr Winkel mit dem magnetischen Meridian oder die schiefe Neigung *dLa'* so berechnet werden: da die halbe Magnetaxe $\beta\gamma$ nebst dem Magnetradius *Ly* bekannt ist, so drücke man den Magnetradius in Theilen der magnetischen

Halbaxe aus, oder setze $\frac{Ly}{\beta\gamma} = \varphi$. Es sey nämlich der Halbmesser CL der Erde *Q* mal gröfser als die Halbaxe $\beta\gamma$ des Erdmagneten, so dafs $CL = r = Q \cdot \beta\gamma$, so wird $\gamma L = r \sqrt{1 + \sin^2 \alpha + 2 \sin \alpha \cdot \cos \mu \cdot \cos v} = rR$ (§. 17, III.)

$= QR \cdot \beta\gamma$, folglich $\frac{\gamma L}{\beta\gamma} = \varphi = QR$. Mit diesem Werthe von φ und *LyB* $= u$ suche man nach den Formeln und Reihen in Hauptstück 5, §§. 19, 21, 23 den Winkel ω . Aber Winkel *dLa'*, welchen die magnetische Ruhelinie mit dem Meridiane *dL* bildet, ist $= dLM - a'LM$; setzet man *dLa'* $= i$,

so hat man die schiefe Neigung $i = v - \omega$; findet sich hingegen ω negativ, so ist $i = v + \omega$.

§. 21. Problem. *Wenn die schiefe magnetische Neigung (i), des magnetischen Meridians Neigung gegen den Horizont (v) und die scheinbare Magnetbreite gegeben sind, die wahre oder senkrechte Neigung (I) und die Abweichung (D) zu finden.*

In Fig. 47 sey, wie vorher, BLe der magnetische Meridian, bLQ der magnetische Vertikalkreis des Ortes L. Diese 2 Flächen schneiden einander in einer Linie LR, welche senkrecht auf dem magnetischen Aequator EQF ist. Der Winkel RLQ, welchen diese Durchschnittslinie mit der Erdoberfläche im Punkte L, oder mit einer Tangentfläche zum Punkte L, d. i. mit dem Horizonte des Ortes bildet, wird durch Bogen LQ gemessen, und ist also gleich dem Winkel LCQ oder der *scheinbaren Magnetbreite*. Da die Linien LR, bC und By alle senkrecht auf dem magnetischen Aequator sind, so sind sie mit einander parallel, und folglich ist der Winkel, welchen Linie LR mit der Tangentfläche oder dem Horizonte im Orte L bildet, gleich dem Winkel, welchen die verlängerte Tangentfläche mit den verlängerten Linien Cb und yB, d. i. mit der Axe des Aequators und der verlängerten Magnetsehne bilden würde. Wird dieser Winkel die *magnetische Polhöhe* genannt, so sieht man, daß die *scheinbare magnetische Breite* gleich ist der magnetischen Polhöhe, und daß Winkel RLQ beiden gleich ist.

Man denke sich eine Sphäre um den Punkt L; es sey der Kreis HTR (Fig. 48) der Horizont im Punkte L (Fig. 47), HZRN aber die Fläche des Vertikalkreises bLQ (Fig. 47); die Durchschnittslinie HR dieser 2 Flächen (Fig. 48) wird also die Tangente des Meridians bLQ im Punkte L (Fig. 47); Punkt R (Fig. 48) sey der Endpunkt der Tangente, die gegen b (Fig. 47) sich wendet; Linie ZLN, welche senkrecht gegen Horizont HTR (Fig. 48) ist, wird die Verlängerung des Radius CL (Fig. 47); Fläche BTA (Fig. 48) sey die Fläche des magnetischen Meridians BLe (Fig. 47); sie schneidet den Horizont in der Linie LT (Fig. 48), welche also Tangente zum Meridian BL (Fig. 47) wird, so daß sich der Endpunkt T nach dem Pole B (Fig. 47) wendet. Die Flächen ZRNH und BTA (Fig. 48) schneiden einander in der Li-

nie BA, welche also die Verlängerung der Linie RL (Fig. 47) wird. Also ist Winkel BLR (Fig. 48) gleich der scheinbaren Magnetbreite, oder gleich der magnetischen Polhöhe $= \mu$ (§. 17, I.). In der Fläche BTA sey Linie LM die magnetische Ruhelinie dergestalt, daß Winkel TLM die schiefe Neigung $= i$ ist (§. 20). Man lege einen Vertikalkreis ZMN durch Zenith und Nadir und die Linie LM; dieser schneidet den Horizont in der Linie L β , welche also die Richtung der horizontalen Magnetnadel wird; und Winkel β LM wird die *wahre oder senkrechte Neigung*.

In dem Dreiecke BTR ist also $BR = \mu$, Winkel BTR $= \eta$ und Winkel BRT $= 90^\circ$; hieraus findet sich $\sin TR = \sin f = \tan \mu \cdot \cot \eta$. In dem Dreiecke β TM ist Winkel β TM $= \eta$, $TM = i$, Winkel T β M $= 90^\circ$; hieraus findet sich $\tan T\beta = \tan g = \tan i \cdot \cos \eta$; $\sin \beta M = \sin I = \sin i \cdot \sin \eta$, aber β LM $= I$ ist die *wahre Neigung*. Wenn $\eta < 90^\circ$, werden f und g positiv, d. i. L β fällt ostwärts von LR; ist $\eta > 90^\circ$, werden f und g negativ, d. i. L β fällt westwärts von LR.

Linie HR (Fig. 48) ist die Linie, worin der magnetische Vertikalkreis durch den Ort L den Horizont des Ortes schneidet; sie ist Tangente zum größten Kreise bLQ (Fig. 47) im Punkte L. Aber nun ist L β (Fig. 48) die Lage der horizontalen Magnetnadel; sie bildet einen Winkel RL $\beta = f + g$ mit Linie LR. In dem Dreiecke PLb (Fig. 47) findet sich (§. 17)

$$\operatorname{tg} bLP = \operatorname{tg} A = \frac{\sin \varepsilon \cdot \sin(q - \zeta)}{\cos \varepsilon \cdot \cos p - \sin \varepsilon \cdot \sin p \cdot \cos(q - \zeta)} = \frac{\sin(q - \zeta)}{\cot \varepsilon \cdot \cos p - \sin p \cdot \cos(q - \zeta)},$$

oder

$$\cotang A = \cot \varepsilon \cdot \cos p \cdot \operatorname{cosec}(q - \zeta) - \sin p \cdot \cot(q - \zeta).$$

Aber da PL des Ortes L geographischer Meridian ist, so ist bLP $= A$ der Winkel, welchen der magnetische Vertikalkreis durch den Ort L mit dem geographischen Meridiane des Ortes bildet. Zieheth man RL $\beta = f + g$ (Fig. 48) von bLP $= A$ (Fig. 47), so wird die Differenz der Winkel, welchen die Lage der horizontalen Magnetnadel mit dem geographischen Meridiane des Ortes macht, also die *Abweichung*. Setzet man diese $= D$, so hat man $D = A - (f + g)$.

Ist Winkel bPL $= q - \zeta$ positiv und kleiner als 180° , so wird bLP

$= A$ positiv, d. i. der magnetische Vertikalkreis Lb fällt dann *westlich vom Meridiane* LP, und dann wird $D = A \mp (f + g)$, je nachdem η kleiner oder größer als 90° ist, folglich je nachdem die wahre magnetische Länge φ östlich oder westlich ist. Ist hingegen bPL $= q - \zeta$ negativ, oder positiv und größer als 180° , so wird bLP $= A$ negativ, d. i. Vertikalkreis Lb fällt dann *östlich vom Meridiane* LP, und folglich wird $D = -A \mp (f + g)$, je nachdem φ positiv oder negativ ist. Ein positiver Werth von D bezeichnet also *westliche*, ein negativer Werth *östliche Abweichung*.

§. 22. Problem. Wenn eine Magnetnadel von 2 Kräften k und k' getrieben wird, deren Richtungslinien einen Winkel mit einander bilden $= c$, zu finden: 1) die Lage, in welcher sie in Ruhe seyn wird; 2) die Kraft K , womit sie nach dieser Lage zu getrieben wird, wenn sie aus derselben herausgeführt wird.

1) Die Magnetnadel sey ab (Fig. 49), ihr Mittelpunkt, um welchen sie sich frey bewegen kann, sey c ; die Kraft k wirke in Richtungen, welche mit cA , die Kraft k' in solchen, welche mit cB parallel sind. Jedes Theilchen der Nadel wird also von den Kräften k und k' nach den Richtungen cA und cB getrieben; soll die Nadel zwischen beiden Kräften im Gleichgewichte seyn, so muß der auf die Nadel senkrechte Theil dieser Kräfte (welcher allein zum Drehen der Nadel um ihren Mittelpunkt beyträgt) gleich groß seyn, also $k \cdot \sin AcD = k' \cdot \sin BcD$; oder, wenn $AcB = c$, $AcD = x$, $BcD = y = c - x$

$$k \cdot \sin x = k' \cdot \sin(c - x) = k' \cdot \sin c \cdot \cos x - k' \cdot \cos c \cdot \sin x,$$

folglich

$$\tan x = \frac{k' \cdot \sin c}{k + k' \cdot \cos c} = \frac{\sin c}{\frac{k}{k'} + \cos c}$$

oder

$$\cotang x = \frac{k}{k'} \cdot \operatorname{cosec} c + \cotang c$$

$$\cotang y = \frac{k'}{k} \cdot \operatorname{cosec} c + \cotang c.$$

Sind dagegen die Winkel c und x bekannt, k und k' unbekannt, so läßt sich

das Verhältniß der Kräfte finden; denn $k \cdot \sin x = k' \cdot \sin(c - x)$, also

$$\frac{k}{k'} = \frac{\sin(c - x)}{\sin x}.$$

2) Der mit der Linie cD parallele Theil der Kräfte k und k' wird folglich $k \cdot \cos x$ und $k' \cdot \cos y$. Diese zwey Kräfte sind es also allein, welche auf die Nadel wirken (denn die zwey senkrechten Kräfte heben einander, da sie gleich groß sind und in entgegengesetzten Richtungen wirken); jedes Theilchen der Nadel wird also nach der Richtung cD getrieben von einer Kraft $K = k \cdot \cos x + k' \cdot \cos y$. Da

$$\cos x = \frac{1}{\sqrt{1 + \tan^2 x}}, \quad \cos y = \frac{1}{\sqrt{1 + \tan^2 y}},$$

so erhält man, wenn man statt $\tan x$ und $\tan y$ einsetzt die Werthe (1)

$$K = \sqrt{k^2 + (k')^2 + 2kk' \cdot \cos c}$$

den bekannten Ausdruck für die von zweyen einen Winkel c einschließenden Seitenkräften zusammengesetzte mittlere Kraft.

Zusatz 1. Je kleiner der Winkel c ist, desto größer wird K ; ist $c = 0$, so wird $K = k + k'$; ist $c = 90^\circ$, so wird $K = \sqrt{k^2 + (k')^2}$; ist $c = 180^\circ$, so wird $K = k - k'$. Ist in diesem Falle $k = k'$, so wird $K = 0$.

Zusatz 2. Wird die Nadel um den Mittelpunkt c so getrieben, daß sie einen Winkel $Dca = d$ (Fig. 50) mit der mittleren Kraft Richtung cD bildet, so lege man eine Ebene EcD durch cD und die Nadel ca ; jedes Theilchen a der Nadel wird alsdann nach der Richtung ad getrieben werden, welche parallel ist mit cD , von einer Kraft $K = \sqrt{k^2 + (k')^2 + 2kk' \cos c}$. Denket man sich die ganze Kraft der Nadel in den zwey Schwerpunkten der Intensitätscurve gesammelt, und setzt den Abstand derselben vom Mittelpunkte $c = l$, so wird das statische Moment der Nadel oder diejenige Kraft, womit sie in der Ebene EcD sich zu drehen strebt gegen die Linie $cD = 2mlK \cdot \sin d$, wenn m die Intensität des freyen Magnetismus der Nadel bezeichnet.

§. 23. Problem. Wenn die Erde 2 Magnetaxen hat und das Verhältniß zwischen den Kräften beider Magnetaxen bekannt ist, an einem gegebenen Orte zu finden: die magnetische I.) Abweichung (D), II.) Neigung (Z), und III.) Kraft (K).

I. Für jede Axe insbesondere berechne man nach obigen Problemen die Abweichung und Neigung der Magnetnadel nebst der Gröfse der magnetischen Kraft. Für die eine Axe sey die Abweichung $= D$, die Neigung $= I$, die Kraft $= k$; für die andere seyen dieselben Gröfsen bezeichnet mit D' , I' , k' . SDN (Fig. 51) sey der Horizont des Ortes, Z Zenith, SN die Mittagslinie, N der Nordpunkt, Kreis SZNP die Fläche des geographischen Meridians. Ferner sey LB die Ruhelinie der Magnetnadel, wenn die eine Axe allein wirkete, LA ihre Ruhelinie, wenn die andre Axe allein wirkete. Man ziehe die 2 Vertikalkreise ZAP und ZBP durch die Punkte A und B, so werden die Flächen dieser 2 Vertikalkreise den Horizont in den Linien LD und LF schneiden; diese 2 Linien würden dann die Lage der horizontalen Magnetnadel bezeichnen, wenn jede der Axen allein wirkete. Folglich wird für die eine Axe die Abweichung $NLD = ND = D$, die Neigung $DLA = AD = I$; für die andre Axe Abweichung $NLF = NF = D'$, Neigung $FLB = FB = I'$, und $DF = ND - NF = D - D'$. Denkt man sich eine Ebene durch LA und LB, so wird diese die Sphäre in dem Bogen AB eines grössten Kreises schneiden, und das sphärische Dreieck APB bilden, in welchem $AP = 90^\circ - I$, $BP = 90^\circ - I'$, Winkel $APB = DF = D - D'$.

1) Hieraus findet sich

$$\cos AB = \cos AP \cdot \cos BP + \sin AP \cdot \sin BP \cdot \cos APB,$$

oder wenn $AB = c$

$$\cos c = \sin I \cdot \sin I' + \cos I \cdot \cos I' \cdot \cos(D - D').$$

2) Da die Magnetnadel von zwey Kräften nach LA und LB getrieben wird, so ist es einleuchtend, dafs sie in einer Linie LG in der Ebene ALB in Ruhe seyn mufs, deren Lage nach §. 22, 1 gefunden werden könnte, wenn die Gröfse der Kräfte nach LA und nach LB bekannt wäre, nebst dem Winkel ALB, welchen ihre Richtungslinien einschliessen. Ist nun die absolute Kraft der einen Magnetaxe $= M$, der andern $= M'$, so ist die Kraft nach LA $= M\sqrt{A + B \cdot \cos 2u + I \cdot \cos 4u + \dots} = MF$, die Kraft nach LB $= M'\sqrt{A' + B' \cdot \cos 2u' + I' \cdot \cos 4u' + \dots} = M'F'$, wenn u und u' das Complement der wahren Magnetbreite für beide Magnetaxen, A, B, I, A', B', I' die Reihen in §. 38 (Hauptstück 5) bedeuten. Da Winkel ALB

$\equiv AB \equiv c$, so findet sich nach §. 22. 1, wenn man dort MF statt k , $M'F'$ statt x' setzt

$$\text{tang } ALG \equiv \text{tang } AG \equiv \frac{M'F' \cdot \sin AB}{MF + M'F' \cos AB} = \frac{\sin AB}{\frac{MF}{M'F'} + \cos AB}$$

oder, wenn $AG \equiv x$, $BG \equiv y$,

$$\text{cotang } x = \frac{MF}{M'F'} \cdot \text{cosec } c + \cot c, \quad \text{cotang } y = \frac{M'F'}{MF} \cdot \text{cosec } c + \cot c.$$

3) Man lege durch G und P den Bogen PGE eines größten Kreises, welcher folglich senkrecht auf dem Horizonte SDN steht, und setze Kürze halben

$$\begin{array}{llll} AP \equiv a & APB \equiv P & GB \equiv y \equiv c - x & AGP \equiv n \\ BP \equiv b & PG \equiv x & APG \equiv o & NE \equiv \mathfrak{D} \\ AB \equiv c & AG \equiv x & BPG \equiv p \equiv P - o & EG \equiv \mathfrak{Z} \end{array}$$

so findet man aus den Dreiecken APG und BPG

$$\sin n = \frac{\sin a \cdot \sin o}{\sin x} = \frac{\sin b \cdot \sin(P - o)}{\sin y},$$

folglich

$$\sin y \cdot \sin a \cdot \sin o = \sin b \cdot \sin x \cdot \sin(P - o)$$

und

$$\text{tang } o = \frac{\sin x \cdot \sin b \cdot \sin P}{\sin y \cdot \sin a + \sin x \cdot \sin b \cdot \cos P}$$

a) Aber da Bogen $DE \equiv o$, $a \equiv AP \equiv 90^\circ - I$, $b \equiv BP \equiv 90^\circ - I'$, $P \equiv DPF \equiv DF \equiv D - D'$, so wird, wenn man obige Werthe einsetzt,

$$\text{tgo} = \frac{\sin x \cdot \cos I' \cdot \sin(D - D')}{\sin(c - x) \cdot \cos I + \sin x \cdot \cos I \cdot \cos(D - D')} = \frac{\sin(D - D')}{\frac{\sin(c - x) \cdot \cos I}{\sin x \cdot \cos I'} + \cos(D - D')}$$

$$\text{cotang } o = \text{cotang } DE = \frac{\sin(c - x) \cdot \cos I}{\sin x \cdot \cos I' \cdot \sin(D - D')} + \cot(D - D').$$

Nun ist $NE \equiv ND - DE \equiv D - o \equiv \mathfrak{D}$, und da NL der geographische Meridian, LE die Lage der horizontalen Magnetnadel ist, so ist Winkel ELN ihre Abweichung, die also ausgemessen wird durch Bogen $NE \equiv \mathfrak{D} \equiv D - o$.

b) Der Winkel o kann auch folgender Mafsen gefunden werden, ohne voraus c und x zu suchen. Es ist nämlich $MF \cdot \sin x = M'F' \cdot \sin(c - x)$ (§. 22. 1),

also $\frac{\sin(c - x)}{\sin x} = \frac{MF}{M'F'}$. Dieser Werth in obiger Gleichung eingesetzt giebt

$$\cotang o = \frac{MF \cdot \cos I}{M'F' \cdot \cos I' \cdot \sin(D - D')} + \cot(D - D').$$

Nun ist $\mathfrak{D} = D - o$, folglich $\cot \mathfrak{D} = \cot(D - o) = \frac{\cot D \cdot \cot o + 1}{\cot D - \cot o}$;

setzt man für $\cot o$ den obigen Werth ein, so erhält man nach einigen Reductionen

$$\cot \mathfrak{D} = \frac{MF \cdot \cos I \cdot \cos D + M'F' \cdot \cos I' \cdot \cos D'}{MF \cdot \cos I \cdot \sin D + M'F' \cdot \cos I' \cdot \sin D'}$$

II. Aus den nämlichen Dreiecken findet man ferner

$$\cos n = \frac{\cos a - \cos x \cdot \cos z}{\sin x \cdot \sin z} = \frac{\cos y \cdot \cos z - \cos b}{\sin y \cdot \sin z},$$

folglich

$$\cos z = \frac{\sin y \cdot \cos a + \sin x \cdot \cos b}{\sin y \cdot \cos x + \sin x \cdot \cos y} = \frac{\sin y \cdot \cos a + \sin x \cdot \cos b}{\sin(x + y)}.$$

a) Nun ist $x + y = AG + BG = AB = c$, $z = PG = 90^\circ - EG = 90^\circ - \mathfrak{J}$; setzt man zugleich die Werthe ein für y , a , b , bekommt man

$$\sin \mathfrak{J} = \frac{\sin(c - x) \cdot \sin I + \sin x \cdot \sin I'}{\sin c}.$$

b) Sind c und x unbekannt, o aber nach I. b) berechnet, so kann \mathfrak{J} folgender Mafsen bestimmt werden. Aus den Dreiecken AGP und BGP findet man

$$\cot n = \frac{\cot a \cdot \sin z - \cos z \cdot \cos o}{\sin o} = \frac{\cos z \cdot \cos p - \cot b \cdot \sin z}{\sin p},$$

folglich

$(\cot a \cdot \sin p + \cot b \cdot \sin o) \cdot \tang z = \cos p \cdot \sin o + \sin p \cdot \cos o = \sin(p + o) = \sin P$,
d. i.

$$\cot \mathfrak{J} = \frac{\sin(D - D')}{\tang I \cdot \sin p + \tang I' \cdot \sin o}, \quad \tang \mathfrak{J} = \frac{\tang I \cdot \sin p + \tang I' \cdot \sin o}{\sin(D - D')}$$

wo $p = D - D' - o$.

c) Ist auch ϕ unbekannt, so kann man aus der obigen Gleichung $\sin \mathfrak{J} = \frac{\sin y \cdot \sin I + \sin x \cdot \sin I'}{\sin c}$ die unbekannten Größen $\sin y = \frac{1}{\sqrt{1 + \cot^2 y}}$

und $\sin x = \frac{1}{\sqrt{1 + \cot^2 x}}$ wegschaffen, indem man aus §. 22. 1 die Werthe von $\cot x$ und $\cot y$ einsetzt. Man erhält dann nach einigen Reductionen

$$\sin \mathfrak{J} = \frac{k \cdot \sin I + k' \cdot \sin I'}{\sqrt{k^2 + (k')^2 + 2kk' \cdot \cos c}} = \frac{k \cdot \sin I + k' \cdot \sin I'}{K}$$

wo $k = MF$, $k' = M'F'$, $\cos c = \sin I \cdot \sin I' + \cos I \cdot \cos I' \cdot \cos(D - D')$ ist, und K die aus beiden Seitenkräften k und k' zusammengesetzte mittlere Kraft (§. 22. 2).

III. Die magnetische Kraft oder Intensität im Orte L findet sich nach §. 22. 2 $= K = MF \cdot \cos x + M'F' \cdot \cos y = \sqrt{M^2 F^2 + (M'F')^2 + 2MM' \cdot FF' \cdot \cos c}$, wo $\cos c = \sin I \cdot \sin I' + \cos I \cdot \cos I' \cdot \cos(D - D')$.

Zusatz 1. Bezeichnet m den freien Magnetismus in der einen Hälfte ca der Nadel (Fig. 50), $-m$ in der andern Hälfte cb (§. 22, Zusatz 2), so wird erstere nach der Richtung LG (Fig. 51) getrieben werden von einer Kraft $= Km$, letztere von einer Kraft $= -Km$, d. i. in entgegengesetzter Richtung von einer Kraft $= Km$. Die Nadel wird also, da diese Kräfte gleich groß und entgegengesetzt sind, keine translatorische Bewegung erhalten, welches auch die Erfahrung bestätigt. Dies setzt jedoch voraus, daß die mittlere Kraft K dieselbe Intensität durch die ganze Linie ba habe, welches im eigentlichsten Verstande nicht statt findet; da aber unsre Nadeln im Vergleiche mit dem Abstände der Magnetaxen der Erde und mit den Größen derselben als unendlich klein anzusehen sind, so wird auch der Unterschied der Intensität der Kraft K in den Punkten a und b unendlich klein. In geringeren Abständen wird bekanntlich das nächste Ende der Nadel stärker angezogen, als das entfernteste Ende abgestoßen, und die Nadel bewegt sich nach dem Magneten hin.

Zusatz 2. Der Nadel statisches Moment, oder die Kraft, mit welcher sie sich um ihren Mittelpunkt zu drehen strebt, wenn sie aus der Lage LG

(Fig. 51) gebracht wird, wird $\equiv 2mlK \cdot \sin d$. Um sie in die horizontale Lage LE zu bringen, ist also eine Kraft erforderlich $\equiv 2mlK \cdot \sin ELG$ $\equiv 2mlK \cdot \sin I$. Derjenige Theil der Kraft K , welcher parallel mit der Horizontallinie LE wirkt, wird $\equiv K \cdot \cos ELG \equiv K \cdot \cos I$. Wird also die Nadel in der horizontalen Ebene DEF bis zur Linie LD geführt, welche einen Winkel $DLE \equiv d$ mit der Lage LE der horizontalen Magnetnadel macht, so wird ihr statisches Moment $\equiv 2mlK \cdot \cos I \cdot \sin d$. An einer andern Stelle der Erdoberfläche, wo die mittlere Kraft ist $\equiv K'$ und die Neigung I' , wird dieses Moment bey derselben Nadel $\equiv 2mlK' \cdot \cos I' \cdot \sin d$. Werden diese 2 Momente mit P und P' bezeichnet, so ist $P : P' \equiv K \cdot \cos I : K' \cdot \cos I'$, also $K : K' \equiv P \sec I : P' \sec I'$, d. i. die Intensitäten verhalten sich wie die Momente der horizontalen Nadel multiplicirt mit den Secanten der respectiven Neigungen. Das Verhältniß zwischen der Intensität des Erdmagnetismus an zween verschiedenen Orten, wo die Neigung bekannt ist, kann also mit Zuziehung der Coulombschen Torsionsballance, oder auf die Hauptst. 5, §. 8, Zusatz 2 vorgeschlagene Weise untersucht werden. Lasset man ferner die Nadel an zwey verschiedenen Stellen der Erdoberfläche um die Linie LG in der Vertikallinie ELP schwingen, so kann die Nadel, solange ihre Masse, Aufhängepunkt und magnetischen Kräfte unverändert bleiben, für einen zusammengesetzten Pendel mit unveränderter Länge angesehen werden, bey welchem demnach die bewegenden Kräfte sich wie das Quadrat der Anzahl der Schwingungen verhalten, oder $N^2 : (N')^2 \equiv K : K'$, wenn N und N' die Anzahl der Schwingungen, K und K' die Intensitäten bezeichnen. Endlich kann man die Nadel um die Linie LE in der horizontalen Ebene DLF schwingen lassen. Ist n und n' die Anzahl der horizontalen Schwingungen, I und I' die Neigung an zween verschiedenen Stellen der Erdoberfläche, so ist $K \cdot \cos I : K' \cdot \cos I' \equiv n^2 : (n')^2$, oder $K : K' \equiv n^2 \cdot \sec I : (n')^2 \cdot \sec I'$. Wird die Nadel in einem ungesponnenen Seidenfaden aufgehängt, so ist ihre Bewegung so frey, als nur möglich, und diese Methode ist darum vielleicht eine der tauglichsten zur Untersuchung des Verhältnisses der Intensitäten. Am sichersten würde es bey der Ausübung seyn, mehrere dieser Methoden anzuwenden, um durch Vergleichung der Resultate grössere Sicherheit zu erlangen.

§. 24. Problem. Wenn die Lage und Gröfse der Magnetaxen bekannt und die Abweichung der Magnetnadel an einem gegebenen Orte beobachtet ist, das Verhältnifs $M:M'$ zwischen den absoluten Kräften beider Magnetaxen zu finden.

Man berechne wie im vorigen §. die Abweichung und Neigung der Nadel für jede Axe insonderheit, so sind in Fig. 51 folgende Gröfsen bekannt $AD = I$, $FB = I'$, $ND = D$, $NF = D'$, $DF = D - D'$.

a) Hieraus findet man, wie in §. 23, I. 1, $\cos AB = \cos c = \sin I \cdot \sin I' + \cos I \cdot \cos I' \cdot \cos(D - D')$. Nun sey NLE die beobachtete Abweichung; man setze $NLE = \mathfrak{D}$, so ist $DE = ND - NE = D - \mathfrak{D}$; $EF = NE - NF = \mathfrak{D} - D'$. Also sind in den Dreiecken ABP, AGP und GPB folgende Stücke bekannt: $AP = a = 90^\circ - I$, $BP = b = 90^\circ - I'$, $APB = P = D - D'$, $APG = o = DE = D - \mathfrak{D}$, $BPG = p = EF = \mathfrak{D} - D'$. Man suche Bogen $AG = x$. Nun ist $\sin n = \frac{\sin a \cdot \sin o}{\sin x} = \frac{\sin b \cdot \sin p}{\sin(c - x)}$, da $y = c - x$, also $\sin x \cdot \sin b \cdot \sin p = \sin a \cdot \sin o \cdot \sin(c - x)$, woraus folgt $\cotang x = \cotang AG = \frac{\sin b \cdot \sin p + \sin a \cdot \sin o \cdot \sin c}{\sin a \cdot \sin o \cdot \sin c} = \frac{\sin b \cdot \sin p}{\sin a \cdot \sin o \cdot \sin c} + \cot c$, und wenn man die obigen Werthe einsetzt

$$\cotang x = \cot c + \frac{\cos I' \cdot \sin(\mathfrak{D} - D')}{\cos I \cdot \sin c \cdot \sin(D - \mathfrak{D})}.$$

In §. 22 ward bewiesen, dafs, wenn eine Magnetnadel von 2 Kräften k und k' getrieben würde, deren Richtungslinien einen Winkel mit einander machten $= c$, und der Winkel x , welchen die Ruhelinie mit der Richtungslinie der Kraft k bildet, bekannt wäre, alsdann wäre $\frac{k}{k'} = \frac{\sin(c - x)}{\sin x}$. Da

aber hier $k = MF$, $k' = M'F'$, so erhält man

$$\frac{k}{k'} = \frac{MF}{M'F'} = \frac{\sin(c - x)}{\sin x}, \text{ oder } \frac{M}{M'} = \frac{F' \cdot \sin(c - x)}{F \cdot \sin x}.$$

Man berechne also für beide Magnetaxen die Gröfsen F und F' nach Hauptstück 5, §§. 36, 37; diese Werthe, in obige Formel eingesetzt, geben das

Kraftverhältniß der Axen $\frac{M}{M'}$, und ist dieses einmal gefunden, so lassen sich die Probleme in §. 23 vollständig lösen.

b) Noch kürzer kann man, ohne c und x zu berechnen, folgender Mafsen verfahren. Nach §. 23, I. 3. b) ist

$$\cotang o = \frac{MF \cdot \cos I}{M'F' \cdot \cos I' \cdot \sin(D - D')} + \cot(D - D');$$

aber $\mathfrak{D} = D - o$, folglich $o = D - \mathfrak{D}$. Man erhält also

$$\frac{M}{M'} = \frac{[\cot(D - \mathfrak{D}) - \cot(D - D')] \cdot F' \cos I' \cdot \sin(D - D')}{F \cdot \cos I} = \frac{F' \cos I' \cdot \sin(\mathfrak{D} - D')}{F \cdot \cos I \cdot \sin(D - \mathfrak{D})}.$$

§. 25. Problem. Wenn die magnetische Neigung an einem Orte der Erde beobachtet und die Gröfse und Lage der Magnetaxen bekannt ist, das Verhältniß zwischen den absoluten Kräften der Magnetaxen, oder den Verhältnißexponenten $\frac{M}{M'}$ zu finden.

Die nämlichen Gröfsen werden berechnet, wie in §. 24, nämlich D , D' , I und I' nebst den Functionen F und F' . Die beobachtete Neigung sey $EG = \mathfrak{Z}$ (Fig. 51), so ist $PG = 90^\circ - EG = 90^\circ - \mathfrak{Z}$. Also sind folgende Gröfsen bekannt: $AP = a$, $BP = b$, $AB = c$, $PG = z$. Man suchet Bogen $AG = x$.

Aus den Dreiecken AGP und ABP findet man

$$\cos A = \frac{\cos z - \cos a \cdot \cos x}{\sin a \cdot \sin x} = \frac{\cos b - \cos c \cdot \cos a}{\sin c \cdot \sin a},$$

also ist

$$\cos z \cdot \sin a - \cos a \cdot \sin c \cdot \cos x = (\cos b - \cos c \cdot \cos a) \sin x$$

oder

$$A \cdot \sin x + B \cdot \cos x = C,$$

wenn man setzt $\cos b - \cos c \cdot \cos a = A$, $\cos a \cdot \sin c = B$, $\cos z \cdot \sin a = C$.

Man dividire die Gleichung mit B , so findet man

$$\frac{A}{B} \cdot \sin x + \cos x = \frac{C}{B}$$

Ferner suche man einen Winkel m von der Beschaffenheit, daß $\text{tang } m = \frac{A}{B}$,
so wird

$$\text{tang } m \cdot \sin x + \cos x = \frac{C}{B},$$

folglich

$$\sin m \cdot \sin x + \cos m \cdot \cos x = \frac{C \cdot \cos m}{B} = \cos(m - x).$$

Setzet man $\cos n = \frac{C \cdot \cos m}{B}$, so ist $\cos(m - x) = \cos n$, d. i. $\pm (m - x) = n$,
also $x = m \mp n$.

Setzet man nun die Werthe für die Größen A , B und C ein, so kann
man sich folgende Regeln abziehen, um x zu finden: Man suche einen Win-
kel m von der Beschaffenheit, daß $\text{tang } m = \frac{\sin I' - \sin I \cdot \cos c}{\sin I \cdot \sin c} = \frac{\sin I'}{\sin c \cdot \sin I}$
 $- \cot c$, und demnächst einen Winkel n von der Beschaffenheit, daß
 $\cos n = \frac{\sin c \cdot \sin \mathfrak{Z} \cdot \cos m}{\sin c \cdot \sin I} = \frac{\sin \mathfrak{Z} \cdot \cos m}{\sin I}$. Man findet dann $x = m \mp n$.

Ist $AG = x$ gefunden, so findet man $BG = c - x$, und also $\frac{M}{M'} = \frac{\sin(c - x) \cdot F'}{\sin x \cdot F}$,
wie in vorigem §.

Zusatz 1. Diese Auflösung giebt 2 verschiedene Werthe für AG , welches
nach der Natur der Sache nothwendig ist. ZSPR (Fig. 52) sey eine Sphäre
um Punkt L , durch welchen der größte Kreis $RABS$ geht. EF sey dieses
Kreises Axe; ZP sey ein anderer Diameter der Sphäre, und $RZSP$ ein anderer
größter Kreis, welcher durch beide Diameter EF und ZP geht. Im größten
Kreise RBS sey Bogen AB zwischen den Punkten A und B und die Entfernung
dieser 2 Punkte vom Punkte P gegeben; man sucht die Lage eines Punktes G
im Bogen AB , welcher eine gewisse gegebene Entfernung $PG = x$ vom
Punkte P hat (welcher also, wofern die Aufgabe möglich seyn soll, größer
seyn muß als AP und kleiner als BP), d. i. Bogen AG .

Wenn Kreis RBS nicht senkrecht ist auf Diameter ZP , so fällt in die Au-

gen, daß ein Punkt R in jenem seyn muß, welcher zunächst P ist, und ein anderer Punkt S, der am weitesten von P ist, und daß $PS = 180^\circ - PR$; ferner, daß es 2 Punkte G und g im Kreise RBSg in gleicher Entfernung vom Punkte R geben muß, welche die verlangte Entfernung von P haben. Diese 2 Punkte können folgender Maßen gefunden werden: In dem Dreiecke APB ist

$$\cos A = \frac{\cos PB - \cos AP \cdot \cos AB}{\sin AP \cdot \sin AB},$$

und aus dem Dreiecke APS, welches bey S rechtwinklig ist, findet sich

$$\text{tang } AS = \cos A \cdot \text{tang } AP = \frac{\cos PB - \cos AP \cdot \cos AB}{\cos AP \cdot \sin AB}.$$

Setzet man $AS = m$, $AP = 90^\circ - I$, $BP = 90^\circ - I'$, $AB = c$, so hat man

$$\text{tang } m = \frac{\sin I' - \sin I \cdot \cos c}{\sin I \cdot \sin c}.$$

Aus den Dreiecken APS und GPS findet man

$$\cos PS = \frac{\cos AP}{\cos AS} = \frac{\cos PG}{\cos GS}, \text{ also } \cos GS = \frac{\cos PG \cdot \cos AS}{\cos AP}.$$

Setzet man $GS = n = Sg$, $PG = 90^\circ - \mathfrak{J}$, $AS = m$, $AP = 90^\circ - I$, so hat man

$$\cos n = \frac{\sin \mathfrak{J} \cdot \cos m}{\sin I}.$$

Nun ist $AS - GS = m - n = AG$; die Differenz dieser Bogen giebt also den Punkt G. Ferner ist $AS + SG = AS + Sg = m + n = ASg$; die Summe der Bogen giebt also den andern Punkt g, welcher die verlangte Entfernung von P hat. Und hieraus ist zugleich deutlicher, als aus der vorigen Auflösung zu ersehen, was m und n für Bogen sind.

Wendet man dies auf unser jetziges Problem an, so sieht man 1) daß, wenn A und B beide auf derselben Seite des Diameters RS liegen, PG kleiner seyn muß als PB und zugleich größer als PA, wenn Punkt G nach der Voraussetzung des Problems in den Bogen AB fallen soll; ist nämlich $PG < AP$, so wird $GS > AS$, d. i. $n > m$, also $AG = AS - GS = m - n$ negativ, und G fällt auf die linke Seite des Punktes A; ist $PG > PB$, so wird $AS - GS > AB$, d. i. Punkt G fällt auf die rechte Seite des Punktes B.

Aber da der Punkt, welcher die Lage der mittleren Kraft bestimmt, nothwendig zwischen die Punkte A und B fallen muß, welche die Lage der beiden Seitenkräfte bestimmen, so weist dieses aus, daß die GröÙe von AP oder BP oder die berechneten Neigungen I und I' unrichtig seyn müssen, folglich auch die gebrauchten Elemente, d. i. entweder die angenommene GröÙe oder Lage der Magnetaxen. 2) Liegen hingegen A und B jeder auf seiner Seite des Diameters RS, so kann gern PG kleiner seyn als PA und PB, ohne daß darum Punkt G auÙerhalb des Bogens AB zu fallen brauchte. Wofern in diesem Falle $m + n < AB$, so könnte es zweifelhaft seyn, ob man setzen sollte $AG = m - n$, oder $AG = m + n$.

Zusatz 2. Wenn also die Neigung an einem Orte beobachtet ist, kann die Abweichung, selbst ohne daß der Magnetaxen gegenseitiges Kraftverhältniß oder $\frac{M}{M'}$ bekannt wäre, daraus berechnet werden; denn, wenn $AG = x$ und $BG = c - x$ bekannt sind, so findet sich nach §. 23 I. 3. a)

$$\cotang o = \cotang(D - \mathfrak{D}) = \frac{\sin c - x}{\sin x} \cdot \frac{\cos I}{\sin I' \cdot \sin(D - D')} + \cotang(D - D'),$$

also Abweichung $\mathfrak{D} = D - o$.

§. 26. Noch bleibt endlich übrig, die Länge der Magnetaxen, d. i. ihr Verhältniß zum Erddurchmesser, oder die GröÙe Q (§. 20) zu bestimmen. Diese Aufgabe direct aufzulösen, würde äusserst schwierig, eine indirecte Auflösung hingegen sehr leicht seyn, wozu man sich entweder der Abweichung, oder der Neigung, oder der magnetischen Kraft bedienen kann.

I. Aus *Humboldts* und *Bertrands* Beobachtungen (Hauptst. 2, S. 71) ist zu ersehen, daß, setzt man die magnetische Kraft in Peru, wo die Neigung $= 0^\circ$ ist, $= 1$, alsdann die Kraft in Mexico (wo die Neigung $= 42^\circ 10'$ ist) seyn würde $= 1,3155$, in Paris (bey einer Neigung $= 69^\circ 28'$) $= 1,3482$, in Port du Nord (auf Van Diemens Land, wo die Neigung $= 70^\circ 50'$ ist) aber $= 1,5773$. Hiernach scheint es glaublich, daß die Kraft in der Nähe der Magnetpole (oder in dem Punkte, wo die Neigung $= 90^\circ$ ist) kaum 2,0000 übersteigen könne. Im 5ten Hauptstücke (§. 41, S. 242) befindet sich eine Tafel mit doppelten Eingängen, welche die GröÙe der Intensität F für ver-

U u

schiedene Werthe von ρ und $u^*)$ ausweist. Hieraus ist sichtlich, daß, wenn $\rho = 1\frac{1}{2}$, dann das Verhältniß zwischen den Intensitäten am Pole (wo $u = 0^\circ$), und am Aequator (wo $u = 90^\circ$) seyn würde $= 5,515 : 0,192 = 18,3 : 1$; wenn $\rho = 1\frac{1}{4}$, wird dieses Verhältniß gefunden $= 1,890 : 0,154 = 12,3 : 1$ u. s. w. Vergleicht man hiermit in der Tafel §. 11 (S. 147) die Intensitäten am Pole und am Aequator, nach den Formeln b und β berechnet, so erhält man folgende Uebersicht:

ρ	Intensität		Verhältniß
	Pol	Aequator	
$1\frac{1}{2}$	5,5130	0,1920	18,30 : 1
$1\frac{1}{4}$	0,6370	0,1020	6,24 : 1
2	0,1826	0,0498	3,67 : 1
3	0,0433	0,0167	2,59 : 1
4	0,0170	0,0074	2,31 : 1
5	0,0084	0,0038	2,20 : 1

Hiernach schon scheint es glaublich, daß ρ wenigstens etwas über 2 seyn müsse, d. i. daß die Länge der Magnetaxen nicht größer seyn könne, als ein halber Erddurchmesser. Man setze also $Q = 2$, und berechne nach §. 23. III. die magnetische Kraft in *Humboldts* Nulpunkte in Peru, wie auch in Mexico, Paris oder Port du Nord. Findet sich das Verhältniß zwischen ersterem und einem der letzteren, z. B. Port du Nord, größer als 1:1,5773, so ist dies eine Anzeige, daß man die Magnetaxen zu groß, d. i. Q zu klein angenommen habe. Man gebe also Q größere und größere Werthe, bis das berechnete Verhältniß zwischen den Intensitäten mit den beobachteten übereinstimmt. Auf diese Weise kann man die Größe der stärkeren Axe BA, aber nicht füglich der schwächeren ba ziemlich genau bestimmen, indem es noch an Intensitätsbeobachtungen in der Nähe ihrer Pole, d. h. in Sibirien und am Feuerlande, fehlt.

II. Man wähle einen Ort in der Nähe eines der Magnetpole (z. B. für die stärkere Axe Albany Fort in der Hudsonsbay, oder Port du Nord in Van Diemens Land, für die schwächere Axe Petersburg oder Christmas Sund im Feuerlande), wo die *Neigung* mit Genauigkeit bestimmt ist; setze $Q = 2$, und

^{*)} Durch einen Druckfehler steht an angeführten Orte u statt u .

berechne nach §. 23. II. die Neigung. Findet sich diese zu klein, so setzt man Q nach und nach gröfser, d. i. die Magnetaxe kleiner, bis die berechnete Neigung der beobachteten gleich gefunden wird.

III. In §. 24. b) ward gefunden

$$\frac{M}{M'} = \frac{F' \cdot \cos I' \cdot \sin(\mathfrak{D} - D')}{F \cdot \cos I \cdot \sin(D - \mathfrak{D})},$$

wo \mathfrak{D} die beobachtete *Abweichung* bezeichnet. Ist an einer andern Stelle die beobachtete Abweichung $= \mathfrak{d}$, so findet man auf dieselbe Weise

$$\frac{M}{M'} = \frac{f' \cdot \cos i' \cdot \sin(\mathfrak{d} - d')}{f \cdot \cos i \cdot \sin(d - \mathfrak{d})} = \frac{F' \cdot \cos I' \cdot \sin(\mathfrak{D} - D')}{F \cdot \cos I \cdot \sin(D - \mathfrak{D})},$$

also

$$\frac{F'f}{Ff'} = \frac{\cos I \cdot \sin(D - \mathfrak{D}) \cdot \cos i' \cdot \sin(\mathfrak{d} - d')}{\cos I' \cdot \sin(\mathfrak{D} - D') \cdot \cos i \cdot \sin(d - \mathfrak{d})}.$$

Man wähle also zwey Orte, wo die Abweichung \mathfrak{D} und \mathfrak{d} durch Beobachtung genau bestimmt ist, den einen nahe an den Polen der stärkeren Axe (z. B. Hudsonsstraße oder Van Diemens Land), den andern nahe an denjenigen der schwächern Axe (z. B. Petersburg oder das Feuerland). Man gebe den Gröfzen Q und Q' für beide Axen einen willkürlichen Werth, z. B. $Q = Q' = 2$, berechne hierauf nach §§. 20, 21, 23 an diesen Orten für beide Axen die Intensitäten F, F', f und f' , die Abweichungen D, D', d und d' , die Neigungen I, I', i und i' . Werden beide Seiten der obigen Gleichung gleich grofs, so hat man die rechten Werthe von Q und Q' getroffen; im entgegengesetzten Falle gebe man Q und Q' nach und nach verschiedene Werthe, bis Gleichheit statt findet. Sind Q und Q' solchergestalt gefunden, so wird dadurch zugleich der Werth von $\frac{M}{M'}$ gefunden.

Zusatz 1. Hierbey darf man nicht vergessen, dafs positive Werthe von D, \mathfrak{D} und D' westliche, negative Werthe östliche Abweichung bezeichnen.

Zusatz 2. Diese drey Bestimmungsarten können sich gegenseitig berichtigen und bestätigen. Es ergibt sich hieraus, wie überaus wichtig für die Theorie es seyn würde, *vollständige* magnetische Beobachtungen (Beobachtungen aller drey magnetischen Erscheinungen, Abweichung, Neigung und

Kraft) nahe den vier erwähnten Punkten zu haben, wie es denn auch zur Berichtigung der Excentricität der Magnetaxe äusserst zweckdienlich seyn würde, im Besitze einer Reihe vollständiger Beobachtungen auf verschiedenen Punkten an der Linie ohne Neigung zu seyn.

§. 27. Wofern die im dritten Hauptstücke bestimmten vier Convergenzpunkte die nämlichen wären wie die eingebildeten Magnetpole (§. 2), so dafs sich nach gedachtem Hauptstücke für jeden vergangenen und künftigen Zeitpunkt die Lage der Magnetaxen bestimmen liesse; so wäre man im Stande, wenn der Magnetaxen Gröfse und wechselseitiges Kraftverhältnifs nach §§. 24, 25, 26 bestimmt worden, in Gemäfsheit der in gegenwärtigem Hauptstücke aufgestellten Theorie, die magnetische Abweichung, Neigung und Kraft für alle vergangene und künftige Zeiten an jedem beliebigen Orte, dessen geographische Länge und Breite gegeben wäre, zu berechnen. Aber gar leicht läfst sich darthun, dafs jene Convergenzpunkte von den eingebildeten Magnetpolen verschieden seyn müssen. Wir kennen also die Lage der Magnetaxen noch nicht genau; eine neue Untersuchung delfalls mufs vorausgeschickt werden, und dies soll der Gegenstand des nächsten Hauptstückes seyn.

§. 28. Um die in der vorhergehenden Theorie vorkommenden Formeln besser übersehen zu können, habe ich sie hier zusammengestellt.

$$1) \sin \mu = \cos \varepsilon \cdot \sin p + \sin \varepsilon \cdot \cos p \cdot \cos(q - \zeta)$$

$$2) \cot(\nu + \delta) = \cos \varepsilon \cdot \cot(q - \zeta) - \sin \varepsilon \cdot \tan p \cdot \operatorname{cosec}(q - \zeta)$$

$$3) \cot A = \cot \varepsilon \cdot \cos p \cdot \operatorname{cosec}(q - \zeta) - \sin p \cdot \cot(q - \zeta)$$

$$4) \cot \varphi = \frac{\sin \alpha}{\cos \mu \cdot \sin \nu} + \cot \nu$$

$$5) R = \sqrt{1 + \sin^2 \alpha + 2 \sin \alpha \cdot \cos \mu \cdot \cos \nu}$$

$$6) \cos \eta = \sin \alpha \cdot \sin \varphi$$

$$7) \cos u = \frac{\sin \mu}{R}$$

$$8) \cos \nu = \frac{\sin \mu}{\sin \eta}$$

$$9) \cot \omega = \frac{(A + B \cdot \cos 2u + C \cdot \cos 4u + \dots) \sin 2u}{2 + B \cdot \cos 2u + C \cdot \cos 4u + \dots} = \frac{Z}{N}$$

- 10) $i = v - \omega$
 - 11) $F = Z \cdot \cos \omega + N \cdot \sin \omega = Z \cdot \sec \omega = N \cdot \operatorname{cosec} \omega$
 - 12) $\sin f = \tan \mu \cdot \cot \eta$
 - 13) $\tan g = \tan i \cdot \cos \eta$
 - 14) $\sin I = \sin i \cdot \sin \eta$
 - 15) $D = A - (f + g)$
 - 16) $\cos c = \sin I \cdot \sin I' + \cos I \cdot \cos I' \cdot \cos(D - D')$
 - 17) $K = \sqrt{M^2 F^2 + (M' F')^2 + 2 M M' F F' \cdot \cos c}$
 - 18) $\sin \mathfrak{J} = \frac{M F \cdot \sin I + M' F' \cdot \sin I'}{K}$
 - 19) $\cot o = \frac{M F \cdot \cos I}{M' F' \cdot \cos I' \cdot \sin(D - D')} + \cot(D - D')$
 - 20) $\mathfrak{D} = D - o.$
-

Siebentes Hauptstück.

Genauere Bestimmung der Lage der Magnetpole, ihrer Größe und des Verhältnisses ihrer absoluten Kräfte.

§. 1. Die im dritten Hauptstücke gefundenen vier *Convergenzpunkte* der Magnetnadel können nicht die nämlichen seyn, wie die im vorigen Hauptstücke erwähnten *eingebildeten Magnetpole*, d. h. die Endpunkte der Magnetsehn. Jene Punkte wurden nämlich gefunden, indem man sich die Richtungslinie der horizontalen Magnetnadel verlängert auf die Erdoberfläche, als den Bogen eines größten Kreises dachte, und indem man den Durchschnittspunkt mehrerer solcher magnetischen Richtungslinien berechnete. Wofern 1) die Erde nur Eine Magnetaxe hätte, wofern 2) die horizontale Magnetnadel immer im magnetischen Meridiane läge, wofern endlich 3) alle magnetischen Meridiane große Kreise wären; so würden die auf diese Weise gefundenen Convergenzpunkte die Endpunkte der Magnetsehne seyn. Finden diese drey Bedingungen nicht statt, so werden die Convergenzpunkte mehr oder minder verschieden von den eingebildeten Magnetpolen.

I. $a'b'$ (Fig. 45) sey die magnetische Ruhelinie im Punkte L; diese muß nothwendig in der Fläche des magnetischen Meridianes AeLB liegen. Ist nun die Excentricität $Cy = 0$, so fallen die Punkte B und A mit den Punkten b und a zusammen, also wird $bB = aA = \alpha = 0^\circ$, $\cos \eta = \sin \varphi \cdot \sin \alpha = 0$ (Hauptst. 6, §. 18. 1), also $\eta = 90^\circ$, d. i. jeder magnetische Meridian AeLB stehet dann senkrecht gegen die Erdoberfläche, oder ist ein Vertikalkreis (Hauptst. 6, §. 7). Beschweret man nun den Endpunkt b' der Nadel $a'b'$ mit einem kleinen Gewichte, welches hinreicht, um sie zur Annahme einer horizontalen Lage zu bringen, so wird die Nadel Tangente des Meridianes AeLB im Punkte L werden, da dieser Meridian senkrecht gegen die Erdoberfläche ist, und also sowohl die Schwere als die magnetischen

Kräfte in derselben Fläche $AeLB$ wirken. Die verlängerte Richtung der horizontalen Magnetnadel wird dann in diesem Falle nichts anders als der Bogen LdB , welcher, da die Excentricität oder der Bogen $Bb = 0$ ist, ein Bogen eines grössten Kreises wird, der durch den Endpunkt B der magnetischen Sehne geht. Da dieses auch von jedem andern Punkte der Erdoberfläche gilt, so erhellet, *dafs, hätte die Erde nur Eine Magnetaxe, und die Excentricität dieser wäre $= 0$, die verlängerten Richtungslinien der horizontalen Magnetnadel einander in den Endpunkten der magnetischen Sehne schneiden würden.*

II. Hat die Erde nur Eine Magnetaxe, aber ist diese *excentrisch*, so liegt zwar die magnetische Ruhelinie $a'b'$ (Fig. 45), oder die Lage der Neigungsnadel in der Fläche des magnetischen Meridianes BLe ; da aber dieser nicht senkrecht ist gegen die Erdoberfläche, so muß das Gegengewicht, das in b' angebracht wird, um der Nadel eine horizontale Lage zu ertheilen, selbige nothwendig aus der Meridianfläche BLe bringen, so dafs die horizontale Magnetnadel nicht Tangente des Meridianes BLe im Punkte L wird. Wir haben nämlich gesehen (Hauptst. 6, §. 21), dafs, wenn der Kreis $ZRNH$ (Fig. 48) die Fortsetzung ist des Vertikalkreises bLQ (Fig. 47), und der Kreis $BTMA$ (Fig. 48) die Fortsetzung des magnetischen Meridians eLB (Fig. 47), dann LT (Fig. 48) Tangente des Meridianes eLB in demselben Punkte L (Fig. 47) wird. Ist nun LM (Fig. 48) die magnetische Ruhelinie, und man beschweret den Endpunkt der Nadel, welcher über dem Horizonte ist, mit einem kleinen Gewichte, um sie in eine horizontale Lage zu versetzen, so wird sie die Lage $L\beta$ annehmen, welche in einem Vertikalkreise ZMN durch die Ruhelinie LM liegt, indem die Wirkung der Schwere allemal vertikal ist. Da nun die Lage der horizontalen Nadel $L\beta$ und nicht LT ist, so erhellet, dafs sie ausserhalb des Meridianes eLB (Fig. 47) fällt, und also wird ihre Verlängerung nicht durch den Punkt B gehen, sondern den ersten Meridian in einem Punkte schneiden, der zwischen B und F liegt. Da solches auch von allen andern Punkten auf der Erdoberfläche gilt, so ergiebt sich, *dafs der Convergenzpunkt, in welchem die verlängerten magnetischen Richtungslinien in der Nähe des Poles B einander schneiden, wofern die Magnetaxe excentrisch ist, irgendwo im ersten magnetischen Meridiane zwischen dem Endpunkte B der Magnetsehne und dem*

geräumigen Halbkreis F des magnetischen Nordpols fällt: Folglich wird die Concentration in diesem Falle zu groß gefunden werden.

II. Das endlich die Erde einer Magnetkugel, so gäbe die horizontale Magnetnadel, gesehen von den Kreisen LA und LB (Fig. 51), die Lage LE statt LD oder LF an, wenn sie in Ruhe gewesen seyn würde, falls sie eine oder die andere der Magnetkugeln allein gewirkt hätte; und das werden die gefundenen Convergenzpunkte noch weit verschieden von den gesuchten Endpunkten der Magnetkugel seyn. Sind die Beobachtungen, von welchen die Convergenzpunkte gefunden wurden, unter ein Punkt B (Fig. 52) gewirkt, so wird die Intensität der Magnetkraft bedeutend größer seyn, als die Intensität der andern A , und dadurch wird sich wohl dieser Fehler etwas vermindern, ob er gleich, da die Länge der Magnetkraft kleiner ist, als ein halber Erdkreisbogen (Haupt 4, §. 48), und folglich die Intensität nahe an dem Magnetpolen nicht sehr hoch seyn kann, doch immer bedeutend bleibt. Aus diesem Grunde sind die Beobachtungen, durch welche die Lage eines Punktes im äussern Hauptkreise bestimmt ist, so nahe als möglich bey den Convergenzpunkten selbst gewirkt.

III. Wir sind hier auf den näherstgelegten Kreise in der ganzen Untersuchung gekommen. Aus dem Obigen schließt, daß wir von dem Magnetkern der Erde eben nicht viel mehr wissen, als ihre Anzahl. Ihre ganze Lage, ihre Länge und Weite, Dimensionen selbst ihrem Rechtsverhältnisse sind uns beynahe gänzlich unbekannt. Die Größe laßt sich nach Haupt 4, §. 48 finden, wenn die Lage und das Rechtsverhältnis genau bestimmt wären; das Rechtsverhältnis laßt sich nach §§. 25, 26 finden, wenn Lage und Größe bekannt wären; irgend eine Methode zu genauere Bestimmung der Lage anzugeben, wird schwierig seyn. Aber zeigen sich endlich nicht weniger als 11 größtentheils unbekannte Größen; jede derselben hat Einfluß auf die Lage der Magnetnadel, und zu bestimmen, wie große Wirkung jede habe, ist beynahe unmöglich. Die vollständigen und gründenden Berechnungen nachzuwerfen, welche ich Anlage verschiebe, um so möglich der Wahrheit etwas näher zu kommen, würde weder nützlich noch sehrwendig seyn. Endlich sage ich mir eine Methode, mittelst welcher die fehlenden Elemente nach und

nach verbessert wurden. Ob es gleich möglich ist, daß der von mir eingeschlagene Weg weder am geschwindesten noch leichtesten zum Ziele führen möchte, so will ich denselben doch obenhin andeuten; vielleicht könnte ein Anderer, der mit größerer Stärke in der Analyse und einem schärferen Blicke ausgerüstet wäre, dadurch geleitet, einen sichreren Abschneideweg entdecken. Man betrachte diese ganze Arbeit, insonderheit gegenwärtiges Hauptstück, bloß als einen Versuch, dessen Zweck es ist, darzuthun, daß die drey bekannten magnetischen Erscheinungen der Erde sich wenigstens als eine Approximation durch die Annahme zweyer magnetischen Axen darstellen lassen. Gelingt es mir, dies zu beweisen, so ist meine Absicht erreicht; dann wird es einleuchten, daß das Magnetsystem der Erde kein ganz unzugängliches Labyrinth sey, aus dessen Irrgängen sich herauszuwinden man vergebens Zeit und Kräfte verschwende.

§. 2. Obgleich also die vier Convergenzpunkte die Lage der Magnetaxen nicht genau angeben, so lassen wir dieses bis aufs Weitere ausser Betracht. Reduciret man die Lage dieser Punkte nach dem dritten Hauptstücke auf das Jahr 1775, so findet sich

Magnet- punkt.	Abstand vom Pole.	Länge Ferro.
B	19° 48'	278° 55'
A	20 34	153 46
b	4 23	120 46
a	12 42	254 6

Hier bezeichnet B den Nordpunkt, A den Südpunkt der stärkeren Axe; b den Nordpunkt, a den Südpunkt der schwächeren Axe.

Also findet man für die Axe AB (Hauptst. 6, §. 16) $b = 19^\circ 48'$, $a = 20^\circ 34'$, $\gamma = 278^\circ 55' - 153^\circ 46' = 125^\circ 9'$; und aus diesen ursprünglichen Elementen findet sich wieder $\alpha = 9^\circ 9'$, $d = 89^\circ 10'$, $n = 64^\circ 35'$, $e = 18^\circ 4'$, $\psi = 92^\circ 33'$, $\delta = 87^\circ 19'$. Also wird die Länge des pericentrischen Endpunktes F des magnetischen Durchmessers (Fig. 46) gleich

X x

die Länge des Punktes $B = x$ mit $172^{\circ} 32' = 54^{\circ} 32' \sin 42^{\circ} 42'$, und die Länge des Nordpols des magnetischen Aequators oder y mit $114^{\circ} 2' + y$ mit $114^{\circ} 2' 32' + 32^{\circ} 32' \sin 30^{\circ} 32'$.

Auf dieselbe Weise findet man für die Azim. B' mit $2^{\circ} 32'$, α' mit $12^{\circ} 42'$, β' mit $102^{\circ} 42' = 102^{\circ} 2' \sin = 122^{\circ} 32' \sin 12^{\circ} 42'$, Azim. B' folglich 42° mit $2^{\circ} 32'$, α' mit $32^{\circ} 32'$, α mit $= 114^{\circ} 2' 32'$, β' mit $= 32^{\circ} 32'$, β mit $= 102^{\circ} 42'$, δ mit $= 32^{\circ} 32'$. Man wird die Länge des geographischen Nordpols des Elements mit $114^{\circ} 2' 32' + 114^{\circ} 2' \sin 32^{\circ} 32'$, die Länge des Nordpols des magnetischen Aequators oder z' mit $114^{\circ} 2' 32' = 102^{\circ} 12' \sin 32^{\circ} 32'$.

§ 4. Zur Bestimmung des Grades der schieferen Axi AB wählen wir eine Beobachtung von München in der Hochmeride des ersten Juli 1774, Breite $48^{\circ} 42' N$, Länge $12^{\circ} 30'$ London $1242^{\circ} 12' O$ Paris, Neigung mit $42^{\circ} 42' N$, Abweichung mit $42^{\circ} 30'$ (Philos. Trans. P. 1774 p. 104) wählen. Wenn man diese Werte in die Formeln (Hauptst. §. 22. 17. 18) einsetzt, so findet sich, da p mit $42^{\circ} 32'$, $q = 2$ mit $102^{\circ} 32' = 32^{\circ} 32' \sin 12^{\circ} 32'$, aus den obigen Werten von α , β und δ (§. 3): α mit $32^{\circ} 32'$, β mit $= 32^{\circ} 32'$, δ mit $102^{\circ} 32'$, γ mit $= 32^{\circ} 32'$, γ mit $32^{\circ} 32'$, α mit $12^{\circ} 32'$, β mit $102^{\circ} 32'$.

Man setzt sodann Q (§. 12) mit 12 , α mit 12 , β mit 12 , δ mit 12 die Magnetkraft gleich $\frac{1}{2}$, $\frac{1}{2}$, $\frac{1}{2}$, $\frac{1}{2}$ die Entfernung, so wird p mit Q , β mit $32^{\circ} 32'$ ausgerechnet, sodann $102^{\circ} 32'$, $102^{\circ} 32'$. Werden diese Werte von p eingesetzt in Hauptst. §. 22. 17 und 18, so findet man α mit $= 32^{\circ} 32'$, β mit $= 32^{\circ} 32'$, δ mit $= 32^{\circ} 32'$, γ mit $= 32^{\circ} 32'$, γ mit $= 32^{\circ} 32'$, α mit $= 12^{\circ} 32'$, β mit $= 102^{\circ} 32'$. Da die $P.M.$ mit die $T.M.$ die PTM (Fig. 22) oder die J mit die i der (Hauptst. §. 22. 17), so findet sich für obige Werte von p die schiefe Neigung wegen der Axi AB oder i mit $12^{\circ} 32'$, $12^{\circ} 32'$, $12^{\circ} 32'$, $12^{\circ} 32'$.

Bogen AB (Fig. 22) mit die schiefergemachte krumme Neigung i bezeichnen man auf dieselbe Weise die Neigung AB von P , welche die Axi haben würde, falls die schieferen Magnetkraft gleich sei die schiefe, so würde diese kleiner werden als i , da der Beobachtungsort entfernter vom Nordpol dieser Axi liegt, und demnach würde die von beiden Axi herrührende Neigung AB

≈ 3 kleiner werden als 80° , wenn man auch annähme $Q = 10$, oder $Q = \infty$, d. i. die Magnetaxe $\frac{1}{10}$ der Erdaxe, oder unendlich klein. Da die Neigung durch Beobachtung an diesem Orte gefunden ist $\approx 82^\circ 42'$, so läßt sich hieraus schließen: 1) daß der Winkel ϵ , welchen der Aequator der stärkern Magnetaxe mit dem Aequator der Erde bildet, oder welchen die Axe jenes Aequators mit der Erdaxe macht, größer seyn müsse als $18^\circ 4'$, d. i. größer als der durch die Convergenzpunkte (§. 2) gefundene; 2) daß die stärkere Magnetaxe ziemlich klein seyn müsse im Verhältnisse zur Erdaxe, welches auch der geringe Zuwachs der Intensität nach den Polen hin zu erkennen zu geben scheint (Hauptst. 6, §. 26), und daß man vorläufig zur Erleichterung des Calculs jene unendlich klein annehmen könne.

In Petersburg fand *Krafft* im Jahre 1778 die Neigung $\approx 72^\circ 36'$; die Breite ist $59^\circ 56'$, die Länge $47^\circ 59'$ von Ferro. Berechnet man nun auf die nämliche Weise die Neigung I' , welche die Nadel in Petersburg haben würde, wofern die schwächere Axe allein wirkete, so wird man auch diese zu klein finden, setzte man nicht etwa auch hier $Q = 10$ oder ∞ . Man kann also vorläufig beide Axen als unendlich klein annehmen, und folglich den

Winkel ω berechnen nach der Formel $\cot \omega = \frac{-\sin 2u}{\frac{1}{3} + \cos 2u}$ (Hauptst. 5, §. 21,

Zusatz), und die Intensität $mF = k$ nach der Formel $k = \frac{m}{4\rho} \sqrt{10 + 6 \cos 2u}$ (ebendaselbst §. 39).

§. 4. Der Kreis AHQ (Fig. 53) sey der Aequator der Erde, Pp seine Pole, MN sey der Aequator der stärkeren Magnetaxe, welcher nach §. 2 einen Winkel AFM $= \epsilon = 18^\circ 4'$ mit dem Aequator der Erde bildet und denselben in einem Punkte F schneidet, dessen Länge ist gleich $\zeta + 90^\circ = 306^\circ 53' + 90^\circ = 36^\circ 53'$; der Kreis mn sey der Aequator der schwächern Magnetaxe, der mit dem Aequator der Erde einen Winkel QEn $= \epsilon' = 8^\circ 1'$ bildet und denselben in einem Punkte E schneidet, dessen Länge ist $= \zeta' - 90^\circ = 83^\circ 33' - 90^\circ = -4^\circ 27'$. Der Bogen El des Aequators, der zwischen diesen beiden Knoten liegt, wird also $= \zeta + 90^\circ - (\zeta' - 90^\circ) = 36^\circ 53' + 4^\circ 27' = 41^\circ 20'$. Da beide Aequatoralfächen MN und mn

X x 2

größte Kreise sind, werden sie einander in einem Durchmesser schneiden, dessen einer Endpunkt G südlich, der andere eben so weit nördlich vom Aequator der Erde liegt. Die Lage dieser Punkte wird folgender Maßen gefunden: PGp sey ein geographischer Meridian durch G, welcher den Aequator der Erde in H schneidet; man setze $EF = l$, $EH = x$, also $HF = l - x$, $HG = y$, $HFG = \epsilon$, $HEG = \epsilon'$, so findet man aus den Dreiecken EHG und FHG, welche rechtwinklig bey H sind,

$\operatorname{tg} y = \operatorname{tg} \epsilon \cdot \sin(l - x) = \operatorname{tg} \epsilon' \cdot \sin x = \operatorname{tg} \epsilon \cdot \sin l \cdot \cos x - \operatorname{tg} \epsilon \cdot \cos l \cdot \sin x$, also

$$\operatorname{tang} x = \frac{\operatorname{tang} \epsilon \cdot \sin l}{\operatorname{tang} \epsilon' + \operatorname{tang} \epsilon \cdot \cos l}$$

Aus obigen Werthen für ϵ , ϵ' und l findet man $x = 29^\circ 3'$, $y = 3^\circ 55'$; also die Länge des Punktes G = der Länge von E plus $x = -4^\circ 27' + 29^\circ 3' = 24^\circ 56'$ O. Ferro oder $6^\circ 56'$ O. Greenwich.

Im Punkte G muß die Neigung seyn $= 0$; denn sowohl AD (I) als FB (I') (Fig. 51) wird in diesem Falle $= 0$, und die Richtung der mittleren magnetischen Kraft LG fällt mit LE zusammen, d. i. in die Fläche des Horizonts SDN. Das Nämliche gilt von dem andern Punkte, welcher 180° von G liegt; diese zwey Punkte müssen also in der Linie ohne Neigung liegen. Der Magnetaxen Dimensionen, Kraftverhältniß und Excentricität müssen also von jeder beliebigen Größe seyn, so muß es in der Linie ohne Neigung allemal zwey Punkte geben, die einander diametral entgegengesetzt sind, wenn nur die Mittelpunkte der Magnetaxen und der Magnetsehnern zusammenfallen (Hauptst. 6, §§. 1, 2). Betrachtet man die Neigungskarte für das Jahr 1780, so ist zu sehen, daß sich in der Linie ohne Neigung wirklich zwey solche Punkte finden, die einander diametral entgegengesetzt sind, nämlich in $4^\circ \frac{1}{2}$ S. Br., 14° O. L. Greenw., und $4^\circ \frac{1}{2}$ N. Br., 194° O. L. Gr. Obige Berechnung gab die Breite des Punktes G $= 3^\circ 55'$, die Länge $= 6^\circ 56'$; der Unterschied in der Breite ist $0^\circ 25'$, in der Länge $= 7^\circ 4'$. Die Fehler der obigen Elemente scheinen also nicht sehr bedeutend zu seyn. Setzet man nun nach der Neigungskarte die Breite des Punktes G $= 4^\circ 20'$ und die Länge $= 14^\circ$ O. Gr., und der rechte Werth der Winkel HFG $= \epsilon$, HEG $= \epsilon'$ könnte auf eine an-

dere Weise bestimmt werden, so liefse sich aus den Dreiecken HEG und HFG die Länge der Punkte F und E finden, d. i. $\zeta + 90^\circ$ und $\zeta' - 90^\circ$, wodurch also die richtige Lage der Pole des Aequators bestimmt wäre.

Da die Linie ohne Neigung an diesem Orte einen Winkel mit dem Aequator der Erde von $20^\circ - 21^\circ$ macht, so erhellt, daß ϵ nothwendig größer seyn müsse als $18^\circ 4'$, welches mit dem im vorigen §. Bewiesenen übereinstimmt. Ich versuchte hierauf ϵ und ϵ' nachgerade größere und größere Werthe zu geben, und berechnete die Abweichung und Neigung an verschiedenen Orten in der Nähe des Aequators und der Pole. Bey Vergleichung der solchergestalt berechneten Abweichungen und Neigungen mit den beobachteten fand ich, daß ϵ und ϵ' zwischen 25° und 28° angenommen werden müßten, und daß das Verhältniß zwischen den Kräften der Magnetaxen sich ungefähr setzen liefse $= 2:1$, d. i. $\frac{M}{M'} = 2$. Da inzwischen die fehlerhaften Ele-

mente a , b und γ (§. 2) ebenfalls Einfluß haben müssen auf den Excentricitätswinkel α , wie auch auf die übrigen Gröfsen d , n , ϵ , ψ und δ , und sie durch ähnliche Schätzungen und Versuche sammt und sonders zu berichtigen gar zu weitläufig seyn würde, so verließ ich zuletzt diese Methode, und zwar um so mehr, da die Linie ohne Neigung gerade an den beiden obenerwähnten Punkten in 14° und 194° Länge weniger zuverlässig ist. Gleichwohl wäre es höchlich zu wünschen, daß nahe an diesen zween Punkten *genaue* und *vollständige* magnetische Beobachtungen angestellt werden möchten, welches zur Bestätigung und Berichtigung der Theorie des Erdmagnetismus ein Großes beytragen würde.

§. 5. Im Hauptstücke 5, §. 32. II. wurde bewiesen, daß, wenn in der Fläche eines Kreises ANQS (Fig. 31) ein unendlich kleiner Magnet in c lieget, dessen Abstand vom Mittelpunkte des Kreises ist $= Cc$, wenn ferner die Linie ns die verlängerte Magnetaxe (die Magnetsehne), NS aber ein mit derselben paralleler Durchmesser ist, und r und r' wären die Punkte, wo die magnetische Ruhelinie senkrecht gegen den Umkreis ist, alsdann Nn werde $= Ss = \frac{1}{3}Nr = \frac{1}{3}Sr'$, d. i. der Abstand der beiden Punkte, wo die Neigung $= 90^\circ$, von den Polen des magnetischen Aequators gleich sey der dreyfachen Excen-

tricität (wenn die Excentricität so klein ist, daß der Bogen Nn und die Excentricität Cc , die sein Sinus ist, für gleich groß angesehen werden können). Wofern die Erde nur Eine Magnetaxe hätte, würden also die zwey Punkte, wo die Neigung $= 90^\circ$ war, in den ersten magnetischen Meridian $AnQs$ fallen in einem Abstände $Nr = Sr'$ gleich der dreyfachen Excentricität Cc . Es läßt sich leicht beweisen, daß die Convergenzpunkte der horizontalen Magnetnadel in diesem Falle zusammenfallen würden mit den Punkten r und r' , wo die Neigungsnadel senkrecht ist (vergleiche Hauptst. 7, §. 1. II.), so daß der Bogen α (§. 2) nicht ist der Bogen Nn , sondern der Bogen Nr .

Kreis $EBFA$ (Fig. 54) sey der erste Magnetmeridian, BA die Magnetsehne, I und i die zwey Punkte, wo die magnetische Richtung senkrecht ist gegen die Erdoberfläche. Im Punkte I fällt also die magnetische Richtung zusammen mit dem Erdradius IC , und die horizontale Magnetnadel ist gleichgültig gegen jede Lage; im Punkte B fällt die magnetische Ruhelinie mit der Magnetsehne By zusammen, und folglich wird ihre gegen den Horizont hingeführte Lage BI . Es läßt sich ebenfalls leicht beweisen, daß im ganzen Bogen FI die Lage der horizontalen Magnetnadel in den Bogen FI fallen und also verlängert den Punkt I durchschneiden werde. K sey ein Punkt ausserhalb des ersten Meridianes, welcher dem Punkte I unendlich nahe liegt. Dem Gesetze der Stetigkeit zufolge wird also die magnetische Richtung im Punkte K den Erdradius IC unendlich nahe am Mittelpunkte C durchschneiden, und zum Horizonte hingeführt folglich mit dem Bogen KI zusammenfallen. Auf dieselbe Weise läßt sich beweisen, daß an jedem andern Orte in der Nähe des Punktes I die Lage der horizontalen Magnetnadel den Punkt I schneiden werde. Der Abstand bI der im obigen §. 2 gefundenen Convergenzpunkte vom Pole b des magnetischen Aequators ist also gleich dem dreyfachen Excentricitätsbogen Bb .

Dieses kann auch folgender Maßen bewiesen werden. Kreis EKA sey ein Magnetmeridian durch Ort K ; selbiger bildet mit der Erdoberfläche einen schiefen Winkel $= \eta$ (Hauptst. 6, §. 18. 1). $IIZR$ (Fig. 48) sey eine Sphäre um Punkt K (Fig. 54); BMA (Fig. 48) sey die Fläche des Meridianes BKA (Fig. 54), $IIIR$ der Horizont, $BTR = \eta$, LM die magnetische Ruhelinie,

ZMN ein Vertikalkreis durch dieselbe: so ist $L\beta$ die Lage der horizontalen Magnetnadel, die einen Winkel $TL\beta = g$ (Hauptst. 6, §. 21) bildet mit der Durchschnittslinie LT des Magnetmeridians und des Horizonts. Nun ist LT Tangente des Meridianes KB (Fig. 54) im Punkte K; wird also gesetzt Winkel $BKI = g = TL\beta$ (Fig. 48), so ist Punkt I der gesuchte Convergenzpunkt.

Um den Abstand dieses Punktes von B, oder Bogen BI desto leichter zu finden, wollen wir annehmen, Meridian BKA sey senkrecht gegen den ersten Meridian EBFA, also die wahre Magnetlänge $\varphi = 90^\circ$; der Winkel, unter welchem dieser Meridian die Erdoberfläche schneidet, wird also $= \eta = 90^\circ - \alpha$, da $\cos \eta = \sin \alpha \cdot \sin \varphi$ (Hauptst. 6, §. 18). Man ziehe den Magnetradius γK und setze den Winkel $B\gamma K = u$; ist die schiefe Neigung im Punkte K $= i$, so ist, wenn die Magnetaxe unendlich klein angenommen wird, $\tan i = 2 \cot u$ (Hauptst. 5, §. 27). Nach §. 21, Hauptst. 6, ist $\tan BKI = \tan g = \tan i \cdot \cos \eta = 2 \cot u \cdot \sin \alpha$, wenn obige Werthe eingesetzt werden. Ist Bogen BK sehr klein, so kann ohne merklichen Fehler Dreyeck BKI als geradlinig angesehen werden, und da $KBI = 90^\circ$, wird $BI = BK \cdot \tan BKI = BK \cdot \tan g = 2BK \cdot \cot u \cdot \sin \alpha$. Wird gesetzt Erdradius $bC = 1$, so ist Radius $B\gamma$ im Meridian BKA $= bC \cdot \cos Bb = \cos \alpha$, also die Länge des Bogens $BK = u \cdot \cos \alpha$; ferner ist $\cot u = \frac{1}{u} - \frac{u}{1 \cdot 3} - \frac{u^3}{1 \cdot 3 \cdot 5 \cdot 3}$. Werden diese Werthe eingesetzt, so findet man

$$\begin{aligned} BI &= 2u \cdot \sin \alpha \cdot \cos \alpha \left(\frac{1}{u} - \frac{u}{1 \cdot 3} - \frac{u^3}{1 \cdot 3 \cdot 5 \cdot 3} - \right) \\ &= \sin 2\alpha \left(1 - \frac{u^2}{1 \cdot 3} - \frac{u^4}{1 \cdot 3 \cdot 5 \cdot 3} - \right). \end{aligned}$$

Ist α ein kleiner Bogen von einigen wenigen Graden, so kann man ohne bedeutenden Fehler setzen $BI = 2\alpha = 2 \cdot Bb$, also $bi = BI + Bb = 3Bb = 3\alpha$.

Ein ähnlicher Convergenzpunkt i wird also gefunden werden im südlichen Theile des ersten Meridians in einem Abstände $ai = 3 \times Aa = 3\alpha$ vom Südpole des magnetischen Aequators. Hätte die Erde also nur Eine Magnetaxe, so wäre die wahre Excentricität derselben $C\gamma = \sin Bb = \sin \alpha$ leicht zu bestimmen. Aus dem Declinationssystem fände sich nämlich die geogra-

phische Lage der beiden Convergenzpunkte I und i ; werden diese mit der Sehne li verbunden, so wird letztere parallel mit der Magnetaxe oder der magnetischen Sehne BA . Ist der Abstand des Punktes I vom Nordpole der Erde $= a'$, und des Punktes i von ihrem Südpole $= b'$, der geographische Längenunterschied zwischen den Punkten I und $i = \gamma'$ und der Bogen $bl = ai = a'$, so wird gefunden, nach Hauptst. 6, §. 16, $\cos 2a' = \cos a' \cdot \cos b' - \sin a' \cdot \sin b' \cdot \cos \gamma' = \cos 6a$. Oben ward solchergestalt für die stärkere Axe gefunden $a' = 9^\circ 9'$, für die schwächere $a' = 5^\circ 6'$, also wird für die stärkere Axe $a = \frac{1}{2}a' = 5^\circ 3'$, für die schwächere $a = 1^\circ 42'$.

§. 6. An jedem Orte der Erde wird die Magnetnadel von beider Magnetaxen vereinigten Kräften im Gleichgewichte gehalten; die Abweichung muß also eine ganz andere seyn, als sie gewesen seyn würde, falls die Erde blos Eine Magnetaxe gehabt hatte. Die aus den beobachteten Abweichungen berechneten Convergenzpunkte müssen also verschieden seyn von den Punkten I und i (Fig. 54) im vorigen §. Man hat die Lage der Convergenzpunkte aus Winkel $ELN = \mathfrak{D}$ (Fig. 51), statt aus Winkel $DLN = D$ bestimmt; der Unterschied zwischen diesen Winkeln ist $DLE = o$. Um nun den gehörigen Werth des Winkels DLN zu finden, berechne man für einen Ort auf der Erde in der Nähe eines der Magnetpole, wo die beobachtete Abweichung ist $= \mathfrak{D}$, nach den in §. 2 angeführten fehlerhaften Elementen die Winkel D , D' , I und I' , wie auch nach Hauptst. 6, §. 24 den Winkel o ; aber $DLN = ELN + DLE = \mathfrak{D} + o$; dieser Winkel heiße die *berichtigte Abweichung*. Für einen andern Ort auf der Erde in der Nähe desselben Poles bestimme man auf die nämliche Weise die berichtigte Abweichung; und bestimme aus diesen beiden Abweichungen den Convergenzpunkt nach Hauptst. 3, S. 80. Berechnet man eben so die berichtigte Abweichung an zweien Orten in der Nähe des entgegengesetzten Poles derselben Magnetaxe, und bestimme aus diesen den Convergenzpunkt, so kann man aus diesen zweien neuen Convergenzpunkten die Elemente α , ϵ , d , ζ , δ , nach Hauptst. 6, §. 16 berechnen. Mit diesen berichtigten Elementen suche man auf die nämliche Weise für die andere Magnetaxe zwey neue Convergenzpunkte, und berechne daraus die berichtigten Elemente α' , ϵ' , d' , ζ' und δ' , und fahre dermaßen fort, die Ele-

musste für beide Azen wechselndes zu berücksichtigen, da die zuletzt gefundenen Elemente von den nicht wechselnden nicht mehr bedeutend verschieden sind.

§. 2. Nach §. 1 und §. 3 sind die unterstehenden Elemente für beide Azen folgende:

Magneten.	a	a'	l	l'	M
AB ab	$5^{\circ} \ 5'$ 1. 47	$10^{\circ} \ 4'$ 0. 4	$70^{\circ} 55'$ 55 55	$10^{\circ} \ 15'$ — 10 41	0 1

A. Um den stählernen Convergenzpunkt B der stärksten Azen zu berücksichtigen, wurden folgende Bestimmungen gewöhnlich:

1) *Prince of Wales's Fort*, Breite $52^{\circ} \ 48'$, Länge $153^{\circ} \ 48'$, Abweichung im August 1776 um $5^{\circ} \ 47'$ W., beobachtet von Wales mit $10\frac{1}{2}$ jährlicher Veränderung (siehe Anhang, Tabel I S. 49) auf das Jahr 1775 reduziert, da sich die Abweichung für letzteres um $2^{\circ} \ 5'$. 2) *Madras Straße*, Breite $62^{\circ} \ 5'$, Länge $85^{\circ} \ 11'$ London oder $905^{\circ} \ 52'$ G. Ferro, die Abweichung, von Madras das spätere Jahr 1775 beobachtet, um $45^{\circ} \ 11'$ (siehe Madras. Trans. 1776) mit jährlicher Veränderung $1\frac{1}{2}$, reduziert auf 1775, Abweichung um $42^{\circ} \ 45'$ W. Wurden beide Magneten als unendlich klein angenommen, und $M:MP$ um 2:1, so findet sich der *Prince of Wales's Fort* I um $42^{\circ} \ 1'$, P um $85^{\circ} \ 34'$, D um $+ 10^{\circ} \ 17'$, D' um $+ 2^{\circ} \ 42'$, α um $5^{\circ} \ 47'$, also die richtige Abweichung $\frac{1}{2} \frac{1}{2} + \alpha$ um $2^{\circ} \ 5' + 2^{\circ} \ 42'$ um $15^{\circ} \ 47'$. Auf der selben Weise findet sich für die andere Bestimmung in der Madrasstraße I um $42^{\circ} \ 50'$, P um $75^{\circ} \ 55'$, D um $+ 45^{\circ} \ 15'$, D' um $+ 10^{\circ} \ 15'$, α um $+ 10^{\circ} \ 15'$, also die richtige Abweichung $\frac{1}{2} \frac{1}{2} + \alpha$ um $42^{\circ} \ 15'$. Aus diesen beiden berücksichtigten Abweichungen stählernen Convergenzpunktes der stärksten Magneten, die Länge $177^{\circ} \ 50'$.

B. Zur Berücksichtigung des stählernen Convergenzpunktes der schwächeren Magneten, wurden folgende Bestimmungen von

	Breite	Länge		Abw.
1) d. 3ten März	60° 12' S.	110° 52' Gr.	128° 32' Ferro	39° 15' W.
2) d. 7 - 8ten März	59 44 —	121 19 —	138 59 —	28 44 —

Aus ersterer wird gefunden $o = 11^\circ 14'$, also die berichtigte Abweichung $= \odot + o = 39^\circ 15' + 11^\circ 14' = 50^\circ 29'$; aus letzterer $o = 4^\circ 45'$, also die berichtigte Abweichung $= 28^\circ 44' + 4^\circ 45' = 33^\circ 29'$. Hiedurch wird der Abstand des *südlichen Convergenzpunktes* der stärkeren Axe vom Südpole $= 24^\circ 15'$, die Länge $= 149^\circ 13'$ gefunden.

Wird nun gesetzt $b' = 25^\circ 44'$, $a' = 24^\circ 15'$, $\gamma' = 279^\circ 39' - 149^\circ 13' = 130^\circ 26'$, so findet sich nach Hauptst. 6, §. 16, $2\alpha' = 20^\circ 27' = 6\alpha$ (§. 5), also $\alpha = 3^\circ 24\frac{1}{2}'$; ferner findet sich nach Hauptst. 6, §. 16, $\epsilon = 22^\circ 56'$, $\zeta = 303^\circ 10'$, $\delta = 90^\circ 41'$.

C. Zu genauerer Bestimmung des Nordpoles der schwächeren Magnetaxe wurden folgende Beobachtungen gewählt, welche auf das Jahr 1775 (siehe Anhang, Tafel I. S. 6 und 8) reducirt sind.

	Breite	Länge	Abw.
Tobolsk	58° 12' $\frac{1}{2}$	85° 46' Ferro*)	4° 50' O.
Jakutskoi	62 2	147 24 —	4 2 W.

Berechnet man nun für Tobolsk nach obigen verbesserten Elementen der stärkeren Axe und nach den unberichtigten Elementen der schwächeren Axe die Abweichung und Neigung für beide Axen, so findet sich ND (Fig. 51) $= D = 10^\circ 9'$, $NF = D' = -4^\circ 48\frac{1}{2}'$ (östlich), $DA = I = 56^\circ 18'$, $FB = I' = 75^\circ 26'$, $EF = EPF = p = 11^\circ 35\frac{1}{2}'$, nach der Formel

$$\cot p = \frac{MF' \cdot \cos I'}{MF \cdot \cos I \cdot \sin(D - D')} + \cot(D - D') \text{ (Hauptst. 6, §. 23 I. 3. b).}$$

Nun ist die berichtigte Abweichung $= NF = NE - EF = \odot - p$, also $= -4^\circ 50' - 11^\circ 35\frac{1}{2}' = -16^\circ 25\frac{1}{2}'$.

Auf dieselbe Weise findet sich für Jakutskoi $D = -20^\circ 49'$, $D' = +5^\circ 56'$,

*) Die hier angegebene Länge ist von Etatsrath Schubert 1805 (Bodes Jahrb. 1809) gefunden; die Länge $86^\circ 5'$, die im Anhang angegeben wird, ist aus Vegas Tafeln Band 2 genommen.

$I' = 60^\circ 5'$, $I' = 77^\circ 15'$, $p = -21^\circ 11'$, also $\mathfrak{D} - p = 4^\circ 2' + 21^\circ 11' = 25^\circ 13'$.

Aus diesen beiden berichtigten Abweichungen wird der Abstand des nördlichen Convergenzpunktes der schwächeren Axe vom Nordpole der Erde gefunden $= 13^\circ 23'$, die Länge $110^\circ 58'$.

D. In der Nähe des Südpoles der schwächeren Axe wurden folgende Beobachtungen von Cook im Jahre 1774 gewählt:

	Breite	Länge	Abw.
1) d. 25sten Jan.	$66^\circ 2' \text{ S.}$	$250^\circ 42' \text{ Gr.}$	$268^\circ 22' \text{ Ferro}$
2) d. 28sten Jan.	$61 \quad 47 \quad -$	$271 \quad 50 \quad -$	$289 \quad 30 \quad -$

Für den ersteren dieser beiden Orte wird gefunden $I = -64^\circ 46'$, $I' = -83^\circ 51'$, $D = -28^\circ 47'$, $D' = -14^\circ 46'$, $p = -12^\circ 12'$, also die berichtigte Abweichung $= \mathfrak{D} - p = -18^\circ 54' + 12^\circ 12' = -6^\circ 42'$. Für den zweyten Ort wird gefunden $I = -68^\circ 13'$, $I' = -80^\circ 6'$, $D = -20^\circ 10'$, $D' = -22^\circ 8'$, $p = 1^\circ 33'$, also die berichtigte Abweichung $= \mathfrak{D} - p = -22^\circ 59' - 1^\circ 33' = -24^\circ 32'$. Hiedurch findet sich der Abstand des südlichen Convergenzpunktes der schwächern Magnetaxe vom Südpole der Erde $= 15^\circ 19\frac{1}{2}'$, Länge $= 264^\circ 29'$.

Wird nun gesetzt $b' = 15^\circ 23'$, $a' = 15^\circ 19\frac{1}{2}'$, $\gamma' = 110^\circ 58' - 264^\circ 29' = -153^\circ 51'$, so findet sich nach Hauptst. 6, §. 16, $2a' = 6a = 6^\circ 48'$, also $a = 1^\circ 8'$; $\varepsilon = 13^\circ 59'$, $\zeta = 96^\circ 52'$, $\delta = -72^\circ 58'$.

Die das erste Mal verbesserten Elemente für beide Axen sind also folgende:

Magnetaxe:	a	ε	ζ	δ	M
AB	$3^\circ 24\frac{1}{2}'$	$22^\circ 56'$	$303^\circ 10'$	$90^\circ 41'$	2
ab	1 8	13 59	96 52	- 72 58	1

Dadurch, daß solchergestalt die Elemente beider Axen wechselsweise verbessert wurden, fanden sich für dieselben folgende Werthe:

Y y 2

Elemente.	Magnetaxe.	α	ϵ	ζ	δ
I.	AB	3° 3'	18° 4'	306° 53'	87° 19'
	ab	1 42	8 1	85 33	— 29 41
II.	AB	5 24 $\frac{1}{2}$	22 56	303 10	90 41
	ab	1 8	13 59	96 52	— 72 58
III.	AB	3 17	27 21	301 55	95 54 $\frac{1}{2}$
	ab	1 42	18 51	100 9	— 92 52
IV.	AB	3 13	28 20 $\frac{1}{2}$	301 56	91 23
	ab	1 59	23 22	107 16 $\frac{1}{2}$	— 88 5

§. 8. Um die Länge der Magnetaxen oder den Werth von Q zu bestimmen, wurden folgende Beobachtungen gewählt: *Albany Fort* in der Hudsonsbay, Breite $52^\circ 22'$, Länge $295^\circ 10'$, Abweichung $17^\circ 0' W. = \mathfrak{D}$, Neigung $79^\circ 20' = I$, und *Petersburg*, Breite $59^\circ 56'$, Länge $47^\circ 59'$, Abweichung $9^\circ 12' W. = \mathfrak{d}$, Neigung $73^\circ 40' = i$. Nach den Elementen IV. im vorigen §. fand sich in *Albany Fort* für die stärkere Axe $I = 84^\circ 45'$, $D = +36^\circ 5'$, $F = 3,9948^*)$, für die schwächere $I' = 47^\circ 54'$, $D' = -0^\circ 18'$, $F' = 2,4855$; in *Petersburg* für die stärkere Axe $i = 59^\circ 46'$, $d = +33^\circ 28'$, $f = 2,9763$, für die schwächere $i' = 73^\circ 24'$, $d' = -47^\circ 24'$, $f' = 3,5797$. Hieraus fand sich für *Albany Fort*, nach Hauptst. 6, §. 23. I. 2, $c = AB$ (Fig. 51) $= 37^\circ 59'$, und nach §. 25 (ebendasselbst) aus der beobachteten Neigung $\mathfrak{J} = 79^\circ 20'$, $m = -4^\circ 0' \frac{1}{2}$, $n = 10^\circ 7'$, also $m + n = x = AG$ (Fig. 51) $= 6^\circ 6' \frac{1}{2}$ und $BG = y = c - x$

*) Berechnet nach der Formel $F = \frac{1}{4\rho^3} \sqrt{10 + 6 \cos 2u}$. Aber da $\rho = Q \cdot R$ und die Magnetaxen hier unendlich klein angenommen sind, d. i. $Q = \infty$, so würde F unendlich klein werden. Für die schwächere Axe würde man finden $F' = \frac{1}{4(\rho')^3} \sqrt{10 + 6 \cos 2u'}$, wo $\rho' = Q \cdot R'$. Da es bey der obigen Berechnung bloß auf das Verhältniß zwischen F und F' ankommt, so kann der beständige Factor $\frac{1}{4Q^3}$ ausser Betracht gesetzt werden, und man kann annehmen $F = \frac{1}{R^3} \sqrt{10 + 6 \cos 2u}$.

$= 31^{\circ} 22' \frac{1}{2}$. So fand sich auch für Petersburg $c' = 31^{\circ} 42'$, und nach Hauptst. 6, §. 24. a) aus der beobachteten Abweichung $\delta = 9^{\circ} 12'$, $x' = 14^{\circ} 42'$, also $y' = c' - x' = 17^{\circ} 0'$ *). Nun ist nach demselben §.

$$\frac{M}{M'} = \frac{F' \cdot \sin y}{F \cdot \sin x} = \frac{f' \cdot \sin y'}{f \cdot \sin x'}, \text{ also } \frac{Ff'}{F'f} = \frac{\sin y \cdot \sin x'}{\sin y' \cdot \sin x}.$$

Aus obigen Werthen findet sich $\frac{\sin y \cdot \sin x'}{\sin y' \cdot \sin x} = 3,9284$ und $\frac{Ff'}{F'f} = 1,9331$,

welche letztere GröÙe bedeutend kleiner ist als die erstere. Hieraus ist zu ersehen, daß F und f' , d. i. die Intensität der stärkern Axe in Albany Fort und der schwächern in Petersburg zu klein sind. Diesem kann durch Vergrößerung der Länge beider Axen abgeholfen werden, wodurch die Intensität in der Nähe der Endpunkte der Magnetsehnen beträchtlich zunimmt. Die Hypothese, daß $Q = \infty$, d. i. daß die Magnetaxen unendlich klein sind, genügt also nicht den Beobachtungen.

Die Länge der Magnetaxen wurde hierauf angenommen $= \frac{1}{3}$ des Erddurchmessers, d. i. $Q = 3$; hierauf berechnete man die Winkel I , I' , i und i' nebst den Intensitäten F , F' , f und f' nach Hauptst. 5, §§. 21 und 36, B. III.

Nach dieser Hypothese fand sich $\frac{Ff'}{F'f} = 2,4508$; also muß Q noch kleiner seyn

als 3. Endlich ward Q angenommen $= 2$, wodurch gefunden ward $\frac{Ff'}{F'f} = 3,9182$,

am nächsten gleich $\frac{\sin y \cdot \sin x'}{\sin y' \cdot \sin x}$; und es ergab sich $\frac{M}{M'} = \frac{F' \cdot \sin y}{F \cdot \sin x} = \frac{f' \cdot \sin y'}{f \cdot \sin x'}$

aus den Beobachtungen in Albany Fort $= 1,7743$, aus den Petersburger

Beobachtungen $= 1,7705$, also im Mittel $\frac{M}{M'} = 1,7724$ **).

*) Mit diesen Werthen von x und y , x' und y' fand sich für Albany Fort die Abweichung nach §. 23. I. 3. a) $= 13^{\circ} 27'$ W., und die Neigung in Petersburg nach demselben §. II. a) $= 70^{\circ} 39'$, die erstere also $3\frac{1}{2}$, die letztere 3 Grade kleiner als nach den Beobachtungen.

**) Wenn die GröÙe von Q verändert wird, so verändern sich auch die Werthe der Winkel I , I' , D und D' , also auch der Werth von x und y ; sonach findet sich, wenn $Q = 2$, für Albany Fort $I = 81^{\circ} 22'$, $I' = 39^{\circ} 15'$, $D = 20^{\circ} 15'$, $D' = - 0^{\circ} 52'$. Man kann also $\frac{\sin y \cdot \sin x'}{\sin y' \cdot \sin x}$ eigent-

§ 9. Mit diesen Werthen von Q und $\frac{M}{M'}$ wurden die Abweichungen und Neigungen an folgenden Orten berechnet.

Ort.	Abweichung.		Unter- schied.	Neigung.		Unter- schied.
	beobacht.	berechn.		beobacht.	berechn.	
Albany Fort. .	17° 0'	10° 12'	-- 6° 48'	79° 20'	74° 22'	-- 4° 58'
Petersburg . .	9 12	5 5	-- 4 7	73 40	63 24	-- 10 16
Musketto Cove	50 36	55 4	+ 4 28	81 22	71 32	-- 9 50
Nutka Sund . .	-- 19 44	-- 22 11	-- 2 27	72 29	67 6	-- 5 23
Petropaulowska	-- 6 19	-- 5 22	+ 0 57	63 5	59 13	-- 3 52
Port du Nord						
V. Diem. Land	-- 5 15	-- 21 54	-- 16 39	-- 70 50	-- 65 44	+ 5 6

Aus vorstehenden Resultaten glaubte ich schliessen zu können, Q sey in der obigen Hypothese zu klein angenommen, d. i. *die Magnethalbachsen müßten kleiner seyn als der halbe Erdradius*; denn 1) sind alle *berechneten* Neigungen zu klein; 2) sind alle *berechneten Abweichungen* in der Nähe der Pole der stärkern Axe zu *groß*.

Dafs die Neigungen sich vergrößern, wenn die Magnetaxen kleiner werden, ist aus den Formeln für den Winkel ω im 5ten Hauptstücke leicht abzunehmen. Dafs die Abweichungen in der Nähe der Magnetpole dadurch kleiner werden, läßt sich auf folgende Weise darthun. SDN (Fig. 51) sey der Horizont eines der obigen Orte nahe an den Polen der stärkern Axe z. B. in Musketto Cove an der Westküste Grönlands. $AD = I$ sey die Neigung für die stärkere Axe, $FB = I'$ für die schwächere Axe; $ND = D$ und $NF = D'$ seyen die Abweichungen für beide Axen; die Kraft der stärkern Axe nach der Richtung

lich nicht als eine beständige Gröfse ansehen; wenn dies beobachtet wäre, hätte man den Werth von Q und von $\frac{M}{M'}$ etwas anders als oben gefunden. Dadurch würde die berechnete Neigung in Albany Fort und die Abweichung in Petersburg der beobachteten gleich gefunden worden seyn.

LA sey = MF , die Kraft der schwächern Axe nach LB = $M'F'$. Werden die Magnetaxen verkleinert, so wird F stärker abnehmen als F' , da der Punkt L nahe am Pole der stärkern Axe liegt, und folglich wird die Richtung der mittleren Kraft LG näher gegen die Linie LB fallen, d. i. $DE = 0$ wird gröfser werden, also $NE = \odot = D - 0$ kleiner. Das Nämliche gilt von der östlichen Abweichung im Nutka Sunde und in Port du Nord auf Van Diemens Land. In Albany Fort ist freilich die berechnete Abweichung zu klein gefunden; aber dem Magnetpole so nahe wird die kleinste Veränderung in den Elementen ϵ und ζ diesen scheinbaren Widerspruch leicht aufheben können. Dafs die schwächere Magnetaxe ebenfalls kleiner angenommen werden müsse, ersieht man aus Petersburg und Petropaulowska in der Nähe der Pole der schwächern Axe, wo die berechneten Abweichungen zu klein sind. Hier fällt also die Richtung LG der mittleren Kraft zu nahe neben LB, folglich mufs die Kraft nach LB, d. i. $M'F'$ zu grofs seyn, welchem abgeholfen werden wird, wenn man auch diese Axe kleiner annimmt als die halbe Erdaxe.

§. 10. Das Verhältnifs zwischen dem Erdradius und den Halbaxen der Magneten ward hierauf angenommen = $2,5 : 1 = 5 : 2$, d. i. $Q = 2,5$, oder der Magneten Halbaxen = $\frac{2}{5} = 0,4$ des Erdradius. Nach dieser Hypothese wurden die Abweichung und die Neigung an folgenden Orten berechnet:

Ort.	Abweichung.		Unter- schied.	Neigung.		Unter- schied.
	beobacht.	berechn.		beobacht.	berechn.	
Nutka Sund . .	-- 19° 44'	-- 16° 44'	+ 3° 0'	+ 72° 29'	+ 69° 28'	-- 3° 1'
Petropaulowska	-- 6 19	-- 8 49	-- 2 30	+ 63 5	+ 61 57	-- 1 8
Port du Nord .	-- 5 15	-- 9 2	-- 3 47	-- 70 50	-- 67 41	+ 3 9
Musketto Cove	+ 50 36	+ 43 29	-- 5 7	+ 81 22	+ 76 34	-- 4 48
ChristmasSund a.d Feuerlande	-- 24 43	-- 11 23	+ 13 20	-- 66 54	-- 60 15	+ 5 39
Petersburg . .	+ 9 12	+ 10 15	+ 1 3	+ 73 40	+ 65 5	-- 8 35
Albany Fort. .	+ 17 0	+ 9 12	-- 7 48	+ 79 20	+ 74 56	-- 4 24
Tobolsk	-- 4 50	+ 0 10	+ 5 0	+ 78 0	+ 64 34	
Jakutskoi . . .	+ 4 2	-- 6 28	-- 10 30		+ 67 43	

Aus vorstehender Tafel ist zu ersehen, daß die berechneten Neigungen noch etwas zu klein sind*), besonders in der Nähe der Pole der schwächern Axe, z. B. in Petersburg und am Feuerlande, welches zu erkennen zu geben scheint, daß Q noch größer als 2,5 angenommen werden müsse. Dagegen scheinen die Abweichungen das Entgegengesetzte zu fordern; es ist also glaublicher Weise noch irgend ein Fehler in den übrigen Elementen ϵ , ζ , α , besonders an der schwächern Axe. Wird an dieser letzteren der Winkel ϵ etwas größer angenommen, so werden sich die bedeutenden Fehler in den berechneten Abweichungen auf dem Feuerlande und in Jakutskoi vermindern und zugleich die Neigungen in der Nähe der Pole dieser Axe größer werden.

Mit etwas veränderten Elementen für die schwächere Axe (nämlich $\alpha = 0^\circ 38'$, $\epsilon = 29^\circ 14\frac{1}{2}'$, $\zeta = 92^\circ 5'$, $\delta = -129^\circ 32'$), welche auf dieselbe Weise wie in §. 7 gefunden wurden, ward die Abweichung, Neigung und Intensität an folgenden Orten berechnet:

Ort.	Abweichung.		Neigung.		Intensität.			
	beob.	berech.	beob.	berech.	berechnet.		beobachtet.	
					absolut.	relativ.	relativ.	Untersch.
Humboldts Nul-								
punkt in Peru.	- 8°30'	- 3°46'	0° 0'	+ 2°52'	0,077163	1,0000	1,0000	0,0000
Mexico	- 5 27	- 6 12	+ 12 10	+ 38 43	0,107293	1,3905	1,3155	+ 0,0750
Paris	+ 22 0	+ 8 16	+ 69 28	+ 65 56	0,125587	1,6276	1,3482	+ 0,2794
Amboina	+ 1 13	+ 1 49	- 20 37	- 24 4	0,087080	1,1285	0,9532	+ 0,1753

Die absoluten Intensitäten sind berechnet nach der Formel für K (Hptst. 6, §. 23. III.); die relativen ergaben sich aus der Division ihrer aller mit den er-

*) Die Neigung in Tobolsk = $78^\circ 0'$, beobachtet von Etatsrath Schubert im Jahre 1805, ist schlechterdings zu groß; sie läßt sich auf keinerlei Weise mit der ganzen übrigen Masse von Beobachtungen (siehe die Neigungskarte) vereinbaren. In diesem Meridian kann die Neigung nicht eher als in der Breite 80° , = 78° seyn. In Irkutsk fand Schubert die Neigung = 67° . Entweder ist also hier durch einen Druckfehler 78° statt 68° gesetzt worden, oder das Neigungsinstrument ist mittelmäßig gewesen.

sten. Da die berechneten relativen Intensitäten in Paris und Mexico weit gröfser sind, als sie *Humboldt* durch Beobachtung gefunden hat, so scheint hieraus zu folgen, dafs Q etwas gröfser seyn müsse als 2,5; und aus der berechneten relativen Intensität auf Amboina, die ebenfalls zu groß ist, scheint hervorzugehen, dafs noch irgend ein Fehler in der Excentricität α und der Lage des ersten magnetischen Meridians oder im Winkel δ seyn müsse.

§. 11. Da die Elemente IV. (§. 7) besonders für die schwächere Axe nach vorigem §. noch einer Berichtigung bedürfen zu können scheinen, so ward für beide Axen Q angenommen $= 3$, und dadurch fand sich mit dem

Werthe von $\frac{M}{M'} = 1.7724$, die *berichtigte Abweichung in Tobolsk* $= -54^\circ 52'$, in *Jakutskoi* $= +66^\circ 51'$, folglich der Abstand des nördlichen Convergenzpunktes der schwächeren Axe vom Nordpole der Erde $= 25^\circ 33'$, die Länge $= 122^\circ 57'$. Zur Bestimmung des südlichen Convergenzpunktes derselben Axe wurden folgende Beobachtungen *Cooks* gewählt: 1) *Christmas Sund* auf dem Feuerlande, Breite $55^\circ 22' S.$, Länge $307^\circ 37' Ferro$, Abweichung im December 1774 $= 24^\circ 43' O.$ 2) *Das Südmeer*, Breite $59^\circ 37' S.$, Länge $273^\circ 42' Ferro$, Abweichung den 24sten Jan. 1774 $= 12^\circ 59' O.$ An ersterer Stelle fand sich die *berichtigte Abweichung* $= -56^\circ 44'$, an letzterer $= +13^\circ 41'$; welches dem südlichen Convergenzpunkte folgende Lage artheilt: Abstand vom Südpole $= 28^\circ 29'$, Länge $= 274^\circ 39'$. Hieraus findet sich für die schwächere Magnetaxe folgende

Vte Elemente

$$\alpha' = 6^\circ 52', \epsilon = 26^\circ 18\frac{1}{2}', \zeta = 108^\circ 4', \delta = -76^\circ 40'.$$

§. 12. In §. 5 ward bewiesen, dafs, wenn die Magnetaxe unendlich klein wäre, der Abstand bI (Fig. 54) des Convergenzpunktes I von des magnetischen Aequators Nordpole b gleich würde dem dreyfachen Excentricitätsbogen bB , oder $\alpha = \frac{1}{3}\alpha'$. Ist hingegen die Magnetaxe gleich einem Drittel der Erdaxe, so wächst die Neigung langsamer, und der Punkt I muß näher an B fallen. Durch einige leichte Versuche ward aus den Formeln im 5ten Hauptstücke gefunden, dafs in diesem Falle am nächsten wird $\alpha = 0,41\alpha'$. Also wird für die schwächere Axe $\alpha = 0,41 \times 6^\circ 52' = 0,41 \times 392' = 161' = 2^\circ 41'$;

für die stärkere Axe war nach den IVten Elementen $\alpha' = 9^\circ 40' = 580'$, folglich $\alpha = 0,41 \times 580' = 238' = 3^\circ 58'$. Die Elemente für beide Axen waren demnach folgende:

Magnetaxe.	Elemente.	α	ε	ζ	δ	Q
AB.	IV.	$3^\circ 58'$	$28^\circ 20'\frac{1}{2}$	$301^\circ 56'$	$91^\circ 23'$	3
ab	V.	2 41	$26^\circ 18'\frac{1}{2}$	108 4	— 76 40	3

Mit diesen Elementen wurden die Abweichung, Neigung und Intensität in *Humboldts* Nulpunkt in Peru berechnet, und da fand sich $\mathcal{D} = -1^\circ 48'$, $\mathcal{J} = +3^\circ 9'$, $K = 0,045320$. Für Amboina wurden dieselben 3 Größen durch Berechnung gefunden $\mathcal{D} = +0^\circ 15'$, $\mathcal{J} = -24^\circ 17'$, $K = 0,052109$; also ist, wenn die Intensität in Peru als Einheit angenommen wird, die be-

rechnete Intensität in Amboina $= \frac{52109}{45320} = 1,1498$. Nach *Humboldts* und *de Rossels* Beobachtungen war sie an letzterer Stelle $= 0,9532$ (Hauptst. 2. S. 71); also ist auf Amboina die berechnete Intensität *größer*, als die durch Beobachtungen gefundene, und der Unterschied zwischen beiden ist $= 0,1966$.

Wird der Winkel δ , welchen der erste Magnetmeridian der stärkeren Axe mit der Polarcolure bildet, größer gesetzt als in den obigen Elementen, so kommt der *pericentrische Endpunkt* des Diameters dieser Axe näher an *Peru*, und der *apocentrische* näher an *Amboina*, wodurch die Intensität dort zunehmen, hier aber abnehmen wird. Der Winkel δ ward daher angenommen $= 91^\circ 23' + 20^\circ = 111^\circ 23'$, und dadurch fand sich für *Humboldts* Nulpunkt in Peru $\mathcal{D} = -1^\circ 39'\frac{1}{2}$, $\mathcal{J} = +5^\circ 49'$, $K = 0,047542$, und für Amboina $\mathcal{D} = +0^\circ 41'$, $\mathcal{J} = -22^\circ 22'$, $K = 0,049800$; also wird, wenn die Intensität in Peru als Einheit angenommen wird, die Intensität in Amboina $= \frac{49800}{47542} = 1,0475$. Diese Intensität ist noch zu groß, und der Unterschied zwischen der berechneten und beobachteten ist $= 1,0475 - 0,9532 = 0,0943$.

Durch Vergrößerung des Winkels δ um 20° ward die Intensität in Amboina verkleinert zu $1,1498 - 1,10475 = 0,1023$; um wie viel δ vergrößert werden müßte, um eine Verminderung in dieser Intensität $= 0,1966$ hervorzubringen, läßt sich also durch folgende Proportion finden:

$$1023 : 1966 = 20^\circ : x,$$

wo x gefunden wird $= 38^\circ 26'$. Setzet man also bey der stärkern Axe $\delta = 91^\circ 23' + 38^\circ 26' = 129^\circ 49'$, so wird das Verhältniß zwischen der Intensität in Peru und auf Amboina werden wie $1 : 0,9532$.

§. 13. Da die berechnete nördliche Neigung in Peru und südliche Neigung auf Amboina zu groß gefunden wurden, so schien hieraus zu folgen, daß der Winkel ϵ für die schwächere Axe noch zu klein war. Er ward deshalb angenommen $= 28^\circ 28\frac{1}{2}'$. Nach diesen Veränderungen waren also die Elemente im vorigen §.:

Magnetaxe.	α	ϵ	ζ	δ	Q
AB	$3^\circ 58'$	$28^\circ 20\frac{1}{2}'$	$301^\circ 56'$	$129^\circ 49'$	3
ab	2 41	28 28 $\frac{1}{2}$	108 4	— 76 40	5

Die unten stehende Tafel I. enthält eine Sammlung der zuverlässigsten magnetischen Beobachtungen zwischen den Jahren 1770 und 1800, nach der geographischen Länge des Beobachtungsortes geordnet, welche zur Prüfung und Berichtigung der oben angeführten Elemente dienen können. Der erste Theil enthält nämlich Beobachtungen in der nördlichen Halbkugel in der Nähe der Magnetpole; der zweyte Theil Beobachtungen in der Nähe der Linie ohne Neigung, sowohl nördlich als südlich von derselben bis 40° Neigung; der dritte Theil ähnliche Beobachtungen in der südlichen Kugel in der Nähe der südlichen Magnetpole. Tafel II. enthält die Werthe von A und \mathfrak{A} , zusammen den Logarithmen der Größen $B, C, D \dots \mathfrak{B}, \mathfrak{C}, \mathfrak{D} \dots$ in der Formel für $\cot \omega$ (Hauptst. 5, §. 21) für verschiedene Werthe von ρ von $\rho = 2,7$ bis $\rho = 3,3$.

T a f e l I.
Magnetische Beobachtungen.

No.	Beobachtungsort.	Beobachter.	Breite.	Länge.	Magnetische		
					Abweich.	Neigung.	Kraft.
1	S. Cruz, Teneriffa. .	Humboldt . . .	28° 28' $\frac{1}{2}$ n.	1° 27'	15° 55' w.	62° 25' n.	1.2723
2	Madrid	Humboldt . . .	40 25	13 57	18 0	67 41	1.2938
3	Stromnefs Hafen . .	Hutchins . . .	58 59	14 0	24 0	75 46	
4	Paris	Humboldt . . .	48 50	20 0	20 15	69 28	1.3482
5	Kopenhagen	Lous	55 41	30 15	16 30	71 45	
6	Vogelsang, Spitzberg.	Phipps	79 53	39 46	20 38	82 0	
7	Nord Cap, Norw. . .	Bayley	71 10	43 30	6 0	79 0	
8	Alexandria	Nouët	31 12	47 35	13 6	47 30	
9	Petersburg	Kraft	59 56	47 59	9 12	72 36	
10	Orel	Innochodzoio .	52 57	53 37	9 0 w.	67 30	
11	Irkutsk	Schubert	52 17	121 51	0 32 ö.	67 0	
12	Petropaulowska . . .	Cook	53 1	176 23	6 19	63 5	
13	Samganoodha	Cook	53 5	211 10	19 59	69 23	
14	Norton Sund	Cook	64 31	214 53	25 45	76 25	
15	Chalmers Hafen . . .	Vancouver . . .	60 16	231 2	28 30	77 8	
16	Groß Sund	Vancouver . . .	58 12	241 35	30 0	78 58	
17	Nootka Sund	Cook	49 36	250 57	19 44	72 29	
18	S. Diego, N. Californ.	Vancouver . . .	34 42	260 47	11 0	59 13	
19	Mexico	Humboldt . . .	19 26	278 32	5 27 ö.	42 10	1.3155
20	Albany Fort	Hutchins	52 22	295 2	17 0 w.	79 20	
21	New Cambridge . . .	Williams	42 23	306 58	7 2	69 51	
22	Hudsonsstraße . . .	Hutchins	62 3	308 32	43 0 w.	82 42	
23	S. Croix, Insel . . .	Löwenörn	17 45	312 51	3 20 ö.	49 15	
24	Musketto Cove . . .	Pickersgill . . .	64 53	324 43	50 36 w.	81 22	
25	Atlantisches Meer . .	Humboldt . . .	12 34	326 46		45 8	1.2300
26	Atlantisches Meer . .	Humboldt . . .	14 20	331 57		52 55	1.2830
27	Atlantisches Meer . .	Humboldt . . .	20 8	351 26		56 42	1.2510
28	Atlantisches Meer . .	Humboldt . . .	21 36	354 21		57 49	1.2617
29	Atlantisches Meer . .	King	12° 48' s.	2° 0'		0° 0'	
30	St. Helene Insel . . .	Cook	15 55 s.	11 52	12° 18' w.	11 25 s.	
31	Atlantisches Meer . .	Ekeberg	32 33 s.	17 20	8 24 w.	35 15 s.	
32	Bareedy	Panton	24 16 n.	56 10	13 55 w.	34 20 n.	
33	Mocha	Panton	13 22 n.	61 50	11 28 w.	8 22 n.	
34	Indisches Meer . . .	Panton	11 57 n.	81 2	4 23 w.	0 22 s.	
35	Indisches Meer . . .	Abercrombie . .	11 13 n.	104 42	1 36 ö.	4 45 s.	
36	Cavite, Manilla . . .	La Perouse . . .	14 29 n.	128 51	0 33 w.	11 5 n.	
37	Surrobaya	Dentrecasteaux	7 14 s.	130 19	2 31 w.	25 40 s.	0.9348
38	Macao	Cook	22 9 n.	131 28	0 32 w.	22 4 n.	
39	Amboina	Dentrecasteaux	3 42 s.	145 47	1 30 ö.	20 37 s.	0.9532
40	Tauna	Cook	19 32 s.	187 29	7 14 ö.	25 2 s.	

No.	Beobachtungsort.	Beobachter.	Breite.	Länge.	Magnetische		
					Abweich.	Neigung.	Kraft.
41	Tongataboo	Cook	21° 8' s.	202° 35'	9° 58' ö.	39° 1' s.	
42	Christmas Insel	Cook	1 59 n.	220 10	6 22	11 54	
43	Otaheite	Cook	17 29 s.	228 5	5 0	29 51	
44	Südmeer	Krusenstern	1 12 n.	230 54	5 18	5 30	
45	Südmeer	Vancouver	19 44 s.	271 25	2 45	35 49 s.	
46	Südmeer	Vancouver	18 20 n.	273 20	6 0	36 41 n.	
47	Gallipagos Insel	Vancouver	0 44 s.	285 34	8 0	2 20	
48	Gallipagos Insel	Collnet	0 37 s.	288 2	8 10	6 0	
49	Cocos Insel	Vancouver	5 35 n.	290 45	7 45	19 45	
50	Loxa	Humboldt	4 0 s.	298 48		5 24	1.0095
51	Cuenca	Humboldt	2 54 s.	299 17		8 43	1.0286
52	Tompanda	Humboldt	5 31 s.	299 33		3 11	1.0191
53	Quito	Humboldt	3 13 s.	299 45		13 22	1.0675
54	S. Antonio	Humboldt	0 0	299 48		14 25 n.	1.0871
55	Nulpunkt, Peru	Humboldt	7 1 s.	300 27		0 0	1.0000
56	Lima	Humboldt	12 2 s.	301 15		9 59 s.	1.0773
57	Popayan	Humboldt	2 24 n.	301 15		20 33 n.	1.1170
58	Carthagena	Humboldt	10 26 n.	301 58		35 15	1.2938
59	Sta. Fé de Bogota	Humboldt	4 36 n.	303 23		24 16	1.1473
60	Javita	Humboldt	2 49 n.	309 30		24 19	1.0675
61	Carichana	Humboldt	6 34 n.	309 42		30 24	1.1575
62	S. Carlos del R. N.	Humboldt	1 52 n.	309 50		20 47	1.0480
63	Esmeralda	Humboldt	3 13 n.	311 22		25 58	1.0577
64	Cumana	Humboldt	10 27 n.	313 29	4 14	39 47	1.1779
65	S. Thomas de la G.	Humboldt	8 8 n.	313 34		35 6 n.	1.1070
66	S. Catharina Insel	La Perouse	27 21 s.	330 0	12 0	29 30 s.	
67	Atlantisches Meer	Abercrombie	30 22 s.	346 3	3 7 ö.	29 7	
68	Atlantisches Meer	Abercrombie	14 6 s.	351 12	4 17 w.	2 15 s.	
69	Atlantisches Meer	Ekeberg	13 2 s.	356 38	4 15	2 6 n.	
70	Atlantisches Meer	Abercrombie	34 25 s.	359 19	3 18	35 45 s.	
71	Simons Bay	Cook	34° 20' n.	36° 9'	21° 14' w.	45° 19' s.	
72	Indisches Meer	Abercrombie	33 28	75 35	23 55	62 21	
73	Indisches Meer	Abercrombie	28 20	95 50	12 46	58 12	
74	Indisches Meer	Ekeberg	32 20	107 2	10 55	59 52	
75	Indisches Meer	Ekeberg	22 31	120 12	5 45	50 0	
76	Georg III. Sund	Vancouver	35 5	135 54	5 20 w.	64 54	
77	Port du Nord	Dentrecasteaux	43 32	164 36	5 15 ö.	70 50	1.5773
78	Dusky Bay	Cook	45 47	183 58	13 49	70 6	
79	Charlottes Sund	Cook	41 6	192 5	14 9	64 36	
80	Tolaga Bay	Cook	38 21	196 14	13 40	62 26	
81	Südmeer	La Perouse	45 17	297 38	17 30	63 0	
82	Talcahuana Bay	La Perouse	36 43	304 30	15 15	50 45	
83	Valparaiso	Vancouver	33 1	306 9	14 49	44 15	
84	Christmas Sund	Cook	55 22	307 37	24 43	66 54	

T a f e l II.
Werthe der Reihen zur Berechnung des Winkels ω .

A. Reihen des Zählers.

φ .	$A.$ o.o	Differ.		log B.	Differ.	log C.	Differ.	log D.	Differ.	log E.	Differ.	log F.	Differ.
		I.	II.										
2.70	403565	4678	74	8.03540	829	7.1423	115	6.2480	146	5.348	18	4.431	20
2.71	398887	4604	72	8.02711	826	7.1308	115	6.2334	147	5.330	17	4.411	20
2.72	394283	4532	71	8.01885	823	7.1193	114	6.2187	146	5.313	18	4.391	21
2.73	389751	4461	69	8.01062	820	7.1079	114	6.2041	145	5.295	18	4.370	20
2.74	385290	4392	68	8.00242	816	7.0955	113	6.1896	145	5.277	17	4.350	20
2.75	380898	4324	66	7.99426	813	7.0852	113	6.1751	145	5.260	18	4.330	20
2.76	376574	4258	65	7.98613	810	7.0739	113	6.1606	144	5.242	17	4.310	21
2.77	372316	4192	64	7.97803	807	7.0626	112	6.1462	143	5.225	18	4.289	20
2.78	368124	4128	62	7.96996	804	7.0514	112	6.1319	143	5.207	17	4.269	20
2.79	363996	4066	62	7.96192	801	7.0402	111	6.1176	142	5.190	17	4.249	20
2.80	359930	4004	61	7.95391	798	7.0291	111	6.1034	142	5.173	17	4.229	20
2.81	355926	3943	59	7.94593	794	7.0180	110	6.0892	141	5.156	17	4.209	20
2.82	351983	3884	58	7.93799	792	7.0070	110	6.0751	141	5.139	17	4.189	20
2.83	348098	3826	57	7.93007	788	6.9960	110	6.0610	140	5.122	17	4.169	19
2.84	344272	3769	56	7.92219	786	6.9850	109	6.0470	140	5.105	17	4.150	20
2.85	340503	3713	54	7.91433	782	6.9741	109	6.0330	139	5.088	17	4.130	20
2.86	336789	3659	54	7.90651	780	6.9632	108	6.0191	138	5.071	17	4.110	20
2.87	333130	3605	53	7.89871	777	6.9524	108	6.0053	139	5.054	17	4.090	19
2.88	329526	3552	52	7.89094	773	6.9416	108	5.9914	137	5.037	17	4.071	20
2.89	325974	3500	51	7.88321	771	6.9308	107	5.9777	137	5.020	16	4.051	20
2.90	322473	3449	50	7.87550	768	6.9201	107	5.9640	137	5.004	17	4.031	19
2.91	319024	3399	49	7.86782	765	6.9094	106	5.9503	136	4.987	16	4.012	20
2.92	315625	3350	48	7.86017	763	6.8988	106	5.9367	136	4.971	17	3.992	19
2.93	312274	3302	47	7.85254	759	6.8882	106	5.9231	135	4.954	16	3.973	19
2.94	308972	3255	46	7.84495	757	6.8776	105	5.9096	135	4.938	16	3.954	20
2.95	305717	3209	46	7.83738	754	6.8671	105	5.8961	134	4.922	17	3.934	19
2.96	302508	3163	44	7.82984	752	6.8566	105	5.8827	134	4.905	16	3.915	19
2.97	299344	3119	44	7.82232	748	6.8461	104	5.8693	133	4.889	16	3.896	19
2.98	296226	3075	43	7.81484	746	6.8357	103	5.8560	133	4.873	16	3.877	19
2.99	293151	3032	43	7.80738	744	6.8254	104	5.8427	133	4.857	16	3.858	19
3.00	290120	2989	41	7.79994	740	6.8150	103	5.8294	132	4.841	16	3.839	19
3.01	287130	2948	41	7.79254	738	6.8047	103	5.8162	131	4.825	16	3.820	19
3.02	284183	2907	40	7.78516	736	6.7944	102	5.8031	131	4.809	16	3.801	18
3.03	281276	2867	40	7.77780	733	6.7842	102	5.7900	131	4.793	16	3.783	18
3.04	278409	2827	39	7.77047	730	6.7740	102	5.7769	130	4.777	16	3.765	18
3.05	275582	2788	38	7.76317	728	6.7638	101	5.7639	130	4.761	15	3.747	19

c.	N.	Differ.		log B.	Differ.		log C.	Dif.	lg D.	Dif.	lg E.	Dif.	lg F.	Dif.	lg G.	Dif.
		I.	II.		I.	II.										
2.86	117705	1308	19	8.537257	4779	19	7.60959	779	6.6638	108	5.719	14	4.776	17	3.813	20
2.87	116397	1289	19	8.532478	4760	18	7.60180	777	6.6530	108	5.705	14	4.759	17	3.793	19
2.88	115108	1270	19	8.527718	4742	18	7.59403	773	6.6422	107	5.691	14	4.742	17	3.774	20
2.89	113838	1251	19	8.522976	4724	18	7.58630	771	6.6315	107	5.677	14	4.725	17	3.754	19
2.90	112587	1232	18	8.518252	4706	18	7.57859	767	6.6208	107	5.663	13	4.708	17	3.735	20
2.91	111355	1214	18	8.513546	4688	18	7.57092	765	6.6101	106	5.650	14	4.691	16	3.715	19
2.92	110141	1196	17	8.508858	4670	17	7.56327	762	6.5995	106	5.636	13	4.675	17	3.696	19
2.93	108945	1179	18	8.504188	4653	18	7.55565	760	6.5889	105	5.623	14	4.658	16	3.677	19
2.94	107766	1161	16	8.499535	4635	17	7.54805	757	6.5784	105	5.609	13	4.642	17	3.658	20
2.95	106605	1145	18	8.494900	4618	16	7.54048	754	6.5679	105	5.596	14	4.625	16	3.638	19
2.96	105460	1127	15	8.490282	4602	19	7.53294	751	6.5574	105	5.582	13	4.609	16	3.619	19
2.97	104333	1112	16	8.485680	4583	15	7.52543	749	6.5469	104	5.569	14	4.593	17	3.600	19
2.98	103221	1096	16	8.481097	4568	18	7.51794	745	6.5365	103	5.555	13	4.576	16	3.581	19
2.99	102125	1080	16	8.476529	4550	16	7.51049	744	6.5262	103	5.542	13	4.560	16	3.562	18
3.00	101045	1064	14	8.471979	4534	17	7.50305	741	6.5159	103	5.529	13	4.544	16	3.544	19
3.01	99981	1050	16	8.467445	4517	16	7.49564	738	6.5056	103	5.516	13	4.528	16	3.525	18
3.02	98931	1034	14	8.462928	4501	16	7.48826	735	6.4953	102	5.503	13	4.512	15	3.507	18
3.03	97897	1020	14	8.458427	4485	17	7.48091	733	6.4851	102	5.490	13	4.497	16	3.489	19
3.04	96877	1006	15	8.453942	4468	15	7.47358	731	6.4749	102	5.477	13	4.481	16	3.470	18
3.05	95871	991	13	8.449474	4453	17	7.46627	728	6.4647	101	5.464	13	4.465	15	3.452	19
3.06	94880	978	14	8.445021	4436	15	7.45899	725	6.4546	101	5.451	13	4.450	16	3.433	19
3.07	93902	964	13	8.440585	4421	16	7.45174	723	6.4445	100	5.438	13	4.434	15	3.414	18
3.08	92938	951	13	8.436164	4405	15	7.44451	721	6.4345	100	5.425	13	4.419	16	3.396	18
3.09	91987	938	13	8.431759	4390	16	7.43730	718	6.4245	100	5.412	13	4.403	15	3.378	18
3.10	91049	925	13	8.427369	4374	15	7.43012	716	6.4145	100	5.399	13	4.388	15	3.360	18
3.11	90124	912	12	8.422995	4359	15	7.42296	713	6.4045	99	5.386	12	4.373	15	3.342	18
3.12	89212	900	13	8.418636	4344	15	7.41583	711	6.3946	99	5.374	13	4.358	15	3.324	17
3.13	88312	887	11	8.414292	4329	15	7.40872	708	6.3847	98	5.361	13	4.343	15	3.307	19
3.14	87425	876	13	8.409963	4314	15	7.40164	706	6.3749	98	5.348	12	4.328	15	3.288	18
3.15	86549	863	11	8.405649	4299	15	7.39458	704	6.3651	98	5.336	13	4.313	15	3.270	17
3.16	85686	852	11	8.401350	4284	15	7.38754	701	6.3553	98	5.323	12	4.298	15	3.253	17
3.17	84834	841	12	8.397066	4269	14	7.38053	699	6.3455	98	5.311	13	4.283	14	3.236	19
3.18	83993	829	10	8.392797	4255	14	7.37354	697	6.3357	96	5.298	12	4.269	15	3.217	16
3.19	83164	819	12	8.388542	4241	15	7.36657	695	6.3261	97	5.286	13	4.254	14	3.201	16
3.20	82345	807	10	8.384301	4226	15	7.35962	692	6.3164	96	5.273	12	4.240	14	3.185	18
3.21	81538	797	10	8.380075	4211	13	7.35270	689	6.3068	96	5.261	12	4.226	14	3.167	18
3.22	80741	787	11	8.375864	4198	14	7.34581	688	6.2972	96	5.249	12	4.212	13	3.149	15
3.23	79954	776	10	8.371666	4184	15	7.33893	685	6.2876	96	5.237	13	4.199	14	3.134	17
3.24	79178	766	10	8.367482	4169	13	7.33208	683	6.2780	95	5.224	12	4.185	14	3.117	17
3.25	78412	756	10	8.363313	4156	14	7.32525	681	6.2685	95	5.212	12	4.171	13	3.100	18
3.26	77656	746	10	8.359157	4142	14	7.31844	678	6.2590	95	5.200	11	4.158	13	3.082	14
3.27	76910	736	9	8.355015	4128	14	7.31166	676	6.2495	94	5.189	11	4.145	13	3.068	15
3.28	76174	727	9	8.350887	4114	13	7.30490	674	6.2401	95	5.178	12	4.132	13	3.053	16
3.29	75447	718		8.346773	4101		7.29816	672	6.2306	94	5.166	12	4.119	12	3.037	16
3.30	74729			8.342672			7.29144		6.2212		5.154		4.107		3.021	

§. 14. Ein Theil der Beobachtungen in Tafel I. wird in folgender Tafel gefunden, berechnet nach den Elementen in §. 13.

No.	Ort.	Abweichung.		Unter- schied.	Neigung.		Unter- schied.	Kraft.		Unter- schied.
		beobacht.	berechn.		beobacht.	berechn.		beob.	berechn.	
55	Peru . . .	- 8° 30'	- 2° 13'	+ 6° 17'	0° 0'	+ 6° 3'	+ 6° 3'	1.0000	1.0000	0.0000
64	Cumana . .	- 4 14	+ 4 44	+ 8 58	+ 39 47	+ 36 51	- 2 56	1.1779	1.1507	- 0.0272
19	Mexico . .	- 5 27	- 5 40	- 0 13	+ 42 10	+ 49 45	+ 7 35	1.3155	1.4101	+ 0.0946
39	Amboina . .	+ 1 13	+ 1 33	+ 0 20	- 20 37	- 19 26	+ 1 11	0.9532	0.9806	+ 0.0274
43	Otaheite . .	- 5 0	- 7 33	- 2 33	- 30 6	- 31 45	- 1 39		1.2332	
9	Petersburg	+ 9 12	+ 10 44	+ 1 32	+ 72 36	+ 67 53	- 4 53		1.5423	
24	Musk. Cove	+ 50 36	+ 44 53	- 5 43	+ 81 22	+ 79 42	- 1 40		1.8893	
17	Nutka Sund	- 19 44	- 23 29	- 3 45	+ 72 29	+ 71 13	- 1 16		1.8291	
77	Port d. Nord	- 5 15	+ 0 30	+ 5 45	- 70 50	- 66 7	+ 4 43	1.5773	1.7986	+ 0.2213
4	Paris . . .	+ 20 15	+ 17 1	- 3 15	+ 69 48	+ 61 51	- 7 37	1.3482	1.3587	+ 0.0105
44	Südmeer*)	- 5 0	- 11 15	- 6 15	0 0	+ 8 37	+ 8 37		1.0355	
84	Chrm. Sund	- 24 43	- 13 13	+ 11 30	- 66 54	- 62 26	+ 4 28		1.6360	
71	Simons Bay	+ 21 14	+ 9 6	- 12 8	- 45 19	- 43 2	+ 2 17		1.0711	
34	Ind. Meer	+ 4 23	+ 4 31	+ 0 8	- 0 22	+ 14 46	+ 15 8		0.8175	
	Jakutskoi .	+ 2 0	- 8 0	- 10 0		+ 69 45			1.6146	

Die größten Fehler bey den berechneten Abweichungen treffen an dem Vorgebirge der guten Hoffnung, dem Feuerlande, in Jakutskoi und Cumana ein. Der Winkel ϵ , welchen beide Axen mit der Erdaxe bilden, muß also vergrößert werden, wodurch die Abweichungen in der Nähe der Pole wachsen; dadurch wird auch die südliche Neigung im Indischen Meere zunehmen, welches dem bedeutenden Fehler bey der berechneten Neigung in No. 34 zum Theil abhelfen wird. Ferner erhellt, daß die Excentricität der schwächern Axe vermehrt, der stärkern hingegen vermindert werden muß. Dadurch wird die Intensität der schwächern Axe im Südmeere stärker und im Indischen Meere schwächer; die Intensität der stärkern Axe wird gegentheils bey Verminderung der Excentricität im Indischen Meere zu- und im Südmeere

*) Der hier berechnete Beobachtungsort ist eigentlich nicht der oben §. 13, Tafel I. No. 44 angegebene, sondern der durch ein Mittel aus den drey Beobachtungen den 24, 25 und 26sten May 1804 in 3° 28' N. Br. und 146° 31' W. L. Gr. oder 231° 9' O. L. Ferro gefundene Nulpunkt. Siehe Hauptst. II. S. 54.

abnehmen. Durch diese zween Verbesserungen nimmt folglich die südliche Neigung im Indischen Meere zu-, im Südmeere aber ab, wodurch die in No. 34 und No. 44 berechneten Neigungen der Wahrheit näher kommen werden. Nach einigen Versuchen ward daher angenommen: für die stärkere Axe $\varepsilon = 29^\circ 0'$, $\alpha = 5^\circ 13'$, für die schwächere Axe $\varepsilon = 28^\circ 28'$, $\alpha = 5^\circ 30'$.

Soll die Theorie die Linie ohne Neigung so darstellen, wie sie auf der Neigungskarte für das Jahr 1787 zu finden ist, so müssen beider Magnetaxen Aequatorialflächen einander in einer Linie durchschneiden, welche einen Winkel von etwa $4^\circ 20'$ mit dem Erdäquator bildet, und dessen einer Endpunkt südwärts vom Aequator in das Aethiopische Meer, ungefähr in der Länge $31^\circ 40'$ Ferro, dessen anderer Endpunkt nordwärts vom Aequator in der Länge $31^\circ 40' + 180^\circ = 211^\circ 40'$ (siehe oben §. 4) in das Südmeer fällt. Wird also gesetzt HG (Fig. 53) $= \gamma = 4^\circ 20'$, $HFG = \varepsilon = 29^\circ 0'$, $HEG = \varepsilon' = 28^\circ 28'$, so findet sich $\sin HF = \operatorname{tg} \gamma \cdot \cot \varepsilon$, $\sin HE = \operatorname{tg} \gamma \cdot \cot \varepsilon'$. Hieraus wird gefunden $HF = 7^\circ 51'$, $HE = 8^\circ 2'$, also die Länge des Nordpoles des Aequators der stärkern Axe oder $\zeta = 31^\circ 40' + 7^\circ 51' - 90^\circ = -50^\circ 29'$, d. i. $= 50^\circ 29'$ W. oder $309^\circ 31'$ O. Ferro; die Länge des Nordpoles des Aequators der schwächern Axe oder $\zeta' = 31^\circ 40' - 8^\circ 2' + 90^\circ = 113^\circ 38'$ O. Ferro. Da diese Bestimmungen von der in §. 15 auf eine ganz andere Weise für diese Axen gefundenen Lage nicht beträchtlich abweichen, so wurden die Elemente folgender Malsen angenommen:

Axe.	α	ε	ζ	δ	Q	$\log M.$
AB	$3^\circ 13'$	$29^\circ 0'$	$309^\circ 31'$	$129^\circ 49'$	3	0.24856
ab	5 30	28 28	113 38	— 46 40	3	0.00000
Axe.	$\log \cos \varepsilon.$	$\log \sin \varepsilon.$	$\log \cot \varepsilon.$	$\log \sin \alpha.$	$\lg 2 \sin \alpha.$	$1 + \sin^2 \alpha.$
AB	9.94182	9.68557	10.25625	8.74980	9.05083	1.00316
ab	9.94403	9.67820	10.26584	8.98157	9.28260	1.00919

$\frac{M}{M'}$ wurde ferner angenommen $\equiv 1.7724$, oder, wenn M' als Einheit angenommen wird, $M \equiv 1.7724$, also $\log M \equiv 0.24856$, $\log M' \equiv 0.00000$. Die beständigen Logarithmen und Gröfsen, welche häufig bey der Berechnung der Formeln in Hauptst. 6, §. 28 vorkommen, habe ich hinzugefügt, um sie desto leichter zur Hand zu haben.

§. 15. Wie weit diese Elemente der Wahrheit näher gekommen seyen, läfst sich aus folgender Tabelle ersehen.

No.	Ort.	Abweichung.			Neigung.			Kraft.		
		beobacht.	berechn.	Differ.	beob.	berechn.	Differ.	beob.	berechn.	Differ.
1	Teneriffa .	16° 0' w.	15° 34' w.	- 0° 26'	62° 25' n.	51° 29' n.	- 10° 56'	1.2723	1.1948	- 0.0775
4	Paris . . .	20 15	21 35	+ 1 20	69 28	62 19	- 7 9	1.3482	1.3943	+ 0.0461
6	Vogelsang.	20 38	45 40	+ 25 2	82 0	78 36	- 3 24		1.8333	
7	Nordcap .	6 0	23 58	+ 17 58	79 0	73 28	- 5 32		1.6815	
8	Alexandria	11 50	10 59	- 0 51	47 30	44 23	- 3 7		1.0046	
9	Petersburg	9 12 w.	14 50 w.	+ 5 38	72 36	67 42	- 4 54		1.4600	
11	Irkutsk . .	0 32 ö.	4 25 ö.	- 3 53	67 0	59 5	- 7 55		1.3665	
12	Petropaul.	6 19	11 12	- 4 53	63 5	62 50	- 0 15		1.5201	
13	Samganoed.	19 59	17 34	+ 2 25	69 23	67 37	- 1 46		1.6190	
14	Norton Sd.	25 45	25 38	+ 0 7	76 25	72 57	- 3 28		1.8313	
17	Nutka Sund.	19 44	19 8	+ 0 36	72 29	68 14	- 4 15		1.7750	
19	Mexico "	7 30 ö.	8 17	- 0 47	42 10	43 3	+ 0 53	1.3155	1.3256	+ 0.0101
20	Albany Fort	17 0 w.	12 27 ö.	- 29 27	79 20	71 5	- 8 15		1.9483	
24	Musk. Cove	50 36 w.	39 24 w.	- 11 12	81 22	80 48	- 0 34		2.0267	
25	Atlant. M. *	1 45 ö.	4 21	+ 6 6	45 8	39 41	- 5 27	1.2300	1.1172	- 0.1128
26	Atlant. M. *	1 0 w.	6 14	+ 5 14	52 55	41 11	- 11 44	1.2830	1.1201	- 0.1629
27	Atlant. M. *	9 0 w.	12 8	+ 3 8	56 42	46 19	- 10 23	1.2510	1.0898	- 0.1612
28	Atlant. M. *	11 0	13 16	+ 2 16	57 49	45 43	- 12 6	1.2617	1.0996	- 0.1621
29	Atlant. M. *	8° 0' w.	5° 35' w.	- 2° 25'	0° 0'	6° 28' s.	- 6° 28'		0.7790	
30	St. Helene	12 18	6 31	- 5 47	11 25 s.	13 36 s.	- 2 11		0.7678	
32	Baréedy . .	13 55	10 19	- 3 36	34 20 n.	34 53 n.	+ 0 33		0.8614	
33	Mocha . . .	11 28	9 8	- 2 20	8 22 n.	17 47	+ 9 25		0.7600	
34	Indisch. M.	4 23 w.	7 33	+ 3 10	0 22 s.	13 0	+ 12 22		0.7522	
35	Indisch. M.	1 36 ö.	4 5	+ 5 41	4 45	6 45 n.	+ 11 30		0.7857	
37	Surrobaya	2 31 w.	3 58 w.	+ 1 27	25 40 s.	27 42 s.	- 2 2	0.9348	0.9399	+ 0.0051
38	Macao . . .	0 32 w.	0 33 ö.	- 1 15	22 4 n.	25 5 n.	+ 3 1		0.8799	
39	Amboina .	1 13 ö.	1 6	+ 0 7	20 37 s.	22 28 s.	- 1 51	0.9532	0.9351	- 0.0181
41	Tongatab.	9 58	9 17	+ 0 41	39 2	42 18	- 3 16		1.2375	
43	Otaheite .	5 0	6 31	- 1 31	29 51	35 14 s.	- 5 23		1.1406	
44	Südmeer .	5 18	8 7	- 2 49	0 0	2 45 n.	+ 2 45		0.9905	
45	Südmeer .	2 45	5 50	- 3 5	35 49 s.	32 7 s.	+ 3 42		1.1364	
49	Cocosinsel	7 45	6 18	+ 1 27	19 45 n.	22 37 n.	+ 2 53		1.0711	

No.	Ort.	Abweichung.			Neigung.			Kraft.		
		beobacht.	berechn.	Differ.	beob.	berechn.	Differ.	beob.	berechn.	Differ.
55	Nulp. Peru	8° 10' ö.	6° 20' ö.	+ 1° 50'	0° 0'	0° 58' n.	+ 0° 58'	1.0000	1.0000	0.0000
56	Lima . . .	7 30	7 5	+ 0 25	9 59 s.	8 56 s.	+ 1 3	1.0773	0.9990	-0.0783
58	Carthagena		3 7		35 15 n.	34 8 n.	- 1 7	1.2938	1.1717	-0.1221
64	Cumana .	4 14	0 1	+ 4 13	39 47 n.	40 2 n.	+ 0 15	1.1779	1.1456	-0.0323
67	Atlant. M.	3 7 ö.	2 20 ö.	+ 0 47	29 7 s.	33 21 s.	- 4 14		0.9545	
70	Atlant. M.	3 18 w.	0 40 w.	- 2 38	35 45 s.	38 36 s.	- 2 51		0.9729	
71	Simons Bay	21° 14' w.	10° 31' w.	-10° 43'	45° 19' s.	42° 56' s.	+ 2° 23'		1.0466	
72	Indisch. M.	23 55	15 16	- 8 39	62 21	49 30	+12 51		1.1014	
73	Indisch. M.	12 46	13 1	+ 0 15	58 52	48 47	+10 5		1.1203	
74	Indisch. M.	10 55	13 39	+ 2 44	59 52	54 30	+ 5 22		1.2607	
75	Indisch. M.	5 45	8 43	+ 2 58	50 0	46 33	+ 3 27		1.1390	
76	Georg III. S.	5 20 w.	8 31	+ 3 11	64 54	59 41	+ 5 13		1.4416	
77	Port d. Nord	5 15 ö.	1 15 w.	+ 6 30	70 50	67 17	+ 3 33	1.5773	1.6758	+0.0985
78	Dusky Bay	13 49	3 56 ö.	+ 9 53	70 6	67 46	+ 2 20		1.6567	
82	Talcag. Bay	15 15	14 35	+ 0 40	50 45	47 54	+ 2 51		1.2574	
84	Christm. S.	24 43 ö.	16 32 ö.	+ 8 11	66 54	65 38	+ 1 16		1.5496	

In vorstehender Tabelle sind *westliche* Abweichung und *nördliche* Neigung als *positive*, *östliche* Abweichung und *südliche* Neigung als *negative* Größen angesehen worden. Eine positive Differenz bezeichnet also, daß die berechnete westliche Abweichung und nördliche Neigung zu groß, oder die östliche Abweichung und südliche Neigung zu klein sind. An den mit * bezeichneten Orten sind die Abweichungen aus der Abweichungskarte für 1770 entlehnt.

§. 16. Betrachtet man die Differenzen zwischen den beobachteten und berechneten magnetischen Erscheinungen im vorigen §., so ersieht man: 1) daß, wenn man die in der Nähe der Magnetpole gelegenen Stellen, wie Vogelsang, Nordcap, Spitzbergen, Petersburg, Albany Fort, Musketto Cove, Dusky Bay und Christmas Sund ausnimmt, an den übrigen Stellen die Fehler in den berechneten *Abweichungen* beynahe sämmtlich kleiner sind als 5°; 2) daß die berechneten *Neigungen*, sowohl die südlichen als nördlichen, bis auf wenige Ausnahmen insgesamt zu klein sind. Die größten Differenzen zwischen den beobachteten und berechneten Neigungen treffen im *Atlantischen Meere* ein, und zwar in einem Striche von Teneriffa (oder, wenn man will, von Paris) gen Südwesten bis gegen 14° N. Br. und 330° Länge Ferro, und

im *Indischen Meere* von der Strafse Bab-el-Mandeb bis zur Indischen Halbinsel. Im erstgedachten Striche des Atlantischen Meeres sind die berechneten nördlichen Neigungen 10° bis 11° zu klein (siehe No. 1, 4, 26, 27, 28), im letztgedachten Striche des Indischen Meeres sind die berechneten nördlichen Neigungen 10° bis 12° zu groß, und die südlichen ungefähr um eben so viel zu klein (siehe No. 33, 34, 55, 72, 73). An allen andern Stellen sind die Differenzen meistens unter 5° , und an den mehresten überaus unbedeutend. 3) Endlich ist sichtlich, daß das Verhältniß zwischen der durch die Theorie gefundenen *Intensität* in Peru und den auf dieselbe Weise bestimmten Intensitäten in Cumana, Mexico, Paris, Amboina, Java und Van Diemens Land ziemlich gut mit den Beobachtungen *Humboldts* und *de Rossels* übereinstimmen. Im obgedachten Striche des Atlantischen Meeres von Teneriffa bis hin nach der Küste Brasiliens giebt die Theorie die Intensitäten wie die Neigungen *zu klein*. Hieraus ist abzunehmen, daß die diesen Berechnungen zu Grunde gelegten Elemente noch einer Verbesserung bedürfen.

Dem größten Theile dieser Fehler liesse sich dadurch abhelfen, *daß man den Winkel ϵ , welchen die Aequatorialflächen beider Magnetaxen mit dem Aequator der Erde bilden, um 2 oder 3 Grade vergrößerte*. Denn durch Vergrößerung des Winkels ϵ für die stärkere Axe wird die nördliche Neigung im nördlichen Theile des Atlantischen Meeres, und die südliche Neigung im Indischen Meere *zu-*, und die nördliche Neigung an letzterer Stelle zwischen dem rothen Meere und Indien folglich *abnehmen*. Ferner wird die westliche Abweichung in Musketto Cove und im Indischen Meere in der Nähe des Vorgebirges der guten Hoffnung, imgleichen die östliche Abweichung zwischen Van Diemens Land und Neuseeland dadurch zunehmen. Durch Vergrößerung des Winkels ϵ für die schwächere Axe wird die nördliche Neigung in Petersburg, Sibirien und Kamtschatka, und die südliche Neigung nahe am Feuerlande zunehmen; hieraus wird ebenfalls folgen, daß die westliche Abweichung in Petersburg und am Nordcap und die östliche in Kamtschatka *ab-*, wie die östliche Abweichung am Feuerlande *zunehmen* werde. Endlich wird wahrscheinlich durch diese Veränderung die berechnete Intensität im nördlichen Atlantischen Meere zunehmen.

Soll die berechnete Abweichung in Albany Fort $\equiv 17^\circ$ W. werden, so muß man die Länge ζ des Nordpols des Aequators der stärkern Magnetaxe um ein paar Grade verkleinern, wodurch zugleich die westliche Abweichung im Indischen Meere und am Vorgebirge der guten Hoffnung (No. 71 und 72) nebst der östlichen Abweichung am Van Diemens Lande und an Neuseeland (No. 77 und 78) zunehmen wird. Vielleicht könnte man auch an der schwächern Axe ζ ungefähr um eben so viel verkleinern, welches die östlichen Abweichungen in Südamerica (No. 58 und 64) zu erfordern scheinen.

§. 17. Aus denselben Elementen (§. 14) ward für den *Nordpol der Erde* die Neigung $81^\circ 19'$, die magnetische Kraft $\equiv 1.8512$ gefunden, wenn die Kraft an *Humboldts* Nulpunkt in Peru $\equiv 1$ gesetzt wird; und die Berechnung zeigte, daß die horizontale Magnetnadel im Meridiane $286^\circ 12'$ O. Ferro in Ruhe seyn würde, so daß der Nordpol der Nadel im Meridiane $286^\circ 12'$ gen Süden und ihr Südpol im entgegengesetzten Meridiane $106^\circ 12'$ O. Ferro ebenfalls gen Süden wiese. Gehet man also vom Pole im Meridiane $286^\circ 12'$ gen Süden, so weiset in diesem Striche die Nadel gerade nach Süden, oder die Abweichung ist $\equiv 180^\circ$; zugleich wächst die Neigung, bis man zu einem gewissen Punkte kommt, wo sie $\equiv 90^\circ$, und wo die horizontale Nadel ohne Richtung ist. Gehet man noch weiter gen Süd, so drehet sich die horizontale Nadel plötzlich gen Norden, so daß sich die Abweichung augenblicklich von 180° bis 0° verändert. Um die Lage dieses Ortes auszumitteln, wurden die drey magnetischen Erscheinungen, Abweichung, Neigung und Kraft für folgende Punkte in der Baffinsbucht und an der Ostküste Grönlands berechnet:

No.	Ort.	Breite.	Länge Ferro.	Abweichung.	Neigung.	Kraft.
I.	Christianshaab . .	$69^\circ 0'$	$330^\circ 0'$	$56^\circ 18' \text{ w.}$	$80^\circ 30' \text{ n.}$	1.9064
II.	Hornsund	74 0	329 32	76 36	83 $7\frac{1}{2}$	1.9249
III.	Cap Dudley Diggs	76 40	320 32	88 28	84 0	1.9713
IV.	Th. Smiths Sund	78 30	310 40	113 19	86 6	1.9829
V.	Baffinsbay	67 0	292 9	1 18	85 45	2.0268
VI.	Baffinsbay	71 0	291 9	1 16 w.	87 45	2.0059
VII.	Baffinsbay	75 50	290 0	169 21 ö.	88 43	2.0089

Die Länge und Breite der obigen Punkte in der Baffinsbucht ist entlehnt aus *A new Chart of the World on Wright's or Mercators Projection published by Laurie & Whittle, London 1800*. Hieraus ist zu ersehen, daß derjenige Punkt, in welchem die magnetische Richtung senkrecht ist gegen die Erdoberfläche, oder die Neigung $= 90^\circ$, zwischen die zwey letzteren Orte (VI. und VII.) ungefähr in den Meridian 291° O. Ferro und in die Breite $73^\circ 53'$ fällt. In einer Linie von diesem Punkte bis zum Pole der Erde weiset demnach die Nadel gen Süd, oder die Abweichung ist $= 180^\circ$; ostwärts von dieser Linie ist die Abweichung westlich, westwärts von derselben östlich.

Auf dieselbe Weise ward für den *Südpol der Erde* die Neigung $= 81^\circ 37'$ südlich, die Kraft $= 1.9159$ gefunden; die horizontale Magnetnadel wird hier im Meridiane $4^\circ 11'$ und $184^\circ 11'$ O. Ferro ruhen, so daß ihr Nordpol im ersteren ($4^\circ 11'$) gen Norden, ihr Südpol im letzteren dieser Meridiane ($184^\circ 11'$) gen Norden weisen wird.

§. 18. An einem gegebenen Orte der Erdoberfläche sey die Neigung $= \mathfrak{J}$, die magnetische Kraft $= K$, die Anzahl der Schwingungen, welche die Neigungsnadel in einer gewissen Zeit t macht, $= N$; die Kraft K kann alsdann in zween Seitenkräfte aufgelöst werden, von denen die eine senkrecht gegen die Erdoberfläche, die andere parallel mit derselben ist. Wird die letztere gesetzt $= k$, so ist $k = K \cdot \cos \mathfrak{J}$. Getrieben von dieser Kraft k , wird die horizontale Magnetnadel in derselben Zeit t eine gewisse Anzahl Schwingungen $= n$ machen, und da die Quadrate der Anzahl der Schwingungen sich wie die Kräfte verhalten, so ist $N^2 : n^2 = K : k$, also $n = N \sqrt{\cos \mathfrak{J}}$. In *Humboldts* Nulpunkte in Peru bezeichne man dieselben Gröfßen mit K' , k' , N' , n' und \mathfrak{J}' , so ist nach *Humboldts* Beobachtungen $\mathfrak{J}' = 0^\circ$, $N' = 211$ (Hauptst. 2, S. 68), $t = 10'$, also $N' = n'$. Nun ist $K' : K = (N')^2 : N^2$, also $N = N' \sqrt{\frac{K}{K'}}$; in diesem Ausdrucke ist $\frac{K}{K'}$ die relative magnetische Kraft an dem Orte, wenn die Kraft in Peru als Einheit angenommen wird (siehe die Tabelle §. 15); wird gesetzt $\frac{1}{K'} = P$, so ist $N = N' \sqrt{P \cdot K}$ und $n = N \sqrt{\cos \mathfrak{J}} = N' \sqrt{P \cdot K \cdot \cos \mathfrak{J}}$.

Durch Berechnung ward gefunden $K' = 0.049872$, also $P = 20.0512$; folglich wird die Anzahl vertikaler Schwingungen, welche Humboldts Nadel an einem gewissen Orte der Erdoberfläche in $10' = 600''$ machen würde, $= N = 211\sqrt{K \cdot 20.0512} = 944.8\sqrt{K}$, und die Anzahl horizontaler Schwingungen, welche dieselbe Nadel in einer horizontalen Ebene in derselben Zeit machen würde, $= 211\sqrt{P \cdot K \cdot \cos \mathfrak{J}}$.

Folgende Tabelle enthält die dergestalt berechneten Schwingungen der Humboldtschen Nadel in $10'$ sowohl in einer horizontalen als vertikalen Ebene, nebst der Gröſe des horizontalen Theiles der magnetischen Kraft $Pk = PK \cdot \cos \mathfrak{J}$, wenn die Intensität in Humboldts Nulpunkt in Peru als Einheit angenommen wird.

No.	Ort.	Vertik. Schwing. in 10 Min.		Differ.	Horizont. Schwing. in 10 Min.	Horizont. magnet. Kraft.
		beobacht.	berechn.			
1	Teneriffa	238	230.6	- 7.4	182.0	0.7440
4	Paris	245	249.1	+ 4.1	169.8	0.6478
6	Vogelsang . . .		285.7		127.0	0.3624
7	Nordcap		273.6		146.0	0.4785
8	Alexandria . . .		211.5		178.8	0.7180
9	Petersburg . . .		255.0		157.1	0.5540
11	Irkutsk		246.7		176.8	0.7021
12	Petropaulowska		260.2		175.8	0.6941
13	Samganoodeha .		268.5		165.7	0.6165
14	Norton Sund . .		285.5		154.6	0.5370
17	Nutka Sund . .		281.1		171.2	0.6582
19	Mexico	242	242.9	+ 0.9	207.7	0.9687
	Nordpol.		287.1		111.6	0.2795
VII.	Baffinsbay . . .		299.4		44.8	0.0450
VI.	Baffinsbay . . .		298.8		83.9	0.0787
V.	Baffinsbay . . .		300.4		116.4	0.1502
20	Albany' Fort . .		294.5		167.7	0.6316
IV.	Th. Smiths Sund		297.1		77.5	0.1349
III.	Cap Dudl. Diggs		296.2		95.8	0.2060
24	Musketto Cove .		300.4		120.1	0.3240
II.	Hornsund		292.7		101.3	0.2304
I.	Christianshaab .		291.3		118.4	0.3146

No.	Ort.	Vertik. Schwing. in 10 Min.		Differ.	Horizont. Schwing. in 10 Min.	Horizont magnet. Kraft.
		beobacht	berechn.			
25	Atlantisch. Meer	234	223.0	— 11.0	195.6	0.8598
26	Atlantisch. Meer	239	223.3	— 15.7	193.7	0.8430
27	Atlantisch. Meer	236	220.4	— 15.6	183.2	0.7527
28	Atlantisch. Meer	237	221.2	— 15.8	184.9	0.7678
29	Atlantisch. Meer		186.2		185.6	0.7740
30	St. Helene . . .		184.9		182.3	0.7463
32	Bareedy		195.8		164.6	0.7066
33	Mocha		184.0		179.5	0.7237
34	Indisches Meer		183.0		181.0	0.7358
35	Indisches Meer		187.0		186.4	0.7803
37	Surabaya	204	204.6	+ 0.6	192.5	0.8322
38	Macao		197.9		188.4	0.8496
39	Amboina	206	204.0	— 2.0	196.1	0.8641
41	Tongataboo . .		234.7		201.5	0.9153
43	Otaheite		225.3		203.8	0.9317
44	Südmeer		210.0		208.7	0.9894
45	Südmeer		224.9		207.0	0.9625
49	Cocosinsel . . .		218.4		209.8	0.9888
55	Nulpunkt Peru .	211	211.0		211.0	1.0000
56	Lima	219	210.9	— 8.1	209.5	0.9869
58	Carthagera . . .	240	228.4	— 11.6	207.8	0.9699
64	Cumana	229	225.8	— 3.2	157.0	0.8771
67	Atlantisch. Meer		206.1		188.4	0.7974
70	Atlantisch. Meer		208.1		184.0	0.7604
71	Simons Bay . . .		215.9		184.7	0.7663
72	Indisches Meer.		221.4		178.5	0.7153
73	Indisches Meer.		223.3		181.3	0.7382
74	Indisches Meer.		236.9		180.5	0.7521
75	Indisches Meer.		225.2		209.5	0.7833
76	Georg III. Sund		253.3		180.0	0.7277
77	Port du Nord . .	265	273.1	+ 8.1	169.2	0.6472
78	Dusky Bay . . .		268.5		165.1	0.6269
82	Talcaguana Bay		236.6		193.7	0.8430
84	Christmas Sund		262.7		168.7	0.6393
	Südpol		292.0		111.5	0.2793

B b b

wäre, was sie verhinderte die rechte Stellung anzunehmen (*there being either some magnetic particles in the Air, or some other quality, that hinders them from traversing*). Dieses geschieht gewöhnlich (sagt er) bey der Einfahrt in die Hudsonsstraße oder Bay, aber nur dann, wenn man dem Eise nahe oder zwischen demselben ist^{*)}). Dieses Phänomen läßt sich, ohne eine solche Hypothese, gar leicht erklären. Aus vorstehender Tabelle ist zu ersehen, daß der mit dem Horizonte parallele Theil k der magnetischen Kraft in der Hudsons- und Baffinsbay sehr klein ist. So ist in $75^{\circ} 30'$ Breite und 290° Länge $k = 0,045$ (No. VII.), wenn die Kraft in Peru $= 1$ angenommen wird. Wird die Nadel aus dem magnetischen Meridian herausgebracht, so daß sie mit demselben einen Winkel macht $= d$, so ist derjenige Theil der Kraft, welcher die Nadel um ihren Mittelpunkt zu drehen strebt $= k \cdot \sin d$. Ist nun z. B. $d = 10^{\circ}$, so ist diese Kraft $= 0,045 \cdot \sin 10^{\circ} = 0,0078$. Da die Compafsrose ein ziemliches Gewicht hat, und diejenige Spitze, auf welcher sie sich dreht, der beständigen Bewegung halben nicht sonderlich fein seyn kann, so wird immer eine bedeutende Reibung statt finden; und wenn das Moment dieser Reibung gröfser ist als dasjenige der magnetischen Kraft, so bleibt die Nadel stehen, ohne sich gegen den magnetischen Meridian drehen zu können. Daß *Middleton* sagt, dieses geschehe niemals als nahe bey oder zwischen dem Eise, besagt wohl nichts anders als in großen nördlichen Breiten, d. i. nahe bey dem Punkte, wo die Neigung $= 90^{\circ}$ ist.

§. 19. Da die Berechnung der magnetischen Abweichung, Neigung und Kraft ziemlich weitläufig ist, wird es vielleicht zweckdienlich seyn, selbige durch ein Beyspiel zu erläutern; und dazu wollen wir Mexico wählen. Aus Tafel I. No. 19 (S. 364) findet man die Breite von Mexico $= p = 19^{\circ} 26'$, die Länge $= q = 278^{\circ} 32'$; und aus der Tabelle in §. 14 (S. 370) findet man die zur Berechnung der Formeln in Hauptst. 6, §. 28 nothwendigen Elemente, nämlich:

$$(A) \text{ für die stärkere Axe } \left. \begin{array}{l} \zeta = 309^{\circ} 31' \\ q = 278 \quad 32 \\ q - \zeta = -30^{\circ} 59' \end{array} \right\} \begin{array}{l} \text{Die mit * bezeichneten Lo-} \\ \text{garithmen gehören zu} \\ \text{negativen Zahlen.} \end{array}$$

^{*)} Middletons Observations of the Variation of the Needle made in a Voyage to Hudsons Bay in the Year 1731. Philos. Trans. No. 429, July-Oct. 1733.

(1)	(2)
$\log \cos e = 9.94182$	$\log \cos e = 9.94182$
$\log \sin p = 9.52207$	$\log \cot(q - \zeta) = 10.22151^*$
$9.46589.. + 0.29100$	$10.16333.. - 1.45657$
$\log \sin e = 9.68557$	$\log \sin e = 9.68557^*$
$\log \cos p = 9.97453$	$\log \tan p = 9.54754$
$\log \cos(q - \zeta) = 9.93514$	$\log \operatorname{cosec}(q - \zeta) = 0.28837^*$
$9.59324.. + 0.59196$	$9.52148.. + 0.55226$
$\sin \mu = 0.68296$	$\cot(\nu + \delta) = -1.12451$
(3)	(5)
$\log \cot e = 10.25625$	$\log \sin p = 9.52207^* \quad A = -3.30484$
$\log \cos p = 9.97453$	$\log \cot(q - \zeta) = 10.22151^* \quad B = +0.55409$
$\log \operatorname{cosec}(q - \zeta) = 0.28837^*$	$\log B = 9.74358 \quad \cot A = -2.75075$
$\log A = 10.51915^*$	

Da $\cos e \cdot \cot(q - \zeta) > \sin e \cdot \tan p \cdot \operatorname{cosec}(q - \zeta)$, so wird in der Formel

$$\cot(\nu + \delta) = \frac{\cos e \cdot \cot(q - \zeta) - \sin e \cdot \tan p}{\sin(q - \zeta)}$$

der Zähler positiv, der Nenner negativ; also ist $\nu + \delta$ im 4ten Quadranten. Auf dieselbe Weise wird gefunden, daß A im 4ten Quadranten ist; folglich ist $\mu = 43^\circ 4\frac{1}{2}'$, $\nu + \delta = -41^\circ 59'$, $A = -19^\circ 59'$; und da $\delta = 129^\circ 49'$, so wird $\nu = -171^\circ 28'$.

(4)	(5)
$\log \cos \mu = 9.85556$	$\log \cos \mu = 9.85556$
$\log \sin \nu = 9.17139^* \cot \nu = +6.66463$	$\log \cos \nu = 9.99517^*$
9.02495^*	$\lg(2 \sin \alpha) = 9.05085$
$\log \sin \alpha = 8.74980$	$8.89956 \dots - 0.07935$
$9.72485^* \dots - 0.55070$	$1 + \sin^2 \alpha = 1.00316$
$\varphi = -170^\circ 44\frac{1}{2}' \quad \cot \varphi = 6.13393$	$\log R^2 = 9.96558 \quad R^2 = 0.92581$
	$\log R = 9.98279 \quad R = 0.96115$
	$Q = 5.$
	$QR = \varphi = 2.88345$

(6)

$$\log \sin \alpha = 8.74980$$

$$\log \sin \varphi = 9.20655^*$$

$$\log \cos \eta = 7.95635^* \quad \eta = 90^\circ 51'$$

(8)

$$\log \sin \mu = 9.83443$$

$$\log \sin \eta = 9.99998$$

$$\log \cos \nu = 9.83445 \quad \nu = 46^\circ 55'.$$

(7)

$$\log \sin \mu = 9.83443$$

$$\log R = 9.98279$$

$$\log \cos u = 9.85164 \quad u = 44^\circ 43'$$

Für $\rho = 2.88345$ werden durch Interpolation aus der Tafel II. §. 15 (S. 566) die Werthe von A , $\log B$, $\log C \dots \mathfrak{A}$, $\log \mathfrak{B}$, $\log \mathfrak{C} \dots$ u. s. w.*) gesucht, und da $2u = 89^\circ 26'$, $4u = 178^\circ 52'$, $6u = 268^\circ 18'$, $8u = 357^\circ 44'$, $10u = 87^\circ 10'$, $12u = 176^\circ 56'$, so wird $\cot \omega$ auf folgende Weise gefunden:

$$\mathfrak{A} = -0.0114670$$

$$\log B = 7.88827$$

$$\log \mathfrak{B} = 8.526080^*$$

$$\log \cos 2u = 7.995198$$

$$765 \dots \dots \dots 5.88347$$

$$6.521278^* \dots \dots \dots 5321$$

$$\log C = 6.9379$$

$$\log \mathfrak{C} = 7.59137^*$$

$$\log \cos 4u = 9.99991^*$$

$$-8666 \dots \dots \dots 6.9378^*$$

$$7.59128 \dots \dots \dots +59019$$

$$\log D = 5.986$$

$$\log \mathfrak{D} = 6.6385^*$$

$$\log \cos 6u = 8.4723^*$$

$$29 \dots \dots \dots 4458^*$$

$$5.1108 \dots \dots \dots 129$$

$$+ 0.0329060 - 8695$$

$$- 0.0117991 + 59148$$

*) Durch Multiplication der daselbst sich vorfindenden Differenzen mit $d\rho = 0.345$. Die zweyte Differenz läßt sich meist ausser Betracht setzen.

$$\begin{array}{r}
 (14) \\
 \log \sin i = 9.94106 \\
 \log \sin \eta = 9.99998 \\
 \hline
 \log \sin I = 9.94104 \\
 I = 60^\circ 49'
 \end{array}$$

$$\begin{array}{r}
 (15) \\
 f = - 0^\circ 29' \\
 g = - 0 \quad 56 \\
 \hline
 f + g = - 1^\circ 25' \\
 A = - 19 \quad 56 \\
 \hline
 D = - 18^\circ 54'
 \end{array}$$

(B) für die schwächere Axe $\zeta' = 113^\circ 38'$

$$\begin{array}{r}
 q = 278 \quad 52 \\
 q - \zeta' = 164^\circ 54'
 \end{array}$$

$$\begin{array}{r}
 \log \cos \epsilon' = 9.94403 \\
 \sin p = 9.52207 \\
 \hline
 9.46610 \dots + 0.29248
 \end{array}$$

$$\begin{array}{r}
 \log \cos \epsilon' = 9.94403 \\
 \log \cot(q - \zeta') = 10.56892^* \\
 \hline
 10.51295^* \dots - 3.25801
 \end{array}$$

$$\begin{array}{r}
 \log \sin \epsilon' = 9.67820 \\
 \cos p = 9.97453 \\
 \cos(q - \zeta') = 9.98474^* \\
 \hline
 9.63747^* \dots - 0.43398 \\
 \sin \mu' = - 0.14150
 \end{array}$$

$$\begin{array}{r}
 \log \sin \epsilon' = 9.67820^* \\
 \tan p = 9.54754 \\
 \operatorname{cosec}(q - \zeta') = 0.58418 \\
 \hline
 9.80992^* \dots - 0.64554 \\
 \cot(\nu' + \delta) = - 3.90355
 \end{array}$$

$$\begin{array}{r}
 \log \cot \epsilon' = 10.26584 \\
 \cos p = 9.97453 \\
 \operatorname{cosec}(q - \zeta') = 0.58418 \\
 \log A = 10.82455
 \end{array}$$

$$\begin{array}{r}
 \log \sin p = 9.52207^* A = + 6.67652 \\
 \cot(q - \zeta') = 10.56892^* B = + 1.23308 \\
 \log B = 10.09099 \cot A' = 7.90960
 \end{array}$$

Also ist $\mu' = - 8^\circ 8'$, $A' = + 7^\circ 12'$, $\nu' + \delta' = + 165^\circ 38'$

$$\begin{array}{r}
 \delta' = - 46 \quad 40 \\
 \nu' = + 212^\circ 18'
 \end{array}$$

$$\lg \cos \mu' = 9.99561$$

$$\lg \cos \mu' = 9.99561$$

$$\begin{array}{r}
 \sin \nu' = 9.72783^* \cot \nu' = + 1.58184 \\
 \hline
 9.72344^*
 \end{array}$$

$$\begin{array}{r}
 \cos \nu' = 9.92699^* \\
 2 \sin \alpha' = 9.28260
 \end{array}$$

$$\lg \sin \alpha' = 8.98157$$

$$9.20520^* \dots - 0.16040$$

$$9.25813^* \dots - 0.18119$$

$$1 + \sin^2 \alpha' = 1.00919$$

$$\varphi' = 215^\circ 31' \frac{1}{2} \cot \varphi' = + 1.40065 \lg(R')^2 = 9.92880$$

$$(R')^2 = 0.84879$$

$$\log R' = 9.96440$$

$$R' = 0.92130$$

$$\begin{array}{lll} \lg \sin \alpha' = 8.98157 & \log R' = 9.96440 & R' = 0.92150 \\ \lg \sin \varphi' = 9.76422^* & \log \sin \mu' = 9.15076^* & Q' = 3. \\ \lg \cos \eta' = 8.74579^* & \eta' = 95^\circ 11' \frac{1}{2} & \log \cos u' = 9.18636^* \quad Q'R' = \rho' = 2.76390 \end{array}$$

$$\begin{array}{l} \log \sin \mu' = 9.15076^* \\ \log \sin \eta' = 9.99933 \quad u' = 98^\circ 50' \\ \cos v' = 9.15143^* \quad v' = 98 \quad 9 \end{array}$$

Hier findet sich also $2u' = 197^\circ 40'$, $4u' = 35^\circ 20'$, $6u' = 233^\circ 0'$, $8u' = 70^\circ 40'$, $10u' = 268^\circ 20'$, $12u' = 106^\circ 0'$. In diesem Falle, wenn der Polarabstand u' grösser ist als 90° , also die wahre Magnetbreite *südlich*, kann man auch den Polarabstand vom südlichen Magnetpole rechnen. Wird dieser gesetzt $= u''$, also $u' = 180^\circ - u'' = \frac{1}{2}c - u'$ (wenn der Umkreis des Kreises mit c bezeichnet wird), so ist $2u' = c - 2u''$, $4u' = 2c - 4u''$, $6u' = 3c - 6u''$, und im Allgemeinen $2nu' = nc - 2nu''$. Nun ist $\sin 2u' = \sin(c - 2u'') = -\sin 2u''$, $\cos 2nu' = \cos(nc - 2nu'') = \cos 2nu''$; folglich wird in der Formel für $\cot \omega'$

$$Z = A + B \cdot \cos 2u' + C \cdot \cos 4u' + \dots = A + B \cdot \cos 2u'' + C \cdot \cos 4u'' + \dots$$

$$N = \mathfrak{A} + \mathfrak{B} \cdot \cos 2u' + \mathfrak{C} \cdot \cos 4u' + \dots = \mathfrak{A} + \mathfrak{B} \cdot \cos 2u'' + \mathfrak{C} \cdot \cos 4u'' + \dots$$

$$\text{Wird gesetzt } \cot \omega' = \frac{Z \cdot \sin 2u}{N}, \quad \cot \omega'' = \frac{Z \cdot \sin 2u''}{N}, \text{ so ist } \cot \omega' = -\cot \omega'',$$

also $\omega' = 180^\circ - \omega''$. Rechnet man also das Complement $\text{Lcd} = v'$ (Fig. 45) der excentrischen Magnetbreite vom Südpole an, d. i. setzt man $v' = 180^\circ - v''$, so ist die schiefe Neigung $i' = v' - \omega' = 180^\circ - v'' - (180^\circ - \omega'') = \omega'' - v'' = -(v'' - \omega'')$.

$$A = +0.0374906$$

$$\mathfrak{A} = -0.0151362$$

$$\log B = 7.98297$$

$$\log \mathfrak{B} = 8.584150^*$$

$$\log \cos 2u' = 9.979019^*$$

$$-91620 \cdot \dots \cdot 7.96199^*$$

$$8.563169 \cdot \dots \cdot +365737$$

$$A = +0.0374906 - 91620$$

$$\mathfrak{A} = -0.0151362 + 365737$$

$$\log C = 7.0695$$

$$\log \mathfrak{E} = 7.68596^*$$

$$\log \cos 4u' = 9.91158$$

9575 6.9811

7.59754* 39586

$$\log D = 6.1550$$

$$\log \mathfrak{D} = 6.7698^*$$

$$\log \cos 6u' = 9.7795^*$$

860 . . . 5.934*

6.5493 3542

$$\log E = 5.235$$

$$\log \mathbb{E} = 5.854^*$$

$$\log \cos 8u' = 9.520$$

57 4.755

5374* . . . 237

$$\log F = 4.302$$

$$\log \mathfrak{F} = 4.942^*$$

$$\lg \cos 10u' = 8.464^*$$

1 . . . 2.766*

5.406 2

$$\log \mathfrak{S} = 4.005^*$$

$$\lg \cos 12u' = 9.440^*$$

3.445 3

+ 0.0384538 — 92481

— 0.0171185 — 369284

92481

+ 369284

$$\underline{Z' = +0.0292057} \quad . \quad . \quad . \quad \log Z' = 8.46547 \quad \underline{N' = +0.0198099}$$

$$\log \sin 2u' = 9.48215^*$$

7.94760*

C c c

$$\log Z' \cdot \sin 2u' = 7.94760^*$$

$$\log N' = 8.29688$$

$$\log \cot \omega' = 9.65072 \quad \omega' = 114^\circ 6'$$

$$v' = 98 \quad 9$$

$$i' = -15^\circ 57'$$

$$\log Z' \cdot \sin 2u' = 7.94760^* \quad \log \tan \mu' = 9.15515^* \quad \log \tan i' = 9.45606^*$$

$$\log \sec \omega' = 0.38881^* \quad \log \cot \eta' = 8.74646^* \quad \log \cos \eta' = 8.74579^*$$

$$\log F' = 8.33641 \quad \log \sin f' = 7.90161 \quad \log \tan g' = 8.20185$$

$$\log M' = 0.00000$$

$$\log M'F' = 8.33461$$

$$\log \sin i' = 9.45901^*$$

$$f' = 0^\circ 27'$$

$$D = -18^\circ 54'$$

$$\log \sin \eta' = 9.99933$$

$$g' = 0 \quad 55$$

$$D' = +5 \quad 50$$

$$\log \sin I' = 9.45854^*$$

$$f' + g' = 1^\circ 22'$$

$$D - D' = -24^\circ 24'$$

$$I' = -15^\circ 55\frac{1}{2}'$$

$$A' = 7 \quad 12$$

$$D' = 5^\circ 50'$$

(16 — 17)

$$\log MF = 8.76724$$

$$2 \log MF = 7.53448 \quad . \quad . \quad + 0.0034236$$

$$\log M'F' = 8.33641$$

$$2 \log M'F' = 6.67282 \quad . \quad . \quad + 4708$$

$$\log 2 = 0.30103$$

$$7.40468$$

$$7.40468$$

$$\log \cos I = 9.68809$$

$$\log \sin I = 9.94104$$

$$\log \cos I' = 9.98300$$

$$\log \sin I' = 9.43834^*$$

$$\log \cos(D - D') = 9.95937$$

$$6.78406^* \quad . \quad . \quad - 6082$$

$$7.03514 \quad . \quad . \quad . \quad . \quad . \quad + 10843$$

$$\log K^2 = 7.64055$$

$$K^2 = 0.0043705$$

$$\log K = 8.82027$$

$$K = 0.0661100$$

(18)

$$\begin{array}{llll} C. \log K = 1.17973. & . & . & . & 1.17973 & A = + 0.77270 \\ \log MF = 8.76724 & \log M'F' = 8.33641 & B = - 0.09005 \\ \log \sin I = 9.94104 & \log \sin I' = 9.43834^* & \sin \mathfrak{J} = 0.68265 \\ \log A = 9.88801 & \log B = 8.95448^* & \mathfrak{J} = + 43^\circ 3' \end{array}$$

(19)

$$\begin{array}{ll} C. \log \sin(D - D') = 0.38394^* & \cot(D - D') = - 2.20449 \\ \log MF - \log M'F' = 0.43085 \\ \log \cos I - \log \cos I' = 9.70509 \\ & 0.51986^* - 3.51024 \\ & o = - 10^\circ 16\frac{1}{2}' . . \cot o = - 5.51475 \\ & D = - 18 \quad 34 \\ & \mathfrak{D} = - 8^\circ 17\frac{1}{2}' \end{array}$$

In *Humboldts* Nulpunkte in Peru ward gefunden $K' = 0.049872$; also $P = \frac{1}{K'} = 20.0512$. Folglich wird die Magnetkraft in Mexico, wenn die Kraft in *Humboldts* Nulpunkt in Peru als Einheit angenommen wird, $= \mathfrak{K} = PK$, der horizontale Theil derselben $\mathfrak{f} = PK \cos \mathfrak{J}$; die Anzahl der vertikalen Schwingungen der Neigungsnadel $= N = 211 \sqrt{PK}$, die Anzahl der Schwingungen derselben Nadel in einer horizontalen Ebene $= n = 211 \sqrt{PK \cos \mathfrak{J}} = N \sqrt{\cos \mathfrak{J}}$ (§. 18).

$$\begin{array}{ll} \log K = 8.82027 & \frac{1}{2} \log \mathfrak{K} = 0.06121 \\ \log P = 1.30214 & \log 211 = 2.32428 \\ \log \mathfrak{K} = 0.12241 . . \mathfrak{K} = 1.3256 & \log N = 2.38549 . . N = 242.9 \\ \log \cos \mathfrak{J} = 9.86577 & \frac{1}{2} \log \cos \mathfrak{J} = 9.93188 \\ \log \mathfrak{f} = 9.98618 . . \mathfrak{f} = 0.9687 & \log n = 2.31737 . . n = 207.7 \end{array}$$

So ist alsdann in Mexico die Abweichung $8^\circ 17'$ östlich, die Neigung $43^\circ 3'$ nördlich, die magnetische Kraft $= 1.3256$, der horizontale Theil derselben $= 0.9687$, die Anzahl der vertikalen Schwingungen $= 242.9$, der horizontalen $= 207.7$. Nach den Beobachtungen des *Don Alzate* war die Abweichung in Mexico im December 1769 $= 5^\circ 35'$ ö. (nach der Karte für 1770 ist sie eher $6\frac{1}{2}$ ö.); nach *Humboldts* Beobachtung 1799 war die Neigung

$\equiv 42^\circ 10' \text{ n.}$, die Kraft $\equiv 1.3155$, und die Anzahl der vertikalen Schwingungen $\equiv 242$.

§. 20. In der ganzen obigen Theorie ist auf die sphäroidische Gestalt der Erde gar keine Rücksicht genommen worden. Diese Gestalt der Erde hat aus einer doppelten Ursache Einfluß auf die magnetischen Erscheinungen derselben; theils stehen nämlich die Erdradien auf der elliptischen Erde nicht senkrecht gegen die Erdoberfläche (wie in unserer Theorie angenommen ist), theils werden die berechneten Magnetradien ρ (Hauptst. 6 §. 20) außerhalb des Aequators auf einer elliptischen Erde kleiner gefunden werden als auf einer kugelrunden. Ersteres wird auf die Neigung, letzteres auf die magnetische Kraft einigen Einfluß haben.

ALP (Fig. 55) sey ein Quadrant des elliptischen Meridians, AC des Aequators Radius $\equiv 1$, PC die halbe Erdaxe $\equiv n$, LC $\equiv r$ ein Erdradius zum Orte L, LN die Vertikallinie, so ist der Winkel LNA $\equiv p$ des Ortes Polhöhe, LCA $\equiv p'$ dessen Breite (verbesserte Polhöhe), der Winkel CLN, welchen der Erdradius mit der Vertikallinie bildet, $\equiv p - p'$. Aus der Theorie der Ellipse wird bekannter Maßen gefunden $\tan p' \equiv n^2 \cdot \tan p$ oder, wenn $\frac{1 - n^2}{1 + n^2}$

gesetzt wird $\equiv c$, $p - p' = \frac{c}{\sin 1''} \cdot \sin 2p - \frac{c^2}{\sin 2''} \cdot \sin 4p + \frac{c^3}{\sin 3''} \cdot \sin 6p \dots$;

$r = \sqrt{\frac{\cos p}{\cos p' \cdot \cos(p - p')}} = 1 - \frac{1}{2}n^2(1 - n^2) \cdot \sin^2 p$ sehr nahe. Im Hauptst. 6 ward LC $\equiv r$ als eine unveränderliche GröÙe angenommen gleich CA, welches also unrichtig ist.

In die Formeln 1, 2 und 3 (Hauptst. 6 §. 28) für $\sin \mu$, $\cot(\nu + \delta)$ und $\cot A$ führe man also die berichtigte Polhöhe p' statt p ein, so findet man den wahren Werth der Winkel LCQ $\equiv \mu$, EbL $\equiv \nu$ und bLP $\equiv A$ (Fig. 47). Aus Dreyeck CLR wird gefunden LR $\equiv r \cdot \sin \mu$, CR $\equiv r \cdot \cos \mu$, und aus

Dreyeck CR γ , $\tan C\gamma R \equiv \tan \varphi = \frac{CR \cdot \sin \gamma CR}{\gamma C - CR \cdot \cos \gamma CR} = \frac{r \cdot \cos \mu \cdot \sin \nu}{\sin \alpha + r \cdot \cos \mu \cdot \cos \nu}$,

oder $\cot \varphi = \frac{\sin \alpha}{r \cdot \cos \mu \cdot \cos \nu} + \cotang \nu$.

Ferner findet man aus Dreyeck $CR\gamma$, $\gamma R^2 = C\gamma^2 + CR^2 - 2C\gamma \cdot CR \cdot \cos \gamma CR$
 $= \sin^2 \alpha + r^2 \cdot \cos^2 \mu + 2r \sin \alpha \cdot \cos \mu \cdot \cos \nu$; endlich $\gamma L^2 = \gamma R^2 + RL^2$
 $= r^2 + \sin^2 \alpha + 2r \sin \alpha \cdot \cos \mu \cdot \cos \nu = R^2$. Wenn solchergestalt der Magnetradius $L\gamma$ gefunden ist, wird die wahre magnetische Breite folgender Maßen gefunden:

$$\sin L\gamma R = \frac{LR}{L\gamma} = \frac{r \cdot \sin \mu}{R} = \cos L\gamma B = \cos u.$$

Endlich wird die elliptische Figur der Erde auch auf den Winkel η , welchen die Fläche des magnetischen Meridians im Orte L mit der Erdoberfläche bildet, folglich auf die Winkel ν , f , g und I (Hauptst. 6 §. 28, Formel 8, 12, 13, 14) von Einflusse seyn. Eine vollständige Theorie der magnetischen Erscheinungen auf einer Sphäroide kann in dieser vorläufigen Untersuchung noch nicht vonnöthen seyn, da die Fehler, die aus den nicht vollkommen berichtigten Elementen entspringen, jene weit übersteigen.

Inzwischen wollen wir untersuchen, wie groß wohl der Einfluß dieser Abplattung der Erde auf die drey magnetischen Erscheinungen an denjenigen Stellen der Erde seyn möge, wo dieselbe am größten ist, das ist an den Polen.

Die halbe Erdaxe ward angenommen $= \frac{299}{300}$ des Radius des Aequators, also

$n = \frac{299}{300}$; und aus den Elementen in §. 14 ward mit Zuziehung der obigen

Formeln gefunden: die Neigung $\mathfrak{Z} = 82^\circ 2'$ im Meridiane $283^\circ 58'$ O. Ferro, die relative Kraft $PK = 1,9338$, die Anzahl der vertikalen Schwingungen in $10'$ $N = 293,4$, die horizontale Kraft $Pk = 0,2680$, und die Anzahl der horizontalen Schwingungen in $10' = n = 109,2$. In §. 17 und 18 fand man, unter Voraussetzung, daß die Erde eine vollkommene Kugel sey, im Nordpole die Neigung $\mathfrak{Z} = 81^\circ 19'$ im Meridiane $286^\circ 12'$ O. Ferro, $PK = 1,8512$, $N = 287,1$, $Pk = 0,2795$, $n = 111,6$. Man sieht also, daß eine Abplattung

von $\frac{1}{300}$ am Pole eine Veränderung von $0^\circ 45'$ in der Richtung der Neigungsnadel und von $2^\circ 14'$ in derjenigen der horizontalen Nadel verursacht, imgleichen von 6,3 vertikalen Schwingungen der Neigungsnadel, oder von 0,0826

in der magnetischen Kraft. Da sich die Dauerzeit der Schwingungen umgekehrt verhält wie die Anzahl der in gleichen Zeiten vollführten Schwingungen, so ist $287,1 : 293,4 = 600'' : 613'',2$, d. i. wofern die Erde kugelrund ist, wird die Neigungsnadel am Pole $613'',2 = 10' 13'',2$ brauchen, um 293,4 Schwingungen zu machen, welche sie, falls die Abplattung $= \frac{1}{300}$ ist, in $600'' = 10'$ vollführen wird. Ferner ist, wenn die Abplattung $= \frac{1}{300}$, die Zeit einer vertikalen Schwingung $= \frac{600''}{293,4} = 2'',0448$ und einer horizontalen Schwingung $= \frac{600}{109,2} = 5'',4926$; also die Zeit von 100 vertikalen Schwingungen $= 204'',48$ und von 100 horizontalen $= 549'',26$. Ohne Rücksicht auf die Abplattung wird die Zeit einer vertikalen Schwingung $= \frac{600}{287,1} = 2'',0897$ und einer horizontalen Schwingung $= 5'',3779$, also die Zeit von 100 vertikalen Schwingungen $= 208'',97$ und von 100 horizontalen $= 537'',79$. Eine Abplattung $= \frac{1}{300}$ würde also auf 100 vertikale Schwingungen eine Differenz von $4\frac{1}{2}$ Secunden und auf 100 horizontale von $11\frac{1}{2}$ Secunden verursachen.

Da sonach die Gestalt der Erde auf die magnetischen Erscheinungen Einfluß hat, so müßte man umgekehrt durch Beobachtung der letzteren die erstere bestimmen können. Solches setzte aber eine vollständige Magnettheorie voraus, wie auch eine völlig genaue Bestimmung der Dimensionen, der Lage und der Kraftverhältnisse der Magnetaxen, was wohl schwerlich jemals zu erreichen wäre.

Zusatz. *Biot* und *Gay-Lussac* unternahmen den 24sten Aug. 1804 eine Luftschiffahrt, um die Intensität der magnetischen Kräfte der Erde in verschiedenen Höhen zu untersuchen. Eine Magnetenadel, welche an der Erde 5 Schwingungen in $35\frac{1}{4}$ Secunden machte, vollbrachte, wie man fand, in verschiedenen Höhen 5 Schwingungen in 35 Secunden, und endlich in der Höhe von 3977 Metres 10 Schwingungen in 70 Secunden; woraus sich also ergibt, daß die

magnetische Intensität in Höhen, welche nicht 4000 Metres übersteigen, als unveränderlich angesehen werden kann. Späterhin stieg *Gay-Lussac* allein den 16ten Sept. desselben Jahres zu der fast doppelten Höhe auf. Seine Magnetnadel machte in verschiedenen Höhen folgende Schwingungen:

In der Höhe 0 Metres 30 Schwing. in 126'',5, also 10 Schwing. in 42'',17

4265	—	30	—	-	125 ,5	—	10	—	-	41 ,83
4512	—	30	—	-	127 ,5	—	10	—	-	42 ,50
4809	—	30	—	-	128 ,5	—	10	—	-	42 ,83
5175	—	30	—	-	126 ,5	—	10	—	-	42 ,17
5631	—	30	—	-	127 ,5	—	10	—	-	42 ,50
6884	—	20	—	-	83 ,5	—	10	—	-	41 ,75

Aus diesen Beobachtungen ist zu ersehen, daß selbst in einer solchen beträchtlichen Höhe die Schwingungen der Nadel keine merkliche Abnahme der magnetischen Kraft angaben. Wird der Halbmesser des Aequators

$\equiv 6376162$ M. und die Abplattung der Erde $\equiv \frac{1}{500}$ angenommen, so beträgt

diese 21253,9 M.; am Pole würde eine solche Höhe über die Erdoberfläche, nach der Berechnung im obigen §., einen Unterschied von 11'',5 auf 10 horizontale Schwingungen, also von 1'',15 auf 10 Schwingungen hervorbringen. Nun verhält sich $21253,9 : 6884 \equiv 1 : 0,3239$, d. i. ungefähr $\equiv 1 : \frac{1}{3}$; kein Wunder also, daß *Gay-Lussac* in einer Höhe von 6884 M. noch keinen Unterschied in den Schwingungen der Nadel fand, um so mehr, da die Schwierigkeit dieser Beobachtungen die nöthige Schärfe in der Bestimmung des Anfanges und Aufhörens der Schwingungen untersagt.

§. 21. In §. 16 ward gezeigt, welche Verbesserungen mit den letzteren Elementen vorzunehmen seyen, um eine gröfsere Uebereinstimmung zwischen Theorie und Erfahrung hervorzubringen. Wahrscheinlich wird man, gesetzt auch daß diese eingeführt werden, dennoch die berechneten Neigungen etwas zu klein, und die westliche Abweichung auf Spitzbergen, am Nordcap und in Petersburg, wie auch die östliche Abweichung in Kamtschatka zu groß, endlich die westliche Abweichung bey Grönland zu klein finden. LA (Fig. 51)

sey die Linie, in welcher die Nadel, bloß von der stärkern Axe mit einer Kraft $= MF$ getrieben, LB die Linie, in welcher die Nadel, bloß von der schwächern Axe mit einer Kraft $= MF'$ getrieben, in Ruhe seyn würde, LG die Richtung der aus diesen zween Seitenkräften zusammengesetzten mittleren Kraft. Führet man diese 3 Richtungen an den Horizont SDN und setzet $DLN = D$, $FLN = D'$, $DLA = I$, $BLF = I'$, $ELN = \mathfrak{D}$, so muß, soll in Petersburg, auf Spitzbergen oder am Nordcap \mathfrak{D} kleiner werden, entweder die Kraft MF kleiner, oder $M'F'$ größer angenommen werden. In Vogelsang (Spitzbergen) ward z. B. gefunden $D = 77^\circ 20'$, $D' = - 51^\circ 15'$ (östlich), $I = 66^\circ 39\frac{1}{2}'$, $I' = 71^\circ 34'$, $F = 0,032687$, $F' = 0,038402$, also (wird M' angenommen $= 1,0000$, $M = 1,7724$) $MF = 0,057955$, woraus $\mathfrak{D} = 45^\circ 40'$ berechnet wurde. Wird M' größer als 1,0000 oder M kleiner als 1,7724 gesetzt, so wird wohl \mathfrak{D} kleiner, aber dadurch werden auch die Declinationen in Musketto Cove, auf Van Diemens Land u. s. w. zu klein und alle Neigungen nahe am Aequator unrichtig werden. Der Werth von F' ist es also, welcher zu klein ist; soll derselbe aber größer werden, so müssen die Magnetaxen größer als $\frac{1}{3}$ der Erdaxe angenommen werden, wodurch hinwiederum die berechneten Neigungen in der Nähe der Pole sich zu klein, und der Zuwachs der Intensität vom Aequator bis zu den Polen größer ausweisen wird, als nach *Humboldts* und *de Rossels* Beobachtungen. *Die Hypothese von zween lineären Magneten ist also unzulänglich, um den Erscheinungen zu genügen.* Auch hatte selbige an und für sich selbst keine Wahrscheinlichkeit und war bloß zur Erleichterung des Calculs eingeführt.

So verdrießlich auch die obige Entdeckung dem *Mathematiker* seyn mag, dem die einfachste Berechnungsweise die liebste ist, so willkommen muß sie dem *Physiker* erscheinen, da sie dermaleinst einiges Licht über den inneren Bau der Erde zu werfen verspricht. Wäre die Gehalt dieser Magnetaxen bekannt, so könnte man mittelst der im 5ten Hauptstücke aufgestellten Theorie eine Formel für den Winkel ω suchen. Die einfachste und wahrscheinlichste Hypothese in dieser Hinsicht würde seyn, die Magnetaxen *cylindrisch* anzunehmen; der Durchschnitt dieser Cylinder liefse sich willkürlich annehmen, und durch Berechnung der in §. 13 angeführten Beobachtungen würde man

leicht ausmitteln, ob man das richtige Verhältniß zwischen der Länge und dem Durchschnitte gefunden hätte, oder nicht.

Dafs solche cylindrische Magneten die Erscheinungen besser werden darstellen können, läßt sich folgender Maſſen beweisen: 1) In Hauptst. 5, §. 53, Zusatz (S. 278) wurde gezeigt, dafs bey cylindrischen Magneten die Intensität vom Aequator nach den Polen langsamer wachse als bey lineären. Werden also die Erdmagneten als cylindrisch angenommen, so kann man sie etwas gröſſer ansetzen als $\frac{1}{2}$ des Erddurchmessers (was die in der Nähe der Pole beobachteten Abweichungen zu erfordern scheinen), ohne dafs die berechnete Intensität nahe an den Polen zu groß wird. 2) EbFa (Fig. 54) sey ein Durchschnitt der Erde, EF ein Durchmesser im magnetischen Aequator, der lineären Magnetaxe Mittelpunkt sey im Mittelpunkte der Erde in C. Denket man sich nun den Mittelpunkt des Magneten von C nach γ gerückt, so wird die magnetische Neigung im Punkte I zunehmen, denn die wahre magnetische Breite I γ F ist gröſſer als ICF. Auf die nämliche Weise ist es leicht darzuthun, dafs die Neigung im Quadranten Eb durch diese Veränderung abnehmen wird. EBFA (Fig. 56) sey ein Durchschnitt der Erde, ba sey ein cylindrischer Magnet; dieser läßt sich annehmen als aus einer unendlichen Menge lineärer Magneten bestehend; der halbe Cylinder bmna wird also im Meridiane BFA eine gröſſere, der halbe Cylinder bopa eine kleinere Neigung verursachen als der lineäre Magnet ba in der Axe des Cylinders. Da aber der Halbcylinder bmna näher ist, so wird seine Wirkung auf alle Punkte im Meridiane BFA gröſſer seyn als die Wirkung des Halbcylinders bopa. Das Entgegengesetzte muß im Meridiane BEA der Fall seyn. Die Neigung muß also gröſſer gefunden werden, nimmt man die Magnetaxen cylindrisch an, als wenn sie blos lineär angenommen werden. Da die berechneten Neigungen in §. 15 fast überall zu klein gefunden wurden, so scheint demnach diese Hypothese mit der Erfahrung übereinzustimmen.

§. 22. Es bleibt also noch übrig, für einen cylindrischen Magneten eine Formel für den Winkel ω und die magnetische Kraft zu suchen. Durch Einführung der Verbesserungen der in §. 16 angegebenen Elemente würde man dann der Wahrheit weit näher kommen. Zu etwas genauerer Bestimmung

D d d

der Excentricität und Lage der magnetischen Durchmesser (Hauptst. 6, §. 5) oder des Winkels δ , welchen der erste Magnetmeridian mit der Polarcolure bildet (Hauptst. 6, §. 16, No. 7), wäre es höchst vonnöthen, eine Reihe Beobachtungen über die magnetische Kraft in der Nähe der Linie ohne Neigung zu besitzen, besonders im Indischen Meere von 60° bis 120° Länge, und im Südmeere von 220° bis 280° Länge östl. Ferro. Eben so wichtig als diese Beobachtungen hinsichtlich der Bestimmung der Excentricität der Axen seyn würden, wäre es in Ansehung der Bestimmung ihrer Gröfse oder des Werthes von Q , vollständige magnetische Beobachtungen in der Nähe der magnetischen Pole zu besitzen, also in der Hudsons- und Baffinsbucht, im nördlichen Sibirien, im Indischen Meere südlich von Neuholland, und im Südmeere südwestlich vom Feuerlande.

§. 23. Wenn man durch eine solche Berichtigung der Elemente es endlich so weit gebracht hätte, daß diese den magnetischen Zustand der Erde am Schlusse des letztverflossenen Jahrhunderts vollkommen darstellten, müßte man untersuchen, was für Veränderungen mit diesen Elementen vorzunehmen seyen, damit die Theorie den magnetischen Zustand der Erde in einer früheren Epoche, z. B. im Jahre 1600 oder 1700, darzustellen vermöchte. Man könnte versuchen, mittelst der im dritten Hauptstücke ausgemittelten jährlichen Bewegungen der vier Pole, die Lage der Axen zu reduciren. Wäre sonach die Lage der Axen für 2 oder 3 verschiedene Zeitpunkte bestimmt, so ließen sich hierdurch ihre wahren Bewegungsgesetze leicht ausfindig machen.

Aus den Elementen in §. 14 (S. 370), die für das Jahr 1775 gelten, ward mittelst der Formeln in Hauptst. 6, §. 16, Zusatz 2 (S. 318) für die stärkere Axe die Länge des Nordpunktes B gefunden $= 304^\circ 44'$, ihr Abstand vom Nordpole $= 51^\circ 8'$, die Länge des Südpunktes $A = 134^\circ 58'$, dessen Abstand vom Südpole $= 27^\circ 2'$; für die schwächere Axe die Länge des Nordpunktes $b = 123^\circ 8'$, der Abstand vom Nordpole $= 24^\circ 59'$, die Länge des Südpunktes $a = 286^\circ 10'$, der Abstand vom Südpole $= 32^\circ 28'$. Aus dem dritten Hauptstücke wurden für diese Punkte folgende Bewegungen in 175 Jahren gefunden: Punkt $B = 36^\circ 21'$, $A = 13^\circ 39'$, $b = 73^\circ 10'$, $a = 44^\circ 48'$; also wird für das Jahr 1600 die Länge von $B = 304^\circ 44' - 36^\circ 21' = 268^\circ 23'$,

von $A = 134^{\circ} 58' + 15^{\circ} 39' = 148^{\circ} 57'$, von $b = 123^{\circ} 8' - 73^{\circ} 10' = 49^{\circ} 58'$, von $a = 286^{\circ} 10' + 44^{\circ} 48' = 330^{\circ} 58'$. Folglich wird für das Jahr 1600

für die stärkere Axe: $b = 31^{\circ} 8'$, $a = 27^{\circ} 2'$, $\gamma = 268^{\circ} 23' - 148^{\circ} 57' = 119^{\circ} 46'$,
für die schwächere Axe: $b = 24 59$, $a = 32 28$, $\gamma = 49 48 - 330 58 = 78 50$.
Hieraus findet sich nach Hauptst. 6, §. 16:

Axe.	α	ε	ζ	δ
AB	$14^{\circ} 14'$	$25^{\circ} 44'$	$296^{\circ} 21'$	$99^{\circ} 24'$
ab	21 56	19 23	108 39	75 21

Dadurch, daß die Länge der Magnetaxen dem halben Erddurchmesser gleich angenommen ward, d. i. $Q = 2$, $M:M' = 1.7724:1$, und durch Berechnung des Winkels ω nach der Lambertschen Formel (Hauptst. 5, §. 19 I. S. 169) ward für *Paris* gefunden die Abweichung $= 1^{\circ} 4'$ östl., die Neigung $= 78^{\circ} 29'$. Aber im Jahre 1600 war die Abweichung in *Paris* ungefähr 9° östl. und die Neigung etwas über 75° (siehe Tafel I., II. im Anhange). Entweder müssen also die im dritten Hauptstücke gefundenen Umdrehungs-Geschwindigkeiten der Magnetpole nicht völlig richtig seyn, oder die Bewegung der Pole geschieht nicht concentrisch um die Erdpole. Die großen Excentricitäten, die aus dieser Hypothese folgen würden, nämlich für die stärkere Axe $\alpha = 14^{\circ} 14'$, für die schwächere $\alpha = 21^{\circ} 56'$ kommen mir auch höchst unwahrscheinlich vor. Zwar könnte es ebenfalls einigem Zweifel unterworfen seyn, ob die Längen und absoluten Kräfte der Magnetaxen beständig sind oder sich von Zeit zu Zeit verändern, welches eine nähere Untersuchung leicht würde entscheiden können.

§. 24. Obgleich die Elemente, wornach die drey magnetischen Erscheinungen in der Tabelle §. 15 berechnet sind, noch bedeutender Verbesserungen bedürfen, so ergeben doch, meines Verhoffens, die Resultate zur Genüge, daß zwey Magnetaxen angenommen werden müssen. Die in dieser Tabelle vorkommenden Orte erstrecken sich über die wichtigsten Punkte auf der gan-

étoit occidentale dans la baye de Hudson & orientale sur les côtes du Bresil, & même fort grande dans l'un & l'autre endroit. D'où il s'ensuit, que deux poles magnétiques ne sont pas suffisans pour expliquer les phénomènes de la déclinaison".

Pour examiner la force de ce raisonnement, je remarque d'abord, que, si les deux poles magnétiques étoient diamétralement opposés, il ne sauroit arriver, que sous un même méridien la déclinaison fut quelque part orientale, & dans un autre endroit occidentale. Mais, dès que les deux poles magnétiques ne sont plus diamétralement opposés l'un à l'autre, la première proposition perd toute sa force, & il peut alors fort bien arriver, que sous un même méridien la déclinaison soit quelque part orientale, & en d'autres endroits occidentale. Comme je prouverai cela indubitablement dans la suite, il me sera permis de regarder l'hypothèse de quatre poles magnétiques comme fort douteuse; & avant qu'on ait très évidemment prouvé, que deux poles magnétiques ne sont pas suffisans pour expliquer les phénomènes de la déclinaison magnétique, ce seroit contre les règles d'une bonne Physique si l'on vouloit recourir à quatre poles.

Wer auch nur die kurze Darstellung der Halleyschen Ideen in *Gehlers* physikalischem Wörterbuche (Artikel: Abweichung der Magnetnadel) durchlieset, wird sehen, daß der oben von *Eulern* angeführte Grund bey weitem nicht der einzige ist, auf welchen *Halley* seine Behauptung vierer Magnetpole stützt. Im Gegentheil zeigt *Halley*, daß die östliche Abweichung an der Küste von Brasilien, die am Cap Frio $= 12^\circ$, am Plataflusse $= 20^\circ\frac{1}{2}$ ist, nachher abnehme, wenn man südwestwärts sich der Magellanstraße nähert, dergestalt daß sie am westlichen Einlaufe dieser Straße nur $= 14^\circ$ und in *Baldivia* 8° ist. Hieraus schließt *Halley*, daß sie sich wahrscheinlich nur wenige Grade von den Küsten Perus und Chilis in das Südmeer hinein erstrecke, wo dann wieder eine westliche Abweichung in den unbekannten Ländern zwischen Chili und Neuseeland anfangen müsse. Dieses bestätigt sich dadurch, daß die östliche Abweichung, welche im südlichen Theile des Südmeeres östlich von den Molukken und dem Van Diemens Lande anfängt, schnell wieder abnimmt; denn auf der Insel Rotterdam ist sie schon merklich kleiner als auf der Küste von Neu-Guinea, woraus *Halley* schließt, daß

in 225° Länge östl. London unter 20° S. Br. wieder eine *westliche Abweichung* anfangt. Die Richtigkeit dieser Vermuthung *Halleys* läßt sich aus der Abweichungskarte für 1710 abnehmen, auf welcher man nach *Roger Woodens* Beobachtungen ein Minimum östlicher Abweichung im Meridiane 130° W. oder 230° O. London findet, wo die Abweichung beynahe $= 0^\circ$ gewesen ist. Wahrscheinlich hat hier in einer früheren Periode eine geringe westliche Abweichung Statt gefunden. Aus der ganzen Eulerschen Theorie, wie auch aus der der Abhandlung beygefügtten Karte erhellet, daß, wenn man nur Eine Magnetaxe annimmt, es bloß zwey Linien geben könne, worin die Abweichung $= 0^\circ$ ist, und in jeder Halbkugel bloß Ein Maximum östlicher und Eins westlicher Abweichung. *Halley* hat dagegen gezeigt, daß sich in der südlichen Kugel zwey Maxima östlicher Abweichung, eins zwischen Neuholland und Neuseeland, und ein anderes nach der Ostküste von Südamerika hin fänden.

In Meridiane 230° O. London oder $247^\circ\frac{1}{2}$ O. Ferro, wo die Abweichung vom Jahre 1600 bis auf unsere Zeit vom Aequator südwärts beynahe $= 0^\circ$ gewesen ist, hat *Eulers* Karte in 20° Breite 25° östliche Abweichung, welche weiter südwärts dermaßen zunimmt, daß sie in 60° S. Breite über 90° ist. In der Nähe von Van Diemens Land, wo die Abweichung zu *Tasmans* Zeit $= 0^\circ$ war und wo sie gegenwärtig 5° - 7° östlich ist, beträgt sie nach *Eulers* Hypothese ungefähr 50° W. An ersterer Stelle irret diese also um etwa 90° , an letzterer über 50° . *Euler* hat durch seine Theorie bloß gesucht, die *Halleysche* und *Mountaine-Dodsonsche* Abweichungskarte darzustellen, welche beide bloß das Abweichungssystem im Atlantischen und Indischen Meere für die Jahre 1700 und 1744 ausweisen. Die Abweichung im Südmeere und in Sibirien, also über mehr als $\frac{2}{3}$ der Erdoberfläche, kannte er gar nicht, und schob also alle Fehler seiner Hypothese dorthin. Selbst diesen zween Karten war selbige nicht im Stande völlig zu genügen. Er drückt sich am angeführten Orte (S. 247) folgender Maßen darüber aus:

Cependant je suis obligé d'avouer, que la Carte de Halley renferme quelques circonstances, qu'on ne sauroit jamais mettre d'accord avec l'hypothese de deux poles magnétiques. La principale est la distance entre les lignes sans dé-

clinaison sur l'équateur: l'une, à la droite de laquelle la déclinaison est occidentale & à la gauche orientale, coupe sur la Carte de Halley l'équateur au 17^{me} degré vers l'Oüest du méridien de Londres, & l'autre, où la déclinaison de part & d'autre suit une loi opposée le coupe au 119° vers l'Est du méridien de Londres, de sorte que l'intervalle entre ces deux intersections est 136°. Or, selon le calcul que je viens de faire ici, cet intervalle se trouve de 210°, lequel en changeant les élémens pourroit bien devenir plus petit: mais on ne le sauroit diminuer au delà de 180°, tant qu'on suppose le pole méridional magnétique plus éloigné du pole antarctique que le pole boréal du pole arctique, & plus avancé vers l'Oüest comme les autres phénomènes l'exigent évidemment. Et si l'on pouvoit bien compter sur les intersections, je dois avoüer qu'il faudroit abandonner cette hypothèse de deux poles magnétiques.

Examinons donc plus soigneusement sur quoi fonde M. Halley la position de ces lignes sans déclinaison pour l'année 1700. Et d'abord j'observe, que M. Halley ne la donne pas lui-même pour fort exacte, tant faute d'un assez grand nombre d'observations, que principalement, puisque la plupart des observations sur lesquelles cette Carte est dressée, ont été faites très longtems avant l'époque de 1700. Or l'on sait que la déclinaison au même endroit change très considérablement avec le tems, & il auroit falu connoître exactement ce changement annuel pour chaque endroit, avant qu'on ait pu faire usage de ces observations. A' Paris par exemple la déclinaison fut nulle en 1666, & en 1756 l'aiguille déclinait de 17° 45' vers l'Oüest, d'où il s'ensuit que la ligne sans déclinaison, qui passoit en 1666 par Paris, s'est avancée dans cet intervalle de 90 ans environ par un espace de 100° vers l'Est, ce qui fait plus d'un degré par an. Or il paroît par les observations que M. Halley rapporte, qu'à l'Isle de Helena la déclinaison étoit 0° 40' vers l'Est en 1677; & la Carte montre encore pour 1700 presque la même déclinaison. Ensuite, aux côtes découvertes par Diemen, c'étoit en 1642, que la déclinaison fut observée nulle, & la Carte dressée pour 1700 représente la ligne sans déclinaison à peu près encore au même endroit: quoique par le changement observé à Paris il semble, que cette ligne devroit être avancée dans cet intervalle vers l'Est par 60°, ce qui s'accorderoit fort bien avec l'intervalle de 210°, que mon calcul indique. De là je

concluds que cet intervalle a été effectivement en 1700 beaucoup plus grand que la Carte Halleyenne ne le représente.

La Carte que Mrs. Mountaine & Dodson ont publiée pour l'année 1744 s'accorde beaucoup plus à cet égard avec ma Théorie, ledit intervalle y étant de 170°: mais elle renferme d'autres irrégularités, qui sont tout à fait incompatibles. Elle donne à la ligne sans déclinaison un tour si bizarre par les Indes orientales, qu'il ne sauroit être accordé avec aucune Théorie: & il semble que les Auteurs y ont voulu représenter à la fois des observations plus vieilles & plus modernes: d'ailleurs les erreurs auxquelles les observations sont assujetties, ne permettroient jamais de découvrir un tel tour bizarre, quand même il y en auroit un. Après cela, la route qu'ils donnent à cette ligne sans déclinaison, & qu'ils tirent par le Japon, est ouvertement fausse, puisqu'on sait par les observations faites en Sibérie que cette ligne y passe: d'où je conclud qu'elle auroit du être continuée depuis l'équateur, par la Chine, & de là par la Tartarie: & par cette raison les lignes qu'ils ont tirées dans la Mer pacifique, surtout dans sa partie septentrionale, doivent manquer de fondement.

Um seine Hypothese zu rechtfertigen, sucht Euler hier sowohl gegen Halleys Karte für das Jahr 1700 als diejenige des Mountaine und Dodson für 1744 Zweifel zu erheben. Inzwischen ist aus den Beobachtungen im Anhang die Richtigkeit der Linien ohne Abweichung in der Nähe von China sowohl im Jahre 1700 als 1744 leicht zu beweisen; woraus sich zugleich ergeben wird, daß die Abweichung in China und im Meere zwischen China und Neuholland gerade vom Jahre 1600 bis 1800 sich kaum um 2 bis 3° verändert habe. Daß uns der Gang dieser Linien etwas *bizarre* vorkommt, so daß sie sich nicht durch die erste beste Theorie darstellen lassen, kann nichts zur Sache thun; und daß es den *Regeln einer gesunden Physik* eben so sehr zuwider laufe, bewiesene Erfahrungssätze deswegen zu verwerfen, weil sie sich einer unbewiesenen Hypothese nicht fügen wollen, als eine zusammengesetzte Ursache anzunehmen, wo eine einfache hinreichend wäre, liegt am Tage.

In seinen *Corrections nécessaires pour la théorie de la déclinaison magnétique**) stellt *Euler* eine verbesserte Theorie der Abweichung und Neigung auf, und nach Entwicklung einer Menge Gleichungen, um den magnetischen Zustand der Erde im Jahre 1756 zu bestimmen, findet er, daß diese gegenseitig mit einander streiten, und äussert sich desfalls folgender Maßen (S. 263):

C'est sans doute un accident bien fâcheux pour la théorie que je viens de développer, Et il semble qu'elle en seroit totalement renversée. Les partisans de feu Mr. Halley ne manqueront pas d'en tirer cette conséquence, que, pour expliquer les phénomènes de la déclinaison magnétique, il faut absolument avoir recours à quatre poles magnétiques. Mais les raisons alléguées ci-dessus me paroissent encore trop fortes, pour que je veuille entièrement renoncer à cette idée; Et il se présente d'abord une source très naturelle, qui nous pourra fournir une correction suffisante. Pour cet effet, je crois qu'on n'aura qu'à employer cette rectification, que le centre magnétique ne doit pas être pris au milieu de l'axe magnétique. J'avois introduit cette supposition uniquement pour la commodité du calcul; mais à présent je ne doute plus que ce centre ne soit considérablement éloigné du milieu de l'axe.

Zu diesem Geständnisse ist es, daß jeder, welcher die Theorie des magnetischen Zustandes der Erde unter Voraussetzung Einer Magnetaxe bearbeiten will, sich endlich gedrungen sieht. *Churchman* schließt seine Untersuchung mit dem nämlichen, und *Biot* fängt ebenfalls an, das Daseyn einer zweyten Magnetaxe zu ahnen; ja ich möchte die Behauptung wagen, daß jeder, welcher die magnetischen Erscheinungen der Erde aus Einer Magnetaxe ableiten zu können glaubt, des magnetischen Zustandes der Erde noch wenig oder gar nicht kundig sey. Der Ausweg, welchen *Euler* hier sucht, nämlich den Mittelpunkt der Kräfte verschieden vom Mittelpunkte der Magnetsehne anzunehmen, wird nicht zureichend seyn. Diese Verlegung des Mittelpunktes würde den meisten Einfluß auf die Neigung haben, welche da-

*) *Mémoires de Berlin pour 1766, Tom. XXII.*

durch in beiden Halbkugeln verschieden werden würde, wovon aber die Neigungsbeobachtungen keine Spur zeigen. Wohl würden die Abweichungslinien dadurch einen etwas unregelmässigeren Gang bekommen, aber nie würde solches sie dahin bringen, dafs sie die geographischen Parallelkreise in 4 Punkten schnitten, welches doch, wie die Erfahrung lehrt, mit den Linien ohne Abweichung und den meisten andern Abweichungslinien der Fall ist.



Achstes Hauptstück.

Von den täglichen Bewegungen der Magnetnadel.

§. 1. Wer eigentlich zuerst entdeckt hat, daß die Magnetnadel vom Nordstriche abweicht, ist sehr ungewiß. *Thevenot* versichert in seiner Reisebeschreibung (*Recueil des voyages, Paris 1681*), aus einem Briefe des *Peter Adsigerus* ersehen zu haben, daß dessen Verfasser schon im Jahre 1269 eine Abweichung von 5° beobachtet habe. Andere schreiben dem berühmten *Columbus* auf seiner Entdeckungsreise 1492 diese Entdeckung zu. Hr. de l'Isle besaß das Manuscript eines Piloten *Crignon* aus Dieppe vom Jahre 1534, das dem Admiral *Sebastian Chabot* zugeeignet war, und worin von der Abweichung der Magnetnadel geredet wird. *Lewin Hulsius* (*descriptio et usus viatorii et horologii solaris, Norib. 1597*) führt an, *Georg Hartmann* in Nürnberg habe im Jahre 1536 bey Verfertigung von Sonnenuhren die Abweichung $10\frac{1}{4}$ Grad gefunden. Endlich hat *Lemonnier* in *Mem. de l'Ac. de Sc. 1771* eine Sonnenuhr in Kupfer stechen lassen, welche 1541 in Paris vom Künstler *Bellarmatus* verfertigt war; auf dieser ist die Abweichung der Magnetnadel $= 7^{\circ}$ O. angegeben. *Orontius Fineus* fand dieselbe 1550 ebendasselbst 8° O. Inzwischen liegt am Tage, daß man vor der Mitte des 16ten Jahrhunderts noch nicht recht gewußt hat, was von dieser Abweichung zu glauben sey, indem selbst gelehrte Männer, wie *Petrus Medinensis* und *Petrus Nonius (Nunez)* Einwendungen dagegen erhoben. Ersterer vermeinte, diese Abweichung sey blos aus den fehlerhaften Beobachtungen der Seeleute und aus ihrer Unkunde entsprungen, die Nadel auf die gehörige Weise zu magnetisiren*); letzterer behauptete, die Abweichung rühre einzig daher, daß die Nadel mit der Zeit ihre Kraft verliere, oder daß der Magnet, womit man sie gestrichen, nicht

*) Siehe Kirchers Ausdruck an der S. 15, 1 Hptst. angeführten Stelle und *Musschenbroecks Dissertatio de Magnete, pag. 151.*

die gehörige Stärke gehabt hätte*). Nach der Mitte des 16ten Jahrhunderts wurden sowohl in London als Paris mehrere Beobachtungen angestellt, welche alle nicht nur gegenseitig, sondern auch mit den ältern darin übereinstimmten, daß sie eine Abweichung gegen Osten angaben; weswegen auch seit dieser Zeit aller Zweifel an der Richtigkeit der Sache weggefallen zu seyn scheint.

§. 2. Mit eben so wenig Zuverlässigkeit ist meines Wissens bekannt, wer eigentlich die *jährliche Veränderung* der Abweichung entdeckte. *Petit* erzählt (*Philos. Trans.* 1667 pag. 527), daß in Paris einige nach *Orontius Fineus* und *Castelfranc* die Abweichung zu 9 bis 10 Graden östlich, andere nach *Sennertus* und *Offucius* zu $11\frac{1}{4}$ Graden östlich rechneten. Er unternahm deshalb selber, die Abweichung in Paris zu untersuchen, und fand solche im Jahre 1630 = $4\frac{1}{2}$ Grad östlich. Hieraus erhellet, daß, ungeachtet *Orontius Fineus* im Jahre 1550 die Abweichung = 8° östlich und *Sennertus* und *Offucius* im Jahre 1580 = $11\frac{1}{4}$ Grad, also einen Unterschied von $3\frac{1}{4}$ Graden fanden, man doch noch nicht die Idee gefaßt hatte, daß die Nadel von einem Jahre zum andern ihre Stellung veränderte, sondern man scheint vielmehr den obigen Unterschied für eine Folge von Beobachtungsfehlern angesehen zu haben.

In London fand *Burrows* im Jahre 1580 die Abweichung $11^{\circ} 15'$ östlich, und *Gunter* im Jahre 1622 = $5^{\circ} 56'\frac{1}{2}$ östlich; endlich *Gellibrand* 1634 = $4^{\circ} 6'$ östlich. Bey Vergleichung seiner Beobachtung mit den beiden vorhergehenden schloß *Gellibrand*, die Abweichung müsse veränderlich seyn, und man schreibt daher gewöhnlich ihm diese Entdeckung zu. Obgleich also die Franzosen schon früher, nämlich in den Jahren 1541, 1550, 1580 und 1603, in Paris vier verschiedene Abweichungen**), und ebenfalls *Gunter* in London eine andere Abweichung als *Burrows* gefunden, so scheint mir doch keinem derselben die Ehre besagter Entdeckung von Rechts wegen zugeschrieben

*) Diese Behauptung muß vermuthlich in einem der folgenden beiden Werke des Nonius vorkommen: *De erratis Orontii Finci, Liber unus, Conimbricæ 1546*; oder *De arte atque ratione navigandi, Libri duo, Conimbricæ 1546*. Siehe von Zachs monatl. Correspondenz B. 3 S. 205.

**) Siehe Anhang, Erste Tafel S. 10-11.

werden zu können, da nur derjenige die Entdeckung macht, der die Idee richtig auffasset*) und auszusprechen weiß, d. h. der, was in der Erscheinung liegt, zu deuten versteht. In Frankreich nahm *Gassendi* diese jährliche Veränderung der Abweichung an und vertheidigte sie; aber *Kircher*, kommt mir vor, war nicht ganz einig mit sich selbst, ob er sie annehmen sollte oder nicht, obgleich sein Buch vom Magneten etwas später geschrieben ist.

§. 3. Man glaubte nunmehr, die Magnetnadel müsse eine gleichförmige Bewegung gen Westen haben, und bemühte sich, die Gröfse dieser jährlichen Bewegung auszumitteln. *Noel* glaubte, aus seinen Beobachtungen schliessen zu können, sie sey $\equiv 9\frac{1}{2}$ Minuten; *Cassini* nahm sie $\equiv 11$ bis 12 Minuten an; aus den Londonschen Beobachtungen schlossen andere 9 Minuten (*Muschenbroek Dissert. de Magnete pag. 153-155***)"); aber bald entdeckte man, dieses *Vorrücken* sey nichts weniger als gleichförmig. Inzwischen glaubte man, diese Bewegungen seyen so langsam, daß die Nadel wenigstens binnen einigen wenigen Tagen für stillstehend angesehen werden könne. Auch dieses fand sich unrichtig; denn da *Pater Guy Tachart* im Jahre 1682 in der Stadt *Louvo* in *Siam* im Beyseyn des Königs die Abweichung beobachtete, fand er sie $0^{\circ} 16'$ westlich, am folgenden Tage $0^{\circ} 31'$, am dritten Tage $0^{\circ} 35'$, am vierten $0^{\circ} 38'$; und nach Verlauf einiger Tage fand er sie wieder an drey auf einander folgenden Tagen $\equiv 0^{\circ} 28'$, $0^{\circ} 33'$ und $0^{\circ} 21'$.

§. 4. Der berühmte Mechanikus *Graham* in London wiederholte mit bessern Instrumenten diese Beobachtungen im Jahre 1722, und fand, daß die Nadel nicht nur von Tage zu Tage, sondern sogar an einem und demselben Tage von Stunde zu Stunde ihre Stellung verändere und sonach in einer beständigen Bewegung sey. Mit zween verschiedenen Nadeln, wovon die Eine

*) Aus demselben Grunde schreibt man mit Recht *Herscheln* die Entdeckung des *Uranus* zu, ob ihn gleich *Flamsteed* fast hundert Jahre vorher beobachtet, aber für einen Fixstern gehalten hatte.

**) Welche wunderliche Vorstellungen man sich von dieser Bewegung machte, erhellet aus dieser Abhandlung S. 154 und 155, wo man aus der jährlichen Bewegung der Nadel auszumitteln sucht, wie viele Jahre verfließen möchten, bevor sie einen ganzen Kreis durchlaufen, d. h. sich Ein Mal umgedreht hat.

in einer kupfernen, die andere in einer hölzernen Kapsel eingeschlossen war, beobachtete er nämlich den 8ten März die Abweichung, wie folgt*):

Stundenzeit.	Abweichung.		Unterschied.
	Nadel A.	Nadel B.	
3 U. 0' Nachm.	14° 30' —	14° 25' +	5' —
3 15 —	14 20	14 20	0
4 0	14 15 +	14 10	5 +
4 15	14 20	14 15	5
5 0	14 25	14 20	5
5 30	14 25	14 20	5
5 45	14 15	14 10	5
5 57	14 0	14 0 —	0 +
6 8	14 0 —	13 55	5 —
6 15	13 50	13 40	10
6 38	14 20	14 15 +	5 —
6 48	14 0 +	14 0	0 +
6 54	14 0	14 0 —	0 +
7 5	14 5	14 0 +	5 —
7 15	14 10	14 5	5
12 0	14 0 +	14 0 +	0

Die Nadel B in der hölzernen Kapsel hat beynahe während des ganzen Versuches die Abweichung 5' weniger als die Nadel A angegeben; übrigens haben diese Nadeln bis auf Weniges dieselben Bewegungen gehabt, so daß man nicht umhin kann anzunehmen, daß die Ursache dieser Bewegungen außerhalb der Nadel gesucht werden müsse. Eine grössere Zahl dieser Grahamschen Beobachtungen findet sich am angeführten Orte; er berichtet, über tausend aufgezeichnet zu haben.

§. 5. Diese Entdeckung *Grahams* wurde von dem berühmten Professor *Andr. Celsius* in Upsala bestätigt und erweitert. In Sv. Vet. Acad. Handl. für das Jahr 1740 rückte er ein: *Bemerkungen über der Magnetenadel stündliche Veränderungen in ihrer Abweichung, welche wir hier anführen.*

*) Philos. Trans. No. 383, Year 1724, pag. 96.

"Es ist bekannt, daß sich die Abweichung der Magnetnadel hier in Europa jährlich so langsam verändert, daß sie z. B. in Paris und London kaum auf Eine Minute des Monats oder zwey Secunden des Tages steigt, weshalb man vermeinet hat, die Abweichung könne von einem Tage zum andern für unveränderlich angesehen werden. Aber dennoch hat Pater *Tachart* im Jahre 1682, als er dem König in Siam die Abweichung der Magnetnadel zeigen sollte, meines Wissens zuerst gefunden, daß die Magnetnadel eine tägliche Veränderung erleide, die weit größer ist, als diese langsame Bewegung erforderte. Späterhin hat der berühmte Mechaniker und Uhrmacher in London Hr. *Graham* mit vielem Fleisse bemerkt, daß die Nadel nicht allein täglich, sondern sogar von einer Stunde zur andern ihre Abweichung verändert. Und da ich gemerkt habe, daß einige Naturkundige, insonderheit Hr. *Assessor Svedenborg* in seinem phisosophischen Werke vom Magneten, diese Sätze in Zweifel ziehen und behaupten, daß sie sich auf Fehlern und Nachlässigkeit unter den Beobachtungen gründen, so habe ich es der Mühe werth gefunden, diese Versuche hier in Schweden von neuem zu wiederholen. Zu dem Ende habe ich bey dem Instrumentenmacher *Sisson* in London unter Herrn *Grahams* Aufsicht einen genauen Compass bestellt, den ich nebst der Genauigkeit, die ich bey diesen Beobachtungen angewandt habe, genauer beschreiben werde, damit männiglich im Stande seyn möchte ihre Richtigkeit zu beurtheilen."

Nach Beschreibung seines Instrumentes und seiner Beobachtungsweise fügt er hinzu: "Ich bin somit überzeugt, daß die beobachtete Bewegung der Nadel eine wirkliche Eigenschaft des Magneten ist. Ich habe deßfalls schon eine Menge Beobachtungen gemacht, will aber jetzt blos zur Probe folgende für zwey Tage anführen, nämlich

1740 April 30, Uhr 8 Vormit. wies die Nadel auf 29'

9	—	—	—	—	24
10	—	—	—	—	25
11	—	—	—	—	35
12	—	—	—	—	47
2 Nachm.	—	—	—	—	50

1740 April 30, Uhr 5 Nachm. wies die Nadel auf 51'

4 $\frac{1}{2}$	—	—	—	—	50
5	—	—	—	—	49
6	—	—	—	—	47
6 $\frac{1}{2}$	—	—	—	—	47
10 $\frac{1}{2}$	—	—	—	—	45
May 1, Uhr 8 Vormit.	—	—	—	—	36
10 $\frac{1}{4}$	—	—	—	—	38
11	—	—	—	—	39
12 $\frac{1}{2}$ Nachm.	—	—	—	—	45
9	—	—	—	—	42

Hieraus ist deutlich zu ersehen, wie die Magnetnadel ihre Stelle von einer Stunde zur andern, bisweilen sogar um 10' und binnen sechs Stunden bis auf 27' verändert; nächstdem, daß sie von einem Tage zum andern zur nämlichen Zeit nicht an derselben Stelle steht, sondern bis 7' differirt. Ich habe noch nicht gemerkt, daß Kälte, Wärme, die ungleiche Schwere der Luft, Wind u. s. w. mit dieser Veränderung in einigem Bezuge stehen; doch wird es mir ein Vergnügen seyn ferner damit fortzufahren, und ein ander Mal der Akademie mitzutheilen, ob ich in dieser Bewegung irgend eine gewisse Regel finden konnte." Obgleich diese Beobachtungen von zwey Tagen ein Schema der stündlichen Bewegungen der Magnetnadel enthalten, so sieht man doch, daß *Celsius* noch nicht gewagt hat die deutlich ins Auge fallende Regel auszusprechen, bis er durch mehrere Beobachtungen sich von ihrer Allgemeinheit genauer überzeugt hätte, nämlich daß die Nadel Vormittags von 8 oder 9 Uhr an bis 1-2 Uhr Nachmittags gen Westen und hierauf bis Abends um 8-9 Uhr gen Osten wandert.

§. 6. *Celsius* setzte seine Beobachtungen bis in die Mitte des Jahres 1740 fort, worauf er zu Anfange des nächstfolgenden Jahres dem Observator Herrn *Olav Peter Hiorter*, der eines bequemerer Locales und einer weniger beschränkten Zeit wegen im Stande war die Beobachtungen weniger unterbrochen fortzusetzen, den Compafs einhändigte; bis endlich *Celsius* bey seiner Beziehung des neuen Observatoriums selbst wieder vom 21sten März 1743

bis zum Schlusse des Jahres sich denselben unterzog, aber durch seinen das Jahr darauf erfolgten Tod an der Bekanntmachung der sich ihm ergebenden Resultate verhindert wurde*). Davon findet sich Nachricht in folgender Abhandlung: *Von der Magnetnadel verschiedenen Bewegungen, die vom verstorbenen Professor Herrn Andr. Celsius beobachtet und hernach weiter observirt, wie auch jetzt herausgegeben worden sind von Olav Peter Hiorter* (Sv. Vet. Ac. Handl. 1747, S. 27). "Aus Vet. Acad. Handl. für das Jahr 1740 (S. 296-299), sagt Hiorter, ist zu ersehen, wie der sel. Hr. Professor aus England einen grossen und genauen Compass herkommen liess, um damit zu beobachten, wie es sich mit der Bewegung verhalte, welche befundener Mafsen die Magnetnadel ohne eine gewisse und bis dahin bekannte Ordnung hatte. Von solchen Observationen hat man des Professors Journal vom 29 Apr. bis 9 Juny desselben Jahres, wovon die den 30 Apr. und 1 May angestellten in obgedachter Abhandlung S. 299 als eine Probe der stündlichen Veränderung der Abweichung eingeführt sind, welche späterhin tagtäglich in denselben Stunden, obgleich in geringerer Minutenzahl und Gröfse, als da beobachtet wurde, bemerkter Mafsen geschah."

Den 19 Jan. 1741, fährt Hiorter fort, nachdem ihm der Compass übergeben worden war, fing er die Beobachtungen an und setzte sie ohne Versäumniss eines Tages oder einer Stunde bis zum 13 Aug. fort, da sie durch eine Reise nach Stokholm unterbrochen wurden. Nach der Rückkehr wurden sie

*) In Celsii Nekrolog, Sv. Vet. Ac. Handl. 1746, S. 136, findet sich folgende Stelle: "Als er sich in den Jahren 1734 und 1735 in Paris aufhielt, beschäftigte grade die bekannte Frage von der Figur der Erde ganz vorzüglich die Akademie. Drey ihrer Mitglieder wurden auch sofort nach Amerika abgeschickt, um allda unter dem Aequator selbst die Länge Eines Grades zu messen, welche, verglichen mit einer zuvor in Frankreich gemessenen, ausweisen sollte, ob die Erde entweder abgeplattet oder länglicht rund wäre. Celsius zeigte damals, dafs eine zweckdienliche Messung vielmehr unter dem Polarkreise vorgenommen werden müsse. Sein Vorschlag ward in Ueberlegung genommen, gebilligt, und er selbst ersucht vier Mitglieder der Akademie zu begleiten, um die Messung zu vollführen..... weshalb ihm auch nach Beseitigung der Arbeit vom Könige von Frankreich eine jährliche Belohnung von 1000 Livres zugetheilt wurde." Dafs dieser Vorschlag zunächst von Celsius herrührte, habe ich noch nirgends bemerkt gefunden.

wieder vom 15 Sept. bis 24 Dec. und ferner vom 5 bis 19 Jan. fortgesetzt; "so daß ich (sagt *Hiorter*) in weniger als einem Jahre, oder in 46 Wochen, 6638 *) größtentheils beschwerliche (nämlich mit einem stark convexen Glase, bey Lichterschein, in einem kalten Zimmer zur Winterszeit) an der Magnetnadel vorgenommene Beobachtungen hatte".

Eine andere Wegreise unterbrach die Beobachtungen, bis Prof. *Celsius*, bey seiner Beziehung des Observatoriums, vom 21 März 1743 bis zum Schlusse des Jahres, so weit ihm die Freiheit von Akademischen Verrichtungen solches gestattete, die vorigen Beobachtungen um mehr denn 1500 vermehrte. Nach des Professors Tode wurde die Fortsetzung der Beobachtungen bis zum Octbr. 1746 gehindert, seit welcher Zeit *Hiorter* etwa 1680 Beobachtungen aufzeichnete. Die hieraus gezogenen Resultate wollen wir mit *Hiorters* eigenen Worten anführen.

"Was aus dem sonach mehr denn 10000 Beobachtungen über die Bewegungen der Magnetnadel zu schliessen gewesen, ist folgendes:

1) Daß die Magnetnadel eine tägliche Wanderung von Osten nach Westen und wieder rückwärts habe. Dieselbe hatte bereits der sel. Hr. Professor wahr genommen, als er mir die Nadel zustellte, mit der Bemerkung, daß sie des Morgens etwa um 8 Uhr am östlichsten und um 2 Uhr Nachmittags am westlichsten, imgleichen des Abends und in der Nacht in denselben Stunden nur mit geringerer Veränderung eben so wie des Tages sey. Dies hat sich in der Folge alle 24 Stunden beständig und meist regelmäfsig auf dieselbe Weise verhalten, mit einer Veränderung von 5 Minuten, einige Tage etwas mehr andere wieder weniger, doch stufenweise und selten in einem Sprunge vom Größten zum Kleinsten um die obgenannten Stunden, wenn nichts Besonderes dazwischen gekommen ist, was die Nadel in ihrer regelmäfsigen Wanderung gestört hätte, wovon in der dritten Anmerkung die Rede seyn wird.

2) Daß sich diese Bewegungen nicht jeden Tag um denselben Punkt des Gradbogens gehalten, sondern sich den einen Monat mehr gen Ost und zu

*) *Hiorter* muß folglich nach einer Mittelzahl über 20 Beobachtungen täglich gemacht haben; woraus sich auf seinen Fleis und Eifer für diese Entdeckung schliessen läßt.

einer andern Zeit des Jahres mehr gen West verlegt haben, an welchen neuen Stellen die täglichen Veränderungen eben so durchgängig ihre Richtigkeit gehabt haben. Mitten im Februar (1741) begab sich die Nadel 8' bis 10' weiter gen West und hierauf bis mitten im März 10' weiter gen Ost, als da sie den 19 Jan. zuerst von mir beobachtet wurde. Den übrigen Theil des März, den ganzen April und May bis zum 12 Juny hielt sie sich ziemlich einerley, so daß sie bis zu diesem Tage in ihren täglichen Schwingungen bloß 5' bis 6' östlicher war; aber nachher schritt sie so schnell gen Ost, daß sie den 22sten desselben Monats 50' weiter nach derselben Gegend gerückt war, als zehn Tage vorher, also einen ganzen Grad östlicher als den 19 Jan., da der Compas aufgestellt wurde. In dieser Stellung setzte die Nadel ihre täglichen Wanderungen (ungefähr 5') bis zum 9 July fort, da sie sich des Morgens, wie man fand, $\frac{1}{2}$ Grad weiter zurück nach West begeben hatte, als des Abends zuvor. An diesem Punkte des Bogens hielt sich die Nadel bis zum Schlusse des Septembers, worauf sie sich nach und nach im folgenden October einige Minuten westlicher zog, wo sie den übrigen Theil des Jahres gerade bis zum 19 Jan. des folgenden Jahres (1742) täglich ihre Bewegung hatte, so daß sie an diesem Tage ungefähr 15 Minuten weiter östlich stand, als das Jahr zuvor, aber im März ganz und gar auf die Minuten zurückgekehrt war, welche sie das nächstvorige Jahr zeigte. Das Gebäude, in welchem diese Beobachtungen gemacht wurden, war freilich aus schwachem Zimmerholze, aber seit 30 Jahren aufgeführt und bewohnt; der Tisch, auf welchem der Compas ruhte, bestand nebst seinem Fusse aus festem und trockenen Holze; nicht die geringste Veränderung wurde damit gemacht; auch kam kein Eisen näher an die Magnetnadel oder weiter von derselben, wodurch sie aus ihrer gewohnten Stelle hätte gebracht werden können; und doch stand sie, wie gesagt, fast die ganze Zeit einen halben Grad von dem Punkte, auf welchen sie zuerst zeigte. Aus den Beobachtungen des sel. Herrn Professors, die in der Folge an einem festeren Orte gemacht wurden, finde ich keine so große Veränderung in der Stellung der Magnetnadel zu verschiedenen Jahreszeiten, höchstens von 8 bis 10 Minuten. Zu Anfang Mays und mitten im Juny 1743 war sie so viele Minuten weiter gen West als den 21 März geschritten, aber zu Ende

Augusts und den ganzen übrigen Theil des Jahres hielt sie sich 5 bis 10 Minuten östlicher als den ebengenannten März. Die Beobachtungen endlich, welche ich im verwichenen Herbste (1746) nebst gegenwärtigem Jan. (1747) vorgenommen habe, zeigen, daß sie sich seit dem 28 Oct. immer mehr und mehr nach Westen bewegt hat, so daß sie den 25 Novbr. in ihrer täglichen Schwingung 20 Minuten westlicher war als zuvor, wo sie in der Folge ohne sonderliche Rückung stehen geblieben ist, während die tägliche Wanderung von 3, 4, 5 bis 6 Minuten GröÙe sich beständig um dieselbe Zeit wie vorher gehalten hat. Hieraus ersieht man, daß man noch nicht hinlängliche Beobachtungen hat, woraus sich schließsen läßt, in welcher Ordnung diese monatlichen Veränderungen geschehen; und daß an einem festen und dazu tauglichen Orte einige Jahre zur Ausmittlung einer so schönen und nützlichen Sache angewendet werden müssen.

5) Hat man noch eine Bewegung bey der Magnetnadel gefunden, die eines jeden Verwunderung und Aufmerksamkeit verdient. Wer hätte sich wohl vorstellen können, daß die Nordlichter mit dem Magneten einige Gemeinschaft und Verbindung hätten, und daß eben diese Nordlichter, wenn sie über unsern Scheitelpunkt weg südwärts oder ungleich nach der östlichen und westlichen Gegend des Horizontes hin steigen, eine beträchtliche Verwirrung von ganzen Graden binnen wenigen Minuten an der Magnetnadel verursachen sollten? Das erste Mal, daß ich ein Nordlicht im Süden sah und zugleich eine gröÙere Wanderung der Magnetnadel wahrnahm, war den 1 März 1741 des Abends, nachdem ich zwar zu verschiedenen Malen eine Unordnung der Nadel bemerkt, aber überzogenen Himmels halben kein Nordlicht gewahr worden war. Als ich hierauf dem sel. Professor dieses meldete, sagte er, wohl hätte er auch eine solche Verwirrung der Magnetnadel unter denselben Umständen bemerkt, aber nicht damit laut seyn wollen, um zu sehen (dies war sein Ausdruck), ob ich auf dieselbe Speculation fallen möchte. Einige Mal in der Folge wurde zwar die Nadel wieder verwirrt, aber bey trübem und bewölkten Himmel; bis den 26 März nach 12 Uhr in der Nacht eine große Veränderung mit der Nadel erfolgte und ein starkes Nordlicht über den ganzen Himmel im Süden gesehen wurde; wornach der Hr. Professor mit mir sich

von dieser Sache mehr zu vergewissern anfang. Solches wurde nachgehends immer (etwa einige 40 Mal), insonderheit den folgenden 5 April beobachtet, da die Nadel um 2 Uhr Nachmittags sich zu verwirren und von ihrer gewöhnlichen Stelle nach Westen zu rücken begann, so daß sie um 5 Uhr $1\frac{1}{2}$ Grad westlicher war, als Vormittags um 10 Uhr. Um 5 Uhr 18 Min. war sie zwar 20' zurück nach Osten gegangen, aber nach 6 Minuten ging sie wieder 18' nach Westen. Nach dieser Zeit und bis $8\frac{1}{2}$ Uhr den nächsten Morgen war die Magnetnadel auf dem Rückwege nach der vorigen Stelle begriffen, wo sie sich in ihrer täglichen Wanderung damals hielt.

Das Merkwürdigste bey dieser Bewegung der Magnetnadel war folgendes. Der sel. Hr. Professor hatte einige Wochen zuvor Herrn *Graham* in London brieflich ersucht, auch mit seiner Nadel in jenen Tagen Beobachtungen anzustellen, damit, falls sich einige Störung des Magneten bey uns ereignen möchte, man sofort inne würde, ob sie sich auch an mehreren so weit von einander entlegenen Orten zutrage, und daß sie alsdann keiner besonderen Beschaffenheit des Zimmers und dem darin befindlichen Eisen zugeschrieben werden könnte. Was geschah? Gerade eben dieselbe unordentliche Bewegung hatte die Magnetnadel zur nämlichen Zeit in London, wie hier in Upsala, und zwar eine so große, wie Hr. *Graham* nach seinem von dieser Beobachtung gegebenen Berichte nur je erfahren hatte*). Des Nordlichtes gedenkt

*) London, April 16, 1741.

I began to observe the Needle upon April 3, 1741 but did not write down the Observations, till the Sunday the 5:th and did not observe the Needle till after 12 a Clock at noon that day. The alterations that day were greater, than I have ever met with before. Tho' no alteration of any thing in the Room could occasion it. It was a fine day. I was alone all the time, and observed the Needle with all the care possible, sometimes in 2 or 3 minutes of time a sunder, when I perceived the Needle changing. Whether the cause of this change proceeds from the place, where the Needle was placed, or from any other, I know not; the only thing, in which I am certain, is, that there was no change of position of any thing in the Room, that could cause it, being alone all the day (I mean Sunday the 5:th) when the greatest alteration happened. The observations upon the other days were made with the same care, but they are much less, and more regular &c.

er nicht, ohne Zweifel weil er nicht bedacht gewesen war nach solch einer Erscheinung zu sehen. Vielleicht auch, daß, da die größte Bewegung der Nadel des Tages war, und das Nordlicht bey uns nicht eher gesehen werden konnte, als bis die Luft um $9\frac{1}{2}$ Uhr dunkler geworden war, da bloß ein mattes und zerstreutes Nordlicht noch im Süden zurück stand, das vermuthlich vorher stärker gewesen war; vielleicht, sage ich, daß diese Ueberbleibsel des Nordlichtes in London als an einem weiter südlich gelegenen Orte, weniger sichtbar gewesen sind, als hier im Norden, und deswegen nicht haben können bemerkt werden.

Zur Vermeidung aller Weitläufigkeit will ich hier bloß die Tage her zählen, da diese Erscheinungen, nämlich die größeren Bewegungen der Magnetnadel und die Nordlichter am südlichen Himmel in einem kurzen Zeitraume beobachtet worden sind, nebst der GröÙe der Störungen selbst, stärker und schwächer nach der Beschaffenheit des Nordlichtes.

1741 März 1	—	0° 24'	1741 Decbr. 10	—	0° 40'
März 26	—	0 52 $\frac{1}{2}$	1742 Januar 5	—	0 52
April 5	—	1 40	1743 März 8	—	0 45
July 12	—	0 15	März 28	—	2 2
July 29	—	0 10	April 1	—	0 19
July 30	—	1 12	April 2	—	0 17
August 2	—	0 7 $\frac{1}{2}$	May 3	—	0 20
August 9	—	0 34	Aug. 15	—	0 28
Septb. 21	—	1 35	Septb. 20	—	0 9
Septb. 27	—	0 22	Septb. 27	—	0 55 $\frac{1}{2}$
Septb. 28	—	3 40	Octbr. 14	—	0 14
Septb. 29	—	0 32	1746 Septb. 12	—	0 18
Octbr. 4	—	0 18	Octbr. 4	—	0 26
Octbr. 8	—	0 40 $\frac{1}{2}$	Octbr. 7	—	0 27
Octbr. 24	—	0 38	Octbr. 8	—	0 14
Octbr. 31	—	0 25	Octbr. 9	—	0 23
Novbr. 1	—	0 26	Octbr. 14	—	0 21
Novbr. 20	—	0 48	Octbr. 15	—	0 40

Von den täglichen Bewegungen der Magnetnadel. 415

1746 Octbr. 20	—	4° 10'	1746 Decbr. 23	—	0° 25'
Novbr. 5	—	0 33	Decbr. 24	—	0 15
Novbr. 6	—	0 45	Decbr. 29	—	0 20
Decbr. 3	—	0 25½	1747 Januar 2	—	0 10
Decbr. 16	—	0 14	Januar 7	—	0 12

Alle Umstände dieser Bewegungen der Magnetnadel hier einzutragen, wäre zu weitläufig; nur zur Probe will ich die große Bewegung anführen, die neulich verwichenen 20 October (1746) sich des Morgens ereignete.

Den 19 October Abends hielt sich die Magnetnadel bey 15° 17'

Den 20	—	5 Uhr 15'	Morgens zeigte sie	14	30
5	-	26	—	14	2½
5	-	34	—	14	25
5	-	38	—	16	5
5	-	41½	—	14	45
5	-	45½	—	14	26
5	-	48½	—	16	23
5	-	52	—	12	15 NB.
5	-	54	—	14	0
5	-	55½	—	15	0
5	-	59½	—	16	25
6	-	2½	—	15	56
6	-	4½	—	16	19
6	-	7½	—	15	42
6	-	11	—	15	50
6	-	21½	—	15	21
6	-	43	—	15	16

Wie damals die Luft beschaffen gewesen, zeigt zum Theil das meteorologische Observations-Journal mit diesen Worten:

Den 20 October zwischen 5 und 6 Uhr des Morgens wurde ein sehr starkes Nordlicht gesehen, welches damals über den ganzen Hiramel, aber besonders im Süden entsetzlich roth war in gesonderten Büscheln, mit Weiß gemischt; bisweilen, wie um 5½ Uhr, ward nichts davon im Norden gesehen,

heller und gedrungener werden, dann der Nadel jene Störung beygebracht wird, grösser oder kleiner je nachdem der Nordlichtstoff sich daselbst mehr oder weniger gesammelt zu haben scheint: 4) dafs die Nordlichter sicherlich die höchsten Erscheinungen unsers Luftkreises, ja so hoch und ausgedehnt sind, dafs sie auf ein Mal hier zu Lande und in England, in Upsala und London in einer Entfernung von mehr denn 130 Schwedischen Meilen die Magnetnadeln beunruhigen können: 5) dafs man an der Magnetnadel ersehen kann, wenn es ein Nordlicht entweder am hellen Tage oder in Wolkennächten (so oft es uns ganz unsichtbar ist) am Himmel giebt; und dafs man umgekehrt aus der Stellung des Nordlichtes gen Süden sicher abnehmen kann, die Magnetnadel sey von ihrem gewöhnlichen Stande mehr oder weniger verrückt: 6) dafs die Nordlichter zum Theil die Ursache der grösseren monatlichen Abschwefungen der Magnetnadel seyn können, welche beobachtet worden sind; da man wahrgenommen hat, dafs die Nadel nach gewissen Nordlichtern nicht so bald wie zu andern Zeiten wieder nach den Punkten zurückgekehrt ist, wo sie kurz zuvor schwebte, weswegen es sehr schwierig, wo nicht unthunlich wird, diese sogenannten monatlichen Magnetenbewegungen unter eine Regel und gewisse Ordnung zu fügen."

"Schliesslich, setzt *Hiorter* hinzu, gestehe ich auch gern, dafs dieselbe Entdeckung einzig und allein dem sel. Herrn Professor *Celsius* als demjenigen zugeschrieben werden mufs, der aus eigenen Mitteln viele Unkosten an diejenigen Instrumente verwandt, womit erwähnte Bewegungen des Magneten entdeckt worden sind, selbige grössten Theils selbst bemerkt und mich in den Stand gesetzt hat, die Beobachtungen fortzusetzen und nun kürzlich ans Licht zu bringen, da sie sonst mit ihm wären begraben worden."

§. 7. Einige Jahre später wurden diese Entdeckungen des *Celsius* und *Hiorter* von dem berühmten *Wargentin* in Stockholm*) bestätigt. Er liess eine Magnetnadel von derselben Gestalt wie die vorerwähnte des *Celsius* bey *Ekström* verfertigen, und fing mit derselben im Februar 1749 seine Beobachtun-

*) Siehe Observationen an der Magnetnadel, gemacht von Pehr Wargentin. Sv. Vet. Acad. Handl. 1750. S. 52.

gen an; da aber die Beschaffenheit des Locales nicht so war, daß er gehörig lange der unveränderten Stellung des Compasses hätte gewiß seyn können, so mußte er die Untersuchung der monatlichen und jährlichen Bewegungen der Nadel fahren lassen.

"Da ich jedoch, sagt *Wargentin*, oft viele Tage hinter einander die Nadel einiger Maßen gesichert und dann ihre täglichen Bewegungen hatte merken können, überdies auch bey einigen in diesen verwichenen Monaten eingetroffenen Nordlichtern gar bedeutende Sprünge der Nadel gewahr geworden war, so will ich davon eine kurze Nachricht erteilen, um so mehr, da es noch manchen geben dürfte, der diese wundersame Gemeinschaft zwischen der Magnetenadel und dem Nordlichte für unglaublich hielte, so lange niemand anders als die ersten Erfinder solche wahrgenommen. Wohl möglich auch, daß auswärts in den südlichen Theilen Europas, wo Nordlichter seltener sind, sich weniger Gelegenheit darbieten möchte, diese Entdeckung zu bestätigen, weshalb es uns um so mehr obliegt, sie außer allen Zweifel zu setzen."

"Als die Nadel den 6 Februar des Morgens aufgestellt wurde, kam sie auf dem siebenten Grad im Westen zu stehen*), in welche Stellung ich sie auch ungefähr zurückbrachte, wenn sie verrücket wurde. In den acht folgenden Tagen und in der Folge so oft kein Nordlicht in der Luft war, habe ich die Nadel sehr ruhig und stille gefunden, nur täglich ihre gewöhnlichen kleinen Schläge vor und rückwärts dermaßen thuend, daß sie des Morgens etwa um 8 Uhr am weitesten östlich war, und sich hierauf langsam westwärts bewegte, bis sie gegen 2 oder 3 Uhr des Nachmittags 10, 15 und bisweilen 20 Minuten westlicher war als des Morgens. Hierauf hat sie angefangen, bis 9 Uhr des Abends zurück nach Osten zu gehen, da sie es doch selten erreicht hat so weit nach Osten zu rücken als des Morgens. Nach 9 Uhr des Abends hat sie grössten Theils die ganze Nacht stille zu stehen geschienen. Ich bin oft geflissentlich weit über Mitternacht auf gewesen, habe sie aber nie über ein paar Minuten westlicher gefunden als um 9 Uhr den Abend vorher. Den

*) *Wargentin* bemerkt, daß dies nicht die rechte Abweichung in Stockholm ist, daß es aber nichts zur Sache thut, da seine Absicht bloß war die täglichen Bewegungen auszumitteln.

nächsten Morgen hat sie sich doch wieder ostwärts gezogen, und damit bis 7 oder 8 Uhr fortgefahren, da sie ungefähr auf derselben Stelle wie den vorigen Morgen gestanden hat. Demnach kann ich noch nicht mit völliger Gewissheit sagen, daß diese Nadel mehr als Einen Schlag binnen 24 Stunden vor und rückwärts thut; wenigstens bin ich versichert, daß, wenn sie Nachts eine kleine Wendung macht, dieselbe nicht über 2 oder 3 Minuten ist, und kürzere Zeit dauert als die grössere des Tages. Doch da Herr *Hiorter* mittelst einer längeren und gleichförmigeren Kette von Beobachtungen gefunden hat, daß seine Nadel in 24 Stunden 2 ordentliche Schläge vor und rückwärts gethan hat, darf ich solches gar nicht in Zweifel ziehen, zumal da er auch gemerkt hat, daß die Bewegung der Nadel des Tages schneller ist als in der Nacht."

"Dagegen ist mir das Glück um so günstiger gewesen, indem mir mittelst neuer Untersuchungen die Bestätigung der bereits gefundenen Gemeinschaft zwischen der Magnetnadel und dem Nordlichte ward."

"Als ich den 15 Februar um 10½ Uhr des Abends nach Hause gehen wollte, ward ich gewahr, wie schön das Nordlicht im Zenith und im Süden spielte, weswegen ich meine Heimkehr beschleunigte, und hier traf ich nun die Nadel in Arbeit und Bewegung, so daß sie binnen 10 Minuten zuerst 20' westwärts, aber gleich in andern 10 Minuten 37' zurück nach Osten ging. Nachher hielt sie eine ganze Stunde an, sich wieder nach ihrer ersten Stelle zu ziehen, auf welcher sie sich zur nämlichen Zeit in den vorigen Nächten aufzuhalten pflegte, nämlich auf 7° 2'. Mittlerweile war auch das Nordlicht größtentheils verloschen."

"Am folgenden Tage den 16ten setzte ich die Beobachtungen fort, und da die Nacht darauf ein herrliches Nordlicht eintraf und die Nadel von demselben gar gewaltig beunruhigt wurde, so will ich einen Auszug der in diesen 24 Stunden aufgezeichneten Abweichungen einschalten."

Zeit.			Stand der Nadel.	Zeit.			Stand der Nadel. •
8 U.	0 M.	Vorm.	7° 0'	4 U.	0 M.	Nachm.	7° 11'
10 -	0 -	—	7 4	8 -	0 -	—	7 2
12 -	0 -	—	7 10	9 -	0 -	—	6 50
2 -	0 -	Nachm.	7 15	10 -	0 -	—	6 8

G g g 2

Zeit.			Stand der Nadel.	Zeit.			Stand der Nadel.
10 U.	5 M.	Nachm.	5° 31'	11 U.	22 M.	Nachm.	6° 26'
10 -	8 -	—	5 47	11 -	26 -	—	6 42
10 -	15 -	—	5 29	11 -	37 -	—	5 25
10 -	30 -	—	6 0	11 -	45 -	—	5 0
10 -	46 -	—	7 26	11 -	58 -	—	4 55
10 -	56 -	—	7 1	12 -	0 -	—	5 0
11 -	0 -	—	6 46	12 -	15 -	—	6 30
11 -	6 -	—	6 25	12 -	27 -	—	6 22
11 -	10 -	—	5 51.	12 -	35 -	—	6 55
11 -	19 -	—	6 45	12 -	45 -	—	7 14

"Aus Furcht durch ferneres starres Hinblicken auf die feinen Minutenstriche durch ein Vergrößerungsglas bey Lichterscheine den Augen zu schaden, hörte ich auf, ob ich gleich versichert bin, daß, da das Nordlicht bis um 5 Uhr des Morgens anhielt, die Nadel nicht eher zur Ruhe gekommen ist."

"Auch war das Nordlicht dieser Nacht eins der prächtigsten, so ich jemals sah. Es ging wie große Säulen von Südsüdwest gen Nordnordost und wieder zurück mit einer heftigen Bewegung nach beiden Seiten durch den Zenith, wo es gleichsam strahlende Flammen über den größten Theil des Himmels verbreitete. Bisweilen verlösch es, brach aber alsbald wieder in neue Flammen aus, so daß ich oft nicht wußte, was am anziehendsten wäre, die Betrachtung des Himmels oder der Nadel. Doch waren mir die Erscheinungen der Nadel neuer. Sie ruhete während des ganzen Auftrittes kaum einen Augenblick; vielmehr konnte ich, ob ich gleich so leise auftrat, daß dadurch nicht die geringste Erschütterung verursacht werden konnte, ich auch gar kein Eisen an mir hatte, augenscheinlich sehen, wie sie zitterte und sich bewegte."

"Am folgenden Morgen um 6 U. 50 M. stand die Nadel auf 6° 53', wo sie sich auch die nächsten Tage sehr unreizbar verhielt und auch eines schwachen Nordlichtes nicht achtete, das sich Abends den 26 Febr. im Norden zeigte; zugleich waren die täglichen Bewegungen ungewöhnlich klein, binnen einigen 24 Stunden nicht über 8'."

"Aber den 28. Febr. Nachmittags um 4 Uhr war wider alles Erwarten

die Nadel in einigen Minuten $\frac{1}{2}$ Grad westwärts gesprungen. Ich meldete sogleich Herrn *Ekström*, daß uns auf die Nacht ein Nordlicht bevorstände; was auch wirklich geschah. Denn, sobald es dunkel geworden, wurden wir eins gewahr, welches bis weit in die Nacht hinein anhielt und fast eben so stark war wie das vorige, nur mit dem Unterschiede, daß es sich mehr im Westen aufhielt. Die Nadel vollführte an diesem Abend außer vielen kleineren Vor- und Rückwärts-Schwingungen, ihre größte Abschweifung zwischen $6^{\circ} 50'$ und $9^{\circ} 1'$."

"Außer daß sie den 1 März den ganzen Tag etwas unruhig war, nahm ich diesen ganzen Monat über keine ungewöhnliche Bewegung bey der Nadel wahr, es müßte denn seyn, daß die täglichen Bewegungen bisweilen einige Minuten größer oder kleiner waren. So zeigte sich auch im ganzen Monat weiter kein Nordlicht, als ein überaus schwaches Abends den 6 März."

"Den 2 April Nachmittags um 4 Uhr begann wieder neue Unruhe zu werden, die ohne Aufhören in zwey ganzen Tagen, nämlich bis zum 4 April um 6 Uhr Abends dauerte. Auch war in diesen beiden Nächten das Nordlicht sehr stark, ingleichen über den ganzen Himmel, doch meist in der südlichen Gegend verbreitet. Hätte der starke Mondschein dessen Glanz nicht verdunkelt, so wäre es eins der schönsten gewesen. Folgendes sind die vornehmsten aufgezeichneten Stände der Nadel:"

Zeit.		Stand d. Nadel.		Zeit.		Stand d. Nadel.	
Apr. 2	2 U. 40 M. Nachm.	7°	$7'$	Apr. 3	7 U. 0 M. Vorm.	7°	$5'$
	3 - 40 - —	7	3		10 - 15 - —	6	48
	4 - 20 - —	7	10		10 - 49 - —	7	15
	5 - 22 - —	7	21		12 - 0 - —	7	0
	10 - 38 - —	5	35		3 - 30 - Nachm.	7	25
	11 - 34 - —	6	27		4 - 43 - —	8	55
	12 - 5 - —	4	56 *		4 - 49 - —	9	55 *
	12 - 18 - —	6	34		5 - 4 - —	8	7
	12 - 21 - —	6	18		5 - 11 - —	8	38
	12 - 28 - —	6	37		5 - 27 - —	8	10
	12 - 45 - —	6	22		5 - 37 - —	8	57

Zeit.		Stand d. Nadel.	Zeit.		Stand d. Nadel.
Apr. 3	6 U. 9 M. Nachm.	7° 55'	Apr. 4	8 U. 5 M. Vorm.	5° 54'
	7 - 8 - —	7 22		9 - 50 - —	7 22
	10 - 25 - —	7 10		10 - 17 - —	7 0
	10 - 45 - —	8 29		2 - 19 - Nachm.	7 19
	10 - 54 - —	7 1		2 - 46 - —	6 29
	11 - 10 - —	7 52		4 - 50 - —	7 16
Apr. 4	7 - 14 - Vorm.	6 29		6 - 52 - —	7 2

"Sonach sieht man, daß die Nadel in weniger als 24 Stunden ihre Stellung um 5° veränderte. Hätten Augen und Kräfte es aushalten können und die Zeit erlaubt, beständig Acht auf die Nadel zu geben, wäre ich wohl noch grössere Veränderungen gewahr worden. Den letzten Abend nach eintreten der Dunkelheit zeigte sich nicht die geringste Spur eines Nordlichtes; vermuthlich hatte solches etwa um 6 Uhr des Abends, während es noch Tag war, aufgehört, indem die Nadel nach dieser Zeit völlig ihrer Freyheit überlassen war."

"Es erhellet demnach aus den angeführten Beobachtungen, daß, sey es nun daß das Nordlicht diese wundersamen Bewegungen der Magnetnadel verursacht, oder daß irgend eine andere noch unbekannte Ursache vorhanden ist, welche beides das Nordlicht und die Bewegungen der Nadel bewirkt, ohne Zweifel eine genaue Verbindung zwischen ihnen herrscht."

§. 8. *Canton* überzeugte sich ebenfalls von der Richtigkeit dieser täglichen Bewegungen der Nadel*). Er hatte seine Beobachtungen seit dem Ende des Jahres 1756 in einem Zeitraume von 605 Tagen fortgesetzt und die tägliche Bewegung in 574 Tagen regelmäfsig gefunden; die unregelmäfsigen waren beynahe allemal mit Nordlicht begleitet. Durch Versuche bewies er, daß die anziehende Kraft des Magneten durch Wärme geschwächt werde; und aus diesem Satze erklärte er die tägliche Bewegung der Nadel. Wenn nämlich die magnetischen Theile der Erde auf der Ostseite Vormittags von der Sonne eher erwärmt werden, als die auf der Westseite, so ist es klar, daß

*) Philos. Transact., Vol. LI., P. I., pag. 398.

sich die Nadel mehr westwärts bewegen muß; wenn die Wärme der anziehenden Theile auf jeder Seite gleich stark zunimmt, so muß die Nadel still stehen, und die Abweichung ein Größtes seyn; wenn die westlichen Theile schneller erwärmt werden, oder langsamer abkühlen, als die östlichen, so muß die westliche Abweichung der Nadel wieder kleiner werden, und ein Kleinstes seyn, wenn die Theile auf beiden Seiten gleich geschwind abkühlen. Auch muß nach dieser Theorie die tägliche Veränderung im Sommer größer als im Winter seyn; sie ist auch nach seinen Beobachtungen in der That im *Junius und Julius fast doppelt so groß als im December und Januar*. Er fand nämlich die tägliche Bewegung im Mittel für jeden Monat wie folgt: Jan. 7' 8'', Febr. 8' 58'', März 11' 17'', April 12' 26'', May 13' 0'', Juni 13' 21'', Juli 13' 14'', Aug. 12' 19'', Sept. 11' 43'', Oct. 10' 36'', Nov. 8' 9'', Dec. 6' 58''.

§. 9. Professor *Wilcke* bemerkt in seiner Abhandlung *von den jährlichen und täglichen Bewegungen der Magnetnadel in Stockholm* (Sv. Vet. Ac. Hdl. 1777, S. 273-300), daß, wiewohl die täglichen Bewegungen der Nadel von obgedachten Beobachtern in eine solche Ordnung gebracht waren, daß nur wenig anderes als die Richtigkeit ihrer bedeutenden Entdeckungen beobachtet werden kann, so muß solches dennoch nicht hindern, daß man nicht überall fortfährt, fleißig Beobachtungen darüber anzustellen, um zu entdecken: ob die merkwürdigen Bewegungen der Nadel sich allzeit und aller Orten auf dieselbe Weise verhalten? ob ihre regelmäßigen Tagbewegungen überall an dieselbe Zeit und Stunden gebunden sind? ob ihre Größe überall einerley ist? ob das Nordlicht an andern Orten eben so großen Einfluß auf die Nadel hat wie in Schweden? — Er ließ deshalb im Jahre 1765 einen Compasß verfertigen (dessen Einrichtung sich gedachten Ortes S. 278 beschrieben findet), war aber nicht so glücklich recht geraume Zeit ungestört damit Beobachtungen fortsetzen zu können, außer vom October 1771 bis zum May 1774, da es ihm so gut ward das Instrument an einem Eckische in einem unbenutzten Saale befestigt zu haben, in welchem so wenig wie innerhalb und außerhalb des Hauses diese ganze Zeit über eine Veränderung vorgenommen, auch kein Eisen von der Stelle gerückt wurde. Eiserne Beschläge an Thüren und Fenstern waren unvermeidlich und wirkten vermuthlich beständig, obwohl in weiterem

Von den täglichen Bewegungen der Magnetnadel. 425

Monat	Tag	Unord.	Bewegung
1771 October	11	0° 17'	Or
	18	0 27	—
	19	0 20	Or
	20	0 17	Or
	21	0 10	—
	31	0 33	AB
Mittlerer Stand der Nadel		0	0
tägl. regelm. Beweg.		0	6

November	1	0 35	AB
	2	0 16	—
	3	0 47	—
	4	0 21	Or
	5	0 10	—
	12	0 27	—
	13	0 33	AB
	14	0 16	AB
	25	0 14	—
	28	0 18	Or
Mittl. Stand		0	3
tägl. regelm. Bew.		0	4

December	5	0 28	AB
	6	0 14	Or
	11	0 19	AB
Mittl. Stand		0	3½
tägl. regelm. Bew.		0	5

1772 Januar	18	0 16	Or
	19	0 45	—
	20	0 11	—
	31	0 19	—
Mittl. Stand		0	4
tägl. regelm. Bew.		0	5

Monat	Tag	Unord.	Bewegung
1772 Februar	9	0° 23'	AB
Mittl. Stand		0	4
tägl. regelm. Bew.		0	5
März	5	0 14	AB
Mittl. Stand		0	5
tägl. regelm. Bew.		0	5

April	3	0 28	AB
	12	0 19	Or
	28	0 32	Or
	30	1 2	AB
Mittl. Stand		0	6½
tägl. regelm. Bew.		0	6½

May	9	0 15	—
	11	0 14	Or
	25	1 7	AB
	26	0 15	Or
	27	0 13	Or
	31	0 16	—
Mittl. Stand		0	8½
tägl. regelm. Bew.		0	7

Juni	9	0 20	Or
	19	0 14	Or
	20	0 25	—
	21	3 0	—
	29	0 34	—
Mittl. Stand		0	8
tägl. regelm. Bew.		0	8

July	6	0 25	—
	7	0 27	—
	8	1 37	—
	9	0 45	—

H h h

Monat	Tag	Unord.	Bewegung
1772 July	10	1° 25'	—
	18	0 18	Or
	25	0 48	AB
	30	1 45	AB
	31	0 40	AB
	Mittl. Stand	0	9½
	tägl. regelm. Bew.	0	9
August	28	0 22	AB
	31	1 7	AB
	Mittl. Stand	0	10
	tägl. regelm. Bew.	0	8
Septbr.	4	0 5	AB
	20	0 33	AB
	26	0 8	AB
	27	0 6	AB
	Mittl. Stand	0	12
	tägl. regelm. Bew.	0	7
October	1	0 34	AB
	2	1 5	AB
	16	0 27	Or
	18	0 20	AB
	19	0 15	—
	23	0 12	Or
	27	2 12	AB
	28	0 14	Or
	31	0 20	—
	Mittl. Stand	0	26
	tägl. regelm. Bew.	0	7
Novbr.	4	0 14	Or
	14	0 14	Or
	15	0 11	—

Monat	Tag	Unord.	Bewegung
1772 Novbr.	25	0° 45'	AB
	Mittl. Stand	0	28½
	tägl. regelm. Bew.	0	5
Decbr.	8	0 45	—
	14	0 31	AB
	23	0 11	Or
	24	0 22	AB
	25	0 37	AB
	26	0 15	—
	27	0 15	—
	Mittl. Stand	0	28
	tägl. regelm. Bew.	0	5
1773 Januar	7	0 28	—
	15	0 10	—
	16	1 18	AB
	17	1 51	AB
	18	1 36	AB
	19	2 25	AB
	20	0 13	—
	29	0 15	—
	Mittl. Stand	0	29
	tägl. regelm. Bew.	0	3
Februar	1	1 4	AB
	6	0 10	—
	7	0 10	—
	9	0 24	AB
	10	0 17	—
	11	0 14	—
	12	0 15	—
	16	0 31	—
	17	0 22	—

Von den täglichen Bewegungen der Magnetnadel. 427

Monat	Tag	Unord.	Bewegung
1773 Februar	27	0° 42'	—
	28	0	29 —
	Mittl. Stand	0	30
	tägl. regelm. Bew.	0	7

März	1	0	16 —
	2	0	17 AB
	8	0	23 —
	9	0	20 —
	10	0	16 —
	12	0	17 AB
	13	0	15 —
	15	1	20 AB
	21	0	13 AB
	22	0	15 —
	23	0	29 AB
	26	2	8 AB
	27	0	22 —
	Mittl. Stand	0	31
	tägl. regelm. Bew.	0	6

April	4	0	22 —
	18	0	24 —
	20	0	14 —
	27	0	20 AB
	30	0	20 —
	Mittl. Stand	0	33½
	tägl. regelm. Bew.	0	8

May	15	0	18 AB
	19	0	19 —
	21	0	14 —
	22	0	20 Or
	25	0	16 Or

Monat	Tag	Unord.	Bewegung
1773 May	29	0° 18'	—
	Mittl. Stand	0	34
	tägl. regelm. Bew.	0	10

June	3	0	16 —
	6	0	28 —
	7	0	55 —
	8	0	24 —
	10	0	46 —
	13	1	52 —
	14	0	45 —
	15	0	20 —
	24	0	15 —
	Mittl. Stand	0	35
	tägl. regelm. Bew.	0	12

July	17	0	18 —
	18	0	26 —
	25	0	55 —
	Mittl. Stand	0	37
	tägl. regelm. Bew.	0	10½

August	1	0	9 —
	15	0	16 AB
	16	0	17 AB
	22	0	10 AB
	25	0	51 AB
	26	0	25 —
	27	0	10 —
	30	0	17 Or
	Mittl. Stand	0	37
	tägl. regelm. Bew.	0	10½

Septbr.	8	0	14 —
	11	0	17 AB

H h h 2

Monat	Tag	Unord.	Bewegung
1773 Septbr.	12	0° 13'	AB
	15	0 14	—
	20	0 22	—
	22	0 25	AB
	23	0 11	—
	24	0 18	—
	25	0 15	AB
	27	1 50	—
	Mittl. Stand 0		36½
	tägl. regelm. Bew. 0		8½
October	6	0 18	—
	10	0 21	—
	12	0 14	—
	16	0 4	AB
	18	0 13	—
	19	0 15	AB
	20	0 0	AB
	27	0 44	AB
	28	0 15	AB
	29	0 10	—
	Mittl. Stand 0		36
	tägl. regelm. Bew. 0		6½
Novbr.	1	0 14	—
	4	0 35	AB
	5	0 29	AB
	16	0 25	—
	17	0 15	—
	Mittl. Stand 0		36
	tägl. regelm. Bew. 0		6
Decbr.	3	0 48	AB
	14	0 27	—

Monat	Tag	Unord.	Bewegung
1773 Decbr.	15	0° 23'	—
	24	0 36	AB
	25	0 9	—
	29	0 10	—
	31	0 33	—
	Mittl. Stand 0		35
	tägl. regelm. Bew. 0		4½
1774 Januar	10	0 13	—
	11	0 10	AB
	24	0 13	—
	26	0 13	—
	27	1 37	AB
	28	0 10	Or
	Mittl. Stand 0		36
	tägl. regelm. Bew. 0		4½
Februar	4	0 11	—
	5	0 19	AB
	6	0 10	AB
	17	0 10	Or
	24	0 44	—
	Mittl. Stand 0		36
	tägl. regelm. Bew. 0		6
März	1	0 30	—
	2	0 28	—
	3	1 28	AB
	7	0 24	—
	13	0 8	—
	14	1 33	AB
	15	0 19	Or
	17	0 20	Or
	18	0 22	—

Von den täglichen Bewegungen der Magnetnadel. 429

Monat	Tag	Unord.	Bewegung
1774 März	19	0° 11'	Or
	20	0 19	AB
	21	0 13	AB
	22	0 37	—
	25	0 5	AB
	27	0 30	AB
	28	0 31	—
	29	0 20	Or
	30	0 23	AB
	31	0 27	AB
	Mittl. Stand	0 37	
	tägl. regelm. Bew.	0 6½	

April	1	0 11	AB
	3	0 12	AB
	4	0 12	Or
	5	0 23	AB
	13	0 11	AB

Monat	Tag	Unord.	Bewegung
1774 April	18	0° 16'	Or
	19	0 13	Or
	20	0 16	—
	21	0 13	AB
	23	1 12	—
	24	0 10	—
	Mittl. Stand	0 40	
	tägl. regelm. Bew.	0 8	

May	1	0 11	—
	2	0 12	Or
	5	0 9	AB
	7	0 14	AB
	9	0 7	AB
	17	0 12	Or
	Mittl. Stand	0 39	
	tägl. regelm. Bew.	0 8½	

"Hierbey muß noch bemerkt werden (sagt *Wilcke*), daß, da es einem Einzelnen unmöglich ist, so gleichmäfsig und beständig, als es vonnothen ist, die Nadel beides Tag und Nacht in Augenschein zu haben, während dieser Zeit wohl manches sich ereignet haben mag, was mir entgangen ist. Mehr Nordlichter können von Andern eine kurze Zeit gesehen worden seyn; auch kann die Nadel bisweilen, wenn ich den Rücken wandte, an solchen Tagen, die ich für ordentliche ansah, mehr und gröfsere Schwingungen gemacht haben, als ich bemerkt habe; denn ihre Sprünge sind oftmals ganz schnell und unvermuthet. Inzwischen ist das Obige hinreichend, um hieraus in Vergleichung und Verbindung mit demjenigen, was ich die übrigen Jahre beobachtet habe, einige allgemeine Bemerkungen über das wunderbare Verhalten der

*) An den meisten in obenstehender Tafel angeführten Tagen sind auch in Petersburg von Joh. Alb. Euler Nordlichter beobachtet worden.

Nadel in Betreff *a)* ihres jährlichen Rückens nach Westen, *b)* ihrer täglichen regelmässigen Schwingungen und *c)* ihrer von aller Regel abweichenden unordentlichen Sprünge und Bewegungen abzuleiten."

a) Die jährliche Verrückung der Nadel oder die Veränderung der Abweichung ist die ersten 11 Monate vom October 1771 bis zum September 1772 sehr gleichmässig bis etwa 1 Minute des Monats gewesen. Aber im darauf folgenden October 1772 hat sie einen Sprung von 14 Minuten westwärts bis zur 26sten Minute gemacht. Wäre diese Verrückung auf ein Mal und schnell geschehen, so hätte man irgend eine Verschiebung des Instruments argwöhnen mögen. Aber die Veränderung erfolgte langsam den ganzen Monat hindurch. Am letzten September spielte noch die Nadel um $13\frac{1}{2}$; aber nach dem Nordlichte den 1 und 2 October ward sie schon den 3 October bey 20 Minuten, den 13 Octbr. bey 25 Min., vom 14 bis 21 Octbr. bey 30 Minuten gefunden; den 24sten kehrte sie wieder auf 26 Min. zurück, rückte aber nach dem Nordlichte den 27 Octbr. nach 33 Min. vor, wovon sie sich doch gegen Monatschluss zurückbegab, um den ganzen folgenden November zwischen 27 und 30 Min. zu bleiben. Ob die Ursache dieses Sprunges, welcher den von Hr *Hiorter* erwähnten monatlichen Veränderungen am nächsten kommt, in der allgemeinen Richtungskraft oder in irgend einer Veränderung in den anziehenden Kräften des umgebenden Eisens zu suchen sey, läßt sich aus Mangel an entsprechenden Untersuchungen anderer Orten nicht mit Gewissheit sagen; auch hat die Nadel nicht mehr als dieses Mal solche Launen gezeigt. Inzwischen ist zu ersehen, daß die Wirkung davon beständig gewesen ist; denn die Nadel ist in der Folge von diesem Stande bey der 26sten Minute während der nächstfolgenden 8 Monate bis zum July 1773 wiederum gleichmässig ungefähr 1 Minute des Monats bis zur 35 Minute vorgerückt. Aber hierauf ist sie vom July 1773 bis zum April 1774 ganzer 9 Monate beynahe stillstehend gewesen, und hat zwischen 35 und 37 Minuten geruht, bis sie endlich im April 1774 einen Schritt von einigen Minuten bis zur 40sten Minute that, welche 40 Minuten sie sonach vom ersten Orte in ganzen 30 Monaten vorgerückt ist. Nach einer gleichförmigen Bewegung hätte dies für 12 Monate oder ein Jahr 16 Minuten betragen müssen. Ziehet man aber obgedachten Sprung von

14 Minuten davon ab, welcher wohl von einer Dehnung in dem Tische, worauf die Nadel stand, herrühren möchte, 2 Minuten für den größern Schritt im October 1771, welcher einem Versehen in der ersten Befestigung der Nadel am Nulpunkte beygemessen werden könnte, und ebenfalls 2 für den neuen Schritt im April 1774, von welchem sie schon im May zurückzukehren anfang; so sind nur 22 Minuten für ihr eigentliches Vorrücken und 9 Minuten für die jährliche Bewegung übrig, welches mit dem von mir vorhin bestimmten jährlichen Vorrücken*) genau übereinstimmt. Gleichzeitige Untersuchungen an andern Orten müssen weiter entscheiden, ob die Nadel wirklich im Jahre 1772 im Herbste einen solchen Sprung gemacht habe und wiederum im Jahre darauf ruhend gewesen sey, oder ob solches von der Unsicherheit herrühre, womit die Abweichungsveränderung in Gebäuden mit langen und beweglichen feststehenden Nadeln beobachtet werden können.

b) *Der Magnetnadel regelmäßige tägliche Bewegungen* haben sich bey dieser Nadel gerade so verhalten, wie die von den Herren *Hiorter*, *Wargentin* und *Canton* beschriebenen, und verdienen in Hinsicht ihres Zusammenhanges mit den Jahreszeiten und der Umdrehung der Erde um ihre Axe die ungetheilteste Aufmerksamkeit. Ich habe selbige gefunden, wie folgt. Die Nadel thut alle 24 Stunden einen großen Schlag (dürfen anders einige Minuten so genannt werden) vor- und rückwärts von Osten nach Westen, und umgekehrt.

*) Zu Anfange gegenwärtiger Abhandlung hat nämlich *Wilcke* seine Beobachtungen über die absolute Abweichung der Nadel auf der Stockholmer Sternwarte vom Jahre 1763 bis 1777 (siehe Anhang Tafel I. S. 4) angeführt, woraus er ein jährliches Vorrücken von 8 bis 9 Min. findet. Um zwischen diesen und den obenerwähnten Beobachtungen eine Uebereinstimmung zuwege zu bringen, thut *Wilcke*, meines Erachtens, seinen eigenen Observationen einige Gewalt an. Er bemerkt selbst, daß der große Sprung von 14 Minuten im October 1772 nicht plötzlich kam, sondern gradweise den ganzen Monat hindurch, und (wohl zu merken) nach den Nordlichtern den 1 und 2 October mit einem Sprunge von 7 Minuten anfang, hierauf aber gleichfalls nach dem Nordlichte den 27 Oct. einen neuen Sprung von 7 Min. machte: an welchen Tagen auch die tägliche Bewegung der Nadel unregelmäßig und ungewöhnlich groß war, nämlich den 2 Oct. = $1^{\circ} 5'$, den 7 = $2^{\circ} 12'$. Endlich war die Nadel 9 Monate lang nachher ruhend. Dies zusammengenommen gleicht völlig den Unregelmäßigkeiten in den Bewegungen der Nadel, welche, *Hiorters* und späteren Erfahrungen gemäß, die stärkeren Nordlichter begleiten.

Zwischen 12 und 3 Uhr des Tages ist sie am weitesten westlich, zwischen 12 und 3 Uhr in der Nacht am weitesten östlich, so daß ihre Wendung gewöhnlicher Weise um 2 Uhr des Tages und 2 in der Nacht geschieht, wiewohl dies nicht gerade alle Tage genau eintrifft, sondern bisweilen etwas früher, bisweilen etwas später erfolgt, wovon bis jetzt keine Regel bekannt ist. Ich habe deswegen die Bewegung der Nadel für ordentlich angesehen, so lange die größte Elongation und die Wendung zwischen den vorerwähnten Gränzen, 12 und 3 Uhr, eingefallen ist; denn so oft die Wendung früher oder später eintrat, zumal am Tage, sind zum öftern grössere Unregelmäßigkeiten im Anzuge gewesen. Der Gang der Nadel in ihrer täglichen Bewegung ist *selten gleichförmig*, geschieht aber bald schneller, bald langsamer. Wenn sie des Morgens aus Osten kommt, geht sie zum öftern bis 8 und 9 Uhr des Vormittags ganz langsam; zu dieser Zeit bis gegen 11 Uhr fängt sie an etwas schneller zu gehen, und eilt zwischen 12 und 3 ihrem Wendepunkte im Westen zu. Dasselbst hält sie sich gleichwohl selten lange auf, sondern kehrt von da mit abnehmender Geschwindigkeit um, bis 6, 7-9 Uhr des Abends, da sie gleichsam eine Weile ruht, aber wiederum zwischen 10 und 12 etwas gen Osten rückt, und öfters zwischen 12 und 3 Uhr in der Nacht noch einen kleinen Schritt ostwärts thut, um, nach einigem Verweilen daselbst, am Morgen und Vormittage zurückzuwandern. Bey diesem regelmässigen Gange kommt gleichwohl noch, öfter als daß man es für eine bloße Unordnung ansehen könnte, der *Umstand* vor, daß die Nadel während ihres Ganges nach Osten bisweilen schon um 7 oder 8 Uhr, aber gewöhnlich zwischen 9 und 12 des Abends einen kleinen Rückschritt von einigen Minuten nach Westen thut, doch, ohne sich dabey aufzuhalten, ihren vorbeschriebenen Gang vollführt. Dieser Rückschritt ist öfters merkbar, aber auch oft unmerkbar, statt dessen weilt daselbst die Nadel gewöhnlich einige Stunden, und thut erst um 1 und 2 in der Nacht einen kleinen Ruck nach Osten, um sich von da auf die westliche Tagereise zu begeben. Irgend einen andern Schlag in der Nacht habe ich nicht wahrgenommen, solcher müßte denn von 2 bis 3 Uhr erfolgt seyn, wofür ich nicht recht stehen kann, da ich der Nadel selten länger zu folgen vermocht habe, welche Morgens um 6 oder 7 Uhr

beynahe immer auf dem Rückwege nach Westen gefunden worden ist.

Die Sommerszeit ist zur Beobachtung dieser Veränderungen am dienlichsten, denn dann sind sie, wie die Tabelle ausweist, größer und schneller als im Winter, da sich die Nadel kaum 5 Minuten in 24 Stunden bewegt. Diese von Herrn Canton zuerst bemerkte Ungleichheit und *Verbindung zwischen den Jahreszeiten und der Größe der täglichen Bewegungen der Nadel* ist so deutlich und gleichmäßig zu- und abnehmend, daß man hieraus nicht ohne Grund vermuthet, Wärme und Kälte wirken merklich auf die Nadel ein, welche doch nach andern bekannten Versuchen einen entgegengesetzten Einfluß auf die Magnetkraft haben, indem die Kälte sie zu vermehren, die Wärme aber zu schwächen pflegt, wogegen die Nadel am lebhaftesten im Sommer, aber träger in der Kälte ist, in welcher sie sogar, wie Ellis (*Voyage to Hudsons Bay* p. 221) bemerkt hat, ihre ganze Richtungsfähigkeit verlieren kann, die dann wiederum durch Feuer erregt werden muß*).

*) Wofern ich Wilcken recht verstehe, so muß wohl seine Meinung folgende seyn:

Wenn die Mittelrichtung der magnetischen Kräfte der Erde (der magnetische Meridian) ihre Lage ändert, so wirken diese Kräfte mit einem gewissen Momente, welches mit der Magnetkraft der Nadel proportionirt ist, auf letztere. Wäre die Nadel vollkommen beweglich, so müßte sie, möge dieses Moment groß oder klein seyn, sich in Bewegung setzen und erst in Ruhe kommen, wenn sie von neuem im magnetischen Meridiane ruhete; aber die Reibung und der Widerstand der Luft widersetzen sich der Bewegung, und wofern das Moment dieses Widerstandes eben so groß ist wie das oben erwähnte magnetische Moment, oder doch merklich, so erfolgt entweder keine oder doch eine kleinere Bewegung, als wenn die Nadel völlig frey gewesen wäre. Da nun die täglichen ordentlichen Bewegungen im Winter kleiner sind als im Sommer, so muß das magnetische Moment (also die Magnetkraft der Nadel) in ersterer Jahreszeit kleiner seyn als in letzterer, welches andern bekannten Erfahrungen widerstreitet. Wofern diese Erklärungsweise Wilckens richtig wäre, würde jener Unterschied zwischen der Größe der täglichen Bewegungen aufhören, wenn die Nadel völlig frey wäre. Cassini hat aber denselben Unterschied im Sommer und Winter an einer Nadel gefunden, die in einem Seidenraupengespinste aufgehängt war, wo also die Reibung beynahe = 0 war; mittelst derselben Aufhängeweise fand er auch Eine und dieselbe Bewegung an zween Nadeln, deren eine äußerst schwach, die andere bis zur Sättigung magnetisirt war. Was die von Ellis angeführte Erfahrung betrifft, siehe Hptst. 7, §. 18, Zusatz, S. 378-379; bey der Erwärmung des Compasses wird vermuthlich die Reibung dadurch vermindert, daß dasjenige Oel, womit die Spitze, auf

geführt, und rückt in einer und derselben Stunde mehrere Mal vor und zurück, ja steht bisweilen keine ganze Minute still, sondern schwebt bald ruckweise, bald zitternd vor und zurück. Der größte Bogen, den ich auf diese Weise die Nadel habe durchlaufen sehen, ist $5^{\circ} 30'$ gewesen; selten ist doch die Veränderung so groß, aber nicht selten einen ganzen Grad. Keine Zeit noch Stunde des Tages, läßt sich sagen, ist ganz frey von diesen Unregelmäßigkeiten gewesen. Doch selten fangen sie des Vormittags an. Zwischen 12 und 3 kündigen sie sich oft mit einem ungewöhnlichen Sprunge an, aber nach 3 Uhr und zumal um 7 bis 10 und 12 Uhr des Abends haben sie sich am häufigsten eingestellt, da denn auch die Nadel die Nacht über am unruhigsten gewesen ist. Ihre Dauer ist ungleich lang. Zuweilen ist es in einigen Stunden abgethan, besonders Nachmittags oder von 7 bis 12 des Abends: Stunden, die sich durch Unregelmäßigkeiten auszuzeichnen scheinen. Sie währen aber auch unterweilen mehrere ganze, ja acht Tage hinter einander, in welcher Zeit die Nadel bald mehr bald weniger beunruhigt wird. Kein Monat ist frey von diesen Bewegungen gewesen, die sich gewöhnlicher Malsen 2 Mal in jedem Monate einige Tage hinter einander einstellen, und bisweilen (wie im März 1774) beynahe täglich werden. Des Sommers im Juny oder July sind sie gewöhnlich ein Mal recht stark und langwierig; so auch des Winters im Januar. Aber Regel und Ordnung wird hierin noch vermist. Das einzigste, was schon die Herren *Celsius* und *Hiorter* entdeckt haben, ist die nahe und bewundernswürdige Verwandtschaft und Harmonie dieser Unordnungen mit den in der hohen Atmosphäre schimmernden Nordlichtern.

Der Nadel Zusammenhang mit dem Nordlichte ist so deutlich, allgemein und beständig, daß niemand, der beide Erscheinungen mit Aufmerksamkeit betrachtet, daran zweifeln kann. Trüber Himmel, Mondschein und helle Sommernächte hindern bisweilen das deutliche Wahrnehmen des Nordlichtes; wenn aber jenes nicht eintrifft, so schlägt es selten oder nie fehl, daß sich nicht Nordlichter an dem Tage, wenn die Nadel eine ungewöhnliche Bewegung hat, am Himmel zeigen, und öfters brennen sie am hellsten, während die Nadel am stärksten hin und her schwankt. Gleichwohl darf man nicht umgekehrt ohne Ausnahme schließen, die Nadel zeige jedes Mal sehr große

Bewegungen, so oft sich dieser Glanz wirklich am Himmel einstellt. Ich habe in der Tabelle alle die Nordlichter aufgezeichnet, die ich selbst wahrgenommen habe, und darunter auch solche, bey welchen die Nadel nicht viel mehr als gewöhnliche Bewegungen gezeigt hat, ob sich gleich die Nordlichter bisweilen mit Bögen und hellen Flammen ziemlich hoch verbreitet haben. Die Sache verhält sich völlig so, wie Hr. *Hiorter* sie so richtig beschrieben hat. Die Nordspitze der Nadel scheint den Nordlichtern zu folgen und sich nach ihnen zu ziehen. Sind diese einzig oder doch am stärksten im Westen aufgehäuft und brennend, so wird auch die Nadel nach Westen geführt; strahlen sie wiederum am hellsten im Osten, so weicht auch die Nadel nach dieser Weltgegend hin ab. Die Nadel hat mich so oft, zumal wenn sich erst die Lichter entzündeten, von ihrer Lage unterrichtet, daß ich nicht an dessen Richtigkeit zweifle. Wenn im Gegentheile die Nordlicht-Wolke sehr niedrig war, oder der Bogen nach der Magnetrichtung gleichmäfsig bis und über den Zenith emporstieg und die Flammen sich allenthalben gleich vertheilten, dann wurde die Nadel nicht so stark beunruhigt; dann stehet sie oft mit kleinen dichten Schlägen und Bebungen einige Minuten lang still, ist auch gleich der ganze Himmel mit Strahlenschüssen und Blitzen weit über den Zenith hinaus bis nach Süden überzogen. Ein der Nadel Gewohnter bemerkt doch bald ihre beständige Unruhe, und selten läuft es ohne ungleiches Vertheilen der Flammen ab, welches sich denn sofort durch gröfsere Veränderungen zu erkennen giebt.

Da das Nordlicht auf die horizontalen Abweichungsnadeln so merklich wirkt, so scheint sich der Schluß aufzudringen, daß es auch auf die in einer vertikalen Ebene sich bewegenden *Neigungsnadeln* einen eben so starken, wohl gar größern Einfluß haben müsse. Da dies jedoch niemals genau untersucht worden ist, habe ich mich mehrere Male bemüht, mit den für Seebeobachtungen eingerichteten, aber doch eigends zu dem Ende aufgestellten Nadeln darauf Acht zu geben, doch ohne mir noch in dieser Hinsicht selbst genügen zu können. Aus dem wenigen dadurch Ausgemittelten bestätigt sich gleichwohl die Verbindung des Nordlichtes mit der Nadel auf eine merkwürdige Weis. Es bedürfen aber die Instrumente einer eigenen und verbesserten

Einrichtung, wofern etwas mehr damit entdeckt werden soll. Was ich bisher gefunden, besteht darin: 1) daß sich das Centrum der sogenannten Nordlichtsonne, die bekanntlich nicht weit vom Zenith steht und bisweilen nach allen Himmelsgegenden, gleichsam ein Zelt bildend, die schönsten Strahlen verbreitet, auf das genaueste in derselben Richtung zeigt, welche die Neigungsnadeln ausweisen; d. h. bey uns ungefähr in 75° Höhe gen Süden in der Vertikalebene, welche, sowie die Abweichung, dermalen etwa 14 Grade nach Osten von der Mittagslinie abweicht. Diese Sonne ist, wie *Cotes (Smith Optiks, p. 67)*, *Mairan (Traité de l'aurore boreale, 1754, p. 139)* nebst mehreren richtig gezeigt haben, nichts als eine optische Projectionsfigur, welche die nach dieser Richtung parallel emporsteigenden Strahlen des Nordlichtes in unserm Auge und Urtheil am eingebildeten Himmelsgewölbe bilden. *Die Nordlichtflammen streichen sonach gerade in derselben Richtung empor, welche die Magnetkraft, wenn sie allein waltet*), den Inclinationsnadeln ertheilt.* Was Wunder denn, daß die Nordlichter, so lange sie dieser Magnetrichtung folgen, nicht im geringsten die Neigungsnadeln berühren, die sich blos vertikal bewegen können, sondern gerade auf diese Nadeln eine deutliche Wirkung äußern, wenn sich die Richtung ändert, da auch die oberwähnte Nordlichtsonne zugleich mit der Magnetnadel ihre Lage ändert. Dies habe ich nun auch mehrere Mal deutlich bemerkt: *die Neigungsnadel, welche bey den stärksten Nordlichtern so lange stille gewesen ist, als der Mittelpunkt der Nordlichtkrone seine gewöhnliche Stelle einnahm, hat durch eine merkliche Veränderung von 10, 15, 20, ja 60 Minuten zu erkennen gegeben, daß dieser Mittelpunkt wirklich einige Grade*

*) Die Richtigkeit dieser Bemerkung habe ich neulich, nämlich den 7 Oct. 1816 und den 8 Febr. 1817 bey zween ziemlich starken Nordlichtern zu bestätigen Gelegenheit gehabt. Aus der Rectascension und Declination derjenigen Sterne, neben welchen sich der Mittelpunkt der Nordlichtkrone an diesen beiden Abenden zeigte, wurde in Verbindung mit der Stundenzzeit das Azimuth und die Höhe desselben Mittelpunktes berechnet. Den 7 Oct. ward das Azimuth $= 12^\circ 11' 5$, die Höhe $= 73^\circ 10'$, den 8 Febr. Az. $= 14^\circ 57' 5$, Höhe $= 74^\circ 39'$ gefunden, welches ziemlich nahe die Richtung der Neigungsnadel in Christiania ist. Der geringste Fehler in der Annahme des Mittelpunktes der Nordlichtkrone wird so nahe am Zenith natürlich von bedeutendem Einflusse auf das Azimuth seyn, welches freilich hierbey etwas kleiner als die Abweichung gefunden wurde, die in Christiania 20° ist.

einen sehr unordentlichen Gang und wies fast niemals wie die stärkere. Er glaubte zu finden, daß der menschliche Körper das Nordende der Nadel abstofse. Nachdem die schwächere Nadel im Keller der Sternwarte aufgestellt worden, wo sie gegen meteorologische Einflüsse gesichert war, hatte sie einen weit regelmäßigeren Gang und hielt oft gleichen Schritt mit der stärkern. Der Nadel tägliche Schwingungen waren nach den verschiedenen Jahreszeiten sehr verschieden; *Cassini* schlägt die größte zu 14 Minuten, die kleinste zu 5 Min. an. *Nordlichter* störten die Nadel in ihrem ordentlichen Gange; so durchwanderte sie während des Nordlichtes den 23 Sept. 1781 einen Bogen von $1^{\circ} 13'$. Die Wirkung dieser Erscheinung auf die Nadel wurde oft mehrere Stunden eher verspürt, als sie eintrat, und eben so lange nachdem sie verschwunden war. Auch glaubte er einen ähnlichen Einfluß von Seiten des *Zodiakallichtes* zu spüren, sieht aber dies nicht als ausgemacht an. *Donner, Blitz* und *Sturm* äußerten hingegen keine solche Wirkung auf die Nadel. Dergleichen Erscheinungen zeigten sich den 24 Sept., den 4, 21 und 26 Juny, den 13 und 23 July 1781, ohne daß der Nadel regelmäßige tägliche Bewegung im geringsten gestört wurde; aber den 25 July hatte sie während eines Sturmes (*orage*) eine Bewegung von 15 Minuten, wobey *Cassini* bemerkt, daß dies das erste Mal gewesen sey, daß er unter gleichen Umständen eine solche Variation wahrgenommen habe. Ost- und Nordostwind scheinen ihm mehrere Mal von gewissen Unregelmäßigkeiten der Nadel begleitet gewesen zu seyn, wie denn auch ein plötzlicher Uebergang von gutem zu schlechtem oder von schlechtem zu gutem Wetter bisweilen auf einige Tage den mittleren Stand der Nadel verändert zu haben scheint, bis sie eine ähnliche Veränderung wieder auf ihre vorige Stelle zurückgebracht hat.

Der zweyte Theil des Cassinischen Werkes*) enthält, außer Beobachtungen über die Abweichung der Magnetnadel auf der Pariser Sternwarte von 1667 bis 1791**), eine Reihe Beobachtungen *Cassinis* vom 1 May 1783 bis 1 Jan. 1787, aus welchen die Resultate in folgenden Tafeln eingeführt sind.

*) De l'influence de l'équinoxe du printemps et du solstice d'été sur la déclinaison et les variations de l'aiguille aimantée.

**) Siehe Anhang Tafel I. S. 11, 12.

I. Stand der Magnetnadel in ihrer größten westlichen Digression.

Zeit.	1783.	1784.	1785.	1786.	1787.	1788.
Januar 4		+ 1' 6"	+ 17' 49"	+ 30' 58"	+ 37' 57"	+ 45' 13"
12		- 0 16	17 49	30 41	40 33	44 48
20		1 14*	24 40	32 53	41 55	44 15
28		0 0	26 2	34 15	40 49	44 15
Februar 4		+ 2' 28"	+ 23' 17"	+ 31' 55"	+ 41' 55"	+ 45' 13"
12		2 3	28 17	34 40	42 28	43 17*
20		2 20	23 17	35 37	47 49	50 0
28		5 4	24 40	29 35	48 54	48 30
März 4		+ 8' 54"	+ 24' 7"	+ 34' 48"	+ 56' 2"	+ 50' 50"
12		7 58	25 4	36 59	57 16	49 11
20		8 5	25 12	36 59	60 58*	49 11
28		8 13	25 12	36 26	58 5	48 5
April 4		+ 8' 13"	+ 23' 42"	+ 38' 22"	+ 56' 35"	+ 66' 18"
12		8 54	25 12	38 30	56 59	62 4
20		10 16	25 12	37 40	59 11	61 14
28		9 35	24 40	42 45*	59 11	64 48
May 4	0' 0"	+ 12' 53"	+ 26' 2"	+ 35' 37"	+ 55' 29"	+ 61' 31"
12	- 2 12	9 11	23 50	35 52	56 51	57 32
20	3 9	9 44	25 4	34 56	54 31	59 44
28	3 9	3 17	24 7	34 15	49 27	55 13
Juny 4	- 5' 45"	+ 6' 18"	+ 25' 4"	+ 26' 43"	+ 49' 19"	+ 55' 45"
12	6 10	1 55	22 36	26 2	50 8	54 32
20	5 53	2 44	16 43*	22 44*	46 35	53 1
28	2 44	0 0	16 51	25 11	43 42	53 15
July 4	- 6' 26"	- 0' 41"	+ 20' 33"	+ 27' 44"	+ 45' 51"	+ 50' 43"
12	9 11	+ 1 22	19 35	27 32	43 1	52 4
20	12 44	3 50	21 55	28 38	43 17	51 14
28	10 25	5 29	19 11	31 47	45 29	49 19
August 4	- 10' 58"	+ 4' 48"	+ 20' 58"	+ 26' 43"	+ 45' 45"	+ 48' 22"
12	8 34	5 4	20 58	30 41	45 13	51 39
20	1 30	7 17	23 1	28 54	48 30	52 12
28	1 6	8 21	24 40	32 45	49 27	52 28
September 4	- 5' 43"	+ 10' 25"	+ 26' 10"	+ 32' 3"	+ 49' 52"	+ 52' 7"
12	1 39	6 51	24 48	32 53	50 8	51 32
20	1 30	10 8	26 2	31 31	50 17	51 39
28	1 55	8 54	24 23	34 40	51 47	56 10
October 4	- 1' 22"	+ 12' 53"	+ 26' 10"	+ 36' 59"	+ 55' 13"	+ 56' 35"
12	0 0	14 48	26 51	37 49	55 54	56 10
20	+ 0 41	15 37	26 2	41 31	43 26	57 41
28	0 25	14 48	30 8	40 25	58 5	62 12
November 4	+ 1' 22"	+ 14' 15"	+ 32' 53"	+ 29' 35"	+ 40' 49"	+ 60' 50"
12	0 0	14 39	30 8	30 49	38 54	60 58
20	4 7	16 51	30 8	31 55	48 17	62 36
28	3 1	15 53	31 31	35 37	41 22	68 55
December 4	+ 3' 1"	+ 16' 26"	+ 30' 33"	+ 35' 45"	+ 39' 52"	+ 58' 46"
12	2 11	15 53	30 8	37 32	44 31	55 29
20	1 22	15 12	33 42*	39 44	48 30	56 10
28	0 0	16 59*	30 8	38 38	45 4	58 30

II. Stand der Magnetnadel in ihrer größten östlichen Digression.

Zeit.	1784.	1785.	1786.	1787.	1788.
Januar 4	— 7' 16"	+ 13' 20"	+ 20' 33"	+ 26' 10"	+ 37' 40"
12	9 11	10 28	21 55	26 43	34 15
20	8 30	19 11	20 33	26 26	32 55
28	10 33*	17 50	24 40	24 43	32 53
Februar 4	— 7' 32"	+ 15' 4"	+ 21' 55"	+ 27' 24"	+ 34' 15"
12	4 23	16 26	21 55	28 46	35 37
20	9 2	16 26	23 17	31 31	36 59
28	3 1	17 49	21 55	32 53	37 52
März 4	— 2' 36"	+ 16' 26"	+ 21' 55"	+ 37' 40"	+ 36' 59"
12	2 20	16 26	20 33	41 6	33 34
20	3 9	13 42	19 11	39 44	30 49
28	1 47	13 42	21 55	41 6	27 24*
April 4	— 1' 55"	+ 15' 4"	+ 20' 33"	+ 43' 9"	+ 39' 44"
12	3 1	15 4	20 33	41 6	45 13
20	1 39	12 20	23 17	41 6	41 32
28	1 5	12 20	24 40	42 28	45 54
May 4	— 2' 11"	+ 12' 20"	+ 23' 17"	+ 39' 44"	+ 40' 17"
12	0 16	8 13	20 33	41 6	44 10
20	5 20	9 35	20 33	38 23	39 44
28	6 2	10 58	17 49	38 46	41 37
Juny 4	— 8' 46"	+ 10' 58"	+ 12' 20"	+ 32' 53"	+ 38' 22"
12	8 5	9 35	12 20	32 53	41 6
20	8 21	6 51*	8 13*	32 12	39 44
28	9 35	6 51	8 13	32 53	38 22
July 4	— 8' 54"	+ 9' 35"	+ 13' 42"	+ 24' 40"	+ 39' 44"
12	7 40	8 13	15 4	26 2	39 3
20	6 51	6 51	10 58	26 26	39 44
28	6 43	9 35	12 20	28 46	42 28
August 4	— 5' 29"	+ 6' 51"	+ 13' 42"	+ 26' 2"	+ 39' 3"
12	5 20	6 51	13 42	27 24	40 2
20	4 31	10 58	13 42	27 24	37 40
28	2 28	10 58	15 4	32 53	41 6
September 4	— 2' 53"	+ 8' 13"	+ 15' 4"	+ 32' 53"	+ 41' 47"
12	3 1	10 58	16 26	32 53	39 3
20	3 1	12 20	17 49	34 15	38 22
28	1 39	12 20	19 11	38 22	39 43
October 4	+ 3' 34"	+ 12' 20"	+ 20' 33"	+ 40' 0"	+ 41' 6"
12	4 56	15 4	21 55	40 8	45 13
20	7 40	12 19	24 39	42 3	48 38
28	5 29	20 33	23 17	46 51*	49 19
November 4	+ 7' 24"	+ 23' 17"	+ 20' 33"	+ 26' 2"	+ 48' 22"
12	8 54	21 55	21 14	28 46	50 41*
20	10 33	21 55	23 17	30 8	50 0
28	9 52	20 33	21 55	28 5	47 16
December 4	+ 12' 20"	+ 20' 33"	+ 26' 43"	+ 28' 5"	+ 45' 54"
12	11 6	23 17	27 24	34 56	48 12
20	10 41	24 40*	27 24*	36 59	45 13
28	12 36*	24 40	26 51	35 37	47 57

III. Mittlere tägliche Schwingung der Nadel für jede Woche des Jahrs.

Zeit.	1784.	1785.	1786.	1787.	1788.	Mittel.
Januar 4	8' 22"	5' 29"	10' 25"	11' 47"	7' 32"	8.7
12	8 55	6 51	8 46	13 50	10 33	9.8
20	7 16	5 29	12 20	15 29	11 22	10.4
28	10 33	8 12	9 35	16 6	11 22	11.2
Februar 4	10' 0"	8' 12"	10' 0"	14' 31"	10' 58"	10.7
12	6 26	6 51	12 44	13 42	7 40	9.5
20	11 22	6 51	12 20	16 18	13 1	12.0
28	8 5	6 51	7 40	16 1	10 58	9.9
März 4	11' 30"	7' 40"	12' 53"	18' 22"	13' 50"	12.8
12	10 8	8 38	16 26	16 10	14 37	13.2
20	11 14	11 30	17 49	21 14	18 21	16.0
28	10 0	11 30	14 31	16 59	20 41	14.9
April 4	10' 8"	8' 38"	17' 49"	13' 26"	26' 35"	15.3
12	11 55	10 8	17 57	15 53	16 51	14.5
20	11 55	12 53	14 23	18 5	19 43	15.4
28	10 41	12 20	18 5	16 43	18 54	15.3
May 4	15' 4"	13' 42"	12' 20"	15' 45"	21' 14"	15.6
12	9 27	15 37	15 19	15 45	12 53	13.8
20	15 4	15 29	14 23	16 9	20 0	16.2
28	9 19	13 9	16 26	10 41	13 25	12.6
Juny 4	15' 4"	14' 7"	14' 23"	16' 26"	17' 24"	15.5
12	10 0	13 1	13 42	17 15	13 26	13.5
20	11 6	9 52	14 31	14 23	13 17	12.6
28	9 35	10 0	16 57	10 49	15 53	12.6
July 4	8' 13"	10' 58"	13' 42"	21' 11"	16' 59"	14.2
12	9 2	11 22	12 28	16 59	13 1	12.6
20	10 41	15 4	17 40	16 51	11 30	14.4
28	12 11	9 35	19 27	16 43	6 51	12.9
August 4	10' 16"	14' 7"	13' 1"	19' 43"	9' 19"	13.3
12	10 24	14 7	16 59	17 49	11 39	14.2
20	11 47	12 3	15 12	21 6	14 31	14.9
28	10 48	13 42	17 40	16 34	11 22	14.0
September 4	13' 17"	17' 40"	16' 59"	16' 59"	12' 20"	15.5
12	9 52	13 50	16 26	17 16	12 20	13.9
20	13 9	13 42	13 42	16 2	13 17	14.0
28	10 33	12 13	15 29	13 25	16 26	13.6
October 4	9' 19"	13' 50"	16' 26"	15' 13"	15' 29"	14.0
12	9 32	11 46	16 53	15 46	10 58	13.1
20	7 57	13 42	16 51	11 23	9 2	11.8
28	9 19	9 35	17 7	11 14	12 53	12.0
November 4	6' 51"	9' 36"	9' 2"	14' 47"	12' 28"	10.6
12	5 45	8 13	9 35	10 8	10 16	8.8
20	6 18	8 13	8 38	10 9	12 36	9.2
28	6 2	10 58	13 42	13 17	11 39	11.1
December 4	4' 7"	10' 0"	9' 2"	11' 47"	12' 53"	9.6
12	4 49	6 51	10 8	9 35	7 17	7.7
20	4 31	9 2	12 20	11 31	10 58	9.7
28	4 23	5 29	11 47	9 27	10 33	8.3

IV. Stand der Nadel um die Nachtgleichen und Sonnenwenden.

Epochen.	Westliche Digression.		Östliche Digression.	
	Stand.	Bewegung.	Stand.	Bewegung.
1783, 20 Juny	— 5' 53"			
20 Sept.	+ 1 30	+ 4' 23"		
20 Dec.	+ 1 22	+ 2 52		
		Vorwärts		
1784, 20 März	+ 8' 5"	+ 6 43	— 3' 9"	
20 Juny	2 44	— 5 21	— 8 21	— 5' 12" Rückwärts
20 Sept.	10 8	+ 7 24	3 1	+ 5 20
20 Dec.	15 12	+ 5 4	+ 10 41	+ 13 42
		Vorwärts		Vorwärts
1785, 20 März	+ 25' 12"	+ 10 0	+ 13' 42"	+ 3 1
20 Juny	16 43	— 8 29	6 51	— 6 51 Rückwärts
20 Sept.	26 2	+ 9 19	12 20	+ 5 29
20 Dec.	33 42	+ 7 40	24 40	+ 12 20
		Vorwärts		Vorwärts
1786, 20 März	+ 36' 59"	+ 3 17	+ 19' 11"	— 5 29
20 Juny	23 44	— 14 15	8 13	— 10 58 Rückwärts
20 Sept.	31 31	+ 8 47	17 49	+ 9 36
20 Dec.	39 44	+ 8 13	27 24	+ 9 35
		Vorwärts		Vorwärts
1787, 20 März	+ 60' 58"	+ 21 14	+ 39' 44"	+ 12 20
20 Juny	46 35	— 14 23	32 12	— 7 32 Rückwärts
20 Sept.	50 17	+ 3 42	34 15	+ 2 3
20 Dec.	48 30	— 1 47	36 59	+ 2 44
		Vorwärts		Vorwärts
1788, 4 April	+ 66' 18"	+ 17 48	+ 39' 44"	+ 2 45
20 Juny	53 1	— 13 17	39 44	— 0 0 Rückwärts
28 Sept.	56 10	+ 3 9	39 44	+ 0 0
28 Dec.	58 30	+ 2 20	47 57	+ 8 13
		Vorwärts		Vorwärts

Jede Zahl in den zwey ersten Tafeln ist ein Mittel des Standes der Nadel für eine ganze Woche; jeder Monat hat also 4 solche Mittel, nämlich für den 4ten, 12ten, 20sten und 28sten Tag im Monat. Die erste Tafel enthält den Stand der Nadel in dessen Maximum oder die größte westliche Elongation zwischen Mittags und 2 Uhr Nachmittags; die zweyte Tafel enthält ihren Stand im Minimum oder in ihrer größten östlichen Elongation des Morgens oder Abends. Die Unterschiede der Zahlen in der ersten und zweyten Tafel geben also die von der Nadel täglich durchwanderten Bögen, die in der dritten Tafel enthalten sind. Eine Mittelzahl der Zahlen in der ersten und

*) Diese kleine rückgängige Bewegung, sagt C., in einer Epoche, wo die Nadel zuvor immer rechtläufig gewesen, ist augenscheinlich von dem Nordlichte den 31 October hervorgebracht, welches eine Verwirrung von 18' in der Richtung der Nadel verursachte.

zweyten Tafel würde den Punkt geben, um welchen die Nadel von Woche zu Woche geschwebt hat, woraus sich also die monatlichen Wanderungen der Nadel erkennen ließen. Statt dessen hat *Cassini* vorgezogen, diese monatlichen Bewegungen lediglich aus dem Stande der Nadel im Maximum zu bestimmen, inwiefern die aus dem Minimum des Morgens und des Abends gefundene mehr Unregelmäßigkeiten ausgesetzt ist, welche das Resultat zweifelhaft und weniger in die Augen fallend machen könnten. Die 3 ersten Columnen der 4ten Tafel enthalten sonach den Stand der Nadel um die Tage der Sonnenwenden und Nachtgleichen, aus der ersten Tafel gezogen, nebst den Differenzen zwischen den 2 auf einander folgenden Epochen, d. i. der Nadel mittlerweilige Bewegung. Diesem habe ich noch in den beiden letzten Columnen die nämlichen Bestimmungen, abgeleitet aus dem Minimum der Nadel in der Tafel II., hinzugefügt. Aus diesen Beobachtungen zieht *Cassini* folgende Resultate:

1) Aus den Beobachtungen des Maximum der westlichen Abweichung um 3 Uhr Nachmittags (Tafel I.) ergibt sich, daß der Bogen, um welchen dieses Maximum nach Westen vorschreitet, sehr ungleich ist, sowohl von Woche zu Woche, als von Monat zu Monat, imgleichen von Jahr zu Jahr gerechnet. Fast immer betrug das wöchentliche Fortschreiten weniger als 3 Minuten; selten stieg es bis 5 Minuten; wurde es größer, so war das ein Beweis einer besondern Störung. Das monatliche Fortschreiten variierte von 4 bis 8 Minuten, und schien im May, Juny, July und August am größten zu seyn. Der größte in einem Jahre durchlaufene Bogen (*la plus grande variation de l'année*) ist aus folgendem zu ersehen:

Jahr.	Aus Tafel I.			Aus Tafel II.		
1784	20 Jan.	— 28 Dec.	+ 18' 13"	28 Jan.	— 28 Dec.	+ 23' 9"
1785	20 Juny	— 20 Dec.	+ 16 59	20 Juny	— 20 Dec.	+ 17 49
1786	28 April	— 20 Juny	— 20 1	20 Juny	— 20 Dec.	+ 19 11
1787	4 Jan.	— 20 März	+ 23 1	4 July	— 28 Oct.	+ 22 11
1788	12 Febr.	— 4 April	+ 23 1	28 März	— 12 Nov.	+ 23 17

Das jährliche Fortschreiten (*progression annuelle*) variierte in den 5 ersten Jahren der Beobachtung von 5' bis 18'. Es war nämlich nach dem täglichen Maximum in Tafel I.:

	aus dem westlichsten Stande	aus dem östlichsten Stande
von 1784 — 1785	28 Dec. — 20 Dec. 16' 43"	20 Jan. — 20 Juny 17' 57"
1785 — 1786	20 Dec. — 28 April 9 3	20 Juny — 20 Juny 6 1
1786 — 1787	28 April — 20 März 18 13	20 Juny — 4 Jan. 15 13
1787 — 1788	20 März — 4 April 5 20	4 Jan. — 12 Febr. 5 20

nach dem täglichen Minimum in Tafel II.

	aus dem westlichsten Stande	aus dem östlichsten Stande
von 1784 — 1785	28 Dec. — 20 Dec. 12' 4"	28 Jan. — 20 Juny 17' 24"
1785 — 1786	20 Dec. — 20 Dec. 2 44	20 Juny — 20 Juny 1 22
1786 — 1787	20 Dec. — 28 Oct. 19 27	20 Juny — 4 July 16 27
1787 — 1788	28 Oct. — 12 Nov. 3 50	4 July — 28 März 2 44

Man übersieht hieraus, fügt Herr *v. Cassini* hinzu, wie sehr man sich geirrt hat, wenn man die jährliche Variation in der Abweichung durch eine oder durch zwey Beobachtungen jährlich, in Zeitpunkten, die der Zufall gab, bestimmen zu können meinte. Ja selbst, wenn diese Beobachtungen in demselben Monate angestellt sind, erhält man doch mehrentheils nur sehr unvollkommene Resultate. Aus den größten Abweichungen für die Epochen des 4ten Februars 1784 und 1785 würde eine jährliche Variation von 21 Minuten, für die am 4ten May nur von 13 Minuten folgen. Für das Jahr 1785 bis 1786 würden die Beobachtungen der Epochen des 4ten Juny eine Variation von 1' 59'', Beobachtungen der Epochen des 4ten Januars von 13' 9'' gegeben haben. Für 1787 bis 1788 würde aus den Beobachtungen der Epochen vom 4ten März selbst ein Rückschreiten nach Osten um 5' 12'', aus den Beobachtungen der Epochen vom 4ten November dagegen ein Vorschreiten nach West um 20' folgen. Hätte man die größte Abweichung in der ersten Woche des Mays, in der zweyten des Octobers, in der dritten des Decembers 1785 und in der letzten Woche des Januars und des Juny 1784 beobachtet; so würden alle diese 5 Beobachtungen die Variation 0 gegeben haben, und man würde sich auf das stärkste davon vergewissert glauben, daß die Nadel länger als ein Jahr stillstehend gewesen sey. Und doch hatte sie in der That während dieses Zeitraumes eine Bewegung von 12' 44'' nach Osten und von 12' 53'' nach Westen, zusammen also eine Variation von 25' 57'' gehabt.

Uebrigens wird man sogleich einsehen, daß es in jedem Jahre zwey Epochen giebt, in denen man die Nadel immer stillstehend finden muß.

2) Aus Tafel III. ist zu ersehen, daß die GröÙe der beständigen Schwankungen oder der täglichen Variation der Nadel nicht alle Jahr dieselbe war. Zwischen Frühling und Herbst war diese Variation in der Regel am größten, nämlich 15 bis 16 Minuten; zwischen Herbst und Frühling am kleinsten, nur 7 bis 8 Minuten.

5) Aus Tafel I. und IV. folgert Hr. v. Cassini über das jährliche Fortschreiten der Magnetnadel folgendes:

"Vom Januar bis gegen den April nimmt in der Regel die westliche Abweichung zu. Gegen Anfang Aprils wird die Nadel jedes Mal rückgängig und die Abweichung nimmt ab, von Monat zu Monat, bis zur Sommer-Sonnenwende. Alsdann geht die Nadel wieder nach West, und immer findet sie sich gegen den Anfang des Octobers ungefähr eben da, wo sie im Anfange Mayes war; das fand wenigstens jedes Mal in den 6 Revolutionen Statt, welche ich beobachtet habe, weshalb diese beiden Epochen sehr merkwürdig scheinen. Nach dem October fährt die Nadel fort nach Westen vorzuschreiten, beschreibt aber keinen so großen Bogen mehr, und gewöhnlich erreicht sie in diesen drey letzten Monaten das *Maximum* ihrer westlichen Abweichung, und ihre Schwankungen haben nur eine GröÙe von 5 bis 6 Minuten."

"Es scheint folglich, als habe der Stand der Sonne in der Ekliptik Einfluß auf den Gang der Magnetnadel, denn meine Beobachtungen leiten auf das merkwürdige Gesetz, daß die Nadel zwischen der Frühlings-Nachtgleiche und der Sommer-Sonnenwende zurück geht, indeß sie in der übrigen Zeit in der Regel nach Westen vorrückt; und da der Bogen, den sie in diesen letzten 9 Monaten durchläuft, viel größer ist, als der, um den sie in den 3 ersten zurück weicht, so entsteht daraus für das ganze Jahr eine Zunahme der westlichen Abweichung. . . . Es verdient gewiß alle Aufmerksamkeit, daß die Winter-Sonnenwende und die Herbst-Nachtgleiche so zu sagen indifferent für die Magnetnadel sind, und sie in ihrem Fortrücken nach Westen nicht stören, indeß die Herbst-Nachtgleiche sie nach Osten zurück gehen macht, bis die Sommer-Sonnenwende sie wieder in ihren alten Gang zurück bringt."

§. 11. *Gilpin* stellte späterhin in den Zimmern der königlichen Gesellschaft in London eine Reihe Beobachtungen über die Abweichung und Neigung der Magnetnadel an, woraus die Resultate in folgende Tabellen eingeführt sind (siehe *Observations on the Variation, and on the Dip of the magnetic Needle, made at the Apartments of the Roy. Soc. between the years 1786-1805 inclusive by Mr. George Gilpin, F. R. S. Philos. Trans. 1806, P. 2, p. 385-420*):

Tafel I.

Abweichung der Magnetnadel.																						
1786, September											1786, October											
Tag.	Vormittags					Nachmittags					Vormittags				Nachmittags							
	7	8	10	12	1	2	4	6	8	10	7	8	10	12	1	2	4	6	8	10	11	
	23°	23°	23°	23°	23°	23°	23°	23°	23°	23°	23°	23°	23°	23°	23°	23°	23°	23°	23°	23°	23°	
1	7'	10'	18'	27'	29'	28'	20'			26'	7'	9'	13'	21'	23'				10'			
2	9	10	14	20	21	21				14	14		17	23	26	27	20	11	10	10	11	
3	7	8	11	20	23	24		11	10	10	11		18	23	27	29	22	19	16	14	13	
4	9	9	16	22	23	23				13	9		15	23	23	24	18	18	14			
5	9	10	16	22	23	22	16	11			9		14	23	25	25	21	17	14	13	12	
6	6	6	15	23	24	23		14		8	9		14	24	24	24	21	14	14	10	11	
7	7	8		26	27	26	18	13		8	8		11	20	23	23	19	17	15	15	15	
8	23	23	18	23	23	23		16	13		9		15	23	23	23	17	16	16	16	16	
9	7	9		24	26	26	20	17		15	8		14	20	23	24	20	17		15	15	
10	15	16		28	28	26				14	10		15	26	26	26	20	17			14	
11	9	14		25	25	24		17	14	14	10		12	23	25	26	23	18	16	15	15	
12	3		15	26	18			17	17	16	7	8	13	23	25	25	20	17	15	14	14	
13	5	6		25	26	23	21			13	8	8	15	23	27	31	29	24	19			
14	4			19	22	26			15	14	10	10	13	19	21	23	21	20	19	18	17	
15	8			20	23	23	19	14	13	13	10	10	11	21	23	23	21		18	18		
16	8	10		20	22	22		12	9		8		13	28	31	33			17	16	16	
17	8		15	24	28	28		16		10	10	11	14	20	22	23	19	19	18	18		
18	6	7	13	19	19	20		18	15	14		13	20	32	30	30	20	18	16	14	13	
19	5		11	18	23	23	20	18	15	15	17	16	20	31	34	29	21	18	7	17		
20	8		11	21	23	24	16	15	14	12	15		23	33	34	26	25	19	17	17		
21	12		14	19	23	23	15	15	14	14	14		15	32	28	27	21	18	15	15		
22	11		14	20	23	23	18	16	13	13	10		16	23	23	23	19	17	16	16		
23	5		8	22	22	23			12	11	10	10	19	29	29	29	21	18	17	16		
24	3		11	20	23	24	20	15	12	11	10	10	12	20	24	25	23	18	16	15		
25	7	9	15	20	23	23	21	17	11	10	8	11	15	29	35	32	31	24	15	12	11	
26	5		14	21	24	26	22	14	11	10	11	11	15	24	24	24	21	17		11		
27	8	10	17	24	26	27	21	14	10	9	10	10	14	22	25	25	18	15	13			
28	5	6	13	17	19	19	20	18	15	5	16		21	25	25	25	17	16	15	14	14	
29	10		19	27	28	25	16			16	10	11	14	24	25	24	20	17	16	15		
30	9		21	24	24	24	20	16	21	10	14		17	25	30	31	26	20	16	14		
31											10		14	23	25	26	19	16	14	14	14	

Tafel I.

Abweichung der Magnetnadel.																							
1786, November												1786, December											
Tag.	Vormittags					Nachmittags							Vormittags					Nachmittags					
	7	8	10	12	1	2	4	6	8	10	11		8	10	12	1	2	4	6	8	10	11	
	23°	23°	23°	23°	23°	23°	23°	23°	23°	23°	23°	23°	23°	23°	23°	23°	23°	23°	23°	23°	23°		
1	13'	13'	19'	22'	24'							15'	16'	23'	23'	23'	20'	17'	15'	15'			
2	10		11	19	21	20	19	17	15	14		14	14	17	19	19	19	17	15	14			
3	10	10	15	23	22	21	21	20	16	16		13	13	19	19	20	19	17	17	14	14		
4	10	11	14	18	20	21	19	18	15	15	15	13	11	17	19	20	19	19	17	16	16		
5	10	10	16	22	23	22	19	17	17	17	17	11	14	19	19	19	19	17	14	13	13		
6	12	13	15	21	22	22	20	18	18	18	14	11	13	22				19	17	16	16		
7	10		15	21	23	23	21	18	17	16		11	14	18	20	20	18	16					
8	11		17	25	25	25	23	19	16	13		14	14	18	19	20	19	16	14	15			
9	13		16	23	24	24	20	17		13	13	13	14	18	20	20	19	18	16	16			
10	11	11	14	21	22	22	20	16	15	13	13	14	15	18		20			15	14			
11	11	11	15	21	21	20	17	16	15	15	15	14	16	19	19	20	19	16	15	14			
12	11	11	15	20	21	20	17			15	15	14	15	18	20	20	18	17	15	14	14		
13	13	13	17	23	21	23	31	18	16	15	15	14	14	18	21	22	20	19	15	14			
14	11	11	14	20	20	21	20	18	16	15	15	16	17	21	23	23	21	18					
15	16		22	24	23	22	20	17	16	15	15	17	18	23	24	24	22		18	16			
16	10		11	19	19	20	19	17		16		18	19	23	24	24	19	19	17	15	15		
17	13		13	18	20	19	20	18	16	17		14	15	23	24	25	17	17	16	15			
18	15		14	20	20	22	28	18	16	14		14	20	24	26	26	23		16	16			
19	12	13	13	23	24	24	22	17	15	17		17	19	22	23	23			14	13	13		
20	11	11	13	18	23	23	22	18	14	13	15	12	19	21	23	23	21	18	15	16			
21	12		18	21	21	21	19	16	16			16	24	21	22	22	19	15					
22	13		18	21	23	23	21	17	16	15	15	23	24	26	27	25	23		17	16			
23	13		16	22	24	24	23	18		14		16	15	19	19	20	19	16	15	15	15		
24	13	14	14	19	21	21	19	16	14	14		13	15	21	23	23	22	18	17	17	17		
25	14	14	15	21	22	22	21	18	17	16	16	17	17	24	25	25	21	16	13	14			
26		14	15	22	23	23	20	18	16	15	15	14	16	18	22	23	21	20	19	18	18		
27	15	15	19	23	24	24	20		16	16		14	17	23	24	24			16	16			
28		14	15	23					17	16		14	14	21	23	23			14	14			
29	15	15	16	22	23	23	21	18	16	15		14	16	22	23	23	20	16	15	14	14		
30	14	14	15				21		17	15	15	14	15	20	22	23	21	17	15	14			
31												15	15	22	24	24	21	20	19	16			

Die erste Tafel enthält die Abweichungen zu verschiedenen Stunden des Tages, wie sie unmittelbar durch Beobachtung gefunden worden sind, nachdem jedoch bey einer jedem im voraus 7',4 abgezogen war, nämlich 2' aus Mangel an Parallelismus zwischen der magnetischen und mathematischen Axe

Tafel I.

Abweichung der Magnetnadel.

Tage	1787. Januar											1787. Februar											
	Vormittags					Nachmittags						Vormittags					Nachmittags						
	7	8	10	12	1	2	4	6	8	10	11	7	8	10	12	1	2	4	6	8	10	11	12
1	23°	23°	23°	23°	23°	23°	23°	23°	23°	23°	23°	23°	23°	23°	23°	23°	23°	23°	23°	23°	23°	23°	23°
2		15'	19'	23'	24'	24'	21'	16'				13'	13'	15'	21'	23'	23'	21'	20'		17'		17'
3	14	14	15	20	21	21	19		14	14	14	16	16	21	22	24	25	31	27	19	14	14	
4	15	15	16	19	21	23	20	18	17	16	17	16	16	19	25	26	36	23	18	16	16		
5	14	14	15	19	24	24	22		15	14	14	16	16	17	22	25	25	24	18	16	14	14	
6		12	13	20	22	29	29		14	14	14	14	14	16	23	23	34	23	21	16	10		
7		14	15	22	26	24		19					16	18	27	26	24	24	17	16	10		9
8	14	14	16	21	24	24	21		17	15	16		17	16	21	25	25	20	16		14		
9	15	15	18	21	23	23	19	19	13	13	14	14	13	15	23	23	23	23	21	17	16		16
10		16	22	23	24	22	20	17	17	16		17	17	18	22	25	25	22	17	15	11	11	13
11		17	21	23	23	22	20	19				13	14	15	23	27	26	21	15	11	10	10	
12		19	20	20	25	28	23			16		15	16	14	23	22	23	21	19	18	16	16	
13	14	14	16	20	22	22	21	18	15	11		13	12	16	25	25	23	20	16	13	12	12	
14		14	20	28	28	28	25	19	14	13	14	11	11	14	22	23	23	30					
15		15	21	23	23	23	20	17	14	14		13	15	17	24	31	20	28	20		10		
16		13	16	23	23	22	19	14	14	13			16	17	24	25	25	23	21	18	17		
17		14	15	24	25	27	23	20	16	15			28	28	28	28	28	20	18		17		
18		13	14	21	25	25	20	16					16	17	22	24	24	24	19	16	16		
19		15	16	22	24	24	22	17	15	15		9	9	9	20	22	22	21	18	16	15		
20		14	15	24	24	24	21	17	14	15			12	12	25	27	28	29	20	15	10		
21		14	16	21	23	23	20	20	18	16			21	23	26	26	26	25		16	13		
22		15	16	21	23	24	21	16	14	14		12	11	19	21	24	23	23	16				
23		14	21	25	29	26	24	18	16	13		15	15	21			31	29		11	10	10	
24		13	18	23	25	26	24	19	18	14		14	14	17	23	26	29	25	18	14	13	13	
25		14	19	22	27	30	28	26				13	13	16	28	29	30	29	25		23		
26	14	14	22	27	28	29	22	22	21	21		23	23	23	24	24	23		19	16	12	12	
27		14	16	24	24	24	20	15	10	9		12	12	17	24	25	26	24	18	14	12		
28		10	16	21	24	24	23	18	15	14	14	14	13	14	21	22	22		15	9	14		13
29	13	14	16	24	24	24	23	23	20	18	17												
30	14	14	15	22	24	25	24	21	18	15	15												
31	13	14	15	24	24	24	23	18	15	13	14												

der Nadel und $5\frac{1}{4}$ weil eine große Menge Beobachtungen gezeigt hatten, daß die Abweichung im Saale $5\frac{1}{4}$ größer gefunden wurden, als unter freiem Himmel, welcher Unterschied dem im Gebäude angebrachten Eisen beizumessen ist.

Tafel I.

Abweichung der Magnetnadel.																									
1787. März													1787. April												
Tag.	Vormittags				Nachmittags								Vormittags					Nachmittags							
	7	8	10	12	1	2	4	6	8	10	11	12	6	7	8	10	12	1	2	4	6	8	10	11	
	23°	23°	23°	23°	23°	23°	23°	23°	23°	23°	23°	23°	23°	23°	23°	23°	23°	23°	23°	23°	23°	23°	23°	23°	
1	13'	13'	17'	25'	27'	28'	22'	18'		11'			12'	12'	16'	24'	26'	28'	26'	21'	19'	19'	18'		
2	11	11	15	23	24	24	20				12	12		7	7	30	32	35	37	36					
3	19	19	16	26	27	26	24	23	13	11	11		15	10	18	23	24	24	22	15	17	16			
4	12	12	15	29	28	29	26	20	15	15	15		9	10	15	24	25	25	22	16	11	16	17		
5	11	12	14	19	25	26	23	16	17	17			10	10	15	25	26	26	22	19	18	18	18		
6	10	11	16	26	26	26	21	22	15	12			14	14	16	23	30	30	33	18	13	15	13		
7	14	13	15	26	26	26	25	23	19	7	8		9	9	12	23	23	29	24	19	13	12	13		
8	12	13	12	25	26	26							10	10	12	23	29	30	24	19	15	15	15		
9	13	12	14	28	29	29		21	19	18			8	8	8	15	26	30	31	29	22	18	17	17	
10	15	15	16	26	27	27	20	18	18	18			8	7	8	14	23	27	28	26	23	16	16	16	
11	12	13	14		26	27			17	16			7	7	8	12	21	28	29	24	18	15	15	16	
12	12	11	14	24	28	28	24	20	11	13			7	7	10	17	27	28	23	16	12	11	12		
13	17	17	18	31	31	31	21	14	12	12	13		11	11	13	19	26	27	23	17	16	17	16		
14	12	12	20	26	26	26	18	18	18	18	19		8	8	8	13	21	23	28	19	15	14	14	14	
15	19	19	22	28	28	27	19	18					9	8	8	13	23	30	29	19	16	14	13	13	
16	12	12	15	25	26	26	19	18	18	16	19		18	18	18	21	29	30		16	16	17			
17	13	15	19	26	27	26	22	17	19	18	18		8	8	8	13	23	26	27	21	15	15	15		
18	8	8	11	31	33	33	22	20	16				7	7	8	12	24	26	26	23	24	15	15	15	
19	9	8	11	26	28	28	21	16	14	15	14		9	8	10	13	23	26	25	19	20				
20	9	9	12	31	30	32	23	17	14	13	13		6	10	6	11	22	28	29	21	18	17	17	17	
21	28	28	31	29	29	29	27	33	10	10	11		12	11	11	13	23	26	27	26	25	19	18	18	
22	12	11	16	31	33	33	26	20	19	19	18		15	15	15	20	21	24	24	17	17	17	17		
23	12	13	14	26	28	27	22	19	17	19	18		7	8	6	13	23	24	24	20	15	16	17	16	
24	13	13	14	28	28	26	22	19	18	18	17		11	13	11	15	25	28	26	25	17	17	16	16	
25	11	11	13	25	26	28	21	17	18	19	17			9	9	10	27	26	26	17	17	18	17	18	
26	12	12	13	25	27	28	23	19	19	19	19			8	9	11	24	27	26	21	20				
27	15	14	14	28	28	27	22	19	18	17	17			11	10	19	30	32	32	17	18	18	17		
28	13	13	12	27	26	26	22	17	18	18			9	10	12	12	23	23	23	17	15	15	13	14	
29	8	8	13	26	32	33	25	14		16	16		7	6	9	21	25	25	21	17	15				
30	10	10	14	25	28	29	23	19	17	16	17		13	13	15	25	28	27	20	15	14	15	14		
31	8	8	13	23	27	26	24	18	15	17	16														

Die zweite Tafel begreift die Mittelzahlen der vertikalen Columnen in der ersten Tafel, und stellt also die Mittel der beobachteten Abweichungen für Monat nach den verschiedenen Stunden dar. Nach dieser Tafel wird die Abweichung als stationär und in ihrem Minimum angenommen.

Tafel I.

Abweichung der Magnetnadel.

1787. May													1787. Juny													
St.	Vormittags					Nachmittags								Vormittags					Nachmittags							
	6	7	8	10	12	1	2	4	6	8	10	11	6	7	8	10	12	1	2	4	6	8	10	11		
	23°	23°	23°	23°	23°	23°	23°	23°	23°	23°	23°	23°	23°	23°	23°	23°	23°	23°	23°	23°	23°	23°	23°	23°		
1	8'	8'	8'	16'	23'	26'	26'	22'	16'	16'	15'	16'	8'	7'	7'	11'	26'	28'	28'	32'	17'	16'	18'	17'		
2	8	8	8	15	25	25	25	21	20	19	18	17	6	6	6	17	24	25	25	20	19	17	18	17		
3	11	11	11	14	23	27	26	21	15				6	6	6	18	28	28	27	24	20	18	19	18		
4	6	5	6	13	28	29	29	23	17	16	16	16	6	5	7	13	24	26	25	21	19	16	15	16		
5	7	8	7	11	25	26	26	21	17	15	15	16	6	6	5	16	29	28	29	22	19	17	16	17		
6	9	7	7	17	28	27	28	25	18	17	18	17	7	6	8	17	29	30	30	24	19	19	16	15		
7	9	8	8	13	25	28	28	21	19	19	9	14	5	5	5	13	25	30	30	27	22	17		16		
8	7	8	7	17	25	26	26	22	17	13	15	14	7	8	8	19	28	28	28	27	20	16	15	16		
9				18	30	30	30	26	20	19	19	20	18	17	19	21	26	26	26	19	17	17	17	17		
10	2	4	3	23	32	30	27	18	18		17	26	16	15	16	20	24	26	26	22	19	18	19	19		
11	6	6	6	11	24	23	24	20	17	17	16	17	6	7	6	16	28	27	27	20	19	19	18	19		
12	9	8	8	11	23	24	24	20	17	16	17	17	6	6	6	15	28	29	29	26	19	19	19	19		
13	6	5	5	11	24	25	25		15	14	13		6	5	6	13	25	27	27	23	20	19	19	19		
14	11	10	6	10	38	38	31	27	26	18	17	17	6	6	7	14	26	30	31	24	20	16		16		
15	13	11	11	13	25	26	26	16	19	18	17	19	3	5	5	10	28	31	32	25	20	20	20	20		
16	8	8	9	14	22	25	25	23	24	23	26	24	6	5	6	15	28	31	33	26	17	17	16	18		
17	10	11	10	13	17	22	21	17	17				8	8	10	11	28	31	30	25	18	19	16	17		
18	8	9	9	13	28	20	29	24	15	15	15	15	9	8	10	16	29	31	31	26	18	18	18	17		
19	4	3	3	9	22		25	24	16	14	16		6	5	5	13	26	27	27	24	17	17	18	17		
20	9	7	7	11	23	5	25	19	19	19	19	18	14	13	14	21	21	32	32	24	19	17	16	18		
21	10	10	11	14	26	30	27	26	23	22	22	21	8	9	8	18	26	29	29	24	19	19		18		
22	10	11	10	13	26	27	27	21	15	14	16	15	11	11	10	18	29	29	29	24	19	18	19	18		
23	10	9	9	14	24	26	26	21	15	16	16	17	8	8	10	18	26	26	26	20	19	19	19	19		
24	6	6	6	12	24	25	25	16	16	16			6	6	6	16	23	28	29	22	19	19	19	19		
25	7	7	7	16	25	26	27	21	15	17	16	16	19	19	19	19	28	28	29	21	19	18	18	18		
26	5	5	7	14	24	25	25	19	17	17	17	17	8	7	7	15	23	23	23	18	18	19	18	18		
27	7	7	8	14	23	26	26		17	17	17	17	9	11	9	14	28	30	29	18	18	18	18	18		
28	6	5	5	10	23	25	25	20	17	17	17	17	10	9	11	19	26	28	26	19	16	17				
29	8	8	10	13	24	26	26	19	19	19	18	19	9	9	13	18	26	26	25	20	18	17	19	18		
30	5	6	6	14	26	27	27	19	16	16	16	17	10	8	10	17	24	26	26	21	18	20	18	18		
31	4	5	4	11	24	26	27	19	16	18	15	17														

gegen 7 und 8 Uhr Morgens, und als stationär und in ihrem *Maximum* gegen 1. oder 2 Uhr Nachmittags. Diesem gemäß ist in der dritten Tafel die *mittlere tägliche Abweichung* bestimmt worden als das Mittel aus den Beobachtungen, die zu diesen beiden Tageszeiten gemacht sind, und die *mittlere tägliche*

Tafel I.

Abweichung der Magnetnadel.																									
1787, July												1787, August													
Tag	Vormittags						Nachmittags						Tag	Vormittags						Nachmittags					
	6	7	8	10	12	1	2	4	6	8	10	11		6	7	8	10	12	1	2	4	6	8	10	11
1	23°	23°	23°	23°	23°	23°	23°	23°	23°	23°	23°	23°	23°	23°	23°	23°	23°	23°	23°	23°	23°	23°	23°	23°	
2	9'	9'	11'	18'	26'	26'	25'	19'	16'	17'	16'	16'	8'	9'	13'	19'	38'	39'	39'	36'	23'	18'	17'	17'	
3	9	10	9	15	29	29	28	22	17	16	17	17	7	8	17	21	31	31	31	24	19	19	18	19	
4	5	5	7	13	27	27	27	22	17	17	16	17	9	8	19	18	28	34	35	24	19	18	19	17	
5	8	7	11	17	28	30	29	22	19	16	16	17	11	13	12	18	31	31	31	23	19	19	21	19	
6	8	7	8	11	28	30	30	21	17	17	18	17	13	12	11	15	28	33	32	26			19	20	
7	7	7	8	22	25	27	27	21	19	20	18	19	11	10	12	17	26	31	33	27	21	21	21	20	
8	8	6	7	16	27	28	28	22	18	18	18	18	10	11	10	16	25	30	33	28	21	20	20	21	
9	6	7	8	15	25	27	27	21	18	18	18	19	9	9	10	17	30	32	32	29	21	21	19	21	
10	7	8	7	15	25	27	27	22	20	20	20	20	11	13	12	17	30	31	30	25	19	19	19	20	
11	5	5	5	15	24	24	24	23	20	20	20	20	12	12	14	22	31	33	34	29	18	16	19	16	
12	7	7	8	17	26	27	27	26	23	19	19	19	10	14	11	20	32	32	32	26	15	15	15	17	
13	5	5	7	14	30	33	33	23	21	20	19	19	15	13	14	20	28	31	30	25	19	19	19	19	
14	10	10	10	17	30	30	30	24	19	19	19	20	8	11	10	17	29	30	30	24	19	19	19	19	
15	10	10	11	19	28	29	30	23	20	17	18	18	10	10	10	20	30	31	31	23	19	18	17	16	
16	11	11	13	20	28	29	29	22	20	18	21	18	10	10	9	19	38	38	25	29	20	19	19	20	
17	10	11	13	18	25	29	27	24	23	23	23	23	13	14	12	21	33	35	33	29	19	19	19	19	
18	8	6	8	21	30	35	36	25	18	19	20	19	8	7	9	18	29	30	30	25	20	19	18	18	
19	9	9	11	14	25	29	29	26	19		18	19	7	7	8	21	28	29	29	28	21	19	17	19	
20	9	8	11	19	25	29	29	25	20	19	20	20	8	8	9	20	31						19	19	
21	9	9	10	20	28	29	29	25	20	21	20	20	21	21	20	29	35	34	31	27	19	19	21	20	
22	7	8	8	20	29	30	30	25	19	18	20	19	21	20	21	29	34	33	32	24	19	21	19	20	
23	8	10	8	19	29	30	30	24	20	18	22	19	13	13	14	17	27	29	29	25	20	18	19	19	
24	15	17	16	16	28	30	30	26	23	22	23	22	13	12	13	17	29	30	30	24	19	17	18	18	
25	8	8	8	16	28	31	33	27	21	21	22	21	11	11	13	17	29	30	29	23	21	19	21	22	
26	13	16	14	18	28	31	33	26	20	20	20	20	21	20	21	25	31	31	31	22	19	19	20	19	
27	14	14	14	15	26	30	31	24	21	21	22	21	12	14	13	18	28	30	30		18	19	19	18	
28	14	14	15	23							20	20	14	14	15	21	29	29	29	21	17	18	18	18	
29	14	15	14	26	30	30	31	23	19	19	21	20	12	12	13	18	29	30	30	25	21	19	21		
30	16	16	16	21	31	32	31	20	18	18	19	19	14	14	14	21	30	31	32	25	18	18	18	18	
31	13	12	13	23	30	30	32	26	19	18	19	18	12	11	12	19	29	31	31	22	19	18	19	17	
32	12	11	12	22	29	30	30						13	12	13	23	33	31	31	23	19	18	18	20	

Veränderung der Abweichung als die Differenz dieser Beobachtungen. Die nämliche dritte Tafel enthält zugleich ähnliche Bestimmungen für verschiedene Monate um die Zeiten der Sonnenwenden und Nachtgleichen für die folgenden Jahre bis 1805.

Tafel I.

Abweichung der Magnetnadel.

187. September													1787. October												
Z. 1.	Vormittags					Nachmittags					Vormittags					Nachmittags									
	6	7	8	10	13	1	2	4	6	8	10	11	7	8	10	12	1	2	4	6	8	10	11		
	23°	23°	23°	23°	23°	23°	23°	23°	23°	23°	23°	23°	23°	23°	23°	23°	23°	23°	23°	23°	23°	23°	23°	23°	23°
1	13'	14'	14'	23'	33'	31'	35'	26'	20'	21'	20'	20'	17'	17'	23'	31'	32'	32'	29'	31'	21'	21'	21'	21'	28°
2	13	13	14	21	31	32	32	21	20	20	20	20	19	19	19	30	30	30	26	21	20	20	20	20	
3	14	14	14	22	33	33	32	26	21	20	21	19	18	18	24	30	33	33	23	21	21	21	21	21	
4	13	13	15	19	29	31	31	25	19	21	20	20	14	14	21	30	33	33	25	21	21	12	12	12	
5	14	13	14	18	29	30	30	26	21	17	19	19	18	17	25	31	35	34	31	17	13	14	14	14	
6	14	14	15	21	29	31	21	28	21	19	19	21	15	15	19	29	31	31	27	21	19	19	19	20	
7	19	19	20	26	33	35	34	31	21	16	17	17	15	15		30	31	31	27	22	1	21	21		
8	15	16	15	21	28	30	29	24	18	17	17	17	15	15	22	30	30	30	26	20	0	20	20		
9	15	16	16	21	30	30	29		20	18	19	19	14	14	19	29	31	33	27	21	0	21			
10	14	14	14	22	30	30	30	23	19	18	18	18	15	16	21	33	34	34	30	21	21	21			
11	13	14	14	21	29	29	29	22	19	20	19	18	19	17	26	33	34	33		25	21	19			
12	12	11	14	18	30	30	29	23	18	18	19	19	16	17	23	30	31	30	26	23	22	23			
13	13	15	14	18	29	30	30	22	19	19	19	19	18	16	18	29	29	39							
14	14	15	15	21	30	30	30	25	20	19	18	20	21	21	27	31	32	32		23	20	20			
15	15	14	14	20	32	33	33	26	19	19	20	19	16	15	19	28	31	31	28	21	2	20			
16	13	13	15	21	36	35	36	23	18	19	19	18	16	16	18	27	28	28	27	24	24	23			
17	16	14	20	18	28	36	36		23	19	20	20	15	18	16	26	26	26	26	23	24	21			
18	19	20	15	23	35	31	33	26	22	21	21	20	17	17	17	28	26	21	27	21	20	20			
19	16	16	16	21	27	29	29		20	19	20	20	17	16	21	26	28	28	27	24	22	22			
20	16	18	14	23	27	29	28	23	21	19	20	20	17	17	18	29	29	29	26	19	20	19			
21	16	16	14	21	28	30	28	24	21	20	18	19	16	16	18	29	30	30		22	19	21			
22	17	17	13	22	29	28	28	23	21	20	19	20	18	17	18	31	33	32			20	20			
23	16	16	14	21	28	29	29	21	18	18	18	18	17	16	19	30	30	29	23	21	19	20			
24	18	17	15	22	29	31	31	26	20	20	21	19	18	19	20	33	33	31	33	23	21	17			
25	18	19	14	26	31	32	29	25	21	20	20	21	23	18	23	37	38	37	34	23	23	22			
26	17	17	13	21	28	27	27	21	17	16	16	16	21	22	26	35	37	35	28	22	24	25			
27	16	16	14	20	29	30	30	26	22	18	20	19	26	28	27	35	35	33	28	22	21	22			
28	15	14	19	13	26	28	27	22	19	19	19	19	19	18	24	34	35	33			21	20	21		
29	13	13	17	20	27	28	28	26	22	21	21	21	18	18	21	34	35	35	24	21	22	21			
30	14	13	17	16	31	30	31	29	23	21	21	22	18	18	23	35	35	35	28	22	22	21	22		
31													16	15	19	32	34	34	29	29					

Die vierte Tafel zeigt die Unterschiede zwischen der Abweichung der Nadel zu den Zeiten der Nachtgleichen und der Sonnenwenden, aus der dritten Tafel genommen. So war die Abweichung 1786 im Sept. = 23° 16', 4, im Dec. = 23° 18', 3; 1787 im März = 23° 20', 5, im Juny = 23° 18', 3.

Tafel II.

Mittlere monatliche Abweichung der Magnetnadel.												
1786.	Vormittagsstunden					Nachmittagsstunden						
	6	7	8	10	12	1	2	4	6	8	10	11
Septbr.	23°	23°	23°	23°	23°	23°	23°	23°	23°	23°	23°	23°
Octbr.		7'9	10'1	14'5	22'2	23'7	23'9	19'0	15'3	13'5	12'4	
Novbr.		10'4	11'3	15'8	24'4	26'1	26'1	21'1	17'7	15'6	14'5	13'8
Decbr.		12'2	12'5	15'3	21'6	22'5	22'0	20'3	17'6	15'9	15'1	14'7
			14'5	16'1	20'6	22'0	22'2	20'0	17'4	15'8	15'0	15'0
1787.												
Januar		14'0	14'2	17'1	22'3	24'1	24'5	21'8	18'4	15'6	14'5	14'8
Febr.		14'8	15'1	17'1	23'3	24'8	25'1	23'6	18'8	15'3	15'8	12'8
März		12'8	12'8	15'3	26'5	27'7	27'8	18'4	19'0	15'9	15'5	15'7
April	9'7	9'9	9'7	13'9	23'6	27'0	27'4	22'6	17'8	15'7	15'7	15'6
May	7'6	7'5	7'4	13'5	25'2	26'6	26'2	21'0	17'7	17'1	16'8	17'0
Juny	8'4	8'2	8'8	16'0	26'6	28'1	28'1	22'6	18'7	17'9	17'8	17'7
July	9'5	9'6	10'3	17'8	27'6	29'3	29'4	23'2	19'4	18'9	19'3	19'1
August	11'9	12'0	12'8	19'7	30'3	31'7	31'5	25'6	19'3	18'7	18'9	18'8
Septbr.	15'0	15'1	15'3	20'2	29'8	30'7	30'5	24'7	20'1	19'1	19'2	19'2
Octbr.		17'5	17'3	21'1	30'8	31'9	31'6	27'4	21'9	20'8	20'2	19'6
Novbr.		19'4	19'7	20'6	29'7	31'1	30'2	27'7	22'7	21'4	21'3	21'4
Decbr.		20'4	21'0	21'8	28'2	29'0	29'0	26'2	22'9	21'9	21'6	

(im März) rückgängig werde, bis sie zu Ende Junys wieder ihre Wanderung nach Westen anfangt. Doch ersieht man zugleich, daß sie im letzten Vierteljahre (von Sept. bis Dec.) ziemlich oft nach Westen gerückt ist und daß ihr stärkstes Fortschreiten nach Westen zwischen der Sommersonnenwende und der Herbstnachtgleiche (zwischen Juny und Sept.) zu erfolgen scheint.

Merkwürdig ist es, daß die tägliche Veränderung im Juny und July nach Tafel III., die im Jahre 1787 = 19',6 ist, in den folgenden Jahren ziemlich regelmäsig bis in die Jahre 1795 oder 1796 abnimmt, da sie ungefähr 9' ist, also nur halb so groß, wie 1787, und hierauf wieder bis 1805 zunimmt, da sie zwischen 11 und 12' ist. Sollte man hieraus vielleicht eine Periode von 18 bis 19 Jahren vermuthen? Ritter hat gezeigt*), daß die Nordlichter eine solche Periode haben, daß nämlich das Maximum der Nordlichter allemal

*) Gilberts Annalen d. Phys. Jahrg. 1803, B. 25, St. 2, S. 206.

Tafel III.

Mittlere monatliche Abweichung und tägliche Veränderung.

Jahr.	July.		August.		September.		October.		November.		December.	
	Wahre Abw.	Tägl. Veränd.	Wahre Abw.	Tägl. Veränd.	Wahre Abw.	Tägl. Veränd.	Wahre Abw.	Tägl. Veränd.	Wahre Abw.	Tägl. Veränd.	Wahre Abw.	Tägl. Veränd.
1786					23° 16',4	14',8	23° 18',4	15',3	23° 17',3	9',9	23° 18',3	7',6
1787	23° 19',6	16',6	23° 21',9	19',4	23 22,8	15,5	23 24,5	14,3	23 25,0	11,1	23 25,8	8,3
1788	23 29,8	16,4					23 32,1	14,6				
1789											23 41,2	5,4
1790	23 39,0	15,4										
1791	23 36,7	15,2										
1792			23 43,6	12,7	23 43,9	11,1	23 45,6	8,9	23 45,9	3,7	23 45,2	3,1
1793	23 50,5	12,5	23 48,6	12,1	23 52,6	9,8	23 52,3	7,0	23 51,9	3,8	23 53,3	3,8
1794	23 54,4	11,2	23 57,2	9,8	23 58,1	8,4						
1795	23 57,1	8,4			24 0,4	7,6					23 59,4	3,6
1796	23 59,2	10,1			24 0,1	8,3					24 1,3	4,9
1797	24 0,3	10,1			24 1,4	7,8					24 1,3	5,0
1798	24 0,0	10,0			24 1,4	9,4					24 1,4	2,7
1799	24 1,8	10,4			24 2,9	7,8					24 2,3	3,4
1800	24 3,0	9,2			24 3,6	7,7					24 3,3	3,1
1801	24 4,1	10,3			24 3,8	10,1					24 5,4	2,5
1802	24 6,0	12,3			24 8,7	8,9					24 6,8	3,8
1803	24 7,9	13,1			24 10,5	9,5					24 10,6	3,0
1804	24 8,4	10,4			24 8,9	9,3					24 9,0	3,7
1805	24 7,8	10,4			24 10,0	9,3					24 9,4	4,6

5 Zeichen
im März 1741
Nov. 1759
Juni 1778
Jan. 1797

9 Zeichen
im July 1750
Febr. 1769
Oct. 1787
May 1806

Vergleichen wir hiermit nun die in den vorigen §§. angeführten Beobachtungen über die Größe der täglichen Schwingungen der Magnetnadel, so finden wir, daß *Hiorter*, dessen Beobachtungen in Upsala zwischen 1740 und 1746 fallen, diese täglichen Schwingungen im Mittel zu 5' bisweilen etwas mehr, bisweilen etwas weniger angiebt. Da er den Einfluß nicht beachtet

M m m

Tafel IV.

Unterschied zwischen der Abweichung an den
beiden Nachtgleichen und Sonnenwenden.

Jahr.	Dec. - März	März - Juny	Juny - Sept.	Sept. - Dec.
1786				+ 1', 9
1787	+ 2', 0	— 2', 0	+ 4', 5	+ 5, 0
1793	+ 3, 6	— 0, 3	+ 4, 1	— 0, 3
1795		— 0, 4	+ 3, 3	— 1, 0
1796	+ 1, 7	— 2, 4	+ 1, 4	+ 1, 2
1797	+ 0, 2	— 1, 5	+ 1, 2	— 0, 1
1798	— 0, 7	— 1, 2	+ 2, 0	0, 0
1799	— 0, 3	— 0, 5	+ 2, 3	— 0, 6
1800	+ 1, 3	— 1, 8	+ 1, 8	— 0, 3
1801	+ 1, 9	— 2, 4	+ 1, 0	+ 1, 6
1802	+ 1, 5	— 1, 6	+ 3, 4	— 1, 9
1803	+ 1, 2	— 1, 0	+ 5, 5	+ 0, 2
1804	— 1, 3	— 3, 4	+ 2, 9	+ 0, 1
1805	— 0, 3	— 0, 9	+ 2, 2	— 0, 6
Mittel*)	+ 0', 90	— 1', 48	+ 2', 58	+ 0', 23

hat, welchen die Jahrszeiten auf die Größe der Schwingungen haben, so läßt sich annehmen, daß obige Angabe ungefähr eine Mittelzahl der Sommer- und Winter-Oscillationen sey, daß also die Sommer-Oscillationen etwas größer gewesen sind als 5'. *Wargentin* giebt für den Febr. 1749 die Größe der Schwingungen in Stockholm zu 10', 12' ja 15' an; im Juny mögen sie wohl daselbst noch größer gewesen seyn. Nach *Canton* waren sie in London im Juny 1757 etwas über 13'; nach *Wilcke* in Stockholm in den Jahren 1772, 1773 und 1774 um die Sommer-Sonnenwende zwischen 8' und 9'; nach *Cassini* zu Paris in der nämlichen Jahreszeit 1784 und 1785 etwa 11 $\frac{1}{2}$ ' und 1786, 1787 und 1788 etwa = 15'. Dieses, zusammengehalten mit *Gilpins* Beob-

*) Gilpin hat in dieser Tafel die Jahre 1786 und 1787 ausgelassen und dadurch folgende Mittelzahlen erhalten: Dec. - März + 0', 80, März - Juny — 1', 43, Juny - Sept. + 2', 48, Sept. - Dec. — 0', 14.

achtungen in obiger Tafel III. macht es nicht unwahrscheinlich, daß die täglichen Oscillationen in denjenigen Jahren größer gewesen sind, da der Mondbahn aufsteigender Knoten in 9 Zeichen, als in denjenigen, da er in 3 Zeichen war, obzwar die Verschiedenheit der Beobachtungsorte und Instrumente diese Vergleichung weniger zuverlässig machen.

§. 12. Die neuesten Beobachtungen über diesen Gegenstand sind vom Herrn v. *Humboldt* in Rom und Berlin mit dem Pronyschen Instrumente (beschrieben in *Gilberts Annal. d. Phys. B. XXVI. S. 275*) angestellt worden. Hievon hat man meines Wissens keine andere Nachricht, als aus zween Privatbriefen, deren einer an Oberbergrath *Karsten* in Berlin, dat. Rom d. 22 Juny 1805, der andere an Prof. *Erman*, dat. Berlin d. 21 Dec. 1806, gerichtet ist (beide siehe in *Gilberts Ann. d. Phys. B. XXIX. S. 425-429*). In jenem heist es: "Ich bin hier mit neuen Versuchen über die stündliche Variation vermittelst einer *lunette aimantée*, die an einem Faden hängt, beschäftigt. Dieses Pronysche Instrument giebt eine Genauigkeit von 20 Secunden, und ich habe damit, statt der von *Cassini* beobachteten beiden täglichen Bewegungen, vier regelmäßige magnetische Ebben und Fluten entdeckt, fast wie die stündlichen Oscillationen des Barometers, über welche sie in meinem Naturgemälde der Tropen viel lesen werden".

Im zweyten Briefe sagt *Humboldt*: "Gegen 10 Uhr (d. 20 Dec. 1806) bemerkten wir (Hr. *Oltmanns* und ich) in N. N. O. einen Lichtbogen, der $2^{\circ} 38'$ Breite und eine gelblich rothe Farbe hatte. Der ganze Himmel war wolkenlos und azurblau. Der Stand des Mondes hatte keinen Einfluß auf das Phänomen; es war weder ein Hof noch ein Regenbogen. Man erkannte durch das gelbe Licht des Bogens hindurch Sterne sechster Größe. Das Maximum der Convexität (der höchste Punkt des Bogens) war etwas westlicher als die Vertikalebene durch die magnetische Abweichung; die Höhe dieses Punktes 9° ; die Oeffnung des Bogens $74^{\circ} 40'$. Dieses seltene Nordlicht dauerte bis 14 Uhr und veränderte während dieser Zeit ein wenig seine Stelle".

"Höchst merkwürdig war der Einfluß dieses Lichtmeteors auf die Magnetnadel. Die Veränderungen in der Abweichung, welche Nachts gewöhnlich nur $2' 27''$ bis $3' 0''$ betragen, stiegen während des Nordlichts auf $26' 29''$;

1. Die Beobachtung

Die Beobachtung der Erscheinungen, welche sich bei der Verdauung des Nahrungsmittels im Magen und im Dünndarm abspielen, ist eine der wichtigsten Aufgaben der Physiologie. Sie ist die Grundlage für die Gewinnung von Kenntnissen über die Verdauungsorgane und die Verdauungsprozesse. Die Beobachtung kann auf verschiedene Weise geschehen. Man kann die Verdauungsorgane direkt untersuchen, indem man ihnen Nahrungsmittel zuführt und die Verdauungsprodukte abnimmt. Man kann auch die Verdauungsorgane indirekt untersuchen, indem man die Verdauungsprodukte im Stuhl oder im Urin nachweist. Die Beobachtung der Verdauungsorgane ist eine sehr schwierige Aufgabe, da sie eine sehr genaue Beobachtung erfordert. Man muss die Verdauungsorgane sehr genau untersuchen, um die Verdauungsprozesse zu verstehen. Die Beobachtung der Verdauungsorgane ist eine sehr wichtige Aufgabe, da sie die Grundlage für die Gewinnung von Kenntnissen über die Verdauungsorgane und die Verdauungsprozesse ist.

Die Beobachtung der Verdauungsorgane ist eine sehr schwierige Aufgabe, da sie eine sehr genaue Beobachtung erfordert. Man muss die Verdauungsorgane sehr genau untersuchen, um die Verdauungsprozesse zu verstehen. Die Beobachtung der Verdauungsorgane ist eine sehr wichtige Aufgabe, da sie die Grundlage für die Gewinnung von Kenntnissen über die Verdauungsorgane und die Verdauungsprozesse ist.

Die Beobachtung der Verdauungsorgane ist eine sehr schwierige Aufgabe, da sie eine sehr genaue Beobachtung erfordert. Man muss die Verdauungsorgane sehr genau untersuchen, um die Verdauungsprozesse zu verstehen. Die Beobachtung der Verdauungsorgane ist eine sehr wichtige Aufgabe, da sie die Grundlage für die Gewinnung von Kenntnissen über die Verdauungsorgane und die Verdauungsprozesse ist.

*) Die Beobachtung der Verdauungsorgane ist eine sehr schwierige Aufgabe, da sie eine sehr genaue Beobachtung erfordert. Man muss die Verdauungsorgane sehr genau untersuchen, um die Verdauungsprozesse zu verstehen. Die Beobachtung der Verdauungsorgane ist eine sehr wichtige Aufgabe, da sie die Grundlage für die Gewinnung von Kenntnissen über die Verdauungsorgane und die Verdauungsprozesse ist.

8 Uhr eintrifft. Diese Verschiedenheit in den Stundenangaben kann unmöglich von dem Zeitunterschiede der beiden Beobachtungsorte herrühren; denn dieser beträgt zwischen Paris und Holmenshafen nicht mehr als etwa 1 Stunde 40 Minuten*).

II. Könnte gleich der große Unterschied zwischen den Epochen und der Größe der täglichen Oscillationen der Magnetnadel in Island und im übrigen Europa, womit uns die obigen Beobachtungen *Löwenörns* bekannt gemacht haben, wie auch die Kürze der Zeit, in welcher die Beobachtungen angestellt wurden, einigen Zweifel an der Richtigkeit der Resultate erregen, so werden sie doch auf das merkwürdigste durch eine beynahe gleichzeitige Reihe von Beobachtungen bestätigt, welche der Missionär Hr. *Andreas Ginge* auf der Colonie *Godthaab* in Grönland (Breite $64^{\circ} 10'$, Länge $325^{\circ} 52'$ ö. Ferro) in den Jahren 1786 und 1787**) anstellte. Das Instrument, dessen er sich hiebey bediente, wurde ihm nebst mehreren meteorologischen Instrumenten durch *Bugges* Verwendung von Mannheim aus geschickt. Nach einer längs den Klippen abgelegten und mittelst correspondirender Sonnenhöhen oft geprüften Mittagslinie wurden zuerst die Absehen des Compasses gestellt, wornach die Nadel die Abweichung $= 51^{\circ} 1'$ W. angab. Hierauf setzte man den Compass augenblicklich auf einen an der östlichen Seite der Kirche von *Godthaab* aufgemauerten Steinpfeiler, auf welchem neulich Thon mit Kalk vermischt gelegt worden war, und das Instrument erhielt eine solche Stellung, daß die Nadel wieder auf $51^{\circ} 1'$ wies. Da Thon und Kalk trocken waren, stand somit der Compass unerschütterlich. *Ginge* trug hierauf in einem Journal die zu bestimmten Zeiten des Tages angestellten Beobachtungen über die Abweichung der Nadel ein, wie auch, welchen Einfluß es auf die Nadel hatte, wenn sich Nordlichter am Himmel zeigten. Angeführten Ortes hat *Ginge* einen Auszug dieses Tagebuches vom 21. Oct. 1786 bis 7 April 1787 mitgetheilt,

*) Träfe nämlich das Maximum der täglichen Abweichung über die ganze Erde in einem und demselben absoluten Augenblicke ein, so würde es sich, da Holmenshafen westlich von Paris liegt, dort Uhr 0 20 Min. Nachmittags einstellen, wenn es in Paris Uhr 2 Nachmittags einträte.

H.

**) Dansk Vidensk. Selsk. Sk. Nye Saml., 3 Deel, S. 531.

dieses ist in unsern Beobachtungen ohne Beispiel. Dabey fand kein magnetisches Ungewitter Statt; die Schwankungen waren nicht besonders stark; und, was sehr auffallend ist, das Nordlicht, welches in N. N. W. stand, stiefs den Nordpol der Nadel ab; denn statt nach Westen fortzuschreiten, ging die Nadel vielmehr nach Ost zurück. Die Abweichung war am kleinsten um $9^u\ 12'$, ungefähr um die Zeit, als der Bogen am hellsten war; die Unregelmäßigkeiten in ihr fingen aber schon um 6^u an, und hörten auf um 12^u . Die übrigen 8 Stunden der Nacht hindurch verhielt sich die Abweichung wie gewöhnlich, das heisst, sie hatte die verlorne $26'\ 29''$ wieder gewonnen."

"Die Intensität der magnetischen Kraft war während des Nordlichts kleiner als nachher. Es wurden 21 Schwingungen vollendet:

während des Nordlichts in $\left\{ \begin{array}{l} 1' \ 38'',0 \\ 1 \ 37 \ ,5 \\ 1 \ 37 \ ,7 \end{array} \right\} 1' \ 37'',75$

diesen Morgen unter gleichen Umständen $\left\{ \begin{array}{l} 1' \ 37'',3 \\ 1 \ 37 \ ,0 \\ 1 \ 37 \ ,2 \end{array} \right\} 1' \ 37'',17."$

§. 15. Die bisher angeführten Beobachtungen über die täglichen und jährlichen Bewegungen der Magnetnadel in Stockholm, London und Paris haben sowohl in Ansehung der Grösse der Oscillationen als der Zeit des täglichen Maximum und Minimum sehr nahe übereingestimmt. Der einzige Unterschied scheint zu seyn, daß die unregelmässigen von Nordlichtern herührenden Bewegungen in Stockholm beträchtlich grösser waren als an den beiden andern südlicher gelegenen Oertern. Alle diese Beobachtungen können auch hinsichtlich der Grösse der ganzen Erdoberfläche fast als auf einem und demselben Punkte angestellt betrachtet werden. Um die Ursachen dieser Bewegungen auszumitteln, würde es also sehr wichtig seyn, die Grösse und Beschaffenheit dieser Schwingungen an mehreren weit von einander abgelegenen Oertern der Erde in der Nähe der magnetischen Pole sowohl in der nördlichen als südlichen Halbkugel, sowohl wo die Abweichung östlich als wo sie westlich ist, zu untersuchen. Aber von solchen Beobachtungen außerhalb Europas hat man leider nur wenige, und diese sind noch obendrein in keiner so langen Reihe von Jahren fortgesetzt, noch unter so günstigen Umständen angestellt,

dafs sie sich als völlig genügend betrachten liefsen. Folgende sind die wichtigsten.

I. *Löwenörn* stellte im Jahre 1786 vom 27 May an bis 23 Juny mit einem von Prof. *Lous* angegebenen Instrumente im *Holmenshafen* auf Island ($64^{\circ} 9'$ N. B. $34^{\circ} 27'$ Länge W. Kopenhagen) eine Reihe Beobachtungen über der Magnetnadel tägliche Wanderungen*) an. Das Instrument wurde in einem Häuschen auf einer Insel im Hafen, Namens *Oerfars Insel*, aufgestellt, und Beobachtungen damit alltäglich vier Mal angestellt, so oft Witterung und anderweitige Geschäfte *Löwenörn* auf der Insel zu landen erlaubten. Sie sind in folgender Tafel enthalten.

1786.	Abweich. um 8 Uhr Vormitt.	Untersch. von 8 U. bis Mittags.	Abweich. des Mittags.	Untersch. v. Mittag bis 4 U. Nachm.	Abweich. um 4 Uhr Nachm.	Untersch. von 4 Uhr bis 8 Uhr.	Abweich. um 8 Uhr Nachm.	Gröfste tägliche Veränd.
May 27			$42^{\circ} 25'$	$+ 0^{\circ} 50'$	$43^{\circ} 15'$	$+ 0^{\circ} 15'$	$43^{\circ} 30'$	$1^{\circ} 5'$
28	$42^{\circ} 45'$	$+ 0^{\circ} 35'$	$43^{\circ} 20'$	$- 0^{\circ} 20'$	$43^{\circ} 0'$	$+ 12'$	$43^{\circ} 12'$	$0^{\circ} 35'$
29	$42^{\circ} 53'$	$- 23'$	$42^{\circ} 30'$	$+ 41'$	$43^{\circ} 11'$	$+ 9'$	$43^{\circ} 20'$	$50'$
30	$42^{\circ} 25'$	$- 15'$	$42^{\circ} 10'$	$+ 1^{\circ} 10'$	$43^{\circ} 20'$	$+ 23'$	$43^{\circ} 43'$	$1^{\circ} 33'$
31	$43^{\circ} 0'$	$- 10'$	$42^{\circ} 50'$	$+ 0^{\circ} 3'$	$42^{\circ} 53'$	$+ 48'$	$43^{\circ} 41'$	$0^{\circ} 51'$
Juny 1	$42^{\circ} 40'$						$43^{\circ} 41'$	$1^{\circ} 1'$
3	$42^{\circ} 55'$	$+ 5'$	$43^{\circ} 0'$	$- 10'$	$42^{\circ} 50'$	$+ 22'$	$43^{\circ} 12'$	$0^{\circ} 22'$
4	$42^{\circ} 40'$	$- 28'$	$42^{\circ} 12'$	$+ 26'$	$42^{\circ} 38'$	$+ 20'$	$42^{\circ} 58'$	$46'$
5	$42^{\circ} 50'$	$+ 1'$	$42^{\circ} 51'$	$+ 4'$	$42^{\circ} 55'$	$+ 15'$	$43^{\circ} 10'$	$20'$
6			$42^{\circ} 14'$	$+ 27'$	$42^{\circ} 41'$	$+ 12'$	$42^{\circ} 53'$	$39'$
7			$42^{\circ} 2'$	$+ 48'$	$42^{\circ} 50'$	$+ 10'$	$43^{\circ} 0'$	$58'$
8	$43^{\circ} 5'$	$+ 10'$	$43^{\circ} 15'$	$- 5'$	$43^{\circ} 10'$	$- 5'$	$43^{\circ} 5'$	$10'$
9	$43^{\circ} 0'$	$- 5'$	$42^{\circ} 55'$	$- 25'$	$42^{\circ} 30'$	$+ 50'$	$43^{\circ} 20'$	$50'$
10	$43^{\circ} 0'$	$+ 10'$	$43^{\circ} 10'$	$+ 2'$	$43^{\circ} 12'$	$+ 3'$	$43^{\circ} 15'$	$15'$
11	$43^{\circ} 10'$	$- 30'$	$42^{\circ} 40'$	$+ 12'$	$42^{\circ} 52'$	$+ 30'$	$43^{\circ} 22'$	$42'$
12			$43^{\circ} 30'$	$- 40'$	$42^{\circ} 50'$	$+ 22'$	$43^{\circ} 12'$	$40'$
13			$42^{\circ} 40'$	$+ 45'$	$43^{\circ} 25'$	$- 10'$	$43^{\circ} 16'$	$45'$
14	$43^{\circ} 20'$	$- 19'$	$42^{\circ} 51'$					$29'$
15	$43^{\circ} 6'$	$- 2'$	$43^{\circ} 4'$				$43^{\circ} 8'$	$4'$
16	$43^{\circ} 5'$	$+ 13'$	$43^{\circ} 18'$	$+ 2'$	$43^{\circ} 20'$	$+ 5'$	$43^{\circ} 25'$	$20'$
17	$43^{\circ} 0'$	$+ 13'$	$43^{\circ} 13'$	$- 28'$	$42^{\circ} 45'$	$+ 30'$	$43^{\circ} 15'$	$30'$
18	$42^{\circ} 50'$	$- 10'$	$42^{\circ} 40'$					$10'$
19	$42^{\circ} 17'$	$- 17'$	$42^{\circ} 0'$	$+ 1^{\circ} 15'$	$43^{\circ} 25'$	$+ 5'$	$43^{\circ} 30'$	$1^{\circ} 30'$
20	$42^{\circ} 52'$	$+ 8'$	$43^{\circ} 0'$	$+ 0^{\circ} 25'$	$43^{\circ} 25'$			$0^{\circ} 33'$
21	$43^{\circ} 5'$	$- 25'$	$42^{\circ} 40'$				$43^{\circ} 0'$	$25'$
22			$43^{\circ} 0'$					
23	$42^{\circ} 40'$	$+ 5'$	$42^{\circ} 35'$					$5'$

*) Nye Samling af det Kongl. Danske Vidensk. Selsk. Skrifter, 5 Deel, S. 314 und 8v. Vet. Acad. nya Handl., Tom. IX. för År 1788, S. 65.

Zur Nachtzeit hat *Löwenörn* nur zween Beobachtungen gehabt, nämlich den 3 May um Mitternacht, da die Nadel $45^{\circ} 30'$ zeigte, und den 12 Juny um 4 Uhr des Morgens, da sie auf $42^{\circ} 30'$ wies^{*)}). Aus dieser Tafel ist sonach zu ersehen, daß die tägliche Wanderung der Magnetnadel überaus unregelmäßig war. Die westliche Abweichung scheint Abends um 8 Uhr am größten gewesen zu seyn, doch mag dieses Maximum leichtlich etwas vor oder nach obgedachter Stundenzzeit eingetroffen seyn, wie sich denn dies nicht entscheiden läßt, da die Stellung der Nadel weder von 4 bis 8 noch nach 8 Uhr beobachtet worden ist. Zwischen 8 Uhr des Morgens und des Mittags hat die Abweichung wechselnd zu- und abgenommen, so daß das Minimum eben so oft um die erst als um die letzt angegebene dieser Stundenzzeiten eingetroffen ist. Von Mittags an bis 4 Uhr Nachmittags hat sie öfter zu- als abgenommen. Noch fügt *Löwenörn* folgende zween Bemerkungen hinzu: 1) Es scheint ziemlich gewiß, daß *der Nadel tägliche Wanderung in so grossen Breiten größer ist als weiter vom Pole*. In der kurzen Zeit, da er beobachtete, geschah es, daß unter den 21 einiger Maßen vollständigen d. h. 3 bis 4 Mal des Tages vorgenommenen Observationen an vier Tagen die Abweichung mehr als 1 ja bis $1\frac{1}{2}$ Grad (wohl möglich, daß diese Variation bey Nacht gar noch größer gewesen ist), oftmals 40 bis 50 Min. und darüber variirte. Nordlichter können nicht allein diese großen Bewegungen verursacht haben, weil in dieser Jahreszeit, nämlich in der Mitte des Sommers, solche Erscheinungen sich nur selten zu zeigen pflegen, auch *Löwenörn* nur an einigen Abenden Spuren derselben wahrnahm. 2) *Die Gesetze, welche Hr. Cassini für die tägliche Wanderung der Magnetnadel ausgemittelt zu haben glaubt, bedürfen ohne Zweifel der Bestätigung durch Beobachtungen an mehreren Stellen der Erdkugel, bevor sie als allgemein angenommen werden können*. Cassini hat nämlich gefunden, daß die Nadel von 8 Uhr des Morgens an bis Mittags westwärts, hierauf des Nachmittags gen Osten geht, und in der Nacht stille steht. Dieses streitet mit den Beobachtungen *Löwenörns*, denen zu Folge das Maximum Abends um

^{*)} Die erstere dieser beiden Beobachtungen wird in Sv. Vet. Acad. Handl. am angeführten Orte unterm 30 May, die letztere unterm 8 Juny angegeben.

8 Uhr eintrifft. Diese Verschiedenheit in den Stundenangaben kann unmöglich von dem Zeitunterschiede der beiden Beobachtungsorte herrühren; denn dieser beträgt zwischen Paris und Holmenshafen nicht mehr als etwa 1 Stunde 40 Minuten*).

II. Könnte gleich der große Unterschied zwischen den Epochen und der Größe der täglichen Oscillationen der Magnetnadel in Island und im übrigen Europa, womit uns die obigen Beobachtungen *Löwenörns* bekannt gemacht haben, wie auch die Kürze der Zeit, in welcher die Beobachtungen angestellt wurden, einigen Zweifel an der Richtigkeit der Resultate erregen, so werden sie doch auf das merkwürdigste durch eine beynahe gleichzeitige Reihe von Beobachtungen bestätigt, welche der Missionär Hr. *Andreas Ginge* auf der Colonie *Godthaab* in Grönland (Breite $64^{\circ} 10'$, Länge $325^{\circ} 52'$ ö. Ferro) in den Jahren 1786 und 1787**) anstellte. Das Instrument, dessen er sich hiebey bediente, wurde ihm nebst mehreren meteorologischen Instrumenten durch *Bugges* Verwendung von Mannheim aus geschickt. Nach einer längs den Klippen abgelegten und mittelst correspondirender Sonnenhöhen oft geprüften Mittagslinie wurden zuerst die Absehen des Compasses gestellt, wornach die Nadel die Abweichung $= 51^{\circ} 1' W.$ angab. Hierauf setzte man den Compass augenblicklich auf einen an der östlichen Seite der Kirche von Godthaab aufgemauerten Steinpfeiler, auf welchem neulich Thon mit Kalk vermischt gelegt worden war, und das Instrument erhielt eine solche Stellung, daß die Nadel wieder auf $51^{\circ} 1'$ wies. Da Thon und Kalk trocken waren, stand somit der Compass unerschütterlich. *Ginge* trug hierauf in einem Journal die zu bestimmten Zeiten des Tages angestellten Beobachtungen über die Abweichung der Nadel ein, wie auch, welchen Einfluß es auf die Nadel hatte, wenn sich Nordlichter am Himmel zeigten. Angeführten Ortes hat *Ginge* einen Auszug dieses Tagebuches vom 21. Oct. 1786 bis 7 April 1787 mitgetheilt,

*) Trüfe nämlich das Maximum der täglichen Abweichung über die ganze Erde in einem und demselben absoluten Augenblicke ein, so würde es sich, da Holmenshafen westlich von Paris liegt, dort Uhr 0 20 Min. Nachmittags einstellen, wenn es in Paris Uhr 2 Nachmittags einträte.

H.

**) Dansk Vidensk. Selsk. Sk. Nye Saml., 3 Deel, S. 531.

Absteigen die meisten Veränderungen erlitt, hat sich die Declination am wenigsten geändert. Wenn im Gegentheil die Declination am meisten schwankte, hat oft das Barometer gestanden. Allgemein ist dies nicht der Fall, aber selten eben auch nicht."

III. In Nordamerika haben wir Beobachtungen über die täglichen Oscillationen der Nadel von *Samuel Williams* in den Jahren 1781 und 1785 und von *Stephen Sewall* im Jahre 1782*). *Williams* sagt, die Abweichung wachse des Tages von 7 oder 8 Uhr des Morgens an bis ungefähr 2 oder 3 Uhr Nachmittags und nehme hierauf bis 7 oder 8 Uhr am folgenden Morgen ab. Die Neigung ist einer grösseren täglichen Veränderung unterworfen, diese scheint aber weniger regelmässig; die geringste Neigung war $68^{\circ} 21'$, die grösste $70^{\circ} 56'$. *Sewalls* Beobachtungen sind stundenweise Morgens von 6 Uhr an bis Abends um 10 Uhr vom 15 Apr. bis 20 Aug. 1782 angestellt. Es verdient bemerkt zu werden, dass, obgleich *Cambridge* noch westlicher liegt als *Holmenshafen* und *Godthaab*, doch die Epochen der täglichen Oscillationen der Nadel fast wie in Europa sind.

IV. *John Macdonald* stellte in den Jahren 1794 und 1795 im Fort *Marlborough* auf Sumatra, und im Jahre 1796 auf der Insel St. Helena**) Beobachtungen über der Magnetnadel Abweichung an. 1) Im Fort *Marlborough* fand er folgende östliche Abweichungen der Nadel:

	7 U. Morgens	Mittags	5 U. Abends	11 U. Abends
1794, 27 bis 29 Juny	$1^{\circ} 8'$	$1^{\circ} 10'$	$1^{\circ} 12'$	
1795, 11 bis 27 März	1 6	1 9	1 10	$1^{\circ} 8'$

*) A Mem. on the Latitude of the University at Cambridge, with observations of the Variation and Dip of the magnetical Needle by Samuel Williams, Prof. Math. & Philos. Nat. und Magnetical observations made at Cambridge by Stephen Sewall. Siehe Mem. of the American Academy, Vol. I. p. 62 & p. 322 und Vol. III. p. 115. Da ich weder dieses Werk selbst besitze noch einen vollständigen Auszug dieser wichtigen Beobachtungen habe, so kann ich keine genauere Nachricht von denselben ertheilen.

**) Siehe Philos. Transactions for 1796, p. 340-349; 1798, p. 397-402; und Annalen der Physik, B. 3, S. 118-125. Da mir jenes Werk nicht zu Händen ist, so kann ich die vollständigen Tafeln dieser interessanten Beobachtungen nicht mittheilen.

Aus allen Beobachtungen erhellt, daß die östliche Abweichung der Magnetnadel täglich ungefähr von 7 Uhr Morgens an bis 5 Uhr Abends zunimmt, hingegen alsdann bis 7 Uhr Morgens wieder abnimmt. 2) Auf St. Helena erhielt er vom 28 Oct. bis 13 März 1796 nur 85 Beobachtungen, von welchen folgende die wichtigsten sind:

Westliche Abweichung der Magnetnadel auf der Insel St. Helena.					
1796.	6 U. Morg.	8 U. Morg.	12 U.	2 U. Ab.	6 U. Ab.
Nov. 1	—	15° 49'	15° 48'	15° 46'	15° 47'
2	—	48	47	45	48
4	—	50	50	46	48
5	—	51	48	47	47
7	—	51	48	48	49
8	15° 49'	51	45	48	
9	48	50	46	47	
10	50	51	48	46	48
11	48	52	49	47	49
12	49	52	48	46	

Hieraus zieht *Macdonald* folgende Schlüsse: Addiret man die Beobachtungen Vor- und Nachmittags zusammen, und nimmt aus ihnen das Mittel, so findet sich die Abweichung der Magnetnadel Anfangs Novembers 1796 auf St. Helena 15° 48' 34'',5 westlich. Zieheth man das Mittel aus den Beobachtungen Nachmittags vom Mittel aus den Beobachtungen Vormittags ab, so findet man die tägliche Variation der Abweichung 3' 55''. Von 6 Uhr Abends an bis 6 Uhr Morgens steht die Nadel still; dann fängt sie an sich westlich zu bewegen, so daß ihre westliche Abweichung zunimmt. Diese ist etwa um 8 Uhr Morgens am größten und nimmt dann wieder ab. Von 2 Uhr bis 5 Uhr Abends scheint sie wieder etwas zuzunehmen. Die tägliche Variation auf Sumatra erklärt *Macdonald* auf dieselbe Art wie *Canton*, indem er 4 Magnetpole annimmt, die zu verschiedenen Tageszeiten verschiedentlich von der Sonne erwärmt werden, und glaubt, die Variation auf St. Helena lasse sich aus denselben Ursachen erklären, wenn man auf die verschiedene Lage des

Ortes gegen die Magnetpole Rücksicht nimmt. Schliesslich fügt *Macdonald* folgende Bemerkung hinzu: "Auf Sumatra bemerkte ich öfters, daß die Magnetnadel aus ihrer horizontalen Lage gewichen war, und manchmal 6 bis 8 Minuten herab-, ein ander Mal hinaufwärts geneigt stand. Ich achtete dessen wenig, da ich es einer kleinen Aenderung im Hütchen oder im Stifte, worauf die Nadel spielte, zuschrieb. Dasselbe bemerkte ich wieder auf St. Helena, ohne eine Erklärung für diese Verschiedenheit zu finden, es sey denn, daß die Inclination der Nadel solchen Veränderungen unterworfen sey".

V. Daß der Nadel tägliche Oscillationen in den nördlicheren Gegenden Europas grösser sind als in den südlicheren, erhellt auch aus folgendem. *A. Hellant* erzählt*), daß er 1748 in Torneå, nachdem er eine genaue Mittagslinie gezogen, mit einer Nadel von $\frac{1}{2}$ Fuß Länge die Abweichung zwischen 7 und $7\frac{1}{2}$ Grad fand, wie denn auch den 8, 9 und 10 Sept. desselben Jahres die Nadel zwischen 7 und $7\frac{1}{2}$ Grad wanderte. So fand er auch in *Vadsöe* im Varangerfiord d. 8 Aug. 1748, daß die Nadel binnen 24 Stunden zwischen $0\frac{1}{2}$ und 1 Grad westlich wanderte. In *Vardöehuus* ward den 1, 2 und 3 August 1748 die Declination höchstens $\frac{1}{2}$ Grad westlich gefunden; bisweilen war daselbst ganz und gar keine Abweichung, und die Nadel wies gerade auf 0° . Nach einem längeren Aufenthalte in Torneå erbot sich ihm Gelegenheit zur Einsammlung folgender Erfahrungen über die Bewegungen der Nadel**). "Der Magnetnadel gewöhnliche tägliche kleine Bewegungen von einigen wenigen Minuten (sagt *Hellant*) sind für die Seefahrer unbedeutend und unmerkbar, aber ihre stärkeren Sprünge des Abends, bisweilen 1 Grad oder darüber nach Westen, des Morgens nach Osten auf die gewöhnliche Stelle, können bisweilen den Seemann zu einer kleinen Verrechnung in seinem Laufe verleiten; doch fallen dieselben glücklicher Weise nur selten ein und dies zum öftern allein bey Neu- und Vollmond nach mehrtägigem Nordenwetter, kurz vor der Wetterveränderung, oder bey langsamem Südwyetter oder heftigem Sturme, da man auch allemal hier im Norden flammende Nordlichter

*) Sv. Vet. Ac. Handl. 1756, S. 72-74.

**) Sv. Vet. Ac. Handl. 1777, S. 303-304.

über den ganzen Himmel als sicherstes Wetterzeichen hat. Durch meine Magnetbeobachtungen habe ich gefunden: 1) daß im Sommer der Compafs eine beynahe um $\frac{1}{2}$ Grad grössere Abweichung hat, als derselbe Compafs des Winters in einem kalten Zimmer; 2) daß die regsamsten Magnetnadeln in kalten Zimmern lüssiger sind, die täglichen Aenderungen und Sprünge sowie die rechte Stellung zu zeigen, als in Zimmern von 12 bis 15° Wärme; 3) daß je kälter das Zimmer ist, worin die Magnetnadel aufgestellt ist, desto tiefer sich das Nordende unter den Limbus hinabsenkt, und sich wieder erhebt, so bald die Wärme zunimmt. Daher mußte ich, je nachdem die Stubenwärme sich vermehrte oder verminderte, um die Spitze immer auf derselben Höhe am Limbus zu erhalten, durch Hin- und Herrücken eines Papierstückchens von $\frac{1}{2}$ Gränchen Gewicht die Nadel in die horizontale Stellung bringen“*).

VI. An der Nordwestküste von Amerika scheint die östliche Abweichung des Vormittags grösser zu seyn als des Nachmittags. Cook fand nämlich auf seiner dritten Reise im Nutkasunde (Breite 49° 36' n.) am Lande den 4. Aug. 1778 die Abweichung des Vormittags = 15° 57' 48'' $\frac{1}{2}$, des Nachmittags 15° 41' 2'', am Bord d. 5 Apr. des Vormittags 19° 50' 49'', des Nachmittags

*) In *Observatio Transitus Veneris ante Discum Solis Die 3 Junii Anno 1769 a R. P. Max. Hell. Hafniæ 1770* verspricht der Verfasser p. 2-4 in einem eigenen Werke unter dem Titel *Expositio litteraria* die Resultate seiner astronomischen und physischen Beobachtungen sowohl auf Vardöehus als auf der Reise von und nach dieser Stadt mitzutheilen. Unter den vielen interessanten Beobachtungen und Untersuchungen, welche dieses Werk enthalten sollte, verdienen besonders folgende Capitel hier genannt zu werden: I. *Theoria nova Lucis Borealis*. II. *Theoria et causa vera lucis Maris Septentrionalis*, quam nomine patrio Norvegico, *Morild*, dicunt. VI. *Phænomena singularia variationis diurnæ, imo horariæ Declinationis Acus Magneticæ, sub Latitudine 70 graduum, diurnis nocturnisque observationibus collecta, ad perficiendam Magnetis Theoriam, et Artem Nauticam utilia*. VIII. *Observationes Declinationum Acus Magneticæ sub variis Meridianis et Latitudinibus per iter Arcticum a me institutæ, Theoriæ Declinationum Acus aut confirmandæ aut rectius constituendæ non inutiles*. Ob diese *Expositio litteraria* je ans Licht gekommen, ist mir unbekannt. Ist dies nicht der Fall, so würde es eine verdienstliche Arbeit seyn, aus P. Hells nachgelassenen Papieren diese Beobachtungen, welche wahrscheinlich die Theorie des Magneten von neuem aufhellen würden, auszuziehen und bekannt zu machen.

$19^{\circ} 38' 46''$; also nach den Beobachtungen am Bord einen Unterschied von $16' 46''\frac{1}{2}$, nach den Beobachtungen am Lande einen Unterschied von $12' 3''$. Beide stimmen darin überein, daß die östliche Abweichung des Vormittags etwa $\frac{1}{4}$ Grad größer war als des Nachmittags. Wohl mögen örtliche Ursachen einen bedeutenden Unterschied zwischen den Beobachtungen am Lande und am Bord bewirkt haben, aber wahrscheinlich haben diese Vormittags wie Nachmittags auf einerley Weise gewirkt. Bey *Shoal-Nefs* (Breite $59^{\circ} 37'\frac{1}{2}$ n.) wurde den 20 July 1778 Vormittags die östliche Abweichung $= 23^{\circ} 34' 5''$, Nachmittags $= 22^{\circ} 19' 40''$ gefunden, also ein Unterschied $= 1^{\circ} 14' 23''$. Diese größere Differenz rührt wahrscheinlich daher, daß dieser Ort 10° nördlicher liegt als Nutkasund. Im *Samganoodha* Hafen (Breite $53^{\circ} 5'$) ward Vormittags d. 12 Oct. 1778 die östliche Abweichung $= 20^{\circ} 17' 2''$, Nachmittags $19^{\circ} 41' 27''$ gefunden; also ein Unterschied $= 35' 35''$ *). Da alle diese Beobachtungen, deren jede ein Mittel aus einer großen Menge einzelner mit großem Fleiße angestellten ist, darin übereinstimmen, daß die Abweichung des Vormittags größer ist als des Nachmittags, so scheint es, als könne dieser Unterschied nicht bloß an der Unvollkommenheit der Beobachtungen liegen, zumal da die Unterschiede mit der Breite des Ortes zunehmen, welches mit den vorhin angeführten Beobachtungen in der östlichen Halbkugel übereinstimmt.

§. 14. Zu bequemerer Uebersicht dieser Entdeckungen im Betreff der Bewegungen der Magnetnadel wollen wir dieselben hier gesammelt darstellen. Ausser der jährlichen Bewegung hat noch die Nadel eine merkliche Bewegung von Tag zu Tage (*Tachart*), ja von Stunde zu Stunde (*Graham*). In Europa ist sie nämlich des Vormittags um 8 oder 9 Uhr am weitesten östlich, des Nachmittags um 1 oder 2 Uhr am weitesten westlich, worauf sie wieder bis 8 oder 9 Uhr des Abends nach Osten wandert, da sie entweder ein Paar Stunden stille steht, oder einen kleinen Ruck von einigen Minuten zurück nach Westen macht; in der Nacht zieht sie sich gewöhnlich etwas nach Osten, so daß sie des Morgens um 8 Uhr etwas östlicher ist als des Abends.

*) Siehe Anhang Tafel 3, S. 85, 86, 87.

Von den täglichen Bewegungen der Magn

$19^{\circ} 38' 46''$; also nach den Beobachtungen am Bord ein $16' 46''\frac{1}{2}$, nach den Beobachtungen am Lande einen Unter-
Beide stimmen darin überein, daß die östliche Abweichung etwa $\frac{1}{4}$ Grad größer war als des Nachmittags. Wohl möge einen bedeutenden Unterschied zwischen den Beobachtungen am Bord bewirkt haben, aber wahrscheinlich haben die Nachmittags auf einerley Weise gewirkt. Bey *Shoal-Nefs* wurde den 20 July 1778 Vormittags die östliche Abweichung Nachmittags $= 22^{\circ} 19' 40''$ gefunden, also ein Unterschied. Diese größere Differenz rührt wahrscheinlich daher, daß *Nutkasund* tiefer liegt als *Nutkasund*. Im *Samganooodha* Hafen (Breite) Vormittags d. 12 Oct. 1778 die östliche Abweichung $= 20^{\circ} 19' 41' 27''$ gefunden; also ein Unterschied $= 35' 35''$. Beobachtungen, deren jede ein Mittel aus einer großen Menge großem Fleiße angestellten ist, darin übereinstimmen, daß des Vormittags größer ist als des Nachmittags, so scheint der Unterschied nicht bloß an der Unvollkommenheit der Beobachtungen, zumal da die Unterschiede mit der Breite des Ortes zunehmen, vorhin angeführten Beobachtungen in der östlichen Abweichung stimmt.

§. 14. Zu bequemerer Uebersicht dieser Entdeckung der Bewegungen der Magnetnadel wollen wir dieselben hier geben. Ausser der jährlichen Bewegung hat noch die Nadel eine tägliche von Tag zu Tage (*Tachart*), ja von Stunde zu Stunde (*Gr*). Ist sie nämlich des Vormittags um 8 oder 9 Uhr am weitesten westlich, Nachmittags um 1 oder 2 Uhr am weitesten westlich, worauf um 9 oder 9 Uhr des Abends nach Osten wandert, da sie entweder stille steht, oder einen kleinen Ruck von einigen Minuten Westen macht; in der Nacht zieht sie sich gewöhnlich etwas, daß sie des Morgens um 8 Uhr etwas östlicher ist als des

*) Siehe Anhang Tafel 3, S. 85, 86, 87.

geführten Ursachen. Wir wollen jede dieser Hypothesen insbesondere in Erwägung ziehen.

§. 16. Im Hptst. 6, §. 24 b. haben wir gefunden, wenn M die absolute Intensität der stärkern, M' der schwächern Magnetaxe bezeichnet,

$$\frac{M}{M'} = \frac{F' \cdot \cos I' \cdot \sin(\mathfrak{D} - D')}{F \cdot \cos I \cdot \sin(D - \mathfrak{D})}.$$

Werden diese Ausdrücke so differenziirt, daß $\frac{M}{M'}$ und \mathfrak{D} als veränderliche Größen angesehen werden, so findet man nach einigen Reductionen

$$d \cdot \frac{M}{M'} = \frac{F' \cdot \cos I' \cdot \sin(D - D') \cdot d\mathfrak{D}}{F \cdot \cos I \cdot \sin^2(D - \mathfrak{D})},$$

also

$$d\mathfrak{D} = \frac{F \cdot \cos I \cdot \sin^2(D - \mathfrak{D})}{F' \cdot \cos I' \cdot \sin(D - D')} \cdot d \frac{M}{M'}.$$

Aber $d \frac{M}{M'} = \frac{M' \cdot dM - M \cdot dM'}{(M')^2}$; ist also $M'dM = M \cdot dM'$, so bleibt die

Abweichung \mathfrak{D} unverändert. Ist $M' \cdot dM > M \cdot dM'$ und zugleich $D - D'$ positiv, so wächst \mathfrak{D} (dessen positiver Werth), d. i. die Nadel wandert gen West; ist $D - D'$ negativ, so nimmt der positive Werth von \mathfrak{D} ab, d. i. die Nadel wandert gen Ost. Ist $M'dM < M \cdot dM'$, so verhält es sich sämmtlich umgekehrt. Zugleich ist zu ersehen, daß es in Ansehung der Abweichungsveränderung gleichgültig ist, ob die Intensität der stärkern Axe einen Zuwachs

$dM = e$, oder die schwächere Axe einen Zuwachs $dM' = -\frac{M'}{M}e$, oder

endlich die Intensität der stärkern Axe einen Zuwachs $dM = f$, und der schwächeren einen Zuwachs $dM' = \frac{M'}{M}(f - e)$ erhält. Wenn also die

Größe der täglichen Abweichungsveränderung $d\mathfrak{D}$ durch Beobachtung an einem gewissen Orte der Erdkugel bekannt ist, so kann man mittelst der obigen Formel berechnen, welch ein großer Zuwachs dM in der Intensität der stärkern Axe oder welch eine große Abnahme dM' in derjenigen der schwächeren Axe nothwendig sey, um jene hervorzubringen.

Nach Hptst. 6, §. 23, I. 3. b. ist

$$\cot \mathfrak{D} = \frac{MF \cdot \cos I \cdot \cos D + M'F' \cdot \cos I' \cdot \cos D'}{MF \cdot \cos I \cdot \sin D + M'F' \cdot \cos I' \cdot \sin D'}$$

Nimmt man an, M bekomme hier einen Zuwachs $= dM$ und differenziirt obige Gleichung in Hinsicht auf M und \mathfrak{D} , so erhält man

$$d\mathfrak{D} = \frac{M'F'F \cdot \cos I \cdot \cos I' \cdot \sin(D - D') \cdot \sin^2 \mathfrak{D} \cdot dM}{(MF \cdot \cos I \cdot \sin D + M'F' \cdot \cos I' \cdot \sin D')^2}$$

und setzt man ein den Werth von $\sin^2 \mathfrak{D} = \frac{1}{1 + \cot^2 \mathfrak{D}}$, so erhält man nach einigen Reductionen

$$d\mathfrak{D} = \frac{M' \cdot \sin(D - D') \cdot dM}{M^2 \frac{F \cdot \cos I}{F' \cdot \cos I'} + (M')^2 \frac{F' \cdot \cos I'}{F \cdot \cos I} + 2MM' \cdot \cos(D - D')}$$

In Fig. 51 ist $AD = I$, $FB = I'$, $ND = D$, $NF = D'$, $DF = D - D'$; je größer also $DF = D - D'$, desto größer wird $d\mathfrak{D}$. Soll aber $D - D'$ ein großer Bogen seyn, so muß D und D' jeder für sich groß seyn und entgegengesetzte Zeichen haben, welches nur in großen Breiten an Orten eintritt, welche zwischen den beiden Magnetpolen liegen, z. B. in der nördlichen Halbkugel in den nördlichsten Gegenden Europas, in Island, Grönland und Sibirien, in der Behringsstraße und an der Nordwestküste Amerikas, in der südlichen Halbkugel in der Nähe von Van Diemens Land und Neuseeland u. s. w. An andern Orten, wo $D - D'$ ein kleiner Bogen ist, z. B. in den Nordamerikanischen Freistaaten, bey Java und an der Westküste von Neuhol-land u. s. w. muß der Magnetnadel tägliche Bewegung $d\mathfrak{D}$ unbedeutend werden. Dies stimmt mit den in den vorigen §§ angeführten Erfahrungen völlig überein.

§. 17. Eine solche Veränderung in der Intensität einer der Magnetaxen muß auch eine Veränderung sowohl in der Neigung \mathfrak{J} als auch in der Größe der mittleren Kraft K verursachen. Nach Hptst. 6, §. 23, III. ist

$$K^2 = M^2 F^2 + (M'F')^2 + 2MM' \cdot FF' \cdot \cos c,$$

wo $\cos c = \sin I \cdot \sin I' + \cos I \cdot \cos I' \cdot \cos(D - D')$. Wird obige Gleichung in Hinsicht auf M und K differenziirt, so erhält man

0 0 0

$$dK = \frac{F(MF + MF' \cdot \cos c) dM}{K}$$

Hieraus sieht man, daß je größer $D - D'$ ist, desto kleiner wird $\cos c$, also auch dK .

Durch Differenzirung der Formeln für \mathfrak{Z} in §. 23, II. könnte man auch die Veränderung der Neigung finden, da aber der dadurch gefundene Ausdruck etwas weitläufig wird, kann man leichter auf folgende Weise verfahren. Die Bögen AB, AP, BP und AG (Fig. 57) haben dieselbe Bedeutung wie in Fig. 51; G bezeichne die Richtung der mittlern magnetischen Kraft; wenn die Intensität der stärkern Axe den Zuwachs dM erhält, rücke diese Richtung von G nach g. Ist nun $AG = x$, $Gg = -dx$, so ist nach Hptst. 6, §. 23, I. 2

$$\cotang x = \frac{MF}{MF'} \cdot \operatorname{cosec} c + \cot c,$$

$$\text{also } dx = - \frac{F \cdot \sin^2 x \cdot dM}{MF' \cdot \sin c}. \quad \text{Im Dreyecke Ggp ist } \sin GPg = \frac{\sin Gg \cdot \sin GP}{\sin gP};$$

nun ist $GPg = d\mathfrak{D}$, $Gg = -dx$, $gP = 90^\circ - \mathfrak{Z} = GP$ und wird gesetzt $gGP = n$, so wird

$$d\mathfrak{D} = \frac{-dx \cdot \sin n}{\cos \mathfrak{Z}} = \frac{F \cdot \sin^2 x \cdot \sin n}{MF' \cdot \sin c \cdot \cos \mathfrak{Z}} \cdot dM.$$

Wird der Bogen gl senkrecht auf GP gezogen, so ist $Gl = GP - gP = d\mathfrak{Z}$, und da Dreyeck Ggl als geradlinig behandelt werden kann, so wird $Gl = Gg \cdot \cos gGL$, d. i.

$$d\mathfrak{Z} = -dx \cdot \cos n = \frac{F \cdot \sin^2 x \cdot \cos n}{MF' \cdot \sin c} \cdot dM.$$

Der Winkel n wird mittelst einer der folgenden Formeln gefunden

$$\sin n = \frac{\sin c \cdot \cos I}{\sin x}, \quad \cos n = \frac{\sin I - \cos x \cdot \sin \mathfrak{Z}}{\sin x \cdot \cos \mathfrak{Z}}.$$

Je größer also der Unterschied ist zwischen I und \mathfrak{Z} , desto größer wird $\cos n$, folglich $d\mathfrak{Z}$, und desto kleiner wird $\sin n$, folglich $d\mathfrak{D}$.

§. 18. Wird der Bogen zwischen dem täglichen östlichsten und westlichsten Stande der Magnetnadel, oder die größte Oscillation in Paris angenommen $= \frac{1}{4}$ Grad oder $15'$, so kann die Veränderung dM in der Intensität

der stärkern Magnetaxe, welche zur Erzeugung einer solchen Oscillation erfordert wurde, nach der Formel in §. 16 gefunden werden. Ferner ist $d\mathfrak{D} = -\frac{dx \cdot \sin n}{\cos \mathfrak{Z}}$ (§. 17), also $-dx = \frac{d\mathfrak{D} \cdot \cos \mathfrak{Z}}{\sin n}$, und $d\mathfrak{Z} = -dx \cdot \cos n = d\mathfrak{D} \cdot \cos \mathfrak{Z} \cdot \cot n$. Für Paris gab die Berechnung $\log F = 8,44163$, $\log F' = 8,39303$, $D = +48^\circ 43'$, $D' = -27^\circ 29'$, $\mathfrak{D} = +21^\circ 35'$, $I = 59^\circ 9'$, $I' = 52^\circ 8'$, $\mathfrak{Z} = 62^\circ 19'$, $n = 91^\circ 21'$; hieraus findet sich $dM = 0,021801$ und $d\mathfrak{Z} = -9'',8$. Da M angenommen ist $= 1,7724$ und $M' = 1$, so wird demnach, um in Paris eine Oscillation von $15'$ bey der horizontalen Magnetnadel hervorzubringen, ein Zuwachs oder eine Abnahme der Intensität der stärkern Axe $= 0,0218 = \frac{1}{45}M$ ungefähr erfordert, und eine solche Veränderung der Intensität dieser Axe würde bey der Neigungsnadel eine Schwingung von nicht völlig $10''$ erregen, welche bey diesem Instrumente unmerklich ist.

Ist die östliche Länge eines Ortes von Paris $= l^\circ$, so ist dessen Zeitunterschied von Paris $= \frac{1}{15}$ Stunden $= z$. Trifft also der Nadel größte Elongation in Paris Nachmittags um 2 Uhr ein, so muß sie an einem andern Orte, dessen Zeitunterschied östlich von Paris $= z$ ist, $2 + z$ Stunden nach Mittag eintreffen. Folgende Tabelle enthält sonach die Zeit der größten Elongation der Nadel für einen Theil der in der Tabelle Hptst. 7, §. 15 angeführten Orte, nebst der Größe der Veränderungen der Declinations- und Inclinations-Nadel, berechnet nach den Formeln in §. 17, unter Voraussetzung, daß $dM = 0,021801$.

No.	O r t.	Breite.	Zeit der größten Elongation.	$d\mathfrak{D}$.	$d\mathfrak{Z}$.
4	Paris	$48^\circ 50' \text{ n.}$	$2'' 0'$	$+ 15' 0''$	$- 0' 10''$
6	Vogelsang	$79 53$	$2 39$	$+ 28 11$	$- 5 59$
7	Nordcap	$71 10$	$3 34$	$+ 21 49$	$- 5 33$
8	Alexandria	$31 12$	$3 50$	$+ 11 9$	$- 0 39$
12	Petropaulowska	$53 1$	$12 25 \frac{1}{2}$	$- 10 28$	$- 6 9$
13	Samganoodha	$53 5$	$14 45$	$- 17 5$	$- 3 12$

No.	O r t	Breite.	Zeit der größten Elonga- tion.	$d\mathcal{D}$.	$d\mathcal{Z}$.
14	Norton Sund . . .	64° 31' n.	15 ⁿ 0'	— 23' 53''	— 2' 44''
17	Nutka Sund . . .	49 36	17 24	— 17 41	+ 2 56
19	Mexico . . .	19 26	19 14	— 4 27	+ 11 36
20	Albany Fort . . .	52 22	20 20	— 7 41	+ 5 12
24	Musketto Cove . .	64 53	22 19	+ 53 13	+ 3 15
30	St. Helena . . .	15 55 s.	1 28	+ 10 12	+ 5 40
33	Mocha . . .	13 22 n.	4 47	+ 9 2	— 7 14
37	Surobaya . . .	7 14 s.	9 21	+ 0 2	— 14 43
38	Macao . . .	22 9 n.	9 26	+ 0 5	— 7 42
39	Amboina . . .	3 42 s.	10 23	— 0 57	— 20 4
41	Tongataboo . . .	21 8	14 10	— 10 25	+ 2 20
43	Otaheite . . .	17 29	15 52	— 11 32	+ 5 41
55	Nulpunkt Peru . .	7 1	20 40	+ 3 11	+ 20 9
78	Dusky Bay . . .	45 47	12 56	— 15 46	— 2 16
84	Christmas Sund . .	55 22	21 10	+ 8 29	+ 8 46

In dieser Tabelle bezeichnet ein positiver Werth von $d\mathcal{D}$ der Nadel westliche Elongation, ein negativer Werth desselben ihre östliche Elongation von der mittleren Stelle. Gleichfalls bezeichnet ein positiver Werth von $d\mathcal{Z}$ eine Zunahme in der nördlichen Neigung der Nadel oder eine Abnahme der südlichen; ein negativer Werth das Entgegengesetzte. Aus dieser Tabelle geht hervor, daß diejenigen Oscillationen, welche, vermöge einer Veränderung in den Kraftverhältnissen der Magnetaxen, bey der horizontalen Magnetnadel erregt werden würden, in der Nähe der Magnetpole, besonders da am größten sind, wo der Winkel $ALB = D - D'$ (Fig. 51) beträchtlich groß ist, und wo der Winkel $AGP = n$ sich 90° nähert, wie auf Spitzbergen, an der Nordwestküste von Amerika und in Grönland; daß diese Oscillationen hingegen in der Nähe des Aequators, besonders da am kleinsten werden, wo n ein kleiner Winkel ist, d. i. wo die Fläche ALB beynahe einen rechten Winkel mit dem Horizonte SDN macht, z. B. auf Java, Amboina und in Macao. Ferner ist zu sehen, daß die Veränderungen der Neigungsnadeln in der Nähe des Aequa-

tors und gemeiniglich da, wo die Schwingungen der Declinationsnadel am kleinsten sind, am größten ausfallen werden.

So weit nun stimmen diese Resultate gar wohl mit der Erfahrung überein; ziehen wir aber die Stundenzeit in Betracht, so ergibt sich uns gleich, daß eine solche Veränderung in den Kraftverhältnissen der Magnetaxen unmöglich der rechte Grund der täglichen regelmässigen Schwingungen der horizontalen Nadel seyn könne. In Musketto Cove würde z. B. alsdann der Nadel westlichster Stand $22^u\ 19'$ astronomischer Zeit d. i. um $10^u\ 19'$ Vormittags eintreffen; in letzterer Stunde fand aber *Ginge* vielmehr die Abweichung der Nadel am kleinsten. Auf St. Helena würde der westlichste Stand $1^u\ 28'$ eintreffen; allein *Macdonalds* Beobachtungen zeigen, daß die Abweichung hier um 8 Uhr Vormittags am größten ist. Der Nadel *unregelmässige Bewegungen* hingegen scheinen sich eher aus einer solchen Veränderung in der Magnetaxen wechselseitigem Kraftverhältniß erklären zu lassen, und dieser Bewegungen gleichzeitige Gröfse an verschiedenen Orten wird vermuthlich mit den in der Tabelle angeführten Werthen von $d\textcircled{D}$ und $d\textcircled{J}$ proportionirt seyn.

§. 19. Da die größte östliche und westliche Elongation der Nadel das ganze Jahr hindurch ungefähr zu den nämlichen Stunden eintreffen, so erhellt hieraus, daß die Periode dieser Oscillationen ein Sonnentag ist. Hieraus gehet dann wieder hervor, daß ihre Ursache in der Sonne, d. h. in den verschiedenen Ständen der Sonne sey es nun gegen die Magnetaxen der Erde, oder gegen die Magnetnadel selbst zu suchen sey. Was aber das Gleichgewicht magnetischer Kräfte soll aufheben können, muß, so weit unsre Erfahrung reicht, selbst magnetische Kräfte besitzen. *Die Sonne hat also wahrscheinlich, wie die Erde, eine oder mehrere magnetische Axen.*

Daß der Mond ebenfalls magnetische Kräfte habe, scheint aus Prof. *Hellers* Beobachtungen in Fulda unzweifelbar hervorzugehen. "Durch meine ein ganzes Jahr täglich fortgesetzten Beobachtungen über den magnetischen Mittelpunkt des weichen Eisens (sagt *Heller**) bin ich auf ein Resultat gekom-

*) In einem Briefe aus Fulda den 16 Jan. 1800. Siehe Gilberts Ann. d. Phys., B. IV. S. 477.

gegenüber ist, wird dieses ihr Nordende angezogen halten, endlich um die Mitte der Stange, nie aber genau in ihr, kommt eine Stelle, wo die Nadel mit ihrem Nordpol die Stange verläßt, und ihr den Südpol zuwendet. Der ganze Apparat ist so gestellt, daß Stange und Nadel sich im magnetischen Meridian befinden, und da die Nadel in diesem Meridian der Stange zur Nordseite steht, so befindet sie sich so lange in einer ihrer natürlichen entgegengesetzten Lage, als magnetisches Süd des obern Theils der Stange, und später das indifferente Eisen derselben, stark genug auf sie wirkt; sie kehrt in ihre natürliche zurück, wo an der Stange weiter unten Nord genug vorhanden, um ihr Nord abzustossen, oder es überhaupt nicht mehr von der Stange angehalten werden zu lassen. Die Stelle an der Stange aber, an welcher die Nadel sich umkehrt oder in ihre vorige Lage zurückkehrt, bleibt nie einige Zeit hindurch dieselbe; sie *wechselt unaufhörlich*, und eben dieser Wechsel ihres Orts wird das Material alles Interessanten, was Hrn. *Hellers* Beobachtungen bieten. Hr. *Heller* mißt an der Scale ihre jedesmalige Entfernung vom obern Ende der Stange, und nennt diese GröÙe die "*Südpollänge*" der Stange, welche also natürlich ebenfalls jederzeit *wechselt*. Ihre GröÙe läßt sich bis auf Achttheilzolle noch mit Sicherheit angeben, da übrigens die Stange nur von der Erde aus ein Magnet ist, und eine Veränderung in ihrem Magnetismus bloß immer eine gleiche Veränderung im Magnetismus der Erde anzeigt, so wurden alle Beobachtungen an *jenem* zugleich Beobachtungen an *diesem*."

Hr. *Heller* klagt, daß schon vor 9 Jahren die Südpollänge seines Stabes in ihrer Variation weder mit der des Barometers, noch des Thermometers, noch mit sonstigen Wetterveränderungen und Zuständen, zusammentreffen wollte, weshalb er zufällig sie mit den *Mondsständen* zu vergleichen anfang, wo mehr Zusammenhang sich zu finden schien, — und so auch in den neuern Beobachtungen. Die mittlere "*Südpollänge*" aus sämtlichen letztern Beob-

achtungen ist $\frac{5899'',125}{344} = 11'',3346657$; in die 6 Beobachtungsmonate trafen

25 Mondphasen: 9-Mal aber war am Tage der Phase selbst die Südpollänge $11'',75$ und darüber; 6 Mal den Tag vor, und 5 Mal den Tag nach ihr, eben so groß; 5 Mal läßt sich, weil Beobachtungen fehlen, nicht entscheiden;

und nur 2 Mal kommt sie blofs auf $11'',50$, und zwar am Tage der Phase selbst. Einstimmig also war die Phase, oder doch ihre Nähe, mit einer sich bedeutend über die mittlere erhebenden Länge des "Südpols" an Hrn. *Hellers* Eisenstange begleitet."

"Merkwürdig war es: 1) dafs der Wendepunkt der Magnetnadel nie in die mathematische Mitte der Eisenstange, sondern immer darunter, dem untern oder dem Nordpol derselben zu, fiel. Die Mitte der Stange war bey $9'',25$, aber sein geringster Abstand vom obern Ende der Stange, die geringste vorkommende Südpollänge an derselben, war $9'',75$. 2) Ging die Variation der letztern verhältnifsmäfsig ausnehmend weit: die grösste Südpollänge binnen den 6 Monaten war $12'',75$, der Wendepunkt der Nadel spielte also zwischen $12'',75 - 9'',75 = 3'',0$, und diese machen nahe $\frac{1}{3}$ der ganzen Stangenlänge aus. Diese Extreme lagen in Zeit weit aus einander (fast um $3\frac{1}{2}$ Monate), aber auch binnen sehr kurzer Zeit war die Variation oft sehr grofs. So betrug sie 1 Mal $1'',50$ binnen blofs 7 Stunden; 4 Mal $1'',0$ binnen 6 und 7 Stunden; $0'',75$ in 6 — 8 Stunden 20 Mal, u. s. w. Die längste Zeit, durch welche die Südpollänge *dieselbe* blieb, war 48 Stunden, und doch konnten während der Stunden, wo nicht beobachtet wurde, Veränderungen da gewesen seyn; ja zu den Beobachtungsstunden selbst, und nur zu klein, um merklich zu werden. Des Mondes Apogäum und Perigäum schienen auch in demselben Grade von ausgezeichneter Südpollänge wie die Phasen begleitet gewesen zu seyn. In dem halben synodischen Monate vom ersten bis zum letzten Mondsviertel schien auch die Südpollänge etwas gröfser zu seyn, als in dem andern halben Monate vom letzten bis zum ersten Viertel; doch waren diese Unterschiede weit kleiner als jene."

Als Herr *Ritter* Monat für Monat das Mittel aus sämtlichen Beobachtungen zog, ergab sich folgende Reihe der mittleren Südpollängen:

1808, August	$10'',9254$	1808, December	$11'',5451$
September	$11'',2979$	1809, Januar	$11'',4629$
October	$11'',3116$	Februar	$11'',3659^*)$.
November	$11'',4582$		

* *) Diese Beobachtungen für den Februar wurden Rittern späterhin vom Prof. *Heller* mitgetheilt.

"Hier wächst bestimmt die mittlere Südpollänge mit der Annäherung zum Wintersolstitium; in seinem Monate (December) ist sie die größte; innerhalb seiner (am 12 December) ist es, daß sie ihr Maximum von $12'',75$ erreicht, und am Tage des Solstitium selbst ist sie $12'',00$; im Januar und Februar ist die mittlere Südpollänge schon wieder geringer. So ist Grund zu vermuthen, daß im oder um den Junius, oder den Monat des Sommersolstitiums, Hr. *Heller* die Südpollänge im Mittel am allergeringsten im Jahre finden werde."

"Schiøn das Vorige eine *jährliche* Periode der Variation der Südpollänge an Hn. *Hellers* Eisenstabe geben zu wollen, so deuteten andere Vergleichen- gen auch auf eine *tägliche*. Sämmtliche Morgenbeobachtungen, für sich genommen, geben die mittl. Südpollänge nur $11'',3106$, sämmtliche Mittags- beobachtungen aber $11'',3679$; wobei zu erinnern, daß des Morgens in der Regel um 6, 7 oder 8 Uhr (um letztere Stunde am meisten), und des Mittags gewöhnlich um 2 Uhr, selten später, (im Mittel überhaupt um $2'',1217$), beobachtet wurde. Auch in den einzelnen Monaten behauptet sich die größere Südpollänge am Mittag; bloß in zweien hat die am Morgen ein Uebergewicht, doch verhältnißmäßig nur ein geringes. Uebrigens lassen sich die Resultate der Morgenbeobachtungen als Annäherungen zu den von Nachtbeobachtungen, wenn welche vorhanden wären, betrachten, so daß wahrscheinlich der Unterschied der mittleren Südpollängen ein noch bedeutend größerer werden würde, wenn diese, statt von *Morgen-* und *Mittagsbeobachtungen*, Mittel aus *Nacht-* und *Mittagsbeobachtungen* wären."

Dennoch ist Hr. *Ritter* zweifelhaft, ob das ganze Jahr hindurch die mittl. Südpollänge am Mittag größer seyn werde, als in der Nacht oder am Morgen. Der Uebergang in die vorhin erwähnte Anomalie ist dazu allzuregelmäßig. Am größten nämlich ist der Ueberschuß des Mittagmittels über das am Morgen im hohen Winter oder dem December und November, geringer im October, im September wird das *Morgenmittel* größer, aber erst nur noch wenig ($11'',3041 : 11'',2910$), im August aber wird jenes ganz bedeutend größer als dieses ($10'',9689 : 10'',8900$). Auch nach dem Frühling herüber nimmt die

Differenz, oder der Ueberschuß des Mittagsmittels über das am Morgen, im Januar schon wieder ab.

Zu bestimmen, wo der wahre magnetische Mittag bey Hn. *Hellers* Phänomen hinfalle, ob auf 12h,0 oder auf 2h,1217 (s. oben) oder später, dazu reichten übrigens die vorhandenen Beobachtungen noch nicht hin, besonders fehlte es an Abendbeobachtungen, als deren im Ganzen nur 3, also jedenfalls zu wenig, vorhanden sind. Wo er aber auch hinfalle, so zeigt doch die Rechnung, daß sofern nur im Tage von 24 Stunden nicht mehr als Eine reguläre Variation der Südpollänge vorkommt, die gesammte mittlere tägliche Variation eine noch viel größere seyn müsse, als die mittlere Differenz der *Hellerschen* Morgen- und Mittagsbeobachtungen sie Monat für Monat angiebt. Selbst diese schon als mögliche größte wäre von beträchtlicher Bedeutung.

Ritter macht hiernächst aufmerksam darauf, daß die senkrecht stehende eiserne Stange von der Erde bloß durch Vertheilung magnetisirt wird, und daß eine Veränderung in der *Intensität des Erdmagnetismus* die Ursache dieser Veränderung in der Lage des *magnetischen Mittelpunktes**) der eisernen Stange seyn muß. Die Ursache jener wird wieder in den magnetischen Kräften gedachter beiden Himmelskörper (der Sonne und des Mondes) gesucht.

*) Daß in der That eine solche jährliche Veränderung in der magnetischen Intensität der Erde Statt findet, scheint durch eine Reihe Oscillationsversuche mit 4 verschiedenen prismatischen Stahlmagneten ziemlich ausgemacht zu seyn, welche Commandeur Wleugel in Kopenhagen mehrere Jahre lang zu verschiedenen Jahreszeiten angestellt hat, welche aber noch nicht zu öffentlicher Kunde gelangt sind. Daß es eine ähnliche tägliche Variation in der Intensität gebe, scheint aus den täglichen Wanderungen der horizontalen Magnetnadel mit Wahrscheinlichkeit geschlossen werden zu können. Aus einigen vorläufigen Versuchen, welche ich am Schlusse des Jahres 1817 mit drey cylindrischen Magneten von einerley Durchmesser aber verschiedener Länge anstellte, ergiebt sich inzwischen, daß diese Variationen überaus klein seyn müssen. Der kleinste Magnet machte z. B. 100 Schwingungen in 285 Secunden, und diese Schwingungszeit für 100 Schwingungen variierte zu verschiedenen Zeiten des Tages nie über 1, gewöhnlich nur $\frac{1}{2}$ Secunde. Diese Untersuchungen erheischen demnach eine ungewöhnlich feine Beobachtungsgabe.

§. 20. Nehmen wir also an, Sonne und Mond, wie unsre Erde, hätten magnetische Kräfte, so muß die verschiedene tägliche und jährliche Stellung dieser Axen gegen die Magnetaxen der Erde und gegen unsre Magnetnadeln, nothwendig von einigem Einflusse auf der ersteren Intensität und der letzteren Lage seyn. Wir untersuchen zuerst diejenigen Erscheinungen, die sich, falls die Sonne magnetische Kräfte hätte, einstellen würden.

PFp (Fig. 58) sey die Sonne, S ihr Mittelpunkt, Pp ihre Umdrehungsaxe, ADBE der Erde jährliche Bahn. Nach *Delambre (Astronomie théorique et pratique, Tom. 3, p. 54)* ist des Sonnenäquators Neigungswinkel gegen die Ekliptik $= 7^{\circ} 19' 23''$, die Länge seines aufsteigenden Knotens $= 2^{\circ} 20' 7'' 4''$, der Sonne Umdrehungszeit $= 25^{\text{T}} 0^{\text{s}} 16'$, die synodische Umdrehungszeit $= 26^{\text{T}} 4^{\text{s}} 58'$. Ist Kreis PFp senkrecht auf Ekliptik ADBE, so ist demnach Winkel PSF, welchen die Sonnenaxe mit der Ekliptik bildet, oder die heliocentrische Breite des nördlichen Sonnenpoles $= 82^{\circ} 41'$, und dieses Poles heliocentrische Länge VBA $= 11^{\circ} 20' 7'$. Wird der Sonnenradius SF nach beiden Seiten bis A und B verlängert, so bezeichnen diese Punkte in der Ekliptik die heliocentrische Länge beider Sonnenpole, und der Bogen AV wird folglich $= 9^{\circ} 53'$. Ob die Sonne mehrere Magnetaxen oder nur eine einzige habe, und ob diese mit der Umdrehungsaxe Pp zusammenfalle oder nicht, wissen wir nicht. Auf jeden Fall wird, der Umdrehung der Sonne gemäß, die Axe Pp die mittlere Lage seyn, auf welche jene magnetischen Axen bezogen werden können.

Nehmen wir hiernach an, Pp sey zugleich der Sonne magnetische Axe, so wird ein magnetisches Theilchen in einem Punkte T der jährlichen Erdbahn von der einen Halbaxe PS angezogen und von der andern Sp abgestoßen werden. Die mittlere Richtung TH dieser beiden Kräfte wird nach Hptst. 5 in die Fläche des Sonnenmeridianes PGp durch den Radius Vector TS fallen, der das Theilchen T mit dem Mittelpunkte der Sonne verbindet. Wird die Fläche HTI durch HT und den Radius TS gelegt, so wird demnach diese Fläche verlängert mit dem Meridiane PGp zusammenfallen, und beide werden einerley Winkel mit der Ekliptik bilden. Wäre der Winkel PSG bekannt, so könnte Winkel HTI nach den Formeln in Hptst. 5 gefunden werden.

I. Setzet man Winkel $PSF = I$, $AV = \pi$, $VT = \delta$, so ist im sphärischen Dreyeck PFG, $PF = I$, $PFG = 90^\circ$, $FG = AT = \pi + \delta = l$. Ist Bogen $PG = PSG = u$, der sphärische Winkel $PGF = a$, so ist

$$\cos PG = \cos PF \cdot \cos FG, \quad \tan PGF = \frac{\tan PF}{\sin FG}$$

oder

$$1) \cos u = \cos I \cdot \cos l; \quad 2) \tan a = \frac{\tan I}{\sin l}.$$

II. In Hptst. 5, §. 27, wurde gezeigt, daß, wenn sich im Mittelpunkte C eines Kreises (Fig. 27) ein im Vergleiche mit dem Radius des Kreises sehr kleiner Magnet befindet, alsdann der Winkel $TLy = i$, welchen die magnetische Ruhelinie Ly mit der Tangente TL bildet, durch folgende Gleichung $\tan i = 2 \cdot \cot u$ gefunden wird, wo u der magnetische Polarabstand des Punktes L ist. Also findet man den Winkel γLC , welchen die Ruhelinie mit dem Radius LC bildet, durch folgende Gleichung: $\cot \gamma LC = 2 \cdot \cot u$, oder $\tan \gamma LC = \frac{1}{2} \tan u$. Wird dies auf den gegenwärtigen Fall angewandt, so ist (in Fig. 58) $\tan HTI = \frac{1}{2} \tan PSG$, oder, wenn man setzt $HTI = b$:

$$3) \tan b = \frac{1}{2} \tan u.$$

III. Leget man durch HT eine Fläche HTK senkrecht auf die Ekliptik ADBE, und beschreibet zugleich mit einem willkürlichen Radius TH den Kreisbogen HK, wie auch in den Ebenen KTI und HTI mit demselben Radius die Bogen KI und HI, so bilden diese 3 Bogen einen bey K rechtwinkligen Dreyeck HKI, in welchem der Winkel $HKI = PGF = a$, der Bogen $HI = b$. Wird gesetzt $KI = c$, $HK = d$, so ist

$$4) \tan c = \cos a \cdot \tan b; \quad 5) \sin d = \sin a \cdot \sin b.$$

Wäre die Erde in T, so würde $HTK = d$ die geocentrische Breite desjenigen Punktes seyn, in welchem die verlängerte Richtung TH der mittlern magnetischen Kraft das Himmelsgewölbe schnitte. Von der Erde in T wird die Sonne auf den der Erde entgegenstehenden Punkt s in der Ekliptik hingetragen, welcher also der Sonne geocentrische Länge ist. Ist diese $= \odot$, und wird der Winkel $KTI = c$ hinzu gelegt, so ist $\odot + c$ die geocentrische

Länge des erwähnten Punktes, wo die magnetische mittlere Richtung das Himmelsgewölbe schneidet.

In A ist $l = 0^\circ$, $\odot = 5^\circ 20' 7'' = 170^\circ 7'$; in V ist $l = 9^\circ 53'$, $\odot = 6^\circ = 180^\circ$, und in den Anfangspunkten der folgenden Zeichen $l = 39^\circ 53'$, $\odot = 210^\circ$; $l = 69^\circ 53'$, $\odot = 240^\circ$ u. s. w. Werden diese Werthe in obigen Formeln eingesetzt, so ergeben sich die Werthe nachstehender Tafel.

l .	u .	a .	b .	d .	c .	$\odot + c$.
$0^\circ 0'$	$82^\circ 41'$	$90^\circ 0'$	$75^\circ 36'$	$75^\circ 36'$	$0^\circ 0'$	$170^\circ 7'$
9 53	$82^\circ 48 \frac{1}{2}$	$88^\circ 44 \frac{1}{4}$	75 48	$75^\circ 45 \frac{1}{2}$	4 59	184 59
39 53	$84^\circ 23 \frac{1}{2}$	85 18	78 7	77 56	22 40	232 40
69 53	$87^\circ 29 \frac{1}{3}$	83 7	84 59	81 30	53 48	293 48
90 0	90 0	82 41	90 0	82 41	90 0	350 7
99 53	91 15	82 47	92 50	82 22	109 12	19 12
129 53	94 41	84 22	99 18	79 8	120 54	60 54
159 53	96 52	87 28	103 32	76 14	169 55	139 55
180 0	97 19	90 0	104 24	75 56	180 0	170 7
189 53	$97^\circ 11 \frac{1}{2}$	91 16	104 12	$75^\circ 45 \frac{1}{2}$	184 59	184 59

Da d die Breite und $\odot + c$ die Länge desjenigen Punktes bezeichnet, wo die magnetische Richtung HT verlängert das Himmelsgewölbe schneidet, so ergibt sich, daß im ganzen Umlaufe von A (wo $l = 0^\circ$) bis B (wo $l = 180^\circ$) dieser Punkt eine elliptische Figur um den Pol der Ekliptik beschreiben werde, d. h. die Linie HT wird eine conische Bewegung um die Pole der Ekliptik haben, welche in der andern halben Umlaufe wieder in derselben Ordnung wiederholt werden wird.

Man kann sich dies auf folgende Weise anschaulich machen. Lasset man die magnetische Curve ABCG (Fig. 29) sich um die verlängerte Magnetaxe Pp drehen, so wird sie eine Art Sphäre beschreiben, in welcher ein jeder ebene Durchschnitt, der zugleich durch die Axe Pp geht, die zween zusammengehörigen magnetischen Curven ABCG und QECD darstellen wird. Nennet man jede solche Ebene durch die Axe Pp einen magnetischen Meri-

dian, so erhellet, daß in jedem Punkte U der magnetischen Sphäre die magnetische Richtung UV Tangent der Sphäre seyn und zugleich in dem magnetischen Meridiane durch den Punkt U liegen wird. Der magnetische Aequator, welcher senkrecht auf der Axe Pp durch den Mittelpunkt C steht, wird die Sphäre in einem Kreise schneiden, dessen Durchmesser AQ ist. Durchschneidet man die Sphäre durch den Mittelpunkt C mit einer andern Ebene, die einen Winkel $ACU = MCQ = 7^{\circ} 19'$ mit dem magnetischen Aequator macht, so werden diese zwey Flächen einander in einer geraden senkrecht auf AQ und UM stehenden Linie schneiden, deren Endpunkte folglich 90° von A und U wie auch von M und Q sind. In diesen zween Endpunkten werden also die magnetischen Richtungen mit der Axe Pp und gegenseitig parallel seyn; in den beiden einander entgegengesetzten Punkten U und M sind ebenfalls die magnetischen Richtungen UV und TM parallel, und es ist leicht zu ersehen, daß das Nämliche der Fall seyn muß mit jedem Paar andrer Punkte, die einander diametral entgegengesetzt sind.

Besteht nun der Erde innerer Kern aus einer Masse, welche magnetischer Polarität empfänglich ist (wie denn ihre magnetischen Axen und die veränderliche Lage dieser solches unbestreitbar darthun), so werden auf jedem Punkte T der Erdbahn die magnetischen Kräfte der Sonne durch Vertheilung einen schwachen Magnetismus im Erdkerne nach der Richtung HT auf dieselbe Weise erregen, wie der Erde magnetische Kräfte durch Vertheilung nach einer mit dem Stande der Neigungsnadel parallelen Richtung in jedem Körper von weichem Eisen auf der Erdoberfläche Polarität erregen. Aber bey der täglichen Axendrehung der Erde wird diese Linie TH in einer Zeit von 24 Stunden einen Kegel um die Erdaxe beschreiben. Dieser schwachen und veränderlichen Magnetaxe verschiedene Lage in 24 Stunden müßte eine kleine tägliche Oscillation in der Stellung der Magnetnadel hervorbringen.

Zusatz. Hätte die Erde nur Eine Magnetaxe, so würde, wofern die Trägheit der Erdmasse solches nicht verhinderte, die Umdrehungsaxe mit der magnetischen Axe zusammenfallen, und diese wieder mit der magnetischen Richtung TH. Hat die Erde zween Magnetaxen, die einen Winkel mit einander bilden, so kann man sich eine Linie zwischen ihnen denken, um welche sie

im Gleichgewichte seyn würden*). Diese Gleichgewichtslinie würde demnach, im Falle keiner Verhinderung von der Trägheit der Erdmasse, Rotationsaxe werden und mit der magnetischen Richtung TH zusammenfallen. Allein da der Erde Rotationsaxe und die Lage letzterer bestimmt und die hier gedachte magnetische Kraft im Vergleiche mit der Gravitation vermuthlich überaus klein ist, so kann jenes nicht erfolgen. Der Sonne magnetische Kraft nach der Richtung TH wird (siehe Hptst. 5, §. 39) gefunden mittelst der Formel

$$K = \frac{m}{4\rho^3} \sqrt{10 + 6 \cos 2u},$$

wo m des Sonnenmagneten absolute Kraft, und ρ den Radius Vector ST bezeichnet. Macht die obenerwähnte Gleichgewichtslinie mit der Richtung TH einen Winkel $= \nu$, so ist die Kraft, womit der Sonne magnetische Kräfte jene Linie nach der Richtung TH zu drehen suchen, $= K \cdot \sin \nu$. Da der Winkel ν während des halben Umlaufes der Erde von A nach B beständig seinen Werth ändert, aber in A und B einerley Gröfse hat, so scheint hieraus eine halbjährige Schwankung der Erdaxe entstehen zu müssen. In zween einander entgegengesetzten Punkten der Erdbahn hat der Ausdruck $10 + 6 \cos 2u$ einerley Werth, also verhält sich in zween solchen Punkten die Kraft K umgekehrt wie die Cubi der Abstände. Ist die Excentricität der Erdbahn $= e$, so ist z. B. im Aphelium $\rho = 1 + e$, im Perihelium $\rho = 1 - e$, sonach verhalten sich der Sonne magnetische Kräfte auf diesen zween Punkten $= (1 - e)^3 : (1 + e)^3 = 1 : 1,106$ ungefähr. Nun liegt das Perihelium im Halbkreise ADB, das Aphelium im Halbkreise BEA, also muß die Winterschwankung etwas gröfser seyn als die Sommerschwankung. Da ferner die Magnetaxen ihre Lage langsam verändern, so muß auch die obenerwähnte Gleichgewichtslinie ihre Stelle vertauschen, welches wieder in der Lage der Umdrehungsaxe der Erde eine Aenderung machen kann. Sollte sich also ein aus anderen Gründen unerklärbarer Unterschied zwischen der aus Sommer- und Winter-Beobachtungen

*) Wie denn auch der Nordstrich einer Compafsrose, die mit zween kreuzweise gelegten Magnetnadeln armirt ist, irgendwo zwischen beiden Nadeln der einen näher als der andern fallen wird, je nachdem sie von gleicher oder ungleicher Gröfse und Kraft sind.

gefundenen Schiefe der Ekliptik, zwischen der durch Sonnenhöhen im Sommer und durch den Polarstern im Winter bestimmten Polhöhen zeigen, sollten sich ferner nach Verlaufe einer langen Reihe Jahre Veränderungen in der Polhöhe eines und desselben Ortes*) ausweisen, so ließen sich diese Veränderungen *vielleicht* aus obengedachten Ursachen erklären.

§. 21. Der Punkt T (Fig. 59) sey der Erde und zugleich des Himmels gewölbes Mittelpunkt, $\mathcal{V}\mathcal{E}\mathcal{K}$ sey die Ekliptik, ET ihre Axe, E ihr Pol, PT die verlängerte Erdaxe, HT die im vorigen §. erwähnte mittlere Richtung der magnetischen Kräfte der Sonne; so kann die Breite $HK = d$ und die Länge $\mathcal{V}\mathcal{E}K = \odot + c$ des Punktes H nach den Formeln im vorigen §. gefunden werden, indem gesetzt wird $l = \pi + \delta = \pi + \odot + 180^\circ = \odot + 189^\circ 53'$. Also sind im Dreyecke PEH folgende Dinge bekannt: die Schiefe der Ekliptik $PE = e$, $EH = 90^\circ - d$, $\mathcal{V}\mathcal{E}H = \mathcal{V}\mathcal{E}K - \mathcal{V}\mathcal{E} = \odot + c - 90^\circ = v$. Hieraus findet sich

$$\cos PH = \cos PE \cdot \cos EH - \sin PE \cdot \sin EH \cdot \cos PEH$$

$$\cotang EPH = \frac{\cotang EH \cdot \sin EP - \cos EP \cdot \cos PEH}{\sin PEH},$$

oder wenn man setzt $PH = f$, $EPH = g$

$$\cos f = \cos e \cdot \sin d - \sin e \cdot \cos d \cdot \cos v, \quad \cotang g = \frac{\tg d \cdot \sin e - \cos e \cdot \cos v}{\sin v}.$$

Während der Umdrehung der Erde um die Axe PT wird demnach die Linie TH einen Kegel um die Erdaxe beschreiben und die Erdoberfläche in zween Parallelkreisen durchschneiden, deren Abstand von den Polen ist gleich $PH = f$. Ist S der Stand der Sonne in der Ekliptik, so ist der Winkel SPH gleich dem Rectascensionsunterschiede zwischen dem Punkte H und der Sonne. Aber die Rectascension des Poles der Ekliptik E ist $= 270^\circ$, also von H $= 270^\circ - fPH = 270^\circ - g$. Wird der Sonne Rectascension gesetzt $= A$, so ist $SPH = 270^\circ - g - A$; wird dieser Winkel in Zeit verwandelt, so hat man die Culminationszeit des Punktes H.

*) Z. B. die aus Bradleys und Ponds Beobachtungen abgeleitete Polhöhe der Greenwicher Sternwarte.

Sind die magnetischen Hauptaxen der Erde durch Vertheilung von den magnetischen Kräften der Sonne erzeugt, so müssen der Erde nördliche Magnetpole mit den südlichen der Sonne gleichnamig seyn, und umgekehrt. Ferner muß in diesem Falle die schwache magnetische Kraft, welche nach der Richtung TH erregt wird, mit den nördlichen magnetischen Erdpolen gleichartig seyn. Solange demnach der Punkt H (oder vielmehr der Punkt, wo die Linie TH die Erdoberfläche durchschneidet) ostwärts vom Meridian eines Ortes liegt (richtiger östlich von einem großen Kreise, der am Orte mit der Richtung der Magnetnadel zusammenfällt), so wird das Nordende der Magnetnadel gegen Osten gezogen; nach der Culmination dieses Punktes zieht sich die Nadel gegen Westen.

Ist die Länge der Sonne = \odot , ihre Rectascension = A , die Schiefe der Ekliptik = e , so ist $\tan A = \cos e \cdot \tan \odot$. Für die Anfangspunkte der 6 ersten Zeichen, wie auch für die Punkte A, D und B (Fig. 58) werden sonach folgende Werthe für f und g nebst dem Winkel SPH, in Graden und Zeit ausgedrückt, gefunden.

\odot .	L .	f .	g .	Winkel SPH.	
				In Graden.	In Zeit.
170° 7'	0° 0'	27° 7'	+ 35° 16'	63° 49'	4 ^h 15'
180 0	9 53	28 17	+ 31 9	58 51	3 55
210 0	39 53	33 49	+ 13 10	46 57	3 8
240 0	69 53	31 29	— 6 34	38 43	2 35
260 7	90 0	25 42	— 16 49	27 34	1 50
270 0	99 53	22 6	— 19 29	19 29	1 18
300 0	129 53	14 55	— 20 55	348 44	23 15
330 0	159 53	17 45	+ 36 27	261 27	17 26
350 7	180 0	27 7	+ 35 16	243 49	16 15
0 0	189 53	28 17	+ 31 9	238 51	15 55

Hieraus erhellt, daß der Winkel f , welchen der Sonne magnetische Ruhe-
linie HT mit der Erdaxe PT bildet, imgleichen der Winkel g , einerley Werthe
in zween einander entgegengesetzten Punkten der Ekliptik haben. Der größte
Werth von f ist gegen 34° und trifft ein, wenn die Sonne in \mathfrak{m} oder in \mathfrak{b} ist,

also zu Anfange Novembers und Mays. Der kleinste Werth von f ist etwa 15° und trifft ein, wenn die Sonne in ∞ oder in Ω ist, also in den Monaten Februar und August. Ferner ergibt sich, daß, wenn die Sonne in ζ ist, also zu Anfange des Jahres, der Winkel $SPH = 0^\circ$ ist, d. h. HT fällt mit dem Declinationskreise PST durch die Sonne zusammen, so daß der Punkt H des Mittags culminiret. Im folgenden halben Jahre culminirt dieser Punkt in den Vormittagsstunden, im vorgehenden in den Nachmittagsstunden. Eine solche schwache veränderliche magnetische Nebenaxe, erregt durch Vertheilung in der Erde vermittelt der magnetischen Kräfte der Sonne, kann somit der Magnetnadel tägliche Schwingungen nicht erklären; denn in diesem Falle würde der Nadel größte Elongation an keine feste Zeit des Tages gebunden seyn, welches doch, wie die Erfahrung lehrt, der Fall ist.

§ 22. Endlich liesse sich denken, der Sonne magnetische Kräfte wirkten unmittelbar auf die Magnetnadel, und der verschiedene Winkel, welchen die Mittelrichtung TH der magnetischen Kräfte der Sonne zu verschiedenen Tageszeiten mit der Magnetnadel macht, könnte eine solche tägliche Oscillation verursachen. Wir wollen untersuchen, ob diese Hypothese die Erscheinungen erklären möge.

I. L (Fig. 59) sey derjenige Punkt, wo eines Ortes verlängerte Vertikallinie (Erdradius) das Himmelsgewölbe trifft. Leget man durch die Punkte P, L und H die zween Bögen eines großen Kreises PL und LH, so ist PL gleich dem Complementary der Breite des Ortes, LH das Maas desjenigen Winkels, den des Ortes Vertikallinie mit der mittleren Richtung TH der magnetischen Kräfte der Sonne bildet, und der sphärische Winkel PLH ist derjenige Winkel, welchen ein Vertikalkreis durch TH mit dem Meridiane des Orts bildet. Ist PS ein Declinationskreis durch die Sonne, so ist nach obigem §. der Winkel $SPH = 270^\circ - g - A$. Aber der Winkel SPL ist der Sonne Stundenwinkel oder die in Grade verwandelte wahre Zeit. Wird dieser Winkel $SPL = t$ gesetzt, so ist der Winkel $LPH = SPH - SPL = 270^\circ - g + A - t = z$; ferner ist im Dreyeck LPH, wenn die Breite des Ortes gesetzt wird $= p$, der Bogen $PL = 90^\circ - p$, der Bogen $PH = f$. Hieraus findet sich

$$\cos LH = \cos PL \cdot \cos PH + \sin PL \cdot \sin PH \cdot \cos LPH$$

$$\cotang PLH = \frac{\cotang PH \cdot \sin PL - \cos PL \cdot \cos LPH}{\sin LPH},$$

oder, wenn man setzt $LH = h$, $PLH = i$

$$1) \cos h = \sin p \cdot \cos f + \cos p \cdot \sin f \cdot \cos z$$

$$2) \cotang i = \frac{\cotang f \cdot \cos p - \sin p \cdot \cos z}{\sin z}.$$

II. ANBS (Fig. 60) sey des Ortes Horizont, ZL die Vertikallinie, HL die mittlere Richtung der magnetischen Kräfte der Sonne (dieselbe wie die Linie HT Fig. 59); NLS sey des Ortes Mittagslinie, N ihr Nordpunkt, S ihr Südpunkt. Man lege durch die Vertikallinie ZL und die Linie HL den Vertikalkreis ZHAB, so ist der Bogen ZH ($= LH$ Fig. 59) $= h$, ALN ($= PLH$ Fig. 59) $= i$. Ist ILi die Stellung der Neigungsnadel, und man leget durch ILi den Vertikalkreis ZMim, so wird MLm die Stellung der Abweichungsnadel und NLM die westliche Abweichung des Compasses. Die magnetischen Kräfte der Sonne wirken also auf die horizontale Magnetnadel nach der Richtung HLh, anziehend oder abstoßend den Nordpol der Nadel, je nachdem der nördliche Magnetpol der Sonne mit demselben gleichartig oder ungleichartig ist. Sind der Erde magnetische Axen durch Vertheilung mittelst der Einwirkung der magnetischen Kräfte der Sonne erzeugt, so muß der magnetische Nordpol der Sonne ungleichartig seyn mit den magnetischen Nordpolen der Erde, und da diese wieder mit dem Nordpole der Erde ungleichartig sind, so muß der Nordpol der Sonne das Nordende der Nadel abstoßen. Unter dieser Voraussetzung wirken sonach der Sonne magnetische Kräfte in der Fläche HLM abstoßend das Nordende der Nadel ML und anziehend ihr Südende Lm, mit einer Kraft, die mit dem Sinus des Winkels HLM proportionirt ist. Da aber diese Kraft in einer Fläche HML wirkt, welche einen schiefen Winkel HMN mit dem Horizonte macht, so kann sie in zween Seitenkräfte aufgelöst werden, deren eine senkrecht gegen den Horizont, die andere parallel mit demselben ist. Die erstere derselben wird bey der Nadel eine vertikale, die letztere eine horizontale Bewegung verursachen.

Im Dreyeck HZM ist $HZ = h$, $ZM = 90^\circ$, $HZM = AN + NM = i + \delta$, wenn die Abweichung $NLM = \delta$ gesetzt wird. Also findet sich



oder

$$5) \cos \gamma' = \sin h \cdot \cos \mathfrak{Z} \cdot \cos(i + \delta) - \cos h \cdot \sin \mathfrak{Z}$$

$$6) \cotang m' = \frac{\cotang h \cdot \cos \mathfrak{Z} + \sin \mathfrak{Z} \cdot \cos(i + \delta)}{\sin(i + \delta)}.$$

Diejenige Kraft, womit der Sonne magnetische Kräfte die Neigungsnadel in der Fläche HIL zu bewegen streben, ist sonach $= S \cdot \sin \gamma'$, und derjenige Theil derselben, welcher parallel wirkt mit der Vertikalebene ZMI $= P' = S \cdot \sin \gamma' \cdot \cos m'$. Solange also m' kleiner ist als 90° , oder $\gamma' < 180^\circ$, vergrößert die Kraft P' die Neigung, im entgegengesetzten Falle vermindert sie dieselbe.

Da sowohl die Polhöhe des Ortes, als die Abweichung der Magnetnadel auf die GröÙe der Kraft P Einfluß äußern, so werden die nach dieser Hypothese berechneten täglichen Schwingungen der Magnetnadel von verschiedener GröÙe seyn und zu verschiedenen Zeiten an Orten eintreffen, wo Abweichung und Polhöhe verschieden sind. Allein da die Winkel f und g nach dem vorigen §. einerley GröÙe auf zween einander entgegengesetzten Punkten der Erdbahn haben, so erhalten auch die Winkel h und i (I. 1, 2) einerley Werth, wenn der Winkel z an beiden Orten gleich groß ist. An dem einen Orte sey $z = 270^\circ - g - A - t$, an dem andern $z' = 270^\circ - g - A' - t'$, so ist $z = z'$, wenn $A + t = A' + t'$; aber an zween einander diametral entgegengesetzten Orten der Erdbahn ist $A = A' - 180^\circ$; also wird $z = z'$, wenn $t' - t = 180^\circ$. Hieraus folgt, daß die Winkel h und i , folglich auch die Winkel γ und m (II. 5, 4) an solchen zween Orten dieselben Werthe erhalten, nur an letzterem Orte 12 Stunden später als an ersterem. Da aber $P = S \cdot \sin \gamma \cdot \sin m$ (III.), so ergibt sich hieraus, daß der Nadel größte östliche oder westliche Elongation in der einen Jahreshälfte 12 Stunden später eintreffen würde, als in der andern; welches der Erfahrung widerstreitet.

Wird in Paris angenommen die Polhöhe $p = 48^\circ 50'$, die Abweichung $\delta = 21^\circ 30'$, so finden sich für die Kraft P für die vier Jahreszeiten folgende Werthe zu verschiedenen Stundenzeiten des Tages:

Werth von P .				
Uhr.	Frühlings- Nachtgleiche.	Sommer- Sonnenwende.	Herbst- Nachtgleiche.	Winter- Sonnenwende.
0	— 0,2004	+ 0,3896	+ 1,0559	+ 0,5102
1	+ 0,0027	+ 0,5795	+ 0,8571	+ 0,3100
2	+ 0,2357	+ 0,7418	+ 0,6280	+ 0,1211
4	+ 0,6828	+ 1,0095	— 0,0126	— 0,1740
6	+ 1,1391	+ 1,1205	— 0,2354	— 0,2968
8	+ 1,5646	+ 1,0453	— 0,4790	— 0,2141
10	+ 1,3420	+ 0,8041	— 0,4565	+ 0,0521
12	+ 1,0769	+ 0,4620	— 0,1965	+ 0,4303
13	+ 0,8740	+ 0,2807	+ 0,0264	+ 0,6400
14	+ 0,6404	+ 0,1096	+ 0,2311	+ 0,8193
16	— 0,0129	— 0,1576	+ 0,6696	+ 1,1149
18	— 0,2400	— 0,2687	+ 1,1170	+ 1,2374
20	— 0,4885	— 0,1939	+ 1,3581	+ 1,1544
22	— 0,4655	+ 0,0472	+ 1,3159	+ 0,8881

Aus vorstehender Tabelle geht hervor, daß in Gemäßheit dieser Hypothese der Nadel *westlichster Stand* um die Frühlings-Nachtgleiche Abends um 8 oder 9 Uhr, um die Sommer-Sonnenwende Abends um 6 Uhr, um die Herbst-Nachtgleiche um 20 oder 21 Uhr d. h. gegen 9^u des Vormittags, und um die Wintersonnenwende um 18^u, d. i. um 6^u des Vormittags eintreffen würde. Der östlichste Stand würde, denselben Berechnungen zufolge, um die Frühlings-Nachtgleiche Vormittags um 8^u, um die Sommersonnenwende Vormittags um 6^u, um die Herbst-Nachtgleiche Abends um 8 oder 9 Uhr und um die Wintersonnenwende etwa um 7^u des Abends eintreffen. Diese Hypothese scheint also auch nicht hinzureichen, um diese täglichen Oscillationen der Magnetnadel zu erklären.

§. 25. Noch zeigt sich ein Umstand bey den täglichen regelmässigen Oscillationen der Magnetnadel, welcher vielleicht schwieriger zu erklären ist als alle übrigen. Aus der Periode der Oscillationen, welche mit dem Sonnentage zusammenfällt, leuchtet nämlich ein, daß sie aus der Sonne entspringen. Warum sind aber denn die Winteroscillationen kleiner als diejenigen im Sommer? Alle andern dynamischen Wirkungen der Sonne auf die Erde sind des

Winters in Gemäßheit des geringeren Abstandes stärker als des Sommers. Unter übrigens gleichen Umständen (bey gleicher Sonnenhöhe und gleicher Klarheit unsrer Atmosphäre) ist z. B. die leuchtende und erwärmende Kraft der Sonne im Winter größer als im Sommer. Was einzig den Sommer vor dem Winter auszeichnet, ist der Sonne größere Höhe über dem Gesichtskreis in jener Jahreszeit. Sollte dieses vielleicht auch von einigem Einflusse seyn auf die Wirkung der magnetischen Kräfte der Sonne? Sollte etwa das Licht das Vehikel der magnetischen Kräfte abgeben? Haben wir vielleicht bisher in dieser Untersuchung geirrt, indem wir die magnetische Kraft als eine durchdringende behandelten, die sich eben so wohl auf die Nadel äußerte, wenn die Sonne unter, als wenn sie über dem Gesichtskreis war? Aus *Gilpins* Beobachtungen geht hervor, daß der Nadel tägliche Oscillation ungefähr mit dem Aufgange und Untergange der Sonne anfängt und endet, dergestalt daß sie in der Nacht beynahe stillstehend ist. Dies scheint die oberrühnte Muthmaßung zu bestätigen. Gleichwie man die Wirkung eines Magneten auf eine Magnetnadel dadurch vermindern kann, daß man eine Fläche weichen Eisens dazwischensetzt, welche, so zu sagen, die magnetischen Kräfte auf einen andern Weg lenkt, und gleichwie man in den sogenannten *isolirten Compässen* durch Einschließung der Nadel in eine Dose von weichem Eisen der Störung der Nadel durch andre magnetische Kräfte vorbeugen zu können glaubt, gerade so würden vielleicht die magnetischen Kräfte der Sonne durch die dazwischentretende Erdmasse absorbiret, wenn nämlich die Nadel während der täglichen Umdrehung der Erde in die Schattenseite der Erde hineinkommt. In solchem Falle müßten die Werthe von P im vorigen §. noch multiplicirt werden mit dem Sinus der Sonnenhöhe über den Pariser Horizont.

Bezeichnet h die Höhe der Sonne, d ihre Declination, t ihren Stundenwinkel, p die Polhöhe, so ist $\sin h = \sin p \cdot \sin d + \cos p \cdot \cos d \cdot \cos t$. Ist die Pariser Polhöhe $p = 48^\circ 50'$, und setzt man $d = 0$, oder $d = \pm 23^\circ 28'$, endlich nach und nach $t = 0^\circ, 15^\circ, 30^\circ$ u. s. w., so findet man aus obiger Formel die Höhen der Sonne über den Pariser Horizont des Mittags, um $1^u, 2^u$ u. s. w. an den Tagen der Sonnenwenden und der Nachtgleichen. Mit dem Sinus dieser solchergestalt berechneten Sonnenhöhen sind die Werthe von P

im vorigen §. multiplicirt, und die nachstehende Tabelle enthält diese Producte $P. \sin h = \mathfrak{P}$.

Stunden.	Nachtgleichen.				Sonnenwenden.			
	☉ Höhe.	Frühling.	Herbst.		Sommer.		Winter.	
		\mathfrak{P} .	\mathfrak{P} .		☉ Höhe.	\mathfrak{P} .	☉ Höhe.	\mathfrak{P} .
6 Vorm.	0° 0'	0,0000	0,0000		17° 27'	— 0,0806
8 —	19 13	— 0,1608	+ 0,4404		36 59	— 0,1166	0° 7'	+ 0,0023
10 —	34 45	— 0,2654	+ 0,7502		55 21	+ 0,0388	12 54	+ 0,1983
12 —	41 10	— 0,1319	+ 0,6951		64 38	+ 0,3520	17 42	+ 0,1551
1 Nachm.	39 29	+ 0,0017	+ 0,5449		62 0	+ 0,5117	16 28	+ 0,0879
2 —	34 45	+ 0,1343	+ 0,3580		55 21	+ 0,6102	12 54	+ 0,0270
4 —	19 13	+ 0,2247	— 0,0041		36 59	+ 0,6073	0 7	— 0,0004
6 —	0 0	0,0000	0,0000		17 27	+ 0,3560

Aus vorstehender Tabelle ersieht man, daß nach dieser Hypothese die Nadel folgende Bewegungen haben würde. Um die Frühlings-Nachtgleiche würde sie von Sonnenaufgang an etwas ostwärts gehen bis um 10 Uhr des Vormittags, worauf sie gen Westen wandern und ihre westliche Elongation zwischen 2 und 4 Uhr des Nachmittags erreichen würde. Um die Herbst-Nachtgleiche würde sie westwärts wandern von Sonnenaufgang an bis zwischen 10 und 12 Uhr des Vormittags, worauf sie des Nachmittags wieder nach Osten zurückkehren würde. Um die Sommersonnenwende würde die Nadel nach Osten wandern von Sonnenaufgang an bis 8 Uhr des Vormittags, hierauf nach Westen bis 2 Uhr des Nachmittags, und des Abends wieder zurück nach Osten, doch dergestalt, daß sie in den Abendstunden westlicher wäre als in den Morgenstunden. Endlich wanderte die Nadel um die Wintersonnenwende nach Westen von Sonnenaufgang an bis zwischen 10 und 12 Uhr des Vormittags, und von da zurück nach Osten bis Sonnenuntergang. Ferner würden die Oscillationen im Sommer etwa drey Mal so groß seyn als im Winter.

Obzwar nun diese Ergebnisse der Erfahrung ziemlich entsprechen, so sind doch der Mischlichkeiten zu viele, als daß dieses Problem auf diese Weise als vollkommen gelöst betrachtet werden könnte. Vielleicht wäre eine glückliche

Verknüpfung mehrerer in den vorigen §§. aufgestellten Hypothesen zur Erklärung aller Umstände dieser Erscheinung erforderlich. Dafs *Cantons* *) Erklärung (welche meines Wissens die einzige bisher gegebene, wenigstens die einzige ist, die einige Wahrscheinlichkeit hat) nicht genügend seyn könne, ergibt sich aus folgenden Gründen. Wäre die tägliche Wanderung der Nadel die Folge einer täglichen Zu- und Abnahme der Kräfte der Magnetaxen, erregt durch ihre gegenseitige Erwärmung von der Sonne und Wiederabkühlung, so müßte der Nadel westliche Elongation an allen Orten der Erdkugel in einem und demselben Augenblicke eintreffen; allein dies ist, wie uns die Erfahrung gelehrt hat, nicht der Fall. Ueberdies ist nach Hptst. 7 die Länge der Magnetaxen nicht größer als die Hälfte des Erddurchmessers; der Abstand ihrer Endpunkt von der Erdoberfläche ist somit ungefähr $\frac{1}{2}$ Erdhalbmesser oder 450 geographische Meilen; allein wie würde die Sonnenwärme binnen wenigen Stunden bis zu einer solchen Tiefe hingelangen?

Wir sind also wohl zu dem Geständnisse genöthigt, dafs wir die wahre Ursache dieser Erscheinung noch nicht kennen. Und da uns alle Umstände derselben noch nicht bekannt sind, so scheint es jetzt zu frühzeitig zu seyn nach einer Theorie derselben zu forschen. Etwas Neues können uns Beobachtungen in *Europa* wohl schwerlich weiter lehren, zumal wenn uns die Beobachtungen künftighin, wie bisher beynahe durchgängig geschehen ist (*Gilpins* jedoch ausgenommen), blos monatliche Mittelzahlen des Standes der Nadel zu bestimmten Tageszeiten mittheilen. Jede solche Mittelzahl setzt eine Periode voraus, die mit dem Sonnentage zusammenfällt; hat die Erscheinung zugleich andre Unregelmäßigkeiten, deren Periode mit dem Sonnentage nicht zusammenfällt, so verschwinden die Spuren derselben in den monatlichen Mittelzahlen. Gesetzt z. B. die Nadel machte eine kleine Schwingung von ein paar Minuten kurz nach der Culmination des Mondes, so würde, da der Monden- tag beynahe eine Stunde länger ist als der Sonnentag, diese Unregelmäßigkeit in der Zeit eines synodischen Monats oder in $29\frac{1}{2}$ Tagen in 24 Stunden die Runde durchlaufen oder nachgrade zu allen 24 Stunden des Tages eintreffen.

*) Siehe oben §. 8, S. 422-423.

Eine solche Unregelmäßigkeit ließe sich folglich durch die monatlichen Mittelzahlen nicht entdecken. Was hingegen diesen dunkeln Gegenstand über die Massen aufhellen könnte, wären *Beobachtungen über der Nadel tägliche Schwingungen und Bestimmung der Epochen der letzteren an mehreren Orten nahe an den beiden Erdpolen und am Aequator*, wie in Grönland, der Hudsonsbay, der Behringsstraße, Sibirien, am Vorgebirge der guten Hoffnung, am Feuerlande, in Neuholland u. s. w. Durch Vergleichung der Stundenzeit der größten westlichen und östlichen Elongation der Nadel an allen diesen Orten würde man wahrscheinlich auf die rechte Spur kommen. Man versäume nicht die Untersuchung dieser Bewegungen der Magnetnadel, weil sie so *klein* sind, daß sie fast nicht anders als mit bewaffnetem Auge zu bemerken sind. Gleichwohl möchten sie vielleicht zu *großen* Resultaten leiten, wie sie denn schon zum Theil zu solchen geleitet haben, was in der zweyten Abtheilung dieses Werkes vom Polarlichte an den Tag gelegt werden wird; und je mehr sie sich in Dunkel verhüllen, desto tiefer muß ihre Ursache liegen, desto mehr verdient diese also ergründet zu werden.

§. 24. Ehe ich gegenwärtige Untersuchung von den mechanischen Erscheinungen des Magneten ganz beseitige, kann ich nicht umhin einige Fragen zu berühren, die sich von selber aufdrängen und deren glückliche Beantwortung in viele andere Zweige der Naturkunde scheint eingreifen zu müssen, obgleich hinwiederum eine solche Beantwortung theils bey dieser Untersuchung nicht vonnöthen ist, theils vermuthlich Kenntnisse voraussetzet, die außerhalb unsers gegenwärtigen Gesichtskreises liegen. Diese Fragen sind folgende: *Warum ist die Länge der Magnetaxen der Erde auf $\frac{1}{3}$ oder $\frac{2}{3}$ des Erddurchmessers eingeschränkt?* oder mit andern Worten: *warum reichen sie nicht grade bis auf die Erdoberfläche?* *Was hat jene zwiefache magnetische Differenz im Innersten der Erde erregt?* *Wie sollen wir uns die Möglichkeit der Bewegung der Magnetaxen denken, und was ist die Ursache dieser Bewegung?*

Die erste Frage vermag ich nicht anders als auf folgende Weise zu beantworten. Der Erde innerer Kern ist eine metallische Kugel, dessen Halbmesser zwischen $\frac{4}{10}$ und $\frac{6}{10}$ des Erdhalbmessers ist, die Kugel muß aus einem der

drey Metalle, Eisen, Nickel oder Kobalt bestehen, welche, so weit unsre heutige Erfahrung reicht, die einzigen sind, so der magnetischen Kräfte in einem bedeutenden Grade empfänglich sind. Aus *Bouguers* und *Condaminés* Beobachtungen am nördlichen und südlichen Fulse des *Chimborasso* und noch besser aus denjenigen des *Maskelyne* am Berge *Sinphallien* in Schottland ist bekannt, daß die mittlere Dichtigkeit der Erdkugel $4\frac{1}{2}$ mal größer ist als diejenige des Wassers. *Schubert* bemerkt desfalls in seiner populären *Astronomie* (3 Th., S. 232): "es ist sehr merkwürdig, daß die specifische Schwere oder Dichtigkeit der ganzen Erdkugel, als eine gleichförmige Masse betrachtet, auf das genaueste mit der Dichtigkeit des reinen *Magnets* übereinkömmt, worin diejenigen, die annehmen, daß die eigentliche Erdkugel aus einem großen magnetischen Kern bestehe, eine starke Bestätigung ihres Systems finden werden. Dieser magnetische Kern machte dann den eigentlichen Bestandtheil der Erde aus, und Gold, Eisen, Wasser u. s. w. wären nur auf der Oberfläche hingeworfene Spähne, oder Fragmente der äußern Rinde, die auf die specifische Schwere des ganzen Körpers um so weniger Einfluß haben können, da sie durch Höhlen und leere Räume ersetzt werden". Dieser *Schubertsche* Satz muß in Gemäfsheit des Obigen dahin modificiret werden: Ist der Radius des innern Metallkernes gleich $\frac{1}{2}$ Erdradius, so ist sein Cubikinhalt gleich $\frac{1}{8}$ desjenigen der Erde, sonach der Cubikinhalt der äußeren Kugelhinde $\frac{7}{8}$ desjenigen der Erde. Wird der Cubikinhalt der ganzen Erdkugel als Einheit angenommen, ihre mittlere Dichtigkeit $= m$, die Dichtigkeit des Kernes $= n$, der Rinde $= x$, so ist $\frac{7}{8} \cdot x + \frac{1}{8} \cdot n = 1 \cdot m$, also $x = \frac{1}{7} (8m - n)$. Wird angenommen $m = 4,5$, und daß

der Kern bestehe aus Magnet, Kobalt, Eisen, Nickel;

so wird nach *Bergmann* $n =$ 4,50 7,70 7,80 9,00

also der Rinde mittlere Dichtigkeit $x =$ 4,50 4,04 4,03 3,85

Die mittlere Dichtigkeit der Rinde wird also selbst in den drey letzteren Fällen noch größer als diejenige der meisten Erdarten, und muß sonach aller Vermuthung nach noch starke metallische Mischungen oder Schichten enthalten, wodurch die Meinung derer, welche viele Kraftäußerungen der Erde aus galvanischen Kräften ableiten wollen, einige Stärke gewinnt.

Anlangend die zweyte Frage von dem Ursprunge der magnetischen Axen, so können wir uns dieselben denken entweder als zugleich mit der Erde selbst hervorgebracht, oder später entstanden. In ersterem Falle ist kein Grund ihrer veränderten Lage einzusehen, in letzterem müssen sie entweder durch der Erde *eigene*, oder durch *äußere Kräfte* erzeugt seyn. Wären die Axen durch eine innere Thätigkeit in der Erde selbst entstanden, so scheint sich hinwiederum ihre veränderte Lage nicht leicht erklären zu lassen, und der entgegengesetzten Kräfte Streben nach Vereinigung möchte wohl auch eine kräftige äußere Anregung erheischen, wenn eine solche Scheidung möglich werden sollte. Es scheint mir sonach am wahrscheinlichsten, ihren Ursprung in der Sonne als der Urquelle aller Lebensäußerungen zu suchen; und diese Vermuthung wird durch die obigen Bemerkungen über der Nadel tägliche Oscillationen bestätigt. Man könnte sich also denken, die Sonne habe Eine oder mehrere magnetische Axen, und diese erregten durch Vertheilung die magnetische Differenz in der Erde, dem Monde und allen denjenigen Globen des Planetensystems, deren innerer Bau eine solche gestattete. Allein dadurch scheint die Hauptschwierigkeit nicht überwunden, sondern dem Auge blos in weitere Ferne entrückt worden zu seyn; denn man fragt mit demselben Grunde: *woher hat denn die Sonne ihre magnetischen Kräfte erhalten?* Nehmen wir von der Sonne unsre Zuflucht zu einer Centralsonne, und von dieser wiederum zu einer universellen magnetischen Richtung im Universum, dessen Aequator die Milchstraße wäre, so reihen wir Glied an Glied in einer freischwebenden Kette, wo ein jedes an einem vorigen hinge, ohne daß ihrer irgend eines einen festen Stützpunkt hätte. Mir dünkt deshalb folgende Vorstellungsart die natürlichere zu seyn. Wenn ein Glob allein frei im unermesslichen leeren Raume schwebete, so würden die entgegengesetzten Kräfte der Materie auf diesem entweder in Ruhe seyn oder sich ihrer Natur gemäß bald in Ruhe setzen, und alles Leben würde auf demselben bald erlöschen. Denken wir uns noch eine Kugel hervorgebracht, so entsteht zwischen beiden ein Wechselverhältniß; eine der Folgen desselben ist ein gegenseitiges Bestreben nach Vereinigung, welches man mit dem nichtsbesagenden Worte Attraction belegt und oft dadurch erklärt glaubt. Sollte dieses Streben die einzige Folge jenes Wechselverhältnisses seyn?

Ist es nicht glaublicher, daß, wenn der Grundkräfte indifferenten oder ruhenden Zustand aufgehoben wird, sie alsdann ihre Thätigkeit in allen möglichen Richtungen äußern, so daß alle mögliche Gegensätze hervortreten? Der elektrische Gegensatz wird nicht bloß durch Reibung, sondern auch durch Berührung hervorgerufen, wahrscheinlicher Weise auch, obwohl in ungleich geringerem Grade, durch zweyer Körper Wechselverhältniß auf Abstand; denn Berührung ist nur, und noch obendrein nur für einige wenige Theilchen, der möglichst geringste Abstand. Ist es nicht denkbar, daß der magnetische Gegensatz auf dieselbe Weise entstehen könnte? Wenn der Physiker und Mathematiker keiner andern Wirkung der gegenseitigen Wechselverhältnisse zweyer Körper auf Abstand achtet, als des Strebens nach Vereinigung (Attraction), solange sie bey ihren Untersuchungen nichts anders bedürfen als einer bewegendes Kraft, so handeln sie folgerecht; allein behaupten sie keine andere Thätigkeit könne daraus entstehen, so muß diese Behauptung bewiesen werden, und sie zu beweisen wird wohl schwer halten.

Es scheint mir also möglich, daß durch das Wechselverhältniß, welches zwischen der Sonne und allen Planeten und zwischen letzteren und ihren Trabanten Statt findet, in jedem dieser Globen, sofern dessen materielle Bestandtheile solches gestatten, ein magnetischer Gegensatz erregt werden könne, in einer Richtung, welche abhängig seyn muß von der Lage der Umdrehungsaxe gegen die Fläche der Bahn. Jeder der Planeten könnte also in der Sonne eine eigene magnetische Axe erzeugen; da aber ihre Bahnen nur kleine Winkel wechselseitig mit einander und dem Sonnenäquator machen, so fallen diese magnetischen Axen vielleicht insgesamt mit der Umdrehungsaxe jener zusammen. Die Planeten, welche ohne Monden sind, würden alsdann nur Eine magnetische Axe haben, die übrigen allemal eine Axe mehr als sie Monden haben, sofern diese verschiedenen Axen wegen des gegenseitigen geringen Winkelabstandes der Mondbahnen nicht etwa in eine einzige zusammenfielen. Die conischen Bewegungen der Rotationsaxen der Planeten um die Pole der Ekliptik (bey der Erde die Präcessionsbewegung), verbunden mit der rotirenden Bewegung der Bahnen um die Aequatorialfläche der Sonne (welche bey der Erde die gegenwärtige Abnahme der Schiefe der

Ekliptik verursacht), möchte dann vielleicht die veränderte Lage der Axen erklären. Diese Vermuthung würde sehr bestärkt werden, falls (was doch etwas zweifelhaft scheint) die am Schlusse des dritten Hauptstückes gefundene große Magnetperiode, nach deren Verlaufe beide Magnetaxen wieder dieselbe Lage einnehmen, wirklich als mit der Präcessionsperiode zusammenfallend gefunden werden sollte.

Ende des ersten Theiles.



A N H A N G,

ENTHALTEND

B E O B A C H T U N G E N

DER

ABWEICHUNG UND NEIGUNG

DER MAGNETNADEL.

THE UNIVERSITY OF CHICAGO

I. TAFEL:

Abweichung der Magnetnadel

für verschiedene Orte der Erde, nebst dem Namen des Beobachters, der Beobach-
tungszeit, und der geographischen Breite und Länge
des Beobachtungsortes (1).

Namen der Orte Dänemark, Nor- wegen und Schweden.	Beobachter	Zeit der Beobachtung	Magne- tische Abwei- chung	Jahr. Veränd.	Geographische		
					Breite	Länge	
						Ferro	Green- wich
Arendal, Norw. . .	Vibe und Aubert .	1796	21°20'w	'	58°34'	26° 5'	8°25'
Arboga, Schw.	1799	17 25		59 23	33 25	15 45
Avestad, Schw.	1799	17 40		59 55	34 13	16 33
Bergen, Norw. . . .	Holm . .	8 Juni 1768	19 20	—	60 24	23 1	5 21
	Vibe . . .	— — 1791	24 45	7,9			
	id. . . .	— — 1792	25 50	—			
Boumel Insel, Norw.	id. . . .	— — 1792	24 52		59 34	22 55	4 19
Bessested, Island . .	Lievog . .	— — 1780	34 30		64 16	355 36	337 56
Christiansund, Norw.	Holm . . .	28 Mai 1768	16 30	12,7	63 7	25 46	8 6
Christiansand, Norw.	Aubert . .	— — 1794	22 0	—	58 8	25 58	7 58
Christiania, Norw. .	Holm . . .	27 Oct. 1761	15 15	12,6	59 55	28 22	10 42
	id. . . .	15-30 Jan. 1769	16 45	10,5			
	Hansteen	23 Jan. 1816	20 15				
	id. . . .	10 März 1817	20 5				
Carlberg, Schw.	— — 1799	17 5				
Carlscrone, Schw.	— — 1716	11 15		56 10	33 11	15 31
Dyrefjords Hafen, Isl.	Löwenörn	16 Juli 1786	42 41		65 52	358 51	341 11
Fahlun, Schw.	— — 1799	18 45		60 36	33 15	15 35
Flekkerøe, Norw. . .	Löwenörn	14-16 Oct. 1783	19 29		58 6	24 37	6 57



Abweichung.

3

Namen der Orte Dänemark, Nor- wegen und Schweden.	Beobachter	Zeit der Beobachtung	Magne- tische Abwei- chung	Jahrl. Veränd.	Geographische		
					Breite	Länge	
						Ferro	Greenw
Kopenhagen	Lous (Sohn)	15 Oct. 1771	16° 2w				
	id.	18-22 Sept. 1772	16 17				
	Verdun .	Aug. 1772	16 0				
	Lous . . .	23 Apr. } 1773	16 12	12,6			
		22 Mai }					
	id.	23-28 Mai 1773	16 16				
			16 17				
	id.	11-15 Aug. 1773	16 22				
	id.	19-21 Nov. 1773	16 9				
	id.	16-22 Dec. 1773	16 20				
	id.	Jan. 1774	16 17				
	id.	19-20 Febr. 1774	16 20				
	id.	20-26 Juli 1774	16 32				
	id.	15-16 Oct. 1774	16 27				
	id.	20 Mai 1775	16 37				
	id.	31 Juli }					
		5 Aug. }	1775 16 20				
	id.	17-20 Aug. 1775	16 33				
	id.	23-27 Oct. 1775	16 26				
	id.	Novb. Dec. 1775	16 27				
	id.	Jan. 1776	16 27	6,6			
	id.	Febr. 1776	16 30				
	id.	März 1776	16 30				
	id.	6-10 Aug. 1776	16 28				
	id.	10-16 Aug. 1776	16 32				
	id.	7 März 1777	16 20				
	id.	28-29 März 1777	16 39				
	id.	— — 1779	17 5				
	Bugge . .	— — 1782	17 41	7,4			
	id.	— — 1783	17 49				
	Lous . . .	Juli 1784	17 42				
	Bugge . .	— — 1784	18 0				
	id.	— — 1785	18 7	5,1			
	id.	— — 1786	18 9				
	id.	Sept. 1792	18 23				
	id.	— — 1793	18 15	0,0			
	Wleugel .	19 Mai 1806	18 25				
	id.	5 Oct. 1807	18 21				
	id.	24 Juni 1808	18 22				
	id.	17 Mai 1809	18 22				
	id.	24 Juni 1810	18 16				
	id.	7 Juni 1812	18 17	stillstehend,			
	id.	1 Juni 1813	18 22				
	id.	10 Juni 1813	18 11				
	Bugge . .	2 Oct. 1813	18 10				
	id.	5 Oct. 1813	18 14				
	id.	6 Oct. 1813	18 8				

Namen der Orte Dänemark, Nor- wegen und Schweden	Beobachter	Zeit der Beobachtung	Magne- tische Abwei- chung	Jahrl. Veränd. oder rückgängig.	Geographische		
					Breite	Länge	
						Ferro	Greenw
Kopenhagen	Wleugel .	23 Juni 1814	17° 58 1/2	oder rückgängig.	• •	• •	• •
	id.	24 Juni 1814	17 56				
	id.	29 Sept. 1814	17 56				
	id.	27 Juli 1815	18 6				
	id.	23 Aug. 1815	18 3				
	id.	16 Sept. 1815	18 5 1/2				
	id.	4 Juli 1816	18 15				
	id.	5 Juni 1817	18 5				
	id.	7-8 Sept. 1817	17 55 1/2				
Lindesness, Norw. .	J. Hall . .	6 Mai 1605	7 10 6		57 50	24 54	7 14
Lofoeden Ins., Norw.	H. Hudson	30 Juli 1608	0 0		68 46	27 7	9 27
	id.	23 Mai 1609	0 0				
Lund Pfarrhof, Norw.	A. Pihl .	— — 1785	19 30w		58 27	24 16	6 36
Lyderhorn, Norw. .	Holm . .	— — 1768	19 20		60 22		
Lindesberg, Schw. .	Hiorter .	— — 1746	9 36				
Nord-Cap, Norw. . .	Bayley . .	Juni 1769	6 0		71 10	43 30	25 50
Nora, Schw.		— — 1799	18 35		59 30	32 39	14 59
Norrberke, Schw. .		— — 1799	17 35		60 8	33 1	15 21
Patricxfiord, Isl. . .	Verdun .	Juli 1772	33 30		65 36	353 56	336 16
Rust Ins. bey Lotoeden	Baffin . .	24 Juli 1613	4 8 6		68 0		
Stavanger, Norw. . .	Vibe und Aubert .	— — 1794	22 26w		58 56	22 51	5 11
Skudesnefs westl. Spitze von Norw. (4)	Wilh. Baffin	21 Mai 1613	8 0 6		61 30		
Stadthuk westl. Sp. von Norw.	Holm . .	3 Juni 1768	19 10w	10 5	62 12	23 8	5 26
	Vibe . . .	— — 1790	23 45	12 5			
Stokholm, Schw. (5)	Elvius . .	— — 1718	5 37	8 2	59 20	35 44	18 4
	Wilcke . .	18 Mai 1763	11 48				
	id.	25 Juni 1764	11 58				
	id.	20 Juni 1765	12 8				
	id.	5 Aug. 1766	12 15	3 0			
	id.	17 Juni 1767	12 21				
	id.	5 Juni 1768	12 28				
	id.	29 Mai 1769	12 33				
	id.	14 Juni 1771	13 4				
	id.	26 Juni 1772	13 4	7 1/2			
	id.	3 Juni 1775	13 20				
	id.	23 Juni 1777	13 56				
		— — 1786	15 34	9 8			
		— — 1787	15 17				
		1790 bis 1800	16 20	1 1/4			
	Svanberg	Juli 1811	15 52				
	Cronstrand	29 März 1817	15 36				
	id.	5 April 1817	15 34				
Salberg, Schw. . . .	Hiorter .	— — 1746	9 0		59 55	34 13	16 33
Sala		— — 1799	16 0	7 9			

Namen der Orte Dänemark, Nor- wegen und Schweden	Beobachter	Zeit der Beobachtung	Magneti- sche Abwei- chung	Jahr. Veränd.	Geographische		
					Breite	Länge	
						Ferro	Greenw
Söderbärke, Schw. . .	Hiorter . .	— — 1746	9° 15' W		°	°	°
Silö Bäk, Schw. . .	Schultén . .	12 Juni 1804	18 30		58 21	28 55	11 15
Sidankyla, Schw. . .	Hellant . .	März 1776	5 30		67 23	43 25	25 45
Skiervöens Kirche, N.	Holm . .	28 Mai 1768	16 30		63 7		
Strömstad, Schw. . .	Schultén . .	6 Juni 1804	18 0		58 57	28 52	11 12
Sulen Ins., Norw. . .	Vibe . .	— — 1791	27 15				
Trondhiem, Norw. . .	Holm . .	— — 1761	13 50		63 26	28 2	10 22
	Berlin . .	— — 1769	15 25	11,7			
	id. . .	— — 1770	15 30				
	id. . .	— — 1771	15 40	16,0			
	id. . .	— — 1772	16 6				
	id. . .	— — 1773	16 40				
	id. . .	— — 1774	16 46				
	id. . .	— — 1775	16 58				
	id. . .	— — 1776	17 30	14,8			
	id. . .	— — 1777	17 45				
	id. . .	— — 1778	17 50				
	id. . .	— — 1779	18 0				
	id. . .	— — 1780	18 0				
	id. . .	— — 1781	18 24	7,0			
	id. . .	— — 1782	18 30				
	id. . .	— — 1783	18 32				
	Vibe . . .	— — 1783	18 30				
	id. . .	— — 1784	18 35				
	id. . .	— — 1786	19 0				
Talvig, Norw.	Holm . .	22 Juni 1766	6 50		70 2	40 28	22 48
Torneå, Schw. . (6)	Bilberg und						
	Spole . .	— — 1695	7 0		65 51	41 52	24 12
	Mauvertuis	17 April 1736	5 5	12,5			
	Hellant . .	— — 1748	7 30	4,2			
	id. . .	Jan. 1767	8 50	17,5			
	id. . .	Jan. 1777	11 45				
Utsjoki	Hellant . .	19 Juli 1748	3 30		69 52	45 15	27 55
Upsal	Elvius . .	— — 1718	5 37	8,7	59 52	35 18	17 38
	Celsius . .	28 Juli 1740	8 49				
	Hiorter . .	— — 1746	8 45				
Uhma Capel, Norw. .	Holm . .	— — 1762	10 45		66 3	33 10	15 30
Uranienborg	Bartholin	— — 1672	2 35		55 54	30 22	12 42
Vardoehuus, Norw. .	Hellant . .	1-2-3 Aug. 1748	0 0		70 22	48 47	31 7
	Bützow . .	März 1775	5 32	13,5			
Vadsöe, Norw. . . .	Hellant . .	8 Aug. 1748	0 30	6,5	70 5	47 33	29 53
	Christie . .	28 Juni 1816	7 55				
Vangs Kirche, Norw. .	Darre . .	— — 1793	19 50		60 48	28 45	11 51
Vesterås, Schw. . .	— —	— — 1799	17 10		59 35	34 9	16 29
Vinga Bäk, Schw. . .	Schultén . .	24 Juni 1804	19 0		57 38	29 18	11 38
Örebroe, Schw. . . .	id. . .	26-27 Mai 1799	17 7		59 16	32 52	15 12

Abweichung.

7

Namen der Orte	Beobachter	Zeit der Beobachtung	Magnetische Abweichung	Jahrl. Veränd.	Geographische		
					Breite	Länge	
Das Russische Reich						Ferro	Greenw
Kursk	Inochodzow	— — 1784	5° 0 w		51° 45'	54° 4'	56° 24'
Kostroma	Inochodzow	— — 1782	5 45		57 47	58 53	41 13
Kesloff oder Eupatoria	Tchernoi .	25 Juli 1785	11 38		45 14	51 5	33 25
Lubny	Inochodzow	18 Mai } 1782	9 5		50 1	50 31	32 51
		13 Juni }					
Moscow (7)		Aug. 1732	5 26		55 45	55 26	37 46
Mosdok	Th. Tchernoi	10 Oct. 1785	6 40		45 43	58 10	40 30
Nezshni Kovima	Billings . .	Juni 1787	14 40 o		68 18	180 53	165 18
Nizni-Udinsk	Gmelin . .	10 Sept. 1755	3 15 w	5,1	54 55	116 42	99 2
	Schubert . .	1805	2 40 o				
Nertschinsk	Gmelin . .	17-28 Juni 1755	3 0 w				
Neschin	Inochodzow	1779	10 0		51 3	49 22	31 42
	id.	Febr. 1782	10 0				
Orenburg	L. Krafft . .	1769	3 30		51 46	72 46	55 4
			5 20				
Orsk	Chr. Euler	12 Juni 1769	0 15		51 13	75 55	58 15
Orel	Inochodzow	— — 1781	9 0		52 57	53 37	35 57
Petersburg (8)	Mayer . .	— — 1726	3 15		59 56	47 59	30 19
	de l'Isle . .	— — 1727	2 35				
	id.	— — 1750	4 40				
	Krafft . . .	Apr. 1741	5 56	stille.			
	Braun . . .	— — 1755	4 30				
	Krafft . . .	Mai 1772	5 30	1,0			
	Krafft . . .	— — 1774	4 50				
	Euler . . .	— — 1782	7 30	20,0			
	id.	24 Mai 1784	8 15	21,5			
	M. Henry	25 Aug. 1797	9 12	2,5			
	id.	— — 1805	11 0 ?				
		1806	7 52				
		1811	7 36				
		1812	7 16				
Perm	Schubert . .	— — 1805	1 10 o		58 1	74 6	56 26
Petropaulowska	Cook . . .	Oct. 1779	6 19 o	2,3	53 1	176 28	153 48
(Kamtschatka)	Klausenstern	Oct. 1805	5 20 o				
Petrosawodsk	Inochodzow	1785	5 9 w		61 47	52 3	34 20
Ponoi	Mallet . .	19 Apr. } 1769	1 10 o		67 4	58 49	41 9
		18 Mai }					
Peczora	J. Logan . .	16 Febr. 1611	22 30 w				
Pustozerskoi	W. Gourdon	30 Dec. 1614	20 0		65 48		
Reval		Juni 1751	7 50		59 26	42 19	24 39
Riga		Mai 1750	8 0		56 56	41 40	24 0
Samara	Astr. Jahrb.	— — 1770	8 10		48 29	53 2	55 22
Sietscha	ibid.	— — 1770	9 15		47 51	52 5	54 25
Sisran	ibid.	— — 1770	5 50		55 9	66 4	48 24
Selenginsk	Gmelin . .	3 Apr. 1755	0 0		51 6	124 18	106 38
	id.	15 Apr. 1755	0 30				
	id.	21-22 Mai 1755	2 45				

Namen der Orte Das Russische Reich	Beobachter	Zeit der Beobachtung	Magne- tische Abwei- chung	Jahr- Veränd.	Geographische		
					Breite	Länge	
						Ferro	Greenw
Saratow	Lowitz . .	26 Mai 1773 3 Juni	3° 28' w		51° 31'	63° 40'	46° 0'
Sewastropol	Tchernoi .	14 Aug. 1785	11 13		44 41	51 14	33 34
Tscherkask	Astr. Jahrb.	— — 1770	5 50		47 13	57 30	39 50
Tara	Schubert .	— — 1805	6 6 ö		56 55	91 45	74 5
Tomsk	Schubert .	— — 1805	5 37 6		56 30	107 50	90 10
Tobolsk (9)	Stralenberg	— — 1716	0 0		58 12	86 5	68 25
	Chappe . .	19 Juli 1761	3 46 ö	4,6			
	Schubert .	— — 1805	7 9 ö	4,6			
Tanbow	Inochodzow	— — 1784	5 45 w		52 44	59 25	41 45
Umba	Pictet . . .	8 Mai 1769	3 30		66 44	51 53	34 13
Ufa	Astr. Jahrb.	29 Sept. 1769	1 30 ö		54 43	73 33	55 53
Ustkamenogorskaio .	Islenief . .	11 Apr. 1770	2 0 ö		49 56	100 20	82 40
Wologda	Inochodzow	— — 1785	3 52 w		59 13	57 50	40 10
Woronesch	Inochodzow	23 Sept. 1783 20 Oct.	8 0		51 40	56 55	59 15
Zarizin	Astr. Jahrb.	— — 1770	4 50		48 42	62 7	44 27
Deutschland, Preussen, Niederlande u. Schweiz.							
Antwerpen (10) . . .	Astr. Jahrb.	gegen 1600	9° 0' ö		51 13	22 4	4 24
Amsterdam		— — 1767	17 30 w		52 22	22 32	4 52
Augsburg	ibid.	— — 1772	16 40	4,1	48 24	28 33	10 53
Berlin	Humboldt	— — 1798	18 26				
	Chr. Kirch	— — 1717	10 42		52 32	51 1	13 21
	id.	26 Nov. 1717	10 52				
	id.	13 Aug. 1724	11 45	7,1			
	id.	14 Juni 1725	11 56				
	id.	15 Juni 1725	11 52	5,6			
		1 Aug. 1751	14 16				
	Reccard .	— — 1764	14 15	5,9			
	Bernoulli	6 Oct. 1770	16 9				
		1 Nov. 1773	16 48				
		10 Juni 1774	16 54				
	Schulze . .	26 Sept. 1775	17 1½				
	id.	18 März 1777	16 42				
	id.	25 Aug. 1777	16 45	8,2			
	id.	29 Sept. 1778	16 45				
	id.	1 Oct. 1779	16 46½				
	id.	5 Oct. 1780	16 48				
		— — 1782	17 47				
		— — 1783	17 51				
		— — 1784	17 57	8,2			
		— — 1785	18 3				
		— — 1786	18 20				
Bode . . .		11 Dec. 1787	17 44				

Abweichung.

9

Namen der Orte	Beobachter	Zeit der Beobachtung	Magnetische Abweichung	Jahr, Veränd.	Geographische		
					Breite	Länge	
Deutschland, Preussen, Niederlande u. Schweiz						Ferro	Greenw
Berlin (11)	Bode . . .	1788	17° 5' W				
	id.	11 Juni 1805	18 5				
	id.	27 Juni 1805	17 57				
	id.	17 Sept. 1805	18 2				
Bonn		1782	17 20	—	50 41	24 41	7 1
		1784	17 41	15,8			
		1787	18 1				
		1788	18 55				
Danzig (12)		— — 1628	1 0	—	54 21	56 18	18 38
		1642	3 15	9,6			
		22 Juni 1670	7 20	8,7			
		20 Juni 1682	8 48	7,3			
		1760	11 0	1,7			
		1811	13 48	3,1			
Düsseldorf	Koch . . .	9 Apr. 1811	13 48		51 14	24 26	6 46
Dresden	Köhler . .	— — 1783	20 0		51 3	31 22	13 42
Freyberg		— — 1797	18 30		50 53	30 57	13 17
Frankfurt am Mayn .		— — 1769	15 40		50 7	26 16	8 36
Franker	V. Swinden	— — 1774	16 32				
		1771	19 30				
		1773	18 30				
Genf		— — 1797	19 40	—	46 12	23 49	6 9
		1800	21 30				
		1801	21 26	14,6			
		1802	21 27				
		1803	21 18				
		1804	21 13				
Gräz		— — 1770	15 50		47 4	33 5	15 25
Göttingen	Tob. Mayer	— — 1777	16 48		51 32	27 24	9 44
Haag	Van der Heyde .		1782	20 16	52 3	21 45	4 5
Inspruck	Tallinger .	— — 1787	22 40?		47 15	29 2	11 22
Königsberg (13) . .		— — 1600	0 0	2,1	54 42	38 6	20 26
		1628	1 0	0,0			
		1642	1 5	5,6			
	Reccard .	— — 1774	13 30				
Leipzig	Heinsius .	17-20 Aug. 1749	13 0		51 19	30 1	12 21
Mannheim		1776	19 48	—	49 29	26 7	8 27
		1785	19 44				
		1786	19 53	1,4			
		1787	20 2				
		1788	20 5				
Mietau	Beitler . .	— — 1783	10 52		56 39	41 23	23 43
Middelburg		— — 1786	21 14	21,0	51 30	21 17	3 37
		1788	21 56				
Nürnberg	Eimmart .	— — 1685	5 5		49 27	28 47	11 7
Prag		— — 1774	15 45	—	50 5	32 5	14 25
		1775	16 15				

Namen der Orte Deutschland, Preussen, Niederlande u. Schweiz	Beobachter	Zeit der Beobachtung	Magne- tische Abwei- chung	Jährl. Veränd.	Geographische		
					Breite	Länge	
						Ferro	Greenw
Prag		1781	16° 50w				
		1782	17 44	12,0			
	Kampf . .	— —	1786 18 9	—			
	id.	— —	1787 17 20	—			
Rotterdam		— —	1787 19 0		51 55	22 9	4 29
Regensburg		— —	1784 17 49		49 0	29 45	12 3
			1785 19 1				
			1786 19 11				
Tübingen	G. W. Krafft		1747 13 34	—	48 31	26 45	9 3
	id.		1748 14 22				
	id.		1749 14 45	12,0			
	id.		1750 14 30	—			
	id.		1752 14 37	—			
Tangermünde	Stöpel . .	— —	1814 19 0		52 32		
Wien		— —	1638 0 0	6,1	48 13	34 2	16 22
	Chappe und Liesganig }	Dec. 1760	13 0				
Würzburg		— —	1781 18 40		49 46	27 55	9 55
			1782 18 40				
			1783 18 39				
			1784 18 30				
			1785 18 33				
			1786 18 31				
			1787 18 35				
Zürich		— —	1762 15 15		47 22	26 9	8 29
Frankreich							
Antibes	De la Hire	— —	1682 3 40w		43 35	24 48	7 8
Bayonne	De la Hire	— —	1680 1 20		43 29	16 10	8 30
Boulogne		— —	1767 17 26		50 44	19 17	1 37
Brest	De la Hire	10 Sept.	1679 1 45	12,1	48 23	13 9	355 29
	Verdun . .	Oct. 1771	20 10	11,3			
	Rochon . .	15 Aug. 1798	25 30				
Calais	Picard . .	— —	1681 4 30	10,5	50 57	19 31	1 51
			1767 19 30				
Dieppe	Beaulien .	2 Oct. 1619	6 30 δ		49 55	18 44	1 4
Dunkerque		— —	1767 18 33w		51 2	20 2	2 22
Havre de Grace . . .		— —	1767 19 15	11,5	49 29	17 46	0 6
		— —	1782 22 15				
Marseille	Löwenörn .						
	Niebuhr .	Mai 1761	18 0	4,7	43 18	23 2	5 22
	Humboldt	Nov. 1798	20 55				
St. Malo	Picard . .	Oct. 1681	2 0		48 39	15 38	357 58
Montpellier		— —	1674 1 10		43 36	21 33	3 55
Ouessant Insel . . .	Cook . . .	17-18 Juli	1776 23 1		48 28	12 21	354 41
Paris (14)	Bellarmatus	— —	1541 7 0 δ		48 50	20 0	2 20
	Oront, Fin- neus . .	— —	1550 8 0 δ	6,7			

Namen der Orte	Beobachter	Zeit der Beobachtung	Magnetische Abweichung	Jährl. Veränd.	Geographische		
					Breite	Länge	
Frankreich						Ferro	Greenw
Paris	Sennertus	— — 1580	11 30 6	7,0	0	0	0
	u. Officius	— — 1603	8 45 6	7,2			
	Nautonnier	— — 1610	8 0 6	6,4			
	Petit . . .	— — 1650	4 30 0	10,5			
		— — 1640	3 0 6	9,0			
		— — 1642	2 30 6				
		— — 1659	2 0 6				
		— — 1660	1 0	6,9			
	Picard . .	— — 1664	0 40 6				
	id.	— — 1666	0 0				
	id.	21 Juni 1667	0 15 w				
	id.	— — 1670	1 30				
	id.	1 Juli 1680	2 40				
	id.	— — 1681	2 30	15,2			
	id.	— — 1682	2 30				
	La Hire .	10 März 1683	3 50				
	id.	Dec. 1684	4 10				
	id.	Dec. 1685	4 10				
	id.	Dec. 1686	4 30				
	Cassini . .	9 Nov. 1687	5 12				
		— — 1688	4 30	16,2			
	Cassini . .	23 Nov. 1689	6 0				
		— — 1691	4 40				
	La Hire .	Dec. 1692	5 50				
		Dec. 1695	6 20				
		13 Oct. 1695	6 48				
	La Hire .	17 Oct. 1696	7 8				
		22 Oct. 1697	7 40				
	La Hire .	30 Oct. 1698	7 40				
	Cassini und Maraldi .	17 Oct. 1699	7 50				
	La Hire .	23 Oct. —	8 10				
	Cass. u. M.	— — 1700	7 40	16,6			
	La Hire .	20 Nov. —	8 12				
	Cass. u. M.	— — 1701	8 25				
	La Hire .	22 Sept. —	8 48				
	La Hire .	22 Sept. 1702	8 48				
	Cass. u. M.	30 Oct. —	8 50				
	id.	30 Oct. 1705	9 0				
	L. H. .	18 Dec. —	9 6				
	Cass. u. M.	29 Oct. 1704	9 20				
	L. H. .	30 Oct. —	9 20				
	id.	28 März 1705	9 25				
	Cass. u. M.	15 Juli —	9 30				
	L. H. .	31 Dec. —	9 35				
	Cass. u. M.	28 Dec. —	10 0	14,0			

Namen der Orte		Zeit der Beobachtung	Magne- tische Abwei- chung	Jahr- Veränd.	Geographische		
Frankreich	Beobachter				Breite	Länge Ferro Greenw	
Paris	La Hire .	31 Dec. 1706	9° 48' w	—	0	0	0
	id.	28 Dec. 1707	10 10				
	Cassini und Maraldi .	11 Jan. 1708	10 15				
	L. H. . . .	27 Dec. —	10 15				
	C. und M.	18 April 1709	10 40				
	L. H. . .	24 Dec. —	10 30				
	C. und M.	6 Nov. 1710	10 50				
	L. H. . .	30 Dec. —	10 50				
	C. und M.	1 Dec. 1711	11 0				
	L. H. . . .	30 Dec. —	10 50				
	C. und M.	14 Nov. 1712	11 25	12,0			
	L. H. . . .	30 Dec. —	11 15				
	C. und M.	25 Oct. 1713	11 40				
	L. H. . . .	29 Dec. —	11 12				
	C. und M.	28 Oct. 1714	12 0				
	L. H. . . .	31 Dec. —	11 30				
	id.	30 Dec. 1715	11 10				
	C. und M.	4 Oct. 1716	12 15				
	id.	23 Oct. —	12 30	7,5			
	L. H. . . .	30 Dec. —	12 30				
	C. und M.	11 Oct. 1717	12 45				
	L. H. . . .	29 Dec. —	12 40				
	C. und M.	1 Oct. 1718	12 30				
	L. H. . . .	31 Dec. —	12 30				
	Maraldi .	26 Sept. 1719	12 30				
	id.	1 Sept. 1720	13 0				
	id.	2 Jan. 1721	13 0	un- verändert.			
	id.	16 Oct. —	13 0				
	id.	4 Jan. 1722	13 0				
	id.	22 Nov. —	13 0				
	id.	4 Jan. 1723	13 0				
	id.	22 Dec. —	13 0				
	id.	9 Nov. 1724	13 0				
	id.	3 Jan. 1725	13 0				
	id.	26 Oct. —	13 15				
	id.	30 Dec. —	13 15	18,3			
	id.	5 Dec. 1726	13 45				
	id.	Dec. 1727	14 0				
	id.	17 Nov. 1728	13 50				
	id.	5 Dec. 1729	14 10				
	id.	20 Nov. 1730	14 25				
	id.	5 Dec. 1731	14 45				
	id.	5 Sept. 1732	15 15				
	id.	1 Dec. 1733	15 45				
	id.	13 Mai 1734	15 35				
	Buache . .	1 Dec. 1734	15 40				

Namen der Orte	Beobachter	Zeit der Beobachtung	Magne- tische Abwei- chung	Jahr- Veränd.	Geographische		
					Breite	Länge	
						Ferro	Greenw
Frankreich,							
Paris	Maraldi .	28 Apr. 1735	15 45	stillstehend	.	.	.
	id.	1 Oct. —	14 55				
	id.	1 Mai 1736	15 40				
	id.	Dec. —	15 40				
	id.	5 Mai 1737	14 45				
	Cassini .	28 März 1738	15 10				
	id.	18 Feb. —	15 20				
	Maraldi .	Dec. 1739	15 30				
	id.	Sommer 1740	15 45				
	id.	Dec. —	15 30				
	id.	14 Mai 1741	15 40				
	id.	2 Jun. 1742	15 40				
	id.	21 Sept. —	15 10				
	id.	15 Juni 1743	15 10				
	Fouchy .	21 Juli 1744	16 15				
		19 Mai 1745	16 15				
		25 Juni 1746	16 15				
		22 Juli 1747	16 30				
		14 Juni 1748	16 15				
		11 Juni 1749	16 30				
		17 Juni 1750	17 15				
		30 Apr. } 1751	17 0				
		5 Mai }					
		16 Juni 1752	17 15				
		28 Feb. 1753	17 20				
		6 März 1754	17 15				
	Maraldi .	14 März 1755	17 30				
	id.	4 Mai 1757	18 0				
	id.	10 Mai 1758	18 0				
	id.	15 Feb. 1759	18 10				
	id.	8 Mai 1760	18 30				
	id.	22 Apr. 1765	19 0				
	id.	15 Juli 1770	19 55				
	Le Monnier	6 Mai 1771	19 50				
	id.	4 Nov. 1772	20 12				
	Maraldi .	5 Nov. —	20 2				
	Le Monnier	22 Apr. 1773	20 4				
	Maraldi .	29 Apr. —	20 0				
	Le Monnier	27 Mai 1774	20 17				
	id.	12 Aug. —	20 12				
	Le Monnier und Cassini	17 Sept. 1777	20 27				
	id.	17 Dec. 1778	20 37				
	id.	30 Dec. —	— 41				
	id.	22 März 1779	— 31				
	id.	14 Juni —	— 35				
	id.	18 Juli —	— 33				

Namen der Orte Frankreich.	Beobachter	Zeit der Beobachtung	Magne- tische Abwei- chung	Jahr- Veränd.	Geographische		
					Breite	Länge	
						Ferro	Greenw
Paris	Le Monnier and Cassini	29 Juli 1779	20 40				
	id.	31 Juli —	— 51				
	id.	21 Nov. —	— 35				
	id.	4 Jan. 1780	— 35				
	id.	27 März —	— 45				
	id.	5 Mai —	— 40				
	id.	16 Mai —	— 42				
	id.	17 Mai —	— 49				
	id.	18 — —	— 42				
	id.	19 — —	21 4				
	id.	20 — —	20 49				
	id.	21 — —	— 45				
	id.	22 — —	— 42				
	id.	23 — —	— 57				
	id.	24 — —	— 44				
	id.	25 — —	— 48				
	id.	26 — —	— 46				
	id.	27 — —	— 47				
	id.	28 — —	— 43				
	id.	29 — —	— 47				
	id.	31 — —	— 42				
	id.	1 Juni —	— 45				
	id.	2 — —	— 45	8,0			
	id.	3 — —	— 48				
	id.	4 — —	— 39				
	id.	5 — —	— 49				
	id.	7 — —	— 59				
	id.	9 — —	— 59				
	id.	13 — —	— 48				
	id.	16 — —	21 4				
	id.	18 — —	20 43				
	id.	19 — —	— 45				
	id.	22 — —	— 54				
	id.	24 — —	— 50				
	id.	25 — —	— 42				
	id.	26 — —	— 39				
	id.	27 — —	— 42				
	id.	28 — —	— 38				
	id.	30 — —	— 44				
	id.	3 Juli —	— 56				
	id.	5 — —	— 51				
	id.	7 — —	— 39				
	id.	8 — —	— 44				
	id.	16 Aug. —	21 0				
	id.	19 Sept. —	20 45				
	id.	21 — —	— 50				

Namen der Orte	Beobachter	Zeit der Beobachtung	Magnetische Abweichung	Jahr. Veränd.	Geographische		
					Breite	Länge	
Frankreich,						Ferro	Greenw
Paris	Le Monnier und Cassini	22 Sept. 1780	20 42w				
	id.	23 —	— 46				
	id.	19 Dec. —	— 56				
	id.	9 Jan. 1781	— 47				
	id.	27 —	— 40				
	id.	7 März —	— 47				
	id.	1 April —	— 59				
	id.	17 —	— 50				
	id.	8 Mai —	— 51				
	id.	12 —	— 51				
	id.	29 —	— 51				
	id.	23 Juni —	— 57				
	id.	8 Oct. —	21 3				
	id.	10 —	— 9	80			
	id.	11 —	— 3				
	id.	21 Juni 1782	— 1				
	id.	28 —	— 16				
	id.	4 Juli —	— 12				
	id.	28 Jan. 1783	— 12				
	id.	23 Juni —	— 22				
	id.	5 Aug. —	— 27				
	id.	27 Feb. 1784	— 27				
	id.	29 —	— 24				
	id.	18 März 1785	— 35				
	id.	12 Jan. 1786	— 37				
	id.	21 Juni —	— 27				
	id.	16 Jan. 1789	— 56				
	id.	18 Juni 1790	22 0				
	id.	7 Aug. —	21 52				
	id.	23 Juli 1791	22 2				
	id.	30 —	— 4	5,3			
	Cassini	26 Juni 1792	22 45				
	id.	13 Juni 1793	— 49				
	id.	— 1798	— 17				
	id.	24 Mai 1799	— 49				
	Cotte	—	— 0				
	id.	1800	— 12				
	id.	1801	— 1				
	id.	1802	21 45				
	Bouvard	2 Mai 1802	22 5				
	id.	22 Juli —	21 45				
	Cotte	6 Oct. 1803	21 59				
	id.	Mai 1804	22 5				
	id.	Sept. —	22 15				
	Bouvard	Oct. 1807	22 34				
		10 Aug. 1814	22 34				

sufficierend oder rückg.

Namen der Orte Frankreich.	Beobachter	Zeit der Beobachtung	Magne- tische Abwei- chung	Jährl. Veränd.	Geographische		
					Breite	Länge	
						Ferro	Greenw
Royan	La Hire .	1680	1° 20' w		45° 37'	16° 38'	358° 58'
Toulon	id.	1682	3 45		43 7	23 37	5 57
Toulouse	Marcorelle	1747	15 10		43 36	19 5	1 25
	id.	1748	15 0				
	id.	1749	15 10				
	id.	27 Sept. 1750	16 5				
	id.	1751	16 0				
	id.	1752	15 45				
	id.	1753	16 45				
	id.	1754	16 40				
	id.	1755	15 0				
	id.	1756	15 45				
Großbritannien.							
Bristol	S. Sturmy	12 Juni 1666	1 27 w		51 28	14 50	357 10
	id.	13 Juni 1667	1 33				
Dublin	R. Kendrick	1745	18 0	—	53 21	11 21	355 41
	Gibson	1751	19 0	12,2			
	Th. Harding	1772	23 30	—			
	id.	26 Mai 1786	26 21	—			
	id.	Sept. 1788	26 50	12,3			
	id.	27 Sept. 1790	27 15	—			
	id.	Mai 1791	27 23	—			
London (15) . . .	Burrows	16 Oct. 1580	11 15 ö	—	51 31	17 32	359 52
	Gunter	13 Juni 1722	5 56½	7,6			
	Gellibrand	12 Juni 1634	4 6	9,6			
	Bond	1657	0° 0' w	10,6			
	Gellibrand	1665	1 22½	10,2			
	Halley	1672	2 30	9,7			
	id.	1692	6 0	10,5			
	Graham	1723	14 17	16,0			
	id.	26 März 1745	17 0	—			
	id.	29 — —	— 0	—			
	id.	18 März 1746	— 10	—			
	id.	21 — —	— 10	—			
	id.	22 April —	— 15	—			
	id.	4 Mai —	— 18	8,1			
	id.	14 — —	— 20	—			
	id.	16 — —	— 15	—			
	id.	18 Dec. —	— 25	—			
	id.	24 Feb. 1747	— 30	—			
	id.	19 Dec. —	— 40	—			
	id.	4 Jan. 1748	— 40	—			
	Heberden	1773	21 9	8,4			
	Cavendish	Aug. Sept. 1774	21 16	—			
	id.	18 Juni } 1775	21 43	—			
	id.	4 Juli }		—			

Namen der Orte Großbritannien,	Beobachter	Zeit der Beobachtung	Magne- tische Abwei- chung	Jahr- Veränd.	Geographische		
					Breite	Länge	
						Ferro	Greenw
London	Gilpin . . .	— — 1786	23° 17' w		0 0	0 0	0 0
	id.	— — 1787	23 19				
	id.	— — 1788	23 32				
	id.	— — 1789	23 19				
	id.	1790	23 39				
	id.	1791	— 36	4,7			
	id.	1792	— 36				
	id.	1793	— 49				
	id.	1794	— 56				
	id.	1795	— 57				
	id.	1796	24 0				
	id.	1797	— 1				
	id.	1798	— 0,6				
	id.	1799	— 1,8	1,2			
	id.	1800	— 3,6				
	id.	1801	— 4,2				
	id.	1802	— 6,7				
	id.	1803	— 8,8				
	id.	1804	— 8,4	0,6			
	id.	1805	— 8,8				
	id.	1809	— 11,0				
	id.	Juni 1814	— 16,7				
	id.	Juli —	— 17,9				
	id.	Aug. —	— 21,2				
	id.	Sept. —	— 20,5				
Plymouth (16)	Ende des 16ten . .	Jahrhunderts	13 24 ö		50 26	13 21	355 41
	Walter Hox- ton . . .	— — 1733	13 27 w				
Stromnefs Hafen Orkney Inseln .	Hutchins .	9 Juni 1774	24 0		58 59	14 3	356 23
Portugal, Spanien und Italien,							
Aranjuez	Humboldt	Mai 1798	19 25 w				
Alborne Insel	Bulter	11 Nov. 1733	14 12				
Braga		— — 1761	16 15		41 33	9 20	351 40
Brescia	Lana	— — 1676	4 0 ö		45 29	27 47	10 7
Cadiz	Foulié	— — 1724	5 25 w		36 52	11 23	353 43
	Fleurieu	3 März 1769	17 15	15,8			
	id.	14 Oct. —	18 40	22,5			
	Verdun	— — 1771	18 0				
	Ulloa	— — 1776	19 42	20,4			
	Löwenörn	7 Aug. 1791	21 56	8,9			
Cap S. Vincent . . .	Roger Bulter	27 Sept. 1733	13 49				
Cap de Gatl., Sp. . .	id.	9 Nov. 1733	13 56				
Cap Sct. Marys, Port.	id.	10 März 1734	14 20				

Namen der Orte Portugal, Spanien und Italien.	Beobachter	Zeit der Beobachtung	Magne- tische Abwei- chung	Jährl. Veränd.	Geographische		
					Breite	Länge	
						Ferro	Greenw
Cap Finisterræ, Sp.	Edw. Wright	12 Nov. 1589	7°40 ö	—	42°52'	8°21'	350°41'
		1768	21 4w	9,7			
Cap San Antonio, Sp.	Marchand	7 Aug. 1792	19 23	—	38 40		
Ferrara	Lana	1677	2 0	—	44 54	29 16	11 36
Gibraltar Bay	Rog. Bulter	17 Sept. 1733	13 38	7,6	36 5	12 41	355 1
	D. Rofs	19-26 Sept. 1761	17 11	9,5			
	Marchand	4 Aug. 1792	22 6	16,9			
Lissabon (17)	P. Martinus	1638	7 39 ö	3,7	38 42	8 31	350 51
		1668	0 50w	—			
		1683	3 0	9,1			
	P. Couplet	26 Dec. 1697	4 18	12,0			
	Noël	1706	6 30	6,3			
	Rofs	2 März 1762	17 32	8,5			
	Borda	1776	19 0	—			
	Löwenörn	1782	19 51	—			
Loretto	Condamine	1756	15 35	—	45 27	31 25	15 45
Madrid	Humboldt	Mai 1799	19 59	—	40 25	14 11	356 31
			9 15	—			
Malta	Chazelles	14 Dec. 1694	9 45	5,9	35 54	32 8	14 28
	Feuillée	24 Jan. 1708	10 25	—			
Minorka Cap Mola .	Bulter	18 Nov. 1753	14 34	—			
Padua	Poleni	{1725}		—			
		{1750}	13 0	—	45 24	29 32	11 52
		1770	16 20	—			
Rom	Auzout	April 1670	2 15	12,6	41 54	30 8	12 28
		1681	5 0	6,0			
	Cassini	Oct. 1695	7 30	6,7			
		1730	11 0	—			
		1782	16 49	—			
		1783	16 49	—			
		1784	16 54	—			
		1785	17 0	5,8			
		1786	17 4	—			
		1787	17 7	—			
		1788	17 12	—			
<hr/>							
Ungarn und die Europäische Turkey.							
Akiermann	Astr. Jahrb. Inochodzow	25-30 Apr. 1771	9 25	—	46 12	48 24	50 44
Bender		1772	9 45	—	46 51	47 16	29 36
Bukarest		5 Juli 1772	11 36	—	44 27	45 48	26 8
Constantinopel . . .		1600	0 0	4,8	41 1	46 36	28 56
	Fournier	1625	2 0	—			
	Chazelles	23 Oct. 1694	9 0	7,4			
			12 0	—			
Ofen		1781	16 45	—	47 30	36 40	19 0
		1782	15 58	—			

Namen der Orte Ungarn und die Europäische Turkey.	Beobachter	Zeit der Beobachtung	Magne- tische Abwei- chung	Jahr. Veränd.	Geographische		
					Breite	Länge	
						Ferro	Greenw
Ofen		1783	15° 36w		0 0	0 0	0 0
		1784	15 40				
		1785	15 48				
		1787	16 26				
		1788	16 36				
<hr/>							
Asien und die benachbarten Inseln.			0 0		0 0	0 0	0 0
Alexandrette, Syrien	Chazelles	3 Feb. 1694	14 22w		36 35	54 0	36 20
Aden, Arabien . . .	H. Middleton	1612	13 40		13 0	65 2	47 22
	N. Dounton	1612	12 40	1,3			
		1674	15 0				
	Th. Mathews	18 Apr. 1723	13 50	1,1			
Awa, Indien	id.	20 Mai 1723	13 42				
Alep, Syrien	P. Duchatz	1689	5 0		21 0	114 0	96 20
Alguarda bey Goa .	Beauchamp	1781	12 30		36 11	54 51	37 11
Anjanga, Ind.	Mathews	4 Feb. 1722	5 49				
Bab-el-Mandeb . .	id.	24 Jan. 1724	4 17				
	id.	19 Apr. 1723	14 20		12 40	62 5	44 25
	id.	Mai —	14 8				
Báixos de Chagos Ins.	J. Davis	1610	19 50		6 0 s	89 40	72 0
Beit-el-Fakih . . .	Niebuhr	6 März 1762	11 50		14 31	60 41	43 1
Bachian Ins. Ama- sane Bay	J. Saris	5 März 1612	4 48 0		0 51		
Bombay, Indien, . .		1676	12 0w		19 0	89 25	71 45
	Mathews	27 Aug. 1721	5 12	0,7			
	id.	12 Sept. —	5 16				
	id.	29-31 Dec. 1722	5 7				
	id.	13 Nov. 1723	5 10				
Banca Insel	Marchand	21 Dec. 1791	0 0		1 30 s	123 42	106 2
Balasore, Indien . .		1680	8 20	0,8	21 22	103 40	86 0
Cap. Palmiras .	Mathews	28 Oct. 1722	3 33		20 50	103 50	86 10
Macao (18)	Vremanus	1616	1 30		22 13	131 15	113 35
		1685	4 0?	0,7			
Canton	Fontenay	13 Oct. 1690	2 25	1,1			
		1722	1 30	1,0			
Macao	Cook	2 Dec. 1779	0 32		22 8	131 23	113 43
Callicut, Indien . . .	Mathews	18 Feb. 1722	4 5		22 34	106 2	88 22
	id.	15 Nov. —	4 9				
Carvar Bucht, Indien	id.	7 Feb. 1722	5 40		15 0	91 30	73 50
	id.	23 Nov. —	5 4				
	id.	24 Feb. 1723	5 8				
	id.	5 Jan. 1724	5 32				
Celebes							
Bonthain	Carteret	Dec. 1767	1 16		5 30 s	135 25	117 45
Chaul, Ind.	Mathews	Oct. 1721	5 27		18 40	89 40	72 0
Cap Comoria, Ind. (19)	Davis	1601	16 0		7 34	95 54	78 14

Namen der Orte Asien und die benach- barten Inseln.	Beobachter	Zeit der Beobachtung	Magne- tische Abwei- chung	Jahrh. Veränd.	Geographische		
					Breite	Länge	
						Ferro	Greenw
Cap Comorin, Ind.	Best Boners	1612	14° 0w				
		1612	14 30	5,5			
		1620	14 20				
		1680	8 45	5,5			
		1688	7 30	9,1			
	Mathews	18 Oct. { 1723	2 51				
		—	2 48				
		19 —	2 50	7,9			
		20 —	3 9				
	Mittel		2 54				
Ceylon (19)							
Freyers Hood. .	id.	11 Juli 1722	2 12				
	id.	4 Nov. 1722	2 21				
Punta de Galle .	Castleton	12 Nov. 1613	13 24		6 0	98 17	80 37
	Mathews	15 Oct. 1723	2 46	5,8			
	id.	16 Oct. 1723	2 45				
Chandernagor, Ind. .	P. Boudier	1731	3 0		22 51	106 9	88 29
	id.	1735	2 0	8,5			
		1743	1 20				
		1745	1 0				
		1747	0 0	16,0			
		1750	0 0				
Cochin, Ind. (19) . .	M. Pring	16 Sept. 1614	15 0		9 58	93 43	76 3
	P. Noël	1706	6 20	5,5			
	Mathews	19 Feb. 1722	3 34				
		12 Nov. 1722	3 53	9,6			
		18-19 Jan. 1724	3 26				
		21 Jan. 1724	4 16				
Daman, Indien . . .	Best	14 Feb. 1612	16 30				
Dabul, Indien . . .	Dauntou	1610	15 34		17 32	90 25	72 45
	id.	16 März 1611	16 30				
Derbent, Persien . .		1712	12 0		43 55	65 3	47 23
Darsina, Arabien . .	J. Saris	11 März 1612	15 2				
Doy oder Doa, Moluk- kische Insel . . .	id.	12 Mai 1613	5 20 6		2 35	144 30	126 50
Firando, Ins. bey Japan	id.	Mai 1613	2 50 0		33 30	347 5	329 25
Goa, Indien (19). . .	Alenisius	1609	16 0w		15 31	91 25	73 45
	Noël	1706	6 40	5,8			
	Mathews	26-28 Nov. 1722	4 57				
	id.	17-19 Feb. 1723	5 13	5,1			
	id.	6 Nov. 1723	5 3				
	id.	Jan. 1724	5 41				
Goadel, Vorgeb., Pers.	Walt. Pavton	20 Sept. 1613	17 15		24 30	81 22	63 42
	Al. Childe	22 Nov. 1616	18 0				
Haynan, Ins., China .	John Saris	Dec. 1613	0 50		18 19		
Java, Insel							
Bantam	id.	1609	3 0		6 20,	123 1	105 21

Namen der Orte Asien und die benach- barten Inseln.	Beobachter	Zeit der Beobachtung	Magne- tische Abwei- chung	Jährl. Veränd.	Geographische		
					Breite	Länge	
						Ferro	Greenw
Jawa, Insel							
Batavia	Wallis	1 Dec. 1767	1 25 _w		6 9 _s	124 34	106 54
	Carteret	Aug. 1768	0 25				
Palimban	J. Davis	1605	3 20		6 45 _s	121 40	104 0
Ispahan, Persien. . .	Beauchamp	Aug. 1787	7 30		32 25	70 30	52 50
Iriseh		1797	8 14		41 12	57 33	39 53
Ingano Ins.	Middleton	1607	4 13		5 30 _s	119 15	101 35
Jasque, Vorgeb. Pers.	Al. Childe	5 Dec. 1616	19 20		25 35	73 50	56 10
Judda, Arabien . . .	Newland	Juli 1769	11 52		21 8	57 36	49 56
	Panton	29 Nov. 1776	12 55	9 ₀			
Kasbin, Persien . . .	Beauchamp	Juli 1787	7 33		36 11	67 13	49 30
Kerguelens Land, Ins.							
Christmas Hafen	Cook	25 Dec. 1776	27 44		48 41 _s	86 51	69 11
Louveau, Siam . . .	P. Gouye	Dec. 1685	4 45		14 44	118 40	101 0
	Jesuiten	1685	0 30?				
	P. Fontenay	1686	4 45				
	P. Richard	1688	4 30				
Lucepara, Insel . . .	Wallis	28 Nov. 1767	0 0		3 11 _s	123 57	106 17
Madras, Indien . . .	Mathews	Juli 1722	2 52		13 15	97 37	79 57
	id.	15-17 Juli 1723	3 16				
Madura, Ins. b. Java .	Carteret	Mai 1768	0 30		7 7 _s	130 29	112 49
Mangulor, Indien . .	Mathews	9 Feb. 1722	5 24		13 0	92 14	74 34
		10 Feb. 1722	5 35				
		27-28 Feb. 1723	5 5				
		1 März					
Masulipatnam, Indien	Ant. Hippon	28 Dec. 1610	12 22		16 11	98 34	80 54
Machian, Ins. b. Gilolo	John Saris	22 Feb. 1612	4 12 6		0 18	144 0	126 20
	id.	1 Apr. 1613	3 28 6				
Maledivische Canal .	J. Davis	1605	17 0 _w	6 ₆	6 30	91 30	73 50
	Mathews	6 Juli 1722	4 16				
Macyra, Ins. bey Arab.	Walt. Payton	2 Sept. 1613	20 10		20 30	74 30	56 50
Macao, siehe Canton.							
Mocha, Arabien . . .	Mathews	20-27 Apr. 1723	13 34	1 ₃	13 16	60 50	45 10
	Newland	Aug. 1769	12 33	10 ₄			
	Panton	20 Nov. 1776	11 20				
Mindanao							
Cap S. Augustin	Carteret	Oct. 1767	1 45 6		6 15	144 52	127 12
Nankin, China	P. Thomas	1685	0 0 _w		32 5	136 27	118 47
Nikobar Inseln	J. Davis	1605	7 5		6 30	111 0	93 20
Paliacate, Indien . .	Ant. Hippon	4 Aug. 1611	13 15		13 35	98 0	80 20
	Marlowe	6 Juni 1613	13 10				
Petapolli, Indien . .	Ant. Hippon	21 Aug. 1611	12 47		16 0	98 0	80 20
	id.	28 Dec. 1611	12 22				
	Marlowe	10 Juni 1613	13 50				
Pondichery	P. Richard	1689	7 0		11 56 _s	97 31	79 51
Princes Insel bey Java	Wallis	16 Dec. 1767	1 0	1 ₅	6 36 _s	122 57	105 17
	Cook	Feb. 1780	0 54				

Namen der Orte Asien und die benach- barten Inseln.	Beobachter	Zeit der Beobachtung	Magne- tische Abwei- chung	Veränd. Jahrh.	Geographische		
					Breite	Länge	
						Ferro	Greenw
Pulo Coudore Ins. .	Th. Dales	1620	1° 0w		8° 40'	123° 59'	106° 19'
	Cook	Jan. 1780	0 14				
Pekin (20)	P. Amiot	1755	2 0		39 54	134 5	116 25
St. Paul Insel.		1677	23 30		38 0s	95 0	77 20
Roquepiz Ins.	Joh. Davis	1610	23 30		11 0s	83 15	65 55
Rogipora (Rajapur) .	Mathews	1 Feb. 1722	4 58		16 50	90 50	73 10
Rasalgat Vorgeb. Arab.	Payton	4 Sept. 1613	19 20		22 34	78 1	60 21
Sually	N. Daunton	1610	16 40				
	H. Middleton	9 März 1611	16 30				
	R. Boners	25 Feb. 1612	17 0				
Sunda Strafe	J. Millword	13 Feb. 1615	3 30				
Sindi (Diu Sindi) . .	Payton	26 Sept. 1613	16 45		24 30		
Sinope		1797	10 18		42 14	52 52	55 12
Surate	Best	5 Sept. 1611	16 23		21 10	90 2	72 22
	Boners	Feb. 1612	16 50				
	Mathews	12-20 Dec. 1722	5 50	5,7			
	id.	5-9 Feb. 1723	5 59				
		17-18 Dec. 1725	5 22				
Singanfu China . . .	Fontenay	13 Juni 1689	3 17		34 17	126 37	108 57
Sumatra							
Achen	J. Davis	1610	6 25		5 22	113 14	95 34
Marlborough Fort	Macdonald	27-29 Juni 1794	1 10 8		3 45s	119 30	101 50
		11-17 März 1795	1 8 8				
Priaman	Marlowe	26 Juli 1612	4 10w		0 50s	117 23	99 43
	Castleton	24 Aug. 1613	4 50		0 38s		
Tellicherry, Ind. . .	Mathews	Febr. 1722	4 21				
	id.	Nov. 1722	4 4				
Tiiz, Persien	W. Payton	10 Sept. 1613	18 30		25 0		
Tecu Insel	Boners	Aug. 1612	4 40 8				
Xin-Yam, China . .	Werbiest	1682	0 0w		41 56	141 34	123 54
Ula, China	id.	1682	1 40 6		44 20	144 55	127 15
Africa und die benach- barten Inseln.							
Alexandria, Egypt. .	Joh. Gravius	Dec. 1638	5 45w		31 12	47 35	29 55
	Niebuhr	Oct. 1761	11 4	2,6			
	Nouët	Juli 1798	13 6	5,5			
Ascension Insel . . .		1678	1 0 8		7 56s	3 19	345 39
	De la Caille	15 Apr. 1754	8 6w	7,3			
	Wallis	23 März 1768	9 53	7,6			
	Cook	28 Mai 1775	10 52	8,4			
	Bönsöe	12 April 1806	15 40	9,3			
Accara Fort. Guinea	Mathews	5 Jan. 1726	11 25		5 28	19 37	1 57
	id.	23-24 März . .	11 53				
Angoxa Caffrien . .	J. Saris	17 Sept. 1611	12 1		16 10s	55 10	37 30
Ab-dal-Curia Ins. nahe bey C. Guardafui .	id.	15 Feb. 1612	17 23		11 27		

Namen der Orte Asien und die benach- barten Inseln.	Beobachter	Zeit der Beobachtung	Magne- tische Abwei- chung	Jähr- liche Veränd.	Geographische		
					Breite	Länge	
						Ferro	Greenw
Ab-dal-Curia Ins. nahe bey C. Guardafui .	Mathews	12 Apr. 1723	12 43w	2,5	12 30	69 13	51 33
Algier Barbar. . . .	Condamine	19 Juni 1731	14 0		36 49	19 53	2 13
Azorischen Inseln							
Fayal Bay	Edw. Wright	13-22 Sept. 1589	3 5 ö		38 32	349 7	331 27
	Cook	14 Juli 1775	22 7w	8,1			
Flores (21)		1600	0 0		59 40	347 42	330 2
Marie	J. Davis	1610	1 40 ö		36 57	352 31	334 51
Bab-el-Mandeb . . .	Mathews	19 Apr. 1723	14 20w		12 40	62 5	44 25
		15 Mai —	14 8				
Baixos de Chagos . .	J. Davis	1610	19 50		6 0 s	89 40	72 0
Bourbon Ins. oder							
Mascarenhas . . .	Castleton	2 Apr. 1614	22 48		20 58 s	73 10	55 30
St. Pauls Bay . . .	Mathews	8 Apr. 1722	19 49	1,7			
	id.	10 Apr. —	19 44				
Booham	Al. Childe	1 Aug. 1616	13 12		16 35 s		
Cap. Coast	Mathews	1 Jan. 1726	11 55		5 0	18 30	0 50
	id.	15 März 1726	11 46				
Canarische Inseln .							
Ferro	Feuillée	1724	5 0	16,7	28 0	0 0	342 20
	Flenricu	1769	17 30	4,4			
	Tranberg	18 Mai 1802	19 55				
Lancerota	J. Davis	1610	6 6 ö		28 32	4 38	346 58
Madeira Funchal	Gray	Dec. 1727	6 58w		32 36	0 37	342 57
	Wallis	8 Sept. 1766	14 10	13,9			
	Carteret	Sept. 1766	16 0				
	Verdun	Dec. 1771	18 0	8,4			
	Löwenörn	9 Apr. 1783	18 22	6,3			
	Tranberg	14 Mai 1802	20 21				
Grand Canaria . .	Davis	1610	6 6 ö				
Teneriffa							
St. Cruz (22) . . .	Fleurieu	1769	15 43w		28 27	1 25	343 45
	Verdun	1770	15 30				
	Cook	Aug. 1776	14 41		28 30	1 7	343 27
	Don Ulloa	1776	15 55				
	La Perouse	28 Aug. 1785	15 52				
	Bligh	7 Jan. 1788	20 1		28 28	1 22	343 42
		1792	16 32				
Comorrischen Inseln .	Krusenstern	Oct. 1803	16 1		28 27	1 25	343 45
Angoxa (23) . . .	J. Saris	21 Sept. 1611	13 0		15 40 s	55 10	37 30
	Mathews	2 Aug. 1721	19 12	3,5			
	id.	3 Aug. 1721	19 44				
	id.	29 Juli 1721	20 33				
Anjouan	id.	12 Juni 1722	20 39				
			20 33				

Namen der Orte Africa und die benach- barten Inseln.	Beobachter	Zeit der Beobachtung	Magne- tische Abwei- chung	Jahr. Veränd.	Geographische		
					Breite	Länge	
						Ferro	Greenw
Mayota	Mathews	8 Juni 1722	21° 12' w		0 0	0 0	0 0
Mal-Ilha	Th. Best.	4 Aug. 1611	20 24				
Cap Verdischen Ins.			15 20				
P. Praya S. Jago	Mathews	7 Oct. 1725	4 5	6,2	14 54	554 11	556 31
	Carteret	23 Sept. 1766	8 20	24,1			
	Wallis	24 Sept. 1766	8 20	10,9			
	Verdun	Jan. 1772	10 45	7,1			
	Marchand	Jan. 1791	14 12				
Mayo	Mathews	5 Oct. 1725	3 32		15 6	354 30	536 50
	Cook	12 Aug. 1776	9 32,1				
Sal	J. Davis	1610	3 30 ö		16 38	554 44	557 4
Cairo (24)	Chazelles	1694	12 15 w	0,0	30 3	48 47	31 7
	Niebuhr	Dec. 1761	12 25	0,0			
	id.	Jan. 1762	11 40				
	Nouët	Dec. 1798	12 0				
Damiette, Egypt. . .	Chazelles	Apr. 1694	12 30		31 43	49 3	31 25
Doara, Ajan	J. Saris	18 Dec. 1611	17 36		6 27	66 30	48 50
			17 20				
Pr. Edwards Inseln.	Cook	13 Dec. 1776	26 15		47 15 s	58 28	40 48
France Insel							
(Mauritius)	C. Keeling	1609	21 0		20 10 s	75 8	57 28
	Mathews	1 Apr. 1722	18 46	1,0			
		5 Apr. 1722	18 39				
		6 Apr. 1722	19 7				
		7 Apr. 1722	19 45				
Guter Hoffnung Vor- gebirge (25)							
Saldanha Bay . . .	J. Davis	1605	0 30 ö		53 55 s	36 4	18 24
Cap las Aguglias	Will. Keeling	22 Dec. 1609	0 12 w				
Saldanha B.	Mart. Pring	15 Juni 1614	1 30	7,7			
Tafel Bay	Daunton	29 Juni 1614	1 45				
		1667	7 15				
	Melch. Ley- deker.	30 Mai 1675	8 28				
		1687	8 30	9,6			
		1799	11 0				
		1702	12 50				
		1706	13 40				
		1708	14 0				
Tafel Bay	Mathews	14 Juni 1721	16 25	9,0			
		21-29 März 1724	16 27				
		26-29 März 1724	16 18	5,6			
	La Caille	1752	19 0				
	Wallis	1768	19 30	4,3			
	Cook	13 Nov. 1772	20 26				
	id.	Apr. 1775	21 14				

Namen der Orte Africa und die benach- barten Inseln.	Beobachter	Zeit der Beobachtung	Magne- tische Abwei- chung	Jahr- Veränd.	Geographische		
					Breite	Länge	
						Ferro	Greenw
Simons Bay ..	Cook	Apr. 1780	22° 16' w	10,6	• •	• •	• •
Tafel Bay ...	Bligh	Mai 1788	23 16	—			
Simons Bay ..	Vancouver	Juli 1791	25 40	6,7			
Tafel Bay ...	Dentreca- steaux	Jan. 1792	24 30	—			
Gorée	Bonsöe	19 Feb. 1804	25 4	—	14 40	0 15	342 35
	Varin	1682	0 0	—			
	Fleurieu	1769	12 15	7,0			
Guardafui Vorgeb. .	Verdun	Jan. 1772	10 30	—			
	H. Middleton	1 Sept. 1610	17 35	—	11 45	70 12	52 32
	Saris	4 März 1612	17 34	—			
	Mathews id.	16 Aug. 1721 29 Mai 1723	11 11 12 34	3,1			
Herman's Inseln bey Guardaf. Vorg. . .	H. Middleton	17 Oct. 1610	18 55	—	11 27		
Helene Insel	J. Saris	15 Feb. 1612	17 23	—			
		1600	8 0 8	—	15 55 s	11 52	354 12
	Kolthurst	1604	7 45 0	5,2			
	J. Davis	1610	7 13 0	—			
		1623	6 0 0	—			
	Halley	1677	0 40 0	5,9			
		1691	1 0 w	7,1			
	Mathews	17-30 Apr. 1724	7 30	11,8			
	Nicholson	1764	11 38	7,2			
	Wallis	19 März 1768	12 47	—			
	Cook	17 Mai 1775	12 18	—			
	Lodberg	3 Mai 1785	14 18	6,5			
	Hunter	1789	15 30	—			
	J. Macdonald	28 Oct. 1796	15 48	—			
	Krusenstern	3 Nov. 1806	17 18	9,0			
Madagascar							
Augustins-Bay	W. Keeling	18 Feb. 1607	15 30	—	23 35 s	60 49	43 9
	id.	19 Feb. 1607	15 26	—			
	Joh. Davis	1610	14 50	0,0			
	Joh. Saris	3 Sept. 1611	15 11	—			
	Payton	17 Juni 1613	15 40	—			
	Mathews	4 Juli 1721	23 48	4,5			
Antongil Bay . .	Flacourt	1661	22 30	—	15 28 s	67 36	49 56
	Le Gentil	1761	18 0	2,7			
Fort Dauphin .	Flacourt	1661	19 0	—	25 1 s	64 29	46 49
	Le Gentil	9 Nov. 1761	22 7	1,9			
Foulpoint	id.	1762	16 45	—	17 40 s	67 36	49 56
S. Sebastian. Vorg.	J. Lancaster	25 Sept. 1600	16 0	—	12 42 s	65 20	47 40
	J. Davis	1610	16 40	—			
	Mathews	3 Mai 1722	19 11	1,1			
		4 Mai 1722	18 36	—			

Namen der Orte Africa und die benach- barten Inseln.	Beobachter	Zeit der Beobachtung	Magne- tische Abwei- chung	Jährl. Veränd.	Geographische		
					Breite	Länge	
						Ferro	Greenw
S. Marie Insel bey Madagascar (26) .	Davis Mathews	1610 18 Apr. 1722 19 Apr. 1722 22 April 1722	19 50 19 53 19 52 19 25	— 0,0 —	16 30 s		
Nossi-Gombi Insel bey Madagascar .	Mathews	5 Mai 1722 6 Mai 1722 7 Mai 1722	20 0 19 45 19 5		13 4 s	64 45	47 5
Salée Rhede	R. Bulter	Aug. 1735	12 19		53 43 s	11 2	353 22
Sierra Leona	W. Keeling Mathews	1608 8-9 Nov. 1725	1 50 ö 5 12 w	— 3,7	8 36	4 17	346 57
Sunken Rocks	Lankaster	15 Sept. 1606	21 0		31 48 s		
Socotra Insel	Middleton J. Saris	25 März 1611 17 Feb. 1612	16 0 17 22	— 0,3	12 47		56 0
	Mathews	4 April 1723	11 25				
	id.	5 Apr. 1723	11 36	6,3			
	id.	8 Apr. 1723	11 38	—			
	id.	10 Apr. 1723	12 4	—			
	id.	11 Apr. 1723	11 57	4,2			
	id.	31 Mai 1723	12 20	—			
S. Thomas Insel . .	Panton Mathews	12 Nov. 1776 Jan. 1726	8 6 14 48	—			
	id.	Apr. 1726	14 32				
Tripolis	Bulter	Apr. 1733	13 22		32 54	30 45	13 5
Trinidad Insel (Martin Vas) . .	Schouten	3 Nov. 1615	12 0 ö		20 45 s	348 10	330 30
Amerika und die benach- barten Inseln.							
Acapulco	Anson	1744	3 0 ö		16 51	277 50	260 10
Albany Fort	C. Middleton	22 Aug. 1730	23 0 w	8,2	52 22	295 2	277 22
	Hutchins	14 Sept. 1774	17 0	—			
Antigua Insel	Mathews	14 Apr. 1727	4 28 ö	—	17 4	315 45	298 6
	D. Rofs	4 Juni 1760	4 51 ö	—			
	id.	4 Apr. 1761	3 9 w	0,0			
	id.	15 Apr. 1761	4 31	—			
Augustin Vorgeb. . .	Halley	1670	5 30 ö	—	8 0 s	342 2	324 22
Bear Insel (Cherry)	W. Barentz	9 Juni 1596	13 0	2,0	74 10	33 40	16 0
	Jonas Poole	8 Mai 1610	13 30	—			
Beverley	Willard	27 Juli 1781	7 6	—	42 36		
		28 Juli 1781	7 0	—			
		30 — —	7 6	—			
		31 — —	7 0	—			
		1 Aug. 1781	7 0	—			
		6 — —	7 1	—			

Namen der Orte Amerika und die benach- barten Inseln.	Beobachter	Zeit der Beobachtung	Magne- tische Abwei- chung	Jahr- Veränd.	Geographische		
					Breite	Länge	
						Ferro	Greenw
Beverley	Willard	15 Aug. 1781	7° 3w	'	° ' "	° ' "	° ' "
Barbados Insel							
Carlisle Bay . .	Mathews	26-28 Jan. 1726	4 24 6	—	13 5	518 3	300 23
	Kofs	28-31 Mai 1760	4 30	0,0			
	id.	4 Mai 1761	3 47	—			
Lamberts Point .	Mathews	29 Juni 1726	3 25 6				
Bastimentos Ins.							
Terra Firma . .	id.	22 Juli 1726	7 48 6				
Boston		1708	9 0w	2,7	42 25	507 3	289 23
		1741	7 50	—			
Buttons Insel. . . .	W. Baffin	31 Mai 1615	24 0	1,3	60 40	510 2	292 22
	C. Middleton	16 Sept. 1750	39 0	—			
Buenos Ayres	Feuillée	21 Aug. 1705	15 52 6		34 35 s	519 9	301 29
Bahia, Brasil.	Noel	1703	11 30 6		15 10 s		
Cambridge	Brattle	1708	9 0w	1,0	42 25	506 58	289 18
	D. Winthrop	1742	8 0	—			
	id.	1757	7 20	2,1			
	Williams	25 Feb. 1761	7 14	—			
	Winthrop	1765	7 0	—			
	Williams	25 Dec. 1789	7 2	1,0			
	id.	21 Juni 1782	6 45	—			
	id.	23 Dec. 1785	6 52	—			
Cap Cathivas T. Firma	Mathews	7 Aug. 1726	7 24 6	—			
Carthagera	Feuillée	1 Jan. 1705	7 12 6	1,2	10 26	502 10	234 30
	Mathews	11 Aug. 1726	6 50 6	—			
S. Croix Insel . . .	Lowenörn	25 Mai } 1785	3 20 6	—	17 45	512 51	295 11
	Thomsen	19 Juni }		0,0			
		15 Apr. 1817	2 50 6	—			
S. Christophe Insel							
Basseterre . . .	Mathews	2 Juli 1726	4 10 6		17 19	514 47	297 7
Cuba							
Table Land . .	id.	19 Oct. 1726	4 0 6				
Pan de Matanzas	id.	23 Oct. 1726	4 24 6		25 2	205 56	273 16
Havanna	Harris	1732	4 30 6		25 8	237 8	277 28
Cayenne Insel . . .	Richer	1672	11 0 6		4 56	525 25	507 45
	des Hayes	1682	5 30 6				
Conception	Feuillée	24 Jan. 1709	10 20 6		56 43 s	505 0	287 20
Coquimbo	id.	17 Apr. 1700	8 52 6		29 55 s	506 24	283 44
Curacao	id.	18 Juli 1704	0 40 6				
Guayana	Humboldt	1799	4 14 6		10 28	513 30	295 50
Chesapeake Bay . . .	W. Hoxton	1752	4 58w				
Cod Bay		1789	6 45				
Cap Christian (Grönland)	J. Hall	30 Mai 1605	12 15		62 58	526 24	508 44
S. Catharina Insel (27)	Frezier	1712	12 0 6		27 19 s	530 0	312 20
	La Perouse	19 Nov. 1785	12 0 6				
	Krusenstern	4 Feb. 1804	7 51 6				

Namen der Orte Amerika und die benach- barten Inseln.	Beobachter	Zeit der Beobachtung	Magne- tische Abwei- chung	Jahr- Veränd.	Geographische		
					Breite	Länge	
						Ferro	Greenw
Cap Corientes	Dampier	17 Apr. 1684	4° 28 ö	'	5° 0'	° ,'	282° 30'
Discovery Hafen (Juan de Fuca's Straſſe) .	Vancouver	Apr. 1792	21 30 ö		48 2	255 2	237 22
Desolation Sund . .	id.	1792	19 16 ö		50 11	255 1	235 21
S. Diego (N. Californ.)	id.	1792	11 0 ö		32 39	260 25	242 43
Deseado Insel	Mathews	25 Nov. 1726	3 27 ö		16 25	316 29	298 49
Domingo							
Cap François . .	Verdun	Apr. 1772	5 20 ö	—	19 46	305 22	287 42
	Don Ulloa	1776	5 30 ö	1,1			
	Löwenörn	{ 19 Juli } 1783	5 32 ö	—			
		{ 7 Aug }					
Alta Vela Ins. .	Gray	27 Jan. 1728	6 2 ö		17 18	306 1	288 21
Frio Vorgeb. . . .		1670	12 10 ö	—	22 57 s	336 8	318 28
	Cook	Nov. 1768	6 40 ö	3,1			
Fernando Naronha Ins.	J. Davis	1610	8 10 ö		3 56 s	345 2	327 22
Florida Cap	Mathews	25 Oct. 1726	3 26 ö				
Fuego, Terra del							
Christmas-Sund	Cook	24-27 Dec. 1774	24 43 ö		55 52 s	307 37	289 57
Good Succes-Bay	id.	21 Jan. 1769	24 9 ö		54 50 s	312 15	294 35
Godthaab (Grönl.) .	Andr. Ginge	1-2 Sept. 1784	50 30 w	—	64 10	325 52	308 12
(28)	id.	1787	51 21	1,2			
Guardalupa Insel . .	Mathews	1 Juli 1726	3 22 ö		15 59½	315 55	298 15
Hermite Insel	Feuillée	26 Dec. 1707	20 0 ö		56 6 s		
Juan Fernandes Ins.	Carteret	Mai 1767	11 0 ö		33 40 s	298 40	281 0
Jamaika Insel							
Portland Point .	Mathews	12 Juli 1726	6 2 ö		17 6	300 41	285 1
Port Royal . . .	id.	12 Sept. 1726	4 31 ö			300 54½	285 14½
Blac River . . .	Harris	Apr. 1732	6 2 ö				
Jamba Point							
(Terra Firma) . .	id.	12 Aug. 1726	6 20 ö				
Lima	Feuillée	15 Dec. 1709	6 15 ö		12 3 s	300 32	282 52
Mexico	Don Alzate	Juni 1769	5 20 ö		19 26	278 34½	260 54½
		Dec. 1769	5 55 ö				
Martinique Ins. . . .	des Hayes	Nov. 1682	4 10 ö	—	14 36	316 31	298 51
	Feuillée	9 Feb. 1704	6 5 ö				
	id.	20 Feb. 1704	6 10 ö	5,0			
	id.	Nov. 1706	6 10 ö				
	Rofs	16 Juni 1760	5 41 ö	0,7			
Marie Galante Ins. .	Mathews	29 Nov. 1726	3 40 ö		15 52	318 24	300 44
S. Marthe Vorgeb. .	Feuillée	20 Juli 1704	7 6 ö		11 20	303 31	285 51
Mas-a-fuera Insel .	Byron	1765	9 36 ö	—	33 45 s	296 46	279 6
	Carteret	Mai 1767	10 24 ö	0,0			
	Vancouver	1795	9 15 ö				
Mendocino Cap . . .	Gem. Carreri	1693	2 0 ö	—	40 29	253 11	255 51
	La Perouse	8 Sept. 1786	14 24 ö	3,0			
Moose Fort Huds. B.	Hutchins	8 Sept. 1774	17 0 w		51 20	295 1	277 21
Musketto Cove Grnl.	Pickersgill	14 Juli 1776	50 36		64 55	324 44	307 4

Namen der Orte Amerika und die benach- barten Inseln.	Beobachter	Zeit der Beobachtung	Magne- tische Abwei- chung	Jahr. Veränd.	Geographische		
					Breite	Länge	
						Ferro	Greenw
Monterrey	Vancouver	1795	12° 22' 6"		36° 36'	255° 49'	238° 9'
Montserrat	Rofs	8 Juni 1760	5 32 6		16 48	315 32	297 52
New-Found-Land							
S. Pierre Fort	Verdun	Mai 1772	19 15 w		46 46	321 22	303 42
Natka (28)	Cook	4 Apr. 1778	19 45 6	5,9	49 35	251 3	233 23
	Vancouver	Oct. 1792	18 22 6				
Norton Sund	Cook	6-17 Sept. 1778	25 45 6		64 31	214 45	197 5
Norriton		1770	3 8 w		40 10	302 24	284 44
Porto Belo	Feuillée	7 Oct. 1704	7 25 6		9 33	297 50	280 10
Pisco	id.	15 Oct. 1707	7 0 6				
Paraiba	P. Couplet	20 Mai 1698	5 35 6		6 58 s		
Quito Peru	Bouguer	Nov. 1742	8 30 6		0 14 s	298 55	281 15
Quebec Canada	P. Bressan	1649	16 0 w	0,8	46 55	307 47	290 7
	Des Hayes	1686	15 30				
Rio Janeiro	Cook	Oct. 1768	7 34 6	4,3	22 54	334 55	317 15
	J. Hunter	1787	6 12 6				
Resolution Insel	Baffin	1 Juni 1615	24 6 w		61 45	310 5	292 25
Savage Insel	id.	2 Juni 1615	27 30		62 30	305 2	287 22
Smiths Sund	id.	5 Juli 1616	57 0		78 0	310 40	293 0
Santiago de Chili	Espinoza	1794	14 28 6		33 26 s	306 50	289 10
Sebalt Inseln	Dampier	28 Jan. 1683	23 10 6	0,2	51 0 s	311 22	293 42
	Feuillée	31 Dec. 1707	23 0 6				
Spitzbergen (29)							
Bell-Sund	W. Baffin	3 Aug. 1613	13 11 w		79 44		
Crois Rheed	W. Barentz	23 Juni 1596	16 0		79 44		
Hornsund	J. Poole	16 Mai 1610	16 0		76 55		
	W. Baffin	30 Mai 1613	13 0				
	id.	14 Juni 1613	12 14				
Magdalenensund	Fotherby	18 Juni 1614	25 0		79 34		
Poopy Bay	W. Baffin	7 Juni 1613	15 21		78 24		
Read Beach	W. Barentz	23 Juni 1596	16 0		79 42		
Vogelsang	Phips	16 Juli 1773	20 58		79 53	29 41	12 1
Unalashka							
Samganoodha Haf.	Cook	12 Oct. 1778	19 59 6		53 5	211 10	193 28
Vera Cruz		1769	6 40 6	7,1	19 12	281 31	263 51
	Don Ullea	Juli 1776	7 30 6				
Valparaiso	Feuillée	11 März 1709	9 30 6	3,7	53 0 s	305 26	287 46
	Vancouver	1795	14 49 6				
Valdivia	Narborough	1670	8 10 6				
Pr. Wales Fort.	C. Middleton	1725	21 0 w	13,9	58 48	282 47	265 48
	id.	1738	18 0	15,0			
	id.	1742	17 0	16,3			
	Wales	21-23 Aug. 1769	9 41				
Ylo Peru	Feuillée	Juli 1710	6 58 6		17 36 s	306 27	288 47
York (New)	Ph. Wells	1686	8 45	2,3	40 43	303 31	
	Burnet	1723	7 20	2,2			
		1750	6 22				

Namen der Orte Amerika und die benach- barten Inseln.	Beobachter	Zeit der Beobachtung	Magne- tische Abwei- chung	Jahr. Veränd.	Geographische		
					Breite	Länge	
						Ferro	Greenw.
York (New)	Evans	1755 1789	5° 0' ? 4 20	— 3,1	° ' "	° ' "	° ' "
Australien.							
Amboina	Dentrecas- teaux	6 Sept. 1792	1 14	—	3 42 s	146 9	128 29
Anamocka (30) . . .	A. Tasman	Jan. 1643	6 20 ö	—	20 15 s	202 51	185 11
	J. Cook	27 Juni 1774	9 47 ö	1,3	—	—	—
	id.	Juli 1777	8 30 ö	—	—	—	—
Admiralitäts Ins. . .	Carteret	16 Sept. 1767	6 30 ö	—	2 19 s	127 43	145 23
Admiralitäts Bay							
N. Zeeland	Cook	5 Apr. 1773	14 3 ö	—	40 55 s	191 41	174 1
Botany Bay	id.	6 Mai 1770	8 0 ö	—	34 0 s	169 3	151 23
Bourou Ins.							
Cayeli	Dentrecas- teaux	5 Sept. 1613	0 54 w	—	3 22 s	145 1	127 21
	Albrechtsen	8 Jan. 1799	0 18 ö	—	—	—	—
	id.	9 Jan. 1799	0 19 ö	—	—	—	—
Boscaven Ins.	Wallis	13 Aug. 1767	9 0 ö	—	15 50 s	202 22	184 42
Cocos Ins.	Vancouver	23-27 Jan. 1795	7 45 ö	—	5 35	290 45	273 5
Caroline Ins.	Broughton	16 Oct. 1795	5 14 ö	—	5 57 s	227 15	209 35
Cumberland Ins. . .	S. Wallis	13 Juni 1767	7 0 ö	—	19 18 s	236 58	219 18
Charlottes Ins. . . .	id.	8 Juni 1767	5 20 ö	—	19 18 s	239 28	221 48
Cooks Str. N. Zeel.	Cook	4 Apr. 1773	15 2 ö	—	41 2 s	191 40	174 0
Christmas Ins. . . .	Cook	1 Jan. 1778	6 22 ö	—	1 59	220 10	202 30
Charlottes Sund, N. Z.	Bayley	Mai 1773	13 31 ö	—	41 6 s	191 6	173 26
	Wales	Mai 1773	14 15 ö	—	—	—	—
	id.	14 Nov. 1773	13 52 ö	—	—	—	—
Ship Cove	id.	9 Nov. 1774	14 9 ö	—	41 6 s	192 5	174 25
ibid.	Cook	25 Jan. 1777	12 4 ö	—	—	—	—
Diemens Land, N. Holl.	Tasman	1642	0 0	—	42 25 s	159 48	142 8
Adventure B. . . .	Bayley	10 März 1773	10 34 ö	2,3	43 22 s	165 9	147 29
ibid.	id.	15 März 1773	9 6 ö	—	—	—	—
ibid.	Cook	26 Jan. 1777	5 15 ö	—	—	—	—
ibid.	Bligh	3 Sept. 1788	8 33 ö	—	—	—	—
Cap Diemen	Dentrecas- teaux	16 Mai 1792	7 40 ö	7,1	43 32 s	164 46	147 6
ibid. (31)	id.	22 Jan. 1793	7 25 ö	—	—	—	—
Dusky Bay N. Zeel.							
Pickersgill Hafen	Wales	März 1773	13 49 ö	—	45 47 s	183 58	166 18
	Vancouver	1793	14 56 ö	3,3	45 45 s	183 56	166 16
Dory Hafen N. Guinea	Forest	1775	1 30 ö	—	0 21 s	148 40	131 0
Erromango Ins. . . .	Cook	4 Aug. 1774	10 6 ö	—	18 43 s	187 8	169 28
Egmont Ins.	Wallis	11 Juni 1767	6 0 ö	—	19 20 s	259 2	221 22
Eaowe Ins.	Bayley	2 Oct. 1773	9 3	—	21 21 s	203 6	185 26
Easter Ins.	Cook	16 März 1774	4 30 ö	4,3	27 6 s	267 54	250 14
			3 32 ö	—	—	—	—

Namen der Orte	Beobachter	Zeit der Beobachtung	Magnetische Abweichung	Jahrh. Veränd.	Geographische		
					Breite	Länge	
Australien.						Petto	Greenw
Easter Ins.	La Perouse	10 Apr. 1786	3° 10 ö		27° 9 s	268° 4'	250° 24'
Espiritu Santo Ins. .	Cook	27-28 Juli 1774	10 29 ö		14 39 s	184 29	166 49
Farewel Vorgeb. N. Z.	Bayley	3 Apr. 1773	12 12 ö		40 18 s	190 50	173 10
Gallipagos Inseln . .	Vancouver	9 Feb. 1794	8 0 ö		0 44 s	285 34	267 54
Georgs Vorg. N. Irl.	Carteret	Aug. 1767	5 20 ö		5 0 s	169 51	152 11
Georgs Kanal N. Britt.	id.	Aug. 1767	4 40 ö				
Georg III Sund N. Holl.	Vancouver	28 Sept. 1791	5 20 w		35 6 s	135 54	118 14
Graftons Ins.	Byron	22 Oct. 1765	1 20 w		21 8 n	135 46	118 6
	Wallis	29 Oct. 1767	1 3		21 4	138 32	120 52
Gloucester Ins. . . .	id.	12 Mai 1767	7 10 ö		19 11 s	237 26	219 46
Gowers Ins.	Carteret	20 Aug. 1767	8 20 ö		7 56 s	176 28	158 48
Howes Ins.	Wallis	30 Juli 1767	7 40 ö		16 46 s	223 19	205 39
Heiligen 3 Königen Ins. N. Zeel. . . .	Tasman	4 Jan. 1643	8 40 ö	1,3	34 35 s		
	Cook	25 Dec. 1769	11 25 ö		34 0 s	189 40	172 0
Huaheine Ins.	Bayley	3-6 Sept. 1773	6 31 ö		16 45 s	226 31	208 51
Owharre Hafen	Wales	21-22 Mai 1774	5 20 ö				
	Cook	Dec. 1777	5 13½		16 43		208 52
Julias Insel	Grant	7 Dec. 1800	2 50 ö		38 29 s	162 20	144 40
Kotoo Ins.	Cook	Juli 1777	8 12 ö		20 15 s	202 51	185 11
Keppel Ins.	Wallis	13 Aug. 1767	10 0 ö		15 53 s	202 19	184 39
Lelooga Ins.	Cook	Juli 1777	10 12 ö		20 15 s	202 51	185 11
Luçon Ins.							
Manilla (32) . .	Le Gentil	1766	0 15 w	0,9	14 34	138 31	120 51
Cavite	La Perouse	27 Feb. 1787	0 33		14 29	138 51	121 11
Maitea	Bligh	Oct. 1788	5 36 ö		17 53 s	229 29	211 49
Mercury Bay N. Zeel.	Cook	25 Nov. 1769	12 40 ö		35 50 s	192 25	174 45
Morder Bay N. Zeel.	Tasman	18 Dec. 1642	9 0 ö	1,9	40 30 s	191 40	174 0
	Cook	15 Jan. 1770	13 5 ö				
Mowee Ins.	La Perouse	30 Mai 1786	8 42 ö		20 50 n	221 35	203 55
Norfolk Ins.	Cook	10 Oct. 1774	11 3 ö		29 2 s	185 56	168 16
Neu Caledonien . .	Dentrecast.	Apr. 1793	9 30 ö		20 17 s	182 16	164 36
Neu Guinea westl.							
Spitze	Tasman	1643	5 30 ö		0 26 s		126 0
Otaheite							
S. O. Spitze . .	Wallis	19 Juni 1767	6 0 ö		17 48 s	228 17	210 37
N. O. Spitze . .	id.	4 Juli 1767	5 30 ö		17 30 s	227 32	209 52
Point Venus . .	Cook	29 Aug. 1769	4 45½		17 29 s	228 10	210 30
ibid.	id.	29 Aug. 1773	5 40 ö		17 29½	223 19	210 39
ibid.	id.	23 Apr. } 1774	5 49 ö		17 29½	227 58	210 18
		10 Mai }					
Matavai Point .	id.	Dec. 1777	5 34 ö		17 29½	228 2	210 22
Matavai Bay . .	Vancouver	1794	6 12 ö		17 30½	228 4	210 24
ibid.	Broughton	Dec. 1795	3 43 ö				
Ohittahoo	Cook	9 Apr. 1774	3 31 ö		9 55 s	238 31	220 51
	Marchand	12 Juni 1791	5 50 ö		9 59 s	239 31	221 51
Osnabruggh	Wallis	17 Juni 1767	6 0 ö		17 51 s	230 2	212 22

Namen der Orte Australien.	Beobachter	Zeit der Beobachtung	Magne- tische Abwei- chung	Mert. Veränd.	Geographische		
					Breite	Länge Ferro	Greenw
Onehow	Broughton	19 Feb. 1796	10° 54' 0"	'	21° 51' n	217° 17'	199° 37'
Owhyhee	Cook	Nov. 1779	8 6 0	—	19 28	221 40	204 0
Karakakoa Bay (35)	Vanconver	März 1793	7 32	5,2			
	Broughton	31 Jan. 1796	7 47				
			8 15				
			9 12				
Observatory Ins.							
N. Caledonien . .	Cook	6 Sept. 1774	10 24 0		20 18 s	182 21	164 41
Palmerston Insel . .	id.	16 Juni 1774	10 1 0		18 0 s	213 40	196 0
Pitcairn Insel	Carteret	2 Juli 1767	2 46 0		25 2 s	244 23	226 43
Pudyoua Insel	Cook	6 Sept. 1774	8 33 0		20 18 s	182 21	164 41
Pescadores Ins. . . .	Wallis	3 Sept. 1767	10 0 0		10 10 n	185 27	167 47
Pulo Aroe Ins. . . .	id.	15 Nov. 1767	1 0 w		2 28 n	122 32	104 52
Port Jakson N. Holl.	Cook	6 Mai 1770	8 0 0	—	33 50 s	169 3	151 23
	J. Hunter	1788	8 30 0	7,2	33 50	169 5	151 25
Cattle Point	Broughton	Sept. 1795	11 9 0	—	33 52	168 50	151 10
Pilstart Ins.	Tasman	19 Jan. 1643	7 30 0	—	22 26 s	201 41	184 1
		8 Oct. 1773	9 51 0	1,1			
Palliser Vorg. N. Zeel.	Cook	12 Feb. 1770	14 0 0		41 37 s	192 10	174 30
	Bayley	7 Juni 1773	13 1 0				
Scilly Insel	Wallis	31 Mai 1767	8 0 0		16 28 s	222 8	204 28
Saunders Ins.	id.	28 Juli 1767	6 30 0		17 26 s	226 28	203 48
Savage Ins.	Cook	21 Juni 1774	11 23 0		19 3 s	203 0	190 20
Tolaga Bay N. Z. . .	Bayley	9-15 Nov. 1773	13 40 0		38 21 s	196 14	178 34
Tongataboo	Tasman	21 Jan. 1643	7 15 0	—	21 9 s	202 35	184 55
	Cook	3 Oct. 1773	10 11 0	1,5			
	id.	Juli 1777	9 44				
			10 13	0,0			
	Dentrecas- teaux	März 1793	10 0	—	21 8	202 30	184 50
Tinian	Wallis	30 Sept. 1767	6 20 0		14 58 n	168 22	150 42
Turtle Ins.	Cook	3 Juli 1774	12 28 0		19 48 s	199 40	182 0
Tanna							
Port Resolution	Cook	8-18 Aug. 1774	7 14 0		19 32 s	187 29	169 49
Ulietea	Bayley	7-15 Sept. 1773	6 10 0		16 45 s	226 15	203 35
Ohamaneno Hafen	Wales	29-31 Mai 1774	6 4 0		16 46 s	226 3	203 23
ibid.	id.	1 Juni 1774	6 24 0				
ibid.	Cook	Dec. 1777	6 19 0		16 45 s	226 5	203 25
Wootoo							
Fair-Haven	Broughton	11 Feb. 1796	9 41 0		21 18 n	219 41	202 1
Waygiou	Forest	1775	1 0 0	—	0 0	144 40	127 0
	Dentrecast.	16 Aug. 1793	1 14 0	0,3	0 1 s	148 53	131 13
Whitsunday Ins. . .	Wallis	7 Juni 1767	6 0 0		19 26 s	239 36	221 56
Will. Henry Ins. . .	id.	13 Juni 1767	7 0 0		19 0 s	236 26	218 46
Wallis Ins.	id.	17 Aug. 1767	10 0 0		13 18 s	200 32	182 52
York Ins.	id.	27 Juli 1767	6 0 0		17 28 s	227 16	209 36

II. TAFEL.

Neigung der Magnetnadel

für verschiedene Orte der Erde, nebst dem Namen des Beobachters, der Beobach-
tungszeit, und der geographischen Breite und Länge
des Beobachtungsortes.

Namen der Orte	Beobachter	Zeit der Beobachtung	Magne- tische Neigung	Jahr. Veränd.	Geographische		
					Breite	Länge	
						Ferro	Greenw
Alexandria (1)	Nouët	Juli 1799	47° 30'	6,3	31° 12'	47° 35'	29° 55'
Altort	Humboldt	1805	66 53				
Antonio, Amerika . .	id.	1800	14 25		0 0	299 48	282 8
Ascension Insel . . .	De la Caille	17 Apr. 1754	11 10		7 56 s	3 19	345 37
	I. Cook	28-30 Mai 1775	8 57	4,5			
Agulhas Vorgeb. . .	Ekeberg	7 März 1771	45 30 s		35 15 s		
Antongil Bay Madag.	Le Gentil	1761	46 9 s		15 28 s	68 13	50 33
Anjenga	Panton	28 Oct. 1776	4 23 s		8 41	94 34	76 54
Albany Fort (2) . . .	Hutchins	1775	79 20	4,5	52 22	295 2	277 22
Amboina	Dentrecas- teaux	6 Sept. 1792	20 37 s		3 42 s	146 9	128 29
Brest	id.	1791	71 30		48 23	13 9	355 29
Berlin		1755	71 45		52 32	31 1	13 21
		1761	72 0	4,5			
	Euler	1760	72 45				
	Humboldt	1805	69 53				
Bologna	id.	1805	64 48		44 30	29 0	11 20
Barcellona	id.	1800	64 37	4,5	41 23	19 52	2 12
Bareedy	Panton	9-14 Dec. 1776	34 21		24 16	56 10	38 30
Bocca Tigris	Ekeberg	15 Nov. 1770	26 0		23 0		

Namen der Orte	Beobachter	Zeit der Beobachtung	Magnetische Neigung	Jahr, Veränd.	Geographische		
					Breite	Länge	
						Ferro	Greenw.
Birch Bay	Vancouver	1794	73° 13'		48° 53'	255° 13'	237° 33'
Bourbon Insel							
Saint Denys . .	Manevillette	4 Juli 1751	52 52				
	De la Caille	22 Feb. 1754	54 22		20 52s	73 10	55 30
S. Paul	Le Gentil	1766	52 55s		20 58s	73 10	55 30
Botany Bay	Cook	1 Mai 1770	67 1s		34 0s	169 3	151 23
Bourou Insel							
Cayeli	Dentrecast.	Sept. 1795	20 30s		3 22s	145 1	127 21
Carrichana	Humboldt	1800	30 24		6 34	309 42	292 2
Cumana	id.	1799	39 47		10 28	313 50	295 50
Cumanacoa	id.	1799	38 53		10 16	313 41	296 1
Carthagena	id.	1799	35 15		10 26	302 10	284 30
Cocollar	id.	1799	38 20		10 10	313 41	296 1
Cuença	id.	1799	8 43		2 55	298 26	280 46
Como	id.	1805	66 12		45 44	26 33	8 53
Cambilis	id.	1799	64 34				
Cenis							
Lans-le-Burg . .	id.	1805	66 9				
Hospiz	id.	1805	66 22				
S. Carlos del Rio Negro	id.	1800	20 47		1 52	309 50	292 10
Chancay	Humboldt	1799	10 35		11 3	300 16	282 36
Cherson	Inochodzof	Oct. 1782	65 0		46 38	50 20	52 40
S. Cruz, Teneriffa .	Cook	Aug. 1776	61 52		28 30	1 9	343 29
	Dentrecast.	Oct. 1791	62 25				
	Humboldt	1799	62 25				
Cambridge (3) . . .	Williams	25 Dec. 1780	69 51		42 23	306 30	289 18
	id.	2 Jun. 1782	69 41				
	id.	23 Dec. 1783	69 41				
Coquimbo	Feuillée	20 Apr. 1710	47 25s		29 55s	306 24	288 44
Conception	id.	14 Feb. 1710	55 30s		36 43s	305 0	287 20
Christmas Insel . .	Cook	1 Jan. 1778	11 54s		1 59	220 10	201 50
Cracatoa Ins.	id.	Feb. 1780	26 3s		6 8s	123 16	105 36
Chalmers Hafen . . .	Vancouver	Apr. 1794	77 8½		60 16	231 2	213 22
Cross Sund	id.	Juli 1794	78 58½		58 12	241 35	223 55
Cocos Insel	id.	23-27 Jan. 1795	19 45		5 35	290 45	273 5
S. Catharine Ins. . .	La Perouse	19 Nov. 1785	30 30s		27 21s	330 0	312 20
S. Croix Ins.	Löwenörn	Juni 1783	49 15		17 45	312 51	295 11
Cochin	Le Valois	1786	10 15		9 58	93 43	76 3
Charkow	Huth	1809	66 15		50 0	54 6	36 26
	id.	1811	65 22½				
Charlottes Sund,							
N. Zeel.	Cook	19 Jan. 1770	54 50s	?	41 5s	193 5	175 25
	Bayley	Mai 1773	64 44½		41 6s	191 6	173 26
	Wales	Mai 1773	64 39				
	id.	14 Nov. 1773	64 21				
Ship Cove . . .	id.	Oct. 1774	64 38½	13,0			
ibid.	Cook	25 Feb. 1777	63 42				

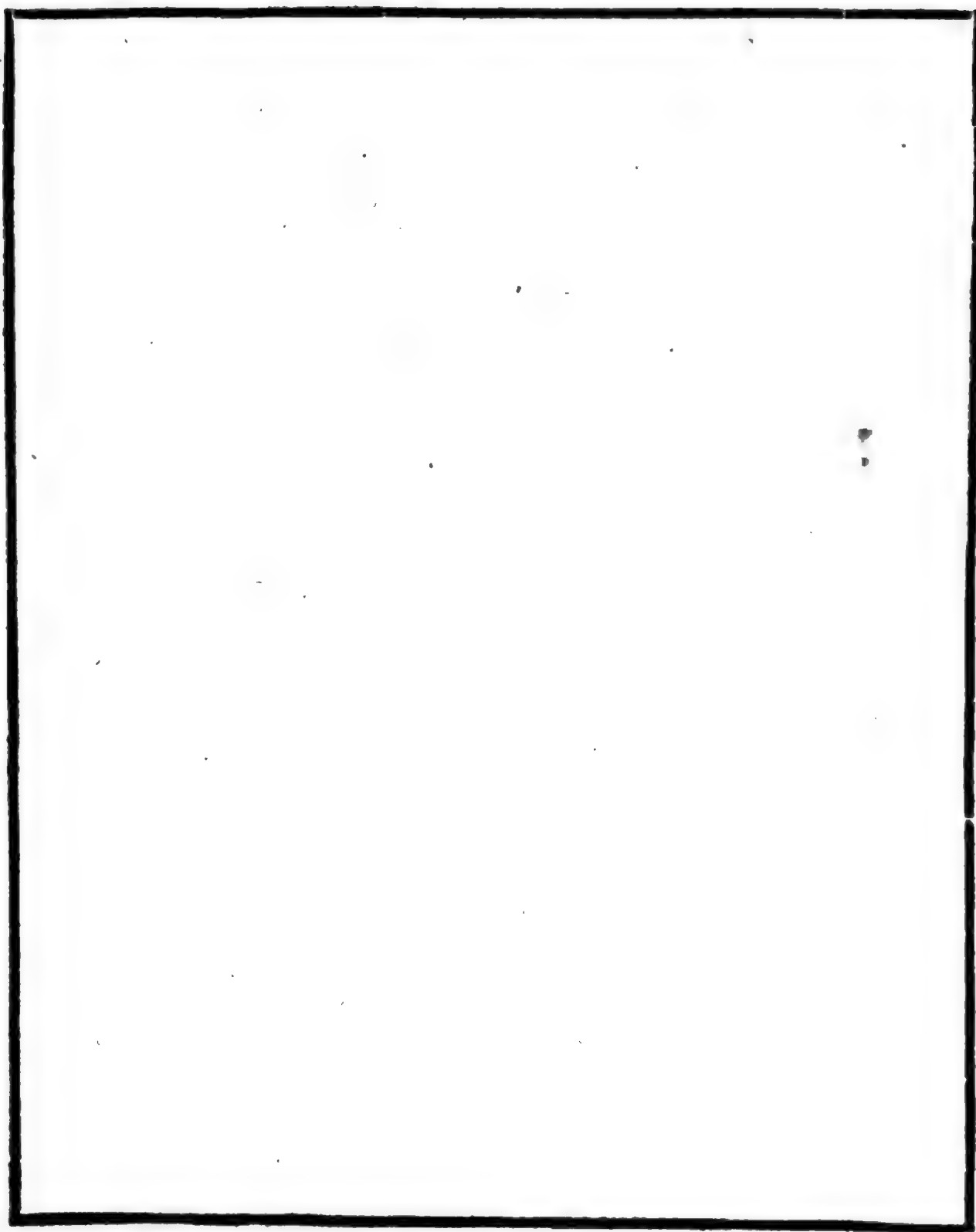
Namen der Orte	Beobachter	Zeit der Beobachtung	Magne- tische Neigung	Jahr-Veränd.	Geographische		
					Breite	Länge	
						Ferro	Greenw
Cavite, Manilla . . .	La Perouse	Jan. 1787	11° 5'		14° 29'	128° 51'	111° 11'
Diemens Land							
Adventure Bay.	Cook	26 Jan. 1777	70 15 s		43 21 s	165 9	147 29
Port du Nord . .	Bertrand	11 Mai 1792	70 50		43 52	164 56	146 56
Cap Diemen . .	Dentrecast.	16 Mai 1792	70 50		43 52	164 46	147 6
Port du Sud . .	id.	7 Febr. 1795	72 22		43 54½	164 36	146 56
	de Rossel	1795	70 10		43 54½	164 36	146 56
Dusky Bay N. Zeel.	Cook	17-18 Apr. 1773	70 6 s		45 47 s	183 58	166 18
	Vanconver	Sept. 1791	69 43	1,4			
Dauphin Port, Madag.	Le Gentil	9 Nov. 1761	52 5 s		25 1 s	64 29	46 49
Discovery Hafen . .	Vanconver	Apr. 1792	74 50		48 21	255 3	237 22
S. Diego, N. Calif.	id.	Nov. 1795	59 15		54 42½	260 47	243 7
Dyrefords Hafen . .	Löwenörn	16 Juli 1786	79 50		65 52	348 50	341 10
Esmeralda	Humboldt	1799	25 58		3 11½	311 37	295 57
Endeavour River . .	Cook	18 Juli 1770	56 0 s		15 26 s	162 52	145 12
France Insel							
Port Louis . . .	Manneville.	4 Juli 1751	52 52 s		20 10 s	75 8	57 28
	De la Caille	11 Jan. 1754	52 17				
Florenz	Humboldt	1805	63 57		45 46½	28 55	11 15
Faenza	id.	1805	63 54				
Ferrol	id.	1799	68 32		43 29	9 25	351 45
Franecker	Brugmanns	1765	72 12		53 11		
Fayal Bay	Cook	14 Juli 1775	71 1		38 32	349 7	331 27
Foulpoint Madag. . .	Le Gentil	1762	48 32		17 41 s	67 36	49 56
Fuego, Terra del							
Good Success Bay	Cook	20 Jan. 1769	68 51 s		54 50 s	312 15	294 35
	id.	24 Jan. 1769	65 0				
Christmafs Sund	id.	24-27 Dec. 1774	65 54		55 22 s	307 37	289 57
S. Vincent, Vorg.	La Perouse	24 Jan. 1786	63 0 s		54 55 s	311 56	294 16
Sta Fé de Bogota . .	Humboldt	1799	24 16		4 36	303 26	285 46
Gottingen	id.	1805	69 29		51 32	27 34	9 54
	Mayer	1805	69 26	2,2			
	id.	1814	69 9				
Genua	Humboldt	1805	64 45		44 25	26 38	8 58
Guadarama	id.	1799	66 9				
Gironne	id.	1799	64 54				
S. Gotthard							
Ursern	id.	1799	66 42				
Hospiz	id.	1799	66 22				
Airolo	id.	1799	65 55				
Guter Hoffnung Vorgeb.	La Caille	26 Apr. 1751	45 0 s		33 55 s	36 4	18 24
	Bayley	15-14 Nov. 1772	45 57				
	id.	März 1773	45 19				
False Bay	Abercromb.	20 Aug. 1775	46 26	6,5			
Simons Bay . .	Cook	Apr. 1780	46 47		34 20	36 9	18 29
Cap Stadt	Bertrand	Jan. 1792	47 25		33 55	36 4	18 24
Gallipagos Inseln . .	Colnet	1793	6 0		0 37 s	288 2	270 22

Namen der Orte	Beobachtet	Zeit der Beobachtung	Magne- tische Neigung	Jahr, Veränd.	Geographische		
					Breite	Länge	
						Ferro	Greenw
Gallipagos Inseln . .	Vancouver	9 Feb. 1795	2° 20'		0° 44s	285° 34'	267° 54'
Georg III Sund, N. Holl.	id.	Sept. 1791	64 54s		35 5s	135 54	118 14
Gebel Zeker	Panton	22 Nov. 1776	11 37		14 24	61 15	43 35
Gebel Tur	id.	23 Nov. 1776	13 23		15 29	60 52	43 12
Havnefiords Hafen .	Löwenörn	6-7 Aug. 1786	80 0		64 4	355 48	338 8
Holmens Haten . . .	id.	17 Mai 1786	78 30		64 9	355 48	338 8
S. Helene Insel . . .	De la Caille	10 Apr. 1754	9 0s		15 55s	11 52	354 12
	Ekeberg	19 Mai 1771	13 0	6,0			
	Cook	17 Mai 1775	11 25				
Heidelberg	Humboldt	1805	68 39		49 24	26 21	44 1
Heilbronn	id.	1805	68. 1		49 10	26 47	9 7
Huaheine							
Owharre Hafen	Cook	Dec. 1777	28 28		16 43	226 32	208 52
Judda	Panton	29 Nov. 1776	26 0		20 59	57 36	39 56
Irkutsk	Schubert	1805	67 0		52 17	121 51	104 11
Javita	Humboldt	1799	24 19		2 48	309 38	291 58
Impossibile	id.	1799	38 50		10 26	313 34	295 54
Kopenhagen	Lous	1773	71 45		55 41	30 15	12 35
	Bugge	1791	71 20½	0,5			
	Wleugel	17 Aug. 1813	71 26				
Kasbin (4)	Beauchamp	Juli 1787	56 30?		36 11	67 13	49 30
Kola	Rumowsky	Mai 1769	77 45		68 52	50 40	33 0
Kleve	Humboldt	1805	70 8		51 48	23 45	6 5
Landscrone	Wilcke	1770	72 30		55 52	30 29	12 49
Loxa	Humboldt	1799	5 24		4 0s	298 16½	280 36½
Lima	Feuillée	1710	10 30s		12 3s	300 32	282 52
	Humboldt	1799	9 59	0,1			
Lucern	id.	1805	67 10				
Lucie-le-bois	id.	1805	68 10				
Lyon	id.	1805	66 14		45 46	22 29	4 49
London (5)	Rob. Norman	1576	71 50		51 51	17 32	359 52
	Gilbert	1600	72 0				
	Ridley	1613	72 30				
	Bond	1676	73 30				
	Whiston	1720½	73 45				
			75 10				
	Graham	{ 29 März } 1723	74 42				
		{ 2 Mai }					
	Nairne	22 Apr. 1772	72 19	2,5			
	Cavendish	10-15 Oct. 1775	72 31				
	Gilpin	Sept. 1786	72 8,1				
	id.	Oct. —	— 7,6	2,3			
	id.	Nov. —	— 5,6				
	id.	Dec. —	— 3,4				
	id.	Jan. 1787	72 2,5				
	id.	Feb. —	— 6,9				
	id.	März —	— 5,9				

Namen der Orte	Beobachter	Zeit der Beobachtung	Magne- tische Neigung	Jahr- Veränd.	Geographische		
					Breite	Länge	
						Ferro	Greenw
London	Gilpin	Apr. 1787	72° 6,6	6,0			
	id.	Mai —	— 7,8				
	id.	Juni —	— 6,8				
	id.	Juli —	— 6,4				
	id.	Aug. —	— 5,9				
	id.	Sept. —	— 5,7				
	id.	Oct. —	— 4,9				
	id.	Nov. —	— 4,7				
	id.	Dec. —	— 4,4				
	id.	Jan. 1788	72 4,0				
	id.	Jan. 1789	71 54,8	5,0			
	id.	Dec. —	71 54,6				
	id.	Jan. 1790	71 55,7				
	id.	Jan. 1791	71 23,7				
	id.	Oct. 1795	71 11,4				
	id.	Oct. 1797	70 59,4				
	id.	Apr. 1798	70 55,4				
	id.	Oct. —	— 55,0				
	id.	Oct. 1799	70 52,2				
	id.	Apr. 1801	70 55,6				
	id.	Oct. 1803	70 52,0	—			
	id.	Aug. 1805	70 21,0				
	id.	Juli 1777	36 55				
Lefooga Insel	Cook	9 Nov. 1762	43 51 s		20 15 s	202 51	185 11
Marie Ins. b. Madag.	Le Gentil	id.	1766	11 41	16 30 s		
Mantle (?)	id.	10 Sept. 1775	5 15		14 34	158 31	120 51
Madrafs	Abercromb.	23 Sept. —	5 0		15 15	97 57	79 57
		5 Oct. —	5 0				
Mocha	Panton	20 Nov. 1776	8 25		13 22	61 50	44 10
Macao	Ekberg	19 Dec. 1770	23 7½				
	Cook	Dec. 1779	21 1		22 9	151 29	113 49
Musketto Cove . . .	Pickersgill	14 Juli 1776	81 22½		64 53	524 43	507 3
Madrid	Humboldt	1789	67 41		40 25	15 57	356 17
Montpellier	id.	1799	65 53		43 36	21 32	3 52
Marseille	id.	1799	65 10		43 18	25 3	5 23
Medina del Campo .	id.	1799	66 9				
Magdeburg	id.	1805	69 55		52 10	29 25	11 45
S. Michel	id.	1805	66 12		45 23		
Modane	id.	1805	66 6				
Mailand	id.	1805	65 40		45 28	26 51	9 11
Modena	id.	1805	64 55		44 39	28 50	10 50
Mietau	Beinler	1783	73 0		56 59	41 23	23 43
Mahé	Le Valois	1786	9 0?		4 38 s	75 15	55 55
Mexico	Don Alzate	1778	58 0		19 26	273 34	260 54
	Humboldt	1799	42 10				
Monterrey	Vancouver	Nov. 1794	63 0		36 36	255 49	238 9
Nord Cap, Norw. .	Bayley	Juni 1760	79 0		71 10	43 30	25 50

Namen der Orte	Beobachter	Zeit der Beobachtung	Magnetische Neigung	Jahr. Veränd.	Geographische		
					Breite	Länge	
						Ferro	Greenw
Nimes	Humboldt	1799	65° 23'		43° 50'	21° 59'	4° 19'
Neapel	id.	1805	61 35		40 50	31 56	14 16
Nutka Sund (7) . . .	Cook	4 Apr. 1778	72 32		49 36	251 3	233 23
	Vancouver	Juli 1794	72 26				
Norton Sund	Cook	16-17 Sept. 1778	73 56		64 31	214 43	197 13
Orel	Inochodzoff	Aug. 1781	76 25		52 57	53 37	35 57
L'Orient	De la Caille	14 Juni 1754	67 0		47 45	14 17	356 37
Otaheite			72 0				
Point Venus . . .	Cook	30 Mai 1769	30 43 s		17 29 s	228 5	210 25
ibid.	id.	29 Aug. 1773	29 43				
ibid.	id.	30 Apr. 1774	29 59				
Matavai Point . .	id.	Dec. 1777	29 12		17 29 s	228 2	210 22
Matavai Bay . .	Vancouver	1791	30 53		17 30 s	228 4	210 24
Owhyhee (8)							
Karakakoa Bay .	Cook	12 März 1799	40 32		19 28	221 40	204 0
	Vancouver	Feb. 1793	41 10				
Oneehow	Cook	18 Jan. 1788	41 24		21 12	218 21	200 41
Observatory Inlet . .	Vancouver	Sept. 1793	42 1		55 15½	247 56	230 16
Ohittahoo	Cook	9 Apr. 1774	75 54½		9 55 s	238 31	220 51
Paris	Richer	1671	18 7 s		48 50	20 0	2 20
	La Caille	22 Sept. 1754	75 0	2,0			
	Le Monnier	1776	72 15				
	Cassini	1780	72 25	1,0			
	id.	1791	71 48	6,2			
	Bouvard	1798	70 52				
	Humboldt	1798	70 10	6,6			
	id.	1806	69 26				
	Conn. de Temps	2 Dec. 1814	69 12	4,5			
Petersburg	Euler	1755	68 36		59 56	47 59	30 19
	Mallet	1769	73 30				
	Krafft	1778	73 35	6,7			
	id.	1802	72 36				
Ponoi	Mallet	18-19 März 1769	76 42?		67 4	58 49	41 9
Petropaulowska . . .	Cook	Oct. 1779	76 30		53 1	176 23	158 43
(9)	Krusenstern	1804	63 5	1,1			
Pulo Condore	Cook	Jan. 1780	63 32		8 40	123 59	106 19
Princes Insel	id.	Feb. 1780	2 1		6 36 s	122 57	105 17
Pulo Pinang	Le Gentil	1768	28 15 s		5 25		
Popayan	Humboldt	1799	6 22		2 24	301 15	283 35
Perpignan	id.	1799	20 53		42 42	20 33	2 53
Pavia	id.	1805	65 18		45 11	26 49	9 9
Piacencia	id.	1805	65 26		45 3	27 22	9 42
Parma	id.	1805	65 0		44 48	28 0	10 20
			65 7				

Namen der Orte	Beobachter	Zeit der Beobachtung	Magnetische Neigung	Jahr. Veränd.	Geographische		
					Breite	Länge	
						Ferro	Greenw
Pezara	Humboldt	1805	64° 18'		43° 55'	30° 33'	12° 53'
Portici	id.	1805	60 50				
Prag	Kampf	1768	71 3		50 5	32 5	14 25
Palma	Ekeberg	24 März 1770	64 22		28 38	359 56	342 16
Port Français	La Perouse	5-24 Juli 1786	73 52		58 39	240 10	222 30
Quito	Bouguer	Nov. 1742	10 0		0 13 s	298 55	281 15
	Humboldt	1799	13 22	3,5			
Rom	Kircher	1640	65 40		41 54	30 8	12 28
	Humboldt	1806	61 57	1,5			
Rimini	id.	1806	63 48		44 4	30 13	12 33
Rio Janeiro	De la Caille	4 Feb. 1751	20 0 s		22 54 s	334 55	317 15
Spoletto	Humboldt	1806	62 51		42 15	30 25	12 45
Surabaya, Java . . .	Dentrecasteaux	Oct. 1793	25 40 s		7 14 s	130 19	112 39
Socotra, a.	Panton	12 Nov. 1776	4 37		13 16	70 35	52 55
Suez	id.	4-9 Jan. 1777	44 33		29 58	49 55	32 15
Scheulpar	id.	2 Nov. 1776	2 30		9 59	90 10	72 30
Svinöers Hafen, Norw.	Ekeberg	13-15 Feb. 1770	74 7½		57 58		
Sunda Straße	id.	Aug. 1770	27 30 s		6 56 s		
Tübingen	Humboldt	1805	68 4		48 31	26 43	9 3
Turin	id.	1806	66 3		45 4	25 20	7 40
Tompanda	id.	1799	3 11		5 31½	299 3	281 23
S. Thomas de la Guayana	id.	1799	35 6		8 8	313 45	296 5
Tobolsk (10)	Schnbert	1805	78 0?		58 12	86 5	68 25
Torneå	Celsius	2 Jan. 1737	78 5		65 51	41 52	24 12
Tolaga Bay, N. Zeel.	Cook	15 Nov. 1775	62 26		38 21 s	196 14	178 34
Tanna Insel (11) . .	id.	8-18 Aug. 1774	45 2 s	?	19 32 s	187 29	169 49
Trinquemale, Ceylon	Panton	14 Oct. 1776	4 37 s		8 32	99 10	81 30
Talcaguana Bay (12)	La Perouse	25 Feb. 1786	50 45		36 43 s	304 30	286 50
Tongataboo	Cook	Juli 1777	39 1 s		21 8 s	202 35	184 55
Ulietea							
Ohamaneno Hafen	id.	Dec. 1777	29 5 s		16 45 s	226 5	208 25
Unalashka							
Samganooodha Haf.	id.	Oct. 1778	69 23½		53 5	211 10	193 30
Umha	Pictet	Mai 1769	75 10		66 44½	51 55	34 13
Vampo Hafen	Ekeberg	15-20 Oct. 1770	26 7½				
Valparaiso	Vancouver	25 März 1795	44 15 s		33 1 s	306 9	288 29
Vesuv							
S. Salvador	Humboldt	1805	62 15				
Krater	id.	1805	62 0				
Wellendingen	id.	1805	67 57		48 9	26 22	8 42
Wittenberg	Langguth	5 Jan. 1803	70 37½		51 51	30 22	12 42
Zürich	Humboldt	1805	67 22		47 22	26 12	8 32



III. TAFEL.

Abweichung und Neigung der Magnetnadel

beobachtet auf verschiedenen Seereisen vom Anfange des siebzehnten Jahrhunderts
an bis auf unsere Zeit.

I. Beobachtungen von *Edward Wright* auf einer Seereise von England nach den Azorischen Inseln im Jahre 1589, aus dessen Buche: *Certain errors in navigation detected and corrected.*

1589	Abweich.	Breite	Beobachtungsort, nebst andern Bemerkungen.	
Juli	9	7° 30' ö	39° 50' n	20 leagues W. Spanien.
	12	6 45	39 0	30-40 leagues W. Spanien.
	23	5 38	38 0	Mitten zwischen Lissabon und St. Michaels Insel.
Aug.	8	3 18	38 20	Zwischen St. Michael und Tercera.
	9	4 7	38 20	3 leagues von Tercera S. S. W.
	14	4 0w	39 50	Santa Cruz auf Flores.
Sept.	13	1 28 ö	38 54	In der Stadt Fayal. Diese Beobachtungen, wie auch die obige in S. Cruz, wurden mit dem Abweichungs-Instrumente des Mr. Will. Borrowes (beschrieben in dessen Buche: Of the Variation of the Compasse), und mit einem Quadranten von beynahe 3 Fuß Halbmesser angestellt.
	22	4 40	— —	
	23	3 6	— —	
Oct.	18	2 5	38 20	4 leagues von Tercera S. O.
	23	0 55	37 0	St. Maries W. g. S. 6 leagues.
	24	3 20w	37 0	St. Maries S. 5 leagues.
	26	5 34 ö	37 30	St. Maries N. W. g. W. 16 leagues.
	28	7 5	38 40	S. Georges S. O. g. O. 3 leagues.
Nov.	1	8 10	38 40	Die östliche Küste von S. Michael N. O. g. N. 15 oder 20 leagues.
	2	3 33	38 40	
	6	6 30	38 35	The Rock W. 66 leagues.
	12	7 4	44 25	Cap Finisterre N. O.

II. Beobachtungen von *Heinrich Middleton* auf einer Reise nach dem rothen Meere und Surate im Jahre 1610.

1610	Abweich	Breite	Beobachtungsort
Sept. 13	12° 40' w	11° 10' s	Quirimba Inseln
Oct. 2	12 24	3 30	} Ostküste von Africa
4	13 0	0 14	
6	14 2	2 30 n	
7	15 0	3 5	
8	16 4	4 21	
9	16 4	5 23	
10	17 10	5 21	
14	19 40	7 15	
15	19 5	8 55	
17	18 55		
21	19 18	12 30	Duas Hermanas I. Rhede von Tamarin auf Socotra.
1611			
Febr. 9	16 30 w	20 57 n	Rhede v. Sually
16	16 30	17 42	Rhede v. Dabul
März 25	16 0		Spitze von Dellahaw auf Socotra
	13 40	12 47	Aden

III. Capt. *Niklas Dauntons* Reise auf dem Schiffe *das Pfefferkorn* im Jahre 1610.

1610	Abweich	Breite	Beobachtungsort
Sept. 1	17° 35' w	12° 17' n	Cap Guardafui
	12 40	12 55	Aden
	16 40	20 55	Rhede v. Sually
	15 34	17 34	Rhede v. Dabul

IV. Capt. *Anton Hippons* Reise nach Coromandel, Bantam und Siam im Jahre 1611 auf dem Schiffe *Globus*, beschrieben von dem Unterschißer Nathan, Marten.

1611	Abweich	Breite	Beobachtungsort
Aug. 4	13° 7' w	9° 15' n	6 Meil. v. Ceylon
21	12 47	15 36	} Petapolli
Dec. 28	12 22	15 49	

Von hier aus segelte Hippon südöstlich gegen die Sundastraße, wobey die Abweichung regelmässig abnahm; weil aber die Länge des Beobachtungsortes nicht angegeben ist, sind die Beobachtungen unbrauchbar.

V. Capt. *John Saris* Reise nach dem rothen Meere, den Molukken und Japan im Jahre 1611.

1611	Abweich	Breite	Beobachtungsort
Sept. 3	15° 11' w	°	Augustins Bay Madagaskar
15	12 8	16 46 s	Juan de Nueva Ins.
16	13 3	16 9	
17	12 1		
21	13 0	16 20	Angoxa südl. von Mosambique Angoxa Inseln
22	12 44	17 5	
23	13 16	16 24	
			Die nordöstlichste von den Angoxen N. W. 5 Meilen
Oct. 3	11 50	16 32	Küste von Africa
Nov. 4	12 31	2 10	Melinda bey der Bucht Formosa
29	17 34	4 44 n	12 Meilen von der Sandbank Baxos de Malhina
Dec. 1	16 15	3 40	Doara nördl. von Magadoxo
10	20 25	4 12	
18	17 28	6 27	
1612			
Feb. 15	17 23 w	11 27	Abdal Curia u. die beiden Hermanen N. O. 12 Meilen
16	17 22	12 19	Westl. Spitze von Socotra Tamarin auf Socot.
17	17 22	12 47	
	18 42	12 35	
März 4	17 34	12 1	Cap Guardafui
11	15 2		Darsina, Arabien
1613			
Feb. 22	4 12 ö	0 51	Bakian Ins.
März 5	4 48		Stadt Bakan
15	4 58	0 17	Zwischen Batta Kina und Kaya
Apr. 1	3 28	0 26	Rhede v. Pelcbere
May 12	5 20	2 35	Doy, der nordöstlichsten von den Molukken.
	2 50	33 30	Am Lande auf der Insel Firaud.
			bey Japan
Juni 6	4 41		Bey den kl. Ins. südlich von Likeo

1613	Abweich	Breite	Beobachtungsort
Dec. 13	1 30 ö'	° ' ' "	Bey den kleinen Inseln längs dem festen Lande von China
	0 50 w	18 19 n	Hainan

VI. Capt. Castletons Reise nach Priaman auf Sumatra im Jahre 1612, geschrieben von dem Steuermann *Johan Tatton*.

1612	Abweich	Breite	Beobachtungsort
Aug. 24	4° 50 w	0° 38 s'	Priaman
Nov. 12	13 24	5 32 n	Punta de Galle auf Ceylon
Dec. 4	12 46	6 40	Coromandel Küste
1614			
März 20	24 26	13 17 s	Größte Abweich.
24	23 10	16 50	
Apr. 2	22 48	20 58	Bourbon Ins. S. O. g. O. 5. Meilen

VII. Reise nach Ostindien von Capt. *Edmund Marlowe* aus Bristol. Das Journal ist von dem Steuermann *John Davis* geführt.

1613	Abweich	Breite	Länge
Apr. 11	5° 37 ö'	0° 0'	von Cap Lezard 6° 20 w
27	14 7	19 40 s	11 20
28	14 30	20 30	11 50
Juni 27	15 10 w	24 8	v. guter Hoffn. Vorg. bey Madag.
28	15 0		} gascar.
Juli 19	15 0	23 55	22 22 12 leagues östl. v. Madag.
26	4 10	0 50	Priaman

VIII. *Abel Jansen Tasman*s Reise von Batavia nach Van Diemens Land und Neu-Zeeland, angefangen den 14 Aug. 1642. — Die Länge ist von einem Meridiane gerechnet, der ungefähr 21 Grad W. London liegt. Den 5 Sept. segelte er von der Insel Moritz, ging

gen Süd bis 40° Breite, und fand die Abweichung 23° 24° 25°.

1642	Abweich	Breite	Länge
Oct. 22	25° 0 w	40° 30' s	78° 44'
29	26 45	45 40	89 44
Nov. 6	26 0	49 4	114 56
15	18 30	44 3	140 32
22	0 0	41 20	163 30
Dec. 2	3 0 ö	43 10	167 0 Fridr. Henr. Bay v. Diemens Land
9	5 0	42 37	176 29
13	7 30	42 10	188 28 N. Zeeland
18	9 0	40 50	191 41 Morderbay
1643			
Jan. 4	8 40	34 35	190 9 Heil. 3 König. Insel
8	9 0	30 25	192 20
12	9 30	30 5	192 27
16	8 0	26 29	199 32
19	7 30	22 35	204 15 Pilstart Ins.
21	7 15	21 20	205 29 Amsterd. I.
25	9 30	4 35	175 10
Apr. 1	8 45	4 30	171 2 Sta. Maria N. Guinea
12	10 0	3 45	167 0
14	9 15	5 27	166 57
May 12	6 30	0 54	153 17
18	5 30	0 26	147 55 Westl. Ende v. N. Guinea

IX. Etliche Abweichungsbeobachtungen aus *Halley's* Table of variations of the magn. needle (*Philos. Trans.* no. 148 Y. 1683), welche nicht in den vorigen Tafeln eingetragen sind.

Jahr	Abweich	Breite	Länge
			London
1675	0° 0'	34° 30' s	10° 0' ö
1622	2 0 w	34 50	16 30
1675	8 0		
1675	16 0	4 0	40 0
1675	19 30	12 15	44 0
1674	15 0	13 0 n	47 30
1676	24 0	27 0 s	55 0
1674	17 0	12 30 n	56 0

} Cap d' Agulhas
Mombasa
Johanna
Aden
Socotra

Jahr	Abweich	Breite	Länge London		1675	Abweich	Breite	Länge Teneriffa	
1677	27° 30' w	59° 0' s	58° 0' 6		Apr. 28	4° 15' 6	13° 0' s	356 34'	
1676	20 30	20 0	61 0	Diego Roiz	29	5 52	14 13	356 21	
1676	15 30	0 0	64 30		30	6 30	15 14		
1677	25 30	58 0 s	72 0	S. Paul Insel	Mai 2	6 37	17 8	356 2	
1676	12 0	19 0 n	72 30	Bombay	8	11 55	25 36	352 6	
1680	8 48	8 15 n	76 0	Cap Comorin	15	11 15	34 26	2 50	
1680	8 10	15 15 n	80 0	Madras	17	7 30	34 14	7 23	
1680	8 20	21 50 n	87 0	Balasore	21	4 2	35 30	15 2	
1677	0 40 6	16 0 s	6 30 w	S. Helena Ins.	23	5 28	36 8	18 47	
1678	1 0	7 50	14 30	Ascension Ins.	25	0 48 w	35 15	25 58	
1675	10 30	34 0	20 0		27	2 8	34 42	27 33	
1682	5 30 w	45 50 n	31 30		29	5 23	34 9	32 53	
1675	10 30 6	24 0 s	52 0		30	7 30	33 46	36 40 *)	
1670	5 30	8 0	35 30	S. Augustin	Jun 20		36 35	39 20	
				Vorgeb.	22	11 50	38 25	41 14	
1670	12 10	22 40	41 10	Cap Frio	25	16 0		50 20	
1678	0 40	21 0 n	42 0		28	20 40	37 28	57 50	
1682	7 30 w	58 40	50 0		29	21 45	37 49	60 0	
1670	20 30 6	59 50 s	53 0	Plata Flufs	30	23 0	38 5	62 4	
1670	14 10	53 0	57 0		Juli 5	26 30	37 33	77 25	
1668	29 30 w	61 0 n	57 0	Hudsons	6	26 45	37 45	80 18	
				Straße	7	25 44		82 0	
1670	17 0 6	52 30 s	68 0	Ostl. Einfahrt	9	25 30	38 14	87 26	
				der Mago-	12	22 44	38 3	96 20	
				lausstraße	13	21 30	37 1	98 0	
1670	8 10	40 0	75 0	Baldivia	15	18 40	35 54	105 0	
1670	14 10	55 0	75 0	Westl. Ein-	19	10 5	28 40	111 37	
				fahrt der Ma-	21	7 54	26 50		
				gellausstraße	22	7 30	25 22	116 17	
1668	19 15 w	51 0 n	79 40	Albany Fort	23	7 0	23 30		
1616	57 0	78 0	80 0	Thom Smiths	25	6 40	20 26	118 45	
				Sund	29	4 15	14 10	122 6	
					30	5 45	12 0	122 12	
					31	2 0	11 28	122 30	
					Aug. 1	2 10	9 0	125 2	bey Java
					2				

X. Abweichungsbeobachtungen, ausgezo-
gen aus: *Epistola Melch. Leydekeri Th.
& Med. Doct. ad Andr. Cleyerum: de
Variatione Magnetis a suo quondam so-
lito Puncto. Miscell. Acad. Nat. Curios.
Dec. 2. A. 2. 1685. Append. pag. 445.*

1675	Abweich	Breite	Länge Teneriffa
Apr. 12	1° 50' 6	0° 20' n	356° 0'
22	2 5	4 25 s	
24	4 0	7 25	
25	4 15	8 40	
26	4 30	9 52	356 52
27	4 48	11 26	

*) Den 30ten um 6 Uhr landeten sie bey dem
Vorgebirge der guten Hoffnung und fanden
die Abweichung 2° 28' westl. Die Länge
des Caps rechneten sie zu 39°, und die fol-
genden Längen sind dabey verbessert.

XI. Capt. *Woods Rogers* Reise von Cap St. Lucar in Californien nach der Insel Guam, einer der Ladronen, im Jahre 1709.

	1709	Abweich	Breite	Länge London
Jan.	12	3° 0' 8"	22° 16' n	114° 9' w
	13	2 50	21 18	114 42
	14	2 50	20 24	115 15
	15	2 50	19 25	115 45
	16	2 45	18 56	116 24
	17	2 45	18 0	117 6
	18	2 15	17 11	117 30
	19	2 0	16 32	118 5
	20	1 50	15 44	118 54
	21	1 30	15 0	120 15
	22	1 10	14 49	122 5
	23	0 50	14 36	124 25
	24	0 40	14 24	126 45
	25	0 45	14 14	129 5
	26	0 50	13 50	131 23
	27	1 0	13 29	132 58
	28	1 10	13 29	134 41
	29	1 15	13 22	136 48
	30	1 25	13 27	139 21
	31	1 30	13 32	142 7
Feb.	1	1 40	13 32	144 37
	2	1 50	13 36	147 32
	3	2 0	13 26	150 18
	4	2 10	13 26	153 2
	5	2 25	13 26	155 19
	6	2 30	13 26	157 43
	7	2 50	13 25	160 31
	8	3 0	13 41	163 0
	9	3 20	13 41	165 18
	10	3 30	13 44	167 26
	11	3 45	13 36	169 57
	12	4 0	13 33	172 27
	13	4 30	13 36	175 0
	14	5 20	13 32	177 21
	15	6 30	13 40	179 28
	16	7 0	13 47	181 24
	17	7 30	13 54	183 22
	18	9 0	13 52	185 37
	19	10 15	13 40	187 42
	20	11 0	13 28	189 49
	21	11 30	13 21	191 30
	22	12 0	13 12	193 25
	23	11 50	13 7	194 37
	24	11 0	13 10	195 51

	1709	Abweich	Breite	Länge London
Feb.	25	10° 0' 8"	13° 3' n	197° 51' w
	26	9 50	13 0	199 3
	27	9 50	12 57	200 16
	28	9 0	12 54	202 20
März	1	8 40	12 58	204 12
	2	8 20	13 4	206 6
	3	8 0	13 5	207 33
	4	7 50	13 5	209 4
	5	7 30	13 2	211 54
	6	7 10	13 7	212 42
	7	7 0	13 7	214 7
	8	6 50	13 3	215 28
	9	6 30	13 8	217 11
	10	5 40	13 16	218 27

Guam I.

XII. Abweichungsbeobachtungen im Aethiopischen Meere im Jahre 1721 von Capitain *Cornwall*.

	1721	Abweich	Breite	Länge St. Yago
Aug.	24	2° 13' 8"	9° 8' s	9° 25' w
	26	4 30	11 12	10 46
	27	4 29	11 34	11 28
	28	4 27	12 31	11 31
	31	6 10	15 46	10 53
Sept.	2	7 16	16 26	8 25
	5	6 17	18 45	9 31
	6	8 6	19 47	9 10
	17	5 53	28 43	1 7
	22	4 10	31 53	3 41 8
	27	0 11 w	33 30	11 29
	30	3 0	32 40	19 6
Oct.	1	5 41	32 53	21 18
	3	7 47	32 30	25 33
	5	8 44	32 28	30 37
	6	10 57	31 22	31 40
	7	11 20	31 11	32 4
	13	14 30	26 17	35 35
	19	12 20	19 41	längs
	21	14 29	17 4	der
	25	14 28	13 56	Küste
Nov.	4	13 11	10 57	von
	7	15 14	8 19	Africa
	29	14 33	5 0	Cabenda Bay
				Cabenda
Dec.	9	11 32	3 25	11 38 w
	20	1 5	0 30	30 41

1721	Abweich	Breite	Länge Cabenda
------	---------	--------	------------------

Jan.	1	1 18	10 50 n
	6	1 41	17 15
			39 8w
			43 21

XIII. Beobachtungen auf einer Reise nach,
in und aus Ostindien von *Thom. Mathews* Esq. auf dem Schiffe *the Lyon*.

1721	Abweich	Breite	Länge London
------	---------	--------	-----------------

Nov.	21	6° 28' w	29° 20' n	18° 55' w
	24	4 30	24 36	19 8
	25	3 36	23 0	19 36
	26	3 19	21 0	20 30
	28	2 25	16 40	22 38
Apr.	8	2 30	14 15	23 26
	9	2 29	11 40	22 13
	10	2 21	9 44	21 32
	11	2 4	8 17	21 33
	12	2 14	6 28	20 42
	13	2 11	5 40	20 37
	14	1 50	4 16	20 26
	15	1 20	3 30	20 30
	17	0 30	2 10	21 8
		0 0	1 22	21 15
	18	0 40 s	0 7	21 29
	20	0 22	1 20 s	21 25
	21	0 38 w	1 46	21 5
	22	1 13	1 48	21 0
May	2	2 11 s	14 10	25 14
	3	3 0	16 0	26 42
	4	3 42	16 50	27 16
		3 26	18 0	28 2
	5	4 20	19 0	28 22
		5 15	20 0	28 38
	6	4 20	21 10	28 22
		5 18	22 38	27 56
	7	3 56	23 10	27 20
		4 25	24 30	26 27
	9	3 0	26 35	23 31
	10	2 50	26 56	22 15
	11	1 56	27 7	21 26
	12	1 33	27 36	20 17
	13	1 8	29 10	17 0
		1 0 w	29 40	14 12
	15	1 31	30 10	11 27
	17	3 48	32 40	6 20

1721	Abweich	Breite	Länge London
------	---------	--------	-----------------

May	17	5° 23' w	33° 12' s	4 12 w
	19	7 50	34 2	2 30 6
	21	9 52	34 20	7 10
	24	13 24	33 32	14 40
		13 22	33 58	15 20
	25	14 12	34 9	17 4
Juni		16 25	Tafel Bay	
	14	14 25	Guter Hoffnung Vorgebirge	
	18	19 0	35 20	28 53
		20 10	35 16	30 10
	19	20 45	35 14	31 12
	20	21 13	34 0	34 10
	22	22 35	32 2	35 38
	24	22 45	30 51	36 10
	25	20 40	30 39	36 17
	26	23 3	30 30	35 47
		22 51	29 53	36 26
	27	22 32	29 40	36 2
	28	22 24	27 33	37 12
	29	23 43	26 38	37 34
Juli	3	23 51	24 14	45 30
	4	24 17	Sct. Augustins Bay Ma-	
		23 18	dagascar	
	15	23 27	21 40	45 36
		22 35	21 10	45 40
	16	23 51	20 47	45 57
	17	24 25	20 22	46 23
	19	21 44	20 20	
	20	22 13	19 48	46 8
	21	22 22	18 17	45 18
		21 20	16 25	45 6
	24	21 33	15 0	45 26
	25	21 16	13 35	46 29
	29	20 33	Johanna Bay	
Aug.	2	19 12	Comoro Insel	
	3	19 44	nahe bey derselben	
	4	19 2	10 18	44 57
	5	18 27	9 34	44 58
	6	18 23	8 28	45 10
	7	18 33	7 36	45 24
		17 20	6 28	45 36
	9	16 17	2 2	47 55
	12	13 48	3 5 n	51 17
	13	13 19	5 25	51 41
	14	11 39	8 45	51 11
		11 14	9 10	51 30
	15	11 0	10 6	51 54
	16	11 11	Cap Guardafui	
	18	11 49	12 36	53 10

1721	Abweich	Breite	Länge London	1722	Abweich	Breite	Länge London
Aug. 19	11° 0 w	13° 10' n	55° 37' ö	März 11	5° 24 w	5° 36' s	80° 22' ö
20	9 42	14 48	58 45	12	3 14	5 27	80 30
21	8 28	16 14	61 37	13	2 54	5 27	80 22
23	7 7	18 20	65 35		3 0	5 55	80 10
24	5 35	19 16	68 10	14	3 15	6 26	80 2
27	5 12	} Bombay			3 28	7 2	79 45
Sept. 12	5 16			16	3 42	9 8	79 7
	5 13	} Hafen bey Chaul		17	5 20	11 36	78 50
Oct. 5	5 27			18	4 56	12 16	78 20
18	5 19	Calaba Insel			5 12	13 0	77 56
1722				19	5 8	13 50	77 20
Feb. 1	4 58	Rogipore Insel			6 15	15 0	76 24
4	5 49	Alguarda bey Goa		20	6 22	15 50	75 32
5	5 25	Cap Ramas			7 12	16 50	74 30
7	5 40	Carvar Bay		21	7 26	17 40	73 22
9	5 24	Mangulore		23	14 27	20 20	68 3
10	5 35	Mangulore Rhede		25	16 27	23 35	63 24
13	4 21	Tellichery Rhede		26	17 44	20 41	61 6
18	4 5	Calicut Rhede		27	17 34	20 42	60 57
19	3 34	Cochin Fort			18 47	20 35	59 34
22	4 26	6 38 n	77 56	Apr. 18	46	P. Butts Bay Mauritius	
23	4 0	5 24	78 24	5	18 22	} Die größte der beyden	
24	3 24	4 48	78 41		18 56	} Inseln bey Mauritius	
25	3 9	3 55	78 38	6	19 7	} daselbst	
26	3 36	3 24	78 34	7	19 45	Don Masgaren	
27	3 3	} daselbst		8	19 49	St. Pauls Bay auf Don Mas-	
	3 8			10	19 44	garen	
28	2 53	3 16	78 4	13	19 49	19° 12' s 52° 11' ö	
	3 7	3 13	78 10	18	19 53	} Insel St. Marie bey Ma-	
März 1	2 35	3 5	78 24	19	19 52	} dagascar	
	2 48	2 48	78 34	22	19 25	15 34 52 35	
2	2 16	2 28	78 40	May 2	18 30	} Cap S. Sebastian auf Ma-	
	3 0	2 0	78 47	3	19 1	} dagascar	
5	2 20	1 28	78 53	4	18 36	13 0	
	3 4	0 50	79 0	5	19 48	13 8	
4	2 14	0 28	79 9		20 12	} Insel Nossee	
	2 8	0 14 s	79 14	6	19 45	Gombi	
5	1 36	0 54	79 20	7	19 5	13 34	
	2 10	1 10	79 24	8	19 20	13 56	
6	2 2	1 20	79 30	9	20 16	14 51	
	2 16	1 30	79 40	10	20 24	15 21	
7	1 48	1 52	79 8	11	21 18	Managuara	
8	2 28	2 45	79 36	14	21 14	Masfalagem Nova	
	2 46	2 58	79 36	15	21 37	Jamgomy Insel	
9	3 6	4 12	79 48	16	20 51	Nahe bey Managuara Hafen	
10	2 41	4 46	79 57	18-21	21 22	Geankert in der Bay von	
	3 9	5 10	80 5			Managuara	
				Juni 7	21 43	Mackamoy Insel	

1722	Abweich	Breite	Länge London	1723	Abweich	Breite	Länge London
Juni 7	21° 14' w	14° 37' s	46° 40' 6	Nov. 11	4° 11' w	9° 14' n	nahe bey Porkat auf der Malabarküste
8	21 12	{ Valentins Pik auf der Insel		12	4 13	{ Cochin Rhede	
	20 24	{ Mayota		13	3 34	{ Zwischen Pansari Factorei	
12	20 39	{ Geankert in Johanne Bay;		14	3 14	{ und Calicut	
	20 33	{ mit verschied. Compasen		15	4 9	{ Calicut Rhede	
18	19 18	9° 54' s	45° 34' 6	16	3 44	{ Sacrifice Rock	
	18 54	8 47	45 23	19	4 4	{ Tellichery Fort	
19	18 11	7 48	45 14	21	5 20	{ Nahe bey der Insel Pidgeon	
20	16 48	5 24	45 0	22	4 43	{ Pidgeon	
21	16 5	2 26	45 56	23	5 4	{ Carvar Bucht	
22	15 34	0 35	48 21	25	4 37	{ Goa Rhede	
23	15 4	0 18 n	51 4	26, 27, 28	4 57	{ 16 16 n Nahe bey Vingorla	
24	13 59	2 10	54 10	30	4 56	{ Rocks	
25	12 43	3 16	57 2	Dec. 1	4 47	16 24	{ Mündung von Ca-
27	10 38	5 36	62 4				{ reptam Hafen
29	9 11	8 34	66 45	2	4 50	16 50	{ C. Dobs
30	7 6	7 59	69 50	4	4 43	17 45	{ Der Felsen Seven-
Juli 1	7 8	7 53	71 44				{ druke bey Angra,
2	7 6	7 46	72 16				{ nahe dem Setra
	6 45	7 42	72 35				{ Flusse
4	5 54	7 15	74 6	5	4 50	17 55	{
	5 32	7 13	74 40	6	5 16		{ Insel Canary bey Bombay
5	4 56	7 10	75 22	9	5 28		{ Das Land genaunt Neats
	5 0	7 0	76 10				{ Tongue
6	4 7	{ Das nordöstlichste Ende		10	5 36	19 37	{ Zwischen Bom-
	4 25	{ der Maldiven					{ bay und St. Johns
7	4 43	7 5	0 49	11	5 27		{ St. Johns
9	2 52	5 38	4 12	12-20	5 50		{ Surate Rhede
10	2 13	5 49	7 43	22	5 23		{ Demaen
		{ Fryers Hood auf der S. O.		23	5 26		{ Neats Tongue
11	2 12	{ Seite von Ceylon		29-31	5 7		{ Bombay
12	2 15	8 30					
	2 36	10 2	10 48	1723			
		{ von Fry-		Feb. 5-9	5 59		{ Surate Rhede
		{ ers Hood		14	5 30		{ Nahe Dundee Rogipore
		{ Fort St. George od. Madras		15	5 5		{ 16 14 Careptam Hafen
29	1 42	16 20	3 38	17-19	5 13		{ Goa Rhede
	1 32	17 0	4 16	24	5 8		{ Carvar Bucht
30	1 38	18 3	4 41	25	5 5		{ daselbst
Aug. Sep. Oct	{ 3 4	{ Mündung des Flusses Ro-		27-28	{ 5 5		{ Mangalore Rhede
		{ gues		März 1			
28	3 33	{ Cap Palmiras nahe Palasore		3-4	4 9		{ Tellichery Rhede
29	3 0	18 56' n	0° 9' w	7	4 22	11 18	{ 75 30 6 London
31	3 17	14 50	2 5	8	4 51	10 35	{ 74 32
Nov. 1	2 14	12 53	2 54	9	5 11	9 54	{ 72 55
	2 2	12 0	3 17	10	5 24	9 43	{ 72 25
	2 48	11 12	3 35				
4	2 21	{ Fryers Hood Ceylon					
5	2 36	5 44	0 23				
		{ von Fry-					
		{ ers Hood					

1723	Abweich	Breite	Länge London	1723	Abweich	Breite	Länge London
März 11	5° 46' w	10° 6' n	72° 21' ö	Apr. 19	14° 20' w	Strafse Babelmandeb.	
13	6 3	9 54	71 32	20-27	13 34	Mocha Rhede	
14	5 43	9 46	71 17	Mai 14	14 1	Zee Hill, Str. Babelmandeb	
15	5 44	10 0	71 17	15	14 8	Mitten in der Str. Babelm.	
16	5 38	9 38	70 55	16	13 54	Cap Aden	
19	7 14	9 12	68 5	20	13 42	Cap Aden.	
	7 0	9 25	67 29	21	13 25	12° 52' n	0° 30' ö v.C. Aden
20	7 11	9 25	67 10	22	13 10	12 16	1 0
	7 58	9 40	66 40	23	13 6	11 56	2 4
21	8 30	9 45	66 9	24	13 23	11 58	2 30
	8 22	9 54	65 28	25	12 39	11 4	5 12
22	8 42	10 0	64 55	27	13 3	5 oder 6 leagues von der	
23	9 16	10 37	63 53			Aethiopischen Küste.	
	8 53	11 12	63 27	28	12 0	3—4 leagues v. M. Felix.	
24	9 28	11 20	63 0	29	12 34	Cap Guardafui.	
	9 24	11 36	62 30	31	12 20	Stadt Socotra.	
25	9 54	11 40	62 3	Juni 4	8 26	9 50 n	66 50 ö Lond.
	9 45	12 0	61 20	5	7 34	8 40	69 14
26	10 12	12 10	60 53	11	2 2	5 53	7 4 ö v.d. nördl.
	9 48	12 20	60 11				der Ma-
27	9 41	12 20	59 21				led. Ins.
28	9 48	12 21	59 30	29	2 25	Fort St. Davids.	
29	9 16	12 30	59 30	Juli 15	3 16	Fort St. George od. Madras.	
	9 18	12 22	59 20	17			
30	9 29	12 28	59 17	Oct. 14	2 6	Dondra Head, Ceylon.	
	10 8	12 23	59 13		2 8	Bey Ceylon.	
Apr. 31	9 48	12 32	59 12	15	2 46	Die Holländische Factorei	
1	10 6	12 45	58 19			auf Punta de Galle, Ceylon.	
2	10 40	12 50	57 40	16	2 45	Am Lande nahe bey P. de G.	
	10 39	12 50	56 57	17	2 44	7 20	0 53 v.P. d. G.
3	10 45	12 48	56 0		2 52	7 54	1 22
	11 26	12 44	54 45	18	2 51		
4	11 16	12 36	Östl. Ende von Socotra.		2 48		
	11 33			19	2 50	Cap Cameroon.	
5	11 36		Geankert b. Tamarin auf Soc.	20	3 9		
8	11 38			21	2 58		
10	12 4	Westl. Ende von Socotra.		Nov. 1	5 8	Mangalore auf der Küste	
11	11 54					Malabar.	
	12 0	Östliches Ende von der In- sel Abdelcura.		2	5 13	Balsalore Hill.	
12	12 43			3	4 48	Südliches Ende von Carvar	
		Mount Felix.				Bucht.	
13	12 18			4	5 48	Cap Ramas.	
14	12 16	11 36	1 0 w	6	5 3	Goa.	
15	12 58	11 25	2 15	9	5 20	Rogipore.	
	12 32	11 46	3 6	10	5 28	Cap Dobbs.	
16	13 4	12 36	4 38	12	5 25	Canary, nahe Bombay.	
17	12 37	12 50	4 48	13	5 10	Bombay.	
18	15 50		Cap Aden.	Dec. 17	5 22	Surate Rhede.	
	13 40	12 56	0 56 v.C. Aden	18			

1724	Abweich	Breite	Länge London		1724	Abweich	Breite	Länge London	
Jan. 5	5° 41' w	Goa.			Feb. 23	24° 13' w	28° 40' s	55° 24' o	
5	5 32	Carvar Bucht.			24	25 5	29 23	52 47	
Jan. 6	5 33	Insel Pidgeon.			24	34	29 50	51 38	
10-12	4 32	Tellichery Rhede.			25	25 29	30 20	50 19	
16	3 41				25	55	30 50	48 41	
18-19	3 26				26	25 25	31 12	47 28	
21	4 16	Cochin Rhede.			25	0	31 33	46 17	
22	4 38	9 20 n Mitten zwischen Cochin und An- janga.			27	25 32	31 58	44 57	
		Anjanga Rhede.			25	12	33 22	43 43	
24	4 17	3 24	78 12 o Lond.		28	25 2	32 40	42 51	
27	3 53	2 15	78 30		24	31	33 12	40 48	
	3 10	2 38 s	79 55		29	23 50	33 38	39 10	
29	2 54	5 0	80 26		März 5	22 6	35 42	30 48	
30	3 17	7 57	81 28		6	21 54	36 25	29 43	
Feb. 1	3 55	8 46	81 52			22 4	36 12	29 17	
	3 22	9 30	82 6		8	20 54	35 58	27 8	
2	4 13	10 52	82 14			19 31	36 0	25 33	
3	4 33	11 14	82 40		9	20 0	36 28	24 57	
	4 12	11 34	82 53		12	18 43	36 40	22 50	
4	5 5	11 42	83 3			18 56	36 10	21 58	
5	4 51	12 4	82 57		13	18 16	35 57	20 47	
6	4 51	13 52	81 30		14	17 3	36 8	18 24	
7	4 40	15 18	80 5			16 53	36 6	18 4	
8	4 55	16 2	79 26		15	16 23	36 6	17 53	
9	5 39	18 20	76 10		16	16 12	Cap Falso bey Cap Bona Esperanza		
	6 22	19 2	74 42		21-29	16 27	Tafel Bay.		
11	8 28	19 38	73 28		26-29	16 18	Mit einer andern Boussole.		
	9 38	20 20	72 13		31	16 15	Segelnd aus der Bay.		
12	10 30	20 40	71 4		Apr. 1	15 8	32 47	15 36	
	12 8	21 10	69 49		2	15 15	32 44	14 50	
13	13 2	21 30	68 50		3	14 59	32 0	14 36	
	13 59	21 52	67 46			14 51	31 26	14 27	
14	14 49	22 8	67 0		4	14 33	31 20	14 34	
	15 58	22 34	66 10		5	14 27	29 31	13 55	
15	16 19	23 5	65 18		6	14 30	29 0	13 34	
	16 52	23 12	65 4		7	13 0	27 15	11 22	
16	16 55	24 15	63 28		9	11 40	23 8	6 29	
	17 30	24 33	62 15			12 4	22 20	5 37	
17	17 35	25 5	61 18		10	12 2	21 56	5 0	
	17 50	26 18	59 25		13	10 47	17 54	1 0	
18	18 56	27 22	57 50			10 10	16 55	0 8w	
	20 0	27 50	57 0		14	9 30	16 4	2 48	
19	21 13				15	8 6	15 54	4 47	
	22 12				16	7 18	Mitte von St. Helena lag W. g. N. 6-7 leagues.		
20	22 8				17-26	7 42	In S. Helena Rhede.		
	22 22				24	7 26	Mit einer andern Boufsole.		
21	23 15				30	7 22	S. Helena Fort.		
22	23 30								

1724	Abweich	Breite	Länge London	1724	Abweich	Breite	Länge London
Mai	1	7°30 _w	14°36' _s	7°32 _w	Juni	22	9°37 _w 42°26' _n 33°41 _w
	2	6 54	13 26	8 56		23	9 38 43 34 31 7
	4	5 44	10 36	11 6		24	10 38 44 16 28 26
	5	5 27	9 4	12 24		25	11 28 44 30 28 5
	6	5 1	7 18	13 55		29	11 14 45 26 27 22
	7	4 37	5 30	15 21		30	11 50 46 0 25 18
	8	4 46	3 46	16 17	Juli	1	11 55 46 34 23 14
	9	4 16	2 6	16 50		2	11 51 46 54 21 54
		3 48	1 14	17 8		3	12 10 47 32 19 33
	11	3 40	1 0 _n	17 40	XIV. Beobachtungen von <i>Th. Mathews</i> auf einer Reise nach Guinea, Westindien und zurück nach England im Schiffe <i>the Kinsale</i> .		
		3 39	2 9	17 49			
	12	3 34	3 8	17 57			
		2 56	4 6	18 5			
	16	3 29	9 28	18 57	1725		
	17	3 55	9 46	18 53			
	18	4 26	10 20	9 31	Oct.	5	3°32 _w Peak Hill auf der Insel Majo.
	19	3 18	11 18	20 40		7-8	4 5 Vor Anker in Port de Praja Bay, S. Yago.
	20	3 55	11 39	21 13		11	4 36 14° 0' _n 20° 0' _w
		3 38	11 30	21 46		12	5 4 13 33 18 36
	21	3 38	11 28	22 16		13	5 21 13 44 17 30
	23	2 26	12 0	23 59		14	5 11 13 53 Angesichts des Flusses Gambia.
	24	2 45	13 8	25 1		15	6 29 Cap S. Marys nahe dem Flusse Gambia.
	25	2 15	14 30	26 29		21	6 19 Vor Anker in der Mündung des Gambia.
	27	2 46	16 0	28 10		25	4 36 11 6 16 12
	28	2 8	17 23	29 17			4 59 10 42 15 54
	29	2 43	18 42	29 22		26	4 54 10 18 15 20
	30	3 26	19 58	31 14		29	4 18 9 52 14 54
	31	3 12	21 25	31 41			3 50 9 28 14 36
Juni	1	2 48	22 25	32 15		30	4 13 9 12 14 16
	2	3 29	25 5	32 8	Nov.	1	3 49 9 16 14 10
	3	3 39	25 44	33 30		8-9	5 12 In Sierra Leona River
	4	4 22	26 31	34 23		14	4 47 7 56 12 42
	3	5 8	27 18	35 5		15	4 52 7 59 12 48
		4 37	27 43	35 29		19	5 49 7 6 11 50
	6	5 15	28 6	36 0		20	6 20 6 56 11 9
	7	5 30	28 56	36 22		21	5 48 6 42 10 49
	8	5 41	29 16	36 23		22	5 24 6 42 10 49
	9	5 42	30 24	36 40		24	7 0
	10	6 10	30 46	36 52			7 5
		5 58	31 14	37 15		25	6 58 } Cap Mount.
	12	6 57	32 26	38 13			
	13	7 15	32 58	39 3			
	15	7 19	34 30	40 30			
	16	7 47	35 46	41 14			
	17	8 29	37 0	41 39			
	18	8 55	38 40	42 4			
	19	8 21	39 33	40 37			
	20	8 52	40 42	38 37			
	21	9 16	41 43	36 5			

1725	Abweich	Breite	Länge London	1726	Abweich	Breite	Länge London		
Nov. 27	7° 15w	Nahe S. Johns River			Feb. 27	12° 20w	0° 50's	7° 24'o	von Anna
28	7 30	Nahe Great Balsa				12 6	0 40	8 4	bona
29	7 28	Great Balsa			28	12 21	0 20	8 18	
30	7 46	Westl. von Sestos Rhede				12 25	0 0	8 35	
Dec. 4	7 30	Auf Sestos Rhede			März 1	12 6	0 24 n	8 55	
5	7 15	Münd. des Sestos Flusses				12 20	1 10	9 23	
7	9 8	Setra Crue			2	12 6	1 34	9 42	
11	9 38	Etwa 5 Meilen westl. vom S. Andrews Flusse				11 44	1 50	9 57	
13	9 54	3 Meilen westl. von Cap de la Hou			3	11 47	2 4	10 3	
15	10 58	Fluss Casto			5	11 30	4 16	11 21	
18	11 0	Stadt Tabo			6	11 50	} Axim		
20-24	11 37	Axim.			7	11 40	} Dickys Cove		
1726				11	11 40	} Little Commendo			
Jan. 1	11 55	} Cap Coast.			14	11 27	} Cap Coast		
	12 10					15	11 46	} Annamaboe	
5	11 25	Englisches Fort auf Acca- ra			21	11 34	} Accara		
7	12 0	Etwas westlich vom Flusse Volta.			23-24	11 53	} Etwa 5 Meilen westl. von little Papa		
8	12 17	Die Flagge bey little Pa- pa			28	12 32	} Little Papa.		
11	12 45	Vidah Rhede			Apr. 13, 14, 17	13 10	} Vidah Rhede		
20	13 28	4° 50's	2° 23'o	London	22	13 0	5 18 n	2 46 o	v. Lond.
21	13 14	3 42	2 35		24	13 11	4 21	2 50	
	13 30	3 25	2 32		30	14 35	} S. Thomas		
23	13 54	2 16	3 30			14 29	} 0 4		
	13 50	2 2	3 40		Mai 19	13 44	0 10 s	2 48	
24	14 7	1 48	3 58			13 44	0 28	1 51	
25	14 19	1 31	4 53		20	13 10	0 46	0 39	
	14 40	1 32	5 15			12 42	1 2	0 13w	
26	14 36	1 27 n	4 56		21	12 34	1 18	1 33	
31	14 48	S. Thomas				11 38	1 33	2 41	
Feb. 8	14 44	Insel Anna de Chary nahe S. Thomas			22	11 12	1 45	5 15	
10	14 56	1 16 s	1 16 o	von Anna	23	10 4	1 45	5 15	
11	14 55	1 10	1 44	} bona	24	8 35	2 9	7 46	
15	14 50	0 56	0 56w	} von Cap Lopez		8 34	2 22	9 32	
16	14 30	1 4	1 17		25	6 54	2 31	10 44	
	15 1	1 9	1 43			6 52	2 36	11 51	
20	14 21	1 30	1 4w	von der	26	6 23	2 40	12 40	
22	13 10	1 46	2 11	Insel An- na bona	27	4 53	2 38	14 30	
	13 48	1 38	2 15			4 24	2 29	15 34	
23	13 28	1 35	2 19		28	3 31	2 30	16 24	
	13 37	1 36	2 41			2 21	2 50	17 36	
24	13 46	1 39	3 10		29	2 25	2 52	18 39	
	13 50	1 25	3 35		30	0 41	2 53	22 33	
					31	0 56	2 46	23 44	
						0 4	2 27	25 1	
				Juni 1	0 17w	2 12	26 6		
					0 16	1 33	27 2		

1736	Abweich	Breite	Länge London	1726	Abweich	Breite	Länge London
Juni	2	0° 16' 0"	1° 0' s	28° 4w	Sept. 12	4° 31' 0"	Port Royal auf Jamaika
		0 18	0 19	29 7	Oct. 12	4 49	18 40'n 1 53w von Point
	3	0 22	0 25 n	29 40			Negril auf Jamaika
		0 19	1 7	30 59	13	4 41	41 19 0 57w vom N.W
	4	0 36	1 38	51 18			Ende v. Grand Commaris
		0 26	2 20	31 55	14	4 4	20 44 2 7
	6	0 26	4 20	54 6	17	4 7	22 55 0 16w vom Cap
	7	0 54	4 42	54 13			S. Antonio am Westende
		0 37	5 0	54 16			von Cuba
	8	0 30	5 20	54 22	18	4 25	22 31 0 55 0
	9	0 14	6 47	35 33	19	4 0	Table Land
		0 10	7 4	37 0	23	4 24	Hügel Pan de Mathaneas
	11	0 36	8 42	41 10			auf Cuba
	13	0 50	10 4	44 52	24	4 23	23 30 0 38 von Pan
		1 32	10 48	46 25			de Mathaneas
	14	1 36	11 18	47 43	25	3 26	Rey Cap Florida
		1 26	11 48	49 2	26	3 5	25 12 81 20w London
	15	2 22	12 26	51 6	28	2 11	27 50 81 30
	16	2 16	12 44	52 22	30	0 56	29 55 80 40
		2 37	12 56	54 6	Nov. 3	2 14w	33 25 71 52
	17	3 0	13 5	55 28	6	5 12	35 4 64 6
		3 36	13 12	57 3	8	5 8	35 15 61 56
26-28	4 24	Carlisle Bay, Barbados			9	4 55	35 0 61 55
29	5 26	Lamberts Point, Barbados			10	5 6	33 14 61 14
Juli	1	5 22	Westseite von Guadeloupe		14	0 41	26 14 58 9
	2	4 10	Basse-terre auf S. Christoph			0 36	25 48 58 6
	6	5 22	17 58 9 2w	von Pal-	15	1 3	25 41 58 0
			meta auf S. Christoph			0 54	25 20 57 14
	7	5 12	17 40 0 46w	von der	16	0 4	24 48 56 38
				Insel	17	0 20	23 0 56 35
	9	5 3	18 0 0 46w	Alta Vela	18	0 52 0	21 7 56 32
		5 12	Ostl. Ende von Jamaika			1 46	19 45 56 21
	12	6 2	17 6 0 12 0	von Poril	19	1 46	18 56 56 21
	13	6 30	14 28 0 38w	Point	20	1 43	18 32 56 22
	14	7 0	13 32 0 58	Jamaika		2 25	17 34 56 17
		7 8	12 27 1 25		21	2 15	16 52 56 22
	15	7 16	11 32 1 52			3 11	16 12 56 50
		7 30	10 46 2 18		22	3 26	15 58 58 6
	16	7 22	9 51 2 39		23	3 27	Insel Desenda
	22	7 48	Insel Great Bastimentos			3 40	Insel Mariegalante
Aug.	7	7 24	Cap Cathivas		29	4 4	Angesichts von Antego
	9	7 30	9 40 1 27 0	v.C.Cath.			
	11	6 50	Land genannt Mother la				
			Pope nahe Carthágena				
	12	6 20	Point Jamba		1737		
	13	6 14	12 52 0 42w	v.P.Jamb	Apr. 14	4 28	Inseln Nevis, Rotonda und
	14	6 4	14 0 0 50				Antego
	15	5 42	15 18 1 3		15	3 30	18 36 61 18
	16	5 28	17 6 1 30			2 56	19 20 61 20
					17	3 2	19 50 61 14
					19	2 22	20 56 61 28

1727	Abweich	Breite	Länge London
Apr. 22	0° 51' 0	25° 20' n	61° 24' w
	1 7		
23	0 43	25 54	61 23
	0 16	26 6	61 21
24	0 15 w	26 16	61 30
25	0 41 0	26 24	61 47
26	0 18	26 34	61 48
27	0 35	27 44	61 44
28	0 38 w	28 36	60 52
29	0 42	28 46	60 54
	0 48	29 6	60 50
30	1 18	30 9	60 45
	1 56	31 26	60 4
Mai 1	2 32	32 28	59 33
	3 16	32 54	59 16
2	4 5	33 54	58 43
6	9 5	40 28	55 42
7	10 12	41 56	52 54
9	11 54	43 56	48 41
10	12 37	44 50	46 0
12	14 20	46 12	39 18
13	14 0	46 51	35 15
15	12 54	46 16	28 25
17	11 39	46 10	23 53
21	11 46	48 45	15 12
26	13 24	Angesichts von Portland	

XV. Beobachtungen auf einer Reise von
Madera nach Westindien im Schiffe
the Lark, Capt. Gray.

1727	Abweich	Breite	Länge London
Dec. 30	6° 58 w	Madera Rhede	
1728			
Jan. 6	6 18	28° 52' n	19° 46' w v. Lond.
18	2 16 0	16 19	51 5
19	2 14	16 29	52 8
20	2 48	16 18	54 53
	3 58	16 16	56 47
21	3 58	16 24	58 20
22	3 40	Insel Deseada	
23	4 49	Insel S. Christoph	
27	6 2	Insel Alta Vela	
Feb. 19	7 37	Land Mother la Pope	

XVI. Beobachtungen auf einer Reise von
England nach Lissabon und im Mit-
telmeere im Schiffe *Dreadnought*,
Capt. Geddes.

1730	Abweich	Breite	Länge London
Mai 5	13° 26 w	45° 22' n	9° 59 w
7	12 3	41 32	10 39
1731			
Juli 27	12 48	Insel Sizarga	
28	12 12	41 56	9 26
29	12 26	40 0	10 3
Oct. 8	11 10	Cap Dragon	
11	10 52	Cap Toulon	
20	9 42	Leghorn Rhede (Livorno)	
Dec. 6	10 28	41 34	18 54

XVII. Beobachtungen im Mittelmeere auf
dem Schiffe *Hector*, Sir Roger Bulter.

1733	Abweich	Breite	Länge London
Apr. 21	14° 2 w	34° 2' n	12° 30' 0
22	13 22	Angesichts des östlichen Endes von Tripolis	
26	14 20	34 16	12 22
Sep. 17	13 38	In Gibraltar Bucht	
27	13 49	Cap S. Vincent	
Nov. 9	13 56	Cap de Gatt	
11	14 12	Insel Alborne	
18	14 34	Cap Mola auf Minorka	
1734			
März 10	14 20	Cap S. Marys auf der Kü- ste von Portugal	
Apr. 6	13 56	Küste der Barbarey nahe Larao	
1735			
Aug. 9	11 33	38 8	14 2 w
10	11 44	38 8	12 55
12	19	Salee Rhede an der Räu- berküste	

XVIII. Beobachtungen des *Christopher Middleton* auf einer Reise von England nach der Hudsonsbay und zurück im Jahre 1730.

1730	Abweich	Breite	Länge London
Juni	4 17° 0 ^w	59° 12' n	4° 44' w
	5 16 0	59 38	5 11
	6 17 0	59 58	5 57
	7 17 20	59 22	7 6
	8 18 0	59 38	8 39
	9 18 0	59 54	8 47
	10 18 0	59 14	10 14
	11 18 0	58 35	11 23
	12 18 0	57 21	12 20
	13 18 0	56 31	13 13
	14 18 0	56 0	14 22
	15 18 0	55 53	17 2
	16 18 0	55 42	18 16
	17 18 0	56 21	18 47
	18 18 30	55 22	19 34
	19 19 0	55 42	21 14
	20 19 30	56 51	21 31
	21 20 0	57 23	21 54
	22 20 0	57 0	22 1
	23 21 0	57 56	23 52
	24 22 0	58 16	24 9
	25 22 0	57 40	24 38
	26 22 0	57 57	25 33
	27 23 0	58 47	28 25
	28 23 0	58 39	29 31
	29 23 20	58 28	29 45
	30 24 0	58 0	30 38
Juli	1 24 0	58 25	31 29
	2 25 0	59 13	32 54
	3 25 0	59 3	33 14
	4 25 0	58 54	33 20
	5 26 0	58 43	35 44
	6 26 30	58 26	37 25
	7 27 30	58 6	39 30
	8 27 0	58 3	42 38
	9 27 0	57 34	43 23
	10 27 0	57 43	45 25
	11 27 0	58 11	46 47
	12 28 0	57 34	48 17
	13 29 0	58 0	50 48
	14 31 0	58 33	53 20
	15 32 0	58 56	55 18

1730	Abweich	Breite	Länge London
Juli	16 34° 0 ^w	59° 6' n	55° 33' w
	17 35 0	58 50	56 4
	18 37 0	58 53	56 43
	19 36 0	59 45	58 3
	20 37 0	60 1	58 27
	21 37 0	59 51	59 59
	22 38 0	61 16	62 9
	23 40 0	61 50	63 34
	24 42 0	62 11	72 32
	25 40 0	63 11	76 22
	26 40 0	63 12	78 4
	27 42 0	63 9	78 43
	28 40 0	62 10	81 12
	29 36 0	60 49	82 21
	30 33 0	58 24	84 9
	31 28 0	56 51	84 27
Aug.	1 24 0	56 15	83 46
	2 24 0	56 20	84 16
	3 24 0	56 27	83 44
	4 24 0	56 20	83 1
	5 24 0	56 15	83 24
	6 24 0	56 0	82 46
	7 24 0	55 8	82 43
	8 24 0	55 11	82 43
	9 24 0	55 16	82 43
	10 24 0	55 22	82 40
	11 24 0	55 11	84 20
	12 24 0	55 6	84 36
	13 24 0	55 15	84 52
	14 24 0	55 20	84 34
	15 24 0	54 44	84 34
	16 24 0	54 28	84 34
	17 24 0	53 54	84 56
	18 24 0	53 56	84 58
	19 24 0	53 44	84 57
	20 24 0	53 9	85 0
	21 23 0	52 31	85 30
	22 23 0	52 29	85 20
Sept.	2 24 0	53 56	0 30
	3 24 0	54 22	0 7 ^w
	4 25 0	55 45	0 49
	5 26 0	56 35	2 26
	6 26 0	56 57	3 4
	7 26 0	56 45	1 22
	8 26 0	57 6	3 26
	9 28 0	58 8	3 2
	10 33 0	60 25	2 2
	11 38 0	61 49	0 42
	12 42 0	62 33	0 51

Albany
v. Albany
von den
Bärenin-
seln

1750	Abweich	Breite	Länge		1751	Abweich	Breite	Länge London
Sept. 13	45° 0w	63° 22w	1° 20 o	von Cap	Juni 26	29 0	57 39	43 17
14	40 0	63 3	2 34	Diggs	27	30 0	58 6	45 10
15	42 0	62 9	9 19		28	31 0	58 18	47 16
16	39 0	61 10	0 29 o	von But-	29	31 0	58 29	47 41
17	34 0	60 35	6 9	tons Insel	30	33 0	58 55	51 16
18	34 0	58 52	10 39		Juli 1	34 0	59 49	54 56
19	32 0	57 54	14 6		2	34 0	60 16	55 4
20	30 0	57 28	16 15		3	34 0	60 8	56 22
21	28 0	57 38	18 24		4	37 0	59 33	58 10
22	25 0	56 19	22 27		5	37 0	59 33	58 28
23	22 30	54 40	27 43		6	37 0	59 33	58 40
24	21 0	53 28	32 28		7	37 40	60 2	60 22
25	19 0	53 34	35 16		8	38 0	60 30	61 25
26	18 0	52 46	36 27		9	38 0	61 19	63 57
27	17 0	52 21	39 11		10	40 0	61 25	65 17
28	16 0	50 35	42 10		11	41 0	62 4	69 2
29	15 0	50 41	46 23		12	43 0	62 33	71 2
30	14 0	50 7	49 9		13	43 0	62 40	72 6
Oct. 1	14 0	49 26	51 57		14	41 0	62 30	73 33
2	14 0	49 30	53 45		15	41 0	63 14	75 9
3	13 0	49 56	54 34		16	42 0	62 58	77 3
4	13 0	49 19	54 10		17	41 0	63 17	78 29
5	13 0	49 47	53 50		18	40 0	63 6	79 53
6	13 0	50 10	53 26		20	37 0	61 18	81 26
7	13 0	49 58	53 48		21	34 0	60 5	83 2
8	13 0	49 21	55 19		22	30 0	58 4	84 20
9	13 0	49 45	58 49		23	29 0	57 35	84 20
10	13 0	49 56	61 37	bey Ply- mouth	24	25 0	56 13	85 27
XVIV. Beobachtungen des Middleton auf einer Reise von England nach der Hudsonsbay im Jahre 1751.					25	24 0	56 24	85 27
1751	Abweich	Breite	Länge London		26	24 0	55 33	85 40
Juni 14	17° 30'	59° 17'	5° 52'		27	24 0	54 23	85 40
15	18 0	59 24	8 58		28	24 0	53 57	
16	19 0	59 30	11 50		29	25 0	53 29	
17	20 0	59 35	15 10		Sept. 13	58 0	61 5	60 18
18	21 0	59 29	18 45		14	58 0	60 36	57 12
19	21 30	58 53	21 15		15	55 0	59 28	52 29
20	22 0'	58° 47'	24° 11'		16	53 0	58 10	47 18
21	24 0	58 47	29 13		17	29 0	57 15	43 44
22	26 0	58 42	32 54		18	27 0	56 25	42 32
23	26 0	58 38	36 55		19	25 0	55 29	38 48
24	27 30	58 37	40 56		20	22 0	54 23	34 19
25	30 0	58 32	43 0		21	20 0	53 9	29 51
					22	19 0	52 14	26 25
					24	17 0	52 30	23 12
					25	16 0	51 54	20 24
					26	16 0	50 46	17 12
					27	15 0	49 28	13 26
					28	14 0	49 2	9 21
					29	14 0	49 32	5 18

XX. Beobachtungen von Harris auf einer Reise nach Jamaika 1732.

1732	Abweich	Breite	Länge London
März	6° 5' 0"	Black River	auf Jamaika
April	4 50	Havanna	
	4 0	27° 0'	80° 0'
	3 30	28 45	80 0
	1 45	31 0	77 45
	0 0	32 15	72 30
	1 0 ^w	32 40	72 0
	1 30	32 45	71 30
	2 15	32 52	70 40
	4 20	34 30	67 25
	5 0	35 55	65 30
	6 30	38 6	60 30
	8 20	39 10	57 30
	8 45	39 40	56 30
	9 30	43 0	45 0
	9 30	43 5	44 35
	11 30	44 40	35 15
	11 0	47 20	20 20

XXI. Beobachtungen des Walter Hoxton auf drei Reisen von London nach Maryland.

1732	Abweich	Breite	Länge Lezard
	12° 0'	39° 53'	27° 16'
	14 0	37 49	27 45
	13 0	35 19	39 20
	8 0	32 40	50 27
	6 30	34 40	56 0
	4 28	35 4	65 0
	4 42	36 50	7 Meilen von Cap Henry
	4 58	Chesapeak Bay	unterhalb des Potowmak Flusses
	4 47	Mündung des Potuxon	
	9 22	36 11	56 20
	6 17	34 52	53 0
	6 15	34 33	52 0
	6 5	34 45	51 0
	6 23	34 36	50 0
	7 37	36 0	49 30
	9 23	37 20	48 0
	10 0	38 4	48 20

1732	Abweich	Breite	Länge Lezard
	10° 23' n	39° 27'	47° 40'
	10 38	40 8	45 10
	13 4	40 30	45 0
	11 43	42 32	42 20
	12 39	42 40	42 0
	13 24	43 27	40 20
	13 42	43 32	39 50
	16 30	49 48	9 0
1733	18 0	48 12	3 18
	15 35	46 7	4 30
	16 22	44 4	7 0
	16 36	42 17	9 0
	15 38	40 0	12 0
	14 51	38 5	14 20
	13 24	37 36	14 45
	13 17	36 32	15 52
	13 0	36 16	16 12
	11 34	34 2	21 51
	9 51	34 4	23 18
	10 28	35 6	30 33
	9 48	35 12	31 38
	10 23	34 23	31 22
	8 18	33 34	32 25
	7 12	30 19	31 26
	6 45	29 17	31 11
	6 39	32 24	37 55
	10 36	32 50	38 35
	11 0	32 11	40 23
	6 42	31 19	41 4
	5 0	32 25	43 0
	8 49	34 5	47 20
	10 45	33 45	49 24
	8 33	35 1	54 10
	5 54	34 0	54 4
	5 12	33 41	54 0
	6 35	33 51	55 0
	7 2	34 59	60 0
	7 49	36 32	59 30
	6 45	37 1	61 10
	5 25	37 5	66 22
	4 45	36 53	66 40
	5 0	36 36	20 leagues v. Cap Henry
	11 0	58 9	57 40
	10 0	38 48	55 50
	14 0	42 13	43 48
	14 26	44 21	33 17
	15 45	45 46	28 17
	13 27	49 51	Plymouth

1733	Abweich	Breite	Länge Lezard		1732	Abweich	Breite	Länge London	
	13° 0'	50° 20'	Portland		März 22	24° 15' s	31° 25' s	66° 3w	
	14 30	39 53	6° 37'		24	23 51	32 47	67 45	
	14 0	37 50	6 40		Apr. 1	20 16	34 58	79 44	
	15 0	36 58	10 30		4	20 7	35 33	81 14	
	13 40	34 56	13 0		6	19 7	35 41	87 12	
	12 10	33 33	16 10		7	17 30	36 25	87 38	
	9 13	33 9	17 38		10	16 9	38 18	87 26	
	9 51	32 44	18 6		13	15 40	37 58	85 15	
	9 49	31 39	20 13		14	15 45	37 4	84 42	
	9 6	30 55	22 53		16	16 14	36 15	0 30w	vom Cap
	8 39	30 17	25 26		18	15 45	35 33	1 36	
	7 56	30 1	27 14		21	14 40	32 23	3 40	
	6 48	30 1	27 54		24	12 39	27 1	7 23	
	7 41	29 55	30 20		29	11 20	21 45	11 41	
	8 0	29 57	33 12		Mai 5	8 0	16 0	20 16	
	5 41	29 51	37 37						
	5 23	28 55	39 28						
	7 12	29 8	40 0						
	8 6	31 10	44 46						
	4 46	31 7	46 45						
	4 40	30 42	49 0						
	4 0	30 29	49 48						
	4 49	30 31	52 10						
	4 45	30 18	53 0						
	4 22	30 23	55 0						
	4 52	30 58	57 30						
	4 50	37 9	68 0						
XXII. Beobachtungen der Breite und Abweichung auf einer Reise von Java Head nach St. Helena Jahr 1731 — 1732 von <i>Edm. Halley</i> .					XXIII. Beobachtungen des <i>George Anson</i> Esq. in den Jahren 1740—1744.				
1731	Abweich	Breite	Länge			Abweich	Breite	Länge	
						5° 0' ö	17° 0' n	11° 50' ö	von Bernardino
						6 10	24 30	23 30	
						7 58	13 30	27 30	
						9 19	13 30	34 0	
						10 0	34 20	40 30	
						10 10	13 30	40 30	
						11 0	34 20	45 30	
						11 36	13 30	47 30	
						11 15	13 0	55 0	
						9 17	13 0	58 30	
						8 0	12 50	61 0	
						6 32	12 50	69 0	
						12 40	32 0	70 45	
						6 0	12 0	77 30	
						10 0	34 20	99 15	
						4 0	13 0	100 0	
						2 50	13 10	109 0	
						3 0	25 20	134 0	bey Aca-pulco
						18 0	35 20 s	52 20w	London
						15 0	33 30	51 20	
						19 10	43 0	64 0	
						19 0	45 0	68 30	
						20 0	45 6	69 6	
						19 15	49 40	70 0	
						22 30	55 30	69 0	
						24 0	58 45	71 10	
Feb. 7 3° 28w 9° 59's 0° 45w von Java Head									
	13	4 45	13 43	3 36					
	15	4 52	15 18	6 9					
	21	4 51	18 12	18 0					
	25	6 8	19 59	22 1					
	29	10 3	21 0	32 12					
März 5 15 15 23 16 38 58									
	8	18 2	25 11	42 33					
	10	19 0	26 18	44 15					
	13	21 45	27 23	46 34					
	17	24 23	30 25	54 52					
	19	24 50	30 27	59 21					

Abweich	Breite	Länge London
23° 15'	59° 15' n	72° 30' w
10 54	46 10	78 40
11 0	45 32	78 35

XXIV. Abweichungsbeobachtungen von
Abbé de la Caille, Jahr 1750—1754.

1750	Abweich	Breite	Länge Paris
Dec. 10	8° 45' w	17° 30' n	24° 30' w
12	7 30	15 10	26 10
13	5 0	14 30	29 0
15	5 45	11 20	28 0
17	6 30	8 8	26 55
18	6 30	6 50	27 0
22	5 40	5 0	26 30
1751			
Jan. 1	3 40	2 45	30 0
3	4 0	2 25	30 5
5	3 0	0 55	31 15
7	1 30	1 30 s	32 30
8	1 0	2 45	33 0
9	0 0	3 15	33 15
	0 0	3 48	33 25
11	1 0	6 32	34 0
12	1 0	7 55	33 45
13	1 30	9 20	33 40
14	2 0	10 45	33 55
15	2 0	11 21	34 10
16	2 30	13 28	35 5
17	2 0	14 10	35 20
18	3 0	15 54	36 0
19	3 50	17 40	37 10
21	4 30	20 39	39 50
22	7 0	22 14	40 35
Feb. 9	9 22	22 54	45 0
März 6	7 0	33 16	32 25
7	6 30	33 55	31 50
8	5 30	34 22	30 40
	5 30	34 51	29 55
16	4 30 w	35 33	11 25
18	5 30	34 40	7 50
20	7 50	35 42	7 0
21	8 30	36 10	5 20
23	9 0	36 15	2 5
25	11 25	36 30	2 40 s
27	12 45	36 24	6 30

1751	Abweich	Breite	Länge Paris
März 27	13° 52' w	36° 14' s	7° 50' o
29	15 30	34 46	11 35
	16 30	34 17	12 15
Apr. 1	17 30	33 35	14 10
5	16 0	34 15	12 30
9	16 30	34 10	13 0
10	17 45	33 35	14 40
12	18 0	33 20	16 0
16	17 30	33 48	15 0
17	17 15	33 45	15 20
19	19 15	33 55	16 10
1752			
Oct. 13	19 0	33 21	16 35
1753			
Jan. 18	19 0	33 55	16 10
März 9	17 0	34 47	14 48
	10 16 15	35 16	13 50
	11 15 45	36 5	13 15
	12 15 40	36 45	13 15
	15 18 0	37 5	20 0
	19 21 0	36 40	29 20
	22 23 30	37 52	33 10
	26 26 48	36 30	45 0
	31 22 0	32 18	56 30
Apr. 4	19 45	31 55	61 40
	8 15 20	29 55	69 0
	9 14 45	26 30	69 20
	12 9 15	20 25	70 0
	10 15	19 52	69 20
	13 7 40	19 52	67 0
	14 8 0	19 53	64 0
	15 11 0	19 55	62 30
	16 10 30	19 55	59 0
	17 12 0	19 50	58 0
1754			
Feb. 28	16 25	21 40	51 40
März 2	19 10	23 10	50 20
	18 0	23 55	49 35
	3 21 0	24 50	49 0
	4 20 30	26 55	47 10
	5 25 0	28 16	45 20
	22 35	28 53	44 30
	6 23 15	29 55	43 0
	8 24 15	31 38	38 30
	9 24 40	32 24	37 0
	24 35	32 48	36 30

1754	Abweich	Breite	Länge Paris	1754	Abweich	Breite	Länge Paris
März 10	24° 55' w	33° 2' s	36° 0' o	Mai 9	0° 45' w	15° 42' n	39° 0' w
	24 10	33 32	35 15	11	1 45	21 17	40 30
13	22 35	34 50	29 0	14	4 25	26 12	41 40
14	23 35	34 30	28 50		3 50	27 0	42 0
	23 0	34 13	28 40	15	4 55	28 0	42 10
15	23 25	34 0	28 15	16	4 40	28 58	43 40
16	23 20	33 50	27 30	17	4 50	30 30	45 10
17	23 45	33 55	27 0		5 15	31 6	45 25
	22 35	34 10	26 20	18	6 5	31 30	46 10
18	23 10	34 40	24 30	19	5 10	32 17	45 10
19	22 30	35 0	22 20		6 5	32 40	44 20
20	22 0	35 28	20 25	20	6 15	33 15	43 10
22	20 45	35 36	18 30	22	7 24	34 26	42 20
	21 0	35 42	18 35	24	8 45	38 2	38 10
23	20 0	35 48	18 0		10 20	39 10	37 30
	20 45	35 50	18 0	25	11 10	40 18	35 30
27	17 50	33 28	12 0	27	14 15	43 20	31 0
30	15 55	29 25	9 10	30	16 15	45 23	19 30
Apr. 2	16 50	26 55	5 0				
3	14 55	26 20	4 30				
4	13 45	25 25	3 20				
	14 15	24 50	2 40				
5	13 35	23 20	1 0				
6	12 45	21 25	1 0 w				
8	11 55	18 5	4 10				
9	10 12	16 25	6 40				
10	10 12	14 30	8 25				
12	10 20	10 30	11 30				
13	10 0	9 35	12 20				
	9 55	8 30	13 10				
15	8 6	7 55	16 18				
21	8 0	5 46	19 10				
25	4 50	2 24	23 10				
	5 10	2 2	23 35				
26	4 50	1 20	24 20				
27	3 50	0 8	24 50				
	3 50	0 24 n	25 20				
28	4 0	1 6	25 48				
	4 0	1 40	26 10				
29	3 55	2 40	26 30				
	3 12	3 8	26 50				
30	3 0	3 35	27 10				
Mai 1	3 5	4 50	29 0				
2	2 50	5 40	30 20				
6	0 0	9 35	36 0				
	0 0	10 33	36 30				
7	0 48	12 33	37 50				
8	0 40	13 34	38 18				
	0 35	14 38	38 48				

1750	Neigung	Breite	Länge Paris
Dec. 3	66° 0' n	30° 35' n	21° 0' w
5	64 0	28 0	22 20
7	60 0	23 44	24 0
13	50 0	14 44	29 12
17	43 0	8 23	26 40
18	43 0	7 6	27 0
21	37 15	5 30	25 55
23	35 0	4 2	27 50
31	30 30	2 49	30 0
1751			
Jan. 5	29 0	0 54	31 20
6	26 30	0 12 s	31 53
8	22 30	2 25	32 50
9	21 0	3 30	33 20
11	16 0	6 10	34 0
13	10 0	8 55	35 40
14	7 30	10 13	35 50
Feb. 16	0 45 s	13 5	35 0
17	2 15	14 52	35 30
19	10 30	18 19	37 30
21	16 15	20 55	40 0

XXV. Neigungsbeobachtungen vom Abbé
de la Caille in den Jahren 1750 —
1754.

1751	Neigung	Breite	Länge Paris	
Feb. 4	20° 0' s	22° 54' s	45° 0' w	R. Janeiro
März 7	35 15	33 39	32 20	
16	38 45	35 35	11 40	
18	38 30	34 39	7 50	
20	39 0	35 50	6 45	
22	39 45	36 1	3 0	
25	41 45	36 32	2 10 ö	
27	42 45	36 26	6 55	
30	42 0	33 56	12 45	
Apr. 26	43 0	33 55	16 10	Cap g. H.
1752				
Apr. 13	43 7½	33 55	16 10	
1754				
Jan. 11	52 17	20 10	55 8	P. Louis Isle de France
Feb. 22	54 22½	20 52	53 10	S. Denys Insel Bourbon
März 2	54 30	23 27	50 0	
5	55 30	28 38	44 40	
7	56 15	30 56	39 50	
9	54 30	32 35	36 15	
12	53 30	35 8	29 30	
17	52 0	34 1	26 30	
19	50 45	34 51	22 30	
29	39 0	30 41	10 0	
Apr. 1	34 15	27 30	6 15	
5	24 45	23 47	1 20	
8	15 7	18 29	4 30 w	
10	9 0	15 6	8 17	S. Helena
12	1 0 n	11 2	11 15	
17	11 10	7 56	16 19	Ascens.
22	18 30	4 52	20 13	
24	22 0	2 52	22 31	
27	27 30	0 11	25 4	
29	35 45	2 58 n	26 45	
Mai 4	39 15	6 39	32 0	
6	43 0	10 3	36 15	
8	48 30	14 5	38 30	
11	57 0	20 44	40 10	
13	61 0	24 59	41 10	
16	64 30	29 28	44 5	
18	66 30	31 43	46 25	
22	68 30	34 41	42 0	
24	71 0	38 34	37 50	
27	73 45	43 39	30 40	
29	74 30	44 45	23 45	
31	74 0	45 59	16 30	

1754	Neigung	Breite	Länge Paris	
Juni 1a	72° 0' n	47° 45' n	5° 43' w	P. Orient
Sept. 22	72 15	49 51	0 0	Paris
XXVI. Abweichung der Magnetnadel, beobachtet von David Rofs am Bord des Kriegsschiffes the Montagu in den Jahren 1760 — 1762.				
1760	Abweich	Breite	Länge London	
Apr. 12	19° 11' w	Bell-Isle und Grois		
26	18 51	43° 23' n	11° 15' w	
29	19 11	40 20	13 39	
Mai 2	17 0	40 18	18 36	
5	14 30	34 44	21 42	
6	14 15	31 38	22 25	
7	13 50	30 7	23 12	
9	10 4	28 51	25 39	
10	10 30	27 2	28 40	
11	10 16	26 10	30 30	
12	7 10	25 9	32 37	
13	5 59	24 3	34 14	
14	5 0	22 51	35 51	
15	4 20	21 40	37 33	
17	1 30	19 8	41 27	
18	1 0	18 4	43 18	
19	0 20	16 58	45 9	
20	0 30 ö	16 7	46 50	
21	1 7	14 52	48 39	
22	1 59	13 38	50 28	
23	2 12	13 13	51 48	
25	3 45	13 30	56 5	
26	3 58	13 10	57 50	
28-31	4 30	Carlisle, Barbadoes		
Juni 1	5 20	Barb. S. O. 10½ leagues		
2	5 12	15 19	59 0	
3	4 24	16 16	59 18	
4	4 51	Antigua W. N. W. 6 leag.		
6	4 50	Redondo O. ½ N. 4 leag.		
8	5 32	Montserrat S. g. O Redondo S. g. W.		
15	5 6	Zwischen Martinique und Dominica		
16	5 41	S. W. Ende von Martinique		
17	5 21	S. Ende von Dominica		
18	5 27	3 leagues südl. vor Ruperts Bay Domin.		

1760	Abweich	Breite	Länge	1761	Abweich	Breite	Länge London
Juni 20	3° 27' w	} Prince Ruperts Bay Do- minica		Aug. 25	12° 0' w	40° 13' n	44° 29' w
22	3 12			24	12 0	41 8	42 26
Juli 11	5 3	Deseada S. W. g. W. $\frac{1}{4}$ W. 3 leagues		26	13 0	41 31	41 42
12	5 35	15 0	59 7	27	13 35	42 0	39 58
Sept. 15	4 32	Curlands Bay		28	13 36	42 38	38 11
17		S. W. Ende von Tabago		29	14 0	43 15	36 21
Oct. 5	4 45	N. Ende von Tabago O. N. O. $\frac{1}{4}$ O. 5 leagues		30	14 30	43 0	35 53
6	5 0	Tabago O. g. S. 4 leagues		31	14 30	43 28	34 40
10	4 0	Insel Bequia N. W. g. N. $\frac{1}{2}$ W. 7 leagues		Sept. 1	17 11	44 45	31 58
14	5 14	N. W. Ende von S. Lucie		2	18 51	45 36	29 49
15	5 17	S. Pierre Martinique		4	18 31	48 14	25 17
22	5 19	} Zwischen Martinique und		5	19 37	48 57	23 13
23	5 36	{ Dominica		6	19 30	49 11	20 28
24	5 34	S. Lucie W. $\frac{1}{4}$ N. 15 leagu.		7	19 52	50 35	18 17
1761				10	19 55	Cap Clear, Irland	
März 25	3 19	Pr. Ruperts Bay, Dom.		20	19 55	Scilly S. S. O. 5 leagu.	
Apr. 4	3 9	S. Johns Rhede, Antigua		21	20 16	The Start O. $\frac{1}{4}$ N. 16 leagu,	
15	4 31	Ostl. Ende von Antigua		Dec. 8	16 53	36 25 7 45w	
Mai 4	3 47	Carlisle Bay, Barbadoes		19-26	17 11	Gibraltar Bay	
Juli 27	4 44	Dog and Priky Pear		1762			
28	4 35	19 35	62 50	Jan. 23	18 3	55 46	7 2
29	4 27	20 46	62 45	Feb.	17 31	Zwischen Cap S. Vincent und der Münd. der Strafe	
30	2 42	22 20	62 30	11	17 32	Cascais Rhede	
31	2 15	23 42	62 36	März 2	17 32	Lissabon	
Aug. 1	1 38	25 5	62 37	5	17 29	57 56	9 55w
2	1 18	26 20	62 57	17 15	17 15	Zwischen Cap S. Marys und Cap Spartel	
3	0 44	27 26	62 37	17 20	17 20	Str. Gibr. Europ. Küste	
4	0 3	27 56	62 43	18 30	18 30	Str. Gibr. Barb. Küste	
5	0 23	28 5	62 50	XXVII. Beobachtungen des Commodore Byron im Schiffe the Dolphin in den Jahren 1764—1766.			
6	0 1	28 11	62 35	1764			
7	0 27' w	28 40	62 59	Nov. 4	15° 0' o	38° 53' s	51° 0' w
8	0 48	29 23	63 1	10	18 20	41 16	55 17
9	1 33	30 1	62 59	11	11 45	42 34	58 17
10	1 58	31 1	62 21	12	19 30	43 46	60 5
11	2 45	32 41	60 37	15	19 41	45 21	63 2
12	4 13	33 58	39 14	Dec. 5	19 0	47 22	65 49
13	5 0	35 3	57 54	1765			
15	7 4	36 31	54 57	Jan. 8	20 0	51 50	69 56
16	8 20	37 33	52 55				
17	9 40	37 59	51 4				
18	10 20	38 8	50 13				
19	10 12	38 36	48 41				
20	10 57	38 23	47 48				
21	11 52	38 57	46 30				
22	12 0	39 22	45 52				

1765	Abweich	Breite	Länge London		1767	Abweich	Breite	Länge London	
Jan. 10	20 0° 6'	51 31w	68 44w		Jan. 19	22° 40' 6"	54° 3' s		Cap Froward
11	19 0	51 24	66 10		20	22 40	53 58		C. Holland
12	23 30	51 27	63 54		25	22 40	53 50		C. Gallant
Apr. 26	9 36	Masafuero			Feb. 4	22 30	53 40		York Road
Mai 11	4 45	24 30	97 45		17	23 35	53 33		Cap Quod
14	5 20	23 2	101 23		März 4	23 0	53 22		Cap Notch
22	0 19w	20 52	115 38		18	22 40	53 5		Cap Upright
26	0 0	16 55	127 55		Apr. 11	23 0	52 46		76 0w C. Pillar
Juni 7	4 30 6'	14 5	144 58		21	12 0	42 30		95 46
9	4 30	14 10	144 52			11 6 *	42 24		
12	5 0	14 41	149 15		26	10 20 *			
13	5 30	15 0	151 53		27	9 8 *	36 54	100 0	
16	7 40	14 28	156 23		30	8 30 *	32 50	100 0	
20	9 15	12 33	167 47		Mai 3	5 44		96 26	
29	10 10	8 13	176 20		4	5 58 *	28 20		
Juli 3	11 15	1 18	173 46 6'			6 0	28 12	96 30	
Oct. 10	5 10	18 33 n	136 50		11	4 40 *	27 28	106 0	
19	0 0	21 10	124 17		14	2 0 *	24 50	106 0	
	Die Nadel zeigte beständig gegen Norden bis den 22sten bey der Graftons Insel				20	5 0	21 0	106 47	
22	1 20w	21 8	118 14	Graftons Insel	23	5 0	20 20	112 6	
31	0 30	7 17	104 21	Insel	31	5 9 *	19 38	127 45	
Nov. 7	0 38	Pulo Timoan			Juni 3	5 40	19 30	129 50	
					7	6 0	19 26	137 56	Whitsunday Ins.
1766					8	5 20	19 18	138 4	Charlot-tes Ins.
Feb. 10	22 0	34 15 s	21 45		10	4 46 *	19 18	138 4	
XXVIII. Abweichungsbeobachtungen von Capt. Samuel Wallis in dem Schiffe the Dolphin 1766—1768.					11	6 0	19 20	138 30	Egmont I
1766					12	7 10	19 11	140 6	Gloucester Ins.
Aug. 22	21° 0w	50° 0'n	5° 14w	Lezard	13	7 0	19 18	140 34	Cumberland Ins.
Sept. 8	14 10	32 35	16 40	Funchal		7 0	19 0	141 6	Pr. Henry Ins.
24	8 20	14 53	23 50	P. Praya	17	6 0	17 51	147 30	Osnabrough
Dec. 8	23 15 6'	47 56 s	66 24	P. Desiré	Juli 19	6 0	17 48	149 15	Otaheite
17	23 0	52 24	69 6	Cap Virgin Mary	4	5 30	17 30	150 0	
	24 30 *			Point Pos session	27	6 0	17 28	150 16	York I.
23	22 40	52 30	69 50	Point Por paf	28	6 30	17 28	151 4	Saunders Ins.
26	22 50	53 8	71 30	Port Fa mine	30	7 40	16 46	154 13	Howes I.
27	22 30	53 43	71 32		31	8 0	16 28	155 30	Scilly I.
					Aug. 13	9 0	15 50	175 10	Boscaven
						10 0	15 53	175 13	Keppel I.
					17	10 0	13 18	177 0	Wallis I.
					Sept. 3	10 0	11 0 n	192 30	Pescado- res
						10 0	11 20	193 0	
					30	6 20	14 58	214 10	Tinian

1767	Abweich	Breite	Länge London		1767	Abweich	Breite	Länge London	
Mai	10° 24' 6"	53° 45' s	80° 46' w	Masafuc- ro	Aug. 11	11° 0'	10° 40' s	164° 49' 6"	C. Byron l. Egnont
28	9 40	29 45	79 50		18	8 30	9 58	162 57	
31	8 10	26 26	82 15		19	8 30	8 52	160 41	
Juni	1	8 8	25 51		20	8 51	7 53	158 56	
7	5 45	27 23	97 16			8 20	7 56	158 56	Carteret und Gowers Ins.
8	5 45	27 20	97 51		22	7 42	6 24	157 32	
10	5 40	26 30	98 25		24	6 25	5 7	155 8	
12	4 13	26 53	100 21		26	7 14	4 46	153 17	
16	2 0	28 11	111 15			6 30			Westseite von. N. Britann.
17	1 51	28 4	112 37			5 20	5 0	152 19	Cap St.
18	2 0	28 7	113 55						Georg N. Ireland
20	2 9	28 4	116 29			4 40			Georgs Canal N. Britann.
30	2 32	26 0	130 55		Sept. 16	6 30	2 19	145 31	Admirali- tät's Ins.
Juli	2	2 46	25 2	Pitcairn	19	5 26	1 57	143 28	
3	2 30	25 0	136 16			4 40	1 45	143 2	
4	3 43	25 24	137 18		20	4 40	1 33	142 22	
5	5 24	24 56	137 23		21	4 54	1 20	141 29	
6	4 16	24 32	138 31		22	4 30	0 52	139 56	
7	5 12	24 10	139 55		23	4 17	0 5	138 56	
	4 2	24 10	139 55		24	3 8	0 5 n	138 41	
8	5 56	23 46	139 55		27	2 30	2 13	136 41	
10	4 20	21 38	141 36			2 9	2 13	136 41	
12	4 40	20 36	145 39			2 0	2 50	136 17	
	5 0	20 38	146 0		30	1 41	4 25	134 37	
13	5 46	21 7	147 44		Oct. 3	3 9	4 41	132 51	
15	6 23	21 46	150 50			3 14	4 41	132 51	
16	6 34	22 0	151 9		5	3 10	4 31	132 39	
19	6 8	19 50	153 59		6	3 33	4 21	132 45	
20	7 9	19 8	156 15		8	3 38	3 53	134 13	
21	7 38	18 43	158 27		9	3 11	4 3	134 4	
23	6 5	16 22	162 32		12	2 19	4 49	133 42	
24	6 29	14 19	163 34		13	2 20	5 12	133 27	
25	9 30	12 13	164 50		16	2 34	5 54	135 10	
	9 40	12 13	164 50		27	2 10	6 35	127 56	
26	9 0	10 1	166 52			1 45	6 15	127 20	C. S. Au- gust Mindanao
28	9 4	9 50	171 26			1 20	5 34	126 25	Südl. En- de v. Mindanao
30	9 32	9 50	175 38		Nov. 6	0 48	5 34	125 40	
	9 0	9 50	175 38			0 49	5 34	125 40	
Aug. 1	10 4	9 53	179 33		7	0 39	5 37	125 23	
2	10 30	10 9	178 58	6	8	0 50	5 30	124 41	
4	10 54	10 22	177 10		14	0 6	1 57	122 4	
5	11 14	10 35	175 50		26	0 19 ^w	0 4	118 15	
	10 52	10 35	175 50		27	0 12	0 14 ^s	117 45	
7	11 17	10 52	172 23		Dec. 7	0 27	3 26	116 45	
8	10 27	11 2	171 15						
9	10 2	10 56	171 0						
11	10 38	10 49	167 0						

1767	Abweich	Breite	Länge London		1769	Abweich	Breite	Länge London	
Dec.	1° 16w 1 0	5° 30's 5 31	117° 53'o 117 17	Celebes	Jan.	9 19° 20w 14 16 19 15 16 31 18 14 38 19 13 46 25 12 30 26 11 47 27 11 40 28 10 46	50° 37's 22 16 21 4 17 5 16 6 14 22 12 54 11 36 10 26	15° 8'6 4 52 3 54 0 10 1 38w 7 4 8 5 9 25 10 36	
1768					Feb.	2 9 34 3 9 4 4 9 10 5 8 58 6 8 32 7 8 37 8 8 25 10 7 21 15 4 35 16 6 9 19 6 48 21 6 12 26 6 0	6 45 5 4 3 26 2 1 0 20 0 58 n 1 56 2 39 6 38 8 3 12 6 14 39 23 54	14 42 15 45 16 49 17 34 18 27 19 24 20 16 28 58 32 40 24 18 24 34 27 15 28 15	
Mai 29	0 56 0 30 0 25	5 29 Madura Batavia	110 23	Java	März	3 13 26 4 13 43 5 14 53 6 15 15 14 58 13 56	32 33 34 2 35 30 36 46 36 46 Zwischen Tercera und Mi- guel	23 35 22 32 21 56 21 23 21 23	
Sept. 30	0 51	7 41	101 36		28	16 45	59 9	19 2	
Oct. 2	2 6	10 37	97 19		XXX. Abweichungs- und Neigungsbeob- achtungen auf einer Reise nach und von Canton in den Jahren 1766 und 1767, angestellt von C. G. Ekeberg.				
4	3 12	12 13	93 56						
12	3 30	19 50	76 40						
14	6 26	21 47	72 47						
15	8 9	22 53	70 47						
17	9 36	24 23	68 2						
	11 20	24 25	68 2						
18	11 50	25 8	67 21						
19	12 49	25 8	67 8						
20	12 54	24 59	66 35						
	11 48	24 59	66 35						
24	12 54	23 21	64 51						
25	12 39	23 23	63 35						
26	13 42	23 32	62 43						
28	16 10	24 52	60 14						
30	18 18	25 40	56 50						
31	18 24	26 31	54 49						
Nov. 1	20 12	27 5	52 57						
	20 20	27 5	52 57						
3	20 58	27 40	50 55						
	21 23	27 40	50 55						
4	21 15	27 42	50 10						
5	21 9	27 44	49 1						
6	22 38	28 58	46 23						
7	24 40	29 59	43 55						
	24 55	29 59	45 55						
8	25 39	30 12	42 51						
9	25 50	30 19	41 37						
10	25 32	30 37	40 48						
11	25 8	32 2	38 47						
12	25 2	32 39	37 17						
13	25 5	33 21	35 27						
19	22 32	35 17	28 38						
20	22 46	35 42	27 22						
21	22 18	35 46	27 0						
22	22 50	35 4	26 29						
23	21 39	34 57	25 46						
24	21 44	34 52	25 28						
	19 30	34 24	18 30	Cap G.H.					

1766	Breite	Länge Teneriffa	Abweich	Neigung	1767	Breite	Länge Teneriffa	Abweich	Neigung
Juli	4 27° 30' s	119° 29' o	8° 15' w	54° 0' s	Juli	10 auf Fayals Rhede		°	72° 0' n
	9 19 34	126 27	4 0	53 0		22 40° 55' n	11° 22		72 30
						28 47 10	0 55		75 0
1767									
März	31 29 29	56 20	24 10	55 0	XXXI. Beobachtungen der magnetischen				
Apr.	2 30 30	53 16	25 0	55 30	Abweichung und Neigung auf ei-				
	4 32 44	46 0	24 0	51 0	ner Seereise von Gotheborg nach				
	23 33 17	52 14	18 0	47 0	Canton und zurück in den Jahren				
	28 29 20	27 23		40 30	1770 — 1771 von C. G. Ekeberg.				
Mai	1 26 52	26 42		36 0					
	3 24 26	24 45		29 30					
	6 20 12	19 11	13 30	19 30					
	8 17 22	16 13	12 15	19 0					
	17 15 40	10 15	11 0	4 20					
	18 14 26	9 0	10 30	2 50					
	19 13 35	8 10		0 50					
	20 12 29	7 8	9 5	1 0 n					
	21 11 14	6 0		2 50					
	22 9 46	4 59	8 10	7 0					
	23 8 23	3 27		10 0					
	25 7 49	3 0	7 15	13 30					
	27 6 17	0 46	6 50	17 0					
	28 4 51	0 55 w		20 0					
	29 3 41	2 52		23 15					
	31 1 33	5 22		25 0					
Juni	1 0 4 n	6 42		32 0					
	2 2 30	7 41		37 30					
	3 4 35	8 29		39 30					
	5 6 4	8 46		40 45					
	7 7 11	9 4	4 23	41 37					
	12 8 23	9 20		42 0					
	16 10 44	11 2	3 45	45 30					
	17 12 5	12 19		48 0					
	18 13 44	13 30		51 0					
	19 15 22	14 54		53 0					
	20 17 7	16 10	3 49	55 30					
	21 19 3	17 13		57 0					
	22 21 7	18 21		59 0					
	23 23 7	19 26		60 30					
	24 24 58	20 27		62 30					
	25 26 50	20 22		63 45					
	26 28 56	20 8		64 45					
	27 30 34	19 34		67 30					
	28 32 46	19 43		68 45					
	29 34 45	20 7		69 15					
	30 35 57	20 0	11 15	70 0					
Juli	4 35 53	18 38		70 45					
	6 36 54	18 46		71 30					
	7 38 33	12 56	12 22	73 30					

	1770	Breite	Länge Teneriffa	Abweich	Neigung		1770	Breite	Länge Teneriffa	Abweich	Neigung
Apr.	25	19° 10' s	9 49w	0° 55' o	11° 30' s	Juli	22	30° 12' s	110° 41' o	9° 30' w	58° 15' s
	26	21 3	8 50	0 12	15 30		23	28 45	112 53	8 50	57 15
		Martin Vas Ins.					24	27 11	114 49	7 39	56 15
	28	23 40	5 52	0 25w	21 30		25	25 30 -	117 9		54 7½
	19	26 20	3 14	1 0	24 30		26	24 1	118 32	6 20	52 15
Mai	3	27 52	1 23 o	3 29	26 0		27	22 31	119 13	5 45	50 0
	4	29 32	1 34		28 0		28	21 27	121 11	4 30	48 30
	5	30 46	2 18	3 30	30 30		29	19 20	123 5	3 45	46 30
	8	33 38	4 0	3 20	31 30		30	16 37	124 5	3 45	43 52½
	9	33 37	6 15	4 45	32 52½		31	14 12	124 52	3 30	40 0
	10	33 47	9 28	5 0	34 30	Aug.	1	11 30	124 52	3 0	37 45
	13	34 3	16 19	7 45	36 0		2	8 46	123 50	2 15	32 15
	14	33 56	17 43	10 0	37 0		4	7 42	122 45	2 30	31 52½
	15	33 55	20 11	10 45	37 20		6	6 36	121 20	SundaStr	27 30
	17	34 6	22 10	11 15	38 0		13	5 0	122 7	2 0	26 30
	22	31 1	26 0	16 15	38 30			Die 2. Gebrüder			
	23	33 15	26 15	16 35	39 7½		19	2 8	121 0	2 0	21 45
	24	33 47	27 19	16 35	40 10			Zwischen Banca und Sumatra			
	25	34 16	29 35	17 45	41 30		20	1 8	121 20	7 Inseln	18 45
Juni	20	34 8	35 15	19 10	44 22½		21	0 0	121 44	1 50	16 52½
	21	Vor Anker in Simons			44 22½		23	3 15 n	121 0	1 45	13 37½
	22	Bay, Cap G. H.			44 30		24	5 0	122 45		8 7½
		35 40	38 15	NadelC	45 0		25	6 58	124 0		6 30
	23	36 6	41 15	20 35	47 37½		26	8 53	125 27		3 22½
	24	36 28	44 15		50 7½		27	10 15	126 33		1 7n
	25	36 13	49 0		50 45		28	12 30	128 54	2 0	6 52½
	26	35 53	52 57		51 30		29	14 26	130 44		8 52½
	27	35 35	56 39		53 45		30	15 54	130 50		13 0
	28	35 18	60 51		55 15		31	17 57	130 47		16 52½
	29	35 15	64 22	26 0	57 0	Sept.	1	20 20	130 30	2 0	21 7½
	30	35 17	66 5		58 30		4	22 15	129 45	Linting I	24 0
Juli	1	35 15	67 19		60 7½		20	23 30	129 20		26 0
	2	35 15	67 58		60 52½	Oct.	15	Vampoe, Hafen			26 7½
	3	35 37	70 30		62 15		20	bey Canton			26 7½
	4	36 18	74 30		62 30	Nov.	15	23 0	129 30		26 0
	5	36 10	77 56		62 37½			Bocca Tigris			
	6	36 10	80 8		62 45		19	22 10	129 32	Macao	23 17½
	7	35 54	81 39		62 37½		26	8 54	125 0		1 22s
	8	35 55	84 35		62 45		28	5 18	121 25		7 57½
	9	35 18	86 31	20 46	62 37½		31	1 0	121 15		17 7½
	11	34 58	88 56		62 30						
	13	34 43	88 31	18 0	62 7½	1771					
	14	35 10	90 59		62 0	Jan.	4	3 30s	122 7	Lucepar.	23 37½
	15	35 4	93 51		62 0		15	5 45	121 25	Nord-ins	26 45
	16	34 55	96 21		61 30		17	7 30	120 26	SundaStr	31 57½
	17	34 12	99 57		60 0		19	8 13	120 18		31 57½
	19	32 30	105 53	10 55	59 52½		22	9 2	120 0		32 45
	20	31 1	108 22		59 7½		29	11 39	119 22		34 22½
	21	30 35	109 6		58 52½	Feb.	1	13 56	117 21	2 0	35 15

1771	Breite	Länge Teneriffa	Abweich	Neigung
Feb.	2 15° 16' s	115° 42' 6		36° 7' s
	3 16 38	113 30	2 30	39 45
	4 18 6	110 56		42 22½
	5 19 8	107 56		45 15
	6 20 6	105 28	3 48	46 45
	7 20 52	103 8		47 37½
	8 21 46	100 52	4 0	49 45
	9 22 32	98 10		50 45
	10 23 13	95 15		52 37½
	11 23 57	92 37		54 7½
	12 24 6	91 30		54 47½
	13 24 23	90 0	8 45	55 7½
	14 24 50	87 12		56 22½
	15 25 8	87 30		57 7½
	16 25 33	81 50		58 17½
	17 26 20	78 17	15 0	59 52½
	18 26 51	75 7		59 45
	19 27 24	72 47	17 30	58 15
	20 27 57	70 17	20 0	58 15
	21 28 26	68 7	21 30	58 30
	22 28 51	66 17	22 20	56 45
	23 29 24	64 33	22 40	56 45
	24 30 3	62 28	24 0	57 0
	25 30 38	60 30	25 30	56 30
	26 31 18	58 46	25 30	56 22½
	27 31 57	56 40	25 45	54 37½
	28 32 26	54 24		53 52½
März	1 32 52	52 31		52 52½
	2 33 34	50 0		52 7½
	3 34 26	47 58	25 30	50 30
	4 34 42	46 33	25 0	49 15
	5 34 53	43 27	24 30	48 15
	6 35 43	41 39	23 0	47 22½
	7 35 15	38 39	20 15	45 30
	Nadel-Cap			
	8 34 14	33 11	19 20	43 37½
	9 32 57	31 9		41 30
	10 31 20	29 9		40 7½
	11 29 54	27 24	17 20	37 52½
	12 28 8	25 18		34 42½
	13 26 11	23 0		31 22½
	14 24 39	21 23		28 0
	15 23 16	20 0		26 37½
	16 21 57	18 41	13 45	23 30
	17 22 22	17 13		20 0
	18 18 23	15 37		17 7½
	19 16 30	14 0	12 30	13 0
	S. Helene Ins.			
	25 12 9	6 0		1 45 n

1771	Breite	Länge Teneriffa	Abweich	Neigung
März 26	10° 20' s	4° 38' 6	°	5° 17' n
27	8 40	3 0		9 37½
28	8 13	2 5		12 52½
	Ascension			
29	6 39	1 34		16 30
31	4 16	1 19w		23 7½
Apr. 1	2 52	2 56		27 0
2	1 31	4 2		29 15

XXXII. Abweichungs- und Neigungsbeobachtungen auf einer Seereise nach und von Canton in China, angestellt von C. G. Ekeberg in den Jahren 1774 und 1775.

1774	Breite	Länge Teneriffa	Abweich	Neigung
Jan. 21	37° 15' n	18° 49' 6	°	74° 41 n
25	39 39	8 48		76 48½
29	37 8	1 29w	20 24	76 17½
31	34 0	4 42		74 41½
Feb. 8	52 24	2 8		73 30
9	50 16	1 30	19 30	72 45
10	48 30	0 5		72 15
12	44 30	2 6 6		71 21
18	41 15	1 4		69 37½
22	37 55	0 55		68 3½
24	35 41	1 6		67 11½
26	33 1	0 14		66 22½
27	30 0	0 30w		65 3½
28	27 36	1 47		62 11½
März 1	24 25	2 26		60 11½
2	21 24	2 54		57 52½
3	18 34	3 8		55 7½
4	16 40	3 17		53 0
5	15 0	3 17		49 56½
6	13 1	3 9		46 52½
7	10 38	2 59	10 58	44 45
8	8 18	2 49		39 41½
9	5 55	2 38		34 30
10	3 49	2 29		30 48½
11	2 22	2 23		29 26½
12	1 54	2 20		27 56
14	1 4	2 21		27 0
15	0 49	2 15	8 51	26 52½
16	1 9 s	2 35	8 56	25 18½

1774	Breite	Länge Teneriffa	Abweich	Neigung	1774	Breite	Länge Teneriffa	Abweich	Neigung
März 19	2°40' s	2°59' w	8°56' w	22°50' n	Mai 28	36°45' s	73°48' o	26°15' w	62°49' s
20	5 3	3 57	7 45	16 28	31	36 52	83 20	21 50	62 30
21	7 18	4 3	6 6	13 35	Juni 2	35 30	89 0		62 30
22	9 52	4 3	4 56	7 49	3	35 13	91 14	17 16	61 43
23	12 2	4 0		5 54	11	34 39	95 29	14 15	61 57
	12 19	4 19		2 49	15	35 25	101 3	13 55	60 33
24	13 2	4 30	4 15	2 3	17	34 39	105 33	15 15	59 52
	13 21	4 37		0 5 s	19	32 45	108 47		57 52
	13 57	4 41	3 10	0 44	21	29 37	114 8	9 26	56 0
	14 29	4 44		2 12	23	25 37	119 8	8 35	54 30
25	16 33	4 52	2 45	4 18	24	23 32	120 50	6 50	52 52
26	18 17	4 22	2 50	8 43	25	21 42	122 18		47 52
27	19 36	3 20	2 27	10 34	26	19 47	122 0	5 20	44 52
28	20 8	2 59	2 30	12 37	27	17 6	123 7		42 7
29	20 30	3 0		14 15	28	14 33	124 1		38 56
30	21 15	2 42	2 0	16 30	29	11 56	124 41		36 0
31	22 11	1 32	2 9	17 52	30	9 23	125 1	3 0	32 52
Apr. 1	23 35	0 23		21 10		Java			
2	25 3	0 23	2 50	22 26	Juli 2	8 49	127 31	2 43	31 2
3	25 41	0 39	3 15	23 30	3	8 41	124 34	2 30	30 34
4	26 13	1 29	4 5	25 0	4	8 27	123 0	2 0	29 57
5	27 10	3 13		26 0	5	7 59	121 57		29 26
6	27 32	4 35		26 45	6	7 37	120 58		28 30
7	28 46	7 15	5 53	27 30	7	6 30	120 25		28 0
8	30 20	10 27	7 49	29 41		Sunda Str.			
9	31 36	13 37		32 45	11	5 59	121 36		26 56
10	32 33	16 11	8 24	35 15		Bantam			
11	33 7	18 31	9 0	37 15	22	2 20	121 36		21 37
12	33 7	19 28		37 52		Palimbang			
13	33 36	20 1		37 52	26	3 30 n	121 10		10 3
14	34 9	22 37	12 33	39 0	28	7 42	124 15		2 2
15	34 16	23 58		39 50	29	9 24	125 15		0 4
19	34 52	26 3	13 40	40 22		10 0	125 51		0 52 n
20	34 49	28 30	14 58	41 0		Schuhinsel			
21	34 36	30 0	16 6	41 30	30	11 27	126 40		4 37
22	34 36	32 18		42 26	31	14 1	128 50		9 15
23	34 35	34 12	19 0	43 30	Aug. 1	18 3	128 0		12 30
24	34 12	35 18	19 58	44 4	3	19 34	127 0		19 52
27	34 12	36 13	21 39	44 22	8	23 30	129 30		26 8
	Taffelgebirg					Wampoe			
Mai 3	34 8	35 15		44 29		23 30	129 30		26 11
	Simons Bay								
12	34 8	35 15		44 28					
17	36 54	42 36	24 25	50 30	1775				
18	37 4	44 52		52 30	Jan. 20	5 45 s	121 25		26 49
20	36 44	49 42		54 0		Nordinse			
22	36 39	56 10	26 58	56 11	25	6 28	120 30		28 0
23	36 44	58 59		59 22		Princes Insel			
25	36 22	64 39	27 30	61 26	31	6 42	121 21		31 45
					Feb. 5	9 24	119 0		32 52

1775	Breite	Länge Teneriffa	Abweich	Neigung	XXXIII. Beobachtungen der Abweichung und Neigung auf dem Schiffe <i>Endeavour</i> , angestellt von J. Cook 1768—1771.			
Feb,	7	11° 0' s	118° 37' 0	° w	54° 37' 1 s			
	9	14 6	116 50		39 15			
	11	17 19	112 42		41 30			
	13	20 54	107 10	4 5	46 3			
	15	22 8	102 0	5 30	50 41 1			
	18	24 17	91 20	6 42	54 52 1			
	22	26 2	82 50	14 9	57 45			
	24	27 24	76 15		59 45			
	27	28 58	67 30	22 39	58 30			
März	1	50 48	61 35	24 24	57 34			
	5	52 34	56 12	25 52	55 0			
	7	55 0	49 4	26 43	52 52 1			
	9	54 39	46 8	25 48	49 52			
	11	54 29	44 37		48 22 1			
	13	55 48	41 9	24 0	46 52 1			
	15	55 15	41 39	22 51	46 56			
	19	55 16	40 17	22 26	45 15			
Nadel-Cap								
	21	52 51	50 30	19 34	42 0			
	23	50 18	26 50	18 26	40 45			
	26	26 37	22 53	16 19	31 52			
	28	22 18	18 27		24 30			
	31	16 8	12 58	13 27	14 19			
Apr.	6	15 35	10 3		9 52 1 <td colspan="3"></td>			
	7	14 43	9 16	13 31	6 56			
	8	13 54	8 27	12 47	4 49			
	9	12 32	7 20	12 20	3 21			
	10	11 42	6 10	12 0	0 9 n			
	11	10 21	4 47	11 24	4 56 1			
	12	8 50	3 45	11 0	12 41			
Ascension								
	15	7 6	2 5		15 52 1			
	19	2 4	2 57	9 34	22 37 1			
	23	2 14 n	5 32	7 30	26 52 1			
	25	4 28	6 50		31 52 1			
	27	6 45	8 36	5 20	38 22 1			
	30	10 43	12 46	5 0	45 45			
Mai	5	16 10	15 50	4 40	49 45			
	6	22 51	18 54	5 24	59 30			
	9	26 11	18 36	5 0	61 15			
	11	27 47	17 45	7 0	63 22 1			
	12	30 16	17 3		64 34			
	14	34 57	15 56		66 52 1			
	16	39 24	14 36	12 31	68 49			
	18	44 10	9 52	14 0	70 49			
	20	46 7	4 29		72 15			
	23	48 48	5 21 0	21 30	72 18 1			
	26	49 17	11 57	22 30	72 11 1			
	30	50 30	15 15	Wight I.	71 52 1			

1768	Abweich	Breite	Länge Greenw.	
Aug.	8	23° 0 w	Der Canal	
Sept.	5	18 42	Finisterre	
	6	21 40	42 1	9 50 w
	7	21 4	40 29	10 11
	9	19 50	37 4	11 54
		21 19	36 46	11 58
	10	20 59	35 40	13 4
		18 32	34 58	13 50
	11	17 27	34 20	14 20
		15 30	32 33 1	16 49
	20	16 30	Funchal N. 76° 0 19 leagues	
	22	17 50	Salvages S. 9-10 leagues	
	23	17 30	} 29 40	15 30
		17 0		
		17 15		
		18 50	} 29 7	15 50
		16 50		
	24	16 43	Pico Teneriffa	
		15 46	N. 18° 0, 140 leagues	
		14 58	26 50	17 12
	25	15 1	25 20	18 50
	28	12 46	20 56	20 40
		12 43	19 33	20 50
	29	12 33	18 38	21 0
Oct	1	10 37	15 40	22 0
		10 50	14 35	22 8
	3	8 49	12 24	22 22
	5	6 10	11 53	22 0
	6	8 52	9 45	22 20
	8	9 0	9 42	22 19
		8 0	8 46	22 4
	9	8 21 1	8 12	22 4
		7 48	8 6	22 15
	10	8 39	7 48	22 13
	13	8 54	7 13	22 53
	16	8 40	6 50	23 46
	21	4 2	5 4	26 30
	22	3 17	2 0	27 55
	25	2 24 1	0 55	28 55
	27	2 48	2 5 s	31 0
	29	2 25	3 59	32 30
	30	1 31	5 46	32 48
	31	0 15	7 30	33 4

1768	Abweich	Breite	Länge Greenw.	1769	Abweich	Breite	Länge Greenw.
Nov. 1	0° 58' w	9° 22' s	33 16 w	März 11	4° 12' o	34° 0' s	121° 0' w
	0 18			12	4 23	32 40	123 0
2	0 34 8	10 3	33 0	13	3 20	31 20	124 40
3	0 47	12 27	33 0		3 0	30 56	125 20
4	1 23	15 25	33 40	15	3 45	30 30	126 0
7	4 41	18 30	36 10		3 22	29 36	126 50
8	5 26	20 4	37 18	16	1 30	29 32	126 48
	7 52	21 16	37 50		2 18	29 28	127 4
12	6 40	Cap Frio W.N.W. 12 leagu.		17	3 27	29 10	127 16
13	7 34	Mündung von Rio de Janeiro W.N.W. 5 leagues		19	3 14	27 20	129 20
Dec. 12	8 40	25 44	41 4	21	3 21 1/2	25 21	129 28
	8 23	26 0	41 20	22	3 10	25 21	129 32
13	8 23	26 34	41 33	28	3 56	21 14	127 38
16	9 36	30 20	41 49	29	2 27	20 29	127 44
18	11 3	32 30	42 48	31	2 25	19 30	129 10
19	11 3	32 54	43 38	Apr. 1	2 32	19 7	131 40
20	13 34	34 34	45 38	4	2 54	18 46	138 0
22	15 1	36 50	48 32	4	2 54	18 36	139 10
	16 1	37 8	49 1	5	3 30	18 36	139 40
23	15 45	37 8	49 0	8	6 32	17 48	143 50
	15 30	36 46	49 2	9	4 54	17 39	145 30
29	16 22	41 40	56 25	10	5 41	17 42	146 16
31	18 36	42 40	60 25	11	6 30	18 0	147 59
1769				Aug. 10	4 45 1/2	17 29	149 30 c)
Jan. 5	20 4 1/2	48 42	60 51	13	5 50	17 15	151 41
9	22 24	51 30	63 30	15	5 40	21 20	151 15
10	21 57	52 40	65 20		5 37	22 8	150 55
11	23 30	54 0	67 30	18	6 7	23 37	150 37
	23 30	10 leag. v. Terra del Fuego			8 8	26 10	149 46
21	24 9	Le Maires Strafe		23	7 58	26 30	149 46
22	25 4	56 7	65 45	25	7 30	30 43	148 0
24	21 0	55 40	Cap Horn a)	24	7 18	32 40	147 14
25	21 16	55 40	Cap Horn S.W.	27	6 40	33 8	147 25
28	22 0	57 0	69 0	30	7 9	38 3	147 6
30	27 9	60 10	74 26	Sept. 5	7 0	38 29	145 32
Feb. 1	24 53	59 23	76 45	13	8 8	33 0	153 0
3	24 4	58 30	80 58	19	8 36	29 0	159 42
13	17 0	49 13	89 36		8 29	29 0	159 25
15	12 0	48 56	91 27	25	10 48	33 30	163 40
	11 0	48 10	92 0	Oct. 3	13 22	36 50	173 48
21	6 30	44 39	103 0	4	12 48	37 6	174 46
23	5 34	39 43	105 52	6	12 59	38 33	179 0
27	2 20 1/2	39 43	110 26		14 2	39 0	180 0
März 4	2 26	36 49	111 54	7	15 4 1/2	39 11	180 30
8	3 13	37 8	116 8	15	14 10	59 37	182 30
9	4 41	37 24	117 41	17	10 22	40 0	182 0
10	1 42	35 30	119 30	Nov. 9	11 9	36 48	184 12
				25	12 40	35 50	185 15 d)
				26	13 10	35 15	185 15

1769	Abweich	Breite	Länge Greenw.	1770	Abweich	Breite	Länge Greenw.
Nov. 28	11° 45' 0"	35° 0' s	185° 30' w	Mai 22	7° 50' 0"	24° 25' s	208° 0' w
Dec. 8	12 51	34 42	185 30	26	7 28	23 24	209 10
10	12 40	34 40	186 15	Juni 3	6 57	20 20	211 20
11	12 20	34 40	186 45	5	5 35	19 18	212 30
25	11 25	34 0	188 0	6	5 31	19 4	212 50
1770				7	5 25	19 0	213 15
Jan. 6	12 26	35 8	188 0	5 0	18 52	213 35	
12	15 0	38 12	185 3	9 4 53	16 59	213 55	
14	15	39 0	185 3	Aug. 23	2 54	10 36	219 8
14	13 0	39 40	185 3	27	2 30	10 3	220 45
15	15 5	40 30	186 0	28	2 51	9 51	221 5
Feb. 14	0	41 0	183 0	Sept. 2	2 34	7 39	222 40
2	14 0	41 20	184 0	3	2 4	7 2	222 30
15	4	42 8	184 15	4	2 30	6 18	222 10
17	14 24	44 0	186 30	9	0 9w	9 36	232 13
18	15 36	45 0	186 15	10	0 2	9 50	232 57
März 1	16 34	47 34	187 30	13	1 18½	9 40	235 45
4	16 16	46 30	189 0	14	2 4	9 50	235 45
7	15 20	46 54	191 0	17	1 49	10 8	236 0
9	16 29	47 12	191 30	24	2 44	11 10	241 30
15	15 2	45 0	192 30	27	3 10	11 10	246 50
16	15 48	44 27	191 15	1771			
25	12 20	40 30	186 0	Jan. 27	2 51	10 0	256 32
Apr. 7	13 50	37 15	196 40	Feb. 3	2 56	15 52	264 36
8	13 56	37 40	197 40	7	3 24	18 34	274 50
10	11 22½	38 45	202 23	14	4 10	21 56	287 10
13	12 25	39 15	203 40	17	10 20	23 20	297 18
14	12 29	39 23	204 0	20	12 15	24 57	304 31
11 30	39 23	204 15		23	17 30	26 59	311 28
20 10 40	37 0	210 0		25	24 20	27 55	314 0
21 10 42	36 35	210 0		24 0	28 40	316 0	
22 9 50	35 35	209 23		26	26 10	28 54	316 30
24 7 41	35 35	209 0		März 4	25 35	31 8	326 30
25 9 15	35 18	209 11		8	28 19	34 20	333 0
9 21½	34 0	208 50		10	24 0	35 40	337 10
26 8 48	34 18	208 49		12	22 30	34 54	339 0
Mai 7	8 0	33 50	208 37	20 30	Tafel Bay, Cap		
7 56	33 22	208 20		Apr. 23	17 40	27 12	349 30
8 8 25	33 22	208 20		18 37	26 34	350 32	
10 8 0	33 13	207 20		24	17 0	26 12	350 46
11 9 10	32 40	206 36		17 30	25 26	351 16	
18 8 40	26 20	206 46		28	14 0	19 50	357 0
19 8 36	25 34	206 45		29	13 53	18 30	359 6
8 21½	25 24	206 38		Mai 5	13 10	15 25	7 0
20 8 45	25 12	206 38		7	12 50	12 30	9 45
22 8 3	24 34	207 40		9	11 0	10 24	10 0
				13	10 0	5 18	17 46
				19	7 40	4 20 n	21 25

K

1771	Abweich	Breite	Länge Greenw.		1770	Neigung	Breite	Länge	
Mai 25	9° 40' w	7° 40' n	25° 0' w		Juli 18	36° 0' s	15° 26' s	214° 48' w	Endea- your River
26	6 30	10 38	29 22						
31	5 9	18 25	35 30						
Juni 1	6 40	20 0	36 30		a)	Cook bemerkt, daß die Beobachtungen mit Fleiß angestellt waren; folglich muß das Land auf die Nadel gewirkt haben.			
2	5 4	21 4	38 0		b)	Eine gute Beobachtung, Mittel aus vie- len Azimuthen; die See war ruhig.			
4	4 30	23 30	40 0		c)	Beobachtung auf dem Lande im Fort Ve- nus Otaheite, mit 4 Compassen auf einer Mittagslinie angestellt.			
6	5 34½	25 40	43 18		d)	Auf dem Lande in Mercury Bay, New- Zeeland.			
7	5 20	27 22	43 43						
8	5 24	28 30	43 42						
9	7 17	29 51	44 9						
10	9 9	30 26	44 15						
12	7 0	32 16	45 14						
12	6 55	32 40	45 0						
13	8 23	33 16	44 53						
13	8 14½	33 53	44 25						
14	8 14	34 36	44 25						
17	9 1	38 26	40 20						
18	14 15½	39 12	39 0						
18	14 24	39 22	38 0						
30	18 30	43 55	17 16						
30	19 30	44 30	16 18						
Juli 1	23 0	44 40	15 44						
1	22 50	44 50	16 10						
3	20 36	45 0	15 0						
4	21 25½	45 30	10 45						
4	21 10	45 20	9 37						
7	22 30	45 45	8 38						
1763	Neigung	Breite	Länge		1772	Abweich	Breite	Länge Greenw.	
Sept. 13	77° 18' n	Funchal Bay			Jun.	21° 29' w	50° 21' n	4° 16' w	Drakes I.
Oct. 25	27 0	0° 0'	30° 18' w		26	19 47	Dungeness W. ½ N. 2-3 leag.		
					30	23 47	Portland N. ¼ O. 15 M.		
1769						22 12	Start N. W. g. N. ½ W. 6-7 l.		
Jan. 10	63 0 s	52 54 s	63 10		Juli	24 51	Start N. W. ¼ W. und Ber- ry Head N. N. O.		
20	68 51	Auf dem			21	23 58	43 30	9 18	
		Lande			20	45	43 42	9 18	
24	65 0	Am Bord			23	22 45	41 44	10 42	
30	65 17				27	20 23	33 27	15 37	
März 3	65 52				Aug. 3	15 50	29 5	17 40	
13	64 25				4	14 58½	28 19	18 40	
Apr. 5	30 0				6	13 11	24 41	19 20	
Mai 30	30 43				7	14 59½	23 31	19 30	
					9	12 2	19 33	20 45	
1770						10 44	15 45	23 18	
Jan. 19	54 40	41 5	184 35	Charl. S.		10 59	15 44	23 20	
Mai 1	67 1	34 0	208 37	Botan. B.	18	9 6	11 11	21 22	
					27	13 28	4 2	11 56	

1772	Abweich	Breite	Länge Greenw.	1772	Abweich	Breite	Länge Greenw.
Aug. 28	13° 59 ^w	3° 38 ⁿ	10° 6 ^w	Dec. 22	23° 56 ^w	55° 17 ^s	31° 58 ^w
	14 13	3 18	9 23	26	19 37	58 33	26 24
30	14 57½	2 34	7 3		19 14	58 33	26 20
31	15 52	2 12½	5 41	1773			
Sept. 3	14 14½	0 51	8 40	Jan. 2	12 16	58 51	10 43 8
4	15 11½	0 45	9 15		12 48	58 50	10 33
	14 45	0 44	9 17		11 55	58 50	10 32
7	14 15	0 10s	8 35	7	28 19	51 9	31 42
10	12 32	2 55	11 55		28 53	61 10	31 47
11	11 42	3 18	12 21	8	29 42	61 30	34 40
12	12 23	4 21	13 0	10	24 10	62 46	37 26
	12 26	4 56½	14 7	11	23 49	64 12	38 22
13	9 53	5 24	14 32	14	28 11	63 53	39 20
16	7 35	9 50	18 0	16	27 11	64 55	39 10
20	5 7	16 1	20 23	21	31 40	62 28	42 6
	4 3	16 3	20 24	22	33 1	60 27	45 12
21	3 49	18 26	21 15	24	34 52	57 49	49 52
	3 43	19 2	21 46	27	32 6	56 6½	51 35
23	3 16	20 28	22 7	28	33 4	53 49	52 31
25	2 14	24 6	23 32	31	30 49	50 13	57 30
26	1 35	24 25	23 51	Feb. 2	27 32	49 7	60 24
	0 59	24 40	23 51		32 30	48 48	61 20
27	1 40	24 52	23 51	4	30 31	49 38	59 24
	1 11	25 12	23 31	5	30 57	48 34	59 6
28	2 36	26 46	20 36	6	32 24	48 8	60 25
30	3 15	27 20	18 36	7	31 8	49 9	63 8
Oct. 5	6 13	28 59	11 30	9	27 33	49 50	65 10
10	8 30½	34 30	8 8	12	32 33	53 6	71 25
11	8 30	34 47	6 48		33 58	53 32	72 57
12	8 31	34 52	6 24	14	36 12	55 41	74 50
17	14 9½	35 0	4 40 6	15	38 9	57 5	80 11
19	15 16	34 24	7 40	17	40 40	57 54	83 23
20	16 56	34 57	7 55	18	38 49	58 2	84 42
	14 59	35 19	7 35		37 8	58 5	84 48
21	15 56	35 52	7 36	19	41 51	58 49	91 2
26	20 57	34 25	14 50	20	40 31	58 46	91 58½
	21 26½	33 40	15 10		35 37	58 55	92 45
27	21 34	33 41	15 38	21	40 59	59 19	93 55
28	21 30	33 45	15 42	25	43 7	60 50	96 10
Nov. 13-					41 4	60 58	97 26
14	20 26½	Cap g.	Hoffnung	März 3	39 15½	60 12	110 52
27	19 31	40 20	16 27	6	32 11	59 56	119 7
Dec. 4	16 18	46 42	18 10	7	30 10	59 44	121 18
6	18 15	48 48	18 16	8	27 18½	59 44	121 20
9	16 29	50 42	21 8	10	12 56	57 22	130 2
16	22 9	55 8	23 44	11	9 30	58 55	131 38
17	21 9	55 8	24 17	13	9 6	58 44	133 50
19	22 25	54 15	25 56	15	1 42	58 52	142 24
21	21 47	54 40	29 45				

1773	Abweich	Breite	Länge Greenw.		1773	Abweich	Breite	Länge Greenw.	
März 16	0° 27' 6"	58° 53' s	143° 55' 6"		Sept. 21	9° 12' 6"	18° 29' s	205° 47' 6"	
18	14 44	56 5	150 10			8 16	18 56	205 15	
20	13 46	52 48	154 56		26	11 42	20 36	194 36	
22	13 59	49 28	159 38		27	9 44	20 58	192 5	
23	13 7	47 29	161 54		29	10 43	21 27	189 38	
24	11 47	46 23	163 55		Oct. 3	10 28	21 4	185 4	
Apr. 17-					7	10 44	21 10	185 2	
18	13 49	45 27½	166 18	Dusky B.		11 35	21 56	184 45	
Mai	13 31	41 6	185 50	Charlottes Sund	8	9 51	22 7	184 40	
Juni 14	11 43	46 41	185 50		13	10 39	28 27	180 13	
15	11 16	46 52	186 4		14	11 34	29 47	179 56	
22	9 3	44 37	196 30		15	10 52	30 36	179 57	
23	11 21	44 37	197 53			10 57	31 17	179 56	
28	7 55	42 39	198 42		16	11 16	32 0	179 55	
29	7 40	43 5	199 40		17	10 33	32 52	179 56	
	8 45	43 5½	199 45			11 0	33 24	180 12	
Juli 1	6 55	43 7½	201 58		20	15 12	38 54	179 12	
	6 59½	43 2½	203 8		Nov. 15	13 40	58 21	178 34	Tolaga B.
2	5 59	43 2	203 20		24	13 52	41 6	174 26	Königin
	7 10½	43 14	204 23						Charlottes Sund, N. Zeel.
3	8 13	43 23	204 58		27	12 54	44 3	176 5	
9	2 47½	43 27	215 20		28	13 56	44 28	176 45	
10	4 5	43 33	217 50		Dec. 4	17 51½	50 5	179 59	
11	5 35½	43 32	218 30		5	18 16½	50 19	179 44	
	5 35	43 18	219 26		7	17 23	53 45½	180 43	
12	5 4	43 14	219 57		11	15 4½	61 14	187 45	
17	6 16	38 5	226 32		12	17 8	63 10	190 55	
18	5 5	37 49	226 46		18	10 18	64 26	209 13	
19	5 33	36 25	227 5		19	12 8	64 54	211 45	
	6 5	35 35	226 57		24	17 9	67 4	223 20	
21	4 51	31 18	225 40		26	15 40	66 5	226 30	
22	5 21	30 48	225 31		29	14 29	62 8	225 58	
	5 34	29 34	225 6		30	13 43	61 7	225 22	
26	5 25	28 43	224 41		31	12 2½	59 36	225 14	
	4 59	28 1	224 55						
27	6 18	27 43	224 41		1774				
Aug. 1	5 16	23 25	226 3		Jan. 1	14 4	58 47	224 3	
2	4 26	22 22	226 15		6	7 7½	51 40	225 6	
3	5 1	22 0	226 16		7	6 32	50 17	227 20	
4	5 10	21 12	226 30			6 26	49 37	229 50	
10	6 30	17 17	218 15		11	2 41	48 21	238 30	
12	6 45	17 16	215 24			1 35	49 12	239 53	
14	7 24	17 42	211 50		12	4 46	50 7	240 35	
24	5 54	17 29	210 40		16	9 6	56 57	240 47	
29	5 40	17 29½	210 39	Point 2 Otaheite	19	10 26½	62 28	244 0	
Sept. 5	4 51	16 45	208 53		22	9 48	62 4	248 1	
18	8 26	17 34	206 10		24	20 18	65 16	250 55	
19	8 27	17 47	205 20		25	19 26½	65 45	250 45	
						18 22	66 19	250 40	

1774	Abweich	Breite	Länge Greenw.	1774	Abweich	Breite	Länge Greenw.
Jan. 28	23° 11' 0"	69° 31' s	251° 57' 0"	März 29	2° 44' 0"	9° 36' s	233° 20' 0"
	22 11½	69 43	252 16	30	3 14	9 19	232 8
	29 24 39	70 20	253 3	31	4 3	9 27	230 14
	31 28 32	68 13	255 15	Apr. 1	3 56	9 29	228 26
Feb. 3	23 18	66 16	258 45	2	3 58½	9 32	226 44
	24 6	65 48	260 24	3	4 15	9 32	224 58
	4 27 7½	65 34	260 14	4	4 27	9 33	223 20
	5 19 5½	63 58	260 8	5	4 13½	9 21	222 2
	10 15 18½	53 7	262 50	6	5 34	9 36	221 10
	12 13 56	50 11	264 35	9	1 28	9 55½	220 51
	12 45	49 28	264 4				Resolu- tion Bay, Ohiitahoo
	13 14 40	50 30	263 36	12	4 22	9 50	220 48
	14 12 45	49 28	264 4		5 28½	10 30	220 8
	18 13 16	43 41	265 45	13	5 1½	11 52	219 10
	19 10 5½	41 41	265 3	14	6 3½	12 42	218 37
	20 7 2½	39 32	266 0		5 51	13 20	217 48
	8 3	38 22	266 18	15	6 9	14 18	216 36
	21 7 41	36 24	265 54	16	5 55	14 29	215 22
	23 9 52	36 49	263 9	17	5 5	14 34	214 45
	8 8	37 16	262 5		7 33	15 33	213 43
	25 6 50	37 44	259 21	20	6 51½	17 12	211 18
	27 4 9	34 32	257 57	Mai 21	5 19	16 43	208 51
	28 3 15	32 27½	257 25	22	5 22	Owharre, Huaheine, Land	
März 1	4 23	32 6	257 30	29	5 56	16 46	208 23
	5 4	31 25	257 42	30	6 24	Ohamaneno Ha- fen, Ulietea	Am Bord
2	5 2	31 5	257 52	31	5 51	daselbst auf dem	Lande
3	4 26½	30 26	258 45	Juni 1	6 24	16 49	206 30
	5 13	30 8	259 3	5	6 0	17 33	204 4
4	5 40	29 51	259 16	8	7 55	17 37	203 48
	6 53	29 46	259 27		8 16	17 40	203 22
5	5 26	29 42	259 24	9	8 4	17 48	202 50
6	4 11	29 11	258 48	10	8 43	17 51	202 35
7	4 31	28 2	256 26		8 49	18 40	197 37
16	4 30	27 7	250 7	13	9 15½	18 33	197 23
	3 32	26 56	249 50	14	8 24	18 25	197 10
17	3 15	26 16	248 50	15	9 24	18 21	196 54
18	2 47	25 54	248 35		9 16½	18 0	196 0
	3 41	25 36	248 20	16	10 1	18 16	194 31
19	3 29	24 33	248 7	17	10 23	18 22	193 4
	3 6	23 26	247 40	20	10 26½	18 54	190 40
24	1 52	16 54	243 10	21	9 38	19 3	190 20
25	2 31½	15 6	241 0		11 25	19 20	189 56
26	2 38	14 27	240 18		10 48½	19 27	189 36
	2 23	13 31	239 20	22	11 9	20 25	186 52
27	2 10	12 55	238 45	23	11 40½	20 12	186 10
	2 13	12 3	237 45	24	9 22	20 27	185 42
28	2 31	11 30	237 10	25	12 6½	20 15	185 29
	2 17	10 39	236 20	26	11 5½		Vor An- ker bey Anamocka
29	3 3	10 10	235 40	27	9 24		

1774	Abweich	Breite	Länge Greenw.		1774	Abweich	Breite	Länge Greenw.	
Juni	28	9° 59½'	°	°	dasselbst	Sept.	3	10° 5' 0"	19° 50' s 164° 44' 0"
	29	11 49	20 10 s	185 25 ö		6	8 32½		
		11 8	20 1	184 40		7	8 7		
Juli	2	12 47	19 45	182 13		8	8 6	Pudyoua bey Neu- Caledonia	
	3	12 9	19 48	182 0		9	9 25		
		11 52	19 58	181 40		10	9 22½		
	4	12 28½	20 11	181 19		14	10 53	19 10	164 0
		12 30	20 34	180 44		15	9 2	19 17	164 6
	5	12 44	20 52	179 34			10 26	19 33	164 17
	6	12 17½	20 54	178 41		16	9 22½	19 34	164 23
	7	12 59	20 47½	177 50		19	10 19	20 25	165 50
	8	13 8	20 20	176 23		20	10 20	20 52	165 50
	10	11 1	19 30	175 8			10 2½	20 52	166 8
		10 22	18 50	175 14		21	9 58	20 57	166 10
	11	10 28	17 39	174 29			7 53	21 13	166 42
	12	10 31	16 37	173 38		22	8 22	21 37	166 50
	13	10 35	16 15½	173 15			9 0	21 49	167 2
		10 13½	15 49	172 42		23	11 32½	21 57	167 28
	14	11 3½	15 13½	171 38		25	8 28½	22 9	167 28
	22	9 16	16 24	167 53		29	8 36½	22 29	167 17
	24	11 24	17 6	168 36		30	10 34	22 41	167 25
	25	9 10	17 22	168 38		Oct.	2	9 27	23 20
	26	9 19	17 52	169 10			3 9 31	25 13	171 8
	27	9 3	18 12	169 50			4 10 29	25 47	171 21
		12 6	18 25	169 47			11 22	26 34	171 35
	28	12 13	18 24	169 46			5 13 36	27 54	171 47
		9 13	18 26	170 3			6 10 31	27 52	171 45
	29	12 19	18 34	170 3			7 13 31	28 16½	170 45
	30	12 32	18 30	169 43			8 13 7	28 38	170 19
		10 29	18 23	169 34		10	11 3	29 5	168 10
	31	11 19	18 24	169 32		11	10 16	29 37	168 2
		12 11½	18 25	169 15			10 55	30 35½	167 51
Aug.	1	11 38½	18 47	169 10		12	8 53	32 39	168 10
		11 6½	18 44	169 2		13	8 29	33 10½	168 36
	2	10 54	18 42	169 2			8 48	33 43	169 9
		9 3	18 36	169 15		14	10 29	34 26	169 45
	3	8 27	18 43	169 20			10 19	35 8	170 34
	4	9 54	19 27	169 44		Nov.	11	13 16	42 54
	8-18	7 14	19 32½	169 49	Tanna	12	12 37½	43 34	175 50
	21	10 23	18 39	168 55			13 26½	44 7	176 53
	22	10 9	16 52	168 35		14	12 51	47 33	180 50
	25	11 27	15 6	167 3		15	12 42	48 6½	181 20
	27	10 52	14 47	166 56		16	12 28	49 59	183 38
	28	9 15	14 49	166 37		17	10 54	52 31	188 31
		11 19	14 57	166 34		22	9 35	55 43	204 34
	30	9 0	15 23	166 35		23	8 49	55 42½	204 40
Sept.	1	8 38½	17 46	165 28		25	7 2	55 7	213 0
	2	10 2	18 21	165 22		Dec.	1	1 20	55 12
	3	9 23	19 15	164 50			3 3 18	53 21	240 50

1774	Abweich	Breite	Länge Greenw.		1775	Abweich	Breite	Länge Greenw.	
Dec. 4	3° 24' 0	53° 15' s	242° 17' 0		Feb. 11	3° 59' w	58° 23' s	352° 56' 0	
5	3 46	53 6	246 10		12	3 2	58 20	353 15	
6	4 58	53 13	250 5			4 29	58 2	354 49	
	5 7	53 17	252 0		14	6 50	56 14½	4 50	
11	10 43	53 29	264 40		16	12 7	54 24	6 30	
12	11 33	53 21	268 24			13 42	54 21½	8 6	
	12 31	53 24	269 30		17	13 16	54 25	9 20	
13	13 23	53 24	270 30		21	19 8½	54 26	19 15	
	13 48	53 24	272 28		25	24 7	49 37	29 32	
14	15 23	53 26	273 48		28	23 31	46 48	33 36	
15	17 38	53 30	277 30		März 1	24 22	45 53½	31 0	
16	18 20	53 25	280 58		2	22 23	45 4	30 45	
	18 33	53 25	282 46			22 56½	44 10	30 3	
17	20 52	53 15	284 12		3	23 58	43 33	29 40	
18	20 29	54 44	286 59			22 42	43 43	29 15	
19	22 19	55 32	289 20		6	21 57½	41 33	26 36	
24	24 43	55 22	289 57	Christ-	8	21 31	42 0	25 25	
27	mafs	Sund, Terra del Fuego			10	20 50½	40 47	23 50	
29	23 52	55 20	293 55		12	22 9½	38 41	24 10	
31	25 28½	54 41	295 46		13	22 2	37 0	22 24	
					14	22 46	35 21	22 17	
1775					16	20 1	34 56	21 10	
Jan. 1	24 0	54 41	295 46		17	21 30½	35 6½	20 50	
3	19 50	55 11½	297 7			20 22½	34 58	20 40	
4	20 12	56 42	300 30		24	21 14½	33 55½	Cap bona Espe-	
6	24 31	57 22½	306 19		Apr. 23			ranza	
7	23 53	56 28	306 30		27	19 5	33 4	16 45	
8	19 55	55 3	308 10		28	20 1	31 46	14 13	
10	17 42	54 38	314 20		29	18 46	30 29	11 52	
14	15 44½	55 58	320 55		30	17 54½	29 21	10 12	
16	12 30	53 56	322 37		Mai 2	16 42	27 12	7 11	
17	11 14	54 9	323 10		3	16 14	26 42	6 42	
	11 4	54 21	323 54		4	17 8	26 25	6 50	
19	12 4	54 48	324 20		6	15 27	23 45	3 40	
	15 52	55 0	323 40		7	14 57½	23 11½	3 0	
22	14 15½	54 55	325 37			15 24	22 24	2 12	
23	10 42	54 58	325 25		8	14 21	21 1	0 33	
	8 23	56 14	327 30		9	13 11½	20 32	0 4w	
	12 33½	57 4½	328 58			14 56	19 49	0 48	
26	11 10	59 14	329 0		11	14 0	18 44	2 23	
31	10 42	58 37½	332 45			13 57	18 32½	2 35	
Feb. 2	9 32	57 48	333 8		12	13 39	18 21	2 45	
5	5 2	57 16	336 38			13 33	17 55	5 5	
7	1 52½	58 28	342 52		13	13 52	16 57	4 2	
	2 14	58 29	344 40		14	15 15	16 10	4 55	
8	0 37	58 28	346 44		17	12 18	15 55	5 49	S. Helene
9	0 7w	58 26	346 53		22	12 13	14 46	7 40	
	0 29	58 17	348 16		23	11 24	13 46	9 40	
10	1 40½	58 15	350 6		24	11 9	12 9	10 48	

1775	Abweich	Breite	Länge Greenw.
Mai 25	11° 13' w	10° 21' s	11° 40' w
26	11 9	8 38	12 45
27	10 43	7 55	13 45
28	11 8	7 56½	14 32½
30	10 52½	Ascension	
31	11 7	7 50	14 37
	10 10	7 7	15 6
Juni 1	9 39	6 45	16 55
2	9 8	6 29	18 55
3	8 11	6 4	21 8
4	6 44½	5 44	23 15
5	5 47	5 14	25 35
6	4 37	5 1	27 35
7	3 40½	3 59	29 10
8	1 25½	3 43	31 35
9	1 0	3 47	32 33
	0 15	2 24	32 12
10	1 2	1 34	32 0
	0 39½	0 36	32 0
11	1 25	0 13 n	31 50
	1 23	1 28	31 40
12	2 22	2 13	31 36
13	2 13	4 24	31 28
14	1 27	4 36½	31 20
16	5 11	5 11	30 14
17	5 32	6 14	30 1
18	4 16	6 59½	30 10
19	4 48	7 54	50 40
20	4 15	9 9	52 18
21	3 23	10 47½	33 30
23	3 57½	14 13	36 0
24	3 46½	14 57	36 15
26	3 41	18 15	38 34
	4 40	19 8	38 57
27	4 5	19 57	39 15
	3 38	20 51	39 33
29	5 7	23 36	40 10
	6 9	24 42	40 37
30	6 5	25 37	40 50
	5 58½	26 34½	41 5
Juli 1	5 36	27 34	41 10
	6 35	28 13	41 25
2	6 32½	29 42	41 3
3	7 43	30 53	40 37
5	9 53	32 38½	39 58
	9 20	33 2	39 58
6	9 15	33 10½	39 57
	9 33	33 23	39 48
7	8 58	33 39½	39 44

1775	Abweich	Breite	Länge Greenw.
Juli 8	9° 47' w	34° 18' s	39° 43' w
	10 53½	34 52	39 45
9	10 8	35 11½	39 40
	10 8	35 29	39 0
10	10 33	36 1	38 20
11	12 9	37 10	35 20
12	14 43	38 13½	32 10
13	16 18	38 33	29 15
14	21 19	38 32	28 33
	22 7	Auf Fayal Insel	
19	17 33	39 9	25 50
21	16 17½	39 26	23 36
22	16 58	39 55	22 13
23	17 44	41 12	19 42
24	19 0	42 29	17 45
24	20 39	44 6	15 50
	21 54	45 5	14 35
27	19 41	47 52	10 37
28	19 10½	48 27½	7 58
29	19 26	50 6½	4 0

Am Bord

B) Beobachtungen Bayley's auf der
Adventure.

1772	Abweich	Breite	Länge Greenw.
Juli 18	22° 21' w	46° 33' n	7° 50' w
23	22 14	40 43	11 15
24	24 15	39 30	11 52
Aug. 3	19 33	29 14	17 30
4	18 20	28 28	18 5
5	16 45	27 28	18 30
6	14 9	24 42	19 20
7	13 42	23 41	19 35
8	16 52½	21 48	20 10
	12 58	20 42	20 40
9	16 16	20 0	21 0
18	9 11½	12 48	20 45
19	9 16	10 50	19 40
24	12 2	6 20	14 30
27	12 10	4 9	10 46
28	16 29	3 20	8 39
29	14 50	2 47	6 55
31	16 24	2 4	5 40
Sept. 1	12 48	1 29	6 22
3	14 8	0 49	9 20
4	12 10	0 50	9 36
5	14 29	0 57	9 52

1773	Abweich	Breite	Länge Greenw.	1773	Abweich	Breite	Länge Greenw.	
Sept. 5	14° 32' w	0° 56' n	9° 45' w	März 7	1° 33' n	43° 46' s	142° 12' o	Adven- ture Bay
	15 47	0 40	9 20	9	7 4	43 42	145 25	
6	13 0	0 31	9 17	10	10 34	43 22	147 30	
7	14 56	0 10 s	9 55	15	9 6	43 23	147 30	
8	14 1	0 36	10 27	16	7 45	42 5	148 41	
9	13 51	1 40	11 5	17	7 51	41 3½	147 49	
10	13 1	2 46	11 20	19	6 58	39 15	149 46	
12	9 27	4 22	13 58	20	8 14	39 22	150 40	
14	11 15	6 43	14 37	24	11 45	39 16	157 13	
16	7 55	9 54	15 57	25	11 18	39 26	158 7	
19	4 56½	14 9½	18 42½		10 41	39 54	159 15	
21	4 29	18 22	20 30	26	10 53	40 13	160 14	
25	2 9	23 55	22 50	27	10 13	40 16	161 16	
26	2 30	24 28	22 45	28	11 5	40 19	161 40	
27	1 42	25 17½	22 30		10 55	40 32	162 41	
Oct. 1	3 44	27 28	18 0	30	12 41	41 17	165 16	Cap Fa- rewell Cooks Strafse Admira- lit. Bay Königin Charlottes Sund C. Palli- ser
1773				Apr. 3	12 12	40 18	173 10	
Jan. 6	22 30	60 26	27 30 o		4 15 2	41 2	174 0	
10	26 41	62 14	34 40		5 14 5	40 55	174 1	
11	27 17	63 40	35 40					
	26 14	64 15	37 0	Mai	13 31½	41 6	174 2	
12	26 3	64 12	37 10					
13	31 5	64 4	39 30	Jun. 7	13 1	41 37	174 30	
14	30 5½	63 57	39 35					
16	29 29	65 0	40 3	21	10 34	44 30	196 17	
22	33 15	60 24	47 40	22	10 59	44 32	196 47	
27	30 55	55 5	52 10	27	10 7	42 29	197 55	
Feb. 2	32 28	48 43	58 53	28	10 23	42 40	198 50	
4	31 32	49 37	56 57	29	9 21	42 56	200 9	
5	29 2½	48 32	60 20	Juli 1	9 58	43 6	202 35	
6	28 51½	48 9	61 26	2	9 51	43 9	204 43	
7	28 1	49 7	63 30	6	7 56	41 52	208 35	
12	32 3	51 0	71 30	8	7 57	42 33	212 15	
14	32 15	51 50	76 35	11	6 1½	43 28	217 41	
	35 14	52 0	78 28	12	5 23	43 7	219 31	
18	31 30	52 52	91 48	15	6 24	42 50	220 38	
20	30 11	52 20	99 23	17	5 43	38 4	225 10	
21	29 11	52 8	100 6	18	5 13	37 42	225 30	
23	25 1½	52 16	105 14	19	6 35½	36 30½	225 35	
24	22 22	52 2	107 27	22	5 59	30 46	225 0	
25	20 52½	51 32	111 16		5 43	29 33	224 5	
	23 27	51 21	113 5	26	5 31	28 34	224 15	
27	15 37½	50 34	118 51		6 0	28 0	224 5	
28	11 18	49 30	124 17	29	5 31	27 20	223 54	
März 3	6 26	45 58	130 50	30	5 6	26 57	224 54	
	3 9	45 17	131 25	31	6 23	26 9	225 15	
5	2 5 o	43 46	138 42	Aug. 1	6 7	23 27	226 18	
6	1 36	43 57	141 0					

1773	Abweich	Breite	Länge Greenw.		1774	Abweich	Breite	Länge Greenw.	
Aug.	2	5° 12' 6"	22° 25' s	226° 55' 6"	Jan.	10	7° 30' 6"	58° 12' s	212° 16' 6"
	3	4 29	21 59	227 3		12	8 44	58 45	215 50
	4	4 54	21 14	227 18		19	7 57	59 29	242 15
	5	4 6	20 28	227 57		21	12 1	60 10	247 25
	10	4 45½	17 19	219 5			11 4	59 47	248 15
	12	5 32	17 14	215 28		22	11 49	59 23	249 42
	15	6 9	17 48	210 50		23	11 4	59 19	252 54
	21	5 38½	17 45	210 35		24	12 59	59 37	256 2
		5 0	16 29½	210 27½		28	22 59	61 47	271 50
Sept.	3	6 43	16 45	208 51½		29	24 1½	61 53	276 45
	4	7 0				30	25 13½	61 30½	281 57½
	5	6 24			Feb.	6	19 30½	59 30	313 0½
	6	6 2				9	15 54	57 12	318 48
	7	6 14	16 58	208 32		16	6 24	53 56	332 51
	9	6 0	16 45	208 35		20	2 14	53 21	341 7
	15	6 15	16 45	208 35		21	0 50	53 16	349 17
	18	5 50	17 23	206 40		22	1 27w	53 14	350 7
		6 12	17 36	206 20		24	4 57	52 51	356 7
	19	6 9	17 55	205 5		26	9 25	53 25	2 28
	20	7 7	18 20	204 40			10 4	53 34	3 48
	21	6 53	18 27	204 17	März	1	12 44	53 48	8 21
		6 57	18 36	203 49		3	16 20	52 57	12 10
	26	8 26	20 36	193 37		7	16 51	48 4	14 1
	29	9 21	21 16	186 46		12	19 54½	40 24	15 10
Oct.	2	9 3	21 21½	185 26		13	20 9	39 36½	15 18
	3	10 11	21 4½	185 4		14	20 52	37 2	16 10
	7	10 11	21 9	185 0		16	20 49	34 21	17 32
	8	11 14	22 5	184 57			21 33	33 55½	18 23½
	11	11 19	25 3	181 58	Apr.	18	19 43	32 57	16 25
	12	11 25	26 53	181 1		19	19 29	32 38	16 3
	13	11 39	27 32	180 50		21	18 27	30 33	13 9
		11 28	28 24	180 18		22	18 31	29 45½	13 11½
	14	11 53	29 48	179 50		25	15 37	25 7	8 40
	17	13 41	32 48	180 0		26	15 14	24 2	7 24
		13 17	33 30	180 2		27	15 6	25 38	7 4
	20	13 16	38 54	178 35		29	15 21	21 28	3 38
	21	13 4	39 18	177 58		30	14 41	20 56	2 45
		13 32	39 53	177 16		Mai	2	14 34½	19 34½
	29	14 43	41 48½	175 58			3 14 15	19 30	0 53
Nov.	3	13 21	41 18	176 42			5 13 22	17 58	1 11w
	4	13 12	41 38	175 40			9 12 35	14 33	5 9
							11 10 44	11 0	9 9
	9	13 12	38 21½	178 34			13 10 39½	8 36	11 37
	10	14 20					14 9 37	6 52	13 56
	15	13 28					15 9 5	5 53	15 28
	16	12 46	38 53	178 23			16 9 31	4 17	16 56
	23	14 56	42 44	175 0			17 8 57	2 53	18 44
	24	14 59	43 22	175 13			18 8 36½	1 21	19 40
							19 8 45	0 42	20 10
						</			

Cap.g.H.

1774	Abweich	Breite	Länge Greenw.	
Mai 20	8°42'w	1°19'n	20°41'w	
24	7 16	5 19	22 17	
25	7 27	5 50	22 48	
31	7 28	6 38	25 20	
Juni 1	7 48½	7 4	25 24	
3	6 46½	7 34	26 35	
6	5 4	9 6	28 35	
7	4 41	9 30	29 2	
9	4 0	12 9	31 24	
10	2 55	14 23	33 39	
11	3 19	15 4	34 1	
14	4 57	20 23	36 30	
15	4 51	21 13	36 50	
16	5 17	22 45	37 40	
	5 35	23 28	38 13	
18	6 28	25 35	39 14	
20	8 20	28 14	39 4	
	8 11	28 57	39 20	
24	10 7	34 42	40 29	
Juli 8	22 42	48 19	20 20	

C. Neigungsbeobachtungen.

1772	Neigung	Breite	Länge Greenw.	
Juni	72° 6'n	50°21'n	4°16'w	Drakes I.
1773				
Apr. 17	70° 6's	45°47's	166°10'5	Pickers-
18				gill Hafen, Dusky Bay
Mai	64 42	41 6		Kön. Charlottes S.
Aug. 29	29 43	17 29	210 39	P. & Otah.
Nov. 14	64 21	41 6	174 26	Charlot-
				tes Sund, N. Zeel.
15	62 26	38 21½	178 34	Tolaga B.
1774				
Apr. 9	18 7	9 55½	220 51	Ohittaho
23	29 59	17 29	210 18	Point
Mai 10				Venus, Otaheite
Aug. 8	45 2	19 32½	169 49	Tanna
Oct. 26	64 38	41 6	174 25	Königin
Nov. 4				Charlottes Sund
Dec. 24	66 54	55 22	289 57	Christ-
27				masa Sund, Feuerland
1775				
März 24	45 19	33 55½		Cap G. Hoffn.
Apr. 23				

1779	Neigung	Breite	Länge Greenw.	
März 17	11°25's	15°55's	5°49'w	S. Helene
28-30	8 57	7 56	14 31	Ascens.
Juli 14	71 1 n	38 52 n	28 33	Fayal B.

XXXV. Beobachtungen der Abweichung und Neigung auf Cooks dritter Reise in den Jahren 1776—1780.

1776	Breite	Länge Greenw.	Abweich	Neigung
Juni 24	0°	0°44'6	20°37'w	The Nort
Juli 14	50 8	4 40w	20 18	
17-18	48 44	5 19	23 1	Ushant
22	48 35	5 36	25 4	
	44 17	8 18	22 42	
23	43 55	8 28	22 26	
24	43 46	8 33	23 14½	
25	42 58	9 34	23 14½	
26	40 38	10 7	22 56	
29	33 51	14 32	18 31	
50	33 4	14 53	19 3½	
	32 4	15 4	18 24	
31	31 10	15 27	18 19	
Aug. 28	30	16 31	14 41	61°52½'n
				Sta Cruz, Teneriffa
7	23 54	18 36	15 1	
9	20 29	19 56	14 10	
	19 41	20 29	13 23½	
12	15 34	23 10	9 46	
14	13 49	23 23	9 28	
15	12 21	23 34	9 48	
16	11 51	24 2	8 9½	
19	9 47	22 52	9 3	
	8 55	22 39	9 26	
22	6 33	20 51	10 16½	
23	6 29	21 2	11 13	
	6 9	20 59	10 19	
26	4 23	21 12	9 5	
27	3 59	21 40	8 35	
	3 45	22 10	8 57	
28	3 37	22 23	8 56½	
			7 58½	
30	2 40	23 27	7 49	
	2 20	24 35	6 49	
31	2 5	25 12	6 34	
	1 14	26 12	5 34½	
Sept. 1	0 51	27 52	5 15½	
	0 7	27 23	4 42	

1776	Breite	Länge Greenw.	Abweich	Neigung	1776	Breite	Länge Greenw.	Abweich	Neigung
Sept. 2	1° 13' s	28° 50' w	5° 27' w		Oct. 8	55° 50' s	7° 35' w	9° 12' w	
3	1 50	28 49	5 31½		9	55 17	7 5	7 52	
	2 48	29 18	5 20		10	55 39	5 47	11 56	
4	3 37	29 24	2 55		11	54 57	8 40 6	19 26	
	4 20	30 12	2 57			Vorgebirge der		21 58½	Am Bord
5	5 0	30 51	2 3			gaten Hoffnung		22 15	A.d. Lan-
	5 34	31 49	1 21½						de
6	6 0	32 15	0 21½		Dec. 5	54 52	17 36	22 0	
	6 45	33 11	0 35 6		4	56 48	19 5	22 30	
7	7 18	33 30	0 5w		5	58 21	21 25	23 0	
	7 50	33 48	0 11		6	58 59	23 29	23 33	
8	8 43	34 14	0 12½		8	41 4	28 5	24 0	
9	9 1	34 14	0 18 6		10	45 56	32 15	24 45	
	9 35	34 29	0 6½		11	45 37	34 31	25 0	
10	10 4	34 19	0 40w		12	46 20½	37 0	26 0	
	11 1	34 19	0 7 6		13	47 15	40 48	26 15	
11	12 40	34 19	0 42			Pr. Edwards Ins.			
12	13 25	34 18	0 40		15	43 24½	48 17	31 0	
	14 11	34 2	0 17		25	48 41	69 11	27 44	
13	14 47	34 4	1 8			Christmas Hafen,			Kerguelens Land
	15 33	34 16	1 20		29	43 51	69 39	28 0	
14	16 12	34 20	1 23		30	49 8	70 34	28 0	
	16 58	34 55	2 50½						
15	17 40	35 8	2 11		Jan. 1	48 41	76 50	30 39	
	18 30	35 26	2 17			48 37	77 41	30 24	
16	20 8	35 49	4 2½		2	48 22	80 22	30 47	
17	20 46	35 50	2 44		3	48 17	84 14	30 14	
	21 37	35 42	2 45		8	47 37	99 21	25 29	
18	22 17	35 41	2 53½		9	47 56	102 36	24 7½	
20	25 54	34 37	5 52½		10	48 20	106 14	23 37	
	26 47	33 55	5 16½		14	47 19	115 28	17 34	
21	27 14	33 26	5 5½		17	44 18	128 12	9 0	
	27 44	32 35	2 24		18	44 25	131 28	6 0	
22	28 19	31 51	2 2			44 18	132 2	5 34	
23	28 36	31 5	2 52		21	43 24	141 16	1 0 6	
	29 12	29 29	1 10½		22	43 27	141 50	1 24	
24	29 29	29 21	1 30			43 31½	145 1	3 0	
	30 4	28 8	0 51		24	45 47	147 0	5 15	
25	30 25	27 50	0 50		25	45 42½	147 24	10 8	
29	33 43	16 50	5 46w		26	45 21½	147 29	5 15	70° 15½
30	33 48	16 7	4 45½			Adventure Bay,			Van Diemens Land
	33 56	15 28	4 45½		Feb. 2	44 42½	154 51	7 30	
Oct. 2	34 16	12 0	7 1			44 1	160 13	11 0	
	34 16	10 2	7 15		4	45 32	161 59	11 11	
4	34 45	8 58	7 42		5	42 56	165 39	13 0	
	35 37	9 4	6 9		6	42 27	165 23	13 0	
5	35 35½	9 12	6 51		7	41 54	167 29	13 0	
	35 49	8 49	7 40						
8	35 19	7 45	7 55						

1777	Breite	Länge Greenw.	Abweich	Neigung	1777	Breite	Länge Greenw.	Abweich	
Feb. 25	41° 6' s	174° 25'	12° 40' 6	63° 42 s	Dec. 23	0° 45' n	202 38' 6	6° 49' 6	
	Ship Cove, Neu Zeeland a)				24	2 2½	202 33	6 20	
28	41 17½	177 17	12 23½		1773				
März 5	39 51	187 26	13 23		Jan. 1	1 59	202 30	6 22½	11° 54 s
7	39 17	191 13	11 13			Christmafs Insel, Westseite			
10	39 26	195 22	10 49		6	5 48	203 12	5 58	
15	34 6½	198 57	10 18		8	7 45	205 0	6 46	
16	33 40	199 6	10 19		9	8 12	205 12	6 47	
20	29 4	201 15	9 39		18	21 12	200 41	9 51½	42 1 n
22	26 52	201 34	8 37			Oneehow			
26	23 40	201 23	8 25		19	21 51	200 20	10 37	Sand- wicks Inseln
28	22 44	201 12	8 33		28	21 22	199 56	9 27	
Apr. 2	20 0½	201 41	8 21			21 36	199 50	11 13	
9	18 57	199 12	7 26½		Feb. 4	24 31	199 26	11 21	
24	19 25½	189 40	10 33		7	28 56	200 6	12 10	
Juli	21 8	184 55	9 44	39 1½	9	30 59	202 5	13 59	
	Tongataboo b)				14	31 35	205 59	11 4	
	20 15	135 11	8 30	Am Bord	18	36 23	205 59	13 6	
	bey Anamocka				19	37 25½	206 16	16 41	
	Lefooga c)				20	38 7	207 31	17 2	
	Bey Kotoo, zwi- schen Anamocka und Hapae				21	39 6	209 41	17 36	
			8 12½		22	40 18	212 14	18 59	
18	22 7	185 10	10 0		29	43 17	222 16	20 33	
19	22 26½	186 9½	8 42		März 1	44 49	228 2	20 17	
25	25 45	192 21	8 47		2	44 54	228 14	18 49½	
27	26 52	194 45	7 52		5	43 45	232 45	17 32½	
28	27 36	195 55	8 13		8	44 27½	235 21	17 45	
Ang. 1	27 49	202 11½	7 44		19	44 56	233 58	17 52	
2	27 28	203 50	7 8		23	47 56	234 17	16 41½	
7	25 9	208 58	7 37½		27	47 56	231 24	19 27	
8	23 56	210 17½	7 21		April 4	49 36	233 17½	15 49½	72 32
Dec. 17	29½	210 22½	5 34	29 12	5	Nootka Sund d)			
	Matavai Point, Otaheite				30	53 22½	225 14	21 12	72 25½
16	42½	208 52½	51 3½	28 28	Mai 1	54 43	224 44	24 19	
	Owharre Hafen, Huahine				4	58 22	220 45	24 11	
16	45½	208 25½	6 19	29 5	5	58 40	220 58	26 11	
	Ohamaneno Hafen, Ulieten				6	59 8	220 19	23 10	
9	15 42½	207 41	5 45		7	59 27½	219 7	24 26	
10	14 32	207 34	5 35		9	59 31½	217 0	22 47	
12	13 1	206 20	5 21		11	59 33½	215 21	27 35	
14	11 3	205 54	5 58½		19	60 3	212 12	23 37	
15	9 59	205 23	5 19		21	59 30	210 6	23 42	
16	8 57	205 5	5 7½		Juni 5	58 41	207 44	25 40	
17	7 38½	204 29	4 54		13	56 49	205 40	20 31	
18	6 24	207 19	5 21		17	55 33	200 48	20 22	
20	3 32	203 39	5 29		18	55 25	200 42	22 32	
21	2 2½	203 9	5 44		Juli 8	57 16	200 48	26 13	
22	0 0	203 15	6 30		10	58 19	200 39	22 49	

1773	Breite	Länge Greenw.	Abweich.	Neigung	1779	Breite	Länge Greenw.	Abweich.	Neigung
Juli	12 58° 12' n	200° 33' o	22° 32' o		Juli	7 68° 22' n	192° 18' o	27° 22' o	
	20 59 37½	197 46	22 57			69 12	188 5	29 30	
	Shoal Nefs e)					8 69 25	192 39	21 39	
	28 59 55	190 0	18 40			9 69 11	188 54	29 28	
Aug.	10 65 36	189 15	27 22			11 67 51	189 21	27 32	
	12 66 20½	191 6	30 41			13 69 29	188 10	26 10	
	13 66 32½	192 0	27 15½			17 69 55	195 14	35 37	
	16 69 57	193 41	35 32			18 70 26	196 18	31 20	
	17 70 33	197 35	35 1			19 70 11	197 4	28 59	
	21 69 32	195 48	31 3			25 68 38	190 2	21 48	
	25 69 38	187 30	21 44			31 65 5	189 20	22 52½	
	26 69 36	184 0	23 20		Aug.	1 64 25½	189 45	19 47	
	28 69 17	182 40	25 56			2 64 1	189 57	24 38	
Sept.	6 64 31	197 13	25 45	76 25 n		7 59 35	183 30	18 25	
	17 Norton Sund					11 57 25	172 41	11 34	
	20 63 37	192 12	22 23			12 56 28	171 46	11 11	
Oct.	3 53 59	193 28	19 59			17 53 48	168 19	9 55	
	12 53 5	193 30	19 59½	69 23½		53 49	168 5	10 0	
	Samganoodha f)					22 53 8	160 36	6 18	
	29 54 8		19 59			23 52 46	160 10	6 12	
Nov.	6 42 29	201 27	17 15			24 52 52	158 43½	6 20½	
	8 40 38	202 17	16 5		Oct.	53 0½	158 43½	6 19	65° 5' n
	16 32 47	206 57	11 57			Petropaulowsk			
1779						10 52 38	158 37	6 20½	
März	19 28	204 0	7 49	40 51		11 52 5	158 30	6 5	
	Karakakoa Bay, Owhyhee g)					12 51 0	157 22	5 17	
	18 21 12	195 26	10 4			13 49 49	156 47	4 49	
	19 21 11	194 28	9 10			15 46 31	155 20	5 14	
	20 20 52	193 22	11 30			16 45 27	155 23	4 39	
	21 20 37	192 13	11 26			45 27	155 30	4 30	
	23 19 58	188 22	11 51			17 45 7	153 47	4 54	
	25 19 58	184 12	11 14			22 40 58	148 17	3 0	
	27 19 49½	182 29	12 8			40 59	148 0	2 27	
Apr.	1 21 14	179 31	11 22½			23 40 35	146 45	0 17	
	8 30 39	167 4	9 9			40 35	146 39	0 49	
	9 32 16	166 40	8 30			26 40 5	142 25	0 15	
	15 41 52	161 15	6 30			27 39 16½	143 2	1 13	
	16 42 12½	159 41	6 20			28 38 15	142 6	1 17	
	20 49 48	161 30	9 33½			38 16	142 9	1 20	
Juni	17 52 46	159 11	7 59½			30 36 41	142 3	1 20	
	18 52 39	159 42	8 59		Nov.	1 35 17	141 29	1 44	
	21 56 3	163 20	10 0			4 35 48½	146 33	3 14	
	24 58 19½	167 20	13 11½			5 35 15	147 18	2 58½	
	25 59 8	168 16	13 10			6 35 1	147 28	3 59	
	27 59 52	175 44	13 30			13 25 59	143 27	3 49	
	28 61 56	175 43	17 30			26 0	143 46	3 50	
	61 56	176 2	17 19			14 24 36½	142 9	2 49	
Juli	4 64 33	188 51	26 53			15 24 49	141 15	2 57	
						24 50	140 56	3 30	

1779	Breite	Länge Greenw.	Abweich	Neigung
Nov. 16	25° 7' n	139° 2' 6	1° 49' 1/2	
17	24 45	137 56	2 15	
20	22 5	131 15	1 0 1/2	
21	21 26	129 3	0 1 1/2	
26	21 12	120 12	0 0 1/2	
Dec. 2	22 8	113 45	0 32 w	Macao
	22 9 1/2	113 48 1/2	0 19	21° 1 n
1780				
Jan. 16	16 39	114 5	0 59 1/2	
17	14 39	113 13	1 24 1/2	
	8 40	106 18 1/2	0 14	2 1
	Hafen bey Palo Condore			
31	3 18	104 29	0 30	
	4 4	104 29	0 31 6	
Feb. 1	1 21	105 15	0 26	
3	1 48 s	105 3	0 0	
	6 8	105 36	1 0 w	26 3 s
	Cracatoa Hafen			
	6 36 1/2	105 17 1/2	0 54	28 15
	Princes Insel, Hafen			
29	15 53	94 50	2 47	
März 4	18 25	84 24	3 11	
12	21 6	69 22	8 57	
18	25 9	58 50	19 0	
25	29 39	41 0	21 28	
31	31 20	32 10	26 31	
Apr. 34	20	18 29	22 16	46 47
	Simons Bay, Cap			
Mai 31	12 48	15 40 w		0 0

a) Die Abweichung ist am Bord, die Neigung auf dem Lande beobachtet.

b) Am Bord fand sich die Abweichung 0° 44' 5" 1/2, auf dem Lande mitten auf der Nordseite der Insel 10° 12' 38".

c) Eine der Hapae Insel.

d) Auf dem Lande am Nuka-Sunde fand Cook den 4ten April die Neigung 72° 33' 3" 1/2, die Abweichung Vormittags 15° 57' 43" 1/2, Nachmittags 15° 41' 2"; den 5ten am Bord die Neigung 72° 25' 41" 1/2, die Abweichung Vormittags 19° 50' 49", Nachmittags 19° 38' 46". Cook hält die Abweichung am Bord für die sicherste, da sie mit den übrigen über-

1780	Breite	Länge Greenw.	Abweich	Neigung
------	--------	------------------	---------	---------

einstimmt. Auf dem Lande fand man überdies eine große Verschiedenheit in der Abweichung an nahe bey einander liegenden Orten. Aber diese Lokalsachen scheinen nicht auf die Neigungsnadel gewirkt zu haben.

e) Vormittags 23° 34' 3", Nachmittags 22° 19' 40".

f) Vormittags 20° 17' 2", Nachmittags 19° 41' 27".

g) Auf dem Lande Abweichung 8° 6', Neigung 40° 31' 52"; am Bord Abweichung 7° 32', Neigung 41° 10' 22".

XXXVI. Neigungsbeobachtungen von *Le Gentil* auf dem Kriegsschiffe *le Bon-Conseil* in 1766.

Neigung die Lilie		Breite	Länge Paris	
Nord	Süd			
45° 0' s	47° 0' s	19° 42' s	104° 50' d	
33 0	36 0	10 57	108 5	
30 45	33 15	9 14	108 25	
27 15	30 30	8 17	103 10	
29 0	31 0	7 55	102 0	
29 0	31 0	7 36	101 30	
27 0	28 41	6 58	101 45	
25 0	28 30	6 31	102 35	Sunda St.
24 15	28 30	6 13	102 40	
23 30	27 30	6 3	103 20	
23 45	28 15	5 46	103 35	
22 45	27 30	5 33	103 40	
22 0	27 0	5 2	103 40	28Schwest
19 15	24 30	4 4	103 40	
18 45	23 45	3 8	103 40	
18 15	22 30	3 9	103 40	
18 30	22 15	2 43	103 30	} Straſſe Banca
17 15	21 30	2 21	103 20	
17 30	21 0	2 12	102 50	
17 15	20 45	2 6	102 45	
16 15	19 15	1 38	102 0	
15 30	17 30	0 44	102 50	
12 30	14 30	0 41 n	103 10	
11 30	12 30	1 54	103 35	
7 30	8 45	3 44	104 10	

Neigung die Lilie		Breite	Länge Paris		Neigung die Lilie		Breite	Länge Paris	
Nord	Süd				Nord	Süd			
4° 30' s	4° 45' s	5° 30' n	104° 40' o		1° 7' s	0° 21' s	10° 7' n	81° 0' o	
3 45	2 0	6 35	105 10		0 8 n	1 30 n	10 39	79 15	
4 0	2 15	6 45	105 20		Die Längen sind aus der Karte genommen.				
3 45	1 45	7 0	105 20		XXXVIII. Neigungsbeobachtungen des <i>le Gentil</i> am Bord <i>le Dauphin</i> 1770 von Pondichery nach Isle de France.				
0 30	1 15	7 21	105 30						
0 15	0 0	8 0							
1 30 n	1 30 n	8 22	106 10						
2 30	3 15	9 45	107 0						
5 0	8 30	11 32	109 30						
9 0	11 30	13 6	112 30						
11 4	12 18			Manille					
Die Längen sind aus der der Reise beygefügten Karte genommen. Das Neigungsinstrument war das nämliche, womit Hr. Abbé de la Caille seine Beobachtungen 1750—1754 gemacht hatte.									
XXXVII. Neigungsbeobachtungen des <i>le Gentil</i> am Bord des portugisischen Schiffes <i>le Saint Antoine</i> 1768 von Manilla nach Madras.									
Neigung die Lilie		Breite	Länge Paris		Neigung die Lilie		Breite	Länge Paris	
Nord	Süd				Nord	Süd			
8° 30' s	7° 30' s	4° 6' n	104° 28' o		9° 0' n	10° 0' n	14° 0' n	80° 15' o	
11 15	12 15	2 30	102 42	Pol Aor	8 30	9 15	13 29	82 1	
12 30	13 45	1 7	102 40		4 52	6 22	12 3	82 19	
11 0	13 40	2 12	100 12	Malacca	3 0	4 15	10 40	82 57	
11 5	11 10	2 45	99 15	V. Anker	0 0	1 37	9 38	83 30	
10 37	11 22	3 7	98 15	Daru Ins.	3 30 s	2 15 s	8 8	84 7	
10 0	10 37	3 30	98 15		6 45	6 30	6 8	84 57	
9 41	9 22	3 48	98 10		9 15	10 0	4 28	85 27	
8 52	8 35	4 2	98 5		11 15	12 7	3 24	85 52	
7 52	7 0	4 55	97 48		12 30	12 15	2 24	85 18	
6 45	6 0	5 25	97 37	P. Pinang	13 37	15 0	1 50	86 28	
5 15	4 37	6 9	96 30	P. Lada	15 10	16 30	1 0	86 29	
4 0	2 45	6 51	94 30		17 7	18 37	0 6 s	86 31	
3 30	2 15	7 31	92 50		17 52	21 0	1 14	86 57	
3 15	2 7	7 45	91 38	Nicobr. I.	20 45	24 15	2 47	87 36	
3 0	2 0	8 9	86 30		22 0	25 45	3 55	88 4	
3 0	2 0	8 50	83 30		22 30	27 7	4 24	88 8	
2 0	0 21	10 7	82 0		23 45	27 0	4 26	88 13	
					23 45	27 0	4 25	88 11	
					25 30	27 22	4 40	88 4	
					24 15	27 45	4 52	88 35	
					24 30	28 15	5 7	88 18	
					26 0	29 22	5 38	87 57	
					28 0	30 45	6 47	87 18	
					30 30	32 0	7 35	86 37	
					30 45	33 0	8 1	86 10	
					33 0	34 52	8 52	85 4	
					34 45	36 45	10 7	83 46	
					39 0	39 37	11 42	82 2	
					41 15	43 0	13 19	80 20	
					43 15	44 52	14 13	78 52	
					44 30	45 45	15 0	77 41	
					46 50	47 45	15 58	76 18	
					49 0	50 0	17 15	74 44	

Neigung die Lilie		Breite	Länge Paris	Neigung die Lilie		Breite	Länge Paris
Nord	Süd			Nord	Süd		
49° 30' s	51° 45' s	18° 20' s	72° 52' o	62° 0' n	63° 15' n	29° 54' n	37° 44' w
50 0	53 0	19 14	70 18	62 15	64 15	31 6	37 44
51 0	53 7	19 28	67 27	68 0	69 15	38 15	38 5
52 30	54 40	19 45	61 21	72 30	73 45	39 57	34 2

XXXIX. Tafel der Neigungsbeobachtungen
angestellt am Bord der *Astrée* 1771
im Atlantischen Meere von *Le Gentil*.

Neigung die Lilie		Breite	Länge Paris
Nord	Süd		
25° 0' s	30° 0' s	23° 8' s	5° 42' o
26 30	28 50	22 40	3 10
21 0	25 0	21 8	1 27
19 30	21 30	18 39	0 29 ^w
14 0	15 15	10 21	2 11
10 0	11 15	14 43	4 0
8 45	8 15	13 30	5 27
6 0	3 30	12 18	7 13
4 0	1 0	11 10	8 58
0 15	1 15 ⁿ	10 2	10 32
3 30 ⁿ	6 15	8 50	12 7
Ascension S. W.		44	Lienes.
7 15	7 30	7 57	16 19
9 45	11 45	5 40	17 20
14 0	15 15	4 12	18 52
18 15	18 30	2 30	20 14
23 45	22 15	0 12 ⁿ	21 12
26 15	26 45	1 49	21 46
32 30	30 45	3 36	22 2
32 15	34 15	5 31	22 17
40 30	43 30	10 0	23 58
40 30	42 45	10 14	26 12
43 30	44 30	11 8	27 27
43 15	44 45	12 13	28 21
45 15	47 45	13 12	29 5
49 15	50 55	17 7	32 8
50 45	52 15	18 23	32 44
53 15	54 0	20 1	33 41
58 30	59 0	26 34	37 8
60 45	61 0	28 26	37 57
61 0	62 15	28 58	37 56

XL. Abweichungsbeobachtungen auf einer
Reise 1771 und 1772 von *Mr. Verdun de la Crenne, Chevalier Borda,*
& *Pingré.*

1771	Abweich	Breite	Länge Paris.	
Oct.	20° 10' w	48° 23' n	6° 51' w	Brest
31	16 4	44 5	11 45	
	17 41	43 5	11 47	
Nov. 2	20 21	42 28	12 39	
	21 30	42 23	12 57	
3	21 30	42 28	13 26	
	21 57			
	22 30	42 27	13 25	
7	18 48	38 7	12 15	
12	17 42	36 58	12 11	
13	17 30	36 51	11 25	
15	17 18	36 29	10 6	
17	17 19	35 54	9 48	
18	18 20	36 39	9 30	
19	17 50	36 39	8 55	
	18 0	36 31	8 38	Cadix
Dec. 12	18 29	35 48	10 41	
	18 0	32 38	19 15	Madera
24	15 36	28 25	18 5	
	15 50	28 27	18 35	St. Croix
1772				
Jan. 6	14 35	26 34	17 52	
	16 30	24 39	18 50	
	14 48	24 40	20 21	
	14 0	23 56	20 18	
	11 41	23 32	20 14	
	12 30	22 45	20 15	
13	13 20	20 44	20 25	
	12 50	19 31	20 25	
14	10 40	18 4	20 31	
	12 40	16 36	20 19	
	10 30	14 40	19 45	Gerée

1772	Abweich	Breite	Länge Paris.		1772	Abweich	Breite	Länge Paris.	
Jan. 27	10° 7'w	14° 13'n	22° 37'w	Praya	Juni 12	17° 47'w	46° 28'n	49° 20'w	Patr.- fiord
29	10 38	14 18	23 40			19 20	47 46	47 42	
	10 45	14 54	25 52		13	21 12	49 33	44 8	
Feb. 4	10 40	14 44	26 13			19 19			
5	10 1	14 15	17 17		14	22 44	50 25	41 12	
6	9 1	13 34	31 20			21 25	50 57	42 7	
8	6 20	13 25	37 40			21 35	51 24	41 55	
12	0 42 ^o	14 2	51 32		15	22 8	51 53	41 53	
13	1 48	14 32	57 3		16	22 20	52 7	41 20	
14	2 32	14 28	58 55		19	28 54	56 6	36 38	
14	4 0	14 36	63 29	Ft. Royal Ft. St. Pierre	24	30 15	58 36	34 15	Kopen- hagen
29	4 15	14 44	63 36		50	32 15	65 57	28 3	
					Juli	33 30	65 36	26 3	
Apr. 12	4 30	19 13	66 0	Cap Fran- çais	21	33 29	65 44	27 8	
	4 50	19 19	66 30		22	32 12	64 55	27 27	
13	4 55	19 12	67 20			30 43	63 55	25 17	
	5 0	19 10	68 15		24	28 46	62 46	21 0	
15	5 6	19 47	71 25		25	27 30	62 44	18 24	
16	5 20	20 17	74 10		27	24 30	61 30	14 40	
	5 20	19 47	74 38		28	23 50	61 12	9 15	
					31	22 28	61 50	5 12	
Mai 8	3 50	23 48	76 35		Aug. 1	22 11	61 15	1 17	
9	3 45	24 27	75 25		5	21 47	60 44	0 17	
10	3 53	24 48	75 58	S. Pierre bey N.F. Land	5	20 54	59 15	0 20 ^o	
11	4 20	25 58	76 30		10	16 50	57 45	8 2	
	4 0	26 54	76 45			16 0	55 42	10 8	
13	3 33	29 33	77 0		Sept. 8	17 0	57 7	9 4	
15	3 13	30 3	73 45		9	16 30	57 27	9 7	
16	2 45	30 17	73 41		12	19 20	55 24	2 4	
	2 50	30 38	73 12		14	20 10	54 6	0 10 ^w	
20	5 12 ^w	36 51	65 16		Oct. 2	20 20	50 50	1 14	
	5 41	37 23	64 40		4	22 20	49 48	6 35	
21	7 13	38 41	64 2						
22	9 10	40 16	61 33						
	9 53	40 37	61 14						
23	11 9	41 44	60 18						
	11 45	42 29	59 59						
24	13 25	44 15	58 30						
	13 32	45 6	59 5						
25	14 30	45 28	59 32						
	14 50	45 36	59 41						
	19 15	46 46	58 37						
Jun. 7	19 13	46 35	58 10						
8	17 37	45 45	57 33						
9	18 58	45 0	55 23						
10	17 13	44 56	53 6						
11	17 11	45 41	51 2						
	17 24	45 48	50 44						

XLI. Beobachtungen von Capt. Phipps,
1773.

1773	Breite	Länge Greenw.	Abweich	Neigung
Juni 6	52° 17'n	1° 52'o		73° 22'u
14	60 17	0 21 ^w	21° 53'w	73 30
15	60 19	0 13	23 46	75 0
16	60 29	0 31		76 45
17	62 59	0 24 ^o	19 22	
19	66 14	0 30	19 11	
21	63 5	0 21 ^o	23 18	
22	70 45	0 32		77 52

1773	Breite	Länge Greenw.	Abweich	Neigung
Jun. 24	73° 22' n	3° 53' 0		81° 50' n
25	74 5	9 36	17° 9' w	79 30
26	74 25	10 53	7 47	79 22
28	77 36	9 42		81 7
29	77 59	10 20		80 26
30	78 8	11 15	11 33	79 30
Jul. 5	78 36	10 15	14 55	80 45
9	80 29	5 36		81 52
16	79 55	13 0	20 38	82 0
Vogelsang.				
27	80 48	15 45	12 47	
28	80 56	17 6	11 56	
30	80 51	20 18		80 21
Aug. 1	80 57		12 24	
16	79 44	12 45	18 57	80 9
Smircenberg.				
31	68 47	6 28		79 4
Sept. 1	68 44	6 12	24 17	
4	64 59	0 12	22 14	
5	64 0	0 54	25 46	
20	52 31	0 16	20 47	

XLII. Beobachtungen von *Hutchins* auf zwey Reisen von England nach der Hudsons-Bay.

1774	Breite	Länge Greenw.	Abweich	Neigung
Jun. 9	58° 59' n	3° 50' w		75° 46' n
Stromness, Orkney I.				
Jul. 23	62 3	69 0	45° 0' w	82 42½
27	62 23	71 30	42 50	85 19½
28	62 25	71 50	44 0	82 28½
Aug. 14	56 53	85 22	28 0	82 20½
Sept. 8	51 20	82 30	17 0	80 12½
Moose Fort				
14	52 22	82 30	17 0	79 55
Albany Fort.				
1775				
Feb. 3	15 Beob. Pole 2 M.		79 18	
März 13	Albany F.	16 Beob. Pole umgekehrt	79 24½	
		12 Beob. in freyer Luft	79 28½	

Die Beobachtung d. 9 Juni ist eine Mittelzahl aus zwey Reihen Beobachtungen in einem Zimmer und in freyer Luft, welche gegenseitig gut übereinstimmen. Die Beobachtung den 25 Juli in Hudsons Strasse ist auf dem Eise gemacht. Bei den 4 folgenden Beobachtungen wurden die Pole der Nadel umgekehrt. Die Beobachtung in Albany Fort den 14 Sept. ist unvollständig und ward deshalb im folgenden Jahre wiederholt.

XLIII. Journal auf einer Reise nach Ostindien in dem Schiffe *Grenville*, Capitain *Burnet Abercrombie*, 1775.

1775	Breite	Länge Greenw.	Abweich	Neigung
April 23	49° 45' n	4° 42' w		75° 1
29	49 50	5 35		75 1
30	49 25	6 12		73 4
Mai 1	48 25	6 19		72 6
2	48 43	7 34		72 6
3	48 46	7 41		72 2
4	47 20	8 18		72 1
5	46 12	7 27		71 6
6	44 55	8 38	18 42 w	71 4
7	42 50	10 19		70 3
8	40 9	10 43		68 6
9	38 24	10 42	17 51½	68 2
10	37 33	11 34	19 37	67 6
11	37 0	12 4	20 3	67 1
12	36 9	12 24		66 3
13	35 6	13 16	20 27½	66 3
14	33 30	15 33	19 22	65 1
15	32 24	16 46		64 7
16	31 20	16 41		63 7
17	29 41	16 50		62 7
18	28 33	16 46	18 23	61 6
19	27 16	16 53	16 53	60 4
20	25 45	17 20	16 7	59 4
21	24 3	18 5	15 36	58 4
22	22 25	18 37	15 7½	56 6
23	20 36	19 18	13 37	54 3
24	17 49	19 22	13 55½	51 3

	1775	Breite	Länge Greenw.	Abweich	Neigung		1775	Breite	Länge Greenw.	Abweich	Neigung
Mai	25	15° 28' n	18° 41' w	12° 55'	48° 6'	Juli	13	15° 33' s	27° 37' w	1° 44' w	6° 2' s
	26	14 22	18 46		46 7		14	16 59	28 45	1 21	8 5
	27	13 48	18 26		45 7		15	18 11	29 39	0 42	10 3
	28	12 46	17 34	13 0	44 3		16	19 1	30 4		12 0
	29	12 12	17 19	12 40½	43 4		17	19 59	30 31		12 0
	30	11 43	17 12	12 36	42 6		18	21 29	31 15	0 16½	13 7
	31	10 40	17 20	12 33	41 5		19	22 8	30 59	0 44	15 3
Jan.	1	10 8	16 50	12 56½	41 0		20	22 20	31 0	0 44	15 6
	2	9 59	16 26	12 53	40 5		21	23 34	30 27	0 54	18 5
	3	9 15	16 9	12 52½	38 6		22	24 39	29 33	0 16w	20 7
	4	9 10	15 58		38 3		23	25 48	29 47	0 8 ½	22 2
	5	8 40	14 43		37 7		24	27 18	30 24	1 8	24 5
	6	8 20	15 53	13 33	36 4		25	28 30	30 50	1 57	27 3
	7	8 15	16 16	12 28	36 6		26	29 35	31 29	1 52	28 4
	8	8 15	15 49		36 6		27	30 22	31 37	3 7	29 1
	9	8 8	15 46		36 5		28	30 37	31 8	2 30½	29 1
	10	7 43	15 51		35 6		29	31 33	30 2	2 10	30 3
	11	7 14	14 53		35 6		30	32 8	27 10	1 52	32 5
	12	7 5	14 39		34 7		31	33 19	24 3	0 44	
	13	6 37	14 27	13 18	32 1	Aug.	1	33 35	21 22		35 2
	14	6 32	14 6	15 28	32 5		2	34 7	19 28	2 35w	34 6
	15	6 14	13 18	13 32	31 5		3	34 25	18 21	3 18	35 6
	16	6 5n	12 59		31 2		5	33 23	13 20		35 6
	17	5 49	12 15		29 6		9	34 11	4 51	8 25½	
	18	5 23	11 54		28 7		10	34 15	2 0		38 6
	19	5 7	11 38	13 40	28 4		11	34 27	0 54 ½	12 43	
	20	4 57	10 56	14 36	28 4		12	34 56	3 34		41 0
	21	4 54	10 38	14 40	28 2		13	34 13	6 3	16 9	
	22	4 39	10 44		27 3		14	34 4	7 45	16 45	45 1
	23	4 32	11 6		27 4		15	34 9	9 24		45 2
	24	4 28	11 37		23 2		16	34 15	11 53	18 5	44 0
	25	4 21	11 11		26 7		17	34 15	14 39	19 47½	45 0
	26	4 16	9 26		26 2		18	34 15	17 5	21 12	46 6
	27	3 42	8 45		25 0		19	34 22	18 6		46 5
	28	2 50	9 45	14 26½	24 0		20	34 15		22 31	46 5
	29	1 56	11 29	14 15	23 2		21	False Bay			46 4
	30	1 11	13 48	12 36½	23 2	Sept.	26	36 6	31 50		53 4
Juli	1	1 34	14 17	13 17	23 6		28	34 49	56 26	27 30	58 4
	2	1 10	16 16	12 44	24 2		29	34 31	59 47	27 43	
	3	0 17	18 13	11 37	23 5	Oct.	3	34 11	47 56	26 49	60 0
	4	1 8s	19 29	9 24	21 5		5	34 16	53 35	25 48	
	5	2 21	20 3	8 50	19 3		6	33 57	56 1	24 42	60 6
	6	3 37	21 20	8 45½	18 7		8	33 28	57 55	23 55	62 3
	7	5 17	22 20	7 50½	15 0		9	33 30	59 53	23 53	62 3
	8	7 10	23 20	6 29½	11 0		10	33 20	60 22	21 47½	62 4
	9	8 57	24 11	5 38	7 0		11	33 20	62 21	22 58½	62 4
	10	10 50	24 44	4 0	1 4		12	33 20	63 54	20 58	63 2
	11	12 24	25 43	4 17½	2 2s		13	33 26	65 59	20 30½	63 3
	12	14 6	26 28	2 42½	3 4		14	33 14	67 52	19 35	62 5

1775	Breite	Länge Greenw.	Abweich	Neigung	1775	Breite	Länge Greenw.	Abweich	Neigung
Oct. 15	33°17's	70°24'6"	18°43'w	62° 3s	Nov. 29	9°28'	85°10'		0° 7 s
16	32 38	72 44		62 0					0 5 n
18	31 37	73 31		61 6					0 4
19	31 41	74 27			30	10 55	84 55		3 3
20	31 39	75 38	14 28½	60 4	Dec. 1	11 1	85 15		3 1
21	30 25	76 55		58 7	2	10 50	85 58		1 5
22	28 20	78 10	12 46½	57 3	3	10 53	86 49		2 4
23	26 28	78 29		57 0	4	11 13	87 2	1 36½	4 6
24	25 37	77 39	8 41	57 1	5	12 2	86 47	1 17	6 1
25	25 44	77 45	9 30	47 3	6	12 56	85 44		7 1
30	16 45	79 59	4 4	45 1	7	14 2	83 55		8 1
31	14 45	80 27	3 17	42 1	8	14 17	81 23		8 5
Nov. 1	12 51	80 29		39 7	9	13 37	80 42		5 1
2	11 20	80 22	1 25	36 6					
3	9 18	80 46	0 59	34 0	1775				
4	7 23	80 58	0 5	30 3	Sept. 10	13 7	80 20	Rhede.	5 5
5	5 26	81 17	0 8	27 3		13 8	Fort S. George		4 7
6	3 44	81 22	0 28 6	25 5	28		oder Madras,		5 0
7	2 30	81 43	1 9	23 0	Oct. 3		Haus der Com-		5 0
8	1 11	81 43		21 1			pagnie		
9	0 18	81 3		20 1					
10	0 47n	81 0	0 52	16 4					
11	2 1	81 7		15 7					
12	2 52	80 49		16 3					
13	2 54	80 32		15 4					
14	2 59	80 51		14 5					
15	2 50	81 52		15 6					
16	2 52	82 48		12 2					
17	3 27	83 57		11 7					
18	4 2	84 13		12 6					
19	3 44	85 7		11 5					
20	3 0	86 40		11 7					
21	3 29	87 28		9 0					
22	3 55	88 39		8 0					
23	4 37	88 31		7 4					
24	5 19	88 13	0 53	7 3					
				6 7					
25	6 13	87 7		6 1					
				5 5					
26	6 38	86 36		5 3					
27	6 40	86 3		4 1					
28	8 2	85 40		2 7					
				1 5					
29	9 28	85 10		1 1					

1776	Breite	Länge Greenw.	Abweich	Neigung
14	8°32'n	81°30'6"	° w	4° 5 s
	Trinquemale			
28	8 41	76 54	11 2½	4 3
	Anjenga			
30	9 58	75 4		2 5
31	9 54	74 24	0 58	3 0
Nov. 1	9 57	73 35	1 25	2 6
2	9 59	72 30		2 4
	Scheulpar			
3	9 38	71 18		3 6
4	9 49	70 26	1 30	4 1
5	9 53	69 11	2 3	3 7
6	9 55	67 35		3 7
7	10 43	65 30	4 6	2 3
8	11 57	63 22	4 23	0 3
9	12 45	60 34	5 26	2 1 n
10	12 59	57 21	6 23	3 1
11	13 29	55 12	7 56	4 1
12	13 16	52 55	8 6	4 5
	Socotra			

XLIV. Beobachtungen in der Kriegsschaluppe the Swallow von Capt. John Alex. Panton.

1776	Breite	Länge Greenw.	Abweich	Neigung	1777	Breite	Länge Greenw.	Abweich	Neigung
Nov. 13	13° 28' n	50° 58' o	9° 4' w	5° 5' n	Jan. 4	29° 51' n	32° 12' o	Suez	44° 7' n
14	13 51	49 37	9 35½	7 1	5	29 58	32 15		45 1
15	13 37	48 33	9 11½	7 5	6				44 5
16	12 54	47 4	10 6	5 7	7				44 5
17	12 41	45 25	11 27½	5 7				Pole umgekehrt.	44 0
18	12 38	44 5	11 10	6 7				P. wieder umgek.	44 0
20	13 22	44 10	11 28½	8 3	8				44 0
21	Mocha Rhede		11 2	8 1	9				45 1
	13 20	44 11	Land	8 5					
22	14 24	43 35	11 11	11 5					
	Gebel Zeker								
23	15 29	43 12	13 5	13 3					
	Gebel Tur								
24	16 2	42 49	13 38	14 7					
25	16 24	42 22	13 54	15 7					
26	17 5	41 54	13 47	18 2					
27	18 14	41 0	13 56	20 0					
28	19 36	40 30	13 2	23 5					
29	20 59	39 56	12 55½	26 0					
	Judda								
30	21 43	39 5	12 49	28 7					
Dec. 1	21 56	37 57		30 0	1776	Breite	Länge Greenw.	Abweich	Neigung
2	22 44	38 24		32 0	Juni 12	49° 12' n	9° 25' w	24° 21' w	
3	22 46	38 11		31 2		49 12	9 26	24 39	
5	22 54	37 44		31 6	25	55 25	13 54		75° 0' n
6	24 16	38 29		34 0	Juli 2	58 25	26 10	32 5	
7	24 17	38 21	14 56		3	58 0	30 29	35 13	
8	24 17	38 30		34 2	8	59 53	46 19	41 38	76 59
9	24 16½	38 30	14 1	34 2	12	60 40	47 45	38 40	
10	24 16½	38 30	13 50	34 3		61 4	48 0	40 56	
11	Vor Anker bey			34 2	13	62 4	48 0	48 2	81 0
14	Bareedy			34 4		62 11	48 0		81 30
15	24 19	38 18		34 2	14	62 12	48 15	47 55½	
17	24 25	36 30		34 6		64 55½	52 56½	50 36	81 22½
19	25 4	36 10	11 44½	35 4	21	Musketto Cove		50 36	
20	25 45	36 26	11 35	37 2	30	65 38	59 30		85 45
21	26 9	36 11		37 6	31	65 48	59 10	54 0	
22	26 25	36 1	12 10	38 1	Aug. 12	66 26	56 15	56 54	
23	26 55	35 38	12 52	39 5		66 27	56 15	55 50	
25	27 36			42 0	13	65 58	55 49	47 23	
26	27 47		15 19		19	64 32	53 50		84 32½
	Ras Mahomet								
27	27 58		13 29						
28	28 4			41 2					
29	28 16	V. Anker b. Tor		41 4					
1777									
Jan. 2	29 12	Arab. Küste		45 2					
3	29 35		12 50	45 3					

Die Neigungen auf dieser und der vorhergehenden Reise sind in ganzen und Achtels Graden angegeben.

XLV. Beobachtungen auf dem bewaffneten Briggschiffe *the Lyon* aus England nach Davis-Strasse und Labrador v. Lieut. Rich. Pickersgill.

XLVI. Beobachtungen von Comm. Löwen-
örn auf einer Reise von Kopenhagen
nach West-Indien 1782 — 1785.

A. Abweichungsbeobachtungen.

1782	Abweich	Breite	Länge Paris.		1783	Abweich	Breite	Länge Paris.	
Dec.	2° 15' w	49 29 n	2° 14' w		Mai 7	1° 41' 8"	18° 21' n	57° 50' w	
1783					8	0 46 w	18 15	58 10	
Marz 1	19 52	38 4	11 29	Lissabon	9	0 15 6	18 26	60 25	
Apr. 1	21 20	37 16	12 50		12	1 15	18 15	64 55	
2	20 36	36 50	13 30		23				
3	20 45	35 0	15 30		bis	3 20 6	17 45	67 9	St. Croix
4	19 21	34 10	16 40		Juni 19				
5	18 48	33 30	17 20		Jul. 19				Cap
6	18 42	33 0	18 0		bis	5 32	19 46	74 38	Français
7	18 17	33 0	18 0		Aug. 7				
9	18 22	33 35 1/2	19 16	Funchal	18	6 13	21 25	73 30	
16	13 4	29 0	27 40		19	5 12	21 30	73 25	Türk Ins.
17	10 40	27 43	30 0		21	4 18	23 30	73 20	
18	11 38	26 55	31 30		23	2 44	24 16	72 0	
19	13 25	26 12	32 0		24	3 14	25 15	71 25	
20	9 35	25 30	33 50			3 11	25 45	71 15	
21	5 59	24 0	36 15		25	2 26	26 10	71 5	
22	7 13	23 40	38 5		26	0 48	28 50	71 25	
23	7 3	23 0	39 20		27	1 19	29 7	71 30	
24	6 13	21 50	41 15			1 24	29 20	71 50	
26	5 53	21 35	43 20		30	1 32 w	30 28	71 0	
27	4 32	21 30	45 40		Sept. 5	5 19	33 16	60 15	
30	4 40	19 10	46 0		6	6 56	33 31	59 10	
Mai 1	4 57	19 5	46 5			5 47	33 10	58 50	
2	4 41	19 0	48 0		7	5 49	33 38	58 10	
3	3 36	18 50	50 20		8	8 31	34 2	57 30	
4	1 21	18 52	50 50		9	8 22	34 27	56 35	
5	3 26	18 45	52 10			8 38	34 56	56 25	
6	2 11	18 36	52 40		12	15 23	37 2	53 10	
7	2 56	18 12	53 40		16	14 9	39 49	44 15	
8	1 10	18 20	54 0		17	15 44	39 36	43 0	
9	1 32	18 19	54 40		18	16 12	39 46	40 0	
10	0 19	18 20	54 55		28	25 9	44 2	19 10	
11	0 14 6	18 30	55 50			22 25	44 4	18 50	
12	0 4 w	18 31	56 10		Oct. 1	24 32	45 49	15 30	
					3	24 54	45 48	14 10	
					7	21 8	50 32	2 30	
					8	20 50	50 50	1 30	
						22 22	51 7	1 0	
					9	20 44	51 7	1 0	
					10	21 51	52 36	1 15 8	
					12	21 16	56 25	4 40	
					14—16	19 29	59 6	5 59	Fløkkerø

B. Neigungsbeobachtungen.

Neigung	Breite	Länge Paris	Neigung	Breite	Länge Paris	Neigung	Breite	Länge Paris
74° 0 n	56° 42n	4° 30o	66° 20.1	33° 13n	58° 57w	52° 30n	21° 30.1	73° 30w
73 0	54 48	3 0	65 10	33 8	60 46	56 40	21 27	43 20
70 15	49 28	2 14w	63 0	32 58	18 0	56 50	21 17	42 0
70 0	49 43	8 30	62 30	32 42	18 40	52 0	21 12	73 30
68 0	44 4	10 50	65 50	32 21	62 19	51 20	20 48	74 0
70 40	42 30	28 20	62 15	52 4	19 55	51 10	20 40	73 38
70 30	41 3	30 25	65 0	31 24	66 32	51 10	20 28	74 30
70 20	40 36	31 35	63 30	50 54	68 29	56 0	20 15	43 40
70 10	40 9	34 42	63 10	30 29	70 4	55 0	19 31	44 0
70 0	39 54	44 49	63 0	30 25	71 8	54 0	19 12	45 10
70 10	39 46	39 50	63 0	30 17	72 0	53 40	19 8	46 0
70 0	39 41	36 35	63 0	30 11	72 2	53 0	18 58	48 5
69 50	39 36	42 21	61 40	29 10	71 44	52 30	18 50	50 35
70 0	39 34	46 46	60 20	28 13	71 24	52 0	18 42	52 30
69 10	39 1	50 33	60 30	27 55	29 40	52 0	18 32	56 5
66 30	38 4	11 29	58 30	26 42	71 0	51 50	18 26	60 45
69 10	37 45	51 53	61 0	26 26	31 35	52 0	18 23	53 55
66 0	37 25	12 52	56 20	25 35	71 22	51 50	18 22	57 40
69 0	37 23	52 59	60 30	25 10	33 20	51 30	18 19	59 0
68 30	36 49	55 32	55 40	24 24	72 0	51 0	18 19	66 50
65 0	36 12	13 50	59 0	24 4	35 50	49 20	18 16	67 18
68 0	35 25	56 44	54 30	24 2	72 55	51 40	18 12	54 50
64 30	35 7	15 25	58 30	23 40	37 50	51 10	18 10	64 50
67 30	34 40	56 34	54 0	23 15	73 22	51 10	18 10	65 50
67 0	34 0	57 22	58 15	23 7	39 10	51 20	18 7	62 35
64 0	33 44	17 10	57 30	22 18	40 56	52 0	17 52	64 5
66 50	33 29	58 28	57 30	21 49	41 24	49 15	17 45	67 9

XLVII. Magnetische Beobachtungen des
Comm. Löwenörn von Kopenhagen
nach Island. 1786.

1786	Breite	Länge Kopenh.	Abweich	Neigung
May	55° 43'	0° 58'		71° 30'n
	Rhede von Kopenh.			
5	58 0	4 35w	20° 25'	
	58 15	5 50	21 51	
6	58 30	8 0	26 15	
	58 40	8 45		73 30
7	59 0	10 55	25 51	
	59 0	11 45	25 51	74 0
10	60 4	14 55	26 26	
12	61 13	28 5	32 15	
13	61 30	29 45	34 45	

1786	Breite	Länge Kopenh.	Abweich	Neigung
May 13	61° 40'	29° 15'w		77° 30'n
	61 50	29 50	33° 40w	
14	62 30	32 20		77 30
	62 50	33 15	34 15	
17	64 4	34 27		80 0
	64 9	34 27	35 9	78 30
	Holmens Hafen			
Jun. 28	64 18'n	35 5	37 20	
	64 50	39 15		79 40
Jul. 3	65 3	45 15	45 10	
	65 6	42 15		80 50
8	65 30	38 15	40 6	
16	65 52	36 25	42 41	79 30
	Dyrefjords Halen			
29	64 30	36 25	39 59	

1786	Breite	Länge Kopenh.	Abweich	Neigung
Aug. 6	64° 4' n	34° 27' w	35° 21' w	
7	Havnefjord Hafen	31 52		
13	61 55	37 0	35 59	
25	60 55	6 30	22 36	
25	60 55	5 0	24 28	
	60 53	3 50	23 20	
	60 40	3 10	25 7	
26	60 34	3 10	25 5	

Bey den fünf letzten Beobachtungen muß die Länge wenigstens 4 Grade zu klein seyn, denn die hier angegebenen Orte fallen mitten in dem festen Lande von Norwegen.

XLVIII. Beobachtungen von Comm. Löwenörn, auf einer Reise aus Kopenhagen nach der Straße von Gibraltar, 1791.

1791	Abweich	Breite	Länge Kopenh.
Apr. 13	17° 58' w	55° 43' 1	Rhede v. Kopenh.
16	18 33	56 58	0° 30' w
Mai 5	26 15	50 13	13 5
6	25 23	50 17	15 15
7	25 20	49 56	16 15
	25 27	49 46	17 5
8	26 10	49 10	17 50
9	25 44	47 21	18 55
17	22 0	36 55	15 55
18	22 5	36 54	20 15
	21 37	36 52	20 55
19	21 7	36 46	19 55
Aug. 7	21 58	36 22	19 55
	21 56	36 37	16 15
Sept. 2	23 11	37 29	25 35
3	23 40	37 56	26 15
5	23 7	39 8	24 30
13	24 40	47 52	20 25
	25 2	48 10	20 15
14	25 28	49 20	19 55
	24 50	48 43	19 35

XLIX. Beobachtungen auf einer Reise von Cadix nach der Magellansstraße 1785 und 1786 auf dem Schiffe *Santa Maria de la Cabeza* von D. Antonio de Corduba.

1785	Abweich	Breite	Länge Cadix
Oct. 11	20° 0' w	35° 5' n	1° 26' w
12	19 30	34 14	2 38
16	16 1	28 18	9 29
19	14 36	22 50	12 36
22	12 30	15 37	13 57
25	10 9	10 42	14 1
26	9 52	9 25	14 11
27	10 38	8 26	14 43
28	11 48	8 20	14 43
30	11 12	7 53	14 38
31	11 4	7 15	14 58
Nov. 1	10 48	6 24	14 34
2	9 11	5 34	14 57
3	10 33	4 47	15 22
6	9 42	3 21	16 10
7	9 39	2 48	16 29
9	9 15	0 41	18 46
10	7 5	1 15 s	19 36
13	2 34	7 33	23 12
14	1 52	9 59	23 58
15	1 13	12 13	24 31
16	0 44 s	14 16	25 20
17	1 19	16 44	25 56
18	2 0	19 7	26 59
19	3 9	20 39	28 10
20	3 34	22 46	29 33
21	3 10	23 13	29 18
23	2 50	24 47	28 38
25	6 34	27 55	31 25
28	8 34	32 54	35 54
29	9 23	32 54	35 50
30	10 36	33 11	35 44
Dec. 1	10 39	34 2	37 2
2	12 48	35 35	39 12
3	13 16	36 12	40 50
4	14 23	37 7	42 41
5	15 18	38 44	44 35
6	15 2	38 52	45 33
8	16 18	41 5	49 40
10	17 33	42 5	50 45
11	17 41	42 53	51 48
12	19 5	44 15	52 54

1785	Abweich	Breite	Länge Cadix.
Dec. 13	20° 40' 6"	45° 8s	53° 12' w
15	21 41	47 57	57 10
16	23 2	49 6	59 54
17	24 0	49 55	59 49
18	25 0	50 55	61 3
1786			
März 18	23 12	52 4	61 18
19	23 0	50 56	58 59
20	22 38	49 22	56 42
21	19 36	48 34	55 47
27	14 32	38 57	41 47
28	13 0	37 33	40 13
30	10 33	33 54	35 56
31	9 13	32 10	34 31
Apr. 3	7 45	27 41	32 41
4	5 46	27 21	30 37
6	3 56	25 47	27 14
8	1 27	24 54	25 44
10	0 22	24 19	23 40
11	0 40	23 49	23 5
12	0 38	22 18	23 20
14	1 2w	19 45	25 4
15	1 37	18 28	25 32
18	0 48	14 47	26 50
19	0 44	13 4	26 19
21	1 15	10 17	25 39
22	2 8	8 51	24 53
24	3 20	5 44	23 51
26	3 54	2 40	22 57
27	5 24	1 13	22 18
28	5 8	0 18	22 42
30	5 0	1 25n	22 40
Mai 1	3 51	2 24	23 32
5	3 21	7 57	27 49
6	2 50	9 52	28 58
10	3 51	16 48	32 16
11	5 25	18 17	32 55
12	5 52	19 52	32 20
13	6 13	21 34	33 11
14	6 58	22 58	32 30
15	7 47	24 10	31 48
17	8 37	27 14	30 4
19	10 35	27 50	28 22
24	13 0	36 12	29 11
29	20 30	40 21	24 26
30	21 28	40 7	23 28
Juni 5	21 40	41 45	19 28

Abweich	Breite	Länge Cadix.	Beobachtungsort
24° 8' 6"	49° 53' s	61° 39' w	Cabo de Barreras blancas
23 19	52 19½	62 9½	C. de las Virgenes
21 12			Bahia de Romay
21 27	53 37	64 34	Puerto de la Ham- bre
22 20	53 37½	64 33	Punta de Sta Ana
21 46	53 47	64 34	Puerto de
23 59			Varcancel
24 9	53 42	65 54	Puerto Galan

L. Beobachtungen des D. Antonio de Corduba auf einer zweyten Reise aus Cadix nach der Magellansstrasse 1788 und 1789 auf den Paquetböten Santa Casilda und Santa Eulalia.

1788	Abweich	Breite	Länge Cadix.
Oct. 6	22° 0' w	35° 16' n	1° 47' w
9	19 44	31 22	6 30
11	19 46	28 47	9 40
17	14 23	17 8	13 48
20	12 39	9 36	14 19
31	7 22	2 31	16 26
Nov. 2	6 58	0 58s	18 57
3	5 0	3 44	19 53
5	3 53	8 51	21 7
18	0 4	31 34	38 19
24	9 37½	35 22	41 55
Dec. 2	14 30	39 12	45 56
12	20 3	45 37	52 24

Abweich	Breite	Länge Cadix.	Beobachtungsort
20° 26' 6"	43° 5' s	59° 40'	Isln de los Reyes
21 24	51 10		3½ leagu. von der Küste
22 57			Bahia de S. Grego- rio
23 1	53 49	65 27	Puerto de Solano
23 8			Puerto Galan
22 44	53 10	67 20	Cabo de Lunes
22 40	53 2	67 45	C. de San Ildefonso

LI. Beobachtungen auf einer Reise um
 die Welt 1785—1788 in dem Schiffe
King George, Capt. *George Dixon*.

1785	Abweich	Breite	Länge Greenw.
Oct. 30	9° 20' w	13° 20' n	22° 6' w
Nov. 1	10 16	10 6	22 15
6	11 2	7 14	22 0
9	9 30	5 28	21 40
14	9 26	1 22	22 30
17	5 58	1 27s	27 2
25	2 58	11 28	31 25
Dec. 2	3 38s	23 12	36 20
5	5 25	25 26s	38 40
8	6 15	29 39	42 55
12	11 16	34 36	45 9
16	14 1	38 35	48 49
23	15 35	46 24	53 36
27	19 26	48 35	53 26
1786			
Jan. 25	25 0	52 40	63 39
Feb. 2	25 36	58 9	64 55
6	26 10	60 5	69 35
9	27 14	59 9	73 13
10	28 35	58 2	73 44
18	26 20	55 31	82 30
März 2	17 2	50 16	83 41
14	13 50	42 46	84 43
25	9 17	34 8	90 52
29	6 30	23 2	98 33
31	5 0	25 8	100 51
Apr. 5	3 44	17 32	107 9
14	4 27	8 44	112 54
21	5 0	2 35n	116 30
23	5 15	7 20	118 19
Mai 8	5 50	17 4	129 57
12	6 17	20 3	134 37
30	8 0	20 45	156 41
Juni 14	10 9	23 10	160 45
20	15 10	30 6	160 41
Juli 1	17 20	41 31	152 6
10	19 30	51 24	149 35
Aug. 15	24 30	59 23	149 59
27	28 10	59 0	145 43
Sept. 7	24 0	58 5	137 48
19	24 18	51 56	133 17
29	20 0	49 15	127 35
Oct. 5	19 27	44 6	131 4

1786	Abweich	Breite	Länge Greenw.
Oct. 27	11° 46' s	32° 27' n	145° 27' w
31	9 27	29 5	147 59
1787			
Apr. 5	18 10	46 50	150 20
14	19 34	55 37	146 34
16	19 0	58 9	146 36
Mai 6	29 38	59 28	145 20
11	27 59	57 13	136 26
Juli 1	24 27	54 22	134 0
5	24 28	53 48	133 23
Aug. 16	16 16	41 40	131 0
25	9 18	27 37	140 8
28	8 37	24 4	143 6
29	6 6	23 21	144 6
Sept. 21	8 0	18 23	161 13
24	8 10	13 56	164 2
28	8 43	13 41	171 35
Oct. 5	12 0	13 47	182 23
11	12 10	13 5	192 6
18	8 21	13 22	206 4
21	7 15	14 1	210 32
23	5 34	15 25	216 27
29	1 25	19 2	229 44
31	0 0	19 52	232 0
Nov. 1	1 0w	20 18	233 12
1783			
Feb. 15	2 17	16 33	246 12
23	0 22	5 31	234 56
Apr. 28	19 30	27 0s	305 54
30	21 0	28 9	310 30
Mai 2	24 35	29 17	313 48
15	24 12	36 7	336 21
Juni 2	21 13	30 48	348 18
16	16 2	16 18	3 58

LII. Beobachtungen auf einer Reise um
 die Welt 1785—1788 in dem Schif-
 fe *Queen Charlotte*, Capt. *Nathaniel*
Portlock.

1786	Abweich	Breite	Länge Greenw.
Jan. 24	22° 1' o	52° 7' s	62° 49' w
25	23 7	52 33	63 12
	22 45	57 53	63 39

1786	Abweich	Breite	Länge Greenw.	1786	Abweich	Breite	Länge Greenw.
Feb.	1 24° 0' 0"	58° 8' s	64° 35' w	Aug.	27 28° 10' 0"	59° 0' n	146° 3' w
	6 26 19	60 9	70 13	Sept.	8 24 0	57 33	138 39
	7 26 21	60 8	71 11		19 24 18	51 58	132 39
	9 26 34	59 14	74 5		23 23 0	49 48	127 8
	10 26 48	58 9	75 45		29 22 30	49 12	128 7
	22 22 50	54 4	81 19	Oct.	2 19 0	46 48	131 6
	23 22 53	53 19	81 32		5 19 27	44 6	132 42
März	1 19 47	52 0	84 15		19 11 17	34 26	136 22
	2 17 32	50 22	83 24		27 11 46	32 24	144 12
	3 15 2	48 36	82 32	Nov.	1 12 9	28 14	148 35
	10 12 41	43 33	82 10				
	12 15 7	42 53	83 2	1787			
	16 12 6	40 53	85 36	Apr.	5 18 10	46 52	149 27
	18 10 52	38 6	86 56		16 19 0	58 10	147 18
	19 11 57	36 38	87 55	Aug.	1 27 0	59 3	147 15
	21 10 23	36 17	88 7		26 24 0	54 31	138 48
	23 9 19	34 11	90 0		31 18 0	44 30	137 50
	24 8 14	33 29	90 37	Sept.	5 15 15	38 49	136 49
	26 7 29	31 46	93 23		9 12 45	33 33	136 2
	27 7 10	30 46	94 26		12 11 22	29 51	136 59
	28 6 29	29 20	95 42		17 9 45	25 48	136 12
	29 6 36	28 0	96 44		22 8 0	20 17	143 7
	31 4 32	25 7	98 33	Oct.	8 9 0	21 26	161 36
Apr.	4 4 19	19 17	104 28		14 9 30	13 17	172 22
	7 3 58	17 21	106 40		17 13 59	13 51	178 13
	8 3 50	16 48	107 15		20 13 40	13 46	184 45
	10 4 1	15 2	108 54		24 13 15	13 28	190 34
	12 3 41	12 13	110 5		28 11 74	13 24	199 5
	14 3 42	8 38	111 25		31 10 83	13 29	203 56
	16 3 25	5 15	112 38	Nov.	1 8 12	13 29	207 31
	19 3 28	0 2	115 10		4 7 18	15 12	214 7
	21 3 32	2 40 n	116 9				
Mai	2 2 55	9 45	121 46	1788			
	15 7 21	20 1	140 7	Feb.			
	16 7 34	19 59	142 12	10—14	0 0	18 1	246 35
	18 8 15	19 57	145 50		15 2 17	16 32	245 56
	19 8 17	19 58	147 3		19 1 46	11 40	248 36
	22 8 14	19 19	151 25		21 2 52	8 42	252 17
	30 8 0	20 46	156 43		24 1 59	4 9	254 21
Juni	17 12 0	26 36	161 22	Apr.	15 4 38 w	20 38 s	285 15
	18 13 5	27 48	161 7		21 9 6	23 47	296 30
	19 13 25	28 53	161 9		25 15 17	23 23	302 19
	27 15 48	38 14	155 56				
Juli	1 16 30	41 20	151 18				
	4 17 0	45 3	150 0				
	8 17 40	47 30	147 32				
	15 22 21	57 2	148 32				
	18 23 39	58 29	151 4				
Aug.	15 24 30	59 23	149 59				

LIII. Journal auf dem Schiffe *St. Thomas*, Capt. *Ulrich Lodberg* von Kopenhagen nach Tranquebar und Bengalen 1783 — 1785.

1783	Abweich	Breite	Länge London.
Juli 27	10° 24' w	5° 54' n	20° 10' w
28	10 22	5 18	19 24
Aug. 4	15 23	3 16	17 45
5	15 11½	2 39	18 43
6	14 42	2 19	19 32
7	14 45	2 8	20 25
8	11 49	1 25	21 10
9	11 12	0 30	21 54
11	11 2	0 21	22 2
12	11 11½	1 8s	22 41
13	10 28	1 51	23 2
14	9 47	2 40	23 28
15	9 34	3 28	24 2
16	9 32	4 17	24 25
17	8 54	5 4	24 43
18	8 38	5 41	24 59
19	7 46	6 17	25 13
20	7 11½	7 13	25 34
22	6 7	8 59	26 21
25	4 34½	11 32	28 6
26	4 47	12 33	28 19
27	4 41	13 32	28 27
28	4 45	14 29	28 13
29	4 25½	14 57s	28 10
30	4 25	15 44	27 57
31	4 6	16 14	27 55
Sept. 2	3 50	17 32	27 25
3	3 22	18 7	27 21
4	2 51	18 57	27 22
5	2 41	19 50	27 8
7	3 20	21 18	25 53
9	2 22	22 23	24 17
11	3 32½	22 26	24 15
12	3 45	23 6	24 9
14	3 42	24 23	23 13
15	4 2½	24 59	22 3
16	4 53	25 5	21 15
17	4 26	24 54	20 55
18	4 21½	25 33	21 16
19	4 1½	26 26	21 21
20	3 54	26 58	21 34
21	3 36	27 32	21 16
25	6 32	29 7	15 51

1783	Abweich	Breite	Länge London.
Sept. 28	9° 47' w	30° 9 s	8° 54' w
Oct. 3	13 40	31 57	0 48
4	14 12	32 12	0 32½
6	14 47	31 26	1 22
10	17 18	33 22	5 7
11	18 24	33 35	6 28
14	17 37	35 2	6 8
16	17 0	35 54	6 7
17	17 38	35 50	7 5
18	18 56½	35 24	7 42
21	19 35	33 33	9 58
22	19 2½	33 14	9 51
23	20 14	33 24	9 55
28	22 23	34 3	16 51
Tafelberg O. S. O. 8 M			
1784			
Jan. 31	28 40	36 12	34 25
Feb. 2	28 26	36 40	39 11
4	28 23	36 43	41 34
5	28 23	36 46	42 51
8	27 0	36 47	47 56
9	26 27	36 48	50 1
11	23 54	36 29	53 31
12	24 25	36 20	54 13
16	22 34	35 30	61 21
18	19 19	35 8	62 46
19	21 18	35 8	63 14
26	11 44	31 41	73 22
27	11 3½	31 12	73 26
28	11 54½	30 36	73 31
29	10 10	31 10	73 51
März 1	10 50½	31 18	73 54
2	9 30	31 10	73 58
3	11 0	31 22	74 10
4	11 44	31 37	74 16
5	12 50	31 45	74 21
7	10 57½	31 38	75 23
8	11 44	31 27	75 47
9	9 51½	31 18	76 56
10	9 58	31 3	77 22
11	10 57	30 50	77 35
16	8 6	28 57	79 15
21	6 52	24 5	79 56
24	4 9	20 16	80 52
Mai 15	1 46	13 23	71 55
16	1 2	13 35	72 5
20	2 16½	13 11	73 37
12	2 16	12 54	73 50

1785	Abweich	Breite	Länge London.		1785	Abweich	Breite	Länge London.
Feb. 15	3°10'w	15°16's	81°25'o		Mai 16	8°14'w	0°12's	20°20'w
16	4 26	16 48	79 52		17	8 9½	0 20'n	20 43
17	5 3	18 17	78 9		19	7 47½	2 42	21 19
18	6 4	19 47	76 22		22	6 13	5 0	22 31
24	15 30	24 1	64 22		26	6 7	6 17	24 10
25	16 50	24 32	64 3		27	6 40	6 38	24 26
26	17 55	25 2	63 20		28	5 21	6 51	24 54
27	18 12	25 46	63 3		30	5 6	8 54	26 46
März 5	25 35	30 50	53 3		31	5 4½	9 28	27 39
6	26 35	31 30	50 50		Juni 1	4 1	10 18	28 28
7	26 40	32 13	48 47		2	4 11	11 10	29 16
8	26 42	32 47	47 25		4	3 38	13 5	30 59
9	27 23	33 2	46 39		5	3 20	13 56	31 49
10	26 54	33 39	45 2		6	3 18	14 58	32 29
11	26 41	34 15	42 34		8	3 29	17 35	33 53
12	26 50	34 21	42 41		9	3 26½	19 6	34 20
13	26 48½	34 18	42 35		10	3 42½	20 16	34 39
14	27 15	34 14	40 58		11	4 2	21 11	34 55
15	26 11	34 46	37 52		15	4 53	26 3	36 17
16	25 1	35 14	37 6		16	5 40	27 15	36 17
17	24 21	35 40	35 9		17	5 38	28 1	36 20
18	23 49	35 26	33 47		19	5 32	30 55	36 27
19	24 32	35 22	33 24		-23	12 39	37 2	37 27
20	23 42	35 14	33 8	Nadel C.	27	17 2	40 46	36 39
Apr. 13	21 17½	33 37	17 39		Den 27sten traf man auf eine Brigg aus Liverpool, welche 44° W. L. rechnete.			
14	20 38	32 45	16 47		LIV. Journal gehalten auf dem Fregatschiffe Gen.-Maj. Schimmelmann von Ko- penhagen nach St. Thomas in West- indien von Lieut. H. Kaas. 1784.			
16	18 49	32 28	16 19		1784	Abweich	Breite	Länge Teneriffa
19	19 56	28 54	12 11		Jun. 30	18°50'w	39°29'n	359°53'o
20	19 49	28 8	11 53		Juli 3	16 26	34 46	356 26
21	20 19	27 22	11 10		7	15 30	30 17	350 20
23	18 41	26 22	9 51		8	15 6	28 50	348 17
24	19 15	25 13	8 34		11	13 10	25 59	342 11
25	18 19	23 49	6 39		13	10 10	24 21	338 48
26	17 51	22 46	5 19		14	8 22	23 50	337 36
27	17 20	21 49	4 9		17	6 48	21 54	332 57
29	16 12½	19 9	0 43		18	4 28	21 7	330 56
30	15 41	18 3	0 41w		20	2 0	19 47	326 46
Mai 1	14 55	17 7	1 49		23	0 52o	17 50	320 27
2	14 25½	16 11	2 45		Nov. 10	3 14w	30 4	319 41
3	14 18	15 21	S. Helene Ins.					
4	14 33	14 14	6 47					
6	13 29	12 14	8 28					
7	13 12½	10 52	9 30					
8	12 43½	9 41	10 51					
9	11 39	8 17	12 25					
10	12 35	6 50	13 39					
13	10 52	2 52	17 20					
14	9 52	1 42	18 33					
15	9 20	0 54	19 23					

LV. Journal des la Perouse auf einer Reise um die Welt 1785 — 1788.

A. Beobachtungen am Bord der Boussole.

1785	Breite	Länge Paris.	Abweich	Neigung
Aug.	4 45° 33' n	10° 34' w	21° 14' w	
5	44 15	11 4	21 0	
6	43 23	11 42	22 40	
8	38 59	14 45	22 40	
9	36 52	15 19	18 55	
11	35 2	16 21	19 0	
16	32 31	19 15	16 0	Funchal
17	31 28	19 8	16 0	
19	28 32	18 52	16 3	
30	28 21	18 31	15 52	Teneriffa
31	27 11	18 43	15 38	
Sept.	1 25 37	19 9	15 10	
2	23 56	19 9	15 6	
6	17 34	22 30	12 7	
8	15 17	22 27	8 11	
10	14 12	22 14	8 49	
13	12 9	22 10	7 45	
14	11 2	21 58	10 23	20° 0' n
15	10 22	21 41	10 16	
18	7 37	18 56	12 4	
19	7 3	18 53	12 12	
21	5 21	18 2	11 15	
23	3 41	16 10	12 30	
	☾	16 26		
24	2 54	15 26	13 47	
26	1 39	15 37	13 26	
	☾	15 57		
27	1 17	16 29	13 36	
28	0 50	17 31		18 0
29	0 11	18 33		17 0
30	0 42' s	19 12		17 0
Oct.	1 1 43	19 41	9 50	16 0
2	3 0	20 22	9 59	
3	4 17	21 3	9 19	
4	5 37	24 42	8 10	10 30
5	6 50	22 12	8 43	8 30
6	8 5	23 1	8 44	7 0
7	9 29	23 39	8 44	3 30
8	10 46		5 56	0 0
	10 57	24 9	5 50	
9	12 14	25 1½	5 30	0 13s
10	13 23	25 23	5 14	0 30
11	14 29	25 46½	4 7	2 30
	☾	25 46		

1785	Breite	Länge Paris.	Abweich	Neigung
Oct. 12	15° 46' s	26° 30½	3° 34' w	4° 0' s
	☾	26 32½		
13	17 3	27 14' w	5 14	5 30
14	18 39	28 9	3 1	8 30
15	20 23	28 52	1 46	12 15
16	20 38	30 37	1 1	13 45
17	20 39	31 24	0 57°	
18	20 39	31 19	1 0	15 0
19	21 1	33 7		14 30
21	20 34	35 7	1 42	17 15
22	20 28	36 16	1 54	
23	20 29	37 43		13 30
24	21 27	38 25	3 32	13 45
25	23 26	39 57	4 0	17 0
26	24 11	40 56	4 40	
	☾	41 19		
27	25 3	41 26½	4 55	20 0
	☾	42 1		
28	24 45	41 54	4 55	20 0
29	24 49	42 53		20 30
30	25 32	44 31	6 30	
Nov.	1 26 48	46 41	9 5	
2	27 33	47 53	9 50	
4	27 11	49 19	11 30	
5	26 51	49 49	12 12	29 30
6	27 20	49 56	12 12	
19	27 21	50 0	12 0	30 30
	S. Catharina Ins.			
20	27 27	49 15	11 0	
21	27 59	49 9	10 0	
22	28 52	48 22	11 16	
23	30 50	47 58	9 0	
24	31 34	46 20	7 31	33 0
	☾	47 2		
25	32 34	45 58	7 20	
26	33 36	44 42	7 20	
27	35 3	43 59	8 7	
28	35 24	44 10	7 10	
29	35 44	42 59	8 21	41 0
30	36 27	41 41	8 52	
Dec.	1 37 38	39 29		43 0
3	40 1	36 34		43 30
4	40 49	35 22	7 52	
5	42 31	34 55	7 54	
6	43 48	34 14	8 32	
7	44 34	33 9	6 59	50 0
	☾	34 14½		
10	44 44	35 40	8 27	
13	45 19	35 22	8 33	

1786	Breite	Länge Paris	Abweich	Neigung	1786	Breite	Länge Paris	Abweich	Neigung
Apr. 12	25° 0'	111° 52' w	3° 11'	40° 4'	Mai 29	20° 34' n	158° 25' w	8° 40' 8	28° 0' n
13	23 22	111 47	3 58	38 30	30	Mowee Insel		8 42½	
14	21 47	111 54	3 40	34 0	31	21 15	159 41		30 0
15	20 34	111 52	4 52	33 0	Jun. 1	22 53	160 21		34 0
16	19 4	112 14	4 46	32 0	2	24 49	160 22	8 42	38 0
17	17 30	112 53	4 20	27 0		C	160 17		
18	16 1	113 17	4 52		3	26 29	161 0		38 0
19	14 8	113 26	4 50		4	28 2	161 15	10 27	
20	12 15	113 33	5 5		5	29 9	161 15	11 0	
	C	113 16			6	30 47	160 40	11 15	44 30
21	10 7	113 43	4 25		8	33 54	159 31	11 40	49 30
	C	113 25			10	55 51	158 32		53 30
22	8 19	114 10½		12 30	11	57 2	158 14		51 30
23	6 37	114 40		11 0	13	59 19	157 9		53 30
	C	114 35			14	41 17	156 15		56 30
24	5 26	115 43		7 0	15	45 12	154 54		59 0
25	4 17	116 49	3 35	6 30	16	44 59	153 2		60 0
26	3 21	117 49	3 9	2 45	17	46 52	151 6		61 15
27	2 15	118 26	2 21	2 20	18	48 22	149 42		64 0
28	0 54	118 45	2 6	1 0	19	50 5	148 29	22 50	66 30
29	0 18n	118 0	2 58	0 0	20	51 50	147 27	22 38	67 45
30	1 40½	119 7	1 1	0 20 n		C	148 4		
Mai 1	2 59	119 53		1 0	21	53 17	146 46	24 49	
2	4 6½	120 35		1 50	22	55 41½	145 8	25 30	72 0
3	5 7	121 14	0 44		23	57 26	143 42	27 40	74 0
4	5 49	121 2	1 2	5 0	24	59 22	143 4		74 0
5	6 11	121 11	1 35		26	59 41	142 41	31 14	74 0
6	7 6	121 46		6 0	27	59 18	142 20	32 19	
8	9 25	123 54	3 17	10 0	30	58 54	141 21	32 54	
9	10 44	125 34		13 0	Jul. 1	59 7	140 52	31 22	76 0
10	11 52	127 1	2 28	13 0	2	58 38	140 17	30 54	
11	13 34½	128 19½		21 0	5	58 38	139 46½		74 15
12	14 46	129 38		23 0	24	Port Français			73 30
13	16 21	131 51		28 0	Aug. 1	58 22	139 46	31 0	
14	17 48	132 35		29 0	3	58 12	139 31	30 20	
15	19 11	134 1	4 0		6	57 18	138 32	28 37	
16	19 51	135 50		33 0	7	56 30	137 25	28 20	73 30
17	19 59	137 36		31 0	8	55 41	136 48	28 46	
18	20 3	139 0	6 38		12	54 6	136 4	30 40	
19	20 3½	140 52	6 51	33 0	17	53 12	136 36	27 54	
	C	140 48			18	52 35	134 1	27 56	73 0
21	19 57	144 11	8 20	32 30	19	52 3	134 1	25 38	
	C	144 2			20	51 40	133 33	24 8	
22	20 5	146 24	9 0		21	52 1	132 50	24 5	72 50
23	20 7	148 7	9 18		25	51 47	131 43½	24 31	
24	20 47	150 26		31 30	26	51 1	131 27½		66 45
25	20 58½	152 36		32 30	25	49 58½	130 54	24 10	
26	21 0	154 34	9 20		26	49 16	129 37	22 18	
28	20 50½	157 19		33 0	28	48 37	128 55	19 38	68 30

1786	Breite	Länge Paris	Abweich	Neigung	1786	Breite	Länge Paris	Abweich	Neigung
Aug. 29	48° 39' n	128° 4' w	19° 51' ö	68° 15' n	Oct. 30	26° 20' n	157° 22' w		37° 50' n
Sept. 1	46 39	126 45	18 53		Nov. 1	25 40	158 50	9° 20' ö	
	C	126 42			2	24 39	161 0		36 0
2	45 57	126 50	17 7		4	23 29	164 40	9 1	34 30
5	43 0	126 48	15 0	61 30	Necker Insel				
6	41 27	126 42	15 50		5	23 35	165 40	9 37	34 0
7	40 48½	127 0	15 33		6	23 37	166 47	9 36	
8	39 54	127 7½	14 24		7	23 33	167 49	8 57	
10	38 15	126 44		57 0	9	21 31	171 29	8 38	
11	37 2	126 14		56 45	12	21 13	175 58	8 47	
12	36 56½	124 52		57 0		C	177 31		
14	36 51	123 46	12 55	57 30	13	21 8	177 13	9 30	
		124 34			14	20 47	176 50	10 6	
15	Monterrey		11 57		15	20 31	177 15		
24	36 38	123 46	11 24			C	178 50½		
	C	123 42			16	20 13	179 60	12 9	
26	36 41	124 23	12 59		18	19 54	178 35	12 12	
	C	123 24			19	19 28	178 0	13 0	
27	35 44	125 7		51 50	20	19 36	176 56	12 14	
29	32 44	137 49		50 30	21	19 57	176 4	11 27	
	C	128 39			22	20 8	175 11	12 14	
30	30 58	129 53	9 19		23	19 30	174 11	11 52	
Oct. 1	29 24	131 33	9 46		24	19 41	172 41	12 30	
2	28 39	133 0	9 30		25	20 39	172 32	12 27	
3	28 10	134 13	9 35		26	20 29½	171 30	13 24	
4	27 54	134 50	8 39	43 30		C	169 51		
5	27 29	135 29	9 14		27	20 44	170 1	12 36	
6	27 35	136 55	10 20			C	168 28		
7	27 55	137 53		42 0	28	20 18	168 9	11 42	
8	28 3	139 10	8 27			C	166 33		
9	28 0	140 31	8 24		29	20 29	166 28	12 12	
10	28 0	142 8	9 13			C	164 40		
11	27 53	143 42		41 30	30	20 26	165 2	10 35	
13	27 51	144 52	8 38	41 0	Dec. 1	20 51	164 25	12 54	
14	27 44	146 1			2	21 34	163 54	12 32	
	C	147 38			4	20 46	161 54	9 59	
15	27 52	148 4	9 24	41 0	5	20 59	159 50	10 44	
16	27 54	147 50	9 28		6	20 58	158 5	11 18	
17	27 49	148 8			8	21 19	155 51	9 14	
	C	149 30			9	20 49	153 36	8 24	
18	27 44	149 19	9 34		10	20 56	151 50	8 0	
19	28 2	148 49	9 40		11	20 46	150 5	7 13	
20	27 37	149 54	8 57	41 0		C	148 21		
22	28 7	150 53	8 57		12	20 28	148 10	5 49	
24	27 46	152 51	10 14			C	146 20		
25	27 27½	153 9		40 30	15	19 43	144 46	6 14	
26	27 24	153 57	10 11		Assumption Ins.				
	C	155 32			17	19 53	142 4	5 33	
28	26 52	157 12	9 18		18	20 2	140 58	4 58	

1786	Breite	Länge Paris.	Abweich	Neigung	1787	Breite	Länge Paris	Abweich	Neigung
Dec. 19	19°49'n	140°28'o	5° 1'o		Jun. 17	44°20'n	133°55'o		55° 0'n
20	19 59	138 55	4 7		27	45 13	134 45	1°42'o	
21	19 56	137 37	3 1			⊖	135 24	Ternay	Bucht
22	19 58	136 19	3 0		28	46 8	135 54	1 10	58 0
25	20 8	134 38	2 11		29	46 51	136 56	1 10	
25	20 34	129 48	1 53		Jul. 5	47 43	137 16		62 5
	⊖	127 43			6	48 0	137 45	2 54	
26	20 23	127 2	0 45		7	48 31	138 41	2 45	63 0
27	21 13	125 4	0 33w		8	48 23	139 8		63 5
	⊖	123 18			10	48 22	139 23	0 46	
28	21 8	122 48	0 41		11	48 4	139 41	1 0	65 3
	⊖	120 50½	Bashés	Ins.		⊖	139 38		
29	21 15	121 43	0 12		12	47 55	139 45	0 47	
	⊖	119 36			13	47 49	140 13	0 47	
30	21 19	120 25	0 23			Baie de Langles			
					14	48 13	139 55		65 5
1787					20	49 26	139 48		64 4
Jan. 1	22 19	115 55	0 30			⊖	140 15	Baie d'Estaing	
Feb. 6	21 59	112 26	0 52		24	51 29	139 37		71 0
9	20 55	113 27	0 15		Aug. 1	51 28	138 33	1 50	
11	18 52	115 41	0 50			Baie de Castries			
15	18 15	117 24	0 36		3	51 19	139 27	1 7	
16	17 54	118 0	0 2		4	50 48	138 36	1 7	
27	14 29	118 51	0 33		7	50 6	138 50	1 8	
März 28	Cavite, bey Manille			11° 5'n	9	48 25	139 12	1 50	
Mai 7	25 55	121 27	0 53o			⊖	139 3	Lamanon Berg	
9	27 43	121 15	1 37		10	46 45	139 24	1 27	
10	28 21	121 45				⊖	138 47		
22	32 59	124 5		45 5	11	45 57	139 39	1 53	C. Crillon
	⊖	124 1			13	45 21	140 22	1 37	C. Aniva
25	34 31	126 21	1 45		14	45 27	141 1	2 11	57 0
26	35 29	127 5		44 0	15	46 9	142 17	3 0	
	⊖	127 1½			16	46 20	143 21		54 0
28	36 41	127 38	1 54	45 30	18	45 57	144 15		58 0
29	37 9	128 26	2 11		19	46 19	145 47	3 32	
	Dagelet Insel				20	46 27	147 42	5 32	
50	38 12	129 9	1 44			Staatenland			
Jun. 2	37 38	131 57	0 36		21	47 10	148 27		57 0
5	37 17	131 56	0 20		22	47 14	148 24	5 4	
5	38 7	133 3		47 0	24	47 22	148 47	5 27	52 5
8	39 20	132 57	0 7		28	47 7	149 26	4 46½	
9	40 4	131 19	0 35w			Marakina Insel			
10	40 49	131 5	0 3	47 3	Sept. 3	49 16	156 21	6 3	
	⊖	130 59			4	50 23	156 50	6 4	
11	41 55	131 21	1 6	48 5		⊖	156 23		
	⊖	131 15			5	50 56	157 31	6 53	
12	42 35	131 49	0 19			⊖	157 15		
13	42 49	132 6	2 33	53 0	Oct. 5	44 42½	158 50		43 0
15	43 53	133 44		55 0	6	45 16	159 36½	10 74	

1787	Breite	Länge Paris	Abweich	Neigung	1788	Breite	Länge Paris	Abweich	Neigung
Oct. 6	(159°39'0			Jan. 11	28° 0'n	169°28'0		46°45
10	40°26'	162 28}	12°23'0	36°30'	12	28 57	167 22		51 34
12	38 45n	163 16	13 12		15	29 26	162 36		49 33
13	38 45	164 18	11 1		16	30 26	160 40	9° 5	
14	38 5	164 14		33 30	17	31 28	158 38	9 20	54 0
16	37 37	167 34	12 42		18	32 17	156 49	10 23	
17	37 28	170 18		28 50	19	32 48	155 22½	10 7	55 30
24	35 45	179 11w	11 50		20	33 17	153 18	9 52	
25	34 56	178 20	12 0		21	34 2	152 4	9 42	
Nov. 2	26 21	175 37	12 8		22	24 9	151 25	11 23	56 32
3	25 13	175 42	12 9		23	33 43	150 5	11 22	
7	17 54	176 2	11 30		B. Beobachtungen am Bord der <i>Astrolabe</i> .				
11	12 56	176 6	11 15		1786	Breite	Länge Paris	Abweich	Neigung
13			10 35		Aug. 13	32°42'n	19°11'w	18°18'w	
14	7 38	175 27		10 30	17	31 25	18 44	17 40	
15			9 7		24	28 27½	18 36½	16 45	
17	3 40	175 9		4 30	26	Teneriffa		16 58	
18	3 9	175 56	8 30		27			14 32	58° 0'n
19	2 4	176 22	9 13		28			14 56	
20	0 54	176 29	9 37		29			16 7	
21	0 34s	176 36	10 6		30			17 5	
22	1 48	176 10	10 44		31	27 6	18 47	19 12	
23	2 47	175 50	9 44		Sept. 1	25 9	19 44	15 35	
25	3 47	174 26		6 0	3	22 11	20 42	14 17	
26	3 52	173 53	9 9		6	17 37	22 24	12 20	
27	4 17	173 41	10 7		7	16 19	22 19	12 31	
Dec. 3	11 35	170 7	9 53		9	14 57	22 19	11 46	
4	12 10	169 58	8 43		10	14 11	22 11	11 30	32 15
5	12 42	170 27	8 55			⊖	22 10		
6	13 19	170 47	8 45		13	12 12	21 57	10 59	
7	14 7	171 27	9 42			⊖	22 5		
8	13 59	172 19	9 31		15	10 8	21 31	10 45	
9	14 13	172 30		18 30	17	8 31	18 49	11 0	
12	14 12	172 49	9 8		18	7 39	18 42	10 58	
13	14 7	172 58	8 27		25	2 20	14 4		9 30
19	14 22	175 47	9 13		26	1 51	15 15	11 31	
21	15 26	176 29	10 53			⊖	15 7		
24	17 12	175 22	11 38		30	0 41s	18 29	9 36	8 15
28	18 25½	176 13		29 22½	Oct. 1	1 40	19 0	9 55	7 0
30	19 55	177 26	11 30		2	2 52	19 41	9 40	6 22
31	21 5	177 39	10 57		3	4 22	20 25	8 40	4 15
1789					4	5 42	20 50	8 32	2 0
Jan. 1	21 39	177 47	11 38	33 0	5	6 51	21 22	7 23	2 0s
2	22 26	177 48	10 50		6	8 11	22 7	8 13	3 15
3	22 36	178 4	10 27	34 0	7	9 34	22 42	6 40	6 45
4	22 20	178 45	10 5			⊖	23 21		
7				37 0					
9	25 51	172 21s		39 0					

1786	Breite	Länge Paris	Abweich	Neigung	1786	Breite	Länge Paris	Abweich	Neigung
Oct. 9	12° 19' s	23° 52' w	5° 49' w	11° 0' s	Jan. 6	44° 53' s	57° 24' w	17° 29' o	
	(24 28			8	45 32	59 26	19 0	
11	14 38	26 9	4 43	15 30		(60 13		
12	15 52	26 14	4 30		10	47 47	61 0	20 3	
	(27 0			11	48 14	61 38	20 24	
13	17 7	27 40	3 30		12	47 58	62 30	20 25	
14	18 52	26 49	2 33	23 0	14	47 52	64 47	20 50	
15	20 28	26 49	1 38		15	48 57	65 51	21 41	
16	20 43	28 53	1 06		16	49 45	66 10	21 58	
17	20 42	29 51	1 23	26 30	17	50 4	67 7	22 11	
18	20 42	29 54	1 50		19	50 16	68 56	23 27	64° 30'
19	21 7	31 30	1 45	28 0	20	50 58	70 29	23 18	
21	20 48	34 0	2 24			(68 34		
23	20 30	35 43	2 16		22	52 22	70 49	22 47	
	(37 36				(69 32		
24	21 26	38 0	4 36		24	54 33	67 58		68 15
27	25 5	39 36	7 6			(66 50		
	(41 44			Feb. 2	58 22	74 22	27 5	69 37
28	24 47	39 34	7 9		4	58 27	76 27	27 11	70 11
	(41 41			9	57 15	84 32		
30	25 25	42 3		36 15	18	42 19	82 41		62 15
Nov. 2	27 39	45 33	9 4		20	40 1	80 3	17 29	59 20
5	27 0		9 55			(78 39		
17	27 18	47 16		39 52½	21	39 5	78 17	15 39	
18	S. Catharina J.			38 0		(77 9		
19				40 15	22	37 51	77 28	15 0	
25	32 37	45 35	10 24			(76 28		
	(45 43			23	36 42	76 31	14 49	
28	35 23	44 20	9 57			(75 45		
30	36 27	42 1	9 31	50 30	24				
Dec. 5	39 56	37 0	8 33		bis			15 20	56 0
8	45 9	33 24	7 41		März 15				
	(35 12			18	36 38	75 58	15 20	
9	44 17	33 11	7 40		20	33 40	79 6	14 0	
	(34 18			23	30 31	85 45	10 40	
12	44 33	35 38	7 46			(85 32		
14	44 0	36 4	8 45		24	29 48	87 28	9 33	
17	44 43	38 48	12 15			(87 8		
19	44 35	41 54	13 0		25	29 12	89 1	9 22	
22	44 50	44 55	13 41			(88 54		
	(44 0			26	28 35	90 37	7 55	
25	42 27	47 9	13 55			(90 24		
	(46 43			27	27 53	92 52	7 56	
27	42 20	48 23	14 8		30	27 8	99 1	7 14	52 56
29	44 46	49 7	15 8		31	26 59	101 1	7 11	53 0
					Apr. 1	27 6	103 3	7 57	
1786					2	27 7	105 14	5 28	
Jan. 3	42 37	54 28	16 44		4	27 10	109 0	5 9	
	(54 31			7	26 57	109 54		52 7

1786	Breite	Länge Paris	Abweich	Neigung	1786	Breite	Länge Paris	Abweich	Neigung
Apr. 11	25° 26's	111° 56' w	5° 54' d		Jun. 21	53° 20' n	147° 5' w	24° 58' 6	
13	25 19	111 54	4 2	54° 4s	22	55 43	145 45	23 25	
16	19 5	112 15	4 38		25	59 29	142 39	31 30	
19	14 12	113 19	4 8		26	59 42	142 43	31 24	
20	12 14	113 30	4 19		27	59 19	142 44	31 0	
	☾	113 9			30	58 54	141 46	25 30	
23	6 40	114 59	3 50			☾	140 57		
	☾	114 31			Jul. 2	58 38	140 16	25 38	
25	4 20	116 54	2 55	35 53	3	58 43	140 58		
26	3 20	118 8	2 4	33 30		☾	139 55		
27	2 15	118 40	2 50		14	Port des			27 0
28	1 0	119 6	3 47		20	Françaia			26 55
29	0 12 n	119 10	3 50	29 19	25				25 47
Mai 1	2 55	120 18	4 28		50				26 43
	☾	119 39			Aug. 1	58 20	140 0	26 50	
3	5 10	121 33	2 40		2	58 19	139 54	26 45	
	☾	121 46			3	57 59	139 52	26 48	
4	5 46	121 25	3 25		5	57 17	138 45	26 34	
6	7 4	122 12	3 14		6	57 20	138 40	25 0	
	☾	122 32			7	56 30	137 29	25 7	
9	10 44	125 57	4 4		17	55 15	136 41	23 39	
12	14 46	130 8	3 53			☾	137 2		
15	19 14	134 46	5 51		18	52 34	136 46	23 16	
16	19 49	136 10	8 17		19	52 7	134 4	22 26	
17	20 1	137 33	8 20		20	51 40	133 41	21 20	
20	19 59	142 58	8 27		21	52 2	133 7	20 58	
	☾	141 50			23	51 48	131 53	19 30	
22	20 5	146 43	8 45		24	51 2	131 40	21 20	
	☾	146 19			25	49 56	130 25	19 47	
23	20 4	148 33		10 11	26	49 22	129 58	19 47	
	☾	148 25			28	48 35	128 58	19 12	
24	20 45	150 40	8 8	5 30	30	48 31	127 54	17 28	
25	20 57	152 52	9 33		Sept. 1	46 37	127 1	16 55	
27	21 0	156 37	9 28			☾	127 1		
28	20 49	157 44	9 15		2	45 55	126 36	16 35	
31	21 15	160 7	8 32			☾	127 5		
Jun. 1	22 55	160 38	9 34		4	44 42	126 58	16 14	
	☾	160 16			5	43 1	127 2	15 26	
2	24 48	160 48	9 27		7	40 48	127 23	15 35	
	☾	160 34			8	39 51	127 26	14 0	
3	26 29	160 23	11 0		13	36 39	124 7	11 47	
	☾	161 22			14	36 55	123 57	11 39	
4	28 3	161 28	10 57			☾	124 31		
	☾	161 20			24	Monterrey			11 57
6	30 47	160 57	11 44		26	36 41	124 13	11 46	
7	32 16	160 16	12 8		29	32 46	128 33	11 43	
8	33 55	160 6	12 40			☾	128 49		
20	51 53	147 50	23 32		Oct. 3	28 12	134 33	9 42	
	☾	147 50			4	27 56	135 20	9 33	

1786	Breite	Länge Paris.	Abweich	Neigung	1786	Breite	Länge Paris.	Abweich	Neigung
Oct. 5	27° 32' n	156° 11' w	9° 0' 6		Dec. 12	⊕	146° 39' w		
6	27 36	157 34	8 45		13	20° 26' n	147 23	6° 17' 6	
9	28 7	141 2	8 46		17	19 57	142 24	3 53	
12	27 59	145 0	8 50		19	19 55	140 45	3 24	
	⊕	145 35			20	19 45	139 24	3 4	
14	27 49	146 38	8 55		21	19 38	137 55	1 38	
	⊕	147 11			22	20 2	136 14	1 11	
15	27 58	148 2	9 1		23	20 15	134 31	0 45	
	⊕	148 36			24	20 44	132 14	0 42	
16	28 3	148 36	9 52	50° 19' n	25	20 35	130 17	0 16	
18	27 48	148 39	9 51			⊕	127 28		
19	28 5	149 1		47 57½	26	20 19	127 30	0 25 w	
21	27 47	149 55	9 38		27	21 15	125 22	0 46	
24	27 25	152 47	9 53			⊕	122 58		
25	27 32	153 32	10 12	47 30	28	21 11	123 7	0 33	
28	26 59	157 8	10 30			⊕	120 18		
30	26 27	157 28	11 4		29	21 15	122 8	0 23	
	⊕	158 44				⊕	119 34		
Nov. 1	25 45	159 28	10 31	43 45	Die mit ⊕ bezeichneten Längen sind durch Mondsabstände, die übrigen nach den Seeuh- ren bestimmt.				
6	23 43	167 13	10 29		LVI. Beobachtungen des Commandeur- Capitain W. de Stockfleth auf dem Dänischen Kriegsschiffe Wagrien auf einer Kreuzung in der Ostsee.				
11	21 10	175 32	12 0		1784	Abweich	Breite	Länge Kopenh.	
	⊕	176 19			Jul. 25	17° 9' w	55° 10' n	2° 20' 6	Bornholm
12	21 18	176 5	11 20		26	16 32	55 20	2 23	
	⊕	176 48			27	14 14	55 26	2 35	
14	20 54	176 55	12 30		28	16 9	55 28	2 40	
	⊕	178 36			29	15 54	55 30		
15	20 36	177 20	12 12		30	15 39½	55 24	3 52	
16	20 17	179 15	12 8		31	17 5	55 16	2 43	
17	20 8	179 26	12 0		Aug. 1	16 47	55 21	2 40	
20	19 38	176 50	12 20			17 1	55 24	2 45	
21	20 3	176 0	11 39		2	16 20	55 26	2 20	Christi- ansøe
24	19 46	173 27	12 8		3	17 8	55 44	4 10	
26	20 53	171 55	12 24		4	17 26	55 27	4 0	
	⊕	169 57				15 41	55 46	4 3	
27	20 44	170 8	11 40		5	15 37	55 55	5 10	Öeland
	⊕	168 31			8	16 58	55 26	4 50	
28	20 20	168 17	11 18		10	17 10	55 30	4 20	
	⊕	166 35				17 21	55 35	4 10	
30	20 30	165 0	11 20		Die Längen sind nach 2 Seeuhren bestimmt.				
Dec. 1	20 55	164 28	10 34						
2	21 39	164 12	9 38						
4	20 47	161 58	10 16						
5	21 3	159 57	10 3						
6	21 3	158 9	8 40						
7	21 27	157 38	8 30						
9	20 52	154 6	7 10						
11	20 53	150 13	7 20						
	⊕	148 47							
12	20 33	148 14	7 21						

LVII. Abweichung der Magnetnadel am Bord des Königl. Schiffes *Sirius* von Capitain John Hunter Esqu. 1787, 1788 und 1789.

Abweich.	Breite	Länge Greenw.	Abweich.	Breite	Länge Greenw.	Abweich.	Breite	Länge Greenw.
1787.			27°45'w	39 54's	29°52'o	10°41'o	53° 6's	199°28'o
20°26'w	42°16'n	11°50'w	28 30	39 55	29 58	11 47	55 3	211 25
20 22	40 10	12 0	28 30	40 9	36 13	10 30	55 12	219 19
18 6	33 31	15 40	30 51	40 4	38 1	7 45	56 23	228 20
18 27	20 43	15 18	30 0	40 10	46 50	8 44	55 14	250 6
15 40	22 55	19 23	29 50	40 52	49 21	14 45	55 24	261 48
12 0	18 13	22 33	32 12	40 20	54 11	17 30	55 54	264 9
11 30	15 51	22 59	29 49	40 54	63 9	20 30	57 17	277 46
10 23	12 15	23 23	30 8	41 0	64 40	22 30	57 7	282 20
10 40	11 35	23 16	28 21	41 1	70 48	25 0	57 18	290 1
7 40	4 30	19 43	25 30	41 1	73 25	24 20	55 38	298 15
5 50	1 4	25 12	25 30	40 18	74 25	20 40	54 41	298 52
5 30	0 0	26 10	23 0	40 59	76 6	22 15	54 6	299 18
5 9	1 44s	26 51	20 30	41 8	86 44	20 23	54 54	299 24
5 6	3 7	27 19	17 50	41 30	97 30	17 50	55 12	303 15
5 0	4 38	27 44	16 30	42 13	103 37	17 30	55 36	304 50
3 44	12 10	28 8	16 30	42 23	106 5	18 42	54 54	307 0
0 16	18 33	30 15	15 0	43 8	113 1	15 30	53 18	315 58
1 40	19 50	31 44	9 0	43 43	127 46	9 30	49 32	325 30
4 40	20 58	33 3	1 11	43 51	133 51	7 30	48 19	328 52
5 12	22 2	34 22	1 0s	44 0	136 34	6 10	47 55	329 57
6 1	22 47	38 16	5 24	43 45	146 13	3 44	47 19	331 27
6 12	Rio Janeiro		5 30	43 56	147 52	2 34	47 8	332 54
4 40	26 12	37 57	6 25	43 51	149 13	0 4	45 32	342 2
2 40	30 38	31 33	7 27	43 11	149 44	1 41w	44 29	343 35
2 20w	31 50	22 32	8 20	42 46	150 8	7 0	42 22	350 22
2 30	32 24	22 52	8 30	42 14	150 30	10 15	42 13	353 50
7 40	33 54	3 10	8 40	41 43	150 33	11 55	41 21	357 5
12 8	35 41	0 41s	9 50	40 27	151 16	14 30	40 19	0 18
16 30	36 20	5 5	10 44	38 25	151 11	16 0	39 19	3 47
16 29	36 52	8 11	10 45	37 47	152 13	18 13	38 9	8 11
17 0	36 6	10 10	9 40	36 19	151 45	18 45	37 3	10 36
19 0	34 43	16 38	11 40	34 44	156 40	22 30	35 29	14 19
21 30	34 20	17 11	8 50	33 50	157 25			
22 23	35 23	14 44	Port Jackson			1789 vom Cap nach Port		
21 3	36 11	13 45	16 54	50 9	169 14	Jakson.		
20 56	37 23	10 49	16 20	50 29	171 5	21 4	36 22	12 39
18 0	37 40	10 23	14 20	51 8	174 5	23 31	39 17	15 55
20 3	38 44	13 44	14 11	50 50	179 26	26 10	40 35	21 38
20 54	39 7	21 29	13 13	51 8	183 21	28 10	41 53	24 10
21 10	38 47	22 20				28 20	41 43	26 47
25 0	38 15	25 59	1788.			28 18	41 46	27 14
26 40	38 10	26 5	13 44	51 37	187 27	29 0	41 57	28 43
27 30	38 39	26 42	10 47	52 24	193 30	29 33	42 47	32 29

Abweich.	Breite	Länge Greenw.	Abweich.	Breite	Länge Greenw.	Abweich.	Breite	Länge Greenw.
30°40'w	43°56's	39°50'o	8°14'o	5°20's	157°50'o	28°50'o	55°6's	30°59'o
32 0	43 10	47 52	6 43	4 56	156 0	28 0	55 7	30 21
32 20	42 55	52 52	4 30	1 15	145 58	27 11	55 15	29 16
32 24	42 56	54 10	4 24	0 12	145 4	28 18	55 33	25 19
31 28	43 0	57 19	4 56	0 2	144 50	27 37	55 54	23 30
23 0	42 50	85 0	4 50	0 3n	144 29	26 0	Total Bay	
23 10	42 47	87 2	4 42	0 25	144 0	23 15	27 33	8 58
20 0	44 18	108 48	4 16	1 33	145 0	22 52	26 16	7 58
16 55	43 40	113 22	4 12	1 46	143 2	22 0	25 23	7 16
16 20	40 41	116 12	3 25	2 1	142 38	21 1	22 44	6 9
15 34	43 46	117 45	2 26	2 54	141 56	19 50	21 36	4 18
14 3	43 49	119 2	2 37	3 10	141 50	19 5	20 26	3 2
10 40	44 45	125 51	2 22	2 18	140 45	16 53	17 14	1 20w
9 58	44 45	126 39	2 14	3 41	138 55	16 30	16 34	2 26
4 0	44 50	132 28	3 28	4 6	139 48	15 12	16 12	4 5
3 50	44 46	133 34	4 17	4 5	139 44	15 30	St. Helena Rhode	
2 10	44 43	137 0	4 3	4 8	140 10	15 0	15 18	5 51
3 30w	41 28	150 10	4 0	4 20	140 14	13 0	15 49	8 4
9 9	41 6	150 49	2 18	10 44	136 30	12 54	7 51	15 1
10 52w	53 24	152 15	1 50	10 59	135 36	11 40	6 6	17 1
			1 15	7 50	126 50	11 15	4 19	18 55
Wachsamheid Transport von			0 42	3 6	118 0	10 55	1 10n	25 1
N. S. Wales nach England.			2 20w	4 10s	117 57	10 6	1 52	23 12
			2 59	6 6	108 36	10 15	4 14	24 16
9 50s	33° 7's	150° 9'o	3 50	20 3	81 20	10 0	5 7	25 8
11 50	22 55	167 15	4 6	20 50	78 7	8 43	5 35	26 39
9 44	21 55	163 16	7 35	21 26	75 54	7 15	12 58	52 55
9 15	10 52	165 30	9 15	22 49	70 30	6 15	14 25	36 50
9 35	9 42	165 0	10 11	23 20	68 55	6 30	15 7	37 21
8 10	7 26	162 9	25 44	28 38	50 11	6 24	15 48	37 31
8 1	6 7	159 55	28 6	34 36	34 50	7 17	24 32	44 58
8 10	5 34	158 58	27 16	35 6	32 21			

LVIII. Capt. Billings Beobachtungen auf einer Reise in den nördlichen Gegenden Russlands, und dem Eismeere. 1787 — 1791.					1787	Abweich.	Breite	Länge Greenw.	
1787					Juli	5	17°12'o	69°28	168°29'o
						21	17 40	69 36	168 54
							17 30	69 16	166 10
					Barinnoi Kamen				
1790					Mai	18	15 10	50 49	173 14
						28	17 7	51 55	187 12
					Juni	18	19 35	53 56	194 20
						20	20	53 58	195 35
						28	27 0	56 49	205 50
							26 0	57 5	205 30
1791									
Mai. 24	7°53'o	65°28'n	153°24'o	Wirchni					
				Kowin-					
				schoi					
28	9 10	67 10	57 10	Serednoi					
				Kovima					
Juni 19	14 14	68 17	163 17½	Nizni					
				Kovima					

1790	Abweich	Breite	Länge Greenw.
Jul. 30	28° 30' 0	60° 16' 0	213° 3' 0
	26 0	59 44	215 43
Aug. 4	27 50	56 53	215 0
6	26 20	55 15	214 15
14	23 12	54 15	201 49
	17 35	50 36	192 44
	5 37	52 49	158 56
	8 27	53 9	161 39
	11 15	55 14	166 53
30	14 4	52 32	172 15
Sept. 9	16 53	52 5	180 22
19	16 53	51 27	181 29
23	19 41	53 4	187 48
1791			
Jul. 8	22 30	54 8	193 17
20	24 16	63 26	

LIX. Beobachtungen ausgezogen aus:
Voyage of Governor Phillip to Botany Bay.

A. The Supply Tender, Lieut. Henry
Lidgbird Ball.

1787	Abweich	Breite	Länge Greenw.
Nov. 28	28° 40' w	39° 38' s	31° 40' 0
Dec. 1	29 43	39 48	39 12
2	30 20	39 49	42 13
9	29 0	41 1	63 2
15	25 15	41 29	80 47
16	23 14	41 41	85 48
28	10 0	42 45	127 50
29	8 3	45 2	131 41
1788			
Jan. 1	2 5	43 49	141 53
2	3 24 0	44 6	144 48
4	6 54	43 33	
5	5 5	45 28	149 16
7	10 0	40 44	149 40
8	10 40	40 4	149 10
Feb. 18	9 33	31 40	159 14
20	9 54	31 26	160 26
22	10 4	30 2	161 25
14	10 0	Lord Howes Insel	
23	10 45	32 52	153 27
24	10 19	34 4	

B. The Alexander Transport, Lieut.
John Shortland.

1788	Abweich	Breite	Länge Greenw.
Jan. 7	9° 24' 0	43° 41' s	149° 22' 0
13	11 2	38 17	151 44
14	12 30	36 36	150 36
Juli 15	8 6	33 27	152 22
21	11 49	28 12	159 52
25	9 55	23 16	161 26
Aug. 3	10 40	8 55	158 14
14	7 0	0 10	154 27
17	6 40	1 14 n	152 44
22	6 9	4 11	149 44
26	6 40	5 54	145 22
Sept. 3	3 38	5 44	137 39
Oct. 1	1 54	4 30	126 20

C. Lady Penrhyn, Capt. Sever.

1788	Abweich	Breite	Länge Greenw.
Mai 11	9° 30' 0	33° 33' s	154° 14' 0
13	10 0	31 54	157 32
14	11 0	31 53	158 23
18	10 0	31 19	159 53
21	10 21	31 23	167 36
23	12 0	30 47	172 29
26	12 8	29 49	176 28
27	11 42	29 45	1 7 0
Juni 6	12 30	32 15	186 16
11	10 44	33 13	197 49
16	10 46	33 27	199 47
23	8 31	31 51	205 33
Jul. 1	7 38	27 52	213 36
4	6 40	24 22	213 37
7	7 44	21 57	211 48
Aug. 2	6 20	14 19	207 39
14	7 21	1 33	159 43
28	11 30	12 8 n	172 37
Sept. 4	10 30	14 21	160 7
30	6 20	15 40	144 21

D. Scarborough Capt. Marshall.

1788	Abweich	Breite	Länge Greenw.
Mai 10	9° 24' 0	36° 26' s	153° 11' 0
12	9 40	35 38	155 42
19	10 14	30 36	161 16
24	10 50	26 12	170 2
26	12 0	22 44	170 43

1783	Abweich	Breite	Länge Greenw.
Jun. 3	10° 44' 0"	12° 22' s	173° 38' 0"
6	10 44	10 56	174 24
7	11 4	9 12	174 24
11	11 36	6 1	174 43
16	11 52	2 30	174 40
22	10 22	4 14 _n	172 38
30	10 30	10 46	168 49
Juli 1	12 14	11 47	168 5
2	11 56	13 22	166 33
5	11 28	17 10	162 17
9	10 10	19 28	158 5
20	7 38	20 21	150 5
27	8 0	16 58	148 51
29	7 14	16 2	146 32
Aug. 13	4 0	14 27	138 18
17	3 14	15 7	131 26
20	2 0	15 28	130 5
29	0 18	18 41	121 16
Sept. 31	1 12	21 5	122 5

E. Charlotte, Capt. Thom. Gilbert.

1788

Mai 26	11° 23' 0"	22° 53' s	171° 56' 0"
Juni 7	10 58	9 13	175 41
8	11 30	8 26	175 36
10	11 30	7 12	174 25
12	11 4	5 44	175 32
Juli 10	9 30	22 2 _n	159 38
18	8 10	21 44	152 17
Aug. 13	3 54	14 28	139 41

LX. Beobachtungen von Lieutenant W.
Bligh in dem Königl. Schiffe the
Bounty. 1788.

1788	Abweich	Breite	Länge Greenw.
Jan. 7	20° 1' w	28° 28' n	16° 18' w
Feb. 18	0 0	20 0 _s	31 15
22	3 06	25 55	36 29
26	7 13	29 38	41 44
März 23	21 23	Cap S. Diego, T. d. Fuego	
Apr. 7	27 9	60 24	75 54
	3 17	39 51	26 11
Mai 10	11 35 _w	35 30	5 21
	24 4	34 11 ₁	18 48 ₁
	22 28	Simons Bay, am Bord	

1788	Abweich	Breite	Länge Greenw.
Juli 15	30° 34' w	36° 28' s	39° 0
	19 30	38 39	77 39
Aug. 13	6 23	44 16	122 7
	1 38 ₀	43 56	133 16
Sept. 3	8 38	43 21	147 33 ₁
	8 29	Adventure Bay, am Bord	
	19 17 0	47 44	179 7
Oct. 3	7 45	40 21	215 0
	19 5 19	24 23	222 17
	25 5 0	17 50	212 24
	5 36	17 53	229 27
			Maiten J.
1789			
Apr. 12	8 14	18 52	200 19
			Wytootackee J.

LXI. Journal auf einer Reise von China
nach der Nordwestküste von Ame-
rica, von John Meares Esqu.

A. Lauf der Felice.

1788	Abweich	Breite	Länge Greenwich geschätzt. beobacht.
Feb. 15	1° 10' 0"	6° 48' n	124° 0' 0"
	2 0	0 26	132 19
	27 1 0	0 56	136 55
März 2	2 30	2 52	136 37
	2 2 30	3 5	137 9
	11 2 18	3 50	142 55
	19 4 0	5 12	147 9
	20 4 0	6 37	146 3
	21 3 26	8 22	146 4
	22 3 12	9 48	145 18
	23 3 6	11 18	144 45
	24 3 10	12 36	143 38
	25 3 50	14 0	142 38
	26 3 36	15 26	142 26
	29 4 24	19 29	140 25
	30 4 24	21 2	139 48
Apr. 6	3 20	27 30	148 37
	8 2 24	28 58	154 19
	9 2 0	29 50	157 4
	12 4 24	33 18	
	15 6 52	36 49	168 48
	17 9 20	38 51	175 10
	19 10 23	40 20	
	20 10 23	40 38	182 9

1791	Abweich	Breite	Länge Paris nach	
			Schätz.	Beobacht.
Feb.	9	2°11'w	10°43's	29°35'w
	10	1 56	12 35	30 24
	11	0 53	14 25	31 6
	12	0 28	16 10	31 46
	13	0 7	17 17	32 29
	15	0 51 ⁶	18 53	33 28
	16	1 1	20 1	34 12
	17	3 21	21 21	34 51
	18	4 0	23 22	36 13
	20	5 14	24 55	37 4
	21	5 56	26 10	38 10
	22	8 16	27 44	39 35
	24	10 27	30 28	42 10
	25	11 0	31 45	43 17
	26	11 12	32 30	43 44
	27	11 45	33 17	44 31
März	1	11 17	33 48	44 6
	2	12 1	34 50	45 18
	3	11 43	35 6	45 29
	4	12 3	36 3	44 40
	7	11 42	36 35	46 39
	8	12 33	36 48	47 13
	9	14 10	38 0	49 47
	10	15 50	38 44	52 9
	11	17 36	40 3	54 0
	12	16 46	40 48	55 1
	15	17 0	40 59	56 18
	16	19 0	41 1	56 24
	18	18 50	43 4	59 38
	21	18 11	42 28	59 46
	22	18 16	42 5	60 54
	23	19 2	43 26	62 1
	25	19 54	43 55	62 19
	26	19 59	45 37	63 45
	27	21 0	47 5	64 30
	29	21 38	49 50	66 46
	30	21 39	51 6	67 27
	31	23 20	53 25	67 20
Apr.	7	26 4	58 15	71 8
	16	23 30	57 46	85 46
	17	15 30	56 27	88 8
	19	16 34	52 33	93 16
	25	11 14	46 8	95 42
	29	10 10	41 30	100 24
	30	7 41	40 20	100 45
Mai	1	7 29	39 59	100 2
	6	7 56	33 14	100 41
	7	8 7	31 40	99 35
	8	8 47	30 25	98 45
				96 44

1791	Abweich	Breite	Länge Paris nach	
			Schätz.	Beobacht.
Mai	9	9°17'o	30° 2's	98°42'w
	11	6 33	29 9	100 34
	12	6 32	28 25	100 35
	14	7 21	25 30	103 2
	16	6 47	25 29	105 27
	17	6 39	25 36	106 25
	18	6 26	25 44	107 15
	19	5 50	25 27	107 24
	20	5 48	24 47	108 9
	21	6 34	24 6	109 26
	22	6 7	23 59	109 53
	23	5 29	23 5	110 30
	24	4 5	21 54	111 37
	25	5 40	21 3	112 47
	26	5 25	20 22	113 2
	27	5 24	19 32	114 10
	28	5 44	19 20	114 22
	29	5 32	18 46	115 26
Juni	2	4 50	17 36	116 22
	4	3 10	14 13	120 2
	5	2 45	13 11	122 21
	6	3 7	12 10	124 33
	7	4 3	11 12	126 47
	8	4 37	10 18	128 39
	9	4 52	9 46	130 34
	10	5 38	9 54	132 30
	11	4 18	9 59	133 20
	12	5 50	9 59	136 1
			Marquesas Inseln	
			Madre de Dios auf	
			Sta Christina	
	18	3 47		
		2 59		
	21	4 32	9 25	142 25
	25	5 32	5 42	143 27
	26	5 6	3 14	143 21
	27	5 7	1 2	143 12
	28	5 4	0 6 ⁿ	143 12
	29	5 20	1 16	143 51
	30	5 8	3 11	144 1
Jul.	3	4 54	7 10	144 38
	4	5 27	7 23	144 31
	5	5 48	8 33	144 23
	7	6 15	11 42	143 41
	8	6 33	12 32	144 50
	10	6 58	14 29	146 44
	12	8 18	18 11	148 17
	13	9 2	20 4	149 12
	14	9 45	22 1	150 13
	15	10 27	24 3	151 18
	18	11 43	28 36	154 41

Marquesas Inseln
Madre de Dios auf
Sta Christina

1791	Abweich	Breite	Länge Paris nach Schatz.	Beobacht.	1791	Abweich	Breite	Länge Paris nach Schatz.	Beobacht.	
Juli	19	12°21'6"	28 40'n	155°46'8"	Oct.	13	8°52'6"	17°22'n	165°10'w	
	20	13 20	28 42	153 54	156° 2	14	8 56	15 48	167 21	
	22	13 26	30 52	152 53	15	9 38	14 45	169 38		
	23		32 10	152 14	154 25	16	10 36	14 16	171 35	
	24	14 45	34 5	151 19	153 52	17	10 26	13 59	173 37	
	25	15 50	35 51	150 19		19	10 56	13 33	177 23	
	26	16 24	37 49	149 47	152 17	20	10 58	13 32	178 48°	
	27	16 50	39 48	149 12		21	11 36	13 32	179 23	
	28	16 54	41 55	148 34		22	12 20	13 36	177 17	
	29	17 24	42 37	148 14		23	12 49	13 40	175 18	
	30	18 13	43 2	148 7		24	11 46	13 44	173 9	
Aug.	5	23 30	55 12	142 20	143 46	25	13 5	13 45	170 33	
	8	24 36	57 12	138 14	139 26½	26	12 27	13 45	167 56	
	11	28 46	57 0		137 59	28	10 52	13 42	163 8	
	21	29 30	57 4	137 59		29	10 10	13 43	160 46	
	22	28 31	54 55	137 16	137 10	30	9 40	13 24	158 36	
Sept.	1	26 50	52 56		155 55	31	8 4	13 29	156 29	
	2	25 16	50 59	135 10		Nov.	1	8 8	13 42	154 42
	4	22 30	49 49	130 59	130 40	2	7 27	14 26	152 38	
	6	22 0	48 59		128 50	4	6 12	14 50	148 15	
	8	21 49	48 46		123 48	5	5 50	15 30	147 29	
	9	20 4	47 45	129 26		6	5 16	16 2	146 29	
	10	18 22	46 16	130 30		7	4 52	16 12	146 3	
	11	18 29	45 8	151 28		8	4 35	17 3	144 17	
	12	17 20	44 0	152 10		10	2 58	18 0	141 59	
	14	16 14	40 58	154 15		11	2 52	18 48	140 0	
	15	15 32	38 45	125 20		12	2 12	19 41	138 8	
	16	14 43	36 58	136 7		13	2 17	21 5	134 57	
	19	11 58	30 58	140 51	159 3	14	1 29	21 19	132 57	
	20	10 45	29 50	141 53		15	0 0	21 54	128 21	
	21	10 12	29 46	145 8	141 33	16	0 0	21 58	126 16	
	22	11 7	29 54	144 4		Dec.	21	0 0	1 30s	105 52
	23	10 15	28 30	145 15	143 47		51	0 49	5 48	105 15
	24	10 8	27 36	146 19						Banca
	25	10 0	26 30	146 51						
	26	9 22	26 7	147 14						
	27	9 54	25 56	147 29		1792				
	28	9 54	24 16	148 9		Jan.	2	0 22	6 3	102 56
	29	8 49	22 37	149 44		3	1 22	5 58	102 52	
	30	8 25	21 2	151 16	149 27	7	0 29w	8 54	100 21	
Oct.	1	8 4	19 41	142 49	150 59	8	0 19°	9 35	98 53	
	2	8 30	19 15	154 39		9	0 48	10 22	97 47	
	3		19 4	156 49	155 7	10	1 0	10 55	96 42	
	4	8 0	19 13		156 54	11	1 3	11 28	95 21	
	8	8 5	19 19	159 42		12	0 40w	11 53	94 25	
	9	8 50	19 45	160 18		13	0 49	12 20	93 14	
	10	9 0	20 26	160 47		14	0 51	13 30	91 8	
	11	8 20	20 10	162 0		15	1 2	14 42	88 52	
	12	8 21	18 53	163 6		16	1 14	15 53	86 50	
						17	1 46	16 52	84 9	
									85 0	

1791	Abweich.	Breite	Länge Paris nach Schätz	Beobacht.	1792	Abweich.	Breite	Länge Paris nach Schätz.	Beobacht.
Jan.	18 2° 26	17° 48' s	81° 67' 6	77° 33' 6	Jul.	8 8° 0' 6	27° 50' n	42° 57' w	
	19 2 34	18 50	79 21			9 9 54	50 5	43 1	
	20 4 56	19 38	77 7			10 9 42	32 23	43 30	46 27
	21 6 12	20 10	75 16			11 12 26	34 15	44 35	
	22 6 28	20 3	73 9			12 13 59	35 59	44 58	
	23 7 11	19 48	71 13			14 14 30	36 24	44 15	
	24 8 7	19 46	69 53			15 15 28	36 7	43 33	
	25 9 0	19 52	68 14			16 15 31	36 3	43 21	
	26 9 53	19 46	66 41			17 15 4	36 16	43 15	
	27 10 18	19 37	65 4	62 24		18 16 40	36 52	41 33	
	28 12 28	20 4	63 0	52 54		19 19 8	38 18	39 56	
Apr.	25 18 20	23 6	51 15			20 21 30	39 20	37 53	
	26 25 0	25 56	48 19			25 24 8	41 46	27 52	
	28 23 11	27 11	44 51	42 44		26 22 17	41 43	25 16	
Mai	1 26 17	29 0	37 25			27 41 13	41 13	22 35	25 32
	2 27 13	29 25	36 4		Aug.	3 21 12	50 8	10 14	
	6 24 34	31 53	32 13			4 22 6	56 5	Gibraltar	
	12 25 11	35 0	24 48	21 49		7 19 23	38 40	Cap S. Antonio	
	15 23 38	35 19	22 41	19 57		9 21 0	40 17	Cap Oropesa	
	18 23 28	35 45	16 49						
	21 21 41	30 6	12 39						
	22 20 24	28 29	10 53						
	25 20 6	25 28	8 30	4 42					
	26 20 14	23 48	7 15						
	28 20 1	22 6	5 55	0 58					
	30 19 17	19 13	3 21 w	1 43 w					
Juni	1 17 46	16 13	0 24						
	2 15 15	15 47	1 13						
	3 15 12	15 49	2 24						
	7 15 4	14 53	8 8						
	9 15 6	13 20	9 26						
	10 14 31	12 21	10 29						
	14 12 36	6 55	16 2						
	16 11 24	4 20	19 57						
	17 11 14	3 8	21 19						
	18 10 58	1 57	22 46						
	19 10 46	0 57	24 2						
	20 9 17	0 38 n	25 19						
	21 8 47	2 34	26 30						
	22 8 2	4 34	27 25						
	23 8 14	6 20	28 3						
	25 8 54	8 15	28 49						
	26 7 8	9 21	30 21						
	30 5 27	14 58	36 21						
Juli	1 6 0	16 37	37 23						
	3 5 50	19 49	40 8						
	5 5 36	23 3	41 40						
	6 6 56	24 30	42 8						
	7 7 35	26 0	42 19						

LXIII. Beobachtungen am Bord der *Espérance* auf der Reise zur Wiederauf-
findung des *la Perouse*, unter Gene-
ral d'Entrecasteaux. 1791 — 1792.

A. Abweichungen.

1791	Breite	Länge Paris	Abweichung Amplit. Azimuth.
Sept. 29	47° 41' n	9° 37' w	22° 36' w
Oct. 2	46 22	10 41	21° 11' w
	3 45 47	10 23	21 39
	6 42 50	13 58	21 16
	8 38 23	16 17	19 59
	10 34 9	17 25	19 28
	12 29 25	18 53	18 56
	13 28 30	18 38	18 9
	25 25 22	19 25	17 38
	26 23 34	20 17	16 38
	27 21 33	21 0	16 44
	28 19 59	21 56	16 50
	30 17 53	22 24	14 48
Nov. 1	14 57	23 20	14 32
	5 9 7	21 6	12 43
	7 9 1	20 54	12 39
	9 7 50	20 12	14 38
	12 6 45	19 46	13 34
	13 6 10	19 49	13 36 1

	1791	Breite	Länge	Abweichung		1792	Breite	Länge	Abweichung	
			Paris	Amplit.	Azimuth.				Amplit.	Azimuth.
Nov.	14	6° 1' n	19° 47' w	15° 59'		Feb.	27	55° 24' s	27° 4' s	28° 12' w
	16	5 33	20 6	13 59			28	35 19	28 23	28 6
	21	4 31	18 38		14° 37'	März	1	35 17	32 59	28 34
	22	4 29	18 56		14 49½		2	34 46	35 44	28 46
	23	3 49	19 42	15 42½	14 26½		3	34 32	38 14	30 37
	24	3 17	20 49	14 36			7	34 41	44 4	27 34
	25	2 58	22 6	14 29			11	36 22	49 26	26 49½
	26	2 6	23 20	12 29	12 17		13	36 44	53 13	26 35
	27	1 20	24 19	11 42	11 33		14	37 17	53 34	26 24
	28	0 31	25 17	11 18	11 23		16	36 54	54 39	24 50
	30	1 55s	27 12	8 46	8 39		19	38 3	59 13	24 59
Dec.	2	3 52	29 4	8 59	7 23		20	38 13	60 18	25 32
	4	6 29	30 43	7 15	7 36		21	38 30	61 55	25 20
	5	7 55	30 58	6 56	6 40		28	37 33	74 24	20 15
	6	9 5	31 19	5 25	5 25		29	37 56	75 2	S. Paul J.
	7	10 34	31 44	5 26½	5 18	Apr.	1	40 42	85 0	16 5
	10	14 14	30 30	3 58	3 48		5	41 34	96 59	18 16
	11	15 43	29 43	4 9	4 5		6	42 5	100 25	19 8
	14	19 0	28 20	5 17	5 35		8	42 15	108 36	13 14
	17	23 48	29 16	4 19	4 7		9	42 19	109 52	14 18
	18	25 21	29 27	1 57	2 37		12	42 53	119 23	8 14
	19	26 35	29 29	2 54	3 34		15	42 5	117 43	
	20	27 29	28 19	3 36	4 19		17	43 50	130 33	1 54
	28	31 16	24 56	5 36½	6 47		18	44 15	136 14	2 9 6
	29	31 33	19 50	6 15	6 56		19	43 33	138 22	1 59½
	31	32 6	15 44	5 54	6 16		20	43 49	142 0	5 57
							45	32½	144 46	7 59½
1792										
Jan,	1	32 20	13 35	5 49	6 7	Mai	14	43 32	144 48	7 39
	2	32 25	9 35	7 57	6 56		27	43 5	145 22	8 27
	3	32 45	9 9		9 59		29	42 38	146 54	7 48
	4	32 50	7 12	10 55	13 35	Jun.	2	35 35	155 38	10 50
	5	32 56	5 59	13 37	13 46		3	34 44	156 12	10 8
	6	32 56	4 17	14 44	15 19		4	35 36	158 4	11 22
	7	32 56	1 11	16 3	15 39		8	29 51	162 52	12 39
	9	32 58	4 36	17 49	17 34		9	28 22	163 13	11 55
	10	33 0	4 46	20 14	19 19		12	25 51	165 13	11 42
	11	32 48	5 18	21 55	20 30		13	24 42	165 29	11 58
	13	32 52	8 54	21 46	22 0		15	23 58	165 18	11 20
	14	33 15	10 44	22 17	22 15		16	23 6	165 13	10 40½
	15	33 36	12 6	22 55	23 19		17	22 50	164 44	10 35
	16	34 3	15 37	24 14	24 19		21	22 7	163 37	10 33
		35 54	16 4	Tafelbay	24 30		24	21 45	162 46	10 54
		35 54	16 4	Capstadt	24 32		25	21 38	162 39	10 0
Feb.	17	34 9	16 9	24 19½	24 12½		26	21 43	162 37	10 7
	20	34 46	17 25	25 14	24 59		27	21 21	162 22	9 46
	22	34 56	20 9	26 19	26 39		29	20 6	161 10	9 7
	23	34 35	22 12	25 42	25 48	Juli	3	17 21	159 57	9 38
	25	34 12	24 18	27 14	27 16		4	16 47	159 33	9 4

1793	Breite	Länge Paris	Abweichung Amplit. Azimuth.	
Juli	5 15 45 ^s	158 52 ^o	9 14 ³	9 4 ⁸
	6 14 28	157 49	8 18	
	9 8 51	154 34	8 34	8 25
	11 7 0	152 32	6 14	
		152 9	Bouka J.	7 30
	15 5 6	152 6	6 44 ¹	4 49
	23 2 22	146 25	6 45	5 25
	29 2 20	145 45	6 6	6 41
	31 1 56	145 0	5 59	6 25
Aug.	2 1 52	142 34	5 12	4 37
	4 1 57	140 59	4 9	5 49
	5 1 18	150 26	3 18	4 9
	6 0 46	157 46	4 20	5 25
	7 0 17	156 38	4 6	5 10
	8 0 3	156 0	4 5	5 9
	9 0 9 ⁿ	155 17	2 54	2 56
	10 0 18 ⁿ	154 38	2 18	2 59
	13 0 5 ^s	153 32	3 5	2 14
	14 0 7 ^s	153 15	2 6	2 37
	15 0 7 ⁿ	152 19	2 25	2 36
	16 0 14 ⁿ	151 58	2 29	2 47
	17 0 9 ^s	151 45	2 7	2 17
	20 0 14 ^s	150 25	1 36	1 19
	21 0 13 ^s	150 12	1 14	1 58
	22 0 29 ^s	129 40	0 49	1 19
	25 0 47	128 57	0 49	0 49
	26 1 43	127 27	0 29	1 28
	27 2 0	127 3	0 26 ^w	0 40 ^w
	28 2 23	127 12	0 46	0 25 ^o
	29 2 29	127 14	0 55	1 29
	30 2 40	127 5	1 10	0 56
Sept.	1 2 47	126 29	1 34	1 24
	2 2 55	126 5	1 9	1 9
	3 3 14	125 55	1 19	
	5 3 49	125 52	0 47	
	6 3 41	126 10		1 14 ¹ ^w
		126 9	Amboin	1 15
Oct.	15 4 20	125 14	0 37 ^w	
	16 5 25	124 36	0 166	
	17 6 12	123 52	0 4	0 19 ^o
	18 7 2	123 35	0 35 ^w	0 39 ^w
	19 7 26	123 24	0 306	0 25 ^o
	20 8 15	123 29	0 59 ^w	0 33 ^w
	21 8 45	122 56	0 26	0 27
	22 9 3	122 54	0 29	0 34
	23 9 18	122 17	1 35	0 24
	24 9 19	121 49	1 35	1 26
	25 9 45	120 39	1 14	1 9
	26 10 6	120 23	1 17	0 30

1793	Breite	Länge Paris.	Abweichung Amplit. Azimuth.	
Oct.	28 10 42 ^s	118 49 ^o	0 53 ^w	0 53 ^w
	30 11 4	117 20	1 25	1 57
	31 11 24	117 7	1 49	1 24
Nov.	1 11 46	116 20	1 34	1 29
	2 12 15	115 23	1 46	1 6
	6 14 58	112 5	1 59	3 0
	8 16 45	110 35	2 52	1 20
	9 17 16	109 16	3 34	3 0
	15 20 43	104 27	3 12	3 18
	17 22 29	101 46	4 38	3 37
	19 24 42	100 15	4 29	
	21 26 24	99 36		6 24
	24 30 4	96 56		7 47
	27 30 48	99 15	8 32	8 9
	28 31 0	99 46	9 37	9 58
	29 31 4	100 27	10 4	9 4
Dec.	1 32 30	103 15	9 39	10 26
	4 34 16	106 59	9 36	10 14
	8 34 49	116 51	7 53	8 18
	9 34 10	118 22	5 47	8 19
	10 34 1	119 27	7 8	6 49
	11 35 55	119 32	6 16	5 47
		Bay Le Grand		
	19 34 16	119 30	5 37	5 59
	20 34 26	119 33	6 4	6 34
	21 34 14	121 1	5 8	5 18
	25 35 41	122 4	4 58	4 5
	26 35 4	122 55	4 18	4 34
	28 32 18	124 52	4 9	2 43
	29 31 59	126 4	3 58	2 59
	31 32 10	127 3	2 58	2 20

1793	Breite	Länge Paris	Abweichung Amplit. Azimuth.		1793	Breite	Länge Paris	Abweichung Amplit. Azimuth.	
Feb.	45°21's	145°12'6	7°30'6		Jul.	14	1° 9's	145°42'6	5°42'6
	Adventure Bay				19	0 44	145 3	4°55'6	4 37
28	43 22	143 40		7 286	21	0 42	145 2	3 58	4 38
März	1 42 57	147 57	6 5		22	0 44	142 54	4 18	3 59
2	42 33	151 1	9 16	9 17	23	0 14	142 26	4 53	4 14
3	42 22	153 14	10 45	12 44	25	0 5n	140 36	4 19	4 8
4	42 11	155 1	11 38	12 38	26	0 12s	139 15	4 18	
7	39 27	161 8	13 8	13 19	29	0 9	238 10	3 5	
10	35 56	166 53	13 19	12 46	31	0 8	157 56	3 58	3 33
11	34 26	168 36	12 49	12 59	Aug.	2	0 6	154 51	2 28
15	32 39	176 26	11 23	10 49	3	0 6	154 50	2 48	2 25
17	30 19	179 49	11 46	10 36	8	0 19n	152 37	1 57	
18	29 35	179 54	11 50	10 45	9	0 9	151 56	2 38	2 50
19	28 19	179 9w	10 57	10 13	14	0 13	129 48	1 49	0 24
23	22 8	176 26	9 48	8 47	15	0 5s	129 34	1 39	
24	21 10	177 20	9 44	9 47	16	0 1u	129 28	0 45	
	21 8	177 30	10 0			0 0's	128 53	1 14	
	Pangaemotou J.					Waygiou J.			
Apr.	10 20 55	177 27	9 14		28	0 4n	129 15	1 8	
11	20 13	179 35		9 17	29	0 7s	128 53	0 44	
15	19 52	169 436	9 47	9 25	30	0 5n	127 24		0 48
16	19 53	167 54	11 26	9 46	31	0 56	127 14	0 34	0 15
17	20 9	165 45	11 16		Sept.	2	2 15	126 29	0 46
19	20 10	161 59	11 19		3	2 49	125 48	0 9w	0 7w
20	20 17		8 34		4	3 18	125 22	0 9	
	20 17	162 16	9 30			3 22	125 1	0 54	
	N. Caledonia					Cayeli auf d. J. Bourou.			
Mai	11 19 50	162 3	9 45	9 15	17	2 49	124 52	1 36	
12	18 54	161 25	8 39	10 13	18	2 52	124 9	0 18	0 19
13	18 31	161 6	10 5	9 25	19	3 28	122 53	0 136	0 196
14	17 39	161 7	9 32	9 45	20	3 29	123 20	0 37	0 22
20	11 16	163 32	9 44	9 24	21	4 15	122 37	0 5w	0 19w
21	10 57	163 40	9 19	9 36	22	4 18	122 3	0 44	0 12
23	10 38	163 21	10 12	9 36	23	4 19	121 59	0 42	
29	9 54	159 8	9 15	8 50	24	4 22	121 8		0 17
Juni	1 10 7	158 9	8 54	8 52	25			0 35	
9	10 8	154 49	8 13	7 49	26				0 6
10	11 30	154 38	8 14	7 36	28	4 59		0 47	0 49
12	11 0	152 15	8 39	8 40	29	4 57		0 26	0 35
20	9 46	149 22	7 8	7 36	30	4 59	120 46	0 47	
22	8 15	149 0	7 37	7 18	Oct.	10	5 28	120 44	0 19
23	8 16	148 17	6 55	6 34	11	5 48	119 59	0 50	1 20
24	8 17	147 23	7 39	6 46	15	6 6	117 25	0 38	1 59
29	7 9	145 52	6 34	6 12	14	6 17	116 3	0 19	1 57
Jul.	1 5 15	146 53	6 43	6 56	15	5 54	114 54	1 3	0 57
3	4 47	147 54	6 15	6 34	16	5 45	113 45	0 56	0 24
7	4 42	149 9	6 23	6 44	17	6 19	112 45	0 52	1 49
8	4 25	149 20	6 45	6 38	18	6 55	111 57	1 19	
9	3 47	149 19	6 34	6 32	20	6 55	111 0	1 54	

1793	Breite	Länge Paris	Abweichung Amplit. Azimuth.	1791	Breite	Länge Greenw.	Abweich.	Neigung
Oct. 21	6° 57	110° 49' 6	1° 27' w	Oct.	55° 51's	118° 14' 6	5° 20' w	64° 54's
22	6 58	110 55	1 22		Georg III Sund, N. H.			
	7 14	110 36	2 31	Nov.	45 46	116 16	14 56	69 43
	Surabaya auf Java				Dusky Bay, N. Z.			
					38 52	192 44	11 56	
				Dec. 22	27 36	215 58	5 40	Oparo J.
					1792			
				Jan.	17 30	210 24	6 12	30 53
					Matavai Bay, Orahete			
				März 8	21 17 n	202 10	7 50	Woahoo
					25 24	45 209 6	11 5	
				Apr. 19	40 5	235 51	15 0	
					Cap Mendocino			
					22 40	52 235 28	16 0	
					23 41	36 235 58	16 0	
					25 45	6 235 42	16 0	C. Blanco
					26 44	42 235 55	18 0	
					27 46	14 236 1	18 0	
					28 47	50 235 49	18 0	
					30 48	19 236 19	18 0	
					Juan de Fuca's Strafe			
				Mai	48 21	257 22	21 30	74 30 n
					Port Discovery			
					29 47	50 257 46	19 36	
					Restoration Point			
				Juni 11	48 56	237 54	19 5	
					48 55	237 53	19 30	73 13
					Birch Bay			
				Juli	30 11	235 21	19 16	
					Desolation Sound			
					15 50	71 234 54	13 30	
					50 25	234 52	19 0	
					20 50	35 232 57	20 45	
					27 50	35 255 19	20 5	
				Aug. 18	51 32	252 5	17 7	
					Safety Cove			
				Sept.	49 34	253 51	18 22	73 56
					Nootka Sound			
				Nov. 20	37 48	257 52	12 48	
					S. Francisco			
				Dec.	36 36	238 26	12 22	63 0
					Monterrey			
					46 19	236 7	20 0	
					47 0	236 7	18 0	
					1795			
				Jan.	15 52	30 239 14	12 0	
					28 21	12 234 39	5 34	

1791	Breite	Länge Paris	Neigung	
Sept.			72° 50' n Paris	
			71 30 Brest	
Oct. 15	28° 30' n	18° 36' w	62 25 S. Cruz	
1792				
Feb.	33 55 s	16 46	47 25 Capstadt	
Mai	45 32	144 46	70 30 Diemens	
			Land	
Oct.	3 42	126 9	3 0 Amboina	
1793				
Jan.	45 35	144 37	71 30 Felsen-	
			bay	
Sept.	5 22	125 1	20 30 Cayeli	
Oct.	7 14	110 36	25 0 Surabaya	

LXIV. Abweichungen und Neigungen der
Magnetnadel beobachtet von Capit.
Georg Vancouver in the Discovery.
1791 — 1795.

1791	Breite	Länge Greenw.	Abweich.	Neigung	
Apr. 16	42° 54' n	12° 31' w	26° 20' w		
Mai 7	28 29	16 16	15 38		Teneriffa
8	27 5	16 52	17 34		
14	17 10	25 3	12 52		Antonio
27	0 0	25 15	2 0		
Juni 12	23 30 s	25 18	4 50		
	35 7	6 30 d	20 16		
	35 22	11 25	22 7		
Jul. 10	34 12	18 22	25 40		48° 30' s
Aug. 17	False Bay, Cap				
26	39 45	37 55	52 59		
Sept. 1	38 19	51 21	52 47		
7	38 15	69 33	25 52		
8	38 45	73 44	23 36		
19	36 45	105 47	14 10		
27	35 8	117 6	6 30		

1793	Breite	Länge Greenw.	Abweich	Neigung	1794	Breite	Länge Greenw.	Abweich	Neigung
Feb. 3	19°53'n	224°19'o	5 16 6		Dec. 9	27°54'n	244°40'o	8° 0' 6	Cerros J.
März	19 28	205 58	7 47	41 24n	12	25 11	247 48	9 0	
	Owhyhee				14	25 12	250 0	7 0	
Apr. 6	30 35	197 26	15 46		18	21 0	254 27	7 30	
	29 42 22	235 42	16 20		19	18 20	255 40	6 0	56°41'a
May 14	45 5	251 0	16 42						
	25 51 27	252 5	18 0		1795				
Jun. 52	1	252 12	19 45		Jan. 6	9 27	263 36	7 30	24 54
	Restoration Cove				11	7 47	266 27	8 0	
	27 55 11	251 5	21 40		17	5 46	270 37	8 15	
	29 55 10	251 26	21 57		25-27	5 35	273 51	7 45	19 45
Juli 55	18	230 53	21 17			Cocos Insel			
	Fishermans Cove				Feb. 2	1 26	268 45	8 0	
Aug. 55	16	250 16 1	25 18	75 54 1	5	0 59	268 27	8 0	7 26
	Observatory Inlet				9	0 44s	267 54	8 0	2 59
Sept. 1	55 38	228 24	28 30			Gallapagos J.			
	Port Steward				11	2 3		7 45	0 50
	21 56 20	226 35	26 27		12			7 50	1 52s
	Port Protection				13	4 15	265 15	9 7	5 45
Nov. 54	24	240 44	10 15	S.Barbara	21	12 45	255 5	4 55	23 25
Dec. 54	42 1	243 7	11 0	59 13	26	19 44	253 45	2 45	35 49
	S. Diego, N. Calif.					März 1	23 24	255 3	4 0
	22 25 23	254 57	7 0		4	26 45	258 44	4 0	
1795					8	28 0	259 32	5 3	
März 25	59 3	198 46	19 42		14	53 13	262 43	4 0	
	40 45	200 17	15 43		18	35 50	273 25 1	9 15	
	30 50 10	205 9	16 29		20	33 55	277 36	10 0	
Apr. 5	56 40	207 7 1	25 30		21	35 56	280 36 1	13 0	
	Trinity Insel					Juan Fernandes			
	11 58 10	209 25	21 57		23	52 55	285 30	13 42	
	16 60 11	208 23	25 46		25	53 1 1	288 29	14 49	44 15
	20 61 10	210 0	29 48			Valparaiso			
Mai 61	17	210 53	29 50		6	55 21	282 5	13 15	
	Turnagain Fl.				9	50 50	280 34	17 0	
	15 59 19	208 41	26 53		20	56 57	293 39	25 0	
	Cap Elisabeth				28	36 45	324 43	6 0	
Jun. 60	16	215 22	28 50	77 8	9	35 45	332 5	0 16	
	Pr. Wilhelms Sound				16	53 43	351 15	11 20w	
Juli 59	59	219 15	30 20		22	52 3	358 25	9 20	
	Elisberg				5	0 0	338 25	9 20	
	25 50 5	221 41	31 26		Sept. 8	51 2n	339 47	22 0	
	60 5	215 46	27 0						
	58 12	225 55	30 0	78 59					
	Crois Sound								
Aug. 2	56 15	225 57 1	25 30						
bis 10	Port Crois Sound								
Nov. 2	40 42	215 50	14 0						

LXV. Beobachtungen von James Colnet in dem Schiffe the Rattler.

1793	Breite	Länge Greenw.	Abweich	Neigung
März 1	35° 55's	54° 21'w	9° 0' 6	
	50 10	58 50	7 26	

1793	Breite	Länge Greenwich.	Abweich	Neigung	1797	Abweich	Breite	Länge Greenwich Chronom.	Mondsd.
März	46° 0's	51° 50' w	17° 0' 6		Sept. 11	1° 26' 6	41° 57' n	142° 30' 6	143° 52' 6
	55 20	75 20	21 0			0 30 w	42 33	140 51	Volcano Bay
	37 35	75 0	14 0		Oct. 19	4 06	46 42	150 6	
	28 0	72 50	11 52		1797				
	26 25	79 30	12 10		Jul. 7	2 0 w	26 15	124 59	
	21 0	81 10	8 48						
	6 10	81 30	8 30		14	1 0	28 57	129 36	
	0 24	91 33	8 40		15	1 30	30 42	131 17	
	0 37	89 38	8 10	6° 0'n	17	2 0	52 14	131 39	132 30
Gallipagos J.					21	1 26	32 7	131 20	
	19 4n	111 6	7 0		25	0 40	32 54	134 26	
	18 0	112 0	7 0		28	0 49	34 28	136 54	
	20 12	118 0	7 20		30	0 15	34 38	138 35	
LXVI. Beobachtungen von Will. Robert Broughton in the Sloop Providence 1795—1798.					Aug. 2	0 30	37 44	140 28	
1795	Abweich	Breite	Länge Greenwich Chronom.	Mondsd.	3	0 36	38 49	140 51	
Oct.	11° 9' 6	33° 52' s	151° 10' 6		4	0 0	39 56	141 23	
Dec. 16	3 43				7	1 20	40 26	141 45	
	5 14	9 57	209 35	Caroline Insel	28	1 33	41 32	141 30	
1796					30	1 30	41 22	140 24	
Jan. 31	8 43	19 28 n	204 15	Owhyhee	Sept. 9	1 0	47 29	142 14	
Feb. 11	9 41	21 18	202 1	Woatoo	10	2 46	48 31	142 11	
	19 10 54	21 51	199 37	Onchow	13	3 8	51 26	141 43	
Mai 23	22 34	48 23	235 16		14	3 0	51 41	141 47	141 16
					15	3 10	51 45	141 49	
Aug. 2	9 17				24	2 15	45 51	139 9	
	6 12 18	28 25	193 52		25	3 0	45 9	138 35	
	8 12 31	28 41	190 37		27	3 10	43 38	136 32	
	11 14 4	28 41	184 9		28	5 0	42 57	136 46	
	12	28 37	182 53	184° 43' 6	29	4 50	42 27	135 0	136 16
	15 12 31	28 35	180 44	182 55	Oct. 5	3 50	40 32	130 33	130 22
	18 13 20	29 2	177 29	178 24	6	3 20	39 39	129 48	
	20	29 47	174 16	174 31	12	2 30	34 41	130 52	129 38
	24 9 30	33 30	165 49	166 29	22	2 30	34 25	127 57	
	26 9 7	33 45	162 18		30	2 45	32 31	125 24	
	27 7 8	33 30	160 9		Nov. 5	2 0	33 25	124 20	
	28	33 30	157 29	157 45	13	2 30	29 36	128 54	
	29	33 28	155 48	156 8	23	2 10	23 52	118 6	
	30 5 30	33 56	154 3		24	2 0	22 37	115 51	
Sept. 1	1 25	37 35	149 2		LXVII. Entdeckungsreise in the Lady Nelson nach Neu-Süd-Wales, von James Grant 1800—1802.				
5	0 50	39 50	144 31		1800	Abweich	Breite	Länge Greenwich.	
					Apr. 5	14° 22' w	Palma O. g. S.	40 Meilen	
					Mai 10	13 48	0° 9' n	20° 16' w	

1800	Abweich	Breite	Länge Greenw.		1801	Abweich	Breite	Länge Greenw.	
Juni	5	7° 20' w	25° 41' s	22° 9' w	Jan.	28	3° 20' w	32° 20' s	20° 52' w
Juli	26	26 57	39 0	60 46	30	5 40	35 15	15 15	
	31	26 0	39 28	74 25	31	9 21	35 53	14 8	
Nov.	3	22 30	38 46	77 18	Feb.	3	10 5	35 6	8 4
	15	12 0	38 10	119 40	4	11 0	35 29	6 44	
	24	4 55	38 13	155 14	5	12 8	35 42	3 56	
	25	2 30	38 15		6	14 0	35 53	0 32	
Dec.	7	2 50	38 29	144 40	7	17 26	35 53	2 18	
			Lady Julius Insel.		8	21 0	34 45	6 25	
LXVIII. Abweichungen der Magnetnadel von Madeira nach dem Vorgebirge der guten Hoffnung, von S. Home Pop- ham 1800—1801.					LXIX. Beobachtungen auf einer Reise um die Welt auf den Schiffen <i>Nadeshda</i> und <i>Newa</i> von Krusenstern 1805— 1805.				
1800	Abweich	Breite	Länge Greenw.		1803	Breite	Länge Greenw.	Abweich	Neigung
Dec.	14	18° 26' w	56° 2' n	12° 10' w	Aug.	13	57° 44' n	20° 0' o	13° 15' w
	27	14 8	25 38	22 24	14	57 3	Hoburg	14 45	Gotland
	28	15 12	21 27	24 15	Oct.	28	27	16 16	16 2
	29	11 12	20 42	24 55	31	25 55	18 52	16 21	S. Cruz
	30	11 11	19 2	26 0	Nov.	3	21 48	20 48	14 56
	31	10 40	17 37	26 45	6	17 55	26 25	15 6	
1801							26 17	S. Anthonio	
Jan.	1	9 40	15 49	26 45	8	15 34	26 38	12 56	
	2	8 50	13 2	26 54	10	13 51	27 18	14 5	
	3	7 37	9 59	27 0	11	12 47	26 23	14 5	
	4	7 14	7 6	26 58	12	11 11	25 11	15 0	
	6	7 54	4 28	26 0	13	9 45	23 36	14 52	
	7	7 0	3 30	26 17	15	6 50	21 39	14 26	
	9	5 30	0 13	27 45	16	6 1	21 9	12 32	
	10	3 54	1 40	29 5	18	5 45	21 30	12 20	
	11	3 54	3 24	30 13	22	4 45	21 51	14 36	
	12	4 13	5 6	31 32	24	3 4	21 41	12 31	
	13	2 46	7 7	32 25	25	1 32	23 13	12 31	
	14	1 22	9 11	33 10	26	0 6s	24 23	12 28	
	15	0 39	11 30	33 32	27	3 17	26 34	8 18	
	16	0 25	14 10	33 17	29	4 56	27 43	8 42	
	17	0 45	16 28	32 57	30	6 27	28 42	7 42	
	19	1 4	20 45	31 31	Dec.	1	8 29	29 35	6 30
	20	0 18	22 10	30 50	2	10 27	30 17	6 42	
	21	0 24	24 34	29 40	3	12 16	30 57	6 39	
	22	0 54	26 42	28 27	4	14 45	31 23	3 55	
	23	1 12	28 49	27 19	6	18 1	32 5	2 2	
	24	1 5	30 16	26 16	8	20 48	34 43	1 40	
	25	0 45	30 31	26 4					

1895	Breite	Länge Greenw.	Abweich	Neigung	1894	Breite	Länge Greenw.	Abweich	Neigung
Dec. 9	20°47's	36°19'w	1°43'6		Apr. 17	22°48's	105°42'w	4° 2'8	
11	22 53	40 2	3 16		18	22 20	106 51	5 49	
12	22 58	41 52	2 49	C. Frio	19	21 55	107 59	5 19	
13	23 12	41 10	2 49		21	20 58	108 46	5 12	
16	26 18	46 42	6 1		25	16 20	118 13	4 27	
20	26 59	47 54	7 58		26	15 26	120 12	4 59	
1894					27	14 31	122 9	3 27	
Jan. 27	22	48 0	7 50		28	13 52	123 44	4 58	
S. Catharina					29	13 23	124 51	3 41	
Feb. 4	27 10	47 29	7 51		30	12 42	126 20	4 20	
7	30 17	46 40	11 2		Mai 1	11 41	128 40	4 6	
10	56 45	49 18	10 11		2	10 40	130 54	3 57	
13	40 5	50 52	12 8		3	9 47	132 47	4 45	
15	40 54	53 4	13 39		4	9 39	134 51	8 22	
16	42 25	51 26	15 30		5	9 20	137 5	2 15	
17	44 15	56 50	17 59	60°41's	6	8 56	138 39	2 16	
18	45 31	58 41	17 59		7-18	8 55	139 40	4 56	
19	47 40	61 55	19 46		Port Anne Maria, Nukahiwa				
20	48 27	65 11	19 47		19	9 25	141 27	2 45	
21	49 45	65 15	21 40		20	7 20	145 14	4 8	
22	50 52	65 46	22 40		21	5 39	144 22	3 29	
23	51 44	65 40	19 27		22	5 27	145 6	5 18	15° 0
24	53 22	64 51	25 56		23	1 46	145 45	4 48	
25	54 11	65 57	21 55		24	0 56	146 16	4 34	8 50
29	59 3	62 51	24 36		25	0 0	146 51	6 15	
März 2	58 59	63 47	24 32	75 15	26	1 12h	146 46	5 18	5 30
8	59 12	71 2	25 16		27	2 2	147 3	6 31	
9	59 20	72 45	27 40		28	3 4	147 43	4 21	
10	59 29	73 2	24 42		29	4 6	148 17	2 51	
15	55 25	85 52	22 19		Jun. 1	6 57	149 55	5 11	
17	55 40	87 48	23 5		2	8 19	149 44	4 55	
18	55 46	83 45	22 12	75 30	3	10 1	150 27	5 47	
19	55 47	89 50	20 17		4	11 47	151 9	5 19	
20	54 10	90 57	20 40		5	15 21	152 7	4 19	
22	49 22	94 21	15 9		6	15 15	152 45	5 19	
23	48 10	95 10	17 42		7	17 19	153 38	4 51	
25	45 48	97 53	12 44		9	18 55	155 54	4 48	
26	43 47	97 27	10 14		10	19 2		5 40	
29	42 27	98 10	12 42		11	18 0	158 1	5 56	
31	40 16	99 26	10 37		12	17 27	160 42	6 45	
Apr. 1	39 6	99 38	10 57		13	16 55	165 51	6 18	
3	37 59	101 18	9 57		14	16 55	166 14	6 11	
4	36 50	101 15	8 20		15	17 0	168 46	8 8	
6	35 44	100 13	11 8		16	16 51	171 41	8 24	
7	38 2	99 55	9 44		17	16 55	174 22	9 3	
10	31 54	101 17	5 25		18	17 54	176 45	10 54	
16	25 59	102 23	5 52		19	18 46	178 20	12 1	
					20	19 55	180 1	12 54	
					21	21 45	180 55	12 52	

1804	Breite	Länge Greenw.	Abweich	Neigung	1805	Breite	Länge Greenw.	Abweich	Neigung
Jun.	22 23° 7' n	181° 30' w	12° 20' 6		Mai	9 41° 11' n	218° 56' w	0° 0' w	
	23 23 34	181 54	11 46			14 46 4	217 48	1 50	
	24 24 3	181 50	11 20			16 46 34	217 10	1 43 6	
	25 24 36	183 9	10 35			17 46 4	216 51	1 11	
	26 25 55	184 7	9 50			19 46 54	216 34	1 1 w	
	27 27 55	185 1	9 39			21 48 14	217 9	0 57 6	
	28 29 3	185 54	9 43			22 48 59	216 51	0 30 w	
	29 30 16	187 0	10 27			24 48 24	215 53	0 46 6	
Juli	4 36 48	194 54	7 41			25 47 39	215 16	0 6	
	8 44 51	197 56	6 19			26 48 18	214 8	0 41	
	11 49 17	199 34	4 46			27 48 37	212 1	0 2	
	Kamschatka					28 48 26	208 51	0 6	
	12 50 39	199 12	3 51			31 48 42	208 10	1 7	
	13 51 53	199 30	3 26		Jun.	2 49 19	204 11	5 0	
	14 52 27	200 7	4 6			3 50 38	202 3	4 21	
	15 52 24	201 14	5 47			4 51 53	201 25	4 32	
	16 48 30	201 40			Jul.	4 52 40		6 32	
Sept.	16 39 2	209 7	1 48			5 52 13	200 25	6 12	
	18 36 28	213 10	3 16			7 49 25	198 11	5 24	
	19 35 29	213 53	2 28			10 48 1	205 54	3 12	
	20 34 21	215 30	2 8			11 47 56	207 22	3 54	
	23 31 13	220 50	1 2 w			14 47 37	214 4	2 2	
	24 31 9	223 16	0 3			15 48 30	214 54	0 5	
	25 31 8	225 0	2 50			17 48 55	213 56	0 18	
	26 31 4	225 42	3 6			19 49 0	214 43	0 43	
	27 31 20	225 54	3 31			21 49 57	215 40	0 53	
	28 32 6	226 22	3 18			22 50 9	215 50	0 54	
	29 31 25	227 6	3 18			23 50 22	215 53	1 4	
Oct.	1 31 7	227 47	3 4			28 51 17	215 19	1 1	
	3 31 42	227 43	3 1			29 51 15	216 7	0 58	
	5 32 2	231 23	0 55			30 52 17	216 57	1 3	
	7 32 22	231 0	0 56			31 52 50	216 20	0 4	
	8 32 37	230 11	0 12		Aug.	12 54 4	217 46	0 35 w	
	32 44	230 13	1 45 1			16 55 24	217 18	2 48	
	Nangasaki					20 55 20	211 40	1 48 6	
						21 52 46	209 35	2 42	
1805						27 50 38	205 1	5 7	
Apr.	19 32 53	231 43	0 0			28 52 10	201 8	5 55	
	20 34 36	230 17	0 50		Oct.	16 43 38	198 24	5 40	
	21 35 18	228 28	1 14 8			18 59 54	199 4	7 5	
	24 37 36	227 36	0 34 w			22 36 36	201 57	4 39	
	26 37 44	226 30	2 58			29 29 32	210 18	4 43	
	27 38 34	226 11	1 53			31 28 11	212 36	3 28	
	29 39 21	224 43	0 5		Nov.	1 27 46	212 53	3 45	
Mai	2 40 8	220 11	1 6			2 27 12	213 21	2 52	
	3 41 1	220 4	1 22					2 46	
	4 41 36	220 39	1 27						
	5 42 15	220 59	2 42						
	6 43 30	219 41	1 14						

1806	Breite	Länge Greenw.	Abweich	Neigung	1806	Breite	Länge Greenw.	Abweich	Neigung
Nov. 3	26° 26' n	213° 53' w	3° 16' o		Apr. 22	31° 34' s	345° 55' o	26° 2' w	
			2 55		23	29 35	348 20	25 9	
4	26 12	214 50	2 43		24	27 38	350 43	24 17	
			1 40		25	26 25	351 56	22 35	
5	25 43	215 50	3 9		26	24 35	353 32	22 7	
6	24 27	217 11	1 49		27	23 0	355 26	22 33	
7	24 18	218 21	2 36		28	21 28	357 17	20 57	
8	23 50	218 12	1 17		29	19 38	359 23	20 42	
9	23 25	219 59	2 5		Mai 1	18 13	0 53	20 51	
10	22 53	222 18	2 44		2	16 51	2 12	19 31	
11	22 58	225 11	1 19		3	15 57	4 24	18 13	
12	23 28	227 43	0 17		4	15 55	5 49	17 19	
			1 6		9	15 20	6 30	17 6	
1806					10	14 52	7 2	16 43	
März 6	7 14 s	254 19	0 41 w		11	13 49	8 9	17 8	
7	8 31	254 49	0 7		12	12 33	9 49	17 2	
8	9 48	254 37	1 30		14	10 17	13 12	16 5	
9	10 50	254 41	0 24		15	8 53	15 8	15 30	
10	11 16	255 7	1 24		16	7 21	16 20	14 35	
11	11 32	256 28	1 1		17	6 9	17 15	14 8	
12	11 41	257 31	1 25		18	4 38	18 47	14 35	
13	11 43	257 45	1 25		19	3 1	20 24	13 9	
14	11 54	258 13	0 22 o		20	1 22	21 28	12 46	
			1 38 w		21	0 11	22 10	12 52	
15	12 27	258 42	0 4		22	1 33 n	22 47	12 7	
16	13 53	260 45	0 6		25	5 11	23 40	11 28	
17	15 0	263 34	0 24 o		26	5 49	22 33	13 10	
19	16 25	269 43	2 4 w		28	6 31	22 43	12 13	
20	17 37	272 51	3 34		29	6 54	23 15	13 45	
29	24 48	301 47	13 52		31	8 49	26 35	11 27	
30	25 52	304 8	15 1		Juni 1	9 55	27 27	10 48	
31	26 30	305 56	17 0		3	12 33	29 50	11 32	
Apr. 1	27 6	306 55	17 52		6	17 41	33 13	11 21	
2	26 26	307 45	20 45		7	19 45	34 23	9 48	
3	26 48	308 51	19 58		8	21 49	35 30	10 21	
4	27 50	311 19	21 17		9	23 46	36 42	9 38	
5	29 13	313 46	22 22		10	25 28	37 25	11 8	
6	29 43	315 17	24 24		11	26 11	37 35	10 43	
7	30 26	317 27	24 14		12	26 49	37 24	10 42	
8	30 43	319 15	26 21		15	28 29	39 50	11 13	
9	31 18	321 55	26 50		16	29 47	40 42	11 50	
10	31 46	323 47	27 13		18	30 27	41 19	12 24	
11	32 11	325 15	27 40		19	30 34	41 31	13 0	
12	32 58	328 19	28 13		20	31 8	41 20	13 0	
			26 37		21	32 45	40 50	13 32	
16	35 41	335 0	27 3		22	34 46	39 37	14 3	
			27 34		26	39 33	36 18	20 37	
18	35 49	340 46	27 34		27	40 15	35 50	22 6	
19	35 5	341 36	26 28		28	42 3	34 25	25 0	

R

1806	Breite	Länge Greenw.	Abweich	Neigung	1793	Abweich	Breite	Länge geschätzt.	London Chronom.
Juni	29 44° 6' n	52° 30' 0	26° 18' w		Sep.	4 8° 45' w	2° 56' s		26° 12' w
	50 45 36	31 4	28 43		5	7 54	5 10		27 22
Juli	2 48 12	29 7	28 6						25 20
	6 55 25	19 55	30 31		6	5 54	7 10		23 36
	7 56 15	17 31	31 3		7	5 54	8 48		29 29
	8 56 13	15 46	33 24		8	4 5	10 32		30 26
	9 56 47	14 49	33 12		9	3 9	12 58		31 0
	12 59 36	8 48	30 0		10	2 45	15 33		31 50
	13 59 40	6 54	28 30		12	0 54	19 41		33 31
	14 59 25	5 42	28 13		13	0 30	21 25		35 49
	15 59 33	1 51 w	27 8						31 40
	25 57 20	7 45 6	20 41		16	0 34	22 53		35 30
					17	0 30 6	25 29		33 34
					18	0 12 w	24 19		30 51
					19	0 54	25 55		32 43
					21	5 11	27 45		31 10
					22	17 1	31 17		27 15
					3	16 47	32 34		27 9
					7	19 15	35 2		0 6
					8	20 26	34 35		0 46
					10	23 25	34 25		2 31
									5 1
									12 37
									17 49
									16 31
					11	25 50	34 2	a)	
					12	26 12	Lowenkopf		
					14	24 35	36 54		13 56
					16	28 55	40 1		28 35
									29 57
					17	20 20	39 43		
					19	30 3	39 14		
					30	15 23	35 28		
					5	8 35	20 35		85 7
					6	4 30	28 51		101 45
					7	7 3	27 18		105 10
					8	6 11	27 12		
					9	6 18	25 47		106 44
					11		25 47		108 40
									109 55
					12	5 24	Küste von		107 0
							Neu-Holland		104 11
					13	5 10	10 37		102 18
									84 29
					14	3 17	17 42		35 46
									102 26
					15	2 7	16 1		103 26
					16	0 50	14 1		104 55
									107 0
									108 40
									110 10
									111 56
									112 20

LXX. Abweichungen beobachtet auf dem Schiffe *Kongen af Danmark* auf der Reise nach und von Canton vom zweiten Steuermann *Albrechtsen* 1793 — 1800.

1793	Abweich	Breite	Länge geschätzt.	London Chronom.
Juli	25 24° 22' w	41° 56' n	20° 12' w	19° 23' w
	27 21 41	41 58	20 12	17 37
	28 26 22	40 15		
	29 25 33	39 30	13 44	
Aug.	1 23 29	34 0	19 30	
	2 21 57	32 39		17 20
	3 20 38	31 10	20 31	
	4 16 44	29 34		22 43
	5 17 18	28 51		20 35
	6 16 45	28 0		19 13
	7 16 35	26 9		18 15
	8 17 6	25 28		16 10
	10 15 51	20 59		16 21
	11 13 49	18 0		16 11
	12 16 17	17 12		16 22
	14 14 52	14 30		16 24
	16 15 50	12 15		16 16
	18 16 10	2 13		17 43
	20 16 4	7 55		16 52
	22 16 8	6 36		16 47
	24 14 52	5 46		17 0
	26 14 52	1 51		30 1
	28 15 24	2 52		21 26
	30 12 18	2 5		22 37
Sep.	2 10 52	1 7		25 16
				20 40

1798	Abweich	Breite	Länge London geschätzt.	Chronom.	1799	Abweich	Breite	Länge London geschätzt.	Chronom.
Dec. 17	0°19w	11°46's	110°58'6	111° 5'6	Sep. 1	24°45w	55° 6's	24°29'6	°
1799					2	25 15	55 11	24 28	
Jan. 8	0 18 6	Das südl. Ende von Sulla Bessy in O. g. N., die Mitte von Borro in S. O. 1/2 O.			4	25 49	54 49	24 28	18 49
9	0 19 6	Sulla Bessy in O. N. O. Borro in S. O.			6	25 23	53 32	21 6	Cap b)
18	2 48	1 36 n	134 18	155 19	8	24 3	53 32	17 41	
19	2 47	2 6	134 37	155 54	9	24 23	53 44	17 5	
20	2 53	3 34	135 23	136 40	28	23 54	53 8	16 19	
21	3 17	4 12	135 56	137 20	29	22 21	28 54	10 30	9 58
22	3 26	4 45	136 4	137 34	3	22 16	28 7	10 19	9 38
23	3 12	6 8	135 36	127 38	5	21 18	26 54	8 57	7 58
24	3 15	6 41	135 34	137 47	6	20 2	25 51	8 41	8 28
25	3 12	7 30	135 42	137 55	7	20 37	24 55	8 45	
26	3 9	8 57	135 2		8	20 15	23 10	6 5	4 54
27	4 1	11 11	134 12	136 32	Die Länge nach der Secuhr wurde bey S. Helena richtig befunden.				
30	1 44	17 56	130 28	151 11	14	14 45	15 52	8 10	8 45
			155 12		16	14 13	10 22	11 13	11 59
Juli 31	1 16	19 23	130 38	151 3	17	15 52	8 15	12 46	13 45
10	1 45w	15 5 s	84 8	85 18	19	12 51	4 27	15 43	
11	1 49	16 6	81 53	81 10	20	12 57	1 51	16 0	17 22
12	1 50	16 56	79 53	79 6	23				20 30
13	2 21	18 18	76 44						20 18
14	5 30	19 47	73 36		25	11 56	6 23	20 58	22 7
16	5 54	20 58	71 37		26	11 54	7 9	21 36	22 42
18	7 56	21 57	69 44	69 51	27	11 30	8 3	22 4	
19	9 35	22 19	67 57		Nov. 2	8 40	17 5	29 15	30 15
22	11 19	22 46	64 13	64 6	3	8 56	19 25	30 38	31 31
23	13 17	23 11	62 28		6	10 51	26 41	33 6	34 4
25	17 20	26 0	58 4	58 11	8	14 55	30 20	32 18	33 17
26	17 34	27 27	55 40	55 23	9	13 15	31 18	31 44	
Aug. 2	22 15	30 58	50 35	50 2	10	15 19	31 55	31 45	32 50
4	23 23	30 42	49 19		11	13 39	32 9	31 50	
10	24 56	29 6	44 6	45 15	12	15 58	32 49	32 10	33 0
11	24 37	29 20	43 37		13	16 26	34 5	32 24	33 18
12	25 20	30 32	43 14		14		35 1	34 7	35 13
14	26 46	31 55	40 12	39 8	15	16 14	35 52	36 4	c)
15	27 9	32 23	39 8		21	21 39	40 35	30 4	29 56
18	27 22	34 48	34 26	33 29	22	19 44	40 50	29 8	
19	27 15	35 16	33 49	32 15	25	22 54	41 59	27 53	
21	29 0	35 17	29 37		30	23 22	48 6	14 4	14 34
25	27 40	35 24	26 27	25 0	a) Durch Peilung des Tafelberges entdeckte man, daß das Chronometer die östliche Länge 3° 3' zu groß angab.				
26	27 25	35 30	25 21	24 43	b) Die Länge, berichtigt durch Peilung des Tafelberges den Z.				
				24 58	c) Die Länge, berichtigt bey Corvo.				
27	27 15	34 42	25 54	22 18					
30	26 18	34 54	26 58	21 38					

LXXI. Beobachtungen auf dem Schiffe
Kronprindsen auf einer Reise nach
und von Canton in China, von Capt.
A. Tranberg 1802—1803.

	1802	Abweich.	Breite	Länge Chronom.	London Mond.
Apr.	28	55°16'w	59°48'n	6°58'w	
Mai	4	27 44	50 54	12 55	
	8	24 0	40 13	15 26	
	11	24 0	38 18	16 54	
	12	24 50	37 18	16 51	
	15	22 12	35 34	16 52	
	14	20 21	33 24	16 52	
	18	19 55	27 52	17 40	
	20	17 27	24 50	18 50	
	21	17 45	23 37	19 0	
	23	15 42	20 11	20 1	
	27	14 20	10 32	20 2	
Juni	1	12 9	5 51	19 29	
	2	12 0	5 38	19 35	
	4	12 9	4 50	19 34	
	6	12 0	4 52	20 38	
	11	13 12	4 50	19 48	
	13	12 34	4 35	21 15	
	18	12 18	4 11	21 52	
	20	11 30	4 35	22 1	
	22	12 40	3 57	20 20	
	24	11 35	2 34	22 22	
	25	9 48	0 45	24 21	
	26	7 24	1 20 s	25 0	
	27	6 8	3 16	26 17	
	28	5 12	5 20	28 41	27 43
	29	5 9	7 18	28 41	27 33
	30	4 24	9 13	30 50	29 10
Juli	1	2 28	11 17	31 48	30 26
	2	1 12	13 28	33 11	31 25
	3	0 26	15 54	33 47	32 14
	4		18 7	34 36	33 24
	5	1 15 6	19 16	34 27	33 19
	6	1 29	19 45	34 18	33 10
	7	1 26	21 21		33 10
		1 0		34 18	33 23
	9	1 7	25 17	33 12	
	10	1 7	27 46		31 3
	13	1 30w	51 22		30 12
	14	1 57	33 13	29 34	28 42
	22	4 44	36 16	18 22	17 28
	23	6 21	35 37		15 35

Madera
Ferro

22°53'

	1802	Abweich.	Breite	Länge Chronom.	London Mond.
Juli	26	8°37'w	35°39's	0	12°1w
	29	15 31	36 9		1 5
Aug.	1	20 30	36 43	9 06	10 6.6
	3	24 20	35 27	14 40	
	4	24 4	35 3	17 27	a)
	21	26 15	36 25	21 12	
	25	28 58	36 47	26 25	
	24	28 48	36 52	28 18	
	25	28 44	37 26	31 55	
	31	27 18	37 6	49 22	
Sep.	4	22 41	36 52	63 0	
	6	22 33	36 43	64 42	64 35
	7	23 12	37 5	67 57	67 45
	8	21 32	36 53	70 40	70 36
	11	17 10	37 36	S. Paul	77 59
	12	15 56	36 49	83 2	b)
	14	12 10	35 33	88 36	
	15	11 7	34 28	89 51	
	16	11 38	34 9	91 4	
	17	10 0	33 46	93 10	
	18	10 11	33 15	95 24	
	23	3 3	20 6	100 24	
	24	2 15	18 5	101 51	
	26	0 45	13 2	104 7	
Nov.	13	3 55 6	4 43 n	137 11	
	14	3 34	4 43	137 44	
	15	4 30	4 55	139 28	
	18	4 46	7 30	140 48	141 5
	19	4 5	8 45	140 45	140 15
	20	3 44	9 51	140 7	139 57
	21	3 16	11 2	138 40	138 40
	23	2 30	13 42	136 0	135 52
	24	1 55	15 2	135 34	134 24
Nach dieser Zeit fand man keine Abweichung.					
	1803				
Apr.	5	1 35	15 37 s	88 10 6	
	6	1 0	16 53	85 32	
	9	3 30	20 13	77 38	
	14	13 36	25 28	62 28	
	17	16 15	27 28	59 20	59 17
	18	16 5	27 44	59 16	59 13
	20	20 16	28 43	55 37	
	22	22 12	29 2	51 57	
	25	22 48	29 21	49 22	
	24	23 6	30 6	46 20	
	27	27 50	31 19	39 19	
	28	26 48	32 13	39 13	
	29	27 40	32 17	38 10	

1803	Abweich	Breite	Länge London Chronom.	Mond.
Mai	1 27° 28' w	33° 8' s	33° 23' o	0 0
	11 25 57	35 43	23 25	
	12 26 48	35 43	22 45	
	13 26 26	35 43	21 12	21 6
	15 26 11	35 32	20 7	20 58
	16 24 40	34 46	18 53	19 48
	18 25 0	31 47	13 2	18 55
	19 21 47	30 41	11 20	
	21 21 30	28 3	6 49	
	24 17 52	23 3	0 51 w	
	27 16 23	21 48	4 50	
	29 16 30	20 42	5 43	
	30 15 57	20 7	6 27	
	31 15 52	19 5	7 44	
Juni	1 15 20	18 18	9 30	
	3 15 2	17 15	11 32	
	8 8 10	10 42	23 14	
	9 7 21	8 22	25 32	
	10 6 8	6 6	27 42	
	11 5 41	4 23	29 25	
	20 4 16	2 40	31 51	
	21 4 17	0 44	31 10	
	22 6 12	1 37	30 52	
	23 6 26	3 55	30 4	
	24 7 35	5 46	29 23	
	26 8 20	7 1	28 37	
	27 8 37	7 48	28 12	
	28 8 20	7 41	28 5	
Juli	1 8 44	10 18	29 43	
	3 7 30	13 21	32 54	
	3 7 50	17 13	35 16	
	6 7 36	18 58	36 37	
	7 7 37	20 57	37 35	
	8 7 56	23 2	38 26	
	9 8 11	24 54	39 32	
	10 9 16	26 22	40 29	
	11 11 0	28 6	41 22	
	12 10 55	30 5	41 56	42 17
	13 11 20	31 28	41 57	42 57
	14 11 12	33 7	40 35	
	16 18 3	35 5	38 33	
	17 15 21	36 4	37 31	
	22 18 37	38 39	29 27	
	28 21 50	40 50	27 52	
Aug.	8 31 11	54 42	17 35	
	9 30 45	56 0	15 30	
	13 25 48	59 33	1 46	
	Fairhill	O. g. N.	1 O.	

a) Bey dem Tafelberge zeigte die Seeuhr die östliche Länge 0° 25' zu groß.

b) Bey einer Mondsfinsternis den 12ten Sept. fand man die östliche Länge nach der Seeuhr 17° 15' zu groß.

Die Längen in der letzten Columnne sind entweder unmittelbar durch Mondsabstände oder durch das vermittelst Mondsbeobachtungen berichtigte Chronometer bestimmt.

LXXII. Beobachtungen auf dem Schiffe
Kronprindsen auf einer Reise nach
und von Canton, von Capt. *Svend*
Ørgaard 1804 — 1805.

1804	Abweich	Breite	Länge Chronom.	Greenw. Mond.
Mai	27 23° 14' w	40° 57' n	14° 20' w	16° 20' w
	28 24 8	38 38	14 41	16 19
	30 22 55	36 13	15 33	
	31			Bey Madera fand man, dafs das Chronometer die westliche Län- ge 1° 34' zu klein angab.
Juni	5 18 18	27 17	18 40	Palma
	6 18 14	24 48	19 46	
	8 15 36	19 43	21 0	
	11 14 23	13 55	21 0	
	13 14 9	11 40	20 44	20 14
	14 13 31	10 5	20 13	
	15 13 6	8 38	20 13½	19 36½
	20 13 21	7 21	18 46	
	21 12 50	7 15	18 30	
	23 13 54	6 37	16 46	
	24 14 13	6 15	17 34	
	25 13 36	6 2	18 6	
	28 12 59	4 31	15 24	16 34
	29 12 42	3 55	16 39	17 31
	30 12 40	3 12	17 53	
Juli	2 10 40	0 46	21 56	22 22
	3 10 0	0 46 s	22 20	
	4 8 56	2 36	23 38	
	6 7 51	6 52	26 24	
	7 6 32	8 58	27 39	
	9 3 54	13 32	29 38	
	11 1 20	18 7	31 27	
	12 0 8 o	19 7	31 26	31 17
	13 0 30 w	19 34	31 11	30 51
	14 1 28	20 6	29 20	29 14

1804	Abweich	Breite	Länge Greenw. Chronom.	Greenw. Mond.	1805	Abweich	Breite	Länge Greenw. Chronom.	Greenw. Mond.		
Juli	15	2° 42' w	20° 1' s	28° 26' w	Trinidad	Apr.	23	1° 19' w	10° 54' s	96° 50' 6	•
	16	2 5	21 27	29 28			20	0 40	11 41	94 17	
	17	2 58	25 32	29 37		Mai	2	0 34	14 24	87 25	
	18	2 21	25 50	29 17			5	2 46	18 43	79 18	78 30
	21	2 25	28 56	26 53			7	5 40	21 34	73 57	
	22	2 16	29 41	26 57			8	7 55	22 34	71 10	70 41
	23	2 37	31 13	24 14			9	9 16	23 26	68 54	
	29	15 0	34 38	5 4			11	9 57	24 15	65 55	
Aug.	6	27 41	37 1		25° 4 ö		12	11 58	24 21	61 44	
	7	28 1	38 19	28 28 ö	27 24		13	12 46	24 40	62 48	
	8	28 56	38 24	29 21	28 31		14	14 6	25 19	59 42	
	15	29 47	36 17	45 37	45 56		15	16 4	25 56	56 36	
	18	29 42	37 30	61 57			17	19 45	26 41	51 48	
	19	22 27	37 43	66 37			18	20 3	26 57	51 21	
	20	21 48	37 50	71 52			19	20 36	27 47	50 1	
	21	Chron. verbessert bey der Insel Amsterdam.					20	21 34	27 57	49 27	49 15
	24	15 30	55 24	88 51			21	22 51	27 55	47 26	47 40
	25	12 37	53 43	92 18			22	23 21	28 7	45 45	45 0
	26	10 10	51 39	94 46			23	24 29	28 12	45 6	42 19
	29	5 55	27 15	99 5	98 8		24	25 49	29 0	40 12	39 30
	30	5 40	24 20	100 26	99 44		25	26 21	28 59	38 33	37 55
	31	3 16	20 57	101 44			26	26 43	29 43	36 27	
Sep.	1	2 4	18 25	105 6			27	27 34	30 9	35 20	
	3	0 45	12 46	106 31			28	27 39	31 48	33 3	
	4	0 38	9 52	107 21			29	28 26	32 58	31 36	
Oct.	9	0 52 ö	5 46	108 15			30	28 19	33 57	29 36	
	22	0 6	6 3	113 47			31	27 57	34 31	28 17	
Nov.	10	1 30	3 40 n	128 50	128 50	Juni	1	28 52	34 50	27 2	26 24
	11	1 24	3 52	130 11	130 41		2	27 31	35 33	25 8	24 0
	13	1 33	3 13	132 3			3	27 46	35 52	21 40	22 20
	14	2 44	3 29	133 33			14	25 54	35 8	19 9	
	16	3 12	4 46	132 15			15	25 28	34 9	16 46	
	17	3 50	5 47	132 59			16	26 27	32 56	15 17	
	18	4 20	6 21	138 41			22	20 58	22 57	4 0	4 18
	25	3 11	9 21	140 0	140 40		24	20 21	21 17	2 36	
	26	3 26	9 32	139 26	140 8	Juli	28	17 52	16 53	2 14 w	S. Helena
	27	3 7	9 53	138 46			17	15 22	11 42	11 9	11 12
	28	Durch Mondsdistanzen und Peilung der Insel Yap, fand man die Länge nach dem Chronometer 20' zu westlich.					18	14 23	10 33	13 16	15 17
	30	2 53	12 6	136 46			21	13 0	4 34	17 58	
Dec.	1	2 46	13 28	135 50			22	12 30	2 52	19 40	
	3	1 28	17 9	135 28			23	12 19	1 12	20 7	
	7	0 25	21 30	124 11	123 57		25	11 54	3 12 n	22 19	
1805							28	12 7	9 11	24 42	
Apr.	27	2 12 w	10 3 s	99 1			29	12 23	10 1	24 32	
						Aug.	31	12 9	11 24	26 4	
							1	11 52	12 12	26 0	
							2	11 20	12 42	26 29	
							3	11 50	13 57	27 19	26 52
							5	10 11	14 48	28 55	

1805	Abweich	Breite	Länge Greenw. Chronom.	Mond.	1804	Abweich	Breite	Länge Greenw. Chronom.	Mond.
Aug. 6	10°20'w	15°18'n	29°11'w		Aug. 23	12°30'w	1°38's	18°32'w	
8	8 45	18 0	33 0		24	11 0	3 17	19 35	
10	10 18	22 23	36 9		25	11 0	5 1	20 26	
11	9 47	24 44	37 27		26	10 45	6 37	21 18	
13	11 12	27 38	38 36		27	9 15	7 48	21 55	
14	12 25	28 8	39 8		28	9 30	9 17	22 45	
15	10 45	28 58	39 34		30	8 14	11 47	23 50	
16	11 8	30 5	39 24	40 8	31	7 10	13 21	24 18	22 20w
17	12 47	31 36	39 4	39 31	Sept. 4	6 47	19 11	26 13	
18	14 17	32 49	38 43		5	4 23	20 53	27 54	
19	Die Länge nach dem Chronometer wurde durch Mondsdistanzen 41' zu klein gefunden; die folgenden Längen sind von diesem Fehler befreit.				7	4 11	22 57	26 46	
20	15 0	34 17	38 15		8	6 7	24 42	24 51	
22	17 45	36 49	36 32		11	8 28	27 39	18 56	16 34
23	19 15	38 46	34 29		22	22 0	36 7	10 48 o	13 12 o
24	22 0	40 25	33 51		23	23 37	35 19	11 57	
25	22 0	40 57	33 52		Die Länge nach dem Chronometer wurde am Cap richtig befunden.				
27	22 49	41 27	33 11		Oct. 29	29 6	38 14	46 35	
29	25 11	44 14	29 51	29 50	Nov. 7	22 30	37 30	69 46	
Sep. 2	29 0	48 0	20 36		12	15 46	35 42	86 34	
10	21 29	51 58	2 27 o		13	15 45	34 50	89 31	
LXXIII. Beobachtungen auf dem Schiffe Norge auf einer Reise nach und von Canton, von Capt. H. G. Trock 1804—1806.					14	12 25	34 16	91 35	
1804	Abweich	Breite	Länge Greenw. Chronom.	Mond.	15	11 15	34 10	93 7	
Juni 28	24°42'w	44° 1'n	15°49'w		23	0 31	17 4	101 5	
Juli 4	25 15	39 41	16 9	14°59	26	0 26	10 37	102 24	
7	24 51	36 5	16 50		27			102 50	102 55
Das Chronometer ward berichtigt bey Madera.					1805				
10	21 50	31 22	17 34		Jan. 1	0 15 o	2 51 n	120 34 o	
11	20 30	29 44	18 3	Palma	15	3 40	6 56	133 55	
18	16 0	14 44	19 41		16	3 11	7 3	139 42	
Aug. 12	12 56	2 34	16 32	17 9	23	1 54	15 2	133 9	
13	12 2	2 12	17 30	19 14	24	0 51	17 18	130 50	
14	13 35	2 20	17 10		25			129 44	129 53
17	15 42	1 43	16 32		Juli 8	1 49w	9 17 s	99 30	
20	14 7	0 44	16 54		26	14 3	24 9		60 45
21	14 22	0 19	16 40		27	13 0	24 47	59 46	57 30
22	14 7	0 24 s	17 29		28	16 30	25 47	58 26	
					31	18 16	27 1	56 28	56 10
					Aug. 1	18 26	27 31	54 46	54 40
					2	19 2	27 46	52 35	
					4	20 2	27 31	53 0	
					5	21 33	28 31	50 36	
					6	21 4	28 15	49 4	
					8	25 57	29 51	45 41	
					9	24 30	29 52	45 10	
					10	25 26	29 42	41 34	

Breite	Länge	1700	1710	1720	1730	1744	1756
--------	-------	------	------	------	------	------	------

S

Brei- te	Län- ge Lond	1700	1710	1720	1730	1744	1756	Brei- te	Län- ge Lond	1700	1710	1720	1730	1744	1756
25°N	20 W	2 W	3 W	4 W	5 W	7 W	11 W	40°N	65 W	7 W	—	—	8½ W	10½ W	12 W
	25	1½	3½	4½	5½	7½	11½		70	7	—	—	9	11½	12½
25°N	30	1½	3½	4½	5½	7½	11½	45°N	5 W	6 W	—	—	12½ W	15½ W	16½ W
	35	1	1½	2	2½	3½	4½		10	6½	—	—	12½	15½	16½
25°N	40	0½	0½	1	1½	2½	3½		15	6½	—	—	11½	14½	16½
	45	0	0	0½	1	1½	2½	45°N	20	7½	—	—	11½	14½	16½
25°N	50	0	0½	0½	1	1½	2½		25	8½	—	—	11½	14½	16½
	55	1	1	2	2½	3½	4½	45°N	30	9½	—	—	11½	14½	16½
25°N	60	1	1	2	2½	3½	4½		35	10½	—	—	11½	14½	16½
	65	2	2	3	3½	4½	5½	45°N	40	11½	—	—	12½	15½	16½
25°N	70	3	3	4	4½	5½	6½		45	12½	—	—	12½	15½	16½
	75	4	4	5	5½	6½	7½	45°N	50	13½	—	—	13½	16½	17½
25°N	80	5	5	6	6½	7½	8½		55	14½	—	—	14½	17½	18½
	85	6	6	7	7½	8½	9½	50°N	60	15½	—	—	15½	18½	19½
25°N	90	7	7	8	8½	9½	10½	5°S	0 W	4½ W	—	—	10 W	13½ W	15 W
	95	8	8	9	9½	10½	11½		5	5	—	—	11½	14½	16½
30°N	100	9	9	10	10½	11½	12½	5°S	10	10	—	—	12½	15½	17½
	105	10	10	11	11½	12½	13½	5°S	15	15	—	—	13½	16½	18½
30°N	110	11	11	12	12½	13½	14½		20	20	—	—	14½	17½	19½
	115	12	12	13	13½	14½	15½	5°S	25	25	—	—	15½	18½	20½
30°N	120	13	13	14	14½	15½	16½	5°S	30	30	—	—	16½	19½	21½
	125	14	14	15	15½	16½	17½	5°S	35	35	—	—	17½	20½	22½
30°N	130	15	15	16	16½	17½	18½		40	40	—	—	18½	21½	23½
	135	16	16	17	17½	18½	19½	5°S	45	45	—	—	19½	22½	24½
30°N	140	17	17	18	18½	19½	20½		50	50	—	—	20½	23½	25½
	145	18	18	19	19½	20½	21½	5°S	55	55	—	—	21½	24½	26½
30°N	150	19	19	20	20½	21½	22½		60	60	—	—	22½	25½	27½
	155	20	20	21	21½	22½	23½	5°S	65	65	—	—	23½	26½	28½
30°N	160	21	21	22	22½	23½	24½		70	70	—	—	24½	27½	29½
	165	22	22	23	23½	24½	25½	5°S	75	75	—	—	25½	28½	30½
35°N	170	23	23	24	24½	25½	26½		80	80	—	—	26½	29½	31½
	175	24	24	25	25½	26½	27½	5°S	85	85	—	—	27½	30½	32½
35°N	180	25	25	26	26½	27½	28½		90	90	—	—	28½	31½	33½
	185	26	26	27	27½	28½	29½	5°S	95	95	—	—	29½	32½	34½
35°N	190	27	27	28	28½	29½	30½		100	100	—	—	30½	33½	35½
	195	28	28	29	29½	30½	31½	10°S	0 W	3½ W	—	—	9 W	12½ W	14½ W
35°N	200	29	29	30	30½	31½	32½		5	5	—	—	10½	13½	15½
	205	30	30	31	31½	32½	33½	10°S	10	10	—	—	11½	14½	16½
35°N	210	31	31	32	32½	33½	34½		15	15	—	—	12½	15½	17½
	215	32	32	33	33½	34½	35½	10°S	20	20	—	—	13½	16½	18½
35°N	220	33	33	34	34½	35½	36½		25	25	—	—	14½	17½	19½
	225	34	34	35	35½	36½	37½	10°S	30	30	—	—	15½	18½	20½
35°N	230	35	35	36	36½	37½	38½		35	35	—	—	16½	19½	21½
	235	36	36	37	37½	38½	39½	10°S	40	40	—	—	17½	20½	22½
35°N	240	37	37	38	38½	39½	40½		45	45	—	—	18½	21½	23½
	245	38	38	39	39½	40½	41½	10°S	50	50	—	—	19½	22½	24½
35°N	250	39	39	40	40½	41½	42½		55	55	—	—	20½	23½	25½
	255	40	40	41	41½	42½	43½	10°S	60	60	—	—	21½	24½	26½
35°N	260	41	41	42	42½	43½	44½		65	65	—	—	22½	25½	27½
	265	42	42	43	43½	44½	45½	10°S	70	70	—	—	23½	26½	28½
35°N	270	43	43	44	44½	45½	46½		75	75	—	—	24½	27½	29½
	275	44	44	45	45½	46½	47½	10°S	80	80	—	—	25½	28½	30½
35°N	280	45	45	46	46½	47½	48½		85	85	—	—	26½	29½	31½
	285	46	46	47	47½	48½	49½	10°S	90	90	—	—	27½	30½	32½
35°N	290	47	47	48	48½	49½	50½		95	95	—	—	28½	31½	33½
	295	48	48	49	49½	50½	51½	10°S	100	100	—	—	29½	32½	34½
35°N	300	49	49	50	50½	51½	52½		105	105	—	—	30½	33½	35½
	305	50	50	51	51½	52½	53½	10°S	110	110	—	—	31½	34½	36½
35°N	310	51	51	52	52½	53½	54½		115	115	—	—	32½	35½	37½
	315	52	52	53	53½	54½	55½	10°S	120	120	—	—	33½	36½	38½
35°N	320	53	53	54	54½	55½	56½		125	125	—	—	34½	37½	39½
	325	54	54	55	55½	56½	57½	10°S	130	130	—	—	35½	38½	40½
35°N	330	55	55	56	56½	57½	58½		135	135	—	—	36½	39½	41½
	335	56	56	57	57½	58½	59½	10°S	140	140	—	—	37½	40½	42½
35°N	340	57	57	58	58½	59½	60½		145	145	—	—	38½	41½	43½
	345	58	58	59	59½	60½	61½	10°S	150	150	—	—	39½	42½	44½
35°N	350	59	59	60	60½	61½	62½		155	155	—	—	40½	43½	45½
	355	60	60	61	61½	62½	63½	10°S	160	160	—	—	41½	44½	46½
35°N	360	61	61	62	62½	63½	64½		165	165	—	—	42½	45½	47½
	365	62	62	63	63½	64½	65½	10°S	170	170	—	—	43½	46½	48½
35°N	370	63	63	64	64½	65½	66½		175	175	—	—	44½	47½	49½
	375	64	64	65	65½	66½	67½	10°S	180	180	—	—	45½	48½	50½
35°N	380	65	65	66	66½	67½	68½		185	185	—	—	46½	49½	51½
	385	66	66	67	67½	68½	69½	10°S	190	190	—	—	47½	50½	52½
35°N	390	67	67	68	68½	69½	70½		195	195	—	—	48½	51½	53½
	395	68	68	69	69½	70½	71½	10°S	200	200	—	—	49½	52½	54½
35°N	400	69	69	70	70½	71½	72½		205	205	—	—	50½	53½	55½
	405	70	70	71	71½	72½	73½	10°S	210	210	—	—	51½	54½	56½
35°N	410	71	71	72	72½	73½	74½		215	215	—	—	52½	55½	57½
	415	72	72	73	73½	74½	75½	10°S	220	220	—	—	53½	56½	58½
35°N	420	73	73	74	74½	75½	76½		225	225	—	—	54½	57½	59½
	425	74	74	75	75½	76½	77½	10°S	230	230	—	—	55½	58½	60½
35°N	430	75	75	76	76½	77½	78½		235	235	—	—	56½	59½	61½
	435	76	76	77	77½	78½	79½	10°S	240	240	—	—	57½	60½	62½
35°N	440	77	77	78	78½	79½	80½		245	245	—	—	58½	61½	63½
	445	78	78	79	79½	80½	81½	10°S	250	250	—	—	59½	62½	64½
35°N	450	79	79	80	80½	81½	82½		255	255	—	—	60½	63½	65½
	455	80	80	81	81½	82½	83½	10°S	260	260	—	—	61½	64½	66½
35°N	460	81	81	82	82½	83½	84½		265	265	—	—	62½	65½	67½
	465	82	82	83	83½	84½	85½	10°S	270	270	—	—	63½	66½	68½
35°N	470	83	83	84	84½	85½	86½		275	275	—	—	64½	67½	69½
	475	84	84	85	85½	86½	87½	10°S	280	280	—	—	65½	68½	70½
35°N	480	85	85	86	86½	87½	88½		285	285	—	—	66½	69½	71½
	485	86	86	87	87½	88½	89½	10°S	290	290	—	—	67½	70½	72½
35°N	490	87	87	88	88½	89½	90½		295	295	—	—	68½	71½	73½
	495	88	88	89	89½	90½	91½	10°S	300	300	—	—	69½	72½	74½
35°N	500	89	89	90	90½	91½	92½		305	305	—	—	70½	73½	75½
	505	90	90	91	91½	92½	93½	10°S	310	310	—	—	71½	74½	76½
35°N	510	91	91	92	92½	93½	94½		315	315	—	—	72½	75½	77½
	515	92	92	93	93½</										

Brei- te	Län- ge Lond	1700	1710	1720	1730	1744	1756	Brei- te	Län- ge Lond	1700	1710	1720	1730	1744	1756
10°S	80 0	10 1/2 W	8 W	5 1/2 W	4 W	1 1/2 W	1 W	20°S	95 0	8 W	7 1/2 W	6 1/2 W	5 1/2 W	4 1/2 W	4 1/2 W
10°S	85	8 1/2	6 1/2	5	3 1/2	1 1/2	0 1/2	100	100	6 1/2	6 1/2	6	5 1/2	5	4 1/2
	90	6 1/2	5 1/2	4 1/2	3 1/2	1 1/2	0 1/2	105	105	4 1/2	4 1/2	5	5	5	4 1/2
	95	5	4 1/2	4	3 1/2	2 1/2	1								
10°S	100	3 1/2	3 1/2	3 1/2	3	2 1/2	2	25°S	0 W	3 W	5 W	7 W	8 1/2 W	10 1/2 W	12 1/2 W
	105	2 1/2	2 1/2	2 1/2	2 1/2	2 1/2	2 1/2	5	5	1	2 1/2	4 1/2	6 1/2	8	10
	110	2	—	—	—	3 1/2	3 1/2	10	10	1 1/2	0 1/2	2 1/2	4 1/2	5 1/2	7 1/2
								15	15	2 1/2	1 1/2	0 1/2	1 1/2	2 1/2	4 1/2
15°S	0 W	3 1/2 W	5 1/2 W	7 1/2 W	9 1/2 W	11 1/2 W	14 W	20	20	4	3 1/2	2 1/2	1 1/2	0 1/2	2 1/2
	5	1 1/2	3 1/2	5 1/2	7 1/2	9 1/2	12	25	25	6	5 1/2	4 1/2	3 1/2	3	1 1/2
	10	0 1/2	2	3 1/2	5 1/2	7 1/2	9 1/2	30	30	7 1/2	7	6 1/2	6	5 1/2	3 1/2
15°S	15	1 1/2	0 1/2	1 1/2	0 1/2	1 1/2	0 1/2	35	35	9 1/2	—	—	—	7 1/2	6
	20	2 1/2	1 1/2	0 1/2	0 1/2	1 1/2	0 1/2	40	40	11	—	—	—	9	—
	25	3 1/2	3	2 1/2	1 1/2	0 1/2	0 1/2	5 1/2	5 1/2	5 1/2 W	7 W	8 1/2 W	10 1/2 W	12 1/2 W	14 1/2
15°S	30	5	4 1/2	4	3 1/2	3	2 1/2	10	10	7 1/2	—	—	—	15 1/2	16
	35	6 1/2	6 1/2	5 1/2	5 1/2	5	4 1/2	15	15	9 1/2	—	—	—	16 1/2	17 1/2
	40	7 1/2	—	—	—	6 1/2	6 1/2	35°S	35	10 1/2	20 1/2	20 1/2	21 1/2	22 1/2	23 1/2
15°S	5 0	5 1/2 W	—	—	1 1/2 W	1 1/2 W	1 1/2 W	40	40	21	21 1/2	22 1/2	23 1/2	23 1/2	23 1/2
	10	7 1/2	—	—	1 1/2	1 1/2	1 1/2	45	45	22 1/2	22 1/2	23 1/2	23 1/2	23 1/2	23 1/2
	15	10 1/2	10 1/2 W	20 W	20	20	20	50	50	22 1/2	22 1/2	22 1/2	22 1/2	22 1/2	21
15°S	45	20 1/2	20 1/2	20 1/2	20 1/2	20 1/2	20 1/2	55	55	22 1/2	21 1/2	21 1/2	20 1/2	19 1/2	18
	50	20 1/2	20 1/2	20 1/2	20 1/2	20 1/2	20 1/2	60	60	20 1/2	19 1/2	19 1/2	19 1/2	17 1/2	14 1/2
	55	19 1/2	18 1/2	17 1/2	16 1/2	15 1/2	12 1/2	35°S	65	19 1/2	18 1/2	17 1/2	16 1/2	15 1/2	11 1/2
15°S	60	18 1/2	17 1/2	16 1/2	14 1/2	12 1/2	9	70	70	17 1/2	16 1/2	15 1/2	14 1/2	13 1/2	8
	65	17 1/2	15 1/2	13 1/2	13 1/2	9 1/2	4 1/2	75	75	15 1/2	15 1/2	13 1/2	12 1/2	11 1/2	7 1/2
	70	15 1/2	13 1/2	10 1/2	9 1/2	7 1/2	4 1/2	80	80	14 1/2	13 1/2	12 1/2	10 1/2	9 1/2	7 1/2
15°S	75	14 1/2	12 1/2	9 1/2	7 1/2	5 1/2	3 1/2	85	85	13 1/2	11 1/2	10 1/2	9 1/2	8 1/2	7 1/2
	80	12 1/2	10 1/2	8 1/2	6 1/2	3 1/2	2 1/2	90	90	11 1/2	10 1/2	9 1/2	8 1/2	7 1/2	6 1/2
	85	10 1/2	8 1/2	6 1/2	4 1/2	2 1/2	2 1/2	25°S	95	9 1/2	8 1/2	7 1/2	7 1/2	7 1/2	6 1/2
15°S	90	8 1/2	7 1/2	6 1/2	4 1/2	2 1/2	2 1/2	100	100	7 1/2	7 1/2	7 1/2	7 1/2	6 1/2	6
	95	6 1/2	5 1/2	5 1/2	4 1/2	3 1/2	2 1/2								
	100	5 1/2	4 1/2	4 1/2	4 1/2	3 1/2	3 1/2								
15°S	105	3 1/2	3 1/2	3 1/2	3 1/2	3 1/2	3 1/2								
	110	2 1/2	—	—	—	4 1/2	—								
20°S	0 W	5 1/2 W	5 1/2 W	7 1/2 W	9 W	11 W	13 1/2 W	30°S	0 W	2 1/2 W	4 1/2 W	6 W	7 1/2 W	9 1/2 W	11 1/2 W
	5	1 1/2	3 1/2	5	6 1/2	8 1/2	11 1/2	5	5	0 1/2	0 1/2	1 1/2	2 1/2	3 1/2	4 1/2
	10	0 1/2	1 1/2	3 1/2	4 1/2	6 1/2	8 1/2	10	10	1 1/2	0 1/2	1 1/2	2 1/2	3 1/2	4 1/2
20°S	15	1 1/2	0 1/2	0 1/2	2	3 1/2	5 1/2	30°S	15	3 1/2	4 1/2	5 1/2	5 1/2	6 1/2	7 1/2
	20	3 1/2	2 1/2	1 1/2	0 1/2	0 1/2	0 1/2	20	20	5 1/2	—	—	—	—	—
	25	4 1/2	4 1/2	5 1/2	5 1/2	4 1/2	2 1/2	30°S	25	7 1/2	—	—	—	—	—
20°S	30	6 1/2	5 1/2	5 1/2	4 1/2	4 1/2	2 1/2	30	30	9	—	—	—	—	—
	35	7 1/2	7 1/2	7 1/2	6 1/2	6 1/2	5 1/2	35	35	11	—	—	—	—	—
	40	9 1/2	—	—	—	8	7 1/2	5 1/2	5 1/2	5 W	7 W	8 1/2 W	10 1/2 W	11 1/2 W	13 1/2 W
20°S	5 0	5 1/2 W	—	—	1 1 W	1 1 W	1 1 W	10	10	7 1/2	9 1/2	11 1/2	12 1/2	14 1/2	15 1/2
	10	7 1/2	—	—	1 1/2	1 1/2	1 1/2	15	15	9 1/2	—	—	—	16 1/2	18
	15	9 1/2	—	—	1 1/2	1 1/2	1 1/2	30°S	30	17 1/2	10 1/2	10 1/2	20 1/2	21 1/2	23 1/2
20°S	25	19 1/2 W	19 1/2 W	20 1/2	20 1/2	21 1/2	22 1/2	35	35	21	21 1/2	22 1/2	23 1/2	24 1/2	25 1/2
	30	21 1/2	21 1/2	21 1/2	21 1/2	21 1/2	21 1/2	40	40	21 1/2	22 1/2	23 1/2	24 1/2	25 1/2	26 1/2
	35	20 1/2	20 1/2	20 1/2	20 1/2	20 1/2	20 1/2	45	45	23 1/2	23 1/2	24 1/2	24 1/2	24 1/2	24 1/2
20°S	40	21 1/2	21 1/2	21 1/2	21 1/2	21 1/2	21 1/2	50	50	23 1/2	23 1/2	24 1/2	24 1/2	24 1/2	23 1/2
	45	21 1/2	21 1/2	21 1/2	21 1/2	21 1/2	21 1/2	55	55	23 1/2	23 1/2	23 1/2	23 1/2	23 1/2	21 1/2
	50	21 1/2	21 1/2	20 1/2	20 1/2	20 1/2	18 1/2	60	60	21 1/2	21 1/2	21 1/2	20 1/2	20 1/2	18 1/2
20°S	55	20 1/2	20 1/2	19 1/2	18 1/2	17 1/2	15 1/2	30°S	65	20 1/2	19 1/2	19 1/2	19 1/2	17 1/2	15 1/2
	60	19 1/2	18 1/2	17 1/2	15 1/2	14 1/2	11 1/2	70	70	18 1/2	18 1/2	17 1/2	16 1/2	15 1/2	13 1/2
	65	18 1/2	17 1/2	15 1/2	14 1/2	13 1/2	8 1/2	30°S	75	17 1/2	16 1/2	15 1/2	14 1/2	13 1/2	11 1/2
	70	16 1/2	15 1/2	13 1/2	12 1/2	10 1/2	6 1/2	80	80	15 1/2	15 1/2	14 1/2	13 1/2	12 1/2	10 1/2
20°S	75	15 1/2	13 1/2	10 1/2	9 1/2	7 1/2	4 1/2	85	85	14 1/2	13 1/2	12 1/2	11 1/2	10 1/2	9 1/2
	80	13 1/2	11 1/2	9 1/2	8 1/2	6 1/2	4 1/2	90	90	12 1/2	11 1/2	11 1/2	10 1/2	9 1/2	8 1/2
	85	11 1/2	10 1/2	8 1/2	7 1/2	5 1/2	4 1/2	25°S	95	10 1/2	10 1/2	9 1/2	9 1/2	8 1/2	7 1/2
	90	10 1/2	8 1/2	7 1/2	6 1/2	4 1/2	4 1/2	100	100	8 1/2	—	—	—	—	—
								35°S	0 W	2 1/2 W	4 W	5 1/2 W	7 W	8 1/2 W	10 1/2 W
								5	5	0	1	2 1/2	4	5 1/2	7 1/2

Breite	Länge Lond	1700	1710	1720	1730	1744	1756	Breite	Länge Lond	1700	1710	1720	1730	1744	1756
35°S	10W	2 ¹ / ₂ E	1 ¹ / ₂ E	0 ¹ / ₂ W	1 ¹ / ₂ W	5 ¹ / ₂ W	5 ¹ / ₂ W	35°S	9 ⁵ / ₂ W	11 ¹ / ₂ W	11 ¹ / ₂ W	11 ¹ / ₂ W	11 ¹ / ₂ W	10 ¹ / ₂ W	—
35°S	15	4 ¹ / ₂	—	—	—	2 ¹ / ₂ E	6 ¹ / ₂ E	40°S	9W	2 ¹ / ₂ W	3 ¹ / ₂ W	5 ¹ / ₂ W	6 ¹ / ₂ W	7 ¹ / ₂ W	9 ¹ / ₂ W
W	25	8 ¹ / ₂	—	—	—	5	5 ¹ / ₂	40°S	15	—	—	—	—	24 ¹ / ₂ E	4 ¹ / ₂
55°S	35	10 ¹ / ₂	—	—	—	9 ¹ / ₂	13 ¹ / ₂	40°S	25	10 ¹ / ₂	—	—	—	5 ¹ / ₂	4 ¹ / ₂
35°S	5 E	5W	6 ¹ / ₂ W	8W	6 ¹ / ₂ W	11W	15W	40°S	30	12 ¹ / ₂	—	—	—	8	6 ¹ / ₂
15	9 ¹ / ₂	11 ¹ / ₂	12 ¹ / ₂	14 ¹ / ₂	15 ¹ / ₂	17 ¹ / ₂	19 ¹ / ₂	40°S	5 E	11 ¹ / ₂	10 ¹ / ₂ W	9W	10 ¹ / ₂ W	12W	12W
35°S	25	15 ¹ / ₂	16 ¹ / ₂	18 ¹ / ₂	19 ¹ / ₂	20 ¹ / ₂	21 ¹ / ₂	40°S	15	14 ¹ / ₂	15 ¹ / ₂	16 ¹ / ₂	17 ¹ / ₂	18 ¹ / ₂	19 ¹ / ₂
W	30	18 ¹ / ₂	19 ¹ / ₂	20 ¹ / ₂	21 ¹ / ₂	22 ¹ / ₂	23 ¹ / ₂	40°S	20	17 ¹ / ₂	18 ¹ / ₂	19 ¹ / ₂	20 ¹ / ₂	21 ¹ / ₂	22 ¹ / ₂
55°S	35	21 ¹ / ₂	22 ¹ / ₂	23 ¹ / ₂	24 ¹ / ₂	25 ¹ / ₂	26 ¹ / ₂	40°S	25	20 ¹ / ₂	21 ¹ / ₂	22 ¹ / ₂	23 ¹ / ₂	24 ¹ / ₂	25 ¹ / ₂
W	40	24 ¹ / ₂	25 ¹ / ₂	26 ¹ / ₂	27 ¹ / ₂	28 ¹ / ₂	29 ¹ / ₂	40°S	30	23 ¹ / ₂	24 ¹ / ₂	25 ¹ / ₂	26 ¹ / ₂	27 ¹ / ₂	28 ¹ / ₂
35°S	45	27 ¹ / ₂	28 ¹ / ₂	29 ¹ / ₂	30 ¹ / ₂	31 ¹ / ₂	32 ¹ / ₂	40°S	35	26 ¹ / ₂	27 ¹ / ₂	28 ¹ / ₂	29 ¹ / ₂	30 ¹ / ₂	31 ¹ / ₂
W	50	30 ¹ / ₂	31 ¹ / ₂	32 ¹ / ₂	33 ¹ / ₂	34 ¹ / ₂	35 ¹ / ₂	40°S	40	29 ¹ / ₂	30 ¹ / ₂	31 ¹ / ₂	32 ¹ / ₂	33 ¹ / ₂	34 ¹ / ₂
55°S	55	33 ¹ / ₂	34 ¹ / ₂	35 ¹ / ₂	36 ¹ / ₂	37 ¹ / ₂	38 ¹ / ₂	40°S	45	32 ¹ / ₂	33 ¹ / ₂	34 ¹ / ₂	35 ¹ / ₂	36 ¹ / ₂	37 ¹ / ₂
W	60	36 ¹ / ₂	37 ¹ / ₂	38 ¹ / ₂	39 ¹ / ₂	40 ¹ / ₂	41 ¹ / ₂	40°S	50	35 ¹ / ₂	36 ¹ / ₂	37 ¹ / ₂	38 ¹ / ₂	39 ¹ / ₂	40 ¹ / ₂
35°S	65	39 ¹ / ₂	40 ¹ / ₂	41 ¹ / ₂	42 ¹ / ₂	43 ¹ / ₂	44 ¹ / ₂	40°S	55	38 ¹ / ₂	39 ¹ / ₂	40 ¹ / ₂	41 ¹ / ₂	42 ¹ / ₂	43 ¹ / ₂
W	70	42 ¹ / ₂	43 ¹ / ₂	44 ¹ / ₂	45 ¹ / ₂	46 ¹ / ₂	47 ¹ / ₂	40°S	60	41 ¹ / ₂	42 ¹ / ₂	43 ¹ / ₂	44 ¹ / ₂	45 ¹ / ₂	46 ¹ / ₂
55°S	75	45 ¹ / ₂	46 ¹ / ₂	47 ¹ / ₂	48 ¹ / ₂	49 ¹ / ₂	50 ¹ / ₂	40°S	65	44 ¹ / ₂	45 ¹ / ₂	46 ¹ / ₂	47 ¹ / ₂	48 ¹ / ₂	49 ¹ / ₂
W	80	48 ¹ / ₂	49 ¹ / ₂	50 ¹ / ₂	51 ¹ / ₂	52 ¹ / ₂	53 ¹ / ₂	40°S	70	47 ¹ / ₂	48 ¹ / ₂	49 ¹ / ₂	50 ¹ / ₂	51 ¹ / ₂	52 ¹ / ₂
35°S	85	51 ¹ / ₂	52 ¹ / ₂	53 ¹ / ₂	54 ¹ / ₂	55 ¹ / ₂	56 ¹ / ₂	40°S	75	50 ¹ / ₂	51 ¹ / ₂	52 ¹ / ₂	53 ¹ / ₂	54 ¹ / ₂	55 ¹ / ₂
W	90	54 ¹ / ₂	55 ¹ / ₂	56 ¹ / ₂	57 ¹ / ₂	58 ¹ / ₂	59 ¹ / ₂	40°S	80	53 ¹ / ₂	54 ¹ / ₂	55 ¹ / ₂	56 ¹ / ₂	57 ¹ / ₂	58 ¹ / ₂

Abweichungen der Magnetnadel von den Orkney-Inseln nach der Hudsons-Straße
und Bucht, in dem Jahre 1757.

Breite	Länge Lond	Abw.	Breite	Länge Lond	Abw.	Breite	Länge Lond	Abw.	Breite	Länge Lond	Abw.	Breite	Länge Lond	Abw.
59°N	4°W	18°W	60°N	27°W	27°W	62°N	67°W	31°W	62°N	21°W	36°W	4°N	95°W	17°W
58	10	18	59	27	25	61	65	30	61	21	40	58	92	17
56	10	19	57	27	29	59	65	40	59	21	35	58	94	17
60	10	20	58	27	30	60	65	41	60	21	36	59	94	18
61	10	21	59	27	31	61	65	41	61	21	36	59	95	18
62	10	21	60	27	31	62	65	41	62	21	36	59	95	18
58	27	24	61	27	39	63	65	42	63	21	36	59	95	18
59	27	24	62	27	40	64	65	42	64	21	36	59	95	18

Anmerkungen zur ersten Tafel.

- Der Zweck der ersten und zweyten Tafel war, theils an Einem Orte eine Anzahl einzelne in verschiedenen Werken zerstreute Beobachtungen über der Magnetnadel Abweichung und Neigung zu sammeln, theils diejenigen Beobachtungen über diese beiden Erscheinungen zusammenzustellen, welche an einem und demselben Orte, aber zu verschiedenen Zeiten angestellt sind, um die jährlichen Veränderungen der Abweichung und Neigung zu entdecken. Zur Erreichung der letztern Absicht mit einigem Grade von Genauigkeit sind nur wenige hinlänglich genau. Von den Veränderungen dieser Abweichungen erhält man einen weit deutlicheren Begriff durch Betrachtung derjenigen Linien auf den Karten für 1600 und 1700, in welchen die Abweichung unveränderlich ist. Das Wichtigste, was aus der ersten Tafel zu erschen, ist, dass im westlichen Europa

die jährliche Wanderung der Magnetnadel gen Westen im letzten Viertel des verwichenen Jahrhunderts mit abnehmender Geschwindigkeit dergleichen geschehen ist, daß die Nadel jetzt stillstehend, ja sogar rückgängig zu seyn scheint. Die Beobachtungen sind, wie schon die innere Uebereinstimmung darthut, sehr verschieden an Werthe. Selbst bey denjenigen Abweichungen, welche auf den berühmteren Sternwarten beobachtet worden, zeigen sich bisweilen von Jahr zu Jahr Sprünge von etwa 1 Grade. Diese Unrichtigkeiten lassen sich leichtlich folgender Mafsen erklären: magnetische Beobachtungen in Häusern können nicht ganz zuverlässig seyn, und zwar wegen des im Gebäude befindlichen Eisens (siehe Anmerk. 3 und 5); der Nadel magnetische Axe fällt nicht jederzeit mit der mathematischen zusammen, was bey breiten Nadeln einen merklichen Fehler hervorzubringen vermag; die Mittagslinie kann einen Fehler von ein paar Minuten haben; wenn sonach zwey verschiedene Beobachter an zween verschiedenen obwohl nahegelegenen Orten, mit verschiedenen Werkzeugen und Methoden zur nämlichen Zeit die Abweichung beobachten, so kann leichtlich ein Unterschied von $\frac{1}{2}$ Grad und darüber zwischen ihren Angaben eintreten, wenn alle obengedachte Unrichtigkeiten nach entgegengesetzten Seiten fallen. Hierzu kommt, daß, da der Nadel tägliche Schwingung bis auf $\frac{1}{2}$ Grad und die jährliche bis $\frac{1}{2}$ Grad steigen kann, die Abweichung sich nicht durch eine einzelne Beobachtung des Jahres bestimmen läßt. Endlich darf man wohl behaupten, daß wir noch nicht wissen, was eigentlich unter der Nadel mittlerer Abweichung verstanden werden müsse. Die Meisten nehmen denjenigen Punkt in der Nadel täglichem Schwingungsbogen, welcher mitten zwischen der größten östlichen und westlichen Elongation liegt, als den täglichen mittleren Stand der Nadel an. Der Nadel wahrer mittlerer Stand muß diejenige Stellung seyn, in welcher sie, bloß durch die Kräfte beider Magnetaxen der Erde getrieben, in Ruhe ist. So lange wir aber die Kräfte nicht kennen, welche die täglichen Schwingungen um diesen mittleren Stand verursachen, können wir uns nicht vergewissern, ob die östliche Elongation des Vormittags und die westliche um 2 Uhr des Nachmittags gleich groß sind; sind diese Elongationen ungleich, so wird der aus denselben gefundene Mittelstand ebenfalls unrichtig. Der Nadel mittlere Abweichung läßt sich also bis auf die einzelne Minute, geschweige bis auf Minutentheile, nicht mit Sicherheit angeben, so wenig man aus einzelnen Beobachtungen über die Länge und Breite eines Planeten, ehe denn alle Gleichungen für seine Bewegung bekannt sind, den mittleren Stand desselben bestimmen kann. Es wäre sehr nützlich gewesen, bey jeder Beobachtung das Werk anzuführen, woraus sie entlehnt ist, indem man darin über die Genauigkeit der Methode oftmals Aufschluß finden wird; allein der Raum gestattete nicht eine solche Weitläufigkeit, und durch den Namen des Beobachters wird man leicht angewiesen werden, jene an der rechten Stelle zu suchen.

2) Diese und alle folgenden, die bezeichnet sind: Astronom, Jahrb. 79, sind aus Lamberts Erklärung der magnetischen Abweichungskarte in Bodes astr. Jahrbuche 1779 genommen.

3) Die beiden ersten hier angeführten Beobachtungen werden angeführt gefunden in *Acta Medica Th. Bartholini Vol. 1, An. 1671 et 72 pag. 217*. An dieser Stelle liest man nämlich folgende Untersuchung über die Abweichung der Magnetnadel in Kopenhagen von Erasmus Bartholin: Anno 1649 Hermann Luchtemacher, *pyxidium nauticarum artifex, invenit acum grædicare 1½ Gr. Verum cum non difficulter fallaci observatione decipiantur præsertim incauti, consultum duximus in horto ædibus meis annexo hujus rei facere experimentum exactissima acu magnetica, quam secum attulerat ante laudatus D. Picart. Invenimus autem hac observatione ad Occidentem vergere a Septentrione gradibus 3 et 35 min. quam repetitis notis argumentisque signavimus, ut tandem vera Declinatio Magnetis hic Haunia innotesceret; et deprehendi quoque certo in posterum posset, ullone motu procedat, an ignavo corpore torpeat. In Insula Hvænna eadem acu magnetica accepta Declinatio ostendit 2° 35', non sine admiratione; intercedente integri gradus differentia, intervallo trium milliarium.*

Hieraus wird die jährliche Bewegung der Nadel zwischen 1649 und 1672 = 13', 3 und also die Abweichung = 0° im Jahre 1656 gefunden, ungefähr zu derselben Zeit, da sie

in London $= 0^\circ$ war. Es ist einleuchtend, daß die Nadel ihre größte jährliche Bewegung nach Westen von beynahe $\frac{1}{2}$ Grad in derjenigen Periode gehabt hat, da die Abweichung von *Oestlich* nach *Westlich* überging, daß sie in der Folge zwischen 6 und 7' gewesen ist, ausgenommen zwischen 1769 und 1774, da sie wiederum beynahe $\frac{1}{2}$ Grad war. Von 1792 — 1807 war sie stillestehend, und von 1807 an bis 1817 scheint sie rückgängig zu seyn. Endlich muß bemerkt werden, daß *Bugges* Beobachtungen auf der Kopenhagener Sternwarte von 1782 bis 1786 durch Abziehung von 23 Minuten corrigirt sind, indem *Bugge* in diesem Jahre, als er eine Mittagslinie in seinem Garten zog und mittelst derselben die Abweichung beobachtete, einen Unterschied von 23' zwischen dieser und der Beobachtung auf dem Thurme fand, so daß das Eisen der Sternwarte auf die Nadel gewirkt haben muß. Durch diese Correction entsteht auch eine bessere Harmonie zwischen seinen und den Beobachtungen des *Lous* und *Wleugels*.

- A) *Baffin* schreibt *Scoutenesfs* und nennt es die westlichste Spitze Norwegens; die von ihm angegebene Breite $61^\circ 30'$ geht besser auf *Stavenes*, eine der westlichsten Spitzen des festen Landes. *Skudesnäs* liegt nach *Pontoppidans* Karte am südlichen Ende der Insel *Karmen* in $59^\circ 9'$ Br. und 7° westlich von Kopenhagen, oder $23^\circ 15' 8$ Ferro. In *Baffins* Angabe muß also, sey es im Namen oder in der Breite des Ortes, eine Unrichtigkeit statt finden. Nimmt man an, die Abweichung bey *Skudesnäs* war im Jahre 1768 $= 18^\circ 10'$ w, gerade wie bey *Stadthuk*, und die jährliche Bewegung der Nadel sey einförmig gewesen, so ergiebt sich, daß die Abweichung an diesem Orte im Jahre 1659 $= 0$ gewesen seyn muß, ungefähr wie in London und Kopenhagen.
- 5) Wofern die jährliche Bewegung der Nadel in Stockholm vor 1718 $= 8', 2$, wie von diesem Jahre an bis 1763, gewesen ist, so würde hieraus folgern, die Magnetnadel sey im Jahre 1677 rechtweisend gewesen. Auch hier ersieht man, daß die jährliche Bewegung von der Mitte des verwichenen Jahrhunderts an $7'$ bis $8'$ wie in Kopenhagen war, bis sie, wie an letzterem Orte, zu Anfange des gegenwärtigen Jahrhunderts stillestehend gewesen ist, und nun gen Osten zu wandern scheint. Die vier letzten Beobachtungen sind mir vom Herrn Professor *Cronstrand* mitgetheilt. Da ich es in Zweifel zog, daß die Nadel von 1787 bis 1790 einen Sprung von einem ganzen Grade gemacht haben könnte, war er so gefällig, mir von seiner Untersuchung über die Abweichung der Magnetnadel in Stockholm (*Sv. Vet. Acad. Handl. 1817. S. 198*) folgenden Auszug mitzutheilen. "Seit dem Schlusse des Jahres 1785 sind hier über die Abweichung der Magnetnadel täglich Beobachtungen gemacht worden. Vermuthlich wurde zu dem Ende der in der Folge benutzte Compas aufgestellt, der von *Brander* verfertigt ist, mit einer 6, 77 Dec. Zoll langen Nadel in parallelepipedalischer Gestalt, an den Enden zugespitzt, und beweglich auf einem agathenen Hütchen. Ob er aber gleich auf der Sternwarte den angemessensten Platz erhalten hat, so entspricht letzterer doch nicht der Absicht. Ich habe nämlich gefunden, daß die Nadel eine ungleiche Richtung annahm, je nachdem das gegenüberliegende Fenster mit seinen groben eisernen Haken geöffnet oder zugemacht, und je nachdem die nahe Thüre zwischen dem Observatoriumssaale und dem westlichen Zimmer durch ungleiches Oeffnen in einem kürzeren oder längeren Abstände vom Compasse zu stehen gekommen war. Da übrigens dessen eigentlicher Stand im Meridiane noch nicht gehörig bestimmt ist, so erhellt, daß die im Tagebuche eingetragenen Beobachtungen keineswegs zur Beurtheilung der absoluten Abweichung dienen können. Dessen ungeachtet möchten sie, als wahrscheinlich mit ungefähr einerley Fehlern behaftet, einiges Stimmrecht fordern dürfen, wenn von Declinationsveränderungen die Rede ist, und einzig aus diesem Grunde habe ich mich für befugt gehalten, in der folgenden Tabelle das Mittel aus den beobachteten Declinationen für jeden Monat und jedes Jahr von und mit 1786 bis 1815 mitzutheilen. Die Gradzahl 15 ist allen Monaten gemein und desfalls ausgelassen."

Jahr	Jan.	Feb.	März	Apr.	Mai	Jun.	Jul.	Aug.	Sept.	Octob.	Nov.	Dec.	Mittel für das Jahr.	Jahr	Jan.	Feb.	März	Apr.	Mai	Jun.	Jul.	Aug.	Sept.	Octob.	Nov.	Dec.	Mittel für das Jahr.
1786	38	45	45	50	28	24	28	37	34	37	58	44	15°37'	1801	63	68	65	66	53	48	46	45	44	44	48	48	15°53'
1787	38	28	24	16	17	12	12	15	17	25	24	23	15.21	1802	53	52	55	54	49	45	42	45	42	43	49	47	15.48
1788	33	30	23	18	21	55	57	57	66	62	65	64	15.46	1803	47	46	52	49	46	39	42	46	43	47	50	71	15.48
1789	66	67	61	61	61	58	59	59	62	73	75	73	16.5	1804	74	73	71	70	69	63	59	59	60	66	68	63	16.7
1790	79	78	76	76	70	70	71	72	79	69	70	79	16.14	1805	70	60	62	62	64	75	76	64	56	51	56	56	16.3
1791	82	83	80	82	87	84	78	77	85	83	85	86	16.23	1806	65	68	66	56	56	52	43	50	50	38	52	51	15.54
1792	92	92	86	84	75	76	75	74	77	83	88	91	16.23	1807	46	48	53	52	51	56	72	63	65	61	70	71	15.59
1793	94	96	89	83	77	74	76	75	78	78	81	88	16.22	1808	71	79	84	84	86	77	80	82	81	77	77	77	16.20
1794	93	95	91	81	78	76	70	73	75	78	80	84	16.21	1809	77	77	58	88	80	53	39	38	42	40	42	42	15.56
1795	82	80	81	75	67	68	66	69	62	64	65	68	16.10	1810	44	50	49	40	41	38	38	40	41	41	40	46	15.42
1796	71	72	71	69	57	65	65	70	69	69	67	71	16.8	1811	44	44	40	47	52	47	46	45	43	41	44	46	15.45
1797	71	73	67	71	73	73	70	63	69	64	64	71	16.9	1812	50	52	45	40	44	46	46	45	47	47	40	43	15.45
1798	72	70	71	63	50	53	57	66	61	56	56	62	16.2	1813	41	43	45	35	30	38	54	45	43	45	48	53	15.44
1799	68	72	73	69	67	65	64	65	65	67	68	70	16.8	1814	53	53	53	47	44	44	52	47	53	53	53	53	15.51
1800	73	73	72	72	64	61	67	69	65	70	60	61	16.7	1815	53	49	28	49	53	53	53	45	40	47	—	—	15.47

In vorstehender Tabelle zeigt sich gar deutlich die Wirkung des Eisens der Sternwarte auf die Stellung der Nadel. Vom May an bis zum Juny 1788 hat sie einen Sprung von 34' gen Westen, vom April an bis zum July 1809 einen ähnlichen von 49' gen Osten gemacht. Selbst aus den jährlichen Mittelzahlen findet sich das jährliche Fortschreiten gen Westen von 1787 bis 1791 größer, als sich so nahe am Stillstandspunkte erwarten ließe. Ich glaube deswegen, die Abweichung in Stockholm sey niemals beträchtlich größer gewesen als 15°52', und daß ihr Maximum zwischen 1800 und 1808 eingetroffen ist.

- 6) Wollern die älteste Beobachtung in Torneå von Professor *Bilberg* und Bischof *Spole* richtig ist, so ist es bemerkenswerth, daß die Nadel in Torneå von 1695 an bis 1735 gen Osten und seitdem von 1735 an beständig gen Westen gegangen ist.
- 7) Diese nebst den Beobachtungen in Reval, Riga und mehreren finden sich in *W. L. Krafts Expositio Declinationis magneticæ in variis Imperii Russici regionibus observata* (Nov. Comm. Petrop. Tom. XVII Ann. 1772). Er bemerkt bey dieser Beobachtung, er habe sie *manu incognita in libro bibliothecæ imperialis* aufgezeichnet gefunden.
- 8) Scheinen gleich die ältern Beobachtungen in Petersburg nicht sonderlich genau zu seyn, so zeigen sie doch zur Genüge, daß die Nadel von 1726 an bis 1772 oder 1774 stilleschend gewesen ist, daß also die Linie, worin sich die Abweichung von 1700 an bis 1756 auf der Abweichungskarte No. II für das Jahr 1700 nicht geändert hat, nach Petersburg verlängert werden könne. Vor 1726 hat sich die Nadel vermuthlich, wie in Torneå (siehe Anm. 6), ostwärts bewegt. Von 1774 bis 1784 hat die Abweichung sehr stark zugenommen, und scheint in den letzten Jahren abzunehmen. Die Beobachtung 1805 ist aus *Acta Petropolitana* entlehnt; sie scheint mir aber fehlerhaft. Die drei letzten Beobachtungen sind aus den Zeitungen genommen; fuhr ihre Genauigkeit darf ich nicht stehen.
- 9) *Lambert* bemerkt (Astron. Jahrb. 1779), daß man aus den Nachrichten *Strahlenbergs* ersieht, zur Zeit seiner Kriegsgefangenschaft in Sibirien, folglich zwischen 1710 und 1723, sey die Abweichung der Magnetnadel zu Tobolsk = 0° gewesen. Ungewiß in Hinsicht der gehörigen Jahrzahl der Beobachtung, habe ich 1716 gesetzt.
- 10) Diese Abweichung wird so von *Kircher* angegeben. Sie ist vermuthlich älter als das Jahr 1600.
- 11) Die Berliner Beobachtungen stimmen innerlich nicht gut überein; die größten Sprünge ergeben sich zwischen den Jahren 1751 und 1764, 1764 und 1770, 1780 und 1782, 1786 und 1787 bis 1788 d. h. jedes Mal, wenn ein neuer Observator gekommen ist. Ähnliche Anomalien wird man in den ältern Pariser Beobachtungen finden.

- 12) Die älteste Beobachtung in Danzig ist von *Kruger*, die beiden folgenden von *Hevel*, und finden sich angegeben in *Halley's Table of Variations etc.* Die letzte Beobachtung von *Koch* 1811 scheint die Abweichung etwas zu klein zu geben, welches aus Betrachtung der Abweichungskarte für 1787, wie aus Vergleichung dieser Beobachtung mit derjenigen des *Reccard* in Königsberg glaublich werden wird.
- 13) Es ist merkwürdig, daß die Abweichung im Jahr 1600 in Königsberg = 0 war. Hieraus ist zu ersehen, daß der nordöstliche Zweig der Linie ohne Abweichung (1 Cap. S. 31, 33) im Jahre 1600 durch Königsberg, also etwas westlicher gegangen ist, als er auf der Karte für das Jahr 1600 Tab. 1. angegeben ist. Ferner erhellt, daß von 1628 an bis 1642 die Nadel sehr nahe stillestehend gewesen ist, woraus hervorgeht, daß diejenige Linie, worin die Abweichung beständig ist, damals in der Nähe von Königsberg gegangen ist. Dies stimmt mit der Petersburg betreffenden Anmerkung 8. gut überein. Da ferner die Abweichung am Nordcap und bey Vardöehaus von Hudson = 11° und 7° gefunden wurde, wo dieselbe noch jetzt ungefähr von derselben Größe ist (siehe die Karte 1787 und Tafel I. Anhang), so ergibt sich, daß diese Linie, wo die Abweichung beständig ist, ferner bis zum Nordcap verlängert werden könne.
- 14) Anlangend die ältesten Beobachtungen in Paris, siehe Hptst. 8. §§. 1, 2, S. 403—404. Die meisten derselben bis 1791 sind aus *Cassinis Werke de la Declinaison et des Variations de l'aiguille aimantée* und aus der Französischen Encyclopädie, Artikel *Aiguille aimantée*, genommen. Einige Physiker z. B. *Burkhardt* in der *Monatl. Corresp. des Fr. v. Zach*, 3 B. S. 164) ziehen die Richtigkeit der beiden ältesten Beobachtungen in Zweifel, und zwar, wie mir scheint mit Unrecht. Beide stimmen darin überein, daß die östliche Abweichung vor 1580 kleiner als 11½ gewesen ist, welches auch aus der damaligen Lage und Bewegung der schwächern Magnetaxe zu folgen scheint. Wahrscheinlich ist die Abweichung in Paris im letzten Viertel des funfzehnten Jahrhunderts = 0° gewesen, als der Gebrauch des Compasses allgemeiner zu werden anfang, und hat sich seitdem bis gegen das Jahr 1580 ostwärts bewegt. *Picards* Nadel scheint die westliche Abweichung ungefähr 1½ Grad zu klein angegeben zu haben; davon überzeugt war sich sowohl durch Vergleichung der letzten Beobachtung *Picards* mit *La Hire's* erster, wie auch durch folgende gleichzeitige Beobachtungen *Thevenot's* in Issy:

	Zeit	Abw.		Zeit	Abw.
Juny	1665	0° 0'		1677	2° 50' w.
	1664	1 0 w		1678	2 50
	1667	2 0		1680	2 30
	1671	2 30		1681	2 30
	1673	2 50			

Es ist also wahrscheinlicher, daß die Abweichung in Paris im Jahre 1665 = 0° gewesen ist. *La Hire*, Vater und Sohn, bedienten sich einer achtzölligen Nadel; dieselbe brauchte auch *Maraldi*; *Fouchy* wählte aber eine kürzere Nadel von 4 Zollen, weil er merkte, daß größere Nadeln zu verschiedenen Tageszeiten kleine Unterschiede in der Abweichung angäben, was er für einen Fehler ansah. (Siehe mehr davon in *Cassinis* obenangeführtem Werke.) Der Sprung von mehr denn einem Grade von 1743 bis 1744 von *Maraldi's* letzter bis *Fouchy's* erster Beobachtung muß wohl mehr dem Beobachter als dem Magnetismus beygemessen werden.

Folgende in der Nähe von Paris angestellte Beobachtungen können zur Bestätigung und Berichtigung der Parisischen dienen:

Duhamel in Gatinois
 14 März 1755 — — 17° 30'
 15 July 1769 — — 19 50

Le Monnier in Issy
 30 Aug. 1778 — — 20° 36'
 2 Sept. — — — 20 48
 2 Sept. — — — 20 47
 19 Aug. 1779 — — 20 54

Seit dem Anfange des gegenwärtigen Jahrhunderts scheint die Nadel auch hier, wie in Kopenhagen und Stockholm, stillstehend zu seyn.

- 15) Die Wanderung der Nadel gegen Westen ist in London ebenfalls stark im Abnehmen, so daß sie muthmaßlich bald ganz aufhören wird. Nach den Beobachtungen des *Mark Beaufoy* in *Hackney Wick* nahe bey London (Breite $51^{\circ} 32' 40''$, Länge westl. Greenwich in Zeit $6''$, 82 siehe *Thomsons Annals of Philosophy* T. 1 — 5.) war die Abweichung:

	1813			1814.			1815.		
	Morgen	Mittag	Mittel	Morgen	Mittag	Mittel	Morgen	Mittag	Mittel
Jan.	$24^{\circ} -$	$24^{\circ} -$	$24^{\circ} -$	$24^{\circ} 15,1$	$24^{\circ} 19,1$	$24^{\circ} 17,1$	$24^{\circ} 16,8$	$24^{\circ} 20,2$	$24^{\circ} 18,5$
Feb.	—	—	—	14,8	21,0	17,9	15,2	21,9	18,5
März.	—	—	—	14,5	23,1	18,8	14,8	23,7	19,2
Apr.	9,3	21,2	15,2	12,9	23,9	18,4	16,2	27,7	22,0
Mai	12,0	20,9	16,4	12,8	22,2	17,5			
Juni	12,9	22,3	17,6	13,2	22,8	18,0			
Juli	14,5	23,1	18,8	13,5	23,7	18,6			
Aug.	15,9	23,5	19,7	14,2	23,8	19,0			
Sept.	15,8	22,5	19,1	14,6	23,3	18,9			
Oct.	15,7	22,9	19,3	14,1	21,8	17,9			
Nov.	17,3	20,4	19,8	16,3	20,6	18,4			
Dec.	17,5	20,5	19,0	18,0	20,6	19,3			

Beaufoy findet hieraus das jährliche Vorrücken $= 31''$; von 1802 an bis 1809 war dasselbe $= 0'$, 6 $= 36''$.

Ueberdies werden in *Thomsons Annals* T. 1, S. 219 folgende Beobachtungen in London angegeben, welche theils in der Tabelle nicht zu finden, theils etwas anders aufgeführt sind:

1622	<i>Gunter</i>	Abweichung	$6^{\circ} 0' 0''$	8
1654	<i>Gellibrand</i>	—	4 3 30	
1685	<i>Halley</i>	—	4 30 0	w
1722	<i>Graham</i>	—	14 20 0	
1811	<i>Lee</i>	—	24 14 2	

- 16) Diese Abweichung wird von *Kircher* ohne Angabe der Jahreszahl angeführt; sie muß wahrscheinlich geraume Zeit vor dem Jahre 1600 beobachtet worden seyn; sie ist merkwürdig, weil sie die größte bekannte östliche Abweichung in Europa ist.
- 17) Folglich ist die Abweichung im Jahre 1665 in Lissabon $= 0^{\circ}$ gewesen.
- 18) Die hier angegebene GröÙe der Abweichung in Canton im Jahre 1685 scheint mir etwas zweifelhaft, zumal da ich mich nicht recht entsinnen kann, wo ich diese Angabe gefunden habe. Man sieht, daß die Abweichung in Canton von 1616 bis gegen das Ende des siebzehnten Jahrhunderts sehr wenig zugenommen und hierauf bis zu unsrer Zeit wieder eben so langsam abgenommen hat.
- 19) Auf der Indischen Halbinsel und an den nahegelegenen Orten, wie *Cochin*, *Goa*, *Madras*, *Ceylon* und mehreren, sieht man; daß die Abweichung zu Anfange des siebzehnten Jahrhunderts etwas über 5 Minuten jährlich abgenommen hat, und daß diese jährliche Abnahme gegen das Ende des Jahrhunderts bis etwa $6'$ gestiegen ist. In *Madras* war nach *Halley* die Abweichung im Jahre 1680 $= 8^{\circ} 10'$, welches, verglichen mit der Bestimmung des *Mathews* 1722, eine jährliche Abnahme $= 5'5$ giebt.
- 20) *Euler* giebt in seinen Briefen an eine Teutsche Prinzessin (3 Th. S. 84) die Abweichung in *Peking*, *Jeniseisk* und *Japan* im Jahre 1761 $= 0^{\circ}$ an; wer diese Beobachtungen gemacht, ist nicht angeführt, und anlangend die Abweichung in *Peking*, so scheint sie mit der Beobachtung des *P. Amiot* 1755 nicht übereinzustimmen.
- 21) Die Abweichung wird bey der Insel *Flores* von *Kircher*, *Metius* und *Stevin* $= 0^{\circ}$ angegeben; von wem und wann die Beobachtung gemacht ist, wird nicht angeführt. Allem Vermuthen nach ist diese Beobachtung etwas älter, als das Jahr 1600. Da man damals

- glaubte, die Abweichung richtete sich regelmässig nach der östlicheren oder westlicheren Lage der Meridiane, so hoffte man mit Hülfe der Magnetnadel die Länge zur See bestimmen zu können, und zog daher den ersten geographischen Meridian durch die Insel Flores (siehe die im ersten Hauptstücke angeführten Stellen aus Kircheri Magnes).
- 22) Auf Teneriffa müssen entweder Eisenminen oder irgend eine andere Local-Ursache seyn, welche die Nadel stört, gleichwie auf Elba, den Färöern, am Feuerlande, dem Nutkasunde und an mehreren Orten auf Island. Die Bestimmungen der verschiedenen Beobachter stimmen nicht innerlich überein, und eben so wenig thun dies gleichzeitige Beobachtungen an verschiedenen nahegelegenen Orten. So land *Dentrecasteaux* bey Teneriffa den 13 Oct. 1791 die Abweichung am Bord durch ein Mittel aus 16 Beobachtungen $= 18^{\circ} 7' 7''$ w, bey St. Cruz $= 21^{\circ} 35'$ und sur le môle $23^{\circ} 43'$. Er bemerkt, daß die Beobachtung am Bord am besten mit der Abnahme der Abweichung von Brest bis Teneriffa übereinstimmt. Wird also die Abweichung hier im Jahr 1791 $= 18^{\circ} 9'$ und 1769 nach *Fleurieu* $= 15^{\circ} 43'$ angenommen, so wird der jährliche Zuwachs $= 6' 6$ gefunden, was der jährlichen Veränderung auf Madera recht gut entspricht. Auf die Neigung scheinen diese örtlichen Ursachen hier, wie an den meisten andern Orten, weniger Einfluß zu haben.
- 23) Die vier Comorrischen Inseln werden verschiedenlich benannt. Sie sind Angora oder Angazija, Anjouan oder Johanna, Mayota oder Majotta und Mohilla oder Mal-Ilha. Auf Johanna war nach *Halley* die Abweichung 1675 $= 19^{\circ} 30'$. Vergleichen man dies mit der Beobachtung des *Mathews* 1722 $= 20^{\circ} 59'$, so findet man eine jährliche Veränderung $= 1' 5$. Die jährliche Veränderung ist hier so gering, weil diese Inseln nahe an derjenigen Linie liegen, worin sich die Abweichung nicht ändert.
- 24) In Cairo ist die Abweichung von 1694 bis 1798, also ein ganzes Jahrhundert hindurch ungefähr dieselbe gewesen, weshalb die in vorstehender Anmerkung erwähnte Linie durch diese Stadt gezogen werden muß.
- 25) Nach Hauptstück 1. S. 28 beobachtete *Keeling* am Nadelcap den 22 Dec. 1609 in $35^{\circ} 26'$ S. B. den Untergang der Sonne West $28\frac{1}{2}$ Süd nach dem Compaß. Nach v. Zach's Sonnentafeln finde ich für diesen Tag die wahre Länge der Sonne $= 9^{\circ} 11' 1\frac{1}{2}$, die Schiefe der Ekliptik $= 23^{\circ} 29\frac{1}{2}$, die Declination der Sonne $= 23^{\circ} 2'$ südlich, also ihr Azimuth beym Untergehen $= 61^{\circ} 18'$. Sie ging also $28^{\circ} 41'$ südlich vom wahren Westpunkte und nach dem Compaß $28^{\circ} 30'$ südlich von demselben unter; folglich war die Abweichung $= 0^{\circ} 12' w$.
- 26) Längs der Ostseite Madagaskars ist bemerkter Mafsen die Abweichung in etwa ein paar Jahrhunderten beinahe dieselbe gewesen.
- 27) Die Insel S. Catharina liegt also nahe an der Amerikanischen Linie, in welcher die Abweichung im 18ten Jahrhundert unveränderlich gewesen ist (siehe Atlas TAB. I.
- 28) Die Beobachtung des *Ginge* in der Colonie Godthaab stimmt mit der Bestimmung des Lieut. *Pickersgill* in Muskotto Cove, das ungefähr $45'$ nördlicher liegt, gut überein. Bey Anführung der Gingschen Beobachtung 1784 hat sich übrigens ein Fehler eingeschlichen; denn ich finde in den Schriften der Dänischen Gesellschaft der Wissenschaften (*Nye Saml.* 3 Th. S. 179) angeführt, daß Herr *Ginge* mit einer achtzölligen Nadel die Abweichung den 1 und 2 Sept. 1784 $= 48^{\circ} 51\frac{1}{2}$ westlich fand. Im October 1786 fand er sie mit dem Mannheimischen Instrumente $= 51^{\circ} 1'$ (siehe Hptst. 8. S. 463). *Bugge* sagt, *Ginge* hätte durch eine Mittelzahl die Abweichung $50^{\circ} 57'$ gefunden und sie wäre bis $52^{\circ} 54'$ gewachsen, bisweilen hätte sie bis $48^{\circ} 42'$ abgenommen, so daß die äussersten Gränzen über 4° aus einander liegen (siehe die Schriften der Gesellschaft S. 531). Die angeführte Mittelzahl muß wohl die Beobachtungsreihe vom 20 Octobr. 1786 an bis zum 7 Apr. 1787 gelten. Da solchergestalt die Veränderungen in einem halben Jahre an diesem Orte so groß sind, so kann hier, wie an andern ähnlichen Orten in der Nähe der Magnetpole, die mittlere Abweichung noch schwerer mit einigem Grade der Genauigkeit durch eine einzelne Beobachtung bestimmt werden.
- 29) Die Beobachtungen bey Spitzbergen stimmen innerlich nicht gut überein; dieser Mangel

an Uebereinstimmung kann jedoch meines Erachtens eben so wohl den magnetischen Kräften der Erde beygemessen werden, als ihrer geringen Genauigkeit. Aus den Beobachtungen des Capit. *Phipps* (Anhang S. 91) ist zu ersehen, daß sich die Abweichung mehrere Mal Sprungweise zwischen 12° und 20° an naheliegenden Orten verändert. Die nämliche Unbeständigkeit findet auch Statt bey *Cooks* Beobachtungen im stillen Meere südwestlich vom Feuerlande. Grade an diesen beiden Orten ist der Winkel $D - D'$ (siehe Hptst. 8. S. 473) sehr groß, und nähert sich 180° ; eine kleine Veränderung im Kraftverhältnisse der Magnetaxen kann also hier eine bedeutende Wanderung der Nadel erzeugen. Uebrigens ist sichtlich, daß sich die Abweichung bey Spitzbergen seit dem Anfange des 17ten Jahrhunderts bis auf die Zeit des *Phipps*, d. h. in fast 200 Jahren nicht beträchtlich geändert hat.

- 50) Bey den meisten Inseln im Südmeere, wo man ältere Beobachtungen hat, z. B. Anamocka, heilige 3 Königs Insel, Morderbay an Neu-Seeland, Pilstart, Tongatabu, Waygion, sieht man, daß der Abweichung jährliche Veränderung nur sehr klein ist, nämlich etwa 1 Minute des Jahres.
- 31) Bey Port du Sud nicht weit von diesem Orte fanden dieselben Beobachter den 7 Febr. 1793 in der Breite $43^{\circ} 34'_{\frac{1}{2}}$ s, Länge $144^{\circ} 36'_{\frac{1}{2}}$ östl. Paris, die Abweichung $= 2^{\circ} 52' 6''$ (Hptst. 2 S. 69); die Nadel muß aber hier durch Oertlichkeiten gestört worden seyn.
- 52) Anlangend die Abweichung in Manilla drückt sich *Le Gentil* im zweyten Theile seiner Reise S. 825 folgender Maßen aus: "*Il n'y a point ou presque point de déclinaison dans cette même Ville, car ayant placé la ligne Nord & Sud d'une boussole ordinaire, dont l'aiguille avoit près de 6 pouces de longueur, sur la méridienne vérifiée de P. Don Estevan-Roxas y Mélo, j'ai trouvé 1 degré à l'Ouest; mais ayant placé la ligne Est & Ouest de la même boussole sur la même méridienne, j'ai trouvé au contraire un demi-degré à l'Est pour la déclinaison; ce que j'ai répété plusieurs fois. Ne sachant d'où provient cette différence, si ce n'est que je soupçonnai un défaut dans l'aiguille, j'ai pris un milieu, et j'ai supposé, qu'à Manille l'aiguille aimantée avoit sa direction de 15 minutes à l'Ouest du Monde.*"
- 33) Die erste Beobachtung ist am Lande, die zweyte am Bord gemacht.

Anmerkungen zur zweyten Tafel.

1. Die genaueren Umstände dieser Beobachtung finden sich in *Gilberts* Ann. der Physik 6 Band, S. 175. Sie stimmen mit denjenigen *Pantons* im nördlichen Theil des rothen Meeres gut überein. *Gilbert* glaubt, durch Vergleichung der Oscillationen der *Nouetschen* Nadel in Alexandrien mit denjenigen der *Humboldtschen* in Paris, das Verhältniß der magnetischen Intensität an diesen beiden Orten ableiten zu können. Dies wäre aber bloß dann thunlich gewesen, falls *Nouet* angegeben hätte, wie viele Schwingungen seine Nadel in Paris gemacht.
- 2) Ein Mehreres über diese Beobachtung siehe die 3te Tafel S. 91.
- 3) Scheinen diese Beobachtungen gleich mit großer Sorgfalt gemacht, so lassen sie sich doch schwer mit den übrigen verbinden, nach welchen die Neigungskarte construirt ist. Die Neigung in *New-Cambridge* scheint mir eher etwas über 70° seyn zu müssen.
- 4) In *Gilberts Annalen* B. 27. St. IV. S. 469 wird angeführt: "Im Junius 1787 hatte *Beauchamp* 10 Lieues von *Kusbin* auf dem Wege nach *Ispahan* zu, bey dem Untergange der Sonne und sehr freien Horizonte, die Abweichung $7^{\circ} 53'$ westlich und die Inclination $56\frac{1}{2}^{\circ}$ gefunden, wobey jedoch ein Fehler von 1° obwalten kann, da der Limbus des Instruments sich verbogen hatte". Diese Neigung *Beauchamps* ist wenigstens 10° zu groß.

- 5) Die ältesten Beobachtungen des *Whiston* geben ohne Zweifel die Neigung in London zu klein (siehe Hptst. 2. S. 44).
- 6) *Le Gentil* sagt: *A Manille j'ai observé, que ma boussole donnait l'inclinaison, la Fleur-de-Lys au Nord, de 11° 4', et la Fleur-de-Lys au Sud de 12° 18', difference 1° 14'.* Dieses Instrument war schlecht abgewogen. Die Differenzen stiegen je zuweilen bis 5° (siehe Anhang Tafel 3. S. 87), und es ist wohl nicht ausgemacht, ob eine Mittelzahl zwischen jedem Paare zusammengehörender Beobachtungen die rechte Neigung giebt.
- 7) Am Lande im Nutka-Sunde fand Cook d. 4 Apr. die Neigung $72^{\circ}32'3''$; am Bord den 5ten dieselbe $72^{\circ}25'41''$ (siehe Tafel 3. S. 87). Bey Vergleichung der Beobachtungen Cooks und *Vancouvers* möchte man glauben, die Neigung an der Nordwestküste Amerikas sey im Zunehmen. Aus theoretischen Gründen dünkt es mir wahrscheinlicher, daß sie allda abnehme, indem sich nämlich der Amerikanische Nordpol ostwärts bewegt, also von dieser Küste entfernt.
- 8) Beides Cook und *Vancouver* finden die Neigung um die Sandwich-Inseln etwas über 40°, *La Perouse* aber in ihrer Nähe etwa 30° (siehe dessen Beobachtungen d. 28 — 31 May 1786, Tafel 3. S. 105). Können gleich *La Pérouses* Neigungsbeobachtungen auf keine Weise derjenigen der gedachten Seefahrer an Genauigkeit zur Seite gestellt werden, so habe ich doch kein Bedenken getragen, die Linie von 50° nördlicher Neigung durch die Insel *Owhyhee* zu ziehen. Wollte man die Linie von 40° Neigung durch diese Insel ziehen, so müßte man alle sowohl nördlichen als südlichen Neigungslinien etwa 8° gen Süden verrücken, was aber allen übrigen Beobachtungen Cooks und *Vancouvers* sowohl nördlich als südlich vom Aequator widerstreiten würde, und sich zugleich schwerlich mit den *Humboldtischen* in Mexiko und Acapulco vereinbaren ließe. Ich muß gestehen, diese beträchtliche Verschiedenheit zwischen den verschiedenen Partheien ist mir ein unauflösliches Räthsel.
- 9) *Krusenstern* giebt über seine Beobachtung folgende Erläuterung (siehe seine Reise Th. 2. Cap. 7): "Um die Neigung von dem Einflusse zu befreien, welchen die ungleiche Schwere der beiden Enden der Magnetnadel haben muß, so wurden die 4 Balancier-Kügelchen von der Axe der Magnetnadel abgenommen, und die Neigung derselben zu wiederholten Malen versucht. Das Mittel derselben war:
- | | | |
|--|---|-----------------|
| Die Theilung nach O. gekehrt $46^{\circ}20'$ | } | $54^{\circ}16'$ |
| Die Theilung nach W. gekehrt $62^{\circ}13'$ | | |
- Nach diesem wurden die Pole der Nadel mittelst eines starken Magneten umgewendet. Die Neigungen waren:
- | | | |
|--|---|-----------------|
| Die Theilung nach O. gekehrt $66^{\circ}28'$ | } | $72^{\circ}49'$ |
| Die Theilung nach W. gekehrt $79^{\circ}10'$ | | |
- Durch Verbindung dieser beiden Resultate erhält man die wahre nördliche Neigung der Magnetnadel $\frac{1}{2}(72^{\circ}49' + 54^{\circ}16') = 63^{\circ}32'$.
- 10) Die Neigung in Tobolsk ist sicherlich 8° bis 10° zu groß, da sie erst bei Spitzbergen = 80° wird (siehe die Neigungskarte Tafel VII).
- 11) Die Insel *Tanna* ist auf den Karten durch einen Fehlgriß in den Meridian $169^{\circ}49'W$, statt in denjenigen $169^{\circ}49'O$ gelegt. Die Neigung auf *Tanna* kann nach der Karte nicht über 40° seyn, demnach ist die Beobachtung um etwa 5° unrichtig.
- 12) In der *Talcaguana-Bay* nahe bey *Conception* fand *La Perouse* im Febr. 1786 die Neigung = $50^{\circ}45'$, in *Conception* = $50^{\circ}0'$ (Tafel 3. S. 164.) In *Conception* fand *Feuillée* den 14 Febr. 1710 die Neigung = $55^{\circ}30'$ (Tafel 2. S. 34). Dies giebt in 76 Jahren eine Abnahme von $4^{\circ}45'$, d. h. jährlich von $3', 7$, was mit der Abnahme an andern Orten längs den Südamerikanischen Küsten übereinstimmt. Die Ursache dieser Abnahme ist die Bewegung des Amerikanischen Südpoles nach Westen.

Fig. 3.



Fig. 4.

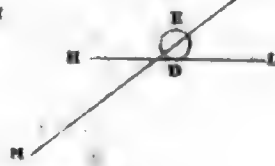


Fig. 5.

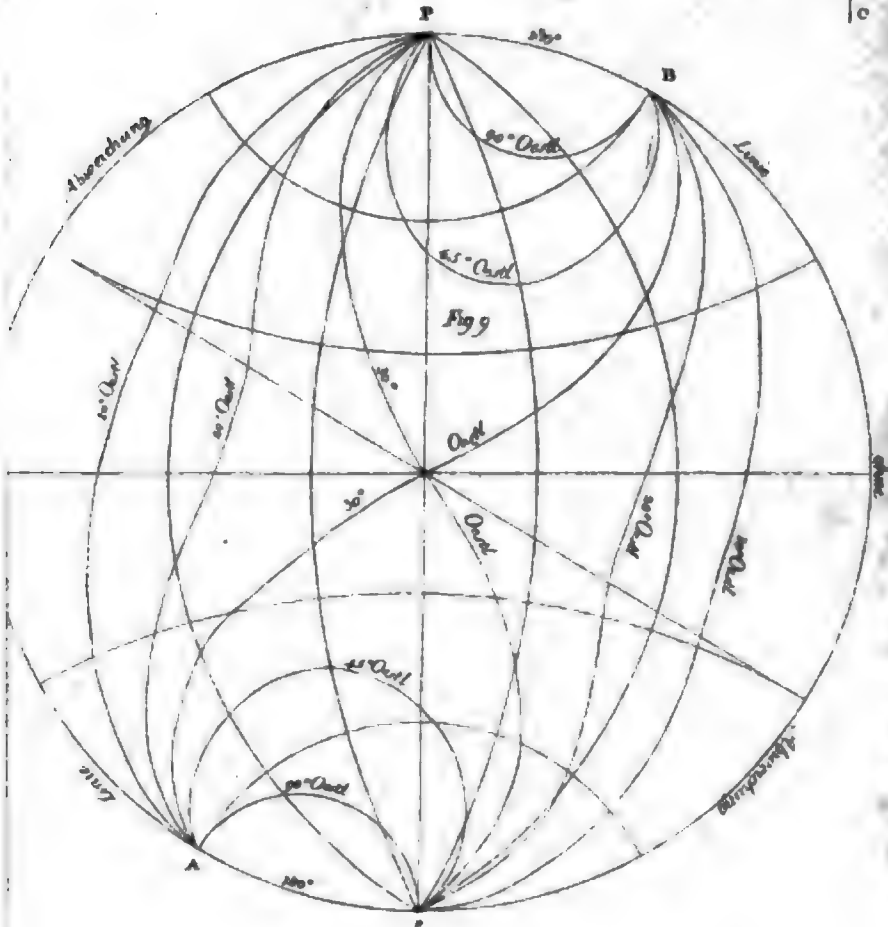
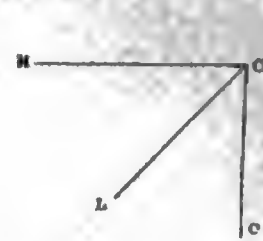


Fig. 6.

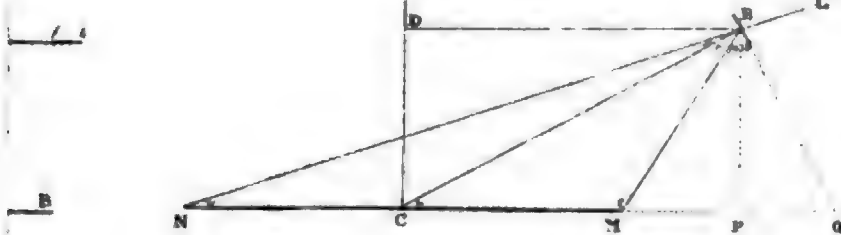


Fig. 3



Fig. 4

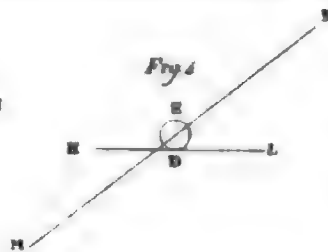


Fig. 5

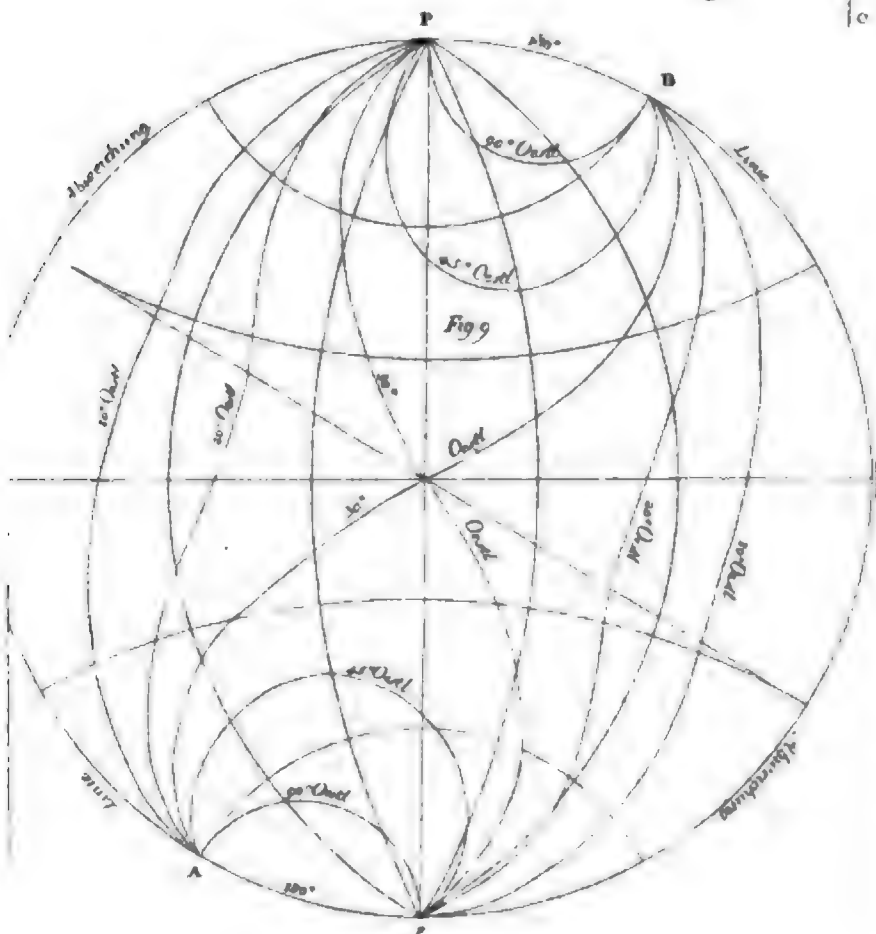
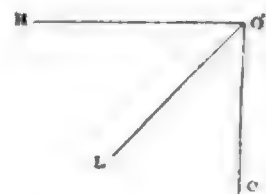
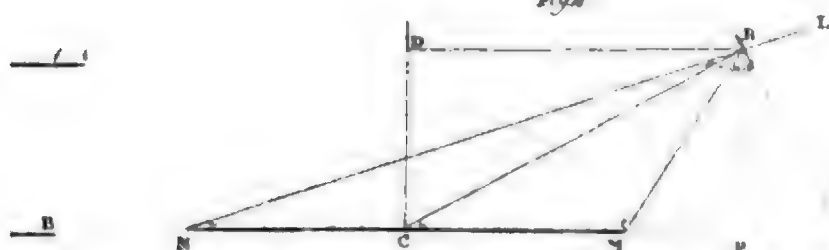


Fig. 6



an Übereinstimmung kann jedoch meines Erachtens eben so wohl den magnetischen Kräften der Erde beygemessen werden, als ihrer geringen Genauigkeit. Aus den Beobachtungen des Capit. *Phipps* (Anhang S. 91) ist zu ersehen, daß sich die Abweichung mehrere Mal Sprungweise zwischen 12° und 20° an naheliegenden Orten verändert. Die nämliche Unbeständigkeit findet auch Statt bey *Cooks* Beobachtungen im stillen Meere südwestlich vom Feuerlande. Grade an diesen beiden Orten ist der Winkel $D - D'$ (siehe Hptst. 8. S. 473) sehr groß, und nähert sich 180° ; eine kleine Veränderung im Kraftverhältnisse der Magnetaxen kann also hier eine bedeutende Wanderung der Nadel erzeugen. Uebrigens ist sichtlich, daß sich die Abweichung bey Spitzbergen seit dem Anfange des 17ten Jahrhunderts bis auf die Zeit des *Phipps*, d. h. in fast 200 Jahren nicht beträchtlich geändert hat.

- 50) Bey den meisten Inseln im Südmeere, wo man ältere Beobachtungen hat, z. B. Anamocka, heilige 3 Königs Insel, Morderbay an Neu-Seeland, Pilstart, Tongatabu, Waygiou, sieht man, daß der Abweichung jährliche Veränderung nur sehr klein ist, nämlich etwa 1 Minute des Jahres.
- 31) Bey Port du Sud nicht weit von diesem Orte fanden dieselben Beobachter den 7 Febr. 1793 in der Breite $45^{\circ} 34' 1''$ S., Länge $144^{\circ} 35' 1''$ östl. Paris, die Abweichung $= 2^{\circ} 52' 0''$ (Hptst. 2 S. 69); die Nadel muß aber hier durch Oertlichkeiten gestört worden seyn.
- 52) Anlangend die Abweichung in Manilla drückt sich *Le Gentil* im zweyten Theile seiner Reise S. 825 folgender Maßen aus: "*Il n'y a point ou presque point de déclinaison dans cette même Ville, car ayant placé la ligne Nord & Sud d'une boussole ordinaire, dont l'aiguille avoit près de 6 pouces de longueur, sur la méridienne vérifiée de P. Don Estevan-Roxas y Mélo, j'ai trouvé 1 degré à l'Ouest; mais ayant placé la ligne Est & Ouest de la même boussole sur la même méridienne, j'ai trouvé au contraire un demi-degré à l'Est pour la déclinaison; ce que j'ai répété plusieurs fois. Ne sachant d'où provient cette différence, si ce n'est que je soupçonnai un défaut dans l'aiguille, j'ai pris un milieu, et j'ai supposé, qu'à Manille l'aiguille aimantée avoit sa direction de 15 minutes à l'Ouest du Monde.*"
- 33) Die erste Beobachtung ist am Lande, die zweyte am Bord gemacht.

Anmerkungen zur zweyten Tafel.

1. Die genaueren Umstände dieser Beobachtung finden sich in *Gilberts Ann. der Physik* 6 Band, S. 175. Sie stimmen mit denjenigen *Pantons* im nördlichen Theil des rothen Meeres gut überein. *Gilbert* glaubt, durch Vergleichung der Oscillationen der *Nouet'schen* Nadel in Alexandrien mit denjenigen der *Humboldtschen* in Paris, das Verhältniß der magnetischen Intensität an diesen beiden Orten ableiten zu können. Dies wäre aber bloß dann thunlich gewesen, falls *Nouet* angegeben hätte, wie viele Schwingungen seine Nadel in Paris gemacht.
- 2) Ein Mehreres über diese Beobachtung siehe die 3te Tafel S. 91.
- 3) Scheinen diese Beobachtungen gleich mit großer Sorgfalt gemacht, so lassen sie sich doch schwer mit den übrigen verbinden, nach welchen die Neigungskarte construirt ist. Die Neigung in *New-Cambridge* scheint mir eher etwas über 70° seyn zu müssen.
- 4) In *Gilberts Annalen* B. 27. St. IV. S. 469 wird angeführt: "Im Junius 1787 hatte *Beauchamp* 10 Lieues von *Kasbin* auf dem Wege nach *Ispahan* zu, bey dem Untergange der Sonne und sehr freien Horizonte, die Abweichung $7^{\circ} 55'$ westlich und die Inclination $56\frac{1}{2}^{\circ}$ gefunden, wobey jedoch ein Fehler von 1° obwalten kann, da der Limbus des Instruments sich verbogen hatte". Diese Neigung *Beauchamps* ist wenigstens 10° zu groß.

